Switzerland. Meteorologische Zentralanstalt.

ANNALEN

der

SCHWEIZERISCHEN METEOROLOGISCHEN ZENTRALANSTALT

1956

Dreiundneunzigster Jahrgang

LIBRARY
MAY 19 1958
WEATHER BUREAU

City-Druck AG, Zürich 1
St. Peterstraße 10
1957

~~100 153~~

Inhalt

Vorwort . . . . . Pag. III
Verzeichnis der schweizerischen meteorologischen Literatur im Jahre 1956 . . . . . Pag. IV
Legende zu «Tägliche Beobachtungen» . . . . . Pag. VII

Tägliche Beobachtungen

der Stationen: Bern, Neuchâtel, Altdorf, Genève, Zürich, Chasseron, Bever, Sion, Lugano, Basel, Säntis und St. Gotthard nebst ergänzenden Witterungsnotizen . . . . . Pag. 1—76
Jungfraujoch: Tägliche Lufttemperaturen . . . . . Pag. 77
Tägliche Maxima und Minima und stündliche Monatsmittel der Lufttemperatur von Zürich und Säntis . . . . . Pag. 78—79
Temperaturextreme von 7 Normal-Stationen . . . . . Pag. 80—83

Monats- und Jahres-Übersichten der meteorologischen Beobachtungen sämtlicher Stationen

» 85 – 146

Pag.
Aarau . . . . . 104 u. 105
Adelboden 129
Airolo 134
Allerheiligenberg . . . 128
Altdorf I . . . . . 96 u. 97
Altdorf II . . . . . 98 u. 99
Altstätten . . . . . 90 u. 91
Andermatt 127
Arosa . . . . . 116 u. 117
Auen (Linthal) . . . 92 u. 93

Baden . . . . . 86 u. 87
Basel (Binningen) . . . 98 u. 99
Bâle-Mulhouse 139
Beatenberg . . . . . 108 u. 109
Bellinzona . . . . . 122 u. 123
Bern . . . . . 106 u. 107, 140
Bever . . . . . 118 u. 119
Beznau . . . . . 104 u. 105
Biel . . . . . 102 u. 103
Bivio 133
Bosco-Gurin . . . . . 120 u. 121
Braggio . . . . . 120 u. 121
Brévine, la 127
Brè Monte (ob Lugano) 135
Buffalora (Ofenpass) . . 118 u. 119

Cernier 127
Chasseron . . . . . 100 u. 101
Château d'Oex 130
Chaumont . . . . . 100 u. 101
Chaux-de-Fonds, la . . 100 u. 101
Chippis . . . . . 114 u. 115
Chur I . . . . . 114 u. 115
Chur II 132
Comprovasco 135

Pag.
Davos-Platz . . . . . 116 u. 117
Disentis . . . . . 116 u. 117

Ebnat 124
Einsiedeln . . . . . 94 u. 95
Elm . . . . . 92 u. 93
Engelberg . . . . . 96 u. 97

Fescoggia 135
Frauenfeld . . . . . 88 u. 89
Fribourg . . . . . 106 u. 107

Genève . . . . . 110 u. 111
Genève-Cointrin . . . 141
Glarus . . . . . 92 u. 93
Göschenen . . . . . 98 u. 99
Grächen 131
Grand-St-Bernard . . . 112 u. 113
Grimsel . . . . . 110 u. 111
Grindelwald 129
Grono 134
Gurtnellen 126
Gütsch ob Andermatt . 138
Guttannen . . . . . 108 u. 109

Haidenhaus . . . . . 88 u. 89
Hallau . . . . . 104 u. 105
Heiden . . . . . 90 u. 91
Heiligenschwendi . . . 129

Interlaken . . . . . 108 u. 109
Jungfraujoch . . . . 110 u. 111

Kreuzlingen . . . . . 88 u. 89

Langenbruck . . . . 102 u. 103
Langnau i. E. . . . . 106 u. 107
Lausanne . . . . . 110 u. 111
Leukerbad 131

Pag.
Leysin . . . . . 112 u. 113
Locarno-Aeroporto . . 144
Locarno-Monti . . . . 122 u. 123
Locarno-Muralto . . . 122 u. 123
Lohn . . . . . 106 u. 107
Lugano . . . . . 122 u. 123
Lungern 126
Luzern . . . . . 94 u. 95

Marsens 130
Meiringen . . . . . 108 u. 109
Montana . . . . . 114 u. 115
Montreux-Clarens . . . 112 u. 113
Muri (Aargau) 124

Neuchâtel . . . . . 100 u. 101

Oberiberg . . . . . 94 u. 95
Olten I 128
Olten II . . . . . 104 u. 105

Pilatus-Kulm . . . . 96 u. 97
Plateau Rosà (Testa Grigia) 143
Platta (Medels) . . . 116 u. 117

Ragaz, Bad . . . . . 92 u. 93
Reckingen . . . . . 114 u. 115
Rheinfelden 128
Rigi-Kaltbad 126
Rigi-Kulm . . . . . 94 u. 95
Rochers de Naye . . . 131
Romont 131
Rorschach 124
Rougemont 130

Saanen 130
Saas-Fee 132
Säntis . . . . . 90 u. 91
Sargans . . . . . 90 u. 91

Pag.
Sarnen . . . . . 96 u. 97
Schaffhausen 128
Schiers 133
Schuls . . . . . 118 u. 119
Schwäbrig (ob Gais) . 124
Seewis 132
Sils-Maria 133
Sion . . . . . 112 u. 113
Sion-Aérodrôme . . . 142
Soleil Mont 127
Solothurn . . . . . 102 u. 103
Splügen (Dorf) . . . 120 u. 121
Sta. Maria (Münstertal) . 134
St. Gallen . . . . . 88 u. 89
St. Gotthard . . . . . 98 u. 99
St. Moritz . . . . . 120 u. 121

Thun 129
Tschiertschen 133

Vättis 125
Vicosoprano 134

Walchwil 125
Wald (Faltigberg) . . 125
Walenstadtberg . . . 125
Weggis 126
Weissenstein . . . . 102 u. 103
Weissfluhjoch . . . . 118 u. 119
Winterthur . . . . . 86 u. 87

Zermatt 132
Zürich-BG . . . . . 86 u. 87
Zürich-Kloten 137
Zürich-MZA . . . . . 86 u. 87

Anhang: Ergänzende Beobachtungen und Abhandlungen.

Nr. 1 M. Schüepp. Übersicht über den Witterungsverlauf in der Schweiz im Jahre 1956.
Nr. 2 J. Rieker. Liste des chutes de grêle en Suisse pendant l'année 1956.
Nr. 3 Ergebnisse der Niederschlagsmessungen im Jahre 1956.
Ergebnisse der im Alpengebiet aufgestellten Totalisatoren für das hydrologische Jahr 1955/56.
M. Grütter. Die Niederschläge des Jahres 1956.
Nr. 4 Ergebnisse der Registrierungen der Sonnenscheinautographen im Jahre 1956.
Nr. 5 Agrarmeteorologische Beobachtungen:
Verdunstung in mm Wasserhöhe von Zürich, Château d'Oex und Pregassona und Bodentemperaturen von Zürich und Pregassona.
P. Primault: Ce que nous enseignent les bilans hydriques successifs.
Nr. 6 Aerologische Station Payerne: Radiosondierungen 1956.
Jean Lugeon et Max Bohnenblust: Radiosondages du gradient de potentiel et de la conductibilité électrique de l'air.
Nr. 7 M. Schüepp und J. Häfelin: Wetterlagen und Fronten im Jahr 1956.
Nr. 8 Raymond Schneider: Formation et dissolution des brouillards à l'aéroport de Zürich-Kloten.

Vorwort

Im Jahre 1956 entstanden zwei neue meteorologische Stationen: In Chur wurde im Hinblick auf eine eventuell notwendig werdende Stationsverlegung (die Ende 1957 zur Tatsache wird) eine zweite Station an der Daleustraße (Beobachter: W. Kreis-Kuster) errichtet. Der längst empfundene Mangel einer meteorologischen Station im Puschlav konnte endlich dadurch behoben werden, daß die Kraftwerke Brusio AG, Poschiavo, in ihrer Zentrale Robbia bei San Carlo eine solche einrichten ließen. Zusammen mit drei neuen Regenmeßposten auf Braita bei La Rösa, in Miralago und Campocologno dient die neue meteorologische Station auch betrieblichen Interessen der KWB. Alle vier Stationen werden durch ihr Personal betreut. Als weitere neue Regenmeßstationen sind zu erwähnen: Wernetshausen bei Hinwil (A. Züst), Kerzers (Schweizerische Genossenschaft für Gemüsebau), Frasco (Fräulein A. Ferrini) und Vordertal (A. Schnyder), das wir letztes Jahr als aufgehoben gemeldet hatten. Die bisherige meteorologische Station Mezzana wurde in eine Regenmeßstation umgewandelt. Auf Jahresende traten in Olten die Geschwister Naef als Beobachter der meteorologischen Station Olten I zurück, nachdem diese seit 1903 in den Händen ihrer Familie gelegen hatte. Aus unseren Listen gestrichen haben wir die seit langem nicht mehr regelmäßig bedienten Regenmeßstationen Vial (Somvix) und Furka-Galenhütten.

Bestand:	1. Januar	31. Dezember
Meteorologische Stationen (Klimatologischer Dienst)	127	128
Meteorologische Stationen (Synoptischer Dienst)	9	9
Regenmeßstationen	318	322

Beobachterwechsel (* mit Stationsverlegung, † Todesfälle, E = Wechsel auf Ende 1956):

Meteorologische Stationen:	bisher	neu
Altstätten	E. Eisenring †	Frau P. Eisenring
Bosco-Gurin	Frau R. Della Pietra	O. Sartori
Monte Brè (E)	A. Rezzonico	E. Stark
Buffalora	Ch. Waldburger	R. Cadisch
Fescoggia	H. Suter	Frl. H. Suter
* Haidenhaus	A. Mächler	A. Bauer
Hallau	H. Rahm	Frau F. Rahm
* Interlaken (E)	P. Furrer †, Frau Furrer	E. Ryffel
Meiringen	Frau E. Michel	Frl. E. Michel
Platta (Medels)	B. Albin	C. Huonder
Rougemont	V. Saugy-Trachsel †	Frau L. Saugy
Thun (E)	H. Stucki u. H. Rothen	H. Rothen

Regenmeßstationen:	bisher	neu
* Bauma	Frau S. Egli-Rufli	Frau Wieduwilt-Boßhard
Boltigen	G. Maurer	A. Stocker
* Olivone	G. Bolla	A. Chiapuzzi
Orsières	Frau S. Copt-Cavé	Frau M. Volluz-Copt
Payerne (E)	A. Curtet	J. Rossier
* Thayngen	H. Häseli	A. Burkhardt

Die im Vorwort des Bandes 1955 angezeigte Revision der Stationskoordinaten, die mit Hilfe der neuen Landeskarten meist auf Grund vorliegender Inspektionsberichte durchgeführt wurde, ist zum größten Teil beendigt. Im Anhang Nr. 3 sind die noch nicht überprüften Höhenangaben kursiv gedruckt. Durch diese Revision sind nun gröbere Fehler, die sich im Laufe der Jahre eingeschlichen hatten, ausgemerzt. Kleinere Abweichungen werden auch weiterhin anläßlich neuer Inspektionen zu Tage treten.

Neu geordnet sind die Schwerekorrektionen für den Barometerstand. Gemäß OMM-Beschluß beziehen sich die Korrektionen von diesem Jahrgang an auf den konventionellen Wert $g_0 = 980.665$ cm/sec² anstelle der Schwere auf 45° geographischer Breite im Meeresniveau, die nach den Angaben von Th. Niethammer seit 1936 mit 980.626 cm/sec² eingesetzt war. Die Schwerewerte für die einzelnen Barometerstationen basieren weiterhin auf den Schwerebestimmungen von Th. Niethammer, wie sie in «Astronomisch-geodätische Arbeiten in der Schweiz», Bände 12, 13, 15 und 16 niedergelegt sind. Die neuen Schwerekorrektionen sind gegenüber den bisherigen um 0.01 bis 0.03 mm niedriger.

Infolge Hinschiedes unseres Vizedirektors, Herrn Dr. Ernst Wanner, am 4. November 1955 wurde gemäß «Bundesgesetz betreffend die Änderung des Bundesgesetzes über die Schweizerische Meteorologische Zentralanstalt» vom 7. Dezember 1956 der Erdbebendienst von der MZA abgetrennt und dem Institut für Geophysik an der Eidgenössischen Technischen Hochschule in Zürich, Leonhardstraße 33, angegliedert. Der bisher als Anhang Nr. 5 in den Annalen veröffentlichte Jahresbericht des Erdbebendienstes wird daher in Zukunft als selbständige Publikation des genannten Institutes erscheinen.

Der Direktor der
Schweizerischen Meteorologischen Zentralanstalt:

Zürich, im Dezember 1957

Jean Lugeon

Verzeichnis der 1956 erschienenen oder sich auf dieses Jahr beziehenden schweizerischen meteorologischen Literatur

Abkürzungen: NG = Naturforschende Gesellschaft. — SNG = Schweizerische Naturforschende Gesellschaft.

Dieses Verzeichnis führt die im vorliegenden Bande publizierten Arbeiten nicht nochmals auf (s. Inhaltsverzeichnis S. II)

Schweizerische Meteorologische Zentralanstalt: Annalen der..., 1956, Jg. 93. — Zürich 1957.

Schweizerische Meteorologische Zentralanstalt: Ergebnisse der Niederschlagsmessungen auf den meteorologischen und Regenmeß-Stationen der Schweiz im Jahre 1956. — Zürich 1957.

Schweizerische Meteorologische Zentralanstalt: Meteorologische Monatsberichte, Januar–Dezember 1956. [Verf. von] M[ax] Schüepp. — Zürich 1956; je 1 S.

Schweizerische Meteorologische Zentralanstalt: Wetterbericht der ... = Bulletin de l'Institut suisse de météorologie, Jg. 76, Nr. 1—366. — Zürich 1956; erscheint täglich.

Eidg. Institut für Schnee- und Lawinenforschung: Schnee und Lawinen in den Schweizer Alpen, Winter 1954/55. — Winterbericht... Nr. 19, 116 S., Davos-Platz 1956.

Eidg. Volkswirtschaftsdepartement, Abt. f. Landwirtschaft, Eidg. Kommission zum Studium der Hagelbildung und der Hagelabwehr: Großversuch II zur Bekämpfung des Hagels auf der Magadinoebene. 3. Versuchsjahr. Tätigkeitsbericht Nr. 8, 1955. 51. S. — Bern 1956.

Eidg. Volkswirtschaftsdepartement, Abt. f. Landwirtschaft, Stations fédérales d'essais agricoles, Lausanne: Rapport d'activité 1955. Chap. 2, 21, Année météorologique; 23, Dates phénologiques et culturales. — Rendement des cultures. — Annuaire agric. de la Suisse, nelle sér. 5: 411—417, 433—439, Berne 1956.

Observatoire cantonal de Neuchâtel: Observations météorologiques faites en 1956 à l'Observatoire... par Walter Schuler. — Bull. Soc. Neuchâtel. Sc. Nat. 80: 203—223, 1957.

Observatoire de Genève: Résumés météorologiques 1955. — Arch. d. sciences 9, Genève 1956.

Observatoire météorologique de Lausanne, Champ-de-l'Air: Résumés mensuels 1956. — Lausanne, Obs. mét. cant. vaud. 1956, 12 p.

Service de statistique, Bienne: Les observations météorologiques. — Chronique statistique de la ville de Bienne 1955, 28: 7—9, Bienne 1956.

Ambrosetti, Fl.: Schneetage in den Niederungen des Alpensüdfußes. — Verh. SNG Basel 1956: 92—93.

Beck, Franz: Der Föhn und die bezüglichen Brandverhütungsmaßnahmen in der Schweiz. — Mitteil. Vereinig. kantonalschweiz. Feuerversicherungsanstalten 35(2/3): 55—92, Bern 1956.

Bider, Max: Klimatische Daten Basels für das praktische Leben. — Wirtschaft und Verwaltung 1956 (1), 54 S., Basel 1956.

Bider, Max: Die Messung der Zahl der Kondensationskerne als Maß für die Luftverunreinigung. — Straße u. Verkehr 42(12): 530—534, Zürich 1956.

Bider, M[ax]; Schüepp, M[ax]: Die Reduktion der 200jährigen Bodentemperaturreihe. Verh. SNG Basel 1956: 87—88.

Biéler, Pierre-Louis: La météorologie au service de la sécurité aérienne. — Schweiz. techn. Zeitschr. (17): 1—4, Bern 1956.

Bleiker, F.: Wellensegelflug über dem Lägerngrat. — Schweiz. Aero-Revue 31(9): 409—412, Bern 1956.

Courvoisier, P[ierre]: Radiation Commission of International Association of Meteorology, World symposium on applied solar engergy. — Bull. inform. UGGI 5(13): 97—107, [1956].

De Coster, M.; Schüepp W[alter]. — La variation annuelle du trouble atmosphérique à Stanleyville. — Serv. mét. du Congo Belge, Publ. no. 16, 34 p., Léopoldville 1956.

Desarzens, A. & F.: Dégâts aux végétaux provoqués par le gel dans la région lausannoise. — Rev. horticole suisse 29(6): 167—169, Genève 1956.

Deshusses, Louis-A.; Duperrex, Aloys: Notes météorologiques sur l'hiver 1955—1956. — Rev. horticole suisse 29(6): 161—163, Genève 1956.

Dessauer, F.; Graffunder, W.; Laub, I.: Beobachtungen über Ionenschwankungen im Freien und in geschlossenen Räumen. — Ann. d. Met. 7(3/4): 173—185, Hamburg 1955/56.

Dessens, H.: Compte-rendu du 2e symposium sur les noyaux de condensation (Bâle et Locarno, 1—4 octobre 1956). — Clermont-Ferrand, Obs. Puy-de-Dôme: 152—156, 1956.

Drummond, A. J.: L'échelle internationale de rayonnement. — Bull. de l'OMM 5(2): 77—81, Genève 1956.

Dütsch, H[ans] U[lrich]: Das atmosphärische Ozon als Indikator für Strömungen in der Stratosphäre: I. Die photochemischen Grundlagen. — Arch. Met., Geoph., Biokl., Ser. A 9(1): 87—119, Wien 1956.

Dütsch, H[ans] U[lrich]: A daily variation of the total amount of ozone. — UGGI, AIM, Proc. verb. Ass. gén. Rome 1954, Publ. no. 10/c: 159—162, Londres 1956.

Dütsch, Hans Ulrich: Neue Wege der wissenschaftlichen und praktischen Meteorologie. — Verh. SNG Basel 1956: 195—196.

Dütsch, H[ans] U[lrich]: A revised large-scale mixing scheme and its application to the ozone problem. — UGGI, AIM, Proc. verb., Ass. gén. Rome 1954, Publ. no. 10/c: 217—220, Londres 1956.

Dütsch, Hans Ulrich: Umkehrmessungen bei bewölktem Himmel. — Verh. SNG Basel 1956: 88—89.

Dufour, A[lfred]: Effets des gels du mois de février 1956 sur les arbres et arbustes fruitiers dans le canton de Genève. — Rev. horticole suisse 29(6): 166—167, Genève 1956.

Duperrex, Aloys: s. Deshusses, Louis-A.

Effenberger, Ernst; Linder, Arthur: Die Anwendung moderner Methoden der mathematischen Statistik zur Bearbeitung von Meßreihen über den Verunreinigungsgrad der Luft. — Ann. d. Met. 7(7/9): 342—352, Hamburg 1955/56.

Einiges über die meteorologischen Auswirkungen der Atombombenexplosion über einen längeren Zeitraum. — Schweiz. Rotes Kreuz 65(6): 24—25, Bern 1956.

Ferreira, A. J.: La différence de pression constante comme critère de l'étagement des avions. — Interavia 11(7): 546, Genève 1956.

Gerbier, N.: Conditions favorables aux vols thermiques en fonction de la structure des masses d'air. — Schweiz. Aero-Revue 31(3): 97—104, Bern 1956.

Gockel, P[aula]: Das meteorologische Jahr 1956. — Bull. Soc. Frib. Sc. Nat. 46: 141—143, Fribourg 1957.

Graffunder, W.: s. Dessauer, F.

Güller, A[lfred]: Die Nullgradgrenze als klimatologischer Wert. — Leben und Umwelt 12(5): 97—106, Aarau 1956.

Guyot, Edmond: La climatologie et les cultures. — Meteorologica, Publ. Met. Inst. Univ. Thessaloniki No. 5, 21 p., 1956.

Haefeli, R[obert]: Gletscherschwankung und Gletscherbewegung. — Mitt. Versuchsanstalt f. Wasserbau u. Erdbau an der ETH, Nr. 40, 16 S., Zürich 1956.

Häfelin, J[ohann]; Lotmar, R[uth]: Über den Einfluß der Witterung auf die Hautpermeabilität. — Verh. SNG Basel 1956: 95—96.

Häfelin, Johann: s. auch Lotmar, Ruth.

Haenni & Cie: Qui a détruit l'hygromètre? — Nouvelles de Haenni no. 56, 2 p., Jegenstorf (ct. de Berne) 1956.

Haenni & Cie: La station météorologique. — Nouvelles de Haenni no. 61, 2 p., Jegenstorf (ct. Berne) 1956.

Hirt, Walter: Frostschutzberegnung in der Schweiz. — Schweiz. Zeitschr. f. Obst- u. Weinbau 65(19): 425—429, Bern 1956.

Horisberger, Pierre: La trombe du 28 juin 1954 sur le lac de Morat. — Bull. Soc. Neuchâtel. Sc. Nat. 79: 43—46, Neuchâtel 1956.

Janizki, W[enzeslaus]: Witterungsbeeinflussung durch moderne Technik. — Schweiz. techn. Zeitschr. 53(3): 45—56, Bern 1956.

Jenny, J[ean]: La protection des végétaux contre le gel printanier: chauffage et arrosage. — Extr. de «Tracteur» 18(3): 7—16, 1956, Publ. no. 498 des Stations féd. d'essais agricoles, Lausanne.

Jenny, J[ean]: La température des végétaux en relation avec la lutte contre le gel et les traitements antiparasitaires. — Terre vaudoise no. 42, Lausanne 1956.

Kasser, P[eter]: Sur l'indice d'évaporation du bassin du versant alpin de Mattmark. — Publ. no. 40 de l'Assoc. internat. d'hydrologie (UGGI), Symposia Darcy (Dijon 1956): 15—17.

Kaufmann, Paul: Die Ausbreitung des Industrierauches in der untersten Atmosphäre. — Schweiz. Bauzeitung 74(52): 795 bis 799, Zürich 1956.

Kaufmann, Paul: Klimatologie im Lichte neuerer Lehrbücher. — Geogr. Helv. 11 (2): 133—136, Bern 1956.

Kobel, F[ritz]: Die Winterfrostschäden im schweizerischen Obstbau. — Schweiz. Zeitschr. f. Obst- u. Weinbau 65(12): 247 bis 250, Bern 1956.
Küttner, Joachim: 13 000 Meter — Die Höhenflüge des kalifornischen Forschungsprojektes von 1955. — Schweizer Aero-Revue 31(6): 242—244, 261—262, Bern 1956.
Kuhn, Walter: Der Firnzuwachs pro 1955/56 in einigen schweizerischen Firngebieten. XLIII. Bericht. — Vierteljahresschr. NG Zürich 101: 212—219, Zürich 1956.
L[anglo], K.: Atmosphère internationale à Payerne. — Bulletin de l'OMM 5(3): 112—114, Genève 1956.
L[anglo], K.: Colloque sur l'ozone atmosphérique. — Bull. de l'OMM 5(4): 170—172, Genève 1956.
Lanser, Otto: Schneemengenmessung in Österreich. — Schweiz. Bauzeitung 73(34): 517—519, Zürich 1956.
Laub, I.: s. Dessauer, F.
Ligda, Myron G. H.: The radar observation of mature prefrontal squall lines. — Schweiz. Aero-Revue 31(11/12): 557—559, Bern 1956.
Linder, Arthur: s. Effenberger, Ernst.
Lotmar, Ruth; Häfelin, Johann: Über die Abhängigkeit der Hautpermeabilität von der Witterung. — Arch. Met., Geoph., Biokl., Ser. B 7(2): 286—296, Wien 1956.
Lugeon, A[ndré]: Arbres fruitiers et dégâts causés par le gel de février 1956. — Rev. horticole suisse 29(6): 164—165, Genève 1956.
Lugeon, Jean: Comparaison mondiale des radiosondes. — Bulletin de l'OMM 5(4): 166—168, Genève 1956.
Lugeon, Jean: La comparaison mondiale des radiosondes, Payerne, mai/juin 1956. — Verh. SNG Basel 1956: 90—91.
Lugeon, Jean: Gustave Swoboda, 1893—1956. — Verh. SNG Basel 1956: 395—398.
Lugeon, Jean: Mesures du gradient de potentiel électrique en ballon libre et effets secondaires sur la propagation dans la bande des 400 Mc. — Colloque propagation, Paris, sept. 1956.
Lugeon, Jean: Mesures du gradient de potentiel électrique et de la conductibilité de l'air par radiosonde. Verh. SNG, Basel 1956: 91—92.
Maletzke, R.: Konvektion über dem Ozean. — Schweizer Aero-Revue 31(2): 51—53, Bern 1956.
Mariétan, I[gnace]: Les conséquences des précipitations atmosphériques de janvier-février 1955, en Valais. — Almanach du Valais 56: 125—128, Sion 1956.
Michelet, Henri: Eléments de météorologie: De la pluie au beau temps. — Almanach du Valais 56: 115—122, Sion 1956.
Mörikofer, Walter: Gesichtspunkte zur Klassifikation der Klimakurorte. — Annalen Schweiz. Ges. f. Balneologie u. Klimatologie 44/45: 45—64, Genève 1956.
Naegeli, W[erner]: Le problème de la protection contre les vents, son application en Israël. — La-Yaaran 6(1—2): 5—15, Ilanoth 1956.
Nagel, E[rich]: Die Sonnenscheinverhältnisse der Schweiz. — Annalen Schweiz. Ges. f. Balneologie u. Klimatologie 44/45: 27—35, Genève 1956.
Nietlispach, Hans: Die schweizerischen Langstreckenrouten für den Segelflug. — Schweiz. Aero-Revue 31(1): 10—16, 31(2): 55—63, 31(3): 91—92, Bern 1956.
Organisation météorologique mondiale, OMM: Album international des nuages pour les observateurs en aéronef; 32 pl. — Genève, OMM 1956.
Organisation météorologique mondiale: Année géophysique internationale 1957—1958. Programme météorologique, Rapport d'ensemble. — OMM — No. 55. AGI. 1, 118 p., Genève, Secrétariat de l'OMM, 1956.
Organisation météorologique mondiale, OMM: Année géophysique internationale 1957/58. Préparatifs en vue du programme météorologique. — Bulletin de l'OMM 5(4): 147—150, Genève 1956.
Organisation météorologique mondiale, OMM: Atlas international des nuages. Vol. I, Texte, 165 p.; vol. II, Planches, 224 pl. — Genève, OMM 1956.
Organisation météorologique mondiale, OMM: Atlas international des nuages, Atlas abrégé; 68 p., 72 pl. — Genève, OMM 1956.
Organisation météorologique mondiale, OMM: Radar et météorologie. — Bulletin de l'OMM 5(4): 168—169, Genève 1956.
Organisation météorologique mondiale, OMM: Repérage d'atmosphériques au Soudan: — Bull. de l'OMM 5(4): 175—177, Genève 1956.
P[eyer], E[rnst]: Aussprache über die Hagelforschung und die Hagelbekämpfung. — Schweiz. Zeitschr. f. Obst- u. Weinbau 65(2): 39, Bern 1956.
Peyer, E[rnst]: Die Frostberegnungsanlage «Mühleweg» bewährte sich. — Schweiz. Zeitschr. f. Obst- u. Weinbau 65(22): 516—518, Bern 1956.
Peyer, E[rnst]: Die Frostschäden in den Reben der Ostschweiz. — Schweiz. Zeitschr. f. Obst- u. Weinbau 65(6): 139–141, Bern 1956.
Peyer, E[rnst]: Der Umfang der Winterfrostschäden 1956 im schweizerischen Rebbau. — Schweiz. Zeitschr. f. Obst- und Weinbau 65(24): 537—540, Bern 1956.
Primault, Bernard: Aperçu du climat de La Chaux-de-Fonds d'après les relevés des années 1901—1950. — L'Impartial, nos. des 13 et 24 oct., 7, 13, 19 nov., 3, 10 et 18 déc. 1956, 5 et 11 janv. 1957, La Chaux-de-Fonds 1956/57.
Primault, Bernard: Des critères d'acclimatation du bétail en zone subtropicale. — Misc. geofis., publ. pelo Serviço meteorològico de Angola em comemoração do X aniversario do serviço meteorològico nacional: 13—24, Luanda 1956.
Primault, B[ernard]: De l'évapotranspiration en Suisse romande. — Sillon romand 59(29 et 30): 3 p., Lausanne 20 et 27 juillet 1956.
Primault, Bernard: Une surprise désagréable. — Alpe, neige, roc, no. 11: 83—84, Lausanne 1956.
Primault, Bernard: Wo die Wolken und Winde entstehen. — Berg, Schnee, Fels (3): 51—58, Lausanne 1956.
Quervain, M. de: Snow classification of the International Association of Scientific Hydrology and classification of solid Hydrometeors of the International Cloud Atlas of the WMO. — UGGI, News lett. 5: 569—574, 1956.
Die Radiosonde Thommen-Hasler. — Hasler-Mitt. 15(3): 49—51, Bern 1956.
Reitsch, Hanna: Observations during a soaring flight along a squall line. — Schweiz. Aero-Revue 31(10): 496—499, Bern 1956.
Renaud, A[ndré]: Les variations des glaciers suisses 1955. — Die Alpen 32(8): 193—199, Bern 1956.
Rieker, Jean: Der Blitzzähler. — Leben und Umwelt 13: 41—43, Aarau 1956.
Sänger, Raymund: Empfindlichkeit eisbildender Impfstoffe auf ihre Wasserlöslichkeit. — ZAMP 7(6): 538—540, Basel 1956.
Sänger, Raymund: On the structure of ice-forming nuclei. ZAMP 7(3): 213—218, Basel 1956.
Sanuki, M.: Stations pluviométriques automatiques au Japon. — Bull. de l'OMM 5(3): 119—121, Genève 1956.
Schellenberg, A[lfred]: Das schlechte Weinjahr 1956 im Kanton Zürich. — Zürcher Bauer Nr. 100, 4 S., Zürich 1956.
Schneider, Raymond: Etude d'un cas de forte turbulence dans la région du Jura, le 14 septembre 1955. — Schweizer Aero-Revue 31(5): 180—182, Bern 1956.
Schüepp, Max: Die Nebelverhältnisse im schweizerischen Voralpengebiet. — Annalen Schweiz. Ges. f. Balneologie u. Klimatologie 44/45: 37—44, Genève 1956.
Schüepp, Max: s. auch Bider, Max.
Schüepp, Max: s. auch Schweiz. Meteorologische Zentralanstalt, Meteorologische Monatsberichte.
Schüepp, W[alter]: s. De Coster.
Senti, A[nton]; Waidele, Marie: Die Witterung in der Gegend von Rheinfelden. — Rheinfelder Neujahrsblätter 1957: 43—51, [Rheinfelden 1956].
Siedek, P.: Praktische Erfahrungen in der Frostforschung in Deutschland. — Straße u. Verkehr 42(7): 307—314, Solothurn 1956.
Staehelin, M.: L'hiver 1955—56, ses douloureuses conséquences pour les cultures de Suisse romande. — Rev. rom. agric. 12: 93—96, Lausanne 1956.
St[amm], W[erner]: Frostberegnungsanlage im Rebbau. — Schweiz. Zeitschr. f. Obst- u. Weinbau 65(9): 202, Bern 1956.
Thams, J[ohann] C[hristian]: Die Globalstrahlung eines Südhanges von 25° Neigung. — Arch. Met., Geoph., Biokl., Ser. B 7(2): 190—196, Wien 1956.
Thams, J[ohann] C[hristian]: Staub in der Atmosphäre. — Schweiz. Rote Kreuz 65(5): 5—8, Bern 1956.
Union maraîchère suisse: Les dégâts causés par le froid aux cultures maraîchères. — Rev. horticole suisse 29(6): 173, Genève 1956.
Urfer, Alfred: Sur les changements du gradient vertical de température dans le brouillard de rayonnement. — Geofis. pura e appl. 34: 231—245, Milan 1956.
Uttinger, Heinrich: Über ein bei gleitenden Mittelwerten auftretendes Paradoxon. — Verh. SNG, Basel 1956: 97—98.
Vom Wetter in Luzern (Nach Wetterberichten von X. Arnet). — Christl. Hauskalender 122: 60—62 (1955), 123: 53—55, Luzern (1956).
Wäckerlin, O. [et al.]: Die Winterfrostschäden an den Reben in der Ostschweiz. — Schweiz. Zeitschr. f. Obst- u. Weinbau 65(12): 250—256, Bern 1956.

Waidele, Marie: s. Senti, A[nton].
Wehrlé, Philippe: L'univers aléatoire. Livre III: «L'atmosphère, source du Weltbild aléatoire», pp. 255—330. — Neuchâtel 1956.
Wieland, Walter: Die Wasserdampfkondensation an natürlichem Aerosol bei geringen Übersättigungen. — ZAMP 7(5): 428—460, Basel 1956.
Wild, R.: Der Einstandortpeiler, ein Gerät zur Standortbestimmung von Radiosonden. — Hasler Mitt. 15(3): 52—58, Bern 1956.
Zingg, Th[eodor]: Die Schneeverhältnisse der Alpenstraßen. — — Verh. SNG, Basel 1956: 93—95.
Zingg, Th[eodor]: Meteorologie. — Winterbericht des Eidg. Institutes f. Schnee- und Lawinenforschung (19): 5—27, Davos-Platz 1956.
Züllig, Hans: Der Niederschlags-Intensitätsschreiber, ein Meßgerät im Dienste des Abwasserwesens. — Schweiz. Bauzeitung 74(48), 3 S., Zürich 1956.

Nachträge aus früheren Jahren

Berger, E.; Racine, L.: Les grands hivers en Suisse et en Savoie. — Bull. d'études climatologiques, Département de la Haute-Savoie: 29—32, 1954.
Guyot, Edmond: L'année géophysique internationale. — Annales Guébhard-Séverine 30: 143—160, Neuchâtel 1954.
Jutzi, W[erner]: Beitrag zur Kenntnis der elektrischen Eigenschaften grobkolloider Aerosole. — Prom.-Arb., Nr. 2320, Eidg. Technische Hochschule, 57 S., Zürich 1954.
Kasser, P[eter]: La répartition des précipitations des deux côtés d'une arête. — UGGI, Assoc. Internat. Hydrol. Sc., Ass. gén., Rome 1954, vol. I: 287—291.
Kasser, P[eter]: Sur le bilan hydrologique des bassins glaciaires avec application au Grand Glacier d'Aletsch. Assoc. Internat. Hydrol. Sc., Ass. gén., Rome [1954], Publ. No. 39: 331—350.
Kasser, P[eter]: Un totalisateur à cardan placé sur un glacier. — UGGI, Assoc. Internat. Hydrol. Sc., Ass. gen., Rome 1954, vol. I: 309—311.
K[uster] J[akob]: Windschutz durch Bäume und Sträucher. St. Galler Bauer 40: 469—475, 494—499, 531—536, Flawil 1953.
Mercanton, P[aul] L[ouis]: Aires englaciées et altitude des fronts des glaciers des Alpes suisses et leurs variations d'après l'Atlas Siegfried (1877) et la carte nationale (1932). — UGGI, Assoc. Internat. Hydrol. Sc., Ass. gén., Rome 1954, vol. IV: 491—492.
Mercanton, P[aul] L[ouis]: Rapport sur les variations de longueur des glaciers d'Europe en 1950/51; 1951/52; 1952/53. — UGGI, Assoc. Internat. Hydrol. Sc., Ass. gén., Rome 1954, vol. IV: 478—490.
Migeotte, M.; Neven, L.: Recents progrès dans l'observation du spectre infra-rouge du soleil à la station scientifique du Jungfraujoch, Suisse. — Soc. R. d. Sc. de Liége, Mem., sér. 4(12): 165—178, 1952.
Pohl, M.: Die Lehren aus der Frostkatastrophe 1953. — Landwirt 24. V. u. 7. VI. 1953, Sursee.
Probst, Oskar: Über die Beziehungen zwischen Mikroschwankungen des atmosphärischen Luftdruckes und der mikroseismischen Bodenunruhe. — Diss. Univ. Fribourg, 45 S., 1953.
Quervain, Marcel de: Zur Wärmeleitung von Schnee. — UGGI, Assoc. Internat. Hydrol. Sc., Ass. gén., Rome 1954, vol. IV: 26—32.
Ramser, E[rnst]: Auswirkung der Meliorationen auf Klima, Niederschläge und Nebelbildung. — Die Melioration der Linthebene, 9. Ber. Eidg. Meliorationskommission: 40—44, Lachen 1952.
Zingg, Th[eodor]: Die Bestimmungen der Schneehöhenverteilung auf photogrammetrischem Wege. — UGGI, Assoc. Internat. Hydrol. Sc., Ass. gén., Rome 1954, vol. IV: 33—37.

Eidgenössische Meteorologische Kommission 1956

Prof. Dr. Ch. Borel, Gymnasium, La Chaux-de-Fonds, Präsident

Prof. Dr. h. c. A. Kreis, Chur, Vizepräsident

Prof. Dr. Fr. Gaßmann, ETH, Zürich

Dr. Gottfried von Meiß, Zürich

Dr. Max Bider, Astronomisch-Meteorologische Anstalt, Basel

Prof. Dr. S. Bays, Universität, Fribourg

Prof. Dr. Max Schürer, Universität, Bern

Tägliche Beobachtungen

der Stationen:

Bern, Neuchâtel, Altdorf, Genève, Zürich, Chasseron, Bever, Sion, Lugano, Basel, Säntis und St. Gotthard

im Jahre 1956

Für die Bezeichnung der Hydrometeore und anderer Phänomene werden folgende international vereinbarte Symbole (Wien 1873, Warschau 1935) verwendet:

● = Regen	⚡ = Gewitter	⚡ = starker Wind
❩ = Nebelregen	⚡ = Wetterleuchten	⚡ = Sturm
✳ = Schnee	T = Donner	⦶ = Sonnenhof
← = Eisnadeln	≡ = Nebel	Ψ = Mondhof
∇̇ = Regenschauer	⌓ = Tau	⊕ = Sonnenring (Halo)
∇̈ = Schneeschauer	⊔ = Reif	Ψ = Mondring (Halo)
∇̈ = Regen- und Schneeschauer	V = Rauhreif	⌒ = Regenbogen
△ = Graupeln, Riesel	∾ = Glatteis	⌂ = Nordlicht
▲ = Hagel	⇸ = Schneetreiben	⊠ = Schneedecke

Das Zeichen * kennzeichnet interpolierte Daten. Die Windstärken sind in der sechsteiligen (halben) Beaufortskala ausgedrückt. Die Tages- und Monatsmittel der Temperatur werden in diesem Abschnitt aus den drei Terminbeobachtungen nach der Formel $M = {}^1/_3\ (7.30 + 13.30 + 21.30)$ berechnet. Im Abschnitt der Monats- und Jahresübersichten wird dagegen die Formel $M = {}^1/_4\ (7.30 + 13.30 + 2 \cdot 21.30)$ verwendet.

In der Spalte «Witterung» bedeuten die Abkürzungen: fl = Flocken, tr = Tropfen. Gewitter werden mit dem Symbol ⚡ oder, wenn vom Beobachter ausdrücklich als Ferngewitter gemeldet, mit (⚡) ohne jede Zeitangabe bezeichnet. Die näheren Angaben sind den «Ergänzenden Witterungsnotizen» auf Seite 73 ff zu entnehmen. Das Gleiche gilt auch für die Symbole Donner T und Ferndonner (T).

Die Intensität der einzelnen Erscheinungen wird durch eine dem Symbol als Exponent beigefügte ^{0} als schwach und ^{2} als stark bezeichnet. Das Zeichen ⊠ bedeutet, daß mehr als die Hälfte der Bodenfläche in der Umgebung der Station an dem betreffenden Tage mit Schnee bedeckt war.

Alle Zeitangaben beziehen sich auf *mitteleuropäische Zeit. Vom Jahrgang 1918 an ist die 24-Stundenzählung* durchgeführt. Außerdem werden folgende Abkürzungen verwendet: a (ante meridiem) = vormittags, p (post meridiem) = nachmittags, n = nachts, fr = früh, mtg = mittags, abd = abends, ztw = zeitweise, mU = mit Unterbrechungen. Die römischen Ziffern geben an, daß das betreffende Phänomen um die Zeit des ersten (I), bzw. zweiten (II) oder dritten (III) Beobachtungstermins beobachtet worden ist, die arabischen Zahlen bedeuten die bürgerlichen Zeitstunden.

λ bezeichnet die geographische Länge in Graden von Greenwich, β die geographische Breite, H_b die Höhe des Stationsbarometers über dem Meer in Metern, H die Höhe der Station (des Regenmessers) über der Meeresfläche, G ist die Korrektion, welche an den Luftdruckdaten für deren Reduktion auf die Normalschwere (Konventioneller Standardwert $g_0 = 980{,}665$ cm/sec^2) noch anzubringen ist, h_r die Höhe des oberen Randes des Regenmessers über dem Erdboden. Die Stationen, bei denen die Höhe (des Barometergefäßes) bis auf den Dezimeter angegeben ist, sind an das schweizerische Präzisionsnivellement angeschlossen. Alle Höhen sind auf Pierre du Niton 373.6 m (neuer Wert) bezogen.

Die den Schwerekorrektionen zugrundeliegenden Schwerewerte sind für die einzelnen meteorologischen Stationen aus den Schwerebestimmungen von Th. Niethammer (Astronomisch-geodätische Arbeiten in der Schweiz, Bände 12, 13, 15 und 16) abgeleitet worden. (Vgl. Vorwort.)

Auf dem Chasseron erfolgten die Abendbeobachtungen um 20.30 Uhr.

ERRATA

1954

Seite 11 *Basel:* Luftdruck am 20. 21^{30} 735.3 (nicht 725.3)

1955

Seite 112 *Sion:* Temperatur November 13^{30} 7.1 (nicht 1.1)

Seite 141 Thermomètre à minima, janvier, minimum –5.8 am 19. (nicht –4.6 am 3. 5.)

Seite 6/39 Température, Zeilen «Année»: Die zweite Hälfte in der Tabelle 03.00 h HEC (8—14 km) und die erste Hälfte in der Tabelle 15.00 h HEC (1—7 km) sind auszutauschen

1956

Seite 10 *Sion:* Temperatur, Monatsmittel 13^{30} –2.3 (nicht –2.4)

Seite 21 *Zürich:* Luftdruck am 5. 21^{30} 699.0 (nicht 799.0)

Seite 1—72 *Basel:* Die Schwerekorrektion G = 0.08 (nicht –0.08)

Seite 98 *Altdorf II:* H_b = 450.7, G = –0.08

Göschenen: H_b = 1124.6, G = –0.19

St. Gotthard: G = –0.27

Basel: G = 0.08

Basel: Temperatur, Dezember Maximum 11.1 am 15. (nicht 10.7 am 13.)

Seite 5/2 *Zürich:* Bodentemperaturen, 20 cm Tiefe. Alle Werte sind um 0.2° zu erhöhen. Dieselbe Korrektur ist in den Jahrgängen 1952 bis 1955 (jeweils Anhang Nr. 7) an den Temperaturen in 20 cm Tiefe noch anzubringen.

$\lambda = 7° 26'$, $\beta = 46° 57'$,
$H_b = 572.2$ m, $G = -0.04$ mm

Bern

Januar 1956
Beobachter: *Meteorologisches Observatorium*

Tag	Lufttemperatur 7³⁰	13³⁰	21³⁰	Mittel	Abweich. vom Normalst	Luftdruck 7³⁰	13³⁰	21³⁰	Relative Feuchtigkeit 7³⁰	13³⁰	21³⁰	Windrichtung und Stärke 7³⁰	13³⁰	21³⁰	Bewölkung 7³⁰	13³⁰	21³⁰	Niederschlag	Witterung
1	-0.9	2.2	0.1	0.5	2.1	713.8	711.0	703.8	89	71	98	SE 0	WSW 1	SW 0	10	9	10*	5.9	✳ 20-24 ⊠
2	0.2	1.4	0.5	0.7	2.3	703.0	706.0	710.6	99	97	100	SE 0	SW 0	N 1	10	10	10≡	0.3	✳ 0-1½, 10¼-11¾, ≡ 17¼-22¼ ⊠
3	1.6	1.5	0.7	1.3	2.9	714.3	716.5	719.5	94	95	91	NE 2	NNE 1	NNE 2	9	10	9	.	⚲ 2-3 mU ⊠
4	-0.6	0.8	-0.5	-0.1	1.6	720.4	719.7	720.1	91	80	83	NNE 1	NE 1	NNE 1	10	9	8	.	⊠
5	-1.4	-0.1	-0.9	-0.8	0.9	719.2	718.1	717.0	90	82	92	NE 0	NE 0	ESE 1	10	7	8	.	⊠
6	-0.2	1.5	1.6	1.0	2.7	713.8	713.0	712.5	92	91	83	E 1	NE 1	E 1	10	10	10	.	
7	-1.0	0.4	-1.2	-0.6	1.2	711.4	710.3	708.5	83	83	83	NNE 1	NNE 1	NNE 0	10	9	10	.	
8	-1.3	-0.5	-1.3	-1.0	0.8	705.5	702.3	699.4	82	81	84	SE 0	SW 0	S 0	10	10	10	0.0	✳ 18¼-20¼ mU
9	-2.6	0.8	-1.0	-0.9	0.9	697.9	697.8	699.8	83	82	96	E 0	WSW 1	SE 0	4	9	10*	5.0	✳ 0¼-2¼, 17½-24 ⊠
10	-2.4	0.7	-2.6	-1.4	0.4	700.1	699.5	700.0	97	78	94	SSE 0	SE 0	SE 0	10*	9	6	2.0	✳ 0-2½, 6¼-10¼, 23¼-23¾, ⌣ III ⊠
11	-1.5	5.1	0.8	1.5	0.3	704.1	706.5	708.0	96	78	98	SE 0	NE 0	W 0	7	9●	1	0.2	✳ 1-2, 4-5½, ● 13-16½ mU ⊠
12	-0.2	4.0	5.4	3.1	4.9	707.3	706.8	708.4	98	73	69	N 0	SW 1	SE 0	10	10	10	4.2	● 22-24 ⊠
13	3.4	3.4	1.0	2.6	4.4	710.3	710.5	711.7	98	95	98	SE 0	N 0	E 1	10●	10●	8	9.3	● 0-20½
14	0.5	1.9	1.1	1.2	3.0	711.4	710.7	711.2	100	93	98	NE 0	W 0	S 0	10≡	10	10	.	≡ 2-8½
15	0.0	5.3	3.3	2.9	4.7	709.3	709.9	711.4	100	91	96	SE 1	SW 1	SE 0	10	10●	10●	7.8	● 11½-21½
16	3.5	7.1	3.9	4.8	6.6	712.9	713.3	713.8	96	80	99	SE 0	S 0	N 0	9	9	10	.	≡ 23-24, △ III
17	1.2	3.7	4.2	3.0	4.7	713.0	711.6	708.5	98	74	83	SE 1	E 0	SE 0	10	4	10	6.9	● 23¼-24, ≡ 0-1½, 8-11, △ I
18	3.4	6.6	6.9	5.6	7.3	704.1	703.5	705.2	98	94	77	S 0	SE 0	WSW 0	10●	10●	9	7.2	● 0-15½, 22¼-24
19	3.4	4.3	0.1	2.6	4.3	708.5	709.5	712.2	85	78	94	S 0	NE 0	N 0	8	4	0	.	
20	-2.0	0.0	-2.4	-1.5	0.1	713.5	713.0	712.6	100	94	100	NE 0	NE 0	SW 0	10≡	7	10≡	.	≡ 2-11¾, 16¼-24, ⌣ III
21	-3.4	4.6	1.0	0.7	2.3	712.8	713.6	714.0	97	60	92	SE 0	SE 0	SE 0	6	9	6	.	≡ 0-5, ⌣ I
22	-1.8	6.6	2.8	2.5	4.1	712.8	713.3	714.7	96	55	71	S 0	WSW 2	SSW 1	3	7	0	.	⌣ I
23	-2.3	4.3	1.6	1.2	2.7	713.4	711.2	708.8	85	76	74	SE 0	SW 0	SE 0	2	2	7	3.8	
24	3.1	4.6	1.2	3.0	4.5	707.6	710.0	712.1	93	76	74	WSW 1	WSW 2	SW 1	10●	9	7	0.5	● 3¾-13¼
25	0.1	0.0	-1.6	-0.5	0.9	713.0	714.7	716.1	74	79	94	SW 1	NW 1	E 0	9	10	3	0.3	✳ 8½-9¼, 10¾-16 mU
26	-4.1	-1.7	-0.2	-2.0	-0.6	715.7	715.1	713.9	94	91	97	SW 0	SSE 0	SE 0	10	10*	10●	24.1	✳ 11-14½, ⚲ 14½-19½, ● 19½-24, ⊠
27	5.7	7.4	5.2	6.1	7.4	712.2	713.4	715.4	94	71	89	WNW 1	SW 2	WSW 1	10●	9●	10●	4.3	● 0-9¼, 13-24 [⌣ I
28	2.1	2.9	2.4	2.5	3.8	717.4	718.5	718.2	99	92	91	NE 0	NE 0	SW 0	9	10	10	2.3	● 0-0¾, ≡ 6¼-7
29	0.5	1.7	2.5	1.6	2.8	716.3	715.7	712.7	99	97	98	SE 0	SE 0	SE 0	10*●	10●	10●	12.2	● 3¾-6, 11-17½, 21-24, ✳ ● 6-11
30	5.2	7.1	0.9	4.4	5.5	712.3	711.8	708.5	74	64	90	SW 2	SW 2	NE 0	10●	9	1	0.0	● 0-8 mU
31	-0.7	-1.7	-8.0	-3.5	-2.4	702.9	701.1	701.6	100	96	83	N 0	NE 2	NNE 2	10≡	10	10	.	✳ 19-21 mU, 23½-24, ≡ 6½-11½, [⌣ I
Mittel	0.2	2.8	0.9	1.3	—	710.6	710.6	710.6	93	82	89				8.9	8.7	7.8	Summe 96.3	

$\lambda = 6° 57'$, $\beta = 47° 00'$,
$H_b = 487.3$ m, $G = 0.00$ mm

Neuchâtel

Januar 1956
Beobachter: *Observatorium*

Tag	Lufttemperatur 7³⁰	13³⁰	21³⁰	Mittel	Abweich. vom Normalst	Luftdruck 7³⁰	13³⁰	21³⁰	Relative Feuchtigkeit 7³⁰	13³⁰	21³⁰	Windrichtung und Stärke 7³⁰	13³⁰	21³⁰	Bewölkung 7³⁰	13³⁰	21³⁰	Niederschlag	Witterung
1	1.6	3.4	0.4	1.8	2.3	721.3	718.9	711.7	79	63	96	W 1	SW 3	SW 3	9	10	10*	8.8	● ✳ 17½-24, ⚲ a-n
2	1.9	3.2	1.0	2.0	2.5	710.1	713.6	718.1	94	94	93	W 1	S 0	E 0	9	10	1	.	✳ 0-1 ⊠
3	2.6	3.1	1.8	2.5	3.1	722.1	724.4	727.3	89	82	77	NE 1	NE 2	NE 2	10	10	10	.	
4	0.6	1.8	0.1	0.8	1.4	728.5	727.7	728.1	79	73	79	NE 2	NE 3	NE 2	10	8	9	.	⚲ a-p
5	-1.1	3.1	3.2	1.7	2.3	727.3	726.0	725.7	81	67	81	NE 2	E 1	NE 3	1	9	10	.	⚲ p-n
6	2.3	3.1	3.0	2.8	3.5	721.5	720.8	720.4	83	83	79	NE 3	NE 3	NE 3	10	10	10	.	⚲ n-n
7	0.6	1.7	0.2	0.8	1.5	719.4	718.4	716.4	69	71	75	NE 2	NE 2	NE 0	10	9	10	.	
8	-1.0	1.1	-0.6	-0.2	0.5	712.6	709.3	706.5	70	63	85	NW 0	SW 2	W 1	8	10	9	0.6	✳ 16¾-21½ mU
9	-0.6	0.3	-0.7	-0.3	0.4	704.7	704.6	707.3	89	92	91	N 0	NE 0	SW 1	10	10*	10*	3.9	✳ 2½-3, 11¾-21½ ⊠
10	-1.2	0.0	0.6	-0.2	0.5	707.1	706.5	707.2	98	93	93	SW 0	S 0	SW 1	10*	10	10	3.8	✳ 2¼-7¾, ● 22½-24 ⊠
11	4.6	6.0	4.9	5.2	5.9	711.2	714.3	715.4	81	82	78	SW 3	SW 4	SW 1	10	10●	0	0.5	● 0-1¼, 7½-8¾, 13¾-14¼, ⚲ n-p, ⚲ I
12	0.8	4.0	8.3	4.4	5.1	714.7	714.0	715.7	96	86	71	N 0	NE 0	W 1	8	10	10	6.9	● 20¼-21¼, 22¾-24, ≡ 7¾-9 mU
13	4.0	3.7	2.6	3.4	4.1	717.9	718.5	719.6	95	95	95	NW 0	N 0	N 0	10●	10●	10	11.2	● 0-1, 3-20¼
14	1.9	1.7	3.1	2.2	2.9	719.3	718.6	718.7	95	96	93	NE 0	NE 0	SW 0	10	10≡	10	0.2	⚥ 12, ≡ a-p mU
15	3.0	5.2	4.7	4.3	4.9	716.7	717.6	719.0	95	97	93	NE 0	SW 1	W 1	10≡	10●	8	3.3	● 11-15, ⚥ 17, 20, ≡ n-10
16	4.4	7.8	4.8	5.7	6.3	720.5	720.9	721.5	90	83	91	W 0	SE 0	E 0	6	3	10	.	
17	3.5	5.7	4.7	4.6	5.2	720.6	719.5	716.3	93	84	92	S 0	SE 1	S 0	10	7	10	8.2	●tr 19¾-n mU
18	4.8	6.8	7.2	6.3	6.9	711.6	710.9	712.8	97	96	75	SW 1	SW 2	W 1	10●	10●	10●	6.2	● 0¼-14½, 21 -22
19	3.4	7.5	1.0	4.0	4.5	716.0	717.3	719.6	68	69	83	N 0	SE 1	N 0	9	7	0	.	
20	-1.6	-0.6	-0.5	-0.9	-0.4	721.5	721.2	720.4	96	94	94	N 0	N 0	NW 0	10≡	10≡	10	.	≡ n-p, ⌣ I
21	0.9	6.0	3.3	3.4	3.9	720.3	721.4	721.8	80	68	61	W 1	SW 2	W 1	5	9	6	.	
22	2.8	9.4	4.6	5.6	6.0	720.4	721.0	722.4	51	48	69	SW 2	SW 3	SW 2	1	3	0	.	⚲ a-p
23	-1.1	5.4	5.8	3.4	3.8	721.1	719.1	716.5	91	57	50	W 0	W 2	SW 2	0	1	9	4.9	
24	4.1	5.1	1.0	3.4	3.7	715.3	717.9	719.8	87	58	58	SW 4	W 3	SW 0	10●	9	1	0.3	● 3¼-8¼, ⚲ n-p, ⚲ I
25	1.6	1.8	-1.2	0.7	1.0	720.9	722.4	723.9	67	68	64	SW 2	NW 2	NE 0	10	9	1	0.7	✳ 8¼-12¼ mU
26	-2.8	-1.0	3.5	-0.1	0.1	723.6	723.1	722.0	87	94	95	NE 0	NW 0	NW 2	10	10*	10●	24.4	✳ 10¾-14, ● 14-24
27	5.2	7.2	5.5	6.0	6.2	720.0	721.0	723.3	89	77	87	SW 2	SW 2	W 1	10●	9	10	3.2	● 0-8¾, 15-15¼, 17-18, [20½-21
28	2.2	4.0	3.2	3.1	3.2	725.2	726.3	725.9	91	83	83	NE 2	E 0	NW 1	1	10	10	6.0	
29	1.4	4.5	4.9	3.6	3.7	723.9	723.3	720.7	95	97	92	W 1	SW 1	SW 1	10●*	10●	10●	10.1	● ✳ 3¼-8, ● 8-15, 19¾-24
30	5.7	6.2	1.5	4.5	4.5	720.1	719.5	715.9	72	74	85	W 2	SW 2	W 0	9●	9	0	0.2	● 0-3¾, 7½-10¼
31	1.6	0.3	-5.4	-1.2	-1.2	709.9	707.8	709.3	94	88	81	NE 1	NE 2	NE 3	10	10	10	0.1	✳ 18½-20, ⚲ p-n
Mittel	1.8	3.8	2.5	2.7	—	718.2	718.2	718.4	85	80	82				8.3	8.8	7.5	Summe 103.5	

Januar 1956
Beobachter: *Frl. H. Nager*

Altdorf

$\lambda = 8° 38'$, $\beta = 46° 53'$,
$H_b = 456.3$ m, $G = -0.08$ mm

Tag	Lufttemperatur 7³⁰	13³⁰	21³⁰	Mittel	Abweich. vom Normalst	Luftdruck 7³⁰	13³⁰	21³⁰	Relative Feuchtigkeit 7³⁰	13³⁰	21³⁰	Windrichtung und Stärke 7³⁰	13³⁰	21³⁰	Bewölkung 7³⁰	13³⁰	21³⁰	Niederschlag	Witterung
1	0.8	2.8	2.1	1.9	1.7	724.1	721.0	713.3	90	83	80	E 0	E 0	NW 0	10	8	10	6.6	✳ 9-p mU ⊠
2	1.7	3.8	2.1	2.5	2.3	712.7	716.0	720.6	96	94	96	W 0	W 0	NW 0	10	10	10	0.2	● a-p mU
3	0.4	4.5	1.2	2.0	1.9	725.0	726.9	730.0	91	66	71	S 0	S 0	E 0	8	7	4	.	
4	-0.4	2.8	0.3	0.9	0.8	731.5	730.7	731.2	77	67	80	E 0	E 0	E 0	6	3	10	.	
5	0.2	1.5	-0.1	0.5	0.4	730.1	729.0	728.4	81	82	86	E 0	E 0	NE 0	10	10	10	.	
6	0.2	1.6	1.8	1.2	1.1	725.2	723.9	723.4	85	78	80	SE 0	SE 0	NE 0	10	10	10	.	
7	0.4	1.9	1.1	1.1	1.0	721.8	720.7	718.6	79	66	55	SE 0	S 0	NE 0	10	10	10	.	
8	-0.6	1.3	-2.2	-0.5	-0.6	715.4	712.1	709.2	57	55	64	E 0	E 0	E 0	10	4	0	.	
9	-1.1	6.1	2.6	2.5	2.4	707.1	706.4	709.1	70	54	61	NE 1	S 3	N 1	10	7	10	.	⸗ a-p
10	0.4	2.8	5.8	3.0	2.9	709.3	708.4	708.9	85	72	42	N 0	N 0	SE 2	10	4	0	.	
11	1.8	5.5	4.8	4.0	3.9	713.3	716.3	717.9	82	50	63	W 0	E 0	E 0	10	10	4	.	
12	10.6	12.0	10.9	11.2	11.0	717.0	716.5	718.8	37	34	39	SE 2	SE 3	S 2	7	7	10	.	⸗ n-n mU
13	6.8	6.5	4.1	5.8	5.6	720.6	720.6	722.2	80	86	95	N 0	N 0	NW 0	10	10	10●	3.0	● 15¼-n
14	2.8	4.2	3.3	3.4	3.2	721.4	720.9	721.2	96	95	96	N 0	W 0	N 0	10	10	10	.	
15	1.8	6.5	4.8	4.4	4.2	719.0	719.3	721.9	91	76	99	N 0	E 0	NW 0	10	10	10●	3.5	● 15¼-n mU
16	4.0	7.2	2.0	4.4	4.2	723.2	724.4	724.5	100	87	90	E 0	N 0	E 0	10●	7	0	0.1	● n-a
17	0.1	2.2	2.2	1.5	1.3	723.7	721.8	718.5	90	91	90	N 0	NW 0	E 0	10	3	10	.	
18	4.1	6.1	6.0	5.4	5.1	713.3	713.1	714.4	90	95	100	E 0	NE 0	E 1	10	10●	10●	4.4	● 11-n
19	4.1	5.0	1.9	3.7	3.4	718.9	719.8	722.5	93	81	81	E 0	NW 0	E 0	10●	10	0	0.3	● n-a
20	-0.5	3.7	-0.1	1.0	0.7	724.0	723.2	722.2	80	68	83	E 0	NW 0	SW 0	0	0	0	.	
21	-2.1	3.3	1.2	0.8	0.5	722.9	723.8	724.5	81	76	80	E 0	W 0	E 0	0	8	0	.	
22	-0.8	4.4	0.2	1.3	0.9	723.3	724.0	725.5	78	57	75	E 0	E 0	E 0	3	4	0	.	
23	-1.2	4.5	2.9	2.1	1.7	724.1	721.5	718.5	75	54	61	E 0	E 0	NW 1	0	0	7	0.4	● n (23./24.)
24	5.5	4.3	3.5	4.4	4.0	717.0	720.1	721.8	70	94	61	NE 1	NW 0	NW 2	10●	10●	10	4.9	● n-p mU
25	0.6	2.2	1.1	1.3	0.8	723.2	724.1	727.1	71	69	71	E 0	NW 1	N 0	10	10	10	0.2	▽ 11-11¼, 15-17
26	-1.4	1.2	1.1	0.3	-0.2	726.2	726.2	723.5	63	67	100	E 0	W 1	W 0	10	10	10●	16.6	✳ 15¼-17¼, ● 21½-n ⊠
27	3.7	5.5	5.1	4.8	4.2	721.2	723.0	724.6	100	98	90	NW 0	SE 0	NW 1	10●	10	10●	12.8	● n-10¾, p-n mU ⊠
28	4.2	5.5	2.7	4.1	3.5	727.7	728.3	728.7	90	82	86	W 0	NW 0	N 1	10●	4	10	0.1	● n-10
29	1.7	1.8	1.8	1.8	1.1	727.2	725.6	723.4	84	95	96	E 0	E 0	SE 0	10*	10*	10	22.5	✳ 7½-16½, ● 16½-abd,
30	2.3	6.2	3.3	3.9	3.2	720.9	721.0	719.1	91	68	86	E 0	NE 0	NE 0	10	10	5	0.0	● tr 8¾ [≡ a-p ⊠
31	0.3	1.5	-3.1	-0.4	-1.2	712.2	710.2	711.6	81	89	76	E 0	N 2	N 0	10	10	10*	2.1	✳ 16¼-n
																		Summe	
Mittel	1.6	4.1	2.4	2.7	—	720.7	720.6	720.8	82	75	78				8.5	7.6	7.1	77.7	

Januar 1956
Beobachter: *Observatorium*

Genève

$\lambda = 6° 09'$, $\beta = 46° 12'$,
$H_b = 405.0$ m, $G = -0.05$ mm

1	0.0	4.0	2.5	2.2	1.9	729.8	727.5	721.6	89	83	75	NNE 1	SSE 1	WSW 1	4	6	10	4.5	● 20-n mU
2	2.2	4.4	4.4	3.7	3.4	718.7	722.0	725.0	93	87	83	NNE 1	NNE 1	ENE 1	10	10	7	.	
3	2.4	4.5	3.6	3.5	3.2	728.8	730.6	734.1	86	90	73	NE 1	NNE 1	NNE 1	10	10	10	.	
4	1.5	1.8	1.7	1.7	1.5	735.3	734.9	735.0	82	78	80	NNE 1	NNE 1	NNE 1	10	10	10	.	
5	1.7	1.6	1.4	1.6	1.4	734.4	732.7	732.2	80	82	85	NNE 1	NNE 1	NNE 1	10	9	10	.	
6	1.4	2.3	2.4	2.0	1.8	728.6	728.1	727.1	85	80	85	ENE 1	ENE 1	E 0	10	10	10	.	
7	1.6	2.1	1.7	1.8	1.6	727.2	725.3	723.3	82	70	69	E 0	ESE 1	E 0	10	10	10	.	
8	1.6	2.1	1.4	1.7	1.5	721.2	718.4	715.3	82	82	85	E 0	NNE 1	E 0	10	9	10	0.0	▽ p
9	1.2	1.5	0.4	1.0	0.8	712.5	712.5	714.6	71	76	92	E 0	E 0	SE 0	10	10	10	9.5	▽ 8½-12 mU, ✳ p-n mU
10	-0.3	1.3	1.8	0.9	0.7	714.9	714.5	715.3	92	80	85	NE 0	SW 1	SW 2	10	5	10●	0.5	● p-n
11	3.6	7.8	5.1	5.5	5.3	720.7	722.7	722.7	84	77	85	E 0	NNE 1	NNE 1	10	9	10	0.2	● n (11./12.)
12	5.6	10.0	10.7	8.8	8.6	722.1	721.6	723.8	61	50	93	E 0	SE 1	SE 1	10	10	10	.	
13	6.0	3.5	1.6	3.7	3.5	724.6	725.6	726.6	91	76	93	N 1	SE 1	E 0	10●	10●	10	19.3	● 7½-p, ✳ ● 17¾-n mU
14	2.6	4.2	3.8	3.5	3.3	726.7	725.8	726.0	100	80	90	E 0	SE 1	E 0	10	10	10	.	
15	4.0	7.0	6.6	5.9	5.6	725.1	726.4	727.1	90	85	91	E 0	NNE 1	E 0	10	10	10	1.2	● n (15./16.)
16	5.6	7.2	4.4	5.7	5.4	728.3	728.7	729.0	88	85	90	E 0	NNE 1	E 0	8	6	10	.	
17	4.5	5.6	5.7	5.3	5.0	728.1	725.5	723.4	90	91	94	E 0	SE 1	NE 1	10	10	10	18.0	● p-n mU
18	5.6	10.2	7.0	7.6	7.3	720.0	718.8	720.9	91	86	91	NE 1	SSW 1	E 1	10●	9	9	2.0	● n-a
19	6.2	7.0	2.2	5.1	4.7	723.7	724.9	727.7	91	85	93	E 0	NNE 1	E 0	9	8	0	.	
20	-1.6	2.0	0.6	0.3	-0.1	728.7	728.8	727.8	96	82	88	E 0	NNE 1	NNE 1	0	0	0	.	
21	1.0	8.6	3.2	4.3	3.9	728.1	728.9	729.4	81	65	86	NNE 1	S 1	S 1	6	6	2	.	
22	0.0	7.8	4.0	3.9	3.4	728.9	729.6	730.0	81	61	67	SSW 1	SSW 1	SW 1	2	3	2	.	
23	-2.0	8.8	8.8	5.2	4.7	728.6	725.5	725.4	87	73	89	E 1	S 1	SW 1	0	3	10	6.0	● n (23./24.)
24	6.2	7.6	3.8	5.9	5.3	725.0	725.8	726.8	91	72	87	W 1	W 1	S 1	10●	7	7	.	● n-7½
25	-1.0	5.6	2.0	2.2	1.6	729.6	729.8	730.4	84	61	79	NNW 1	NNE 1	NNE 1	8	3	5	.	
26	-0.5	1.5	4.2	1.7	1.0	731.4	731.1	730.7	90	74	90	NE 1	E 1	S 1	10	10	10●	10.0	▽ 10, ● p-n
27	6.5	10.0	6.6	7.7	7.0	728.1	729.2	731.2	91	81	82	SE 1	E 0	E 0	10●	8	2	12.0	● n-a
28	2.0	6.2	5.0	4.4	3.6	732.6	734.0	734.3	85	67	87	E 0	S 1	S 1	3	6	9	3.0	● n (28./29.)
29	4.3	7.1	7.2	6.2	5.4	732.7	732.3	729.5	90	77	91	SSW 1	SSW 1	SSW 1	10●	10	6	.	● n-7½
30	6.4	9.2	3.6	6.4	5.5	729.8	726.5	723.0	88	61	83	S 1	W 1	NE 1	4	5	5	.	
31	1.6	2.0	-1.6	0.7	-0.3	716.5	714.3	715.8	96	93	92	E 0	NE 1	NNE 2	10	10●*	10●*	8.5	● ✳ a-n
																		Summe	
Mittel	2.6	5.3	3.7	3.9	—	726.2	725.9	726.0	87	77	86				8.2	7.8	7.9	94.7	

$\lambda = 8° 34'$, $\beta = 47° 23'$,
$H_b = 569.4$ m, $G = -0.01$ mm

Zürich

Januar 1956
Beobachter: *Meteorologische Zentralanstalt*

Tag	Lufttemperatur 7³⁰	13³⁰	21³⁰	Mittel	Abweich. vom Normalst	Luftdruck 7³⁰	13³⁰	21³⁰	Relative Feuchtigkeit 7³⁰	13³⁰	21³⁰	Windrichtung und Stärke 7³⁰	13³⁰	21³⁰	Bewölkung 7³⁰	13³⁰	21³⁰	Niederschlag	Witterung
1	-0.3	2.1	0.2	0.7	2.3	713.0	710.1	702.6	83	70	95	SSW 1	SSW 2	SW 1	9	10	10*	4.3	✳ fl p, 21½-24, ⸙ 12½- ⊠
2	1.9	2.1	1.3	1.8	3.4	702.2	705.8	711.0	88	92	97	SSW 1	S 1	NNW 1	10	10	10	0.6	✳ 0-2¼ [20¾ mU ⊠
3	1.3	1.5	-0.1	0.9	2.5	715.1	717.2	720.2	97	87	82	ENE 1	NE 1	NNE 1	10	10	10	0.0	
4	-0.4	0.3	-0.8	-0.3	1.4	**721.1**	720.4	720.8	83	76	85	NNE 1	NNE 1	NNE 1	10	10	10	.	
5	-2.4	4.5	2.4	1.5	3.2	719.6	718.3	717.6	93	58	92	NE 1	NNE 1	NE 1	1	0	10	.	
6	1.6	2.3	1.4	1.8	3.5	715.0	713.4	713.4	91	87	82	NNE 1	NE 1	NNE 1	10	10	10	.	
7	-0.9	0.3	-2.0	-0.9	0.8	712.2	710.6	708.7	77	71	71	NE 1	NNE 1	NE 1	10	9	10	.	
8	-2.2	-1.0	-1.4	-1.5	0.3	705.1	701.7	699.9	71	71	73	W 1	S 1	SSW 1	10	10	9	0.0	
9	-2.0	3.3	-1.2	0.0	1.8	697.5	**696.6**	699.6	72	52	94	S 1	NE 1	WSW 1	9	9	10*	0.2	✳ fl 21½-24
10	-2.0	3.3	-1.1	0.1	1.9	699.4	698.5	699.4	88	62	92	NE 1	SSW 1	SE 1	10	1	0	0.2	⸙ 23¼ ⊠
11	0.7	7.7	3.1	3.8	5.6	703.9	705.7	708.1	92	59	83	SW 1	SW 2	SE 1	9	5	0	.	✳ 1½-4, ⸙ 14-17 ⊠
12	3.4	8.5	8.6	6.8	8.6	706.9	706.4	708.6	68	45	48	SSE 1	SSW 1	SSW 2	10	10	10●	6.5	●tr 21½, ● 23¼-23½, ⸙ 18¾-19¼,*)
13	4.0	4.2	2.5	3.6	5.4	710.3	710.5	712.1	95	92	96	S 1	NNW 1	SSE 1	10●	10●	10	6.3	● 0¾-7½, 11½-19¾, ≡ 11¼-12, *)
14	1.1	2.1	1.4	1.5	1.1	711.4	710.7	710.9	98	94	98	NE 1	SW 1	SSW 1	10	10	10	0.0	≡ 8¼-12
15	1.2	5.5	5.6	4.1	5.9	708.9	709.5	711.0	98	78	77	SW 1	SW 2	SW 2	10	10●	10	2.8	● 13½-17, ⸙ p, ⌓ I
16	4.1	5.8	1.7	3.9	5.7	712.8	713.6	713.9	95	87	97	SW 1	S 1	NW 1	10	9	8	0.0	
17	2.5	8.9	5.3	5.6	7.4	713.0	711.3	708.4	95	56	82	SSW 1	SW 1	NE 1	10	4	10	10.3	●tr 21½, ⌓ I, III
18	3.7	7.8	6.5	6.0	7.7	703.3	702.7	705.0	98	75	76	SW 1	WSW 3	W 2	10●=	10●	10	12.1	● 0¾-13½, 22½-24¼, ≡ n-7½, [⸙ 9½-20¾
19	1.1	1.9	0.9	1.3	3.0	709.1	709.9	712.6	90	67	55	NE 1	W 1	N 1	10	10	9	0.0	
20	-0.9	5.3	-0.7	0.9	2.6	713.6	712.8	711.7	97	60	96	SSE 1	WSW 1	S 0	1	0	0	0.0	
21	-1.1	4.7	3.9	2.5	4.2	712.4	713.5	713.9	93	62	67	WNW 1	SW 1	SSW 1	7	9	1	.	⌴ I
22	1.1	7.5	3.6	4.1	5.8	712.6	712.4	714.6	80	45	63	SW 1	SW 2	SSW 1	4	9	1	.	
23	0.9	7.6	2.5	3.7	5.3	713.0	711.0	708.9	69	47	66	SSW 1	SSW 2	S 1	6	2	7	2.3	
24	3.6	3.0	0.8	2.5	4.1	706.6	710.0	711.7	90	69	61	SW 3	WSW 2	WSW 1	10●	9	8	0.8	● 5-9¾, ⸙ 1¾-9½
25	1.0	2.2	-2.4	0.3	1.9	712.1	714.3	716.6	57	58	77	SSW 2	SW 2	SE 1	10	2	2	0.3	✳ 8½-11, ⸙ 5-9½ mU
26	-3.5	-2.1	3.1	-0.8	0.8	715.7	715.1	712.3	71	82	89	SE 1	S 1	SSW 2	9	10*	10	29.1	✳ 13½-16¾, ● 16¾-20½, 22¼-24, *)
27	5.8	6.5	5.1	5.8	7.3	711.1	711.9	714.7	91	77	87	WSW 2	SW 3	WSW 1	10●	10●	10	10.8	● 0-8¼, 13½-15, 18½-20¾, 21¾-23,*)
28	0.7	1.8	1.1	1.2	2.7	718.1	718.8	718.1	96	88	90	NE 2	NNE 1	ENE 0	10	10	10	1.7	● 0-3½
29	1.3	1.7	1.9	1.6	3.1	716.2	715.2	712.6	98	98	98	SSW 1	SSW 1	WSW 1	10●	10●	10=	13.4	● 1¼-5¼, 14¼-15, 23½-24, *)
30	5.5	5.3	3.3	4.7	6.1	710.4	711.1	708.7	75	78	85	SW 3	SW 2	SSW 1	10●	10●	10	0.3	● 0-8, p mU, ⸙ 1½-15¼ mU
31	-2.7	-5.7	**-9.6**	-6.0	-4.6	702.5	701.6	702.8	93	82	72	NNE 2	NNE 2	NE 2	10	10	10*	0.4	✳ fl p-n
Mittel	0.9	3.5	1.5	2.0	—	710.4	710.3	710.7	86	72	82				8.9	8.0	7.9	Summe 102.4	

*) **12.** ⸙ 21¾-24 **13.** ⸙ 0-2½ **26.** ⸙ 19¾-24, ⌴ I **27.** ⸙ 0-6½, 10¾-18¾ **29.** ● ✳ 7½-9, ✳ 9-12½, ⸙ 12½-14¼, ≡ 18-n

$\lambda = 6° 32'$, $\beta = 46° 51'$,
$H_b = 1601$ m, $G = -0.16$ mm

Chasseron

Januar 1956
Beobachter: *J. Liardon*

Tag	Lufttemperatur 7³⁰	13³⁰	21³⁰	Mittel	Abweich. vom Normalst	Luftdruck 7³⁰	13³⁰	21³⁰	Relative Feuchtigkeit 7³⁰	13³⁰	21³⁰	Windrichtung und Stärke 7³⁰	13³⁰	21³⁰	Bewölkung 7³⁰	13³⁰	21³⁰	Niederschlag	Witterung
1	-6.2	-6.4	-4.8	-5.8	—	628.0	626.1	620.3	100	100	100	NNW 2	SSW 2	WSW 4	10=	9	10*=	6.0	✳ p-n, ≡ n-11, 11-n mU ⊠
2	-4.0	-3.0	-4.0	-3.7	—	618.2	621.8	625.1	100	100	100	NNW 3	NNE 4	NNE 3	10*=	10*	6=	0.0	✳ 6¾-18 mU, ≡ n-n mU ⊠
3	-4.8	-4.5	-6.4	-5.2	—	628.3	630.3	632.5	100	100	100	E 3	NE 4	E 4	10=	10=	10=	.	≡ n-n ⊠
4	-6.8	0.8	0.8	-1.7	—	633.0	633.3	**633.5**	90	**30**	54	E 4	E 4	E 4	0	2	0	.	⊠
5	-0.8	-1.0	0.8	-0.3	—	632.6	632.1	630.9	61	100	54	E 4	E 4	E 3	2	0	0	.	⊠
6	-2.8	-3.6	-4.6	-3.7	—	627.5	627.4	626.8	100	100	100	E 4	ENE 4	E 3	0	10=	10=	.	≡ 9-n, ⋁ III, ⸙ I ⊠
7	-7.4	-6.4	-9.0	-7.6	—	625.3	624.5	623.0	100	100	100	E 2	E 2	ESE 2	10=	10=	10=	.	≡ n-n ⊠
8	**-10.0**	-9.4	-8.6	-9.3	—	619.1	616.6	614.4	100	100	100	W 2	WSW 3	WSW 3	10=	10=	10*	0.2	✳ fl 15-n mU, ≡ n-n mU, ⋁ a-n ⊠
9	-6.4	-5.8	-8.8	-7.0	—	**612.9**	613.0	614.5	100	100	100	S 3	WSW 3	WNW 3	10	10*=	10*=	9.0	✳ 9-n, ≡ n-8½ mU, 8½-n ⊠
10	-8.8	-5.4	-3.0	-5.7		614.6	614.2	616.5	100	100	62	SSW 3	SSE 4	SSW 5	10*=	10=	4	0.2	✳ n-9, ≡ n-15¼, ⸙ a-n ⊠
11	-2.0	-1.0	0.8	-0.7	—	619.8	622.7	624.5	100	100	65	W 5	WSW 5	WSW 4	10	10*	6	0.0	✳ fl 11½-16 mU, ≡ 15½-17¼, *) ⊠
12	0.8	2.1	0.0	1.0	—	623.1	623.6	624.8	48	53	100	S 4	S 5	WSW 5	7	9	10*	6.6	✳ 20-n, ≡ 20¾-n mU, ⸙ n-n ⊠
13	-2.6	-2.8	-3.2	-2.9	-	625.6	625.8	626.8	100	100	100	WNW 2	NE 2	E 3	10*=	10*=	10*=	4.0	✳ ≡ n-n ⊠
14	-0.2	-0.2	-0.2	-0.2	—	626.6	626.4	625.8	100	100	100	WSW 3	SSW 3	W 5	7	9	10	.	⸙ p-n ⊠
15	1.0	-1.8	-1.0	-0.6	—	624.9	625.7	627.2	100	100	100	W 4	W 4	W 4	9	10*=	10=	4.5	✳ 9-21, ≡ 8½-n, ⸙ n-p,*) ⊠
16	-1.2	-1.0	0.2	-0.7	—	627.9	628.5	629.3	100	100	84	W 3	WNW 3	W 3	10*=	5	6	0.0	✳ 7½-8, ≡ n-8¾ ⊠
17	2.2	4.4	4.6	3.7	—	628.8	628.1	626.2	95	85	95	W 3	W 3	W 3	6	4	10	10.4	⊽ 19¼, ● n (17./18.) ⊠
18	1.4	0.2	-0.8	0.3	—	620.8	620.3	621.8	100	100	100	W 4	WNW 5	WNW 3	10●=	10*=	10-	14.4	● n 9½, ● ✳ 10¾ 15¼.*) ⊠
19	-5.2	-3.6	-4.6	-4.5	—	624.0	625.3	627.5	100	100	98	N 2	NW 2	W 2	4	0	0	.	≡ n-6 mU ⊠
20	-1.4	2.1	0.2	0.3	—	628.5	628.7	627.7	62	60	65	E 2	E 1	*SW 1	0	2	*0	.	⊠
21	-6.0	-3.9	-0.4	-3.4	—	627.2	628.8	629.3	90	55	50	*NW 4	*W 3	*W 4	*3	*9	*4	.	⸙ n-n ⊠
22	-5.5	-4.2	-5.5	-5.1	—	627.1	628.4	628.9	50	85	95	*W 4	*W 4	*NW 4	*4	*3	*10=	.	≡ p n, ⸙ n n ⊠
23	-6.0	0.5	0.0	-1.8	—	627.1	626.3	624.7	100	55	40	*W 3	*W 3	*W 4	*10=	*2	*9	0.8	≡ n a, ⸙ n n ⊠
24	-2.0	-5.2	-7.8	-5.0		623.1	625.6	626.5	100	100	100	NW 6	W 4	WNW 5	10*=	10=	10=	2.0	✳ n 12, ≡⋁⸙ n n,*) ⊠
25	-7.5	-6.7	**-10.0**	-8.1		627.1	628.3	629.4	99	99	98	WNW 5	NNW 5	S 2	10*=	10*=	9	1.7	✳ n 17, ≡⋁⸙ n 15¾ ⊠
26	-8.1	-1.7	0.3	-3.2	—	628.9	628.2	629.7	97	95	100	WSW 4	W 6	WNW 6	9	10	10	29.5	✳ 10 15, ● 16 n, *) ⊠
27	0.8	-1.0	-1.0	-0.4		628.0	629.5	631.0	100	100	100	NW 5	NW 5	NW 3	10*=	10=	10=	4.9	● ✳ n a, ≡⋁⸙ n n ⊠
28	-3.9	-2.8	-2.6	-3.1	—	632.2	633.1	632.9	100	94	95	N 3	NW 1	W 3	2	2	9	7.0	✳ n (28. 29.) ⊠
29	-1.0	-0.3	-1.4	-0.9	—	630.7	631.0	629.4	95	100	100	NW 4	NW 3	SW 4	10	10	10	9.8	✳ ≡ ⸙ n n ⊠
30	-2.9	-2.5	-4.0	-3.1		627.9	627.2	625.1	100	100	95	NW 4	NNW 3	S 2	10=	10*=	3	1.5	⊽ ⊕ a 18¾ mU, ≡ ⸙ n p ⊠
31	-5.0	-4.0	-6.2	-5.1		618.0	615.8	615.7	95	100	100	E 3	SE 1	E 3	9	10*=	10*	1.8	✳ a n, ≡ a n mU ⊠
Mittel	-3.6	-2.5	-2.9	-3.0	-	625.4	625.7	625.9	93	91	89				7.5	7.6	7.6	Summe 114.3	

*) **11.** ⸙ n-n mU **15.** ⋁ III **18.** ⊽ 19½, ≡ n-n, ⸙ n-p **24.** ⸙ I **26.** ≡ 10¾-n, ⋁ 11-15, ∿ 16-18, ⸙ n-n

Januar 1956
Beobachter: *Stationspersonal Rh. B.*

Bever

$\lambda = 9° 53'$, $\beta = 46° 33'$,
$H_b = 1711.8$ m, $G = -0.26$ mm

Tag	Lufttemperatur 7³⁰	13³⁰	21³⁰	Mittel	Abweich. vom Normalst	Luftdruck 7³⁰	13³⁰	21³⁰	Relative Feuchtigkeit 7³⁰	13³⁰	21³⁰	Windrichtung und Stärke 7³⁰	13³⁰	21³⁰	Bewölkung 7³⁰	13³⁰	21³⁰	Niederschlag	Witterung
1	-13.7	-3.6	-9.8	-9.0	0.6	617.6	615.9	612.5	85	43	83	NE 0	SW 0	SW 0	10	1	8	.	
2	-9.2	-5.7	-10.6	-8.5	1.1	610.5	612.4	616.7	98	77	87	E 0	SW 0	SW 0	10	10	0	.	
3	-18.4	-7.2	-16.4	-14.0	-4.3	621.0	622.4	625.1	98	62	98	SW 0	SW 0	SW 0	0	0	0	.	
4	-19.1	-5.6	-13.2	-12.6	-2.9	626.2	625.9	627.3	96	62	98	SW 0	SW 0	NW 0	0	0	0	.	
5	-15.5	-1.8	-12.9	-10.1	-0.4	626.4	624.1	624.3	99	35	98	SW 0	SW 0	SW 0	2	0	0	.	
6	-16.2	-5.0	-11.1	-10.8	-1.0	622.2	619.6	618.7	100	71	94	SW 0	SW 0	SW 1	0	0	10	.	
7	-17.1	-7.9	-18.5	-14.5	-4.7	616.9	615.2	614.3	100	63	98	SW 1	SW 0	SW 0	0	0	0≡	.	≡ p–n
8	-22.9	-8.6	-13.8	-15.1	-5.3	610.5	608.2	608.3	94	75	82	SW 0	SW 0	W 0	0	0	10*	1.0	✳ p–n
9	-11.5	-6.7	-7.9	-8.7	1.1	608.5	607.7	608.1	98	82	96	E 0	W 1	SW 0	10*	10	10*	6.0	✳ n–a, ⛆ 16–n mU
10	-7.6	-3.3	-4.3	-5.1	4.8	608.0	607.8	610.2	100	93	96	SW 0	S 0	SW 0	10*	10	10*	0.5	✳ n–a mU, 21½
11	-14.0	-3.2	-11.5	-9.6	0.3	614.0	615.5	619.5	100	76	99	SW 0	W 0	SW 0	3	1	0	.	
12	-7.9	0.5	-4.6	-4.0	5.9	619.8	618.8	619.7	98	77	91	S 0	SW 1	SW 0	8	10	10	0.2	✳ n (12./13.)
13	-4.0	-0.4	-1.0	-1.8	8.1	617.4	617.7	618.5	100	96	96	S 0	SW 0	SW 0	10*	10*	10*	2.0	✳ n–n mU
14	-7.3	-1.2	-0.7	-3.1	6.7	620.1	619.8	619.9	95	76	89	W 0	W 0	SW 0	4	10	10*	0.4	✳ 15½–n mU
15	-1.0	-0.0	-6.0	-2.3	7.5	618.4	617.3	618.6	83	83	94	SW 0	SW 2	SW 0	5	10	2	0.0	⛆ n–9½
16	-10.8	-1.8	-13.8	-8.8	1.0	619.8	620.2	621.7	98	63	98	S 0	S 0	S 0	3	2	0	.	
17	-17.8	-6.0	-11.0	-11.6	-1.8	621.3	620.4	619.8	97	55	91	SW 0	SW 0	SW 0	1	3	0	5.4	✳ n (17./18.)
18	-2.8	1.2	-3.6	-1.7	8.0	614.6	612.3	611.9	100	92	100	SW 0	SW 0	SW 0	10*	10	5	0.2	✳ n–8
19	-7.5	-1.0	-16.6	-8.4	1.3	613.5	615.7	618.5	93	64	99	SW 0	SW 0	SW 0	5	0	0	.	
20	-21.2	-2.8	-15.5	13.2	-3.5	620.8	620.3	621.2	95	64	93	SW 0	SW 0	SW 0	0	0	0	.	V I
21	-19.6	-3.9	-12.9	-12.1	-2.5	620.8	620.7	622.8	95	55	97	SW 0	SW 0	SW 0	0	7	1	.	V II
22	-15.5	-0.1	-11.6	-9.1	0.5	621.5	620.2	621.4	98	52	95	SW 0	SW 0	SW 0	3	2	1	.	
23	-19.0	-2.0	-7.8	-9.6	-0.1	621.1	619.9	619.5	97	74	85	SW 0	SW 1	S 0	0	0	8	.	
24	-3.4	-1.0	-10.6	-5.0	4.4	615.9	615.2	616.2	88	72	88	SW 1	SW 1	SW 0	10	8	2	.	
25	-12.5	-3.6	-13.9	-10.0	-0.6	616.7	617.0	620.2	82	85	88	SE 0	W 1	S 0	3	8	2	.	
26	-22.6	-8.3	-9.0	-13.3	-4.0	621.8	620.8	620.0	99	55	97	SW 0	S 0	SW 0	8	10	10*	7.7	✳ 15½–n
27	-1.0	1.0	-1.3	-0.4	8.8	617.2	618.1	619.4	100	75	98	SW 0	N 1	SE 0	10*	10	9	3.4	✳ n–a, ⛆ n (27./28.)
28	-10.8	-2.7	-17.6	-10.4	-1.2	622.9	623.8	624.5	96	57	82	SW 0	SW 1	W 0	0	0	8	.	
29	-14.1	-4.4	-4.4	-7.6	1.5	621.6	620.5	618.9	91	71	90	S 0	SW 0	E 0	10	10	8	1.9	✳ n (29./30.)
30	-4.0	-0.7	-5.4	-3.4	5.6	615.3	615.8	615.2	100	61	91	S 0	SE 0	SW 0	10*	10	10	0.8	✳fl n–21 mU
31	-16.5	-4.2	-10.8	-10.5	-1.6	610.2	606.6	607.2	97	53	100	SW 0	SW 0	NE 1	3	9	10	.	
																		Summe	
Mittel	-12.4	-3.2	-9.9	-8.5	—	617.8	617.3	618.1	96	68	94				4.8	5.2	5.0	29.5	

Januar 1956
Beobachter: *Couvent des Capucins*

Sion

$\lambda = 7° 22'$, $\beta = 46° 14'$,
$H_b = 548.6$ m, $G = -0.14$ mm

Tag	Lufttemperatur 7³⁰	13³⁰	21³⁰	Mittel	Abweich. vom Normalst	Luftdruck 7³⁰	13³⁰	21³⁰	Relative Feuchtigkeit 7³⁰	13³⁰	21³⁰	Windrichtung und Stärke 7³⁰	13³⁰	21³⁰	Bewölkung 7³⁰	13³⁰	21³⁰	Niederschlag	Witterung
1	-1.1	1.8	-0.3	0.1	0.9	716.8	714.6	710.7	75	61	91	NE 0	NE 0	NE 1	6	7	10*	12.1	✳ 20½–24
2	-0.9	1.0	-2.7	-0.9	0.0	706.5	709.4	713.2	97	84	91	ENE 0	ENE 0	E 0	10	8	0	.	✳ 0–3¾
3	-6.5	-1.6	-4.2	-4.1	-3.2	716.9	718.5	722.1	92	74	91	E 0	E 0	E 0	0	0	0	.	
4	-6.2	-0.5	-3.9	-3.5	-2.6	722.5	720.5	723.2	91	71	72	E 0	E 0	E 0	0	0	0	.	
5	-6.2	-2.4	-4.4	-4.3	-3.3	721.5	719.7	718.5	96	66	95	E 0	E 0	E 0	0	0	0	.	
6	-5.0	-3.2	-2.5	-3.6	-2.6	716.0	715.9	715.8	100	95	92	E 0	E 0	E 0	10≡	10	10	.	≡ n–a
7	-2.9	-2.4	-4.2	-3.2	-2.2	714.7	713.6	712.4	86	84	92	ENE 0	ENE 0	ENE 0	10	10	10	.	
8	-4.1	-2.2	-3.2	-3.2	-2.2	709.4	705.5	703.4	81	62	72	E 0	E 1	E 1	10	5	10	.	
9	-3.2	2.0	1.5	0.1	1.1	702.0	701.7	702.2	72	45	57	ENE 0	ENE 0	ENE 0	6	10	10	.	
10	0.3	2.3	1.8	1.5	2.5	702.7	702.7	704.7	65	55	74	ENE 0	ENE 0	ENE 0	10	0	0	0.9	
11	0.0	3.2	1.3	1.5	2.5	709.7	712.0	713.1	81	72	84	ENE 0	ENE 0	ENE 0	10	10	7	.	✳ 2½–3¾
12	4.0	8.8	6.0	6.3	7.3	713.0	712.6	713.2	62	42	45	ENE 1	ENE 0	ENE 0	8	10	10	.	
13	3.4	5.2	2.2	3.6	4.6	713.0	713.1	714.8	75	82	97	ENE 0	ENE 0	ENE 0	10	10	10●	5.3	●tr 12¼, 12¾ 13¼, 14½–23
14	0.6	4.8	4.0	3.1	4.0	714.9	714.1	714.4	98	74	70	ENE 0	ENE 0	ENE 2	2	8	0	.	
15	1.4	4.0	2.8	2.7	3.6	713.6	713.5	714.8	74	68	95	ENE 2	SW 1	SW 1	8	10	10	2.7	● 15½–19
16	2.0	6.0	2.6	3.5	4.4	716.3	716.0	717.3	98	80	93	SW 0	SW 0	SW 1	9	7	0	.	● 0½–4
17	0.1	5.3	4.3	3.2	4.0	715.8	715.0	713.1	85	57	73	SW 0	SW 0	S 0	0	3	10	3.7	● 18¼–18¾, 22–22½, 23¼–24
18	5.4	6.8	5.5	5.9	6.7	708.7	707.7	708.4	96	87	95	S 0	S 0	S 1	10●	10	7	3.8	● 0–5½, 7–12¼. ●tr 16
19	4.4	7.2	5.0	5.5	6.2	710.6	712.2	715.1	90	71	70	SW 0	SW 0	SW 0	7	7	7	.	
20	0.2	4.7	0.8	1.9	2.6	716.9	715.7	716.1	74	65	66	ENE 0	ENE 0	ENE 0	0	0	0	.	
21	-1.3	4.4	2.0	1.7	2.3	716.9	716.6	716.9	71	45	65	ENE 0	ENE 0	ENE 0	0	3	0	.	
22	-1.2	5.0	1.8	1.9	2.5	716.5	716.1	717.0	71	50	66	ENE 0	ENE 0	ENE 0	1	4	0	.	
23	-2.4	5.0	1.2	1.3	1.8	716.3	714.6	713.9	75	46	60	ENE 0	ENE 0	ENE 0	0	0	3	2.1	
24	0.8	3.0	2.0	1.9	2.3	712.8	713.5	713.6	97	89	90	ENE 0	ENE 0	ENE 0	10*	10	9	1.0	✳ 6 7½. ● 8 9, 9¾ 10
25	-1.0	4.9	0.0	1.3	1.7	716.0	716.4	717.0	70	53	66	ENE 0	WSW 1	ENE 0	0	3	4	.	
26	-0.8	-1.4	-0.2	-0.8	-0.5	716.7	718.3	717.6	63	95	97	ENE 0	ENE 0	ENE 0	10	10*	10*	30.0	✳ 12–24
27	3.0	5.0	4.8	4.3	4.5	714.9	716.4	716.5	100	89	77	ENE 0	WNW 0	WNW 1	10●	5	10	11.0	● 0–11½
28	1.8	7.0	4.5	4.4	4.5	718.5	720.9	720.7	86	66	74	N 0	N 0	N 0	5	2	0	1.9	
29	0.8	3.0	1.4	1.7	1.7	719.4	718.5	716.7	99	83	95	NNE 1	NNE 0	NE 0	10*	10	10	9.1	✳ 6¼–12¼, 23 24
30	3.5	9.0	2.1	4.9	4.8	715.0	714.4	712.4	90	55	75	W 0	WSW 2	E 2	8	7	0	.	✳ 0–1¾
31	0.8	3.6	0.8	1.7	1.5	705.4	702.7	702.7	79	69	96	E 0	E 0	E 1	10	10	10*	1.0	✳ 18½–21¾
																		Summe	
Mittel	-0.3	3.2	1.1	1.3	—	713.9	713.6	713.9	83	69	80				6.1	6.1	5.4	84.6	

$\lambda = 8° 58'$, $\beta = 46° 00'$, Januar 1956

$H_b = 276.2$ m, G = –0.04 mm

Lugano

Beobachter: *G. Vicari*

Tag	Lufttemperatur 7³⁰	13³⁰	21³⁰	Mittel	Abweich. vom Normalst	Luftdruck 7³⁰	13³⁰	21³⁰	Relative Feuchtigkeit 7³⁰	13³⁰	21³⁰	Windrichtung und Stärke 7³⁰	13³⁰	21³⁰	Bewölkung 7³⁰	13³⁰	21³⁰	Niederschlag	Witterung
1	1.2	7.8	1.2	3.4	1.7	736.5	735.5	732.7	58	51	91	N 1	S 1	— 0	0	4	9	.	
2	1.8	4.4	–1.2	1.7	0.1	729.0	732.3	736.5	70	78	94	N 1	S 1	N 1	9	10	0	.	
3	–1.8	7.4	0.2	1.9	0.3	740.3	742.2	745.5	87	55	76	N 1	S 1	N 1	0	0	0	.	⌣ |
4	–1.2	7.0	0.4	2.1	0.5	747.6	747.8	748.5	79	61	86	N 1	S 1	N 1	3	3	0	.	⌣ |
5	–0.8	8.4	1.4	3.0	1.4	745.1	742.2	740.3	76	52	71	N 1	S 1	N 1	1	0	0	.	⌣ |
6	–1.4	5.8	2.4	2.3	0.8	741.3	740.9	741.6	84	68	91	N 1	S 1	— 0	0	10	10◐	1.8	◐ 19–n mU, ⌣ |
7	1.4	2.4	–1.6	0.7	–0.8	739.2	737.4	736.8	87	67	85	— 0	— 0	N 1	10	10	0	.	⌣ ≡
8	–3.4	4.8	–1.2	0.1	–1.4	731.4	729.0	728.0	83	51	71	N 1	S 1	N 1	0	1	4	0.8	✳ n (8./9.), ⌣ |
9	–1.0	0.4	0.0	–0.2	–1.7	728.2	729.2	729.2	99	87	100	— 0	— 0	— 0	10*	10*	10*	12.9	✳ n–n ⊠
10	0.0	1.2	0.8	0.7	–0.8	728.0	728.6	730.4	100	92	99	— 0	— 0	— 0	10	10◐	10	2.7	◐ a–15½ ⊠
11	1.2	6.4	1.4	3.0	1.6	734.0	736.4	740.3	95	56	93	— 0	N 1	— 0	10	0	10	0.9	◐ n (11./12.), ⌣ |
12	2.2	3.2	1.8	2.4	1.0	741.0	740.9	740.2	99	96	99	— 0	— 0	— 0	10	10◐	10◐	6.8	● ◐ a–n
13	3.0	4.2	2.4	3.2	1.8	738.4	738.4	738.7	99	98	99	— 0	— 0	— 0	10●	10●	10	11.0	● n–20½
14	3.2	4.8	4.2	4.1	2.7	739.7	740.2	740.9	97	94	99	— 0	— 0	— 0	10	10◐	10◐	6.0	◐ ● 10–n
15	4.2	5.4	4.4	4.7	3.3	739.1	738.3	738.6	99	98	98	N 1	S 1	— 0	10◐	10	10	2.8	◐ ● n–13
16	1.4	8.2	1.8	3.8	2.4	739.1	739.2	740.6	94	71	94	N 1	S 1	N 1	2	4	0	.	
17	0.2	8.4	3.6	4.1	2.6	740.7	740.0	738.9	91	56	88	N 1	S 1	— 0	0	1	10	6.2	● n (17./18.)
18	3.2	3.8	3.4	3.5	2.0	734.8	731.9	729.8	99	96	97	— 0	S 1	N 1	10●	10◐	7	7.3	● ◐ n–14
19	0.4	9.2	2.4	4.0	2.5	730.7	732.4	736.7	99	64	99	N 1	S 1	— 0	4	0	0	.	
20	–1.4	4.8	1.4	1.6	0.0	738.9	740.4	741.0	96	75	100	N 1	S 1	— 0	0	0	10≡	.	≡ 17½–n
21	–0.8	6.2	1.4	2.3	0.7	741.0	740.7	741.3	95	63	81	— 0	S 1	N 1	5≡	2	0	.	≡ n–8, ⌣ |
22	1.4	10.2	2.4	4.7	3.1	741.6	740.3	740.6	83	49	82	N 1	S 1	N 1	9	4	6	.	⌣ |
23	–0.4	4.8	3.6	2.7	1.1	741.5	741.2	740.5	89	71	85	N 1	S 1	— 0	1	10	10	0.5	◐ n (23./24.)
24	3.0	9.2	2.4	4.9	3.2	736.1	734.9	733.8	94	63	84	S 1	S 1	N 1	10	1	0	.	
25	5.8	11.4	5.4	7.5	5.8	734.5	735.6	739.0	32	32	33	N 2	N 2	NNE 2	0	0	0	.	
26	–1.2	6.2	0.4	1.8	0.1	742.8	743.2	743.4	52	38	71	NNW 1	SSW 1	NNW 1	8	10	7	.	⌣ |
27	0.2	8.2	7.8	5.4	3.6	739.2	737.1	736.1	75	57	58	N 1	S 1	N 2	10	0	0	1.7	● ✳ 10–10½
28	10.8	9.4	3.8	8.0	6.2	738.9	742.8	745.2	43	42	72	N 1	NNE 1	NNE 1	1	0	0	.	
29	3.6	6.0	3.8	4.5	2.6	743.6	742.4	740.7	83	67	77	N 1	S 1	N 1	10	10	10	.	
30	2.6	8.0	2.2	4.3	2.4	736.8	733.9	734.5	83	63	92	N 1	SSE 1	N 1	10	3	3	0.0	⊽ a
31	2.0	1.2	0.4	1.2	–0.8	731.3	727.6	726.0	68	78	84	N 1	S 1	N 1	10	10	10	.	
																		Summe	
Mittel	1.3	6.1	2.0	3.1	—	737.7	737.5	737.9	84	67	86				5.9	5.3	5.3	61.4	

$\lambda = 7° 35'$, $\beta = 47° 33'$, Januar 1956

$H_b = 317.3$ m, G = –0.08 mm

Basel

Beobachter: *Astronom.-Meteorol. Anstalt*

Tag	Lufttemperatur 7³⁰	13³⁰	21³⁰	Mittel	Abweich. vom Normalst	Luftdruck 7³⁰	13³⁰	21³⁰	Relative Feuchtigkeit 7³⁰	13³⁰	21³⁰	Windrichtung und Stärke 7³⁰	13³⁰	21³⁰	Bewölkung 7³⁰	13³⁰	21³⁰	Niederschlag	Witterung
1	1.9	4.8	2.4	3.0	3.5	736.0	733.6	725.0	91	65	98	SSW 1	WSW 2	SSE 1	10	10	10●	5.0	✳ 2–4, ● 19¾–24 mU
2	2.7	4.8	3.8	3.8	4.3	725.0	728.8	733.8	96	94	94	ENE 0	W 0	NNW 1	10●	10	10	1.1	● 3½–3¾, 6¼–10¾
3	2.0	2.3	2.2	2.2	2.8	738.1	740.6	743.4	94	94	68	NW 1	WNW 1	E 0	10	10	10	.	≡ 8¾–12½
4	–2.7	0.0	–2.7	–1.8	–1.2	744.8	743.9	743.7	100	94	98	NW 1	NW 1	W 0	10≡	6	0	.	≡ 2¾–12½, 14½–15¾
5	–2.8	1.0	–1.6	–1.1	–0.5	743.0	741.6	740.9	100	91	96	WSW 0	WSW 0	SW 0	10≡	0	10	0.0	≡ 5–12, 14½–17½, ⌣ |
6	0.0	0.7	1.4	0.7	1.3	738.3	737.2	736.8	98	100	98	NW 1	WNW 1	WNW 1	10≡	10≡	10	0.1	≡ n–p
7	0.3	0.8	0.2	0.4	1.0	735.8	734.1	732.7	76	82	84	NNE 1	WNW 1	NNW 0	10	10	10	.	
8	–0.1	0.1	–1.5	–0.5	0.1	728.7	725.4	722.2	70	72	94	WSW 0	WNW 0	E 1	10	10	10	0.3	✳ 19½–19¾
9	–0.9	1.2	–0.9	–0.2	0.4	720.1	720.1	722.7	90	78	93	E 1	E 1	SSW 1	9	10*	10	1.2	✳ 4¼–4¾, ✳fl 13½, 17½–20¾ ⊠
10	–1.7	2.9	1.1	0.8	1.4	723.3	721.6	721.6	95	71	79	E 0	ESE 1	E 1	10	0	10	0.1	● 23¾–23½, ∾ | ⊠
11	3.8	10.7	6.3	6.9	7.5	725.2	727.3	729.4	77	50	81	E 1	SSW 3	E 1	9	8	2	0.0	●tr 17, 17½, 18¾, ↙ a p
12	3.0	6.9	10.9	6.9	7.5	729.1	728.4	729.5	87	66	55	ESE 2	ESE 2	SSW 3	7	10	10	0.6	●tr 17¾, 19½, ↗ p–n
13	5.7	6.4	4.4	5.5	6.1	732.2	733.1	734.3	82	91	87	S 1	E 1	ESE 2	10●	10●	10	0.7	● 2½ 3, 7½ 8¾, 10–10½,
14	2.6	4.2	3.4	3.4	4.0	733.8	732.7	732.7	89	85	87	ESE 3	E 3	E 2	3	10	9	.	[12¾–14½
15	2.6	6.2	5.2	4.7	5.2	730.9	732.0	733.7	93	88	94	ESE 2	WNW 1	NW 1	10	10●	10●	3.6	● 8½ 14¾, 18¾ 18½, 21½–22
16	3.0	8.0	1.0	4.0	4.5	735.6	736.4	736.5	91	64	94	SE 0	WNW 1	E 0	7	6	0	0.0	● 8 8½
17	0.7	8.4	2.7	3.5	4.0	735.4	734.1	731.2	97	73	93	SE 1	ESE 1	NW 0	2	4	10	6.6	● 22¼–22½, ≡ 3¾–7½, 7¾–8½, ⌣ |
18	5.2	9.6	5.7	6.8	7.3	726.1	725.7	727.5	97	80	87	ESE 1	W 2	WNW 2	10●	10●	10●	3.1	● 0¾ 2¾, 4–14¾ mU, 19½
19	–0.1	4.1	–1.7	0.8	1.2	732.4	733.3	735.3	81	55	92	WNW 1	NW 1	SSW 0	2	1	0	.	[23¾ mU
20	–3.7	5.5	–0.9	0.3	0.7	736.6	735.8	734.6	98	55	96	E 1	ESE 0	ESE 1	0	0	0	.	⌣ |
21	–4.0	4.2	1.4	0.5	0.9	735.5	736.5	736.6	94	68	89	ESE 0	E 0	E 0	7	10	9	.	⌣ ∨ |
22	3.8	8.6	3.7	5.4	5.7	735.7	735.5	736.7	73	55	70	WSW 1	WSW 3	SW 0	4	9	8	.	↗ a–p
23	–0.3	9.6	1.5	3.6	3.9	735.6	733.6	731.7	89	42	80	E 1	W 1	E 1	7	3	7	1.1	
24	6.6	4.2	2.3	4.4	4.6	729.4	733.8	734.6	81	62	63	WSW 3	W 2	WSW 2	10●	8	10	0.1	● 3½ 7½ mU, ✳ 23½, ↗ n–n mU
25	1.4	3.6	–1.6	1.1	1.3	735.6	737.5	739.5	82	54	86	W 2	WNW 2	S 0	10*●	3	5	0.9	✳ 6½–9½ mU, ⌣ ≡ ⊠
26	–2.8	–0.4	6.9	1.2	1.3	738.6	737.1	734.2	84	92	87	E 1	E 1	WSW 2	10	10*	10●	12.4	✳ 11¼–15¾, 18–18¾, ● 21½–23½ ⊠
27	6.3	8.6	6.8	7.2	7.3	733.5	735.1	737.6	90	78	80	SW 2	WSW 2	WSW 3	9●	9	10	0.4	● 0–1, 2¾–7½, 13¾, 14½–16½ mU,
28	1.2	5.0	2.2	2.8	2.8	741.2	741.4	739.9	94	72	84	NW 1	E 1	SE 1	10	9	10	2.8	[↗ p–n mU
29	1.8	3.8	3.2	2.9	2.8	738.5	737.8	735.0	95	93	94	ESE 1	ESE 1	E 1	10●	10	10	8.5	● 3¾ 11¼ mU, 21½ 24
30	6.7	7.2	2.5	5.5	5.4	733.9	734.3	732.5	78	73	93	WSW 3	W 2	S 1	9	9	8	0.1	● 0 3½, 15, ↗ |
31	3.0	5.0	5.8	4.6	4.8	726.6	725.5	726.3	95	95	93	WNW 1	WNW 2	ESE 2	10	10*	10	0.2	✳ a p mU, ≡ 0 11
																		Summe	
Mittel	1.2	4.4	2.1	2.6	—	733.4	733.4	733.3	89	75	87				8.3	7.6	8.0	48.9	

Januar 1956
Beobachter: *Observatorium*

Säntis

$\lambda = 9° 21'$, $\beta = 47° 15'$,
$H_b = 2500.1$ m, $G = -0.29$ mm

Tag	Lufttemperatur 7³⁰	13³⁰	21³⁰	Mittel	Abweich. vom Normalwert	Luftdruck 7³⁰	13³⁰	21³⁰	Relative Feuchtigkeit 7³⁰	13³⁰	21³⁰	Windrichtung und Stärke 7³⁰	13³⁰	21³⁰	Bewölkung 7³⁰	13³⁰	21³⁰	Niederschlag	Witterung
1	-13.1	-13.3	-8.4	-11.6	-3.5	556.9	554.6	550.3	98	100	100	W 2	WSW 4	SW 4	10≡*	10≡	10≡*	12.8	✳ n–11½, 19½–n, ≡ n–n, ⸸
2	-9.8	-8.7	-8.9	-9.1	-0.9	550.2	553.1	557.0	100	100	100	WNW 3	W 2	NW 1	10≡	10≡	10≡	0.2	✳ 17-17¼, ≡∨ n-n [⸗ 9½-n
3	-10.4	-7.8	-7.0	-8.4	-0.2	559.9	561.9	564.9	98	51	53	NE 3	ENE 2	NE 3	0	0	0	.	≡ n–7
4	-4.3	-2.8	-3.4	-3.5	4.7	566.5	566.9	567.7	71	82	75	NE 3	NE 3	NE 3	1	1	0	.	
5	-1.5	-0.4	-1.7	-1.2	7.1	566.7	566.7	565.0	83	65	43	NE 3	NE 3	NE 3	1	1	0	.	⸗ 16½
6	-4.3	-4.6	-8.7	-5.9	2.4	562.0	560.6	558.8	96	90	53	NE 3	NE 3	NE 3	1	0	0	.	≡ 17½–19½
7	-9.7	-9.2	-10.2	-9.7	-1.4	556.9	555.7	553.8	54	58	65	NE 3	NE 3	NE 2	1	1	0	.	
8	-11.3	-10.3	-13.2	-11.6	-3.2	550.3	548.1	546.4	41	70	67	WNW 1	WSW 3	W 3	1	1	6	.	
9	-12.3	-8.2	-10.0	-10.2	-1.8	545.6	546.3	547.0	95	75	89	WSW 2	S 2	SSW 3	10	9	10	.	⊕ 13½
10	-10.0	-7.8	-9.1	-9.0	-0.6	547.4	547.9	549.2	90	88	81	WSW 2	SW 2	SW 3	10	1	8	0.9	✳ n (10./11.)
11	-8.7	-6.4	-5.6	-6.9	1.5	552.3	554.8	558.0	98	87	82	W 4	W 4	W 3	6	6	2	0.2	✳ 9¾–10, ⸗ n–p
12	-5.8	-4.2	-6.1	-5.4	3.1	557.3	557.3	558.0	67	73	78	SW 3	SSW 3	WSW 3	9	10	10	1.0	✳ n (12./13.)
13	-7.5	-5.1	-6.2	-6.3	2.2	557.9	557.9	558.9	98	100	100	SW 3	SW 3	WSW 2	4	10≡*	10≡*	1.4	✳ fl 9¾-10½ mU, 11-n mU,
14	-6.2	-3.0	-5.5	-4.9	3.6	559.5	559.7	559.6	88	85	92	SW 2	WSW 1	WSW 2	1	9	4	.	⊕ 13½ [≡ 11–n
15	-6.2	-5.9	-6.3	-6.1	2.5	557.9	557.3	558.0	91	100	100	SW 2	W 2	W 3	10	10≡	10≡*	16.1	✳ 13¾–n, ≡ 12¾–n, *)
16	-7.0	-5.9	-7.5	-6.8	1.8	559.2	560.2	560.9	100	100	96	W 4	W 3	W 4	10≡	10≡	1	4.3	✳ n–10 mU, ≡ n–19½, *)
17	-4.3	-2.2	-1.6	-2.7	5.9	560.4	560.7	559.4	100	100	98	W 4	W 3	W 3	10≡	10≡	10	5.5	✳ n (17./18.), ≡ n–6½ mU,*)
18	-2.6	-3.4	-6.2	-4.1	4.6	554.6	552.9	553.2	100	100	100	SW 3	W 4	W 4	10	10≡*	10≡	37.3	✳ n-6½, 7½-19¾, ⸗ 20-n mU,*)
19	-9.4	-8.6	-12.4	-10.1	-1.4	555.1	555.7	558.1	100	100	65	WNW 2	W 3	W 3	10≡	10≡	0	.	≡ n–20¾, ∨ n–19
20	-8.6	-5.4	-5.5	-6.5	2.2	560.2	561.0	560.3	77	78	54	W 3	WSW 2	WSW 2	1	1	0	.	
21	-8.1	-7.0	-6.5	-7.2	1.6	558.9	560.5	561.7	77	66	76	W 4	W 3	WSW 3	5	9	10	0.0	✳ fl 16¾, ⸗ n–n mU
22	-6.8	-6.8	-7.3	-7.0	1.8	559.6	559.2	560.7	59	63	57	WSW 4	WSW 4	WSW 4	9	7	2	.	⸸ 7–17, ⸗ n–n mU
23	-6.3	-4.2	-5.3	-5.3	3.5	559.8	559.1	557.7	42	33	41	WSW 3	WSW 3	WSW 4	1	1	10	1.1	✳ n (23./24.), ⸗ III
24	-6.2	8.8	14.5	-9.8	-1.0	553.5	555.7	555.3	100	100	100	W 5	W 4	WNW 3	10≡*	10≡*	10≡	14.0	✳ 5¾–14¼ mU, ≡ 5½–n, *)
25	-14.8	-14.3	-16.1	15.0	-6.1	555.3	556.6	558.8	100	100	100	WSW 4	NW 3	NW 2	10≡	10≡*	10≡	6.9	✳ 8¼–15½, ≡ ∨ n–n, *)
26	-14.1	-11.6	-4.3	10.0	-1.1	559.4	559.5	559.2	45	73	100	W 3	W 3	W 5	9	10*	10≡*	27.2	✳ 12¾–n, ≡ 13½–n, *)
27	-5.5	6.8	-7.5	-6.6	2.3	557.6	558.4	560.4	100	100	100	W 3	W 4	W 3	10≡*	10≡*	10≡	44.6	✳ n-17, ≡ ⸸ ∨ n-n, ⸗ a-p
28	-9.9	-7.4	-7.4	-8.2	0.8	562.8	564.0	563.7	98	40	43	W 2	N 2	W 3	0	1	10	1.2	✳ n (28./29.), ≡ n-7, ⊽ III
29	-8.8	-7.3	-7.5	-7.9	1.1	561.3	560.4	559.3	100	100	100	W 3	W 3	W 4	10≡*	10≡*	10≡	40.9	✳ n–8¾, 9½–19, ≡ n–n, *)
30	-7.6	-8.6	-9.7	-8.6	0.4	555.9	556.8	555.3	100	100	100	W 5	NW 3	W 3	10≡*	10≡	10≡	33.4	✳ n-12½, ⸗ 14½-19 mU, *)
31	-9.9	-6.2	-12.6	-9.6	-0.5	550.4	548.0	546.7	86	90	100	W 2	SSW 1	W 2	10	7	10≡	1.0	✳ 14–15½, ≡ 17½–n
																		Summe	
Mittel	8.1	-6.8	-7.8	-7.6	—	557.1	557.3	557.5	85	83	81				6.5	6.6	6.5	250.0	

Januar 1956
Beobachter: *E. Chiesa*

St. Gotthard (Hospiz)

$\lambda = 8° 34'$, $\beta = 46° 33'$,
$H_b = 2095$ m, $G = -0.27$ mm

1	-11.4	-9.5	-8.8	-9.9	-2.9	586.9	586.9	582.7	94	92	90	NW 2	NW 1	SE 1	10	10≡	3	2.1	✳ n (1./2.), ≡ 13–17
2	-12.2	-6.7	-8.8	-9.2	-2.1	580.6	582.5	586.8	81	84	82	SE 0	NW 1	NW 1	6	10≡	0	.	≡ 12¾–19¾
3	-10.7	-5.0	-4.7	-6.8	0.3	589.9	591.8	594.3	71	62	32	NW 1	SE 0	NW 1	0	0	0	.	
4	-1.1	2.8	-4.6	-1.0	6.1	595.1	595.9	596.6	30	37	55	NW 0	NW 1	NW 1	0	0	0	.	
5	0.6	4.5	0.2	1.8	8.9	595.7	595.5	593.8	40	44	48	NW 2	NW 1	NW 1	0	0	0	.	
6	-2.0	-4.4	-8.6	-5.0	2.1	591.1	590.1	588.9	43	78	100	NW 1	SE 0	NW 1	0	0	10≡	.	≡ 19¾–n
7	-10.2	-8.7	-11.6	-10.2	-3.0	586.4	585.2	583.6	90	46	46	NW 1	NW 1	NW 1	0	0	0	.	
8	-11.5	-9.8	-12.0	-11.1	-3.9	580.3	578.8	577.5	33	77	96	NW 1	SE 0	SE 1	0	0	10≡	0.8	✳ 20–n mU, ≡ 16½
9	-12.8	-11.4	-11.8	-12.0	-4.8	576.7	577.4	578.1	94	95	94	SE 1	SE 1	SE 1	10≡	10≡	10≡	5.3	✳ 10½–n mU, ≡ n–n, ∨ I
10	-9.8	-7.6	-7.5	-8.3	-1.1	577.9	578.4	580.3	96	96	95	SE 1	SE 2	SE 1	10*	10*≡	10*	3.0	✳ n–n mU, ≡ a–p mU
11	-8.0	-5.2	-7.1	-6.8	0.4	583.1	585.9	589.3	95	96	94	SE 1	SE 0	SE 1	10*	10*	10≡	1.2	✳ n–n mU, ≡ 20¾–n
12	-5.4	-4.6	-5.6	-5.2	2.0	589.5	589.3	589.4	96	97	96	SE 2	SE 1	SE 2	10*	10≡	10≡	3.7	✳ n–a, ≡ n–n mU
13	-4.6	-3.8	-4.4	-4.3	3.0	588.4	588.2	588.9	95	96	98	SE 2	SE 1	NW 0	10*	10*≡	10*≡	3.7	✳ n–n mU, ≡ a–n mU
14	-4.8	-3.1	-4.0	-4.0	3.3	589.2	590.0	590.1	94	98	97	SE 1	SE 0	SE 1	10	10≡	10≡	2.9	✳ n–n mU, ≡ 12–n mU
15	-4.0	-3.8	-5.0	-4.3	3.0	589.3	588.3	589.3	94	98	99	SE 1	SE 1	SE 0	10	10≡	10*	3.9	✳ ≡ 10½–n mU
16	-7.1	-3.6	-6.7	-5.8	1.5	589.5	590.4	591.4	89	63	45	NW 0	NW 0	NW 0	0	3	0	.	
17	-5.8	-1.4	-2.2	-3.1	4.2	591.3	591.0	590.0	47	47	52	SE 0	SE 0	SE 1	0	0	6	1.4	✳ n (17./18.)
18	-3.2	-1.3	-3.0	-2.5	4.8	585.4	583.7	583.2	98	98	98	SE 2	SE 1	NW 1	10	10	10	4.0	✳ ≡ n–n mU
19	-6.8	-7.0	-7.8	-7.2	0.2	584.6	585.9	588.4	97	95	52	NW 1	NW 1	NW 1	10≡	0	0	.	≡ n–11, 15¼–20, ∨ I
20	-5.0	-2.0	-7.2	-4.7	2.7	589.6	590.8	590.9	22	52	53	NW 1	SE 0	SE 0	0	0	0	.	
21	-8.5	-3.2	-4.6	-5.4	2.0	590.3	590.7	591.2	45	59	60	SE 1	SE 1	NW 1	0	3	0	.	
22	-7.9	-3.6	-4.9	-5.5	1.9	590.8	590.6	590.8	88	72	35	SE 1	SE 1	NW 1	0	6	0	.	
23	-8.5	5.6	-6.6	-6.9	0.5	590.4	590.3	589.4	66	91	90	SE 1	SE 2	SE 2	0	0	10	0.7	✳ n (23./24.)
24	-7.1	-2.7	-8.8	-6.2	1.2	586.1	586.3	586.0	98	70	98	SE 1	NW 0	NW 1	10*≡	6	9≡	3.1	✳ n-a, ≡ a mU, 17½-n mU
25	-12.2	-9.6	-12.4	-11.4	-4.0	586.6	587.2	588.8	95	86	95	NW 1	NW 2	NW 3	0	10	10≡	0.1	≡ 16¾–n, ⸸ ⸗ III, ∨ I, II
26	-7.8	-8.8	-1.4	-6.0	1.5	589.5	590.7	590.5	32	80	98	NW 1	SE 0	NW 0	9	10*≡	10*≡	37.6	✳ 11¾–n, ≡ 11–n
27	-2.0	2.0	-4.2	2.7	4.8	588.2	589.5	590.4	98	83	89	SE 1	NW 2	NW 2	10*≡	10*	10*	13.7	✳ n–n, ≡ n–a mU
28	-6.8	-3.0	-8.4	-6.1	1.4	592.2	593.9	593.6	95	27	80	MN 2	NW 1	NW 0	6	0	0	.	
29	-8.2	4.0	-4.6	-5.6	1.9	591.4	591.0	588.7	89	98	98	NW 1	NW 1	NW 1	10	10*≡	10≡	14.6	✳ 8¼–15¼, ≡ n–a mU
30	-5.3	5.0	-9.1	-6.5	1.0	586.9	586.7	585.2	94	89	86	NW 2	NW 3	NW 2	10	10	0	1.1	⸸ ⸗ a-p, ≡ 17¼ 20
31	-10.1	-4.2	-10.0	-8.1	-0.6	579.7	577.8	577.0	70	51	97	SE 0	NW 0	NW 2	6	6	10	.	≡ 15½–n
																		Summe	
Mittel	-7.1	-4.6	-6.7	-6.1	—	587.5	587.8	587.9	76	76	79				5.4	5.6	5.7	102.9	

*) Säntis: **15.** ⸸ 14–n, ∨ 16–n, ⸗ 16½ **16.** ⸸ n–12, ∨ n–17, ⸗ n–n mU, **17.** ≡ 6½–14, 15¾–17½ mU ⸗ n–a **18.** ≡ n–7, 7½–n, ⸸ ⸗ 11-n **24.** ∨ 6½-n, ⸸ 6-n, ⸗ n-n, ⸗ I **25.** ⸸ 8½-16, ⸗ n-p **26.** ⸸ ⸗ 14-n, ∨ 17-n **29.** ∨ 10-n, ⸸ 10½-n, ⸗ III **30.** ≡∨n-n, ⸸ n-18, ⸗ n-10½

$\lambda = 7° 26'$, $\beta = 46° 57'$,
$H_b = 572.2$ m, $G = -0.04$ mm

Bern

Februar 1956
Beobachter: *Meteorologisches Observatorium*

Tag	Lufttemperatur 7³⁰	13³⁰	21³⁰	Mittel	Abweich. vom Normalst	Luftdruck 7³⁰	13³⁰	21³⁰	Relative Feuchtigkeit 7³⁰	13³⁰	21³⁰	Windrichtung und Stärke 7³⁰	13³⁰	21³⁰	Bewölkung 7³⁰	13³⁰	21³⁰	Niederschlag	Witterung
1	-11.2	-11.0	-15.2	-12.5	-11.5	704.4	706.3	709.1	82	75	74	N 2	NNE 2	NNE 2	10*	8	10	0.0	✳ 0-2¼, ✳fl 7¼-10½, 21¼-23½ mU
2	-18.4	-16.6	-16.2	-17.1	-16.1	710.7	711.8	714.6	75	75	74	NE 1	NE 2	NE 2	3	9*	7	0.0	✳fl 13-14 mU
3	-15.8	-9.8	-10.1	-11.9	-11.0	715.9	716.8	718.8	77	74	75	NE 3	NE 2	NE 1	1	2	1	.	⸗ n-p mU
4	-11.2	-6.2	-7.1	-8.2	-7.4	719.3	719.9	722.2	76	72	73	NE 2	NE 2	NE 2	1	1	0	0.0	⌣ I
5	-12.0	-6.6	-6.1	-8.2	-7.5	722.9	**723.1**	721.9	82	81	72	SE 0	NE 1	N 0	4	9	10	.	✳fl 0-2
6	-6.3	-0.9	-1.4	-2.9	-2.3	720.3	718.2	717.8	78	70	70	NE 0	N 0	N 0	10	10	9	0.0	
7	-5.4	-3.4	-6.8	-5.2	-4.6	719.5	720.0	720.8	86	59	59	N 0	ENE 2	NE 2	4	2	0	0.0	✳fl 3¼-10¾ mU
8	-11.9	-4.4	-3.5	-6.6	-6.1	719.3	716.6	712.2	86	66	70	E 0	N 0	SW 1	1	7	10*	1.4	✳ 21-24
9	-5.6	-11.6	-18.4	-11.9	-11.5	708.2	708.3	709.2	94	74	74	SE 0	NNE 2	NE 3	10*	10	7	1.2	✳ 0-2¼, 5 11½, ⸸ II, ⸗ a
10	-21.5	-19.2	-19.9	-20.2	-19.9	707.1	706.3	706.4	72	65	74	NE 3	ENE 2	NE 2	10	10	4	.	⸗ n-n mU [n mU
11	-19.0	-15.2	-14.4	-16.2	-16.0	703.2	702.1	703.3	70	60	66	NE 2	NE 3	ENE 1	9	7	9	0.4	⸗ n-p mU
12	-14.5	-10.8	-14.0	-13.1	-13.0	702.8	702.2	703.0	84	64	74	NE 0	NNE 1	NE 1	10*	3	0	0.0	✳ 3¾-8
13	-17.7	-10.3	-11.5	-13.2	-13.2	700.4	**697.3**	699.5	85	64	81	SE 1	NE 1	N 0	10	10	10	0.2	✳ 14½-19¾, ⌣ I
14	-15.0	-8.4	-12.1	-11.8	-11.9	703.4	703.9	705.2	90	**50**	73	SE 0	W 1	SE 0	4	2	8	.	⌣ I
15	-10.8	-4.9	-5.2	-7.0	-7.2	707.5	706.8	707.8	75	55	75	S 0	WSW 2	WSW 0	10	10	10	0.5	✳ 22½-24
16	-5.6	-1.8	-5.4	-4.3	-4.6	707.3	707.6	707.8	90	67	81	SW 0	W 1	SW 0	10	8	3	0.2	✳ 0-10, 16¼, 19½-20
17	-10.6	-2.6	-7.4	-6.9	-7.3	707.8	707.5	707.6	90	66	94	SSE 0	N 0	N 0	9	1	1	.	⌣ I
18	-11.3	-6.4	-8.3	-8.7	-9.2	705.7	703.5	702.7	98	78	90	NE 1	NNE 2	NE 2	1	4	10*	0.3	✳ 16¼-24 mU, ⌣ I
19	-10.5	-7.1	-10.4	-9.3	-9.9	702.9	703.5	705.5	90	67	78	NE 0	N 1	N 0	10	9*	8	0.0	✳ 0-7 mU, 8-9 mU, ✳fl 9-
20	-12.0	-6.9	-10.8	-9.9	-10.6	706.8	706.7	705.6	87	61	85	N 0	NE 0	N 0	10	8	6	0.0	✳fl 9½-10½ mU [13¾
21	-12.0	-5.3	-9.6	-9.0	-9.8	705.1	705.5	705.8	93	62	84	NE 0	N 1	N 0	10	2	0	.	
22	-14.0	-5.1	-7.9	-9.0	-9.9	705.2	705.1	706.1	96	66	80	E 0	NE 0	SW 0	9	9	6	.	⌣ I
23	-12.0	-3.1	-7.2	-7.4	-8.4	707.8	707.6	708.5	97	65	89	SE 0	NE 0	N 1	10	10	0	.	≡ 8-11, ⌣ I
24	-9.5	-3.5	-6.8	-6.6	-7.7	710.6	710.7	711.5	99	70	89	N 0	N 0	NNE 1	10=	4	0	.	≡ 5½-9, ∨ I
25	-8.0	-2.9	-5.6	-5.5	-6.7	711.6	710.3	709.2	93	72	76	E 0	NE 1	NE 1	10	6	3	.	
26	-8.2	-3.7	-6.6	-6.2	-7.6	708.5	709.2	710.7	83	64	79	NNE 1	NNE 1	NE 0	10	4	0	0.0	✳fl 8½-11 mU
27	-5.4	-2.2	-5.7	-4.4	-5.9	711.4	712.4	715.4	78	70	76	E 0	NE 1	NE 0	10	8	0	0.0	✳fl 9½-10¾ mU
28	-10.4	1.9	0.4	-2.7	-4.3	718.3	718.2	719.8	95	**50**	72	S 0	W 1	SE 0	4	10	10	0.0	⊕ II
29	0.8	**4.0**	3.5	2.8	1.2	720.4	720.2	719.7	83	70	76	SE 0	SE 0	SE 0	10	9	10	0.5	✳ 0¼-1½, ● 10¼ 12 mU, [22½-24
Mittel	-11.2	-6.3	-8.6	-8.7	—	710.1	709.9	710.6	86	67	77				7.6	6.6	5.2	Summe 4.7	

$\lambda = 6° 57'$, $\beta = 47° 00'$,
$H_b = 487.3$ m, $G = 0.00$ mm

Neuchâtel

Februar 1956
Beobachter: *Observatorium*

Tag	7³⁰	13³⁰	21³⁰	Mittel	Abweich.	7³⁰	13³⁰	21³⁰	7³⁰	13³⁰	21³⁰	7³⁰	13³⁰	21³⁰	7³⁰	13³⁰	21³⁰	Niederschlag	Witterung
1	-9.0	-8.8	-14.2	-10.7	-10.8	712.0	714.4	717.4	76	71	55	NE 2	NE 2	NE 1	10*	10*	7	0.5	✳ 7½-14 mU
2	-16.6	-13.8	-14.6	-15.0	-15.1	718.9	719.9	722.7	**51**	52	54	NE 3	NE 3	NE 3	10	10	8	.	⸗ n-n
3	-14.4	-8.0	-8.0	-10.1	-10.3	723.8	724.7	726.8	75	55	58	NE 4	NE 4	NE 3	1	2	7	.	⸗ n-n
4	-9.7	-3.5	-5.9	-6.4	-6.7	727.3	727.8	730.3	79	53	63	NE 3	NE 3	NE 3	10	2	8	.	⸗ n-n
5	-8.7	-5.6	-5.0	-6.4	-6.7	731.2	**731.3**	730.4	74	66	63	NE 0	E 0	NE 0	4	10	10	0.0	✳fl 9
6	-4.9	0.0	-0.2	-1.7	-2.1	728.3	726.3	725.6	66	52	56	NE 0	NE 0	NW 2	10	2	10	.	
7	-4.4	-2.0	-5.4	-3.9	-4.4	727.4	728.0	729.2	64	60	55	NE 2	NE 3	NE 2	3	7	0	0.0	✳fl 12-15 mU, ⸗ a-p
8	-8.1	-2.4	-2.0	-4.2	-4.7	727.4	724.5	719.9	75	57	58	NE 1	E 1	W 1	0	8	10	0.0	✳fl p
9	-3.6	-8.2	-16.0	-9.3	-9.9	715.9	715.9	717.4	87	64	72	NW 0	NE 3	NE 3	10	10	10	.	⸗ a-n
10	19.2	-16.4	-17.6	-17.7	18.4	714.8	713.9	714.4	71	67	68	NE 3	NE 4	NE 3	10	8	7	0.6	✳ n (10.,11.), ⸗ n-n, ⸗ II
11	-17.6	-13.4	-13.1	-14.7	-15.5	710.9	709.6	711.1	80	74	74	NE 2	NE 3	NE 2	10	10	8	1.0	✳ n-n mU, ⸗ a-p
12	13.8	-8.8	-13.3	-12.0	-12.8	710.4	709.5	710.9	89	65	74	NE 0	E 2	NE 0	10	8	6	.	
13	14.0	-11.3	-11.2	-12.2	-13.1	707.3	**704.5**	707.5	88	84	84	NE 0	NE 1	NE 0	10	10*	5	2.0	✳fl a-p mU
14	-13.0	-6.6	-11.3	-10.3	-11.3	711.1	711.8	713.0	89	72	70	NE 0	SE 0	W 0	10	8	0	.	
15	-9.4	-6.3	-5.2	-7.0	-8.1	715.4	715.3	715.8	70	70	81	W 2	SW 3	W 2	10	10	10*	1.4	✳ 14-24 mU, ⸗ a-p
16	-5.6	-1.8	-3.6	-3.7	-4.9	715.3	715.6	715.7	93	73	70	W 2	SW 2	NW 0	10*	10	8	0.1	✳ 0-8 mU
17	-8.8	-1.8	-5.2	-5.3	-6.5	715.9	715.7	715.5	91	65	68	NW 0	NE 0	N 0	9	4	8	.	
18	-10.0	-4.8	-6.4	-7.1	-8.4	713.5	711.2	710.6	88	64	63	NE 2	NE 3	NE 2	1	2	10	.	⸗ a-p
19	-8.8	-6.2	9.0	-8.0	9.4	710.5	711.0	713.4	68	66	62	NE 0	NE 0	N 2	10	10	10	0.8	✳fl a-n mU
20	-11.6	-6.3	-8.3	-8.7	-10.2	714.9	714.6	713.4	83	60	66	N 0	E 1	NE 2	10	10	2	.	
21	-11.4	-5.2	-7.8	-8.1	-9.7	713.0	713.2	713.6	83	63	73	NE 1	E 1	NE 0	10	8	5	.	
22	-11.4	-5.6	-7.1	-8.0	-9.7	713.1	712.7	714.0	87	68	74	NE 1	E 1	NE 0	8	9	4	.	
23	10.2	-4.5	-6.2	-7.0	-8.8	715.7	715.6	716.4	93	73	80	NE 0	E 0	NE 0	8=	10	8	.	≡ n-a
24	8.5	-3.6	-4.9	-5.7	-7.6	718.8	718.9	719.7	94	74	79	NE 1	E 1	NE 1	10=	8	3	.	≡ n-a
25	-5.9	-2.2	-4.4	-4.2	-6.2	719.6	718.4	717.3	88	72	69	NE 1	E 2	NE 3	10	7	2	.	⸗ p-n
26	-7.0	-2.3	-3.7	-4.3	6.4	716.8	717.1	718.8	80	58	72	NE 3	NE 2	NE 3	10	6	10	0.1	✳fl 8, ⸗ n-n mU
27	3.9	0.8	-4.0	2.9	5.1	719.3	720.6	723.6	82	67	67	NE 1	NE 3	NE 1	10	8	0	.	⸗ a-p
28	8.4	0.8	2.6	-1.7	4.0	726.2	726.4	727.6	83	69	63	E 0	S 0	SW 2	3	10	10	.	
29	1.2	**5.6**	5.2	4.0	1.7	728.5	728.1	727.3	82	67	77	N 0	S 1	SW 1	10	3	10	0.2	● 10-11½
Mittel	-9.4	-5.3	-7.1	-7.3	—	718.0	717.8	718.6	80	66	68				8.2	7.6	6.8	Summe 6.7	

Februar 1956
Beobachter: *Frl. H. Nager*

Altdorf

$\lambda = 8° 38'$, $\beta = 46° 53'$,
$H_b = 456.3$ m, $G = -0.08$ mm

Tag	Lufttemperatur 7³⁰	13³⁰	21³⁰	Mittel	Abweich. vom Normalst.	Luftdruck 7³⁰	13³⁰	21³⁰	Relative Feuchtigkeit 7³⁰	13³⁰	21³⁰	Windrichtung und Stärke 7³⁰	13³⁰	21³⁰	Bewölkung 7³⁰	13³⁰	21³⁰	Niederschlag	Witterung
1	-7.3	-9.2	-11.4	-9.3	-10.1	714.5	716.4	719.5	76	72	68	NW 1	N 2	N 1	10	10	10	0.4	✳ n-p mU
2	-13.5	-12.8	-14.0	-13.4	-14.3	721.9	723.0	726.6	62	57	60	E 1	N 1	N 0	10	10	10	.	
3	-15.2	-10.2	-11.4	-12.3	-13.3	728.5	728.6	730.5	61	50	66	E 0	E 0	E 0	10	7	7	.	
4	-12.5	-6.8	-8.8	-9.4	-10.4	731.4	731.3	734.3	70	58	57	E 0	NW 0	E 1	8	0	7	.	
5	-11.8	-5.9	-5.1	-7.6	-2.9	734.0	734.1	733.1	66	57	70	E 0	E 0	W 0	5	10	10	.	
6	-6.1	-1.8	-0.3	-2.7	-3.9	731.5	728.4	727.2	76	67	62	E 0	N 0	NW 1	10	10	10	0.5	✳fl p-n mU
7	-3.1	-3.0	-7.1	-4.4	-5.6	728.8	731.1	732.6	75	54	60	N 2	N 2	E 0	10*	7	3	0.2	✳ n-10
8	-10.4	-4.5	-4.6	-6.5	-7.8	730.8	727.5	722.7	65	58	93	E 0	N 0	N 0	4	4	10*	8.5	✳ 19-n
9	-3.2	-8.1	-14.3	-8.5	-9.9	717.8	718.1	720.7	92	74	60	E 0	N 2	N 1	10*	10*	10	1.5	✳ n-p
10	-15.8	-14.8	-16.1	-15.6	-17.0	718.7	717.3	717.8	69	65	66	N 0	N 1	N 0	10	10	8	.	
11	-16.8	-13.0	-14.7	-14.8	-16.3	714.3	712.3	714.6	70	55	64	E 0	E 0	E 0	10	10	8	0.0	✳fl a
12	-13.0	-9.8	-10.2	-11.0	-12.6	713.6	712.2	713.2	74	61	67	E 0	N 1	N 0	10	10	10*	0.8	✳ 16½-n
13	-15.0	-8.4	-8.4	-10.6	-12.2	710.1	706.9	708.6	66	51	78	S 0	SE 0	N 0	10	8	10*	0.4	✳ 21½-n mU
14	-9.1	-7.2	-9.2	-8.5	-10.2	713.4	713.1	715.6	77	46	65	N 1	N 1	NW 0	10	10	10	0.3	✳ n (14./15.)
15	-9.1	-4.7	-4.9	-6.2	-8.0	717.5	716.7	717.1	80	52	75	E 0	E 0	E 0	10*	10	10	0.4	✳ n-a
16	-4.2	-1.9	-4.9	-3.7	-5.6	717.5	717.9	718.7	93	80	70	E 0	E 0	E 0	10*	10*	7	2.1	✳ n-16¼ mU
17	-10.4	-3.2	-5.9	-6.5	-8.4	718.7	718.0	718.4	72	60	62	E 0	E 0	SE 0	7	4	6	.	
18	-8.2	-4.8	-5.3	-6.1	-8.1	716.6	713.5	712.8	68	64	75	SE 0	NW 2	N 0	10	7	10*	1.6	✳ 21½-n
19	-6.9	-5.3	-6.7	-6.3	-8.4	712.3	713.3	715.2	83	62	68	NW 0	N 0	SE 0	10*	10	10*	0.8	✳ n-a, ▽ 21½
20	-8.2	-5.9	-6.3	-6.8	-9.0	712.3	717.2	715.9	74	65	75	E 0	NW 0	N 0	10	10	10	.	
21	-6.8	-3.9	-8.6	-6.4	-8.6	715.9	715.8	716.5	80	72	77	NW 0	NW 0	NW 0	10*	10	8	0.0	✳fl a
22	-5.8	-4.9	-5.1	-5.3	-7.6	715.6	715.4	715.9	86	79	82	NE 0	N 0	NW 0	10	10	10	.	
23	-4.9	-2.2	-4.8	-4.0	-6.4	718.1	718.1	719.5	77	74	77	E 1	NE 0	NE 0	10	10	10	.	
24	-4.2	-2.6	-5.6	-4.1	-6.6	721.2	721.1	722.7	79	76	80	E 0	NW 1	N 0	10	10	8	.	
25	-3.9	-2.1	-2.4	-2.8	-5.4	722.2	721.4	720.6	80	76	81	NE 0	W 1	W 0	10	10	10	.	
26	-3.8	-2.3	-2.6	-2.9	-5.7	719.0	720.0	721.5	75	67	75	N 0	N 0	NW 0	10	10	10	.	
27	-2.8	-1.0	-1.2	-1.7	-4.6	721.9	723.1	725.8	69	86	67	E 0	N 0	N 0	10	10	10	.	
28	-6.8	1.2	0.4	-1.7	-4.7	728.4	729.0	729.8	76	86	77	E 0	N 0	N 0	5	10	10	.	
29	1.4	3.4	2.3	2.4	-0.6	731.0	730.6	729.4	86	91	97	NE 0	E 0	E 0	10	10	10	0.1	● n (29./1.)
Mittel	-8.2	-5.4	-6.8	-6.8	—	720.8	720.4	721.3	75	66	72				9.3	8.9	9.0	Summe 17.6	

Februar 1956
Beobachter: *Observatoire*

Genève

$\lambda = 6° 09'$, $\beta = 46° 12'$,
$H_b = 405.0$ m, $G = -0.05$ mm

Tag	7³⁰	13³⁰	21³⁰	Mittel	Abweich.	7³⁰	13³⁰	21³⁰	7³⁰	13³⁰	21³⁰	7³⁰	13³⁰	21³⁰	7³⁰	13³⁰	21³⁰	Niederschlag	Witterung
1	-4.8	-5.7	-11.0	-7.2	-8.2	719.1	720.9	724.3	90	78	65	NNE 2	NNE 2	NNE 3	10	10	10	0.0	▽ a, ⸙ p-n
2	-15.0	-14.1	-14.6	-14.6	-15.7	725.2	725.6	728.3	57	38	39	NNE 4	NNE 4	NNE 4	9	9	10	.	⸙ n-n
3	-13.6	-6.8	-7.2	-9.2	-10.4	730.4	730.3	732.6	84	79	73	NNE 3	NNE 3	NNE 4	10	10	10	0.0	▽ a, ⸙ n-n
4	-8.0	-3.0	-4.4	-5.1	-6.3	733.8	734.1	737.2	66	82	72	NNE 3	NNE 3	NNE 2	7	6	2	.	⸙ n-p
5	-8.4	-3.6	-5.4	-5.8	-7.1	738.3	737.5	737.5	76	87	80	NNE 2	NNE 1	NNE 1	2	3	1	.	
6	-5.0	-0.3	-2.0	-2.4	-3.8	735.5	733.1	732.4	76	83	79	NNE 1	NNE 1	E 0	5	0	0	.	
7	-2.4	-0.2	-2.8	-1.8	-3.2	733.7	736.3	737.0	83	81	78	NNE 2	NNE 4	NNE 3	1	2	3	.	⸙ a-n
8	-7.0	-1.4	-3.4	-3.9	-5.4	733.5	730.6	727.6	66	84	87	E 1	NNE 1	E 0	1	2	1	.	
9	-6.5	-9.0	-14.0	-9.8	-11.4	723.1	722.3	721.5	89	69	66	E 0	NNE 4	NNE 5	0	10	10	0.0	▽ 12¼, ⸙ a-n
10	-18.1	-15.4	-16.0	-16.5	-18.1	720.4	720.3	720.8	54	63	81	NNE 3	NNE 3	NNE 3	10	10	10	0.1	✳ n (10./11.), ⸙ n-n
11	-16.4	-15.0	-15.2	-15.5	-17.2	718.7	719.1	717.9	70	55	82	NNE 1	NNE 1	E 0	10	10	10	0.1	✳ n (11./12.)
12	-12.0	-9.0	-10.0	-10.3	-12.1	717.3	717.1	716.2	70	75	87	NNE 1	NNE 1	NNE 1	9	6	10	.	
13	-11.2	-9.4	-9.0	-9.9	-11.8	715.2	712.0	714.2	72	81	82	E 0	NE 0	NE 0	10	10	7	3.6	✳ 10-p mU
14	-12.8	-6.8	-12.0	-10.5	-12.4	717.8	719.2	720.7	81	54	78	S 0	NNE 0	NNE 1	8	5	2	.	
15	-15.6	-3.0	-6.0	-8.2	-10.2	724.3	723.9	724.3	81	50	85	E 0	SSW 1	NNE 1	1	3	10	.	
16	-6.6	-1.1	-6.0	-4.6	-6.7	724.0	723.2	723.3	89	82	90	NNE 1	S 1	NNE 1	8	1	10	.	
17	-7.4	-1.6	-4.2	-4.4	-6.6	723.3	722.8	721.2	83	88	86	E 0	NNE 1	NNE 2	10	3	7	.	
18	-5.6	-3.8	-5.0	-4.8	-7.0	720.0	717.1	716.9	90	81	90	NNE 2	NNE 3	NNE 3	5	5	2	.	⸙ a-n
19	-6.0	-6.6	-7.6	-6.7	-9.0	718.1	719.3	721.1	84	89	94	ENE 1	ENE 1	ENE 1	10	10	10*	0.8	▽ a, ✳ 18-n
20	-9.2	-5.2	-8.0	-7.5	-9.9	722.6	721.7	720.9	87	76	82	ESE 1	NNE 1	E 1	10	10	6	.	
21	-9.3	-3.0	-6.6	-6.3	-8.9	720.6	721.3	720.6	87	82	89	ESE 1	NNE 1	SE 1	10	1	2	0.0	▽ 9
22	-5.6	-2.0	-2.6	-3.4	-6.0	720.4	720.2	721.2	90	67	87	E 1	NNE 1	E 1	10	10	10	.	
23	-6.0	1.2	-4.0	-2.9	-5.5	723.1	722.1	724.3	85	70	91	NNE 1	NNE 1	NNE 1	3	5	1	.	
24	-3.6	-0.8	-1.8	-2.1	-4.8	725.7	725.3	726.0	91	80	92	NNE 1	NNE 1	NNE 1	10	10	10	.	
25	-3.8	-2.3	-2.2	-2.8	-5.6	726.3	725.2	723.9	91	70	73	NNE 1	NNE 1	NNE 2	10	2	1	.	
26	-4.5	-2.0	-2.8	-3.4	-6.3	724.1	724.3	726.1	87	60	70	NNE 1	NNE 2	NNE 2	10	0	0	.	
27	-3.0	0.0	-1.6	-1.5	-4.6	726.9	727.7	730.4	76	62	77	NE 1	NNE 1	E 1	10	10	0	.	
28	-4.8	2.0	1.6	-0.4	-3.6	734.6	733.8	735.9	85	51	73	NNE 1	NNE 1	E 0	10	3	10	.	
29	2.0	5.2	4.4	3.9	0.7	736.5	734.6	736.0	67	51	75	E 0	ENE 1	SE 1	10	3	10	0.8	● n (29./1.)
Mittel	-7.9	-4.2	-6.2	-6.1	—	725.3	724.9	725.5	80	71	79				7.6	5.6	6.0	Summe 5.4	

$\lambda = 8° 34'$, $\beta = 47° 23'$,
$H_b = 569.4$ m, $G = -0.01$ mm

Zürich

Februar 1956
Beobachter: *Meteorologische Zentralanstalt*

Tag	Lufttemperatur 7³⁰	13³⁰	21³⁰	Mittel	Abweich. vom Normalst	Luftdruck 7³⁰	13³⁰	21³⁰	Relative Feuchtigkeit 7³⁰	13³⁰	21³⁰	Windrichtung und Stärke 7³⁰	13³⁰	21³⁰	Bewölkung 7³⁰	13³⁰	21³⁰	Niederschlag	Witterung
1	-13.9	-13.1	-17.1	-14.7	-13.4	705.3	707.1	710.2	77	58	76	NE 2	NE 2	NNE 1	10*	10	8	0.1	✳fl 0-24 mU
2	-20.0	-15.2	-16.0	-17.1	-15.9	711.7	713.0	716.1	76	57	78	NNE 1	NE 2	ENE 1	10	4	9*	0.2	✳fl 21½-24
3	-16.6	-6.9	-11.0	-11.5	-10.3	717.5	718.0	720.1	73	46	70	ENE 2	NE 2	ENE 1	2	4	0	0.0	
4	-12.7	-4.1	-8.0	-8.3	-7.2	720.3	720.9	723.1	86	45	75	NE 1	ENE 2	NE 1	2	1	4	.	
5	-10.2	-5.9	-7.0	-7.7	-6.7	723.2	**723.3**	722.0	84	53	62	ENE 1	NE 1	ENE 1	8	10	9	0.0	✳fl a
6	-6.7	-0.5	-2.8	-3.3	-2.4	720.8	718.2	718.0	78	53	70	NE 1	S 1	N 1	10	9	9	0.0	✳fl a
7	-5.6	-1.6	-7.7	-5.0	-4.2	719.4	720.8	722.0	85	**42**	69	NNW 1	ENE 1	NE 1	10	6	0	0.5	✳ 8½-9, ✳fl a-p mU
8	-10.8	-3.3	-5.3	-6.5	-5.8	719.8	716.6	712.3	84	47	87	SSE 1	S 1	SSW 1	6	9	10*	**4.0**	✳ 21¾-23½
9	-6.8	-15.0	-19.7	-13.8	-13.2	708.4	710.0	710.9	91	63	74	NNW 2	NNE 2	NNE 2	10*≡	10*	9*	1.4	✳ 5¾-7½, 7½-24 mU, ≡ n-a
10	**-22.9**	-17.4	-20.6	-20.3	-19.8	709.0	707.9	707.5	75	60	73	NE 2	NNE 2	ENE 1	10	8	1	0.0	
11	-19.2	-12.3	-14.9	-15.5	-15.1	703.6	701.9	703.5	79	55	79	SE 1	E 1	NE 1	10	8	9	1.1	✳fl a, ✳° p-n mU
12	-14.1	-10.0	-14.6	-12.9	-12.6	702.6	702.3	703.2	81	57	80	NE 1	NNE 1	NNE 1	10*	3	9*	0.5	✳ n-a mU, p-n mU
13	-17.7	-9.5	-12.3	-13.2	-13.0	699.5	**697.3**	699.4	89	53	75	SSE 0	NE 1	NNE 1	2	10	0	0.0	⌴ l
14	-13.5	-7.0	-9.3	-9.9	-9.8	703.0	703.3	704.5	89	51	63	SSW 1	SW 1	WSW 1	10	2	9	0.9	⌴ l
15	-10.0	-6.9	-6.0	-7.6	-7.6	706.6	705.4	706.7	83	70	82	SSW 2	SW 3	SW 2	10*	10*	10	1.5	✳fl 0-15, 15-21, ⸗ 10¾-21
16	-5.0	-0.4	-4.8	-3.4	-3.5	706.6	707.5	708.0	81	58	90	SW 2	SW 1	NNE 0	10	9	9	0.1	✳fl a, p mU
17	-9.3	-1.6	-8.3	-6.4	-6.6	707.9	707.7	708.0	93	53	87	ENE 0	NE 1	NE 1	10	2	2	0.0	⌴ l
18	-10.2	-5.3	-8.5	-8.0	-8.3	706.1	703.9	703.1	92	59	76	N 1	NE 2	NNE 1	10	3	10	1.5	✳fl a, p, ⌴ l
19	-11.2	-6.7	-10.5	-9.5	-9.9	702.7	703.2	705.9	88	58	83	NNE 1	NW 1	WSW 1	10*	9	10*	0.4	✳ 1¾-2¾, n-11
20	-11.3	-5.8	-11.4	-9.5	-10.0	707.2	706.9	705.8	85	58	84	NW 1	N 1	NE 1	10	9	9	0.1	
21	-12.7	-6.0	-10.1	-9.6	-10.2	705.5	705.7	706.2	87	57	83	NE 1	NE 1	NE 1	10	9	0	0.0	
22	-12.2	-4.9	-9.2	-8.8	-9.5	705.6	705.3	706.2	96	57	86	NNE 1	NE 1	NE 1	10≡	0	9	0.0	≡ n-12, ⌴ l
23	-9.1	-3.8	-8.3	-7.1	-7.9	708.4	708.0	709.1	96	64	94	SSE 1	SW 1	ENE 1	10≡	10	9	0.0	≡ n-13, 13-n mU
24	-8.6	-2.1	-5.7	-5.5	-6.4	711.2	711.3	712.4	97	56	86	NNE 1	NE 1	NE 1	10	1	10	.	⌴ l
25	-6.7	-4.3	-7.2	-6.1	-7.1	712.1	711.1	710.5	94	67	76	NE 1	NNE 1	NNE 1	10	9	9	.	
26	-8.5	-3.0	-5.1	-5.5	-6.6	709.4	709.9	711.1	86	55	82	NE 1	ENE 1	NE 1	10	10	10	0.1	
27	-5.4	-2.1	-6.3	-4.6	-5.8	711.7	713.3	716.4	84	61	81	NNE 1	NNE 1	ENE 1	10	10	10	0.0	
28	-9.5	1.7	1.8	-2.0	-3.3	718.4	717.8	719.0	99	55	53	ENE 1	SSW 1	SW 1	10≡	10	10*	0.7	≡ n-11 mU
29	0.1	3.6	**4.3**	2.7	1.3	720.2	719.9	718.6	97	72	72	SW 1	SW 0	SSW 1	10	10	10●	2.4	✳ 1¾-1¾, 23-23¾, ●tr 21½
Mittel	11.0	-5.8	-9.0	-8.6	—	710.5	710.2	711.0	86	56	77				9.0	7.1	7.3	Summe 15.5	

$\lambda = 6° 32'$, $\beta = 46° 51'$,
$H_b = 1601$ m, $G = -0.16$ mm

Chasseron

Februar 1956
Beobachter: *J. Liardon*

Tag	7³⁰	13³⁰	21³⁰	Mittel	Abweich. vom Normalst	7³⁰	13³⁰	21³⁰	7³⁰	13³⁰	21³⁰	7³⁰	13³⁰	21³⁰	7³⁰	13³⁰	21³⁰	Niederschlag	Witterung
1	-10.5	-13.2	-23.6	-15.8	—	616.4	617.4	618.9	100	94	95	NW 2	N 2	N 2	10*≡	10*≡	5	0.1	✳fl a-n, ≡ n-p, ⋁ n-a
2	**-27.8**	-24.2	-25.2	-25.7	—	618.5	619.8	621.7	90	90	89	NE 3	NE 3	NE 4	5	0	0	.	≡ n-n mU, ✢ 8-n, ⸗ n-n
3	-21.2	-17.5	-17.6	-18.8	—	623.1	626.0	628.1	90	92	94	E 4	NE 4	NE 3	6	4	5	.	✢ ⸗ n-n
4	-18.1	-14.7	-14.8	-15.9	—	628.1	630.1	631.9	92	90	96	NE 4	NE 4	NE 3	0	2	0	.	✢ ⸗ n-n
5	-16.7	-6.8	-7.4	-10.3	—	632.3	634.1	633.5	91	32	92	E 3	N 2	NE 1	3	8	9	0.1	✳ p, ⸗ n-a
6	-7.2	-6.7	-10.4	-8.1	—	632.6	631.3	628.3	98	90	100	NNE 2	N 2	NNW 3	10	3	9	0.0	✳ fl p-n mU, ⸗ p-n
7	-13.4	-12.3	-15.1	-13.6	—	630.5	631.3	631.6	95	95	95	NNE 2	ENE 3	NE 3	5	6	0	0.0	⚥ 16½-18½ mU, ⸗ p-n
8	-13.2	-9.6	-10.2	-11.0	—	630.0	629.2	624.7	26	29	100	ENE 3	NNE 2	NW 4	3	7	10*≡	0.1	✳ ≡ 19½-n, ⸗ n-n mU
9	-11.2	-14.2	-16.2	-13.9	—	621.5	619.3	616.7	98	97	80	NNW 2	NNE 1	ENE 4	10≡	10*≡	0	0.4	✳ n-p mU, ≡ n-n mU, ⸗ p-n
10	-16.5	-14.2	-16.7	-15.8	—	613.2	613.4	614.1	88	87	88	ENE 5	E 4	E 3	10	7	7	0.0	← p, ✢ ⸗ n-n, ⸗ l
11	-16.7	-23.8	-22.4	-21.0	—	610.5	611.5	613.4	88	90	90	E 4	E 3	SSE 2	5	4	0	0.8	✳ n (11./12.), ≡ ⋁ n-n mU,
12	-20.9	-16.1	-20.0	-19.0	—	613.0	613.4	613.7	90	83	91	E 3	N 1	E 3	9	8	3	0.0	✳ n-a mU, ≡ a-p mU [⸗ n-p
13	-17.6	-18.2	-17.6	-17.8	—	611.2	**608.7**	610.7	93	93	93	W 2	SSE 4	NNE 2	9	10*	0	1.2	← a-19, ⋁ III, ⸗ II
14	-20.2	-13.6	-18.6	-17.5	—	614.3	615.6	616.9	93	95	93	NW 2	NW 2	NNW 2	10	9	0	0.1	≡ ⋁ n-n mU
15	-18.2	-13.8	-13.6	-15.2	—	618.7	619.4	620.3	92	95	95	NNW 3	NW 4	WNW 3	10■	10*≡	10*≡	**3.2**	← 8½-n, ≡ n-n, ⸗ a-n
16	12.2	-9.2	-12.4	-11.3	—	620.3	621.2	620.9	95	96	97	NW 3	WNW 3	SSE 2	10*	10≡	5	0.2	✳ n-12 mU, ≡ ⋁ 12-17½, ⸗ n-a
17	-14.6	-7.2	-14.4	-12.1	—	620.4	620.6	619.8	95	97	96	— 0	N 1	ESE 2	1	7	7*	0.3	⚥ p-n mU, ≡ a-p mU
18	15.6	13.6	16.3	-15.2	—	617.8	616.2	615.4	94	96	96	E 3	ENE 3	NNE 3	2	2	10≡	0.0	✳ 20-n mU, ≡ 15-n, ⸗ l
19	17.5	13.2	-19.9	-16.9	—	614.6	615.3	617.3	94	96	93	ENE 3	N 2	NW 2	10*	9	9	0.4	✳ n-17 mU, ≡ 15-n mU
20	-18.3	-9.8	-16.9	-15.1	—	617.9	618.3	617.7	93	96	95	NW 1	— 0	E 2	7	3	0	.	
21	-12.0	-9.2	-7.6	-9.6	—	617.1	618.8	619.4	95	96	55	SSW 3	ESE 2	E 3	7	4	2	.	⸗ n-a
22	-7.1	-4.0	-6.2	-5.8	—	618.5	619.2	620.4	38	31	28	ESE 3	SSE 2	— 0	8	6	4	.	
23	-9.1	-5.3	-7.4	-7.3	—	621.1	621.8	622.7	70	63	85	WNW 1	WNW 2	SSE 2	7	8	0	.	
24	-8.1	-3.9	-5.1	-5.7	—	623.5	624.7	625.1	94	43	55	ESE 3	SE 2	SE 3	9	5	2	.	⊕ 15½, ⸗ p-n
25	-3.2	-3.0	-7.4	-4.5	—	624.8	624.3	622.6	37	44	70	ESE 2	E 3	E 4	5	2	0	.	⸗ n-n
26	-2.7	-0.4	-11.6	-4.9	—	621.5	622.5	623.7	55	46	100	E 1	E 1	E 2	1	1	4≡	.	≡ p-n mU
27	-8.6	-7.7	-6.2	-7.5	—	623.8	625.7	628.5	99	74	23	ENE 3	ENE 3	E 4	3	2	0	.	⸗ a-n
28	-1.0	0.2	-5.0	-1.9	—	631.6	632.9	634.0	**20**	31	53	NE 2	NW 2	NW 3	4	9	10	0.0	✳ 22¾ n, ⊕ II
29	-0.6	**1.2**	-0.1	0.2	—	634.8	**635.4**	635.0	100	100	100	N 2	NW 2	W 3	10≡	8	10	2.7	✳ n 12 mU, ≡ ⋁ n n, [⸗ p-n
Mittel	-13.1	-10.5	-13.3	-12.3	—	621.4	622.0	622.3	83	78	84				6.5	6.0	4.2	Summe 9.6	

Februar 1956
Beobachter: *Stationspersonal Rh. B.*

Bever

$\lambda = 9° 53'$, $\beta = 46° 33'$,
$H_b = 1711.8$ m, G = –0.26 mm

Tag	Lufttemperatur 7³⁰	13³⁰	21³⁰	Mittel	Abweich. vom Normalst.	Luftdruck 7³⁰	13³⁰	21³⁰	Relative Feuchtigkeit 7³⁰	13³⁰	21³⁰	Windrichtung und Stärke 7³⁰	13³⁰	21³⁰	Bewölkung 7³⁰	13³⁰	21³⁰	Niederschlag	Witterung
1	–15.0	–8.6	–20.6	–14.7	–5.8	606.1	606.3	607.8	96	54	93	SW 0	W 1	NE 1	5	2	0	.	
2	–26.6	–20.3	–23.4	–24.1	–15.3	608.6	608.2	613.4	88	72	85	NE 1	NE 1	NE 1	0	0	0	.	⸙ p, ∨ I
3	–27.8	–17.0	–20.2	–21.7	–13.0	615.8	616.3	618.0	89	72	84	NE 1	NE 1	NE 1	0	1	0	.	
4	–21.9	–14.0	–19.9	–18.6	–10.0	619.2	620.1	622.5	82	53	71	NE 1	NE 1	NE 1	0	0	0	.	
5	**–31.2**	–12.2	–9.8	–17.7	–9.2	624.3	622.8	623.1	81	50	79	SW 0	N 0	N 0	5	5	10	.	
6	–13.8	–5.9	–9.9	–9.9	–1.5	621.7	619.5	617.1	95	51	81	S 0	W 2	N 0	10	3	10	0.0	∗fl 18, ⸙ n (6./7.)
7	–13.1	–11.5	–21.4	–15.3	–7.0	617.9	620.1	622.1	56	51	79	N 2	N 1	SW 0	10	9	0	.	
8	–28.9	–10.4	–8.1	–15.8	–7.6	620.7	618.1	614.2	93	41	95	SW 0	NE 1	NE 0	1	2	10*	**1.7**	∗ p–n
9	–11.9	–10.4	–21.3	–14.5	–6.4	610.3	607.6	607.4	95	46	84	S 0	W 1	NE 1	10	9	7	.	⸙ ⸸ p
10	–28.0	–19.8	–25.4	–24.4	–16.4	607.8	606.9	608.1	90	74	95	NE 1	NE 1	NE 0	10	10	0	.	
11	–25.3	–16.6	–21.4	–21.1	–13.2	603.7	603.4	606.8	92	87	95	SW 0	SW 0	W 0	10	10	0	0.0	
12	–27.8	–10.2	–17.2	–18.4	–10.6	604.5	603.0	603.1	95	56	70	SW 0	SE 1	N 0	5	2	5	.	⌴ I
13	–28.4	–15.6	–20.8	–21.6	–13.9	602.7	601.4	**601.3**	91	51	65	NW 0	NW 0	SW 0	0	1	6	.	
14	–27.4	–17.2	–25.2	–23.3	–15.7	604.0	604.5	607.3	96	41	80	SW 0	W 1	S 0	7	8	0	.	
15	–28.4	–12.6	–14.6	–18.5	–10.9	609.0	608.8	609.3	91	55	54	SW 0	W 0	SE 0	4	10	10	0.0	∗fl 18
16	–19.2	–7.6	–21.2	–16.0	–8.5	611.0	611.3	612.3	91	40	85	S 0	NW 0	SW 0	9	3	0	.	
17	–26.8	–9.0	–21.3	–19.0	–11.6	612.3	611.3	612.1	96	43	88	SW 0	SW 0	SW 0	0	0	0	.	
18	–25.1	–9.4	–13.3	–15.9	–8.6	608.9	605.5	605.3	93	53	91	SW 0	NE 1	NE 1	4	6	10*	0.5	∗ p–n mU
19	–16.1	–9.4	–13.0	–12.8	–5.6	605.0	606.0	608.4	86	90	96	NE 0	SE 0	NE 1	10	10	10	0.0	∗ p mU
20	–24.7	–6.0	–17.8	–16.2	–9.1	609.7	609.4	610.0	97	50	93	S 0	S 0	NW 0	1	0	3	.	
21	–17.5	–6.2	–17.3	–13.7	–6.7	610.2	610.8	613.2	100	51	90	SW 0	S 0	SW 0	1	3	0	.	
22	–23.8	–6.3	–16.2	–15.4	–8.5	613.1	612.0	613.1	91	41	86	SW 0	SW 0	SW 0	0	1	9	.	
23	–22.2	–1.0	–12.0	–11.7	–4.9	613.8	618.5	614.2	100	44	91	SW 0	SW 0	SW 0	3	7	4	.	
24	–19.9	–1.4	–14.6	–12.0	–5.3	617.1	617.6	619.3	100	47	95	SW 0	SW 0	W 0	3	6	1	.	∨ I
25	–19.8	–1.6	–11.0	–10.8	–4.2	618.0	617.7	616.5	100	51	84	SW 0	SW 0	W 0	0	0	0	.	
26	–13.6	0.8	–9.1	–7.3	–0.8	614.5	613.6	615.5	100	50	91	SW 0	SW 0	NW 0	6	4	0	.	
27	–12.2	**3.0**	–4.5	–4.6	1.8	616.4	616.1	619.4	100	52	61	SW 0	E 0	NE 1	9	1	0	.	
28	–18.2	**3.0**	–8.0	–7.7	–1.4	622.8	622.2	623.3	100	**33**	71	S 0	W 0	W 0	0	9	0	.	
29	–0.4	2.1	–1.6	0.0	6.3	623.6	**624.6**	624.4	67	65	91	SW 0	W 1	SW 0	1	7	3	.	
Mittel	–21.2	–8.7	–15.9	–15.3	—	612.8	612.5	613.4	91	54	84				4.3	4.4	3.4	Summe 2.2	

Februar 1956
Beobachter: *Couvent des Capucins*

Sion

$\lambda = 7° 22'$, $\beta = 46° 14'$,
$H_b = 548.6$ m, G = –0.14 mm

Tag	Lufttemperatur 7³⁰	13³⁰	21³⁰	Mittel	Abweich. vom Normalst.	Luftdruck 7³⁰	13³⁰	21³⁰	Relative Feuchtigkeit 7³⁰	13³⁰	21³⁰	Windrichtung und Stärke 7³⁰	13³⁰	21³⁰	Bewölkung 7³⁰	13³⁰	21³⁰	Niederschlag	Witterung
1	–2.5	–3.8	–9.1	–5.1	–5.4	703.7	704.9	707.6	85	78	72	SW 2	WSW 3	WSW 3	10	1	0≡	.	≡ p–n, ⸙ a–n
2	–14.2	–11.7	–13.0	–13.0	–13.4	712.4	711.7	715.1	71	74	60	W 2	WSW 2	W 1	10	6	0	.	
3	–14.0	–10.4	–11.2	–11.9	–12.4	716.8	716.9	719.1	72	55	64	W 0	S 0	ESE 0	10	5	0	.	
4	–13.8	–7.4	–9.1	–10.1	–10.7	720.0	720.5	723.6	75	54	61	ESE 0	E 1	E 1	0	0	0	.	
5	–11.9	–5.2	–7.8	–8.3	–9.0	**725.3**	724.7	724.5	76	51	65	E 0	WSW 1	NNW 0	0	8	0	.	
6	–10.8	–2.5	–2.0	–5.1	–5.9	723.0	719.8	718.6	84	51	67	N 0	N 0	N 0	0	0	0	.	
7	–4.9	0.2	–5.0	–3.2	–4.1	719.4	719.4	721.5	70	39	75	NE 0	SSW 1	W 0	1	2	0	.	
8	–9.9	–2.0	–3.3	–5.1	–6.1	721.3	718.2	715.6	70	41	57	ENE 1	ENE 1	WSW 1	0	8	5	.	
9	–4.0	–0.5	–10.8	–5.1	–6.2	711.2	706.8	706.2	81	65	72	SSE 0	W 1	W 3	10	10	10	.	⸙ III
10	–14.9	–11.0	–14.8	–13.6	–14.8	706.9	700.3	707.3	75	63	73	W 0	WSW 1	W 0	10	6	10	.	
11	**–15.6**	–11.7	–12.7	–13.3	–14.6	703.6	703.6	706.2	76	58	67	W 0	SSW 2	SSW 1	10	7	10	0.0	⸸ 7¾–8½
12	–13.3	–8.2	–8.9	–10.5	–11.9	705.3	703.5	703.8	76	57	72	NNW 1	NNW 1	NNW 1	10	7	10	.	
13	–11.4	–7.9	–8.5	–9.3	–10.8	703.5	**699.6**	700.5	75	51	91	E 1	E 0	W 1	10	10	10*≡	**0.5**	∗ 21–22¾, ≡ p–n
14	–9.3	–5.6	–10.3	–8.4	–10.0	705.1	705.8	708.2	72	46	58	W 1	WSW 2	N 2	10	5	0	.	
15	–12.7	–3.8	–4.9	–7.1	–8.8	711.6	711.1	711.1	71	45	62	NNE 1	NNE 1	W 2	8	10	10	.	
16	–8.3	–0.7	–3.9	–4.3	–6.1	711.6	710.9	710.6	76	46	66	NNW 1	NNE 0	W 0	3	5	0	.	
17	–9.6	–1.3	–6.1	–5.7	–7.6	711.4	710.1	710.2	72	37	60	NE 1	ENE 0	NE 2	0	1	0	.	
18	–11.0	–3.2	–5.4	–6.5	–8.5	708.2	704.6	703.2	76	45	70	ENE 1	WSW 1	WNW 0	0	0	10	0.3	∗ 20¾–21¼ mU
19	–7.4	–3.4	–7.0	–5.9	–8.1	704.5	705.1	707.5	74	64	70	SSW 0	SSW 0	W 0	10*	10	10	0.1	∗ 3–4¼ mU, ∗° a
20	–8.0	–4.0	–6.4	–6.1	–8.4	709.3	709.0	708.1	92	66	72	WSW 0	WSW 1	WSW 0	10	8	10≡	.	≡ p–n
21	–9.0	–0.4	–4.4	–4.6	–7.0	708.4	707.5	708.7	90	55	80	WSW 0	ENE 0	ENE 0	5	1	7	.	
22	–4.4	4.2	–2.8	–1.0	–3.5	708.6	706.8	708.8	60	**35**	81	ENE 0	ENE 0	ENE 0	9	9	9≡	.	≡ p–n
23	–4.4	4.2	–0.4	–0.2	–2.8	710.8	709.9	711.0	90	54	73	SSW 0	W 0	W 0	10	9	10	.	
24	–3.6	6.0	3.6	2.0	–0.7	713.4	713.2	714.3	72	**35**	42	ENE 0	ENE 1	ENE 0	8	10	4	.	
25	–1.6	7.1	–2.1	1.1	–1.7	713.3	711.6	711.3	57	37	83	ENE 1	NE 0	NE 0	3	0	0	.	
26	–4.1	–0.1	–4.0	–2.7	–5.7	711.1	711.8	713.2	92	71	85	SW 0	SW 0	W 0	10	8	0	.	
27	–2.9	1.0	–2.7	–1.5	–4.6	713.7	714.4	717.4	83	65	81	W 0	W 1	W 0	10	8	10	.	
28	–5.6	4.1	0.9	–0.2	–3.4	720.5	720.3	722.0	94	55	69	W 0	W 0	W 0	0	7	0	.	
29	3.5	**9.9**	4.9	6.1	2.9	722.8	721.8	722.5	61	39	67	W 0	NW 0	NE 0	9	7	0	.	
Mittel	–8.3	–2.4	–5.8	–5.5	—	712.3	711.3	712.3	76	53	69				6.4	5.8	4.6	Summe 0.9	

$\lambda = 8° 58'$, $\beta = 46° 00'$,
$H_b = 276.2$ m, $G = -0.04$ mm

Lugano

Februar 1956
Beobachter: *G. Vicari*

Tag	Lufttemperatur 7³⁰	13³⁰	21³⁰	Mittel	Abweich. vom Normalst	Luftdruck 7³⁰	13³⁰	21³⁰	Relative Feuchtigkeit 7³⁰	13³⁰	21³⁰	Windrichtung und Stärke 7³⁰	13³⁰	21³⁰	Bewölkung 7³⁰	21³⁰	13³⁰	Niederschlag	Witterung
1	-1.2	-2.8	-3.4	-2.5	-4.6	725.2	727.8	728.5	94	85	79	N 1	SSE 1	S 1	10	10	10	0.0	✳fl 11½-12
2	-6.2	-2.2	-4.8	-4.4	-6.6	730.3	730.5	733.7	56	61	63	N 1	S 1	S 1	0	4	8	.	⌣ |
3	-7.8	2.6	-3.4	-2.9	-5.1	737.3	737.4	737.4	64	57	61	N 1	S 1	S 1	0	0	2	.	⌣ |
4	-7.4	0.2	-4.4	-3.9	-6.2	742.3	743.8	746.6	73	66	79	NNW 1	SW 1	N 1	0	6	0	.	⌣ |
5	-7.8	2.4	-4.2	-3.2	-5.6	**748.5**	746.3	744.6	77	58	83	N 1	SSE 1	N 1	0	0	0	.	⌣ |
6	-5.6	1.4	-3.4	-2.5	-5.0	744.5	742.3	738.4	84	64	75	NNW 1	NNW 1	N 1	0	0	0	.	⌣ |
7	1.2	4.2	-1.4	1.3	-1.2	740.8	742.3	743.0	33	**31**	35	NNE 2	N 2	N 2	1	0	0	.	⌣ |
8	-6.0	4.2	-2.4	-1.4	-4.0	742.1	739.5	733.9	53	38	51	NNW 1	S 1	N 1	0	8	0	.	⌣ |
9	0.4	3.4	-0.8	1.0	-1.7	729.7	727.6	727.1	43	63	58	NNW 1	S 1	S 1	0	0	10	0.0	✳ n (9./10.) ⌣ |
10	-6.2	-5.4	-6.8	-6.1	-8.9	729.1	730.4	731.0	93	85	96	SSW 1	S 1	S 1	10	10*	10*	2.5	✳ a-n mU ✳
11	-7.4	-3.8	-6.4	-5.9	-8.8	725.7	726.6	728.5	99	87	96	N 1	NE 1	N 1	10*	10*	10	1.3	✳ n-20½ ✳
12	**-10.2**	1.8	-5.2	-4.5	-7.5	725.7	723.9	724.1	88	70	91	NW 1	SW 1	NNW 1	0	1	10	.	⌣ | ✳
13	-5.4	2.4	-3.4	-2.1	-5.2	721.8	**720.7**	721.2	57	46	83	W 1	S 1	SSW 1	0	0	9	.	⌣ | ✳
14	-5.8	-0.2	-5.4	-3.8	-7.0	725.4	726.3	729.8	44	32	38	NE 2	N 2	NNE 2	1	0	0	.	⌣ | ✳
15	-9.4	-0.2	-6.8	-5.5	-8.8	731.9	732.9	733.9	55	47	66	N 1	SSW 1	NNW 1	1	7	0	.	⌣ |
16	-8.4	0.4	-5.6	-4.5	-7.8	735.2	734.8	735.5	75	51	72	N 1	S 1	N 1	10	4	0	.	⌣ |
17	-8.8	1.4	-5.8	-4.4	-7.8	736.7	735.3	734.7	83	56	73	NNW 1	S 1	N 1	10	0	0	.	⌣ |
18	-6.8	1.8	-2.4	-2.5	-6.0	729.7	725.9	723.1	74	55	71	N 1	S 1	SSW 1	0	0	10	.	⌣ |
19	-4.6	1.2	-1.8	-1.7	-5.3	726.3	728.0	730.0	79	78	99	N 1	S 1	N 1	10	9	10*	2.7	✳ p-n
20	-2.6	2.2	0.4	0.0	-3.8	730.3	730.7	731.7	95	71	99	NNW 1	SW 1	NW 1	10	10	10	**3.5**	✳ n-n mU, ⌣ | ✳
21	-0.4	3.2	-0.2	0.9	-3.0	731.3	733.1	734.0	99	77	88	NNE 1	S 1	N 1	10*	10	3	0.0	✳ n-a ✳
22	-3.4	3.8	-0.2	0.1	-3.9	734.5	733.6	734.8	81	71	83	NNW 1	SSW 1	N 1	5	6	10	.	⌣ | ✳
23	-1.2	4.4	1.4	1.5	-2.7	734.2	734.4	735.6	74	63	67	N 1	S 1	N 1	10	10	7	.	⌣ | ✳
24	-0.6	7.2	2.4	3.0	-1.3	738.4	739.8	740.8	82	67	75	NW 1	S 1	S 1	3	6	8	.	⌣ | ✳
25	0.8	6.2	2.8	3.3	-1.1	739.1	737.8	735.8	75	66	84	N 1	ESE 1	S 1	10	10	10	.	⌣ | ✳
26	1.6	8.4	1.0	3.7	-0.9	733.6	733.8	736.5	82	67	73	W 1	S 1	N 1	10	0	9	.	
27	0.6	8.4	1.6	3.5	-1.2	735.8	735.4	738.1	83	71	82	N 1	SSE 1	N 1	9	0	0	.	
28	-0.8	8.8	3.4	3.8	-1.1	741.3	741.1	740.5	85	73	78	N 1	S 1	N 1	0	6	0	.	⌣ |
29	2.6	**19.4**	6.4	9.5	4.6	740.4	741.2	743.5	89	42	78	N 1	ENE 2	N 1	0	5	10	.	⌣ |
Mittel	-4.3	2.9	-2.0	-1.0	—	734.0	733.9	734.4	74	62	75				4.5	4.5	5.4	Summe 10.0	

$\lambda = 7° 35'$, $\beta = 47° 33'$,
$H_b = 317.3$ m, $G = -0.08$ mm

Basel

Februar 1956
Beobachter: *Astronom.-Meteorol. Anstalt*

Tag	Lufttemperatur 7³⁰	13³⁰	21³⁰	Mittel	Abweich. vom Normalst	Luftdruck 7³⁰	13³⁰	21³⁰	Relative Feuchtigkeit 7³⁰	13³⁰	21³⁰	Windrichtung und Stärke 7³⁰	13³⁰	21³⁰	Bewölkung 7³⁰	21³⁰	13³⁰	Niederschlag	Witterung
1	-14.5	-12.9	-15.9	-14.4	-14.6	730.6	732.5	735.0	85	77	84	WNW 1	WNW 1	NW 1	10*	10	10	0.6	✳fl a-p mU ✳
2	-19.2	-14.7	-15.1	-16.3	-16.6	737.3	738.6	740.6	85	72	68	NW 1	N 1	N 1	10*	10	1	0.3	✳ 7½-a ✳
3	-14.7	-5.1	-7.2	-9.0	-9.3	742.0	742.5	744.0	80	51	60	SSW 1	ENE 0	ENE 1	10	2	10	.	✳
4	-14.4	-3.0	-6.3	-7.9	-8.3	744.5	746.0	747.0	89	49	70	SW 0	NW 1	NNE 1	1	6	5	.	⌣ | ✳
5	-13.0	-4.6	-4.7	-7.4	-7.9	**747.6**	747.5	746.1	91	60	67	WNW 0	W 0	E 1	0	10	10	.	✳
6	-4.6	-0.6	-1.6	-2.3	-2.8	744.2	741.9	742.4	60	49	60	E 1	NW 1	NW 0	10	10	10	.	✳
7	-4.6	-2.2	-11.3	-6.0	-6.6	743.9	744.7	745.7	91	68	89	NW 1	N 0	SE 0	10	9*	0	0.1	●tr 10½-10¾, ✳fl 13¼-15¾ mU ✳
8	-13.2	0.1	-3.3	-2.5	-6.2	744.0	740.4	735.5	90	46	82	ESE 1	SSW 0	WSW 1	1	4	10*	2.2	✳ 21-22¾, ⌣ ⋁ | ✳
9	-8.2	-10.9	-16.9	-12.0	-12.7	733.0	734.3	735.4	90	80	58	NNW 2	NNW 1	ENE 1	10*	10*	0	1.8	✳ 4½-13½
10	**-21.5**	-16.5	-17.0	-18.3	-19.1	734.9	733.5	732.4	72	56	72	NW 1	NNE 1	ESE 1	4	8	8	0.1	✳
11	-15.9	-11.6	-12.6	-13.4	-14.3	729.3	727.5	727.6	86	73	86	WNW 1	N 1	NW 1	10*	10	10*	2.1	✳ 7½, ✳fl 21 22 ✳
12	-14.2	-12.8	-17.4	-14.8	-15.8	727.9	728.7	728.9	87	70	84	W 1	NW 1	SW 1	10*	9	0	0.1	✳ 0-8 ✳
13	-18.2	-10.3	-14.2	-14.2	-15.2	724.3	**721.6**	723.6	85	66	86	SE 1	E 2	SSW 1	2	10	0	0.1	✳fl a mU, ⌣ ⋁ | ✳
14	-17.1	-4.1	-9.3	-10.2	-11.3	727.4	727.8	728.5	89	52	73	E 1	NW 0	SW 2	3	0	0	0.0	⌣ ⋁ | ✳
15	-8.8	-4.5	-3.6	-5.6	-6.8	730.3	729.7	729.7	74	75	70	SW 1	WNW 2	WSW 2	10	10*	10	**2.4**	✳fl 13½, ⸝ 20 ✳
16	-4.0	-1.0	-6.6	-3.9	-5.2	730.2	731.1	731.5	93	67	87	SSW 0	WNW 1	NW 0	10*	10	2	0.3	✳ 3½-10 ✳
17	-8.8	-6.0	-9.8	-8.2	-9.5	731.7	732.1	732.4	89	73	87	WNW 1	NW 1	W 0	10*	9*	7	0.4	✳ 7-8, 13¼-14¼ ✳
18	-12.5	-7.2	-9.2	-9.6	-11.0	731.6	729.1	728.2	89	72	80	E 1	WNW 1	WNW 1	10*	5	10	0.5	✳ 7-8 ✳
19	-11.4	-8.6	-14.0	-11.3	-12.8	727.6	728.0	729.9	87	70	89	WNW 2	WNW 1	SW 0	10*	10	10	1.5	✳fl 0-7½, 12 12¾, 14¼ 15 ✳
20	-15.0	-6.7	-13.6	-11.8	-13.4	731.5	731.6	730.7	88	51	84	SSW 0	WNW 1	SW 1	10	0	6	0.0	✳
21	-16.6	-6.9	-14.9	-12.8	-14.4	729.9	729.9	730.2	89	65	84	SSE 0	NW 1	WSW 1	10	0	0	.	⌣ ⋁ | ✳
22	-19.5	-7.6	-13.6	-13.6	-15.3	730.0	729.6	730.2	87	66	84	WSW 0	WNW 1	SSW 1	0	0	0	.	⌣ ⋁ | ✳
23	-14.6	-5.4	-12.3	-10.8	-12.6	731.8	731.9	733.1	92	70	90	SSW 1	WNW 1	SW 1	10≡	10	0	.	≡ 1 11, ⌣ ⋁ | ✳
24	-12.7	-3.8	-5.9	-7.5	-9.4	734.9	734.9	735.5	92	72	80	SW 0	NW 1	E 1	10≡	0	0	.	≡ 1½-10, ⌣ ⋁ | ✳
25	-5.6	-3.8	-10.8	-6.7	-8.7	735.6	734.9	734.3	83	73	86	ENE 1	WNW 1	SW 1	10	0	0	.	✳
26	-11.9	-5.4	-5.2	-7.5	-9.6	733.9	734.0	735.0	89	68	78	WNW 1	WNW 1	NW 1	10	10	10	0.0	✳ 9¾-10½ ✳
27	-9.5	-2.5	-9.6	-7.2	-9.4	735.9	737.1	739.7	86	58	81	WSW 1	NW 1	SSW 1	9	0	0	.	✳
28	-12.2	3.6	3.4	-1.7	-4.0	741.5	740.9	741.6	89	**41**	44	SE 1	SE 1	W 1	4	10	10	0.7	✳ 23¼-24, ⌣ ⋁ | ✳
29	0.4	**4.5**	2.9	2.6	0.2	743.3	743.1	741.5	91	70	84	ESE 0	ESE 1	ENE 1	10	10	10●	1.0	✳ 0-2¾ ✳
Mittel	-12.3	-5.9	-9.5	-9.2	—	734.8	734.6	735.0	86	64	77				7.7	6.6	5.1	Summe 14.2	

Februar 1956
Beobachter: *Observatorium*

Säntis

$\lambda = 9° 21'$, $\beta = 47° 15'$,
$H_b = 2500.1$ m, $G = -0.29$ mm

Tag	Lufttemperatur 7³⁰	13³⁰	21³⁰	Mittel	Abweich. vom Normalst	Luftdruck 7³⁰	13³⁰	21³⁰	Relative Feuchtigkeit 7³⁰	13³⁰	21³⁰	Windrichtung und Stärke 7³⁰	13³⁰	21³⁰	Bewölkung 7³⁰	13³⁰	21³⁰	Niederschlag	Witterung
1	-17.8	-18.3	-26.3	-20.8	-11.7	545.5	545.5	545.8	97	91	100	W 2	WNW 3	SW 2	10≡*	10≡	10≡	1.3	✳ n-9, ≡ n-13¾, 20¼-n, ⋁ n-10
2	**-30.3**	-28.0	-23.6	-27.3	-18.2	545.8	547.3	550.5	87	82	90	NE 2	NE 4	NE 5	1	1	0	.	⚲ a-n, ⚲ III
3	-22.0	-19.6	-23.8	-21.8	-12.6	552.7	555.6	556.4	81	75	85	NE 5	NE 4	NNE 4	1	6	0	.	⚲ n-a, ⚲ a-n
4	-24.2	-23.4	-23.8	-23.8	-14.6	556.8	558.3	560.2	97	96	98	NE 4	NE 3	NE 3	1	1	0	.	≡ 15-17½ mU, 17½-19½, ⚲ n-a
5	-13.2	-12.4	-15.1	-13.6	-4.4	562.4	562.8	562.4	**27**	71	98	NE 3	N 2	NW 2	3	9*	10	0.3	✳ fl 13-13½, 14½-17, 19-n mU
6	-15.8	-15.1	-17.7	-16.2	-7.0	560.8	559.4	558.0	98	98	97	NW 2	W 3	N 2	10≡	10≡*	10≡*	13.7	✳ 12¾-n, ≡ n-n, ⋁ n-9½
7	-20.8	-20.0	-23.4	-21.4	-12.2	557.8	558.9	550.7	98	98	97	N 2	N 2	NE 2	10≡*	10≡*	0	2.6	✳ n-14, ≡ n-14¼, 17½-21
8	-20.4	-14.4	-17.3	-17.4	-8.2	558.6	557.5	553.9	47	92	99	NNE 3	N 3	W 3	8	10	10■*	3.5	✳ 15½-n, ≡ 15-n
9	-19.2	-20.6	29.6	-23.1	13.9	549.8	547.4	545.4	98	95	93	WNW 2	W 2	N 2	10≡*	10■	0	3.7	✳ n-11½, ≡ n-14½
10	-22.1	-19.2	-18.3	-19.9	-10.7	544.7	545.0	545.3	72	67	87	NE 4	ENE 3	ENE 2	10	2	0	.	⚲ n-a
11	-15.8	-14.8	-17.9	-16.2	-7.0	542.7	542.0	543.6	82	80	98	NE 4	E 2	SW 2	9	9	3	0.2	✳ n (11./12.), ⚲ I
12	22.0	-20.2	24.2	-22.1	-12.9	542.5	542.4	542.1	98	98	96	W 3	WSW 2	NNW 2	10≡	5≡	0	0.7	✳ n-7 mU, 15½-21, ≡ n-7½,
13	-25.0	-22.3	-24.6	-24.0	-14.8	540.1	**539.5**	539.7	92	94	96	WSW 2	WSW 2	NW 2	1	6	9	1.8	✳ n (13./14.) [12-21
14	-27.6	23.4	-25.9	-25.6	-16.5	542.0	543.1	544.3	98	97	98	WNW 2	WSW 2	W 3	10≡	10≡*	10≡*	2.3	✳ n-6¾, 12½-n mU, ≡ n-n
15	-25.7	-21.7	20.5	-22.6	-13.5	545.2	545.6	546.9	98	96	97	W 4	W 4	WSW 4	10≡	10≡	10≡	4.9	✳ 7-9, 15-17, 20¾-n mU,*)
16	-19.0	-17.6	-19.2	18.6	-9.5	548.8	550.0	550.5	96	92	100	W 3	W 3	WSW 2	10≡*	3≡	10≡	1.3	✳ n-12, ≡ n-13½, 17-n,
17	-20.2	-15.4	-19.0	-18.2	-9.2	549.9	550.3	550.4	92	82	90	SW 2	SW 1	SW 1	0	1	0	.	[✢ n-11
18	-18.9	-19.0	21.4	19.8	-10.8	548.0	546.1	544.3	81	92	97	NE 2	NNE 3	NNE 3	1	1	10≡	0.3	≡ 19¼-n. ✳ n (18./19.)
19	-21.7	-16.2	-18.2	-18.7	-9.7	543.7	544.7	546.9	98	78	85	N 1	S 2	SSW 2	8	10	0	.	
20	-14.3	-13.8	-15.8	-15.6	-6.7	547.6	548.5	548.7	78	74	88	S 2	SE 2	E 3	0	6	10	.	
21	-15.2	-12.0	-14.4	-13.9	-5.0	549.0	550.7	551.6	84	79	78	SSE 3	SSW 3	SE 2	1	2	0	.	
22	-14.0	-10.2	-12.2	-12.1	-3.3	550.6	551.3	551.9	45	51	62	SW 2	SW 2	ESE 1	1	2	1	.	
23	-13.5	-8.8	-13.1	-11.8	-3.0	552.1	552.7	553.8	75	71	97	WSW 2	SW 1	SE 2	1	6	2	0.0	✳ 17¼-17¾, ≡ 17-18
24	-13.3	-10.8	-10.9	-11.7	-3.0	555.2	556.2	557.2	84	72	60	ESE 2	ESE 2	SW 1	1	2	7	.	
25	-9.6	-5.0	-8.7	-7.8	0.8	556.9	556.7	555.4	68	46	87	SSW 1	SE 1	SE 3	1	1	1	.	
26	-7.4	**-4.4**	-7.0	-6.3	2.3	554.4	555.3	556.1	92	69	86	ESE 2	ENE 2	ENE 1	1	1	1	.	
27	-6.2	-7.0	-10.2	-7.8	0.7	556.6	557.7	560.3	88	49	42	NE 2	NE 3	NE 3	1	1	0	.	
28	-8.8	-7.2	-10.4	-8.8	-0.4	562.1	563.1	562.8	65	61	76	N 2	W 3	W 4	1	10	10	3.4	✳ (28./29.), ⚲ p-n
29	-7.4	-5.0	-5.8	-6.1	2.3	565.1	**565.3**	564.7	100	100	100	NW 3	W 3	W 4	10≡	10≡	10≡	**17.7**	✳ 11-12, 15¼-16, *)
Mittel	-17.7	-15.4	-17.9	-17.0	—	551.3	551.7	552.0	83	81	89				4.9	5.7	4.6	Summe 57.7	

*) 15. ≡ ✢ ⚲ n-n, ⚲ 16½ 29. ✳ 19½-n mU, ≡ ✢ ⋁ n-n, ⚲ III

Februar 1956
Beobachter: *E. Chiesa*

St. Gotthard (Hospiz)

$\lambda = 8° 34'$, $\beta = 46° 33'$,
$H_b = 2095$ m, $G = -0.27$ mm

Tag	7³⁰	13³⁰	21³⁰	Mittel	Abweich. vom Normalst	Luftdruck 7³⁰	13³⁰	21³⁰	Relative Feuchtigkeit 7³⁰	13³⁰	21³⁰	Windrichtung und Stärke 7³⁰	13³⁰	21³⁰	Bewölkung 7³⁰	13³⁰	21³⁰	Niederschlag	Witterung
1	-17.2	-20.0	-26.8	-21.3	-13.8	575.9	576.0	576.7	89	88	86	NW 2	NW 3	NW 3	0	0	0	.	⋁ ✢ ⚲ n-n
2	**-28.5**	-26.6	-26.0	-27.0	-19.5	576.6	577.4	580.5	84	82	84	NW 3	NW 3	NW 3	0	0	0	.	⋁ ✢ ⚲ n-n
3	-24.8	-19.4	-22.4	-22.2	-14.7	583.2	585.5	586.4	85	62	89	NW 3	NW 2	NW 3	0	0	0	.	⋁ ✢ ⚲ n-n
4	-21.6	-20.4	-21.5	-21.2	-13.7	587.0	588.2	590.3	82	74	87	NW 3	NW 3	NW 3	0	0	0	.	⋁ ✢ ⚲ n-n
5	-13.0	-10.0	-13.0	-12.0	-4.5	591.8	592.2	592.1	**19**	27	60	NW 3	NW 2	NW 3	0	9	0	.	✢ ⚲ n-n, ⋁ I
6	-14.6	-12.2	-12.6	-13.1	-5.6	590.9	589.8	586.9	72	95	94	NW 2	NW 3	NW 3	10≡	10≡	10≡	6.5	≡ ⚲ ⋁ n-n, ✢ p-n
7	-16.8	-17.0	19.2	-17.7	-10.2	586.8	589.1	589.7	88	68	53	NW 4	NW 2	NW 3	10≡	0	0	.	✢ ⋁ n-a, ≡ n-10½, 15½-20¼ mU,
8	-17.0	-14.0	-14.0	-15.0	-7.5	588.7	587.7	583.8	48	52	76	NW 3	NW 3	NW 3	0	6	10	3.9	✢ ⚲ ⋁ n-n [⚲ n-n mU, ⋁ I, III
9	-15.2	-17.2	-28.4	-20.3	-12.9	580.1	578.1	576.2	98	90	88	NW 2	NW 3	NW 3	10■	9	6	.	≡ n-a, ✢ ⚲ ⋁ n-n
10	-23.0	-16.2	-18.3	-19.2	-11.8	575.1	575.3	575.2	90	71	89	NW 2	NW 1	NW 1	9	10	3	.	
11	-15.8	-14.1	-18.8	-16.2	-8.8	572.1	572.7	574.3	66	80	90	NW 2	SE 0	SE 0	10	9	0	.	≡ 17-20, ⋁ I
12	-19.2	-27.2	-24.0	-20.1	-12.7	573.1	573.1	572.6	75	84	91	NW 2	NW 2	NW 3	10	9	10	.	✢ ⚲ ⋁ 16½-n
13	-24.4	-29.9	-22.2	-22.2	-14.8	570.9	**569.9**	570.1	89	70	90	NW 2	NW 2	NW 2	0	9	6	.	
14	-23.1	-21.5	-22.4	-22.3	-15.0	572.0	573.7	575.3	91	88	90	NW 3	NW 2	NW 3	10	9	10	2.4	✢ ⚲ ⋁ n-n mU
15	22.2	17.2	-15.8	-18.4	-11.1	577.1	578.5	578.9	92	85	94	NW 2	NW 1	NW 2	9	10	10	1.7	✢ a, n (15./16.), ⋁ a, p-n
16	-16.4	-13.3	-17.8	-15.8	-8.5	580.3	581.0	581.2	91	80	71	NW 0	NW 0	NW 0	10	0	0	.	
17	-18.4	-13.0	-17.8	-16.4	-9.2	581.0	581.1	580.8	71	65	72	SE 1	SE 0	NW 1	0	3	0	.	
18	-18.4	-17.0	-19.0	-18.1	-10.9	577.9	575.7	574.3	65	75	90	NW 2	NW 2	NW 3	0	0	10≡	0.8	✢ ⚲ ⋁ ≡ 14½-n
19	-20.0	-13.6	-14.4	-15.9	-8.8	574.0	575.2	576.9	88	86	84	NW 2	SE 1	SE 1	10≡	9	10≡	4.7	✳ 17¾-n mU, ≡ n-a,
20	-13.4	-11.0	-12.2	-12.2	-5.2	577.6	578.6	578.6	90	88	95	SE 1	SE 1	SE 2	10	10	10*	**7.8**	✳ 9¾-n mU [16½-n
21	12.0	-7.5	-13.1	-10.9	-3.9	578.9	580.9	582.1	96	98	93	SE 1	SE 0	SE 1	10≡	10≡	9	2.5	✳ 10½-p mU, ≡ n-15¼
22	-14.6	-7.4	-11.6	-11.2	-4.3	581.9	582.2	582.5	90	72	87	SE 0	SE 0	SE 1	0	0	0	.	[mU
23	-11.2	-6.2	-13.5	-10.3	-3.4	582.4	582.9	583.5	56	49	90	SE 1	SE 0	NW 0	9	9	0	.	
24	12.3	-7.6	-11.2	-10.4	-3.6	585.4	587.2	587.9	78	86	85	SE 1	SE 2	SE 1	0	10	6	0.6	✳ 9¼-p mU
25	-11.2	-6.0	-6.2	-7.8	-1.1	587.4	587.4	585.8	78	66	81	SE 1	SE 1	SE 1	0	0	9	.	
26	-4.8	**-0.6**	-6.0	-3.8	2.9	584.3	584.4	585.9	88	61	84	NW 0	NW 0	NW 0	10	0	0	.	
27	-5.4	-3.3	-6.8	-5.2	1.4	585.7	586.6	589.8	74	67	61	NW 1	NW 2	NW 1	3	0	0	.	
28	-6.4	-2.1	-6.3	-4.9	1.7	591.5	593.3	593.6	31	36	55	NW 1	NW 1	NW 2	0	3	0	.	
29	-5.9	-2.6	-4.3	-4.3	2.2	593.6	**595.5**	595.3	97	93	94	NW 3	NW 2	NW 1	10	6	3	.	✢ ⚲ n-a
Mittel	-16.1	-12.9	-16.1	-15.0	—	581.5	582.0	582.3	78	74	83				5.2	5.2	4.2	Summe 30.9	

$\lambda = 7° 26'$, $\beta = 46° 57'$,
$H_b = 572.2$ m, $G = -0.04$ mm

Bern

März 1956
Beobachter: *Meteorologisches Observatorium*

Tag	Lufttemperatur 7³⁰	13³⁰	21³⁰	Mittel	Abweich. vom Normalst	Luftdruck 7³⁰	13³⁰	21³⁰	Relative Feuchtigkeit 7³⁰	13³⁰	21³⁰	Windrichtung und Stärke 7³⁰	13³⁰	21³⁰	Bewölkung 7³⁰	13³⁰	21³⁰	Niederschlag	Witterung
1	5.0	7.5	2.5	5.0	3.3	720.0	**720.9**	720.2	82	52	70	W 1	WSW 2	SE 0	10	6	1	.	● 0–5½ mU
2	5.3	8.7	7.6	7.2	5.4	717.8	717.0	717.2	54	74	76	W 1	WSW 2	WSW 2	10	10	10●	6.8	● 9¼-10½, 15¼-24 mU, ⸗ a-n mU
3	6.9	9.5	8.2	8.2	6.3	715.1	715.2	715.8	92	75	79	W 2	SW 3	SW 2	10●	10	10	4.6	● 1¼–11¾, 14¼–20, ⸗ n–n mU
4	5.9	8.8	5.1	6.6	4.5	713.8	713.2	712.6	75	58	92	W 2	WSW 3	W 0	9	9	10●	2.0	● 15½-16¾, 20¾-24 mU, ⸗ n–p mU
5	3.5	4.4	–0.1	2.6	0.4	713.0	716.1	720.3	69	53	77	SW 0	W 1	SE 0	8	8	3	1.0	● 0–3½, ✳ 9½–11 mU, 14–14¼
6	–2.1	5.7	2.0	1.9	–0.4	720.2	718.4	715.2	82	47	76	NE 0	W 0	S 0	1	8	10	.	⊔ I
7	3.3	6.6	1.4	3.8	1.4	715.4	716.5	718.3	60	62	95	SW 1	SW 1	SW 0	10	10	2	0.8	✳fl 9–10, ● 14¼-20½, ⊔ III
8	–3.1	0.9	–1.6	–1.3	–3.8	719.0	718.7	719.5	80	57	52	NNE 1	NE 2	NE 1	2	1	0	.	⊔ I
9	–6.2	1.6	–2.3	–2.3	–5.0	718.5	717.3	716.3	73	49	50	NNE 1	NNE 2	NNE 1	1	0	0	.	
10	–5.6	3.9	0.4	–0.4	–3.2	715.5	714.5	713.4	79	47	60	SW 0	NE 0	N 0	1	0	0	0.0	
11	–2.5	–0.1	–3.2	–1.9	–4.8	712.3	713.3	713.7	89	51	58	N 1	NE 2	NE 1	9*	2	3	0.0	✳ 6¼–8½
12	–5.7	–1.6	–4.4	–3.9	–6.9	712.9	713.1	714.0	72	53	61	NE 1	NE 2	NE 1	4	2	1	0.0	✳fl 7¾–8¾
13	**–7.9**	–0.7	–3.5	–4.0	–7.2	713.5	713.1	712.9	89	55	68	NE 0	NE 2	NE 1	1	3	1	.	
14	–7.7	2.8	–1.7	–2.0	–5.3	710.8	709.5	708.7	90	54	71	N 0	N 1	N 0	1	1	0	.	⊔ I
15	–5.5	5.4	0.9	0.3	–3.1	707.4	706.5	706.9	96	42	68	N 0	N 1	SE 0	7	8	5	.	⊕ 9½
16	–1.1	9.6	3.0	3.8	0.2	708.1	707.8	709.2	82	39	61	NE 0	N 1	SE 0	7	0	5	.	
17	–1.4	9.8	5.3	4.6	0.9	710.8	710.3	710.9	89	41	63	S 0	SW 1	SW 0	4	7	9	.	⊔ I
18	1.4	11.2	6.8	6.5	2.7	709.7	707.7	705.5	87	53	63	SE 0	N 1	NNE 0	9	2	10	1.2	● 22½–23
19	3.0	10.5	7.5	7.0	3.0	705.6	705.1	703.5	97	63	61	NE 0	NE 1	N 1	10●	9	8	1.5	● 5¼–11½
20	2.4	10.2	6.4	6.3	2.2	703.3	703.1	704.0	92	60	66	S 0	NE 0	S 0	9	9	7	.	⊽ III
21	2.8	9.9	5.8	6.2	2.0	702.3	701.6	**701.5**	88	53	77	NE 0	N 0	NE 1	10	9	6	.	
22	5.5	3.1	2.5	3.7	–0.7	703.8	708.6	709.4	83	97	100	SW 1	E 0	NE 1	10	10●	10●	**11.4**	● 9¼–18, 21¼–24, ⌒ 18½
23	3.5	5.5	4.4	4.5	0.0	707.6	705.1	703.1	99	90	96	SE 0	ENE 1	E 0	10●	9	10	1.9	● 0–11¼, ≡ 22½–24
24	0.4	8.9	6.1	5.1	0.5	702.3	702.0	703.1	100	75	97	SE 0	N 0	W 0	10≡	9	10	.	≡ 0–10
25	4.5	9.7	6.5	6.9	2.1	705.1	705.3	706.5	97	71	95	S 0	NE 0	SW 0	10	10	10	.	⊿ I
26	5.9	11.0	7.7	8.2	3.3	718.9	710.2	711.4	94	69	88	SE 0	NW 0	SE 0	10	0	6	0.0	
27	2.4	15.8	9.8	9.3	4.3	712.6	712.1	713.3	98	**37**	71	SE 0	SW 1	NE 0	1	5	3	0.0	≡ 5¼–6
28	3.4	11.4	6.0	6.9	1.7	712.8	711.5	711.0	92	68	94	S 0	NE 1	NNE 1	8	1	2	0.0	≡ 8–8½
29	3.6	12.0	8.3	8.0	2.7	711.8	712.3	713.4	100	59	84	N 0	NE 0	SW 0	10≡	10	5	0.5	● 0¼–2, ≡ 6–9¼
30	3.7	**17.2**	12.4	11.1	5.7	713.7	712.8	712.1	89	**37**	60	SE 0	NNE 1	SW 0	1	1	10		
31	8.6	12.3	8.9	9.9	4.3	711.2	711.3	712.7	87	69	92	W 0	W 1	SE 0	9	9	10●		● 20¾–22¼
																		Summe	
Mittel	1.0	7.5	3.8	4.1	—	711.4	711.3	711.5	86	58	75				6.8	6.1	5.7	31.6	

$\lambda = 6° 57'$, $\beta = 47° 00'$,
$H_b = 487.3$ m, $G = 0.00$ mm

Neuchâtel

März 1956
Beobachter: *Observatorium*

Tag	Lufttemperatur 7³⁰	13³⁰	21³⁰	Mittel	Abweich. vom Normalst	Luftdruck 7³⁰	13³⁰	21³⁰	Relative Feuchtigkeit 7³⁰	13³⁰	21³⁰	Windrichtung und Stärke 7³⁰	13³⁰	21³⁰	Bewölkung 7³⁰	13³⁰	21³⁰	Niederschlag	Witterung
1	5.5	8.1	3.5	5.7	3.3	727.8	**729.1**	728.0	85	46	60	SW 1	SW 2	NW 0	10	7	0	0.2	● 9–10½
2	5.1	4.8	5.6	5.2	2.7	726.0	725.5	725.2	62	91	94	W 3	SW 3	W 2	10	10●	10●	6.5	● 9–13½, 21½–24, ⸗ n–p
3	6.3	7.1	8.1	7.2	4.5	723.3	723.3	723.8	94	87	77	SW 3	SW 3	W 3	10●	10	10	2.1	● 0–11¾, ⸗ n–n
4	6.3	6.3	5.4	6.0	3.2	721.8	721.3	720.6	62	80	90	W 4	SW 3	W 1	4	10●	10●	3.9	● 13–24 mU, ⸗ n–p, ⸗ I
5	4.3	4.8	–0.2	3.0	0.1	720.5	724.0	728.1	66	53	78	SW 2	W 3	W 0	9	9*	3	0.6	● 0–2¾, ✳ 8–16 mU, ⸗ a-p
6	–2.8	5.4	2.6	1.7	–1.4	728.3	726.4	722.9	87	49	66	NW 0	S 1	NW 1	0	2	8	.	⊔ I
7	3.6	6.8	2.3	4.2	1.0	723.6	724.1	726.3	65	61	78	W 2	NW 3	SE 0	7	9	5	0.6	● 17¾–18¾, ⸗ a–p
8	–2.2	4.0	–0.7	0.4	–2.9	727.1	726.3	727.7	70	40	45	NE 2	NE 3	NE 3	0	0	0	.	⸗ a–n
9	–4.7	2.1	–0.7	–1.1	–4.6	726.6	725.5	724.3	59	43	40	NE 3	NE 3	NE 2	0	0	0	.	⸗ n–p
10	–5.3	3.9	–0.5	–0.6	–4.2	723.5	722.6	721.3	74	42	57	NE 0	SE 0	NE 0	0	0	0	.	
11	–1.4	2.0	–2.3	–0.6	–4.3	720.2	721.0	721.5	73	46	66	NE 3	E 3	NE 2	7	0	10	0.1	✳ 8¼–8¾, ⸗ a–p
12	–5.3	0.7	–3.7	–2.8	–6.7	721.0	721.1	722.0	77	44	62	NE 3	NE 3	NE 2	9	1	0	.	⸗ n–p
13	**–6.4**	0.7	2.4	–2.7	–6.7	721.6	720.9	720.8	75	51	68	NE 0	NE 4	NE 2	2	6	0	.	⸗ a–p
14	–3.7	4.2	0.4	0.3	–3.8	718.6	717.2	716.4	74	57	55	NE 2	E 1	NE 2	0	0	0	.	
15	–4.1	3.3	0.4	–0.1	–4.4	715.3	714.4	714.7	85	51	67	NE 0	E 0	E 0	5	9	0	.	
16	0.1	9.8	7.2	5.7	1.3	716.0	715.7	716.8	82	42	**37**	NE 0	SE 1	NE 2	8	0	0	.	
17	–0.7	9.9	5.8	5.0	0.5	718.6	718.1	718.6	81	42	59	E 0	S 0	S 0	6	7	10	.	
18	1.8	11.4	8.0	7.1	2.4	717.4	715.0	713.0	85	54	63	S 0	S 0	SW 0	6	0	10	0.2	
19	4.2	8.9	6.7	6.6	1.8	712.9	712.2	711.3	92	69	76	S 0	E 0	E 0	10●	10	10	0.7	● 7¼–11½
20	3.2	10.3	5.6	6.4	1.5	710.7	710.4	711.1	90	64	71	E 0	SW 0	S 0	9	8	7	.	
21	3.7	9.6	6.2	6.5	1.4	708.8	708.8	**708.5**	84	56	59	E 1	SE 1	NW 0	10	8	3	.	
22	4.7	2.4	2.4	3.2	–2.0	711.3	716.3	717.1	89	96	98	SW 1	SW 0	S 0	10	10●	10	**13.6**	● ✳ 7¾–14
23	4.2	6.8	3.2	4.7	–0.6	715.2	712.6	710.4	97	86	90	NE 0	NE 2	NE 0	10●	10	0	1.5	● 1½–11½
24	0.6	4.5	3.8	3.0	–2.5	709.4	708.9	710.4	96	91	95	NE 0	NE 0	SW 0	10≡	10≡	10	.	≡ n–p
25	5.1	8.0	7.0	6.7	1.1	712.5	712.8	714.1	93	82	86	E 0	NE 0	NE 0	10	10	10	.	
26	5.1	10.4	6.5	7.3	1.6	716.6	717.9	719.1	97	75	91	NE 0	NE 0	E 0	10	10	3	.	
27	2.4	15.9	10.3	9.5	3.6	720.4	720.1	720.5	96	47	64	E 0	S 1	NE 0	2	5	3	.	≡ n–9½ mU
28	4.7	11.3	8.5	8.2	2.2	720.6	719.3	719.0	97	65	80	NE 1	E 2	NE 3	10	2	3	.	⸗ p–n
29	5.4	10.0	8.4	7.9	1.8	719.7	720.1	721.1	93	73	58	E 0	S 0	E 0	10	10	10	.	
30	3.1	**17.4**	14.7	11.7	5.4	721.4	720.6	719.6	97	41	40	E 0	S 1	N 0	1	4	4	0.2	● tr n (30. 31.)
31	9.7	14.4	8.2	10.8	4.4	718.8	719.2	720.2	78	64	85	SW 1	SW 1	W 0	10	6	0	.	
																		Summe	
Mittel	1.7	7.3	4.2	4.4	—	719.2	719.1	719.2	82	61	70				6.6	4.9	4.8	30.2	

März 1956
Beobachter: *Frl. H. Nager*

Altdorf

$\lambda = 8° 38'$, $\beta = 46° 53'$,
$H_b = 456.3$ m, $G = -0.08$ mm

Tag	Lufttemperatur 7³⁰	13³⁰	21³⁰	Mittel	Abweich. vom Normalst	Luftdruck 7³⁰	13³⁰	21³⁰	Relative Feuchtigkeit 7³⁰	13³⁰	21³⁰	Windrichtung und Stärke 7³⁰	13³⁰	21³⁰	Bewölkung 7³⁰	13³⁰	21³⁰	Niederschlag	Witterung
1	3.0	8.2	3.4	4.9	1.8	728.4	729.7	730.5	97	66	70	E 1	NW 2	E 9	10	7	6	0.2	∇̇ 12 ⊠
2	5.0	4.5	3.7	4.4	1.1	726.1	726.6	725.5	60	98	99	E 1	SE 0	NW 0	10	10●	10≡	38.3	● 9¾-n mU, ≡ a-n mU ⊠
3	4.0	5.7	4.4	4.7	1.3	724.6	724.4	725.7	100	100	100	E 0	E 0	E 0	10●	10●	10●	**46.6**	● n-n, ≡ 7¾-17¼ ⊠
4	3.8	9.0	4.9	5.9	2.4	723.0	722.1	722.1	100	96	94	E 0	W 0	W 0	10	8	10●	5.8	● 16¾-n
5	6.9	4.9	1.4	4.4	0.8	721.6	724.6	729.7	45	50	87	N 2	NE 1	E 0	10	10●	10	4.5	● 13½, ∇̈ 14½, 19, ⊠ 8¼-8½
6	−1.8	4.9	2.1	1.7	−2.1	**731.0**	728.3	725.1	70	45	76	E 0	W 0	NW 0	6	4	10	2.1	✳ n (6./7.) ⊠
7	1.3	2.6	4.8	2.9	−1.0	726.1	726.5	728.5	95	96	61	SE 0	E 0	NW 1	10*	10●	10	7.1	✳ 6¾-a, ● a-p
8	0.7	2.1	−0.3	0.8	−3.2	729.8	729.6	730.6	62	58	56	NW 0	NW 1	E 0	10	8	6	.	
9	−3.4	1.4	−0.8	−0.9	−5.0	729.9	728.4	727.2	60	47	60	SE 0	N 1	E 0	2	0	0	.	
10	−3.7	2.3	2.1	0.2	−4.1	725.9	725.4	722.9	72	68	60	E 0	E 1	E 0	0	7	10	1.6	✳ n (10./11.)
11	−1,3	0.6	−2.1	−0.8	−5.2	722.2	723.3	724.2	94	53	50	NW 2	NW 2	NW 0	10*	4	6	0.0	✳ n-7½ ⊠
12	−5.2	−0.6	−2.9	−2.9	−7.4	723.7	723.4	724.9	65	47	55	N 0	N 1	NE 0	7	6	6	.	
13	**−5.7**	−0.1	−1.7	−2.5	−7.1	724.3	723.6	723.8	60	52	62	NE 0	W 1	W 0	3	4	10	.	
14	−4.1	1.7	0.0	−0.8	−5.6	721.3	720.0	719.8	87	51	51	N 0	N 1	E 0	6	5	6	.	
15	−3.6	4.9	2.5	1.3	−3.6	717.6	716.7	717.6	65	46	55	E 0	NW 0	NW 0	7	4	8	.	
16	−0.4	9.2	4.2	4.3	−0.7	718.7	717.7	720.0	77	100	51	N 0	NW 1	E 0	7	3	3	.	
17	0.2	8.9	4.7	4.6	−0.5	721.1	720.2	721.3	70	54	65	E 0	NW 1	NW 0	3	3	10	.	
18	0.6	13.8	9.5	8.0	2.8	719.7	717.4	716.3	80	55	39	NE 0	S 2	SE 2	7	4	8	.	⸙ a-n
19	8.8	12.9	11.4	11.0	5.6	715.2	713.8	712.9	41	56	36	S 2	S 2	S 3	4	6	9	.	⸙ n-n
20	11.2	13.8	10.6	11.9	6.4	712.4	713.0	715.0	39	36	37	E 1	SE 2	SE 3	7	7	8	.	⸙ n-n
21	11.2	14.8	12.8	12.9	7.3	713.1	712.0	713.5	37	36	37	S 2	S 2	S 3	10	5	7	0.2	∇̇ ⌒ 17¼, ⸙ n-n
22	11.2	7.5	5.0	7.9	2.2	714.5	718.6	720.0	60	85	96	SE 2	NW 1	SW 0	10●	10●	10●	44.5	● 7-n, ⸙ n-a
23	5.1	9.1	14.0	9.4	4.3	717.6	714.9	712.5	100	96	37	NE 0	W 0	SE 2	10●	10	10	4.7	● n-a, ⸙ p-n
24	13.7	**15.9**	14.3	14.6	8.6	711.5	**711.4**	713.3	38	**35**	35	SE 2	E 3	SE 2	7	8	10	.	⸙ n-n
25	9.6	11.0	8.7	9.8	3.7	715.3	715.0	716.5	75	72	85	N 0	N 0	NW 0	10	10	10	.	
26	8.2	13.4	9.9	10.5	4.3	719.1	719.7	721.7	87	55	75	N 0	NW 1	N 0	10	8	10	.	
27	7.6	13.4	8.9	10.0	3.6	722.6	722.1	724.1	89	57	90	N 0	NW 1	S 0	9	10	10	1.5	● 18¼-19¼
28	4.7	10.2	12.8	9.2	2.7	723.2	721.8	722.3	95	72	39	E 0	NW 1	E 2	6	6	8	.	⸙ p-n mU
29	13.3	**15.9**	13.8	14.3	7.7	722.4	722.7	723.5	37	**35**	37	S 3	S 4	SE 2	10	10	4	.	⸙ n-n, ⸙ Π
30	10.9	14.6	11.5	12.3	5.6	722.6	722.4	722.3	43	52	45	N 1	NW 1	E 0	6	0	8	.	
31	7.2	14.7	10.3	10.7	3.8	721.1	720.3	722.1	84	55	83	E 0	N 1	NW 0	7	4	10●	1.6	● 19½-n
Mittel	3.8	8.1	5.9	5.9	—	721.5	721.2	721.8	70	62	62				7.5	6.5	8.2	Summe 158.7	

März 1956
Beobachter: *Observatoire*

Genève

$\lambda = 6° 09'$, $\beta = 46° 12'$,
$H_b = 405.0$ m, $G = -0.05$ mm

1	5.8	9.4	2.6	5.9	2.6	736.5	**737.6**	735.6	81	71	72	S 1	NNE 1	NE 1	8	2	0	.	
2	5.2	7.1	6.7	6.3	2.9	735.0	734.9	734.0	72	86	88	NE 1	SE 1	SSW 1	10	10	10	.	
3	4.8	10.2	8.4	7.8	4.3	734.5	733.2	732.3	80	60	90	SW 1	W 1	SW 1	10	10	10	.	
4	5.5	9.7	8.2	7.8	4.1	730.7	730.2	729.2	85	65	70	SW 1	SSW 1	SSW 1	8	9	10	0.4	∇̇ p, ● n (4./5.)
5	7.0	9.2	4.8	7.0	3.2	729.4	731.1	735.2	42	50	85	NNE 2	NNE 1	NNE 1	8	4	1	.	
6	−1.6	6.7	2.7	2.6	−1.3	735.6	733.6	730.2	80	50	76	NNE 1	NNE 1	NNE 1	0	2	2	.	
7	3.9	9.8	7.0	6.9	2.9	731.8	731.3	732.2	54	47	55	SSE 1	NNE 1	NNE 2	5	3	3	.	
8	1.2	4.0	2.0	2.4	−1.7	733.2	732.0	732.3	67	58	70	NNE 2	NNE 3	NNE 3	0	0	0	.	⸙ a-n
9	−1.6	1.6	0.6	0.2	−4.1	733.5	732.2	731.1	60	56	52	NNE 1	NNE 1	NE 1	0	0	0	.	
10	−2.4	3.2	1.2	0.7	−3.7	730.7	729.2	727.1	48	45	70	E 0	NNE 1	NNE 0	0	0	0	.	
11	−1.0	0.0	−1.2	−0.7	−5.2	725.9	725.8	727.0	69	50	45	NNE 2	NNE 4	NNE 3	4	0	0	.	⸙ a-n
12	**−4.0**	1.0	−2.5	−1.8	−6.4	726.8	726.6	729.2	45	50	75	NNE 4	NNE 4	NNE 4	1	0	0	.	⸙ n-n
13	−3.4	1.2	−1.0	−1.1	−5.8	728.5	726.9	726.3	70	50	60	NNE 1	NNE 2	NNE 3	0	0	0	.	⸙ p-n
14	−3.6	4.0	−0.4	0.0	−4.9	725.9	724.2	723.4	70	50	62	NNE 1	NNE 1	NNE 1	0	0	0	.	
15	−3.0	4.0	3.7	1.6	−3.4	722.9	720.3	722.0	83	57	72	SSE 1	NNE 1	SE 1	4	9	10	.	
16	2.6	9.0	5.6	5.7	0.6	723.1	722.7	723.6	82	**30**	80	SE 1	NNE 1	E 1	7	5	6	.	
17	1.6	10.2	6.2	6.0	0.8	725.8	725.0	725.9	72	60	82	NE 1	NNE 1	SW 1	2	8	10	.	
18	5.0	10.1	8.6	7.9	2.6	724.3	721.1	720.1	86	53	80	SW 1	NNE 1	S 1	3	10	10●	0.1	● tr 17-n
19	6.0	11.7	8.7	8.8	3.3	719.6	718.7	718.0	91	50	75	SE 1	NE 1	SW 1	10	10	9	.	
20	6.0	12.6	10.2	9.6	4.0	717.7	717.2	718.2	90	41	54	NNW 1	SW 1	S 1	10	10	9	.	
21	6.4	11.6	7.4	8.5	2.8	716.1	715.5	**715.2**	79	46	72	SSW 1	NNE 1	SE 1	10	10	6	**14.0**	● n (21./22.)
22	4.2	6.4	5.2	5.3	−0.5	720.2	722.7	723.8	96	88	80	WSW 1	NNE 1	NNE 1	10●	7	10	12.0	● n-a, n (22./23.)
23	4.6	8.6	5.6	6.3	0.4	722.5	718.8	716.8	99	72	92	NNE 1	NNE 1	NNE 1	10●	5	3	0.1	● 7½-10
24	3.0	8.6	7.0	6.2	0.1	716.6	716.3	718.0	100	74	80	NNE 1	NNE 1	NNE 1	10≡	10	10	.	≡ n-a
25	6.0	11.4	8.8	8.7	2.5	719.9	720.2	721.9	88	50	63	NNE 1	NNE 1	NNE 1	10	10	10	.	
26	7.8	11.0	8.4	9.1	2.8	724.0	724.6	725.9	92	71	65	NNW 1	NNE 1	NNE 1	10	5	2	.	
27	6.2	13.4	10.8	10.1	3.7	727.5	727.0	727.6	92	58	40	NNE 1	NNE 1	NNE 1	2	3	1	.	
28	6.0	11.4	9.6	9.0	2.5	727.4	725.1	725.6	40	61	70	NNE 1	NNE 1	NNE 1	0	2	8	.	
29	2.4	15.1	13.1	11.9	5.2	726.1	726.3	727.0	79	48	68	NE 1	NE 1	NE 1	10	4	10	.	
30	7.8	**18.0**	13.2	13.0	6.2	727.9	727.5	727.3	75	39	89	E 1	NNE 1	SE 1	7	5	10	5.0	● 18¾, n (30./31.)
31	9.7	12.3	9.4	10.5	3.6	726.8	726.8	727.4	92	80	89	SW 1	WSW 1	W 1	10●	10●	10	0.3	● n-p
Mittel	3.3	8.5	5.8	5.9	—	726.7	726.0	726.1	77	57	72				5.8	5.3	5.5	Summe 31.9	

$\lambda = 8° 34'$, $\beta = 47° 23'$, $H_b = 569.4$ m, $G = -0.01$ mm

Zürich

März 1956
Beobachter: *Meteorologische Zentralanstalt*

Tag	Lufttemperatur 7³⁰	13³⁰	21³⁰	Mittel	Abweich. vom Normalst	Luftdruck 7³⁰	13³⁰	21³⁰	Relative Feuchtigkeit 7³⁰	13³⁰	21³⁰	Windrichtung und Stärke 7³⁰	13³⁰	21³⁰	Bewölkung 7³⁰	13³⁰	21³⁰	Niederschlag	Witterung
1	4.4	5.9	4.2	4.8	3.3	718.4	720.2	720.1	83	53	54	SW 2	WSW 2	SSW 1	10	4	9	0.1	● 5¾–6¾, ⸗ 0¾–17 mU ⊠
2	7.6	6.3	7.7	7.2	5.6	715.5	715.2	715.2	40	82	73	SW 3	SW 3	SW 3	10●	10●	10	**32.8**	●tr 7½, 8¾–15¾, 23¾–24, ⸗ 3½–24
3	6.6	7.8	7.2	7.2	5.5	713.2	713.4	714.7	90	91	88	SW 3	SW 3	SW 3	10●	10●	10●	23.9	● 0–23¾, ⸗ 0–24
4	5.7	8.4	5.9	6.7	4.9	711.9	711.1	711.9	75	56	81	SW 3	SW 3	SW 2	8	9	10●	3.0	● 0–2¼, 15–17½, 21½–24, ⸗ 0–21
5	3.0	4.6	0.8	2.8	0.9	712.3	715.2	719.7	72	67	78	WSW 2	WSW 2	S 1	9	7	10	1.5	● 0–1½, ✳ 10–11
6	−2.0	7.0	3.7	2.9	0.9	720.3	718.3	715.2	97	38	50	SSW 1	SSW 1	WNW 1	1	5	10	0.3	⌣ I
7	0.7	2.7	0.5	1.3	−0.9	714.8	715.7	718.8	97	84	77	SSW 1	SSW 2	NNE 1	10	10●	6	1.0	✳fl a, ● 13½–16, ⸗ 4¼ ⊠
8	−3.9	2.7	−3.7	−1.6	−3.9	720.2	719.9	**720.9**	71	40	58	NE 1	NNE 1	ENE 1	2	1	0	.	
9	−7.2	2.2	−2.7	−2.6	−5.0	719.5	718.5	717.3	80	35	42	ENE 1	NE 2	NE 2	1	1	0	.	⌣ I
10	−5.9	3.3	0.7	−0.6	−3.1	715.9	715.0	713.8	68	42	40	NE 1	NE 1	NE 1	1	7	4	0.1	
11	−4.3	0.7	−5.2	−2.9	−5.6	713.7	714.3	714.6	66	44	86	ENE 2	NNE 2	NE 1	3	4	3*	0.0	✳fl 21½
12	−6.5	−0.8	−5.8	−4.4	−7.2	714.0	714.1	715.0	82	45	66	NNE 1	ENE 2	ENE 1	9	5	0	.	⌣ I
13	**−8.1**	−2.4	−5.5	−5.3	−8.2	714.2	713.9	713.6	87	62	74	NNE 1	NNE 2	NE 1	0	10*	0	0.0	✳fl a–p mU, ⌣ I
14	−5.3	2.2	−2.3	−1.8	−4.8	711.1	710.2	709.3	82	47	67	SE 1	NNE 1	NE 1	9	3	0	.	
15	−5.2	6.9	1.4	1.0	−2.2	707.6	706.9	707.0	86	36	56	NE 1	S 1	SSE 1	7	3	0	.	⌣ I
16	−1.3	10.3	2.9	4.0	0.7	708.7	708.4	709.8	71	35	44	NE 1	NNE 1	ENE 1	2	0	0	.	⌣ I
17	−1.4	11.2	4.9	4.9	1.5	711.0	710.5	711.0	79	40	55	NE 1	SW 1	N 0	1	5	5	.	⌣ I
18	1.3	11.4	5.2	6.0	2.4	710.0	708.1	705.9	76	41	70	NE 1	NE 1	NE 2	7	7	3	.	
19	1.9	12.7	6.3	7.0	3.3	705.5	705.0	703.7	89	46	62	NNE 1	ENE 1	NE 2	2	7	3	.	
20	1.7	11.4	8.8	7.3	3.5	703.1	702.9	703.8	87	47	36	NE 1	NNE 1	S 1	9	5	9	.	⌓ I
21	5.2	14.6	13.1	11.0	7.0	701.9	701.5	701.8	57	40	**33**	NE 1	NNE 1	SSE 2	9	5	9	.	⸗ p mU
22	7.2	7.7	4.2	6.4	2.3	703.6	708.5	709.6	65	72	98	N 1	WSW 2	SSW 1	9	10	10	0.4	● 15½–18
23	3.9	7.2	4.9	5.3	1.1	707.0	705.9	792.7	97	75	87	SSW 1	SSW 1	NE 1	10	10	6	.	
24	1.0	16.5	10.0	9.2	4.8	701.5	**700.9**	702.5	98	40	52	NNE 1	NE 1	WNW 1	9	9	10	.	≡ 6¾–8¾ mU, ⌣ I
25	8.0	10.4	8.6	9.0	4.5	705.3	704.9	706.5	85	69	84	SSW 1	NNW 1	WNW 1	9	10	10	.	⌓ I
26	8.4	12.6	9.2	10.1	5.5	709.0	710.0	712.1	88	58	76	SW 1	WSW 1	NNW 1	10	9	9	.	⌓ I
27	7.4	13.1	7.6	9.4	4.6	712.5	712.6	713.9	94	56	97	WSW 0	WNW 1	E 1	10	9	10●	0.9	● 20¾–21¾, ⌓ I
28	5.2	8.8	4.8	6.3	1.4	713.2	712.4	712.2	97	72	94	NE 1	NNE 2	NE 1	10	9	1	0.0	≡ 6–7¼, 9–11
29	3.7	13.0	9.7	8.8	3.7	712.7	712.5	713.4	98	51	67	NE 1	NE 1	NE 1	10	9	0	.	≡ n–7, ⌓ I
30	6.9	**17.7**	11.1	11.9	6.7	713.9	712.6	712.2	83	38	53	WNW 0	W 1	NNW 1	8	1	1	.	⌓ I
31	8.2	17.3	9.8	11.8	6.4	711.3	710.8	712.6	69	48	91	SSE 1	W 1	NW 1	4	4	10	2.9	● 15½–17½, ⌅ 15½–15¾, ⌓ I
Mittel	1.5	8.2	4.1	4.6	—	711.4	711.3	711.6	81	53	67				6.7	6.4	5.4	Summe 66.9	

$\lambda = 6° 32'$, $\beta = 46° 51'$, $H_b = 1601$ m, $G = -0.16$ mm

Chasseron

März 1956
Beobachter: *J. Liardon*

Tag	Lufttemperatur 7³⁰	13³⁰	21³⁰	Mittel	Abweich. vom Normalst	Luftdruck 7³⁰	13³⁰	21³⁰	Relative Feuchtigkeit 7³⁰	13³⁰	21³⁰	Windrichtung und Stärke 7³⁰	13³⁰	21³⁰	Bewölkung 7³⁰	13³⁰	21³⁰	Niederschlag	Witterung
1	−2.4	−2.6	−4.0	−3.0	—	634.1	**635.9**	635.6	100	100	85	NW 3	W 2	W 2	10≡	10≡	1	1.3	●n (1./2.), ≡ n-15, ∾ I, ⸗ n-a ⊠
2	−2.2	−0.2	−0.1	0.8	—	632.6	632.8	632.7	100	100	100	W 5	WNW 4	WNW 4	10●≡	10●≡	10	**15.5**	● ≡ ⸗ n n, ⸗ I ⊠
3	0.1	0.6	−0.3	0.4	—	630.5	631.4	631.9	100	100	100	W 5	WNW 4	NW 4	10●≡	10●≡	10●≡	11.7	● n n mU, ≡ ⸗ n-n, ⸗ I ⊠
4	−2.8	−1.6	−0.6	−1.7	—	629.4	629.3	628.7	100	100	100	W 4	W 4	W 4	10*≡	10*≡	10*≡	7.8	✳ 7¼-n, ≡ ⸗ n-–, ∾ ⋁ I ⊠
5	−4.6	−5.9	−7.1	−5.9	—	627.5	630.0	633.4	100	100	100	WNW 6	WNW 6	WNW 4	10*≡	8	0	0.5	✳ 7 a, ⊽ 18, ≡ n-15¼, *) ⊠
6	−9.5	−3.4	−2.5	−5.1	—	633.5	632.9	630.8	80	81	51	WNW 2	W 3	W 6	1	5	5	0.1	✳ n (6./7.), ⸗ I ⊠
7	−5.3	−2.7	−4.7	4.2	—	629.6	631.3	632.3	100	100	100	WNW 6	NW 5	NNW 4	10*≡	10*≡	10≡	1.9	✳ 4-19½, ≡ ⸗ n-n, ⋁ 7-n ⊠
8	−8.7	−6.2	−10.0	−8.3	—	631.2	631.7	631.7	97	45	74	ENE 4	E 3	E 5	1	0	0	.	⸗ n-n mU ⊠
9	−11.6	−7.2	−5.9	−8.2	—	629.9	630.6	629.9	44	37	26	E 6	ENE 3	E 3	1	1	1	.	⸗ n-n mU ⊠
10	−4.2	−2.8	−5.0	−4.0	—	628.7	629.0	628.1	**14**	45	45	E 2	NNE 2	ENE 3	1	1	0	.	⊠
11	−11.0	−8.6	−11.1	10.2	—	625.2	626.2	626.2	100	52	100	ESE 4	ENE 4	ENE 4	10≡	1	9*	0.0	✳fl 8¼-11, 19½-n, ≡ ⋁ 7-11½, ⊠
12	**−15.1**	−10.5	−12.7	−12.8	—	624.3	625.5	626.0	98	61	92	NE 4	ENE 4	ENE 5	8	1	0	.	⋁ 7–9, ⸗ n-n [⸗ n-p ⊠
13	−14.1	−9.9	−11.6	−11.9	—	625.2	626.0	625.4	88	90	100	ESE 5	NE 3	E 5	1	1	0	.	≡ ⋁ 19-n mU, ⸗ n-n mU ⊠
14	−9.3	−5.5	−7.2	−7.3	—	623.9	623.9	623.5	72	83	51	E 3	ESE 2	ESE 4	1	2	0	.	⸗ III ⊠
15	−6.9	−2.5	−3.5	−4.3	—	621.5	622.0	622.7	69	68	86	SW 4	SW 2	WNW 3	4	8	4	.	⸗ I ⊠
16	−3.7	0.4	−1.1	−1.5	—	623.7	624.5	625.7	69	61	55	SE 9	ESE 2	ESE 4	9*	2	5	0.0	✳fl 7–8, ⸗ I, III ⊠
17	−1.0	2.0	−0.5	0.2	—	626.5	627.0	627.5	60	53	95	SE 2	SSE 2	— 0	6	8	9*	0.0	✳fl 19-n ⊠
18	1.8	0.8	0.8	0.1	—	615.6	624.5	622.8	100	69	70	SE 4	SE 3	SE 4	7	4	10*	0.2	✳ 19½ n, ≡ n 9½ mU, *) ⊠
19	−1.7	1.1	1.1	0.2	—	622.1	622.0	621.3	100	98	76	SE 5	ESE 3	ESE 3	9	10	10	0.0	✳ n-11 mU, ⊽ III, ⸗ I ⊠
20	1.3	2.0	0.7	1.3	—	620.5	620.7	620.9	67	62	75	WSW 3	SSE 5	S 4	9	3	6	0.0	✳ 17–17¾, ⸗ a-n ⊠
21	0.3	2.1	3.3	1.9	—	**618.9**	619.1	619.4	62	57	54	SE 4	SSE 4	SE 4	9	9	10	2.3	✳ 16¾–16¾, n (21./22.) *) ⊠
22	−2.3	−2.8	−1.7	−2.3	—	620.7	623.9	624.8	100	100	100	WNW 5	SE 5	SSE 4	10*≡	10≡	10	4.2	✳ n-12, ≡ \ ∾ n-18½, *) ⊠
23	2.3	−1.1	−0.1	−1.2	—	623.4	621.4	620.3	100	100	82	ESE 4	SE 4	SSE 4	10*	10≡	2	0.4	✳ n-11½, ≡ n-16½, \ n-12, ⊠
24	3.8	4.9	2.5	3.7	—	619.6	620.0	621.1	52	50	95	SE 2	SSE 5	NW 5	2	9	10	0.1	⸗ n-n mU [⸗ n-n ⊠
25	0.6	0.8	1.1	0.8	—	622.4	622.9	623.9	100	100	100	NNW 2	NNW 2	NNW 3	10≡	10	10≡	0.1	● 8½ 10, ≡ n 9, 11½ n mU ⊠
26	0.9	3.6	2.7	2.4	—	626.0	627.5	628.6	100	83	90	WNW 3	NW 2	S 2	10≡	10	3	.	≡ n-9½ mU ⊠
27	2.2	4.6	3.9	3.6	—	629.3	630.0	630.3	100	66	68	NW 2	NNW 3	N 3	2	7	6	.	⊠
28	2.5	4.4	2.5	3.1	—	629.2	628.6	627.9	86	64	85	S 1	SSE 3	ESE 3	1	6	7	.	⊠
29	5.1	**6.1**	5.4	4.9	—	628.6	629.9	630.8	58	44	49	SE 4	SE 5	SSE 5	10	9	6	.	⸗ a-n ⊠
30	2.2	6.0	5.2	4.5	—	630.9	630.9	630.3	100	66	65	NW 3	NW 2	NNW 4	0	6	9	1.1	● ✳ n (30. 31.), *) ⊠
31	1.8	1.6	1.7	1.7	—	628.5	628.6	629.0	100	100	95	SE 3	S 3	SW 2	10●*	10≡	3	2.1	● ✳ n 11, ≡ 7¾ 9½, 11 19 ⊠
Mittel	−3.3	−1.1	−1.9	−2.1	—	626.6	627.1	627.2	84	75	80				6.5	6.5	5.7	Summe 49.3	

*) 5. ≡ 16½–18½, ⋁ ⸗ n-13¼, ⸗ I 18. ⊕ II, ⸗ I 21. ⊽ III, ⸗ n-n 22. ⸗ n-n 30. ≡ 7¼–8 mU, ⸗ III

März 1956
Beobachter: *Stationspersonal Rh. B.*

Bever

$\lambda = 9° 53'$, $\beta = 46° 33'$,
$H_b = 1711.8$ m, $G = -0.26$ mm

Tag	Lufttemperatur 7³⁰	13³⁰	21³⁰	Mittel	Abweich. vom Normalst	Luftdruck 7³⁰	13³⁰	21³⁰	Relative Feuchtigkeit 7³⁰	13³⁰	21³⁰	Windrichtung und Stärke 7³⁰	13³⁰	21³⁰	Bewölkung 7³⁰	13³⁰	21³⁰	Niederschlag	Witterung
1	0.2	−0.3	−2.2	−0.8	5.4	622.2	623.9	624.9	62	73	60	NW 1	SW 3	E 1	9	10*	4	0.0	✳ fl a–p mU, ⸙ 9–p
2	−3.9	5.7	6.2	2.7	8.8	622.2	621.1	621.3	94	66	57	S 0	SW 2	SW 1	10	10●	7	1.5	● 11–27 mU, ⸙ 10¾
3	2.6	4.2	4.4	3.7	9.6	619.9	619.8	620.5	95	80	66	NW 0	S 0	NW 0	10●	10●	6	6.5	● a–14½ mU
4	−0.8	9.0	0.8	3.0	8.8	619.2	616.8	617.7	85	**26**	80	SW 0	W 1	NE 0	3	2	8	0.7	✳ n (4./5.)
5	−2.8	5.1	−6.8	−1.5	4.1	616.1	618.4	621.8	73	65	73	NE 1	NE 0	SW 0	10	10	10	0.4	✳ fl n–n mU
6	−12.4	0.4	−5.4	−5.8	−0.3	624.0	622.9	622.0	80	39	63	SW 1	NE 0	SW 0	0	1	0	0.0	✳ fl n (6./7.)
7	−3.6	−0.4	−4.0	−2.7	2.6	619.1	619.2	621.1	83	59	60	SW 0	W 2	N 1	10	10*	10	0.1	✳ fl n–n mU
8	−10.6	−5.4	−9.8	−8.6	−3.4	621.6	621.1	622.0	55	43	44	E 0	N 1	NE 2	0	0	0	.	
9	**−20.8**	−5.0	−11.1	−12.3	−7.3	622.2	620.8	620.9	75	35	52	NW 0	W 1	NE 1	0	0	0	.	
10	−18.2	−3.8	−7.6	−9.9	−5.0	619.6	617.8	616.9	96	42	60	NW 0	N 1	NW 2	7	10	10	0.6	✳ n (10./11.)
11	−10.1	−9.0	−12.6	−10.6	−5.9	614.6	615.0	615.7	74	52	65	NE 1	NE 2	N 0	10*	10	5	0.0	✳ n–7½
12	−17.3	−10.0	−14.0	−13.8	−9.2	614.2	614.5	617.3	78	53	63	NE 1	NW 2	NE 1	1	4	0	.	
13	**20.8**	−6.6	−10.7	−12.7	−8.3	616.0	614.4	616.4	98	47	67	SW 0	NW 2	NW 1	5	0	0	.	
14	−19.2	−5.2	−13.2	−12.5	−8.2	614.4	**613.9**	615.5	100	47	74	SW 0	NW 1	SW 0	1	3	0	.	
15	−19.0	−1.0	−9.0	−9.7	−5.6	615.4	615.0	615.8	100	45	82	SW 0	SW 0	W 0	9	4	0	0.0	✳ fl n (15./16.)
16	−10.6	0.5	−6.3	−5.5	−1.5	616.8	617.1	618.4	100	49	93	SW 0	SW 0	NW 0	9	5	0	.	
17	−13.6	2.4	−6.8	−6.0	−2.1	619.6	618.5	619.2	100	45	87	SW 0	SW 0	W 0	0	3	0	.	
18	−11.4	1.0	−2.6	−4.2	−0.5	618.5	617.2	616.7	100	62	96	SW 0	SW 1	W 0	4	5	10	.	
19	−3.6	−0.7	−3.0	−2.4	1.2	616.5	616.5	616.4	97	77	89	SW 0	W 1	SW 1	10	9	8	2.4	✳ n (19./20.)
20	−3.8	−1.7	−5.2	−3.6	−0.2	614.0	615.6	616.0	100	96	99	W 0	W 1	SW 0	10*	10*	8	1.5	✳ n–7½, 12½–17
21	−2.9	−1.0	−1.2	−1.7	1.6	615.2	614.7	617.6	94	100	98	S 0	SW 0	SW 0	10	10*	10*	**9.2**	✳ 8½–n
22	0.4	4.2	0.7	1.8	4.9	617.4	617.8	618.0	93	81	100	S 0	S 3	E 0	10	10	10*	5.2	✳ p–n, ● n (22./23.), ⸙ II
23	0.8	2.2	1.6	1.5	4.5	617.4	617.4	616.2	96	91	84	NE 1	S 0	W 0	10	10	9	*4.0	✳ 7¼
24	0.5	3.0	0.4	1.3	4.1	615.2	614.1	615.3	90	73	96	SW 0	SW 0	SW 0	10	10	10	.	
25	−1.6	4.5	−0.1	0.9	3.6	614.9	614.4	915.7	100	62	96	SW 0	SW 0	SW 0	10≡	10	10	0.0	≡ n–a
26	−2.4	**10.0**	0.2	2.6	5.1	617.9	618.1	619.7	94	67	95	SW 0	SW 0	SW 0	9	5	4	.	
27	−1.9	5.2	0.4	1.2	3.6	620.2	620.0	621.3	93	58	100	SW 0	SW 0	S 0	10	10	3	.	
28	−3.0	4.8	−0.2	0.5	2.7	621.0	620.4	623.4	98	57	96	S 0	SW 0	SW 0	1	5	7	.	
29	−0.4	3.8	−1.2	0.7	2.8	624.5	624.6	**625.4**	93	63	95	SW 0	SW 1	SW 0	10	9	0	.	
30	−5.3	8.4	−1.9	0.4	2.3	624.0	622.1	622.8	100	65	90	SW 0	SW 0	SW 0	6	2	0	.	
31	−3.6	5.0	0.2	0.5	2.3	620.6	619.7	620.4	95	60	97	SW 0	SW 0	SW 0	3	4	2	.	
																		Summe	
Mittel	−7.1	0.9	−3.9	−3.3		618.5	618.2	619.1	90	61	80				6.7	6.5	4.0	32.1	

März 1956
Beobachter: *Couvent des Capucins*

Sion

$\lambda = 7° 22'$, $\beta = 46° 14'$,
$H_b = 548.6$ m, $G = -0.14$ mm

1	4.1	9.8	3.2	5.7	2.4	721.7	721.9	722.4	82	59	72	NE 0	W 3	NW 0	9	2	0	.	⸙ a–p
2	3.3	7.8	5.5	5.5	2.1	721.3	721.3	719.1	78	69	91	WNW0	WNW0	WNW0	10	10	0	0.4	● 18¾–18¾
3	6.1	11.1	9.3	8.8	5.2	718.5	718.1	718.2	86	69	71	W 0	W 0	WSW1	10	10	10	0.5	● 8–10 mU
4	4.4	13.4	7.2	8.3	4.6	716.9	714.7	715.4	90	43	75	NW 1	WSW3	W 0	3	6	10	1.9	⸙ II
5	5.2	3.0	1.6	3.3	−0.5	714.5	718.1	722.2	84	94	70	W 2	NE 2	W 0	5	10	0	0.6	● 0¾–6¼, ⸙ 13½–13¾
6	−2.8	7.0	3.0	2.4	−1.6	**723.0**	720.1	718.8	70	49	65	NE 0	NNE 0	NE 0	0	4	3	.	
7	4.2	11.0	5.2	6.8	2.7	717.9	717.7	719.1	64	42	70	WNW1	WSW2	W 1	10	5	5	.	
8	0.1	6.6	1.6	2.8	−1.5	719.7	717.8	718.6	88	52	66	W 0	WSW1	WSW1	0	1	0	.	⌊ I
9	−2.0	4.7	0.2	1.0	−3.4	720.2	718.1	718.3	76	54	71	SW 0	WSW1	W 0	8	0	0	.	⌊ I
10	−3.2	5.0	2.2	1.3	−3.3	717.4	716.0	714.9	87	55	60	NE 0	WSW1	W 1	0	0	0	.	⌊ I
11	−1.0	5.1	−0.2	1.3	−3.4	713.1	712.7	713.7	68	**28**	32	W 0	ENE 1	E 0	0	1	0	.	⌊ I
12	−4.6	2.1	−1.8	−1.4	−6.3	714.0	713.3	714.7	74	44	56	NW 0	WSW0	W 2	0	1	0	.	
13	**−5.9**	2.1	−0.3	−1.4	−6.4	716.0	713.8	713.8	70	44	62	NE 0	W 1	WSW1	0	0	0	.	
14	−4.8	3.9	0.5	−0.1	−5.3	713.6	711.6	711.5	84	49	57	NE 0	WSW1	E 2	0	1	0	.	⌊ I
15	−2.9	2.3	5.1	1.5	−3.8	711.5	709.5	710.3	63	35	44	E 0	E 1	E 0	4	6	9	.	⌊ I
16	2.8	10.9	5.0	6.2	0.7	712.0	710.9	713.1	58	36	52	ENE 0	ENE 0	ENE 1	0	1	0	.	
17	0.6	12.6	6.6	6.6	1.0	715.0	713.0	713.7	69	36	58	NE 0	NE 0	W 0	7	8	6	.	
18	3.0	13.6	9.8	8.8	3.0	713.4	710.7	710.1	70	35	40	ENE 0	ENE 1	ENE 3	4	3	10	.	
19	7.4	12.8	9.2	9.8	3.9	710.2	708.8	708.3	51	39	45	ENE 1	ENE 1	ENE 1	10	10	9	.	
20	5.4	12.2	8.2	8.6	2.5	707.2	707.2	708.7	59	49	46	ENE 0	ENE 3	ENE 0	8	5	10	.	⸙ II
21	9.3	13.0	11.8	11.4	5.1	706.4	705.6	706.4	48	42	45	ENE 3	ENE 4	ENE 4	10	9	5	1.1	⸙ n–n
22	8.4	5.4	5.4	6.4	0.0	707.8	711.5	711.7	77	95	97	ENE 4	WSW1	W 0	10●	10●	10	**12.4**	● 5¾–8, 11½–18¼, 22¾–24,
23	4.6	7.0	8.4	6.7	0.1	710.3	709.5	707.6	96	85	62	WSW1	WNW0	E 1	10●	10	1	2.4	● 0–11¼ [⸙ a–n
24	7.2	15.9	11.7	11.6	4.9	706.4	**705.1**	706.8	62	34	43	ENE 0	ENE 4	ENE 0	7	10	6	.	⸙ II
25	6.8	12.2	8.5	9.2	2.3	707.7	707.6	709.5	75	66	80	WSW0	WSW1	WSW0	10	10	10	.	
26	6.1	13.8	8.9	9.6	2.6	712.1	712.6	714.3	89	56	70	WSW0	WSW0	NNE 2	10	10	0	.	
27	5.8	16.4	10.9	11.0	3.8	715.7	715.7	715.1	87	43	53	NE 0	NE 0	W 0	1	2	0	.	⌓ III
28	5.2	17.8	14.8	12.6	5.3	716.0	715.1	714.6	77	31	38	NE 0	NNE 1	NE 4	0	1	10	.	
29	11.8	16.8	10.7	13.1	5.6	716.5	716.3	717.5	45	36	49	E 1	ENE 4	NE 0	10	5	0	.	⸙ II
30	3.9	**18.8**	13.3	12.0	4.4	717.3	714.9	715.0	64	34	48	NE 0	SW 1	WNW0	0	0	5	.	⌓ I
31	8.7	14.0	9.8	10.8	3.0	714.6	713.4	715.3	62	65	93	NW 0	W 2	W 0	10	10	6	1.0	● 20–21
																		Summe	
Mittel	3.1	9.9	6.3	6.4	—	714.5	713.6	714.2	73	51	61				5.4	5.2	4.0	20.3	

$\lambda = 8° 58'$, $\beta = 46° 00'$,
$H_b = 276.2$ m, $G = -0.04$ mm

Lugano

März 1956
Beobachter: *G. Vicari*

Tag	Lufttemperatur 7³⁰	13³⁰	21³⁰	Mittel	Abweich. vom Normalst.	Luftdruck 7³⁰	13³⁰	21³⁰	Relative Feuchtigkeit 7³⁰	13³⁰	21³⁰	Windrichtung und Stärke 7³⁰	13³⁰	21³⁰	Bewölkung 7³⁰	21³⁰	13³⁰	Niederschlag	Witterung
1	2.0	18.2	9.6	9.9	4.9	740.4	739.0	741.5	95	35	37	N 1	NNE 2	NNE 2	9	0	0	.	
2	2.6	15.4	8.4	8.8	3.7	741.5	737.5	735.8	70	51	64	NNW 1	S 1	N 1	9	0	0	.	
3	14.8	**24.4**	11.6	16.9	11.6	733.2	732.9	734.4	45	31	39	NNE 2	NNE 2	E 1	1	1	0	.	
4	4.2	15.6	11.2	10.3	4.9	736.0	733.6	732.7	93	61	67	ENE 1	ESE 1	NNE 1	0	1	0	.	
5	5.4	15.2	4.8	8.5	3.0	**732.6**	735.3	741.2	88	43	39	SSW 1	N 2	N 2	1	1	0	.	
6	1.4	14.4	5.6	7.1	1.4	744.3	742.5	742.3	52	31	51	N 1	SSE 1	S 1	0	0	0	.	
7	1.8	17.8	9.4	9.7	3.9	738.6	735.9	737.9	73	33	33	WNW 1	N 2	NNE 2	3	1	0	.	
8	7.8	14.4	3.4	8.5	2.6	739.6	739.2	743.1	29	**26**	73	ENE 2	NNE 2	S 1	0	0	0	.	
9	−2.0	7.8	−0.4	1.8	−4.3	745.6	743.5	743.6	79	48	68	N 1	**S** 1	N 1	9	0	0	.	
10	−1.6	9.4	1.8	3.2	−3.0	742.4	738.1	735.8	69	46	71	N 1	S 1	N 1	3	0	0	.	
11	−0.8	10.2	−1.2	2.7	−3.6	735.4	735.3	737.1	84	29	82	N 1	NNW 1	N 1	1	1	0	.	
12	−3.8	7.4	0.6	1.4	−5.1	736.5	736.1	736.1	83	44	38	N 1	S 1	E 1	0	1	0	.	
13	**−4.0**	9.4	3.4	2.9	−3.7	737.1	734.5	734.6	57	39	32	N 1	S 1	N 1	1	0	0	.	
14	−2.2	9.8	2.2	3.3	−3.4	734.8	733.4	734.4	64	45	55	N 1	S 1	N 1	0	0	0	.	
15	−1.4	9.8	5.2	4.5	−2.4	735.9	735.6	736.0	73	52	70	N 1	S 1	S 1	1	6	10	.	
16	2.2	11.0	5.4	6.2	−0.8	737.8	737.6	739.2	88	58	66	N 1	SSW 1	N 1	10	8	10	.	
17	−0.4	12.0	7.4	6.3	−0.8	740.3	738.6	739.2	88	56	66	N 1	SSW 1	N 1	0	0	10	.	
18	3.8	9.4	6.2	6.5	−0.8	738.9	738.1	737.3	77	65	68	NNW 1	S 1	N 1	10	10	10	0.0	⚲ n (18./19.)
19	5.0	7.4	5.2	5.9	−1.5	738.1	738.0	737.0	76	74	77	N 1	S 1	N 1	10	10	10	7.6	● ✳ n (19./20.)
20	1.2	1.2	2.0	1.5	−6.0	735.4	736.3	736.8	99	97	98	N 1	NE 1	NE 1	10●	10●	10	20.4	● ✳ n–p, n (20./21.)
21	3.0	1.0	1.0	1.7	−6.0	736.0	736.3	737.0	96	96	98	NNW 1	N 1	N 1	10●	10●	10●	36.2	● ✳ n–n
22	3.2	4.0	3.6	3.6	−4.2	736.1	736.6	737.9	97	96	97	NNW 1	SSE 1	N 1	10●	10●	10●	**106.9**	● n–n
23	3.8	5.2	4.8	4.6	−3.3	736.1	737.1	735.7	97	96	97	NNW 1	SSE 1	NNW 1	10●	10●	10●	44.2	● n–n mU
24	5.2	8.0	6.6	6.6	−1.5	734.0	733.5	734.1	96	92	96	NNW 1	**S** 1	N 1	10●	10●	10●	16.7	● n–n mU
25	6.0	8.6	7.4	7.3	−0.9	733.3	733.1	734.1	96	86	94	N 1	S 1	NNW 1	10●	10●	10●	7.9	● n–n mU
26	6.6	13.4	8.6	9.5	1.2	735.6	736.2	737.2	95	62	79	N 1	**S** 1	N 1	9	10	7	.	
27	5.0	14.4	10.0	9.8	1.3	738.4	738.3	738.6	90	64	69	N 1	S 1	N 1	0	6	9	.	
28	7.2	10.0	8.4	8.5	−0.1	740.1	741.9	743.4	94	85	91	N 1	NE 1	S 1	10	10	10⚲	4.4	● a, ⚲ ● p–n
29	7.0	10.2	7.2	8.1	−0.6	**745.8**	745.8	744.8	92	64	85	W 1	E 1	NNW 1	10	10	0	.	
30	3.8	16.6	8.6	9.7	0.8	743.6	741.2	740.3	91	67	75	N 1	S 1	N 1	0	1	5	.	
31	7.2	11.4	7.8	8.8	−0.2	739.6	739.7	739.1	92	71	75	NNW 1	SSE 1	N 1	10	10	0	0.0	⚲ 11–13 mU
Mittel	3.0	11.1	5.7	6.6	—	738.2	737.4	738.0	81	60	69				5.4	4.7	4.6	Summe 244.3	

$\lambda = 7° 35'$, $\beta = 47° 33'$,
$H_b = 317.3$ m, $G = -0.08$ mm

Basel

März 1956
Beobachter: *Astronom.-Meteorol. Anstalt*

1	4.7	7.1	3.9	5.2	2.7	742.2	743.2	742.9	84	63	75	WNW 1	WNW 2	SW 1	10●	5	0	.	● 2¼–3, 7–7½, ⸗ 13¼ ⊠
2	7.2	8.2	8.8	8.1	5.5	738.2	738.2	737.8	69	74	77	WSW 0	WSW 2	SSW 3	10	10	10	0.0	⸗ 13¼–n
3	9.8	9.5	8.8	9.4	6.7	736.0	738.0	739.5	77	83	85	WSW 2	WSW 2	W 2	10●	10●	10●	0.5	● 7½, 10-10¼, 13¼-13½, 17¼-20¾, 21½,
4	6.9	9.2	6.0	7.4	4.6	737.5	736.8	736.7	69	63	93	WSW 2	WSW 2	WNW 1	8	10	10●	1.9	● 8½–8¾, 20 22¼, ⸗ 10¼ [⸗ 10¼
5	3.7	5.6	2.0	3.8	0.8	738.2	741.0	742.2	83	55	71	WSW 2	W 1	SW 1	6	9	6	0.0	● 9½–9¾, ⸗ 10¾
6	−2.0	9.8	3.1	3.6	0.5	743.3	740.9	738.2	82	37	63	E 1	SSE 1	W 1	0	6	9	0.4	⌊ I
7	3.5	5.1	1.7	3.4	0.2	737.6	738.9	741.6	82	80	64	WSW 2	W 1	NNW 1	10	10	0	.	● 5¾–6¼, △ 6¾
8	−3.7	4.3	−1.4	−0.3	−3.6	**744.0**	743.2	743.6	89	34	59	NW 1	NNW 1	NNW 0	1	0	0	.	
9	−4.4	3.4	−1.4	−0.8	−4.3	743.3	741.6	741.0	55	**31**	47	ENE 1	NE 1	NE 1	0	0	0	.	⌊ I
10	−4.2	5.2	−0.9	0.0	−3.6	738.8	738.1	737.1	63	40	66	E 1	NNW 1	WSW 1	0	1	0	.	
11	−2.0	3.3	−2.7	−0.5	−4.2	737.1	737.5	737.7	92	45	81	ESE 0	ESE 1	E 1	9	2	0	0.0	✳ fl a, 19
12	−4.7	1.5	−2.7	−2.0	−5.9	737.6	737.7	738.4	75	49	58	N 1	E 1	NNE 1	2	2	0	.	
13	**−7.2**	1.1	−2.3	−2.8	−6.8	738.0	737.4	736.9	90	58	72	SW 0	NNW 0	E 1	0	10	0	.	⌊ I
14	−6.0	4.5	−0.6	−0.7	−4.8	735.0	733.8	732.5	89	52	66	ESE 0	NNW 0	ESE 1	8	1	0	.	⌊ ⌊ I
15	−2.1	7.5	3.3	2.9	−1.3	730.7	729.7	729.6	72	41	47	ESE 2	ESE 1	E 1	8	8	1	.	⌊ I
16	0.2	12.6	1.0	4.6	0.2	731.3	731.1	732.2	72	36	63	SE 1	ESE 1	ENE 0	8	0	0	.	
17	−0.6	11.0	4.0	4.8	0.3	733.5	732.9	733.1	75	42	68	E 1	WNW 1	SSW 1	2	9	2	.	
18	2.5	12.2	8.5	7.7	3.1	732.7	730.6	728.5	75	52	52	ESE 0	NNW 1	ENE 1	10	3	8	.	
19	5.6	11.6	5.6	7.6	2.9	728.2	728.1	727.0	71	53	75	E 0	NW 1	NW 1	10	7	3	.	
20	2.9	13.3	5.2	7.1	2.2	726.0	725.9	725.7	87	51	84	W 1	NNW 1	SSW 1	10	9	10	.	
21	3.4	11.6	6.7	7.2	2.2	725.1	724.6	724.1	89	54	75	ESE 0	NW 1	S 0	10	8	6	.	
22	6.3	6.1	6.3	6.2	1.1	726.2	730.9	731.4	87	93	84	WNW 1	ESE 1	ESE 2	10	10●	10	**4.3**	● 11 13¾, 14 14½, ⌒ 18½
23	5.4	8.5	3.2	5.7	0.4	730.6	728.1	725.8	92	83	84	S 1	E 1	SE 1	10●	10	2	0.4	● 4¾–9¼
24	0.6	10.0	5.8	5.5	0.1	724.8	**723.9**	724.9	96	74	89	SSE 1	N 1	SSW 1	8	9	10	.	≡ 5¾–6¾, 8–9¼
25	8.3	11.9	8.4	9.5	4.0	727.6	727.8	729.2	90	70	88	S 1	NNW 1	SSW 1	10	10	10	.	
26	8.0	13.2	7.8	9.7	4.1	731.4	732.6	733.9	91	68	89	SW 0	NNW 1	SW 1	10	10	2	.	
27	3.8	16.5	10.0	10.1	4.3	734.9	735.0	736.2	98	58	80	SSE 0	NW 0	NW 1	10≡	6	5	0.0	≡ 7½ 9
28	4.4	9.8	7.5	7.2	1.3	736.1	735.1	734.5	93	78	77	NW 1	NW 1	ESE 1	10	8	0	.	
29	4.2	12.7	7.6	8.2	2.2	735.1	735.1	735.5	94	58	83	NW 0	NW 1	SSW 1	10	9	9	.	
30	3.7	**19.7**	9.7	11.0	4.8	736.0	735.1	734.5	91	44	73	E 0	WNW 0	SSW 1	5	1	0	.	
31	6.6	14.7	10.8	10.7	4.4	733.9	733.8	734.4	75	57	74	SE 1	WNW 1	SW 1	8	9	10	0.0	
Mittel	2.1	9.0	4.3	5.1	—	734.6	734.4	734.4	82	57	73				7.2	6.5	4.3	Summe 7.5	

März 1956
Beobachter: *Observatorium*

Säntis

$\lambda = 9° 21'$, $\beta = 47° 15'$,
$H_b = 2500.1$ m, $G = -0.29$ mm

Tag	Lufttemperatur 7^{30}	13^{30}	21^{30}	Mittel	Abweich. vom Normalst	Luftdruck 7^{30}	13^{30}	21^{30}	Relative Feuchtigkeit 7^{30}	13^{30}	21^{30}	Windrichtung und Stärke 7^{30}	13^{30}	21^{30}	Bewölkung 7^{30}	13^{30}	21^{30}	Niederschlag	Witterung	
1	−7.1	−9.9	−9.7	−8.9	−0.5	562.3	563.0	**564.9**	100	100	98	W 4	W 4	WSW 3	10≡*	10≡*	10	13.8	✱ n–9¾, 12–13½ mU, *)	⊠
2	−7.9	−4.3	−3.7	−5.3	3.0	560.4	560.8	561.1	98	100	100	W 5	W 5	W 5	10	10≡*	10≡	21.6	✱ a–p mU, n (2./3.), *)	⊠
3	−5.0	−4.0	−4.6	−4.5	3.8	559.0	559.4	560.9	100	100	100	W 5	W 5	W 5	10≡*	10≡	10≡*	**39.3**	✱ n-n mU, ≡⇸V↙ n-n	⊠
4	−5.1	−6.3	−6.4	−5.9	2.3	559.1	557.8	558.4	96	100	100	W 5	WSW 4	WSW 4	5	10≡	10≡*	31.6	✱ 19-n, ≡ 9-n, V 9½-n, ↙n-	⊠
5	−11.2	−12.3	−13.6	−12.4	−4.3	556.6	558.1	561.6	100	100	100	W 3	W 3	WNW 2	10≡	10≡*	10≡*	18.1	✱ 8-n, ≡V n-n [n, ↙ I	⊠
6	−15.0	−11.0	−9.8	−11.9	−3.8	562.8	562.6	560.5	87	71	73	WNW 3	W 3	WSW 4	2	8	10	0.5	✱ n (6./7.), ⊕ 16½, ↙ p-n	⊠
7	−11.4	9.6	−12.7	−11.2	−3.2	558.6	559.4	561.4	100	100	100	WSW 4	WSW 4	NW 2	10≡*	10≡*	10≡	18.8	✱ n-20, ≡ n–n, ⇸ 10½–18,	⊠
8	−18.2	−16.3	−19.6	−18.0	−10.1	560.7	561.0	560.7	55	49	**33**	NW 2	N 2	N 2	0	0	0	.	[V 11–n, ↙ n–p	⊠
9	−15.7	−14.2	−13.4	−14.4	−6.5	559.9	560.4	560.2	54	39	43	NNE 3	NNE 2	NE 2	0	1	0	.		⊠
10	−13.6	−11.7	−15.8	−13.7	−5.9	558.8	558.7	557.2	44	55	100	NE 2	N 2	N 2	2	9	10	2.3	✱ n (10./11.)	⊠
11	−19.8	−19.1	−21.6	−20.2	−12.5	554.3	555.3	554.7	98	70	94	ENE 3	NE 2	NE 2	10≡*	3	10≡	0.6	✱ n–7¾, 15½–19½, ≡ n–8½.	⊠
12	**−22.8**	−19.4	−19.0	−20.4	−12.7	**552.1**	554.5	555.5	92	58	76	NNE 3	NE 3	NE 4	10≡	1	0	.	≡ n–8½, ↙ III [14¾–n	⊠
13	−15.6	−15.2	−18.6	−16.5	−8.9	555.0	555.4	555.3	92	81	96	NNE 2	NE 3	N 3	1	1	10≡	0.0	✱ 17¼, ≡ 16¾–n	⊠
14	−16.3	−14.4	−16.1	−15.6	−8.1	553.3	553.9	553.4	96	82	95	NE 2	S 1	WSW 2	5	9≡	1	0.9	✱ 8½–8¾, 13¼–17½, ≡ 8¼–9,	⊠
15	−13.3	−9.7	−10.8	−11.3	−3.8	552.9	553.9	555.0	62	82	78	SW 2	SE 2	NNE 1	1	4	1	.	⊕ 10½–16½ [13½–18	⊠
16	−10.9	−7.4	−9.2	−9.2	−1.8	555.5	556.4	557.7	90	86	87	ENE 1	SSW 2	SSW 2	2	1	0	.		⊠
17	−8.8	−5.2	−8.0	−7.3	0.0	558.2	558.8	559.3	73	81	93	W 2	SW 1	WSW 2	1	5	2	.		⊠
18	−7.3	−3.2	−7.1	−5.9	1.4	558.0	557.5	555.9	94	78	82	SSW 1	S 1	SSE 2	1	1	2	.		⊠
19	−5.4	0.4	−3.5	−2.8	4.4	555.5	555.9	555.3	89	76	87	SSW 2	SSE 1	S 3	2	10	5	.		⊠
20	−4.3	−3.0	−6.2	−4.5	2.6	554.1	554.5	555.3	90	87	85	SSW 3	SE 3	SSW 3	10	8	7	.		⊠
21	−5.6	−3.2	−3.7	−4.2	2.9	553.8	553.9	554.4	82	87	82	SE 3	SSW 4	SW 5	9	9	5	.	↙ 10½–16½, ↙ 16½–n	⊠
22	−2.6	−0.4	−5.0	−2.7	4.3	554.9	557.2	558.2	77	84	100	S 6	SSW 4	SE 3	8	6	10≡	0.2	▽* 15, ✱ 15¾-17½ mU, ≡ 13¾-n, *)	⊠
23	−3.5	−1.8	−1.7	−2.3	4.6	556.2	556.3	555.3	97	72	77	S 5	SSW 3	SSW 4	10	10	9	.	↙ n–n mU, ↙ 7½, 16½	⊠
24	−3.2	−0.8	−1.7	−1.9	5.0	554.5	554.7	555.8	79	75	74	S 3	S 3	S 3	8	10	10	.		⊠
25	−3.4	−1.3	−2.8	−2.5	4.3	556.0	556.3	557.5	88	76	86	SSE 2	ESE 3	ENE 2	6	10	10	.		⊠
26	3.0	0.5	−3.2	2.2	4.5	558.7	560.0	561.3	88	92	100	S 1	ESE 1	W 2	7	10≡	10≡	4.1	✱ 8-8¾, 15½-17, 20¼-21, ≡ 11¾-n	⊠
27	−4.0	−3.5	−4.8	4.1	2.6	561.3	561.9	562.3	100	100	97	W 2	W 2	WNW 3	10≡*	10≡*	10≡*	13.6	✱ n–15½, 16¾ n mU,	⊠
28	−4.6	1.9	−3.6	−3.4	3.2	561.3	561.7	562.6	100	83	74	W 3	S 2	SSE 3	10≡	2	1	.	≡ n–8 [≡ n–n	⊠
29	−3.5	0.2	−1.1	−1.5	5.0	563.0	563.7	564.7	78	61	69	SSW 3	S 3	SSE 2	9	9	3	.		⊠
30	−1.2	**2.0**	−2.0	−0.4	6.1	563.7	563.9	563.3	67	61	98	SW 2	S 2	W 1	9	2	0	.	≡ 17¼–19	⊠
31	−0.5	−1.4	−3.4	−1.8	4.6	561.3	561.5	561.6	90	87	100	ESE 1	NE 1	SE 1	9	8	10≡	1.1	▽* 15-15½, 18¼-18½, △ 15½, [K 14½-15¾, ≡ 14-n	⊠
Mittel	−8.7	−6.7	−8.5	−8.0	—	557.8	558.3	558.8	86	80	86				6.4	6.7	6.3	Summe 171.0		

*) 1. ≡ n–20¾, ⇸ n–20, V n–20½, ↙ n–n mU 2. ≡ n–7, 8½–n, ↙ n–n 22. ↙ n–10½, ↙ 10½–16½

März 1956
Beobachter: *E. Chiesa*

St. Gotthard (Hospiz)

$\lambda = 8° 34'$, $\beta = 46° 33'$,
$H_b = 2095$ m, $G = -0.27$ mm

Tag	Lufttemperatur 7^{30}	13^{30}	21^{30}	Mittel	Abweich. vom Normalst	Luftdruck 7^{30}	13^{30}	21^{30}	Relative Feuchtigkeit 7^{30}	13^{30}	21^{30}	Windrichtung und Stärke 7^{30}	13^{30}	21^{30}	Bewölkung 7^{30}	13^{30}	21^{30}	Niederschlag	Witterung	
1	−1.9	−4.1	−6.2	−4.1	2.4	593.1	594.1	594.5	68	81	83	NW 2	NW 2	NW 3	0	10	6	.	⇸ ↙ n–n mU	⊠
2	−2.2	0.0	0.5	−0.6	5.8	592.6	592.7	592.1	96	98	37	NW 3	NW 2	NW 3	10≡	10≡	10≡	14.7	✱ 10¼–n mU, ≡⇸ ↙ n–n	⊠
3	−1.4	1.0	−1.2	−0.5	5.9	591.0	591.3	591.1	98	86	98	NW 2	NW 2	NW 2	10*≡	10*≡	10*≡	18.3	✱ ≡ ⇸ n–n	⊠
4	−2.5	1.8	−3.6	−1.4	4.9	590.2	589.2	588.1	68	54	98	NW 1	NW 1	NW 3	0	0	10≡	4.2	✱ n (4./5.), ≡ 10½-12¾, 14-n, ↙ III	⊠
5	−6.6	−6.6	−11.0	−8.1	−1.8	586.5	587.7	591.3	97	79	95	NW 2	NW 3	NW 3	10	10≡	10≡	5.2	✱ 8¼-p mU, ≡⇸↙ a-n, V I	⊠
6	−13.2	−4.0	−5.6	−7.6	−1.4	592.3	592.8	591.8	86	60	48	NW 2	NW 1	NW 1	0	0	0	0.6	✱ n (6./7.)	⊠
7	−8.1	−5.0	−8.2	−7.1	−1.0	589.4	589.9	591.0	92	94	97	NW 2	NW 3	NW 3	10≡	10≡	10*	3.5	✱ 14-n, ≡ n-p mU, ⇸↙ a-n	⊠
8	−12.0	−11.1	−14.3	−12.4	−6.3	590.9	591.7	590.8	92	91	98	NW 3	NW 3	NW 3	10≡	6	10	.	≡V n–a, ⇸ ↙ n–n	⊠
9	−14.8	−10.8	−12.0	−12.5	−6.5	590.0	590.5	590.2	76	**30**	51	NW 2	NW 2	NW 1	0	0	0	.		⊠
10	−10.6	−8.8	−12.0	−10.5	−4.5	588.7	588.7	586.0	50	52	86	NW 2	NW 2	NW 3	0	0	0	0.3	⇸ ↙ 19–n	⊠
11	−13.1	−13.8	−16.5	−14.5	−8.6	584.4	585.6	585.3	92	88	95	NW 2	NW 2	NW 3	10≡	0	10≡	.	≡ n-10¼, 17¼-n, ⇸↙V p-n	⊠
12	**−19.2**	−16.0	−17.0	−17.4	−11.6	583.9	584.8	585.4	92	90	95	NW 2	NW 2	NW 3	0	0	6	.	⇸ ↙ V p–n	⊠
13	−16.2	−14.1	−14.8	−15.0	−9.2	585.0	585.2	585.5	46	72	95	NW 1	NW 2	NW 2	0	0	10	0.6	✱ n (13./14.), ≡V 15¼–n,	⊠
14	−14.6	−10.4	−14.4	−13.1	−7.4	**583.8**	583.9	584.0	94	80	80	NW 2	NW 1	NW 1	3	0	0	.	[⇸ p–n	⊠
15	−13.0	−7.1	−9.2	−9.8	−4.1	584.0	584.5	585.3	78	72	99	SE 1	SE 1	SE 1	6	9	10*	0.9	✱ 20–n	⊠
16	−10.3	−3.8	−7.4	−7.2	−1.6	585.9	586.9	588.2	97	74	98	SE 1	SE 1	SE 1	9	9	10≡	0.3	✱ n (17./18.), ≡ 8¼–n mU	⊠
17	−10.3	−2.4	−7.1	−6.6	−1.1	588.4	588.4	588.7	76	60	86	NW 0	SE 1	SE 0	0	0	0	.		⊠
18	−5.8	−2.0	−7.2	−5.0	0.5	588.1	587.8	587.0	80	78	97	SE 1	SE 1	SE 2	9	10≡	10*≡	1.0	✱ 14¼–n, ≡ 9½–n	⊠
19	−6.9	−5.8	−7.2	−6.6	−1.2	586.3	586.3	586.3	96	98	98	SE 1	SE 2	SE 1	10*≡	10*≡	10*≡	7.6	✱ ≡ n–n mU	⊠
20	−7.0	−3.0	−6.2	−5.4	0.0	584.4	585.0	586.1	98	86	98	SE 0	SE 1	SE 1	10≡	10*≡	10*≡	21.4	✱ 8–n, ≡ n–n	⊠
21	−6.2	−3.5	−3.8	−4.5	0.8	585.1	585.0	586.5	98	97	99	SE 1	SE 1	SE 2	10*≡	10*≡	10*≡	33.6	✱ ≡ n–n	⊠
22	−2.4	−2.2	−2.8	−2.5	2.7	585.8	586.7	587.7	98	98	99	SE 3	SE 2	SE 1	10*≡	10*≡	10*≡	**47.6**	✱ ≡ n–n, ⇸ ↙ n–a	⊠
23	−3.0	1.0	−3.1	−2.4	2.8	586.4	586.9	586.9	98	98	99	SE 1	SE 2	SE 1	10*≡	10*≡	10*≡	36.5	✱ ≡ n–n, ⇸ 9½ p	⊠
24	−2.6	−1.2	−2.8	−2.2	2.9	585.8	585.5	585.8	97	95	94	SE 1	SE 2	SE 1	10*≡	10*≡	10*≡	11.2	✱ ≡ n–n, ⇸ 8¾–p	⊠
25	−2.0	−0.2	−1.6	−1.3	3.8	585.3	585.8	586.4	97	91	97	SE 0	SE 0	SE 0	10≡	10*≡	10*≡	4.0	✱ 9½–n, ≡ n–n	⊠
26	−2.8	1.1	−1.4	−1.0	4.0	587.5	589.1	590.3	79	68	89	SE 0	NW 1	NW 1	9	9	9	.		⊠
27	−2.6	0.2	−1.7	−1.4	3.5	590.6	591.4	591.7	96	81	98	NW 2	NW 1	NW 1	0	0	10≡	.	≡ 16¾–n	⊠
28	−4.8	−0.6	−3.0	−2.8	2.1	591.5	592.4	593.1	72	93	98	NW 0	SE 2	SE 1	0	9	10*	12.0	✱ 14½–n mU, ≡ 8¾-10,	⊠
29	−5.4	−1.2	−3.3	−2.6	2.2	594.3	594.8	**594.9**	98	89	91	SE 2	SE 2	SE 1	10*	10	3	1.8	✱ n–a mU [14¼–n	⊠
30	−2.0	1.0	−2.6	−1.2	3.6	594.2	593.9	592.5	69	57	62	SE 1	SE 1	SE 0	0	0	0	.		⊠
31	−2.1	**3.8**	−2.0	−0.1	4.6	591.0	590.8	590.7	80	67	90	SE 0	SE 0	SE 0	9	6	10≡	.	≡ 14¾–n	⊠
Mittel	−7.2	−4.2	−6.7	−6.0	—	588.3	588.7	588.9	86	79	89				6.0	6.1	7.5	Summe 225.3		

$\lambda = 7° 26'$, $\beta = 46° 57'$,
$H_b = 572.2$ m, $G = -0.04$ mm

Bern

April 1956
Beobachter: *Meteorologisches Observatorium*

Tag	Lufttemperatur 7³⁰	13³⁰	21³⁰	Mittel	Abweich. vom Normalst	Luftdruck 7³⁰	13³⁰	21³⁰	Relative Feuchtigkeit 7³⁰	13³⁰	21³⁰	Windrichtung und Stärke 7³⁰	13³⁰	21³⁰	Bewölkung 7³⁰	13³⁰	21³⁰	Niederschlag	Witterung
1	6.6	8.6	5.3	6.8	1.1	711.7	710.3	711.1	96	90	93	SE 0	W 0	S 0	10	10●	10●	**17.3**	● 8½, 11½–24
2	2.0	6.0	3.8	3.9	−1.9	712.7	712.5	712.4	87	60	73	NE 1	NE 3	NNE 1	9	8	0	.	● 0–2, ⸗ II
3	0.8	12.0	7.2	6.7	0.7	713.2	711.8	710.4	91	54	60	SE 0	W 1	W 1	0	1	0	.	⊔ I
4	3.2	11.7	5.3	6.7	0.6	708.1	705.9	707.0	85	34	74	SE 0	NW 1	NE 2	1	9	10●	0.1	● 21¼–24
5	1.9	5.9	1.6	3.1	−3.2	705.9	702.6	700.7	92	44	94	WSW 1	WSW 2	W 1	8	10*	10*●	11.8	● ✳ 0–5½, 19–24, ✳ 15–19
6	−0.4	1.0	−1.8	−0.4	−6.8	704.4	706.4	710.0	81	89	98	NW 1	NNW 1	NW 1	10*	9*	5*	2.9	✳ 0–1¼, 3¼–4, 7½–8½, *) ⊠
7	**−3.4**	1.1	−1.2	−1.2	−7.8	714.8	716.2	717.8	92	41	64	SE 0	ENE 1	SE 1	6	7	2	0.0	✳ 0¾–7¼ mU, 8½–11½ mU ⊠
8	−3.1	5.9	2.4	1.7	−5.0	717.9	717.4	717.4	65	37	61	SE 1	ENE 1	N 1	1	1	0	.	
9	−0.3	11.5	6.3	5.8	−1.1	**718.1**	717.8	717.3	78	38	59	SE 0	W 1	SE 0	1	2	0	.	
10	2.8	16.5	9.1	9.5	2.5	716.9	714.6	713.0	76	31	48	SE 0	NW 1	SSE 1	1	1	1	.	
11	3.7	16.9	11.0	10.5	3.3	712.4	711.0	710.3	76	39	61	SE 0	W 1	SE 0	7	7	1	.	
12	5.6	**17.5**	11.0	11.4	4.0	710.3	708.6	709.3	80	45	69	SE 1	SW 1	WSW 3	1	5	10●	4.4	● 17¾–24 mU, ⸗ III
13	8.3	12.7	10.0	10.3	2.8	708.8	707.3	706.6	93	65	86	E 0	WSW 2	SW 0	8	10●	10	1.9	● 0–5¾, 13½–18¼ mU
14	8.0	10.4	9.2	9.2	1.5	704.3	703.0	701.4	99	89	98	SE 0	W 0	WSW 0	10●	10●	10●	13.0	● 0¾–2½, 4¾–24
15	8.4	16.2	11.4	12.0	4.1	702.5	701.9	702.1	96	55	82	NE 0	SW 1	NE 1	8	7	7	0.7	● 0–5½, 17–18, ⸗ 17¼
16	8.8	11.6	9.0	9.8	1.7	702.3	702.0	701.7	94	84	98	S 0	N 0	WSW 1	10	10●	10●	15.2	● 10¾–24
17	2.3	4.0	1.4	2.6	5.7	706.7	709.3	711.2	94	86	95	WSW 2	WSW 1	N 0	10*●	10●	10*●	8.7	● 0–7, 9–21½, ● ✳ 7–9, 21½–24
18	0.7	2.6	0.6	1.3	−7.2	711.2	712.2	714.1	99	84	98	NE 0	NE 1	N 1	10*●	10*●	9*	4.5	● ✳ 0–13¾, ✳ 13¾–24
19	0.5	3.3	1.2	1.7	−6.9	714.2	714.6	715.5	83	63	90	NE 1	ENE 0	NE 0	9	8	1	0.1	✳ 0–7, 12–13, ⸗ 11–11¼ ⊠
20	0.3	6.5	3.8	3.5	−5.3	716.1	715.0	713.3	86	51	58	E 0	NNE 2	NE 1	5	6	9	.	⊔ I, ⊖ III
21	1.1	10.7	7.6	6.5	−2.5	711.5	709.4	706.9	86	48	74	NE 0	NE 1	E 1	9	9	8	0.6	
22	5.0	6.8	5.0	5.6	−3.5	702.3	701.0	701.8	89	83	95	N 0	W 0	W 0	10	10●	10●	7.1	● 1¼–2, 11½–17½, 20–24
23	4.9	8.5	6.0	6.5	−2.8	703.0	704.2	706.3	99	80	93	SW 0	SE 1	SE 0	10	9	9	5.0	● 0–8½ mU, 18½–19¼, ⸗ 15–
24	2.2	13.9	7.9	8.0	−1.4	706.4	705.5	706.5	100	45	80	SE 0	N 1	ESE 1	1	5	8	.	≡ 4½–6¾ [15½, 16½–17½
25	4.4	12.9	9.2	8.8	−0.8	706.3	705.4	705.3	85	38	63	SE 0	W 1	ESE 1	1	5	4	.	⌓ I
26	5.4	15.8	11.4	10.7	1.0	705.2	703.8	702.8	75	**30**	54	SE 1	NW 1	SSE 1	2	1	5	.	⌓ I
27	7.0	16.6	11.3	11.6	1.7	702.8	700.8	**699.8**	73	43	62	SE 1	NE 1	SSE 0	7	2	1	1.4	⸗ 18¾–19, ⌒ 18½
28	7.8	12.4	7.5	9.2	−0.8	702.9	704.6	707.1	70	58	87	N 1	SW 2	SE 1	8	10●	2	0.1	⸗ 13¼–13½, 16, 16¼
29	5.8	13.3	9.8	9.6	−0.6	706.4	705.0	705.4	81	42	72	SE 1	E 1	S 0	2	8	10●	2.6	● 18¾–24, ⌓ I
30	7.3	9.1	4.4	6.9	−3.4	707.0	708.6	712.8	91	73	95	NW 0	NE 1	SE 1	10	9	10●	1.6	● 0–7¼, 10¾–11¾ mU, 15¼–17 mU, [18¼–24 mU
Mittel	3.6	10.1	6.2	6.6	—	708.9	708.3	708.6	86	57	78				6.2	7.0	6.1	Summe 99.0	

*) 6. ✳ 10¾–14¼ mU, 16¼–17½, 20–21½

$\lambda = 6° 57'$, $\beta = 47° 00'$,
$H_b = 487.3$ m, $G = 0.00$ mm

Neuchâtel

April 1956
Beobachter: *Observatorium*

1	5.9	10.4	6.4	7.6	1.1	719.4	717.9	718.9	91	73	80	W 0	S 0	NE 0	9	10	10	1.7	● 14¾–15¾, 22–23
2	3.7	8.0	5.9	5.9	−0.8	720.5	720.4	720.5	71	53	63	NE 3	NE 3	NE 2	8	5	0	.	⸗ n–19
3	1.7	13.1	8.9	7.9	1.1	721.1	719.5	718.0	93	46	45	NE 0	SW 2	SW 2	0	1	0	.	
4	4.4	11.5	4.6	6.8	−0.1	715.8	713.5	714.4	78	39	75	SW 1	NW 3	N 4	1	7	10●	0.1	● 21½, ⸗ 12½–n, ⸗ III
5	3.2	6.1	1.5	3.6	−3.5	713.5	710.1	707.9	71	50	98	S 0	W 3	SW 2	5	10	10	4.7	● ✳ 17–21½, ✳ 23–23¾, ⸗ a·p
6	0.4	2.2	0.4	1.0	−6.2	712.0	713.8	717.5	74	50	65	NW 2	N 4	N 2	8*	3	2	1.9	⸗ ▽ 7½, a mU, ⸗ n–n mU
7	**−1.4**	3.5	−0.7	0.5	−6.9	722.6	723.9	725.7	71	39	58	NE 1	SW 1	NE 0	1	5	0	.	
8	−1.2	8.0	3.9	3.6	−3.9	725.9	725.3	725.2	73	36	48	NE 0	E 2	NE 1	0	0	0	.	
9	0.4	11.3	6.5	6.1	−1.6	**726.0**	725.7	724.5	82	**30**	55	N 0	SE 0	W 0	0	5	0	.	
10	2.3	17.2	10.9	10.1	2.3	724.5	722.3	720.3	86	36	45	W 0	SW 1	SW 0	0	0	0	.	
11	6.5	16.0	11.4	11.3	3.3	720.0	718.5	717.7	78	47	57	SW 0	SW 1	NW 0	2	10	0	.	
12	6.2	18.0	10.3	11.5	3.4	718.2	716.4	716.9	82	38	73	NW 0	SW 1	SW 2	2	4	10	2.3	● 22¾–24
13	8.3	11.4	9.7	9.8	1.5	716.4	714.9	714.0	92	80	93	SW 2	SW 2	SW 1	9	10●	10●	4.5	● 0–3¼, ●tr a–n mU
14	8.7	9.8	9.2	9.2	0.8	711.0	709.7	708.2	97	97	99	SW 0	S 0	W 0	10●	10●	10●	22.4	● 1¾–24
15	8.5	18.0	12.2	12.9	4.3	709.4	708.7	709.6	92	57	77	SW 0	S 1	NW 0	9	6	10	1.1	● 0–0½
16	8.7	12.9	8.5	10.0	1.2	709.4	709.0	709.1	96	80	91	NW 0	NW 0	NW 1	10	10	10●	**29.2**	● 2¼–4, 14¾–24
17	2.1	4.4	3.3	3.3	−5.6	714.7	717.0	719.0	93	78	66	W 1	W 2	N 2	10●	10●	10	1.2	● 0–14¼
18	2.4	4.0	1.2	2.5	−6.6	719.2	720.1	721.9	89	83	96	NE 0	E 0	SE 0	10	10●	8	4.7	● 6–7¼, ●tr II, ●✳ 18¾–21¼
19	1.4	7.6	1.9	3.6	−5.6	722.0	722.3	722.3	95	59	75	E 0	E 1	E 1	9	7	0	0.7	✳ 3¾–4¾
20	2.6	8.8	5.1	5.5	−3.9	724.0	723.0	722.7	83	46	50	NE 2	NE 2	NE 1	2	2	1	.	
21	2.4	10.7	7.8	7.0	−2.6	719.4	717.4	714.4	83	53	66	NE 1	S 0	NW 0	8	9	6	.	
22	6.9	5.8	5.2	6.0	−3.7	709.0	708.4	709.1	67	97	99	NE 2	SE 0	SW 0	10	10	10	13.5	● 10–23¾
23	4.9	10.1	6.9	7.3	−2.6	710.3	711.7	713.8	97	71	86	SW 0	S 0	NE 0	10●	9	0	0.1	● a
24	2.5	12.3	6.0	6.9	−3.1	714.0	712.9	713.9	98	62	86	NE 0	E 0	W 0	10≡	5	1	0.2	● 14¼–16½, ≡ n–10½
25	3.8	14.9	8.3	9.0	−1.2	713.9	712.9	712.6	91	45	59	NW 0	SE 0	NW 0	0	2	3	.	
26	5.5	16.7	10.4	10.9	0.5	712.8	711.1	709.8	88	33	44	N 0	E 0	NE 0	0	2	2	.	
27	8.1	**18.7**	14.2	13.7	3.2	709.9	707.8	**706.9**	82	39	47	SE 0	SE 1	N 2	8	1	0	.	
28	7.4	15.3	7.7	10.1	−0.6	710.0	711.9	714.5	89	50	74	W 0	SW 2	SW 0	10	7	0	1.1	● 9½–9¾, ⸗ 15–16
29	5.9	14.7	10.9	10.5	−0.3	713.9	712.2	712.8	87	45	56	SW 0	SE 0	N 3	0	8	10	0.4	● 14¼–15¼, ⸗ 17¾–n
30	9.5	10.2	5.6	8.4	−2.6	714.5	716.5	720.6	74	71	91	NE 1	N 4	NE 0	10	9	7	.	⸗ 10–20
Mittel	4.4	11.1	6.8	7.4	—	716.4	715.8	716.1	85	56	71				5.7	6.2	4.7	Summe 89.8	

April 1956
Beobachter: *Frl. H. Nager*

Altdorf

$\lambda = 8° 38'$, $\beta = 46° 53'$,
$H_b = 456.3$ m, $G = -0.08$ mm

Tag	Lufttemperatur 7³⁰	13³⁰	21³⁰	Mittel	Abweich. vom Normalst	Luftdruck 7³⁰	13³⁰	21³⁰	Relative Feuchtigkeit 7³⁰	13³⁰	21³⁰	Windrichtung und Stärke 7³⁰	13³⁰	21³⁰	Bewölkung 7³⁰	13³⁰	21³⁰	Niederschlag	Witterung
1	8.2	11.3	6.2	8.6	1.6	721.5	718.9	721.5	97	70	92	NE 0	NW 1	NW 0	10	10	10●	14.9	● 15¼-n
2	5.2	8.5	5.0	6.2	−0.9	722.9	723.5	722.9	84	54	82	N 0	SW 0	E 0	10	8	7	0.0	∺ 9½-9¾
3	4.0	10.7	7.4	7.4	0.1	723.3	721.5	719.9	90	97	76	NW 0	NW 1	NW 0	6	4	7	.	
4	5.3	11.2	4.6	7.0	−0.4	718.3	714.9	717.1	86	45	86	W 0	NW 2	NW 0	5	7	10●	7.1	● 16¼-n
5	3.5	5.0	1.4	3.3	−4.2	715.3	712.1	710.2	87	60	97	NE 0	NW 1	NW 0	10	9	10*	**17.4**	✳ 17½-n
6	0.3	−1.1	−0.3	−0.4	−8.1	713.2	716.1	719.4	95	100	75	NW 1	N 4	NW 2	10*	10*	10*	6.9	✳ n-n mU, ⸙ a-p ✳✳✳
7	−1.1	1.2	0.2	0.1	−7.7	724.6	726.4	728.9	61	40	72	N 1	N 1	N 0	10	7	10	.	
8	**−2.5**	4.3	1.3	1.0	−6.9	**729.1**	728.5	729.0	66	40	75	E 0	N 1	E 0	2	0	4	.	
9	0.1	9.0	5.8	5.0	−3.1	728.5	728.0	728.1	87	45	64	S 0	N 0	E 0	3	0	1	.	
10	3.7	14.3	7.2	8.4	0.2	726.9	724.2	723.8	69	76	54	E 0	NW 1	E 0	1	1	3	.	
11	5.3	14.3	9.3	9.6	1.2	721.5	720.0	720.9	72	43	61	NE 0	N 0	NW 0	9	5	5	.	
12	5.8	15.3	12.7	11.3	2.8	719.9	718.3	718.8	79	46	66	E 0	NW 1	NW 0	2	5	4	0.0	● n (12./13.)
13	9.2	16.8	13.4	13.1	4.5	719.1	716.1	716.1	90	40	47	NE 0	SE 1	SE 1	8	10	10	.	
14	11.0	17.9	**18.0**	15.6	6.8	713.0	710.8	709.5	75	**37**	41	NW 1	SE 2	SE 1	10	10	10	.	
15	10.9	17.4	11.5	13.3	4.4	711.7	710.2	712.0	86	46	70	W 0	SE 1	SE 2	8	5	8	.	
16	9.6	13.4	10.1	11.0	1.9	711.3	711.0	711.2	95	73	85	NW 1	NW 1	SE 0	10	10	10●	12.3	● 14½-n
17	5.9	6.3	4.5	5.6	−3.6	714.9	719.0	721.3	87	78	83	W 1	NW 1	W 0	10●	10●	10●	11.1	● n-n
18	2.6	4.7	3.1	3.5	−5.9	721.0	721.8	724.0	98	75	86	NE 0	NW 1	NW 0	10●	10●	10	0.9	● n-a, ∺ 13½
19	2.7	4.8	2.7	3.4	−6.1	724.0	725.0	726.5	95	59	78	NW 1	NW 1	NW 0	10	10	10	.	
20	1.2	7.6	4.1	4.3	−5.3	727.0	725.4	724.1	77	45	76	NE 0	N 1	S 0	3	4	4	.	
21	3.3	9.6	7.2	6.7	−3.1	722.2	719.7	717.4	85	55	75	S 0	NW 1	NW 0	7	9	8	.	
22	7.5	8.9	7.5	8.0	−1.9	710.6	709.7	711.5	80	71	80	NW 1	NW 1	NW 0	10	10	10	1.5	● tr p, n (22./23.)
23	6.7	8.2	7.2	7.4	−2.7	712.9	714.5	716.6	97	76	93	NW 0	N 1	NW 0	10●	10	10●	0.2	☽ n-a, ● a-n mU
24	4.0	11.5	7.3	7.6	−2.6	716.2	714.6	717.3	95	79	95	N 0	N 1	NW 0	4	7	10●	2.0	● 19¼-n
25	6.9	13.2	9.2	9.8	−0.5	716.2	714.3	716.1	98	46	75	NE 0	NW 2	E 0	8	7	10	0.1	● 20
26	5.8	14.4	9.3	9.8	−0.7	714.6	713.0	712.5	85	47	60	E 0	NW 1	N 0	5	5	3	.	
27	7.1	15.2	14.8	12.4	1.8	711.7	709.7	**709.2**	79	56	**37**	W 0	NW 1	SE 2	1	2	6	.	
28	11.1	14.6	8.8	11.5	0.8	712.0	713.0	717.4	73	51	85	W 0	NW 1	NW 0	10	5	10	.	
29	7.1	10.6	9.1	8.9	−2.0	716.5	715.0	714.9	83	87	84	N 0	NW 0	NW 0	10	10●	10	13.8	● 13½-17½, n (29./30.)
30	7.2	7.4	4.9	6.5	−4.5	716.9	719.0	722.7	95	95	89	W 0	NW 1	NW 2	10●	10●	10●	12.4	● n-n mU
Mittel	5.2	10.2	7.1	7.5	—	718.6	717.8	718.7	85	61	75				7.4	7.0	8.0	Summe 100.6	

April 1956
Beobachter: *Observatoire*

Genève

$\lambda = 6° 09'$, $\beta = 46° 12'$,
$H_b = 405.0$ m, $G = -0.05$ mm

1	7.6	11.8	8.6	9.3	2.3	726.7	725.1	725.4	96	60	90	NNE 1	NNW 1	NNE 2	8	9	10●	3.0	● 18¼-n
2	5.2	8.2	7.2	6.9	−0.2	726.9	725.9	727.3	75	52	60	NNE 2	NNE 3	NNE 1	10	5	10	.	⸙ n-p mU
3	3.4	13.6	9.2	8.7	1.4	728.5	726.9	725.7	88	43	50	E 1	S 1	S 1	0	1	0	.	
4	5.0	14.4	7.6	9.0	1.6	723.2	720.6	721.5	80	29	62	SSE 1	W 1	NE 2	0	1	9	.	
5	4.2	10.2	3.8	6.4	−1.2	720.9	718.0	716.3	71	58	96	NNE 1	W 1	S 1	0	10	9	1.0	● 19-n mU
6	3.0	5.0	1.0	3.0	−4.7	719.9	722.1	726.4	66	58	82	NNW 1	NW 1	NNE 1	10	10●	9	0.0	∺ 13½
7	0.4	4.3	2.2	2.3	−5.5	729.5	730.8	732.2	68	35	52	NE 1	NNE 1	NNE 1	1	1	0	.	
8	**−2.6**	7.0	5.4	3.3	−4.7	**733.2**	732.0	731.5	57	35	55	NNE 1	NNE 1	NNE 1	0	0	0	.	
9	−0.6	14.3	7.2	7.0	−1.1	733.0	732.6	732.1	80	**28**	58	NNE 1	S 1	NNE 1	0	1	0	.	
10	4.4	13.0	11.7	9.7	1.4	731.9	728.6	728.0	72	50	50	NNE 1	NNE 1	SE 1	0	0	0	.	
11	8.4	18.6	12.6	13.2	4.8	727.3	725.2	724.8	80	29	56	SE 1	SW 1	SSW 1	0	3	0	.	
12	8.2	**19.0**	10.8	12.3	3.8	725.4	723.7	725.6	80	37	90	SE 1	SSW 2	SSW 1	0	4	10●	3.0	● 20-n
13	10.8	13.0	11.8	11.9	3.2	723.6	723.1	721.7	84	80	89	NW 1	SSW 1	SW 1	6	10●	10	1.3	● 13-p, n (13./14.)
14	10.0	10.8	9.8	10.2	1.4	718.3	716.6	716.8	99	96	90	S 1	W 1	W 1	10●	10●	10●	26.5	● n-n
15	9.6	17.0	12.0	12.9	3.9	716.7	716.2	716.6	80	50	90	NE 1	S 1	W 1	6	5	10●	1.5	● 20½-n
16	10.4	15.0	8.4	11.3	2.2	716.4	715.7	717.2	94	70	90	NNE 1	NNE 1	S 1	9	10●	10●	**27.5**	● 13½-n
17	4.7	6.6	4.4	5.2	−4.1	723.3	724.5	726.3	88	72	70	S 1	WSW 1	E 1	10●	10●	9	0.2	● n-p, ● ✳ n (17./18.)
18	3.0	7.4	3.4	4.6	−4.8	726.3	727.1	728.9	75	54	86	NNW 1	NNE 1	NNE 1	10	9	9	.	
19	2.8	8.0	4.6	5.1	−4.5	729.3	729.1	729.8	80	45	75	NNE 1	NNE 1	NNE 1	10	3	5	.	
20	3.4	8.8	7.0	6.4	−3.4	730.5	729.5	727.6	80	52	85	NE 1	NNE 1	NNE 1	8	1	7	.	
21	5.2	7.2	7.0	6.5	−3.4	726.2	724.2	721.8	66	64	85	NNE 1	NNE 1	E 1	10	10	10	3.3	● n (21./22.)
22	6.6	7.6	6.4	6.9	−3.2	716.0	715.8	716.2	93	90	98	SE 1	SSE 1	ENE 1	10●	10●	10●	12.0	● 6-22
23	6.8	14.7	8.2	9.9	−0.3	717.4	718.6	720.4	96	43	80	NE 1	SSE 1	NNE 1	10	10	0	.	
24	5.8	14.1	9.1	9.7	−0.7	721.1	720.2	721.0	86	44	71	NE 1	NNE 1	NNE 1	0	9	1	0.0	● tr 16
25	6.8	15.0	10.1	10.6	0.1	720.8	719.7	719.7	80	39	50	NNE 1	NNE 1	NNE 1	0	2	1	.	
26	7.4	15.0	12.2	11.5	0.8	719.6	718.1	717.3	70	31	62	E 1	NNE 1	SSW 1	0	1	9	0.0	∺ 22¼
27	12.6	17.4	10.0	13.3	2.5	716.8	**714.3**	716.5	65	38	80	NNE 1	NNE 1	SW 2	3	9	10	2.0	∺ ⌊ 18¾-19¼, ● 20¼-21¼, 23¾-24
28	9.4	14.0	10.4	11.3	0.3	717.6	719.9	721.3	83	70	67	NNW 1	SSW 1	SSW 1	10	6●	7	0.9	● 0-2¼, 11 11½, 13¼-14
29	7.4	14.1	11.8	11.1	0.0	720.7	720.0	719.7	70	40	56	NNE 1	NNE 1	NNW 1	1	5	7	0.3	● 18¼-18¾
30	8.6	13.2	7.4	9.7	−1.6	722.0	723.4	728.1	82	56	77	NNE 1	NNE 1	NNE 1	9	9	10	0.3	● 7¾-9¼
Mittel	5.9	11.9	8.0	8.6	—	723.6	722.9	723.5	79	52	73				5.0	5.8	6.4	Summe 82.8	

$\lambda = 8° 34'$, $\beta = 47° 23'$,
$H_b = 569.4$ m, $G = -0.01$ mm

Zürich

April 1956
Beobachter: *Meteorologische Zentralanstalt*

Tag	Lufttemperatur 7³⁰	13³⁰	21³⁰	Mittel	Abweich. vom Normalst	Luftdruck 7³⁰	13³⁰	21³⁰	Relative Feuchtigkeit 7³⁰	13³⁰	21³⁰	Windrichtung und Stärke 7³⁰	13³⁰	21³⁰	Bewölkung 7³⁰	13³⁰	21³⁰	Niederschlag	Witterung
1	7.9	9.3	4.5	7.2	1.7	711.4	709.8	711.8	89	82	91	SSW 1	W 1	NE 1	9	10	10●	**32.4**	⛆ 13¾, ● 14½-24, ≡ p mU, ⌓ I
2	2.1	8.2	3.9	4.7	−1.0	713.4	713.3	713.1	83	49	68	NNE 1	NE 2	ENE 1	9	8	0	0.1	● 0-0¾, ⸗ 14¼-17½
3	1.0	12.2	7.4	6.9	1.1	712.5	711.4	709.8	88	44	50	E 0	SW 2	WSW 1	0	1	1	.	⌊ I
4	5.4	11.8	3.7	7.0	1.0	707.9	705.7	707.2	61	42	74	W 1	W 2	NNE 1	6	6	10	0.5	⌓ I
5	1.5	4.1	0.1	1.9	−4.2	705.4	702.1	**799.0**	86	62	98	WSW 1	SW 2	SSW 1	9	10*	10*	13.7	● 3¼-4¼, ✳fl 13½-16¾,*)
6	−0.8	0.8	−1.9	−0.6	−6.9	703.8	705.7	709.6	91	55	85	WSW 1	WSW 1	NW 1	10✳≡	9	1	2.7	✳ 0-3, 4-8¾, 12½-12¾, 18¼-19¼ ⊠
7	**−3.1**	2.2	−1.1	−0.7	−7.1	714.6	715.9	718.1	83	33	58	W 1	WSW 1	SSE 1	7	9	9	.	⊠
8	−2.9	5.9	2.4	1.8	−4.8	**718.3**	718.1	717.9	74	34	40	SSE 0	SSW 1	SSE 1	0	3	0	.	⊠ ⌊ I
9	0.2	12.8	8.0	7.0	0.3	718.1	717.6	717.1	75	38	41	SE 1	SW 1	S 1	1	3	0	.	⌊ I
10	4.1	16.7	10.0	10.3	3.4	716.5	714.2	712.8	67	**31**	43	SSE 1	WSW 2	NNE 1	1	0	0	.	⌊ I
11	7.2	17.1	12.1	12.1	5.1	711.9	710.9	710.7	58	40	49	SW 1	SW 1	NNW 1	9	7	8	.	⌓ I
12	9.0	**18.8**	13.4	13.7	6.5	710.0	708.8	708.5	61	33	52	SSW 1	SW 2	SW 1	1	5	9	6.0	⌓ I
13	9.1	14.7	9.4	11.1	3.8	708.7	706.8	706.2	90	52	96	WSW 1	SSW 1	S 1	9	10	9	5.2	● 1½-5¾, 15-23¾ mU, ⸗ 5¼
14	9.7	11.5	9.5	10.2	2.7	703.3	701.9	700.8	88	84	93	NNW 1	ENE 1	NNW 1	10●	10	10●	1.4	● 1½-7½, 19-24
15	9.1	17.0	9.3	11.8	4.2	702.0	701.7	702.1	87	47	94	SW 0	WNW 1	ENE 1	9●	7	1	1.7	● 2¾-3¾, ●tr a, 19½-20¾
16	9.2	13.2	11.0	11.1	3.3	701.5	701.6	700.5	88	60	96	NNE 1	SE 1	W 1	10	10	10●	9.3	● 4-4½, 21¼-24 mU
17	2.8	2.8	0.9	2.2	−5.7	705.7	709.2	711.3	91	86	97	WSW 2	WNW 1	WSW 1	10●	10●	10*	12.3	● 0 2¾, 4½-8¾, 12¾-13½, *)
18	0.6	2.3	0.4	1.1	−7.0	711.2	712.1	714.2	92	77	93	N 1	NNW 1	NNW 1	10*	10*	10	7.6	✳ 0-10¼, 11½-20¾ ⊠
19	1.3	5.4	0.7	2.5	−5.7	714.2	714.7	715.7	77	67	89	NNW 0	SW 1	NE 1	10	9	7	0.0	✳fl a mU ⊠
20	1.4	6.9	2.7	3.7	−4.7	716.6	716.0	714.1	91	42	61	ENE 1	NE 1	NE 1	10	9	2	.	⌓ I
21	1.0	11.9	8.7	7.2	−1.3	711.9	710.0	707.3	77	39	48	ENE 1	ENE 1	ENE 1	8	5	9	.	⌊ I
22	5.3	9.2	5.3	6.6	−2.1	701.9	700.3	701.1	69	57	94	NNE 2	NE 2	NW 1	10	10	10	4.3	● 15¾-16¾, 18-20¾, 22¾-23½, *)
23	5.1	7.6	6.2	6.3	−2.5	702.7	704.3	796.2	93	71	86	W 1	W 1	SSW 0	10	10	9	0.2	● 2¼-7½, ●tr p-n mU
24	3.4	13.9	7.4	8.2	−0.8	706.3	705.3	706.4	98	40	78	ENE 0	NW 1	SSE 1	10≡	7	9	0.2	● 18¼-18½, ≡ n-9¼, ⌓ I
25	6.0	13.1	8.7	9.3	0.2	706.3	705.3	705.5	83	37	57	SSW 1	S 1	SSE 1	1	6	2	0.0	
26	6.5	16.9	11.0	11.5	2.3	705.1	703.8	702.7	80	32	43	S 1	S 1	ENE 1	5	2	2	.	⌓ I, III
27	7.9	17.7	12.8	12.8	3.4	702.4	700.8	699.7	71	38	59	SW 1	NE 1	SSE 2	1	1	1	.	⌓ I
28	8.5	13.9	8.1	10.2	0.7	702.5	704.1	707.1	77	50	72	WSW 1	W 1	SSW 2	10	7	3	0.6	● 17-17¾, ⌓ I
29	7.0	14.4	8.9	10.1	0.5	706.5	704.9	705.4	77	40	78	SSW 1	WNW 1	NNW 1	3	9	10●	1.0	●tr 19½-21½, 21½-23¼, ⌓ I
30	7.0	7.5	4.9	6.5	−3.3	706.7	708.7	712.6	92	88	97	NW 1	NNW 1	WSW 1	10●	10●	10	5.2	● 5¾-9¾, ●tr a, 12¾-14¾
Mittel	4.4	10.7	6.3	7.1	—	708.6	708.2	708.5	81	52	73				6.9	7.1	6.1	Summe 104.4	

*) 5. ✳fl 16¾-24, ≡ p mU 17. ● 17½-18¼, ● ✳ 15½, ✳ 19¾-24, ⸗ 1¾-11¾ mU 22. ⸗ 9-11, ⌓ I

$\lambda = 6° 32'$, $\beta = 46° 51'$,
$H_b = 1601$ m, $G = -0.16$ mm

Chasseron

April 1956
Beobachter: *J. Liardon*

Tag	Lufttemperatur 7³⁰	13³⁰	21³⁰	Mittel	Abweich. vom Normalst	Luftdruck 7³⁰	13³⁰	21³⁰	Relative Feuchtigkeit 7³⁰	13³⁰	21³⁰	Windrichtung und Stärke 7³⁰	13³⁰	21³⁰	Bewölkung 7³⁰	13³⁰	21³⁰	Niederschlag	Witterung
1	0.8	2.2	−1.3	0.6	—	628.2	627.5	626.9	100	100	100	NNW 3	NW 4	NW 5	10	10≡	10*≡	1.8	⛆ 14¾, ✳ p-n, ≡ 9½-n,*) ⊠
2	−5.1	−4.5	−3.5	−4.4	—	626.9	627.5	628.0	100	100	100	NE 5	ENE 4	E 5	10≡	9	1	0.0	⛆ 12¼-13¼, ≡ n-13¼ mU,*) ⊠
3	−2.8	−1.4	−1.0	−1.7	—	628.4	628.5	627.4	98	88	80	WSW 3	NW 5	WNW 5	1	4	1	.	⸗ a-n ⊠
4	−2.4	−0.1	−3.7	−2.1	—	624.0	623.0	622.7	87	70	100	WNW 5	NW 5	NNW 5	4	7	10	0.1	✳ 17¾-19, ≡ ⋁ 17-n, ⸗ n-n ⊠
5	−6.9	−5.7	−4.5	−5.7	—	620.9	618.5	**615.8**	98	100	100	NW 3	WNW 4	NW 6	10*≡	10*≡	10*	5.6	✳ n-7½, 13-n mU, *) ⊠
6	−8.2	−6.4	−8.3	−7.6	—	619.0	620.9	623.4	100	100	100	NW 5	NNW 5	NW 6	10*≡	10*≡	10*≡	3.0	✳ ≡ ⸗ n-n ⊠
7	−10.6	−8.2	**−11.2**	−10.0	—	626.1	629.2	632.9	97	98	96	NE 4	NNE 1	E 1	2	3	2	.	≡ n-6¾ ⊠
8	−10.8	−2.5	−2.8	−5.4	—	631.2	632.0	632.1	94	74	60	E 2	— 0	E 3	3	2	2	.	⊠
9	−0.8	3.0	2.0	1.4	—	632.7	**634.0**	633.6	**45**	58	48	W 2	W 2	W 3	2	2	2	.	⊠
10	2.2	6.2	5.0	4.5	—	632.5	632.3	631.1	58	55	50	W 3	S 2	W 2	2	0	2	.	⊠
11	3.0	**7.0**	4.6	4.9	—	629.1	629.3	629.8	52	62	56	W 3	WSW 1	NW 2	6	7	3	.	⊠
12	4.8	**7.0**	4.0	5.3	—	627.5	627.5	627.1	**45**	65	78	WSW 3	S 3	W 3	3	7	10	2.0	⛆ n (12./13.) ⊠
13	1.8	2.4	3.4	2.5	—	625.9	624.8	624.2	100	100	100	SW 3	WSW 4	WSW 3	6	10●≡	10≡	6.6	⛆ 3-4, ● 12-16½, *) ⊠
14	3.0	3.0	2.6	2.9	—	621.7	620.0	619.0	100	100	100	SSW 4	S 4	S 4	10●≡	10●≡	10●≡	14.0	● ≡ n-n, ⸗ a-n, ⸗ III ⊠
15	3.0	6.8	3.6	4.5	—	619.8	620.6	620.5	100	82	100	W 4	WSW 2	W 3	9	9	9	11.6	⛆ 15¾-16¼, ● n (15./16.), *) ⊠
16	2.5	5.0	1.0	2.8	—	619.5	620.2	619.4	100	100	100	E 2	E 1	WNW 3	10●≡	10●≡	10●≡	**21.2**	● 5½-8, 14-n, ⛆ 13½-13¾,*)
17	−5.8	−3.3	−6.4	−5.2	—	621.9	624.5	626.1	100	100	100	NNW 4	NNW 3	NNW 3	10*≡	10≡	10≡	0.2	✳ 7½-10½, ≡ n-n, *) ⊠
18	−5.4	−4.4	−6.8	−5.5	—	626.1	626.9	628.0	100	100	100	N 2	N 2	E 2	10*≡	10*≡	10*≡	1.2	✳° ≡ n-n ⊠
19	−7.6	−3.8	−6.0	−5.8	—	628.0	629.1	629.8	100	100	100	E 3	N 1	N 3	6	9	0	.	⊠
20	−7.0	−2.8	−5.0	−4.9	—	629.6	630.0	628.0	100	100	100	E 3	E 2	E 3	10≡	6	7	.	≡ n-11½ ⊠
21	−1.0	−0.4	0.0	−0.5	—	626.6	626.0	624.3	85	90	84	WSW 2	SW 2	E 3	7	9	8	0.0	✳ 12½-16 mU ⊠
22	1.8	0.2	1.0	0.3	—	619.1	618.2	618.6	82	100	100	S 3	S 3	W 2	9	10●≡	10*≡	12.7	● 9¾-12½, ● ✳ 12½-16,*) ⊠
23	0.6	0.0	−0.8	−0.5	—	619.5	621.4	623.2	100	100	85	WNW 3	WNW 2	— 0	10≡	10≡	3	1.2	● ✳ 10 12, ≡ n 15¾ ⊠
24	1.2	1.8	0.8	1.3	—	623.1	623.3	623.9	68	89	56	N 1	N 2	N 2	3	9	3	0.3	● ✳ 14-15½ ⊠
25	1.2	3.6	1.8	2.2	—	623.1	623.3	623.1	52	53	56	WNW 2	WSW 1	E 1	2	6	4	0.0	⛆ 14-15¼ ⊠
26	1.6	5.6	3.4	3.5	—	622.3	622.2	621.3	51	53	64	W 2	ESE 2	NE 2	2	5	5	.	⊠
27	1.8	6.6	4.6	4.3	—	620.3	619.6	619.2	82	48	76	— 0	ESE 2	NE 2	6	6	2	3.2	✳ 13½-16¼, ⸗ 15
28	−1.0	1.0	0.6	0.2	—	619.8	622.0	623.3	100	90	100	W 3	S 3	WSW 4	8	7	10≡	0.0	✳ 11¾ 13½, 14¾ 15¼,*) ⊠
29	1.0	2.6	0.0	1.2	—	623.1	622.9	622.8	87	75	100	NNW 2	N 2	N 3	3	7	10≡	0.0	⛆ 12½ 12¾, ≡ n-6½ mU, 20½-n
30	0.5	1.2	2.8	−1.5	—	623.6	625.7	627.9	100	100	100	N 2	N 3	N 4	10≡	10≡	10≡	3.0	✳ p-n mU, ≡ n-n, ⸗ a-n
Mittel	−1.6	0.6	−1.0	−0.6	—	624.6	625.0	625.1	86	85	86				6.5	7.5	6.5	Summe 87.7	

*) 1. ⋁ III, ⸗ a-n 2. ⋁ n 8¼, ⸗ n-n, ⸗ I 5. ≡ n 8, 13¼-n mU, ⋁ n 8, ⸗ a-n, ⸗ III 13. ≡ 7 7½, 9¼ n mU, ⸗ a-n 15. ≡ 11 13¼ mU, 20½-n mU, ⸗ n-a 16. ≡ n-8, 9-n 17. ⋁ III, ⸗ I 22. ✳ 16¼-n, ≡ 11½-n 28. ≡ 7¼-12½, 16½-n mU, ⸗ p-n

April 1956
Beobachter: *Stationspersonal Rh. B.*

Bever

$\lambda = 9° 53'$, $\beta = 46° 33'$,
$H_b = 1711.8$ m, $G = -0.26$ mm

Tag	Lufttemperatur 7³⁰	13³⁰	21³⁰	Mittel	Abweich. vom Normalst	Luftdruck 7³⁰	13³⁰	21³⁰	Relative Feuchtigkeit 7³⁰	13³⁰	21³⁰	Windrichtung und Stärke 7³⁰	13³⁰	21³⁰	Bewölkung 7³⁰	13³⁰	21³⁰	Niederschlag	Witterung
1	−5.1	5.4	0.3	0.2	1.8	619.2	617.1	616.1	100	50	100	SW 0	W 1	N 0	4	9	10*	5.3	✳ 19½–n, ⌴ I ⊠
2	−1.2	2.2	0.2	0.4	1.9	617.7	618.9	621.2	75	53	90	N 0	NE 1	SW 0	9	9	8	.	⊠
3	−2.6	5.4	−1.8	0.3	1.6	620.2	618.0	617.3	93	56	72	SW 0	SW 1	NW 0	1	8	1	.	⊠
4	−5.9	4.6	−0.8	−0.7	0.5	615.1	612.3	614.0	96	36	79	SW 0	NW 2	E 0	0	7	5*	0.2	✳ 21–n ⊠
5	−3.7	0.1	−4.0	−2.5	−1.5	610.2	608.4	**606.5**	64	41	96	N 1	W 1	S 0	9*	4	10*	0.0	✳ a, ✳fl 19½–n
6	−5.3	−4.8	−9.6	−6.6	−5.7	606.8	608.6	611.6	64	70	79	W 0	E 0	NE 1	10*	10*	10	0.2	✳ n–p mU, ≡ a
7	**−11.4**	−8.8	−9.8	−10.0	−9.3	615.2	617.6	620.6	58	52	54	N 2	W 1	N 0	10	9	2	.	
8	−11.2	−3.3	−4.2	−6.2	−5.6	621.1	621.5	622.7	75	27	55	S 0	W 1	N 0	1	0	0	.	
9	−7.4	4.4	−2.8	−1.9	−1.5	623.6	623.5	**624.1**	90	51	70	SW 0	N 1	SE 0	1	0	0	.	
10	−7.2	9.2	−3.7	−0.6	−0.3	623.8	622.2	622.2	94	**18**	80	SW 0	NW 1	N 0	0	0	0	.	
11	−4.8	**10.2**	1.8	2.4	2.5	620.9	619.4	619.3	87	38	97	SW 0	SW 1	SW 0	10	10	10	.	
12	−5.0	8.2	1.9	1.7	1.6	619.8	619.0	620.1	98	50	91	SW 0	SW 2	SW 2	0	1	2	0.5	● n (12./13.), ⌴ I
13	1.0	4.3	1.2	2.2	2.0	618.8	618.5	617.6	97	75	97	SW 0	SW 2	SW 0	10	10	6	0.0	✳ 19–20
14	2.6	6.0	1.8	3.5	3.1	615.9	614.3	613.6	90	75	96	S 0	S 2	SW 0	10	10	10●	3.2	● 15–22½ mU, ✳ 22½–n
15	1.1	6.1	2.3	3.2	2.6	613.6	613.2	614.2	95	72	97	SW 0	SW 0	SW 0	10	10	10	7.9	● a–p mU, ✳ n (15./16.)
16	0.1	2.1	0.4	0.9	0.2	613.6	613.5	612.2	100	95	100	SW 0	SW 0	SW 0	10●	10●	10●	**30.3**	✳ n–7, n (16./17.), ● 7–n
17	0.5	1.4	−2.6	−0.2	−1.1	611.8	613.8	615.2	95	95	90	S 0	S 0	S 0	10	10	10	5.4	✳ 8–p mU ⊠
18	−3.2	−1.1	−3.9	−2.7	−3.8	614.6	615.3	617.3	81	64	60	E 0	N 2	N 0	10	10	10	0.0	✳fl a–p mU
19	−5.1	−1.3	−5.0	−3.8	−5.1	617.4	618.4	620.1	79	52	69	N 0	N 1	N 0	10	10	7	0.0	✳fl 17
20	−9.0	0.5	−3.8	−4.1	−5.5	620.9	620.3	620.6	85	43	57	SW 0	N 1	NW 0	0	0	4	.	
21	−2.2	5.0	−0.2	0.9	−0.7	619.5	617.2	617.3	74	49	86	N 0	N 0	SW 1	4	4	10	0.2	✳ n (21./22.)
22	−0.6	2.0	0.0	0.5	−1.3	613.5	611.1	610.1	98	92	92	N 0	S 0	SW 0	10	10*	5	2.7	✳ 8–15
23	0.6	6.1	2.2	3.0	1.0	610.1	610.9	613.7	97	59	70	SW 0	W 2	SW 0	10*	10	8	0.0	✳fl 7–10 mU ⊠
24	0.8	6.0	1.8	2.9	0.7	613.6	613.1	613.9	88	47	83	NE 0	W 1	SW 0	10	8	10	.	
25	1.2	6.6	2.4	3.4	1.1	613.6	613.3	614.1	85	36	74	SW 0	SW 0	SW 0	7	3	2	0.0	✳fl 7¾–8¼
26	0.2	7.4	−0.8	2.3	−0.2	613.8	613.5	613.6	86	50	93	W 0	SW 0	SW 0	5	6	2	.	✳fl 6–7¼
27	−1.5	8.6	2.0	3.0	0.3	612.5	611.6	611.7	97	45	93	SW 0	SW 0	SW 0	1	3	2	0.4	✳ n (27./28.)
28	−0.2	5.3	0.8	2.0	−0.9	612.0	614.0	617.0	92	43	93	W 1	W 0	SW 0	10	2	9	.	
29	−1.8	5.8	1.1	1.7	−1.4	614.4	611.7	612.1	93	40	90	SW 0	N 1	NW 0	10	10	10*	0.0	✳ p mU, 18–n mU
30	2.1	4.8	2.6	3.2	−0.1	613.1	614.0	616.2	72	66	46	N 0	N 2	N 0	8*	10*	10	.	✳fl n–p mU
Mittel	−2.8	3.6	−1.0	−0.1	-	615.9	615.5	616.2	87	55	82				6.7	6.8	6.4	Summe 56.3	

April 1956
Beobachter: *Couvent des Capucins*

Sion

$\lambda = 7° 22'$, $\beta = 46° 14'$,
$H_b = 548.6$ m, $G = -0.14$ mm

1	7.0	14.2	7.8	9.7	1.8	715.0	712.9	711.9	95	58	86	ENE 0	ENE 1	W 0	10	7	10●	2.8	● 18¾–22¼
2	5.6	10.2	4.8	6.9	−1.2	713.7	713.1	714.8	84	58	80	WSW 0	WSW 1	WSW 0	10	8	0	0.0	●tr 15
3	4.0	13.6	8.4	8.7	0.5	716.2	714.1	712.9	81	49	59	WSW 0	SW 1	SW 0	0	3	0	.	
4	5.0	15.1	8.0	9.4	1.0	711.6	707.3	707.6	71	34	59	NNE 0	SSW 2	SW 2	0	7	10	.	
5	4.6	9.9	2.4	5.6	−2.9	707.5	704.6	703.3	67	45	95	SW 1	WSW 4	WSW 2	8	9	10*	4.5	✳ 18¼–24, ⸙ a–n, ⸙ II
6	1.5	4.2	0.4	2.0	−6.7	705.4	707.9	711.8	80	59	75	WSW 2	WSW 2	WSW 1	8	10	10	0.2	✳ 0–3¾, ✳fl p
7	−0.2	4.0	0.0	1.3	−7.5	716.3	717.1	719.5	60	**25**	44	WSW 1	ENE 1	SW 1	3	1	0	.	
8	**−2.5**	7.8	2.9	2.7	−6.3	720.5	718.8	719.5	61	40	45	NE 1	WSW 0	W 0	0	0	0	.	
9	1.5	13.4	7.5	7.5	−1.6	**721.2**	719.5	719.9	66	32	47	ENE 0	WSW 1	NE 2	0	0	0	.	
10	3.7	17.6	10.5	10.6	1.3	720.2	716.7	716.3	67	27	40	ENE 1	ENE 0	ENE 2	0	0	0	.	
11	4.9	19.0	11.7	11.9	2.5	716.0	713.2	713.3	65	33	46	ENE 1	SW 2	W 1	9	3	0	.	
12	6.7	20.0	13.2	13.3	3.7	714.3	711.3	712.1	71	33	56	NE 0	NE 1	SE 1	0	1	5	1.1	⸙ 17¼
13	9.1	16.8	10.1	12.0	2.3	713.0	710.3	711.1	91	40	90	NW 0	WNW 1	NE 1	8	10	10●	3.0	● 0½–5¼, 17–18½, 20 24
14	8.8	13.0	10.4	10.7	0.8	708.6	706.4	705.1	90	64	75	NE 0	NNE 1	WNW 0	10●	10	10	0.8	● 0–1½, 7–7½
15	9.6	**20.8**	14.6	15.0	5.0	706.0	704.1	704.8	87	39	43	WNW 0	WNW 0	ENE 1	7	3	8	.	● 1–4 mU
16	11.8	12.8	8.8	11.1	0.9	705.1	704.2	704.8	65	74	95	E 1	W 2	E 0	10	10	10●	**12.6**	● 13¾–24
17	5.8	6.4	3.6	5.3	−5.0	709.1	710.8	712.6	85	72	78	WSW 1	W 2	W 2	10	10	10	.	● 0–5½, ⸙ p
18	3.2	6.5	3.6	4.4	−6.1	713.4	713.0	715.0	79	67	66	SW 1	W 3	WNW 3	10	10	7	.	⸙ a–n
19	3.4	8.2	4.2	5.3	−5.3	716.1	715.5	717.1	75	43	58	W 0	W 2	W 0	10	9	0	.	
20	3.0	11.5	7.2	7.2	−3.6	718.3	716.2	715.4	61	37	58	W 1	WNW 1	W 0	1	0	10	.	
21	6.0	14.7	9.8	10.2	−0.7	714.5	711.7	710.9	67	46	64	WSW 0	WSW 1	W 0	10	9	10	0.0	● 23¾–24
22	6.9	12.4	6.4	8.6	−2.5	705.8	702.8	704.2	83	56	96	W 0	W 1	WSW 1	10	10	10●	0.7	●tr 16¼–18¼, 21½–22¼, 23½–24
23	6.4	10.7	8.9	8.7	−2.5	705.4	706.5	708.8	94	64	63	WSW 0	SW 0	WSW 0	10	10	9	.	● 0–1¾, ●tr 3¾
24	5.9	16.8	9.2	10.6	−0.8	709.5	707.6	709.1	78	37	70	NE 0	SW 2	WSW 1	2	8	7	.	△ I
25	6.9	16.9	10.8	11.5	0.0	709.3	707.0	707.9	89	34	50	W 0	SW 1	W 2	5	5	4	.	△ I
26	7.2	18.4	13.6	13.1	1.4	708.5	705.9	705.3	68	31	43	NE 0	NE 0	WNW 0	0	4	3	.	△ I
27	8.5	19.4	13.6	13.8	2.0	706.0	**702.3**	702.9	64	32	42	N 0	WNW 0	E 1	1	6	3	.	△ I, ⸙ 16
28	9.4	13.2	7.4	10.0	−2.0	705.6	705.7	709.9	72	55	77	W 1	W 2	E 1	8	9	0	.	△ I
29	6.7	15.7	11.4	11.3	−0.8	709.5	706.8	706.8	84	48	56	NE 0	WSW 2	WSW 2	7	10	10	.	
30	9.4	14.4	7.0	10.3	−2.0	708.6	709.7	713.6	79	55	80	WSW 0	WSW 3	WSW 2	10	10	7	0.0	●tr 7½–8¼, ⸙ 10–n
Mittel	5.7	13.3	7.9	9.0	—	711.7	710.1	710.9	76	46	64				5.9	6.4	5.8	Summe 25.7	

$\lambda = 8^\circ 58'$, $\beta = 46^\circ 00'$,
$H_b = 276.2$ m, $G = -0.04$ mm

Lugano

April 1956
Beobachter: *G. Vicari*

Tag	Lufttemperatur 7³⁰	13³⁰	21³⁰	Mittel	Abweich. vom Normalst	Luftdruck 7³⁰	13³⁰	21³⁰	Relative Feuchtigkeit 7³⁰	13³⁰	21³⁰	Windrichtung und Stärke 7³⁰	13³⁰	21³⁰	Bewölkung 7³⁰	13³⁰	21³⁰	Niederschlag	Witterung
1	4.8	17.4	11.8	11.3	2.2	737.2	734.0	732.3	86	62	91	N 1	S 1	NW 1	0	0	10	0.6	● n (1./2.)
2	7.8	8.0	7.8	7.9	−1.4	734.8	738.8	741.0	93	91	91	ESE 1	SSE 1	W 1	10	10●	10	2.5	● 12–p mU
3	6.6	14.8	9.2	10.2	0.8	739.9	737.0	734.3	92	64	70	E 1	S 1	NNW 1	3	4	0	.	
4	5.4	16.6	10.4	10.8	1.2	732.1	728.8	727.7	72	58	76	N 1	S 1	NE 1	0	9	0	.	
5	10.8	12.4	8.2	10.5	0.8	726.5	724.9	**723.8**	42	64	91	NNE 2	S 1	S 1	1	3	10	1.5	● p–n mU
6	4.6	12.8	4.4	7.3	−2.5	724.1	726.7	731.7	85	33	35	WNW 1	NNE 2	NNE 1	0	6	0	.	
7	3.4	9.2	2.8	5.1	−4.9	736.2	738.9	742.4	36	**28**	31	NE 2	NNE 2	N 1	1	0	0	.	⌊ I
8	3.2	13.2	5.4	7.3	−2.8	742.4	741.4	741.5	38	32	48	WSW 1	SSE 1	S 1	0	0	0	.	
9	**1.8**	15.4	7.2	8.1	−2.1	**745.2**	743.7	743.1	71	41	55	N 1	S 1	N 1	0	0	0	.	
10	4.2	17.4	9.2	10.3	−0.1	742.9	740.4	740.3	73	46	63	N 1	S 1	N 1	1	0	0	.	
11	5.8	14.4	10.4	10.2	−0.3	739.9	739.4	738.5	88	74	79	NE 1	S 1	S 1	8	9	10	.	
12	8.6	13.2	10.8	10.9	0.3	739.0	738.8	738.8	87	83	84	SSE 1	S 1	SW 1	10	10	10	1.9	● n (12./13.)
13	8.4	9.2	7.6	8.4	−2.4	737.8	737.2	736.0	97	88	99	W 1	SE 1	S 1	10	10	10	2.4	⚲ p, ● n (13./14.)
14	8.2	9.0	9.4	8.9	−2.0	734.3	733.3	730.9	99	97	95	S 1	WSW 1	S 1	10●	10●	10●	44.2	● 6½–n
15	8.2	11.0	8.8	9.3	−1.7	730.7	731.6	731.2	96	81	98	W 1	S 1	E 1	10●	10●	10●	44.7	⚲ ● 7–n
16	8.4	9.0	8.6	8.7	−2.5	730.6	729.7	727.6	95	96	99	NNW 1	NNW 1	W 1	10●	10●	10●	73.2	● n–n
17	7.6	8.8	6.6	7.7	−3.6	729.6	731.8	733.0	94	93	97	NW 1	S 1	N 1	10●	10●	10●	**78.4**	● n–n
18	3.8	8.2	9.2	7.1	−4.3	733.7	733.9	735.1	95	62	38	W 1	WSW 1	N 1	10●	10	5	3.8	● n–12 mU
19	5.8	12.8	8.4	9.0	−2.6	737.2	737.1	738.6	61	39	39	N 1	SSW 1	N 1	3	4	0	.	
20	4.2	15.8	9.4	9.8	−1.9	739.9	739.1	739.1	53	35	51	S 1	SSE 1	N 1	0	0	8	.	
21	7.4	11.4	10.4	9.7	−2.1	739.3	737.8	736.2	74	63	73	SSE 1	S 1	E 1	9	10	10	0.2	● n (21./22.)
22	7.8	6.4	6.6	6.9	−5.1	732.3	730.7	728.8	84	92	92	SE 1	S 1	S 1	10⚲	10●	10	15.2	⚲ ● 7 13½ mU, ● n (22./23.)
23	6.8	14.2	10.4	10.5	−1.6	727.2	727.4	729.8	92	66	79	N 1	SSE 1	SW 1	1	8	10	.	
24	8.2	19.6	11.2	13.0	0.8	730.5	728.9	730.0	83	48	75	W 1	S 1	SW 1	1	3	5	.	
25	8.4	14.8	9.8	11.0	−1.4	730.8	730.0	730.9	83	48	67	E 1	S 1	N 1	1	9	6	10.7	● n (25./26.)
26	8.2	16.2	9.4	11.3	−1.2	732.2	730.6	730.3	94	65	77	SE 1	SSE 1	N 1	10●	1	7	3.1	● 6½–8, p mU
27	9.8	16.4	10.2	12.1	−0.5	729.5	728.1	729.7	85	65	83	N 1	S 1	SSE 1	1	8	10●	21.9	● 19–n
28	8.6	9.4	9.2	9.1	−2.9	730.9	732.9	733.1	84	85	75	SE 1	SSE 1	N 1	9	10●	6	10.8	● n–n mU
29	8.4	13.8	9.6	10.6	−2.3	731.3	727.4	725.4	88	63	78	SW 1	S 1	S 1	10	10	10	.	
30	15.8	**21.4**	15.4	17.5	4.4	725.9	727.4	731.7	36	31	34	NE 2	N 2	NNE 2	4	5	2	.	
Mittel	7.0	13.1	8.9	9.7	—	734.1	733.6	733.8	78	63	72				5.1	6.3	6.3	Summe 315.1	

$\lambda = 7^\circ 35'$, $\beta = 47^\circ 33'$,
$H_b = 317.3$ m, $G = -0.08$ mm

Basel

April 1956
Beobachter: *Astronom.-Meteorol. Anstalt*

Tag	Lufttemperatur 7³⁰	13³⁰	21³⁰	Mittel	Abweich. vom Normalst	Luftdruck 7³⁰	13³⁰	21³⁰	Relative Feuchtigkeit 7³⁰	13³⁰	21³⁰	Windrichtung und Stärke 7³⁰	13³⁰	21³⁰	Bewölkung 7³⁰	13³⁰	21³⁰	Niederschlag	Witterung
1	8.5	9.3	5.3	7.7	1.2	734.1	733.0	734.3	90	90	71	SE 0	SW 0	NNW 2	10	10	10	11.0	● 8½–9½, 11¼–11¾, 14–20¾-
2	2.8	9.2	3.9	5.3	−1.3	736.8	736.2	736.1	85	52	65	WNW 0	NNE 1	E 1	10	9	0	.	⚲ 17 [⚲ 21
3	1.4	13.6	7.0	7.3	0.6	735.9	734.3	732.7	90	45	55	S 1	WNW 1	SSW 1	0	0	1	.	⌊ I
4	3.5	10.9	3.5	6.0	−0.9	731.4	729.6	730.3	76	48	92	SW 0	WNW 2	S 0	2	9	10	0.9	● 15¼–16¼, 19¼–21¼ mU, ⚲ 14
5	2.8	6.1	3.6	4.2	−2.8	729.4	726.3	722.7	78	53	84	NW 1	WNW 2	W 2	2	10	10	3.3	● 14¼–19¾ mU, 22–24, ⚲ 23¾
6	0.5	2.6	−1.4	0.6	−6.6	727.2	729.1	733.0	86	82	93	SW 1	S 1	WSW 1	9*	9	2	1.8	● ✳ 7¼–8¼, ✳ 10–12¼ mU,
7	−1.1	3.6	−0.9	0.5	−6.8	738.0	739.3	741.0	86	40	65	W 0	NNW 1	ENE 0	1	4	0	.	✳ 3–4 [19½–21½ ⊠
8	**−1.9**	8.4	2.7	3.1	−4.3	**741.6**	740.8	740.2	77	**28**	51	E 1	N 1	E 1	0	1	4	.	
9	1.5	14.8	7.0	7.8	0.2	740.5	739.7	739.2	61	34	53	E 1	NW 1	SSW 1	2	4	0	.	
10	4.4	18.5	9.5	10.8	3.1	738.7	736.5	734.8	67	30	53	E 1	WNW 1	SSW 1	0	0	0	.	
11	4.6	17.8	9.7	10.7	2.8	734.4	733.4	732.6	80	41	65	E 0	N 1	N 0	8	10	4	.	⊕ 8
12	8.7	**20.1**	14.0	14.3	6.3	732.5	731.4	731.0	70	36	61	E 1	W 1	SSW 1	4	4	10●	1.3	● 21½
13	9.6	12.5	11.7	11.3	3.2	731.0	729.4	728.5	90	81	74	E 1	WSW 1	S 0	10	10●	10●	6.2	● 0½–4¼, 13–16½ mU, 19¾–20¼, ⚲ 14
14	9.8	11.2	10.3	10.4	2.1	726.0	724.7	723.4	95	95	95	ESE 1	ESE 2	E 1	10	10●	10●	11.5	● 3–10¼, 12–24
15	10.1	15.3	11.4	12.3	3.9	724.1	723.6	724.5	93	66	88	E 1	NNW 1	E 1	9●	9	10●	3.2	● 0–1¾, 13–13½, 16, 17½–19, 20½–21½,
16	10.2	14.0	9.4	11.2	2.6	724.4	724.4	724.3	92	71	95	SE 0	WNW 1	NNW 1	10	10	10●	**16.5**	[⊠ 13½–14 ● 14 24, ⚲ 23¾
17	2.5	4.7	3.1	3.4	−5.3	728.8	732.3	734.5	90	85	89	SSW 2	WNW 1	W 0	10●	10●	10●	10.0	● 0–14¼, 15¾–19½, 21¼–24
18	0.6	3.2	1.5	1.8	−7.1	734.9	735.6	737.4	96	86	93	NW 1	NNW 1	SSW 1	10*	10●	10	1.4	● ✳ 0–8, ● 8–11, 12–16½
19	1.4	6.5	2.5	3.5	−5.5	737.5	737.7	738.8	92	64	80	WNW 1	NNW 1	NW 1	10	8	2	0.2	⊽ 16½–16¾, 17¼–17½
20	2.2	8.2	3.8	4.7	−4.4	739.7	739.0	737.3	90	55	66	N 0	N 1	E 0	10	9	1	.	
21	1.0	13.0	10.0	8.0	1.3	735.2	732.4	730.4	88	39	51	E 0	E 1	E 1	8	5	9	.	⌊ I, ⊕ 8½
22	4.8	9.4	6.1	6.8	2.6	725.7	723.8	724.2	81	75	92	WNW 1	WNW 0	S 0	9	10●	10●	9.2	● 11¾ 22 mU
23	6.1	8.9	4.4	6.5	−3.1	725.4	726.9	728.7	95	83	94	SSW 0	SSW 0	S 1	10●	10	0	0.8	● 0½–11½
24	3.4	14.6	6.4	8.1	1.6	728.9	728.4	728.7	98	47	89	ESE 1	WNW 1	E 1	10≡	9	1	1.2	● 16 17½ mU, ≡ n 8
25	4.0	15.5	7.0	8.8	−1.0	729.2	728.7	728.1	96	39	71	SSE 0	NW 1	SW 1	2	2	0	.	
26	6.0	17.2	9.0	10.7	0.7	727.7	726.4	725.0	78	38	66	E 1	ESE 1	NW 0	7	5	0	.	
27	7.7	18.2	11.9	12.6	2.5	725.1	723.4	**721.7**	72	40	57	E 1	NNW 1	WSW 1	9	1	5	.	
28	9.5	12.6	6.8	9.6	0.7	724.8	727.0	729.2	74	62	91	W 0	WNW 1	SSE 1	10	9	9	5.2	● 16 16¼, 17¾ 18, △▲ 17¾,
29	6.9	16.2	11.4	11.5	1.1	729.4	727.8	727.9	85	40	59	E 0	WNW 1	N 1	0	8	10	.	[⚲ 17¾
30	7.8	7.4	3.5	6.2	4.3	729.9	732.3	735.8	87	84	92	N 1	N 1	S 1	10	10	2	1.3	● 14¾ 18, ⚲ 12
Mittel	4.6	11.5	6.5	7.5	—	731.6	731.1	731.2	85	58	75				6.7	7.2	5.3	Summe 85.0	

April 1956
Beobachter: *Observatorium*

Säntis

$\lambda = 9° 21'$, $\beta = 47° 15'$,
$H_b = 2500.1$ m, $G \doteq -0.29$ mm

Tag	Lufttemperatur 7³⁰	13³⁰	21³⁰	Mittel	Abweich. vom Normalst	Luftdruck 7³⁰	13³⁰	21³⁰	Relative Feuchtigkeit 7³⁰	13³⁰	21³⁰	Windrichtung und Stärke 7³⁰	13³⁰	21³⁰	Bewölkung 7³⁰	13³⁰	21³⁰	Niederschlag	Witterung
1	−4.1	−3.4	−7.4	−5.0	1.4	560.3	559.1	558.2	93	100	100	NNW 1	WSW 2	N 2	6	10≡*	10≡*	**21.0**	✳ 11-n, ≡ n-7, 7½-n
2	−9.4	−8.7	−4.8	−7.6	−1.3	558.4	559.9	561.3	100	94	87	NNW 1	NE 2	ESE 3	10≡*	1	0	0.2	✳ 6¾-9 mU, ≡ n-12½, 12½-14 mU
3	−2.6	−4.6	−5.8	−4.3	1.9	560.6	559.7	558.5	75	91	100	WSW 2	W 3	W 3	1	1	10≡	.	≡ 14-15½ mU, 15½-n
4	−8.2	−6.5	−9.9	−8.2	−2.0	555.3	554.4	553.8	97	97	98	WSW 3	W 3	NNW 2	10≡	10≡	10≡*	14.4	✳fl 15¼-16¼, 19-n, *)
5	−12.8	−9.6	−11.1	−11.2	−5.1	551.1	559.2	**546.5**	100	100	100	NW 2	WSW 3	W 4	10≡*	10≡*	10≡*	18.8	⊽ n-12 mU, ✳ 13-15, 16¾-n, *)
6	−14.4	−16.4	−16.6	−15.8	−9.8	548.3	549.2	552.0	100	98	100	N 1	N 4	N 2	10≡*	10≡*	10≡*	14.4	✳≡ n-n, ✢ 12¾-15, 17-n, ⸙ II
7	**−18.9**	−17.1	−16.6	−17.5	−11.6	554.7	557.1	559.5	95	98	100	NW 2	W 2	W 2	10≡*	10≡	10≡*	2.9	✳ n-9½, 14-n, ≡ n-9½,
8	−15.3	−10.7	−10.4	−12.1	−6.2	559.6	561.1	562.5	87	**35**	98	NNW 1	SW 1	NNW 2	1	1	10≡	.	≡ 20-n [11½-n
9	−9.0	−6.8	−6.8	−7.5	−1.7	563.2	564.2	**564.4**	91	78	85	W 2	WSW 3	W 4	1	1	1	.	⸙ III
10	−5.4	−3.2	−3.5	−4.0	1.7	563.7	563.8	562.9	45	42	77	WSW 3	WSW 3	W 4	2	1	1	.	⸙ III
11	−3.7	−2.6	−3.4	−3.2	2.4	561.2	561.2	561.2	75	71	97	W 4	W 3	W 3	10	10	10	.	⸙ I
12	−2.6	0.6	−2.5	−1.5	4.0	560.2	560.7	559.8	69	62	100	W 3	SW 2	W 2	1	10	10≡	2.2	≡ 21-n, ⊕ 13½-16½
13	−3.4	−0.8	−2.3	−2.2	3.2	558.6	558.5	557.5	98	100	100	WSW 3	SW 3	WSW 3	10≡*	10	10≡*	3.1	✳ n-8, 16¼-16¾, 19-n, *)
14	−2.6	−0.3	−1.8	−1.6	3.7	555.7	554.9	553.2	98	68	84	SW 3	SSW 3	SSW 4	9	10	10	0.0	✳ 9¾-11 mU, ⸙ III
15	−1.8	**1.9**	−1.1	−0.3	4.9	554.0	555.1	555.8	90	84	80	SW 2	SSW 3	S 2	8*	6	8	0.0	⊽ 7-8, ⊕ 10½
16	−0.9	1.3	−2.0	−0.5	4.5	554.5	554.6	552.8	90	81	99	S 3	SSE 2	ESE 3	10	10	10	3.9	✳ n (16./17.)
17	−7.6	−8.7	−9.5	−8.6	−3.7	552.8	555.0	556.5	97	96	95	W 3	WSW 4	NW 1	10≡*	10≡*	10≡*	6.3	✳ ≡ ∨ n-n, ⸙ II
18	−10.2	−7.0	−11.6	−9.6	−4.8	555.9	556.6	558.0	94	97	94	NW 2	WNW 2	SW 1	10≡*	10≡*	10≡*	2.7	✳ ≡ n-n, ∨ n-7
19	−11.8	−8.6	−13.3	−11.2	−6.6	557.6	558.5	560.0	92	95	93	WNW 2	WSW 2	NW 2	10≡*	10≡*	10≡	0.5	✳ n-15, ⊽ 15-18 mU, ≡ n-22
20	−12.7	−6.8	−10.3	9.9	−5.4	560.0	560.8	560.0	92	98	83	N 2	S 2	SSW 2	1	10≡	6	.	✳ 6½-7, ≡ n-7, 9-17½ mU
21	−6.6	−2.3	−2.2	−3.7	0.6	558.7	558.8	557.4	50	80	80	WSW 3	SW 2	SSE 2	8	10≡	9	.	≡ 12½-17 mU
22	−0.2	0.5	−3.9	−1.2	3.0	554.1	552.1	551.5	69	78	99	SE 2	S 3	SW 2	10	10*	10≡*	5.5	✳ 13-18, 20-n, 13¾-n mU
23	−5.6	3.8	−5.9	−5.1	−1.1	551.7	553.7	555.5	97	97	97	W 3	W 3	W 2	10≡*	10≡	10≡*	1.0	✳ n-12, 16-n, ≡ n-n, ∨ n-11
24	−6.5	−2.8	5.6	−5.0	−1.2	555.1	555.6	555.9	96	85	99	W 2	WSW 2	WSW 2	1	10≡△	10≡*	0.7	△ 13-13½, ⊽ 13½-15¾, *)
25	6.3	−3.8	−5.3	5.1	−1.4	555.2	555.5	555.7	99	84	96	WNW 2	WSW 2	WSW 2	10≡	7*	10≡*	1.8	⊽ 9¾-14½ mU, 16-18¼ mU, *)
26	−5.0	−1.7	−3.6	−3.4	0.1	555.3	555.4	555.1	80	81	86	WSW 2	SSW 2	SSE 1	3	7	1	0.0	⊽ 15¾
27	−1.2	0.0	−2.2	−1.1	2.2	554.1	554.2	553.4	60	71	84	NNE 2	E 1	ESE 3	1	3	1	.	
28	−3.3	1.2	−5.9	−2.2	−0.4	553.3	555.0	556.7	88	84	100	ESE 3	SW 2	W 2	10	10≡	10≡	1.1	⊽ 18-18¼, ≡ 9-n mU
29	−3.7	−4.0	−4.5	−4.1	1.2	555.8	555.5	555.3	93	100	100	NNW 1	N 1	N 2	3	10≡	10≡*	4.6	⊖ 15¼, ✳ 20-n, ≡ 11-15¾,
30	−4.8	−4.4	−8.2	−5.8	−3.1	555.3	556.9	558.5	100	100	100	N 2	N 2	N 3	10≡*	10≡*	10≡*	11.3	✳ ≡ n-n [19¾-n
Mittel	−6.7	−4.6	−6.6	−6.0	—	556.5	556.9	557.0	87	85	94				6.9	7.9	8.2	Summe 116.4	

April 1956
Beobachter: *E. Chiesa*

St. Gotthard (Hospiz)

$\lambda = 8° 34'$, $\beta = 46° 33'$,
$H_b = 2095$ m, $G = -0.27$ mm

Tag	Lufttemperatur 7³⁰	13³⁰	21³⁰	Mittel	Abweich. vom Normalst	Luftdruck 7³⁰	13³⁰	21³⁰	Relative Feuchtigkeit 7³⁰	13³⁰	21³⁰	Windrichtung und Stärke 7³⁰	13³⁰	21³⁰	Bewölkung 7³⁰	13³⁰	21³⁰	Niederschlag	Witterung
1	−2.7	0.6	−4.7	−2.3	2.3	589.4	588.9	587.3	80	78	98	NW 2	NW 1	NW 2	3	3	10≡	4.4	✳ 16¼-n mU, ≡ 16-n
2	−6.3	−4.5	−4.6	−5.1	−0.6	587.7	588.8	591.0	98	97	98	NW 1	NW 1	SE 1	10≡	9	10≡	1.6	✳ 19¼-n mU, ≡ n-a, 16-n, ∨ I
3	−3.3	0.6	−3.0	−1.9	2.6	590.6	590.0	588.5	98	65	98	SE 1	NW 0	NW 1	9	0	10	.	≡ 16½-19 mU
4	−5.2	−2.2	−6.3	−4.6	−0.2	586.2	584.5	583.2	82	64	97	NW 1	NW 1	NW 2	0	0	10*≡	3.3	✳ ≡ ✢ 16¾-n
5	−9.0	7.6	−7.3	−8.0	−3.7	580.9	579.8	**577.3**	96	91	89	NW 2	NW 1	NW 1	10*≡	6	10*≡	8.5	✳ n-9¼, 15¾-n, ≡ n-9½, 15½-n, [✢ I
6	−11.0	−10.1	−13.6	11.6	−7.4	577.6	579.0	581.4	92	94	90	NW 3	NW 2	NW 4	10*≡	10*≡	10*≡	6.6	✳✢≡⸙ n-n, ⸙ III
7	−15.2	−13.3	−15.1	−14.5	−10.4	584.5	587.3	589.9	91	89	85	NW 3	NW 2	NW 1	9	6	0	.	✳ ✢ n-a
8	**−15.8**	−9.8	−9.0	−11.5	−7.5	589.8	591.5	592.4	87	54	65	NW 2	NW 1	NW 1	0	0	0	.	∨ I
9	−7.8	−2.5	−5.2	−5.2	−1.4	593.3	594.2	**594.3**	60	54	75	NW 0	NW 1	NW 1	0	0	0	.	
10	−3.6	1.0	−1.8	−1.5	2.1	593.9	593.7	593.1	41	**30**	39	NW 0	NW 1	NW 0	0	0	0	.	
11	−1.3	1.6	−2.6	−0.8	2.7	591.3	591.5	791.1	44	61	99	NW 1	SE 0	NW 0	9	3	10≡	.	≡ 20-n
12	−3.2	2.9	−1.5	−0.6	2.7	590.7	590.7	790.4	64	71	91	NW 0	SE 1	SE 1	0	9	10	1.3	△ n (12./13.), ≡ 15½-n mU
13	−2.0	−0.6	−1.6	−1.4	1.7	589.3	589.0	788.4	97	98	96	SE 1	SE 1	SE 2	10≡	10≡	10≡	7.4	✳ 16½-n mU, ≡ n-n
14	−1.0	−0.4	−2.6	−1.3	1.6	586.5	585.4	784.1	98	98	98	SE 2	SE 2	SE 2	10*≡	10*≡	10*≡	28.2	✳ ≡ n-n, ✢ III
15	−1.2	1.4	−0.9	−0.2	2.5	583.7	584.6	784.5	98	88	97	SE 0	SE 0	SE 1	10≡	10≡	10*≡	27.7	✳ 14-n, ≡ n-n
16	−1.3	−0.8	−1.0	−1.0	1.5	583.8	583.6	582.3	98	98	98	SE 1	SE 0	SE 2	10*≡	10*≡	10*≡	**63.6**	✳ ≡ n-n
17	−2.8	−5.0	−7.3	−5.0	−2.7	582.6	584.6	585.8	98	90	92	NW 1	NW 2	NW 2	10≡	10≡	10≡	52.1	✳ n-n mU, ≡ ✢ n-n
18	−9.1	−6.2	−9.2	−8.2	−6.1	585.3	585.9	587.2	96	65	65	NW 2	NW 2	NW 3	10≡	10≡	10≡	12.2	✳ n-n mU, ≡✢ n-n, ∨ a-n,
19	−9.2	−4.3	−9.8	−7.8	−5.9	587.4	588.7	590.0	68	62	68	NW 2	NW 1	NW 2	10≡	9	10≡	.	≡ n-9, 14½-n [⸙ p-n
20	−10.6	−4.0	−5.7	−6.8	−5.1	590.1	591.4	590.3	64	35	58	NW 2	NW 1	NW 1	0	0	3	.	
21	−3.6	5.1	−3.4	−0.6	0.9	589.6	589.0	787.9	73	51	98	SE 1	SE 1	SE 2	10	10	10≡	1.7	✳ 18½-n mU, ≡ 17-n
22	−1.4	**6.1**	−3.3	0.5	1.8	584.2	583.3	781.4	91	60	94	SE 0	SE 1	SE 0	10≡	10≡	10≡	8.0	✳ 15¼-n mU, ≡ n-n
23	−3.2	−0.2	−3.1	−2.2	−1.1	581.4	582.7	784.7	98	86	97	NW 1	NW 1	NW 2	10≡	10≡	10*≡	5.4	✳ 15¾-n mU, ≡ n-n
24	−6.2	−1.4	−3.0	−3.5	−2.6	584.5	584.8	785.1	78	73	98	NW 1	NW 0	NW 1	0	0	10≡	0.9	✳ n (24./25.), ≡ 20¾-n
25	−4.0	−1.0	−2.8	−2.6	−1.9	584.7	585.1	785.1	82	60	98	NW 0	NW 0	NW 1	6	0	10≡	.	≡ 20-n
26	−3.2	0.4	−1.4	−1.4	−0.9	584.8	584.8	784.5	80	65	99	NW 0	NW 0	SE 0	3	0	10≡	.	≡ 20¼-n
27	−2.0	4.3	−1.0	0.4	0.7	583.8	583.5	783.1	79	56	99	SE 0	SE 1	SE 1	3	10	10*≡	9.5	✳ 13-n mU, ≡ 20½-n
28	−3.0	0.6	−2.3	−1.6	−1.5	583.1	584.3	785.9	97	88	98	SE 1	SE 1	SE 1	10≡	10≡	10*≡	9.8	✳ 12¾-n mU, ≡ n-n
29	−4.6	−0.4	−2.8	−2.6	−2.7	584.9	583.9	783.6	86	93	98	NW 1	NW 3	NW 2	10≡	10≡	10≡	6.6	✳ n-n mU, ≡ n-n, ⸙ 12½-p, ∨ III
30	−3.8	−1.4	−5.0	−3.4	−3.7	583.6	585.3	586.8	98	98	98	NW 2	NW 3	NW 3	10≡	10≡	10≡	4.7	✳ n-n mU, ≡ ∨ n-n, ⸙ a- [n, ✢ 16¾-n
Mittel	−5.2	−1.7	−4.7	−3.9	—	586.3	586.6	586.7	84	74	89				6.7	6.2	8.4	Summe 263.5	

*) Säntis: **4.** ⊽ 16¼-19 mU, ⊼ **17.** ≡ n-n mU, ∨ n-9, ⸙ 10½ **5.** ≡ n-n, ⸙ III **13.** ≡ n-12½, 16-17, 19½-n, ∨ n-9, ⊕ II **24.** ✳ 17½-n, ≡ 12½-15½, 19½-n **25.** ✳ 20-n, ≡ n-8½, 12-12¾, 17½-18, 19½-n

$\lambda = 7° 26'$, $\beta = 46° 57'$,
$H_b = 572.2$ m, G = –0.04 mm

Bern

Mai 1956
Beobachter: *Meteorologisches Observatorium*

Tag	Lufttemperatur 7³⁰	13³⁰	21³⁰	Mittel	Abweich. vom Normalst	Luftdruck 7³⁰	13³⁰	21³⁰	Relative Feuchtigkeit 7³⁰	13³⁰	21³⁰	Windrichtung und Stärke 7³⁰	13³⁰	21³⁰	Bewölkung 7³⁰	13³⁰	21³⁰	Niederschlag	Witterung
1	4.6	9.3	5.1	6.3	–4.1	713.8	712.6	714.8	86	38	91	S 0	W 2	SW 1	2	8	10	1.9	● 0–2½, 15¾–20½
2	**4.3**	12.3	8.7	8.4	–2.2	715.5	715.5	716.9	96	44	67	E 0	SW 1	ESE 1	10	5	9	0.0	● 0–7¼ mU
3	7.2	14.1	9.7	10.3	–0.4	716.7	716.5	717.7	80	49	68	SE 1	SW 0	NNE 0	9	9	1	.	
4	6.4	16.5	12.3	11.7	0.8	719.4	719.1	719.9	81	39	50	SE 0	NE 2	NE 1	0	1	0	.	⌓ I
5	8.4	18.8	14.5	13.9	2.9	720.7	720.2	719.8	77	36	49	SE 0	N 1	N 0	0	2	0	.	⌓ I
6	10.2	21.5	15.7	15.8	4.7	**721.5**	720.7	720.7	72	**32**	53	E 0	W 1	SE 1	0	1	0	.	
7	12.2	22.5	16.8	17.2	5.9	721.3	720.3	719.9	68	36	54	S 0	N 1	SW 0	0	1	0	.	
8	12.7	22.7	17.3	17.6	6.2	720.3	719.2	719.3	72	38	53	SE 0	E 1	SW 0	1	1	1	.	
9	13.3	22.2	17.3	17.6	6.1	718.6	716.7	716.3	72	40	43	SE 0	W 1	SW 1	1	2	3	.	
10	14.9	11.2	9.5	11.9	0.2	715.3	715.1	716.1	58	89	91	SW 1	SW 2	WSW 1	10	10●	10	7.0	● 11¾–18¼, 23–23¾
11	9.3	13.5	11.6	11.5	–0.3	717.1	716.9	716.4	88	44	64	W 1	NW 1	SE 0	8	9	9	0.0	● 1¼–5¾ mU
12	9.6	9.9	7.7	9.1	–2.8	713.3	713.6	717.0	79	89	91	S 0	SW 1	ESE 1	10	10●	10	9.5	● 6¾–18¾ mU, 22¼–24 mU
13	7.1	12.1	8.3	9.2	–2.9	718.4	719.0	719.6	93	54	83	NE 1	NE 2	NNE 1	9	8	1	.	● 0–5½
14	7.5	14.8	11.3	11.2	–1.0	719.8	719.0	719.4	81	47	53	NE 0	N 2	S 0	1	2	3	.	⌓ I
15	10.1	16.9	12.6	13.2	0.9	719.6	719.2	719.1	70	39	60	NE 0	N 2	NE 1	4	4	3	.	
16	10.3	19.6	15.0	15.0	2.6	719.5	718.4	717.8	73	35	64	ESE 0	SW 1	SW 0	0	1	0	.	⌓ I
17	11.7	15.1	13.0	13.3	0.7	717.0	715.1	713.3	74	79	91	SSE 1	W 1	S 0	1	9	9	5.2	⛆ 12¾–13¼, 16¾–17¾, 19¼, *)
18	12.5	20.2	12.0	14.9	2.2	712.4	710.5	710.1	81	44	91	W 0	WSW 2	SE 1	5	9	8	22.8	● 0–5¾, 15¼–16¼, 18¾–19¾, 23¼–24, *)
19	9.6	8.9	6.6	8.4	–4.4	709.2	709.6	710.2	95	95	98	WSW 1	N 0	NNE 1	10●	10●	10●	**23.7**	● 0–0½, 2½–24
20	5.9	10.4	8.8	8.4	–4.5	711.7	712.2	711.3	95	59	69	NNE 1	NE 2	SE 1	10	9	0	.	● 0–3¾
21	6.4	16.9	14.3	12.5	–0.6	710.7	709.2	707.5	84	49	76	NE 0	NE 1	NE 0	1	1	7	0.1	⌓ I, ⚲ III
22	14.2	20.4	12.6	15.7	2.5	708.2	**706.8**	708.6	81	53	96	ESE 1	NW 1	WSW 2	7	7	10	10.4	● 3–3½, 16–24 mU, ⚟ 19¾–20¾
23	12.3	15.1	14.1	13.8	0.5	711.5	713.1	714.0	96	77	92	SE 0	SW 1	N 0	9	9	1	0.2	● 0–4¾, ⛆ 11½–12, ⌓ III
24	11.6	13.4	12.5	12.5	–0.9	713.5	713.3	711.3	87	67	85	SE 0	SW 2	ESE 0	9	9	4	0.2	● 10–11¾ mU, ⌓ I
25	10.4	13.6	12.3	12.1	–1.4	709.6	711.1	713.4	86	68	75	W 1	SW 2	SW 0	10	9	9	1.2	● 8 12 mU
26	10.3	18.1	15.8	14.7	1.0	715.1	715.3	716.3	80	53	63	N 0	NE 1	N 1	4	3	9	.	⌓ I
27	12.5	20.7	17.3	16.8	3.0	717.6	715.7	715.3	87	61	79	NE 1	NNE 1	N 1	10	9	6	.	⌓ I
28	16.3	**25.5**	22.2	21.3	7.4	715.3	712.6	710.7	72	55	71	E 1	N 1	SE 1	0	7	9●	0.0	● 21–21½, ⌓ I
29	18.4	24.3	14.6	19.1	5.1	711.1	712.1	715.0	73	49	95	W 0	W 1	E 1	1	5	9	13.9	● 16½–20½ mU, ⚟ 18¼–19, ⌓ I
30	15.4	21.9	15.8	17.7	3.6	714.4	712.2	710.3	80	63	93	E 0	NNE 1	NNE 2	0	2	10●	14.1	● 19¼–24, ⚟ 20¾–21¼
31	13.3	12.5	11.0	12.3	–1.9	712.0	711.8	711.6	92	83	92	WSW 1	ESE 2	SE 0	8	8	8	4.3	● 0–3½, 11½–12¾, 17¼–17¾, [19–21½, ⚟ 12¾
Mittel	10.6	16.6	12.8	13.3	—	715.5	714.9	715.1	81	55	74				4.8	5.8	5.4	Summe 114.5	

*) **17.** ● 22¼–24, ⚟ 19¼, 20¾–21, ⌓ I **18.** ⛆ 20–20½, 22–23¾, ⚟ 22¼–22½, ⊕ II

$\lambda = 6° 57'$, $\beta = 47° 00'$,
$H_b = 487.3$ m, G = 0.00 mm

Neuchâtel

Mai 1956
Beobachter: *Observatorium*

1	6.0	11.9	6.0	8.0	–3.1	721.5	720.6	722.5	72	46	85	SW 1	SW 2	SW 0	2	7	10	0.4	●tr p, 23½–24
2	**5.3**	14.1	9.7	9.7	–1.6	723.0	723.0	724.5	90	48	63	SW 0	S 1	NE 1	2	9	8	.	● 0–2
3	7.1	13.5	8.5	9.7	–1.7	724.5	724.2	725.4	89	61	73	NE 0	NE 0	NE 0	9	10	0	0.5	● 11½–12, 14¼ 14¾
4	7.4	18.4	13.6	13.1	1.5	727.2	726.8	727.3	90	43	55	NE 0	NE 2	NE 1	0	1	0	.	
5	8.3	21.7	16.4	15.5	3.8	728.6	727.7	727.2	84	43	43	NE 0	SE 0	NE 1	0	3	0	.	
6	9.5	22.3	19.6	17.1	5.3	**729.2**	728.3	727.8	86	44	40	N 0	SW 1	N 2	0	0	0	.	
7	11.7	23.5	20.6	18.6	6.6	729.1	727.8	726.9	82	41	**35**	E 0	S 0	NW 3	0	2	0	.	⛆ 17¾–22½
8	12.8	24.6	19.5	19.0	6.9	727.8	726.6	726.3	73	41	48	NE 0	SE 0	NW 3	0	1	0	.	⛆ 19–22¼
9	12.9	25.3	18.3	18.8	6.6	726.1	724.0	723.0	77	42	39	NE 0	S 1	NW 3	0	0	0	.	⛆ 17–21¾
10	15.1	12.4	11.3	12.9	0.5	722.8	722.7	723.7	49	77	69	SW 3	SW 2	W 1	10	10	10	3.2	● 15–17½
11	8.9	15.5	12.0	12.1	–0.4	724.6	724.4	724.0	88	50	57	SW 0	SW 1	N 0	9	9	8	2.0	● 1–3½, 6¾ 7
12	8.7	9.9	9.2	9.3	–3.3	720.8	721.4	723.6	94	95	81	W 1	SW 2	E 0	10●	10●	10	9.1	● 6¾–15
13	8.3	14.3	10.0	10.9	–1.9	726.3	726.6	727.2	86	58	63	NE 1	E 2	NE 2	9	8	0	0.0	● tr a mU
14	9.1	17.8	11.9	12.9	0.0	727.5	726.7	727.0	79	37	61	NE 2	E 2	NE 0	1	2	2	.	
15	11.1	20.0	14.6	15.2	2.2	727.3	726.6	726.6	82	40	58	NE 1	E 2	NE 1	2	2	0	.	
16	10.2	21.5	17.1	16.3	3.2	727.2	726.0	725.0	82	42	59	NW 0	SE 1	NW 2	0	3	0	.	
17	11.4	15.1	11.9	12.8	–0.5	724.5	722.8	721.2	87	96	98	N 0	W 0	NE 0	0	10●	10●	15.2	● 12½–17½, 23–24 ●tr 21½
18	11.6	17.0	12.6	13.7	0.3	720.0	717.9	717.5	95	62	95	W 0	SW 2	NE 1	7	9	10●	**23.5**	● 0–3½ mU, 21¼–24, ⚟ 21
19	9.9	8.4	7.0	8.4	–5.1	716.7	717.0	718.0	95	89	97	SW 0	N 1	NE 2	10●	10●	10●	17.1	● 0–21½
20	7.5	13.5	10.5	10.5	–3.1	719.5	719.8	719.1	88	61	59	NE 1	E 1	NE 1	9	5	0	.	
21	8.8	17.4	14.7	13.6	–0.2	718.2	716.6	714.9	68	49	69	NE 2	SE 0	E 0	0	0	5	1.9	
22	12.5	22.5	12.7	15.9	2.0	715.6	**714.2**	716.3	95	56	94	NW 0	E 1	SW 1	10	6	10●	10.1	● 1 4¼, 7¾ 9, 18½ 24
23	12.1	18.0	14.7	14.9	0.9	719.0	720.6	721.3	94	72	83	SW 0	SW 1	N 1	7	9	0	.	● 0 2
24	12.3	12.2	13.0	12.5	–1.6	721.1	721.2	718.9	94	87	88	NE 0	SW 1	W 0	10	10	10●	2.2	● 10–11, ⛆ 21½, 22½
25	9.7	16.2	13.4	13.1	–1.1	717.1	718.7	720.6	93	60	68	SW 0	SW 2	NW 1	10●	7	10	0.8	● 7½–8½
26	12.3	20.9	16.9	16.7	2.3	722.6	722.9	723.8	80	54	54	NE 2	NE 2	NE 1	6	1	8	.	
27	13.8	21.0	17.8	17.5	3.0	725.1	722.1	722.9	78	56	73	E 1	NE 2	NE 0	10	10	10	.	
28	16.4	25.1	21.5	21.0	6.4	722.8	720.1	718.1	80	51	72	NE 0	SE 1	E 0	0	4	5	.	
29	18.1	**25.7**	17.3	20.4	5.7	718.5	719.4	722.3	77	50	80	SW 2	SW 2	NE 1	2	3	9	.	
30	15.2	24.7	16.1	18.7	3.9	721.9	719.6	717.4	88	51	73	NE 0	E 2	NE 2	1	0	10	11.2	● 20½–21, 22½ 24, ⚟ 20½ 21,
31	12.9	19.2	11.2	14.4	0.5	719.4	719.0	719.4	94	69	95	NE 0	E 2	W 0	9	6	9	10.0	● 0 1 [⛆ 19¾ 21
Mittel	10.9	18.2	13.9	14.3	—	723.1	722.4	722.6	84	57	69				4.7	5.4	5.3	Summe 107.2	

Mai 1956
Beobachter: *Frl. H. Nager*

Altdorf

$\lambda = 8° 38'$, $\beta = 46° 53'$,
$H_b = 456.3$ m, $G = -0.08$ mm

Tag	Lufttemperatur 7³⁰	13³⁰	21³⁰	Mittel	Abweich. vom Normalst	Luftdruck 7³⁰	13³⁰	21³⁰	Relative Feuchtigkeit 7³⁰	13³⁰	21³⁰	Windrichtung und Stärke 7³⁰	13³⁰	21³⁰	Bewölkung 7³⁰	13³⁰	21³⁰	Niederschlag	Witterung
1	5.4	7.2	**3.6**	5.4	−5.8	723.6	723.4	725.0	85	73	96	N 0	NW 0	NW 0	10	10	10●	9.6	∺ 21½–n mU
2	4.8	9.1	7.1	7.0	−4.3	725.9	726.3	727.8	96	75	90	N 0	N 0	N 0	10●	10	10	1.2	● n–a
3	7.1	11.7	9.1	9.3	−2.2	726.9	727.4	728.5	92	64	80	E 0	E 0	E 0	10	10	10	0.1	●tr a mU
4	6.7	14.6	11.0	10.8	−0.8	730.1	729.2	730.7	89	58	70	S 0	NW 2	E 1	3	4	2	.	
5	8.8	17.0	12.8	12.9	1.1	731.2	729.6	730.5	75	54	60	SE 0	NW 0	N 0	0	2	2	.	
6	9.0	19.0	14.3	14.1	2.2	**731.4**	730.6	731.1	72	49	51	E 0	E 0	E 0	0	0	0	.	
7	12.4	20.8	15.8	16.3	4.2	**731.4**	729.3	730.2	76	49	61	E 0	NW 0	NW 0	0	2	4	.	
8	13.2	21.2	16.8	17.1	4.9	730.2	728.4	729.3	85	52	70	S 0	NW 0	NW 0	5	6	4	.	
9	13.2	20.4	16.3	16.6	4.3	728.1	725.3	725.4	87	60	71	NE 0	W 1	NW 0	0	3	7	.	
10	14.7	13.2	9.3	12.4	−0.1	724.0	724.4	725.7	76	95	96	SW 0	N 0	NW 0	10	10●	10●	**22.9**	● 10½–n mU
11	10.6	9.9	7.8	9.4	−3.2	725.7	726.8	727.1	62	76	92	N 3	NW 0	N 0	10●	10●	9	2.4	● n–14¼, ⌍ 10½–10¾
12	9.2	10.0	7.2	8.8	−4.0	723.4	723.7	727.8	94	94	100	NE 0	NW 0	NW 0	8	10●	10●	14.5	● a–n
13	7.8	11.6	8.2	9.2	−3.7	728.7	729.4	720.2	95	70	89	NW 0	W 0	E 0	10	8	7	0.4	● 10¾–11½, p mU
14	5.8	15.0	10.3	10.4	−2.6	730.4	728.8	729.2	93	61	81	E 0	NW 1	E 0	2	3	4	.	
15	9.4	14.7	10.9	11.7	−1.5	730.0	729.4	729.5	92	59	74	N 0	NW 0	NW 0	3	8	1	.	
16	9.8	17.8	13.8	13.8	0.5	729.4	727.9	727.7	86	52	72	E 0	NW 1	SE 0	0	2	7	.	
17	11.4	19.2	13.2	14.6	1.2	726.7	724.0	723.1	87	59	91	SE 0	W 1	N 0	0	8	10●	6.8	● p–n mU
18	11.9	18.8	12.1	14.3	0.8	722.3	719.7	720.9	97	53	96	E 0	NW 2	NW 0	8	8	10●	10.8	● p–n mU
19	11.3	11.0	8.3	10.2	−3.5	718.7	719.6	720.4	98	95	96	SE 0	NW 0	NW 0	10●	10●	10●	22.0	● n–n mU
20	7.7	11.9	7.8	9.1	−4.7	722.0	722.5	722.4	96	73	90	W 0	NW 0	E 0	10●	10	0	.	●tr n–7½
21	7.3	13.9	15.4	12.2	−1.7	720.6	719.0	717.8	90	64	51	SW 0	NW 1	SE 2	2	3	2	.	
22	13.1	19.0	17.8	16.6	2.6	718.2	**716.2**	716.9	80	65	49	NE 0	NW 1	NW 1	2	6	6	1.3	● n (22./23.)
23	13.4	16.3	13.5	14.4	0.3	721.5	723.2	724.6	96	80	87	NW 0	SE 0	N 0	10●	6	4	3.6	● n–8¾, ● 8¾–9½
24	13.0	15.2	11.8	13.3	−0.9	723.3	722.8	721.5	94	72	82	N 0	SE 1	SW 0	7	10●	4	1.6	● a–p, ● n (24./25.)
25	10.8	13.6	11.1	11.8	−2.5	719.0	720.8	723.7	87	72	90	NE 0	N 1	NW 0	10●	10●	5	1.5	● n–15 mU
26	9.6	17.0	13.9	13.5	−0.9	725.4	725.4	726.0	97	70	91	SE 0	NW 1	SE 0	0	2	4	.	
27	12.2	18.6	17.7	16.2	1.7	727.4	726.3	725.0	94	72	61	NW 0	NW 0	SE 0	5	10	4	.	
28	15.3	**26.2**	22.4	21.3	6.7	725.6	722.3	721.8	85	**40**	42	E 0	SE 1	SE 2	2	3	5	0.0	●tr 20½
29	20.0	25.2	17.0	20.7	6.0	719.6	720.7	725.0	57	57	84	N 1	NW 2	NW 0	5	8	10	0.4	● n (29./30.)
30	14.8	21.7	23.2	19.9	5.1	724.5	721.9	718.0	90	67	**40**	E 0	NW 0	SE 1	1	3	10	2.1	● n (30./31.)
31	14.2	17.2	14.9	15.4	0.5	721.6	720.6	721.2	95	66	85	NE 0	N 2	NW 1	6●	9●	10●	7.1	●tr n–21 mU, 21 n
																		Summe	
Mittel	10.8	16.1	12.7	13.2	—	725.4	724.7	725.3	87	66	77				5.1	6.6	6.2	108.3	

Mai 1956
Beobachter: *Observatorium*

Genève

$\lambda = 6° 09'$, $\beta = 46° 12'$,
$H_b = 405.0$ m, $G = -0.05$ mm

1	8.0	8.6	**6.7**	7.8	−3.6	729.2	728.9	729.4	68	79	88	NNE 1	S 1	S 1	5	10●	9	2.2	● 13½–18
2	7.0	13.0	10.8	10.3	−1.3	730.5	730.3	731.0	86	43	88	E 0	NNE 1	NNE 1	5	6	8	.	
3	8.4	15.5	10.6	11.5	−0.2	731.5	730.6	731.6	80	50	87	SSW 1	NNE 1	NNE 2	2	4	5	.	
4	10.2	16.4	13.1	13.2	1.3	733.9	733.4	734.3	78	43	82	NNE 1	NNE 2	NNE 1	0	0	0	.	
5	10.8	18.2	15.2	14.7	2.7	735.7	734.0	734.5	74	45	79	NNE 1	NNE 1	NNE 1	0	0	0	.	
6	10.6	19.2	15.7	15.2	3.0	735.9	**736.2**	735.0	70	38	50	NNE 1	NNE 1	NNE 1	0	1	0	.	
7	14.0	21.4	18.4	17.9	5.6	**736.2**	734.5	734.2	66	40	41	E 0	NNE 1	NNE 1	0	0	0	.	
8	14.0	23.4	19.6	19.0	6.5	734.7	733.2	734.4	69	37	42	NNE 1	NNE 1	NNE 1	0	0	0	.	
9	15.7	24.8	17.8	19.4	6.8	733.1	729.5	731.4	69	36	43	E 0	SSW 1	SSW 2	0	0	0	.	
10	16.4	15.2	12.0	14.5	1.8	730.8	730.8	731.3	44	68	80	S 1	S 1	S 2	10	10	10	0.6	∺ a–p mU
11	12.4	15.6	14.2	14.1	1.2	731.8	731.0	731.0	81	45	50	E 0	NNE 1	NNE 1	2	2	7	1.6	● 0–1, 3–5½
12	11.0	13.6	9.8	11.5	−1.5	728.9	729.0	731.8	95	89	85	S 1	SSE 1	NE 1	10●	10●	6	4.3	● 6¼–9¾, 12¼–15¼
13	10.0	13.8	11.0	11.6	−1.5	732.5	732.4	733.5	75	60	69	NNE 2	NNE 2	NNE 2	3	2	0	.	
14	9.4	17.8	18.2	15.1	1.8	734.6	734.0	733.9	82	64	82	NNE 1	NNE 1	E 1	2	2	0	.	
15	11.5	19.4	14.1	15.0	1.6	734.1	733.0	733.2	64	**33**	76	E 1	NNE 2	E 1	1	2	0	.	
16	13.0	18.2	16.0	15.7	2.2	734.5	732.8	731.7	68	46	70	E 1	NNE 1	E 1	0	2	1	.	
17	15.2	24.5	14.8	18.2	4.5	731.6	728.8	728.5	66	39	84	E 0	S 2	E 1	8	3	7	1.0	∺ 17¾, 20¾
18	15.0	24.0	15.2	18.1	4.3	727.7	725.3	724.1	70	39	86	ESE 1	SSW 2	S 1	3	7	10●	**20.5**	∺ 2¾, 4¾-5, 6¾, 16½-16¾, 19¾-20,
19	12.0	12.2	9.9	11.4	−2.5	723.2	724.0	724.4	90	76	82	S 1	S 1	E 1	10●	10	10●	10.2	● 0¼-7½, 10-11¾, 14-22 [● 21-23
20	9.4	12.8	11.0	11.1	−2.9	725.2	725.6	725.1	67	46	76	E 1	NNE 1	E 0	10	1	0	.	
21	10.2	16.6	16.2	14.3	0.1	724.9	723.5	722.2	72	50	88	NNE 1	NNE 1	S 1	0	6	10	5.4	∺ 21½–22¼
22	13.8	18.6	14.0	15.5	1.2	722.5	**721.8**	722.7	90	74	90	NNE 1	SSW 1	SSW 1	10	8	10	6.3	∺ 1-2¾, 3¾-4¾, 5¾-6¼, ● 13¾-24
23	14.6	18.4	15.6	16.2	1.8	725.5	726.9	728.1	84	68	82	S 1	NNE 1	S 1	9	9	10	4.8	● 0–2
24	12.6	18.6	12.4	14.5	0.0	729.0	727.7	725.9	90	52	90	SSW 1	WSW 1	WNW 1	10●	3	9	13.3	● 6½–10¾, 19¼–21¼
25	12.6	14.7	13.6	13.6	−1.1	725.0	726.6	727.9	85	80	86	SSE 1	E 1	E 1	10	10	7	2.4	● 8¾–11, 19½–20
26	12.0	18.6	17.1	15.9	1.1	730.0	730.2	731.1	79	50	76	NNE 1	NNE 1	E 0	1	5	4	.	
27	16.0	20.6	19.3	18.6	3.7	731.5	728.8	729.1	70	44	88	E 0	NNE 1	E 0	2	3	6	.	
28	17.4	25.0	22.5	21.6	6.6	729.3	725.6	725.6	68	51	58	E 0	NNE 1	E 1	0	3	0	.	
29	20.2	**25.6**	22.2	22.7	7.5	726.3	726.6	727.5	70	46	70	S 2	SW 2	W 1	1	3	2	.	
30	18.0	23.0	21.0	20.7	5.4	728.5	725.7	725.3	70	52	60	N 0	NNE 1	SSW 1	1	0	2	.	
31	16.2	22.0	15.1	17.8	2.4	726.9	725.3	726.4	61	41	70	SSW 2	WSW 2	NE 1	3	3	7	0.0	
																		Summe	
Mittel	12.8	18.4	14.9	15.4	—	730.2	729.2	729.5	74	52	74				3.8	4.0	4.5	72.6	

$\lambda = 8° 34'$, $\beta = 47° 23'$,
$H_b = 569.4$ m, $G = -0.01$ mm

Zürich

Mai 1956
Beobachter: *Meteorologische Zentralanstalt*

Tag	Lufttemperatur 7³⁰	13³⁰	21³⁰	Mittel	Abweich. vom Normalst	Luftdruck 7³⁰	13³⁰	21³⁰	Relative Feuchtigkeit 7³⁰	13³⁰	21³⁰	Windrichtung und Stärke 7³⁰	13³⁰	21³⁰	Bewölkung 7³⁰	13³⁰	21³⁰	Niederschlag	Witterung
1	4.2	6.7	**2.1**	4.3	−5.6	713.4	713.0	714.7	85	60	98	SW 1	SSW 2	SSW 1	10	10	10	9.4	● 16–24 mU
2	3.6	9.7	7.2	6.8	−3.3	715.4	715.8	717.1	94	59	72	S 1	S 1	SSE 1	10	10	10	0.3	● 3¼–6½
3	6.7	12.4	7.6	8.9	−1.3	716.8	716.9	717.9	87	52	87	S 0	S 1	NE 1	10	9	9	0.0	●tr früh
4	7.4	16.8	10.9	11.7	1.3	719.7	719.7	720.3	73	37	53	ENE 1	NNE 1	NE 1	0	1	0	.	△ I
5	10.3	20.5	14.3	15.0	4.4	721.1	720.5	720.4	69	36	47	SW 1	ENE 1	NE 1	0	1	0	.	△ I, III
6	11.5	21.7	15.4	16.2	5.5	**721.4**	720.7	720.4	69	36	47	SSW 1	S 1	ENE 1	0	1	0	.	△ I
7	13.0	23.8	17.2	18.0	7.1	721.1	720.1	719.7	61	**32**	44	SW 1	SW 1	NNW 1	0	1	0	.	△ I, III
8	14.6	23.7	17.3	18.5	7.5	720.1	719.1	719.2	64	38	48	SSE 0	WNW 1	NNW 1	0	3	0	.	△ I
9	14.4	23.7	17.7	18.6	7.4	718.5	716.6	715.7	62	37	40	SW 1	NW 1	WNW 1	1	2	3	.	△ I, ⊕ II
10	15.6	10.9	9.7	12.1	0.7	714.2	714.6	715.2	49	88	77	WSW 2	WSW 2	WSW 2	10	10●	10	10.7	● 12–17¼, 22–23½, ⸗ 14¼
11	8.1	12.4	7.5	9.3	−2.2	716.5	716.6	716.7	92	56	93	NNW 1	WNW 1	SSW 1	10●	10	1	2.2	● 2¼–2¾, 7½–8½
12	8.1	8.9	7.0	8.0	−3.7	713.1	713.1	717.3	77	97	93	S 1	SSW 1	SE 1	10	10●	10●	22.3	● 8¾–9, 10¾–24
13	6.4	8.4	6.3	7.0	−4.8	719.1	720.1	720.3	94	81	92	S 1	NE 1	NNE 1	10●	9●	1	2.0	● 0–7½, 10¼–11¼, 13¼–13¾
14	7.1	16.1	10.5	11.3	−0.6	720.3	719.6	719.6	78	40	54	ENE 1	N 2	ENE 1	1	1	2	.	△ I, III
15	11.3	19.1	11.5	14.0	2.0	719.9	719.7	719.5	63	34	60	SE 1	NNE 1	NE 1	3	5	0	.	△ I
16	10.5	20.5	14.4	15.1	2.9	719.6	718.5	717.8	74	35	55	SW 1	WNW 1	NNW 1	0	1	0	.	△ I
17	13.3	21.9	12.3	15.8	3.5	716.5	714.7	713.0	71	39	93	SSW 1	SSW 1	SSW 1	1	2	9	3.2	● 15¾–15¾, 20¼–21, 23¾–24, *)
18	14.1	12.9	10.4	12.5	0.0	711.8	711.6	710.6	62	82	98	WSW 2	NW 2	SE 1	8	10●	10●	**30.4**	● 1¼–1½, 2–2¾, 13½–17, 21¼–22¾,
19	9.3	7.7	5.6	7.5	−5.1	708.7	710.4	711.1	94	88	95	W 1	NNE 1	ENE 1	10●	10●	10●	29.8	● 0–24 [⸗ 21¼
20	6.1	11.7	7.2	8.3	−4.4	712.0	712.6	712.3	86	54	75	NNE 1	ESE 1	ENE 1	10	9	0	0.1	● 0–6
21	6.6	18.6	14.5	13.2	0.3	710.9	709.3	707.9	77	43	55	NNE 1	N 1	S 1	1	1	2	.	△ I
22	12.9	22.7	14.9	16.8	3.8	708.7	**707.2**	707.8	73	41	85	SE 0	NNE 1	W 2	5	3	10	5.6	● 17–17½, ⸗ 16¾–17, △ I
23	12.8	14.4	13.8	13.7	0.5	711.5	713.4	714.6	87	86	87	WSW 1	NNE 1	NNE 1	10●	10	10	5.7	● 0½–4¾, 7½–10, 12½–13¼
24	12.1	16.9	11.5	13.5	0.2	713.3	712.0	711.5	96	68	86	SSW 1	S 2	NE 1	10≡	10	7	0.0	≡ n–7½, △ I
25	11.6	11.8	9.6	11.0	−2.4	709.3	710.9	713.6	71	67	93	SW 1	WNW 1	WSW 1	10	10	3	.	△ I, III
26	10.8	20.0	15.2	15.3	1.7	715.6	715.9	716.5	74	39	58	NE 1	NNE 1	ENE 1	1	1	5	.	△ I
27	13.7	21.6	17.5	17.6	3.9	718.1	716.5	715.6	65	51	61	NNE 1	NNE 1	NE 2	8	9	1	.	△ I
28	17.3	**28.1**	23.4	22.9	9.1	715.7	713.7	711.3	69	41	41	NE 2	NNE 2	SE 1	3	2	10	.	△ I
29	19.7	24.9	15.3	20.0	6.1	710.7	711.6	714.6	67	45	81	SW 1	W 2	ESE 1	1	5	9	6.3	● 16¾–19½, 22¾–24, *)
30	13.5	23.8	18.9	18.7	4.7	714.8	712.9	709.4	94	46	62	NNE 1	NE 1	NE 1	8	5	10	2.7	● 0–0¾, ≡ n–7½
31	14.7	15.9	12.3	14.3	0.2	711.9	711.2	711.6	73	56	87	S 1	WSW 2	SE 0	5	10	7	2.5	● 1¼–4, 13½–15¼, ⸗ 13½–14, *)
																		Summe	
Mittel	11.0	17.0	12.2	13.4	—	715.5	715.1	715.3	76	54	71				5.4	5.8	5.1	133.2	

*) 17. ⸗ 15¼, ⸗ 15¼–15¾, ⸗ 23½–23¾ 29. ⸗ 16½–17½, 19, 22¾, △ I 31. ⸗ 0¼–1, 13¼–14¼ mU

$\lambda = 6° 32'$, $\beta = 46° 51'$,
$H_b = 1601$ m, $G = -0.16$ mm

Chasseron

Mai 1956
Beobachter: *J. Liardon*

Tag	7³⁰	13³⁰	21³⁰	Mittel	Abweich. vom Normalst	7³⁰	13³⁰	21³⁰	7³⁰	13³⁰	21³⁰	7³⁰	13³⁰	21³⁰	7³⁰	13³⁰	21³⁰	Niederschlag	Witterung
1	**-3.4**	−2.8	−3.0	−3.1	—	629.0	628.8	629.7	100	100	100	WNW 2	W 2	WNW 3	4	10*≡	10*≡	1.0	✳ 13–n mU, ≡ 8, 11–n
2	−1.0	1.4	0.6	0.7	—	630.8	631.7	633.2	100	82	100	N 2	N 2	N 2	5	7	10≡	0.8	∇ 15½, ≡ 21–n
3	0.6	4.8	1.8	2.4	—	632.7	633.3	633.8	98	60	100	NE 2	N 2	NE 2	5	6	6	.	
4	2.2	6.4	4.4	4.3	—	634.9	636.4	636.8	93	61	75	E 3	E 2	E 3	0	3	0	.	
5	5.6	9.0	8.4	7.7	—	637.1	637.7	637.7	72	58	42	E 2	E 2	E 2	2	3	2	.	
6	9.4	11.4	9.6	10.1	—	638.6	639.2	**639.3**	40	44	54	W 2	S 1	N 2	2	3	2	.	
7	10.4	14.0	10.2	11.5	—	639.0	639.1	638.8	**32**	47	48	NNW 1	W 1	N 2	3	3	2	.	
8	11.0	13.2	9.0	11.1	—	638.2	638.4	638.0	54	45	74	N 2	WNW 2	N 2	2	3	3	.	
9	9.2	14.5	8.2	10.6	—	636.6	635.9	634.8	68	46	60	— 0	NW 2	W 4	2	3	3	.	△ I
10	4.6	3.4	1.6	3.2	—	632.7	632.0	631.5	73	100	100	WNW 4	W 4	NNW 4	10	10●≡	10≡	13.2	● 10–19, ≡ 11½ n, ⸗ n n
11	0.2	4.2	3.4	2.6	—	633.0	633.8	633.3	100	70	76	WNW 4	NNW 1	N 3	10≡	9	8	2.6	● n (11./12.), ≡ n–9½, ⸗ n-a
12	2.6	2.9	0.2	1.9	—	630.2	630.3	632.4	100	100	100	W 3	W 3	N 3	9●	10≡	9	13.4	● n-9½, 12-13¾, ∇ 16½, ≡ n-n mU
13	−0.4	3.0	1.0	1.2	—	633.7	635.3	635.4	100	86	85	E 3	NE 2	E 3	10≡	8	3	0.1	∇ 13½, 15, 16, ≡ n–9½ ⋁ I
14	1.6	5.4	4.4	3.8	—	634.9	636.0	636.3	84	68	61	E 3	E 1	NE 2	2	3	4	.	
15	4.8	7.2	5.4	5.8	—	636.0	636.7	636.5	65	57	80	E 2	E 2	ENE 2	3	6	3	.	
16	7.8	10.0	7.2	8.3	—	636.4	636.6	636.3	60	60	86	E 1	WSW 1	NNW 2	0	5	2	.	△ I
17	6.6	7.8	8.2	7.5	—	634.8	633.8	631.8	88	100	70	W 3	WSW 3	WSW 4	4	8	8	9.0	∇ 10¾, 14–15½, 19–21, *)
18	6.0	9.6	6.0	7.0	—	630.3	629.5	628.4	95	67	100	WSW 4	WNW 4	WNW 3	8	7	9	20.4	⸗ ● 20¾–21½, ⸗ a p
19	2.2	1.0	0.2	1.1	—	626.6	**626.3**	626.8	100	100	100	W 1	WNW 3	E 2	10●≡	10●≡	10●	11.0	● 3-15, ● 15-n, ✳ a mU, ≡ n-n
20	−1.2	1.2	1.4	0.5	—	627.5	628.9	628.5	100	100	72	E 3	E 1	E 2	10≡	10≡	3	.	≡ n–15¾, ⋁ I
21	4.0	9.6	9.0	7.5	—	627.7	627.7	627.2	82	64	60	ESE 2	S 2	— 0	0	3	6	8.0	● n (21./22.)
22	6.8	10.4	6.8	8.0		626.8	626.8	627.2	100	78	100	SSE 2	— 0	W 3	8	8	10≡	7.8	● 1¾–4, ∇ 17½, 20½, ≡ 15 n
23	5.4	6.6	7.0	6.3	—	627.4	631.6	632.2	100	100	100	W 3	WNW 2	NE 2	10≡	10	6	.	≡ n–12½
24	8.6	6.0	4.4	6.3	—	631.5	631.0	629.7	89	100	94	NNW 2	WSW 2	WSW 3	6	8	5	6.2	∇ 9¾, n (24.–25.) mU,*)
25	3.8	4.2	3.4	3.8		627.1	628.8	630.5	100	100	100	NNW 3	WNW 2	WNW 2	10●≡	9	10≡	3.6	● n 8¾, ≡ n 13¾, 19½ n
26	3.2	9.2	9.0	7.1	—	631.8	633.6	634.6	100	85	69	E 3	E 2	— 0	10≡	5	7	.	≡ n-11
27	9.6	14.0	13.0	12.2	—	635.5	634.8	635.1	82	57	80	ESE 2	E 2	E 2	8	8	7	0.0	∇ 22¾
28	16.4	**19.8**	15.2	17.1	—	634.7	634.5	632.0	46	41	78	E 2	ESE 1	E 2	2	4	6	0.8	⸗ ● 18½–19
29	11.0	13.6	9.6	11.4	—	630.6	632.4	632.7	75	81	100	W 5	NW 2	N 2	2	6	7	0.0	∇ 13¾, ⸗ I
30	11.1	13.8	12.2	12.4	—	634.0	632.3	629.6	69	73	54	E 2	ESE 2	W 3	2	4	10	**21.7**	∇ 18¼–19¼, 19½–20¼, 20½–21½, *)
31	5.2	5.2	4.4	4.9	—	631.0	629.8	629.7	100	94	100	S 3	W 2	NW 2	6	8	7	11.4	∇ 12¼ 13½, 14–16, *)
																		Summe	
Mittel	5.3	7.7	5.9	6.3	—	632.6	633.0	632.9	83	75	81				5.3	6.4	6.1	131.0	

*) 17. ⸗ 19–21, △ I, ⸗ p n 24. ≡ 8–12½, △ I 30. ⸗ 19½–20¾, 20½ 31. ⸗ 12¾–13½, ≡ n 9½ mU, 16–18 mU

Mai 1956
Beobachter: *Stationspersonal Rh. B.*

Bever

$\lambda = 9° 53'$, $\beta = 46° 33'$,
$H_b = 1711.8$ m, $G = -0.26$ mm

Tag	Lufttemperatur 7³⁰	13³⁰	21³⁰	Mittel	Abweich. vom Normalst	Luftdruck 7³⁰	13³⁰	21³⁰	Relative Feuchtigkeit 7³⁰	13³⁰	21³⁰	Windrichtung und Stärke 7³⁰	13³⁰	21³⁰	Bewölkung 7³⁰	13³⁰	21³⁰	Niederschlag	Witterung
1	−2.2	1.5	−2.7	−1.1	−4.6	618.1	618.1	619.2	66	54	63	SW 0	NW 1	NW 1	5*	8*	4	0.0	✳ n–a mU
2	−1.3	3.2	0.4	0.8	−2.8	620.4	620.7	623.0	61	51	70	NE 0	NW 2	NE 0	9	4	5	0.0	✳ p mU
3	1.2	7.1	3.6	4.0	0.2	623.2	622.7	624.6	77	46	66	NE 1	NE 0	NE 0	7*	4	8	0.0	✳fl 7½
4	−0.6	11.1	2.6	4.4	0.4	626.3	626.0	627.8	95	34	65	SW 0	SW 0	NW 0	1	1	0	.	
5	−1.2	13.1	2.3	4.7	0.5	628.6	627.6	629.3	89	**22**	78	SW 0	NW 1	NW 0	0	0	0	.	
6	−0.2	13.9	2.9	5.5	1.1	**630.4**	629.1	630.3	88	35	89	W 0	SW 1	W 1	0	0	0	.	
7	0.5	15.2	6.2	7.3	2.7	630.2	628.9	629.6	92	31	73	SW 0	NW 0	NE 0	0	0	1	.	
8	1.7	15.2	5.4	7.4	2.6	629.4	628.1	628.6	98	33	75	SW 0	W 0	SW 0	0	1	1	.	
9	3.4	17.0	5.2	8.5	3.5	627.7	625.5	626.1	91	32	77	SW 0	NW 1	NW 0	0	1	0	.	
10	4.3	11.4	5.6	7.1	2.0	623.6	621.0	620.6	81	53	58	SW 0	W 1	SW 3	3	10	3	9.6	● 16½–17, ✳ n (10./11.), [⸙ p–n
11	−0.3	0.2	−0.2	−0.1	−5.4	620.6	621.9	623.0	95	89	90	NE 0	E 0	NE 0	10*	10*	7*	3.5	✳ n–n mU ⊠
12	**−5.2**	5.5	2.2	0.8	−4.7	621.2	619.8	622.1	100	62	82	W 0	NW 1	NE 0	5	10	9*	1.3	● 15–21, ✳fl 21–n ⊠
13	2.7	5.8	3.2	3.9	−1.7	624.0	624.7	626.2	68	57	62	NE 0	NW 1	SW 0	3	10	10	.	
14	−1.3	9.1	2.0	3.3	−2.5	626.6	625.4	626.5	90	60	66	S 0	NW 1	SW 0	1	1	1	.	
15	0.9	7.5	4.6	4.3	−1.7	626.5	626.4	627.1	80	51	61	SE 0	N 1	NE 0	10	10	7	.	
16	0.1	13.4	4.8	6.1	0.0	627.7	625.8	626.9	88	32	71	SW 0	NW 2	NE 0	0	0	0	.	
17	2.4	13.2	7.2	7.6	1.3	625.7	623.7	623.6	85	40	84	SW 1	SW 2	SW 0	0	3	9	.	
18	5.6	11.2	5.1	7.3	0.9	621.3	619.7	620.2	94	56	90	NE 0	SW 1	SW 0	9	9	4	14.1	⛆ 13–13¼, ● 17¾–18½, 21¾–n
19	6.0	6.0	1.2	4.4	−2.2	616.4	**616.3**	617.8	94	90	100	SW 1	SW 2	NE 0	10●	10●	10●	**15.1**	● 6–n mU, ✳ n (19./20)
20	0.1	5.4	0.2	1.9	−4.8	617.4	619.0	620.7	100	66	80	N 1	SW 0	W 0	10*	7	0	2.0	✳ n–a ⊠
21	1.5	10.8	4.3	5.5	−1.4	620.4	619.5	620.4	82	62	89	SW 0	SW 2	SW 0	6	8	2	2.3	●tr 12½. n (21./22.)
22	5.4	11.0	6.1	7.5	0.5	620.0	619.4	619.8	87	60	95	E 1	SW 0	SW 0	7	10	5	0.2	● p mU, n (22./23.)
23	7.2	11.7	7.4	8.8	1.7	620.8	621.7	624.1	91	63	90	NE 0	NW 0	NE 0	10	9	8	0.0	● 12
24	8.2	5.0	4.7	6.0	−1.3	623.9	619.3	621.3	91	93	95	SW 0	SW 0	SW 0	5	10●	8	14.9	● 11½–15 mU
25	2.5	8.5	5.2	5.4	−2.0	616.9	618.4	621.9	99	63	86	SW 0	NW 0	NW 0	10●	10	10●	2.8	● n–12, 21½–n
26	3.0	14.6	5.6	7.7	0.2	624.1	624.7	626.6	84	42	88	SW 0	SW 2	W 0	0	4	0	.	
27	5.8	17.6	9.6	11.0	3.3	628.3	627.2	628.1	89	35	94	SW 0	SW 1	W 0	1	1	0	.	
28	7.2	**21.8**	12.8	13.9	6.1	628.3	626.8	626.1	86	34	73	SW 0	SW 0	SW 0	3	6	8	.	
29	10.4	19.3	10.2	13.3	5.4	623.2	622.2	619.5	82	46	72	SW 1	SW 1	N 2	0	3	2	0.1	● ⸙ p
30	7.0	19.6	11.0	12.5	4.5	625.2	623.8	623.1	82	35	87	SW 0	SW 1	SW 0	0	2	3	.	
31	10.2	14.9	5.2	10.1	2.0	621.6	620.8	621.4	75	33	93	E 0	SW 2	SW 2	4	3	10●	0.0	● 21¼–22
Mittel	2.7	11.0	4.6	6.1	—	623.8	623.0	624.0	86	50	79				4.2	5.3	4.4	Summe 65.9	

Mai 1956
Beobachter: *Couvent des Capucins*

Sion

$\lambda = 7° 22'$, $\beta = 46° 14'$,
$H_b = 548.6$ m, $G = -0.14$ mm

1	8.4	13.2	**5.7**	9.1	−3.3	715.6	714.6	716.7	70	35	89	W 2	W 1	WSW 2	4	10	10	0.2	● 19¾–20¼, ⌓ I
2	6.3	14.9	10.5	10.6	−2.0	717.2	716.4	718.4	81	34	54	W 1	WSW 2	WSW 0	8	8	6	.	⌓ I
3	6.9	16.6	10.7	11.4	−1.3	719.2	717.5	718.4	74	43	60	NE 0	WSW 1	WSW 0	1	7	3	.	⌓ I
4	8.3	20.3	14.0	14.2	1.3	721.6	719.8	721.3	74	35	45	NE 1	NE 0	WSW 0	0	1	0	.	⌓ I
5	9.8	22.0	15.0	15.6	2.6	723.5	721.0	722.0	69	35	50	ENE 0	E 1	ENE 2	0	0	0	.	⌓ I
6	10.7	23.4	16.6	16.9	3.7	**724.6**	722.4	722.9	62	32	45	NE 1	E 0	E 1	0	0	0	.	⌓ I
7	12.2	24.8	17.7	18.2	4.9	**724.6**	721.4	720.9	63	**30**	48	E 0	ENE 0	NW 1	0	0	0	.	⌓ I
8	13.3	25.2	18.7	19.1	5.6	723.0	720.5	720.8	66	41	47	N 0	N 1	NE 2	0	0	0	.	⌓ I
9	13.9	25.6	18.4	19.3	5.7	721.1	718.0	717.9	69	49	50	NE 0	E 0	W 1	0	0	0	.	⌓ I
10	14.7	16.7	11.3	14.2	0.4	718.0	716.8	718.1	65	62	90	E 0	W 1	SW 0	10	10	10	2.1	● 13¾–21½, ⌓ I
11	11.0	17.9	13.9	14.3	0.4	718.5	717.5	717.8	81	35	47	WSW 2	WSW 2	W 1	7	8	8	.	
12	11.8	13.2	9.7	11.6	−2.4	715.9	715.9	717.9	65	78	77	W 0	W 1	W 2	9	9	10	0.7	● 10–11¾, ⌓ I
13	8.6	17.6	12.4	12.9	−1.3	719.8	718.8	720.1	85	84	60	NE 0	SW 1	SW 0	10	3	5	.	⌓ I
14	10.0	19.9	15.0	15.0	0.7	721.8	719.1	720.3	69	46	51	NE 0	WSW 2	WSW 0	0	1	4	.	⌓ I
15	13.2	20.6	14.2	16.0	1.6	721.4	719.5	720.5	66	39	51	WSW 0	WSW 1	WSW 2	1	4	0	.	⌓ I
16	11.8	23.0	15.6	16.8	2.2	722.1	719.5	719.7	64	43	55	ENE 0	WSW 0	W 0	0	1	1	.	⌓ I
17	13.2	24.8	18.1	18.7	4.0	719.8	716.5	716.0	67	34	50	N 1	WSW 2	N 0	0	5	10	3.4	⛆ 22½–22¾
18	13.8	22.4	14.4	16.9	2.1	716.3	713.7	713.1	85	46	80	W 0	WNW 0	N 2	5	7	10●	**21.5**	⛆ 6¼–7¼, 8¾–9¼, ● 19–24,
19	11.8	14.3	9.1	11.7	−3.2	712.3	711.7	712.6	88	96	98	NW 0	NNW 0	NW 0	10●	10●	10●	18.9	● 0–24 [⸙ 18½–19
20	10.8	16.0	10.2	12.3	−2.8	713.7	713.7	714.2	76	79	86	NW 1	SW 2	SSW 1	10	8	3	.	● 0–5¾
21	13.2	21.2	17.4	17.1	1.9	713.6	712.7	711.1	67	59	50	WSW 0	W 0	E 2	0	4	7	0.0	●tr 16
22	16.2	21.0	14.8	17.3	2.0	711.2	**709.6**	711.3	63	45	91	E 0	E 2	SW 2	8	9	10●	1.3	● 21–22½, ⌓ I
23	15.2	20.3	15.2	16.9	1.5	714.6	715.0	716.1	86	59	77	W 0	SW 1	W 0	10	8	5	.	● 1¾–2¾
24	15.5	14.9	13.3	14.6	−0.9	716.2	715.6	714.3	77	71	79	N 0	W 3	E 0	10	10	2	0.8	●tr 9, 15–15½, ⛆ 14–14¼,
25	11.7	17.5	12.2	13.8	−1.9	712.4	712.9	715.6	95	63	77	E 0	SW 3	W 0	10	6	2	.	⌓ I, ⸙ II [⌓ I, ⸙ II
26	12.4	22.9	17.3	17.5	1.7	717.5	716.3	718.1	74	50	73	NE 0	S 1	W 1	0	1	5	.	⌓ I
27	15.9	25.6	20.4	20.6	4.7	720.5	717.2	718.2	75	40	50	ENE 0	E 0	E 0	6	10	8	.	⌓ I
28	17.9	**28.4**	20.2	22.2	6.2	719.1	715.4	716.0	65	44	60	ENE 0	E 0	E 3	0	7	1	.	⌓ I, ⸙ p–n, ⸙ 14½
29	19.6	26.4	20.8	22.3	6.2	714.2	713.1	715.6	69	55	63	ENE 0	W 2	W 1	0	3	8	.	⸙ 20
30	18.4	26.8	22.1	22.4	6.2	716.9	713.8	713.0	71	48	47	NE 1	E 1	ENE 3	1	2	9	0.3	⸙ p–n
31	16.0	18.6	12.0	15.5	−0.8	714.7	714.1	714.9	79	59	100	WNW 0	E 0	E 0	4	8	10●	17.4	● 0¼–0½, 15¼–22¾, ⛆ 9¼–9¾, [10½–11, ▲ 9¾
Mittel	12.7	20.5	14.7	16.0	—	718.1	716.4	717.2	73	51	65				4.0	5.2	5.1	Summe 66.6	

$\lambda = 8° 58'$, $\beta = 46° 00'$,
$H_b = 276.2$ m, $G = -0.04$ mm

Lugano

Mai 1956
Beobachter: *G. Vicari*

Tag	Lufttemperatur 7³⁰	13³⁰	21³⁰	Mittel	Abweich. vom Normalst	Luftdruck 7³⁰	13³⁰	21³⁰	Relative Feuchtigkeit 7³⁰	13³⁰	21³⁰	Windrichtung und Stärke 7³⁰	13³⁰	21³⁰	Bewölkung 7³⁰	13³⁰	21³⁰	Niederschlag	Witterung
1	12.4	18.4	11.4	14.1	0.8	735.1	733.8	736.5	32	**27**	33	NNE 2	NNE 2	N 2	1	1	0	.	
2	**9.2**	20.2	13.6	14.3	0.9	738.3	736.8	738.6	54	28	35	NNE 1	NE 2	NNE 2	4	1	0	.	
3	9.6	17.2	13.8	13.5	−0.1	740.4	739.2	740.5	61	47	54	N 1	S 1	N 1	1	6	0	.	
4	10.4	22.8	14.6	15.9	2.2	743.7	743.0	744.0	62	39	58	NNW 1	S 1	N 1	0	1	0	.	
5	10.8	22.4	15.4	16.2	2.4	745.9	745.0	746.2	71	45	61	NNE 1	S 1	N 1	0	1	0	.	
6	12.4	23.6	16.4	17.5	3.5	**748.6**	746.9	746.3	73	42	55	W 1	E 1	N 1	2	2	0	.	
7	12.4	24.8	18.4	18.5	4.4	746.7	744.8	744.3	74	39	51	NE 1	S 1	N 1	0	0	0	.	
8	14.4	25.2	19.4	19.7	5.5	744.7	743.0	741.9	65	42	55	N 1	S 1	N 1	1	0	0	.	
9	14.8	27.2	18.6	20.2	5.8	744.4	742.7	742.3	64	39	59	N 1	S 1	NNW 1	1	4	0	.	
10	14.6	22.8	19.2	18.9	4.4	738.9	735.4	734.5	83	57	37	WSW 1	S 1	N 2	6	9	1	.	
11	15.8	20.6	15.8	17.4	2.8	736.6	737.0	739.3	42	31	35	NE 2	ENE 2	E 1	1	1	0	.	
12	11.6	19.0	17.8	16.1	1.3	737.4	735.7	736.4	52	43	37	W 1	SE 1	ENE 2	1	10	9	.	
13	15.2	22.2	16.6	18.0	3.1	740.1	740.0	742.2	41	33	37	NNE 1	ENE 1	N 1	2	7	1	.	
14	11.8	22.2	15.2	16.4	1.4	744.3	742.2	743.2	62	45	57	E 1	S 1	N 1	8	1	3	.	
15	12.8	19.4	16.4	16.2	1.0	744.2	743.5	744.0	82	55	57	SE 1	S 1	N 1	9	7	0	.	
16	11.6	24.4	17.2	17.7	2.4	745.6	743.4	743.1	81	42	61	E 1	S 1	N 1	0	1	0	.	
17	13.6	22.8	16.4	17.6	2.2	743.2	740.8	739.4	84	46	71	ESE 1	S 1	N 1	4	1	1	0.0	⛈ 16½-17
18	14.0	21.4	17.2	17.5	2.0	738.3	737.2	736.5	86	58	68	NE 1	SSW 1	S 1	6	5	9	0.6	⛈ 13¾, ● n (18./19.)
19	13.4	14.2	12.4	13.3	−2.4	734.8	733.7	733.4	94	79	99	NW 1	N 1	N 1	10●	10	10	7.4	● n–a mU, n (19./20.)
20	11.4	19.8	13.8	15.0	−0.8	733.9	733.4	736.0	95	56	88	NNE 1	SE 1	S 1	10●	4	10	11.1	● n–a mU, n (20./21.), ⚡⛈ 20
21	11.2	12.8	13.2	12.4	−3.6	738.5	738.8	737.7	96	88	91	W 1	NE 1	SW 1	10●	10	10	12.9	● n–a, n (21./22.)
22	12.6	13.2	12.8	12.9	−3.2	736.5	737.3	736.2	94	95	97	NW 1	S 1	S 1	10●	10●	10●	**39.0**	● n–n mU
23	13.8	20.4	18.2	17.5	1.3	737.5	738.3	738.8	97	57	69	N 1	E 1	S 1	10	8	3	0.2	● n–a mU
24	15.4	18.2	14.6	16.1	−0.3	740.5	740.7	738.2	85	71	72	SSE 1	WNW 1	N 1	7	8	8	1.6	● a mU, n (24./25.)
25	12.8	17.0	17.2	15.7	−0.8	**732.1**	732.6	735.9	92	66	55	NNE 1	SE 1	N 1	10●	10	2	1.4	● 7–a
26	12.4	22.6	18.4	17.8	1.2	740.6	741.7	742.9	75	51	66	N 1	SSW 1	N 1	1	3	1	.	
27	14.4	24.2	18.4	19.0	2.2	745.1	743.4	743.7	85	57	74	SSW 1	S 1	N 1	2	6	0	.	
28	16.2	27.4	20.4	21.3	4.4	743.0	741.0	739.0	83	46	66	ENE 1	S 1	WSW 1	0	1	9	.	
29	18.2	27.4	20.2	21.9	4.9	737.9	736.8	737.2	86	46	68	SE 1	S 1	N 1	1	1	1	.	
30	16.0	**27.6**	21.2	21.6	4.4	739.3	738.6	738.0	86	51	73	ESE 1	S 1	NNE 1	0	3	8	0.0	● n (30./31.)
31	16.2	24.2	14.8	18.4	1.1	737.9	736.8	735.1	78	44	71	S 1	SSE 1	ENE 1	5	4	10	1.4	⛈ 19–19½
																		Summe	
Mittel	13.3	21.5	16.4	17.1	—	740.5	739.5	739.7	75	50	62				4.0	4.4	3.4	75.6	

$\lambda = 7° 35'$, $\beta = 47° 33'$,
$H_b = 317.3$ m, $G = -0.08$ mm

Basel

Mai 1956
Beobachter: *Astronom.-Meteorol. Anstalt*

1	5.4	6.6	**3.3**	5.1	−5.6	736.3	735.9	737.3	83	76	94	S 0	WNW 1	E 1	8	10	10	11.9	● 13½–20¾
2	5.3	13.5	8.7	9.2	−1.6	737.8	737.7	738.6	93	56	79	E 1	N 1	ESE 1	10	10	7	0.0	● 0½–5¼, 14½–14¾
3	9.2	16.5	9.2	11.6	0.6	739.2	738.8	740.2	77	43	91	ESE 1	WNW 1	NE 1	8	8	8	3.6	● 10¼, 15½–17
4	6.4	18.0	11.2	11.9	0.8	742.5	742.1	742.1	93	50	78	ESE 0	NNE 1	S 0	0≡	3	2	.	≡ 6¾–7¾ mU
5	9.6	21.5	11.8	14.3	3.1	**743.4**	743.2	742.0	72	37	65	SSE 0	ESE 1	ESE 0	0	3	0	.	
6	10.5	23.5	13.6	15.9	4.5	**743.4**	742.5	742.3	66	36	62	E 1	NNW 1	SSW 1	0	0	1	.	
7	12.5	25.3	16.4	18.1	6.6	742.7	741.8	741.3	63	**29**	56	E 1	W 1	SSW 1	0	1	0	.	
8	14.6	25.3	15.7	18.5	6.8	742.0	741.0	740.5	66	33	65	SE 1	W 1	WSW 1	0	1	2	.	
9	13.4	23.8	14.4	17.2	5.4	741.0	738.7	737.2	75	44	56	E 0	NW 1	SSW 1	1	1	2	.	
10	15.5	13.0	11.0	13.2	1.3	736.5	736.8	737.3	49	77	82	W 2	WSW 1	WSW 1	10	10●	10	1.4	● 10¼ 10½, 12 12¼, 13¼ 15½ [⛈ 15½
11	10.5	14.6	10.7	11.9	−0.2	739.3	738.9	738.2	79	53	69	W 1	WSW 2	S 1	9	9	9	1.0	
12	9.0	12.2	8.7	10.0	−2.2	735.3	735.6	739.5	89	86	91	ESE 1	WNW 0	SSW 1	10●	10●	10	**17.1**	● 5½–19¼ mU, 23¾–24
13	8.7	13.3	8.4	10.1	−2.3	741.8	742.1	742.7	87	60	91	N 1	N 1	SE 0	8	9	1	1.7	● 0–2½, 14–14¾
14	5.8	16.5	12.6	11.6	−0.9	743.0	742.1	741.9	89	50	57	SE 0	NE 1	N 0	6	3	6	.	≡ 4–7¼
15	10.5	18.9	12.2	13.9	1.3	742.3	742.0	741.9	66	45	70	E 0	NNE 1	WNW 1	6	2	1	0.0	●tr 17
16	10.5	21.5	13.4	15.1	2.3	741.9	740.5	739.7	78	47	69	SE 0	WNW 1	SSW 1	0	1	0	.	
17	12.4	23.0	13.2	16.2	3.3	738.7	736.5	734.9	75	44	82	ESE 1	WNW 2	SSE 1	3	2	10	3.7	● 18½ 18¾, ▲ 18½, ⚡ 18½ 19
18	9.7	12.9	11.9	11.5	−1.5	734.9	734.5	732.8	89	86	84	NNW 1	SW 1	ENE 1	9	10	10	14.5	● 1¾-2¼, 12-13, 15½, ▲ 2, ⚡ 1¾-2
19	8.4	10.1	7.8	8.8	−4.4	731.9	732.8	733.6	94	88	91	WNW 1	S 0	ENE 1	10●	10●	10	9.7	● 2½–17
20	5.3	13.9	9.2	9.5	−3.8	735.0	735.0	734.8	93	55	77	WNW 1	N 1	ENE 1	10	8	1	.	
21	7.5	18.9	12.4	13.0	−0.4	734.1	731.7	730.1	75	52	90	SSW 0	N 0	SSW 1	0	0	1	2.9	
22	12.0	23.5	13.6	16.4	2.9	730.4	**729.8**	730.6	91	56	90	ENE 1	NE 1	W 1	7	3	10●	15.1	● 4¼ 6¼, 18¾ 21, ⚡ 19¼ 21¾
23	14.9	17.6	13.2	15.2	1.5	733.3	735.2	736.5	88	68	90	S 0	W 1	SSW 1	10	9	0	.	● 0–2½
24	14.8	14.3	11.8	13.6	0.2	735.6	734.8	734.1	91	81	91	SW 0	W 2	ESE 0	6	10●	8	2.9	⚡ ● 13½ 14, ⛈ 13¾
25	10.8	16.0	11.2	12.7	−1.2	731.9	733.3	735.7	94	73	77	ESE 0	WNW 1	WNW 0	10●	9	6	0.0	● 7½
26	10.1	20.1	13.7	14.6	0.6	738.1	738.1	738.6	89	58	70	WNW 1	NNW 1	SW 1	10	6	7	.	
27	12.3	20.0	15.8	16.0	1.9	740.4	738.6	737.1	83	63	84	SSW 0	NNW 1	SW 1	10	10	5	.	
28	18.2	**29.4**	21.0	22.9	8.7	736.9	734.6	732.7	67	44	65	ENE 1	ENE 1	W 0	0	7	10	.	
29	21.0	26.0	17.5	21.5	7.2	732.7	733.6	735.9	71	50	85	WSW 1	NW 1	S 1	1	2	6	0.2	● 14¾, 16¾, 21¾–22, ⚡ 19¾–21¼
30	17.8	24.1	20.2	20.7	6.3	736.2	734.9	731.9	82	62	80	SSE 1	NNW 1	WNW 1	0	7	10	11.4	● 22 24, ⚡ 21¾ 23¾
31	16.4	14.0	14.7	15.0	0.5	733.8	734.2	733.8	83	84	89	ESE 1	WNW 1	SW 1	8	10●	8	4.4	●0 1¼, 2¾ 4, 5¼ 6½, 9¼ 10, [12–15 mU, ⚡ 11¾–13¼
																		Summe	
Mittel	11.3	18.3	12.5	14.0	—	737.8	737.3	737.3	80	58	78				5.5	5.9	5.5	101.5	

Mai 1956
Beobachter: *Observatorium*

Säntis

$\lambda = 9° 21'$, $\beta = 47° 15'$,
$H_b = 2500.1$ m, $G = -0.29$ mm

Tag	Lufttemperatur 7³⁰	13³⁰	21³⁰	Mittel	Abweich. vom Normalst	Luftdruck 7³⁰	13³⁰	21³⁰	Relative Feuchtigkeit 7³⁰	13³⁰	21³⁰	Windrichtung und Stärke 7³⁰	13³⁰	21³⁰	Bewölkung 7³⁰	13³⁰	21³⁰	Niederschlag	Witterung
1	**-11.2**	-8.7	-9.8	-9.9	-7.4	**558.4**	558.6	560.0	100	100	100	W 3	W 3	WNW 2	10≡*	10≡*	10≡	16.1	✳ n-14½, 15-20½, ≡ n-n, ⸙ 10½ ⊠
2	-8.4	-4.8	-6.3	-6.5	-4.2	560.7	562.2	563.9	100	100	100	W 2	W 2	NW 1	10≡*	10≡	10≡	2.6	✳ 6½-9, 15-17½, ≡ n-n, ⋁ n-9 ⊠
3	-5.3	-3.0	-5.0	-4.4	-2.3	563.8	564.7	566.1	100	97	100	N 2	NNW 2	N 1	10≡*	10≡	10≡	2.7	✳ 7-11½ mU, ≡ n-17½ ⊠
4	-1.2	-0.3	-3.2	-1.6	0.3	566.8	568.3	569.3	82	84	98	E 1	SSE 1	SSE 1	0	2	0	.	[mU, 19¾-n ⊠
5	1.5	2.2	-1.0	0.9	2.6	569.2	570.3	570.5	**15**	76	90	N 2	SW 1	SW 2	1	2	0	.	≡ 17¾-18¾ ⊠
6	3.2	3.0	1.7	2.6	4.2	570.8	571.7	**571.9**	22	80	95	WNW 1	W 2	W 3	1	1	0	.	⊠
7	1.9	5.8	2.3	3.3	4.7	571.6	**571.9**	571.7	73	70	83	W 2	WSW 1	W 2	3	6	5	.	⊠
8	1.6	4.0	2.7	2.8	4.0	570.8	571.2	571.1	98	88	85	W 2	W 2	WNW 3	4	6	3	.	⊠
9	2.8	6.8	2.8	4.1	5.2	569.4	569.2	568.2	76	74	74	WSW 2	SW 2	W 2	1	3	1	.	⊠
10	0.4	-2.1	-4.6	-2.1	-1.2	565.2	563.6	562.8	80	100	100	WSW 4	W 3	W 3	10	10≡*	10≡*	**47.1**	✳ 7¾-n, ≡ 8¾-n, *) ⊠
11	-6.0	-4.9	-5.2	-5.4	-4.6	562.5	563.7	564.8	100	100	100	NW 3	W 2	NW 2	10≡*	10≡*	10≡	16.2	✳ n-9, 17-19¼, ⊽ 10¾-16½ mU *) ⊠
12	-4.9	-2.8	-6.1	-4.6	-3.9	562.2	561.3	563.9	98	100	100	W 3	W 4	N 3	10	10≡*	10≡*	24.6	✳ 11-n, ≡ 9¾-n, ⋁ 10½-n, ⸙ 11 ⊠
13	-5.0	-2.7	-5.4	-4.4	-3.9	565.1	566.6	567.4	100	98	97	N 2	N 1	NE 2	10≡*	10≡*	5	0.4	✳ 6¾-13½ mU, ≡ n-21 ⊠
14	-3.5	-0.2	-3.5	-2.4	-2.0	567.0	567.7	567.9	34	91	100	N 2	WSW 1	W 2	1	7	10≡	.	≡ 11½-15½ mU, 17½-n ⊠
15	-4.2	0.5	-2.2	-2.0	-1.7	567.8	568.8	568.9	92	75	82	NNE 1	N 1	N 1	10	9	0	.	⊠
16	1.5	4.0	0.3	1.9	2.1	568.6	569.2	568.9	59	77	92	NNW 1	W 1	W 2	1	3	1	.	⊠
17	1.0	3.0	0.4	1.5	1.5	567.2	566.9	565.1	95	98	100	W 2	WSW 2	W 3	10	10≡	10≡△	12.6	⊽ 16¾-17¼, 18¼-n mU, *) ⊠
18	-0.8	-0.4	-0.8	-0.7	-0.8	562.7	562.0	561.5	100	100	100	WSW 3	WSW 4	SW 3	10≡	10-△*	10≡*	29.6	✳ n-8½ mU, 14-16¼, *) ⊠
19	-2.3	-1.6	-4.1	-2.7	-2.9	558.5	559.5	559.4	100	100	100	W 3	WSW 2	WSW 2	10≡*	10≡*	10≡	38.5	✳ n-20½, ≡ n-n, ⋁ n-9 ⊠
20	-4.3	-0.3	-4.6	-3.1	-3.4	559.7	560.9	561.9	100	86	50	NW 1	W 2	SW 2	10≡	10≡	0	.	✳ n-6½, ≡ n-19½ ⊠
21	2.9	5.4	2.0	3.4	3.0	561.6	562.0	561.9	58	78	85	WSW 2	SSW 2	SSE 2	1	4	2	.	⊠
22	7.5	6.6	3.0	5.7	5.2	561.4	561.9	561.6	67	74	87	S 1	SSW 2	S 2	4	6	8	0.4	⊽ 15¼ ⊠
23	1.4	1.9	1.9	1.7	1.1	562.7	564.7	566.4	100	100	99	SW 2	W 2	NNE 1	10≡	10≡	10	0.5	⸮ 9-12½, ≡ n-17 ⊠
24	6.2	6.4	0.1	4.2	3.5	565.4	565.0	563.3	64	79	88	SSW 2	S 2	SW 2	6	10	2	8.8	⊽ 14¼-14¾, ⊽ 14¾-15, *) ⊠
25	-1.3	-0.8	-3.0	-1.7	-2.5	559.5	560.8	563.5	100	100	99	WNW 3	WNW 2	W 2	10≡*	10≡*	10≡	26.0	✳ 5½-14, 17½-19, ⸮ 14½- ⊠
26	1.2	4.3	3.2	2.9	2.0	565.3	567.3	568.5	87	84	91	ENE 1	SE 2	SSE 2	1	1	4	.	[17, ≡ n-n ⊠
27	6.7	8.6	6.2	7.2	6.2	569.9	570.4	569.9	64	70	66	NW 1	S 1	S 2	8	6	1	.	⊠
28	11.1	**12.1**	9.4	10.9	9.8	570.7	570.7	568.7	45	54	59	N 2	ESE 1	S 3	8	1	10	.	⊠
29	8.8	7.9	2.6	6.4	5.2	566.0	566.6	567.5	62	94	100	S 2	W 2	WSW 2	3	6	10	18.9	● ▲ 17½-18½, ⸜ 17½-19¾, *) ⊠
30	6.4	8.7	6.8	7.3	6.0	567.3	567.2	565.1	62	63	68	NNW 1	SE 2	S 3	0	1	7	0.6	● n (30./31.), ⊕ 16½ ⊠
31	2.9	6.7	-0.6	3.0	1.6	563.8	563.7	563.1	97	77	89	SE 2	E 1	WSW 1	3	8≡	9	1.6	● n (31./1.), ≡ n-17¾ mU ⊠
Mittel	0.3	2.1	-0.6	0.6	—	565.2	565.8	566.0	78	86	90				6.0	6.8	6.1	Summe 247.2	

Mai 1956
Beobachter: *E. Chiesa*

St. Gotthard (Hospiz)

$\lambda = 8° 34'$, $\beta = 46° 33'$,
$H_b = 2095$ m, $G = -0.27$ mm

1	-6.3	-3.8	**-6.8**	-5.6	-6.1	**587.7**	588.4	589.4	98	98	96	NW 2	NW 2	NW 2	10≡	10	10*≡	9.8	✳ 14½-n, ≡ n-a, 14-n, ⸸ III ⊠
2	-6.5	-1.0	-4.0	-3.8	-4.4	589.7	591.4	592.8	96	98	96	NW 3	NW 2	NW 2	10≡	10≡	10≡	0.8	≡ ⸸ ⋁ n-n, ⸙ I ⊠
3	-3.5	-0.4	-2.0	-2.0	-2.8	592.9	594.0	595.3	98	92	97	NW 2	NW 1	NW 1	10≡	10≡	10	.	≡ n-16½, ⋁ ⸸ I ⊠
4	-4.2	1.0	-1.4	-1.5	-2.4	596.0	597.4	598.3	76	70	90	NW 1	NW 1	NW 1	0	0	0	.	⊠
5	-1.2	2.2	0.2	0.4	-0.7	598.4	599.3	599.7	**40**	42	62	NW 0	NW 0	NW 0	0	0	0	.	⊠
6	1.3	4.5	2.8	2.9	1.7	600.4	**601.3**	601.0	88	62	64	NW 0	NW 0	NW 0	0	0	0	.	⊠
7	1.8	5.2	4.2	3.7	2.4	600.7	601.0	600.5	73	72	85	NW 1	NW 1	NW 1	0	0	0	.	⊠
8	3.3	6.4	4.6	4.8	3.4	600.1	600.1	599.8	86	76	90	NW 1	NW 0	NW 1	0	0	0	.	⊠
9	4.0	7.6	4.8	5.5	4.0	598.8	598.4	597.3	79	46	80	NW 1	NW 1	NW 1	0	0	0	.	⊠
10	4.3	5.0	-1.5	2.6	1.0	595.6	593.6	592.2	67	86	98	NW 1	NW 1	NW 2	9	10●	10*≡	13.0	● 13 16½, ✳ ⸸ ≡ 16½ n ⊠
11	-2.6	0.0	-2.6	-1.7	-3.4	591.1	592.7	593.4	97	85	95	NW 2	NW 2	NW 2	10*≡	10	10≡	0.5	✳ n-a, ≡ n-a, p-n, ⸸ 17½-n ⊠
12	-0.2	1.4	-3.0	-0.6	2.4	591.8	591.5	592.9	65	92	98	NW 2	NW 2	NW 3	0	10	10≡	2.7	✳ p-n mU, ≡ ⋁ 15-n, ⸸ ⸙ p-n ⊠
13	-3.2	-0.8	-3.6	-2.5	-4.4	594.0	595.8	596.6	97	95	92	NW 2	NW 1	NW 1	10≡	10	10≡	.	≡ ⋁ n-a, 16½-n. ⸸ I ⊠
14	-4.4	2.0	-0.2	-0.9	-2.9	596.5	596.6	597.4	87	75	98	NW 1	NW 1	NW 1	0	0	10≡	.	≡ 20-n mU ⊠
15	-1.0	3.3	0.7	1.0	-1.1	597.0	597.9	597.7	90	65	90	NW 2	NW 1	NW 1	6	10	0	.	⊠
16	0.6	5.2	3.0	2.9	0.7	598.0	598.1	598.0	61	49	90	NW 0	NW 0	NW 1	0	0	0	.	⊠
17	2.4	7.8	3.6	4.6	2.3	597.0	596.4	594.9	72	59	95	NW 0	NW 0	SE 0	0	3	10	2.6	● 18¼-20 ⊠
18	4.3	8.2	2.9	5.1	2.7	592.9	592.8	591.4	76	42	90	NW 0	NW 0	NW 0	6	3	10	9.2	● 18¾-n mU ⊠
19	2.4	3.0	-1.3	1.4	-1.1	588.3	588.5	588.3	98	83	98	SE 0	NW 0	NW 1	10●	10●	10*	18.6	● n-p mU, ✳ p-n ⊠
20	-2.6	0.0	-1.4	-1.3	-3.9	588.4	589.4	590.2	98	94	95	NW 2	NW 1	NW 1	10≡	10≡	0	2.2	✳ n-a mU, ≡ n-14½ ⊠
21	1.4	4.9	1.7	2.7	0.0	590.5	591.2	591.2	98	97	98	SE 0	SE 0	SE 1	10⸮≡	10⸮≡	10⸮≡	7.7	● 14¾-17½, ≡ ⸮ n-n ⊠
22	1.5	4.0	2.6	2.7	-0.1	590.6	590.9	590.8	98	97	99	SE 1	SE 0	SE 1	10≡	10●≡	10●≡	16.9	● 11-n mU, ≡ n-n ⊠
23	1.8	4.0	3.6	3.1	0.2	591.6	593.6	594.7	98	89	88	NW 1	NW 1	NW 1	10	10	3	7.0	● n-11½. n (23./24.) ⊠
24	3.9	1.4	1.4	2.2	-0.8	594.7	594.7	592.8	92	95	84	SE 0	SE 1	SE 0	10●*	10●*	6	**19.3**	● ✳ n-14¾ ⊠
25	0.5	1.9	0.6	1.0	-2.1	585.5	589.5	593.2	98	98	94	NW 3	NW 2	NW 1	16⸮≡	10⸮≡	6	1.3	⸮ ≡ n-20, ⸙ n-a ⊠
26	2.7	8.6	4.0	5.1	1.9	594.2	596.4	598.0	50	54	98	SE 0	NW 0	SE 1	3	6	10≡	.	≡ 20¼-n ⊠
27	5.4	9.8	5.2	6.8	3.5	598.9	599.6	599.4	76	56	95	SE 0	SE 0	SE 1	3	6	3	.	⊠
28	8.3	**15.0**	6.6	10.0	6.6	599.2	599.2	597.8	54	**40**	82	NW 0	SE 0	NW 0	0	0	3	1.3	● 19½-20½ ⊠
29	7.1	12.2	4.6	8.0	4.5	595.3	595.2	596.5	76	61	99	SE 0	NW 0	NW 2	0	0	10≡	1.1	● 17¼-18, ≡ 20-n ⊠
30	5.5	13.4	7.5	8.8	5.2	596.0	595.9	594.3	76	50	74	NW 1	SE 1	SE 2	0	6	9	11.4	● 16½-17½, n (30./31.) ⊠
31	6.8	7.5	0.3	4.9	1.3	592.9	592.9	592.0	76	64	99	SE 2	SE 1	NW 1	10	10	10	5.7	● 12-13¼, 20¼-21, ✳ 21- ⊠
Mittel	1.1	4.5	1.2	2.3	—	594.4	595.0	595.1	82	74	91				5.1	5.9	6.1	Summe 131.1	[n mU

*) Säntis: **10.** ⋁ 14½ n, ⸙ n n mU **11.** ⸜ 7, 13½, ≡ ⋁ n n **17.** △ 13½-13¾, ⸜ 13¾, 16¾, ≡ 9¼ 14, 16¼ n mU **18.** ⊽ △ 10¾-14 mU, 16½-17¾, 21-n, ≡ n n, ⋁ n 8, ⸙ II **24.** ✳ n (24./25.), ≡ 13½ 15¼ **29.** ≡ 12½-14 mU, 15½ 16½ mU, 16½ 21

$\lambda = 7° 26'$, $\beta = 46° 57'$,
$H_b = 572.2$ m, $G = -0.04$ mm

Bern

Juni 1956
Beobachter: *Meteorologisches Observatorium*

Tag	Lufttemperatur 7³⁰	13³⁰	21³⁰	Mittel	Abweich. vom Normalst	Luftdruck 7³⁰	13³⁰	21³⁰	Relative Feuchtigkeit 7³⁰	13³⁰	21³⁰	Windrichtung und Stärke 7³⁰	13³⁰	21³⁰	Bewölkung 7³⁰	13³⁰	21³⁰	Niederschlag	Witterung
1	10.7	16.4	11.8	13.0	−1.3	712.6	713.6	717.1	93	63	92	SW 0	ESE 1	NE 0	10	6	10	2.6	● 3½–5½, 15¾–18¾
2	11.3	14.4	12.5	12.7	−1.8	717.7	717.4	717.2	90	71	90	NNE 1	NNE 1	S 0	9	10	9	.	● 1¼–1¾, ⌓ III
3	13.2	18.8	15.6	15.9	1.3	716.5	715.4	713.7	83	45	72	SE 0	N 0	W 0	1	5	6	.	⌓ I, III
4	13.4	22.5	18.3	18.1	3.4	712.3	710.3	709.8	80	48	51	SE 0	W 1	S 0	6	5	4	.	⌓ I, ⊕ 7¾
5	16.8	22.0	17.8	18.9	4.1	711.5	711.1	711.3	74	47	77	SW 0	W 1	NE 1	2	5	8	0.5	⌓ I
6	16.3	21.4	16.5	18.1	3.2	711.4	711.8	712.4	76	44	80	SE 0	WSW 2	SE 1	6	9	7	1.1	⛆ 2½–3¼, 22¾–23
7	15.3	21.2	8.2	14.9	−0.1	711.4	**708.3**	712.9	86	59	90	NE 0	NW 1	WSW 2	5	7	10●	**28.1**	● 0–2, 14¾–15½, 17¾–24, *)
8	7.2	11.8	7.0	8.7	−6.4	713.0	711.6	713.0	83	53	94	W 1	W 2	WSW 1	8	9	9●	7.7	● 0–2½, 11½–11¾, 15¾–16, *)
9	**6.9**	10.8	8.5	8.7	−6.5	712.8	713.3	714.2	90	62	81	WSW 2	W 1	SE 0	9	7●	8	1.5	● 3–7, 10–10¼, 13½–15½ mU
10	8.2	13.4	12.4	11.3	−4.0	713.4	713.3	713.9	78	53	70	SW 0	WSW 1	SW 0	3	6	9	.	⌓ I
11	11.6	17.2	12.5	13.8	−1.6	713.1	710.8	711.5	70	49	92	SE 1	S 0	SW 1	4	7	10●	1.8	● 15½–16, 20¼–21¾
12	12.7	15.8	14.8	14.4	−1.1	712.8	714.4	716.6	82	61	73	WSW 1	WSW 2	WSW 1	9	10	10	1.4	● 23¾–24
13	13.1	19.2	15.2	15.8	0.2	717.0	716.3	717.2	96	61	76	SE 1	N 1	NE 0	9	8	10	2.0	● 0–0¼, 5½–6¼
14	11.4	12.2	11.4	11.7	−4.0	717.1	717.1	715.7	98	86	88	NNE 1	E 1	NE 0	10●	10	9	6.6	● 5½–12¼, 23¾–24, ⌓ III
15	10.5	12.5	9.5	10.8	−5.0	716.0	717.0	**717.9**	93	68	83	S 0	SE 1	SE 0	10●	9	7	2.8	● 0–9¼ mU, 15¼–16
16	8.9	15.0	12.9	12.3	−3.6	716.1	714.1	713.3	79	44	69	E 1	NW 0	E 0	2	9	9	0.0	⌓ I, ⊕ II, ≡ 3½
17	11.8	12.5	11.2	11.8	−4.2	711.9	711.1	711.4	84	95	92	SE 0	WNW 1	WSW 1	9	10●	10	8.2	● 3¾–4¼, 7¼, 8¾–18, 20¾–21, ⌒ 18½
18	11.2	13.2	11.3	11.9	−4.2	712.4	713.7	716.1	87	69	90	SW 1	SW 2	SE 0	9	10	10	.	● 0–0¾, 5¾–6¾
19	11.3	17.5	14.1	14.3	−1.9	716.7	715.9	716.9	89	54	80	SE 0	NE 1	N 0	9	5	1	.	
20	11.4	16.4	11.9	13.2	−3.1	715.8	714.5	715.1	85	71	97	SE 1	W 2	NW 1	8	10	10●	10.8	● 10¾–12½, 13¾–14¾, 20¾–24, ⌓ I
21	9.8	13.8	10.8	11.5	−4.9	715.7	716.1	716.9	93	54	66	NE 0	NNW 2	NW 0	8	9	9	.	● 0–0¼
22	10.2	14.3	8.9	11.1	−5.4	715.8	715.0	717.4	80	46	77	SE 1	NE 1	NE 1	3	6	8	0.3	● 16¾–17, ⌓ I
23	10.0	14.8	12.1	12.3	−4.3	717.1	716.7	716.0	74	51	76	NE 1	NE 1	ENE 0	3	7	9	0.0	⌓ I
24	9.6	13.9	11.0	11.5	−5.1	714.1	713.1	712.9	88	59	87	E 0	N 1	SE 1	9	9	6	0.0	● 19–19¼, ⌓ I
25	10.9	16.3	12.8	13.3	−3.4	712.5	712.3	713.9	82	48	76	SE 1	NE 1	SE 1	7	7	9	.	● 3¼–3¾, ⌓ I
26	12.7	19.3	15.2	15.7	−1.1	714.9	714.7	716.0	78	44	68	N 0	NE 0	NE 0	4	4	2	.	⌓ I
27	12.1	21.4	16.7	16.7	−0.2	716.4	715.4	715.2	86	45	65	SSE 0	WSW 1	SE 1	9	3	2	.	
28	14.4	21.7	17.0	17.7	0.7	714.6	712.9	712.4	76	42	58	ESE 1	W 1	S 0	4	2	4	.	
29	14.9	19.9	16.4	17.1	0.1	712.9	713.0	713.3	67	43	60	W 2	W 2	SW 0	7	9	4	.	⊕ 15½
30	12.8	**22.7**	18.5	18.0	0.9	713.3	711.5	710.2	79	**37**	60	SE 0	W 1	NNW 0	5	1	1	0.3	
Mittel	11.7	16.7	13.1	13.8	—	714.3	713.7	714.4	83	56	78				6.6	7.1	7.3	Summe 75.7	

*) 7. ⌒ 14¾–15¼, 19¼–19¾ 8. ● 17–19, 20¾–23¾

$\lambda = 6° 57'$, $\beta = 47° 00'$,
$H_b = 487.3$ m, $G = 0.00$ mm

Neuchâtel

Juni 1956
Beobachter: *Observatorium*

1	13.2	18.8	13.1	15.0	0.0	719.8	721.1	724.6	71	64	80	W 2	SE 1	NE 1	7	8	10	0.0	⛆ 15¾
2	14.1	15.7	14.9	14.9	−0.3	725.1	725.3	724.6	77	72	73	E 2	NE 2	E 0	2	8	10	.	
3	13.7	21.2	15.9	16.9	1.6	724.2	723.1	721.1	85	45	70	E 0	E 1	E 0	6	2	3	.	
4	13.6	24.1	19.7	19.1	3.7	719.6	717.6	717.0	84	49	50	E 0	SW 2	W 1	9	3	9	0.1	⛆ 24
5	17.3	24.4	18.1	19.9	4.4	718.5	718.4	718.6	71	48	76	SW 2	SW 2	NW 0	1	3	8	.	
6	16.7	21.2	17.6	18.5	2.9	718.9	719.3	719.8	90	59	71	NE 0	SW 2	N 0	9	9	9	0.8	● 23¾–24, ⌒ 23½–24¼
7	15.6	18.1	**6.3**	3.3	−2.4	719.0	**716.2**	719.4	93	82	85	SW 0	SE 0	W 3	9	10	10●	**14.6**	● 0–4½, 11¼, 14¼–24
8	8.0	14.0	7.4	9.8	−6.0	720.7	719.3	720.6	81	60	87	SW 2	SW 2	W 1	9	5	10●	4.8	● 0–4, 10¼–24 mU
9	7.4	12.0	7.6	9.0	−6.9	720.7	721.3	721.9	78	70	79	SW 2	SW 2	W 1	9	7	2	0.2	● 0–4, 12¼
10	8.7	15.7	13.1	12.5	−3.5	721.0	721.1	721.3	81	53	61	NE 1	S 1	NW 0	2	3	9●	0.1	●tr 21½
11	13.3	19.7	15.1	16.0	−0.1	720.6	718.2	718.8	77	47	68	SW 0	SE 1	SW 2	5	5	10	.	
12	13.2	15.1	14.6	14.3	−1.9	720.5	722.1	724.1	74	74	85	SW 2	SW 2	SW 2	10	10	10	1.7	● 22½–23¼
13	14.3	19.4	16.3	16.7	0.4	724.5	723.8	724.6	92	69	62	SW 1	SW 2	NW 1	10●	6	9	2.4	
14	12.1	13.9	12.1	12.7	−3.7	724.8	724.5	723.3	98	82	87	E 0	E 0	NE 0	10	10	10	4.4	● 5¼–6¼, 7½–9¾, 22½–24
15	9.9	14.5	10.4	11.6	−4.9	723.7	724.4	**725.5**	80	61	66	NW 1	SW 1	N 1	10	9	2	0.7	● 0–2½, 7½, 14
16	9.7	16.7	13.1	13.2	−3.4	723.8	722.0	720.8	78	47	71	SE 1	SE 1	SW 0	1	7	10	0.4	
17	12.1	12.8	11.4	12.1	−4.6	718.4	718.7	719.2	92	94	90	W 0	SW 1	SW 2	10●	10●	10	11.7	● 2¾–3¼, 7¼ 9, 11 13¾,
18	10.6	12.0	12.1	11.6	−5.2	719.9	721.6	723.5	92	83	82	SW 0	SW 1	W 0	10	10	10	.	● 4–5 [15¾–16
19	12.3	19.7	15.5	15.8	−1.1	724.3	723.7	723.9	87	59	64	W 0	SE 1	N 2	9	6	1	.	
20	12.9	15.7	13.3	14.0	−3.0	723.4	722.3	722.8	88	83	69	E 0	SW 1	NW 2	10	10	10	0.3	⛆ 9, 10½, 12¾
21	11.5	14.5	11.2	12.4	−4.6	723.2	723.7	724.5	65	47	64	N 2	NW 3	N 0	2	8	10	.	
22	12.3	16.2	9.1	12.5	−4.6	723.4	722.8	724.8	63	**35**	81	NE 1	N 2	N 1	2	7	9	0.1	● 19¾–20½
23	11.1	15.9	12.6	13.2	−4.0	725.0	724.4	723.7	77	54	81	E 2	E 2	NE 0	1	10	8	.	
24	10.4	13.5	12.4	12.1	−5.2	721.7	721.0	720.4	88	58	79	NE 0	NE 2	NE 0	4	10	9	0.4	● 11¾–12
25	12.1	16.1	13.5	13.9	−3.5	720.0	720.0	721.5	78	59	70	NE 1	S 1	N 0	1	9	10	.	
26	13.1	21.1	14.8	16.3	−1.2	722.7	722.2	723.3	82	47	68	NE 1	E 0	NE 0	1	5	0	.	
27	12.4	22.7	17.8	17.6	0.1	724.0	722.9	722.5	87	47	60	NE 0	SW 1	S 0	9	7	2	.	
28	15.1	21.5	18.1	18.2	0.6	722.1	720.4	719.8	84	54	53	S 1	SE 1	SW 1	1	6	4	.	
29	15.3	21.7	16.9	18.0	0.3	720.5	720.6	720.6	65	37	54	W 2	W 2	NW 1	5	3	0	.	
30	14.0	**25.1**	17.3	18.8	1.0	720.7	719.2	717.3	76	41	51	E 1	S 1	W 0	2	1	0	.	
Mittel	12.5	17.8	13.7	14.7	—	721.8	721.4	721.8	81	59	71				5.9	6.9	7.1	Summe 49.9	

Juni 1956
Beobachter: *Frl. H. Nager*

Altdorf

$\lambda = 8° 38'$, $\beta = 46° 53'$,
$H_b = 456.3$ m, $G = -0.08$ mm

Tag	Lufttemperatur 7³⁰	13³⁰	21³⁰	Mittel	Abweich. vom Normalst	Luftdruck 7³⁰	13³⁰	21³⁰	Relative Feuchtigkeit 7³⁰	13³⁰	21³⁰	Windrichtung und Stärke 7³⁰	13³⁰	21³⁰	Bewölkung 7³⁰	13³⁰	21³⁰	Niederschlag	Witterung
1	12.1	13.7	13.5	13.1	−1.9	722.4	724.1	726.8	98	85	92	N 0	N 0	NW 0	10●	10	10●	25.8	● n–11¼, 16–n mU
2	12.0	16.0	13.3	13.8	−1.3	727.6	726.8	727.4	95	72	91	SE 0	NW 0	SE 0	10	8	10	0.1	☽ 17¼
3	13.4	19.1	14.8	15.8	0.6	726.0	724.8	723.9	95	56	80	NW 0	NW 1	NE 0	7	6	4	.	
4	13.8	20.4	15.8	16.7	1.4	721.9	720.1	720.3	88	64	90	E 0	NW 1	SW 0	2	4	7	0.0	●tr 17½
5	15.7	23.7	16.8	18.7	3.3	720.6	720.2	721.4	85	58	83	NW 0	NW 1	NW 0	0	6	7	.	
6	15.6	**25.3**	14.8	18.6	3.2	721.1	719.9	722.7	92	**37**	94	N 1	S 3	NW 0	5	6	0	1.9	● 18–18¾, ⸗ II
7	15.0	23.8	14.0	17.6	2.1	721.2	718.5	**718.1**	91	40	91	N 0	NW 2	NW 2	4	6	10●	33.1	● 20¾–n
8	**6.9**	10.4	8.0	8.4	−7.2	723.2	722.2	722.9	97	80	93	SE 0	SE 0	NW 0	10	10	10	3.1	∺ 15½–17¼
9	9.2	12.0	9.2	10.1	−5.6	722.4	723.1	724.7	95	66	90	E 0	N 1	E 0	10●	9	10	0.5	∺ 7½–a mU
10	8.7	10.9	11.7	10.4	−5.4	723.6	722.8	724.0	82	55	86	NE 0	NW 2	NW 0	6	7	4	.	
11	10.0	18.1	15.8	14.6	−1.3	723.2	719.7	720.8	90	46	47	NW 0	SE 2	E 1	5	7	9	1.1	● n (11./12.)
12	12.8	16.8	14.8	14.8	−1.1	722.9	723.8	726.2	97	62	91	SE 0	NW 0	NW 0	6	7	10	0.3	
13	13.4	19.1	15.2	15.9	−0.1	727.0	725.7	726.8	96	71	99	NE 0	NW 0	NW 0	10☽	7	10	11.8	☽ 6¼–7½, ● 18–20½
14	13.4	13.5	12.5	13.1	−3.0	726.8	726.1	725.9	96	79	95	NW 0	NW 1	NE 0	10	10	10	7.6	● p mU, n (14./15.)
15	11.0	12.4	9.7	11.0	−5.2	725.6	727.4	**728.6**	92	61	92	N 0	NE 0	N 0	10●	10	10●	2.3	● n–a, ∺ 21½
16	8.5	16.4	13.3	12.7	−3.6	726.0	723.6	723.2	90	50	81	NE 0	NW 1	SE 0	0	7	10	.	
17	13.0	16.1	12.5	13.9	−2.4	722.0	721.2	721.4	88	63	99	SE 0	NW 1	NW 0	8	10	10	7.3	● 13¾–17¾
18	12.1	12.9	11.3	12.1	−4.3	722.4	723.3	726.1	96	85	99	NW 0	NW 1	NW 0	10●	10●	10●	4.5	● n–n mU
19	11.8	14.8	12.9	13.2	−3.3	726.2	726.4	726.6	99	77	91	NE 0	N 0	SE 0	10●	10	10	0.7	● n–a
20	12.2	16.2	12.7	13.7	−2.9	725.8	724.2	723.5	86	74	88	E 0	NW 0	NW 0	8	9	10	**37.5**	● 14¼–n mU, ⸜ 15¾ 16¼
21	9.6	12.3	9.4	10.4	−6.2	725.1	726.0	727.1	98	69	97	NE 0	NW 0	NE 0	10●	10●	10	9.6	∺ n–p mU
22	9.4	11.6	8.9	10.0	−6.7	726.0	725.4	727.5	87	72	96	E 0	NW 1	NW 0	10●	10	10	6.9	∺ n–a mU
23	8.2	12.9	8.9	10.0	−6.8	727.5	727.1	726.4	98	73	96	NE 0	NW 0	SE 0	5	8	10	0.4	● n (23./24.)
24	11.1	13.3	10.5	11.6	−5.3	723.8	722.8	723.5	94	84	99	N 0	NW 0	NW 0	10	10●	10●	2.9	● 13–n mU
25	10.2	15.1	11.3	12.2	−4.7	722.4	722.0	724.6	96	60	92	W 0	NW 1	E 0	9	10	10	0.3	∺ a mU
26	10.3	17.6	14.4	14.1	−2.9	724.9	724.0	726.3	94	60	89	E 0	NW 1	NW 0	10	8	10	.	
27	13.3	15.4	13.1	13.9	−3.2	726.1	725.5	725.3	90	79	99	NW 0	SW 0	NW 0	6	7	8	7.2	● 12–12¾, p mU, ⸜ 16¼, 17¼,
28	13.0	19.6	14.4	15.7	−1.4	724.2	722.5	722.7	98	62	96	E 0	NW 1	E 0	7	8	10	1.2	∺ 16¾, ⸜ ● 16¾ [⌒ 17¼
29	13.3	18.9	15.2	15.8	−1.4	722.1	722.6	723.5	88	60	82	E 0	NW 2	NW 0	4	5	5	.	
30	13.1	20.4	16.8	16.8	−0.5	723.1	721.3	720.8	94	67	80	W 0	W 0	SE 1	3	3	3	.	
Mittel	11.7	16.3	12.8	13.6	—	724.1	723.4	724.3	93	66	90				7.2	7.9	8.6	Summe 166.1	

Juni 1956
Beobachter: *Observatoire*

Genève

$\lambda = 6° 09'$, $\beta = 46° 12'$,
$H_b = 405.0$ m, $G = -0.05$ mm

1	13.5	18.4	14.6	15.5	0.0	727.6	728.5	731.3	85	60	80	NE 1	NNE 1	NNE 1	8	9	10	.	
2	15.0	18.2	16.7	16.6	1.0	731.6	730.2	731.4	70	55	78	NNE 2	NNE 2	NNE 1	0	3	0	.	
3	17.0	21.2	19.2	19.1	3.4	731.2	729.3	728.2	70	60	72	E 0	NNE 1	ENE 1	0	4	5	.	
4	16.8	**26.4**	23.6	22.3	6.4	726.7	724.6	724.4	75	**35**	70	ENE 1	S 2	S 2	9	3	5	.	
5	19.0	25.2	21.4	21.9	5.9	726.1	725.4	726.1	59	47	57	S 1	S 1	S 1	1	2	9	.	
6	20.8	22.8	21.2	21.6	5.5	726.0	726.7	726.0	60	53	88	S 1	S 1	S 1	8	9	10	7.2	● 22¾–24, ⸜ 22¾
7	17.0	19.4	**7.6**	14.7	−1.5	726.0	**723.3**	727.6	86	85	90	SE 1	SE 1	S 1	10	10●	10●	**26.0**	● 0-1, 8¾-9½, 12¾-15, 17¼-20, n
8	8.8	15.6	8.7	11.0	−5.3	728.5	726.8	729.1	75	54	90	E 1	S 1	SSW 1	7	7	10●	4.2	● 14¾-15, 17¾-18½, 20½-21½ [(7./8.)
9	9.6	10.4	9.8	9.9	−6.5	728.8	728.9	729.0	78	54	70	SSW 1	SSW 1	E 1	10	10	9	.	● 3-3½, 6-6¾
10	9.3	12.8	14.2	12.1	−4.4	728.8	728.9	728.0	62	50	68	E 1	NNE 1	E 0	0	3	4	.	
11	13.6	17.3	15.0	15.3	−1.3	727.1	725.0	726.4	70	56	73	NNE 1	SSW 1	SSW 1	3	5	7	.	
12	14.0	18.2	16.8	16.3	−0.4	728.5	729.8	730.6	80	62	90	W 1	S 1	S 1	10	10	10	6.5	● 21¾–24
13	15.6	21.4	17.8	18.3	1.5	731.5	730.4	731.6	86	58	66	S 1	NNE 1	NNE 1	9	4	10	0.5	● 0–0¾, n (13./14.)
14	14.4	16.0	13.8	14.7	−2.2	731.6	730.8	730.3	95	73	88	NNE 1	NNE 1	NNE 1	10●	10	10	5.2	● 7¼–8, 19½–21¼, 23¾ 24
15	11.0	14.3	11.4	12.2	−4.8	731.5	731.8	**732.5**	90	69	70	E 1	ENE 1	NNE 1	9	9●	0	0.7	● 5¾–6¾, 13¼–13¾
16	11.8	18.2	16.0	15.3	−1.8	730.8	728.5	727.2	70	51	85	NNE 1	NNE 1	S 1	0	10	10	.	
17	10.2	18.6	12.4	13.7	−3.5	726.0	725.2	727.0	90	73	90	S 1	S 1	S 1	10	9●	10	10.8	● 11¾-12½, 13¼-13¾, 15½-16¾, 17¼-
18	12.0	14.7	13.4	13.4	−3.9	727.9	729.4	730.8	85	75	78	SE 1	WNW 1	NNE 1	9	10	8	.	● 0–0½ [19, 20½-21
19	14.0	19.4	16.2	16.5	−0.9	731.3	730.2	731.0	80	51	71	NNE 1	NNE 1	NNE 1	7	1	1	.	
20	17.4	22.4	17.2	19.0	1.5	730.5	729.4	729.8	71	55	68	E 1	NW 1	NNE 1	2	9	1	.	
21	14.0	17.8	16.0	15.9	−1.7	730.1	730.2	730.1	65	47	71	NNE 1	NNE 2	NNE 1	0	1	1	.	
22	15.2	17.6	12.2	15.0	−2.6	730.5	729.6	731.0	65	45	71	NNE 1	NNE 1	NNE 4	2	5	9	.	⸗ p–n
23	12.8	17.4	15.0	15.1	−2.6	731.1	730.8	730.0	70	60	72	NNE 3	NNE 1	NNE 1	6	2	2	.	⸗ n–a
24	13.6	17.4	15.0	15.3	−2.5	729.6	728.9	727.0	70	52	71	NNE 1	NNE 1	NNE 1	2	7	6	.	
25	13.1	19.6	17.4	16.7	−1.2	727.1	726.8	728.1	74	54	70	NNE 1	NNE 1	NNE 1	1	7	3	.	
26	14.1	20.0	18.3	17.5	−0.5	729.7	729.5	730.1	74	58	71	NNE 1	NNE 1	E 1	2	7	2	.	
27	16.0	21.8	20.9	19.6	1.5	731.0	729.9	729.1	65	55	68	ESE 1	NNE 1	SE 1	2	3	2	.	
28	17.6	26.2	20.6	21.5	3.4	729.3	726.3	727.6	65	39	71	SE 1	W 1	S 1	2	4	0	.	
29	20.0	24.6	20.2	21.6	3.4	727.9	727.4	727.6	55	40	62	S 1	NW 1	E 0	2	2	0	.	
30	17.2	25.2	20.8	21.1	2.8	727.7	726.8	724.6	63	42	65	ESE 1	SSE 1	SE 1	0	0	1	0.5	● n (30./1.)
Mittel	14.5	19.3	16.1	16.6	—	729.1	728.3	728.8	73	56	75				4.7	5.8	5.5	Summe 61.6	

$\lambda = 8° 34'$, $\beta = 47° 23'$, Juni 1956

$H_b = 569.4$ m, G = –0.01 mm

Zürich

Beobachter: *Meteorologische Zentralanstalt*

Tag	Lufttemperatur 7³⁰	13³⁰	21³⁰	Mittel	Abweich. vom Normalst	Luftdruck 7³⁰	13³⁰	21³⁰	Relative Feuchtigkeit 7³⁰	13³⁰	21³⁰	Windrichtung und Stärke 7³⁰	13³⁰	21³⁰	Bewölkung 7³⁰	13³⁰	21³⁰	Niederschlag	Witterung
1	11.2	15.6	10.8	12.5	–1.7	712.3	713.2	717.1	88	70	90	SW 1	S 2	N 1	10	10	10	12.3	● 15½–17½
2	10.5	16.3	11.6	12.8	–1.5	**718.2**	717.6	717.3	93	57	85	NNE 1	NE 1	NNE 1	10	7	8	0.0	☂ 5½–7½, ●tr 10½–a
3	13.1	20.9	14.3	16.1	1.7	716.6	715.6	713.9	84	42	74	SSW 1	NE 1	WSW 1	10	3	7	.	△ I
4	14.7	24.0	19.3	19.3	4.8	712.2	710.4	709.7	71	45	54	S 1	WSW 2	SSE 1	4	4	8	.	△ I, III
5	18.1	**24.4**	16.7	19.7	5.1	711.2	711.1	711.9	65	45	73	WSW 1	WSW 1	NW 0	7	3	10	.	△ I
6	16.5	23.7	15.1	18.4	3.7	711.5	711.1	712.8	77	46	82	SSE 1	NW 1	ESE 1	3	9	1	0.0	●tr 17½, △ I
7	16.5	23.4	10.8	16.9	2.1	711.4	**708.4**	709.9	76	46	97	WSW 1	NNE 1	WSW 2	2	6	10●	**16.2**	● 17–17½, 20¾–24, *)
8	7.4	8.9	7.4	7.9	–7.0	713.0	711.6	712.5	80	70	90	S 1	S 2	S 1	9	9●	10	3.8	● 0–3¾, 13½–13¾, 19–19¼, *)
9	**6.8**	11.9	7.3	8.7	–6.3	712.6	712.9	714.2	93	60	90	WSW 1	SW 1	S 1	10	9	4	1.2	● 0½–2½, 4–7½ mU, 15–15½
10	8.4	14.3	12.2	11.6	–3.4	713.6	713.5	714.0	81	48	65	W 1	W 1	WNW 1	6	4	7	.	△ I, III
11	11.5	19.4	14.5	15.1	0.0	713.2	710.6	711.0	70	44	71	SSE 1	NNE 1	WSW 1	2	9	10	2.5	● 23–24, △ I
12	13.8	15.0	14.3	14.4	–0.8	712.6	714.3	716.4	71	60	83	SW 2	WSW 2	W 1	5	10	10	0.7	● 0–0½, ⸗ 8–16 mU
13	13.4	19.6	14.0	15.7	0.4	717.0	716.3	717.7	95	64	84	S 1	E 1	W 1	10	5	10	1.4	● 3½–3¾, 5–5½, 7½–8½, *)
14	11.6	11.3	9.3	10.7	–4.7	717.1	717.0	716.0	92	90	95	NNW 1	W 1	ENE 1	10☂	10●	9	5.2	● 0-0¼, 11¾-16¾, ☂ 5-10½, *)
15	9.8	11.6	8.5	10.0	–5.4	716.0	716.9	717.9	88	63	85	S 1	S 1	SE 1	10●	10	9●	4.2	● 3½-7½, 10-11, 16¼-17¼, ●tr 21½
16	7.9	16.1	12.5	12.2	–3.3	716.5	714.2	713.2	88	41	70	WSW 1	NW 1	E 1	1	8	10	0.6	≡ 6¼–7¼, △ III
17	12.1	15.3	11.9	13.1	–2.5	712.1	711.2	711.3	80	70	89	S 1	S 1	WSW 1	10	10	10	5.1	● 5-6½, 11¾-12½, 14¼-16¼ mU,
18	10.5	13.7	11.5	11.9	–3.8	712.4	713.4	715.8	90	72	86	W 1	SSW 1	WSW 1	10●	10	10	0.2	∇ 7½–8 [18¾-18¾
19	11.3	18.0	13.2	14.2	–1.6	716.9	716.3	716.8	91	58	83	WSW 1	W 1	SSW 1	10	6	8	0.0	☂ a mU, △ I, III
20	13.0	13.7	10.5	12.4	–3.4	715.4	714.3	714.9	81	91	91	SW 1	WSW 2	N 1	10	10●	10●	10.7	● 12¾–14¾, 19¼-22¾, △ I
21	9.6	12.7	9.6	10.6	–5.3	715.8	715.8	716.7	87	65	86	NNW 1	NW 1	SSE 0	9	9	10	4.7	● 12–13, 22¼-24
22	9.6	9.6	8.3	9.2	–6.8	715.9	715.8	717.5	82	82	90	N 1	NNW 1	N 1	9	10●	10●	4.5	● 0–0½, 2–3½, 12¾–14.
23	8.9	12.0	10.3	10.4	–5.7	717.6	717.6	716.4	76	68	87	N 1	N 1	SSE 1	8	10	9	.	[●tr 21½
24	9.9	12.2	10.3	10.8	–5.3	714.0	713.5	713.2	86	69	80	W 1	NNE 2	SSE 1	8	10	9	0.0	
25	10.7	13.5	11.4	11.9	–4.3	712.6	712.7	714.4	78	65	86	SSW 1	N 1	NNE 1	4	10	10	2.3	● 10¼–11½, △ I
26	11.7	17.3	12.8	13.9	–2.4	715.2	715.0	716.0	84	48	77	NNE 1	WNW 1	NW 1	6	5	5	.	△ I, III
27	13.7	21.5	16.0	17.1	0.8	716.1	715.1	715.1	81	44	75	S 1	SSW 1	S 1	9	5	9	0.1	∇ 15¼, △ I, III
28	14.8	20.4	15.1	16.8	0.4	714.4	712.7	711.9	80	47	66	S 0	NW 2	SE 1	9	3	9	.	△ I
29	13.6	17.1	13.9	14.9	–1.6	712.7	713.5	713.6	71	53	72	W 2	WSW 2	NNE 1	9	10	9	.	⸗ 1½–3
30	14.0	23.3	18.5	18.6	2.1	713.3	711.7	710.5	74	**38**	55	SSE 1	SSW 1	NE 1	2	1	9	.	△ I
Mittel	11.8	16.6	12.4	13.6	—	714.3	713.8	714.3	82	59	80				7.4	7.5	8.7	Summe 75.7	

*) 7. ⸗ 16¼–16½, ⸗ 16¾–17¼, △ I 8. ● 20½–21½, ⸗ 0 2¼ 13. ●tr 21¾, 23½–24 14. ≡ 11¾–12½

$\lambda = 6° 32'$, $\beta = 46° 51'$, Juni 1956

$H_b = 1601$ m, G = –0.16 mm

Chasseron

Beobachter: *J. Liardon*

Tag	Lufttemperatur 7³⁰	13³⁰	21³⁰	Mittel	Abweich. vom Normalst	Luftdruck 7³⁰	13³⁰	21³⁰	Relative Feuchtigkeit 7³⁰	13³⁰	21³⁰	Windrichtung und Stärke 7³⁰	13³⁰	21³⁰	Bewölkung 7³⁰	13³⁰	21³⁰	Niederschlag	Witterung
1	3.2	5.8	4.6	4.5	—	630.0	631.8	633.5	100	100	100	NNW 2	N 2	N 2	10≡	9	10≡	1.6	☂ 9–11 mU, ● 14–18, ≡ n–
2	5.2	6.0	6.0	5.7	—	634.3	635.0	634.8	90	100	100	E 2	ENE 2	NNE 1	4	10	10	.	≡ n–6 [11¾, 14½–n
3	7.0	10.4	8.4	8.6	—	634.2	634.2	633.0	100	72	100	NNW 1	WNW 1	S 2	10	8	4	.	
4	9.0	**13.8**	13.7	12.2	—	630.8	630.5	629.9	71	56	**43**	SSW 2	S 3	SW 3	7	6	6	0.0	∇ 18¾
5	8.6	12.2	10.4	10.4	—	630.0	631.0	631.3	77	71	88	WNW 5	W 3	ESE 2	5	7	6	0.0	∇ 22¾, ⸗ n–a
6	9.2	10.0	11.4	10.2	—	630.6	631.6	631.7	94	70	75	SE 3	WSW 3	WSW 3	9	9	6	4.3	● 12–13½, n (6./7.)
7	9.0	9.4	–1.2	5.7	—	630.3	628.6	**627.2**	100	100	100	SW 3	W 2	NNW 6	10	9	10	**22.9**	● 10½–19 mU, ✳ 21½–n, *)
8	–1.4	0.0	0.0	–0.5	—	629.0	629.0	628.1	100	100	100	W 3	W 3	NNW 4	10≡	9	10≡	10.9	✳ n–7½, n (8./9.) *) ⊛
9	**–1.6**	0.0	–0.4	–0.7	—	628.6	630.1	630.2	100	100	100	NNW 3	W 2	W 2	10*≡	10≡	10≡	1.5	✳ n–9½, ● ✳ 9½-16 mU, ⊛
10	0.0	4.2	3.4	2.5	—	629.8	630.8	630.9	100	94	84	S 2	SE 2	W 2	4	6	7	0.3	∇ 15½ [≡ n–n ⊛
11	4.4	8.4	4.8	5.9	—	630.3	629.6	629.6	84	75	100	S 2	NW 1	NW 3	7	8	10	13.1	∇ 15¾–18½, ≡ 16–20½ mU
12	3.2	6.0	7.2	5.5	—	630.3	632.7	633.6	100	100	100	WSW 5	WSW 3	WNW 2	9	10≡	10☂≡	5.8	☂ 10½ n mU, ≡ n-7, 12 n,
13	7.6	8.2	6.0	7.3	—	634.6	**636.1**	634.9	100	100	100	WNW 2	WNW 2	WNW 2	10☂≡	10≡	10≡	2.0	☂ n-12 mU, ≡ n-n [⸗ n-a
14	4.0	6.4	4.0	4.8	—	634.2	634.2	633.1	100	83	100	N 2	WNW 2	WNW 3	9	9	10≡	6.2	☂ n-9 mU, ● 18½-20½ mU, ≡ 16-n
15	1.2	2.4	1.4	1.7	—	632.2	633.7	634.1	100	87	77	NNW 4	W 2	N 3	10≡	9	5	0.0	∇ 12-13¾, ▲ 12, ≡ n-9¾, ⸗ n-a
16	3.2	7.4	5.4	5.3	—	632.3	631.9	631.3	76	77	89	SE 2	WNW 1	WNW 3	3	9	10	2.0	● n (16./17.)
17	4.6	4.6	3.0	4.1	—	629.3	628.9	628.8	100	100	100	SW 4	W 3	WNW 4	10●≡	10≡	10≡	17.0	● n-n mU, ≡ n-n, ⸗ n-p mU
18	2.8	4.0	4.0	3.6	—	629.5	631.2	632.8	100	100	100	NNW 3	NW 3	WNW 3	10☂≡	10☂≡	10☂≡	2.8	☂ ≡ n–n
19	4.6	7.6	6.8	6.3	—	633.8	634.3	634.7	100	100	100	N 2	NW 2	N 2	10≡	7	10≡	.	≡ n–11, 20–n
20	7.0	7.2	5.4	6.5	—	633.8	633.2	632.0	100	100	100	WNW 2	WNW 3	NW 4	10☂≡	10●≡	10●≡	10.4	☂ 7½, ● 10½ n mU, ≡ 6½ n, [⸗ p-n
21	0.8	3.4	2.2	2.1	—	632.2	633.3	633.3	100	89	86	N 2	NW 3	N 3	0	8	7	0.0	●tr 20
22	2.2	4.0	0.5	2.2	—	632.4	632.7	632.8	100	80	100	N 2	NW 2	NNE 2	8	9	9≡	1.2	∇ 15¾-15¾, 18-n mU, ≡ n-7, 17-n
23	0.9	5.7	4.9	3.8	—	632.9	634.1	633.5	100	85	100	ENE 3	NE 2	NE 2	5	9	10≡	.	≡ n–7 mU, 17½–n
24	5.1	4.8	4.0	4.6	—	631.4	631.0	630.6	86	95	93	ENE 2	NNW 3	N 2	2	10	6	0.5	∇ 11, 12¾, ≡ 20¾–n mU, △ I
25	3.8	6.6	4.7	5.0	—	629.6	630.5	631.4	90	89	100	NNE 1	NW 2	NNW 2	7	9	10≡	.	≡ 17½–21½
26	7.2	9.4	7.9	8.2	—	632.2	633.3	633.9	74	77	90	WSW 1	NW 2	NNW 2	3	7	2	.	
27	8.7	11.8	10.0	10.2	—	634.2	634.6	634.0	92	81	83	NNW 1	NW 3	NW 3	7	6	2	0.2	∇ 11, △ I
28	8.0	10.0	8.7	8.9	—	633.1	632.5	631.5	95	80	82	NW 2	NW 3	NW 3	4	6	5	.	△ I, ⸗ a-n mU
29	4.6	9.9	7.8	7.4	—	630.7	632.0	632.1	100	73	86	WNW 4	NW 3	NW 3	10≡	9	5	.	≡ n-5¾, ⊕ a-p, ⸗ n-p mU,
30	9.2	12.8	13.4	11.8	—	631.5	631.5	630.5	73	76	61	NW 1	SSE 1	SW 1	2	3	3	0.4	● n (30./1.) [⸗ I
Mittel	4.7	7.1	5.6	5.8	—	631.6	632.1	632.0	93	91	91				7.2	8.4	7.8	Summe 103.1	

*) 7. ⸗ 17–19, ≡ p–n, ⸗ p–n 8. ✳ ● a-p mU, ≡ n-n mU, ⸗ p-n

Juni 1956
Beobachter: *Stationspersonal Rh. B.*

Bever

$\lambda = 9° 53'$, $\beta = 46° 33'$,
$H_b = 1711.8$ m, G = –0.26 mm

Tag	Lufttemperatur 7³⁰	13³⁰	21³⁰	Mittel	Abweich. vom Normalst	Luftdruck 7³⁰	13³⁰	21³⁰	Relative Feuchtigkeit 7³⁰	13³⁰	21³⁰	Windrichtung und Stärke 7³⁰	13³⁰	21³⁰	Bewölkung 7³⁰	13³⁰	21³⁰	Niederschlag	Witterung
1	6.0	7.9	7.6	7.2	–1.0	619.0	620.0	622.7	82	71	68	NE 0	N 0	E 1	10	10●	10	0.0	● 11½–p mU
2	7.6	10.6	8.0	8.7	0.4	624.3	623.7	625.2	74	47	79	SE 0	SW 1	NE 0	8	5	6	.	
3	7.1	16.5	7.0	10.2	1.8	625.1	623.7	624.2	90	43	67	SW 0	W 1	W 0	7	6	2	.	
4	8.8	14.7	9.1	10.9	2.4	623.7	622.7	623.3	80	60	88	SW 0	SW 2	SW 0	5	7	3	.	
5	6.8	16.4	9.2	10.8	2.2	623.2	622.7	623.5	89	50	95	SW 0	SW 2	SW 0	2	7	6	.	
6	7.6	**17.0**	10.2	11.6	2.9	623.8	623.3	624.6	93	36	86	NW 0	SW 0	SW 0	1	5	1	.	
7	10.6	14.0	7.9	10.8	2.0	623.6	623.0	620.1	82	61	96	SW 0	SW 1	SW 0	6	9	10●	15.1	● 18½–n mU
8	–0.8	–1.1	**–1.6**	–1.2	–10.1	619.1	619.3	619.1	97	96	100	E 0	NE 0	NE 0	10*≡	10*	10*	**26.2**	✳ n–n, ≡ n–a
9	–0.8	6.3	0.4	2.0	–7.0	618.7	619.8	621.3	95	50	83	S 0	NW 0	NW 0	10*≡	7	2	0.0	✳ ≡ n–9½ ⊠
10	–1.4	6.1	2.0	2.2	–6.9	621.6	622.3	624.2	83	69	90	NW 0	W 0	SW 0	3	5	4	.	⊠
11	5.1	7.5	1.4	4.7	–4.5	623.6	621.6	621.7	74	69	100	W 0	SW 1	SW 0	10	10●	10*	11.0	● 13½–15, 15–21, ✳ 21–n
12	3.3	13.0	8.0	8.1	–1.2	621.8	623.0	625.7	93	64	80	SW 0	SW 0	N 0	4	5	2	.	
13	7.0	16.0	9.7	10.9	1.5	625.9	625.0	**626.2**	81	40	87	NW 0	SW 0	SW 0	3	7	5	.	
14	9.3	12.9	8.6	10.3	0.8	624.9	623.9	619.6	86	70	90	SW 0	SW 0	NE 0	10	9	10●	4.0	● 8½–10, 21½–n
15	7.0	9.0	4.0	6.7	–2.9	622.3	623.3	624.4	86	60	65	E 0	NE 2	NW 2	10	5	9	1.8	● 11–12, ⌫ 10½–11
16	1.7	13.0	7.5	7.4	–2.3	623.8	620.8	621.8	72	**30**	80	SW 0	NW 1	NW 1	0	4	10	.	⌴ I
17	7.4	6.1	5.8	6.4	–3.4	621.3	621.2	**618.5**	82	95	100	W 0	NW 1	SW 1	10	10	10	5.9	● 10½–15¼ mU
18	6.5	7.2	6.8	6.8	–3.1	618.8	619.1	621.4	74	70	70	E 0	SW 1	SW 0	10	10	10	0.0	●tr p mU
19	7.2	10.2	8.5	8.6	–1.4	623.9	622.3	624.4	73	62	65	E 0	E 1	SW 0	10	10	10	.	
20	4.5	13.8	6.0	8.1	–2.0	624.0	622.5	621.8	87	55	95	SW 0	E 1	SW 0	3	10	10	3.5	● 18–n mU. ⌴ I
21	2.0	5.2	1.2	2.8	–7.3	621.5	622.1	621.7	82	60	100	NW 0	E 1	N 0	10*≡	10	10	2.2	✳fl 5¾–9¼, p, ≡ 5¾–9¼
22	2.5	4.7	3.0	3.4	–6.8	620.6	624.0	622.9	75	60	63	SW 1	W 0	N 0	10	9	5	0.0	✳fl 7½–8½
23	2.8	7.9	5.0	5.2	–5.1	623.2	623.1	623.5	75	61	83	E 0	NW 0	NE 0	4	5	9	.	
24	4.9	11.1	3.0	6.3	–4.1	621.4	619.6	619.4	87	45	100	SE 0	E 1	SW 0	9	8	10	17.8	● 20–n, ✳ n (24./25.)
25	1.0	8.1	4.8	4.6	–5.8	620.5	619.4	619.8	97	57	85	SE 0	SE 0	SW 0	10	10	10	0.0	● 20–20½
26	4.5	12.8	9.9	9.1	–1.4	623.7	622.3	623.8	83	50	70	SW 0	NE 0	SE 0	9	9	10	.	
27	5.8	9.4	6.4	7.2	–3.4	624.3	624.5	624.8	90	92	100	SW 0	NE 0	NW 0	4	8●	9	0.3	● 13¼–p mU
28	5.8	13.9	6.8	8.8	–1.8	622.6	622.1	622.3	93	41	100	N 0	NW 0	W 0	8	7	8	2.4	● p, ▲ 13½–13¾, ⌫ 18½–18¾
29	3.6	15.2	6.8	8.5	–2.2	621.3	621.3	621.7	100	90	85	SW 0	SW 0	E 0	4	4	4	.	⌓ I
30	6.0	15.2	9.0	10.1	–0.7	623.4	622.1	622.7	80	85	95	SW 0	SW 1	NE 0	1	5	4	0.4	● n (31./1.), ⌓ I
Mittel	5.0	10.7	6.1	7.2	—	622.5	622.1	622.5	84	61	86				6.7	7.5	7.3	Summe 90.6	

Juni 1956
Beobachter: *Couvent des Capucins*

Sion

$\lambda = 7° 22'$, $\beta = 46° 14'$,
$H_b = 548.6$ m, G = –0.14 mm

Tag	Lufttemperatur 7³⁰	13³⁰	21³⁰	Mittel	Abweich. vom Normalst	Luftdruck 7³⁰	13³⁰	21³⁰	Relative Feuchtigkeit 7³⁰	13³⁰	21³⁰	Windrichtung und Stärke 7³⁰	13³⁰	21³⁰	Bewölkung 7³⁰	13³⁰	21³⁰	Niederschlag	Witterung
1	14.0	18.2	13.1	15.1	–1.3	715.0	715.6	717.9	79	60	87	ENE 0	WSW 3	W 3	9	8	10	.	⌯ a–n
2	16.9	21.0	16.1	17.7	1.2	719.2	717.4	718.6	70	55	69	W 0	WSW 2	W 0	8	9	7	.	
3	15.8	22.8	17.4	18.7	2.1	718.7	716.3	716.1	77	50	61	WSW 0	WSW 1	W 0	1	3	1	.	
4	15.8	**25.9**	19.6	20.4	3.7	715.7	712.7	713.1	74	**38**	52	N 0	N 1	N 1	3	3	1	.	⌓ I
5	18.2	25.6	17.6	20.5	3.7	714.6	712.8	714.1	67	50	90	NE 1	W 2	ENE 2	0	4	10●	**4.3**	⌫ ● 19¾–21½, ⌓ I
6	16.4	20.4	17.6	18.1	1.2	715.0	714.5	715.5	82	70	75	ENE 0	WSW 2	ENE 2	9	10	8	.	
7	17.8	24.2	13.2	18.4	1.4	714.8	**711.1**	712.3	73	41	84	ENE 1	ENE 3	W 4	4	5	10	2.8	● 21½–23½, ●tr 23½–24, *)
8	10.4	16.2	**8.8**	11.8	–5.3	715.3	713.5	715.9	73	46	96	WSW 1	WSW 2	W 0	2	8	10	1.3	●tr 0–0¾, 18¼–20, 22¾
9	8.9	17.5	9.4	11.9	–5.3	715.6	714.9	716.4	92	47	77	SW 2	SW 2	W 2	10	8	1	.	● 6–7¼
10	9.6	16.9	12.6	13.0	–4.3	716.4	715.7	716.5	87	52	71	W 0	SW 1	W 0	10	7	2	.	⌓ I
11	11.2	19.4	15.2	15.3	–2.0	716.3	713.5	714.2	86	43	71	W 0	SE 0	W 0	7	10	7	.	⌓ I
12	16.5	17.9	15.2	16.5	–0.9	716.2	716.9	718.7	76	72	82	W 0	WSW 2	W 0	3	10	10	.	⌓ I
13	16.1	23.9	17.1	19.0	1.5	**719.4**	716.8	718.5	83	54	81	W 0	NW 0	W 1	7	6	8	.	⌓ I
14	16.9	18.4	15.3	16.9	–0.7	718.4	716.9	717.0	80	66	73	NW 0	W 3	SW 0	9	9	5	0.4	⌓ I, ⌯ a–p
15	14.5	19.7	11.6	15.3	–2.4	717.3	717.7	718.9	79	44	64	NW 3	W 3	NW 3	6	7	2	.	●tr 1¼–1¾, 4¼–5¼, ⌯ n–n, [⌯ 8¾
16	11.3	18.6	14.1	14.7	–3.1	718.7	715.3	716.0	75	48	70	NE 0	W 1	W 1	1	8	5	0.4	⌓ I
17	14.9	18.6	14.0	15.8	–2.1	715.2	713.1	713.9	77	65	75	W 0	WSW 1	WSW 0	8	8	10	0.2	● 3¾–5¼, ●tr 13¼, 16¼–16¾,
18	13.8	17.8	12.4	14.7	–3.2	714.5	714.6	717.5	80	61	82	WSW 1	W 3	W 1	10	8	7	.	⌯ a–p [19¼–19¾
19	14.2	21.2	15.6	17.0	–1.0	718.9	716.8	717.8	79	49	70	WSW 0	W 1	E 2	10	5	2	.	
20	15.2	21.5	16.0	17.6	–0.5	718.2	715.9	715.7	86	57	80	E 0	W 3	W 2	3	6	10	2.3	● 17½–18, 22¼–24, ⌯ a–n mU
21	14.1	20.4	13.2	15.9	–2.3	716.7	715.9	717.6	76	42	50	WSW 1	SW 3	E 0	2	6	5	.	● 0–2½. ⌯ a–p
22	12.7	17.6	11.7	14.0	–4.3	717.7	716.3	717.5	68	43	79	NW 0	WSW 1	W 2	2	10	5	0.1	● 18¼–18½, ⌓ I
23	11.8	19.4	15.8	15.7	–2.7	718.9	716.7	716.3	75	46	63	NNW 1	WSW 2	WSW 0	2	1	7	.	
24	13.9	19.6	12.7	15.4	–3.0	716.1	713.5	714.9	76	52	88	W 0	WSW 2	W 0	2	9	7	0.6	● 16¾–18¼ mU, ⌓ I
25	13.7	20.7	14.7	16.4	–2.1	715.0	713.8	715.4	82	40	67	W 0	WSW 1	WNW 0	8	7	5	.	⌓ I
26	14.8	21.6	17.3	17.9	–0.7	717.1	715.8	717.4	82	53	65	W 0	WSW 2	WSW 0	7	8	1	.	⌓ I
27	16.0	24.0	17.2	19.1	0.4	718.6	716.7	717.2	76	47	64	WSW 0	WSW 3	W 0	1	6	4	.	⌯ a–p
28	16.4	24.7	18.8	20.0	1.2	717.4	714.3	714.9	70	47	55	ENE 0	W 2	W 2	0	2	2	0.2	● 19¼–19½, ⌓ I
29	17.8	25.3	18.8	20.6	1.8	715.3	714.4	715.4	65	40	56	WSW 0	WSW 2	WSW 0	0	5	0	.	
30	16.9	25.8	19.6	20.8	1.9	716.1	713.0	712.9	67	45	57	ENE 1	WSW 1	WSW 1	0	0	3	.	*) 7. ⌓ I, ⌯ a–n, ⌯ III
Mittel	14.5	20.8	15.1	16.8	—	716.7	715.1	716.1	77	51	72				4.8	6.5	5.5	Summe 12.6	

$\lambda = 8° 58'$, $\beta = 46° 00'$,
$H_b = 276.2$ m, $G = -0.04$ mm

Lugano

Juni 1956
Beobachter: *G. Vicari*

Tag	Lufttemperatur 7³⁰	13³⁰	21³⁰	Mittel	Abweich. vom Normalst	Luftdruck 7³⁰	13³⁰	21³⁰	Relative Feuchtigkeit 7³⁰	13³⁰	21³⁰	Windrichtung und Stärke 7³⁰	13³⁰	21³⁰	Bewölkung 7³⁰	13³⁰	21³⁰	Niederschlag	Witterung
1	13.4	24.2	21.4	19.7	2.3	734.0	**732.8**	735.4	74	34	35	NW 1	NNE 2	NNE 2	1	6	9	.	
2	19.4	26.8	19.6	21.9	4.4	737.4	737.8	740.3	44	47	66	NNE 1	SSE 1	N 1	1	1	10	.	
3	18.2	26.2	20.8	21.7	4.0	740.6	739.7	738.3	72	44	65	N 1	S 1	NNE 1	8	1	1	0.6	⛆ n (3./4.)
4	17.4	23.2	19.2	19.9	2.1	739.3	738.7	738.2	85	66	71	N 1	SE 1	N 1	10●	7	3	0.0	● 7–7½, a
5	17.4	26.6	20.6	21.5	3.6	738.6	738.0	738.2	85	52	63	ENE 1	S 1	N 1	6	5	1	.	
6	17.8	26.6	21.4	21.9	3.9	739.9	739.2	739.7	78	47	59	S 1	S 1	N 1	3	2	10	.	
7	18.6	23.4	20.4	20.8	2.6	739.3	737.4	734.0	75	56	74	NNW 1	S 1	N 1	8	10	10	27.8	●tr 20, n (7./8.)
8	**10.2**	12.8	12.4	11.8	−6.5	733.6	734.1	734.6	72	46	45	N 2	N 2	NNE 1	9	9	9	0.4	● 6–7, 8–9½
9	13.2	20.4	15.6	16.4	−2.0	734.5	734.7	736.7	51	**29**	33	NNE 1	ENE 1	N 1	1	4	0	0.1	● n (9./10.)
10	11.4	17.8	12.4	13.9	−4.6	739.8	741.3	**742.3**	73	57	74	WNW 1	SW 1	N 1	10●	5	10	2.7	● 7–11½ mU, 15–16
11	13.4	13.8	11.2	12.8	−5.8	741.8	740.5	739.0	74	92	97	NW 1	SW 1	W 1	10	10●	10●	**30.0**	● a–n mU
12	12.2	22.4	16.6	17.1	−1.7	739.2	739.3	740.7	88	55	68	W 1	S 1	N 1	8	1	0	.	
13	14.4	26.2	16.8	19.1	0.2	741.4	740.5	740.8	85	53	71	NNE 1	S 1	N 1	1	3	1	0.0	●tr 15
14	16.6	23.8	17.4	19.3	0.3	740.7	739.4	738.3	86	56	83	SSW 1	NNW 1	N 1	8	6	10	3.5	⛆ 11¾, 20, ● 18–18½
15	15.8	25.2	18.4	19.8	0.7	737.3	736.2	738.6	85	54	31	SE 1	S 1	NNE 2	3	5	4	0.4	⛆ 11–11½
16	14.2	22.4	18.2	18.3	−0.9	739.8	739.1	738.8	44	45	63	NNE 1	S 1	S 1	3	9	10	3.6	● n (16./17.)
17	14.2	17.8	16.4	16.1	−3.2	738.2	737.0	735.6	97	57	75	N 1	E 1	N 1	10●	9	10●	28.5	● 7½–11½, 19½–n, ⛆ 16
18	13.8	18.8	16.4	16.3	−3.1	733.8	734.3	736.4	91	68	85	W 1	S 1	NNW 1	9	9	6	.	
19	19.4	**27.8**	21.4	22.9	3.4	736.8	736.5	737.3	38	**29**	35	N 2	N 2	N 1	0	0	0	.	
20	15.8	26.4	21.8	21.3	1.7	737.7	735.9	734.1	61	45	62	NNE 1	S 1	N 1	1	10	8	.	
21	18.2	22.8	18.8	19.9	0.2	736.0	736.0	736.7	35	32	39	NNE 2	ENE 2	N 1	1	1	0	.	
22	14.6	21.0	16.8	17.5	−2.3	737.4	736.6	738.3	52	32	39	S 1	E 2	N 2	1	5	1	.	
23	14.4	23.4	20.2	19.3	−0.6	739.0	736.8	737.0	57	39	41	ESE 1	S 1	N 1	2	5	0	.	
24	15.2	24.4	16.2	18.6	−1.4	737.0	735.2	736.0	70	48	61	E 1	S 1	N 2	8	3	10	2.3	● n (24./25.)
25	13.8	23.6	13.4	16.9	−3.2	736.1	735.8	738.4	69	44	84	N 1	S 1	N 1	9	4	0	2.4	⛆ 14½, 16½
26	12.4	24.8	17.6	18.3	−1.9	739.4	738.6	739.8	74	48	61	NE 1	S 1	NNW 1	0	3	0	.	
27	15.4	26.4	17.6	19.8	−0.5	740.8	739.1	739.1	81	49	91	SSW 1	S 1	N 1	0	4	1	2.2	⛆ ⛆ 17–17½
28	15.2	25.4	19.2	19.9	−0.5	738.5	737.1	736.4	77	54	73	NNW 1	S 1	N 1	0	1	4	0.8	⛆ 15
29	16.2	25.8	19.4	20.5	0.0	736.5	735.5	736.5	77	51	62	S 1	S 1	N 1	1	5	0	.	
30	16.2	26.2	17.4	19.9	−0.7	739.1	738.3	737.8	74	55	95	NE 1	E 1	N 1	1	8	8	5.7	⛆ 17, ● 18–19, n (30./1.)
Mittel	15.3	23.2	17.8	18.8	—	738.1	737.4	737.8	71	49	63				4.4	5.0	4.9	Summe 111.0	

$\lambda = 7° 35'$, $\beta = 47° 33'$,
$H_b = 317.3$ m, $G = -0.08$ mm

Basel

Juni 1956
Beobachter: *Astronom.-Meteorol. Anstalt*

Tag	Lufttemperatur 7³⁰	13³⁰	21³⁰	Mittel	Abweich. vom Normalst	Luftdruck 7³⁰	13³⁰	21³⁰	Relative Feuchtigkeit 7³⁰	13³⁰	21³⁰	Windrichtung und Stärke 7³⁰	13³⁰	21³⁰	Bewölkung 7³⁰	13³⁰	21³⁰	Niederschlag	Witterung
1	15.1	16.9	13.0	15.0	0.4	734.6	735.3	739.2	74	69	80	W 1	WNW 2	WNW 1	9	10	10	3.5	● 14¾–15½, ⸗ 13¾
2	12.0	17.8	13.8	14.5	−0.2	**740.5**	740.0	739.2	90	67	81	W 0	NNW 1	SW 1	10	10	8	.	
3	15.2	22.4	13.9	17.2	2.4	738.7	737.5	735.9	78	52	84	SE 0	W 1	SSW 1	9	6	0	.	
4	15.4	**26.1**	19.2	20.2	5.3	734.0	731.7	731.0	76	50	77	ESE 1	WNW 1	ESE 1	7	6	8	0.0	● 14¾, 16
5	18.5	24.2	15.6	19.4	4.4	733.0	732.9	733.7	65	55	77	SSE 1	NW 1	WNW 0	3	8	7	6.6	● 15¼–16½ mU
6	16.6	22.6	17.1	18.8	3.7	733.3	733.4	734.2	88	64	71	SE 1	NW 1	NW 0	7	7	5	4.0	● 1-1¾, a mU, p mU, ⛆ 1-1¾
7	17.1	21.9	8.6	15.9	0.7	733.3	**730.6**	733.9	89	69	90	ESE 1	NE 1	W 3	9	10	10●	**23.7**	●1¼-5, 15½-24 mU, ⛆ 1¼-1¾, 15½-16,
8	9.5	15.1	9.5	11.4	−3.9	735.4	734.0	734.4	75	52	77	W 1	WNW 1	SW 1	10	9	8	0.8	● 0-0¾, 22½-23¼, ⛆ 16¾-17 [⸗ p-n
9	8.2	14.6	**7.5**	10.1	−5.3	735.0	735.5	736.5	84	59	82	WSW 1	W 1	SW 1	10	8	0	0.0	● 4¾–6, 12½–12¾
10	11.1	17.3	10.7	13.0	−2.5	736.1	735.8	736.2	76	54	84	S 1	WNW 1	SSW 0	1	6	10	0.0	⛆ ● 18–18¼
11	13.3	21.6	15.2	16.7	1.1	735.4	733.3	733.6	75	50	70	ENE 0	NW 1	WSW 1	1	7	10	0.0	● 8¼
12	13.6	14.3	15.4	14.4	−1.3	734.7	736.1	738.4	71	83	80	W 1	ESE 1	WSW 1	10	10	10	0.8	●tr 7½
13	15.2	19.4	14.1	16.2	0.4	738.8	738.9	739.9	91	74	81	SW 1	WNW 1	WNW 1	10	10	10	1.9	● 5½–6½
14	11.7	15.7	12.8	13.4	−2.5	739.7	739.1	737.8	91	66	89	NW 0	E 1	ESE 1	10●	10	10	7.5	● 4¾–7¼, 11–11¼, 15¼
15	11.3	14.1	9.4	11.6	−4.4	738.3	739.0	740.1	90	62	73	WSW 1	W 1	N 0	10●	9	2	0.0	● 0–3¾, 7½, ⸗ 14
16	9.2	19.4	11.4	13.3	−2.8	738.9	736.6	735.5	76	**45**	78	E 1	SE 1	NNW 0	0	8	8	0.1	
17	10.9	14.1	12.9	12.6	−3.6	734.4	733.4	733.5	89	92	83	ESE 1	ESE 1	WSW 1	10	10●	10	7.4	● 3¾–5 mU, 9–10, 11½–15,
18	12.7	13.4	12.2	12.8	−3.5	734.4	736.1	738.1	80	78	78	W 1	WNW 1	SW 1	10	10	10	0.0	[16–16¾
19	12.3	16.5	12.8	13.9	−2.5	739.2	739.0	738.7	90	72	84	WSW 0	NNW 1	S 1	10	10	1	0.0	
20	13.9	17.3	12.4	14.5	−2.0	737.5	736.4	737.6	84	78	92	E 1	WSW 1	WNW 1	10●	10	10●	2.0	● 7½, ● 18–22¼
21	11.8	16.0	12.1	13.3	−3.3	738.5	738.7	739.0	74	54	73	NW 1	NNW 1	W 1	3	8	10	0.2	● 23¾–24
22	11.2	14.1	8.9	11.4	−5.3	738.7	738.8	740.1	80	56	91	NW 1	NW 1	WNW 1	8	9	10	0.6	● 0–0¾, 17¼–19¼
23	10.8	15.1	10.5	12.1	−4.6	740.3	739.8	738.5	83	71	93	W 0	W 0	S 1	9	10	7	0.0	● 16–18 mU
24	12.0	16.4	10.9	13.1	−3.7	736.7	736.0	735.6	88	60	80	ESE 0	NW 1	W 0	9	9	7	.	
25	10.5	18.2	12.5	13.7	−3.2	735.2	735.1	736.5	85	61	75	SE 0	WNW 1	WNW 1	4	9	10	0.0	● 17¼–17¾
26	14.6	19.2	13.7	15.8	−1.2	737.2	737.2	737.6	80	59	91	SSE 1	NW 1	SSW 1	1	10	0	.	
27	14.8	24.1	17.0	18.6	1.5	737.9	737.0	736.9	76	47	75	E 1	W 2	WSW 1	9	2	0	.	
28	16.1	22.5	17.3	18.6	1.5	736.8	735.1	733.8	81	52	67	SSW 1	WNW 2	SSW 1	1	2	8	.	
29	14.8	18.2	13.9	15.6	1.6	734.9	735.6	735.4	79	67	83	W 1	WNW 1	SSW 1	9	10	7	.	
30	14.8	25.1	17.3	19.1	1.8	735.2	733.6	732.3	74	57	84	ESE 1	WNW 1	ESE 1	2	1	0	0.0	
Mittel	13.1	18.5	13.0	14.9	—	736.6	736.0	736.4	81	63	81				7.1	8.1	6.9	Summe 59.1	

Juni 1956
Beobachter: *Observatorium*

Säntis

$\lambda = 9° 21'$, $\beta = 47° 15'$,
$H_b = 2500.1$ m, $G = -0.29$ mm

Tag	Lufttemperatur 7³⁰	13³⁰	21³⁰	Mittel	Abweich. vom Normalst	Luftdruck 7³⁰	13³⁰	21³⁰	Relative Feuchtigkeit 7³⁰	13³⁰	21³⁰	Windrichtung und Stärke 7³⁰	13³⁰	21³⁰	Bewölkung 7³⁰	13³⁰	21³⁰	Niederschlag	Witterung
1	−0.7	−0.2	−0.6	−0.5	−2.0	562.1	563.6	565.9	100	100	100	N 2	W 2	N 2	10=*	10≡	10≡*	24.6	△▽ 5¾–7½, ✳ 7½–11, *)
2	−1.1	1.4	0.6	0.3	−1.3	566.8	567.5	567.6	100	100	98	NNE 1	NE 2	SW 1	10≡	10≡	1	.	≡ n–21¼
3	1.2	4.4	2.3	2.6	0.9	566.9	567.2	566.5	83	84	98	W 1	W 1	SW 2	10	10■	1	.	≡ 9–11 mU, 11–20½
4	6.7	9.6	5.2	7.2	5.4	565.3	565.2	565.3	56	73	72	SW 2	SSW 2	SW 2	2	8	4	.	≡ 17½–19
5	7.5	9.2	5.8	7.5	5.6	565.2	565.7	566.0	62	84	100	W 2	S 1	ESE 2	1	10≡	10≡	.	≡ 11½–15½, 15½–16½ mU, 19¾–n
6	7.5	**10.2**	4.7	7.5	5.5	565.3	566.0	566.7	60	**55**	78	SSW 2	SSW 2	S 2	5	5	8	4.7	▽ 15¾, 17–19¾, ⊼ 13¾–17, ≡ 15¾-
7	5.7	8.3	4.8	6.3	4.2	565.2	564.2	561.6	75	56	82	SSW 3	S 3	ESE 2	4	7	9	13.4	✳ n (7./8.) [16¾
8	**−6.7**	−5.5	−5.4	−5.9	−8.0	560.3	560.2	560.4	100	100	100	W 3	WSW 3	WNW 2	10=*	10=*	10=*	29.9	✳ n–17 mU, 19¼–n, ≡ n–n
9	−5.8	−3.0	−5.2	−4.7	−6.9	**559.9**	561.0	562.4	100	100	100	WNW 2	WSW 3	WSW 2	10=*	10≡	10≡	8.8	✳ 9–12½, ≡ n–n, ⋁ n–10
10	−0.8	1.9	−2.1	−0.3	−2.6	561.7	563.4	564.3	80	83	98	S 2	SSW 2	SSW 2	1	7	1	0.1	△ ▽ 15¾, ≡ 14½–16, 16–18 mU
11	1.3	4.8	0.4	2.2	−0.2	563.8	563.3	562.7	74	64	87	S 2	SSW 2	WSW 2	6	9	9	10.3	✳ 14¾–15, n (11./12.)
12	−0.4	1.4	2.1	1.0	−1.5	563.2	565.3	567.2	100	96	100	WSW 2	WSW 3	W 3	10≡	10≡	10≡	0.9	✳ n–5½, ● 14½–11¾, ≡ n–n mU
13	2.8	7.2	3.3	4.4	1.8	567.9	568.5	**568.7**	100	75	94	WSW 2	WSW 1	WSW 1	10≡	10≡	10≡●	12.5	● 8¼–8¾, 19¾–n, ≡ n–10, *)
14	2.2	7.6	0.4	3.4	0.7	567.2	566.8	566.0	94	82	100	SSW 2	SSW 1	W 2	10●	10≡	9	9.4	● n–10½, 17½–18, ✳ 18–19¾, *)
15	−2.2	−4.9	−4.6	−3.9	−6.7	564.5	564.6	565.8	100	97	100	WNW 2	WNW 3	WNW 2	10=*	10	10=*	8.7	✳ 5¾–8¾, 11½–12½, *)
16	−0.1	2.8	−0.8	0.6	−2.2	564.5	564.4	564.2	63	57	97	SW 1	SSW 1	W 3	1	9	10	0.3	✳ n (16./17.), ≡ 14–20½ mU, *)
17	3.1	3.4	−0.8	1.9	−1.0	563.1	562.8	562.0	84	82	100	SW 2	WSW 1	WSW 3	10	10≡	10≡	20.6	✳ 7¾–8½, 13¾–19½ mU, *)
18	−1.7	0.0	−0.7	−0.8	−3.8	561.6	563.4	565.2	100	100	100	W 3	WNW 1	W 3	10=*	10≡	10≡	8.5	✳ n–9¾, ⚲ 10½–11½, *)
19	−0.8	0.3	0.6	0.0	−3.1	566.1	566.8	567.8	100	100	100	N 2	N 1	WNW 1	10≡	10≡⚲	10≡	0.1	⚲ 11½–14½, ≡ n–16 mU, 20½–n
20	1.0	1.8	−1.4	0.5	−2.7	566.1	565.2	564.0	94	100	100	W 2	W 3	W 2	10≡	10≡⚲	10≡*	**50.6**	⚲ 11–14¼, ● 14¼–17¾, *)
21	−5.4	−3.6	−4.5	−4.5	−7.8	563.2	563.9	564.4	98	100	100	NW 3	WNW 2	NW 2	10≡	10≡△	10≡	21.7	△ 12¾, △▽ 13¼–20½ mU, ≡ n–n
22	−4.6	−3.6	−4.7	−4.3	−7.7	563.6	563.7	564.6	100	98	98	W 2	W 2	N 2	10≡	10≡*	10≡	13.2	✳ n–7, △▽ 9¾–17½, ▽ 19¾–19¾, *)
23	−4.9	−0.8	−0.6	−2.1	−5.6	564.8	565.9	565.7	98	100	100	NE 3	N 3	N 2	9	10■	10≡⚲	2.1	⚲ 19½–n, ≡ n–10 mU, 10¾–n
24	−1.2	0.6	−2.9	1.2	−4.7	563.5	563.3	562.9	98	85	100	W 2	WSW 1	W 1	10≡	10≡	10≡	7.7	△ 9¾–9¾, 12¾, 16, ✳ n (24./25.), *)
25	−2.4	1.6	−2.2	−1.0	−4.6	562.0	562.7	564.2	100	83	100	W 2	SW 1	W 2	10≡	10≡△	10	4.6	▽ 12–12½, △▽ 13¼–15¼, ⊼ 14, ≡ n- [8¾, 11–n mU
26	−1.0	1.7	1.0	0.6	−3.1	564.6	565.7	566.7	100	99	100	WSW 2	W 2	W 3	10≡	10≡	10≡	0.3	≡ n–n
27	0.6	3.8	2.4	2.3	−1.5	566.7	567.3	567.1	100	93	100	WSW 3	WSW 2	WNW 2	9≡	10≡	10≡	2.1	▽ 15¾, ≡ n–n mU
28	1.6	2.4	0.9	1.6	−2.3	565.3	565.2	564.3	100	97	100	W 3	W 3	W 3	10≡	10≡	10≡	0.4	● n (28./29.), ≡ n–n
29	0.7	1.4	1.4	1.2	−2.8	562.9	564.2	565.3	100	100	100	WSW 3	WSW 3	W 3	10≡	10≡	10≡	0.4	⚲ a mU, ≡ n–n
30	3.0	8.6	5.9	5.8	1.7	565.1	565.7	565.6	64	81	93	WSW 3	SW 1	WSW 2	1	3	1	.	
Mittel	0.2	2.4	0.2	0.9	—	564.3	564.8	565.0	89	88	96				8.0	9.3	8.4	Summe 255.9	

Juni 1956
Beobachter: *E. Chiesa*

St. Gotthard (Hospiz)

$\lambda = 8° 34'$, $\beta = 46° 33'$,
$H_b = 2095$ m, $G = -0.27$ mm

1	1.3	1.8	1.2	1.4	−2.3	590.7	593.2	594.1	98	94	98	NW 2	NW 2	NW 3	10	10	10≡	1.7	● n (1./2.), ≡ 8-14¼ mU, 14¼-n, ✳
2	1.0	5.4	2.6	3.0	−0.8	595.4	595.8	595.8	99	75	100	NW 2	NW 2	NW 2	10≡	3	10≡	.	≡ n–12½, 14¾-n [⚲ p-n ✳
3	2.4	10.1	5.0	5.8	1.9	595.7	595.7	595.3	98	56	90	NW 1	NW 1	NW 0	10≡	6	9	.	≡ n–8¼ ✳
4	5.0	7.1	6.1	6.1	2.1	594.3	594.5	594.2	98	91	90	SE 1	SE 1	SE 1	10≡	10≡	10≡	.	≡ n–n ✳
5	6.8	9.7	6.6	7.7	3.6	594.0	594.5	594.9	95	71	92	SE 1	SE 1	SE 1	10	10	10≡	2.0	● 16¾–n mU, 21–n mU ✳
6	5.6	8.2	6.0	6.6	2.4	594.6	595.5	595.6	87	72	83	SE 2	SE 1	SE 1	10	10	10	1.4	● 17–20 ✳
7	5.3	6.5	5.8	5.9	1.6	594.7	593.6	590.3	94	90	94	SE 1	SE 2	SE 2	10	10●	10●	**95.9**	● 8–n, ✳ n (7./8.), ≡ a mU ✳
8	**−4.0**	−2.8	−3.0	−3.3	−7.7	589.5	589.8	**589.2**	95	96	98	NW 3	NW 2	NW 2	10≡	10≡	10≡	6.4	✳ 14¼-n mU, ≡ ⊹ n-n, ⚲ l, ✳
9	−3.1	0.0	−2.8	−2.0	−6.5	589.3	590.4	591.8	98	97	92	NW 2	NW 1	NW 1	10	10	10	1.4	✳ n (9./10.), ≡ n-n, ⊹ l | ⋁ III ✳
10	−1.8	1.2	0.0	−0.2	−4.8	591.7	592.9	594.1	71	90	92	SE 0	SE 0	SE 2	9	10●≡	10*	8.9	✳● 10½-p mU, ✳ p-n, ≡ 10½-n ✳
11	1.0	1.6	−0.3	0.8	−3.9	594.2	593.0	592.1	91	98	99	SE 2	SE 2	SE 1	10	10●≡	10*≡	8.8	✳● 8¼-n mU, ≡ 8¼-n [mU, ⊹ II ✳
12	1.8	9.8	5.1	5.6	0.8	592.7	594.5	596.2	89	51	90	NW 0	NW 1	NW 1	6	6	9	.	✳
13	5.7	**11.6**	5.5	7.6	2.7	596.3	596.9	**597.2**	80	**32**	98	NW 2	NW 0	NW 1	10	9	10≡	2.0	✳ n (13./14.), ≡ 17½–n ✳
14	5.8	10.2	1.4	5.8	0.8	596.3	596.0	595.4	91	82	98	SE 0	SE 0	NW 2	10	10	10	10.4	● 9¼–10¾, ✳ ≡ 14½–21 ✳
15	0.4	0.0	−0.2	−0.5	−5.6	593.7	593.8	594.8	98	98	98	NW 2	NW 2	NW 2	10*≡	10≡	10	1.3	✳ n-10, 20¼-n mU, n-20¼, ⊹ ⋁ III ✳
16	−2.2	9.6	3.0	3.4	−1.7	593.9	593.9	593.9	69	39	98	NW 1	SE 1	SE 1	0	6	9	2.9	● n (16./17.) ✳
17	3.2	4.9	1.9	3.3	−1.9	592.3	591.7	590.9	97	98	98	SE 2	SE 1	SE 1	10≡	10≡	10≡	6.8	● 15¼–17½, ≡ n–n ✳
18	0.6	3.0	1.2	1.6	−3.7	589.9	591.3	593.2	98	89	98	NW 2	NW 3	NW 3	10⚲≡	9	10⚲≡	1.0	⚲ ≡ n-a, 15½-n, ⚲ a-n ✳
19	1.4	4.6	2.6	2.9	−2.5	594.0	595.4	595.9	98	80	98	NW 2	NW 2	NW 2	10≡	9	10≡	.	≡ n-a, 14½-n ✳
20	3.0	3.3	1.8	2.7	−2.8	595.2	594.7	593.0	84	85	98	NW 1	NW 2	NW 2	6	9	10≡	16.6	● 17½–n mU, ≡ 16½-n ✳
21	−2.0	0.8	−1.8	−1.0	−6.6	592.0	593.0	592.9	99	60	88	NW 2	NW 3	NW 2	10	9	3	0.9	✳° 15¼-18½, ≡ 8-a, ⚲ a-p ✳
22	−1.8	0.2	−2.5	−1.4	−7.1	591.9	592.7	593.7	90	95	98	NW 3	NW 2	NW 2	9	10*≡	10*≡	1.5	✳°≡ 9¼-n, ⚲ l, ⊹ ⋁ III ✳
23	−3.0	2.6	0.5	0.0	−5.8	594.0	594.7	594.5	99	84	99	NW 1	NW 1	NW 2	6	10	10≡	1.5	✳ n (23./24.), ≡ 16¼-n ✳
24	1.0	2.6	−0.4	1.1	−4.8	592.7	592.4	592.0	98	84	99	NW 1	NW 2	NW 1	10≡	10	10≡	2.2	✳ 14½–19¾, ≡ n–8, 14½-n ✳
25	0.0	6.4	0.8	2.4	−3.6	591.4	591.7	593.4	97	56	90	NW 2	NW 1	NW 1	6	9	3	1.0	✳ 14½–19¼ ✳
26	1.0	9.2	3.8	4.7	−1.4	593.7	594.7	596.1	85	60	99	NW 1	NW 0	NW 1	0	3	10≡	.	≡ 18½–n ✳
27	4.3	8.6	4.3	5.7	−0.5	596.3	596.2	595.9	82	69	98	NW 1	NW 1	NW 1	0	6	10●	1.8	●tr 20¼–n
28	4.8	**1.6**	4.8	7.1	0.8	595.0	594.6	593.7	82	44	96	NW 0	NW 0	NW 1	0	3	6	0.7	● 18¼–19
29	6.2	10.3	4.8	7.1	0.7	593.2	593.8	594.4	61	49	99	NW 1	NW 1	NW 1	3	9	3	.	≡ 18–20¾ mU
30	9.2	**11.6**	7.8	9.5	3.0	594.4	594.8	594.4	56	75	88	SE 1	SE 1	SE 1	3	9	10≡	3.3	● n (30./1.), ≡ 19¾ n
Mittel	2.0	5.7	2.3	3.3	—	593.4	593.9	594.0	89	75	95				7.6	8.5	9.1	Summe 180.4	

*) Säntis: **1.** ✳ 14½–16¼ mU, 16½–n, ≡ n–n **13.** ≡ 12¾–17, 20½–n mU **14.** ✳ n (14./15.), ≡ 9½–21¼, **15.** ▽ 17¾–19¾, 20½–n, ≡ n–n mU **16.** ⊕ 10½ **17.** ≡ n–5½, 8–n mU **18.** ● n (18./19.), ≡ n–n, ⋁ n–8 **20.** ✳ 18¾–n, ≡ 6¾–n, ⊼ 20¼–20½ **22.** ≡ n–n **24.** ≡ n–18, 19¾–n

$\lambda = 7° 26'$, $\beta = 46° 57'$,
$H_b = 572.2$ m, $G = -0.04$ mm

Bern

Juli 1956
Beobachter: *Meteorologisches Observatorium*

Tag	Lufttemperatur 7³⁰	13³⁰	21³⁰	Mittel	Abweich. vom Normalst	Luftdruck 7³⁰	13³⁰	21³⁰	Relative Feuchtigkeit 7³⁰	13³⁰	21³⁰	Windrichtung und Stärke 7³⁰	13³⁰	21³⁰	Bewölkung 7³⁰	13³⁰	21³⁰	Niederschlag	Witterung
1	13.8	20.2	16.0	16.7	−0.5	709.5	709.4	708.0	84	63	91	NE 0	W 1	ESE 1	9	9	9	1.6	● 7-7¼, ⛆ 15¼-14¾, 17½-18, ⌒ 18½
2	15.4	12.4	**10.7**	12.8	−4.5	**706.9**	707.8	712.0	91	94	93	N 0	SW 3	SW 1	10	10●	9	21.7	⛆ 0½-0¾, 20¾-21¼, *)
3	11.6	16.6	14.4	14.2	−3.2	715.9	717.1	718.5	93	66	87	SE 0	SE 1	W 0	9	9	6	0.1	● 2-3¼, 4½-5¾, 7½-11
4	13.3	21.2	18.1	17.5	0.1	719.2	718.6	718.5	80	47	76	E 0	WSW 1	W 0	1	4	2	.	△ I
5	16.0	24.2	22.3	20.8	3.3	718.6	717.0	716.3	79	47	51	SE 0	W 1	WSW 1	6	7	1	.	△ I
6	20.6	24.0	18.8	21.1	3.5	716.9	717.4	718.7	63	53	64	WSW 2	W 2	N 0	3	1	1	.	
7	16.1	23.9	20.9	20.3	2.7	718.6	717.3	716.9	81	52	56	NE 0	NE 1	NE 0	0	1	1	.	△ I
8	18.1	26.2	16.7	20.3	2.6	716.7	715.1	716.0	75	52	94	SE 0	NNE 1	SE 1	0	2	9●	20.7	● 18¼-22, ⌊ 18¾-20½, △ I
9	16.3	**26.3**	20.0	20.9	3.2	714.6	712.6	713.3	90	**44**	74	SE 0	SE 0	W 0	7	4	9	1.3	● 23-24
10	18.3	23.9	14.9	19.0	1.2	712.2	709.9	711.5	86	59	97	NE 0	NE 2	S 0	6	8●	10●	**45.1**	● 0¼-1¼ mU, 15¾-24, ⌊ 16¼-18, [⊕ 9½, 12½
11	12.6	12.0	11.2	11.9	−5.9	711.6	713.1	714.5	96	92	96	W 1	SW 1	NE 0	10●	10●	10●	7.3	● 0-22¼
12	11.9	15.1	13.5	13.5	−4.4	712.6	711.9	711.2	84	78	93	NE 1	N 1	N 0	9	10	2	.	● 0¼-0½
13	12.4	21.5	16.8	16.9	−1.0	710.0	708.6	707.4	98	64	85	E 0	NW 1	ESE 1	10≡	9	8	12.5	● 18½-19½, ⌊ 18¾-19½, ≡ 3¾-9,
14	13.6	14.1	14.1	13.9	−4.0	707.7	708.6	709.1	97	95	95	S 1	W 0	SSE 0	10●	10●	3	9.0	● 5½-16½, △ III [△ I
15	13.2	20.4	15.5	16.4	−1.5	709.5	709.0	709.7	92	49	74	SE 0	NW 1	SSW 2	9	6	9	1.0	● 9¾-10, △ I
16	13.4	17.0	12.8	14.4	−3.6	710.1	711.1	712.0	91	59	91	SE 0	SW 2	W 0	9	8	9	5.1	● 3-4½, 9-11¾, 17¾-18, 20-21
17	13.0	18.9	15.6	15.8	−2.2	713.2	713.7	713.9	92	51	81	SW 0	W 1	N 0	9●	8	1	0.0	● 2¾-8¼ mU
18	13.4	22.2	15.7	17.1	−0.9	713.3	711.8	712.1	85	49	98	E 0	NE 1	SE 1	3	3	10●	22.9	● 17½-24 mU, ⌊ 20-20½, △ I
19	14.5	13.4	12.5	13.5	−4.5	708.6	708.6	708.5	92	93	91	SE 1	SW 2	E 0	9	10●	8	21.0	● 0-1, 5½-6½, 9½-15¼, 22¾-23½
20	11.8	17.2	12.1	13.7	−4.3	707.8	707.8	709.7	95	54	92	S 0	WSW 2	WSW 1	9●	8	5	2.5	● 0½-1¼, 4-6½, 7½-10¾, *)
21	12.5	14.4	13.8	13.6	−4.4	710.4	711.9	713.6	88	84	86	SE 1	SW 2	ENE 1	9	9●	1	0.7	● 0¼-2¾, ⛆ 13½-14
22	12.7	19.4	16.6	16.2	−1.8	713.5	713.4	714.7	78	53	79	E 1	NE 2	N 0	6	5	4	.	△ I
23	14.1	20.8	15.0	16.6	−1.4	715.4	715.4	717.3	83	52	70	SE 0	W 1	S 0	1	4	4	.	△ I, III
24	12.9	20.8	18.9	17.5	−0.5	718.2	718.3	719.3	81	47	61	SE 0	NW 2	W 0	0	1	9	.	△ I
25	16.9	21.5	18.5	19.0	1.0	719.9	720.1	**720.4**	75	50	51	NE 1	NE 1	NE 2	3	2	1	.	△ I
26	14.6	23.7	19.5	19.3	1.4	719.6	717.4	715.2	76	50	68	NE 0	NE 1	N 0	0	1	0	.	△ I
27	16.5	26.1	19.6	20.7	2.8	713.0	710.2	709.9	81	48	62	SE 0	NW 1	SW 3	1	1	10●	0.1	⛆ 21¼-21½, △ I, ⸗ III
28	15.9	22.6	17.1	18.5	0.6	709.0	707.4	707.8	84	67	94	SE 0	W 1	N 0	7	10●	10	0.3	● 13¼-15½, ⊕ I, △ I, III
29	17.0	23.2	16.4	18.9	1.0	707.2	707.5	710.9	91	67	90	SE 0	W 1	SW 1	9	9	10	4.8	● 10¾-11½, 16½-24 mU, △ I
30	13.9	17.0	14.5	15.1	−2.7	714.1	715.1	717.3	70	59	59	W 0	SW 1	SW 1	9	9	6	.	⛆ 0-0¼
31	12.7	19.0	16.1	15.9	−1.9	718.2	717.8	718.1	77	48	64	SE 0	W 1	NW 0	2	2	3	.	△ I
																		Summe	
Mittel	14.5	20.0	16.1	16.8	—	713.3	712.9	713.7	85	61	79				6.0	6.2	5.8	177.7	

*) 2. ● 9½-15¼, 21¾-22, 23¼-23½, ⸗ II 20. ● 18¾-20¼, 23-23½

$\lambda = 6° 57'$, $\beta = 47° 00'$,
$H_b = 487.3$ m, $G = 0.00$ mm

Neuchâtel

Juli 1956
Beobachter: *Observatorium*

Tag	Lufttemperatur 7³⁰	13³⁰	21³⁰	Mittel	Abweich. vom Normalst	Luftdruck 7³⁰	13³⁰	21³⁰	Relative Feuchtigkeit 7³⁰	13³⁰	21³⁰	Windrichtung und Stärke 7³⁰	13³⁰	21³⁰	Bewölkung 7³⁰	13³⁰	21³⁰	Niederschlag	Witterung
1	15.4	20.4	17.1	17.6	−0.3	716.6	716.5	715.3	86	65	86	W 1	SW 2	NE 0	8	9	10●	17.7	● 20¾-24, ⌊ 23
2	14.2	12.4	12.6	13.1	−4.8	**714.1**	714.9	719.5	97	86	88	W 0	W 3	SW 1	10●	10●	10	16.4	● 0-14½, ⸗ 12¼-13½
3	12.5	16.6	16.2	15.1	−2.9	723.3	724.7	725.9	95	70	65	SW 0	SW 0	NW 1	10	9	5	0.1	● 0¼-5¾
4	13.9	23.2	19.2	18.8	0.7	726.9	726.1	725.8	85	53	62	NE 1	SE 1	NW 1	0	6	2	.	
5	15.6	25.2	19.7	20.2	2.0	726.1	724.6	723.5	85	55	69	NE 0	S 1	SW 0	9	5	0	.	△ I
6	20.7	24.8	18.9	21.5	3.3	724.4	724.8	725.8	60	48	58	SW 2	SW 3	N 2	2	0	0	.	
7	16.0	26.5	21.2	21.2	2.9	726.1	724.6	724.2	83	59	61	NE 0	E 1	N 0	0	0	0	.	
8	18.1	28.1	19.3	21.8	3.4	724.1	722.6	723.6	83	46	86	NE 0	E 0	S 0	0	1	10	0.2	● 19½
9	18.5	**28.3**	18.1	21.6	3.2	721.8	719.9	720.1	90	49	90	NE 0	S 1	NW 2	8	3	10●	7.9	● 21¼-21¾
10	19.1	24.9	15.6	19.9	1.4	719.6	717.2	719.2	83	64	97	NE 1	SE 1	NE 0	8	5	10	10.1	● 1¼, 15½-16½, 16½-24 mU, ⌊ 16, [⸗ 13¾-17¼
11	12.1	12.3	**12.0**	12.1	−6.5	719.3	720.8	722.0	88	88	79	SW 1	SW 1	N 1	10●	10	10	3.5	● 0-7½ mU, 7½-12¾,
12	13.2	17.7	14.2	15.0	−3.6	719.9	719.3	718.8	78	69	85	NE 2	E 1	NE 0	2	10	1	.	[15¾-17¾
13	12.3	21.3	17.5	17.0	−1.7	717.3	715.9	714.3	95	66	93	NE 0	SE 0	NE 0	10	8	10	**42.3**	● 18-18¾, 21, ⌊ 21¼
14	14.2	14.8	14.2	14.4	−4.3	714.8	715.9	716.3	97	93	93	SW 0	SW 1	NW 0	10●	10	9	11.4	● 0¼-12½, ⛆ 16, ⌊ 1
15	14.8	21.3	16.3	17.5	−1.2	716.7	716.4	716.9	91	58	67	NE 1	SW 1	SW 1	5	6	8	0.6	⛆ 11¼
16	14.1	16.6	12.8	14.5	−4.3	717.4	718.4	719.4	82	70	93	W 1	SW 2	W 1	10	10	10	4.8	● 8½-11, 14¾-16½, 19½-20¾
17	13.7	21.2	16.6	17.2	−1.6	720.7	721.2	721.3	89	56	76	SW 1	S 1	NE 1	10	7	1	.	⛆ 3
18	14.0	23.4	15.4	17.6	−1.2	720.9	719.2	719.5	89	51	98	NE 1	SE 0	NW 1	1	2	10	8.9	● 19¼-23 mU, ⌊ 19
19	14.7	13.8	12.6	13.7	−5.1	716.0	716.2	715.4	95	91	93	NE 1	W 1	W 0	10●	10	9	27.2	● 6¾-14, 17¼-24 mU
20	**12.0**	14.3	12.6	13.0	−5.8	715.1	715.4	717.0	93	84	90	W 0	SW 2	NW 0	10	10	3	3.6	● 0-5, 9¼-11¼, ⛆ 16¼, ⌊ 0¼-0¾
21	13.3	15.9	12.6	13.3	−5.5	717.8	719.4	720.8	93	93	90	NE 0	SW 1	NW 0	8	10●	1	2.2	● 2½-3¼, 11¾-14¼
22	13.1	23.6	17.4	18.0	−0.9	721.1	720.9	722.1	89	57	69	NE 0	E 1	NE 0	3	4	2	.	
23	14.7	21.7	16.8	17.7	−1.2	722.9	723.0	724.6	87	50	61	NE 0	W 1	NW 2	1	3	2	.	⸗ 15½ 18½
24	13.7	23.7	19.1	18.8	−0.1	725.8	725.7	726.7	88	45	61	NE 1	S 1	NW 1	0	2	5	.	
25	16.8	25.6	18.2	20.2	1.3	727.5	727.5	**727.6**	84	51	64	NE 0	SE 1	N 1	8	1	0	.	
26	15.4	26.4	20.6	20.8	1.9	727.0	724.9	722.6	85	**43**	59	NE 0	SE 1	NW 1	0	0	0	.	
27	15.8	26.0	18.4	20.1	1.2	720.4	717.7	717.9	79	49	72	NE 1	SE 1	W 2	0	1	10	1.0	⛆ 16¼, ● 20½ 21, ⸗ 20 21½
28	16.7	21.1	17.4	18.4	−0.4	716.1	715.1	715.3	87	73	95	NE 0	NW 2	NE 1	10	10●	10	7.0	● 7¾, 13¼-16½
29	16.9	20.5	16.7	18.0	0.8	714.3	715.0	718.3	91	91	96	NE 0	S 1	W 1	10	10	10	10.1	⛆ 14, 16, 18, ⸗ 15 19
30	14.8	21.1	14.9	16.9	−1.9	721.4	722.5	724.6	58	56	54	NW 1	SW 1	W 1	7	3	1	.	⸗ p
31	12.6	21.8	17.1	17.2	1.6	725.7	725.1	725.3	76	47	55	E 1	S 1	NW 2	0	3	0	.	⸗ 17 21½
																		Summe	
Mittel	14.9	21.0	16.5	17.5	—	720.7	720.4	721.0	86	64	78				5.8	5.7	5.5	175.0	

Juli 1956
Beobachter: *Frl. H. Nager*

Altdorf

$\lambda = 8° 38'$, $\beta = 46° 53'$,
$H_b = 456.3$ m, G = –0.08 mm

Tag	Lufttemperatur 7³⁰	13³⁰	21³⁰	Mittel	Abweich. vom Normalst	Luftdruck 7³⁰	13³⁰	21³⁰	Relative Feuchtigkeit 7³⁰	13³⁰	21³⁰	Windrichtung und Stärke 7³⁰	13³⁰	21³⁰	Bewölkung 7³⁰	13³⁰	21³⁰	Niederschlag	Witterung
1	22.1	20.7	17.4	20.1	2.8	718.7	718.7	718.3	56	62	81	S 1	E 1	SE 1	7	10	10	.	
2	17.4	19.8	12.8	16.7	–0.7	716.7	**715.2**	722.1	85	80	96	E 0	NW 1	NW 0	8	10	10	3.4	● 15–p
3	13.1	16.6	13.8	14.5	–2.9	726.0	726.9	728.6	95	96	88	E 0	NW 0	SW 0	10●	10	7	0.4	● n–7½
4	13.2	20.8	16.5	16.8	–0.7	729.0	727.8	728.3	90	57	86	NE 0	NW 1	NW 0	1	9	3	.	
5	15.6	22.7	19.7	19.3	1.8	728.4	726.5	725.8	85	59	80	NW 1	W 0	S 0	4	8	2	.	
6	19.0	24.7	19.6	21.1	3.5	725.2	724.9	728.3	84	56	96	E 0	NW 2	NW 0	7	6	9	.	⚡ p–18
7	18.7	22.8	19.8	20.4	2.8	728.4	726.6	726.7	85	70	84	SE 0	NW 1	SE 0	0	0	0	.	
8	17.2	24.3	14.2	21.9	4.2	726.5	724.7	725.0	92	70	64	E 0	NW 0	E 1	0	0	10	.	
9	19.8	**24.9**	19.9	21.5	3.8	724.1	721.8	722.5	91	62	89	NW 0	NW 0	NW 0	4	5	4	1.9	● n (9./10.)
10	18.6	23.4	16.5	19.5	1.8	721.8	719.4	721.5	95	65	96	SE 0	NW 0	NW 0	5	6	10●	24.6	● 18¼–n
11	16.0	15.4	13.6	15.0	–2.8	720.6	721.9	724.6	97	88	93	N 0	N 1	NW 0	10●	10●	10●	12.1	● n–n mU
12	14.0	16.7	15.9	15.5	–2.3	722.2	722.0	721.8	90	79	90	E 0	NW 1	NW 0	7	9	10	.	
13	14.6	21.2	21.2	19.0	1.2	719.6	717.7	717.7	95	71	96	N 0	NW 1	NW 0	5	8	10	0.2	● n (13./14.)
14	19.3	15.5	14.3	16.4	–1.4	716.4	718.4	719.3	93	98	95	NE 0	W 0	W 0	10●	10●	10	24.6	● 7¼–16, 19¾–20
15	14.6	16.3	14.1	15.0	–2.9	719.2	719.3	710.5	91	93	95	NE 0	NW 1	NW 0	7	10●	10	8.1	∴ 12¾–p mU
16	13.9	14.2	13.2	13.8	–4.1	720.0	721.2	722.2	98	95	98	W 0	E 1	SW 0	7	10●	10	9.1	● 12¾–p, n (16./17.)
17	13.1	17.2	14.4	14.9	–3.0	723.2	723.8	724.3	99	67	89	NE 0	W 0	W 0	10●	10	0	0.2	● n–a
18	13.4	22.0	20.2	18.5	0.6	723.4	721.8	720.7	91	66	65	NW 0	NW 0	NW 1	3	2	10	16.8	● 21½–n, ⚡ n (18./19.)
19	15.1	18.6	13.2	15.6	–2.3	719.0	715.8	718.8	97	85	96	E 0	NW 1	SE 0	6	10●	8	7.1	● 13½–p
20	12.9	16.1	13.2	14.1	–3.8	717.7	717.4	720.4	96	72	96	SE 0	NW 1	SW 0	7	10●	10●	8.9	∴ a–n mU, ⚡ 13½, 16½
21	**11.2**	15.6	13.7	13.5	–4.5	720.9	721.2	724.2	99	77	92	NE 0	NW 1	NE 0	6	10●	8	1.5	● 13¾–16¼ mU
22	11.5	20.0	15.2	15.6	–2.4	723.9	723.0	723.5	92	63	90	NE 0	NW 1	NW 0	3	6	7	.	
23	15.2	20.3	17.4	17.6	–0.4	725.5	724.6	726.8	93	55	60	N 0	NW 1	NW 1	7	7	9	.	⚡ 17¼–19½
24	14.2	21.2	20.1	18.5	0.5	727.5	727.3	728.1	90	58	**53**	N 0	NW 2	NW 0	5	4	10	1.6	● n (24./25.), ⚡ 17–20½
25	16.8	22.1	17.9	18.9	0.9	730.1	729.8	**730.9**	93	59	85	E 0	NW 2	NW 0	8	4	9	.	
26	15.0	21.7	18.4	18.4	0.4	729.7	727.0	725.1	92	67	85	N 0	NW 1	E 0	0	0	0	.	
27	16.8	23.9	17.3	19.3	1.3	722.4	720.2	720.8	86	82	99	E 0	NW 1	SE 1	3	4	10●	**24.9**	● 19½–n, ⚡ 19½–21
28	16.8	23.3	17.3	19.1	1.1	718.6	716.9	717.9	89	59	95	E 0	NW 0	NE 0	6	8	3	0.0	● tr p
29	17.4	23.7	17.8	19.6	1.6	716.7	716.6	721.0	96	69	96	NW 0	W 2	NW 0	8	7	10	17.8	● 18½–n
30	15.7	16.8	15.0	15.8	–2.2	723.8	725.2	727.1	95	72	91	NE 0	NW 0	NE 0	10	10	10	0.0	∴ a
31	14.8	19.7	16.1	16.9	–1.0	728.4	727.0	727.9	84	58	85	NE 0	NW 1	NW 0	5	4	10	.	
Mittel	15.7	20.1	16.8	17.5	—	723.0	722.3	723.6	91	71	87				5.8	7.0	7.7	Summe 163.2	

Juli 1956
Beobachter: *Observatorium*

Genève

$\lambda = 6° 09'$, $\beta = 46° 12'$,
$H_b = 405.0$ m, G = –0.05 mm

1	15.8	22.0	19.1	19.0	0.6	723.8	723.6	721.5	86	55	92	SSW 1	SW 1	SW 1	10	9	6	4.5	
2	15.8	16.0	15.5	15.8	–2.7	721.4	723.7	727.4	94	79	92	S 1	S 1	S 1	10●	10	10	**17.0**	● 2¼–2¾, 3¾–12¾
3	15.1	20.0	19.2	18.1	–0.5	731.0	731.5	732.7	88	55	80	E 1	NNE 1	NNE 1	9	3	2	.	● 0¾–1¼, 2¼, 3–3¼, 4¾–5½
4	15.1	23.0	20.6	19.6	1.0	**734.0**	732.6	732.7	76	50	80	E 1	NNE 1	E 1	0	3	0	.	
5	18.0	28.0	25.0	23.7	5.0	732.6	731.7	730.8	76	47	72	NE 1	S 1	S 1	1	3	3	.	
6	23.0	26.4	23.8	24.4	5.6	732.1	732.1	731.6	58	52	71	SW 2	W 2	SW 1	2	1	0	.	
7	18.2	24.2	24.0	22.1	3.2	732.4	731.1	730.8	75	50	61	E 0	NNE 1	NNE 1	0	1	0	.	
8	21.8	27.6	19.1	22.8	3.8	730.8	729.3	729.8	61	49	90	E 1	NNE 1	NNE 1	0	3	5	2.8	∴ 19½–20¼ mU, ⚡ 17
9	20.2	24.4	22.6	22.4	3.4	728.6	726.4	727.0	75	62	66	E 1	NNE 1	ENE 1	0	2	4	.	
10	19.4	24.4	17.0	20.3	1.2	726.6	725.4	726.7	85	60	94	SE 1	SE 1	NNE 1	2	6	10	9.4	● 16½–21¼
11	15.2	15.7	**14.0**	15.0	–4.2	726.5	728.2	728.0	73	72	74	NNW 1	NE 1	NNE 2	10	10	9	.	● 0½–3
12	15.0	19.2	18.0	17.4	–1.9	726.7	725.8	726.0	78	61	80	NNE 1	NNE 1	NNE 1	10	4	0	.	
13	17.3	21.0	20.1	19.5	0.2	724.1	723.0	**721.5**	78	72	91	SE 1	NNE 1	S 1	0	4	10	10.7	∴ 16½–16¾, 18¾–19½,
14	15.2	19.1	17.9	17.4	–2.0	721.9	722.5	723.4	95	75	96	SSW 1	SSW 1	SW 0	10	4	7	0.8	● 0–7, ∴ 13 [● 22–24
15	16.5	22.7	16.8	18.7	–0.7	723.1	722.9	724.7	83	68	86	SW 1	SSW 1	SSE 1	2	5	8	0.2	● 9¼–9¾
16	15.5	21.0	15.4	17.3	–2.1	725.3	725.4	727.5	85	64	77	SSE 1	S 1	SSE 1	10	8	8	9.7	● 7¾–8¾, 12¼–12½, 14½–16¾,
17	17.7	22.4	20.9	20.3	0.9	728.0	727.9	728.0	82	51	80	SE 0	SE 1	S 1	6	3	2	.	● 0–0¼ [18¼–19
18	17.4	21.5	19.5	19.5	0.0	727.8	725.5	725.6	75	62	84	ESE 0	NNE 1	NE 1	1	2	8●	2.3	● 18¾–21¾, ⚡ 18¾
19	16.6	17.1	16.5	16.7	–2.8	723.0	723.2	721.7	96	83	85	NE 1	ESE 1	ESE 1	10●	9	9	6.1	● 3¼–12½
20	15.7	14.9	16.5	15.7	–3.8	722.4	723.2	724.1	67	92	88	S 1	SSE 1	SE 1	9	9	9	9.2	● 11½–13½, 14½–16¾, 19½–20¾
21	14.5	18.1	15.3	16.0	–3.5	724.9	727.1	727.5	91	74	80	NE 1	NNE 1	NNE 0	9	10	1	0.1	● 13½–14
22	15.9	20.5	18.4	18.3	–1.2	727.6	727.8	728.9	75	59	71	NNE 1	NNE 1	S 0	1	0	4	.	
23	16.3	22.6	19.0	19.3	–0.2	729.8	729.8	730.7	78	54	60	E 0	NNE 1	NNE 0	1	3	0	.	
24	16.4	20.8	19.8	19.0	–0.5	732.9	732.6	733.6	71	56	65	ENE 0	NE 0	NE 1	0	0	2	.	
25	19.4	23.8	19.4	20.9	1.4	733.9	733.6	**734.0**	71	54	74	E 1	NE 2	NE 1	0	1	0	.	
26	17.9	23.1	24.2	22.1	2.7	733.9	731.7	728.7	74	59	45	NE 1	NNE 1	NNE 1	0	0	0	.	
27	19.9	**29.1**	20.6	23.2	3.8	727.0	724.7	724.2	70	**40**	65	NNE 0	S 2	SW 1	0	4	2	2.4	● ⚡ 19½–20, 20¼–21
28	19.9	26.0	23.8	23.2	3.8	723.0	722.2	720.6	80	59	75	ENE 1	SW 2	S 1	4	9	8	.	
29	22.1	28.2	20.8	23.7	4.3	721.6	722.8	726.4	80	75	64	ENE 1	SW 2	SE 1	9	4	8●	5.3	● ⚡ 17¼–22
30	17.0	21.7	16.1	18.3	–1.0	728.5	729.8	732.1	69	50	59	SSE 0	S 2	SSE 1	5	3	2	.	
31	14.7	19.9	16.8	17.1	–2.2	733.0	732.2	732.3	71	54	74	ESE 1	NNE 1	SW 1	1	1	1	0.0	
Mittel	17.4	22.1	19.2	19.6	—	727.7	727.4	727.8	78	61	77				4.3	4.3	4.4	Summe 80.5	

λ = 8° 34′, β = 47° 23′,
H_b = 569.4 m, G = −0.01 mm

Zürich

Juli 1956
Beobachter: *Meteorologische Zentralanstalt*

Tag	Lufttemperatur 7³⁰	13³⁰	21³⁰	Mittel	Abweich. vom Normalst	Luftdruck 7³⁰	13³⁰	21³⁰	Relative Feuchtigkeit 7³⁰	13³⁰	21³⁰	Windrichtung und Stärke 7³⁰	13³⁰	21³⁰	Bewölkung 7³⁰	13³⁰	21³⁰	Niederschlag	Witterung
1	16.5	22.8	17.1	18.8	2.2	709.6	709.0	708.5	72	46	74	SW 1	W 1	ESE 1	10	9	9●	0.1	●tr 21½, ⌓ I, ↙ 14¾–16¾
2	16.7	17.8	12.0	15.5	−1.2	706.7	**705.9**	711.3	73	73	92	NW 1	WNW 1	S 1	6	10●	9	11.2	● 13½–18¼, ↙ 14¾–16¾
3	13.1	18.2	14.9	15.4	−1.3	715.0	716.8	718.4	85	53	73	SSW 1	WSW 1	WNW 1	10	7	8	.	⌓ III
4	14.1	22.0	16.3	17.5	0.7	719.1	718.5	718.7	72	45	82	SSE 0	WNW 1	NNE 1	2	4	5	.	⌓ I, III
5	17.0	25.0	20.6	20.9	4.0	718.2	716.7	715.8	72	42	75	S 1	WNW 1	SW 1	4	9	0	.	⌓ I, III, ↙ 22½–24
6	20.1	22.9	17.1	20.0	3.1	716.5	717.3	719.2	65	57	72	WSW 2	W 2	WNW 2	2	3	6	.	↙ 0–3
7	16.4	25.4	19.5	20.4	3.4	718.8	717.5	717.2	74	43	63	NE 1	NE 1	NNE 1	0	1	1	.	
8	18.5	**28.5**	23.0	23.3	6.2	717.0	715.7	715.8	74	42	64	E 1	NNE 2	NNW 1	1	1	10	1.2	
9	18.2	26.9	20.3	21.8	4.7	714.3	712.7	712.3	91	50	64	ENE 1	E 1	S 1	9●	2	4	2.7	● 5½–6, 7¼–7¾, 23¾–24
10	18.2	24.2	15.1	19.2	2.0	712.3	710.5	711.7	87	53	94	SW 1	NNE 1	WSW 1	9●	8	10●	**46.8**	● 0–0½, ●tr 7–8, 18¼–24, ☈ 0–1, [18¼–18¾
11	12.8	11.7	**11.2**	11.9	−5.4	710.7	712.9	714.6	95	92	93	W 1	W 2	WNW 1	10●	10●	10●	20.2	● 0–24
12	11.9	15.3	13.3	13.5	−3.8	712.9	712.1	711.5	81	70	91	NE 1	NW 1	NNE 1	10	10	4	.	● 0–0¼
13	14.0	25.5	19.6	19.7	2.3	710.1	708.4	707.8	87	45	80	SSW 1	NNE 1	NNW 2	1	8	10●	1.0	● 21–22¼, ⌓ I
14	15.6	15.3	14.4	15.1	−2.3	706.6	708.2	708.7	90	84	92	W 1	S 1	S 1	10●	10	3	18.3	● 7¼–7¾, 8–13½
15	14.9	19.0	13.2	15.7	−1.7	709.4	709.2	710.0	84	60	91	SSW 1	SSE 2	SSE 1	6	5	10●	11.5	● 9–9¼, 14½–14¾, 18¼–24 mU
16	14.5	14.1	13.5	14.0	3.5	709.9	711.2	711.8	80	80	85	S 1	SW 2	SW 1	7	10●	10●	5.5	● 0–0¾, 12–14½ mU, 19¼–19¾, 21½–22¾
17	12.9	17.0	13.4	14.4	3.1	713.1	714.2	714.2	88	69	87	SW 1	WSW 1	NE 1	10●	8	1	0.2	● 0–0½, 3–3½, 4¼–5¾, 7–10
18	13.7	24.1	17.3	18.4	0.9	713.6	712.4	712.7	84	46	75	S 1	NNW 1	NNW 2	3	1	10	15.6	● 18–19¾, 21¾–24, ☈ 21¾, *)
19	14.9	17.9	11.3	14.7	−2.8	709.1	706.8	708.4	88	73	91	NE 1	WNW 2	NE 1	9	10	5	9.4	● 0–1, 2¼–3¾, 24¼–16¾, ↙ 14¼–16¾
20	12.4	14.7	12.5	13.2	−4.4	708.1	708.2	710.1	83	80	93	WNW 1	SE 1	SSE 1	10	9●	8	15.5	● 8–9¼, 12¾–13¼, 15–15½, 19¼–19¾, [☈ 12½–13
21	12.9	18.7	13.0	14.9	−2.7	710.5	711.2	713.9	82	50	89	S 1	WSW 1	SSE 1	9	8	4	0.5	● 16–16½
22	12.4	21.0	17.3	16.9	−0.7	713.9	713.9	714.7	83	45	67	S 1	NE 1	N 1	7	6	9	.	⌓ I
23	15.4	21.1	15.1	17.2	−0.4	715.3	715.1	717.0	83	53	70	SSW 1	WSW 1	WSW 1	1	4	3	.	⌓ I, III
24	15.2	21.3	18.5	18.3	0.7	717.8	717.9	718.6	73	49	62	SSW 1	WSW 2	WSW 1	1	3	10	.	⌓ I
25	16.4	22.7	16.4	18.5	0.9	720.1	720.5	**721.0**	80	47	70	WSW 1	SSW 1	NNE 1	6	1	0	.	⌓ I
26	14.7	25.1	18.4	19.4	1.8	719.8	717.9	715.4	79	45	65	ENE 1	ENE 1	N 1	0	0	0	.	⌓ I, III
27	16.2	27.6	17.7	20.5	2.9	712.9	710.5	709.2	80	**40**	92	SW 1	NW 1	ESE 1	1	1	10●	33.1	● 20¾–22¾, ☈ ▲ 20¾–22½, *)
28	17.1	24.3	16.1	19.2	1.7	708.6	707.5	707.2	79	50	80	S 1	SSW 1	W 1	6	10	10	0.5	● 7½–7¾, 14¾–17½, ☈ 14¾–15, *)
29	16.5	19.4	16.5	17.5	0.0	707.1	707.6	710.8	91	88	90	S 1	NNE 1	WSW 1	10	9●	10●	26.1	● 12¼, 13¼–13¾, 16¼–23 mU,
30	13.0	15.1	14.4	14.2	−3.3	714.5	715.3	717.3	63	65	57	W 1	WSW 1	W 1	10	10	10	0.0	↙ 0¾–1¼ [☈ 16–16¾
31	14.4	20.6	14.9	16.6	−0.9	718.1	717.7	718.2	66	43	74	S 0	SW 1	N 1	6	3	9	.	⌓ I, III
Mittel	15.2	20.8	15.9	17.3	—	713.2	712.9	713.6	80	57	79				6.0	6.1	6.7	Summe 219.4	

*) 18. ☈ 22¼–22½, 23–23¼, ⌓ I   27. ↙ 20¾–22, ⌓ I   28. ↙ 14½–15

λ = 6° 32′, β = 46° 51′,
H_b = 1601 m, G = −0.16 mm

Chasseron

Juli 1956
Beobachter: *J. Liardon*

Tag	Lufttemperatur 7³⁰	13³⁰	21³⁰	Mittel	Abweich. vom Normalst	Luftdruck 7³⁰	13³⁰	21³⁰	Relative Feuchtigkeit 7³⁰	13³⁰	21³⁰	Windrichtung und Stärke 7³⁰	13³⁰	21³⁰	Bewölkung 7³⁰	13³⁰	21³⁰	Niederschlag	Witterung
1	9.0	10.2	11.7	10.3	—	628.6	628.8	627.9	96	77	79	SSE 3	WSW 4	SW 2	8	10	9	22.0	● n–7 mU, ●tr a, p, n (1./2.), *)
2	8.0	4.4	4.7	5.7	—	**625.9**	626.2	628.3	100	100	100	SSW 2	NW 4	NW 4	10≡	10≡	10≡	24.8	● n–14, 19–19½, n (2./3.), *)
3	5.4	8.7	7.1	7.1	—	633.1	634.9	635.9	100	92	100	NW 3	NW 3	NW 3	6	9	9	0.0	≡ n–7, a mU, 20½–n mU,
4	7.7	11.7	11.8	10.4	—	636.5	637.5	637.3	83	85	83	SE 2	NW 3	SW 2	1	7	9	.	⌓ I, ↙ II [↙ n–n
5	11.8	16.2	15.2	14.4	—	637.0	637.2	636.2	79	82	68	W 2	W 2	WNW 4	7	6	1	.	↙ p–n
6	9.7	11.0	10.1	10.3	—	635.2	636.7	637.5	100	98	97	NW 5	NW 4	NW 2	10≡	10≡	3	.	≡ n–13¾ mU, 21½–n mU,
7	15.2	17.9	15.6	16.2	—	636.8	637.4	637.2	**31**	62	74	SE 2	N 1	ENE 1	1	1	1	.	[↙ n–p
8	16.8	**19.2**	15.0	17.0	—	636.5	636.5	634.1	69	76	78	ESE 2	SE 1	SSE 2	1	5	8	.	
9	14.2	17.3	15.0	15.5	—	634.7	634.0	633.1	64	66	82	SSE 2	W 2	NW 3	5	5	9	15.0	▽ 12½–n mU, ☈ ▲ 15½, *)
10	15.0	13.2	8.6	12.3	—	632.2	631.1	630.5	46	100	100	ESE 1	NW 2	NW 3	7	10●≡	10●≡	22.4	● 13–n mU, ↙ III
11	4.2	3.8	4.6	4.2	—	629.4	630.8	630.6	100	100	100	NW 4	NW 4	NW 3	10❟≡	10❟≡	10❟≡	2.5	❟ n–n mU, ≡ n–n, ↙ n–n mU
12	5.2	7.2	9.6	7.3	—	630.1	630.2	630.2	100	100	76	E 3	— 0	SSW 3	10≡	10≡	4	.	≡ n–15½, ↙ n–n
13	12.4	17.0	12.2	13.9	—	629.1	629.4	627.7	75	44	84	SW 3	W 2	E 3	4	5	8	**62.4**	▽ 17½–n mU, ↙ n–n mU
14	6.4	7.9	7.0	7.1	—	626.0	627.3	627.5	100	100	100	W 4	W 3	W 3	10●≡	10≡	4	0.1	● ☈ 23–4½, ▲ 4–6 mU, *)
15	6.2	9.8	6.0	7.3	—	628.1	628.7	628.0	100	84	95	W 4	SSW 2	W 5	10≡	8	9	3.6	● a, ≡ n–n mU, ↙ n–n mU
16	5.8	6.2	5.4	5.8	—	628.3	629.4	629.5	100	98	100	W 2	W 3	W 4	10≡	10	10	7.0	● 13½, 15½–n mU, ≡ n–11½, *)
17	5.8	9.0	9.1	8.0	—	630.9	632.7	632.9	100	93	83	W 3	WNW 2	E 1	10≡	9	2	0.2	❟ a, ≡ n–9½, ↙ n–a
18	10.9	14.9	10.4	12.1	—	632.0	632.1	630.3	60	74	90	SW 2	S 1	NW 4	3	7	10	17.0	▽ 15½–15¾, 17½–17¾, *)
19	8.3	5.9	5.5	6.6	—	627.8	626.6	627.0	98	100	94	ESE 2	WNW 4	W 3	10	9	10	36.1	● n–13¾, n (19./20.) *)
20	4.3	5.1	5.7	5.0	—	**625.9**	626.3	628.0	100	100	91	WSW 2	W 5	W 3	10	10≡	7	4.2	● n–17 mU, ≡ n–n mU, *)
21	5.5	7.5	7.0	6.7	—	628.7	630.4	631.7	100	95	100	W 2	NW 2	NNW 1	10	10	3	12.9	▽ a, ☈ ● 11–11¾, ≡ n–7
22	7.3	11.0	9.1	9.1	—	631.8	632.9	633.5	92	82	97	E 2	E 2	NNE 3	7	8	4	.	↙ p–n [mU, 8–10
23	8.4	10.7	7.6	8.9		634.0	634.7	635.2	100	87	100	N 2	NW 3	NNW 3	10≡	7	9	0.0	≡ ❟ 6½–11, 20–n Um, ⌓ I, ↙ a–n
24	8.0	12.7	9.4	10.1	–	635.9	637.3	637.4	88	79	97	NNW 2	NW 3	NNW 3	1	3	3	0.1	● n (24./25.), ⌓ I, ↙ a–n
25	8.8	12.8	10.4	10.7	—	638.0	**639.2**	638.8	99	71	91	NNE 2	N 2	ENE 2	10≡	1	0	.	≡ 7¼–8½
26	12.8	17.7	14.5	15.0	—	637.8	637.8	635.8	58	55	66	E 2	NNW 1	E 2	0	1	0	.	
27	14.9	18.0	9.6	14.2		632.7	631.8	631.0	73	74	100	WSW 3	SW 1	W 3	1	2	9	2.7	● ☈ 19¼–20¼, ↙ n–n mU
28	11.5	9.8	10.5	10.6		629.0	628.5	627.9	90	100	100	W 3	W 4	W 4	9	10≡	10	3.1	☈ ● 13½, ▽ 15¼–15¾, *)
29	14.1	12.5	10.7	12.4		627.2	628.0	629.2	68	77	100	SSW 3	W 5	W 4	9	10	10≡	7.4	● 13¼–n mU, ≡ p–n, ↙ n–n mU
30	**3.6**	9.0	5.4	6.0		631.8	633.4	635.0	100	67	90	W 3	NW 3	W 2	7	4	4	.	≡ n–7, 7½–10 mU, ↙ n–p
31	6.4	10.6	7.0	8.0		635.4	636.1	636.3	84	63	96	NW 2	W 2	NW 3	4	5	5	.	⌓ I, ↙ p–n
Mittel	9.1	11.2	9.4	9.9	—	631.8	632.4	632.3	86	83	91				6.8	7.2	6.4	Summe 244.5	

*) 1. ↙ n–n, ↙ II   2. ≡ n–n mU, ↙ n–n mU   9. ▲ 19¾–20, ☈ 22, ↙ III   14. ≡ n–19½, ↙ n–n mU, ↙ I   16. ≡ 14¼–14¾, 15½–n mU, ↙ a–n, ↙ III   17. ● ☈ 18, 18¾–19¼, ↙ p–n   18. ☈ ▲ 19½–20¼, ≡ a mU, ↙ a–n mU   19. 20. ↙ a–n, ↙ II   28. ≡ 9–n mU, ↙ n–n mU

Juli 1956
Beobachter: *Stationspersonal Rh. B.*

Bever

$\lambda = 9° 53'$, $\beta = 46° 33'$,
$H_b = 1711.8$ m, G = –0.26 mm

Tag	Lufttemperatur 7³⁰	13³⁰	21³⁰	Mittel	Abweich. vom Normalst	Luftdruck 7³⁰	13³⁰	21³⁰	Relative Feuchtigkeit 7³⁰	13³⁰	21³⁰	Windrichtung und Stärke 7³⁰	13³⁰	21³⁰	Bewölkung 7³⁰	13³⁰	21³⁰	Niederschlag	Witterung
1	9.0	11.0	9.2	9.7	–1.1	622.4	621.7	620.8	94	80	90	SW 0	NE 1	NE 0	6	10	10	7.9	● 11½–12, n (1./2.)
2	8.0	10.8	5.0	7.9	–3.0	618.6	618.1	619.5	95	62	86	NE 1	SW 0	N 0	10●	10	10●	8.1	● n–n mU, ⌇ 20¾
3	5.3	9.1	6.9	7.1	–3.9	622.8	624.9	626.9	95	61	80	SW 0	N 1	NE 1	10	9	6	.	
4	3.5	18.1	8.8	10.1	–0.9	628.1	626.4	627.6	94	28	80	SW 0	W 1	N 0	0	3	8	.	⊏ I
5	7.1	21.0	12.0	13.4	2.3	628.6	627.2	626.4	87	40	90	SW 0	SW 1	SW 0	6	6	1	.	⊿ I
6	9.6	22.8	14.5	15.6	4.4	627.1	626.6	627.5	86	35	71	S 0	SW 1	NW 1	2	1	1	.	⊿ I
7	9.4	23.5	11.8	14.9	3.7	629.3	627.3	628.6	90	32	85	N 0	NW 1	SW 0	0	0	0	.	⊏ I
8	9.8	**23.9**	12.4	15.4	4.1	628.5	627.2	627.1	90	29	77	SW 0	SE 0	SW 0	1	1	4	.	⊏ I
9	12.7	17.0	11.0	13.6	2.2	627.1	626.1	624.3	71	65	85	SW 1	SE 1	NW 1	9●	6	6	8.9	● 7½–11½, ⌇ 6–7½
10	8.0	19.7	11.2	13.0	1.6	624.3	621.7	621.8	95	45	97	SW 0	SW 0	SW 2	10	9●	10●	**18.0**	● 13½–15, 21½–n, ⌓ I
11	8.3	11.7	9.7	9.9	–1.6	619.5	619.7	621.2	95	66	65	W 0	NW 1	NW 1	10●	10	10	0.1	● n–8
12	8.0	18.0	12.4	12.8	1.3	621.5	622.1	622.6	88	50	90	S 0	SW 1	SW 1	1	8	8	.	
13	11.4	18.0	13.4	14.3	2.8	622.4	622.9	621.7	86	55	90	SW 0	SW 1	SW 1	9	6	9	4.3	● n (13./14.), ⌓ I
14	11.9	9.8	5.2	9.0	–2.6	618.0	617.7	619.6	86	95	100	SE 0	W 0	W 0	10	10	8	16.0	● n–p mU, ⌇ n (14./15.)
15	4.0	16.2	7.9	9.4	–2.2	619.5	618.8	620.2	100	42	94	S 0	SW 1	N 0	5≡	3	10●	4.5	● 16¾–17½, 20–n, ≡ n–a, ⌇ 16¾
16	7.7	14.2	5.6	9.2	–2.4	619.9	619.3	621.2	88	43	94	S 0	SW 0	NE 0	5	10	10	8.4	● 16½–n mU
17	4.9	15.4	5.4	8.6	–3.1	621.7	623.0	624.7	97	45	95	SW 0	W 1	SW 1	7	7	2	.	
18	4.9	16.9	11.4	11.1	–0.6	624.4	623.5	623.8	96	85	80	S 0	S 1	SW 1	0	4	10	1.4	● n (18./19.). ⊔ I
19	11.1	13.8	7.8	10.9	–0.8	621.1	618.2	619.4	95	72	100	SE 0	SW 1	SE 0	10	10	10●	15.9	● n–6, 15–16½, 18–n mU
20	7.6	10.8	5.4	7.9	–3.8	618.4	**617.5**	619.9	90	76	100	SE 0	SW 0	NW 0	8	9	9●	8.5	● 14½–16 mU, 20–n, ⌓ I
21	5.0	9.7	6.9	7.2	–4.6	620.2	620.3	623.3	94	63	85	NE 0	S 0	NW 0	10	10	3	0.6	● n–p mU
22	**3.1**	14.4	9.4	9.0	–2.8	623.4	622.8	623.7	96	43	88	SW 0	SW 1	SW 0	8	9	9	0.0	● tr 18¼–20 mU, ≡ n–6½,
23	5.0	16.8	11.2	11.0	–0.8	624.5	624.9	625.3	95	35	65	SW 0	W 1	W 1	0	8	6	.	⌓ I [⊔ I
24	4.6	17.2	12.7	11.5	–0.3	626.5	625.9	627.1	93	41	72	SW 0	SE 0	SW 0	6	7	10●	3.6	● 21–n
25	12.9	17.6	9.8	13.4	1.6	628.4	628.5	**630.1**	55	38	76	S 1	W 0	NW 0	9	0	0	.	
26	5.4	22.9	9.6	12.6	0.9	**630.1**	627.6	627.3	100	**21**	78	SW 0	NW 1	W 0	0	0	0	.	⊏ I
27	7.0	19.9	12.0	13.0	1.3	625.1	623.1	623.0	93	45	80	SW 0	SW 1	SW 3	1	2	10	.	⌓ I, ⌿ p–n
28	9.9	19.0	10.2	13.0	1.3	621.5	620.6	623.5	95	48	90	SW 0	SW 2	SW 0	1	10	6	.	⌓ I
29	12.6	19.0	14.1	15.2	3.5	621.0	621.1	622.1	87	60	80	N 0	SW 1	SW 0	1	4	10	12.0	● n (29./30.)
30	8.0	16.6	9.4	11.3	–0.3	623.8	623.0	625.1	100	62	86	NE 1	SW 1	N 0	10	6	0	.	
31	9.9	17.3	9.9	12.4	0.8	626.0	624.9	626.4	90	38	80	E 0	SW 1	NE 0	1	4	0	.	
Mittel	7.9	16.5	9.8	11.4	—	623.7	623.0	623.9	91	52	85				5.4	6.2	6.1	Summe 118.2	

Juli 1956
Beobachter: *Couvent des Capucins*

Sion

$\lambda = 7° 22'$, $\beta = 46° 14'$,
$H_b = 548.6$ m, G = –0.14 mm

Tag	Lufttemperatur 7³⁰	13³⁰	21³⁰	Mittel	Abweich. vom Normalst	Luftdruck 7³⁰	13³⁰	21³⁰	Relative Feuchtigkeit 7³⁰	13³⁰	21³⁰	Windrichtung und Stärke 7³⁰	13³⁰	21³⁰	Bewölkung 7³⁰	13³⁰	21³⁰	Niederschlag	Witterung
1	16.9	22.6	17.2	18.9	0.1	713.0	711.6	711.3	74	60	86	NE 0	NW 0	ESE 1	10	9	10	0.7	⛆ 8, 17–17¼, ●tr 20¾–21½
2	16.4	18.2	14.9	16.5	–2.5	709.4	709.3	714.2	93	86	90	NE 1	WNW 1	WSW 1	10	10	10	11.6	● 12–13, 13¾–16¼, 22–24
3	14.4	21.9	17.0	17.4	–1.7	718.1	717.6	719.0	86	50	66	WSW 0	WSW 2	ENE 0	8	7	0	.	● 0–2¾
4	16.4	24.2	19.1	19.9	0.7	**721.7**	719.3	720.3	72	50	61	ENE 0	ENE 0	W 0	0	4	3	.	
5	18.0	26.3	20.4	21.6	2.4	721.0	718.5	718.5	72	50	61	NE 0	SW 0	W 0	2	7	0	.	
6	19.2	27.4	21.4	22.7	3.4	719.2	718.1	719.1	74	54	64	N 0	W 2	W 2	2	0	0	.	
7	19.5	28.1	23.2	23.6	4.3	720.5	717.7	718.3	74	59	57	NE 0	WSW 2	W 1	0	0	1	.	
8	20.3	**29.6**	18.8	22.9	3.6	719.2	716.0	719.8	73	50	95	W 0	SW 2	NW 1	0	3	9	**24.3**	● 14½–17¼, ⌇ 16–16½, ⌿ 15–15¾
9	19.0	28.2	19.4	22.2	2.8	717.4	714.4	716.5	85	51	91	NE 1	NNE 0	WSW 1	3	5	9	0.5	⛆ 18¾–19, ⌿ 16–16½
10	19.6	26.6	17.2	21.1	1.7	715.2	711.8	713.7	82	60	95	W 1	WSW 2	SW 1	3	5	10	8.9	● 15¾–16½, 18¾–24 mU, ⌇ 15¾–16½,
11	15.5	16.9	14.6	15.7	–3.7	713.4	713.6	715.3	94	76	80	W 1	W 2	W 2	10	10	8	.	[⌿ 16¾–17 ● 0–6½ mU
12	15.2	21.9	17.9	18.3	–1.2	715.2	713.2	713.7	79	60	80	W 1	NW 1	SW 0	10	3	8	.	
13	17.3	28.1	19.1	21.5	2.0	713.2	710.7	710.1	87	44	90	W 0	SW 0	S 1	1	6	2	4.9	● 18¼–19, ⌇ 18–18½
14	16.6	16.9	14.9	16.1	–3.4	**709.2**	711.8	712.1	94	91	95	W 2	W 1	W 2	10	10	1	12.3	● 1–1¼, 4½–6½, 8½–14,
15	15.6	19.6	14.6	16.6	–2.9	712.6	711.8	712.9	84	70	90	NW 1	WSW 1	SW 0	2	7	10	1.2	● 17½–18¾]⌇ 9¾–11¼
16	14.2	20.1	14.8	16.4	–3.2	713.2	712.7	714.7	85	64	89	SW 0	WSW 2	W 1	7	8	10	2.0	● 17½–18¾, 21½, 22¾, ⊕ 13¼–
17	16.1	22.6	16.2	18.3	–1.3	715.8	715.0	716.0	86	54	70	W 1	SW 2	W 1	6	4	0	.	● 0½, 2¼–3½ [13¾, ⌿ p
18	15.1	26.1	19.8	20.3	0.7	715.5	713.7	713.0	83	**36**	69	N 1	N 0	W 3	0	0	10	7.9	● 22¾–24, ⌇ 20½, 22¾–23, ⌿ p-n
19	17.4	16.5	**12.6**	15.5	–4.1	711.9	710.0	711.9	91	90	89	SW 0	W 2	NE 0	9	10	4	6.5	● 0–4, 11½–12½, 13¾–16
20	13.8	20.5	14.4	16.2	–3.4	711.2	709.7	711.9	84	55	76	NE 0	NE 1	NW 1	8	6	2	.	
21	14.5	18.2	14.4	15.7	–3.9	713.3	713.8	715.6	78	68	83	W 0	W 2	NW 1	7	6	6	0.0	●tr 12½
22	14.5	22.3	18.9	18.6	–0.9	716.0	714.6	715.4	77	52	61	N 0	N 2	SW 0	5	3	7	.	
23	14.3	24.8	18.2	19.1	–0.4	717.0	715.7	718.0	80	53	60	N 1	SW 2	W 2	1	5	1	.	
24	16.0	24.0	20.1	20.0	0.5	720.3	719.0	719.7	75	46	55	WSW 0	SW 1	W 2	0	1	0	.	
25	18.4	25.3	20.3	21.3	1.8	721.4	720.6	721.1	70	57	69	W 1	SW 2	W 1	0	0	0	.	
26	18.8	26.3	22.2	22.4	3.0	721.3	718.9	717.3	80	58	65	W 0	WSW 2	W 1	0	0	0	.	
27	19.4	27.9	19.1	22.1	2.7	716.0	712.4	712.9	76	56	87	NNE 1	SW 2	SW 2	0	1	10●	6.5	● 20¼–23, ⌇ 20¼–20¾
28	18.4	25.1	20.1	21.2	1.8	713.0	709.8	710.0	80	60	72	N 1	N 0	W 1	3	10	7	.	
29	19.0	24.1	17.2	20.1	0.7	710.7	710.0	714.3	76	71	98	NNW 2	NW 1	W 3	9	9	10●	12.4	● 18¼–24, ⌇ 18¼–18½,
30	17.7	21.2	16.8	18.6	–0.7	715.8	714.9	718.1	79	60	61	WSW 1	SW 2	N 1	8	1	0	.	● 0–3¾ [⌿ p-n
31	15.3	22.6	16.6	18.2	–1.1	720.3	719.3	719.1	77	50	63	NW 0	W 2	SW 1	9	1	1	.	
Mittel	16.9	23.4	17.8	19.3	—	715.8	714.4	715.6	81	59	76				4.6	4.8	4.8	Summe 99.7	

$\lambda = 8° 58'$, $\beta = 46° 00'$,
$H_b = 276.2$ m, $G = -0.04$ mm

Lugano

Juli 1956
Beobachter: *G. Vicari*

Tag	Lufttemperatur 7³⁰	13³⁰	21³⁰	Mittel	Abweich. vom Normalst	Luftdruck 7³⁰	13³⁰	21³⁰	Relative Feuchtigkeit 7³⁰	13³⁰	21³⁰	Windrichtung und Stärke 7³⁰	13³⁰	21³⁰	Bewölkung 7³⁰	13³⁰	21³⁰	Niederschlag	Witterung
1	17.6	18.0	16.4	17.3	−3.3	738.3	738.1	736.5	91	92	96	NNW 1	SE 1	NW 1	10●	10●	10	**108.1**	● n–15½, n (1./2.)
2	15.2	15.8	**12.2**	14.4	−6.3	734.6	733.9	734.5	96	94	96	E 1	S 1	N 1	10	10●	10●	65.9	● 6–7, 12–n mU, ⌇ 13¼, [18–18½
3	17.2	26.4	20.8	21.5	0.7	735.3	737.5	740.0	45	**31**	41	NNE 1	NE 2	N 1	1	1	0	.	
4	15.4	26.2	21.4	21.0	0.2	743.0	742.4	742.6	59	43	58	NNW 1	S 1	N 1	0	1	0	.	
5	16.6	27.2	21.8	21.9	1.0	743.4	742.8	741.9	78	48	69	N 1	S 1	N 1	1	5	0	.	
6	18.4	28.8	22.6	23.3	2.3	741.4	740.0	739.7	83	51	62	ENE 1	S 1	N 1	1	10	0	.	
7	18.6	29.0	24.4	24.0	3.0	741.6	741.8	741.3	72	57	79	N 1	S 1	N 1	0	3	0	.	
8	21.4	29.8	24.6	25.3	4.2	741.9	740.5	739.2	84	56	73	NW 1	S 1	N 1	1	1	3	0.2	
9	22.2	26.2	21.4	23.3	2.2	739.1	738.0	738.4	95	57	74	S 1	E 1	SW 1	10	8	1	.	∴ 7¼
10	19.2	28.8	16.2	21.4	0.2	736.7	735.2	735.3	84	57	98	NNE 1	S 1	N 1	7	6	10●	64.0	● 18¾–n, ⌇ 17¾ 19¼, ▲ 18¼
11	17.8	20.2	22.6	20.2	−1.0	733.2	732.8	732.9	94	71	39	E 1	NW 1	NNE 1	9	9	0	0.2	∴ 10½
12	17.2	27.2	21.8	22.1	0.8	734.8	735.6	736.1	71	46	68	N 0	S 1	N 1	0	1	4	.	
13	20.4	27.0	19.2	22.2	0.9	736.8	735.7	734.8	74	51	97	N 1	S 1	NE 2	8	6	10●	8.4	∴ 19¾, ● 20–n mU, ⌇ 21¼–21½
14	19.4	15.2	15.8	16.8	−4.5	731.9	733.1	733.2	91	93	82	S 1	NNE 1	N 1	10	10●	0	14.6	● n–14½ mU, ⌇ 2–3, 4–5, 12½–13½
15	14.8	26.0	18.4	19.7	−1.7	734.0	733.5	734.0	83	51	78	N 1	SE 1	W 1	1	4	10	9.5	● ⌇ 14¾–15¼, 21½–22
16	15.2	26.0	17.8	19.7	−1.7	734.4	733.7	734.6	80	46	66	NNE 1	S 1	NNW 1	1	3	8	1.3	● 17–17¼
17	15.4	26.4	19.2	20.3	−1.1	735.8	736.4	738.1	69	42	64	NNE 1	S 1	NNW 1	0	2	1	.	
18	16.8	27.2	21.2	21.7	0.2	739.9	738.5	737.7	78	53	73	SSW 1	S 1	N 1	0	4	6	8.2	● n (18./19.)
19	18.8	20.8	18.2	19.3	−2.2	736.0	733.1	732.3	90	82	84	NNW 1	N 1	N 1	9	10	9	12.8	● 14–15, ⌇ ● 4–5
20	16.2	15.0	18.2	16.5	−5.0	731.6	**731.4**	732.5	77	78	69	N 1	ESE 1	N 1	1	10●	6	20.2	● 13–14¾, ⌇ 13, 14–14¾, [▲ 13
21	16.0	21.2	17.8	18.3	−3.3	734.3	734.5	736.2	72	58	73	ENE 1	NE 1	WSW 1	9	0	0	.	
22	16.0	23.0	17.4	18.1	−3.5	738.0	738.8	738.7	67	52	67	W 1	S 1	N 1	9	6	1	.	
23	15.2	27.2	19.8	20.7	−0.9	738.6	737.0	738.4	77	47	70	NNE 1	SSE 1	NNW 1	0	1	0	.	
24	18.2	29.2	23.2	23.5	1.9	739.5	738.8	738.8	58	42	44	E 1	SSE 2	N 1	0	0	0	.	
25	20.0	**30.2**	23.4	24.5	2.9	740.6	740.8	741.9	63	39	61	N 1	ESE 1	NNW 1	1	0	0	.	
26	17.2	29.4	21.2	22.6	1.0	**744.1**	742.5	740.8	65	55	79	NNE 1	S 1	N 1	2	2	10	.	
27	21.2	28.2	23.2	24.2	2.6	739.2	737.0	735.2	83	52	73	N 1	S 1	N 1	9	8	10	5.2	● n (27./28.)
28	19.0	28.0	22.4	23.1	1.5	735.0	733.8	734.1	80	49	79	N 1	SSE 1	NNW 1	2	7	8	.	⌇ 1–2
29	20.2	27.2	22.2	23.5	2.0	735.5	735.4	735.6	80	50	79	ESE 1	SSW 1	N 1	9	7	10	.	
30	20.0	27.2	21.2	22.8	1.3	737.3	737.4	738.2	73	54	73	NNW 1	ESE 1	N 1	7	5	2	.	
31	18.0	29.2	22.2	23.1	1.6	739.7	739.1	738.2	73	42	58	N 1	SSE 1	NNW 1	0	0	0	.	
Mittel	17.9	25.4	20.3	21.2	—	737.6	737.1	737.2	77	56	72				4.1	4.8	4.2	Summe 318.6	

$\lambda = 7° 35'$, $\beta = 47° 33'$,
$H_b = 317.3$ m, $G = -0.08$ mm

Basel

Juli 1956
Beobachter: *Astronom.-Meteorol. Anstalt*

1	14.5	24.3	18.7	19.2	1.8	731.6	731.1	729.7	84	63	80	E 1	NNW 0	SE 1	10	9	10	12.7	● 8–8¾
2	15.3	16.1	12.9	14.8	−2.6	729.8	**729.2**	733.4	93	92	92	NNW 0	WNW 1	SE 1	10●	10●	10	13.2	● 0½–9, 11–16¼, ⌿ 14
3	14.3	21.7	15.5	17.2	−0.3	737.5	738.5	740.3	83	**54**	89	SW 1	WNW 1	S 1	9	4	10	.	
4	15.5	23.6	17.1	18.7	1.1	740.9	740.3	740.5	79	61	88	ESE 1	WNW 1	SSW 1	1	9	2	.	
5	18.3	26.2	19.0	21.2	3.6	739.6	738.3	737.2	79	65	87	E 1	WNW 1	SSW 1	7	9	0	.	
6	19.5	23.1	17.9	20.2	2.5	738.4	739.6	741.1	76	61	76	WNW 1	WNW 2	WSW 1	9	6	6	.	⌿ 11
7	16.4	25.2	19.0	20.2	2.4	740.6	739.3	738.8	82	62	76	E 1	NW 1	SW 1	0	0	0	.	
8	19.6	27.7	23.8	23.7	5.9	738.9	737.3	736.7	79	60	70	E 0	NNW 1	SW 1	0	0	9	.	
9	21.1	**30.3**	21.6	24.3	6.4	735.3	733.9	734.5	79	**54**	71	E 1	NNW 0	WNW 2	8	1	10	1.8	● 21½ 23 mU, ⌇ 22, ⌿ 21½
10	19.6	27.1	15.7	20.8	2.9	733.9	732.2	733.3	84	64	97	E 1	WSW 1	S 1	8	7	10●	**45.1**	● 15–16¼, 17¾ 24, ⌇ 15–[15¼, ⌿ 15
11	12.4	12.5	**11.8**	12.2	−5.8	734.1	735.5	737.1	95	92	93	WNW 1	WSW 1	WNW 1	10●	10●	10●	10.8	● 0 22
12	12.2	14.6	12.5	13.1	−4.9	735.3	734.8	733.7	91	84	92	NW 0	NW 0	W 0	10	10	0	.	
13	14.8	27.3	19.0	20.4	2.4	731.9	730.0	729.6	87	57	90	SE 1	ENE 1	SW 1	1	7	10●	30.9	● 17½ 18½, 20¼, ⌇ 22
14	15.0	18.4	14.5	16.0	−2.1	729.3	729.8	730.4	94	79	95	SW 1	W 1	SSW 1	10●	10	4	17.8	● 1¾–10¾, 18¾–22¾ mU, *)
15	13.8	21.9	14.9	16.9	1.2	731.4	730.9	731.7	92	64	93	ESE 1	WSW 1	SSE 1	9	7	10●	9.2	● 0–6½, 15½–19¾ mU, tr 21½, ⌇ 15–18
16	14.4	19.4	14.5	16.1	−2.0	731.8	732.7	733.4	93	60	90	ESE 1	WSW 1	WNW 0	10●	7	10	2.3	● 2½–3, n 7½, 9½–10¾
17	14.7	19.4	15.0	16.4	−1.7	734.8	736.1	736.0	84	69	90	WSW 1	WNW 2	SSW 1	10	9	0	.	● 1¾–2
18	15.2	26.0	16.1	19.1	0.9	735.3	733.7	733.6	89	56	92	E 0	ESE 1	SSE 1	7	2	10●	8.7	● 18¾–24, ⌇ 18½–19, 20¾–21¼
19	15.9	15.4	13.4	14.9	3.3	731.2	730.6	730.2	89	93	94	ESE 1	WSW 1	ENE 1	10	10●	7	20.5	● 0 0½, 10½ 10¾, 12 16¾
20	12.8	16.8	12.8	14.1	−4.1	730.3	730.2	731.7	93	80	93	E 1	NNW 1	WNW 0	10●	8	7	8.6	● 1¼ 5¼, 7½, 10 10¾, *)
21	12.2	18.4	14.2	14.9	−3.3	732.5	733.7	735.2	92	70	93	SSE 1	WNW 1	NW 0	10	7	1	1.7	● 8¾–12¾
22	11.9	22.1	15.0	16.3	−1.9	735.9	735.9	736.6	91	59	89	ESE 1	NNW 1	E 0	2	7	1	.	
23	14.4	20.1	14.9	16.5	−1.8	737.4	738.1	739.0	88	70	81	E 0	WNW 2	WSW 1	0	7	2	.	⌿ 14¾
24	15.4	22.8	19.6	19.3	1.0	739.6	740.0	740.8	83	59	71	SSW 1	W 2	WSW 2	8	4	10	1.3	● 23¾–24
25	17.6	22.7	15.8	18.7	0.4	742.2	**742.8**	742.7	84	61	85	SW 0	NW 1	WSW 1	10	2	0	.	● 0–0¾
26	15.2	26.0	17.2	19.5	1.3	741.7	739.4	736.8	77	56	90	E 1	WNW 1	SSW 1	0	0	1	.	
27	15.9	28.6	22.5	22.3	4.1	734.3	732.1	731.0	76	61	62	E 1	NW 1	WSW 2	3	2	10	0.0	● 22–22¾, ⌿ 21¼
28	18.2	17.6	16.5	17.4	−0.8	730.6	730.7	730.2	76	84	98	E 1	WNW 2	SE 1	7	10	10	11.7	● 13¾–16¾
29	16.0	19.2	18.8	18.0	0.2	728.2	729.6	731.8	92	94	78	ESE 1	N 1	SW 1	9	10●	10	14.2	● 0¾ 4½, 12¼ 13½, 15 17, [⌇ 12½ 13½
30	14.0	19.4	13.4	15.6	2.5	736.7	737.1	739.2	78	58	83	W 1	WNW 2	SW 1	7	5	2	.	
31	14.0	20.6	14.1	16.2	−1.9	740.0	739.6	739.9	77	64	86	E 1	WNW 1	SSW 1	3	7	2	.	
Mittel	15.5	21.8	16.4	17.9	—	735.2	734.9	735.4	85	68	86				6.7	6.3	6.1	Summe 210.5	

*) 14. ⌇ 2, 6, 18¾–18¾, ▲ 18¾, ⌿ 18½ 20. ● 11–12½, 13¾–14, ⌇ 11–11¾, ▲ 11½

Juli 1956
Beobachter: *Observatorium*

Säntis

$\lambda = 9° 21'$, $\beta = 47° 15'$,
$H_b = 2500.1$ m, $G = -0.29$ mm

Tag	Lufttemperatur 7³⁰	13³⁰	21³⁰	Mittel	Abweich. vom Normalst	Luftdruck 7³⁰	13³⁰	21³⁰	Relative Feuchtigkeit 7³⁰	13³⁰	21³⁰	Windrichtung und Stärke 7³⁰	13³⁰	21³⁰	Bewölkung 7³⁰	13³⁰	21³⁰	Niederschlag	Witterung
1	7.4	7.6	4.7	6.6	2.4	564.5	564.0	563.3	62	78	88	S 2	SSW 2	SSW 3	9	10	5	1.4	● 12¼-13, ⛆ 13½-14 ⊠
2	5.1	6.3	**-0.4**	3.7	-0.6	561.1	560.7	561.7	76	81	100	S 3	S 2	W 4	9	10	10≡*	20.3	⛆ 15¼, 15½-16, ⛆ 16-16½, *) ⊠
3	-0.2	0.7	0.3	0.3	-4.0	565.0	567.2	569.0	100	100	96	WSW 2	W 2	WSW 2	10≡ ☽	10≡	3	1.9	△ n-7½ mU, ☽ 7½-10 mU,*) ⊠
4	3.4	5.4	4.7	4.5	0.1	569.4	570.5	570.9	82	87	100	SW 2	W 2	WSW 3	1	6	3≡	.	≡ 14½-n ⊠
5	5.3	8.7	7.2	7.1	2.6	570.7	571.2	570.2	82	77	91	WSW 3	WSW 3	WSW 4	4	7	1	.	⛆ III ⊠
6	6.3	7.7	5.6	6.5	1.9	569.0	570.2	571.3	100	93	100	W 3	W 3	WSW 3	10≡	10≡	10≡	.	≡ n-n mU ⊠
7	7.7	12.1	9.5	9.8	5.2	570.9	572.0	572.2	**13**	41	69	WSW 3	SW 2	W 2	1	1	0	.	⊠
8	12.4	**15.2**	12.0	13.2	8.5	571.8	572.2	571.3	57	37	52	SSW 1	S 1	SE 1	1	1	9	.	⊠
9	10.8	13.0	8.2	10.7	5.9	569.5	569.0	568.3	70	47	93	E 1	S 1	S 2	9	5	10	10.8	● 14¾-16½, ⛆ 19¾-20¼, *)
10	6.4	11.4	4.9	7.6	2.8	566.6	566.3	564.8	84	76	100	WSW 2	SW 1	WSW 2	3	9	10≡●	24.9	⛆ 15¼-15½, 16¼, ● 18¼-19½, *)
11	3.5	3.2	0.2	2.3	-2.6	562.6	563.6	564.6	100	100	100	WSW 3	WNW 2	WSW 2	10≡●	10≡●	10≡☽	34.6	● n-15, ☽ 15-n, ≡ n-n
12	4.8	11.8	6.9	7.8	2.9	564.2	564.7	565.4	88	54	84	NE 2	SW 1	SSE 2	1	1	1	.	
13	7.1	11.6	8.6	9.1	4.1	564.6	564.9	564.4	85	66	73	ESE 3	SSE 1	SSW 2	2	4	9	0.3	⛆ n (13./14.)
14	5.8	2.1	2.4	3.4	-1.6	561.4	560.9	561.6	87	100	100	S 3	W 3	WSW 3	10●	10≡●	10≡	18.0	⛆ 6¾-7½, ● 8¾-13½, *)
15	1.7	3.5	1.6	2.3	-2.8	561.7	562.5	562.5	100	90	100	W 3	W 2	WSW 2	10≡	9	10≡	4.7	⛆ 9½-12 mU, 13¾-16 mU, *)
16	0.6	4.0	-0.3	1.4	-3.7	561.7	562.6	562.9	100	92	100	W 3	W 1	WSW 3	10≡	10≡●	10≡	27.7	⛆ 12¾, 13¼-13½, ⛆ 13½-15¾, *)
17	0.0	1.1	2.4	1.2	-3.9	563.4	565.4	566.9	100	100	92	W 3	WSW 3	WSW 2	10≡	10≡	1	2.8	⛆ n-9 mU, ☽ 9-12, ≡ n-16
18	6.1	9.2	7.6	7.6	2.4	566.3	566.9	565.6	73	75	69	WSW 2	SE 1	SSW 2	6	4	10	21.3	● n (18./19.)
19	5.6	9.0	0.5	5.0	-0.2	563.5	561.3	561.1	84	68	97	SSW 2	SSE 3	WSW 2	8	6	9	5.6	● 14¾-17¼, ≡ 13¾-18¼, ⛆ 16½
20	1.0	1.2	0.3	0.8	-4.4	560.0	**560.0**	561.8	100	98	100	WSW 1	W 3	WSW 3	10≡	4	10≡	8.6	⛆ 8¾-10, 12¾-13, 14½-15¼,*)
21	0.7	2.2	0.5	1.1	-4.2	562.2	562.9	565.4	98	100	100	WSW 2	W 2	WSW 1	10≡	10≡	10	6.5	● 11¾, 12¾-13¼, 15½-15¾,*)
22	3.0	8.1	3.0	4.7	-0.6	565.3	566.4	567.0	76	77	98	NE 1	S 1	NNW 1	6	9	5	2.6	⛆ n (22./23.), ⊕ 10½
23	2.9	5.5	1.4	3.3	-2.0	566.9	567.6	567.9	100	90	100	WNW 2	WSW 2	W 2	10≡	9	10≡	0.6	● n (23./24.), ≡ n-n mU
24	0.9	4.1	4.0	3.0	-2.3	567.8	569.0	570.1	100	90	100	WSW 3	WSW 4	W 3	10≡	4	10≡	15.5	● n (24./25.), ≡ n-9¼, 15-n mU,
25	1.9	5.4	5.4	4.2	-1.2	570.4	572.4	**572.8**	100	77	34	WNW 2	WSW 2	SW 2	10≡	5	1	.	≡ n-14, 17½-19 mU [⛆ II
26	7.6	12.2	8.9	9.6	4.2	572.0	572.1	570.4	22	64	32	WSW 2	S 1	SW 2	0	0	0	.	
27	8.6	10.8	8.3	9.2	3.8	567.7	566.9	565.2	72	83	97	WSW 3	WSW 2	WSW 3	6	3	10	2.4	⛆ n (27./28.)
28	6.6	12.9	7.5	9.0	3.6	564.0	564.2	563.5	80	62	68	SW 3	SSW 1	SW 2	1	9	9	13.5	● ≡ 15¾-16½, ⛆ 15¼-16½
29	9.0	13.5	5.6	9.4	4.0	563.3	564.1	564.1	73	67	100	SW 3	SSW 2	W 4	9	8	10≡●	**53.5**	● 15¾-16, 19-n, ≡ 15½-n
30	4.8	9.8	2.5	5.7	0.3	565.6	566.7	568.0	100	80	100	SSW 2	SW 1	WSW 2	10≡	10≡	10≡	1.0	☽ 15-n mU, ≡ n-8½, 11½-n
31	2.0	6.7	2.7	3.8	-1.6	568.1	568.9	569.4	97	78	100	SW 2	SW 2	WSW 2	0	4	10≡	.	≡ 10-15½ mU, 15½-n
Mittel	4.8	7.6	4.4	5.6	—	565.8	566.4	566.6	83	78	88				6.6	6.7	7.3	Summe 278.5	

Juli 1956
Beobachter: *E. Chiesa*

St. Gotthard (Hospiz)

$\lambda = 8° 34'$, $\beta = 46° 33'$,
$H_b = 2095$ m, $G = -0.27$ mm

1	6.4	6.2	5.7	6.1	-0.5	593.6	593.2	592.6	96	98	98	SE 1	SE 1	SE 1	10●	10●≡	10●≡	36.6	● n-n mU, ≡ a-n
2	4.8	4.0	**0.1**	3.0	-3.7	590.1	589.6	590.4	98	90	98	SE 1	SE 1	NW 2	10●	10●	10*≡	**68.7**	● n-16¾, ✳ 16¾ n, ≡ p-n
3	1.8	5.5	3.2	3.5	-3.3	593.0	596.0	597.2	98	89	97	NW 3	NW 2	NW 1	9	9	10≡	.	≡ 20-n, ⛆ n-a ⊠
4	3.4	11.6	7.2	7.4	0.5	598.8	599.4	**600.8**	82	49	92	NW 1	NW 1	NW 1	0	3	3	.	
5	9.0	16.8	9.0	11.6	4.6	**600.8**	599.6	600.6	62	**32**	90	NW 1	NW 0	SE 0	0	3	0	.	
6	10.5	16.2	9.0	11.9	4.8	599.0	599.0	599.5	65	43	98	NW 0	NW 0	NW 1	0	0	10≡	.	≡ 16¾-n
7	9.4	17.2	11.2	12.6	5.4	599.8	600.2	600.4	58	33	80	NW 2	NW 1	NW 0	0	0	0	.	
8	13.0	18.5	10.8	14.1	6.8	600.5	600.4	599.3	39	34	80	NW 0	NW 0	NW 1	0	0	3	1.3	● 18-19
9	12.0	12.2	10.6	11.6	4.2	598.0	597.9	596.7	65	56	80	NW 0	SE 1	NW 0	6	9	0	1.8	● 12-12¾
10	10.2	17.8	7.8	11.9	4.4	595.2	594.2	592.9	76	49	98	NW 1	NW 0	NW 1	0	6	10≡	22.6	● 15¼-15½, 18-n mU, ≡ 18-n
11	5.0	5.3	2.6	4.3	-3.3	591.1	591.6	592.7	98	99	100	NW 2	NW 2	NW 3	10●≡	10≡	10≡	4.4	● n-a, ☽ 10-p mU, ≡ n-n
12	4.7	14.0	9.8	9.5	1.8	592.6	593.3	594.1	84	59	98	NW 1	SE 1	SE 1	0	6	10	.	[mU, ⛆ a-n mU
13	9.1	12.2	8.4	9.9	2.1	593.6	593.7	593.1	93	85	94	SE 1	SE 1	SE 2	10	10	10	33.5	● 19½ n mU
14	7.1	3.6	5.0	5.2	-2.7	589.6	589.9	590.4	97	99	98	SE 1	NW 2	NW 1	10●	10●	6	62.7	● n-14¾, ⛆ 7½
15	4.4	9.6	3.8	5.9	-2.1	590.5	590.4	590.9	98	75	99	NW 1	SE 1	NW 1	9	9	10	16.6	● 14-n mU
16	5.0	7.7	2.9	5.2	-2.9	590.9	591.0	592.0	76	93	98	NW 1	NW 1	NW 1	3	10	10≡	8.6	● 15¾-n mU, ≡ 15¾-n
17	3.4	8.6	5.3	5.8	-2.4	592.4	594.6	595.3	98	64	97	NW 1	NW 1	NW 1	10	6	0	.	
18	7.4	11.3	8.2	9.0	0.7	595.6	595.8	594.7	80	72	99	SE 1	SE 1	SE 0	6	6	10≡	8.8	● n (18./19.), ≡ 19½ n
19	6.8	7.4	4.2	6.1	-2.2	592.1	590.0	589.7	98	87	90	SE 1	SE 1	NW 0	10≡	10	3	23.6	● 7¾-p, ≡ n-18½
20	4.0	7.4	3.0	4.8	-3.6	**588.6**	588.8	590.5	85	74	99	NW 1	NW 0	NW 2	0	9	10≡	0.0	● 9¼, ≡ 17¼-n
21	4.0	7.5	2.8	4.8	-3.6	590.8	591.5	593.9	80	84	99	NW 1	NW 1	NW 2	9	9	0	.	⌓ I
22	4.1	13.3	6.2	7.9	-0.5	594.0	594.6	595.0	76	53	98	NW 1	SE 1	NW 1	3	3	3	.	⌓ I
23	5.2	11.4	4.8	7.1	-1.4	595.4	596.2	596.7	87	54	99	NW 1	NW 1	NW 2	6	3	10≡	.	≡ 19¾-n, ⌓ I
24	4.3	12.2	7.4	8.0	-0.5	597.3	598.3	598.8	86	49	95	NW 1	NW 1	NW 2	0	0	10	.	≡ 20¼-n mU
25	6.2	11.0	9.0	8.7	0.2	598.8	600.4	600.4	99	76	90	NW 2	NW 2	NW 2	10≡	0	10≡	.	≡ n a, 19¾-n
26	9.0	**18.6**	10.4	12.7	4.2	600.6	600.6	599.4	40	44	94	NW 1	SE 0	SE 0	0	0	0	.	
27	10.0	14.9	10.0	11.6	3.1	596.8	596.4	594.2	96	83	99	SE 0	SE 1	SE 1	3	9	10	13.9	● 20¼-n mU, ≡ 9¼-p mU
28	10.0	12.6	9.8	10.8	2.3	593.4	592.9	592.5	79	81	98	SE 0	SE 1	SE 1	0	10	10	2.4	● 15¼-18
29	9.4	9.4	9.6	9.5	1.0	592.7	593.3	593.3	96	91	99	SE 3	SE 2	SE 1	10	10	10	12.8	● 14¾-n mU, ≡ 14-n mU
30	7.0	14.2	5.6	8.9	0.4	594.2	595.1	596.9	98	81	99	NW 0	SE 1	NW 2	9	10≡	10≡	2.3	● 15¼-15½, ≡ 13¼-n
31	3.4	12.0	5.2	6.9	-1.6	597.4	597.4	598.4	98	47	98	NW 2	NW 1	NW 2	0	0	10≡	.	≡ 19½-n
Mittel	6.8	11.3	6.7	8.3	—	594.8	595.0	595.3	83	68	95				4.9	6.1	7.0	Summe 320.6	

*) Säntis: **2.** ✳ 16½-n, ≡ 15¾-n, ⛆ IIII-n **3.** ≡ n-16, 16¾-18½ **9.** ⛆ 14¾-15¼, 15¼-16¾, ▲ 14¾-15½ **10.** ● 20¼-n, ⛆ 18½-19½, ≡ 13½-15, 18½ n **14.** ☽ n (14./15.), 15¼-16¾, ⛆ 9¾, ≡ 9-13¾, 14½-n **15.** ≡ n-15¼ mU, 20½-n **16.** ⛆ 19¾-20½, ≡ n n mU **20.** ⛆ 16½-17¾, ≡ n-n mU **21.** ⛆ 15¾-16½, ≡ n-7¾, 8¾-20½ mU

$\lambda = 7° 26'$, $\beta = 46° 57'$,
$H_b = 572.2$ m, $G = -0.04$ mm

Bern

August 1956
Beobachter: *Meteorologisches Observatorium*

Tag	Lufttemperatur 7³⁰	13³⁰	21³⁰	Mittel	Abweich. vom Normalst	Luftdruck 7³⁰	13³⁰	21³⁰	Relative Feuchtigkeit 7³⁰	13³⁰	21³⁰	Windrichtung und Stärke 7³⁰	13³⁰	21³⁰	Bewölkung 7³⁰	13³⁰	21³⁰	Niederschlag	Witterung
1	13.2	19.5	16.8	16.5	-1.2	717.3	715.0	712.6	82	51	60	SE 0	W 1	WSW 2	7	2	10	2.6	● 22¼-24, △ I
2	13.4	19.8	16.5	16.6	-1.1	710.4	709.7	710.4	92	60	67	W 1	SW 3	WSW 2	10●	6	9	6.2	● 0 8, 14¾ 15¼, ⸗ II
3	13.0	15.0	13.1	13.7	-3.9	707.8	709.2	710.8	97	64	74	SW 1	WSW 2	SW 1	10●	8	9	1.7	● 6¾-8¾, 22-23¼, ⊽ 12¾-13, 11¼,
4	12.4	14.7	12.6	13.2	-4.4	710.5	710.7	711.1	81	66	80	SW 0	WSW 2	SW 0	6	7	9	0.5	● 0¼-2, 12½-13, ⊽ 18¼ [21¼-21½
5	10.5	16.2	13.2	13.3	-4.2	711.5	711.7	711.7	90	47	77	SE 0	W 1	N 1	8	6	5	0.0	△ I
6	11.1	16.2	12.6	13.3	-4.2	712.7	711.8	715.1	93	72	98	NE 0	NW 1	N 0	9	9	10●	4.0	● 7-7½, 12½-13, 14¼-22¼, ≡ 23¾-24
7	12.6	14.1	13.4	13.4	-4.0	716.7	719.3	**721.4**	97	96	98	SW 0	W 0	NNE 0	10	10●	10●	23.3	● 8¾-23½
8	12.7	16.8	15.8	15.1	-2.3	721.2	720.7	719.5	98	83	94	NNE 1	NNE 1	W 0	10	10	0	.	≡ 2½-7, △ III
9	15.5	21.9	19.6	19.0	1.7	718.6	717.5	714.3	92	69	93	S 0	NNE 1	NE 1	10	0	0	.	≡ 1½-2, △ I, III
10	17.0	**26.7**	18.8	20.8	3.6	711.6	709.8	709.1	96	58	94	SE 0	WSW 1	W 1	3	2	10●	29.6	⊽ 20 20¼, ● 21-23¼, *)
11	14.0	17.7	13.5	15.1	-2.1	709.8	709.3	710.1	94	61	94	SW 1	WSW 2	W 2	10●	10●	9●	4.6	● 0-8¼, 13¼-13¾, 17¼-21½
12	13.4	18.3	13.2	15.0	-2.1	712.2	713.4	713.5	90	44	72	WSW 1	W 2	NE 0	7	2	0	.	● 3¼-5½, △ III
13	9.6	20.6	16.8	15.7	-1.3	711.9	710.6	710.8	85	51	54	SE 0	W 1	W 1	4	2	4	.	△ I
14	14.2	18.4	15.5	16.0	-1.0	710.9	711.6	712.8	77	81	95	ESE 0	N 0	SW 0	4	10	10	2.1	⊽ 12, 19¾-20, ● 20¼-21½, 23¼-24,
15	14.7	19.7	15.4	16.6	-0.3	713.6	712.8	713.3	81	43	77	NE 0	W 1	SSE 0	5	5	1	.	● 0-1½, ⊕ II [△ I
16	12.0	22.5	16.7	17.1	0.3	713.0	712.0	710.7	85	**39**	75	SE 0	SW 1	SE 0	1	5	1	.	△ I
17	14.2	19.2	17.7	17.0	0.2	710.5	710.1	708.9	80	88	87	E 0	W 1	N 0	4	9	9●	6.4	● 12½-14¾, 22¼-22¾, ⸗ 22¼-22¾
18	16.4	22.5	17.2	18.8	2.1	708.1	707.8	708.7	91	67	95	SE 1	W 1	SSE 0	9	9	9	20.0	● 0½-0¾, 17¾-18¼, 20¼-23 mU, ⊽ 15½,
19	15.6	20.8	15.8	17.4	0.8	710.1	710.5	712.0	90	53	85	SW 1	WSW 2	W 0	9	3	2	.	● 0½-5¾ mU, ⊽ 21½ [19¼-19¾
20	13.9	15.0	14.1	14.3	-2.3	711.0	711.8	710.0	86	97	97	SE 0	SE 1	N 1	2	10●	10	20.1	● 10¼-17, 19½-21¼, 23¼-24, *)
21	14.5	15.8	12.4	14.2	-2.3	711.6	712.7	712.2	97	90	94	SE 1	SE 1	NE 1	10●	8	2	10.0	● 0-0¼, 7½-13½, ≡ 23¼-23¾, △ III
22	11.7	16.0	11.5	13.1	-3.3	709.4	708.1	707.7	95	75	88	E 0	N 0	W 0	10	10	7	4.4	● 9½-9¾, 17½-19¾ mU, *)
23	11.2	13.5	11.7	12.1	-4.3	706.2	706.9	708.6	94	79	85	SE 1	SW 1	SW 1	10	10	10	4.2	● 3¾-12¾ mU, 15-15¾, 17¼-18½, ⊽ 0½
24	11.2	14.4	12.2	12.6	-3.7	705.8	706.4	704.6	91	61	79	SE 0	SW 3	SW 0	10	9	10●	1.7	● 5¼-6¼, 8¾-10½, 20½ 21, ⸗ II
25	18.2	19.0	13.6	16.9	0.7	**700.5**	702.4	705.6	61	76	96	SW 2	WSW 3	SE 1	10●	10●	10●	14.9	● 0-1¾, 5½-6¼, 7¾-23¼ mU, ⸗ II
26	12.2	18.4	14.6	15.1	-1.0	709.3	709.7	709.9	83	56	95	SW 0	SSW 0	SW 0	9	9	8	0.6	● 1¼-5, 14¼ 14½, 18¼ 20½
27	11.4	19.8	13.5	14.9	-1.2	707.3	706.0	711.9	98	76	97	W 0	W 1	SW 0	10≡	9	10●	**29.8**	● 14-23¾, ≡ 7-8, △ I
28	13.0	16.5	14.0	14.5	-1.5	710.6	711.5	713.7	95	80	78	E 0	SW 1	W 1	9	9	6	1.6	● 0¾-1, 9¼-10¼, ⸗ 9¼-9¾
29	10.0	14.8	10.1	11.6	-4.3	712.6	711.6	715.1	91	64	84	N 0	NNE 1	SW 2	6	9	9	17.4	● 14-14¼, 16¾-18, ⸗ 17¼, ⸗ 17¾-
30	9.0	15.7	11.4	12.0	-3.8	716.4	716.1	715.6	86	42	78	SE 0	SW 1	NE 0	3	7	1	.	● 1¾-3¼ mU [18, △ I
31	**8.1**	16.3	12.8	12.4	-3.3	715.2	713.5	712.0	93	64	87	SE 0	N 1	N 1	8	7	9	1.0	△ I
																		Summe	
Mittel	12.9	17.9	14.4	15.1	—	711.4	711.3	711.7	89	66	85				7.5	7.2	6.7	206.7	

*) **10.** ⸗ 19½-21¼, 21¾-23, ≡ 6-7, △ I **20.** ⸗ 12¼ 12¾, 13½-12¾ **22.** ⸗ 17½, ≡ 2¾-3½, △ I

$\lambda = 6° 57'$, $\beta = 47° 00'$,
$H_b = 487.3$ m, $G = 0.00$ mm

Neuchâtel

August 1956
Beobachter: *Observatorium*

1	13.8	21.4	16.7	17.3	-1.4	724.8	722.6	720.2	84	**41**	56	NE 1	SW 1	W 1	7	1	10	5.5	● 22-24
2	12.9	16.7	16.5	15.4	-3.3	718.3	717.4	717.9	95	90	61	SW 2	SW 2	SW 1	10●	10●	10	4.7	● 0-8, 13½-14, ⊽ 17¼, ⸗ p
3	13.1	16.1	13.2	14.1	-4.6	715.3	716.4	718.5	98	60	74	SW 1	SW 1	W 1	10●	8	10	2.6	● 1½-8½, ⊽ 10, 11, ⸗ 14-16
4	12.6	15.0	12.1	13.2	-5.4	717.9	718.4	718.5	80	70	67	SW 0	SW 1	W 1	8	9	2	0.3	● 4½-9 mU, 10¾-11¾
5	11.9	18.5	15.0	15.1	-3.5	718.8	719.1	719.2	82	43	59	NE 0	SE 0	N 1	6	2	2	1.8	
6	11.6	14.5	12.9	13.0	-5.5	720.0	719.5	722.4	96	85	99	E 0	SW 0	SW 0	10●	10●	10	10.9	● 2¾-21½
7	12.9	14.3	13.5	13.6	-4.9	724.3	726.5	**729.2**	98	98	99	N 0	SW 0	NE 1	10	10	10	12.2	● 3¾-23
8	13.0	21.2	15.9	16.7	-1.7	728.8	728.2	727.0	95	68	89	NE 0	E 1	SE 1	10	7	0	.	
9	14.1	21.5	19.5	18.4	0.1	725.9	725.0	721.8	93	70	81	SE 0	SE 0	NE 0	0	0	0	.	
10	16.9	**25.0**	17.8	19.9	1.6	719.1	717.1	715.8	94	67	80	NE 0	SW 0	NW 3	0	2	10●	12.7	● 19-21½, ⸗ III
11	13.8	15.0	13.7	14.2	-4.0	716.9	717.0	717.8	92	91	91	W 1	SW 2	SW 2	10	10●	9	3.2	● 0-6, 12 24 mU, ⸗ p
12	14.2	19.8	14.2	16.1	-2.0	719.6	721.0	721.0	68	50	59	SW 1	W 2	N 0	1	1	0	.	● 0-3 mU
13	11.0	19.5	16.6	15.7	-2.4	719.4	718.0	718.1	88	61	51	NE 0	SE 0	W 0	2	3	4	0.1	⊽ 6, 11½, 16
14	15.6	17.6	16.8	16.7	-1.3	718.3	719.2	720.0	83	82	85	S 0	SW 2	W 1	7	10	9	0.2	
15	14.0	21.5	16.1	17.2	-0.7	721.1	720.3	720.5	79	52	60	NE 0	SE 0	NE 0	0	6	0	.	
16	12.8	23.4	16.7	17.6	-0.3	720.3	719.4	717.8	89	45	75	NE 0	SW 0	W 0	0	2	0	.	
17	15.0	17.6	17.4	16.7	-1.1	717.7	716.8	716.2	88	92	98	NE 0	W 1	N 0	0	10●	8	14.4	● 9-12, 12½-14¼, 18-18¾, ⸗ 9, 12,
18	16.6	23.2	16.6	18.8	1.1	715.3	714.9	716.5	98	51	91	N 0	W 1	W 1	10	6	10	7.2	● 16¾ 24 mU [13, 18
19	15.3	23.3	16.2	18.3	0.6	717.4	718.0	719.4	85	60	51	W 1	S 1	W 0	4	0	3	.	● 0-6 mU
20	14.1	14.4	14.5	14.3	-3.3	718.5	720.2	717.7	89	98	98	NE 0	SW 0	SW 0	8	10●	10●	**34.7**	● 9¼-16½, 18¼-24, ⸗ 11½-14, 19
21	15.7	20.7	13.6	16.7	-0.8	718.8	719.6	719.8	96	66	95	W 0	SE 1	N 0	10	8	5	4.7	● 0-2½, 6, 15¾ 17½
22	12.2	16.3	12.5	13.7	-3.7	716.7	715.3	715.3	95	79	78	NE 0	E 0	W 1	10	9	7	3.4	● 9 9¾, 16¾, ⸗ 16½
23	11.9	14.3	12.2	12.8	-4.6	713.3	714.1	716.2	74	80	82	SW 1	SW 1	W 1	10●	10	10	3.6	● 0-16½ mU
24	12.4	16.6	12.7	13.9	3.4	713.2	713.9	712.0	83	57	72	SW 2	SW 3	SW 2	10	7	10●	4.8	● 8¾ 9, 19¼ 24, ⸗ II
25	17.4	15.1	15.3	15.9	1.3	**707.5**	709.8	712.6	70	95	75	SW 3	W 2	W 1	10	10	10	15.9	● 0 2, 7¾ 16¾ mU, ⸗ n-p mU
26	13.3	18.6	14.3	15.4	1.7	716.1	717.1	717.7	57	64	98	W 1	SE 0	SW 0	8	10	10●	2.8	● 1½, 18¾ 23
27	13.3	17.2	13.3	14.6	-2.4	714.5	713.8	719.3	98	88	99	E 0	S 2	W 0	10	10	10	26.7	● 4¾, 13½ 21 mU, ⊽ 12¾,
28	13.3	16.4	14.7	14.8	3.1	718.2	718.9	720.9	98	82	62	N 0	W 1	NW 2	10	10	0	0.2	● 1¾, 13½ 14¾ [⸗ 13½ 14¾
29	10.5	17.9	11.8	13.4	4.4	720.2	719.1	722.8	80	53	67	NE 0	S 0	W 1	2	8	10	4.6	● 16½ 17¼, ⸗ 16½ 17¾
30	10.6	18.0	11.4	13.3	-4.4	723.9	723.7	723.3	79	42	78	SW 0	SW 0	N 1	4	7	0	.	
31	**9.3**	16.7	14.7	13.6	-4.0	722.8	721.3	719.3	89	65	51	N 0	SE 0	NE 2	8	5	6	3.8	
																		Summe	
Mittel	13.4	18.3	14.8	15.5	—	718.8	718.8	719.2	88	69	77				6.6	6.8	6.3	181.0	

August 1956
Beobachter: *Frl. H. Nager*

Altdorf

$\lambda = 8° 38'$, $\beta = 46° 53'$,
$H_b = 456.3$ m, G = –0.08 mm

Tag	Lufttemperatur 7³⁰	13³⁰	21³⁰	Mittel	Abweich. vom Normalst	Luftdruck 7³⁰	13³⁰	21³⁰	Relative Feuchtigkeit 7³⁰	13³⁰	21³⁰	Windrichtung und Stärke 7³⁰	13³⁰	21³⁰	Bewölkung 7³⁰	13³⁰	21³⁰	Niederschlag	Witterung
1	17.8	19.8	16.7	18.1	0.2	727.4	724.9	721.7	90	62	87	SW 0	NW 1	NW 0	5	4	10	19.6	● n (1./2.)
2	14.5	19.6	17.2	17.1	–0.8	719.6	718.0	718.8	97	73	71	N 0	SW 0	NW 1	10●	7	10●	2.6	● n–a, ∇̇ p mU
3	14.1	16.7	13.2	14.7	–3.2	718.1	717.6	720.6	95	74	92	E 0	N 1	N 0	8	10●	10	3.0	∇̇ n–n mU
4	13.2	17.4	13.0	14.5	–3.3	720.7	719.2	721.5	97	60	98	NW 0	NW 1	NW 0	8	7	10●	3.5	∇̇ p–n mU
5	12.6	17.2	12.3	14.0	–3.8	721.5	720.9	722.2	98	71	90	E 0	NW 0	NE 0	8	8	4	.	
6	12.7	21.2	16.7	16.9	–0.9	722.9	720.7	724.4	94	52	92	S 0	SE 1	NW 0	6	5	10●	0.0	∇̇ 21½, ⸗ 15–17
7	15.4	16.2	14.6	15.4	–2.3	726.0	728.7	**732.2**	95	94	97	NE 0	NW 0	NW 0	10	10●	10	9.5	● 10–p
8	14.5	18.4	15.2	16.0	–1.7	731.5	730.5	729.6	98	81	95	NE 0	N 1	N 0	10	5	4	.	
9	14.3	19.6	17.4	17.1	–0.6	728.0	727.0	724.5	100	85	96	NE 0	NE 1	NE 0	10≡	3	2	.	≡ n–10¼
10	17.0	23.7	18.4	19.7	2.1	722.1	718.3	718.2	100	76	95	NW 1	NW 0	NW 0	8	4	7●	**34.1**	● p–n mU, ⸗ 21½–n
11	14.8	17.8	15.5	16.0	–1.6	719.1	718.4	719.9	95	65	95	SE 1	NW 0	NW 0	10●	10	10●	11.8	● n–8½, p–n
12	14.2	17.8	14.2	15.4	–2.1	722.1	722.9	723.8	99	58	90	SE 0	NW 1	NW 0	10●	7	9	0.7	● n–a
13	11.1	19.3	16.3	15.6	–1.9	721.5	720.4	720.6	90	55	90	N 0	NW 0	NW 0	4	3	10	.	
14	15.3	18.4	16.2	16.6	–0.8	720.6	721.0	722.5	95	82	96	N 0	E 0	NW 0	6	10	10●	5.0	∇̇ 11, 17½, ● 18½–n
15	14.6	18.6	15.4	16.2	–1.2	723.4	722.5	723.4	91	66	85	NE 0	W 1	SE 0	10	5	2	.	
16	13.0	20.8	16.4	16.7	–0.6	722.6	721.6	720.5	90	62	89	E 0	N 0	E 0	2	1	0	.	
17	14.8	21.1	17.1	17.7	0.5	719.8	718.3	718.9	96	66	96	SE 0	NW 0	SE 1	3	6	10●	4.9	● 9½–n, ⸗ 19¼–22
18	16.4	20.8	16.8	18.0	0.8	717.7	717.2	718.1	95	80	97	E 0	NE 0	SW 0	7	7	10●	14.2	● 14¾–15¾, 21½–n
19	16.9	19.6	16.7	17.7	0.6	719.3	720.3	722.3	90	72	94	NW 0	NW 1	SW 0	10●	6	8	1.3	● n–9¾
20	14.2	18.4	16.2	16.3	–0.7	721.1	720.9	720.9	95	83	97	SW 0	NE 0	E 1	3	10●	10●	13.9	● 11½–n mU
21	16.7	17.2	14.1	16.0	–1.0	721.3	722.4	722.4	97	85	95	N 0	NW 0	NW 0	10	10●	10	4.2	∇̇ p
22	12.3	16.8	13.2	14.4	–2.5	719.2	717.8	717.8	91	80	94	SE 0	N 0	NW 0	9	10	10●	8.7	∇̇ 18¾, ● 19¾–n
23	12.8	14.8	12.9	13.5	–3.3	715.8	715.9	718.0	97	80	87	SW 0	N 0	SE 0	10●	10	10	2.2	● n–a
24	12.1	15.4	13.3	13.6	–3.1	715.2	715.3	713.9	94	66	92	NE 0	NW 1	NW 0	10	10	10	2.2	● 18½–19
25	16.0	18.2	14.3	16.2	–0.5	**703.4**	711.1	716.1	76	92	96	W 1	N 0	NW 0	10	8	10●	9.5	● 10–n mU
26	13.9	17.4	14.2	15.2	–1.4	718.9	719.4	719.2	97	69	93	N 0	NE 0	NE 0	8	8	6	0.5	● 16¼–16½
27	22.1	**26.2**	15.1	21.1	4.6	715.5	714.9	721.7	52	**42**	95	SE 2	SE 3	NW 0	2	3	10●	10.6	● 17½–n, ⸗ 6¾–16¾
28	14.2	16.3	14.1	14.9	–1.5	721.1	721.4	723.9	97	95	96	SE 0	NW 0	NW 0	6	10●	10	2.6	● 12¼–p, ☽ n (28./29.)
29	12.8	12.8	10.1	11.9	–4.4	722.7	722.2	725.5	95	96	95	E 0	E 0	NE 0	10	10●	10●	29.6	● 11¾–n
30	9.7	15.8	11.7	12.4	–3.8	726.6	725.5	726.0	96	54	90	NE 0	NW 0	NW 0	8	4	10	0.1	● n (30./31.)
31	**9.6**	16.1	18.9	14.9	–1.2	725.6	723.3	721.3	92	65	45	NE 0	NW 1	SE 3	5	6	7	.	⸗ 17½–n
Mittel	14.3	18.4	15.1	15.9	—	721.1	720.6	721.6	93	72	91				7.6	7.0	8.4	Summe 194.3	

August 1956
Beobachter: *Observatorium*

Genève

$\lambda = 6° 09'$, $\beta = 46° 12'$,
$H_b = 405.0$ m, G = –0.05 mm

1	15.0	23.5	19.2	19.2	–0.1	732.0	729.3	728.5	77	44	52	ESE 1	SSW 1	S 1	0	1	9	0.3	● 22½–23½
2	16.3	23.1	19.8	19.7	0.5	726.8	725.8	724.9	83	62	84	S 1	SW 2	SW 1	9	7	8	0.1	● 3¾–5¼
3	17.1	17.1	16.8	17.0	–2.2	724.0	725.5	725.7	79	62	74	SW 2	SW 2	SW 1	7	8	8	0.9	● 5–5¼, 22¼–23¼
4	14.5	18.2	14.7	15.8	–3.4	725.5	725.7	725.8	89	62	64	NE 0	NE 1	S 1	9	7	7	0.2	● 1½–1½, 3–4¼, 8½–10¼
5	12.5	21.2	17.4	17.0	–2.1	725.0	725.8	724.7	54	**40**	76	S 1	S 1	S 1	4	3	8	0.5	● 0¼–1¼, 3–3¼, 4¾–6½
6	15.4	18.1	13.8	15.8	–3.3	726.8	727.1	728.8	87	82	92	NE 1	N 1	N 1	9	9	10	7.5	● 9–9¼, 10¼–12, 14¾–21
7	14.6	15.2	16.6	15.5	–3.5	731.9	733.1	735.3	95	93	91	N 1	NE 1	NNE 1	10●≡	10	9	11.9	● 2½–14¾, 17½–17¾, ≡ n–a
8	16.2	19.8	18.2	18.1	–0.9	**735.7**	734.8	733.7	87	70	85	NNE 1	N 1	N 0	9	7	2	.	
9	17.2	22.7	19.7	19.9	1.0	732.8	731.5	728.3	87	73	78	ENE 0	N 1	NE 1	0	0	0	.	
10	19.5	24.8	18.2	20.8	2.0	726.0	723.9	723.6	85	68	76	E 0	NNE 1	E 1	8	0	7	11.7	● 19½–24, ⸗ 19½
11	18.6	19.5	16.4	18.2	–0.6	724.3	726.4	725.8	74	77	82	S 1	W 1	SW 1	4	6	8	0.5	● 0–5, 7, 11½–11¾, 18¼–20½
12	13.7	18.4	16.1	16.1	–2.6	726.9	727.2	727.7	78	72	64	N 1	N 1	N 1	6	2	0	.	
13	13.1	23.4	21.8	19.4	0.8	726.6	725.1	724.8	77	42	54	E 1	SW 1	SW 1	1	7	8	.	
14	19.4	18.7	17.5	18.5	0.0	725.7	726.4	727.7	66	88	89	N 0	N 1	N 1	10	10	9●	**23.7**	● 8½–9½, 11–11¾, 12¾–22¾
15	15.6	20.7	17.5	18.0	–0.5	727.9	727.2	727.5	85	42	73	ENE 0	N 1	E 1	0	6	0	.	
16	15.2	24.1	18.6	19.3	0.9	727.4	726.1	725.0	83	51	60	E 0	SSE 1	E 1	0	1	2	.	
17	18.9	**27.8**	22.2	23.0	4.7	724.8	723.6	722.6	74	44	68	E 0	S 1	S 1	4	4	5	0.7	● 17½–18½
18	21.3	27.2	19.1	22.5	4.3	722.6	722.3	722.2	82	58	75	S 1	SW 1	S 1	10	9	9	11.3	● 16½–19¼, 23½–24
19	16.9	23.8	17.9	19.5	1.4	724.5	725.1	724.9	59	57	65	SE 0	S 1	S 0	5	1	6	.	● 0–5 mU
20	15.5	16.8	15.4	15.9	–2.1	725.3	726.6	724.3	78	95	92	SE 1	ESE 1	W 1	8	10●	9	11.5	● 8¾-9¾, 10¾-13¾, 17¼-18¾, 21¾-24, ⸗ a-p mU
21	16.9	23.6	17.5	19.3	1.3	726.3	726.3	725.9	84	53	87	NW 1	SW 1	SW 1	10	7	7	0.1	● 0-0¾, 4¾-5¼, 7¾-8
22	15.4	20.2	13.2	16.3	–1.6	723.7	722.4	722.0	93	70	82	E 0	NE 0	E 1	9	10	10	4.5	● 16½-18¼, 20½-21, 23½-24, ⸗ p
23	13.8	14.9	13.5	14.1	–3.7	721.3	722.7	723.3	89	87	89	SSW 1	S 1	S 1	10●	9	9	7.0	● 0–21¼ mU
24	12.6	17.9	13.8	14.8	–2.9	722.0	722.6	720.1	91	61	65	S 1	S 1	SW 1	10●	10	9	1.0	● 6¾–7¾, 20¼–22½
25	18.0	19.3	16.6	18.0	0.4	**716.9**	717.5	720.6	73	82	87	NW 1	W 2	SW 1	10	9	9	6.4	● 7½–10½, 13¼–17, 18–21½
26	14.2	20.3	15.2	16.6	–0.9	722.9	723.2	724.1	62	65	86	SW 1	SW 1	SW 1	4	9	10	5.2	● 1¾–2½, 13½-21½ mU
27	14.2	21.8	14.8	16.9	–0.5	721.8	722.0	726.1	95	54	86	N 1	S 3	S 1	10≡	10●	9●	23.3	∇̇ ⸗ 13½, ● 13½-24, ⸗ 13½-15½,
28	14.9	19.0	14 8	16.2	–1.1	725.2	726.4	728.1	94	62	64	NE 1	S 1	S 1	10≡	9	1	0.1	● 0-0¼, 13½-13¾, ≡ n-a [≡n-a
29	11.3	19.1	10.7	13.7	–3.5	727.4	726.2	730.5	84	51	75	E 0	S 1	S 1	6	2	3	3.6	∇̇ ⸗ 15½-15¾, ● 15¾-16¾ 20½–]
30	**10.4**	16.4	12.2	13.0	–4.1	731.2	730.4	729.9	85	49	68	E 1	NNE 1	NE 1	1	9	9	.	● 1½-2½ [22¼ mU
31	10.6	16.4	14.1	13.7	–3.3	729.9	727.8	726.4	89	64	85	E 1	N 1	SW 1	9	7	9	11.8	● 21¾–24
Mittel	15.5	20.4	16.6	17.5	—	726.2	726.0	726.1	81	64	76				6.5	6.4	6.7	Summe 143.8	

$\lambda = 8° 34'$, $\beta = 47° 23'$,
$H_b = 569.4$ m, $G = -0.01$ mm

Zürich

August 1956
Beobachter: *Meteorologische Zentralanstalt*

Tag	Lufttemperatur 7³⁰	13³⁰	21³⁰	Mittel	Abweich. vom Normalst	Luftdruck 7³⁰	13³⁰	21³⁰	Relative Feuchtigkeit 7³⁰	13³⁰	21³⁰	Windrichtung und Stärke 7³⁰	13³⁰	21³⁰	Bewölkung 7³⁰	13³⁰	21³⁰	Niederschlag	Witterung
1	14.1	19.5	15.0	16.2	−1.2	717.5	715.1	712.3	78	47	68	W 1	WSW 1	WNW 1	7	2	10	5.2	△ I, III
2	14.4	21.0	14.5	16.6	−0.8	709.6	708.7	709.8	80	55	75	WSW 2	SW 3	W 2	10	5	10	10.5	● 0–2¼, 3¾–6¾, ⸗ 0¾–20 mU
3	11.4	11.7	12.8	12.0	−5.4	707.8	708.5	710.4	97	94	70	WSW 1	WSW 2	SW 2	10●	10●	10	18.6	● 0¾-14 mU, 15¼-16, ⸗ 10-23 mU
4	12.0	14.5	11.3	12.6	−4.7	710.6	710.4	711.4	77	72	89	SW 1	WSW 1	S 1	7	9	10	4.0	● 17½–18¾, 19¾–21¾, 22½–23¾
5	12.7	16.9	12.4	14.0	−3.3	711.4	711.7	712.1	82	45	77	S 1	S 1	NE 1	5	5	1	.	
6	12.2	20.1	12.9	15.1	−2.1	712.7	711.4	715.3	79	57	93	ENE 1	NNE 1	NNW 1	7	7	10●	0.4	● 21¼–21½, △ I
7	13.9	14.2	12.2	13.4	−3.8	716.9	719.6	**721.8**	87	91	95	WSW 1	NW 1	S 1	10	10●	10●	19.7	● 10¾–11¼, 12–23½
8	12.7	18.0	14.3	15.0	−2.1	**721.8**	720.8	719.7	90	64	90	NNE 1	NE 1	N 1	9	7	0	0.0	≡ n-6½. △ III
9	14.0	24.4	18.1	18.8	1.7	718.9	717.7	714.9	93	50	85	NE 1	ENE 1	NE 1	10≡	0	0	0.0	≡ 6¾–8¼, △ III
10	16.6	**28.4**	17.5	20.8	3.8	712.1	709.3	708.4	78	55	92	SSW 0	ENE 1	N 1	1	4	10●	**54.7**	● 18–18¾, 21¼–24, ⸗ 18, 21½, *)
11	14.2	18.6	14.3	15.7	−1.2	709.4	718.6	709.6	92	64	78	S 1	SW 1	WSW 2	10●	7	10	12.1	● 0-0¾, 1½-2¾, 4¼-10¼, ⸗ 14-23¼
12	13.0	18.2	12.9	14.7	−2.2	712.4	713.5	714.2	85	48	70	SW 0	WNW 1	NW 1	9	4	8	0.1	● 2¾–4¼, △ III [mU
13	10.7	19.2	15.9	15.3	−1.5	711.9	710.8	710.8	80	53	82	S 1	SW 1	SSE 1	2	5	7	0.0	△ I, III
14	18.1	19.5	15.3	17.6	0.9	710.9	711.2	713.0	56	63	88	SW 1	WSW 2	WSW 1	4	10	10	1.9	● 20¼–20¾, △ I
15	13.9	21.1	15.0	16.7	0.1	714.0	713.3	713.5	67	47	63	NW 1	SSW 1	NW 1	3	3	0	.	
16	13.3	23.6	15.9	17.6	1.1	712.7	712.3	710.7	84	**42**	82	S 1	SW 1	NE 1	0	5	1	.	△ I, III
17	16.3	24.1	16.5	19.0	2.6	710.1	709.3	709.1	70	50	92	S 1	WNW 1	NE 1	2	8	9●	7.7	● 14-17¾ mU, 19¾-21½, 23½-23¾, *)
18	16.9	22.4	16.6	18.6	2.3	708.2	707.9	708.8	89	62	95	S 1	SW 1	S 1	10	9	10	9.6	● 16¾–18, 19½–21½
19	14.5	19.9	14.4	16.3	0.1	709.8	710.7	712.2	81	52	77	W 1	WSW 2	NE 1	9●	3	1	0.1	● 1¼–7½, △ III
20	14.2	15.8	15.1	15.0	−1.1	711.2	711.9	710.7	79	92	94	NE 1	WNW 1	NE 1	2	10●	10	21.2	● 11¾–15¾, 20¾–22¾ mU, △ I
21	14.7	15.3	13.4	14.5	−1.5	711.6	712.8	712.5	89	81	93	WSW 1	SSE 1	NNE 1	9	10●	1	6.0	● 0¼–7. 11–12½, 13½–14¾
22	13.3	17.5	12.7	14.5	−1.5	709.7	708.2	707.5	83	67	87	S 1	SW 1	WSW 1	10	10	10	9.6	● 19¾–20¾, ⸗ 19½–19¾
23	11.8	12.4	11.3	11.8	−4.1	705.7	706.2	708.1	88	84	89	SW 1	SSW 1	WSW 1	10	10●	10●	5.3	● 5¼-5½, 10¾-11¼, 13¼-14¾,*)
24	11.8	15.8	12.9	13.5	−2.3	705.1	706.0	704.1	76	52	65	SSW 1	SW 3	SW 2	10	6	10●	7.2	● 8¾–9, 21½–24, ⸗ 10–21¼
25	14.8	17.7	14.5	15.7	0.0	**699.4**	701.8	705.2	75	78	76	WSW 2	W 2	WSW 1	10	9	10	10.6	● 0–2¾, 3¼–4¾, 14¼–16½, ⸗ 6½– [14½ mU
26	12.5	19.7	14.5	15.6	0.0	709.4	710.0	709.7	76	46	87	WNW 1	SW 1	E 1	8	5	9	0.1	● 2¾–6
27	12.2	22.9	13.8	16.3	0.8	706.8	704.8	712.0	92	58	94	NNE 1	W 1	SSW 1	9	8	10●	12.0	● 14½–15, 17–24
28	13.6	16.3	13.3	14.4	−1.0	710.7	711.1	713.6	87	80	92	SE 0	S 1	NW 1	9	10	10	2.8	● 0–1¾, 15¾–17¼, ⸗ 14½–
29	11.3	12.2	9.1	10.7	−4.7	712.9	711.8	714.9	87	84	91	NNE 1	ENE 1	S 1	9	10	10●	10.2	● 14–15, 16¼–23¾ [15½
30	9.7	14.5	8.7	11.1	−4.2	716.2	716.2	715.9	75	54	84	WSW 1	NE 1	NNE 1	9	5	1	0.0	△ I
31	**8.4**	17.1	12.6	12.7	−2.5	715.6	714.0	712.0	94	59	82	SSE 1	NNE 1	NE 1	10	7	0	.	△ I, III
																		Summe	
Mittel	13.3	18.5	13.9	15.2	—	711.4	711.2	711.8	82	63	84				7.4	6.9	7.0	229.6	

*) **10.** ⸗ 22¾–23¾, ⸗ 18, 22½–23, △ I **17.** ⸗ 19¼, 19¾–20½, ⸗ 14¼–15¼, △ I **23.** ● 16–16¾, 18½–21¾ mU

$\lambda = 6° 32'$, $\beta = 46° 51'$,
$H_b = 1601$ m, $G = -0.16$ mm

Chasseron

August 1956
Beobachter: *J. Liardon*

Tag	7³⁰	13³⁰	21³⁰	Mittel	Abweich. vom Normalst	7³⁰	13³⁰	21³⁰	7³⁰	13³⁰	21³⁰	7³⁰	13³⁰	21³⁰	7³⁰	13³⁰	21³⁰	Niederschlag	Witterung
1	5.6	10.6	7.0	7.7	—	634.9	634.1	631.2	78	68	83	WNW 1	W 2	WNW 4	3	6	10	11.7	● n (1./2.), △ I, ⸗ p-n
2	7.0	8.4	7.2	7.5	—	628.9	629.0	629.4	100	100	100	W 4	W 4	W 4	10●≡	10≡	10≡	23.4	● n-a, ● a-n mU, *)
3	6.8	5.0	4.4	5.4	—	626.2	627.4	628.6	100	100	100	WNW 4	NW 4	WNW 4	10●≡	10●≡	10●≡	8.6	● n-n mU, ≡ ⸗ n-n
4	3.8	4.8	3.6	4.1	—	628.5	628.6	628.8	100	100	96	W 3	NW 4	WNW 3	10≡	10≡	6	9.3	● n-p mU, ≡ 7½–17, ⸗ n-
5	2.6	7.4	6.4	5.5	—	628.7	630.0	630.6	86	70	78	W 2	W 2	E 2	5	7	5	1.2	● n (5./6.) [n, ⸗ II
6	7.2	7.2	6.6	7.0	—	630.3	630.9	632.5	78	75	93	SW 3	ESE 2	WSW 2	8	10●	10●	19.4	● 11¾-n, ≡ 12½-19¾ mU, ⸗ I
7	7.4	9.0	8.4	8.3	—	634.7	636.8	638.5	100	100	100	SW 2	SW 2	NW 1	10	10●≡	8	12.2	⊽ 7, ● 8½–19½, ≡ 8½–16½
8	12.0	16.0	16.0	14.7	—	**639.4**	639.0	638.3	83	60	83	S 1	S 1	WSW 3	0	2	2	.	⸗ III
9	19.4	**23.4**	19.4	20.7	—	637.9	638.2	635.7	34	34	38	NW 2	W 2	E 2	0	0	0	.	
10	18.6	20.6	12.4	17.2	—	632.6	631.5	629.9	47	58	100	SE 2	WNW 2	NW 4	2	2	10≡	17.4	⸗ ● 20¾–21¼, ● n (10./11.),*)
11	6.6	7.6	7.2	7.2	—	628.2	628.3	628.4	100	100	100	NW 3	WNW 2	W 5	10≡	10●≡	10●≡	17.2	● 13-n mU, ≡ n-10, 11¼-n,*)
12	3.8	6.6	6.2	5.5	—	630.4	632.1	631.9	100	75	65	WNW 4	WNW 3	NW 2	8	6	2	.	≡ n-9 mU, ⸗ n-p, ⸗ I
13	9.2	14.2	12.8	12.1	—	630.0	630.5	630.4	35	62	35	WSW 3	W 3	WNW 5	3	4	4	.	⸗ n-n, ⸗ III
14	10.8	10.6	8.8	10.1	—	630.7	631.2	631.1	80	100	100	W 4	SSW 3	NW 3	6	10≡	10≡	4.2	⊽ a, n (14./15.), ≡ 11½-17 mU,
15	7.8	12.0	10.4	10.1	—	631.9	632.3	632.3	98	38	30	SSW 2	W 2	SW 2	3	6	3	.	[17-n, ⸗ n-n, ⸗ I
16	10.2	15.0	12.0	12.4	—	631.6	632.2	630.6	**25**	45	60	W 2	WSW 2	WSW 4	3	6	3	.	⸗ III
17	13.0	12.0	12.0	12.3	—	630.3	630.4	629.1	88	90	100	WSW 4	WSW 4	— 0	5	9	10≡	4.1	⊽ 11½–11¾, ≡ 17¾-n, ⸗ n-n
18	11.8	14.0	10.0	11.9	—	628.2	628.6	628.5	100	64	100	S 3	W 3	W 3	9	7	10≡	14.6	⊽ 16-n mU, ≡ n-7, 19½-n, ⸗ n-n
19	6.4	11.4	9.0	8.9	—	628.7	630.4	631.2	100	64	64	NW 4	W 3	W 3	10≡	5	5	.	≡ n-9½, 9½-11 mU, ⸗ n-n, ⸗ I
20	10.4	8.6	10.4	9.8	—	630.4	630.7	629.1	54	98	88	W 2	WNW 2	WNW 5	6	10●≡	10	**42.0**	⸗ 11¾-13¾, ⊽ 15½-15¾,*)
21	8.2	9.4	7.4	8.3	—	630.4	631.6	631.1	100	95	94	WNW 3	NW 2	E 1	10≡	9	3	3.4	● a-11 mU, ≡ a-11¼, ⸗ I
22	7.2	8.6	5.0	6.9	—	627.7	627.0	625.3	96	84	88	S 2	S 2	W 4	9	9	8	23.6	⊽ 7¼, p, n (22./23.), ≡ 15, ⸗ III
23	4.8	4.0	4.4	4.4	—	624.2	625.1	626.3	100	100	100	NW 3	NW 4	W 3	10≡	10≡	10≡	16.1	● n-7, a-p mU, n (23./24.),*)
24	4.4	5.0	4.4	4.6	—	623.7	625.0	623.7	100	84	100	W 5	W 4	WSW 4	10	8	10●≡	9.0	● n-9 mU, 17¾-n mU, *)
25	9.4	8.4	7.0	8.3	—	**620.7**	622.6	624.9	95	100	100	W 6	W 3	WNW 4	10	10●≡	10●≡	21.0	● n-n mU, ≡ n-11 mU, *)
26	3.2	9.6	8.4	7.1	—	627.4	629.0	628.8	100	91	100	WNW 3	W 2	S 2	5	8	10	3.4	● n (26./27.), ⸗ I
27	12.6	8.0	6.2	8.9	—	626.5	626.6	630.0	58	100	100	S 5	WNW 6	WNW 4	3	10≡	8	31.3	● a-p mU, ≡ 13–13½, ⸗ n-n
28	8.4	7.0	7.0	7.5	—	629.0	630.0	631.8	68	94	100	SSW 3	W 3	W 4	8	8	10≡	.	≡ 20-n, ⸗ n-n, ⸗ III
29	5.6	8.4	2.4	5.5	—	630.3	629.9	631.1	62	72	100	ESE 2	NW 3	NW 4	5	7	10≡	1.4	● 16–19, ▲ 16¾, ≡ 15½-n,
30	**1.8**	6.2	4.0	4.0	—	632.8	633.5	633.0	100	82	90	W 2	WNW 2	NW 2	10≡	7	5	.	≡ n-9¾ [⸗ a-n, ⸗ III
31	5.0	9.6	8.2	7.6	—	632.2	631.8	630.0	88	58	89	ESE 1	WSW 2	— 0	4	7	7	9.4	● n (30./1.). △ I
																		Summe	
Mittel	8.1	10.0	8.2	8.8	—	629.9	630.5	630.4	82	79	86				6.6	7.5	7.4	304.2	

*) **2.** ≡ n-14, 16-19 mU, 19-n, ⸗ n-n **10.** ≡ 18¾-n, ⸗ III **11.** ⸗ n-n mU, ⸗ III **20.** ⊽ 18¾-19. ≡ a-p, ⸗ III **23.** ≡ ⸗ n-n, ⸗ II
24. ≡ n-12½ mU, 20-n, ⸗ n-n **25.** ≡ 11-n, ⸗ n-n mU

August 1956
Beobachter: *Stationspersonal Rh. B.*

Bever

$\lambda = 9° 53'$, $\beta = 46° 33'$,
$H_b = 1711.8$ m, $G = -0.26$ mm

Tag	Lufttemperatur 7³⁰	13³⁰	21³⁰	Mittel	Abweich. vom Normalst	Luftdruck 7³⁰	13³⁰	21³⁰	Relative Feuchtigkeit 7³⁰	13³⁰	21³⁰	Windrichtung und Stärke 7³⁰	13³⁰	21³⁰	Bewölkung 7³⁰	13³⁰	21³⁰	Niederschlag	Witterung
1	5.0	16.0	9.4	10.1	−1.5	625.7	623.4	622.5	97	35	95	SW 0	W 1	SW 0	0	6	8	5.1	● 22–n mU, ≡ n–7, ⌴ I
2	10.2	16.6	11.2	12.7	1.2	619.5	618.8	618.6	95	45	80	SW 0	E 1	N 0	10●≡	6	10	1.0	● n–8½, ≡ n–7½
3	8.2	15.7	7.9	10.6	−0.9	617.3	616.4	618.6	90	40	70	SW 1	W 0	NE 0	10	8	6	0.5	● 18½–20
4	4.0	13.8	7.2	8.3	−3.1	619.4	618.2	619.5	95	40	87	S 0	W 1	NE 1	6	8	10	2.5	● 21–n mU, ⌴ I
5	5.0	7.9	5.2	6.0	−5.4	620.1	621.0	622.5	95	87	98	W 1	SW 0	NE 1	10●	9	1	3.0	● 7–12, n (5./6.)
6	7.1	12.2	11.0	10.1	−1.3	623.6	625.3	625.8	94	70	80	W 1	SW 0	SE 0	10	10	10	.	
7	12.5	18.0	13.1	14.5	3.2	626.9	627.1	629.0	80	52	82	SW 0	W 0	W 0	9	10	10	.	
8	9.7	22.6	13.2	15.2	3.9	**630.3**	629.1	629.5	96	33	83	SW 0	NW 1	NW 0	10	1	0	.	
9	8.4	**24.8**	12.2	15.1	3.9	629.6	628.7	628.5	98	**23**	79	SW 0	NW 1	SW 0	0	2	0	.	
10	8.5	23.6	15.4	15.8	4.6	626.0	623.9	622.3	90	30	80	SW 0	SW 1	SW 0	0	0	5	0.0	● 21½–n
11	11.1	11.6	9.8	10.8	−0.3	617.9	618.4	619.2	86	70	90	S 0	W 1	SW 0	10	10	10	6.5	● 9–13, ⌅ 12–13
12	6.6	14.2	5.0	8.6	−2.5	620.4	621.2	623.7	97	45	90	SW 0	SW 1	SW 0	2	2	0	.	
13	0.7	17.0	10.4	9.4	−1.6	623.1	622.4	623.1	100	40	90	SW 0	SW 1	SW 1	2	4	8	.	⌴ I
14	5.6	16.8	10.9	11.1	0.2	623.4	622.2	622.4	100	53	98	SW 0	SW 1	SW 0	2	10	10	1.6	● 15–16¼, ⌴ I
15	9.6	17.0	6.7	11.1	0.2	622.5	622.1	623.7	100	31	81	SW 0	NE 0	NW 0	10	4	0	.	● 6½–7¼
16	3.8	21.0	9.8	11.5	0.7	623.5	622.2	622.5	96	35	95	SW 1	SW 1	W 0	1	2	4	.	
17	6.6	19.2	11.2	12.3	1.6	622.4	621.4	621.5	100	50	95	SW 0	SW 1	SW 0	2	4	5	3.3	● 22¼–n
18	9.8	16.4	12.0	12.7	2.0	621.5	621.0	620.9	98	64	90	SW 0	SW 2	SW 1	8≡	10	5	22.5	● ⌅ n (18./19.), ≡ n–8¼, ⌓ I
19	9.6	18.4	10.5	12.8	2.2	620.7	620.6	622.5	97	50	86	S 0	SW 1	W 0	9	5	3	.	
20	8.8	18.0	10.4	12.4	1.9	622.9	621.4	622.5	96	70	100	SW 0	SW 1	N 1	9	9	10●	**29.3**	● 8–8¾, 14½–n mU
21	8.0	16.6	6.6	10.4	0.0	621.9	621.7	622.9	98	50	100	SW 0	W 0	W 1	10	7	10●	5.2	● n–6½, p–n mU
22	5.4	13.8	4.4	7.9	−2.5	620.4	618.7	618.1	89	60	100	W 0	SW 1	N 0	10	10	10	19.0	● p–n mU
23	5.6	10.8	5.8	7.4	−2.9	615.1	614.9	616.5	95	60	95	NE 0	SW 0	SW 0	10	8	8	2.0	● 12–p mU
24	5.0	11.3	6.5	7.6	−2.6	615.7	614.6	615.3	95	46	89	W 0	W 0	NW 0	10	10	5	.	
25	9.6	12.0	9.2	10.3	0.2	**614.5**	615.4	616.7	80	76	100	SW 1	SW 2	E 0	10	10●	10●	13.6	● 13¼–19½ mU, 19½–n
26	8.4	14.4	10.4	11.1	1.1	619.2	621.4	622.4	92	70	100	W 0	SW 1	SW 0	6	8	10●	9.8	● 8–9¼, 12–n mU
27	10.3	13.0	11.2	11.5	1.6	623.0	623.3	620.8	95	95	97	W 0	SW 0	SW 0	10●	10●	10	7.7	● n–p mU
28	13.7	17.5	8.1	13.1	3.3	621.4	620.2	621.4	74	50	99	SW 0	SW 2	W 1	9●	5	4	1.5	● 7–p mU, ⌅ 19¼
29	7.8	15.5	4.8	9.4	−0.3	622.0	620.2	621.3	95	30	88	NE 1	SW 2	W 1	10≡	5	10●	9.4	● 19–n mU, ≡ n–7½
30	**−0.1**	9.0	4.1	4.3	−5.3	624.2	623.5	624.3	100	43	90	S 0	N 1	N 0	6≡	3	1	.	≡ n–7¾
31	0.0	13.4	5.3	6.2	−3.3	625.2	624.8	725.2	100	42	95	SW 0	SW 1	SW 0	3	1	0	0.9	● n (31./1.), ⌴ I
Mittel	7.2	15.7	9.0	10.6		621.9	621.4	622.1	94	51	90				6.9	6.4	6.2	Summe 144.4	

August 1956
Beobachter: *Couvent des Capucins*

Sion

$\lambda = 7° 22'$, $\beta = 46° 14'$,
$H_b = 548.6$ m, $G = -0.14$ mm

1	14.8	22.4	19.8	19.0	−0.3	719.3	716.0	715.2	77	54	60	NNW 1	SW 2	SW 1	0	1	10	7.2	⌓ I
2	14.1	21.3	18.9	18.1	−1.1	714.5	712.9	712.4	95	76	65	W 0	SW 2	NW 1	10≡●	6	9	1.4	● 1½–9, 10½–11, ●tr 18¾.
3	17.4	23.2	15.6	18.7	−0.5	711.5	710.7	713.5	74	**45**	65	W 1	SW 3	W 2	7	6	9	.	● 5½–7, ⌿ a–p [≡ 7½–10
4	15.3	20.8	14.2	16.8	−2.3	713.4	712.4	713.0	73	57	71	S 1	SW 3	W 2	2	4	3	.	⌿ a–p
5	13.5	20.5	15.0	16.3	−2.8	714.0	712.9	714.2	76	52	69	W 0	SW 2	NW 1	1	2	4	.	
6	14.2	20.2	14.9	16.4	−2.6	715.2	713.0	717.3	78	64	97	N 1	SW 2	W 0	6	8	10	2.6	● 19¼–21
7	14.4	16.9	16.2	15.8	−3.2	719.4	721.6	722.2	96	94	93	W 0	WSW 0	SW 0	10●	10●	8	5.1	● 2¾–3½, 7½–13¾
8	15.8	24.4	17.5	19.2	0.3	**723.4**	721.1	721.2	95	64	96	WSW 0	SW 2	W 0	10	0	0	.	
9	15.4	26.0	21.5	21.0	2.2	721.1	*718.5	717.3	96	64	85	WSW 0	*W 0	W 0	0	0	0	.	
10	18.9	**28.2**	22.4	23.2	4.4	715.1	712.3	711.2	81	54	75	W 0	W 1	W 0	0	1	8●	6.4	●tr 21½, ⌅ 21¼
11	16.1	20.1	17.1	17.8	−0.9	712.7	712.0	713.2	91	70	83	W 0	WSW 1	W 0	10●	10	10	1.1	● 0¼–0½, 4¼–6½, 7½–9¼ mU
12	16.2	21.0	16.8	18.0	−0.6	714.7	714.5	715.5	79	54	61	WSW 1	WSW 2	W 0	2	1	0	.	
13	13.1	23.3	17.8	18.1	−0.5	715.5	713.1	713.4	79	49	70	W 0	W 1	WSW 0	0	4	6	.	
14	16.0	16.3	15.3	15.9	−2.6	714.4	715.7	714.9	76	96	100	WSW 1	ENE 1	E 1	9	10●	10●	14.9	● 11–24
15	16.0	22.0	15.8	17.9	−0.5	715.7	714.6	715.8	96	60	65	E 0	WSW 2	NNW 2	10	8	0	.	● 0–0¼
16	14.3	*23.0	17.6	18.3	0.0	716.2	*714.0	713.7	81	*55	61	NNW 1	*NNW 1	E 1	0	0	0	.	
17	15.8	22.4	17.8	18.7	0.4	714.5	713.7	713.0	75	63	91	E 1	WSW 1	ENE 0	1	9	10	4.7	● 18½–20 mU
18	16.8	24.2	18.0	19.7	1.5	712.3	710.5	712.2	90	56	98	NNE 1	N 1	W 1	6	9	9●	**30.4**	● 1¾–2, 19½–24 mU
19	16.8	20.0	17.6	18.1	0.0	712.3	713.0	714.1	98	63	80	W 0	WSW 1	WSW 0	10●	1	1	1.9	● 0–10 mU
20	15.8	21.0	17.2	18.0	0.0	714.1	712.9	713.2	85	70	94	NNW 0	WSW 1	WSW 0	3	8	8	9.2	● 14–14¼, 22–24
21	15.8	21.8	15.2	17.6	−0.4	714.2	713.9	714.4	94	64	81	NNW 0	WSW 2	SSW 0	10	8	1	.	● 0–2¾, ⌿ 17½–19
22	13.8	17.9	12.6	14.8	−3.1	713.2	711.0	710.4	85	74	90	SSW 1	SSW 1	WNW 0	9	10	10	0.9	⊽ 18¾–19, ⌿ 18¼–19
23	12.7	16.2	17.3	15.4	−2.4	709.5	709.5	711.2	96	73	80	NW 1	W 1	WSW 1	10	10	10	0.1	
24	11.6	16.3	13.5	13.8	−3.9	710.0	709.6	708.9	96	75	88	SSW 0	WSW 1	W 0	10●	10	10	3.7	●tr 7½. 16½, 22¼–24
25	13.0	15.1	14.5	14.2	−3.4	**706.1**	707.2	710.7	98	97	100	W 1	W 0	W 0	10●	10	10●	22.5	●tr 0–12½, 15¼–24, ≡ p–n
26	13.3	16.6	13.8	14.6	−3.0	712.4	713.3	713.4	100	96	92	W 0	W 0	NNW 2	9	10●	2	1.2	● 0–5¼, 13–16¾
27	14.6	23.4	15.0	17.7	0.2	712.0	710.9	713.4	90	59	100	NNW 2	NNW 1	SSW 0	2	10	10	12.3	●tr 13¼–13¾, 17½–24
28	14.2	20.0	16.0	16.7	−0.7	713.5	713.1	715.1	96	71	75	WNW 0	SSW 1	NNW 0	10	5	6	.	● 0–3¼, ⌿ 16–17½
29	12.1	16.2	12.4	13.6	−3.7	715.0	713.5	717.2	89	67	75	WNW 0	WSW 1	WSW 0	4	10	9	0.6	● 16½–17½
30	11.4	17.8	11.2	13.1	−4.1	718.8	717.2	718.2	75	50	80	SSW 0	SW 1	W 0	0	8	0	.	
31	**8.6**	17.9	14.6	13.7	−3.4	718.4	716.1	715.3	94	59	67	NW 0	N 0	E 0	9	7	0	0.5	
Mittel	14.6	20.5	16.2	17.1	—	714.6	713.6	714.3	87	66	81				5.8	6.3	5.9	Summe 126.7	

$\lambda = 8° 58'$, $\beta = 46° 00'$,
$H_b = 276.2$ m, $G = -0.04$ mm

Lugano

August 1956
Beobachter: *G. Vicari*

Tag	Lufttemperatur 7³⁰	13³⁰	21³⁰	Mittel	Abweich. vom Normalst	Luftdruck 7³⁰	13³⁰	21³⁰	Relative Feuchtigkeit 7³⁰	13³⁰	21³⁰	Windrichtung und Stärke 7³⁰	13³⁰	21³⁰	Bewölkung 7³⁰	13³⁰	21³⁰	Niederschlag	Witterung
1	18.4	28.0	20.6	23.3	0.9	740.0	738.4	737.8	69	51	62	N 1	S 1	WNW 1	6	6	8	.	
2	18.6	27.8	20.2	22.2	0.8	734.0	731.7	730.5	72	45	79	N 1	S 1	N 1	7	1	0	.	
3	18.0	30.0	21.6	23.2	1.9	729.6	**728.2**	731.3	67	36	32	N 1	S 1	NE 2	0	0	0	.	
4	16.0	27.2	18.4	20.5	−0.8	733.8	732.9	733.5	62	43	61	N 1	S 1	N 1	0	2	1	2.8	● n (4./5.)
5	15.8	20.4	17.4	17.9	−3.3	735.4	736.1	737.1	73	58	70	N 1	SSE 1	N 1	10●	1	3	12.1	● n–8½, n (5./6.), ⌇ 23
6	15.2	19.6	19.0	17.9	−3.3	739.8	740.0	741.8	93	73	73	NNW 1	S 1	W 1	10●	10	10	0.3	● n–8
7	19.2	27.0	20.2	22.1	1.0	743.0	743.0	743.2	77	49	77	N 0	S 1	N 1	8	9	2	.	
8	18.6	30.2	22.2	23.7	2.7	743.0	742.8	**743.9**	76	50	77	N 1	S 1	NNW 1	0	0	0	.	
9	22.0	29.4	24.6	25.3	4.3	743.3	741.6	740.9	80	52	82	S 0	S 1	N 1	8	0	9	.	
10	23.2	**30.8**	24.2	26.1	5.2	739.5	736.9	734.2	87	53	79	SSE 1	S 1	W 1	9	3	10	.	
11	20.8	26.0	20.2	22.3	1.5	730.3	730.4	731.2	74	46	70	ENE 1	ENE 1	N 1	10	1	6	13.2	● 8½–10½, ⌇ 8½
12	19.6	30.0	21.4	23.7	2.9	733.1	733.3	735.6	36	**28**	34	NNE 2	N 2	N 1	0	0	0	.	
13	17.0	25.8	20.2	21.0	0.3	738.6	737.6	737.0	54	56	65	NE 1	S 1	N 1	8	4	0	.	
14	16.4	25.0	19.0	20.1	−0.5	738.0	736.6	736.4	79	59	87	N 1	S 1	N 1	2	10	10	0.3	⛆ 21
15	17.0	27.2	20.0	21.4	0.9	737.6	737.2	739.8	82	46	67	N 1	S 1	N 1	0	10	1	.	
16	19.2	28.6	20.2	22.7	2.2	740.4	739.7	739.3	79	49	74	N 0	S 1	N 1	8	3	0	.	
17	18.4	27.2	19.4	21.7	1.3	736.3	735.5	734.9	84	54	71	N 1	S 1	N 1	1	8	6	.	
18	19.4	24.8	20.6	21.6	1.3	735.2	735.0	734.4	79	59	79	NE 1	SE 1	N 1	8	9	3	16.8	● n (18./19.)
19	18.8	27.2	21.2	22.4	2.2	734.6	734.5	735.9	93	54	79	NW 1	S 1	N 1	10	4	2	19.5	⛆ 8–8½, ● n (19./20.), ⌇ 4–5½
20	19.4	26.0	21.0	22.1	2.0	736.8	735.9	735.4	93	63	92	N 1	S 1	N 1	10	9	10●	7.5	⛆ 8–8¾, ☽ 17–17½, ● 21–n
21	18.0	28.4	23.4	23.3	3.2	734.6	733.5	733.6	83	46	39	N 1	S 1	N 2	1	2	2	.	
22	17.0	21.8	17.6	18.8	−1.2	734.0	732.7	730.6	57	59	73	N 1	ENE 1	NNE 1	4	9	4	25.2	⛆ 16–19¼ mU, ● 22–24, ⌇ 22
23	13.2	21.6	18.4	17.7	−2.2	728.6	727.5	729.4	87	52	45	N 1	SSW 1	N 1	3	9	0	.	
24	14.8	25.2	17.4	19.1	−0.7	730.0	728.9	729.6	64	36	65	N 1	S 1	NNE 1	10	5	10	.	
25	15.8	17.4	16.2	16.5	−3.2	729.8	730.8	731.1	73	83	96	W 0	WSW 1	N 1	10	10	10	10.3	☽ 11–13½, ● 19–21½
26	15.8	21.2	18.8	18.6	−1.0	734.2	735.9	736.8	92	74	95	NNW 0	S 0	S 1	9	10	10	27.0	● 19 n mU, ⌇ 19
27	19.6	21.8	22.0	21.1	1.6	737.5	737.1	735.2	92	77	81	SSW 1	E 1	S 1	10	9	10	25.8	● n–n mU, ⌇ 15½
28	19.8	22.2	17.4	19.8	0.4	735.8	734.9	735.3	91	89	95	NNE 1	S 1	N 1	9	9	8	**36.0**	⛆ 13¾, ● 17¾–18¼, ⌇ 17¾–18½, ▲
29	18.4	25.4	**12.2**	18.7	−0.6	735.3	734.3	739.0	92	36	91	NNW 1	E 1	N 1	9	2	10	16.8	⛆ 17, ● 19½–n, [17¾–18, ⸝ 17¾
30	13.4	23.4	13.8	16.9	−2.3	739.1	738.2	740.0	54	**28**	68	S 1	NNW 2	N 1	0	3	0	.	⌇ 19¾–20¼
31	**12.2**	24.0	15.4	17.2	−1.9	741.9	741.4	741.6	71	48	77	N 1	SE 1	NE 1	1	3	3	4.2	● n (31./1.)
Mittel	17.7	25.5	19.5	20.9	—	736.2	735.6	736.0	76	53	72				5.8	5.2	4.8	Summe 217.8	

$\lambda = 7° 35'$, $\beta = 47° 33'$,
$H_b = 317.3$ m, $G = -0.08$ mm

Basel

August 1956
Beobachter: *Astronom.-Meteorol. Anstalt*

1	14.6	21.6	18.2	18.1	0.0	739.7	737.3	734.1	83	61	88	SSW 0	WNW 1	SW 1	8	5	10	2.5	● 22¼–24
2	15.2	20.3	15.6	17.0	−1.0	731.8	731.3	732.0	87	73	77	WSW 1	WSW 2	WSW 2	10●	10●	10	2.9	● 0–4½, 5¾–6¾, 7½, 13½, *)
3	14.2	13.4	13.4	13.7	−4.3	730.2	730.9	732.3	92	91	82	SSW 0	W 2	WSW 1	10●	10●	10	12.9	● 0–2¾, 4¾–14½ mU, *)
4	15.0	17.7	12.7	15.1	−2.8	732.4	732.4	733.1	83	68	89	S 1	W 2	SW 0	7	7	6	.	
5	11.3	20.0	13.9	15.1	−2.7	733.6	733.7	734.1	87	66	88	ESE 1	W 1	W 1	9	6	8	0.4	
6	11.7	15.9	13.6	13.7	−4.1	734.9	734.6	736.8	92	88	93	NW 1	NW 1	SE 1	10	10●	10●	8.2	● 3½–5, 8¾–8¾, 13½–22¼ mU
7	13.6	14.0	13.6	13.7	−4.0	739.0	741.6	743.5	95	94	95	SSW 0	SE 0	E 1	10●	10●	10	6.0	● 2½–9¾ mU, 22¼ 22¾
8	11.9	22.9	15.0	16.6	−1.0	**744.0**	742.3	741.2	95	69	90	E 1	E 1	WSW 0	7	2	0	.	
9	14.0	26.1	18.1	19.4	1.8	740.4	739.1	736.0	85	70	96	E 1	ESE 1	WSW 1	1	0	0	.	⌓ I
10	16.5	**28.6**	18.4	21.2	3.7	733.5	731.6	731.6	91	68	84	E 0	W 1	WSW 2	0	7	10●	9.5	● 17½–17¾, 21¼–23 mU, *)
11	15.3	18.5	15.4	16.4	−1.0	731.5	731.1	732.1	91	78	88	WSW 1	WSW 1	WSW 1	10●≡	10	6	1.4	● 0½–9¼, 20 21¼
12	14.4	20.0	11.2	15.2	−2.1	734.4	735.4	735.9	83	63	91	SW 1	W 2	SSW 1	2	4	0	.	● 1¾–1¾
13	12.2	22.5	15.4	16.7	−0.6	734.0	732.9	732.5	75	68	95	SE 0	W 0	SSW 0	2	3	1	.	
14	17.2	20.3	15.4	17.6	0.4	732.6	733.0	735.0	77	79	86	E 0	W 1	WSW 1	2	10	4	0.4	● 13¼–14½ mU, 17¾ 18
15	11.7	22.6	13.5	15.9	−1.2	735.9	735.2	735.4	90	64	84	E 1	W 1	SSW 1	0	1	1	.	≡ 6½–7¼
16	12.7	24.7	16.5	18.0	1.0	735.0	734.0	732.7	81	61	90	E 1	NW 1	SSW 1	0	3	0	.	
17	13.8	18.3	18.7	16.9	0.1	732.1	731.2	731.5	86	95	92	ESE 1	SSW 2	S 1	6	10●	9	12.4	● 10, 13½ 15¾ mU, *)
18	17.1	20.4	17.8	18.4	1.5	730.6	730.1	730.1	96	84	91	SSW 0	NW 1	SSE 0	10	10	10	1.4	● 13¾–14, 15¼–16¼, 19¼–20, *)
19	16.8	21.6	14.6	17.7	0.9	732.2	732.7	733.8	85	65	90	W 1	WNW 2	S 0	6	2	6	.	● 3–4¼
20	13.4	16.8	15.5	15.2	−1.5	733.3	733.5	731.9	87	97	98	ESE 1	NE 0	ESE 1	10	10●	10	19.4	● 10 15¼, 18¾ 20¾ mU, *)
21	15.9	20.2	13.0	16.4	−0.2	733.6	734.7	734.6	93	74	97	SE 0	NW 1	SW 1	10	8	2	0.0	● 0–3, 9¼–9¾
22	13.7	16.1	12.0	13.9	−2.6	732.0	731.1	729.5	91	92	96	S 0	NNE 0	ENE 0	7	10	9	12.4	● 10½–12¾ mU, 17¾–18¾, *)
23	12.6	15.4	12.3	13.4	−3.1	728.6	728.3	730.4	97	88	92	SE 0	WSW 1	SSW 1	10	8	10	13.5	● 2 3¼, 6¼ 6¾, 8¾ 10, *)
24	11.7	16.4	13.2	13.8	2.6	727.7	728.2	725.4	94	65	89	ESE 1	W 2	SSE 1	10	8	10●	6.0	● 0–0¾, 6¾–8¾, 11¼, 20¼–24, *)
25	20.4	15.8	14.2	16.8	0.5	**720.3**	724.6	727.5	67	86	76	WSW 3	WSW 2	W 1	10	10	9	6.1	● 0–3¼, 9¼–10¼, 11¼–14¼ mU, *)
26	15.2	21.4	16.2	17.6	1.4	731.4	731.8	731.6	71	**60**	84	S 1	NNW 1	ENE 1	1	9	10	0.2	● 20¾–21, 22¼ 23¼
27	16.1	22.0	13.9	17.3	1.2	728.7	727.0	733.1	84	85	94	E 1	WNW 1	SE 1	6	9	10	**24.2**	● 5¼ 5¾, 13 20½ mU, ⌇ 14
28	13.8	18.3	13.2	15.1	0.9	732.7	733.0	735.8	92	76	79	SE 1	W 1	W 1	10	10●	0	0.5	● 13½ 13¼ mU [14½, ⸝ 14
29	10.5	18.0	11.0	13.2	−2.8	735.4	734.4	736.6	87	71	92	SE 0	NNW 1	SW 1	1	9	9	5.8	● 16¾ 19, 21 21¾, ⌇ 17
30	10.6	17.0	10.0	12.5	−3.4	738.2	738.4	738.2	88	66	98	SW 0	W 1	SSW 0	6	9	0	0.8	● 11¾–12 [17¾, ⌓ I
31	7.2	17.2	13.9	12.8	−3.0	737.8	736.0	734.5	99	74	93	ESE 1	ENE 1	SW 1	9≡	9	9	2.3	≡ 6¾ a
Mittel	13.9	19.5	14.5	15.6	—	733.5	733.3	733.6	87	76	90				6.4	7.4	6.4	Summe 149.2	

*) 2. ● 23 24, ⸝ 11½ 3. ● 16 16¼, 19½ 21¼ mU, ⸝ 11½ 10. ⌇ 21¼ 21¾, ▲ 17½ 17. ● 18¼ 21¼ mU, ⌇ 13½ 13¾, 17¼ 18¼, ⸝ 13½ 18. ● 21¾–21¾, 22¾–23 20. ● 22½–24, ⌇ 14, ⌒ 19 22. ● 23¾–24, ⌇ 17½–18, ⸝ 17¾ 23. ● 11¾–14½, 16–18¾ 24. ⸝ 9¾ 25. ⸝ 11¾

August 1956
Beobachter: *Observatoire*

Säntis

λ = 9° 21′, β = 47° 15′,
H_b = 2500.1 m, G = –0.29 mm

Tag	Lufttemperatur					Luftdruck			Relative Feuchtigkeit			Windrichtung und Stärke			Bewölkung			Niederschlag	Witterung
	7³⁰	13³⁰	21³⁰	Mittel	Abweich. vom Normalst	7³⁰	13³⁰	21³⁰	7³⁰	13³⁰	21³⁰	7³⁰	13³⁰	21³⁰	7³⁰	13³⁰	21³⁰		
1	1.5	7.2	2.7	3.8	-1.6	567.6	567.0	564.4	100	71	100	WSW 2	WSW 2	WSW 3	10≡	8	10≡	11.1	● n (1./2.), ≡ n-n mU, ⊕ 16½
2	2.8	4.3	2.4	3.2	-2.2	561.1	561.6	561.1	100	100	100	WSW 4	SW 4	WSW 4	10≡	10≡	10≡●	32.5	● n-15½ mU, 19¼-n. ≡ ⤡ n-n, *)
3	0.9	1.4	-0.8	0.5	-4.9	559.3	559.3	560.3	100	100	100	W 3	WSW 4	WSW 4	10≡●✱	10≡	10≡	**50.3**	● n-6¼, ● ✱ 6¼-13, 14-15½, *)
4	-1.3	1.1	-1.1	-0.4	5.7	561.0	561.9	562.0	100	100	100	WSW 3	WSW 2	W 2	10≡V	10≡	10≡✱	12.5	⩠ n-7, ▽✱ 15¼-n mU, *) ⊠
5	-2.9	2.6	1.9	0.5	-4.8	561.8	563.1	564.1	100	91	92	W 2	SSW 1	SW 1	8	10≡	3	0.0	▽✱ 7½-9 mU, ≡ n-7, 9-17 ⊠
6	4.0	7.8	5.4	5.7	0.4	564.7	565.2	567.1	80	71	90	S 1	S 2	S 3	9	5	9	.	⊕ a
7	5.2	5.9	4.1	5.1	0.2	568.6	570.2	572.2	98	100	100	SSW 2	WSW 3	WSW 3	10	10≡●	10≡●	16.1	● 11-n mU, ≡ 9½-10¾ mU, [10¾-n
8	4.6	9.8	8.3	7.6	2.3	572.3	**573.2**	572.4	100	60	50	SW 3	WSW 2	WSW 3	1	1	0	.	
9	10.4	13.6	13.1	12.4	7.2	572.2	573.0	571.8	54	49	41	WSW 3	SW 3	SW 2	0	0	0	.	
10	15.2	**16.9**	7.7	13.3	8.1	569.0	568.1	564.6	35	42	99	SSW 2	S 2	S 3	1	1	7●	46.5	● 18¼-n mU, ⟨K 18¼-19½
11	1.9	2.4	2.6	2.3	-2.9	561.9	560.8	561.7	100	100	100	WNW 3	WSW 4	WSW 3	10≡✱	10≡	10≡●	30.9	● ✱ n-12, ● 15½-n mU,*)
12	0.4	0.4	-0.6	0.1	-5.1	562.8	564.1	565.0	100	100	100	WSW 3	WSW 3	SW 2	10-●✱	10≡△	0	6.6	❟ n-7, ▽ 7-9¾ mU, ⩠ 13-14, [≡ n-18¾, 18¾-n mU
13	5.7	9.6	5.1	6.8	1.7	564.2	565.1	565.3	**10**	34	61	SW 3	SW 2	SW 4	1	7	9	.	
14	5.5	6.2	4.3	5.3	0.2	565.1	565.4	565.2	89	100	100	WSW 2	WSW 3	WSW 3	3	10	10≡●	4.8	▽ 12½-14 mU, 19½-n mU, ≡ 18-n
15	2.4	3.2	3.2	2.9	2.2	564.8	565.6	566.0	100	66	100	WSW 3	WSW 2	WSW 3	10≡	3	1	.	≡ n-12½, 18-n mU
16	4.3	8.0	6.6	6.3	1.3	565.3	566.1	565.5	31	44	85	SW 3	SW 3	SW 3	1	4	1	.	
17	6.4	10.8	5.4	7.5	2.5	564.7	565.2	564.3	79	75	95	WSW 3	SSW 2	SW 3	1	5	8	14.4	▽ 15-16¾, ⟨K 15½-15¾, n (17./18.),*)
18	7.1	12.1	6.7	8.6	3.7	563.5	564.0	563.7	100	80	100	WSW 2	SW 2	SW 2	10≡	9	10≡●	42.3	▽ 12-12¼, 15½-16, ● 18-n,*)
19	5.0	4.9	4.7	4.9	0.0	562.9	563.9	565.6	100	91	100	WSW 3	WSW 3	SW 2	10≡❟●	5	10≡	1.4	● ❟ n-8¾, ▽ 11, ≡ n-n mU
20	8.0	8.8	5.2	7.3	2.5	565.3	565.1	564.6	73	98	100	SW 2	SE 2	W 3	1	10≡	10≡●	45.8	▽ 12-16¾ mU, 20-n mU, *)
21	4.0	3.8	1.0	2.9	-1.9	563.7	564.8	564.6	100	100	99	WSW 3	WSW 2	SW 1	10≡●	10≡	10	13.3	▽ n-12 mU, 15-15½, 17,*)
22	1.9	3.2	0.1	1.7	-3.0	562.1	561.3	559.5	81	85	100	WSW 2	WSW 3	SW 3	9	9	10≡●	15.5	▽ 14½-16, 18-18½, 20-n mU,*)
23	-0.6	0.0	-0.5	-0.4	-5.0	557.2	557.8	558.7	100	100	100	WSW 3	WSW 3	SW 3	10≡V	10-●✱	10≡✱	32.2	✱ ● 8-14, ✱ 14-n, *) ⊠
24	-1.3	-0.6	0.0	-0.6	-5.2	557.2	557.3	557.2	100	100	100	W 4	W 3	SW 4	10≡	10≡V	10≡	9.9	✱ 8½-9, ⩠ 11¾-12½, *) ⊠
25	4.5	4.7	2.1	3.8	-0.7	**554.9**	557.4	558.5	93	100	95	S 5	SW 4	SW 5	10●	10≡●	10	22.2	● ⤡ n-n mU, ⟨K 17¼, ⊠
26	2.5	8.5	5.3	5.4	1.0	561.4	563.3	564.1	100	85	95	SW 3	ESE 2	SE 2	3	4	5	1.3	● n-7, ▽ 16-19 mU, ≡ n-8 mU
27	7.9	10.0	3.2	7.0	2.6	563.0	563.1	564.1	72	74	100	SSE 4	SE 4	W 3	1	2	10≡●	23.6	▽ 15¼-n mU, ≡ 15¼-n,*)
28	5.4	2.6	1.4	3.1	-1.2	563.7	563.9	564.8	100	88	100	SSW 3	WSW 3	WSW 3	4	9●	10≡●	16.3	▽ 7, 8½-17 mU, ● 17-n, *)
29	0.8	4.8	-3.2	0.8	-3.4	563.5	562.7	563.4	100	100	100	ENE 2	SW 1	W 3	10≡	10≡●	10≡✱	26.8	▽ 8 16¼ mU, ⩠ 16¼-16½, *)
30	**-3.3**	-2.0	-1.7	-2.3	-6.4	564.2	565.8	566.1	100	96	73	W 3	SW 2	SE 2	10≡✱	9	2	2.0	✱ n-8 mU, ≡ n-11¼, *) ⊠
31	1.3	4.6	4.6	3.5	-0.5	565.6	566.6	566.1	54	78	64	SW 2	SSE 2	E 2	4	6	1	.	⊠
Mittel	3.6	5.7	3.2	4.2	—	563.7	564.2	564.3	86	83	92				6.7	7.3	7.3	Summe 478.3	

August 1956
Beobachter: *E. Chiesa*

St. Gotthard (Hospiz)

λ = 8° 34′, β = 46° 33′,
H_b = 2095 m, G = –0.27 mm

Tag	7³⁰	13³⁰	21³⁰	Mittel	Abweich. vom Normalst	7³⁰	13³⁰	21³⁰	7³⁰	13³⁰	21³⁰	7³⁰	13³⁰	21³⁰	7³⁰	13³⁰	21³⁰	Niederschlag	Witterung
1	4.4	12.3	7.6	8.1	-0.4	596.8	596.0	593.9	96	93	99	NW 2	NW 1	SE 0	0	0	10	10.9	● n (1./2.), ⌓ I
2	6.8	12.8	6.5	8.7	0.2	591.1	591.2	590.6	96	44	93	SE 1	NW 1	NW 1	10●	0	10	0.5	● n-a
3	5.3	10.9	2.8	6.3	-2.2	589.3	589.3	590.1	77	50	99	NW 1	NW 1	NW 3	3	3	10≡	.	≡ 17½-n, ⤡ p-n
4	3.6	7.8	2.0	4.5	-3.9	590.5	590.4	591.0	75	62	99	NW 0	NW 1	NW 2	3	6	10≡❟	4.4	● 18¼-19, ≡ ❟ 16¼-n
5	2.0	9.0	6.2	5.7	-2.7	590.8	591.8	593.1	98	72	90	NW 1	NW 1	SE 1	10≡	9	10	5.0	● n (5./6.), ≡ n-9
6	4.3	6.0	7.0	5.8	-2.6	593.8	594.7	596.3	99	90	95	SE 1	SE 2	SE 1	10●≡	10●≡	10●	24.8	● n-n mU, ≡ n-p
7	7.8	9.0	6.8	7.9	-0.5	597.5	599.8	**601.7**	97	87	99	SE 2	SE 1	NW 1	10●≡	10	10❟≡	3.3	● n-a- ❟ 18½-n, ≡ n-a, [18½-n
8	7.1	14.6	12.4	11.4	3.1	601.1	601.3	601.0	95	69	98	NW 1	NW 1	SE 1	0	0	10≡	.	≡ 20¼-n, ⌓ I
9	14.8	**20.5**	15.0	16.8	8.5	601.3	601.4	600.2	46	**32**	50	NW 0	NW 0	NW 0	0	0	0	.	⌓ I
10	11.4	15.0	11.8	12.7	4.4	597.6	596.2	593.7	85	76	97	SE 0	SE 1	SE 2	0	3	9	**94.2**	● 18-n mU, ⟨K 18-18¼, 19¾, ⌓ I
11	4.8	7.6	5.6	6.0	-2.2	590.5	590.3	591.0	98	72	98	NW 2	NW 2	NW 1	10	0	10	18.9	● 20½-n, ⟨K n (10./11.)
12	3.5	8.0	4.4	5.3	-2.9	591.8	592.8	593.5	97	58	98	NW 1	NW 1	NW 2	6	3	10≡	.	≡ 16¼-n
13	6.2	11.3	6.6	8.0	-0.1	593.7	594.4	594.8	60	82	97	SE 1	SE 1	SE 1	0	6	9	.	≡ 19-n mU
14	7.6	8.4	5.8	7.3	-0.8	594.5	595.0	594.2	86	82	98	SE 0	NW 0	NW 1	3	10	10●≡	7.8	● 11¼-n mU, ≡ 19¼-n, ⌓ I
15	5.4	9.3	5.2	6.7	-1.3	593.7	593.8	594.6	99	66	97	NW 1	NW 2	NW 1	10≡	3	0	.	≡ n-8¾, 18¾-21 mU
16	6.9	15.0	9.8	10.6	2.7	594.3	594.7	594.4	70	65	98	NW 0	SE 0	SE 1	0	0	10≡	.	≡ 20-n, ⌓ I
17	9.0	15.2	7.4	10.5	2.6	593.8	594.0	593.5	92	74	89	NW 0	SE 1	SE 1	0	9	10≡	9.6	● 20-n mU, ≡ 16¾-n mU, ⌓ I
18	9.2	10.8	9.9	10.0	2.2	592.5	592.8	592.6	98	88	91	SE 1	SE 1	SE 1	10≡	10≡	10≡	10.9	● 20 20¼, n (18./19.), ≡ n-n
19	8.9	12.0	9.6	10.2	2.5	591.8	593.0	594.3	96	90	94	NW 0	NW 0	NW 0	10	9	3	.	
20	10.6	10.8	10.2	10.5	2.9	593.8	593.7	593.0	77	95	98	SE 1	SE 2	SE 0	3	10●	10●≡	45.8	● 11-n, ≡ 19-n
21	6.4	6.5	3.7	5.5	-2.1	592.5	593.0	593.0	98	97	99	NW 2	NW 2	NW 2	10≡	10≡	10≡	.	≡ n-n
22	6.4	7.6	4.8	6.3	-1.2	591.0	590.4	587.9	57	96	98	SE 1	SE 1	NW 2	9	10	10	8.8	● 14-15¾, ❟ n (22./23.)
23	2.0	3.2	1.8	2.3	-5.1	**585.9**	586.3	587.4	99	96	99	NW 2	NW 2	NW 2	10❟≡	10≡	10❟≡	0.7	❟ n-n mU, ≡ n-n
24	3.1	8.4	5.4	5.6	-1.7	586.9	586.7	586.8	82	50	84	NW 1	NW 1	NW 1	10	9	10	6.7	● n (24./25.)
25	4.8	6.0	5.2	5.3	-1.9	586.2	586.7	588.2	98	99	92	SE 2	SE 1	SE 1	10●≡	10●≡	10≡	17.2	● n-p, ≡ n-n
26	6.7	9.4	9.0	8.4	1.2	590.1	592.4	592.9	93	93	99	SE 1	SE 1	SE 2	10	10≡	10≡	25.3	● 14¼-18¾, ≡ a-p, 17-n
27	9.2	9.2	9.5	9.3	2.2	593.1	593.0	592.6	95	99	99	SE 2	SE 3	SE 2	10	10≡	10≡	73.1	● 8¼-n mU, ≡ 8-n, ⤡ n-n mU
28	9.6	8.8	4.4	7.6	0.6	592.4	592.5	593.6	92	98	98	SE 2	SE 3	NW 2	10●≡	10●≡	10●≡	27.3	● ⤡ n-n mU, ▲ 19-19¼, ≡ n-n
29	3.4	3.2	**1.2**	1.8	-5.1	592.5	592.0	592.8	99	98	99	NW 2	NW 1	NW 2	10●≡	10●≡	10✱≡	54.7	● n-16, ✱ 16-n mU, ⟨K ▲ 15, [≡ n-n ⊠
30	-1.0	4.4	2.8	2.1	-4.7	593.8	594.9	595.0	97	64	84	NW 1	NW 1	NW 0	10≡	3	0	.	≡ n-a
31	3.0	6.0	5.1	4.7	-2.0	595.2	596.0	596.2	60	70	76	SE 1	SE 2	SE 1	9	10	10	2.9	● n (31./1.)
Mittel	6.2	9.6	6.5	7.5	—	592.9	593.2	593.4	87	78	94				6.7	6.5	8.7	Summe 452.8	

*) 2. ⤡ 10½ 3. ● ❟ 16¼-17, ⩠ n (3./4.), ≡ n-n, ∼ V 19½-n, ⤡ a-n, ⤡ 16½ 4. ≡ n-n, V n-8½ 11. ≡ n-n, ⤡ II 17. ≡ 10-11, 14¾-16¾, 18. ⟨K 18¼-18½, ▲ 18 18¾, ≡ n-8¾, 14¾-n mU 20. ⟨K 15½-16, ≡ 12-17, 21-n 21. ≡ n-19 mU 22. ▽✱ n (22./23.), ≡ 15¼-n 23. ≡ n-n, V n-8½, 24. ● n (24./25.), ≡ n-n mU 25. ≡ 8¾-19 27. ⤡ n-p 28. ≡ 8½-9½, 14¼-n 29. ✱ 16½-n, ≡ n-n 30. V n-9½

$\lambda = 7° 26'$, $\beta = 46° 57'$,
$H_b = 572.2$ m, G = −0.04 mm

Bern

September 1956
Beobachter: *Meteorologisches Observatorium*

g	Lufttemperatur 7³⁰	13³⁰	21³⁰	Mittel	Abweich. vom Normalst	Luftdruck 7³⁰	13³⁰	21³⁰	Relative Feuchtigkeit 7³⁰	13³⁰	21³⁰	Windrichtung und Stärke 7³⁰	13³⁰	21³⁰	Bewölkung 7³⁰	13³⁰	21³⁰	Niederschlag	Witterung
1	11.6	16.8	15.0	14.5	−1.1	712.7	712.1	711.6	97	79	92	NW 0	N 1	N 0	9	3	2	5.3	● 1¼-3½, 4½-5¼, 7¾-10¼, ≡ 6½,
2	13.5	19.5	13.9	15.6	0.1	714.6	712.2	714.3	96	65	98	NE 0	NE 2	N 1	9	9	7	12.3	● 5¾-7, 15½-17¾, 19-20¼ [⌓ III
3	10.8	13.9	11.4	12.0	−3.3	714.7	716.5	716.0	95	67	90	SW 1	NW 0	NE 0	10	9	6	8.4	● 4¼-9¾
4	10.7	16.0	11.5	12.7	−2.5	715.8	715.1	714.1	90	48	82	S 0	SSW 1	S 0	8	8	2	.	
5	9.7	19.8	15.8	15.1	0.0	713.4	711.0	709.5	88	50	90	SE 0	N 1	SW 1	2	2	6	.	⌓ I, III
6	14.5	12.8	12.5	13.3	−0.4	709.9	712.4	713.9	94	90	89	NE 0	SW 0	ESE 1	9	9●	0	2.5	● 10¾-14¼, ⌓ I, III, ⸗ II
7	11.7	19.8	14.9	15.5	0.7	714.8	714.3	715.0	93	**40**	79	SE 1	WSW 3	E 0	5	3	9	0.9	● 2½-2¾, 22¼-23½, ⌓ I, ⸗ II
8	12.4	21.1	15.5	16.3	1.6	714.2	712.5	710.3	89	49	86	SE 1	W 1	E 1	4	2	0	.	● 1¼-4¼, ⌓ III
9	11.9	15.8	13.7	13.8	−0.7	709.0	711.8	710.1	91	89	97	S 0	SW 1	NE 0	1	10	1	4.4	● 11¼-14¼ mU, ⸗ 11¼-11¾,*)
0	11.9	20.3	14.8	15.7	1.3	710.9	711.1	714.2	99	75	96	SW 0	NE 1	E 1	9	8	9	**15.3**	◐ 6¼-7¼, ● 8½-24 mU, *)
1	14.5	20.5	16.1	17.0	2.8	716.8	717.8	718.1	98	58	83	SE 0	W 1	SW 0	9	6	2	.	● 0¼, 5-7¼, ⸗ 5-5¾
2	13.5	16.5	14.8	14.9	0.8	718.0	717.5	717.6	75	63	85	SW 1	SW 1	SW 0	9	9	9	.	⌓ I
3	14.0	19.2	16.2	16.5	2.4	717.2	716.1	716.4	82	53	85	SW 1	W 1	N 0	9	4	9	.	⌓ III
4	14.6	17.3	11.9	14.6	0.8	716.2	716.8	716.3	88	66	84	NE 0	NE 2	NNE 1	3	4	0	.	⌓ I
5	10.4	19.7	15.7	15.3	1.7	**718.2**	717.8	717.8	92	63	93	W 0	SSW 1	N 0	9	1	5	.	⌓ I, II
6	11.6	**22.8**	16.8	17.1	3.6	717.9	716.4	715.4	97	55	87	SE 0	S 0	ESE 0	2	1	6	.	⌓ I
7	13.2	20.6	15.4	16.4	3.1	713.9	713.3	713.2	93	72	93	SE 0	NNE 1	NNE 1	0	1	1	.	⌓ I, III, ⌄ 0½
8	10.4	13.6	11.3	11.8	−2.4	713.7	714.6	716.3	91	79	93	NNE 1	NNE 2	N 0	10	6	8	.	⌓ I, III
9	12.0	19.0	14.6	15.2	2.2	717.1	717.1	717.2	94	66	95	NE 0	W 1	N 0	10	1	0	.	⌓ I, III
0	10.5	20.9	15.4	15.6	2.7	717.3	715.4	714.2	99	60	86	SE 0	N 1	ESE 1	10≡	1	0	.	≡ 5½-9, ⌓ I, III
1	10.4	20.1	15.0	15.2	2.5	713.7	712.4	711.6	92	63	92	SE 1	N 1	SW 0	1	1	0	.	⌓ I, III
2	11.2	19.9	15.9	15.7	3.2	711.4	710.8	711.3	96	60	93	SE 1	NE 0	SW 0	0	5	10	.	⌓ I
3	12.6	21.0	15.7	16.4	4.0	712.6	712.9	712.2	99	56	93	SE 0	NE 1	E 0	10≡	5	2	.	≡ 7¼-8¼, ⌓ I, ⌄ III
4	11.9	21.2	16.5	16.5	4.3	712.6	710.8	710.1	96	57	95	SE 0	NE 1	NE 0	0	1	2	0.0	⌓ I, III
5	13.0	19.3	16.1	16.1	4.0	710.2	709.9	707.6	94	67	93	E 0	N 1	NE 1	9●	9	10	4.4	● 7¼-8, 9¾-10
6	11.3	16.3	12.9	13.5	1.6	707.3	**706.9**	708.6	90	61	78	N 0	SW 1	SW 1	10	9	6	11.0	● 3¼-5, 18¾-19¼, 23¾-24
7	10.7	14.9	10.6	12.1	0.4	710.2	713.6	716.0	98	74	71	S 0	WSW 3	SW 1	10●	10	9	3.1	● 0-11, ⸗ II
8	10.3	17.0	12.7	13.3	1.8	715.5	714.8	716.2	87	59	89	SE 0	W 1	SSE 0	9	9	1	.	⌓ III
9	**9.5**	19.7	14.0	14.4	3.1	716.6	716.5	717.7	96	59	96	SE 1	W 1	E 0	4	3	0	.	⌓ I, III
0	9.6	19.7	14.7	14.7	3.6	**718.2**	717.8	718.0	99	66	94	SE 1	NE 1	S 0	1≡	4	1	.	≡ 6-8, ⌓ I, III
tel	11.8	18.5	14.4	14.9	—	714.2	713.9	714.0	93	64	89				6.4	5.1	4.1	Summe 67.6	

*) 9. ≡ 23-u, ⌓ I 10. ≡ n-7¼, ⸗ 18¾

$\lambda = 6° 57'$, $\beta = 47° 00'$,
$H_b = 487.3$ m, G = 0.00 mm

Neuchâtel

September 1956
Beobachter: *Observatorium*

1	12.0	17.1	15.0	14.7	−1.8	720.4	720.0	719.0	98	77	87	NE 0	E 1	NE 1	10	3	1	8.7	● 0-8 mU, 8-11½
2	14.7	18.7	13.6	15.7	−0.7	722.0	720.6	721.8	98	80	98	NE 1	SE 1	NE 1	10	10	10	15.9	● 14¾-24 mU, ⸗ 14-16
3	10.6	16.1	11.9	12.8	−3.5	722.5	723.8	723.7	93	66	89	SW 1	S 1	N 1	10●	6	3	2.1	● 0-9¼
4	9.8	17.9	11.4	13.0	−3.2	723.5	722.6	721.6	96	**45**	85	NE 1	S 1	NW 1	4	7	0	.	⌄ 3¾
5	**10.1**	20.5	15.5	15.4	−0.7	721.0	718.6	716.9	94	50	85	NW 1	SE 1	SE 1	4	2	10	.	
6	13.8	14.6	14.2	14.2	−1.8	717.4	719.8	721.3	90	78	77	SW 0	SW 2	W 1	10	10	0	1.9	● 10-13, ⸗ 10¼
7	13.6	20.5	15.4	16.5	0.7	722.2	721.9	722.6	84	46	69	W 1	SW 2	SW 1	9	4	10	0.3	⌄ 21¼, 21¾
8	13.6	22.2	14.9	16.9	1.2	721.6	719.8	717.6	90	56	78	E 1	SE 1	NE 1	1	1	0	.	⌄ 1½
9	12.6	14.7	13.2	13.5	−2.1	716.4	719.0	717.5	98	95	95	NE 1	NW 1	NE 1	0	10●	0	3.1	● 11-13¾, ⸗ 12
0	13.2	19.7	14.6	15.8	0.4	718.2	718.6	721.3	95	75	95	NE 0	SE 1	NE 0	8	5	8	12.0	● 17½-18½, ⸗ 17¼-17¾, 18¼-18¾, [⸗ 16½-18¼
1	14.6	21.7	17.5	17.9	2.6	724.3	725.1	725.3	96	67	64	NE 0	SW 1	NW 2	10	4	1	.	⌄ 0¼, ● 4¼-5¾
2	15.1	16.7	15.3	15.7	0.5	725.6	724.9	**727.2**	71	55	76	SW 2	W 2	SW 2	10	10	9	.	
3	14.1	21.2	17.4	17.6	2.6	724.6	723.7	723.9	64	47	73	SW 2	SW 1	NW 1	8	2	10	.	
4	15.2	19.5	13.8	16.2	1.3	723.6	724.3	723.9	83	63	76	NE 1	NE 2	NE 1	8	4	0	.	
5	11.3	19.9	14.3	15.2	0.5	725.8	725.4	725.3	87	60	92	E 1	SE 1	NE 1	6	0	2	.	
6	14.0	21.9	17.6	17.8	2.2	725.3	723.9	722.8	97	58	86	NE 1	SE 1	SE 1	10≡	0	8●	0.0	●tr 21½, ≡ n-11
7	14.3	**22.6**	17.6	18.2	3.8	721.1	720.6	720.6	97	67	75	E 1	NE 2	NE 2	0	7	2	.	≡ 7¾-10½
8	11.9	15.1	13.7	13.6	−0.6	721.5	722.3	723.8	82	76	84	NE 2	NE 2	NE 1	10	10	9	.	
9	12.6	20.3	14.9	15.9	1.8	724.7	724.5	724.6	86	61	90	NE 0	SE 1	E 0	10	0	0	.	
0	12.1	17.7	14.6	14.8	0.9	724.9	723.3	721.8	96	77	89	E 1	E 1	E 1	10≡	0	0	.	≡ n-a
1	12.2	17.4	13.8	14.5	0.8	721.2	720.1	718.9	98	80	81	E 0	S 1	SE 1	10≡	3	0	.	≡ n-10
2	11.8	19.9	15.4	15.7	2.1	718.7	718.1	718.9	96	65	87	SE 0	SE 1	SE 0	8	4	10	.	
3	13.6	21.2	17.0	17.3	3.9	720.1	720.4	719.5	95	59	84	SE 0	SE 1	NE 1	1	5	1		
4	12.5	21.4	16.7	16.9	3.7	719.9	718.0	717.4	98	66	83	NE 0	SE 1	NE 0	10≡	0	1	0.9	≡ n-9
5	14.8	20.4	15.7	17.0	4.0	717.6	717.1	714.7	98	71	84	E 1	E 1	N 1	10	7	10	6.3	● 5¼-6¾
6	12.6	18.5	13.5	14.9	2.1	714.2	**714.1**	716.1	86	68	83	SW 1	S 1	SW 2	10	7	10	**22.5**	● 3 4½, ●tr 17¼, ⸗ 16½-21
7	12.0	13.7	11.7	12.5	−0.1	717.6	721.5	723.6	96	75	73	SW 2	W 2	W 1	10●	10	10	3.3	● 0½-9½, ⸗ a-p mU
8	12.0	16.9	15.2	14.7	2.3	722.9	722.5	723.3	74	68	74	W 2	SW 1	W 2	9	10	0	.	⸗ 19½-21
9	10.9	20.3	14.0	15.1	2.9	724.3	723.9	725.2	97	63	91	W 1	SE 1	SE 1	2	1	0	.	
0	12.1	15.1	13.1	13.4	1.4	725.7	725.6	725.4	99	89	95	SE 0	SE 1	SE 1	10≡	9	0	.	≡ n-a
tel	12.8	18.8	14.8	15.5	—	721.6	721.5	721.5	91	67	83				7.6	5.0	4.1	Summe 77.0	

September 1956
Beobachter: *Frl. H. Nager*

Altdorf

$\lambda = 8° 38'$, $\beta = 46° 53'$,
$H_b = 456.3$ m, $G = -0.08$ mm

Tag	Lufttemperatur 7³⁰	13³⁰	21³⁰	Mittel	Abweich. vom Normalst.	Luftdruck 7³⁰	13³⁰	21³⁰	Relative Feuchtigkeit 7³⁰	13³⁰	21³⁰	Windrichtung und Stärke 7³⁰	13³⁰	21³⁰	Bewölkung 7³⁰	13³⁰	21³⁰	Niederschlag	Witterung
1	14.2	19.4	21.1	18.2	2.2	722.3	721.9	722.9	87	75	47	NW 1	NW 1	S 3	6	4	5	.	⸗ III
2	21.2	22.2	16.1	19.8	3.9	723.9	721.4	725.3	52	60	95	E 1	E 2	NW 0	10	7	10	.	● tr a, 17¼–n
3	15.4	12.6	10.7	12.9	−2.9	722.9	727.0	725.8	98	91	93	NE 0	NE 1	NE 0	10●	10●	4	9.0	● n–p
4	11.6	16.3	11.9	13.3	−2.4	725.7	725.0	724.3	97	60	89	E 0	NW 1	SE 0	9	5	2	**27.9**	
5	11.0	17.8	19.8	16.2	0.6	723.4	720.6	718.8	94	64	42	S 0	N 0	S 2	0	0	8	.	
6	14.8	17.8	13.2	15.3	−0.2	719.8	721.0	**714.2**	92	67	95	E 0	NW 2	NW 0	7	10	10	.	● 16¾–20
7	11.4	18.5	14.0	14.6	−0.8	724.8	724.2	725.6	95	56	95	E 0	NW 2	E 0	2	5	8	1.4	● 17–17¾
8	12.4	19.2	13.8	15.1	−0.2	724.1	722.0	720.6	95	62	91	E 0	W 0	NW 0	4	3	0	2.2	
9	16.0	19.0	13.7	16.2	1.0	717.9	720.9	719.7	70	72	95	E 1	NW 3	NE 0	0	10	5	.	● 14–15, ⸗ a–p mU
10	14.4	21.0	15.6	17.0	1.9	719.9	720.4	724.4	96	68	99	NW 0	W 0	NW 1	4	6	10	0.4	● 19½–21¼, n (10. 11.), [⸗ 19½–20
11	15.2	17.9	15.2	16.1	1.1	727.4	727.3	727.5	100	77	95	N 0	NW 0	NW 0	10●	6	6	26.9	● n–9½
12	14.3	16.0	14.2	14.8	−0.1	727.0	727.1	726.7	97	85	92	SE 0	E 0	NE 0	9	10●	10	1.3	● 13½–p, n (12./13.)
13	13.6	15.1	16.2	15.0	0.3	726.4	726.0	724.7	99	93	75	W 0	E 0	NW 1	10●	10	10●	4.4	● n–a, ∇ 21½
14	15.3	17.9	13.2	15.5	0.9	725.8	726.9	726.7	95	76	92	SE 0	NW 1	NW 0	10●	6	3	2.6	∇ 7½
15	11.4	17.7	14.2	14.4	−0.1	**728.8**	727.8	727.9	86	62	92	N 0	N 0	NW 0	0	0	5	0.3	△ I
16	11.5	19.1	15.5	15.4	1.0	727.7	726.0	725.6	96	67	92	N 0	N 0	N 0	0	2	6	.	△ I
17	13.3	19.9	16.5	16.6	1.4	723.6	723.1	723.3	99	80	95	N 0	NW 2	N 0	2	4	10	.	△ I
18	13.6	13.7	13.3	13.5	−0.6	724.1	724.9	726.5	92	87	95	N 0	N 0	N 0	10	10	10	.	
19	13.3	16.2	13.1	14.2	0.2	727.2	726.9	727.6	92	80	95	N 0	N 0	N 0	10	2	0	.	
20	11.4	18.6	14.1	14.7	0.9	726.9	724.6	724.3	88	73	91	N 0	N 0	N 0	0	1	0	.	△ I
21	10.8	18.1	12.6	13.8	0.1	723.5	721.6	721.5	96	69	91	N 0	N 0	NW 0	0	1	0	.	△ I
22	**9.8**	17.8	13.7	13.8	0.3	721.6	720.3	721.2	86	55	91	NW 0	NW 0	NW 0	0	4	9	.	△ I
23	12.2	19.9	19.2	17.1	3.8	722.2	721.4	721.9	96	50	52	N 0	E 1	SE 1	5	3	2	.	
24	15.4	**23.7**	21.4	20.2	7.0	722.1	720.0	720.1	85	42	**41**	W 0	SE 2	SE 2	0	0	2	.	
25	16.4	18.2	21.1	18.6	5.6	719.8	719.7	717.3	90	87	42	NW 0	NW 0	SE 2	10	10	10	.	● n (25. 26.)
26	14.3	16.2	14.1	14.9	2.1	717.0	716.2	719.0	80	77	91	E 1	NW 0	NW 0	9	9	10●	12.0	● 20–n
27	13.2	13.2	12.0	12.8	0.1	720.9	723.2	726.9	100	95	94	NW 0	E 0	NE 0	10●	10●	1	10.6	● n–15
28	12.0	16.3	12.4	13.9	1.4	726.3	724.9	726.5	95	52	92	NE 0	NW 0	NW 0	9	2	0	16.5	
29	12.1	17.3	13.1	14.2	1.9	727.9	727.0	728.2	92	74	95	E 0	NW 0	NE 0	6	2	0	.	
30	14.0	17.2	13.2	14.8	2.7	728.6	727.9	727.1	98	77	94	NE 0	N 0	N 0	0	0	0	.	△ I
Mittel	13.5	17.8	14.9	15.4	—	724.0	723.4	723.8	91	71	85				5.4	5.1	5.2	Summe 115.5	

September 1956
Beobachter: *Observatorium*

Genève

$\lambda = 6° 09'$, $\beta = 46° 12'$,
$H_b = 405.0$ m, $G = -0.05$ mm

1	13.2	17.3	16.7	15.7	−1.2	728.1	726.4	725.9	95	85	78	SW 1	SW 1	N 1	10●	5	7	23.2	● 0–3, 6½–10¼
2	14.2	15.7	14.3	14.7	−2.1	728.6	728.5	729.3	95	94	92	N 1	N 1	SW 1	10●	10●	9●	**51.9**	● 2–8, 9¼–24 mU
3	11.8	18.6	14.9	15.1	−1.6	730.8	730.7	730.4	90	55	82	S 1	SW 1	W 1	10	7	6	0.1	● 0–8¼ mU
4	11.8	19.9	15.3	15.7	−1.6	730.6	729.8	727.4	79	**38**	57	N 0	S 1	S 1	4	7	2	.	
5	**11.1**	18.6	17.1	15.6	−0.9	727.9	725.4	723.8	86	56	58	SE 1	N 0	NE 1	1	2	2	.	
6	15.2	17.8	15.6	16.2	−0.2	724.1	727.1	728.4	85	73	82	E 1	NW 1	N 1	7	2	2	3.5	● 9½–12
7	15.0	20.9	18.1	18.0	1.7	729.7	729.8	729.3	77	49	68	NE 0	S 1	S 1	3	6	4	.	● 0¼–0¾
8	13.4	21.5	17.4	17.4	1.3	728.7	726.4	724.3	86	74	65	SE 0	E 1	N 0	0	0	1	.	
9	12.8	18.2	16.2	15.7	−0.3	723.3	724.9	724.0	76	85	75	NE 1	N 2	NE 0	8	8	6	0.7	● 10½–11¼, 14–14¾, ⸗ 10½–
10	13.6	21.4	16.9	17.3	1.4	725.0	725.1	727.4	94	92	95	E 1	NW 1	NW 1	5	7	10	9.2	● ⸗ 18½–19¾ [11¼
11	15.8	**24.1**	18.1	19.3	3.5	731.4	732.1	732.2	96	58	59	NNE 0	W 1	SW 0	10●	4	6	.	● ⸗ 5½–7½
12	14.2	22.4	15.4	17.3	1.6	**732.9**	731.3	732.8	56	42	80	SSE 1	S 1	NW 1	7	9	1	.	
13	12.7	19.0	17.9	16.5	1.0	732.3	730.7	730.2	90	62	80	E 1	NNE 1	NNE 1	7	8	4	.	
14	16.0	19.8	15.7	17.2	1.8	729.9	729.7	730.7	87	74	80	NNE 1	N 2	NNE 1	1	8	5	.	
15	13.4	18.7	16.9	16.3	1.0	732.6	732.2	732.2	85	72	89	E 0	N 1	NNE 0	1	0	0	.	
16	13.8	21.2	17.7	17.6	2.5	732.4	727.4	729.4	89	88	88	NNW 1	N 1	NE 0	0	0	0	.	
17	13.9	20.9	18.3	17.7	2.7	728.1	727.1	727.2	95	70	79	ENE 0	NNE 1	NNE 1	9	1	0	.	
18	15.2	17.8	15.8	16.3	1.5	727.9	728.6	731.3	82	75	80	NNE 1	NNE 1	NNE 1	10	9	9	.	
19	15.5	21.7	16.7	18.0	3.3	731.7	731.1	731.7	82	65	94	NNE 0	NNE 1	NNE 1	10	0	0	.	
20	13.2	20.2	16.7	16.7	2.2	731.8	729.6	728.7	93	66	89	NE 0	N 1	NNE 0	10	1	0	.	
21	14.2	20.4	17.2	17.3	3.0	727.9	726.5	725.7	92	71	92	NW 0	NNE 1	NNE 1	1	4	6	.	
22	15.1	20.3	17.5	17.6	3.5	724.8	724.8	726.0	91	64	83	NNE 0	N 1	NE 0	9	6	5	.	
23	14.4	20.7	17.2	17.4	3.5	727.0	726.8	726.4	91	70	79	NNE 0	NNE 1	NE 1	0	1	0	.	
24	13.6	21.6	18.4	17.5	3.8	726.7	724.6	724.1	91	61	82	NE 0	NNE 1	NE 1	0	1	3	0.1	
25	16.5	20.2	19.9	18.9	5.4	724.7	723.9	**721.1**	89	77	87	NW 1	N 1	NNE 1	10	9	7	17.2	● 0¼–0½
26	12.4	18.3	14.7	15.1	1.8	721.4	722 0	724.2	87	62	79	NW 1	SW 2	SW 1	8	9	10	11.4	● 0¼–4¾, 21¾–24
27	14.1	15.9	12.5	14.2	1.1	724 3	730 1	731.3	87	64	77	S 1	S 1	E 1	9	9	9	.	● 0–6¾
28	11.6	20.0	14 8	15.5	2 6	730 4	729.7	730 4	86	57	80	WNW 1	WNW 1	SSW 0	9	8	3	.	
29	11.3	18.3	14.9	14.8	2.1	731.6	730.8	732.6	94	64	87	NE 1	NNE 1	NE 0	1	1	0	.	
30	12.4	18.9	15.4	15.6	3.1	732.8	732.8	732.6	98	95	92	NE 0	NE 0	NNE 1	10	1	0	.	
Mittel	13.7	19.7	16.5	16.6	—	728.6	728.2	728.4	88	69	80				6.0	4.8	3.9	Summe 117.4	

$\lambda = 8° 34'$, $\beta = 47° 23'$, $H_b = 569.4$ m, $G = -0.01$ mm

Zürich

September 1956
Beobachter: *Meteorologische Zentralanstalt*

Tag	Lufttemperatur 7³⁰	13³⁰	21³⁰	Mittel	Abweich. vom Normalst	Luftdruck 7³⁰	13³⁰	21³⁰	Relative Feuchtigkeit 7³⁰	13³⁰	21³⁰	Windrichtung und Stärke 7³⁰	13³⁰	21³⁰	Bewölkung 7³⁰	13³⁰	21³⁰	Niederschlag	Witterung
1	12.6	20.4	15.7	16.2	1.1	713.0	713.0	711.9	80	54	85	S 1	NNE 1	NE 1	4	2	0	0.0	●tr 9½, △ I, III
2	13.3	22.7	14.8	16.9	1.9	714.8	712.5	715.4	94	53	86	WNW 2	NNW 1	SSW 1	10●	6	10	1.8	●tr 7½, 17–19, ⸝ 15½–17¼
3	13.1	11.7	9.7	11.5	−3.4	713.9	716.9	716.1	92	90	96	WNW 1	WSW 1	NNE 0	10●	10●	9	20.9	● 3½–4¾, 6¾–14¾
4	10.7	18.5	11.5	13.6	−1.2	716.0	715.5	714.3	93	45	86	W 1	SW 1	SSE 1	10	4	0	0.0	● 1½–2¾, ≡ 6–6¾, △ III
5	10.7	22.3	14.9	16.0	1.3	713.4	711.3	709.4	88	45	86	SE 0	NE 1	SW 0	1	2	1	.	△ I, III
6	16.1	16.2	12.5	14.9	0.3	710.1	712.0	713.9	75	55	90	N 1	WSW 2	S 1	9	10●	0	0.0	●t 13½, 17½, ⸝ 12½–14 mU,
7	12.7	20.9	12.7	15.4	0.9	714.9	714.1	715.2	83	44	84	SSW 1	WSW 2	NE 1	3	3	9	0.8	△ I [△ I III
8	13.1	22.4	14.5	16.7	2.4	714.4	712.8	710.9	85	**43**	82	SSW 1	SSW 1	SE 1	2	1	0	.	● 0½–0¾, 3¼–3¾, △ III
9	12.3	14.7	13.6	13.5	−0.7	708.6	711.5	710.5	87	88	91	ENE 0	W 1	NE 1	3	10●	0	1.5	● 12½–13¾, ⸝ 12½–13¼, △ I III
10	11.6	21.2	15.2	16.0	1.9	710.6	711.3	714.8	96	60	94	NNW 1	WSW 1	NW 1	8●	9	10●	**27.6**	● 6½–7¾, 18¼–24, ⸜ 18 18½, ≡ 7¼–7¾ mU, △ I
11	14.9	18.6	15.1	16.2	2.3	716.8	717.8	717.8	88	65	89	SSW 1	W 1	S 0	8●	6●	8	0.2	● 0–7+, ●tr 13½
12	13.8	13.9	13.2	13.6	−0.2	717.3	717.4	717.4	75	79	89	WSW 1	W 1	SW 1	9	10	10	0.4	●tr 13½, 18½–20
13	13.4	16.2	14.5	14.7	1.1	716.6	715.4	716.3	78	59	84	WSW 2	SW 2	WSW 1	10	10	10	1.9	△ III
14	12.2	17.7	11.4	13.8	0.3	717.0	717.8	717.0	85	47	80	SSE 2	NNE 1	NE 1	9	2	0	0.0	● 3¼–5¾
15	**9.0**	19.9	13.7	14.2	0.8	718.5	718.5	718.2	93	55	93	SSE 1	W 1	NE 1	10	0	4	.	≡ 7½–10 mU, △ I, III
16	12.3	**23.9**	16.7	17.6	4.4	717.7	716.4	715.6	95	49	90	S 0	SSW 1	NW 1	10≡	1	9	.	≡ n–9¼, △ I, III
17	15.4	21.4	14.3	17.0	3.9	714.1	713.9	714.5	89	60	82	NE 1	NE 2	NNE 1	9	5	0	.	△ I, III
18	9.3	11.8	10.7	10.6	−2.3	714.8	715.7	**718.7**	88	80	89	NE 1	NE 1	NE 1	10	10	0	.	△ I, III
19	9.6	18.7	13.0	13.8	1.0	717.5	717.4	717.5	85	58	91	NE 1	SSW 1	SE 1	10	3	0	0.1	△ I III
20	11.6	21.0	14.5	15.7	3.1	717.2	715.7	714.5	99	52	89	S 1	W 1	E 1	10■	1	0	0.0	≡ n–10½, △ III
21	9.7	21.7	13.2	14.9	2.5	713.8	712.4	711.7	96	56	81	SE 0	NE 1	E 0	3	1	0	.	≡ 6–9¾ mU, △ I, III
22	11.5	21.5	14.6	15.9	3.6	712.5	710.7	711.5	90	44	89	NE 1	ENE 1	E 0	4	8	10	0.0	≡ n–a mU, △ I, III
23	13.6	23.3	16.1	17.7	5.6	712.7	713.1	712.7	94	45	85	SSW 1	NW 1	NE 1	10	2	0	.	≡ 6–9½, △ I, III
24	12.6	23.5	15.2	17.1	5.2	713.0	711.1	710.1	94	44	87	NW 1	NE 1	NE 1	10	0	0	.	≡ n–9¼ mU, △ I, III
25	14.4	18.7	14.5	15.9	4.2	710.5	710.3	707.6	90	65	91	S 1	WSW 1	ENE 1	7	10	8	1.1	△ I, III
26	14.1	16.2	14.3	14.9	3.4	706.7	**706.6**	708.6	81	57	57	WSW 2	W 1	WSW 1	10	9	9	7.1	● 4¾–6¾, △ III
27	11.0	12.8	10.6	11.5	0.2	709.5	712.5	715.8	90	85	61	SSW 2	WSW 2	WSW 1	10●	10	0	7.6	● 4–13, 14¼–15, ⸝ 3¾–15 mU, △ III
28	10.5	18.1	12.4	13.7	−2.6	715.1	714.7	716.2	80	50	90	SSW 1	SW 1	WSW 1	5	8	0	0.0	△ I, III
29	12.5	11.1	14.1	15.9	5.0	716.5	716.7	718.2	80	48	88	SSW 1	WSW 1	N 1	4	3	0	0.0	△ I
30	10.7	21.5	14.3	15.5	4.8	718.5	718.2	717.8	95	53	92	N 0	ENE 1	ESE 0	10≡	4	0	0.1	≡ 5¼–10¼, △ I, III
Mittel	12.3	19.1	13.7	15.0	—	714.2	714.1	714.3	88	58	86				7.6	5.3	3.6	Summe 71.1	

$\lambda = 6° 32'$, $\beta = 46° 51'$, $H_b = 1601$ m, $G = -0.16$ mm

Chasseron

September 1956
Beobachter: *J. Liardon*

Tag	7³⁰	13³⁰	21³⁰	Mittel	Abweich. vom Normalst	7³⁰	13³⁰	21³⁰	7³⁰	13³⁰	21³⁰	7³⁰	13³⁰	21³⁰	7³⁰	13³⁰	21³⁰	Niederschlag	Witterung
1	6.0	7.2	10.6	7.9	—	631.0	631.3	630.7	88	85	94	SSE 3	ESE 1	ESE 3	3	7	5	15.2	● 7¼–11, ≡ 7½–11¾, ⸝ n–n mU
2	9.0	8.0	8.0	8.3	—	633.1	633.0	633.3	85	100	100	S 3	NNW 3	E 2	8	10●=	10●=	43.4	● 13–16, 18–n, ≡ 12½–16, 18–n, ⸝ n–p
3	**2.8**	5.0	5.4	4.4	—	632.6	633.7	633.4	100	100	82	NW 3	W 2	W 3	10●=	10≡	7	0.4	● n–9½, ≡ n–14½, ⸝ n–n mU
4	3.0	7.2	8.4	6.2	—	632.6	633.4	632.3	72	68	72	WSW 3	WSW 2	WSW 3	6	7	5	.	△ I, ⸝ n–n mU
5	10.8	15.6	12.0	12.8	—	631.8	630.8	629.6	53	55	75	W 2	W 2	SSE 3	4	5	7	.	⸝ III
6	9.2	6.2	7.4	7.6	—	629.0	630.4	632.8	58	100	78	W 3	WSW 3	WSW 4	7	6	4	2.0	⊽ 12¾, ≡ 10–12¾, ⸝ n–n,
7	6.4	8.0	8.4	7.6	—	632.8	633.2	633.5	81	74	72	WSW 3	W 3	WSW 3	8	7	7	.	⸝ n–n [⸝ III
8	8.6	12.8	12.0	11.1	—	632.5	632.2	630.9	72	78	71	WSW 2	S 2	W 2	5	4	3	.	
9	11.0	10.0	13.2	11.1	—	627.3	630.1	629.8	76	100	54	S 3	ESE 3	W 3	4	9	5	3.4	⊽ ≡ 11–12½, ⸝ n–n
10	11.2	15.0	12.6	12.9	—	629.3	632.3	632.4	94	76	71	W 5	WNW 1	W 5	5	7	8	8.5	● ⸜ ≡ 16¼–18½, ⸝ I, III
11	9.2	11.2	9.2	9.9	—	635.2	636.9	636.4	92	92	100	W 3	WNW 3	NW 4	7	8	10≡	0.8	⸜ ● 0–4, 15¼, ≡ 10–12½, *)
12	5.4	7.4	7.4	6.7	—	635.7	636.1	635.6	100	82	100	NW 4	NW 4	NW 4	10=	10	10≡	1.8	● p–n mU, n–10 mU, *)
13	5.0	11.0	9.2	8.4	—	635.0	635.1	635.1	100	83	100	NW 3	NW 3	NW 2	10=	7	7	1.0	● n (13./14.), ≡ n–8, p mU, *)
14	8.0	11.0	9.2	9.4	—	634.2	634.9	634.5	100	84	48	E 2	NE 2	E 3	10-	5	0	.	≡ 6¾–10, ⸝ III
15	11.0	16.2	12.8	13.3	—	635.6	637.0	**637.3**	71	65	76	WSW 4	— 0	S 2	2	3	2	.	⸝ I
16	12.0	15.6	12.4	13.3	—	636.4	636.0	635.4	67	57	98	WSW 3	S 2	NNW 2	3	3	3		⸝ I
17	13.6	15.6	10.2	13.1	—	633.4	634.1	632.3	56	85	83	E 2	N 2	E 3	2	3	0	.	⸝ III
18	8.0	11.8	6.2	8.7	—	631.8	633.0	634.0	100	91	100	E 3	E 2	E 4	10≡	2	0	.	≡ 7–8 mU, ⸝ n–n mU, ⸝ III
19	12.8	14.6	12.2	13.2	—	635.1	636.2	636.3	**26**	67	58	WSW 3	S 2	WSW 3	0	0	2	.	⸝ n–n mU
20	10.8	15.4	11.2	12.5	—	635.6	635.0	634.2	81	73	80	W 3	NW 2	E 2	2	3	2	.	⸝ I
21	11.0	14.4	11.4	12.3	—	632.4	632.1	631.2	75	68	73	E 2	ESE 1	E 1	3	3	2		
22	9.6	15.2	11.0	11.0	—	630.4	630.8	631.3	100	69	98	E 2	— 0	E 2	0	5	8	.	△ III
23	11.2	14.2	12.0	12.6	—	631.9	632.7	632.2	82	84	86	NE 1	SE 1	E 2	3	4	2	.	△ I
24	14.4	**17.6**	12.0	14.7	—	632.2	631.2	630.6	53	41	75	SSE 2	— 0	ESE 2	2	3	5	0.0	⊽ n (24./25.)
25	11.0	11.2	10.0	10.7	—	629.9	630.0	628.5	69	91	100	ESE 2	N 2	E 2	8	8	10≡	12.0	● n (25./26.), ≡ 19½ n
26	6.2	7.2	5.6	6.3	—	**625.2**	625.9	627.2	68	88	100	WSW 4	SW 3	WSW 3	8	8	10●=	**43.5**	● n 4¾, 19 n, ≡ 17½ n, *)
27	6.4	3.0	4.3	4.6	—	628.1	631.1	632.4	100	100	100	NNW 5	NNW 5	W 3	10●-	10=	10-	3.0	● n 8½, 15, ● 19½ n mU, *)
28	6.0	11.2	7.4	8.2	—	632.9	633.7	633.9	91	75	100	WSW 0	W 0	W 0	8	7	10≡	.	≡ 8½–9¾ mU, 17½–n
29	10.2	13.0	11.0	11.4	—	634.9	635.8	636.6	65	75	78	WSW 3	W 2	W 1	4	4	3	.	≡ n–6¾, ⸝ I
30	12.4	15.0	12.6	13.3	—	636.6	**637.3**	**637.3**	48	52	72	W 2	S 1	ESE 2	3	5	3	.	
Mittel	9.1	11.6	9.8	10.2	—	632.5	633.2	633.0	77	79	83				5.5	5.8	5.3	Summe 135.0	

*) **11.** ≡ 19¾–n, ⸝ n–n, ⸝ III **12.** ≡ 14–n, ⸝ n–n **13.** ⸝ n–p **26.** ⸝ n–n, ⸝ I **27.** ≡ n–15½, 19½–n, ⸝ n–n mU

September 1956
Beobachter: *Stationspersonal Rh. B.*

Bever

$\lambda = 9° 53'$, $\beta = 46° 33'$,
$H_b = 1711.8$ m, $G = -0.26$ mm

Tag	Lufttemperatur 7³⁰	13³⁰	21³⁰	Mittel	Abweich. vom Normalst	Luftdruck 7³⁰	13³⁰	21³⁰	Relative Feuchtigkeit 7³⁰	13³⁰	21³⁰	Windrichtung und Stärke 7³⁰	13³⁰	21³⁰	Bewölkung 7³⁰	13³⁰	21³⁰	Niederschlag	Witterung
1	7.9	11.6	7.9	9.1	−0.3	625.7	625.7	628.4	96	78	100	SW 0	SW 2	NE 0	10	9	7	21.8	● 10–10½, 18–n mU
2	8.3	10.0	10.0	9.4	0.1	628.3	629.0	626.4	99	95	96	NE 1	NW 0	SW 0	10	10	10	**52.6**	● n (2./3.), ⌇ 11¼–11½
3	7.3	17.0	3.2	9.2	0.1	626.4	624.2	625.5	95	30	100	NE 0	SW 1	SW 0	10●	3	2	0.5	● n–9½
4	3.0	14.6	4.5	7.4	−1.6	623.7	622.9	624.4	90	38	97	NE 0	SW 0	NW 0	10	2	0	.	
5	1.0	17.4	8.8	9.1	0.2	625.3	623.2	623.5	100	41	96	S 0	SW 2	W 0	7	0	0	.	≡ a, ⌣ I
6	5.8	13.6	9.5	9.6	0.8	622.0	621.3	623.0	100	65	85	SW 0	SW 1	W 0	10	6	10	0.0	● 18–18¼
7	3.8	15.4	7.0	8.7	0.1	624.1	623.0	624.4	100	50	95	SW 0	SW 2	SW 0	3	5	4	.	△ I
8	4.6	15.8	7.8	9.4	0.9	624.4	622.7	623.1	96	40	95	W 0	SW 2	SW 1	10	5	5	.	
9	2.8	15.8	8.0	8.9	0.5	622.7	622.2	623.8	100	50	95	SW 0	SW 2	SW 0	0	5	3	.	≡ n–7½, ⌣ I
10	9.0	17.0	11.7	12.6	4.4	624.0	624.1	625.4	95	57	90	E 0	SW 0	NW 0	8	10	7	0.0	● 18–19
11	5.8	15.2	5.4	8.8	0.7	626.9	626.9	627.4	100	59	95	SW 0	E 2	W 0	10≡	8	3	.	≡ n–9, △ I
12	5.3	13.7	10.4	9.8	1.8	625.2	623.9	624.0	90	52	65	SW 3	SW 1	SE 0	5	10	8	3·0	● n (12./13.), ⌣ I, ⸗ I
13	7.7	13.8	9.8	10.4	2.6	623.4	622.3	622.8	95	80	100	S 0	SW 0	SW 0	10●	10	10	21.3	● n–a, p mU
14	11.4	14.2	3.2	9.6	1.9	623.7	625.7	626.6	53	40	100	NE 0	SW 1	SW 0	7	4	0	.	
15	**−1.0**	**21.5**	4.0	8.2	0.6	628.2	627.0	629.3	100	**20**	100	SW 0	S 0	SW 0	0	0	0	.	⌣ I
16	**−1.0**	20.2	5.4	8.2	0.8	627.6	626.1	626.3	100	22	88	S 0	W 1	SW 0	0	0	0	.	⌣ I
17	3.6	19.5	8.2	10.4	3.1	624.7	623.4	624.6	98	30	80	SW 0	SW 2	SW 0	7	5	0	.	
18	**−1.0**	17.8	7.8	8.2	1.0	624.2	624.0	626.8	100	40	95	SW 0	SW 1	W 1	0≡	0	8	.	≡ n–a mU
19	6.8	15.2	5.4	9.1	2.1	627.5	626.5	628.2	95	63	100	W 0	SW 2	W 2	5	0	6	.	
20	4.4	19.6	5.0	9.7	2.8	628.1	625.0	626.0	100	31	100	NW 0	W 1	SW 0	10≡	0	0	.	≡ n–a
21	−0.3	16.0	5.6	7.1	0.3	624.5	623.6	623.8	100	50	100	SW 0	SW 1	W 1	0≡	0	8	.	≡ n–a mU, ⌣ I
22	3.2	13.4	8.3	8.3	1.7	623.8	622.7	624.1	100	53	90	SW 0	SW 2	SW 1	10≡	8	4	.	≡ n–a, ⌣ I
23	7.4	13.8	8.4	9.9	3.4	623.9	625.2	626.2	95	68	96	N 0	SW 2	SW 0	8	5	3	.	
24	4.7	16.0	10.2	10.3	3.9	625.9	624.3	625.5	100	50	90	SW 0	SW 1	SW 0	10≡	2	8	.	≡ n–9
25	7.7	11.4	8.0	9.0	2.8	623.5	623.6	622.2	97	90	100	SW 0	SW 0	NE 0	9	10	10	20.2	● 12–n mU
26	6.0	8.8	6.0	6.9	0.8	619.4	**618.5**	619.3	90	69	100	SW 1	SW 0	SW 0	10●	10	10●	8.1	● n–a, p–n
27	4.6	9.0	4.1	5.9	0.1	619.6	620.5	623.2	100	74	73	W 0	SW 1	N 0	10≡●	10	0	1.8	● 6½–a, ≡ n–a
28	2.5	16.5	3.9	7.6	1.8	624.8	624.4	626.1	93	40	100	SW 0	W 0	SW 0	10	4	4	.	
29	0.0	20.0	4.9	8.3	2.6	626.9	626.5	628.4	100	35	100	SW 0	SW 1	SW 0	0	3	0	.	
30	0.0	17.5	5.5	7.7	2.2	629.0	629.0	**629.4**	100	33	96	SW 0	SW 1	SW 0	0	0	0	.	
Mittel	4.4	15.4	6.9	8.9		624.9	624.2	625.3	96	51	94				6.6	4.8	4.3	Summe 129.3	

September 1956
Beobachter: *Couvent des Capucins*

Sion

$\lambda = 7° 22'$, $\beta = 46° 14'$,
$H_b = 548.6$ m, $G = -0.14$ mm

1	13.6	22.4	19.2	18.4	1.4	716.7	714.7	715.9	92	55	47	ENE 0	ENE 1	ENE 0	10●	1	0	0.7	● 7½–8¼, ⸗ 14¾–18
2	16.0	21.9	15.6	17.8	0.9	717.4	714.9	717.2	90	72	96	WSW 0	WSW 1	WSW 0	10	7	10	8.1	● 14½–16½, 18½–19¼, 22½–22¾
3	13.1	17.4	12.6	14.4	−2.4	716.7	717.5	718.0	97	68	87	WNW 2	WSW 1	WNW 1	10●	8	5	3.2	● 1½–4¼, 6–8¼, 22¼–23
4	12.4	19.1	12.9	14.8	−1.9	718.2	716.7	717.2	86	56	83	WNW 0	SW 1	W 0	10	1	0	.	● 1¼–1½
5	11.2	22.4	12.3	15.3	−1.3	716.8	713.3	716.6	85	56	85	N 0	N 1	W 0	0	0	0	.	△ I
6	14.1	17.6	14.1	15.3	−1.1	713.2	714.0	716.6	89	62	87	W 0	WSW 2	W 0	5	10	0	0.3	● 14–14¾, ⸗ 11–14 mU,
7	11.8	20.2	15.2	15.7	−0.6	718.1	716.7	717.7	93	55	74	W 0	W 0	WNW 0	0	2	3	.	△ I [△ I
8	14.5	22.4	16.2	17.7	1.5	717.5	714.9	713.9	82	55	75	W 0	W 0	N 0	1	0	0	.	△ I
9	13.8	19.2	15.7	16.2	0.1	713.6	714.3	713.7	81	78	80	N 0	W 1	NNE 0	4	8	0	0,8	● 9¾–9½, 12–12½, △ I
10	16.1	**25.4**	17.6	19.7	3.7	714.4	713.3	716.2	81	48	85	NNE 0	NNE 1	WSW 0	8	6	2	.	
11	14.6	21.0	16.6	17.4	1.6	719.2	719.0	720.2	93	71	81	WSW 0	S 0	WSW 0	10	5	0	0.4	● 10–10¼, 11¼–11¾
12	15.2	19.8	15.7	16.9	1.2	720.6	718.7	719.2	83	62	75	N 0	WSW 3	WSW 1	2	10	1	.	
13	15.9	21.6	18.4	18.6	3.0	718.5	717.7	717.4	84	56	74	WSW 0	WSW 3	W 0	9	7	8	.	
14	15.2	21.1	15.9	17.4	1.9	716.6	717.4	718.5	89	67	93	W 0	W 0	W 2	0	5	0	.	
15	13.5	22.1	17.4	17.7	2.4	720.6	719.2	720.4	92	60	84	W 0	SW 1	W 2	0	1	3	.	
16	13.4	22.5	17.4	17.8	2.6	720.7	718.1	717.6	96	61	77	SW 0	SW 2	NW 1	0	0	0	.	
17	13.9	22.8	18.1	18.3	3.2	716.9	714.4	714.9	92	60	86	NNW 0	NW 1	NW 1	0	1	0	.	
18	15.4	20.2	16.4	17.3	2.4	715.8	715.3	718.7	90	75	90	W 0	WSW 2	W 0	9	1	10	.	⸗ 16
19	14.8	21.8	16.8	17.8	3.0	720.1	718.1	719.6	93	65	83	W 0	WSW 2	W 0	0	0	0	.	
20	13.2	22.1	16.6	17.3	2.7	720.0	717.3	716.8	97	61	80	W 0	WSW 1	W 2	0	0	0	.	
21	11.9	21.9	15.9	16.6	2.2	716.6	714.3	715.0	95	56	80	W 0	W 0	NNW 2	3	1	0	.	
22	12.0	21.6	16.4	16.7	2.4	715.0	712.9	714.5	62	**41**	70	NE 2	ENE 0	WSW 1	0	4	3	.	
23	15.1	24.7	17.1	19.0	4.9	715.6	714.8	715.9	69	48	66	NE 1	NE 0	NE 1	1	2	0	.	
24	13.0	24.4	18.2	18.5	4.6	716.6	714.3	714.7	83	46	60	NE 1	NE 0	ENE 2	0	0	1	.	⸗ 15
25	18.2	22.8	17.9	19.6	5.9	713.6	712.7	711.3	70	56	62	ENE 0	ENE 0	E 5	10	8	6	**10.2**	● 22¼–24, ⸗ 20½
26	14.2	18.0	14.6	15.6	2.1	710.0	**709.7**	712.5	90	74	86	ENE 0	WSW 3	WSW 0	10	10	10	10.0	● 0¾–3¼, ⸗ II
27	12.4	15.8	12.4	13.5	0.2	714.7	715.9	718.7	100	85	79	WSW 0	WSW 1	WSW 1	10–●	9●	0	4.3	● 1–11¾, 13–13½, ≡ n–a
28	11.6	18.5	13.2	14.4	1.3	719.1	717.6	718.6	82	47	88	ENE 0	ENE 0	NE 0	3	7	0	.	
29	**10.0**	20.6	14.9	15.2	2.3	720.0	718.3	720.4	98	58	82	NE 0	NE 0	NE 0	0	2	0	.	
30	10.6	22.0	15.4	16.0	3.3	**721.3**	719.5	721.1	96	65	83	N 0	N 1	N 1	0	2	0	.	
Mittel	13.7	21.1	15.9	16.9		717.1	715.8	717.0	88	61	79				4.2	3.9	2.1	Summe 38.0	

$\lambda = 8^\circ 58'$, $\beta = 46^\circ 00'$,
$H_b = 276.2$ m, $G = -0.04$ mm

Lugano

September 1956
Beobachter: *G. Vicari*

Tag	Lufttemperatur 7³⁰	13³⁰	21³⁰	Mittel	Abweich. vom Normalst	Luftdruck 7³⁰	13³⁰	21³⁰	Relative Feuchtigkeit 7³⁰	13³⁰	21³⁰	Windrichtung und Stärke 7³⁰	13³⁰	21³⁰	Bewölkung 7³⁰	13³⁰	21³⁰	Niederschlag	Witterung
1	14.8	19.2	16.4	16 8	—	742.7	742.3	744.2	93	66	88	N 1	W 1	N 1	10	9	8	17.5	⊽ a mU, 17
2	15.4	19.0	16.2	16.9	—	745.1	743.0	744.2	95	77	97	N 1	NNW 1	NW 1	10●	10	10●	5.3	● 6-11, 20-n mU, ⊼ 16¾-17¼, 19-19½,
3	18.8	23.2	14.8	18.9	—	740.0	739.3	739.9	66	58	88	ESE 2	SSE 1	N 1	10	6	1	4.7	⊽ 15¼-25½, p mU [20¾-21¾
4	14.4	23.8	16.4	18.2	—	739.0	738.4	739.0	84	48	82	NNE 0	S 1	N 1	6	1	0	.	
5	14.0	25.8	18.4	19.4	—	739.8	739.0	738.4	78	48	82	N 1	S 1	N 1	0	1	2	.	
6	16.2	23.2	14.8	18.1	—	737.1	736.4	738.2	86	61	85	N 1	S 1	N 1	9	9	0	1.8	⊽ ⊼ 15-15½
7	12.8	25.2	16.8	18.3	—	739.5	738 8	739.4	84	50	75	N 1	SSW 1	NNW 1	0	1	0	.	
8	13.2	23.4	18.2	18.3	—	739.4	738.5	738.9	82	57	83	NNW 1	SE 1	N 1	0	3	0	.	
9	15.8	21.8	16.4	18.0	—	737.7	737.8	738.2	80	58	88	NW 1	WNW 1	N 1	3	8	0	0.0	● 15
10	15.6	23.0	19.4	19.3	—	739.3	739.8	740.4	87	61	89	NW 1	SSW 0	W 1	8	9	10	0.0	●tr 18
11	16.6	26.8	21.2	21.5	—	740.8	739.8	740.5	88	53	70	N 1	S 1	N 1	7	1	0	.	
12	14.8	26.4	22.2	21.1	—	739.6	736.1	735.7	72	44	45	NNE 1	SSW 1	NNE 2	8	6	0	.	
13	20.4	**31.8**	23.2	25.1	—	734.8	**733.9**	734.0	45	**29**	39	NNE 1	NNE 2	N 1	1	1	0	.	
14	16.8	22.4	18.4	19.2	—	736.8	740.4	743.5	66	64	80	N 1	S 1	N 1	1	8	6	.	
15	14.6	25.2	15.8	18.5	—	735.0	743.9	745.1	75	46	82	N 1	S 1	N 1	1	1	0	.	
16	15.4	25.4	16.8	19.2	—	744.1	741.9	740.7	86	49	85	N 1	S 1	N 1	5	1	0	.	
17	14.8	25.2	18.8	19.6	—	738.9	737.1	737.4	88	55	85	N 1	S 1	N 1	0	2	9		
18	15.8	22.0	19.4	19.1	—	738.4	739.5	742.0	86	68	82	N 1	S 1	N 0	2	9	10	.	
19	17.0	18.4	16.6	17.3	—	744.7	745.3	**745.7**	76	56	78	WSW 1	S 1	N 1	10	10	10	.	
20	15.4	22.4	15.2	17.7	—	744.1	742.7	742.3	79	44	82	N 1	SE 1	N 1	9	1	0	.	
21	13.6	23.2	14.8	17.2	—	741.1	740.1	741.1	90	51	80	NNW 1	SE 1	N 1	8	1	0	.	
22	12.4	21.6	15.8	16.6	—	740.3	739.4	740.4	88	56	91	N 1	S 1	N 1	4	6	10,	1.1	, 19-n mU
23	14.8	18.4	15.4	16.2	—	741.6	742.2	742.1	94	74	84	NNW 1	SSW 0	N 1	10	10	0	.	
24	13.4	21.2	17.4	17.3	—	741.8	739.5	740.8	91	60	84	N 1	ESE 0	N 1	1	9	10	1.2	●tr 15, n (24./25.)
25	15.4	16.6	15.2	15.7	—	739.8	739.8	737.0	93	89	99	S 1	S 0	N 1	10	10	10●	**51.9**	● 8-10½, 18½-n
26	14.8	15.4	13.4	14.5	—	734.2	735.1	735.5	92	86	94	N 1	NNE 1	ENE 1	10●	9	3	12.5	● n-a mU
27	12.6	17.0	12.4	14.0	—	736.1	736.5	737.6	93	74	68	NNW 1	WSW 1	N 1	10,	9	1	0.2	, 7-7¾
28	11.4	22.6	13.8	15.9	—	740.1	740.6	741.6	68	46	82	NNE 1	S 1	N 1	1	4	0	.	
29	**10.8**	23.2	16.2	16.7	—	742.6	741.6	743.7	88	49	85	N 1	S 1	N 1	1	3	0	.	
30	12.2	23.8	15.6	17.2	—	745.0	744.6	744.6	88	51	82	N 1	S 1	N 1	1	0	0	.	
Mittel	14.8	22.6	16.9	18.1	—	740.3	739.8	740.4	83	58	81				5.2	5.3	3.3	Summe 136.2	

$\lambda = 7^\circ 35'$, $\beta = 47^\circ 33'$,
$H_b = 317.3$ m, $G = -0.08$ mm

Basel

September 1956
Beobachter: *Astronom.-Meteorol. Anstalt*

1	12.7	19.1	14.6	15.5	—	734.6	734.6	733.7	95	86	95	ENE 1	ENE 1	SW 1	9	2	0	4.2	● 9¼-12½ mU
2	14.1	19.2	14.4	15.9	—	737.0	735.5	736.9	94	84	95	SSW 0	NW 1	ENE 1	10	10	8	11.9	● 15¾-18¼
3	11.7	15.1	11.0	12.6	—	736.7	738.5	738.2	92	84	93	W 1	SW 1	ESE 1	10●	9	2	5.9	● 4¼-10¼
4	11.6	20.0	11.6	14.4	—	737.9	737.1	736.3	86	65	97	E 1	NW 1	SE 1	3	5	0	.	
5	11.0	22.9	16.2	16.7	—	735.3	733.2	731.2	86	65	91	ESE 1	ESE 1	N 1	1	2	1	0.0	● 20-20¼
6	14.8	18.0	13.2	15.3	—	732.0	733.6	735.2	90	78	95	E 1	SSW 1	SE 1	10	10	5	0.7	● 11-11¼, ●tr 13½. 13¾-14
7	13.0	21.4	14.3	16.2	—	736.4	736.1	736.6	92	62	92	ESE 1	WNW 2	ESE 1	9	6	8	.	● 1-3¼. 4¼-4¾
8	14.1	22.4	15.7	17.4	—	736.2	734.4	732.5	93	71	92	E 0	NNW 1	E 1	7	3	1	.	
9	13.0	16.4	15.2	14.9	—	730.4	733.1	731.8	85	92	93	ESE 0	SSE 1	ESE 1	3	10●	2	1.5	● 12¼-13½
10	13.8	20.5	15.0	16.4	—	731.7	733.1	735.3	92	87	93	SE 1	SE 1	SSE 1	9	8	8	4.2	● 11-11¼, 14¾-19¼, 23¾-24, ⊼ 16¼- [16½, 18-18¼
11	14.5	22.1	14.6	17.1	—	738.2	739.5	739.5	95	70	90	E 1	WNW 2	SSW 1	10	3	0	.	● 2¼-2½
12	15.2	15.6	14.9	15.2	—	739.6	739.5	739.4	82	84	91	W 1	WNW 2	WSW 1	10	10	10	0.0	, 18½-19
13	14.1	16.9	16.1	15.7	—	739.1	737.6	738.1	89	73	87	W 1	NNW 1	WSW 1	10	9	10	0.5	●tr 7¼
14	13.0	18.0	9.5	13.5	—	739.1	739.8	739.2	97	78	98	NNW 1	SE 1	NE 0	10●	10	0	.	● 5-5¾, 6½-7½
15	8.5	22.5	12.5	14.5	—	**740.3**	739.9	739.6	86	67	94	SSW 1	ENE 1	SSW 1	0	0	1	.	△ I
16	13.1	**26.8**	17.8	18.9	—	739.1	737.7	736.9	90	67	87	ESE 1	SSE 1	SW 0	4	0	5	0.2	
17	14.7	14.4	13.4	14.2	—	736.2	736.6	736.7	97	96	84	NW 1	NW 1	WNW 1	10≡,	10■	10	0.1	, 5¼-10, ≡ 3-15¾
18	10.3	17.7	11.0	13.0	—	737.1	737.4	738.5	94	76	95	NW 1	N 1	SSW 0	10	9	0	0.0	
19	**8.1**	21.5	12.7	14.1	—	739.3	739.2	739.2	94	66	95	SE 0	W 1	NNW 0	0	0	0	0.0	△ I
20	11.0	23.9	14.6	16.5	—	738.8	737.4	736.1	99	67	96	E 1	NW 1	ESE 1	10≡,	0	0	0.0	, ≡ 4¼-10¼
21	11.4	24.9	12.5	16.3	—	735.4	734.2	733.6	98	**60**	94	ESE 1	N 1	SE 0	10≡	1	0	.	, ≡ 7-9¼
22	11.3	23.5	15.1	16.6	—	733.6	731.7	733.2	91	69	91	SE 0	NE 0	SSW 1	0	9	0	.	△ I
23	13.6	24.5	15.6	17.9	—	734.5	734.6	734.4	95	71	96	SE 1	N 1	SW 1	6	0	10≡,	0.0	, ≡ 21-24
24	13.1	25.0	15.1	17.7	—	734.6	733.0	732.5	99	71	98	ESE 1	NE 1	W 0	10≡,	0	0	0.0	, 0-9, ≡ 0-9¾, △ I
25	13.0	19.5	15.5	16.0	—	732.7	732.4	730.5	98	84	86	SE 0	NNW 1	WNW 1	8	9	8	5.1	●tr 8¾, △ I
26	14.0	18.0	14.0	15.3	—	**728.8**	**728.8**	730.0	93	74	83	NW 1	WNW 1	S 1	10	9	6	**12.3**	● 2-6½
27	13.0	14.7	10.4	12.7	—	731.2	735.0	737.3	97	79	90	WSW 1	W 2	SSW 1	10●	9	7	3.9	● 3¼-8¼, 9½-9¾, 23¼-24
28	11.0	20.2	13.9	15.0	—	736.8	736.6	737.5	91	70	87	E 1	NW 1	SSW 1	9	7	6	.	● 0-1¾
29	12.9	22.8	15.2	17.0	—	737.9	738.1	739.5	91	69	95	E 1	WNW 1	SSW 0	3	3	0	.	
30	11.3	23.4	14.6	16.4	—	740.1	739.2	738.9	95	73	92	SSE 1	ESE 1	SSE 1	0	6	2	.	
Mittel	12.5	20.4	14.0	15.6	—	736.0	735.9	735.9	92	75	92				7.0	5.6	3.7	Summe 50.5	

September 1956
Beobachter: *Observatoire*

Säntis

$\lambda = 9° 21'$, $\beta = 47° 15'$,
$H_b = 2500.1$ m, $G = -0.29$ mm

Tag	Lufttemperatur 7³⁰	13³⁰	21³⁰	Mittel	Abweich. vom Normalst	Luftdruck 7³⁰	13³⁰	21³⁰	Relative Feuchtigkeit 7³⁰	13³⁰	21³⁰	Windrichtung und Stärke 7³⁰	13³⁰	21³⁰	Bewölkung 7³⁰	13³⁰	21³⁰	Niederschlag	Witterung
1	3.7	7.6	7.2	6.2	—	566.1	567.1	567.8	90	80	66	S 3	SE 3	S 3	5	1	1	.	⸗ 16½ ⸎ 22¼
2	7.3	8.4	6.2	7.3	—	568.7	568.1	568.7	69	78	93	SSE 4	SSE 3	S 2	10	9	10●	2.8	⸎ 18¼–18¾, ● 21–n, ⸗ I
3	5.1	2.0	0.4	2.5	—	565.8	566.5	566.7	87	100	94	SE 3	SE 2	SE 2	10	10	1	3.2	☽ 9–12½, ✶ 14¾–16¼, ≡ 8¾–17½
4	−2.3	4.8	2.4	1.6	—	565.6	566.1	566.2	100	76	61	W 3	SW 2	SW 3	10*	10≡	1	0.2	✶ n–8 mU, ≡ n–7, 9¾–16½
5	4.9	**11.6**	8.4	8.3	—	566.4	566.8	565.2	93	54	53	SW 3	ESE 1	S 3	1	1	3	.	
6	4.4	8.0	0.8	4.4	—	564.0	564.4	565.2	85	86	100	SE 2	WSW 2	WSW 4	9	10≡	10≡	1.5	⸎ 11, ≡ 11½–17¾, 20¾–n, ⸗ III
7	1.6	5.4	1.7	2.9	—	566.1	566.4	566.6	85	84	100	SW 2	WSW 2	WSW 3	4	10≡	10≡	2.3	⸎ 17¾–18¾, ≡ n–6, 11½–n
8	1.4	5.8	4.4	3.9	—	565.9	566.1	565.3	100	81	85	WSW 3	SW 2	SW 2	10≡	5	0	.	≡ n–9, 13½–15¼ mU
9	6.8	6.2	6.7	6.6	—	564.1	565.2	565.9	48	93	73	SW 2	W 3	SW 2	8	10≡●	1	0.3	⸎ 13¾–13½, ≡ 13¼–15
10	9.4	11.2	4.4	8.3	—	565.5	566.7	567.4	44	68	100	SW 3	SSW 2	WSW 3	9	9	4	25.7	● 20–20¾, n (10./11.), ⸜ 19½–21, ≐ 19–20¾
11	3.3	4.8	4.4	4.2	—	567.8	569.7	569.6	100	100	100	WSW 4	WSW 3	WSW 3	10–●	10≡	10≡	2.5	● n–8¾, ≡ 7–n
12	1.1	0.2	2.1	1.1	—	566.7	566.7	567.0	100	100	100	WSW 4	WSW 4	WSW 3	10	10–☽	10–☽	**69.0**	● 9¼–12, ☽ 12–19, *)
13	0.6	2.9	3.8	2.4	—	565.7	566.1	567.2	100	100	100	WSW 4	WSW 4	NW 2	10≡●	10–☽●	10≡●	68.2	● n–8½, 18¾–n, ☽ ● 8½–17½, *)
14	1.3	4.1	7.4	4.3	.	567.2	568.7	569.4	100	29	9	NW 2	WSW 1	ENE 1	10≡	3	0	.	≡ n–8¼
15	9.3	10.8	7.2	9.1	—	570.3	571.4	571.6	**2**	38	56	W 1	S 1	SW 2	0	1	8	.	
16	5.4	9.1	5.5	6.7	—	570.1	570.4	569.4	95	71	97	WSW 3	SW 2	W 3	1	1	2	.	
17	5.9	9.3	5.2	6.8	—	567.3	567.5	567.2	72	75	37	SW 2	SW 1	N 1	1	4	0	.	
18	5.7	9.6	8.0	7.8	—	566.4	567.5	568.8	28	54	34	N 1	SE 1	NW 1	0	1	0	.	
19	6.7	8.3	5.9	7.0	—	569.4	570.2	570.3	50	54	72	WSW 2	WSW 3	WSW 3	0	0	0	.	
20	5.4	9.0	5.0	6.5	—	569.4	569.2	568.1	61	50	62	SW 2	SSW 2	WSW 2	1	1	0	.	
21	5.6	9.4	5.6	6.9	—	566.7	566.7	566.2	36	67	74	NW 2	S 1	SE 1	1	1	0	.	
22	5.7	10.2	7.3	7.7	-	565.0	565.4	566.0	40	22	54	NE 2	ESE 2	ENE 2	1	8	9	.	
23	6.5	11.0	6.4	8.0	—	566.4	567.6	567.7	87	75	87	S 2	SSE 2	ENE 3	2	2	0	.	
24	7.8	10.2	4.9	7.6	—	567.1	566.9	565.8	54	49	75	SW 1	SSW 1	SE 3	1	1	1	.	
25	6.1	7.1	6.0	6.4	—	564.8	565.2	563.6	76	79	84	S 2	SW 3	S 4	3	9	9	0.6	● n (25./26.)
26	3.2	5.3	1.3	3.3	—	560.7	**560.0**	561.3	100	53	100	SW 3	SW 2	SW 2	10●	9	10≡	2.2	● 5½–7¾, n (26./27.), ⸎ 9¼, *)
27	0.5	0.7	**−2.6**	−0.5	-	560.7	562.6	564.5	100	100	100	WSW 1	WSW 3	W 4	10≡*	10≡●*	10≡	47.8	● n–5¾, ✶ 5¾–12¼, 15–17, *)
28	−0.4	3.1	4.2	2.3	—	565.6	567.0	568.0	98	90	85	W 3	W 2	WSW 3	10	9	2	.	≡ n–6¼ ⊠
29	5.9	8.6	4.9	6.5	—	568.8	569.8	570.9	52	63	90	W 3	WSW 1	W 2	2	8	1	.	
30	6.7	10.5	6.5	7.9	—	570.8	571.6	**571.6**	40	65	50	W 2	SW 1	SW 1	6	1	1	.	
Mittel	4.5	7.2	4.7	5.5	—	566.5	567.1	567.3	73	71	76				5.4	5.8	4.1	Summe 226.3	

*) 12. ☽ ● 19–n, ≡ n–n mU, ⸗ n–p 13. ☽ 17½–18¾, ≡ n–n, ⸗ I, III 26. ≡ 19½–n 27. ✶ ● 12¼–15, ≡ n–n, ⸗ p–n

September 1956
Beobachter: *E. Chiesa*

St. Gotthard (Hospiz)

$\lambda = 8° 34'$, $\beta = 46° 33'$,
$H_b = 2095$ m, $G = -0.27$ mm

1	4.5	5.2	5.8	5.2	−1.5	596.1	596.7	598.0	98	99	90	SE 2	SE 2	SE 1	10•=	10≡	10	17.1	● ≡ n–14
2	6.4	7.8	7.2	7.1	0.5	598.1	597.4	597.7	100	93	91	SE 1	SE 3	SE 3	10●=	10●≡	10●=	**104.8**	● n–n, ≡ n–n mU, ⸗ a–n
3	8.0	2.6	4.1	4.9	−1.6	594.4	595.2	595.7	92	98	95	SE 4	NW 1	NW 0	10●	10●≡	0	32.5	● n–20, ≡ a–20 mU, ⸗ n–a
4	1.2	7.3	4.2	4.2	−1.2	595.0	593.6	595.4	99	71	99	NW 2	NW 1	NW 0	10	0	0	.	
5	6.6	12.0	7.2	8.6	2.3	595.5	595.3	594.9	65	67	98	SE 0	SE 1	SE 2	0	0	10≡	.	≡ 18¾–n
6	6.6	8.1	4.4	6.4	0.2	593.0	593.2	594.5	71	84	99	SE 1	SE 1	NW 1	6	10	10≡	3.0	● 15¾–n mU, ≡ 16–n
7	3.2	10.0	5.2	6.1	0.0	594.9	595.1	595.8	85	55	99	NW 1	NW 0	NW 1	0	3	10≡	.	≡ 20–n, ⸎ I
8	4.4	10.1	6.0	6.8	0.8	595.3	594.7	594.4	74	62	94	NW 0	SE 1	SE 1	0	3	3	.	⸎ I
9	6.0	8.8	7.1	7.3	1.4	593.5	593.6	594.3	85	85	98	SE 1	SE 1	SE 2	6	10	10	.	
10	7.6	6.7	8.4	7.5	1.7	594.5	595.6	596.3	93	92	99	SE 1	SE 2	SE 2	10	10	10≡	1.8	● 16¾–18¾, ≡ ☽ 19–n
11	6.6	11.2	6.6	8.1	2.4	596.9	597.9	597.9	95	60	96	NW 1	NW 1	NW 1	10☽=	3	0	0.0	≡ ☽ n–8½
12	4.7	7.9	7.6	6.7	1.1	597.0	596.0	595.6	98	84	70	NW 1	NW 2	NW 3	3	9	0	1.6	● n (12./13.), ≡ 14–20½ mU, ⸗ p–n
13	5.2	7.2	7.3	6.6	1.1	594.9	595.1	594.6	99	98	98	NW 3	NW 3	NW 3	10●=	6	10●=	4.9	● n 10–[illegible], 14–n [illegible], ≡ n–n [illegible],
14	5.4	9.4	6.6	7.1	1.7	595.2	596.9	597.8	97	78	92	NW 2	NW 2	SE 1	10≡	0	10≡	.	≡ n–18¾, 17–n [⸗ n–n
15	5.4	**14.9**	7.9	9.4	4.1	598.2	599.4	599.8	60	**29**	86	NW 0	NW 1	NW 0	0	0	0	.	
16	8.0	11.7	8.6	9.4	4.3	599.1	599.1	597.9	63	71	97	NW 1	NW 1	NW 1	0	0	0	.	
17	8.5	13.6	7.6	9.9	4.9	596.1	596.7	595.5	74	47	98	NW 1	NW 1	NW 1	0	0	10≡	.	≡ 17¼–n, ⸎ I
18	6.1	12.9	8.6	9.2	4.3	594.5	595.7	598.4	79	60	98	NW 1	NW 0	NW 0	0	0	10≡	.	≡ 17½–n, ⸎ I
19	7.0	11.9	6.2	8.4	3.6	599.3	598.6	599.0	97	62	98	SE 1	SE 0	SE 0	6	10≡	10≡	.	≡ 10¼–n
20	7.2	12.5	7.3	9.0	4.4	598.0	597.8	596.9	78	45	72	NW 2	NW 1	NW 0	0	0	0	.	⸎ I
21	7.0	9.6	5.6	7.4	2.9	595.6	597.4	596.4	82	84	88	NW 0	SE 1	SE 1	0	0	9	.	≡ 14¾–19½
22	2.8	8.2	5.2	5.4	1.0	594.4	594.6	594.8	95	70	98	SE 0	SE 1	SE 1	0	3	10≡	0.4	☽ n (22./23.), ≡ 18¾–n
23	5.8	6.2	6.4	6.1	1.9	595.3	596.6	596.6	98	98	99	SE 1	SE 1	SE 1	10☽=	10☽=	10☽≡	2.4	☽ ≡ n–n
24	5.4	7.5	6.8	6.6	2.5	596.2	596.3	596.0	95	93	98	SE 0	SE 2	SE 2	10≡	10≡	10☽=	2.7	☽ p–n, ≡ n–n
25	6.4	*7.0	5.3	6.2	2.3	594.4	*594.4	593.7	95	*90	94	SE 2	SE 2	SE 2	10●=	10●=	10●≡	98.6	● ≡ n–n
26	1.0	4.0	2.6	2.5	−1.3	590.2	**589.8**	590.4	99	97	98	SE 1	SE 1	SE 1	10•*	10●	10●	18.2	✶ ● n–a, ● a–n
27	0.8	2.2	**0.6**	1.2	−2.4	590.6	591.8	594.4	99	99	99	SE 0	SE 0	NW 2	10•*	10●	10	9.8	✶ ● n–a, ● a–p, ≡ 18½–n
28	3.7	11.2	6.8	7.2	3.7	595.3	596.1	597.0	86	50	69	SE 0	SE 0	NW 0	9	6	0	.	⸏ I
29	6.8	14.0	6.8	9.2	5.9	597.4	598.2	599.3	61	50	87	NW 0	NW 0	NW 0	0	3	0	.	⸎ I
30	6.6	11.6	7.8	8.7	5.6	599.5	600.3	**600.5**	65	73	66	NW 0	NW 1	SE 1	0	0	0	.	⸎ I
Mittel	5.5	9.1	6.3	7.0	—	595.6	596.0	596.3	86	75	92				5.3	5.2	6.4	Summe 297.8	

$\lambda = 7° 26'$, $\beta = 46° 57'$,
$H_b = 572.2$ m, G = −0.04 mm

Bern

Oktober 1956
Beobachter: *Meteorologisches Observatorium*

Tag	Lufttemperatur 7³⁰	13³⁰	21³⁰	Mittel	Abweich. vom Normalst	Luftdruck 7³⁰	13³⁰	21³⁰	Relative Feuchtigkeit 7³⁰	13³⁰	21³⁰	Windrichtung und Stärke 7³⁰	13³⁰	21³⁰	Bewölkung 7³⁰	13³⁰	21³⁰	Niederschlag	Witterung
1	10.8	**20.8**	14.4	15.3	—	717.7	716.5	715.5	96	59	93	SE 0	NE 0	SSW 0	1	1	1	..	⌓ I, I
2	10.7	19.5	16.4	15.5	—	714.0	712.4	712.5	94	63	77	SE 1	SSW 0	SW 1	9	9	10	13.6	⌓ I
3	14.0	14.0	11.0	13.0	—	712.0	712.5	714.9	98	95	91	S 0	ESE 0	W 1	10•	10•	10•	18.0	● 1¼–23
4	7.9	13.0	10.2	10.4	—	716.2	715.1	713.9	91	**45**	71	SW 0	SW 1	SW 1	9	8	10	3.8	⌓ I
5	7.8	9.7	3.4	7.0	—	710.3	706.1	712.0	87	69	90	SW 2	WSW 2	SW 0	9	10•	3	7.5	● 0½–2½, 5½–6, 12–18¾
6	4.6	7.0	4.6	5.4	—	711.0	712.3	715.0	88	74	89	WSW 1	SW 3	SW 1	10•	10	10•	7.2	● 1¼–4¾, 6¾–23¼ mU
7	4.1	5.6	3.7	4.5	—	715.0	714.7	715.0	94	88	88	WSW 1	SSE 1	S 0	9	10	10•	3.1	● 0½-3¼, 6-6½, 9¼-10¼, 12¼-13¾.
8	3.1	6.6	2.7	4.1	—	716.0	716.6	716.9	97	69	91	SE 0	NE 1	N 0	10•	9	2	0.3	● 0–10, ⌣ II [18¼–24
9	−0.2	5.8	2.9	2.8	—	716.7	716.6	717.1	100	75	93	NE 0	NNE 2	NNE 1	10≡	2	0	.	≡ n–a, ⌣ I, ⌓ III
10	**−0.3**	8.4	4.3	4.1	—	718.4	718.7	720.0	99	59	95	NE 0	N 0	SE 0	10≡	1	0	.	≡ 6¼–9, ⌣ I, ⌓ III
11	0.4	9.8	5.1	5.1	—	722.1	721.2	722.4	98	66	96	SE 0	N 0	NW 0	0	1	0	.	≡ 23½–n, ⌣ I, ⌓ III
12	0.7	11.3	6.2	6.1	—	**723.4**	722.8	722.8	100	65	96	SW 0	W 0	NW 0	0	1	0	.	≡ n–8½ mU, ⌓ I, III
13	1.8	13.0	6.7	7.2	—	723.0	721.6	721.7	98	58	95	S 0	N 0	E 0	1	1	0	.	≡ 23¼ n, ⌣ I, ⌓ II
14	2.8	11.6	6.3	6.9	—	720.7	718.7	718.4	100	75	96	NE 0	NE 1	SW 0	10≡	0	0	.	≡ n–10½, 23¼–n
15	3.7	8.9	7.6	6.7	—	717.1	716.9	717.0	99	86	94	SE 0	W 1	NE 1	10≡	10	10	.	≡ n–9, ⌓ I
16	7.2	13.1	10.2	10.2	—	717.0	717.4	718.2	95	74	97	SE 0	NNE 1	W 0	9	8	9	0.3	● 17–17¼
17	7.3	12.8	9.6	9.9	—	719.0	718.7	719.7	100	81	100	S 0	NW 0	SE 0	10≡	7	10≡	.	≡ 0½–11, 17–n
18	8.6	10.9	10.6	10.0	—	718.8	718.5	718.3	98	97	98	S 0	E 0	SE 0	10	10•	10	4.6	● 8¼–19½, 22¾–24, ≡ n–3½
19	10.4	16.3	10.6	12.4	—	718.6	718.7	718.5	96	69	94	S 0	NW 1	SW 0	9	9	9	.	● 0–5½, ⌓ I
20	6.6	14.3	10.8	10.6	—	717.6	717.0	717.6	98	71	96	SE 1	NW 1	SE 0	9	2	10	.	● 22¼-24, ≡ 2¾-5, ⌓ I. III, ⌔ III
21	10.6	13.4	10.6	11.5	—	718.9	719.7	721.7	98	79	96	ESE 0	NNE 1	E 1	10	9	0	2.8	● 0–0¾, 2¾–3¾, ≡ 23–n, ⌓ III
22	6.1	13.7	8.9	9.6	—	723.1	722.9	722.6	99	69	96	SE 0	W 0	SE 0	9	2	0	.	≡ n–6¾, ⌓ I, III
23	5.8	9.9	8.2	8.0	—	721.7	720.7	720.3	100	91	100	SE 0	NW 1	N 0	10≡	10	10≡	.	≡ n–a, 17¼–n
24	5.0	9.6	7.3	7.3	—	718.6	717.1	715.9	100	84	100	SW 0	NW 0	SW 0	10≡	3	10≡		≡ n–10, 19¼–n
25	5.6	9.4	6.9	7.3	—	713.1	710.9	711.3	100	94	91	S 0	SW 1	SW 0	10≡	10•	10•	**25.6**	● 8¼–9¼, 13¼–24, ≡ n–8¼
26	1.4	1.5	0.7	1.2	—	711.9	710.1	708.7	98	96	95	W 0	SE 0	NE 1	10•	10*	10*	14.0	● 0–6½, ● * 7½–11¼, *)
27	0.5	2.8	1.7	1.7	—	706.9	707.7	708.3	99	82	93	SW 0	SW 1	SW 1	10*	10	10•	2.9	* 0-5, 7¼-9, ● ✳ 5-7¼ 9-12,*) ⊠
28	1.3	3.3	1.4	2.0	—	709.2	710.8	714.1	96	83	93	SE 0	E 0	SW 1	10*	10	10•	2.9	● 0 0½, 2¼-4, 9¼-2¼ mU, * 7¼-9¼
29	2.4	4.4	2.9	3.2	—	711.7	708.0	706.5	86	85	95	SW 1	SW 2	W 2	10•	10•	10*	10.0	● 0–1½, 4¼–20¼, ● * 20¼–23¼
30	0.5	2.1	0.6	1.1	—	**705.7**	707.0	709.9	98	91	97	N 0	NE 1	NE 1	10*	10*	9	2.8	✳ 5¾–15¼, ● ✳ 15¼–20 ⊠
31	1.3	3.6	2.4	2.4	—	711.4	713.3	715.0	94	76	89	NNE 1	NE 2	NE 1	9	10	9	.	
Mittel	4.9	9.9	6.7	7.2	—	716.0	715.5	716.2	97	76	93				8.5	6.9	6.5	Summe 119.4	

26. ✳ 11¼–24 **27.** ● 15¼–24

$\lambda = 6° 57'$, $\beta = 47° 00'$,
$H_b = 487.3$ m, G = 0.00 mm

Neuchâtel

Oktober 1956
Beobachter: *Observatorium*

1	11.8	**19.2**	14.0	15.0	3.2	725.2	724.1	722.9	98	64	95	SSE 0	SSE 1	SSE 1	10≡	0	0	.	≡ n–11½
2	12.5	17.3	16.2	15.3	3.7	721.6	720.0	719.1	99	75	89	SSE 0	SSE 1	SW 1	10≡	10	10	9.3	● 21, ≡ n–9½
3	13.8	14.1	9.8	12.6	1.2	719.4	720.2	722.4	98	98	86	W 1	WSW 1	W 2	10•	10•	10•	**20.6**	● 0½–21½
4	8.4	12.8	10.8	10.7	−0.5	723.7	722.9	721.5	77	**58**	66	SW 1	SW 2	WSW 2	6	10	10	1.4	● 10¾, 23¾–24, ⌿ p mU
5	9.5	8.6	4.3	7.5	−3.5	716.8	713.7	719.5	66	86	89	WSW 2	WSW 3	WNW 2	10	10	6	10.1	● 0-1¾, 12¼-19¼ mU, ⌿ 10¼-13¾
6	4.6	5.9	5.5	5.3	−5.5	718.7	720.5	722.9	97	88	89	WSW 2	WSW 2	WNW 1	10•	10•	10	13.8	● 0¼–18, 22–24, ⌿ a mU
7	4.0	6.7	5.3	5.3	−5.3	722.7	722.3	722.6	97	**58**	76	WSW 1	WNW 2	WNW 1	9	10	10	3.1	● 0–9¾ mU, ⌿ 10–13
8	3.6	7.7	4.3	5.2	−5.2	723.5	724.4	724.8	97	64	81	N 1	NNW 1	NNW 1	7	9	3	.	● 0¾–4½
9	**0.7**	8.3	6.1	5.0	−5.2	724.5	724.5	724.8	96	68	68	N 1	ENE 2	NNE 2	4	1	0	.	⌣ I
10	3.5	12.6	5.4	7.2	−2.8	726.2	726.6	727.9	83	58	88	NE 2	ESE 1	N 1	0	0	0	.	
11	3.1	10.7	5.4	6.4	−3.4	730.1	729.3	730.3	99	70	96	N 0	SE 1	ENE 1	10	0	0	.	≡ n–10
12	4.9	11.5	6.4	7.6	−2 0	**731.2**	**731.2**	730.6	97	74	93	ENE 0	SE 1	E 1	10≡	0	0	.	≡ n–9½
13	6.2	10.9	5.9	7.7	−1.7	730.7	729.8	729.5	97	77	90	E 0	SSE 1	SE 0	10	1	0	.	
14	4.7	7.7	6.3	6.2	−3.0	728.6	726.9	725.9	99	93	96	ENE 1	ESE 1	W 1	10≡	10	0	.	≡ n–13
15	5.7	8.7	8.2	7.5	−1.5	724.7	724.7	724.8	97	91	92	WNW 1	SSW 1	NNE 1	10	10	10	.	≡ n–a
16	7.8	10.7	8.6	9.0	0.2	724.7	725.3	725.9	94	85	97	NNE 0	NNE 1	NNE 1	10	10	3	0.0	●tr 14
17	8.6	10.5	10.1	9.7	1.1	726.7	726.7	727.3	97	93	99	NNW 1	SW 1	W 1	10	10	10		
18	10.1	11.2	11.2	10.8	2.4	726.3	726.2	725.8	95	97	99	SSW 0	SSW 0	SW 1	10	10	10•	7.4	● 8¼–24 mU
19	11.4	15.8	10.2	12.5	4.3	726.2	726.2	726.0	95	74	89	WSW 1	WSW 1	WNW 1	9	9	3	.	● 0–6½, ⌔ 21½
20	8.1	13.8	13.1	11.7	3.6	725.0	724.6	724.8	97	76	86	WNW 1	SSE 1	NW 1	10≡	8	10	1.3	● 23½–24, ≡ n–a
21	10.6	15.8	9.8	12.1	4.2	726.5	727.0	729.5	99	68	92	NW 0	NE 2	NE 0	10	8	0	0.1	● 0–5½, 7¼–8½
22	8.9	14.5	9.0	10.8	3.1	730.8	730.8	730.3	97	71	95	NE 0	ENE 1	ESE 0	10≡	0	0	.	≡ n–11
23	8.1	10.6	7.7	8.8	1.3	729.5	728.6	728.0	97	87	97	E 0	SSE 1	ENE 1	10≡	10	10≡	.	≡ n–n mU
24	7.4	11.8	8.5	9.2	1.8	726.2	724.9	723.5	91	78	94	SW 0	SSE 1	WSW 1	10	10	10	1.8	≡ 10–p mU
25	8.2	9.5	7.3	8.3	1.1	720.9	718.6	719.1	97	97	79	WSW 0	SW 1	W 1	10•	10•	10•	7.2	● 6¼–24 mU
26	3.6	2.6	2.0	2.7	−4.3	719.6	718.3	716.5	97	93	96	SSE 1	ENE 1	NE 1	10•	10•	10	6.0	● 0–16 mU ● * 16–17
27	2.2	4.7	2.7	3.2	−3.7	714.6	715.3	716.0	95	70	84	NNE 0	SW 2	W 2	10•	10	10	0.3	● 4–5, 7½, 18¼
28	2.2	5.5	3.1	3.6	−3.1	716.6	718.7	722.1	87	75	78	W 1	ENE 1	WSW 1	10•	9	10	.	● 6½–7½, ⌿ 13¼–18½
29	3.7	3.9	2.9	3.5	3.0	719.6	715.8	714.1	81	95	97	SW 2	SW 3	SW 2	10	10•	10•	4.8	● 8-16, 19¼-22¼, ⌿ 5¾-14¼
30	2.0	2.2	1.1	1.8	−4.6	**712.9**	714.2	717.5	84	95	93	WSW 2	N 1	N 1	10	10•	0	1.5	● 13 15, ✳fl 8-10¼. 10¼-15
31	2.2	4.5	3.6	3.4	−2.8	719.3	721.1	723.0	93	77	77	ENE 1	NE 2	NE 2	10	10	10	0.4	● 8¼–9¼
Mittel	6.5	10.0	7.3	7.9	—	723.6	723.3	723.8	93	79	89				9.2	7.6	6.0	Summe 89.1	

Oktober 1956
Beobachter: *Frl. H. Nager*

Altdorf

$\lambda = 8° 38'$, $\beta = 46° 53'$,
$H_b = 456.3$ m, G = –0.08 mm

Tag	Lufttemperatur 7³⁰	13³⁰	21³⁰	Mittel	Abweich. vom Normalst	Luftdruck 7³⁰	13³⁰	21³⁰	Relative Feuchtigkeit 7³⁰	13³⁰	21³⁰	Windrichtung und Stärke 7³⁰	13³⁰	21³⁰	Bewölkung 7³⁰	13³⁰	21³⁰	Niederschlag	Witterung
1	10.4	**18.8**	12.8	14.0	2.1	727.8	727.0	725.9	95	62	93	NW 0	NW 2	NE 0	1	0	0	.	△ |
2	10.8	18.1	14.7	14.5	2.7	723.7	721.8	721.0	91	74	93	NE 0	NW 0	NW 0	10	10	10	.	
3	13.4	14.4	13.2	13.7	2.1	721.6	722.2	723.8	99	99	100	SW 0	SW 0	NW 0	10	10•	10•	14.4	☽ 9½–a, ● a–n
4	10.3	12.4	9.6	10.8	–0.4	725.6	724.9	723.6	98	61	85	W 0	N 0	N 0	10•	10	3	0.7	● n–a
5	8.9	13.8	6.9	9.9	–1.3	720.4	**715.0**	720.7	96	64	**60**	S 0	N 1	N 2	10	10	10	14.3	● n (5./6.), ⸗ 15
6	5.5	5.0	5.2	5.2	–5.8	719.7	721.5	724.2	95	71	99	E 1	NW 0	N 0	10•	10•	10•	21.4	● n–n
7	4.5	5.2	4.6	4.8	–6.1	724.5	724.6	725.6	97	92	92	NE 0	NW 1	NW 0	10	10•	10•	8.9	∺ a–n mU
8	4.1	8.4	4.5	5.7	–5.0	726.0	726.6	727.4	97	71	85	NW 0	NW 1	NW 0	10	8	10	0.1	⊔ |
9	1.2	8.1	4.2	4.5	–6.0	727.4	726.7	727.8	93	66	90	N 0	NW 0	E 2	3	3	2	.	⊔ |
10	1.0	8.4	4.6	4.7	–5.6	728.9	729.0	730.6	95	72	93	SE 0	NW 0	E 0	2	3	0	.	
11	1.8	9.7	3.9	5.1	–5.1	732.4	731.5	732.5	98	76	96	NW 0	NW 0	NW 0	3	1	0	.	
12	2.1	11.6	4.9	6.2	–3.8	**733.6**	732.7	732.6	97	67	92	N 0	N 0	NW 0	3	0	0	.	⊔ |
13	2.8	12.1	5.3	6.7	–3.1	733.1	731.5	732.7	97	**60**	92	N 0	NW 0	NW 1	1	0	0	.	
14	3.5	10.9	5.8	6.7	–3.0	731.0	728.6	728.4	96	74	99	SE 0	N 1	NW 0	1	0	2	.	
15	5.0	8.5	5.8	6.4	–3.1	727.3	726.8	727.5	99	91	95	NW 0	NW 2	NW 0	10	10	4	.	≡ 8¾–10½
16	5.5	10.9	8.3	8.2	–1.1	726.9	727.5	728.6	100	83	99	NW 0	NW 0	NW 0	10≡	5	4	.	≡ n–10¾
17	7.0	13.6	9.5	10.0	0.8	728.4	728.2	729.3	100	66	96	NW 0	NW 1	NW 0	8	3	9	.	
18	8.7	11.4	10.3	10.1	1.1	728.4	728.5	728.0	100	95	100	NW 0	NW 0	SE 0	10	10	10	5.3	● 14¾
19	9.5	14.2	9.9	11.2	2.3	728.8	728.4	728.4	100	64	95	E 0	SW 0	SW 0	9	8	3	.	
20	6.2	13.0	10.9	10.0	1.3	728.2	727.0	727.5	95	67	91	SW 0	NW 0	NE 0	4	1	9	2.4	● n (20./21.)
21	10.3	13.6	9.5	11.1	2.6	729.0	729.3	732.4	99	84	95	NE 0	NW 0	NW 0	10	5	1	.	
22	9.1	12.2	7.4	9.6	1.2	733.3	733.1	733.2	95	85	92	NE 0	NW 0	N 0	10	2	2	.	
23	5.1	9.7	7.7	7.5	–0.7	731.9	731.3	730.8	94	90	99	N 0	NW 0	NE 0	2	10	10≡	0.2	☽ n (23./24.) mU, ≡ 17¾–n
24	5.4	8.4	6.3	6.7	–1.4	728.1	727.1	725.9	99	95	100	NE 0	NW 0	NW 0	10≡	10	10≡	0.1	≡ n–a, p–n
25	3.3	11.0	8.2	7.5	–0.4	723.1	720.3	721.6	97	76	96	NW 0	NW 0	NW 0	10	4	10	**22.2**	● 15¾–n, ≡ n–6½
26	4.1	5.6	2.7	4.1	–3.7	722.1	720.6	718.7	95	95	87	N 0	SE 0	N 1	10•	10•	10•	11.5	● n–n
27	2.7	5.0	2.1	3.3	–4.3	716.8	718.4	718.7	97	90	87	NE 0	NW 0	NW 0	10	8	7	0.4	● n (27. 28.)
28	1.7	5.2	3.6	3.5	–4.0	719.6	720.5	723.9	93	95	85	E 0	E 0	N 0	10	10	10	0.4	✶ 9¼, ● p mU
29	3.6	6.0	4.6	4.7	–2.6	721.1	716.8	715.8	91	77	96	E 1	NW 0	NW 0	10	10•	10•	10.5	● a–p, ∺ abd mU
30	2.6	4.9	3.3	3.6	–3.6	715.6	716.2	719.8	98	74	86	E 0	NW 0	NW 0	8	10	10	.	
31	0.9	5.6	**0.8**	2.4	–4.6	722.3	723.2	725.5	92	65	92	E 0	NW 1	E 0	4	4	0	.	⊔ |
Mittel	5.5	10.2	6.8	7.5	—	726.0	725.4	726.2	96	78	92				7.7	6.3	6.0	Summe 112.8	

Oktober 1956
Beobachter: *Observatoire*

Genève

$\lambda = 6° 09'$, $\beta = 46° 12'$,
$H_b = 405.0$ m, G = –0.05 mm

1	12.6	19.0	15.5	15.7	3.4	733.1	730.9	730.6	97	66	91	NNE 0	NE 1	NNE 1	10≡	1	1	.	≡ n–a
2	11.9	**22.1**	19.8	17.9	5.8	728.6	726.5	727.2	93	57	83	NE 0	NW 1	NW 2	5	8	9	3.4	
3	16.3	14.8	12.5	14.5	2.6	727.1	727.3	730.6	92	91	88	S 0	NE 1	N 1	10•	10•	6	**27.9**	● 1¾–21
4	9.1	14.7	12.5	12.1	0.3	731.2	730.1	729.7	86	**43**	65	ESE 1	NE 1	SSE 1	8	4	9	0.5	
5	10.6	8.3	5.8	8.2	–3.4	726.5	723.6	727.9	77	84	90	S 1	NW 2	SE 1	10	10	7	15.2	● 2-2½ 13¾-14¾, ⸗ 17½-18¼, 22¾-n
6	4.8	8.6	6.2	6.5	–4.9	727.4	730.7	731.4	96	98	94	E 1	NE 1	N 1	10	9	10	8.3	● 7½–10, 13¾–18¼ mU, 20¼–22½,
7	5.7	9.6	6.2	7.2	–4.0	730.8	732.0	730.7	93	85	80	N 0	NE 1	E 1	9	9	9	0.9	● 1¼–4 mU ⸗ [⸗ n–7¼
8	4.4	9.0	6.1	6.5	–4.5	730.9	731.1	731.5	91	57	79	N 0	N 1	NNE 1	5	9	1	.	● 1¼–1¾
9	4.5	9.2	7.2	7.0	–3.8	731.2	731.2	732.6	90	64	72	NE 0	N 1	NE 1	10	4	5	.	
10	6.4	9.7	5.8	7.3	–3.4	733.2	733.6	735.0	81	66	89	NE 1	NNE 1	NE 1	10	2	0	.	
11	2.1	10.2	6.3	6.2	–4.3	737.0	736.3	737.3	97	73	93	ENE 1	NNE 1	NNE 0	0≡	0	0	.	≡ n–a mU, ⊔ |
12	3.4	11.7	7.2	7.4	–2.9	**738.6**	738.1	737.6	98	73	93	ENE 0	NNE 1	E 0	10≡	2	0	.	≡ n–a
13	4.5	10.9	6.4	7.3	–2.8	738.0	736.9	736.6	100	76	90	NE 0	NNE 1	E 0	10≡	0	0	.	≡ n–a
14	4.1	11.8	6.3	7.4	–2.5	733.3	735.6	733.0	96	68	92	E 1	ENE 0	NE 0	10	0	0	.	
15	4.1	11.1	9.8	8.3	–1.5	731.6	731.9	731.6	99	75	92	NE 0	SW 0	N 0	10≡	0	7	1.1	≡ n–a
16	10.0	12.9	11.7	11.5	1.9	731.9	731.9	732.9	96	77	90	NE 1	NNE 0	NE 0	10	9	9	.	● 1–3¼
17	10.2	12.6	11.1	11.3	1.9	733.9	735.9	734.6	97	91	98	NE 0	NNE 0	N 1	10≡	9	10≡		≡ n–n mU
18	10.6	12.7	13.2	12.2	3.0	733.4	734.0	734.2	97	93	91	NNE 0	NE 0	NNE 1	10	10•	9	2.5	● 12½–14, 19½–21
19	12.3	18.4	11.4	14.0	5.0	733.7	733.3	732.9	89	60	85	NNE 0	N 1	NE 1	8	5	4	.	● 2¾–4
20	7.3	18.2	14.7	13.4	4.5	732.4	731.9	731.9	97	85	74	NE 0	SE 0	SSW 1	2	7	9	0.2	● 22¾–23
21	12.4	15.5	11.6	13.2	4.5	733.3	734.1	736.8	93	65	87	NE 1	NNE 1	N 1	10	5	1	.	● 5½–5¾
22	9.8	14.4	9.7	11.3	2.8	738.1	737.8	737.7	93	73	92	NE 1	N 1	E 1	9	3	3	.	
23	9.3	13.9	8.8	10.7	2.4	736.7	735.5	734.8	95	76	94	ENE 1	N 1	E 0	10	10	9	.	
24	8.8	11.3	9.8	10.0	1.8	733.7	731.8	730.9	96	85	94	ENE 1	NE 0	NE 1	10≡	10	10	.	≡ n–a
25	7.4	10.9	9.6	9.3	1.3	728.3	726.5	726.3	95	91	65	NE 1	ESE 1	SE 1	10	10•	10	8.1	● 7½–7¾, 11½–14¼, 22–24 mU
26	3.6	5.8	3.2	4.2	–3.6	727.2	724.8	723.5	92	84	75	NE 0	ENE 1	WNW 1	10•	10	10	3.9	● 0–10 mU, 13¾–15, 17¾–18¾,
27	3.0	6.4	3.8	4.4	–3.3	722.4	723.3	724.4	94	76	75	NW 1	NE 1	NE 0	10•	9	7	1.0	● 3–10¼ 15 [⸗ 13¾
28	3.5	7.0	3.6	4.7	–2.8	724.3	726.0	730.2	77	59	84	W 0	NNW 1	NE 1	9	7	4	0.1	● 15¾–16
29	3.5	5.6	6.2	5.1	–2.2	728.2	724.4	722.5	86	87	84	N 1	NNW 1	SSW 1	10	10•	9•	0.9	● 10–11, 12¼–13¾, 21¼–22½
30	2.5	4.1	2.7	3.1	–4.1	**720.8**	721.1	724.3	87	82	90	NW 1	NE 1	NNW 1	10	10	8	0.9	● 14-14¾, 18½-19, ✶ 18-18½
31	**1.6**	6.3	4.1	4.0	–3.0	726.1	727.4	729.3	85	60	75	NE 0	NE 1	NE 1	7	3	3	.	
Mittel	7.1	11.5	8.7	9.1	—	731.1	730.8	731.3	92	75	85				8.8	6.3	5.8	Summe 74.9	

$\lambda = 8° 34'$, $\beta = 47° 23'$,
$H_b = 569.4$ m, $G = -0.01$ mm

Zürich

Oktober 1956
Beobachter: *Meteorologische Zentralanstalt*

Tag	Lufttemperatur 7³⁰	13³⁰	21³⁰	Mittel	Abweich. vom Normalst	Luftdruck 7³⁰	13³⁰	21³⁰	Relative Feuchtigkeit 7³⁰	13³⁰	21³⁰	Windrichtung und Stärke 7³⁰	13³⁰	21³⁰	Bewölkung 7³⁰	13³⁰	21³⁰	Niederschlag	Witterung
1	12.0	**23.6**	14.5	16.7	6.2	717.6	716.6	715.3	90	**42**	90	SSE 0	SSE 1	W 1	1	1	0	.	△ I, III
2	12.5	20.6	18.7	17.3	7.0	713.9	712.6	711.4	87	55	56	S 1	WSW 1	SW 2	7	9	9	5.2	△ I. ⸗ 20¼–23¾ mU
3	14.1	14.1	10.2	12.8	2.7	711.9	712.3	714.7	95	85	86	SSW 1	S 1	W 1	10●	10●	10●	17.1	● 4½–24
4	8.7	12.8	10.6	10.7	0.8	715.9	714.7	713.1	80	45	60	WSW 1	SSW 2	SW 1	6	7	10	2.7	● 0–0½
5	6.9	7.7	3.7	6.1	−3.6	710.0	706.1	701.2	92	82	78	SW 1	WSW 2	SW 1	10	10●	9	7.5	● 2¾–4, 6¼–7½. 13¼–16¼, ⸗ 1½–2¼
6	4.6	4.9	4.9	4.8	−4.8	709.6	710.8	713.8	83	85	86	SSW 2	SW 3	SSW 1	9	10●	10●	20.6	● 0–7¼. 9–17¼, 19½–20, 21½–24, *)
7	4.4	7.2	2.8	4.8	−4.6	714.5	714.0	715.0	85	55	92	WSW 1	WSW 2	SSW 1	10	10	10	2.9	● 0-2¼, 3¾-7½, 9¾-11¼, 15½-21½,
8	3.5	6.1	1.7	3.8	−5.4	716.1	716.8	717.2	86	67	91	WSW 1	NNE 1	NNE 1	10	9	0	0.1	● 0–1½, △ III [23¼–24
9	0.6	9.3	3.8	4.6	−4.4	717.1	716.9	717.8	96	48	77	E 1	NE 1	E 1	10≡	4	0	0.2	● 7¾–8¼, ≡ 6–9¼, △ III
10	1.0	12.0	5.2	6.1	−2.8	718.7	718.8	720.4	95	47	90	ENE 1	E 1	ENE 1	3	0	0	0.2	⊔ I △ II. III
11	3.9	10.8	4.6	6.4	−2.3	722.0	721.8	722.4	92	56	92	S 0	NE 1	NE 1	10	3	0	0.2	≡ früh, △ I
12	4.3	14.7	6.9	8.6	0.1	723.0	723.0	722.6	96	48	90	SW 1	SSW 1	SSE 1	10≡	0	0	0.1	≡ n–10¾, △ I, III
13	4.0	15.7	8.1	9.3	1.0	722.8	721.7	721.8	94	47	88	SE 1	WSW 1	SE 1	2	2	0	0.1	≡ 8¼–11, △ I, II, III
14	2.6	13.3	7.3	7.7	−0.4	720.9	718.9	718.3	97	56	92	E 1	ENE 1	ENE 1	9≡	0	0	0.2	≡ 6–11, △ I, III
15	6.9	9.9	7.9	8.2	0.2	717.1	716.7	717.5	91	72	84	NE 1	NNE 1	SSE 1	10≡	10	10	0.0	≡ n-9, △ I, II, III
16	6.9	14.3	8.5	9.9	2.1	717.1	717.8	718.3	89	56	92	NNE 1	WNW 1	SSE 1	10	7	1	0.0	△ I, II, III
17	6.2	16.5	10.5	11.1	3.5	718.9	718.8	719.7	96	59	92	S 0	S 1	SW 1	10≡	3	7	0.2	≡ 7–10¾, △ I, II, III
18	9.1	11.9	10.7	10.6	3.2	718.7	718.3	717.7	93	87	94	E 1	SSW 1	SSW 1	10●	10●	10	5.9	● 7½–18¾, ●tr 18¾–23¾ mU, *)
19	11.6	16.5	12.1	13.4	6.1	718.4	718.9	718.6	82	62	87	SSW 1	SSE 1	NW 1	9	10	9	0.2	● 1¾–2¾, ⸗ 0¾–4¼, △ III
20	9.1	14.8	10.6	11.5	4.4	717.5	717.0	717.7	94	63	90	S 0	WSW 1	NW 1	10	3	10	4.0	● 23¼–23¾, ≡ n–9¼, △ I, II, III
21	11.0	16.6	10.7	12.8	5.9	719.2	720.1	721.1	93	57	88	SW 0	NE 1	NE 1	9	3	0	0.2	● 1¾–6¼, ≡ 8–9, △ III
22	10.2	12.9	8.7	10.6	3.9	**723.3**	722.9	722.9	94	69	92	S 1	NW 1	SSE 1	10≡	8	0	0.2	≡ n-a mU, △ I, II, III
23	6.9	9.3	7.6	7.9	1.3	722.1	720.9	720.4	94	87	94	NNE 1	WSW 1	S 1	10≡	10	10≡	0.1	≡ n–10½, p–n mU
24	6.5	11.9	6.4	8.3	1.9	718.5	717.0	715.6	94	62	94	WSW 1	WSW 1	NE 1	10≡	0	10≡	0.2	≡ n–10. 21–n, △ II
25	6.2	9.4	6.9	7.5	1.3	712.7	710.9	711.3	93	82	81	S 1	WNW 1	SSW 1	10≡	10	10●	18.3	● 15–24, ≡ n–9, △ I
26	1.6	1.3	0.7	1.2	−4.8	712.0	710.6	708.8	90	90	91	SSE 1	ENE 1	N 1	10*●	10*	10*	**21.1**	● ✳ 0–7½. ✳ 7½–24
27	**0.1**	2.0	2.5	1.5	−4.4	706.3	707.1	708.1	95	80	74	WNW 1	SSE 1	SSW 1	10*≡	9	10	1.6	✳ 0–12, ≡ n–10¾ ⊠
28	1.7	2.9	1.4	2.0	−3.7	709.3	710.7	713.1	86	77	86	ENE 0	W 1	SW 2	10	10●	10	2.9	●tr 13½, ✳ 16¼–21. 22–24
29	3.4	4.0	3.2	3.5	−2.1	710.6	706.7	**705.8**	66	80	84	SSW 2	SW 2	SW 2	10	10●	10●	7.7	✳ 0–1¼, ● 10–14¼, 20¾–n, *)
30	1.0	2.9	0.3	1.4	−4.0	706.0	706.7	709.8	85	70	95	E 1	NNE 1	WNW 1	10	10*	10*	5.0	● 0-1¾, ✳ 8-10¾, 13½, 15-23¾
31	0.5	4.2	1.2	2.0	−3.3	712.1	713.4	715.9	94	69	89	NE 1	NNE 1	NE 1	10	9	0	.	
																		Summe	
Mittel	5.9	10.8	6.9	7.8	—	715.9	715.5	716.1	90	66	86				8.9	6.7	6.0	124.7	

*) 6. ⸗ 6¾–17 mU 18. ≡ n–9 mU 29. ⸗ 1–16½ mU

$\lambda = 6° 32'$, $\beta = 46° 51'$,
$H_b = 1601$ m, $G = -0.16$ mm

Chasseron

Oktober 1956
Beobachter: *J. Liardon*

Tag	Lufttemperatur 7³⁰	13³⁰	21³⁰	Mittel	Abweich. vom Normalst	Luftdruck 7³⁰	13³⁰	21³⁰	Relative Feuchtigkeit 7³⁰	13³⁰	21³⁰	Windrichtung und Stärke 7³⁰	13³⁰	21³⁰	Bewölkung 7³⁰	13³⁰	21³⁰	Niederschlag	Witterung
1	12.4	**15.0**	12.4	13.3	—	636.3	636.1	635.4	41	58	49	SW 3	SW 2	SW 2	3	3	2	.	⸗ I
2	11.2	14.0	10.6	11.9	—	633.1	632.2	630.7	64	40	58	SW 4	SW 4	W 5	6	8	9	13.0	● n (2./3.), ⸗ n-n, ⸗ III
3	7.0	6.2	3.8	5.7	—	630.1	631.0	631.3	100	100	100	WNW 4	W 3	WNW 4	10●≡	10●≡	10●≡	**30.4**	● ≡ n-n, ⸗ n-n mU
4	0.8	2.8	1.2	1.6	—	632.6	632.3	630.6	100	88	100	NNW 2	WNW 2	W 5	10≡	8	10●≡	6.4	● 19½–n mU, ●✳ n (4./5.), *)
5	0.0	0.0	−3.4	−1.1	—	626.8	622.6	627.1	100	100	100	W 4	WNW 6	NNW 4	10●≡	10●≡	10≡	24.2	● ✳ 2¾, 11¾–13½, *) ⊠
6	−2.0	−1.8	−2.0	−1.9	—	626.6	628.5	629.8	100	100	100	WNW 4	NNW 4	WNW 5	10*≡	10*≡	10*≡	20.4	✳ ≡ ⸗ n-n ⊠
7	−3.0	−3.2	−3.6	−3.3	—	630.1	629.6	629.8	100	100	100	NNW 4	NNW 4	NW 3	10≡	10≡	10≡	13.1	✳ n-a mU, ≡ ⸗ n-n ⊠
8	−3.9	−1.4	−3.9	−3.1	—	630.9	631.7	631.8	100	100	100	NNW 2	NNE 1	NE 2	10≡	9	4	.	≡ n-8½, ⋁ I ⊠
9	−3.4	−2.4	−2.8	−2.9	—	631.1	631.9	631.8	100	95	90	ESE 3	ESE 3	E 4	1	1	0	.	⸗ n-n ⊠
10	−2.6	2.9	3.4	1.2	—	632.9	634.6	635.9	90	69	46	ESE 3	NW 2	ESE 1	0	1	0	.	⸗ n-a ⊠
11	4.4	7.1	5.0	5.5	—	637.4	637.7	638.5	31	34	64	NNW 2	NNE 1	SW 1	1	1	0	.	⊠
12	5.7	9.2	6.9	7.3	—	639.2	639.8	639.4	42	51	60	W 1	W 1	SSE 2	1	1	0	.	⊠
13	5.9	10.6	6.6	7.7	—	638.8	639.0	638.5	22	30	61	NW 2	W 1	E 1	1	1	0	.	⊠
14	6.5	9.2	6.4	7.4	—	636.6	636.2	635.4	51	33	53	E 3	E 3	E 3	1	0	0	.	⸗ n-n
15	9.2	9.5	7.4	8.7	—	633.7	634.0	633.9	42	72	84	SE 1	WNW 2	WSW 3	1	1	7	0.6	● n (15./16.), ⸗ III
16	6.7	7.7	7.0	7.1	—	633.8	635.0	635.7	88	96	95	SSW 2	NW 2	ENE 1	7	9	6	.	≡ 9½–11¾
17	6.4	9.6	6.5	7.5	—	636.2	636.5	637.0	98	80	100	WNW 2	NW 2	NW 2	1	6	10≡	.	≡ 17¼–n
18	6.3	5.4	6.0	5.9	—	635.9	635.6	635.6	92	100	91	WNW 3	WNW 4	WSW 4	10●	10≡	10●	10.2	● 7¼–9½, 11–12, 20–n, *)
19	5.6	6.8	6.0	6.1	—	635.9	636.5	635.8	100	100	100	WNW 3	W 3	S 3	10≡	9	6	.	● n–5¾, ≡ n-11, ⋓ III, ⸗ n-n
20	7.8	8.0	6.0	7.3	—	634.4	634.4	634.6	**18**	84	100	WSW 3	WNW 4	WNW 4	5	7	10≡	5.6	● 22¾–23, ≡ 18½–n, ⸗ n-n mU
21	3.6	6.0	5.6	5.1	—	635.6	636.7	638.2	100	100	100	NNE 2	E 2	E 3	9	9	10≡		≡ n–7¼, p–n, ⸗ p-n
22	8.0	11.4	8.1	9.2	—	639.7	**640.3**	640.1	55	48	64	NNW 2	NNW 2	E 2	0	2	0	.	⸗ I
23	7.4	11.6	7.4	8.8	—	638.6	638.2	637.7	56	44	43	E 3	— 0	— 0	0	2	0	.	⸗ I
24	7.6	10.8	6.5	8.3	—	635.7	635.2	632.7	48	54	78	N 1	NNW 2	WNW 3	2	2	3	1.3	● n (24./25.), ⸗ III
25	4.6	1.4	−0.6	1.8	—	630.0	627.5	627.1	100	100	100	WNW 4	NNW 4	NNW 4	10●≡	10●≡	10●≡	15.9	● n-8¾, ●✳ 8¾–n, ≡⋁ ⸗ n-n
26	−2.0	−5.4	−6.0	−4.5	—	626.6	625.0	623.8	100	100	100	WNW 3	N 3	NNE 3	10*≡	10*≡	10*≡	14.4	✳ ≡ ⋁ ⸗ n-n ⊠
27	−6.0	−4.0	5.8	−5.3	—	622.4	623.3	623.4	100	100	100	N 3	WNW 3	WNW 4	10*≡	10*≡	10*≡	20.2	✳ ≡ ⋀ ⸗ n-n ⊠
28	−6.0	−4.0	−5.8	−5.3	—	624.0	626.1	628.5	100	100	100	WNW 3	WNW 3	WNW 3	10*≡	10≡	10*≡	4.0	✳ n-8, 18¾-n, ≡, ⸗ n-n, ⋁ I III ⊠
29	−4.2	−1.8	−3.0	−3.0	—	627.1	623.6	622.0	100	100	100	W 4	WNW 4	WNW 4	10*≡	10*≡	10*≡	24.0	✳ ≡ ⸗ n-n, ⋁ I. III ⊠
30	**6.4**	−3.4	−5.4	−5.1	—	**620.4**	621.6	624.5	100	100	100	S 3	— 0	E 2	10*≡	10*≡	10*≡	5.5	✳ = ⋁ n-n, ⸗ I ⊠
31	−5.5	−4.0	−5.8	−5.1		626.1	627.8	629.4	100	100	100	E 3	E 3	E 2	10≡	10≡	10≡	.	≡ n-n, ⋁ I, III. ⸗ n-p ⊠
																		Summe	
Mittel	2.6	4.3	2.4	3.1	—	632.2	632.3	632.4	75	77	82				6.1	6.5	6.4	209.2	

*) 4. ≡ n–8¾, 12–p mU, 20–n, ⸗ III 5. ✳ 13½–17. ● 2¾–11¾. ▲ 11¾. ≡ n–8. 11¾–n, ⸗ n-n 18. ≡ 7¾–11 mU, 12¾–15. ⸗ n-n

Oktober 1956
Beobachter: *Stationspersonal Rh. B.*

Bever

$\lambda = 9° 53'$, $\beta = 46° 33'$,
$H_b = 1711.8$ m, G = −0.26 mm

Tag	Lufttemperatur 7³⁰	13³⁰	21³⁰	Mittel	Abweich. vom Normalst	Luftdruck 7³⁰	13³⁰	21³⁰	Relative Feuchtigkeit 7³⁰	13³⁰	21³⁰	Windrichtung und Stärke 7³⁰	13³⁰	21³⁰	Bewölkung 7³⁰	13³⁰	21³⁰	Niederschlag	Witterung
1	0.6	**17.7**	5.1	7.8	2.5	629.0	627.6	628.0	100	36	92	SW 0	SW 0	SW 0	1	0	0	.	⌊⌋ I
2	−0.5	15.4	6.0	7.0	1.8	626.4	624.7	624.7	100	43	94	SW 0	SW 0	NW 0	4	4	5	.	⌊⌋ I
3	5.9	12.8	7.8	8.8	3.8	622.6	621.8	621.6	93	69	100	SW 0	W 1	SW 0	10	8	10●	**18.2**	● 16¼–n mU
4	2.2	11.6	4.2	6.0	1.2	622.3	621.1	620.6	100	48	81	W 0	W 0	N 1	10	2	0	.	≡ n–8½
5	−0.4	10.2	−2.4	2.5	−2.1	617.8	613.4	615.3	100	42	85	SW 0	SW 3	N 0	10	7	10	8.4	● 17¼-17¾, ●✱ 17¾–18¼, ✱ 18¼
6	−4.0	1.6	−1.8	−1.4	−5.8	615.3	616.3	619.0	100	52	86	S 0	W 1	SW 0	10	10	10	1.7	✱ 18-20, n (6./7.) [n, ☄ a-p
7	−2.9	−1.2	−4.2	−2.8	−7.0	619.1	619.9	620.3	98	86	90	E 0	NW 0	NE 0	8*	10	10	0.2	✱ n–18
8	−6.2	0.9	−5.2	−3.5	−7.5	621.0	621.8	623.2	85	46	78	N 0	W 1	N 0	0	0	0	.	⌊⌋ I
9	−9.6	5.2	−3.2	−2.5	−6.4	622.3	621.7	624.0	98	32	73	NW 0	E 0	NE 1	0	0	0	.	⌊⌋ I
10	−9.1	9.2	−2.8	−0.9	−4.6	625.5	625.0	627.2	100	35	85	W 0	NE 0	W 0	0	0	0	.	⌊⌋ I
11	−7.2	13.5	−2.5	1.3	−2.2	628.4	627.9	630.3	100	45	100	W 0	SW 0	SW 1	1	1	0	.	⌊⌋ I
12	−5.8	15.2	−2.0	2.5	−0.8	631.1	629.7	630.3	100	20	93	SW 0	SE 1	SW 0	1	1	0	.	⌊⌋ I
13	−6.0	15.8	−1.6	2.7	−0.4	630.4	628.9	630.0	100	**18**	93	S 0	E 0	SW 0	0	0	0	.	⌊⌋ I
14	−5.0	16.3	−0.8	3.5	0.6	629.2	627.0	628.0	100	29	99	SW 0	SW 1	SW 0	0	0	0	.	⌊⌋ I
15	−4.7	14.0	−0.3	3.0	0.3	626.8	625.5	626.2	100	29	96	SW 0	SW 0	SW 0	0	0	1	.	⌊⌋ I
16	−1.1	11.1	4.0	4.7	2.2	625.8	625.2	626.6	94	50	89	SW 0	SW 0	SW 0	9	9	2	.	
17	−2.8	13.3	0.8	3.8	1.5	627.4	626.4	628.4	100	38	100	SW 0	N 0	S 0	0	0	5	.	⌊⌋ I
18	−1.0	10.2	4.2	4.5	2.4	627.5	625.9	626.8	100	53	100	SW 0	SW 1	NW 0	10	10	10	3.8	● 17–20, ⌊⌋ I
19	3.1	9.2	1.8	4.7	2.8	626.0	627.3	627.9	100	74	98	SW 0	NE 0	SW 0	10=	10●	7	0.2	● 13–14, ≡ n–a
20	−3.5	13.7	3.5	4.6	2.9	627.1	625.0	625.1	100	64	95	SW 0	SW 2	W 0	0	0	8	0.1	●tr n*(20./21.), ⌊⌋ I
21	3.8	11.2	2.0	5.7	4.2	627.1	628.5	**631.7**	94	56	100	N 0	SW 2	SW 0	10	4	2	.	
22	−3.0	13.8	−0.6	3.4	2.1	632.1	630.9	631.8	100	37	98	SW 0	SW 0	SW 0	0	0	0	.	⌊⌋ I
23	−5.2	15.4	−1.4	2.9	1.8	630.0	628.4	628.8	100	26	93	SW 0	SW 1	S 0	0	0	0	.	⌊⌋ I
24	−5.5	13.6	−2.0	2.0	1.0	627.5	625.3	625.1	97	29	98	S 0	S 1	S 0	4	4	3	.	⌊⌋ I
25	−4.8	10.0	4.0	3.1	2.3	622.2	619.3	618.3	100	42	88	SW 0	W 2	W 2	3	4	10	8.9	✱ n (25./26.), ⌊⌋ I
26	−2.9	−4.2	−5.8	−4.3	−4.9	615.5	614.3	616.0	100	90	99	NE 0	SW 1	E 1	10*	10*	10*	10.2	✱ n–n
27	−9.2	−2.5	−5.9	−5.9	−6.3	612.2	613.3	613.4	98	72	100	N 0	SW 0	SW 0	10	10	10	1.1	✱ 8–9, 15–n mU
28	−7.0	−2.0	−5.6	−4.9	−5.1	613.8	615.0	617.1	90	50	91	N 0	W 0	SW 0	10	10	10	0·1	✱ fl n (28./29.)
29	−4.8	−0.2	−1.8	−2.3	−2.3	616.1	614.0	612.0	93	57	97	SW 0	SW 0	E 1	3	9	10	3.7	✱ n (29./30.)
30	−7.6	−2.7	−8.0	−6.1	−5.9	611.9	**611.4**	614.4	93	54	89	NW 0	N 1	N 0	10	6	5	.	
31	**−14.0**	−2.1	−11.0	−9.0	−8.7	618.4	620.5	623.9	100	94	100	SW 0	SW 0	SW 0	1	2	0	.	
																		Summe	
Mittel	−3.8	8.6	−0.8	1.3		623.5	622.7	623.7	98	49	93				4.7	4.2	4.5	56.6	

Oktober 1956
Beobachter: *Couvent des Capucins*

Sion

$\lambda = 7° 22'$, $\beta = 46° 14'$,
$H_b = 548.6$ m, G = −0.14 mm

1	11.4	21.2	16.0	16.2	3.7	722.0	719.1	718.8	94	48	75	W 0	W 0	W 1	1	1	0	.	⌓ I
2	11.2	**21.4**	14.8	15.8	3.5	718.0	715.5	715.2	93	54	79	SW 0	ESE 0	NW 0	3	8	0	.	⌓ I
3	12.8	14.9	13.2	13.6	1.5	715.1	715.3	716.5	99	99	99	NNW 0	NNW 0	WSW 0	10	10●	10●	9.6	● 11¾-21¾, ●tr 21¾-24, ⌓ I
4	8.6	15.0	13.1	12.2	0.3	717.6	716.4	715.6	98	58	81	W 0	WSW 2	W 0	2	3	2	.	●tr 0–0½
5	8.9	15.4	4.9	9.7	−2.0	713.8	708.7	714.2	89	**43**	91	N 1	WSW 5	W 0	7	10	0	**9.9**	⛆ 15-16½, 18¼-19½, ☄ 12-15½
6	5.1	7.4	6.4	6.3	−5.2	714.5	715.9	717.7	97	91	93	WSW 0	W 1	W 0	10	10	10●	7.1	●tr 2¾-7½, ⛆ 9½-10, 11¾-12½, 21¼
7	3.8	8.0	4.4	5.4	−5.9	717.7	716.5	717.6	99	74	86	N 1	SW 2	W 3	10●	10	0	.	● 0–0½, 3–7½ [21½, 23¼, 2
8	3.2	10.3	4.0	5.8	−5.3	718.4	718.0	719.2	97	51	85	WSW 0	WSW 1	W 2	7	3	0	.	
9	0.9	10.4	4.4	5.2	−5.7	719.0	717.6	719.2	98	50	92	W 0	WSW 1	NW 1	1	0	0	.	⌊⌋ I
10	**0.4**	11.2	6.1	5.9	−4.8	720.7	719.2	722.8	100	55	85	NW 0	SW 1	N 1	0	0	0	.	⌊⌋ I
11	1.9	13.1	7.4	7.5	−3.0	724.0	722.9	720.1	99	52	85	NNE 0	NE 1	NNW 1	0	0	0	.	⌊⌋ I
12	3.2	14.1	8.4	8.6	−1.7	**726.2**	724.7	725.6	100	53	84	NW 0	SW 1	NW 0	0	0	0	.	⌊⌋ I
13	3.0	14.8	8.4	8.7	−1.4	725.7	723.3	724.6	100	55	84	NNW 1	NNW 1	NE 0	0	0	0	.	⌊⌋ I
14	3.2	14.6	7.9	8.6	−1.3	723.2	720.4	721.1	100	50	87	NE 0	NNW 2	NNW 0	0	0	0	.	⌊⌋ I
15	3.4	14.6	9.2	9.1	−0.6	719.9	717.8	719.3	100	55	90	NNW 0	SSW 1	NNW 0	0	0	8	.	⌊⌋ I
16	7.6	14.4	11.2	11.1	1.5	719.5	719.2	720.7	99	69	96	NNW 0	WSW 2	WNW 0	10	9	9	.	⌓ I
17	7.8	16.4	10.6	11.6	2.2	721.6	720.3	722.1	100	62	96	WNW 0	SSW 1	NNW 0	0	3	1	.	⌓ I
18	8.3	12.9	10.6	10.6	1.4	721.6	720.6	721.2	100	85	100	NNW 0	NNW 0	NE 0	10	10	10	0.6	● 16½–17½, ⌓ I
19	9.4	16.4	11.4	12.4	3.4	721.4	720.6	721.4	100	72	90	NE 0	NE 1	N 0	6	7	1	.	● 3½–3¾
20	7.4	15.9	11.1	11.5	2.7	720.4	718.4	719.5	100	60	90	N 1	WSW 1	N 0	2	0	9	0.1	● 24, ⌓ I
21	10.7	15.7	10.6	12.3	3.7	721.0	721.4	724.4	99	66	86	N 0	E 0	E 0	10	1	0	.	
22	9.5	16.6	10.6	12.2	3.7	726.0	724.3	725.3	78	56	83	NE 1	NE 0	N 0	0	0	0	.	⌓ I
23	5.7	15.2	9.7	10.2	1.9	724.7	722.2	723.0	98	55	86	NNW 0	NW 1	SE 0	0	0	0	.	⌓ I
24	4.8	15.0	7.4	9.1	1.0	721.8	718.8	718.8	97	51	96	SSE 0	S 2	NW 0	0	0	0	.	⌓ I
25	4.4	13.6	8.9	9.0	1.1	717.1	713.5	713.3	98	55	99	NW 0	NW 1	SW 0	0	8	10●	3.8	● 16–24
26	3.8	4.8	2.8	3.8	−3.6	713.3	712.0	709.6	86	87	95	W 1	SW 2	W 1	10	10	10	0.1	● 0–1½
27	1.9	6.3	2.8	3.7	−3.9	709.6	710.5	712.2	99	74	96	SW 0	SW 2	W 0	10	10●	10	0.3	● 13½
28	2.4	7.6	3.1	4.4	−3.0	712.3	713.0	716.5	99	60	88	NW 0	W 2	W 3	10	9	10	.	● 1½–2¼
29	2.6	3.6	4.1	3.4	−3.8	715.6	712.4	709.5	91	97	100	S 1	SW 1	S 0	10	10●	10	3.9	● 11–18¾, ⛆ 23¾–24
30	2.4	6.4	1.1	3.3	−3.7	**708.3**	**708.3**	711.4	95	74	96	SSE 0	WSW 2	NW 0	10	10	0	.	⛆ 0–1
31	1.3	7.7	3.6	4.2	−2.7	714.7	715.2	717.4	82	45	61	N 1	N 0	N 1	9	0	0	.	
																		Summe	
Mittel	5.5	12.7	8.0	8.8	–	718.9	717.5	718.5	96	63	89				4.8	4.6	3.5	29.4	

$\lambda = 8° 58'$, $\beta = 46° 00'$,
$H_b = 276.2$ m, G = –0.04 mm

Lugano

Oktober 1956
Beobachter: *G. Vicari*

Tag	Lufttemperatur 7³⁰	13³⁰	21³⁰	Mittel	Abweich. vom Normalst	Luftdruck 7³⁰	13³⁰	21³⁰	Relative Feuchtigkeit 7³⁰	13³⁰	21³⁰	Windrichtung und Stärke 7³⁰	13³⁰	21³⁰	Bewölkung 7³⁰	13³⁰	21³⁰	Niederschlag	Witterung
1	12.4	**23.6**	16.2	17.4	—	744.1	743.0	742.8	88	52	85	N 1	SSE 1	NNW 1	0	1	0	.	
2	12.6	22.2	16.4	17.1	—	741.6	740.5	740.3	84	54	86	N 1	S 1	N 1	1	5	0	.	
3	15.4	16.8	15.8	16.0	—	738.5	738.6	737.4	90	90	99	NNE 1	SW 1	NE 1	10	10●	10●	20.5	● a–n mU
4	11.6	22.6	15.4	16.5	—	736.4	735.9	735.5	85	47	73	NNW 1	SE 1	N 1	1	0	6	0.2	⊽ 20
5	11.2	17.2	10.8	13.1	—	734.2	730.6	721.2	74	68	66	NNE 1	S 1	ENE 2	9	6	0	25.9	● 16¾–19, ⌫ ⸗ 16–17½, [▲ 16¾–17
6	7.8	19.0	9.4	12.1	—	732.7	732.9	735.9	52	34	51	NW 1	N 1	N 1	1	1	0	.	
7	7.2	15.8	10.4	11.1	—	736.8	738.2	739.2	58	29	39	N 1	NE 1	N 1	0	9	6	.	⊕ 11½–13½
8	4.8	17.6	7.8	10.1	—	739.5	738.9	740.4	68	37	55	N 1	SSE 1	N 1	1	0	0	.	
9	3.4	17.2	7.4	9.3	—	741.3	740.4	741.8	75	41	81	NNW 1	S 1	N 1	1	0	0	.	
10	4.4	17.0	8.0	9.8	—	745.2	744.7	746.3	88	46	71	N 1	S 1	N 1	0	1	0	.	
11	4.8	17.0	9.4	10.4	—	747.8	747.6	749.0	84	45	79	N 1	S 1	N 1	0	2	0	.	
12	5.2	18.6	9.6	11.1	—	**750.3**	748.6	748.5	91	44	84	NNW 1	SSE 1	N 1	1	0	0	.	
13	6.2	18.4	10.4	11.7	—	748.0	746.6	746.6	83	47	86	N 1	S 1	NNW 1	0	0	0	.	
14	6.4	18.8	10.2	11.8	—	745.6	744.4	744.8	92	51	91	NNW 1	S 1	N 1	0	0	0	.	
15	7.6	18.4	10.8	12.3	—	744.9	743.9	743.9	92	56	88	N 1	SSW 1	NNW 1	9	1	8	.	
16	10.0	18.8	12.2	13.9	—	744.1	743.4	744.9	91	57	91	N 0	SSE 1	NNW 1	10	1	6	.	
17	11.2	19.2	11.4	13.9	—	744.9	744.5	745.8	90	52	88	NNW 1	S 1	N 1	9	1	5		
18	11.4	15.8	11.8	13.0	—	745.3	744.5	744.0	94	73	91	NNW 1	S 0	N 1	10	10	8	.	
19	8.8	19.2	12.0	13.3	—	743.5	742.7	744.8	94	55	91	N 1	ENE 1	N 1	2	2	0		
20	10.2	18.4	12.8	13.8	—	744.3	743.4	743.6	92	59	93	N 1	SSW 1	N 1	9	1	9	3.4	● n (20./21.)
21	12.0	15.0	13.4	13.5	—	744.8	747.4	749.9	99	83	95	NW 1	S 1	N 1	10●	9	9	8.6	● 7–10
22	9.4	19.8	11.6	13.6	—	750.1	749.2	748.7	89	52	88	N 1	SSW 1	NNE 1	0	1	0	.	
23	8.6	19.2	10.4	12.7	—	747.5	746.0	745.3	89	49	87	N 1	S 1	N 1	0	0	0	.	
24	8.2	18.4	11.2	12.6	—	744.5	742.4	741.8	92	46	85	N 1	S 1	NNW 1	1	1	0	.	
25	7.6	18.0	11.8	12.5	—	739.4	737.5	735.6	93	57	95	NNW 1	S 1	SW 1	2	6	10	**32.6**	● 18 n
26	7.8	5.6	5.4	6.3	—	731.6	730.6	729.2	75	76	77	N 1	N 2	NNE 2	10●	10●	5	29.5	● n–n mU, ⌫ 13–13¾, 16
27	3.4	6.6	2.2	4.1	—	730.8	732.3	733.1	89	68	81	ENE 1	W 1	N 1	10	10●	0	7.8	● n–p mU
28	**1.2**	12.2	6.4	6.6	—	731.8	732.1	734.6	88	29	35	N 1	NNE 2	N 1	3	6	0	.	⌴ I
29	2.6	16.0	7.4	8.7	—	733.4	730.9	729.6	73	35	71	N 1	S 1	N 1	1	1	9	.	
30	3.8	14.6	7.8	8.7	—	728.9	**727.3**	731.1	86	**27**	41	NNW 1	NNE 2	NW 1	0	4	10	.	
31	3.6	9.2	6.4	6.4	—	737.3	740.5	743.7	78	52	77	NW 1	N 1	N 1	10	9	10	0.4	● tr p, n (31./1.)
																		Summe	
Mittel	7.8	17.0	10.4	11.7	—	740.9	740.3	740.9	84	52	78				3.9	3.5	3.6	128.9	

$\lambda = 7° 35'$, $\beta = 47° 33'$,
$H_b = 317.3$ m, G = –0.08 mm

Basel

Oktober 1956
Beobachter: *Astronom.-Meteorol. Anstalt*

1	12.6	**24.3**	15.5	17.5	—	738.9	737.9	736.8	97	68	86	E 1	ESE 1	ESE 1	4	0	0	.	
2	12.3	23.1	16.1	17.2	—	735.1	734.0	733.1	98	79	94	ESE 1	SE 0	SSE 0	8≡	10	10●	14.2	● tr 20¾–21½, 23¼–24,
3	14.5	15.8	11.6	14.0	—	733.8	734.3	737.0	95	92	91	E 0	S 0	WSW 1	10●	10●	10	**14.9**	● 0–19¼ [≡ 6¾–8
4	8.8	13.1	10.3	10.7	—	738.0	737.3	735.8	94	75	74	SSW 1	W 1	WNW 1	4	10	10●	1.3	● 16¼–16¾, ● tr 21½
5	8.0	8.0	4.2	6.7	—	732.6	730.0	734.0	92	86	88	E 1	WNW 2	WSW 1	9	10●	0	4.7	● 0¼–1¼, 5¼–6, 11½–15, ⸗ 13¾, 17¾
6	6.4	7.3	6.9	6.9	—	732.7	733.8	736.4	88	88	88	WSW 1	WSW 2	WSW 1	9●	10●	10	3.1	● 1¾–3 mU, 5¾–6¼, 7½, *)
7	5.6	7.0	4.4	5.7	—	737.0	737.0	737.5	96	84	93	WSW 1	W 2	S 0	9	10●	10●	2.2	● 0–0¾, 13¾–14, 15¾–16, 19–24
8	4.9	8.8	3.4	5.7	—	738.7	739.4	740.0	96	79	93	SW 0	SSW 1	SE 0	10	10	0	.	● 0 4¼
9	0.2	10.5	2.6	4.4	—	740.0	739.7	740.5	98	**66**	95	SE 0	ENE 1	NW 0	10≡	2	0	.	≡ 5¾–10
10	**0.1**	12.6	4.4	5.7	—	741.7	741.3	742.8	95	69	100	SSW 0	NW 1	SW 0	10≡	0	0	.	≡ 4½–9, ⌴ I
11	3.5	12.4	5.2	7.0	—	744.4	744.0	744.8	95	77	99	SSW 0	ENE 1	NW 0	10≡	0	0	.	≡ 5½ 8¾
12	3.5	15.7	7.3	8.8	—	**745.4**	745.0	745.0	95	70	97	SE 1	SE 1	SE 1	10≡	0	0	.	≡ 1¾ 9½
13	3.8	15.7	7.2	8.9	—	745.2	744.2	744.2	97	73	94	ESE 1	ESE 1	SSW 1	10≡	0	0	.	≡ 5 10¼
14	4.5	14.7	7.4	8.9	—	743.3	741.4	740.9	99	76	97	SE 0	NW 1	WNW 0	10≡	0	10≡	.	≡ 1 10¾, 16¾–24
15	6.0	12.6	8.9	9.2	—	739.2	738.9	738.9	96	81	88	SW 0	ENE 1	ESE 1	10≡	10	7	.	≡ 0 9¼
16	7.2	15.5	10.7	11.1	—	738.8	739.3	740.0	92	78	92	ESE 1	E 1	ESE 1	8	9	7	.	
17	7.1	18.5	11.8	12.5	—	740.7	740.4	741.4	97	77	74	ESE 1	ESE 1	ESE 1	10≡	6	10	0.0	≡ 7¼–10
18	10.0	12.1	11.5	11.2	—	740.6	740.3	739.3	98	95	96	ESE 1	E 1	ESE 1	10●*	10●	10	6.3	● 7–8¾, 11–16¼ mU, ≡ 7¼–
19	12.5	18.5	12.0	14.3	—	740.0	740.6	740.4	94	78	94	SSW 1	WNW 1	E 1	6	8	10	.	● 3¾–4¼ [11¾, 13¾–17
20	8.2	17.3	12.7	12.7	—	739.4	738.8	739.8	98	73	91	SSW 1	WNW 1	WNW 1	7	10	10●	1.3	● 20¾–21¾, 23¾ 24
21	11.4	14.3	9.6	11.8	—	741.7	742.6	743.9	92	86	96	SE 0	NNW 1	SW 1	10	10	10	.	● 0–0¾, 1–1½, 3¾–5¼
22	10.5	18.8	10.0	13.1	—	745.3	745.1	744.0	96	71	98	E 0	SE 0	ESE 1	10≡	0	0	.	≡ 7¼–10½
23	8.4	16.0	8.0	10.8	—	743.8	742.6	741.9	97	78	96	SE 1	E 1	E 1	10	0	0	.	
24	6.6	15.9	7.8	10.1	—	740.1	738.6	737.3	95	76	94	ESE 1	ESE 1	ESE 1	0	0	0	1.6	
25	8.4	10.8	7.4	8.9	—	735.0	733.8	733.7	95	91	90	SW 1	WSW 1	WSW 2	10	10	10	2.8	● 6–7¼, 10–12½, 16¾–17¾, *)
26	4.2	5.0	3.6	4.3	—	734.8	733.8	732.4	91	87	89	W 1	NNW 1	NNW 1	10	10●	10	7.6	● 3¼–4¾, 12½–13½, 23–24
27	1.2	3.0	2.6	2.3	—	730.5	730.5	731.0	98	92	90	NW 2	WSW 1	WSW 1	10●*	10●	10●	6.4	● 0–0¾, 7½–24, ● ✶ 4–7½
28	2.4	3.4	3.2	3.0	—	732.2	734.0	736.0	95	92	86	NW 0	NNW 1	SW 1	8	10	10	1.8	● 6–7½, 16–18½
29	3.9	6.4	1.8	4.0	—	733.4	730.1	730.0	90	91	95	WSW 1	W 1	SW 1	10●	10●	10●	6.0	● ✶ 5½–8¾, ● 11¾ 13½, 17¾–23
30	1.1	2.2	2.7	2.0	—	**729.1**	730.1	733.4	98	97	97	E 1	NE 1	SW 0	10●*	10●	10●	5.1	● ✶ 5¼–3½, ✶ 7½–11, ● 11–13½,
31	2.9	5.2	4.5	4.2	—	734.9	736.5	738.8	98	88	87	N 0	NNE 1	ENE 1	10	10	10	.	● 0–3¼ mU [15½, 19–24
																		Summe	
Mittel	6.5	12.4	7.6	8.8	—	738.3	737.9	738.4	95	81	92				8.8	6.6	6.3	79.3	

*) 5. ● 13¾–19½ mU, 21¼–24. ⸗ 9, 11¼ 25. ● 19¼–19½, 22¾–23, ≡ 9½–10¾

Oktober 1956
Beobachter: *Observatoire*

Säntis

$\lambda = 9° 21'$, $\beta = 47° 15'$,
$H_b = 2500.1$ m, $G = -0.29$ mm

Tag	Lufttemperatur 7³⁰	13³⁰	21³⁰	Mittel	Abweich. vom Normalst	Luftdruck 7³⁰	13³⁰	21³⁰	Relative Feuchtigkeit 7³⁰	13³⁰	21³⁰	Windrichtung und Stärke 7³⁰	13³⁰	21³⁰	Bewölkung 7³⁰	13³⁰	21³⁰	Niederschlag	Witterung
1	5.8	10.0	6.4	7.4	—	570.5	570.8	569.9	71	60	63	SW 2	S 1	SW 1	2	1	0	.	
2	6.7	**11.1**	6.0	7.9	—	567.9	567.6	566.1	55	47	70	SW 2	SW 2	WSW 1	2	8	10	0.5	● n (2./3.)
3	3.4	2.0	0.4	1.9	—	564.4	564.4	563.9	100	100	100	W 2	W 2	W 3	10≡●	10 ☽	10 ●*	27.6	● 6¾-8, 13¾-20¾, ☽ 8-13¾, *)
4	-3.6	2.8	4.6	3.7	—	564.0	563.6	562.2	100	100	98	W 3	W 2	W 4	10≡*	10≡	10	10.2	✳ n-9, n (4./5.), ≡ n-10½, ⸗ III ⊠
5	-4.8	-3.4	-9.4	-5.9	—	558.4	556.6	557.2	100	87	98	W 4	SW 4	W 2	10≡*	9	10≡	30.5	✳ n-10, 14¾-19, ≡ n-11, 13½-n *) ⊠
6	-8.5	-7.4	-8.3	-8.1	—	555.6	556.6	559.8	96	98	97	W 4	WNW 3	W 2	10≡*	10≡*	10≡	**63.7**	✳ n-21, ≡ ⸸ n-n, ⸗ n-p mU ⊠
7	-8.8	-7.9	-9.7	-8.8	—	559.6	559.6	560.2	100	98	98	NW 3	W 3	WNW 1	10≡	10≡	10≡	19.3	✳ 8¾-12½, 14-15½, ⊽ 16¾-17¾, ⊠
8	-9.3	-8.2	-9.6	-9.0	—	561.1	562.4	562.9	90	90	70	SW 1	NE 1	N 1	1	1	1	.	≡ n-6, 14½-17¾ [≡ n-n ⊠
9	-7.3	-5.8	-6.1	-6.4	—	562.5	563.6	564.6	44	28	77	E 1	NE 1	NE 3	1	1	1	.	⊠
10	-3.4	-0.4	-2.2	-2.0	—	565.6	566.9	568.2	68	54	51	NE 3	ESE 1	NW 2	1	1	1	.	⊠
11	-0.6	2.1	-0.4	0.4	—	569.3	570.3	571.2	45	27	36	NW 2	N 1	S 1	1	1	1	.	⊠
12	1.2	3.1	0.3	1.5	—	571.5	572.1	571.8	**20**	41	42	WSW 2	SW 2	WSW 3	1	1	0	.	⊠
13	2.4	4.0	2.0	2.8	—	571.3	571.7	571.4	29	30	28	WSW 3	SW 3	S 3	2	5	1	.	⊠
14	2.9	4.5	5.4	4.3		570.5	570.2	569.4	47	56	43	NE 2	E 2	S 2	1	1	0	.	⊠
15	5.2	6.6	1.7	4.5	—	567.8	567.8	567.8	32	36	47	S 1	SE 2	S 1	0	1	4	.	⊠
16	1.5	3.0	1.2	1.9	—	567.0	568.0	568.7	48	43	47	SSE 1	SW 2	WNW 2	9	4	1	.	⊕ 10½ ⊠
17	1.3	3.5	0.4	1.7	—	568.8	569.4	569.8	92	83	96	WSW 2	SW 2	WSW 3	9	4	3	.	⊠
18	0.4	0.8	-1.0	0.1	—	568.6	568.3	567.1	100	96	100	SW 3	WSW 3	WSW 5	10≡	10	10≡	23.8	✳ 8-11¾, 13¾-18, *) ⊠
19	0.7	0.6	0.4	0.6	—	567.6	568.8	569.1	100	100	100	W 3	WSW 3	SW 2	10≡	10≡	10≡	1.5	☽ 7½-11, ≡ n-n ⊠
20	2.0	2.4	0.4	1.6	—	567.7	567.2	567.9	31	39	100	SW 3	W 4	W 3	2	3	10≡	6.1	✳ n (21./22.), ≡ 21-n, ⸗ a-p ⊠
21	-0.4	1.8	1.8	1.1	—	568.4	569.9	572.1	100	76	74	E 2	SE 3	SSE 2	9	1	0	.	≡ n-7, 8½-10¾ ⊠
22	3.3	5.2	2.6	3.7	—	572.7	**573.3**	573.2	42	68	72	SW 2	S 1	SSW 2	0	1	0	.	⊠
23	1.9	5.6	2.5	3.3	—	571.8	571.2	570.5	60	60	45	ENE 2	SE 1	WSW 2	0	1	1	.	⊠
24	1.8	5.5	1.2	2.8	—	568.6	568.1	566.7	46	47	58	WSW 2	SW 2	WSW 2	2	1	1	.	⊠
25	-1.9	2.3	-4.8	-1.5	—	563.1	561.5	559.3	100	84	100	WSW 3	SW 2	W 3	10≡	10≡	10≡*	21.5	✳ 17¾-n, ≡ 6¾-7¾, 12½-n ⊠
26	-10.3	-10.1	-11.5	-10.6	—	557.4	556.1	554.3	97	98	97	NW 2	NE 2	NE 3	10≡*	10≡*	10≡*	20.1	✳ ≡ n-n ⊠
27	**-11.8**	-8.8	-11.6	-10.7	—	**552.3**	553.5	554.4	100	96	97	SW 2	W 2	SW 3	2	10≡	10≡	0.2	✳ 10¾-11¾, ≡ n-7¾, 8-n mU ⊠
28	-11.6	9.8	11.4	-10.9	—	554.5	555.8	557.2	100	100	100	W 3	W 2	WSW 3	10≡	10≡*	10≡*	18.2	✳ 11¾-n ≡ n-n. ⋁ n-12 ⊠
29	10.4	-5.6	-9.9	-8.6	—	556.5	554.2	552.9	100	100	100	WSW 4	WSW 5	W 4	10≡	10≡	10≡*	25.5	✳ 8½-12 mU, 17¾-n. *) ⊠
30	11.7	-8.8	11.7	-10.7	—	552.6	552.8	554.8	100	91	100	WSW 2	W 1	NE 3	10≡	10≡	10≡*	2.0	✳ 14½-n, ≡ n-9, 12½-n ⊠
31	-11.3	-7.7	-8.0	-9.0	—	557.2	559.7	562.3	98	82	88	ENE 2	E 2	SE 2	10≡	1	0	.	≡ n-7½ ⊠
																		Summe	
Mittel	-2.4	-0.4	-2.8	-1.9	—	564.4	564.6	564.7	74	71	77				5.6	5.4	5.3	270.7	

*) 3. ● ✳ 20¾-n. ≡ n-n 5. ⋁ n-9½, 17-n, ⸗ n-p mU 18. ● ✳ n (18./19.), ≡ 6½-11½, 13½-n ⸗ III 29. ≡ ⸸ ⋁ ⸗ n-n, ⸗ II

Oktober 1956
Beobachter: *E. Chiesa*

St. Gotthard (Hospiz)

$\lambda = 8° 34'$, $\beta = 46° 33'$,
$H_b = 2095$ m, $G = -0.27$ mm

Tag	Lufttemperatur 7³⁰	13³⁰	21³⁰	Mittel	Abweich. vom Normalst	Luftdruck 7³⁰	13³⁰	21³⁰	Relative Feuchtigkeit 7³⁰	13³⁰	21³⁰	Windrichtung und Stärke 7³⁰	13³⁰	21³⁰	Bewölkung 7³⁰	13³⁰	21³⁰	Niederschlag	Witterung
1	6.0	**13.4**	7.5	9.0	6.0	599.6	599.7	598.8	69	54	86	SE 0	SE 0	SE 0	0	0	0	.	△ I
2	6.4	0.9	6.4	7.9	5.1	597.6	596.9	595.7	66	65	98	SE 1	SE 1	SE 1	0	6	10≡	.	≡ 20¾-n, △ I
3	6.2	6.9	3.7	5.6	3.0	593.7	593.7	593.0	94	89	98	SE 1	SE 1	NW 1	10	10≡	10●≡	20.3	● 12¾-n mU, ≡ 12¾-n
4	-0.6	2.8	1.2	1.1	-1.4	593.3	593.1	592.2	99	85	79	NW 2	NW 2	NW 1	10≡	0	0	.	≡ n-10¾, 16-18½, ⊔ I
5	-1.8	5.3	-5.7	0.7	3.0	589.0	586.3	585.4	98	46	73	NW 1	SE 2	NW 3	9	9	10	2.2	✳ n (5./6.), ≡ 16-16¾, ⸗ III
6	-5.5	-2.7	-5.3	-4.5	-6.6	585.3	587.5	589.8	98	94	96	NW 3	NW 3	NW 1	10≡	10≡	10*≡	21.8	✳ 18-n, ≡ ⸸ n-n, ⸗ n-p
7	-5.6	-3.3	-6.8	-5.2	-7.2	589.5	589.6	589.9	98	85	98	NW 2	NW 2	NW 2	10≡	10≡	10*≡	4.8	✳ p-n, ≡ ⸸ n-n ⊠
8	-6.8	-4.8	-7.6	-6.4	-8.2	590.2	591.6	592.3	98	97	93	NW 2	NW 2	NW 2	10≡	0	0	.	≡ n-10¾, 17½-18½ ⊠
9	-5.7	-2.2	-3.6	3.8	-5.4	591.7	592.3	593.3	40	46	55	NW 2	NW 2	NW 2	0	0	0	.	⊠
10	-3.4	3.9	-0.3	0.1	-1.4	594.1	595.5	596.7	60	64	60	NW 0	SE 1	NW 1	0	0	0	.	⊠
11	-0.4	5.0	0.7	1.8	0.5	597.6	598.5	599.7	49	40	86	NW 2	NW 2	NW 1	0	0	0	.	⊠
12	1.2	6.2	2.0	3.1	2.0	600.4	600.7	600.7	55	43	65	SE 0	NW 1	NW 1	0	0	0	.	
13	3.1	7.8	3.8	4.9	4.0	600.2	600.1	599.9	39	39	40	NW 1	NW 2	NW 1	0	0	0	.	
14	4.4	11.2	3.9	6.5	5.7	599.1	598.6	598.4	37	**34**	60	NW 1	NW 1	NW 0	0	0	0	.	
15	2.8	7.9	2.7	4.5	3.9	597.1	596.9	596.5	57	54	72	SE 1	SE 1	SE 1	0	0	3	.	
16	2.6	7.7	3.0	4.4	4.0	596.1	596.6	597.5	70	54	85	NW 0	SE 0	NW 1	10	0	0	.	
17	2.9	7.5	4.2	4.9	4.7	597.3	597.7	598.5	85	69	90	NW 1	NW 1	NW 1	0	0	0	.	
18	3.4	5.6	2.5	3.8	3.8	597.7	597.5	597.3	85	72	90	NW 0	NW 1	SE 0	6	10	9	2.5	● 16¾-17
19	2.9	6.0	3.8	4.2	4.3	596.8	597.7	597.9	97	81	75	NW 1	NW 1	NW 1	6	6	0	.	≡ 15¾-20 mU
20	2.0	8.2	4.4	4.9	5.2	597.1	596.9	596.8	75	65	82	SE 1	SE 1	SE 0	0	0	6	0.6	● n (20./21.), ⊔ I
21	2.4	3.4	3.0	2.9	3.4	596.8	599.1	601.1	98	98	96	NW 1	SE 1	SE 1	10≡	10≡	10≡	1.2	≡ ☽ n-n
22	1.7	8.4	3.2	4.4	5.1	**602.0**	**602.0**	601.8	85	54	72	SE 1	SE 1	NW 0	0	0	0	.	
23	3.0	9.7	4.0	5.6	6.4	600.6	600.0	599.4	58	40	60	NW 1	SE 1	NW 1	0	0	0	.	
24	3.2	9.0	3.5	5.2	6.2	597.7	596.9	595.8	50	41	62	NW 0	SE 1	SE 0	0	0	0	.	
25	0.6	3.7	-0.6	1.2	2.4	592.9	590.6	589.2	87	85	98	NW 0	SE 1	NW 1	0	6	10*	**37.5**	● 17-19, ✳ 19-n, ⊔ I
26	-7.0	-7.0	-8.4	-7.5	-6.2	586.2	585.1	583.4	98	98	99	NW 3	NW 3	NW 3	10≡	10≡	10≡	33.2	✳ ≡ ⸸ ⸗ n-n ⊠
27	8.6	5.7	-9.4	7.9	-6.4	**582.1**	583.4	584.0	98	96	93	NW 2	NW 1	NW 2	10≡	10≡	0	4.3	✳ n-14¾ mU, ≡ n-15¾ ⊠
28	**-9.5**	-7.6	-8.0	-8.4	-6.7	584.0	585.0	586.6	95	95	97	NW 2	NW 2	NW 3	9	10≡	10≡	8.1	✳ ≡ ⸸ a-n, ⋁ ⸗ p-n ⊠
29	-7.4	-0.5	-5.2	-4.4	2.6	586.4	584.6	583.9	98	79	93	NW 3	NW 1	NW 1	6	3	10≡	4.2	✳ n (29./30.), ≡ ⋁ 19 n ⊠
30	-8.0	-8.0	-8.8	-8.3	-6.3	582.4	582.3	584.4	98	98	97	NW 1	NW 2	NW 1	10≡	10≡	10≡	2.7	✳ ≡ ⋁ n-n ⊠
31	-9.4	-5.2	-5.3	-6.6	4.4	587.2	590.3	593.0	96	95	98	NW 1	SE 1	SE 1	9	6	10*	1.9	✳ 14¾-n mU, ⋁ I ⊠
																		Summe	
Mittel	-0.8	3.3	-0.4	0.7	- -	593.6	593.8	594.0	78	70	82				4.7	4.1	4.5	145.3	

$\lambda = 7° 26'$, $\beta = 46° 57'$,
$H_b = 572.2$ m, $G = -0.04$ mm

Bern

November 1956
Beobachter: *Meteorologisches Observatorium*

Tag	Lufttemperatur 7³⁰	13³⁰	21³⁰	Mittel	Abweich. vom Normalst	Luftdruck 7³⁰	13³⁰	21³⁰	Relative Feuchtigkeit 7³⁰	13³⁰	21³⁰	Windrichtung und Stärke 7³⁰	13³⁰	21³⁰	Bewölkung 7³⁰	13³⁰	21³⁰	Niederschlag	Witterung
1	1.8	2.8	1.6	2.1	−3.1	712.7	711.8	709.9	84	82	93	NE 1	NNE 2	NNE 1	10	10	10	0.0	
2	0.0	1.9	1.7	1.2	−3.8	706.6	706.6	708.1	97	81	78	NNE 1	NE 2	E 1	10	10	9	0.1	☂ 5–10½ mU
3	0.8	2.5	0.4	1.2	−3.7	709.8	711.1	713.0	85	81	88	NE 1	NE 1	NW 0	10	10	9	.	
4	1.1	4.3	3.2	2.9	−1.8	713.1	713.5	715.6	87	73	94	S 0	SW 1	SE 1	10	10•	10	0.6	● 12¾–17½, 21–21¼
5	3.3	5.4	3.9	4.2	−0.4	716.2	717.0	719.3	96	85	91	SSE 0	W 0	SE 0	10	10•	5	0.0	● 11–17 mU, 23–24 mU
6	3.6	7.6	2.8	4.7	0.3	721.9	722.8	**724.0**	91	63	89	SE 0	NNE 1	SE 1	9	3	0	.	⌓ I, III
7	0.7	8.5	1.2	3.5	−0.8	723.1	722.2	720.8	88	65	70	E 1	SE 1	E 0	5	4	1	.	⌣ I
8	−2.8	6.4	−0.7	1.0	−3.2	718.0	715.5	714.2	95	**57**	100	S 0	NE 0	N 0	0	0	10≡	.	≡ 16¾–n, ⌣ I
9	−2.8	4.2	1.2	0.9	−3.1	714.0	713.5	714.2	99	77	94	W 0	NW 0	SE 1	4	2	2	0.4	≡ n–8¾ mU, ⌣ I
10	1.8	8.4	6.4	5.5	1.6	714.1	713.6	713.6	95	70	98	SW 0	NE 0	SE 0	9	9	10•	1.8	● 2½–3, 14¾–22 mU
11	4.0	**8.9**	7.2	6.7	3.0	711.9	710.2	709.4	92	69	78	S 0	W 0	SW 2	9	8	10	2.4	● 22¾–23¾
12	3.7	6.0	5.2	5.0	1.4	708.7	708.3	708.6	94	81	90	SW 0	NE 1	NE 1	10•	10	10	0.2	● 4¼–10¼ mU
13	4.9	5.5	3.8	4.7	1.3	708.9	709.1	711.0	91	81	90	NE 2	NNE 2	NE 2	10	10	10	0.0	
14	1.8	2.1	1.8	2.0	−1.3	711.8	711.4	712.5	98	96	92	NNE 2	NNE 2	N 1	10	10	10	0.1	☂ 0–1, 8–13 mU, ⌓ III
15	1.6	2.3	1.8	2.0	−1.2	713.3	714.2	716.3	94	94	81	NE 1	NE 2	NE 1	10	10	10	0.1	● 2–4, ☂ 12¾–19¾ mU
16	1.4	3.4	−0.4	1.5	−1.5	717.3	718.0	719.5	80	78	86	NE 2	NE 2	NNE 1	10	10	0	.	⌣ I
17	−2.8	3.6	−0.4	0.1	−2.8	718.6	717.2	715.7	98	70	89	N 0	E 0	NE 0	0	1	3	.	⌣ I, II
18	−1.7	−0.1	−0.8	−0.9	−3.6	714.3	713.7	713.4	99	91	95	N 0	N 0	NE 1	10	10	10	.	⌣ I
19	−1.2	0.4	−0.6	−0.5	−3.1	712.0	710.9	710.7	94	84	91	NE 0	SE 0	SSE 0	10	10	10	.	
20	−1.6	−0.9	−0.4	−1.0	−3.4	711.2	712.4	714.5	95	89	91	W 1	NW 0	NE 0	10	10	10	.	
21	−0.4	−1.0	−2.5	−1.3	−3.6	715.3	714.7	714.9	86	86	88	SE 0	NE 1	N 1	10	10	10	.	
22	−2.4	−1.8	−3.4	−2.5	−4.7	712.4	711.5	711.3	88	85	90	W 0	NW 0	NNE 1	10	10	10	0.0	☂ 18¾–22
23	**−3.6**	−2.6	−2.8	−3.0	−5.0	711.6	712.9	714.8	91	84	83	N 1	N 0	NE 1	10	10*	10	0.0	✳ 10½–14 mU
24	−3.1	−1.6	−1.9	−2.2	−4.1	717.0	718.2	720.3	82	82	81	N 1	N 1	NNE 1	10	10	10	.	
25	−1.7	−0.1	−0.1	−0.6	−2.3	721.3	720.8	719.8	83	81	80	NE 0	SW 1	SSW 1	10	10	10	2.4	✳ 23–24
26	0.5	4.2	5.6	3.4	1.8	717.6	717.1	714.5	99	93	80	S 0	SW 0	WSW 2	10•	9	8	0.3	✳ 0–6, ● ✶ 7½–9½, ● 9½–13 ⊠
27	5.7	7.3	7.5	6.7	5.3	712.6	710.8	710.5	73	71	71	SW 2	WSW 2	WSW 2	4	9	10	2.0	● 0–1½, 16¾–20, 23¼–24
28	8.7	7.1	1.4	5.7	4.4	704.6	**701.1**	702.3	71	73	94	WSW 3	WSW 3	SW 2	9	10•	10*	**18.7**	● 0–5½, 8¼–14¼, 17¼–19¾, *)
29	−0.2	1.2	−1.1	0.0	−1.2	702.9	705.0	706.6	91	74	94	SW 0	SW 1	SE 0	10	9	10	2.3	✳ 5¼–9¾, 11–24 ⊠
30	−2.9	0.6	−2.0	−1.4	−2.4	709.1	710.8	713.7	100	75	95	NE 0	NE 1	NE 1	5	6	4	1.4	✳ 0–4¾, 9¾–10½, 15¼–16½. ⊠ [≡ 5–7
Mittel	0.6	3.2	1.3	1.7	—	713.4	713.2	713.8	91	79	88				8.5	8.3	8.0	Summe 32.8	

*) **28.** ✳ 19¾–23½, ⸗ n–p

$\lambda = 6° 57'$, $\beta = 47° 00'$,
$H_b = 487.3$ m, $G = 0.00$ mm

Neuchâtel

November 1956
Beobachter: *Observatorium*

1	2.5	3.2	2.7	2.8	3.3	720.7	719.9	718.0	78	81	83	NE 2	NE 2	NNE 2	10	10	10	.	⸗ a
2	1.3	3.8	2.5	2.5	−3.4	714.2	714.2	715.9	87	68	75	NNE 2	ENE 1	N 1	10	10	10	.	
3	2.2	4.9	2.2	3.1	−2.7	717.4	718.9	720.8	85	65	78	ENE 1	ENE 1	NE 1	10	10	10	.	
4	1.9	6.5	4.7	4.4	−1.2	721.1	721.3	723.3	85	76	93	NE 1	SSW 1	NNE 1	10	9	10	0.6	● 13–18 mU, 5¼
5	5.2	6.1	5.1	5.5	−0.0	723.8	724.8	727.3	83	82	87	WSW 1	W 1	E 0	9	10•	10•	0.2	● tr 13–21½ mU
6	4.0	**10.9**	5.3	6.7	1.4	729.7	730.6	**731.8**	93	55	73	NE 1	ENE 2	NNE 1	8	5	0	.	
7	0.7	10.7	3.6	5.0	0.2	731.1	730.3	728.4	96	**54**	74	NNE 0	ENE 2	NE 0	1	0	0	.	⌣ I
8	0.2	1.9	0.4	0.8	−4.2	726.0	723.8	722.2	98	93	96	NNE 1	NE 0	NE 1	10≡	10≡	10≡	.	≡ n–n, ⌣ I
9	0.7	6.1	2.3	3.0	−1.9	721.8	721.3	722.0	98	82	96	NNE 0	E 1	E 0	10≡	3	10≡	0.4	≡ n–12½, 21–n
10	3.0	6.7	6.0	5.2	0.5	721.8	721.3	721.4	99	94	97	E 1	ESE 1	ESE 1	10•≡	10•	10	0.6	● 1–2, 7–17 mU, ≡ n–a
11	5.3	9.2	4.9	6.5	1.9	719.7	717.9	717.3	97	72	94	E 0	SSW 1	W 2	10	8	10•	5.4	● 20¼–23¼, ≡ n–12
12	4.6	6.9	5.9	5.8	1.4	716.0	715.6	716.3	97	81	82	E 1	ENE 1	NNE 1	10	9	10	.	● 4¼–5¾
13	6.0	6.9	5.3	6.1	1.8	716.6	716.7	718.8	85	79	81	NNE 2	NE 3	NE 2	10	10	10	.	⸗ 4¾–n mU
14	3.1	3.9	2.8	3.3	−0.8	719.6	719.5	720.5	90	79	93	NNE 2	ENE 2	NE 1	10	10	10•	0.1	● 21–21½
15	2.9	4.6	3.6	3.7	−0.3	721.1	722.0	723.8	86	66	68	NE 1	NE 2	NNE 2	10	10	10	.	⸗ 11–n mU
16	2.6	6.7	3.0	4.1	0.2	725.2	725.8	727.5	76	57	81	NE 2	ENE 2	NNE 1	10	3	10	.	⸗ n–16 mU
17	1.3	6.9	2.2	3.5	−0.2	726.5	725.1	723.6	91	57	82	ENE 0	ENE 2	NE 1	10	1	3	.	
18	0.9	2.2	0.5	1.2	−2.4	722.1	721.5	721.3	93	82	90	E 0	E 1	E 1	10	10	10		
19	0.5	1.7	1.2	1.1	−2.4	719.7	718.5	718.4	94	85	85	NE 1	E 1	NE 1	10	10	10	.	
20	0.5	1.9	0.2	0.9	−2.4	719.1	720.2	722.7	90	82	89	N 1	NE 1	ENE 1	10	10	10	.	
21	0.6	0.5	−0.8	0.1	−3.1	723.3	722.0	722.9	83	84	81	NE 1	E 2	NNE 1	10	10	10	.	
22	−1.6	−0.7	−1.9	−1.4	−4.5	720.4	719.3	719.1	84	85	85	NNE 1	NE 1	NE 1	10	10	10	.	
23	−1.9	−1.6	**−2.2**	−1.9	−4.8	719.5	720.9	722.9	80	76	78	ENE 1	NE 0	ENE 1	10	10	10	0.1	✳ fl 8–11
24	**−2.2**	−0.7	−0.9	−1.3	−4.1	724.8	726.9	728.4	72	69	72	NE 1	NE 2	NE 1	10	10	10	.	
25	−0.8	0.9	0.9	0.3	−2.4	729.1	728.9	727.9	68	64	76	N 1	WSW 1	SW 2	10	10	10	1.0	⸗ 19¾–n mU
26	2.1	5.5	5.5	4.4	1.9	725.5	725.0	722.5	93	79	88	SW 2	WSW 2	SW 2	10	9	8	.	● ✳ 0¾–1¼, 4¾–5¾, ⸗ a–p mU
27	5.5	6.7	6.4	6.2	3.8	720.5	718.9	718.5	85	77	91	SW 2	SW 3	SW 2	10	10•	10•	4.0	● 13½, 16½ 24, ⸗ a p
28	6.9	6.2	3.1	5.4	3.1	712.5	**708.7**	709.4	91	94	88	SW 3	SW 3	SSW 3	10	10	10	**14.6**	● 0–14½, 15¾–22½, ⸗ n–n, ⸗ 12–13
29	0.7	1.8	0.1	0.9	1.2	710.4	712.5	714.6	87	68	97	WNW 1	WSW 1	WSW 1	10*	8	10	3.4	● ✳ 5½–9, ✳ 16½ 20½ ⊠
30	−1.1	1.7	−0.1	0.2	−1.8	716.8	718.5	721.5	91	70	89	ENE 1	NE 2	NE 2	8	9	10	.	✳ 0¾–1¼ ⊠
Mittel	1.9	4.4	2.5	2.9	—	721.2	721.0	721.6	88	75	85				9.5	8.5	9.0	Summe 30.4	

November 1956
Beobachter: *Frl. H. Nager*

Altdorf

$\lambda = 8° 38'$, $\beta = 46° 53'$,
$H_b = 456.3$ m, G = −0.08 mm

Tag	Lufttemperatur 7³⁰	13³⁰	21³⁰	Mittel	Abweich. vom Normalst	Luftdruck 7³⁰	13³⁰	21³⁰	Relative Feuchtigkeit 7³⁰	13³⁰	21³⁰	Windrichtung und Stärke 7³⁰	13³⁰	21³⁰	Bewölkung 7³⁰	13³⁰	21³⁰	Niederschlag	Witterung
1	1.1	5.9	4.4	3.8	−3.1	723.2	721.6	720.1	96	80	90	E 0	W 1	NW 0	7	6	10	0.0	●tr 9
2	3.4	3.8	3.4	3.5	−3.2	716.2	716.2	718.5	92	82	85	N 0	NW 1	NW 0	10	10	10	.	
3	3.3	5.0	2.2	3.5	−3.1	719.5	721.1	723.4	92	74	88	N 0	N 0	NW 0	10	10	10	.	
4	2.6	5.8	3.7	4.0	−2.5	723.2	723.7	725.8	90	65	97	N 0	N ½	NW 0	10	10●	10●	5.0	⊽ 13½–n mU
5	4.8	7.2	5.2	5.7	−0.6	725.7	726.7	729.7	100	85	91	E 0	N 0	NW 0	10	10	10•	2.7	☽ a, ● p–n mU
6	4.8	7.9	5.4	6.0	−0.2	732.3	733.1	**735.0**	99	67	92	NE 0	NW 0	NE 0	10●	10	10	0.3	● n–8
7	7.8	9.0	1.7	6.2	0.1	734.2	733.4	731.6	90	**56**	86	E 0	NW 0	NE 0	4	1	0	.	
8	−0.3	4.2	0.3	1.4	−4.5	728.1	726.3	724.0	92	87	92	NE 0	NW 0	S 0	5	10	3	.	
9	0.9	3.9	0.8	1.9	−3.9	724.1	723.9	725.0	99	92	92	N 0	NE 0	NE 0	10≡	6	0	.	≡ n–a
10	3.1	8.8	3.0	5.0	−0.6	724.5	723.7	724.2	81	69	87	NE 0	NE 0	SE 0	10	6	4	.	
11	4.8	**10.2**	4.4	6.5	1.0	721.9	720.0	719.1	85	62	90	NE 0	NW ½	NW 0	8	3	4	0.5	● n (11./12.)
12	5.3	7.8	5.7	6.3	0.9	718.4	717.9	719.1	98	91	97	NE 0	NE 0	NE 0	10●	10●	10	1.6	● n–p
13	5.4	8.6	6.5	6.8	1.6	719.6	718.9	721.1	98	73	91	NE 0	N 0	NE 0	10	8	10	0.1	☽ n (13./14.) mU
14	5.1	5.6	4.6	5.1	0.0	721.9	721.1	722.4	94	87	90	N 0	NW 0	NE 0	10	10	10	3.0	● n (14./15.)
15	3.3	4.6	4.3	4.1	−0.9	723.9	724.6	726.5	96	88	90	E 0	NW 0	N 0	10●	10	10	1.1	● n–a
16	3.9	5.7	4.4	4.7	−0.1	728.1	728.4	730.1	90	70	70	NE 0	N 0	E 1	10	10	10	.	
17	2.0	5.2	0.4	2.5	−2.2	728.9	727.3	726.6	85	69	90	N 0	E 0	SE 0	10	2	2	.	
18	**−1.2**	3.5	2.4	1.6	−3.0	724.6	723.5	723.7	90	80	87	SE 0	NW 0	N 0	2	10	10	.	⌴ |
19	1.6	3.1	1.2	2.0	−2.4	722.3	721.1	720.8	81	76	87	E ½	E 0	NE 0	10	10	10	.	⌴ |
20	−0.4	2.6	1.3	1.2	−3.1	721.8	722.8	725.3	81	82	86	E 0	E 0	SE 0	10	10	10	.	
21	1.8	2.9	1.7	2.1	−2.1	725.7	724.8	725.1	83	80	83	E 0	NE 1	NE 0	10	6	10	.	
22	0.8	1.4	0.7	1.0	−3.0	722.6	721.4	721.4	80	76	84	E 0	NE 0	E 0	10	10	10	.	
23	−0.3	−0.6	−0.4	−0.4	−4.3	721.8	723.2	725.3	82	81	80	N 0	NW ½	N 0	10	10	10	.	
24	−0.2	0.6	0.4	0.3	−3.4	726.9	728.6	730.1	85	80	84	NW 0	N 0	NW 0	10	10	10	.	
25	0.6	1.9	0.8	1.1	−2.5	731.8	730.8	729.9	71	64	80	E ½	N 0	N 0	10	7	10	7.1	✶ n (25./26.)
26	1.1	2.2	2.4	1.9	1.6	726.9	726.3	723.6	99	100	100	E 0	NE 0	NW 0	10	10	10	2.4	● n (26./27.) ⊠
27	2.6	5.2	4.8	4.2	0.9	721.2	719.0	720.2	100	93	100	NE 0	NW 0	E ½	10	10	10	5.4	● p (27. 28.) ⊠
28	4.7	7.2	4.9	5.6	2.4	713.7	**708.9**	710.8	100	96	95	S 0	SW 0	NW 0	10●	10●	10●	**11.5**	● n–n, ✶ n (28./29.)
29	1.8	2.3	1.3	1.8	−1.3	712.6	714.3	717.2	93	95	91	E 0	NE 0	NW 0	10•	8	10	5.1	✶ n–10, n (29./30.), ☽ 18– ⊠
30	0.4	1.8	1.4	1.2	−1.7	718.7	720.4	723.8	95	75	71	E 0	NW 1	NW 1	10	10*	10	0.0	⊽ 13½ [abd
Mittel	2.5	4.8	2.8	3.4	—	723.5	723.1	724.0	91	79	88				9.2	8.4	8.4	Summe 45.8	

November 1956
Beobachter: *Observatoire*

Genève

$\lambda = 6° 09'$, $\beta = 46° 12'$,
$H_b = 405.0$ m, G = −0.05 mm

1	4.3	5.6	4.3	4.7	−2.2	727.2	726.7	724.8	77	73	82	NE 1	NE 1	NE 1	10	10	10	.	
2	3.5	4.8	4.6	4.3	−2.4	721.2	721.5	722.6	79	67	70	NNE 2	NE 1	NE 1	10	10	5	.	
3	3.1	5.9	5.0	4.7	−1.9	723.8	725.3	727.5	72	67	66	NE 1	NE 2	NE 2	6	9	8	.	
4	2.6	7.6	5.5	5.2	−1.2	728.0	728.5	730.7	79	64	83	NE 0	NE 1	SE 0	6	7	8	0.2	● 23–23¾
5	4.5	9.2	7.6	7.1	0.8	731.6	731.7	734.0	89	60	69	E 1	NNE 1	NE 1	10	10	9	.	
6	4.7	10.1	5.0	6.6	0.5	726.5	736.9	**738.6**	88	65	79	NNE 0	NNE 2	NNE 0	1	1	0	.	
7	0.1	8.0	3.8	4.0	−2.0	738.1	737.0	735.6	94	65	85	NE 0	N 1	S 0	2	1	2	.	⌴ |
8	**−1.2**	6.8	1.6	2.1	−3.8	733.2	730.7	729.1	95	75	98	NE 0	N 1	NE 0	0≡	0	8	.	≡ n–a mU, ⌴ |
9	1.5	4.5	2.9	3.0	−2.7	728.8	728.5	729.4	99	88	95	NE 0	N 1	E 0	10≡	5	2	.	≡ n–a
10	4.5	10.9	7.8	7.7	2.1	729.1	728.7	728.8	96	65	86	NE 1	NNE 1	NNE 0	10≡	10	5	0.3	● 16–16½, ≡ n–a
11	6.9	**12.0**	6.2	8.4	2.9	726.9	725.1	724.8	89	**56**	89	NNE 1	SW 2	W 1	10	9	10	**9.6**	● 17–20¾
12	5.1	7.7	6.1	6.3	1.0	723.4	722.9	723.2	94	77	88	NNE 0	NNE 1	NE 1	10	10	9	.	● 2–3¾
13	6.2	8.3	6.8	7.1	1.9	723.1	723.0	724.6	85	71	74	NE 0	NE 2	NNE 2	10	10	10	.	
14	5.1	5.3	4.9	5.1	0.0	726.2	726.2	727.4	80	77	79	NNE 2	NNE 1	NE 1	10	10	10	.	
15	5.0	6.1	4.9	5.3	0.4	727.5	728.2	729.7	75	70	73	NE 1	NE 2	NE 3	10	10	10	.	⸗ p–n
16	4.2	5.4	5.0	4.9	0.1	731.1	732.7	734.0	71	66	70	NE 2	NE 1	NE 1	10	10	10	.	
17	4.1	5.3	3.7	4.4	−0.3	733.5	732.2	730.6	75	67	79	NE 1	NNE 1	N 1	10	5	8	.	
18	4.2	4.6	2.9	3.9	−0.7	729.0	729.1	728.4	84	75	83	NE 1	NE 1	NE 1	10	10	10	.	
19	2.3	2.9	2.5	2.6	−1.8	726.8	725.7	725.9	84	78	81	NE 1	NE 1	NE 1	10	10	10	.	
20	1.6	3.1	2.8	2.5	−1.8	726.2	727.1	729.3	85	80	82	NE 0	N 0	NE 0	10	10	10	.	
21	1.7	2.5	1.8	2.0	−2.2	730.3	729.8	729.8	82	75	80	NE 1	NE 1	NNE 1	10	10	10	.	
22	0.5	1.5	0.6	0.9	−3.2	737.6	726.4	726.1	81	79	83	ENE 1	N 1	SW 1	10	10	10	.	
23	−0.4	0.0	−0.7	−0.4	−4.3	726.4	728.1	730.0	84	74	79	SSE 1	SE 1	NW 1	10	10	10	.	∼ |
24	0.0	1.3	0.9	0.7	−3.1	722.2	733.2	735.6	71	65	65	NNE 2	N 2	NE 1	10	10	10	.	
25	0.7	1.6	0.7	1.0	−2.7	736.7	736.9	736.6	69	65	72	NE 0	SE 1	NNE 1	10	10	10	0.4	
26	1.6	6.3	4.6	4.2	0.6	734.1	733.1	731.0	85	73	89	NNW 1	NNE 0	NE 0	10	10	9	.	● ⸗ 1¾–2¼
27	5.4	9.5	7.0	7.3	3.9	729.4	728.1	727.1	82	62	89	SW 1	SW 1	NNE 0	5	9	2	0.1	● 15, ⌒ 8½
28	9.1	9.1	4.9	7.7	4.4	721.8	**717.9**	719.6	78	77	78	SW 2	S 2	S 2	8	10●	10	6.8	● 10¾–14¾ mU, 20¾–21, 23–23½, ⊜ 21
29	2.2	4.2	0.2	2.2	−1.0	718.4	720.1	722.0	88	61	88	SW 2	NE 1	NE 1	9	7	5	0.7	● 11¾–11¾, 15¾–16, 19¾–19¾, 23–23½.
30	2.2	3.7	1.9	2.6	−0.5	723.3	724.9	727.5	72	64	74	NE 2	NE 2	NNE 3	10	5	4	.	⸗ n–n mU [✶ 11¾, △ 15¾
Mittel	3.2	5.8	3.9	4.3	—	728.4	728.2	728.8	83	70	80				8.6	8.3	7.8	Summe 18.1	

$\lambda = 8° 34'$, $\beta = 47° 23'$,
$H_b = 569.4$ m, $G = -0.01$ mm

Zürich

November 1956
Beobachter: *Meteorologische Zentralanstalt*

Tag	Lufttemperatur 7³⁰	13³⁰	21³⁰	Mittel	Abweich. vom Normalst	Luftdruck 7³⁰	13³⁰	21³⁰	Relative Feuchtigkeit 7³⁰	13³⁰	21³⁰	Windrichtung und Stärke 7³⁰	13³⁰	21³⁰	Bewölkung 7³⁰	13³⁰	21³⁰	Niederschlag	Witterung
1	1.3	5.0	0.5	2.3	−2.8	713.6	712.3	710.8	83	60	87	ENE 1	NE 2	ENE 2	10	6	10	.	
2	0.5	1.9	0.9	1.1	−3.8	706.8	706.6	708.6	86	75	86	NNE 1	NNW 1	NE 1	10	10	10	0.1	⌓ I
3	0.8	3.1	0.9	1.6	−3.2	710.2	711.3	713.3	87	67	79	NNE 1	NE 1	SSE 0	10	10	10	.	⌓ III
4	1.3	3.3	3.5	2.7	−1.9	712.9	713.4	715.3	81	80	91	S 1	SSW 1	S 1	10	10●	10●	4.4	● 13¼–22¾, ⌓ I
5	4.1	5.1	4.9	4.7	0.2	715.7	716.6	719.1	88	75	81	SW 1	SW 1	SSW 1	10	10	10	1.1	● 21½–24
6	4.4	7.3	5.4	5.7	1.4	722.0	723.0	**724.1**	83	66	80	SSW 1	S 1	WNW 1	10	9	10	0.1	⌓ III
7	2.3	9.9	3.1	5.1	0.9	723.5	722.7	721.2	94	**53**	81	S 1	NE 1	SSE 1	10	3	0	0.1	≡ 8–9¾, ⌣ I, ⌓ III
8	−1.9	1.4	0.0	−0.2	−3.8	718.0	715.9	714.1	96	80	94	NE 1	SSE 1	NE 1	10≡	10	10≡	.	≡ 5¼–10¼, 21½–n, ⌣ I
9	−0.7	6.5	0.4	2.1	−1.8	713.5	713.4	714.2	95	58	95	SSE 1	WSW 1	SSE 0	10≡	0	0≡	0.2	≡ n–9½, p–n
10	2.7	6.2	6.6	5.2	1.5	714.1	713.5	713.7	82	78	88	SSE 1	SW 1	SSE 1	6	10	10	1.9	●tr fr, 13¼–18 mU, 20¼–20¾, 21¾–23
11	4.7	**12.5**	5.5	7.6	4.0	711.8	710.2	709.0	79	63	65	E 1	WNW 1	W 0	9	6	10	0.1	● 17¾–19¾, ⌓ III
12	4.6	7.0	5.2	5.6	2.2	708.7	708.1	709.0	84	71	89	NNW 1	NNE 1	S 0	10●	9	10	0.0	●tr 7½, ⌓ III
13	4.9	5.3	2.8	4.3	1.0	709.7	709.9	711.9	82	75	87	NE 1	NE 2	NNE 1	10	10	10	0.0	⌓ I
14	2.1	2.5	1.9	2.2	−0.9	712.4	711.5	712.6	90	84	86	NNE 1	NNE 2	N 1	10●	10	10	3.6	● a, p mU, ⌓ III
15	1.5	2.2	1.3	1.7	−1.3	713.7	714.7	717.0	94	88	82	NW 1	ENE 1	NNE 1	10•	10	10	1.2	● 2¾–9¾, ●tr p, ⌣ III
16	0.9	4.9	−0.6	1.7	−1.1	718.4	718.9	719.9	83	59	86	NNE 1	ENE 2	ENE 1	10≡	3	0	0.1	≡ n–11, ⌣ I, ⌓ III
17	−1.0	5.8	−0.5	1.4	−1.3	718.8	717.5	716.2	97	54	90	SE 1	NE 1	ENE 1	10	1	2	0 0	⌣ I
18	−0.7	4.3	−1.0	0.9	−1.6	714.4	713.5	713.5	91	65	90	E 1	SW 1	SE 0	10	1	10	0.0	⌓ I
19	0.4	0.9	−1.3	0.0	−2.4	712.1	710.9	710.4	86	74	86	SSW 0	ESE 1	SSW 0	10	10	10	.	
20	−0.3	1.3	0.9	0.6	−1.6	711.3	712.6	714.8	83	72	73	ESE 1	SE 1	NE 1	10	10	10	.	
21	−2.5	−2.8	−3.2	−2.8	−4.9	715.9	715.7	715.3	76	83	80	NNE 1	NNE 2	NE 1	10	10	10	.	
22	−4.1	−3.6	−4.0	−3.9	−5.8	712.7	712.0	711.4	81	85	84	NE 1	NNE 1	NNE 1	10	10	10	.	
23	**−4.6**	−3.1	−3.5	−3.7	−5.5	712.1	713.3	715.2	72	59	67	N 1	WNW 0	NNW 1	10	10	10	.	
24	−3.1	−1.1	−1.3	−1.8	−3.4	717.3	718.3	720.6	70	65	62	NNE 0	NNE 1	NNE 1	10	10	10	.	
25	−1.9	−0.9	0.3	−0.8	−2.3	721.2	720.4	718.6	78	65	63	SSW 1	SW 2	SSW 2	10	10	10	3.7	⸗ 21¾–24 mU
26	1.5	5.0	5.7	4.1	2.8	716.4	715.5	713.5	91	74	72	WSW 2	WSW 2	WSW 3	10●	10	10	0.6	● 1¾–8¾, 10½–11, ⸗ 0–24 mU
27	6.3	7.2	7.2	6.9	5.7	710.8	709.3	709.4	60	57	68	SW 3	SW 3	SW 3	9	10	10●	4.0	● 19¼–19¾, 21½, ⸗ 0–24
28	7.9	7.3	0.4	5.2	4.2	703.2	**698.4**	700.8	67	77	95	SW 2	SSW 3	W 1	10	10●	10*	**14.2**	● 1¾–5¾, 10½–10¾, 12·–14¾, *)
29	−0.2	1.1	−0.1	0.3	−0.6	702.5	704.4	706.5	92	67	78	WSW 1	SSW 2	SSW 1	10*	10*	10	1.0	✶ 0–2¼, ✶ fl 7–9, *) ⊠
30	−1.2	1.7	−2.5	−0.7	−1.5	709.1	710.8	714.3	86	66	89	N 1	NNE 1	NNE 1	9	5	9	2.9	✶ 3½–4¾, 11–11¾, 15¾–17 ⊠
Mittel	1.0	3.6	1.3	2.0	—	713.4	713.2	713.8	84	70	82				9.8	8.1	8.7	Summe 39.3	

*) 28. ● 17¼–20¾, ✶ 20¾–24, ⸗ 0–21, 22½–24 29. ✶fl 13½–p mU, ⸗ 0–2½

$\lambda = 6° 32'$, $\beta = 46° 51'$,
$H_b = 1601$ m, $G = -0.16$ mm

Chasseron

November 1956
Beobachter: *J. Liardon*

1	−3.8	−0.8	−2.0	−0.9	—	627.2	627.6	626.2	100	80	70	E 3	S 3	NE 2	7	8	3	.	⸗ n–n mU ⊠
2	−4.0	−5.7	−5.0	−4.9	—	621.4	621.7	623.2	85	100	45	E 4	ENE 3	NE 3	3	8	9	.	⸗ n–n ⊠
3	−5.8	−4.4	−5.5	−5.2	—	624.5	626.1	627.7	100	100	100	NE 3	E 2	N 2	10≡	10*	8	.	≡ n–15¾ mU, I ⊠
4	−3.0	−1.8	−1.6	−2.1	—	628.7	628.8	631.0	100	100	100	— 0	NW 3	N 3	9	10*≡	10*≡	4.5	≡ ✶ 8½–n, ⸗ a–n ⊠
5	−2.6	−1.8	−2.8	−2.4	—	631.7	632.1	633.8	100	100	100	WNW 3	WNW 2	N 3	10*≡	10*≡	10≡	2.2	✶ n–p, ● 11½–12, ≡ n–n, ⊠
6	−2.2	−0.6	−1.0	−1.3	—	636.5	637.4	**638.4**	100	100	60	N 2	E 2	E 3	10≡	8	2	.	≡ n–8½, ⸗ III [⸗ n-n Um ⊠
7	0.0	3.0	5.0	2.7	—	637.5	637.5	636.6	60	43	20	E 3	E 3	E 3	4	2	2	.	⊍ III, ⸗ n–n ⊠
8	5.0	**8.4**	5.8	6.4	—	633.3	632.3	630.7	**16**	22	22	SE 3	S 2	S 3	0	0	0	.	⸗ n–n mU ⊠
9	3.4	4.0	1.8	3.1	—	629.4	629.9	630.2	24	54	82	W 4	W 3	W 3	0	3	6	.	⸗ n–n ⊠
10	1.4	1.2	0.8	1.1	—	630.5	629.9	629.4	100	100	100	W 3	WNW 3	W 3	10●–	10●≡	10●≡	3.4	● 7½–p mU, ≡ ⸗ n–n ⊠
11	0.6	1.4	−2.0	0.0	—	627.3	626.7	625.5	100	100	100	W 3	SW 3	WNW 3	10	9	10*≡	8.7	● 17½–n, ≡ n-n mU, ⸗ n-n ⊠
12	−3.0	−1.0	−2.2	−1.7	—	624.4	624.3	624.5	100	100	100	W 2	— 0	E 3	8	10*≡	10–	0.0	✶ 13½, ≡ n-7¾, 7¾-19 mU, ⊠
13	−2.0	−2.0	−2.8	−2.3	—	624.6	624.6	626.0	100	100	100	E 3	E 3	E 3	10≡	10≡	10≡	.	≡ ∨ ⸗ n–n [19-n, ⸗ III ⊠
14	−4.4	−3.0	−4.2	−3.9	—	626.6	626.7	627.1	100	100	100	E 3	ENE 2	N 1	10■	10≡	10–	.	≡ ∨ n–n, ⸗ I ⊠
15	−5.0	−4.1	−5.6	−4.9	—	627.8	628.7	630.1	100	100	100	N 1	E 2	E 2	10≡	10≡	10≡	.	≡ ∨ n–n ⊠
16	−6.0	−4.4	−5.5	−5.3	—	630.7	631.9	632.3	100	100	100	E 4	E 3	E 3	10≡	10≡	0	.	≡ ∨ ⸗ n–n mU ⊠
17	−5.0	−3.2	−5.0	−4.4	—	632.0	631.9	630.2	100	100	100	E 3	E 3	E 3	2	2	2		⸗ n–n ⊠
18	−4.8	−1.0	−2.0	−2.6	—	628.8	628.6	627.9	100	61	72	ESE 2	ESE 2	E 2	2	3	2	.	
19	−1.6	−1.2	−2.4	−1.7	—	626.8	625.7	625.6	84	70	75	ESE 1	— 0	NNW 2	2	2	2	.	
20	−1.2	0.8	−1.0	−0.5	—	626.1	627.4	629.1	68	52	52	S 2	WNW 2	E 2	2	2	2	.	
21	−0.4	1.0	−1.4	−0.3	—	629.6	629.4	628.9	44	61	66	E 2	N 2	— 0	3	0	0	.	
22	−3.0	−3.4	−8.4	−4.9	—	626.5	625.3	624.7	72	63	100	— 0	NW 2	WNW 1	3	6	10	.	≡ 18–n, ⌣ I ⊠
23	−10.0	−9.0	−10.2	−9.7	—	624.7	626.0	627.5	100	100	100	WSW 1	WSW 1	— 0	10≡	10≡	10	.	≡ ∨ n–n ⊠
24	**−10.6**	−9.2	−10.0	−9.9	—	629.1	630.8	632.2	100	100	100	N 1	E 1	E 1	10≡	10–	10≡		≡ n–n ⊠
25	−9.8	−5.8	−4.2	−6.6	—	633.8	634.2	634.0	100	100	84	E 1	NW 2	WNW 4	2	4	8	4.2	✶ n (25./26.), ⸗ III ⊠
26	−3.0	−0.4	−1.8	−1.7	—	632.1	632.1	630.3	100	100	100	W 4	W 4	W 4	10*≡	10●–	10●	6.4	✶ n–a, ● a–n, ≡ ⸗ n–n ⊠
27	−2.0	−1.0	−0.8	−1.3	—	627.0	626.8	627.3	100	100	100	W 5	W 5	W 5	10●–	10●–	10*≡	4.2	● n p, ✶ p n, ≡ ⸗ n n ⊠
28	−0.0	1.4	−4.4	−1.9	—	620.7	**616.8**	627.3	100	100	100	W 6	W 6	NNW 6	10*	10*	10*	**34.2**	✶ ≡ ✢ ⸗ n n ⊠
29	−7.4	−7.6	7.4	−7.5		617.7	619.5	621.4	100	100	100	WNW 3	WNW 4	NNW 3	10*≡	10*	10*≡	20.2	✶ ≡ ⸗ n–n ⊠
30	−8.0	−7.4	−8.6	−8.0	—	623.5	624.7	626.9	100	100	100	NE 3	N 3	E 3	10*≡	10*≡	10*≡	11.2	✶ ≡ ⸗ n–n ⊠
Mitte	−3.2	−2.0	−3.0	−2.8	—	628.0	628.2	628.5	88	87	85				6.9	7.2	6.9	Summe 99.2	

November 1956
Beobachter: *Stationspersonal Rh. B.*

Bever

$\lambda = 9° 53'$, $\beta = 46° 33'$,
$H_b = 1711.8$ m, G = –0.26 mm

Tag	Lufttemperatur 7³⁰	13³⁰	21³⁰	Mittel	Abweich. vom Normalst.	Luftdruck 7³⁰	13³⁰	21³⁰	Relative Feuchtigkeit 7³⁰	13³⁰	21³⁰	Windrichtung und Stärke 7³⁰	13³⁰	21³⁰	Bewölkung 7³⁰	13³⁰	21³⁰	Niederschlag	Witterung
1	-11.0	0.1	-1.2	-4.0	-3.5	623.4	622.4	618.5	100	59	100	SW 0	SW 0	SW 0	9	9	8	0.3	✳ n (1./2.)
2	-2.6	1.7	-4.0	-1.6	-0.9	612.2	609.9	612.8	100	71	65	N 0	E 0	NE 0	10*	10	10	0.0	✳ 6–9
3	-5.9	-1.2	-8.8	-5.3	-4.4	614.6	615.1	617.6	78	52	87	NE 1	N 0	E 1	7	8	0	.	
4	-14.5	0.1	-1.4	-5.3	-4.2	618.9	618.3	619.4	98	54	96	SW 0	E 0	E 1	0	9	10*	0.3	✳ 15–n
5	-2.5	-0.2	-2.6	-1.8	-0.5	619.9	621.4	624.0	95	63	86	S 0	W 0	SW 0	10*	10*	10	0.0	✳ 7–n mU
6	-2.9	1.3	-4.2	-1.9	-0.4	625.4	626.8	**628.9**	88	56	82	SE 0	NW 0	SW 0	10*	9	4	0.0	✳ fl n–9
7	-10.2	0.2	-7.6	-5.9	-4.2	**628.9**	628.3	628.5	100	58	92	SW 0	SW 0	SW 0	7	9	9	.	
8	-11.2	4.8	-9.4	-5.3	-3.4	626.7	624.2	624.0	96	40	93	SW 0	SW 0	SW 0	0	0	0	.	≡ 7¾–8
9	-13.4	3.0	-8.7	-6.4	-4.3	622.5	621.0	622.0	99	46	88	SW 0	SW 0	SW 0	0	0	0	.	
10	-10.8	1.9	-3.5	-4.1	-1.8	621.8	620.5	621.8	96	52	93	SW 0	SW 0	SW 0	6	0	0	.	
11	-3.6	0.7	-0.5	-1.1	1.4	621.1	619.4	618.1	90	92	98	SW 0	SW 1	SW 0	10	9	10	**3.9**	✳ 12–16 mU, 16–23
12	-2.2	-0.2	-0.9	-1.1	1.6	615.7	615.3	616.2	100	100	100	SW 0	NE 0	NE 0	10	10*	10	1.5	✳ 9–p mU
13	-5.0	-0.2	-2.0	-2.4	0.5	617.4	617.6	619.1	90	78	95	NW 0	NE 0	NE 0	10	10	5	.	
14	-4.8	3.2	-0.0	-0.5	2.6	618.5	617.6	617.5	100	69	100	NE 0	NE 0	SW 0	10	7	10	3.3	△ 19, ✳ n (14./15.)
15	-1.2	-0.1	-2.1	-1.1	2.2	617.8	618.0	619.6	98	77	80	NE 1	NE 1	NE 1	10	10	10	.	
16	-4.2	-0.3	-12.5	-5.7	-2.2	622.4	623.5	625.0	85	65	98	NE 1	NE 1	SW 0	9	6	4	.	
17	-16.2	-1.0	-12.5	-9.9	-6.2	624.2	622.8	622.5	94	61	98	SW 0	SW 0	SW 0	1	0	0	.	
18	-15.4	-0.2	-12.8	-9.5	-5.6	621.3	620.5	620.6	98	52	100	W 0	SW 0	SW 0	0	0	0	.	∨ I
19	**-16.6**	-1.4	-9.4	-9.1	-5.0	619.0	617.3	617.3	97	48	94	SW 0	SW 0	SW 0	0	0	10	.	
20	-11.4	-1.1	-12.8	-8.4	-4.1	618.2	618.4	621.8	99	56	97	SW 0	SW 0	SW 0	10	0	0	.	
21	-13.3	-2.6	-11.0	-9.9	-4.5	622.4	619.6	620.8	98	68	99	SW 0	SW 0	SW 0	4	1	4	.	
22	-16.4	-2.8	-7.2	-8.8	-4.1	617.6	615.4	614.9	100	53	88	SW 0	SW 0	SW 0	2	2	8	.	∨ I
23	-10.2	-2.0	-7.2	-6.5	-1.6	615.6	615.8	617.9	98	69	95	SW 0	SW 0	NE 1	10	5	7	.	
24	-8.4	-4.5	-9.6	-7.5	-2.4	620.0	620.9	623.9	100	78	100	NE 1	E 0	SW 0	10	9	0	.	
25	-13.8	-3.6	-7.6	-8.3	-3.0	624.0	623.7	623.2	100	62	83	NW 0	N 0	SW 0	10	1	0	.	≡ n–9, ∨ I
26	-1.1	-3.3	4.0	2.1	7.6	620.7	620.7	619.1	100	62	52	W 0	NW 0	E 0	10	10	2	0.3	✳ 9–11
27	-0.2	**-8.0**	1.6	3.1	8.8	617.6	615.4	616.5	63	**38**	84	NW 0	N 0	W 0	2	8	4	0.0	✳ 19–20
28	1.9	0.9	-2.8	0.0	5.9	612.3	608.9	608.4	67	63	82	SW 0	SW 2	SW 1	10	9	10	1.7	✳ 16½–n mU, ⚲ p
29	-11.2	4.5	-9.0	-8.2	-2.2	**608.2**	608.6	611.3	88	57	65	SW 1	NW 0	SW 0	8	9	10	.	
30	-7.8	6.6	-14.0	-9.5	-3.3	612.3	613.2	617.0	63	61	80	W 0	NW 1	SW 0	7	10	1	.	
Mittel	-8.2	-0.1	-6.0	-4.8	—	619.4	618.7	619.6	93	62	89				6.7	6.0	5.2	Summe 11.3	

November 1956
Beobachter: *Couvent des Capucins*

Sion

$\lambda = 7° 22'$, $\beta = 46° 14'$,
$H_b = 548.6$ m, G = –0.14 mm

1	5.6	**14.9**	2.8	7.8	1.1	715.3	713.0	712.4	56	**41**	99	N 0	E 1	W 0	9	7	0	.	⊔ I
2	2.8	3.9	3.0	3.2	-3.3	708.1	707.8	710.1	99	85	86	NW 0	W 1	NNW 1	10	10	10	.	⊔ I
3	2.3	5.8	1.8	3.3	-3.0	711.7	712.6	715.0	95	71	90	N 0	NW 1	NNE 0	10	10	0	.	⊏ I
4	-0.1	5.8	3.8	3.2	-3.0	716.7	716.0	717.5	87	66	100	N 0	N 0	N 0	2	10	9	0.4	● 18–19½, ⊔ I
5	3.4	10.0	5.2	6.2	0.2	718.2	717.9	720.4	98	55	88	N 0	WSW 1	NW 0	7	8	3	.	⊏ I
6	2.9	8.4	3.6	5.0	-0.8	723.7	723.9	**726.0**	99	59	80	NW 0	N 0	N 0	2	1	0	.	⊏ I
7	-0.2	8.6	3.8	4.1	-1.6	725.9	724.2	723.3	98	52	75	NE 0	NE 0	NE 1	1	8	2	.	⊔ I
8	0.2	10.8	3.2	4.7	-0.8	720.9	717.7	717.0	85	**41**	71	NE 0	NE 0	NE 0	0	0	0	.	⊔ I
9	1.2	8.8	3.2	4.4	-1.0	716.7	715.5	717.3	75	55	80	NE 0	WNW 1	NE 0	0	0	3	.	⊔ I
10	3.2	10.4	4.6	6.1	0.9	717.8	716.1	717.3	82	55	78	NE 0	NE 1	N 0	4	9	0	.	⊔ I
11	3.1	11.3	4.7	6.4	1.4	715.8	713.8	712.4	92	53	77	NE 1	NE 0	NE 0	8	9	8	1.1	⊏ I
12	5.1	7.9	4.4	5.8	0.9	711.8	711.0	711.4	99	87	94	S 0	W 1	N 1	10	10	7	.	● 6–6¾
13	2.3	8.6	4.9	5.3	0.6	711.6	710.6	712.6	98	70	86	N 0	NW 1	SE 1	10	5	0	.	⊔ I
14	2.2	6.2	4.8	4.4	-0.1	713.9	713.7	714.7	99	85	87	SE 1	SE 1	W 0	10	10	10	2.4	● 23¼–24, ⊏ I
15	2.8	7.7	5.2	5.2	0.8	715.5	715.2	716.7	99	71	90	NW 0	ENE 0	NW 0	10●	5	10	0.3	● 0–7¾
16	3.9	8.5	4.7	5.7	1.5	718.5	718.9	721.2	91	65	85	NE 0	SW 0	W 0	10	4	0	.	
17	4.8	7.6	1.4	4.6	0.5	720.7	718.9	718.5	86	57	93	WNW 0	NNW 0	NNW 1	10	0	0	.	
18	-2.2	4.6	0.0	0.8	-3.1	717.1	716.4	716.2	99	70	94	NNW 0	NNW 0	NNW 0	0	1	0	.	⊔ I
19	-2.7	4.2	-1.5	0.0	-3.7	714.8	713.3	713.9	97	64	96	NW 0	SW 1	W 1	0	0	0	.	⊔ I
20	-3.9	4.7	-0.7	0.0	-3.6	714.2	714.5	716.9	100	67	90	W 0	SSW 1	NNW 1	0	4	0	.	⊔ I
21	-2.8	4.2	-1.8	-0.1	-3.5	718.0	716.4	717.3	94	62	95	NW 0	SE 1	NNW 1	1	0	0	.	⊔ I
22	**-4.8**	0.1	0.1	-1.5	-4.7	718.0	713.6	713.5	100	92	91	W 0	SW 1	S 1	2	9	10	.	⊔ I
23	-0.3	1.6	-0.3	0.3	-2.8	713.8	714.5	716.6	100	83	92	S 0	S 1	SW 1	10	10	10	.	⊔ I
24	-1.0	1.4	0.0	0.1	-2.8	718.4	719.2	722.3	92	77	87	S 0	S 0	S 0	10	10	10	.	⊔ I
25	-0.2	2.9	0.6	1.1	-1.7	723.9	723.2	723.2	95	67	82	S 0	S 0	S 0	10	2	10	0.3	⊔ I
26	0.2	5.6	2.8	2.9	0.3	721.1	719.6	718.0	100	80	100	S 0	WSW 1	S 0	10	6	10	.	✳ 3¼–4¾
27	2.8	5.4	4.6	4.3	1.9	716.3	715.0	714.9	100	93	100	S 0	SE 1	SE 1	10	10	10●	1.1	● 17¾–19¼, ●tr 21½
28	3.8	6.0	5.2	5.0	2.7	709.2	705.0	**704.1**	100	100	72	SE 0	SE 1	WNW 2	8	10●	10	**8.5**	● 13½–15¾, 21¾–22¾
29	1.6	2.2	0.0	1.3	-0.8	705.3	707.8	709.5	92	91	87	ESE 1	NW 1	WNW 0	10	6	10	0.8	● 0½–2½, ✳ 10–10¾
30	0.4	3.2	-1.4	0.7	-1.2	710.7	711.8	714.8	92	63	71	WNW 0	NW 0	NW 2	10	4	3	.	
Mittel	1.2	6.4	2.4	3.3	—	716.1	715.2	716.2	93	69	87				6.5	5.9	4.8	Summe 14.9	

$\lambda = 8° 58'$, $\beta = 46° 00'$,
$H_b = 276.2$ m, $G = -0.04$ mm

Lugano

November 1956
Beobachter: *G. Vicari*

Tag	Lufttemperatur 7³⁰	13³⁰	21³⁰	Mittel	Abweich. vom Normalst	Luftdruck 7³⁰	13³⁰	21³⁰	Relative Feuchtigkeit 7³⁰	13³⁰	21³⁰	Windrichtung und Stärke 7³⁰	13³⁰	21³⁰	Bewölkung 7³⁰	13³⁰	21³⁰	Niederschlag	Witterung
1	5.6	8.6	6.8	7.0	−1.5	743.1	741.1	736.5	89	65	95	NNW 1	N 1	WNW 1	10	10	10	2.8	) 7½-8, ●tr p, n (1./2.)
2	6.2	9.4	11.2	8.9	0.6	729.3	726.7	727.1	99	89	26	NNE 1	SSE 1	NNE 2	10●	10	3	4.4	● n-11, ●tr p
3	3.0	13.8	5.4	7.4	−0.7	731.5	732.3	734.7	86	49	84	NNW 1	S 1	N 1	0	1	0	.	
4	0.8	8.4	3.2	4.1	−3.8	737.1	737.5	737.9	81	62	83	NNW 1	S 1	N 1	0	8	2	.	⌊ I
5	1.4	14.4	10.2	8.7	0.9	738.1	737.8	740.7	91	31	35	NNW 1	NE 2	N 1	1	9	0	.	⌊ I
6	12.4	**18.2**	10.4	13.7	6.1	743.3	744.2	**746.1**	34	28	43	ENE 2	NE 2	N 2	1	1	0	.	
7	7.2	14.0	7.8	9.7	2.3	745.2	744.5	744.1	55	47	52	NW 1	W 1	N 1	3	9	0	.	
8	3.2	15.6	6.4	8.4	1.1	743.4	742.9	742.5	64	48	83	N 1	S 1	N 1	0	0	0	.	⌊ I
9	3.8	12.8	7.2	7.9	0.8	741.0	739.7	740.9	92	55	77	NNW 1	SE 1	N 1	0	0	4	.	
10	5.4	13.8	8.2	9.1	2.1	740.6	740.0	741.7	86	47	84	N 1	SSE 1	NNW 0	9	0	10	.	
11	8.0	8.2	6.8	7.7	0.9	741.0	740.0	738.9	91	90	99	NE 0	SSW 1	N 0	10	10)	10)	**14.9**	) a-n mU, ● n (11./12.)
12	5.4	7.2	6.2	6.3	−0.4	735.3	734.4	734.8	93	86	94	NNW 0	NE 0	N 1	10	10	10	2.0	● n-7,) a-n mU
13	5.4	8.2	6.8	6.8	0.3	735.1	735.9	736.8	95	90	97	NW 1	NNW 1	NNW 1	10)	10)	10)	4.5	) n-n
14	7.2	10.8	8.8	8.9	2.5	735.7	735.8	736.5	96	73	98	NW 1	WNW 1	N 0	10	10	10)	9.3	●) a-n mU
15	8.0	14.2	12.4	11.5	5.3	735.7	734.8	734.1	95	56	33	NNW 0	SSW 1	NNE 2	10	1	0	.	
16	9.4	14.4	7.2	10.3	4.2	739.3	741.8	743.7	68	57	83	SSW 1	S 1	N 1	8	1	0	.	
17	6.8	11.0	8.2	8.7	2.8	743.8	743.0	742.2	85	61	83	N 1	E 1	NNE 0	10	8	10	.	
18	6.8	10.2	7.4	8.1	2.3	740.8	740.4	740.1	89	63	84	N 1	S 0	W 0	10	9	10	.	
19	2.2	8.8	3.8	4.9	−0.7	738.2	737.5	737.2	85	63	75	N 1	SSE 1	N 1	0	9	9	.	
20	4.2	6.4	3.8	4.8	−0.7	739.0	739.9	742.9	81	61	79	NNW 1	NE 1	N 1	10	10	10	.	
21	4.0	6.2	3.4	4.5	−0.9	744.5	744.4	742.4	64	57	76	N 1	S 1	ESE 1	10	9	10	.	
22	3.0	3.4	2.2	2.9	−2.3	738.8	737.3	736.8	81	72	79	NNE 1	S 1	SW 1	10	10	10	.	
23	1.4	2.4	2.2	2.0	−3.1	737.7	738.7	740.2	81	72	78	WNW 0	W 1	N 0	10	10	10	.	
24	2.4	7.4	4.2	4.7	−0.2	742.0	742.8	745.3	81	48	70	N 1	N 1	N 0	10	8	10	.	
25	3.4	8.8	1.4	4.5	−0.3	745.6	744.5	743.0	66	46	84	N 1	S 1	N 1	10	1	0	.	
26	**0.2**	10.8	4.2	5.1	0.4	738.6	737.2	737.2	84	49	75	NNE 1	S 1	NNW 1	1	1	0	.	⌊ I
27	1.4	10.4	3.2	5.0	0.5	735.2	732.9	732.6	88	59	88	N 1	WSW 1	N 1	1	1	0	.	⌊ I
28	2.4	5.0	3.8	3.7	−0.7	731.6	728.1	726.4	93	99	99	NNE 1	S 1	NNW 1	10	10)	10	1.2	) a-p, ⌊ I
29	3.8	10.2	4.4	6.1	1.8	725.2	**724.8**	728.6	47	27	31	NNE 1	ENE 2	NNE 2	3	6	0	.	
30	6.4	10.2	5.2	7.3	3.2	729.4	730.8	734.5	26	**24**	28	NNE 2	NNE 2	NNE 2	10	5	0	.	
Mittel	4.7	10.1	6.1	7.0	—	738.2	737.7	738.2	79	59	73				6.6	6.2	5.3	Summe 39.1	

$\lambda = 7° 35'$, $\beta = 47° 33'$,
$H_b = 317.3$ m, $G = 0.08$ mm

Basel

November 1956
Beobachter: *Astronom.-Meteorol. Anstalt*

Tag	7³⁰	13³⁰	21³⁰	Mittel	Abweich.	7³⁰	13³⁰	21³⁰	7³⁰	13³⁰	21³⁰	7³⁰	13³⁰	21³⁰	7³⁰	13³⁰	21³⁰	Niederschlag	Witterung
1	1.2	2.5	1.5	1.7	−4.1	737.0	735.7	744.1	95	86	95	NNW 1	WNW 1	SW 1	10	10	10	.	
2	−1.0	1.9	1.5	0.8	−4.8	731.4	731.0	732.1	100	85	95	WNW 1	NNW 1	NW 1	10≡	10	10	.	≡ n-a
3	2.0	4.1	2.4	2.8	−2.7	733.5	734.7	735.8	95	84	92	WSW 1	WNW 1	WSW 0	10	9	10	.	
4	2.2	3.9	5.4	3.8	−1.6	735.8	735.9	737.9	94	95	96	E 1	SE 0	SSW 0	10	10●	9	4.2	● 8¾-18¼ ml', 20-21
5	6.0	7.8	5.4	6.4	1.2	738.2	739.4	742.0	90	83	94	WSW 1	WSW 1	SSW 1	10	10	10	0.1	● 2¼-3, 4½-4¾
6	5.3	10.0	5.0	6.9	1.8	744.8	745.8	**747.0**	94	**60**	87	SW 0	NW 1	SW 0	10	8	10	.	● 4¾-5¼
7	−0.2	9.1	1.0	3.3	−1.7	746.2	745.7	744.2	98	69	88	ESE 1	NE 0	SW 0	10≡	1	0	.	≡ 6¾-11¼, ⌊ I
8	0.4	9.5	1.1	3.7	−1.2	740.6	737.8	736.0	96	74	91	ESE 0	ESE 1	ESE 1	10≡	0	0	.	≡ 7¼-9¼
9	−1.0	7.5	2.2	2.9	−1.8	736.0	735.8	736.3	98	78	93	E 1	ESE 1	E 1	0	0	2	0.4	⌊ I
10	3.4	6.0	6.4	5.3	0.7	736.2	735.7	736.0	94	89	99	SE 1	E 1	E 1	10	10●	10≡	0.5	● 2-2¾, 6¾-7¼, 11-14¼, ≡ p-n
11	5.9	**10.4**	7.1	7.8	3.3	733.8	732.3	732.2	99	85	88	ESE 1	ESE 1	SSW 1	10	8	10●	1.6	● 9½-10, 21¼-24
12	4.7	9.1	5.9	6.6	2.3	731.8	731.6	731.9	97	78	94	E 1	E 0	SW 0	7●	7	10	0.5	● 0-1½, 7½-8¼
13	5.3	6.0	4.3	5.2	1.0	732.7	733.0	734.9	96	93	94	NW 1	N 1	NW 1	10	10	10	.	● n-4
14	3.5	4.4	3.0	3.6	−0.5	735.5	735.1	735.9	94	88	95	N 1	NW 0	NW 1	10	10	10	0.5	● 16-18
15	2.6	3.8	3.2	3.2	−0.8	736.8	737.8	740.5	90	88	88	NW 1	NW 1	NNW 0	10	10	10	.	● 1¾-4
16	1.9	5.3	1.7	3.3	−0.8	741.6	742.1	742.5	97	78	95	WNW 1	WNW 1	SW 0	10≡	0	10	.	≡ 7½-11¾
17	1.0	7.5	2.2	3.6	−0.1	741.5	740.4	739.1	93	74	97	SW 0	N 1	NW 0	10	7	10	.	
18	−0.5	4.2	−1.0	0.9	−2.7	737.2	736.4	736.3	100	86	95	NW 0	NW 1	NNW 0	10≡	0	0	.	≡ 7¼-11¾
19	−0.9	5.8	0.2	1.7	−1.8	735.2	733.7	733.2	100	72	91	WNW 0	ESE 2	E 1	10	2	0	.	≡ 6¾-11, ⌊ I
20	−1.6	4.1	1.9	1.5	−1.8	733.7	734.9	737.9	90	77	82	ESE 0	ENE 1	N 1	0	0	10	.	⌊ I
21	−0.1	−0.2	−1.4	−0.6	−3.8	739.1	739.0	738.8	80	86	78	E 1	E 1	ENE 1	10	10	10	.	
22	−1.8	−3.6	−3.1	−2.8	−5.9	736.2	736.0	735.7	78	85	87	N 1	NW 1	W 0	10	10	10	0.0	✳ fl 11¾
23	**−4.0**	−1.6	−2.8	−2.8	−5.7	736.1	736.9	738.9	79	74	81	NW 1	WNW 0	NW 0	10	8	10	.	
24	−2.2	−1.0	−1.6	−1.6	−4.4	740.9	742.1	744.4	92	85	96	NW 0	W 1	WNW 0	10	10	10	.	
25	−1.6	0.4	−0.1	−0.4	−3.1	744.8	744.1	741.6	91	76	89	WNW 0	WNW 1	ESE 1	10	10	10*●	1.6	● ✳ 18½-24
26	0.8	5.1	7.3	4.4	1.8	739.6	738.6	737.1	95	73	77	ESE 1	WNW 1	W 2	10●	10	10	0.0	● ✳ 0-5, 7¼-9¾, ⸗ 23
27	7.8	9.2	9.2	8.7	6.3	733.7	732.7	732.1	71	71	75	WSW 2	WSW 2	WSW 2	10	10	10	3.8	⸗ 7¾
28	8.5	7.1	3.6	6.4	4.1	726.1	**722.8**	724.0	85	86	86	WSW 2	WSW 3	WSW 3	10●	10●	10●	**11.5**	● 0¾-6, 7-13¾, 15-15¾, 16½-17, 20-24,
29	1.5	3.7	1.3	2.2	0.0	725.7	727.1	729.2	83	71	88	SW 1	W 2	WSW 1	10	6	6	0.3	● 0-1¼, ✳ 13¼-14 [⸗ a-n, ⸗ 13
30	0.4	2.3	0.3	1.0	−1.1	732.7	734.2	737.6	95	81	95	NW 1	NW 1	NW 1	10	9	10	0.0	✳ 0½-2½, 4¼-6¾, 9-9¼
Mittel	1.6	4.8	2.4	3.0	—	736.5	736.3	736.8	92	80	90				9.2	7.2	8.3	Summe 25.0	

November 1956
Beobachter: *Observatorium*

Säntis

$\lambda = 9° 21'$, $\beta = 47° 15'$,
$H_b = 2500.1$ m, $G = -0.29$ mm

Tag	Lufttemperatur 7³⁰	13³⁰	21³⁰	Mittel	Abweich. vom Normalst	Luftdruck 7³⁰	13³⁰	21³⁰	Relative Feuchtigkeit 7³⁰	13³⁰	21³⁰	Windrichtung und Stärke 7³⁰	13³⁰	21³⁰	Bewölkung 7³⁰	13³⁰	21³⁰	Niederschlag	Witterung
1	-4.5	-2.2	-3.2	-3.3	0.2	562.2	561.7	559.7	80	86	90	SE 3	SE 3	SSE 2	7	6	1	.	
2	-5.2	-6.2	-11.2	-7.5	4.3	554.3	552.8	554.2	85	97	46	NE 3	NE 3	NE 2	9	8	10	.	≡ n-15½ mU
3	10.9	10.4	14.2	-11.8	8.5	555.3	556.6	557.9	94	67	37	NE 2	N 1	NNE 2	10≡	2	2	0.9	✳ n (3./4.), ≡ n-12, 15½-20,*)
4	10.3	-7.2	7.6	8.4	4.9	558.8	559.0	561.0	97	100	100	N 2	W 3	NW 2	10	10≡*	10≡	22.9	✳ 8¼-9¾, 11½-20¼ ≡ n-6, 11-n
5	-7.8	-7.3	-8.4	7.8	4.2	561.2	562.0	564.2	100	100	100	W 3	WSW 2	W 2	10≡*	10≡*	10 *	20.1	✳ ≡ n-n [mU
6	-7.8	-6.4	-8.1	-7.4	3.7	566.3	567.6	569.0	100	100	97	NW 1	NW 2	NW 3	10≡	10≡	10≡	2.4	✳ 10½-11¼, ≡ n-14¼,
7	-5.9	-3.9	-1.3	-3.7	0.1	569.0	**569.8**	569.1	71	65	20	N 3	N 3	NNE 3	3	4	1	.	[20½-n, ∨ n-14
8	-0.9	**3.3**	0.1	1.4	5.4	567.3	566.0	564.7	**5**	11	14	NE 2	S 1	SE 1	1	1	0	.	
9	-0.3	0.8	-2.4	-0.6	3.5	563.5	563.3	563.1	14	18	24	WNW 2	W 2	WNW 1	1	1	1	1.3	✳ n (9./10.)
10	-4.8	-3.7	-4.5	-4.3	-0.1	562.2	562.1	562.0	100	100	100	W 3	W 3	WSW 2	10 *	10≡	10≡	2.2	✳ n-8⅛, 10¾-17, ≡ n-n mU
11	-5.6	3.8	-4.5	-4.6	-0.3	560.7	560.1	558.5	98	91	87	WSW 2	SW 2	SW 3	9	4	10	0.6	✳ n (11./12.)
12	-6.0	-5.0	-6.0	-5.7	-1.3	556.8	556.4	557.1	100	98	97	SE 1	SE 2	SE 2	10 *	10≡	8	0.3	✳ n-11¼, ⊽ III
13	-5.2	-1.7	-2.7	-3.2	1.4	557.8	558.7	560.3	71	43	67	ESE 2	SE 2	SE 1	3	8	4	.	⊕ 10½, ⊽ III
14	-2.1	0.6	-3.2	-1.6	3.1	559.8	559.3	559.1	72	63	95	E 3	SSE 1	SSW 2	4	2	8	3.1	✳ n (14./15.)
15	-6.9	-3.9	-8.9	-6.6	-1.8	559.0	559.8	561.1	96	80	95	E 1	E 1	E 2	10 *	10≡	10≡	1.0	✳ n-9, 10¾-11½, ≡ n-n [mU, ⊕ 10½
16	-7.1	-5.9	-7.2	-6.7	-1.8	562.8	564.2	564.8	97	63	57	ENE 2	NE 3	ENE 2	3	1	0	.	
17	-6.2	-4.8	-6.3	-5.8	-0.8	563.5	563.2	562.0	63	71	84	WNW 2	SW 2	SW 2	1	1	8	.	
18	-7.2	-4.7	-4.7	-5.5	-0.4	560.7	560.7	560.5	84	64	56	W 2	SSE 2	E 2	1	1	1	.	
19	-5.1	-2.6	-4.9	-4.2	1.1	559.0	558.7	558.2	46	40	54	E 2	SSE 2	SSW 1	1	1	9	.	
20	-5.6	-5.0	-6.7	-5.8	-0.4	558.4	560.0	561.6	41	52	77	W 2	WNW 2	ESE 1	9	1	1	.	
21	-5.7	-4.8	-4.3	-4.9	0.6	561.5	561.5	560.9	46	48	38	SSW 1	SE 3	ENE 2	2	1	1	.	
22	-6.2	-6.1	-8.4	-6.9	-1.3	558.0	557.0	556.1	41	46	54	N 1	SW 1	N 2	1	8	3	.	
23	-8.3	-5.0	-7.2	-6.8	-1.1	555.7	556.6	558.2	65	59	72	SW 1	S 1	E 1	9	2	7	.	
24	-7.0	-6.4	-8.6	-7.3	-1.5	559.8	561.3	563.2	97	83	96	ENE 2	ENE 2	WNW 1	10	3	0	.	
25	-6.1	-6.1	-10.2	-7.5	-1.6	563.7	564.2	562.1	19	92	65	N 2	WSW 3	SW 5	0	2	10≡*	13.4	✳ ≡ 21¼-n, ⸙ p-n
26	-7.2	-5.8	4.5	-5.8	0.2	561.2	561.1	559.7	100	100	100	WSW 4	WSW 5	WSW 5	10≡*	10≡	10≡	11.9	✳ n-12½, ≡ ⊹ ∨ ⸙ n-n,*)
27	-7.1	-4.4	-5.7	-5.7	0.3	557.6	555.9	556.6	100	100	100	W 4	WSW 5	WSW 5	10≡	10≡	10≡	**36.5**	✳ n (27./28.), ≡ n-9, *)
28	-4.4	-5.1	-10.0	-6.5	-0.4	552.0	548.5	548.6	100	100	100	WSW 5	WSW 4	WSW 4	10≡*	10≡*	10≡*	32.0	✳ n-8, 12½-n,*)
29	-13.8	13.8	14.5	14.0	-7.8	**548.3**	549.8	551.3	98	98	97	W 3	WSW 3	WSW 3	10 *	10 *	10≡	12.0	✳ 7-17½, 19¼-n, ≡ n-n, ⸙ 16½
30	-14.4	-14.0	**-15.4**	-14.6	-8.3	553.2	554.5	557.1	99	97	97	NNE 2	NE 2	ENE 2	10≡*	10≡*	10 *	4.8	✳ n-9, 10½-n mU, ≡ n-n
																		Summe	
Mittel	-6.5	-5.1	-6.8	-6.1	—	599.6	559.8	560.1	76	72	74				6.5	5.6	6.2	165.4	

*) 3. ∨ n-11 26. ⸙ II, III 27. 10¾-n, ∨ n-9, 16¼-n, ⸙ n-n 28. ≡ ⸙ ∨ ⊹ n-n, ⊼ 14¼

November 1956
Beobachter: *E. Chiesa*

St. Gotthard (Hospiz)

$\lambda = 8° 34'$, $\beta = 46° 33'$,
$H_b = 2095$ m, $G = -0.27$ mm

1	-4.8	0.3	-1.2	-1.9	0.4	592.5	592.1	588.4	95	94	94	SE 1	SE 1	SE 0	10*	10*	10*	7.5	✳ n-n mU
2	-2.3	-6.5	-8.4	-5.7	-3.2	583.4	581.8	583.3	96	95	96	NW 1	NW 2	NW 2	10	10≡	10≡	6.9	✳ n (2./3.), ≡ ∨ 18½-n, ⊹ a-n
3	-8.2	-7.2	-8.6	-8.0	-5.4	584.7	585.9	587.6	95	95	94	NW 2	NW 1	NW 2	3	10≡	10≡	0.7	≡ ∨ 8¼-n, ⊹ p-n
4	-9.0	-6.2	-5.4	-6.9	-4.1	588.3	588.7	590.0	96	94	95	NW 2	NW 2	NW 2	6	10≡	10≡	8.4	✳ p-n mU, ≡ ∨ 13-n
5	-5.4	-4.8	-5.6	-5.3	-2.4	590.6	591.4	593.8	96	94	95	NW 2	NW 2	NW 2	10≡	10≡	10≡	9.1	✳ n-n mU, ≡ ⊹ ∨ n-n
6	-5.2	-4.4	-6.0	-5.2	-2.2	595.1	596.0	598.4	96	67	50	NW 2	NW 2	NW 2	10	10	0	0.9	≡ ∨ ⊹ n-19
7	-5.8	-0.3	-0.2	-2.1	1.1	598.6	**598.9**	**598.9**	44	37	31	NW 1	NW 1	NW 1	0	3	0	.	
8	1.5	**4.5**	-1.5	1.5	4.8	596.4	595.3	594.1	**19**	28	37	NW 0	SE 1	SE 0	0	0	0	.	
9	2.2	4.0	-3.5	0.9	4.3	592.3	591.8	591.8	27	25	48	NW 1	NW 1	NW 1	0	0	0	.	
10	-3.9	0.4	-3.6	-2.4	1.1	591.7	591.7	591.8	70	71	98	NW 1	NW 1	NW 0	0	3	10≡	.	≡ 18½-n
11	-3.6	-3.0	-4.2	-3.6	0.1	591.2	590.0	588.6	95	98	98	SE 1	SE 1	SE 1	10≡	10*≡	10*≡	7.4	✳ 9¾-n mU, ≡ n-n, ∨ I
12	-4.2	2.9	-4.0	-3.7	0.1	586.3	585.6	586.3	98	97	98	SE 0	SE 1	SE 0	10≡	10≡	9	1.8	✳ 10¾-13, ≡ n-18
13	-4.8	0.0	-1.8	-2.2	1.7	586.9	587.6	588.9	98	65	97	NW 0	SE 0	SE 0	10	10	10	3.7	✳ 14½-n mU
14	-0.6	2.2	-1.4	0.1	4.1	588.8	588.5	588.5	90	72	98	NW 1	SE 0	SE 0	10*	10	10≡	7.7	✳ n-a, ≡ 14¾-n
15	-7.4	-5.4	-7.3	-6.7	-2.6	588.2	588.6	589.7	95	66	98	NW 2	NW 3	NW 3	10≡	10≡	10≡	6.4	✳ a-p mU, ≡ n-n mU, [⸙ a-n, ∨ III
16	-6.6	-4.0	-6.2	-5.6	-1.4	591.6	592.6	593.8	95	70	58	NW 2	NW 1	NW 1	0	0	0	.	
17	-8.0	-0.4	-5.4	-4.6	-0.3	589.0	590.4	592.2	75	60	71	NW 1	NW 1	NW 1	6	0	0	.	
18	-6.1	-3.6	-7.5	-5.7	-1.3	590.8	590.8	590.2	90	79	86	SE 1	SE 1	SE 0	10	10	0	.	
19	-6.0	-1.0	-4.5	-3.8	0.7	588.6	588.1	587.5	50	55	65	NW 0	NW 0	SE 0	0	0	3	.	
20	-4.7	-1.0	-8.1	-4.6	0.0	587.7	588.7	590.4	50	45	98	NW 1	NW 1	NW 0	0	0	10≡	.	≡ 20¼-n
21	-8.6	-6.6	-9.3	-8.2	-3.5	591.3	592.0	590.9	96	94	84	SE 0	SE 1	SE 0	10≡	9	0	.	≡ n-11¾
22	-11.3	-4.1	-8.1	-8.0	-3.2	587.3	586.3	585.3	55	56	74	NW 2	NW 2	NW 2	0	0	0	.	
23	-9.2	-6.0	-9.7	-8.3	-3.4	585.1	586.0	587.1	75	85	98	NW 2	NW 1	NW 1	0	3	10≡	.	≡ 14¾-n
24	-7.4	-3.5	-6.6	-5.8	-0.8	589.0	590.4	592.2	75	60	71	NW 1	NW 1	NW 1	6	0	0	.	
25	-8.3	-4.1	-5.4	-5.9	-0.8	593.0	593.5	593.2	77	60	65	NW 2	NW 1	NW 2	0	0	0	1.4	✳ n (25. 26.)
26	-4.0	-1.7	0.4	-1.8	3.4	591.4	593.3	590.2	98	97	70	NW 2	NW 2	NW 3	10≡	10≡	0	2.7	✳ n-a mU, ≡ n-14¼, ⊹ 8¼-n,
27	1.0	3.2	-1.9	0.8	6.1	588.5	587.8	587.5	55	66	90	NW 2	NW 3	NW 3	3	6	10*≡	8.0	✳ ≡ ⊹ 16-n, ⸙ a-n [⸙ p-n
28	-2.6	-2.5	-6.4	-3.8	1.6	584.3	580.4	579.5	95	98	95	NW 0	SE 1	NW 0	6	10 *	10*≡	**19.4**	✳ 11¼-n mU, ≡ 11-n
29	-10.4	-9.6	**-11.7**	-10.6	5.1	**578.7**	579.6	580.6	97	87	98	NW 1	NW 2	NW 3	9	3	10≡	9.2	✳ n (29./30.), ≡ 15½-n, ⸙ 15-n
30	-11.5	-10.3	-11.2	-11.0	-5.5	581.7	583.6	585.8	98	98	95	NW 3	NW 3	NW 3	10≡	10≡	10≡	9.6	✳ n-n mU, ⸙ n-n, ⊹ III
																		Summe	
Mittel	-5.5	-2.8	-5.5	-4.6	—	589.1	589.2	589.6	80	75	82				5.6	5.9	5.7	110.8	

$\lambda = 7° 26'$, $\beta = 46° 57'$,
$H_b = 572.2$ m, $G = -0.04$ mm

Bern

Dezember 1956
Beobachter: *Meteorologisches Observatorium*

Tag	Lufttemperatur 7³⁰	13³⁰	21³⁰	Mittel	Abweich. vom Normalst	Luftdruck 7³⁰	13³⁰	21³⁰	Relative Feuchtigkeit 7³⁰	13³⁰	21³⁰	Windrichtung und Stärke 7³⁰	13³⁰	21³⁰	Bewölkung 7³⁰	13³⁰	21³⁰	Niederschlag	Witterung
1	-2.8	-1.2	-2.9	-2.3	-3.2	716.3	717.0	718.5	84	83	81	NNE 2	NE 2	NE 2	6	2	1	.	✳
2	-7.0	-2.2	-5.7	-5.0	-5.7	720.0	717.9	722.1	87	85	84	SE 0	NE 0	SE 1	1	1	0	.	✳
3	-1.8	1.8	1.4	0.5	-0.1	**722.9**	722.8	722.7	84	84	85	SSE 0	SW 0	SE 1	10	10	10	0.3	☽ 22-24 mU ✳
4	2.0	7.3	3.9	4.4	3.9	722.3	721.5	721.4	99	74	95	SE 1	SE 0	SSE 0	10	3	10	.	☽ 0-4¼
5	3.2	4.6	3.7	3.8	3.5	720.5	720.0	719.7	97	82	82	SE 0	S 0	W 0	10	10	10	0.2	
6	2.8	4.6	4.5	4.0	3.8	719.7	720.3	720.7	86	86	88	SW 1	SE 1	E 0	10	9	9	0.0	● 5½-10½ mU
7	3.6	6.4	2.2	4.1	4.0	720.9	721.3	721.2	90	81	89	ESE 1	NNE 1	E 1	8	1	0	.	⌴ III
8	0.4	6.1	2.2	2.9	2.9	721.2	720.4	721.1	94	84	96	SE 0	NNE 1	SE 1	9	1	7	.	⌴ I, △ III
9	0.4	4.2	-0.1	1.5	1.6	719.5	719.6	720.1	96	83	98	SE 0	SE 0	SE 1	8	9	0	.	≡ 23-n, ⌴ III
10	-2.5	0.4	1.8	0.1	0.3	720.1	720.1	719.7	100	100	95	SE 0	N 0	SE 1	9≡	10	10	.	≡ n-10¼
11	1.2	2.3	0.5	1.3	1.6	720.1	719.3	718.4	97	93	100	W 0	SW 0	SE 0	10	10	10≡	.	≡ 9-n mU
12	0.5	5.8	4.4	3.6	4.0	718.4	717.2	717.4	89	**64**	74	SSE 1	SE 0	SW 0	9	9	10	0.3	● 19¾-20¾ mU, ≡ n-2½
13	4.5	**9.3**	7.4	7.1	7.6	715.8	715.4	717.5	85	78	75	SE 0	SW 1	SW 2	10	10●	3	3.0	● 1¾-4½, 9¾-18½ mU
14	3.1	7.6	3.4	4.7	5.3	717.5	715.9	714.5	80	76	77	WSW 0	WSW 0	SE 1	2	5	5	.	⊕ p
15	1.3	8.2	2.5	4.0	4.7	714.1	713.5	714.0	89	78	82	SE 1	SE 1	SE 1	4	8	3	.	
16	0.4	8.2	2.3	3.6	4.4	714.2	715.3	717.4	91	77	80	SE 0	SE 0	SSE 1	7	9	3	.	⌴ I, III
17	-0.8	6.2	-0.7	2.0	2.8	719.2	719.4	720.6	93	80	83	SE 0	SE 0	SE 1	0	0	0	.	
18	-2.0	4.6	-0.2	0.8	1.7	721.2	721.0	721.2	92	80	82	SE 1	SE 0	SE 1	0	1	0	.	
19	-1.6	4.2	-0.5	0.7	1.7	720.7	719.9	719.9	91	80	92	SW 0	SE 1	ESE 0	8	3	8	1.2	⌴ I
20	0.3	3.7	2.0	2.0	3.0	719.9	719.1	718.7	99	92	98	SE 0	SE 0	SE 1	8●	9	10	**5.0**	● 5½-11¾, 20¼-20½, 21¾-24
21	1.4	2.3	0.3	1.3	2.4	717.3	716.3	716.1	99	97	99	SE 1	E 0	N 1	10	10	9	.	● 0-4½
22	-0.6	-0.2	-0.7	-0.5	0.6	715.0	713.8	713.8	91	86	84	N 0	N 0	SW 0	10	10	10*	1.7	✳ 21-24
23	-4.4	-1.4	-3.5	-3.1	-1.9	713.1	712.6	712.6	98	72	86	S 0	SE 1	S 0	2≡	2	10*	0.0	✳ 0-11, III, ≡ 7½ ✳
24	-3.0	-2.8	-7.0	-4.3	-3.1	711.2	711.2	712.6	88	81	92	N 0	NNE 0	NE 0	10	6	1	.	✳
25	**-10.2**	-4.9	-9.5	-8.2	-6.9	713.8	713.3	713.0	91	71	88	SE 1	SE 0	SE 0	1	1	0	.	⌴ I ✳
26	-8.9	5.1	-4.0	-6.0	-4.7	711.5	711.7	713.9	89	89	95	E 0	E 0	SSE 1	9	10*	10*	4.3	✳ 7¾-22¾ mU, ⌴ I ✳
27	-3.5	-1.3	-3.9	-2.9	-1.5	714.2	712.9	713.5	100	82	90	S 0	SSE 0	SE 1	10≡	4	10*	0.2	✳ III, ≡ 1½-10, ⌴ I ✳
28	-8.9	-3.1	-5.4	-5.8	-4.4	711.8	710.6	710.3	96	84	98	E 0	W 1	NW 0	0	9	10	0.0	≡ 8¼-10½' 23-n, ⌴ I ✳
29	-5.3	-1.3	-4.2	-3.6	-2.1	710.3	710.5	708.5	93	88	89	SSE 0	SE 1	SE 1	10*	10*	3	1.4	✳ a, ≡ n-1, ⌴ III ✳
30	-4.4	-0.6	-2.1	-2.0	-0.5	707.3	707.3	707.2	100	77	95	SE 0	SW 0	N 1	10	10	5	.	≡ 1½-2¾, 6½, 22¾-23½, ⌴ I, III ✳
31	-3.0	-0.2	-3.5	-2.2	-0.7	**705.5**	705.9	706.6	100	85	100	NE 0	SW 0	NE 0	10≡	8	10	.	≡ 0¼-1, 2-n mU, ⌴ I, III ✳
Mittel	-1.5	2.4	-0.3	0.2	—	716.6	716.2	716.6	93	82	89				7.1	6.4	6.0	Summe 17.6	

*) **28.** ✳ 19¾-23½, ⸙ n-p

$\lambda = 6° 57'$, $\beta = 47° 00'$,
$H_b = 487.3$ m, $G = 0.00$ mm

Neuchâtel

Dezember 1956
Beobachter: *Observatorium*

Tag	Lufttemperatur 7³⁰	13³⁰	21³⁰	Mittel	Abweich. vom Normalst	Luftdruck 7³⁰	13³⁰	21³⁰	Relative Feuchtigkeit 7³⁰	13³⁰	21³⁰	Windrichtung und Stärke 7³⁰	13³⁰	21³⁰	Bewölkung 7³⁰	13³⁰	21³⁰	Niederschlag	Witterung
1	-1.1	1.3	-1.6	-0.5	-2.4	724.1	724.7	726.7	66	**56**	65	NNE 2	NE 3	NNE 2	0	1	2	.	⸙ a-15½, ⸙ a
2	-4.6	0.3	-3.3	-2.5	-4.3	728.2	728.0	730.3	83	68	79	NNE 1	ENE 2	NNE 1	0	0	0	.	
3	-1.4	0.4	0.9	0.0	-1.7	**732.1**	730.9	730.7	88	92	96	NNE 0	NNE 0	NNE 1	10	10●	10	0.2	● 13¼-15¼
4	2.1	5.8	2.5	3.5	1.9	730.0	729.6	729.1	96	82	93	NNE 1	S 1	E 0	9	8	0	.	
5	3.4	5.4	4.3	4.4	2.9	728.4	727.9	727.6	97	84	78	ENE 1	SE 1	WNW 1	10	10	10	0.4	⸙ 23-24
6	3.2	5.0	4.6	4.3	2.9	727.6	728.1	728.4	90	84	90	WSW 2	SW 1	E 0	10●	10	10	0.2	● 4½-7½, ●tr 9-10½
7	1.6	8.3	4.3	4.7	3.4	728.6	729.3	728.8	96	70	83	ENE 0	ENE 2	NE 1	1	1	0	.	
8	1.1	7.9	6.5	5.2	4.0	729.0	728.2	728.0	98	83	90	NE 1	ENE 3	ENE 2	10≡	8	10	.	≡ n-9½, ⸙ 11-n
9	5.6	6.7	1.4	4.6	3.5	727.6	727.4	728.2	89	75	96	ENE 1	E 1	E 0	10	2	0	.	
10	1.1	1.4	1.9	1.5	0.5	728.1	728.2	727.6	98	96	96	E 0	ENE 1	ENE 0	10≡	10	10	.	≡ n-a
11	2.3	3.1	1.0	2.1	1.2	728.1	727.3	726.7	95	90	93	N 1	SSW 1	ENE 1	10	10	5	.	
12	2.6	6.1	6.6	5.1	4.3	726.0	725.2	725.2	89	74	84	WSW 1	SW 1	WSW 2	9	10	10	0.4	● 14¼-19 mU
13	7.7	8.3	7.5	7.8	7.0	723.4	723.1	725.2	89	97	66	SSW 2	WSW 2	WSW 2	10●	10●	5	2.9	● 7½-17¼ mU, ⸙ n-n mU,
14	5.9	8.0	6.4	6.8	6.1	725.0	723.5	722.3	66	68	77	W 2	SW 1	SSW 2	1	9	10	.	[⸙ 11-12½, 29-20½
15	5.5	**9.5**	6.4	7.1	6.5	721.6	721.1	721.4	81	66	77	WSW 1	WSW 2	SW 1	1	7	1	.	
16	2.1	9.1	3.9	5.0	4.5	722.0	722.9	725.0	95	65	93	ENE 1	WSW 2	NE 1	5	6	1	.	
17	0.4	3.8	1.6	1.9	1.5	727.2	727.4	728.4	98	93	93	NE 0	SSW 1	SE 0	0	10≡	0	.	≡ 11-15½, 23¼-n
18	-0.9	1.0	-0.6	-0.2	-0.6	729.3	729.0	729.3	98	98	100	SSW 0	SSE 0	S 0	10≡	10≡	10≡	.	≡ n-n, ⌴ I
19	-1.2	2.7	1.0	0.8	0.5	728.8	728.2	727.8	98	88	96	SE 0	SE 1	SW 1	10≡	2	10	1.0	≡ n-10½, ⌴ I
20	2.8	3.9	3.5	3.4	3.2	727.5	726.9	726.4	97	97	97	SW 1	ESE 1	E 1	10●	10≡	10≡	1.3	● 3½-10¼, 17¼-20¼, ≡ n-n mU
21	3.2	3.9	1.9	3.0	2.8	725.1	724.1	723.8	97	95	93	E 0	SE 0	E 1	10≡	8	9	.	≡ n-a
22	-0.2	1.6	0.4	0.6	0.5	723.2	721.9	721.6	89	67	65	E 0	N 1	E 1	10	10	10	0.3	✳ 15½-18 mU
23	-1.9	1.6	0.2	-0.2	-0.2	721.1	720.6	720.5	80	72	58	N 0	E 1	N 1	7	8	10	0.1	✳ 7½-11½ mU
24	-1.7	-0.2	-3.4	-1.8	-1.8	719.1	719.1	720.6	86	67	70	N 1	ENE 2	NE 2	9	5	2	.	
25	**-7.6**	-4.2	-5.3	-5.7	-5.6	721.7	721.4	721.1	92	78	79	NNE 1	NNE 1	ENE 1	2	10	9	0.3	
26	6.4	-4.8	2.4	4.5	-4.3	729.3	719.8	721.7	94	93	96	ENE 1	ENE 0	NNE 1	10*	10*	10	**4.0**	✳ 5-17½ mU ✳
27	-1.3	-0.3	-1.3	-1.0	-0.8	722.0	721.0	721.5	96	91	96	N 1	ENE 1	ENE 1	10	10	10*	0.6	✳ 16-21½ ✳
28	-2.8	-3.1	-4.1	-3.3	-3.0	719.7	718.5	718.2	96	89	91	NE 2	ENE 1	ENE 0	10	10	10	1.2	✳
29	-4.1	-2.1	-0.4	-2.2	-1.9	718.1	718.2	716.2	95	96	97	NE 1	NE 1	NE 1	10*	10*	10	1.8	✳ 3¾-13½ ✳
30	-1.6	0.1	0.5	-0.3	0.1	715.0	715.1	714.9	98	97	92	NE 1	NE 0	NE 1	10	10*	10	0.2	✳ 12-14 ✳
31	-0.9	0.8	1.7	-1.1	-0.7	**713.2**	713.8	714.3	98	96	96	N 1	NNE 0	NNE 1	10	10	10	.	✳
Mittel	0.4	2.9	1.4	1.6	—	724.5	724.2	724.4	91	83	86				7.5	7.9	6.9	Summe 14.9	

Dezember 1956
Beobachter: *Frl. H. Nager*

Altdorf

$\lambda = 8° 38'$, $\beta = 46° 53'$,
$H_b = 456.3$ m, $G = -0.08$ mm

Tag	Lufttemperatur 7³⁰	13³⁰	21³⁰	Mittel	Abweich. vom Normalst	Luftdruck 7³⁰	13³⁰	21³⁰	Relative Feuchtigkeit 7³⁰	13³⁰	21³⁰	Windrichtung und Stärke 7³⁰	13³⁰	21³⁰	Bewölkung 7³⁰	13³⁰	21³⁰	Niederschlag	Witterung
1	-2.8	0.7	-2.7	-1.6	-4.4	727.0	727.9	730.1	82	64	73	SE 0	SE 0	E 0	8	6	4	.	⊠
2	-4.2	-0.8	-3.3	-2.8	-5.5	730.7	731.1	732.9	79	61	80	E 0	NW 0	NE 0	8	0	4	.	⊠
3	0.1	2.6	1.6	1.4	-1.2	732.8	733.0	**733.5**	80	80	100	E 0	SW 0	NW 0	10	10	10●	2.4	● p-n ⊠
4	2.4	6.3	3.1	3.9	1.5	732.6	732.0	731.7	100	85	100	SW 0	SW 0	SW 0	10	5	10	0.3	● a, p mU
5	2.8	5.5	4.6	4.3	2.0	730.5	730.1	729.7	99	88	90	SW 0	SW 0	SE 0	10	10	10	1.3	● n (5./6.)
6	4.0	4.6	3.6	4.1	1.9	729.8	730.3	731.3	95	95	96	SE 0	NE 0	NW 0	10●	10	10	2.0	● n-a
7	0.9	5.9	4.2	3.7	1.6	731.8	732.7	732.2	97	85	95	SE 0	SE 0	NE 0	10	10	4	.	
8	2.0	5.8	1.2	3.0	1.0	731.9	731.5	731.0	95	90	94	W 0	W 0	N 0	10	5	0	.	
9	1.8	3.5	1.0	2.1	0.2	730.3	730.6	730.5	95	90	95	W 0	S 0	SE 0	10	10	10≡	.	≡ p-n
10	-1.2	1.2	0.7	0.2	-1.6	730.9	731.1	730.6	99	99	93	SW 0	SW 0	N 0	10≡	10≡	8	.	≡ n-p
11	3.0	6.3	1.5	3.6	1.9	730.5	729.3	729.0	72	**55**	75	E ½	SW 0	W 0	10	2	4	.	
12	0.6	5.3	4.0	3.3	1.7	728.1	727.2	727.5	85	68	84	E 0	NW 0	E 0	10	9	10	0.2	● n (12./13.)
13	4.4	**8.5**	6.9	6.6	5.1	725.6	724.3	726.2	92	88	100	W ½	W 0	NW ½	10●	10	10●	3.6	∇̇ 7½, ● p-n mU
14	4.3	7.9	1.9	4.7	3.3	727.6	725.9	725.4	94	77	89	S 0	SE 0	SE 0	10	7	0	.	
15	2.7	7.2	1.8	3.9	2.6	724.3	723.7	724.5	79	**55**	80	W 0	NE 0	SE 0	3	4	5	.	
16	1.4	7.8	1.8	3.7	2.5	724.6	725.2	727.5	82	72	85	E 0	NW 0	SE 0	6	6	0	.	
17	0.2	6.2	0.8	2.4	1.3	729.6	729.5	730.9	86	72	81	S 0	S 0	S 0	0	1	0	.	
18	-1.4	4.8	-0.3	1.0	0.0	731.4	731.2	731.6	86	65	82	S 0	SE 0	S 0	5	0	0	.	
19	-1.6	4.2	0.5	1.0	0.1	731.1	730.8	730.5	85	77	86	S 0	NW 0	SE 0	0	0	4	.	
20	1.0	2.8	0.9	1.6	0.7	730.1	729.7	729.3	92	87	99	S 0	NW 0	SE 0	10	10●	10	1.9	● 10-20¼
21	0.6	3.1	2.0	1.9	1.1	727.3	726.6	726.1	97	93	92	S 0	S 0	SW 0	8	7	10	.	∼ |
22	1.5	2.2	0.8	1.5	0.8	725.1	723.8	723.7	85	85	90	NE 0	NW 0	NW 0	10	10	10*	1.2	✳ 17-n mU
23	-0.6	1.8	-1.6	-0.1	-0.7	723.5	723.1	723.4	81	67	77	W 0	SE 0	NE 0	10	8	7	.	⊠
24	-1.4	-1.1	-2.9	-1.8	-2.4	721.7	721.6	723.0	77	89	77	NE 0	NE 0	NE 0	10	10	10	2.2	✳ 10-12¾ ⊠
25	**-8.4**	-4.0	-7.2	-6.5	-7.0	724.4	723.8	724.0	73	57	70	NE 0	NE 0	NE 0	5	2	4	.	⊠
26	-8.2	-2.8	-3.1	-4.7	-5.1	721.4	722.1	724.4	80	80	94	SE 0	SE 0	SE 0	10	10	10	**4.1**	✳ 15-19, n (26./27.) ⊠
27	-5.2	-1.2	-3.8	-3.4	-3.8	724.7	723.6	724.4	89	91	74	SE 0	SE 0	NE 0	5	2	5	.	⊠
28	-8.1	-2.3	-5.8	-5.4	-5.7	722.5	721.0	721.0	80	87	90	SE 0	NE 0	SE 0	6	10	10	.	⊠
29	-3.6	-0.5	-4.2	-2.8	-3.1	720.8	720.5	718.7	95	90	90	E 0	SE 0	E 0	10	10	10	.	⊠
30	-2.8	1.3	-2.1	-1.2	-1.4	717.4	716.8	717.8	92	90	95	E 0	NW 0	SE 0	8	4	10	.	⊠
31	-1.0	1.2	-0.8	-0.2	-0.4	**715.3**	715.7	716.5	97	88	96	E 0	NW 0	NW 0	10	7	6	.	⊠
Mittel	-0.5	3.0	0.2	0.9	—	726.9	726.6	727.1	88	80	88				8.1	6.6	6.6	Summe 19.2	

Dezember 1956
Beobachter: *Observatoire*

Genève

$\lambda = 6° 09'$, $\beta = 46° 12'$,
$H_b = 405.0$ m, $G = -0.05$ mm

1	0.5	2.1	0.6	1.1	-1.9	728.7	730.6	732.5	70	59	68	NNE 4	NNE 2	NNE 3	9	8	5	.	⚡ n-n mU, ⚡ |
2	-1.9	0.7	-0.1	-0.4	-3.3	734.4	734.9	737.0	75	61	69	NE 2	NNE 1	NNE 1	2	1	1	.	
3	-2.7	2.5	-0.8	-0.3	-3.0	**738.2**	**738.2**	738.1	81	70	86	E 0	NNE 1	SSW 0	10	10	1	.	
4	-0.4	6.1	2.5	2.7	0.1	737.6	736.7	736.6	95	71	89	SE 1	NNE 0	NW 0	4	1	8	.	
5	2.7	4.5	4.1	3.8	1.3	735.9	735.3	735.4	90	92	89	NE 0	NW 0	ENE 0	10	10	10	0.1	
6	3.7	7.1	3.0	4.6	2.2	735.7	734.0	735.3	85	68	89	E 0	SE 0	NW 0	10	2	0	.	● 7¼-7½
7	3.1	7.2	2.5	4.3	2.0	735.5	736.8	735.7	89	88	89	NE 0	NE 1	NE 0	10	9	2	.	
8	1.8	6.1	6.9	4.9	2.7	735.8	735.1	734.6	90	80	85	ENE 0	NNE 1	NNE 1	10	10	10	.	
9	4.3	6.5	1.9	4.2	2.1	734.9	734.7	735.7	80	72	90	NE 0	NNE 0	NW 0	10	0	0	.	
10	-0.1	3.3	4.1	2.4	0.4	735.3	735.2	734.8	**99**	98	92	NNE 0	NNE 0	N 0	0	10≡	10	.	≡ a-p, ⌣ |
11	1.8	4.6	1.7	2.7	0.8	735.4	734.7	734.2	94	89	96	SW 0	N 0	E 0	10	10	10	.	
12	2.4	8.3	7.1	5.9	4.1	733.8	733.0	733.1	89	55	84	ENE 0	N 1	NNE 1	5	8	8	0.4	● 18-19¾
13	7.2	11.2	8.5	9.0	7.3	731.8	731.6	733.6	90	72	69	NNE 1	SSW 1	SE 1	10	10	5	2.3	● 1½-2½, 9¾-10¾, 14¾-15¾,
14	4.2	9.1	7.5	6.9	5.3	732.5	731.1	730.3	85	68	68	NW 0	WSW 1	N 1	3	2	9	.	{17¾-18
15	6.3	11.6	7.4	8.4	6.9	729.7	729.0	729.2	64	**53**	45	E 1	SW 1	SW 1	3	3	2	.	
16	5.5	**13.5**	8.6	9.2	7.8	729.6	730.2	731.9	76	**53**	69	SSW 1	S 1	ENE 1	1	4	1	.	
17	2.1	6.5	3.9	4.2	2.9	734.2	734.2	734.6	82	66	89	ENE 1	NNE 1	NNE 1	0	1	0	.	
18	-0.9	4.4	2.1	1.9	0.7	736.6	736.2	736.3	93	83	99	N 0	ENE 1	ENE 0	0	0	7	.	⌣ |
19	0.2	3.1	1.1	1.5	0.4	736.0	735.8	735.3	90	91	96	SW 0	NW 0	ENE 1	1	9	10	2.3	⌣ |
20	1.8	4.7	3.9	3.5	2.4	735.1	734.2	733.9	97	94	95	NE 0	ENE 1	ENE 0	4≡	10≡	10	.	● 0¼-3¾' ≡ n-p mU
21	2.6	4.2	3.9	3.6	2.6	732.6	731.5	730.5	99	90	89	ENE 1	SE 0	NE 1	10≡	10	10	.	≡ n-a
22	2.5	2.3	1.8	2.4	1.5	729.0	729.0	728.6	76	63	64	NNE 0	NNE 1	NNE 1	10	8	5	.	
23	0.3	3.1	0.7	1.4	0.6	728.0	727.6	727.9	66	55	58	NE 1	N 1	E 1	1	4	10	.	
24	-0.2	1.1	-1.5	-0.2	-1.0	726.3	725.9	727.4	55	55	65	N 1	NNE 1	N 1	5	3	2	.	
25	-2.4	-1.9	-2.6	-2.3	-3.0	729.0	728.9	728.0	69	58	71	NNE 1	NE 1	NE 1	10	10	10	2.5	✳ n (25./26.)
26	**-3.1**	-0.1	-0.9	-1.4	-2.0	726.5	727.4	729.0	91	86	89	NNW 0	NNE 1	NNE 1	10	5	5	1.5	✳ n (26./27.) ⊠
27	-2.3	-0.1	-0.5	-1.0	-1.6	729.2	728.5	728.5	99	92	96	NE 0	S 0	N 0	10≡	10	10	1.5	✳ a-p mU, ≡ n-a ⊠
28	-2.3	0.1	-1.3	-1.2	-1.7	726.7	725.4	725.2	95	80	84	NE 0	NNE 0	NE 0	10	8	10	1.0	✳ a, n (28./29.) ⊠
29	-1.0	2.8	1.7	1.2	0.7	725.6	725.2	723.5	94	87	94	NE 0	NNE 0	NW 0	10	10	10	1.0	● n (29./30.) ⊠
30	1.5	1.7	1.8	1.7	1.3	722.5	722.7	722.1	98	95	96	NE 0	WNW 0	NW 0	10≡	10●	10≡	**5.9**	● 9¾-14½, ≡ n-a, p-n ⊠
31	1.6	2.4	1.9	2.0	1.6	**720.7**	721.3	721.5	98	84	92	WNW 0	NE 0	NNE 1	10≡	10	10	.	≡ n-a
Mittel	1.3	4.5	2.6	2.8	—	731.7	731.4	731.6	86	75	82				6.7	6.6	6.5	Summe 18.5	

$\lambda = 8° 34'$, $\beta = 47° 23'$,
$H_b = 569.4$ m, G = –0.01 mm

Zürich

Dezember 1956
Beobachter: *Meteorologische Zentralanstalt*

Tag	Lufttemperatur 7³⁰	13³⁰	21³⁰	Mittel	Abweich. vom Normalst	Luftdruck 7³⁰	13³⁰	21³⁰	Relative Feuchtigkeit 7³⁰	13³⁰	21³⁰	Windrichtung und Stärke 7³⁰	13³⁰	21³⁰	Bewölkung 7³⁰	13³⁰	21³⁰	Niederschlag	Witterung
1	–4.5	1.2	–4.5	–2.6	–3.2	716.9	717.9	719.6	87	59	81	NNE 1	NE 2	NE 1	2	2	1	0.0	✳
2	–5.5	–1.1	–3.4	–3.3	–3.8	720.0	720.3	722.5	85	56	78	ENE 1	NE 1	SSE 1	2	2	9	.	✳
3	–0.4	2.3	2.0	1.3	0.9	722.2	722.2	**722.8**	82	67	93	SSW 1	SSW 1	SSW 1	10	10	10☽	1.2	● 17¼–20, ☽ III ✳
4	3.5	5.7	5.5	4.9	4.6	722.1	721.4	721.0	94	85	80	SSW 1	S 1	WSW 1	10☽	10	10	9.1	☽ 7–8½, ≡ n–a mU
5	5.3	5.5	4.3	5.0	4.8	720.0	719.6	719.2	68	67	69	SW 1	SSW 1	SW 1	10	10	10	0.4	
6	3.1	4.5	4.3	4.0	3.9	719.1	720.3	720.7	79	82	91	SSW 2	S 1	W 0	10●	10●	10	0.1	● 5–5½, ●tr 7½ p mU, ⸗ 0½–7½
7	3.9	6.5	3.8	4.7	4.6	721.6	721.8	721.7	92	73	87	NNW 1	W 1	NE 0	10	7	8	0.1	≡ 9¼–10½
8	2.8	7.0	4.2	4.7	4.7	721.6	721.3	721.0	93	79	94	S 0	E 1	NE 1	10☽≡	9	3≡	0.1	☽ n–a mU, ≡ n–10, abd–n
9	3.4	4.5	2.1	3.3	3.4	719.6	719.8	720.0	91	84	92	SSW 0	SSW 0	S 1	10=	10	10	.	≡ n–a mU
10	1.5	2.7	2.5	2.2	2.4	720.4	720.2	719.8	92	84	87	S 1	S 1	SSE 0	10	10	10	.	
11	2.3	6.7	0.9	3.3	3.6	719.9	718.9	718.5	80	56	85	S 0	S 1	SW 1	10	1	1	.	⊔ III
12	1.3	6.5	6.7	4.8	5.2	717.7	716.9	716.8	78	57	61	SSW 1	SSW 1	S 1	8	10	9	0.0	
13	7.9	9.3	6.5	7.9	8.3	715.0	714.7	716.8	75	82	67	SSW 2	WSW 2	WSW 2	9	10●	9	**4.0**	● 12–14¼ mU, 16½–20¼, ⸗ 2¼–6¾,
14	4.0	10.0	5.9	6.6	7.1	717.1	715.7	714.1	72	48	65	S 1	SSW 2	SW 2	6	5	4	.	⸗ 0–1½, 20–24½ mU [10½–24 mU
15	5.5	9.7	6.0	7.1	7.7	713.5	713.6	714.0	70	50	64	SSW 2	SSW 1	SSW 1	3	9	1	.	
16	3.9	**11.5**	6.2	7.2	7.9	714.0	715.1	717.1	64	**43**	60	SSE 1	SSE 1	S 1	5	6	3	.	
17	2.5	9.8	3.1	5.1	5.8	719.2	719.4	720.6	70	50	71	SE 0	WSW 1	SSW 0	1	0	0	.	⊔ I, III
18	–0.6	7.0	0.7	2.4	3.2	721.0	720.9	721.0	88	56	84	W 0	SSW 1	ENE 0	0	0	0	0.0	⊔ I
19	–2.9	3.6	–1.0	–0.1	0.8	720.7	720.4	719.8	93	65	92	NE 0	SSW 1	SE 1	0	3	1	0.2	
20	–1.0	2.3	1.9	1.1	2.0	719.5	719.1	718.5	95	92	93	SSW 0	SSW 1	S 0	10●≡	10●	10●	3.6	● 0–10¼, 10¼–17½, 20¼–21¾, ≡ n–11
21	1.7	2.2	0.2	1.4	2.4	717.3	716.5	716.4	93	93	87	SE 1	W 1	NW 1	10	10≡	10	.	● 1–3¼, ≡ 9–p mU
22	–0.4	0.5	–1.5	–0.5	0.6	715.2	713.9	713.6	86	73	91	NNW 1	WNW 1	SSW 1	10	10	10*	1.9	✳ 20–21½, 22–24½
23	–2.8	–0.3	–1.9	–1.7	–0.6	713.0	713.0	712.9	89	72	85	SSE 0	NE 1	W 1	7	7	10*	1.7	✳fl 21½, 23¼–24 ✳
24	–3.8	–1.0	–7.1	–4.0	–2.8	711.7	711.6	713.2	88	76	96	NNE 1	NE 1	NE 1	9*	2	1	0.1	✳ 0–0½, 6¼–8¼ ✳
25	–6.9	–2.7	–8.1	–5.9	–4.7	713.9	713.3	713.6	97	75	93	SSW 1	SSE 1	NE 1	10	3	0	0.1	⊔ I ✳
26	**–9.4**	–5.9	–2.4	–5.9	–4.6	711.5	711.7	713.9	98	92	100	N 1	SW 1	SSW 1	10	10*	10*	2.8	✳fl 11–13, 13–21¾, ⊔ I ✳
27	–2.9	–2.9	–3.2	–3.0	–1.7	714.0	713.3	713.8	100	95	94	WNW 0	WNW 1	NE 1	10	10	10	0.0	≡ n–14½ ✳
28	–6.1	–2.9	–6.9	–5.3	–3.9	712.3	710.5	710.4	93	77	95	NE 1	NNW 1	ENE 1	10	9	10	.	✳
29	–5.9	0.2	–2.5	–2.4	–1.0	710.1	710.2	708.4	93	95	95	S 1	S 1	ENE 0	10	10*	0	1.9	✳ 10½–16½, ≡ 14¼–16¼ ✳
30	–3.5	0.3	–3.3	–2.2	–0.7	707.6	707.2	707.8	98	78	98	NE 1	NE 1	NE 1	10≡	9	10	0.0	≡ n–9¾, p–n, ⊔ I ✳
31	–3.4	–1.5	–3.7	–2.9	–1.4	**705.7**	706.1	707.0	98	88	100	NE 1	S 1	NE 1	10	10	10≡	0.0	≡ p n, ⊔ I ✳
																		Summe	
Mittel	–0.2	3.3	0.6	1.2	–	716.6	716.4	716.7	86	72	85				7.8	7.2	6.5	18.3	

$\lambda = 6° 32'$, $\beta = 46° 51'$,
$H_b = 1601$ m, G = –0.16 mm

Chasseron

Dezember 1956
Beobachter: *J. Liardon*

Tag	7³⁰	13³⁰	21³⁰	Mittel	Abweich.	7³⁰	13³⁰	21³⁰	7³⁰	13³⁰	21³⁰	7³⁰	13³⁰	21³⁰	7³⁰	13³⁰	21³⁰	Niederschlag	Witterung
1	–10.0	–9.3	–8.8	–9.4	—	628.7	629.6	630.6	100	100	100	E 4	E 3	E 4	0	2	2	.	≡ n–9½ mU, ⸗ n–n, ⸗ a–n ✳
2	–6.8	–4.6	–5.0	–5.5	—	631.8	633.4	635.2	38	28	98	E 3	ENE 3	NE 3	3	4	5	.	⸗ n–n ✳
3	–1.8	0.2	–0.3	–0.6	—	636.2	637.3	637.5	100	100	100	N 2	NNW 2	NNW 2	10≡	10☽≡	10≡	1.4	☽ a–p mU, ≡ n–n ✳
4	0.8	1.7	3.0	1.8	—	**637.6**	637.1	636.8	100	100	76	N 2	N 3	WNW 2	4	2	5	.	≡ n–8½ mU, ⸗ a–p ✳
5	2.2	–2.4	–3.8	–1.3	—	635.4	634.7	634.1	68	100	100	W 2	WNW 2	WNW 2	3	10≡	10≡	0.3	✳ n (5./6.), ≡ 12–n ✳
6	–3.8	–0.6	–1.0	–1.8	—	633.9	635.1	635.7	100	100	100	W 3	WNW 2	NE 2	10≡	10≡	10≡	4.0	✳ n–16¾ mU, 16¾–18½, ✳
7	–1.5	–0.4	2.4	0.2	—	635.7	636.2	636.2	100	96	78	E 3	ENE 3	E 3	0	2	0	.	⸗ n–n [≡ n–n, ⸗ n–a ✳
8	0.7	2.4	0.6	1.2	—	636.0	636.2	635.4	100	96	100	E 3	E 3	E 4	10≡	2	10≡	.	≡ n–11¼, 19¾ n, ⸗ n–n ✳
9	0.0	4.0	2.0	2.0	—	634.9	634.8	635.8	100	35	47	ESE 2	S 4	W 2	0	0	0	.	⸗ a–p ✳
10	–3.0	–2.4	–3.0	–2.8	—	635.0	634.7	634.3	100	100	100	W 2	W 3	SSW 1	10≡	10≡	10≡	.	≡ 6¾–8½, 11½–n, ⸗ a–p ✳
11	–4.0	–2.0	–2.4	–2.8	—	634.3	633.9	632.6	100	100	74	W 1	W 2	W 3	6	10≡	9	.	≡ n–8¾ mU, 12½–14½, ⸗ p–n ✳
12	–1.2	2.6	2.6	2.1	—	633.3	633.3	633.4	100	100	100	W 3	W 3	W 4	10≡	9≡	10☽≡	8.6	☽ p–n, ● n (12./13.), *) ✳
13	2.5	2.2	–1.4	1.1	—	632.0	631.4	632.6	100	100	100	W 5	W 5	WNW 4	10●≡	10☽≡	10≡	**14.0**	●☽ n–19½, ≡ ⸗ n–n, ⸗ n–p ✳
14	2.6	–1.0	–1.4	–1.7	—	632.4	631.5	630.3	100	100	100	W 3	W 3	W 4	9	9	10	.	≡ n–7, 16¾–17, ⸗ n–n ✳
15	–0.2	2.8	*4.0	2.2	—	630.2	630.6	* 630.2	100	72	*52	W 4	WSW 3	*WSW 3	8	6	2	.	≡ n–7, 7–9 mU, ⸗ n–n ✳
16	*5.4	**6.0**	5.6	5.7	—	* 630.5	631.8	632.8	*35	42	**26**	*WSW 4	W 4	SSW 4	5*	8	3	.	⸗ n–n ✳
17	2.2	5.0	3.0	3.4	—	634.7	635.4	635.9	69	37	50	SSW 4	S 5	S 3	0	0	0	.	⸗ n–n, ⸗ II ✳
18	1.0	4.2	1.0	2.1	—	635.8	636.5	636.7	53	48	100	S 3	SW 3	WSW 2	2	2	0	.	⸗ n–p ✳
19	–0.6	0.2	–0.3	0.2	—	635.9	635.5	635.3	100	79	74	WSW 2	ESE 2	— 0	10≡	6	8	3.5	✳ n (19./20.), ≡ n 8¾ ✳
20	–2.0	–2.0	–3.0	–2.3	—	634.0	633.8	633.0	100	100	100	WNW 2	W 1	WNW 2	9≡	10≡	10≡	3.2	✳ 12–n mU, ≡ n–n mU ✳
21	–3.6	–4.6	–5.8	–4.7	—	631.7	630.9	630.2	100	100	100	WNW 2	WNW 2	N 2	10≡	8	3	.	≡ n–13 ✳
22	–7.8	–7.6	–8.8	–8.1	—	628.9	627.8	627.1	100	100	100	N 1	W 2	N 2	10≡	10≡	10≡	.	≡ n–n ✳
23	–9.8	–8.6	–10.6	–9.7	—	626.5	626.3	636.3	100	100	100	N 2	WNW 2	W 2	8≡	10*≡	8	0.4	✳ 13½, 16¾–n mU, *) ✳
24	11.8	–10.8	–12.4	–11.7	—	624.4	624.5	625.1	100	100	100	N 2	E 2	E 3	9	0	0	.	≡ 13½–16¼, ⸗ p–n ✳
25	**–12.3**	–9.5	–11.0	–10.9	—	626.6	625.5	624.9	58	56	60	E 2	NW 3	SE 2	0	2	3	0.7	✳ n (25./26.) ✳
26	–8.3	–5.9	–5.4	–6.5	—	623.7	624.0	627.0	100	100	100	SSW 4	W 4	WNW 3	9≡	9≡	9≡	9.0	✳ ≡ ⸗ n–n ✳
27	7.4	6.1	–7.4	–7.0	—	627.2	626.2	627.5	100	100	100	SW 3	SW 3	SSW 3	4	4	10=	0.2	≡ 14½ n, ⸗ n n ✳
28	–7.8	–7.4	–4.2	–6.5	—	624.8	624.3	624.2	100	*95	44	ESE 4	ESE 3	S 3	4	5	8	6.0	✳ n (28./29.), ⸗ n–n ✳
29	–2.4	–1.8	–3.2	–2.5	—	624.5	625.3	624.0	100	100	100	W 3	W 3	WSW 3	10≡	10≡	10≡	2.0	✳ a–p mU, ≡ ⸗ n–n ✳
30	3.0	–2.6	2.2	–2.6	—	622.7	622.8	623.0	100	100	100	SSW 3	S 3	WSW 3	10≡	10*≡	10≡	5.4	✳ 12–17, ≡ ⸗ n n ✳
31	3.6	–1.8	2.0	2.5	—	**621.4**	621.9	622.4	100	100	64	ESE 2	S 2	ESE 3	9	6	8	.	⸗ p–n ✳
																		Summe	
Mittel	–3.2	–1.9	–2.6	–2.6	—	631.0	631.0	631.5	91	87	85				6.5	6.3	6.5	58.7	

*) 12. ≡ n–13, 13–18 mU, 18–n, ⸗ n–n 23. ≡ n–7½, 7½–18 mU, 18–n

Dezember 1956
Beobachter: *Stationspersonal Rh. B.*

Bever

$\lambda = 9° 53'$, $\beta = 46° 33'$,
$H_b = 1711.8$ m, $G = -0.26$ mm

Tag	Lufttemperatur 7³⁰	13³⁰	21³⁰	Mittel	Abweich. vom Normalst	Luftdruck 7³⁰	13³⁰	21³⁰	Relative Feuchtigkeit 7³⁰	13³⁰	21³⁰	Windrichtung und Stärke 7³⁰	13³⁰	21³⁰	Bewölkung 7³⁰	13³⁰	21³⁰	Niederschlag	Witterung
1	-18.8	-7.4	-11.4	-12.5	-6.1	619.7	620.6	621.4	100	84	81	SW 0	SW 0	NE 1	1	0	0	.	
2	-17.6	-7.0	-14.2	-12.9	-6.3	622.5	622.9	624.7	100	63	83	SW 0	SW 0	SW 0	0	0	0	.	
3	-7.0	2.6	4.6	0.1	6.5	625.3	625.6	626.2	82	68	66	SW 0	NE 0	E 1	10	10	6	0.0	✳fl 15½-17
4	-2.2	4.4	-2.8	-0.2	6.7	627.0	626.8	626.7	97	66	97	SW 0	SW 0	SW 0	10	5	4	0.0	● 15¼
5	-7.9	3.0	-8.6	-4.5	2.5	626.1	624.6	624.2	100	58	94	SW 0	SW 0	SW 0	1	2	2	.	
6	-1.9	1.7	-1.0	-0.4	6.8	623.6	623.8	625.6	85	73	71	E 0	N 0	NW 0	10	9	9	0.1	✳ 7¾-9 mU
7	-10.2	0.0	-2.4	-4.2	3.1	626.3	626.7	627.4	100	92	96	SW 0	SW 0	SW 0	1	5	5	.	
8	-4.2	**5.1**	-5.3	-1.5	5.9	626.6	626.4	627.1	100	64	98	SW 0	E 0	SW 0	9	8	7	.	
9	-8.0	-0.2	-10.5	-6.2	1.4	627.6	626.6	627.0	100	68	98	SW 0	SW 0	SW 0	10	1	0	.	≡ 9-11¾
10	-13.0	0.1	-11.5	-8.1	-0.4	626.6	625.7	625.5	100	66	93	SW 0	SW 0	SW 0	0	1	0	.	
11	-15.2	-1.5	-11.4	-9.4	-1.6	624.6	624.3	625.4	100	54	95	SW 0	SW 0	SW 0	0	0	0	.	
12	-14.4	-1.8	-4.9	-7.0	1.0	625.4	624.2	624.5	100	58	88	SW 0	SW 0	SW 0	4	10	8	.	
13	-5.2	1.2	-2.7	-2.2	5.9	623.7	622.1	622.9	98	64	96	SW 0	SW 1	SW 0	8	7	9	.	
14	-11.6	-1.4	-9.2	-7.4	0.8	623.5	622.2	622.1	100	69	95	SW 0	SW 0	SW 0	10	4	6	.	
15	-12.3	-3.0	-9.7	-8.3	0.0	622.5	622.7	624.0	100	63	94	SW 0	SW 0	SW 0	1	7	0	.	
16	-11.8	-1.6	-9.2	-6.5	2.0	625.8	624.9	627.2	100	67	100	SW 0	SW 0	SW 0	0	4	0	.	
17	-13.8	-1.3	-11.2	-8.8	-0.2	628.6	628.1	629.2	99	61	98	SW 0	SW 0	SW 0	0	0	0	.	⌊ |
18	-15.4	-1.1	-11.3	-9.3	-0.6	**629.5**	628.1	628.8	100	52	92	SW 0	SW 0	SW 0	0	0	0	.	
19	-14.5	-1.1	-11.0	-8.9	-0.1	627.8	626.3	626.0	98	**51**	100	SW 0	SW 0	SW 0	0	0	2	.	
20	-13.9	-2.8	-10.4	-9.0	-0.1	624.5	623.4	623.9	100	56	100	SW 0	SW 0	SW 0	2	3	8	.	
21	-13.8	-5.5	-12.6	-10.6	-1.6	622.8	621.5	620.9	100	64	97	SW 0	SW 0	SW 0	9	7	2	.	
22	-16.4	-6.3	-8.4	-10.4	-1.3	619.1	617.4	616.9	100	73	77	SW 0	W 0	E 0	4	9	5	.	
23	-15.0	-7.3	-18.2	-13.5	-4.4	616.5	615.6	616.5	97	52	94	SW 0	NW 1	S 0	8	8	0	.	
24	-23.2	-13.1	-20.7	-19.0	-9.8	615.5	**614.5**	616.0	98	63	94	SW 0	SW 0	NE 1	2	1	0	.	
25	**-24.8**	-12.6	-16.1	-17.8	-8.5	616.4	615.8	616.9	100	68	88	SW 0	SW 0	S 0	4	4	3	.	⌊ |
26	-23.8	-11.2	-11.5	-15.5	-6.2	617.5	616.7	618.3	98	70	80	S 0	SW 0	SW 0	1	8	10	.	
27	-15.2	-5.8	-18.0	-13.0	-3.6	618.8	618.5	619.6	98	57	98	SW 0	SW 0	SW 0	10	1	0	.	
28	-22.2	-7.4	-19.5	-16.4	-7.0	618.9	617.4	618.2	100	56	98	SW 0	SW 0	SW 0	0	0	0	.	⌊ |
29	-21.8	-7.1	-10.8	-13.2	-3.7	618.0	617.2	616.4	100	56	83	SW 0	SW 0	SW 0	1	8	1	.	
30	-12.9	-4.0	-7.9	-8.3	1.2	616.1	616.1	616.9	94	59	87	SW 0	SW 0	SW 0	10	5	6	.	
31	-11.0	-3.0	-7.6	-7.2	2.4	614.9	614.7	616.5	98	88	100	SW 0	SW 0	SW 0	10	10*	3	**0.4**	✳ 8¾-17 mU
																		Summe	
Mittel	-13.5	-3.0	-9.9	-8.8	-	622.6	622.0	622.7	98	65	91				4.4	4.4	3.1	0.5	

Dezember 1956
Beobachter: *Couvent des Capucins*

Sion

$\lambda = 7° 22'$, $\beta = 46° 14'$,
$H_b = 548.6$ m, $G = -0.14$ mm

1	-4.2	0.8	-3.8	-2.4	-4.2	717.7	717.9	720.2	81	60	80	NE 0	NE 0	NE 1	1	0	0	.	
2	-6.1	-0.3	-3.5	-3.3	-4.9	721.6	721.9	724.4	91	63	84	NE 0	NE 0	NE 0	0	0	0	.	
3	-3.2	3.4	1.2	0.5	-1.0	**725.7**	725.2	725.5	89	56	81	NE 0	N 1	NE 0	7	9	5	.	
4	0.6	6.1	2.3	3.0	1.6	725.5	724.0	724.1	85	67	96	NE 0	N 0	NE 0	7	0	0	.	
5	-1.3	4.9	1.7	1.8	0.6	723.7	721.8	722.5	99	76	97	NE 0	N 0	NE 0	0	0	10	.	
6	2.4	6.5	3.6	4.2	3.1	722.7	722.6	723.2	94	86	88	S 0	S 0	SSE 0	10	10	10	.	
7	4.2	7.1	0.7	4.0	3.0	723.7	723.5	723.8	80	65	93	SE 1	E 0	E 0	10	0	0	.	
8	-1.3	5.3	1.3	1.8	0.9	723.8	722.3	722.4	88	70	86	E 0	E 0	E 0	0	0	0	.	
9	-0.5	7.1	1.6	2.7	2.0	722.6	722.0	723.1	93	61	81	E 0	E 0	E 0	0	0	0	.	
10	-0.7	4.1	0.2	1.2	0.0	723.1	721.8	722.3	84	65	85	E 0	SE 0	E 0	0	0	0	.	
11	-0.1	4.1	0.5	1.5	1.0	723.2	722.0	722.7	87	65	76	E 0	NE 0	E 1	9	0	0	.	
12	0.0	6.4	4.9	3.8	3.4	721.9	720.9	720.8	81	53	69	NE 1	NE 0	NE 0	8	9	7	.	
13	2.8	6.8	5.9	5.2	4.9	719.6	719.0	719.7	81	70	96	NE 0	NE 0	NE 0	10	10	10	0.5	● 18¾-20½
14	2.9	7.1	2.2	4.1	3.9	720.1	718.5	718.5	95	79	88	NE 1	NE 0	NE 0	0	7	0	.	
15	0.1	6.8	3.1	3.3	3.2	718.6	717.8	718.2	91	57	72	NE 0	NE 0	NE 0	0	6	2	.	
16	1.9	**8.6**	1.0	3.8	3.8	718.9	718.8	720.8	76	60	57	NE 0	NE 0	NE 0	4	5	0	.	
17	1.2	7.2	3.8	4.1	4.2	722.6	722.0	723.6	76	52	65	ENE 0	ENE 0	ENE 0	0	0	0	.	
18	-1.0	6.6	0.8	2.1	2.2	724.2	723.1	724.0	77	**50**	70	ENE 0	ENE 0	ENE 0	0	0	0	.	⌊ |
19	-2.6	4.6	0.4	0.8	1.0	723.5	722.5	722.8	85	62	77	ENE 0	ENE 1	ENE 0	0	1	5	.	
20	-0.7	3.1	0.1	0.8	1.1	722.4	722.0	721.5	87	88	98	ENE 0	NE 1	NE 0	10	7	2	0.0	✳fl 9½
21	-3.8	1.4	-1.2	-1.2	-0.9	720.3	718.5	718.3	100	88	90	ENE 0	ENE 0	ENE 0	1	5	3	.	
22	-4.0	0.4	-0.4	-1.3	-0.9	717.9	715.9	715.7	95	75	86	ENE 0	ENE 0	ENE 0	9	2	6	.	
23	-1.4	2.0	-3.8	-1.1	-0.6	715.1	715.0	715.5	88	67	75	ENE 0	ENE 0	ENE 0	10	2	0	.	
24	-4.0	0.4	-4.8	-2.8	-2.3	714.4	713.4	715.2	80	54	70	NE 0	NE 1	NE 1	10	1	0	.	
25	**-8.2**	-2.4	-6.8	-5.8	-5.2	716.6	715.7	716.3	85	69	75	NE 0	NE 0	NE 0	0	0	0	0.2	
26	-6.6	-3.8	-4.2	-4.9	-4.3	715.4	715.6	717.3	95	99	100	NE 0	NE 0	NE 0	10*	10	10	**3.4**	✳ 7-10¼, 12½-13¼,
27	-5.6	0.8	-3.4	-2.7	-2.0	717.4	717.0	716.6	100	80	95	N 0	N 0	N 0	0	2	10	.	[22½-23½
28	-6.9	-2.8	-3.0	-4.2	-3.5	715.9	713.9	714.2	81	60	65	E 0	E 0	E 0	1	0	0	.	
29	-2.4	2.1	-0.4	-0.2	-0.5	714.0	713.9	711.9	66	55	75	E 0	E 0	NE 2	10	10	0	.	
30	-2.0	3.0	0.8	0.6	1.4	711.4	710.9	711.1	80	65	68	NE 0	NE 0	NE 1	5	10	0	.	
31	2.8	8.2	2.7	4.6	5.4	**709.1**	709.2	710.4	63	**50**	62	NE 0	NE 0	ENE 1	10	8	0	.	
																		Summe	
Mittel	-1.5	3.7	0.1	0.8	—	719.8	719.0	719.6	86	67	81				4.6	3.7	2.6	4.1	

$\lambda = 8° 58'$, $\beta = 46° 00'$,
$H_b = 276.2$ m, $G = -0.04$ mm

Lugano

Dezember 1956
Beobachter: *G. Vicari*

Tag	Lufttemperatur 7³⁰	13³⁰	21³⁰	Mittel	Abweich. vom Normalst	Luftdruck 7³⁰	13³⁰	21³⁰	Relative Feuchtigkeit 7³⁰	13³⁰	21³⁰	Windrichtung und Stärke 7³⁰	13³⁰	21³⁰	Bewölkung 7³⁰	13³⁰	21³⁰	Niederschlag	Witterung
1	1.4	10.2	2.4	4.7	0.7	736.2	736.2	738.4	44	31	53	SE 1	ESE 2	N 1	0	0	0	.	⌴ I
2	−1.4	10.8	4.6	4.7	0.8	737.6	737.9	740.7	70	38	69	N 1	E 1	N 1	0	0	0	.	⌴ I
3	4.2	7.8	3.8	5.3	1.5	742.2	742.9	742.5	57	62	75	N 1	SSE 1	NNW 1	5	6	0	.	⌴ I
4	10.4	**21.2**	11.6	14.4	10.8	743.1	742.3	743.0	52	29	39	NNE 1	NNE 1	NNE 1	8	0	0	.	
5	5.4	14.8	5.8	8.7	5.2	741.9	740.7	741.4	69	48	79	NNW 1	SSE 1	N 1	4	1	0	.	
6	1.8	18.4	11.4	10.5	7.1	739.5	738.7	741.7	89	**27**	33	ENE 1	NNE 2	NNE 2	1	0	0	.	
7	3.8	13.4	4.2	7.1	3.8	743.0	743.1	744.7	67	41	73	N 1	SSE 1	N 1	0	0	0	.	
8	2.4	20.4	9.6	10.8	7.6	742.9	741.9	743.4	88	28	55	NNW 1	NE 2	N 1	0	0	0	.	⌴ I
9	3.6	7.4	5.8	5.6	2.4	748.5	748.8	748.9	87	81	85	NNW 1	WSW 0	NNW 0	10	10	10	.	
10	5.2	9.2	1.8	5.4	2.3	747.1	746.8	746.5	75	59	86	N 1	N 1	N 1	10	1	0	.	
11	3.6	8.4	3.8	5.3	2.3	745.5	745.4	746.1	87	64	92	NNW 0	ENE 1	N 1	10	5	8	.	⌴ I
12	1.8	6.0	2.2	3.3	0.4	746.5	745.8	746.2	97	78	91	N 1	SSE 1	N 1	10	8	9	.	
13	2.8	6.6	4.0	4.5	1.6	745.2	744.0	743.6	93	77	83	N 1	SE 1	N 1	10	10	9	.	
14	0.8	7.2	2.8	3.6	0.8	743.0	742.4	742.9	93	69	93	N 1	ESE 1	NE 1	0	1	10	.	⌴ I
15	2.8	8.2	2.2	4.4	1.7	743.0	743.0	744.8	96	64	82	W 1	N 1	N 1	10	5	0	.	
16	4.2	7.0	5.8	5.7	3.1	746.6	746.8	748.5	80	68	77	N 0	S 0	NNW 0	10	10	10	.	
17	4.4	10.2	3.4	6.0	3.4	749.3	749.0	749.7	83	55	81	N 1	S 1	N 1	9	0	0	.	
18	−0.2	9.2	1.8	3.6	1.1	**750.4**	749.0	749.2	91	57	88	N 1	SSW 1	N 1	0	0	0	.	⌴ I
19	0.2	7.8	1.4	3.1	0.7	748.0	746.4	746.0	88	61	80	N 1	S 1	N 1	0	0	0	.	⌴ I
20	0.4	7.6	1.4	3.1	0.7	744.7	743.6	743.2	85	58	89	N 1	S 1	N 1	5	1	0	.	⌴ I
21	0.2	6.4	2.0	2.9	0.6	743.5	741.9	741.7	85	68	90	NNW 1	S 1	N 1	9	9	9	.	⌴ I
22	0.2	4.8	1.2	2.1	−0.1	740.0	738.0	737.0	99	76	88	N 1	WSW 0	N 0	5	10	10	.	⌴ I
23	4.2	7.4	−0.8	3.6	1.4	735.1	**735.0**	736.9	30	33	82	N 1	E 1	NNE 1	0	0	0	.	⌴ I
24	−4.0	3.8	−2.4	−0.9	−3.0	735.4	**735.0**	736.6	58	42	59	N 1	W 1	N 1	0	2	0	.	⌴ I
25	−5.0	1.0	−4.0	−2.7	−4.7	738.2	738.1	739.5	50	42	57	NNW 1	NNE 1	N 1	0	0	0	.	⌴ I
26	−5.2	0.0	−3.0	−2.7	−4.7	740.5	740.7	741.1	63	50	56	N 1	NNW 0	N 1	3	4	0	.	⌴ I
27	**−5.4**	2.8	−3.0	−1.9	−3.8	741.8	741.4	742.6	64	47	56	NNW 1	SSE 1	NNE 1	2	1	0	.	⌴ I
28	−5.2	3.8	−3.0	−1.5	−3.3	741.5	740.1	740.7	65	45	64	N 1	S 1	NE 0	0	1	0	.	⌴ I
29	−4.6	2.0	−1.2	−1.3	−3.1	740.5	740.1	740.3	70	60	71	N 1	S 1	N 1	8	7	7	.	⌴ I
30	−2.4	1.2	0.0	−0.4	−2.1	740.0	739.9	739.6	85	72	75	N 1	NNE 0	NNE 0	8	10	10	**8.4**	✳ n (30./31.)
31	−0.4	1.8	1.2	0.9	−0.8	737.2	736.6	737.5	97	82	94	NNE 0	NE 0	N 1	10	10	10	8.3	✳ a, n (31./1.) ⊠
																		Summe	
Mittel	1.0	8.0	2.5	3.8	—	742.5	742.0	742.7	76	55	74				4.7	3.6	3.3	16.7	

$\lambda = 7° 35'$, $\beta = 47° 33'$,
$H_b = 317.3$ m, $G = -0.08$ mm

Basel

Dezember 1956
Beobachter: *Astronom.-Meteorol. Anstalt*

Tag	Lufttemperatur 7³⁰	13³⁰	21³⁰	Mittel	Abweich. vom Normalst	Luftdruck 7³⁰	13³⁰	21³⁰	Relative Feuchtigkeit 7³⁰	13³⁰	21³⁰	Windrichtung und Stärke 7³⁰	13³⁰	21³⁰	Bewölkung 7³⁰	13³⁰	21³⁰	Niederschlag	Witterung
1	−1.8	0.8	−2.0	−1.0	−3.0	740.8	741.5	743.2	88	81	95	N 0	NNW 1	WNW 1	9	5	10	.	✳ 2¾–4¾, ⌴ V III
2	−5.2	1.0	−0.7	−1.6	−3.5	743.8	744.0	745.2	93	**63**	76	N 0	SSE 0	ESE 0	0	1	8	.	⌴ V I
3	0.0	1.9	2.8	1.6	−0.1	744.9	744.9	**745.4**	82	75	90	E 1	E 1	S 0	10	10	10	1.3	● 18¾–20¾, 21½–21¾
4	4.1	8.0	6.6	6.2	4.6	745.0	744.4	743.7	97	87	85	E 1	W 1	WSW 1	10•≡	10	10	0.0	● 3½–5, ⚲ 7½, ≡ 7¾–9¾
5	5.9	7.5	5.7	6.4	4.9	742.9	742.6	741.9	89	79	78	SW 1	WSW 1	SW 1	10⚲	10	10	0.3	⚲ 7–7¾
6	5.6	6.0	5.5	5.7	4.3	741.2	742.8	743.7	85	92	94	SSW 1	S 1	E 1	10	10	10	1.2	● 3¾–4¾, 9¾–12½, 14¾–14½
7	4.2	8.8	2.2	5.1	3.8	744.3	744.8	744.5	97	85	94	E 0	E 0	S 0	10	0	0	.	
8	2.2	6.8	4.7	4.6	3.4	744.6	744.3	743.7	95	85	97	E 1	SW 0	SW 0	10≡	10	10	.	≡ 5–8¼
9	4.0	6.8	3.0	4.6	3.5	742.6	741.8	742.8	98	83	91	NW 1	NE 1	SW 1	10≡	1	10	0.0	≡ n–12
10	4.1	5.0	4.3	4.5	3.5	743.2	743.0	742.4	91	90	88	S 1	E 0	ESE 1	10	10	10	.	⚲ 3¾–4¾
11	3.4	7.5	1.9	4.3	3.3	742.4	741.6	740.8	94	78	92	ESE 1	E 0	S 1	5	9	5	.	
12	3.2	7.6	7.1	6.0	5.1	740.0	738.9	738.6	88	79	92	SE 1	ESE 1	E 1	10	10	10	0.0	
13	10.6	10.7	7.0	9.4	8.6	737.3	737.0	739.8	84	88	80	SW 1	WNW 1	W 1	10	10•	3	3.5	● 8¾–11, 12¾–18
14	6.6	10.2	4.6	7.1	6.4	739.7	738.1	736.5	75	67	80	SSW 1	SSE 0	SSW 1	8	8	0	.	
15	7.5	**11.1**	4.8	7.8	7.2	735.8	735.8	736.2	81	71	89	WSW 1	WNW 1	ESE 1	6	8	0	.	
16	2.5	9.7	5.9	6.0	5.4	738.8	736.9	738.4	89	72	80	ESE 1	E 0	ESE 1	6	8	3	.	
17	1.7	10.0	3.6	5.1	4.6	740.9	741.5	742.2	92	69	80	ESE 1	E 1	ESE 1	0	0	0	.	⌴ I
18	0.2	7.3	1.3	2.9	2.5	743.1	743.2	743.5	91	87	92	ESE 1	ESE 1	ESE 2	0	0	0	.	⌴ I
19	−1.6	4.2	0.1	0.9	0.6	743.3	742.4	742.6	94	80	95	E 1	ESE 1	E 0	2	1	7	0.9	⌴ I
20	−0.2	1.4	2.3	1.2	1.0	742.1	741.8	741.4	93	95	97	E 1	E 1	NW 0	10•≡	10≡	10*≡	**7.3**	●✳ 2¾–12¾, 15¾–15¾, 18¾–19¾, 20½–22¾, ≡ 7¾–n
21	−0.1	0.2	0.0	0.0	−0.2	740.8	740.1	740.2	97	96	93	NW 0	NW 1	NW 1	10*≡	10≡	10	0.1	●✳ 5½–8¾, ≡ n-p
22	−0.4	1.1	−0.1	0.2	0.1	738.9	737.5	737.3	94	88	84	NW 0	NNW 1	W 1	10	10	10	0.3	
23	−1.6	−0.4	1.5	1.2	1.2	736.5	736.4	736.4	92	92	92	S 0	NW 1	WNW 0	10	10*	10	1.6	✳ 3¾ 13¾, 9½ 15¾, ✳ fl 19 ⊠
24	−3.2	−2.2	−4.2	−3.2	−3.1	735.6	735.5	736.9	92	91	93	NW 1	NNW 1	NW 0	10	10	10	.	⊠
25	−4.8	−2.0	**−6.6**	−4.5	−4.4	737.7	736.9	736.8	87	77	87	NW 0	ESE 0	S 1	10	4	0	.	⊠
26	−6.4	−5.0	−3.8	−5.1	−4.9	734.6	734.5	736.5	84	90	92	SSE 1	ESE 1	ESE 1	10	10*	10	1.1	✳ 12¾ 16¾ ⊠
27	−4.0	0.8	−1.8	−1.7	−1.4	736.7	735.8	736.0	94	87	89	ESE 1	SSE 2	SSE 2	0	1	8	0.3	✳ 10¾–11¾, ∾ III ⊠
28	−3.2	−0.9	−3.8	−2.6	−2.3	734.7	733.5	732.8	89	81	84	S 2	E 2	E 2	4	6	0	0.0	✳ fl 23¾, ⚲ 18¾, ∾ I ⊠
29	−3.5	−1.2	−1.0	−1.9	−1.5	732.2	732.8	730.9	87	92	92	E 2	S 1	S 1	10	10	1	0.8	△✳ 9-10, ✳ 11¾-12¾, ● 15-16¾, ⊠
30	−0.5	0.9	0.6	−0.1	0.3	730.1	729.9	730.2	93	88	90	S 2	S 1	S 2	10	10	2	0.0	✳ 10, ●tr 13½, ∾ I, III [∾n-n ✳
31	2.6	0.3	1.7	1.3	0.8	**728.7**	729.3	730.6	95	84	91	NW 1	NW 0	NW 1	10≡	8	0	.	≡ n 8½, ∾ I, III ⊠
																		Summe	
Mittel	0.9	4.0	1.5	2.1	—	739.4	739.1	739.4	90	83	89				7.7	7.1	6.0	18.7	

Dezember 1956
Beobachter: *Observatorium*

Säntis

$\lambda = 9° 21'$, $\beta = 47° 15'$,
$H_b = 2500.1$ m, $G = -0.29$ mm

Tag	Lufttemperatur 7³⁰	13³⁰	21³⁰	Mittel	Abweich. vom Normalst	Luftdruck 7³⁰	13³⁰	21³⁰	Relative Feuchtigkeit 7³⁰	13³⁰	21³⁰	Windrichtung und Stärke 7³⁰	13³⁰	21³⁰	Bewölkung 7³⁰	13³⁰	21³⁰	Niederschlag	Witterung
1	-16.4	-14.6	-15.3	-15.4	-9.0	558.7	560.0	561.5	88	69	67	ENE 4	NE 4	NE 4	1	1	0	.	⸗ n-n
2	-10.8	-7.8	-8.2	-8.9	-2.4	562.6	564.0	566.4	29	**24**	83	NNE 3	NE 3	WNW 3	1	1	2	1.1	✳ (2./3.), ⸗ 10½
3	-6.3	4.8	-5.3	-5.5	1.0	566.5	567.2	568.0	100	100	100	N 3	W 3	W 3	10≡*	10≡	10≡	23.3	✳ n-n mU, ≡ ⋁ n-n
4	-4.0	-1.8	-3.6	-3.1	3.5	568.1	568.2	567.6	100	100	97	W 2	SW 3	WSW 3	10≡	10≡	9	.	≡ n-17¾, ⋁ n-15½
5	-5.8	-3.3	-4.5	-4.4	2.3	566.6	556.0	564.6	90	94	97	SW 3	SW 3	WSW 4	6	1	3	2.7	✳ n (5./6.), ⸗ 16½
6	-7.4	-5.5	5.8	-6.2	0.6	563.9	565.3	566.6	98	100	100	WSW 3	WSW 3	NW 2	10≡*	10≡	10≡	19.2	✳ n-11½, 14¼-19½, ≡ n-n
7	-6.2	-3.0	-3.1	-4.1	2.8	566.8	567.9	568.6	89	96	98	NW 2	NE 2	NE 3	1	4	10≡	1.4	✳ n (7./8.), ≡ 16-17½, 17½-n mU
8	-3.7	-4.0	-4.9	-4.2	2.7	568.0	568.1	567.9	100	100	100	NE 3	NE 2	ENE 3	10≡	10≡	3≡	.	✳ n-6¾, ≡ n-n, ⋁ n-18
9	-3.3	-2.5	-4.2	-3.3	3.7	567.2	567.2	567.2	69	61	72	SE 2	SW 3	W 4	1	0	0	.	⸗ p-n
10	-5.6	-4.0	-5.2	-4.9	2.2	566.3	566.4	565.6	93	83	61	W 4	SW 2	S 2	1	6	0	.	⸗ I
11	-5.8	-4.4	-6.4	-5.5	1.7	564.9	564.6	564.4	61	62	60	ENE 2	SE 2	SW 2	0	1	2	.	
12	-6.0	-2.7	-1.5	-3.4	3.8	564.3	565.1	565.1	57	92	100	WSW 4	WSW 4	W 4	9	10	10≡	6.5	✳ n (12./13.), ≡ 15-n, *)
13	-2.5	-2.7	-4.6	-3.3	4.0	563.3	562.9	563.1	100	100	100	WSW 4	WSW 4	WNW 3	10≡*	10≡*	10≡*	**39.3**	✳ n-n mU, ≡ ⋁ n-n, *)
14	-8.0	-7.9	7.2	7.7	-0.3	562.7	562.5	561.3	100	88	81	SW 3	SW 3	W 4	10≡	5	5	.	≡ n-8¾, 8¾-11 mU, ⸗ p-n
15	-6.7	-3.8	-3.8	-4.8	2.6	561.7	562.2	563.3	95	85	68	W 2	SW 4	SW 4	2	9	2	.	≡ fr, ⸗ a-n
16	-3.2	**-0.8**	-1.7	-1.9	5.6	564.7	565.8	567.5	62	52	52	SW 2	SW 3	S 2	9	8	2	.	
17	-2.0	**-0.8**	-1.0	-1.3	6.3	568.1	568.4	**569.3**	54	43	**24**	E 2	SW 2	NW 2	1	1	0	.	
18	-3.4	-2.1	-4.9	-3.5	4.1	569.1	569.0	568.7	31	30	64	SE 1	SSE 2	ESE 2	0	1	0	.	
19	-4.5	-2.8	-6.5	-4.6	3.1	567.1	566.6	566.3	59	54	86	SE 2	S 2	SW 2	1	1	8	.	
20	-7.2	-7.3	-8.7	-7.7	0.0	564.9	564.1	563.7	100	100	100	W 2	W 2	W 2	9	10≡*	10≡	5.4	✳ 9¾, 11¼-14 mU, 14-20½, *)
21	-9.7	-8.3	-11.0	-9.7	-1.9	562.3	561.3	560.5	97	98	96	SW 2	SW 2	SW 2	9	10≡	10≡	1.3	✳ 8¾-17, ≡ n-7, 9¾-n mU
22	12.1	11.8	-14.8	12.9	5.1	558.8	557.5	556.5	98	94	93	SW 2	SW 2	WSW 2	10≡	10≡	10≡*	5.8	✳ 14¼-17½, 20¼-n, ≡ n-n
23	16.9	14.4	-16.2	15.8	8.0	555.7	555.6	555.3	97	98	97	NW 2	SW 1	WSW 2	6≡	10≡	10≡*	3.7	✳ 8¾-9, 15½-n, ≡ n-9, 12½-n
24	-17.4	-16.2	-18.8	-17.5	-9.6	553.9	**553.8**	554.7	96	94	98	W 2	WSW 1	E 2	10≡*	5	0	1.0	✳ n-9¾, ≡ n-9¾, 11½-
25	**-19.5**	-18.1	-18.6	-18.6	-10.7	554.5	561.5	554.9	94	89	93	WNW 2	SW 3	WSW 2	4	2	0	.	[13½ mU
26	14.6	-10.6	-12.2	-12.5	-4.6	554.6	555.2	557.5	60	100	100	WSW 3	WSW 4	WSW 3	1	10≡*	10≡*	7.2	✳ ≡ 11½-n, ✢ 14-n,
27	-13.8	-13.2	-13.2	-13.4	-5.4	558.1	558.0	558.2	97	65	42	SW 3	SW 3	SW 1	2	1	0	.	[⋁ 16½-n, ⸗ a-p
28	-11.5	-9.3	-10.2	-10.3	-2.3	557.1	556.4	556.7	59	41	34	ESE 2	SSW 2	SW 1	0	1	0	.	
29	-8.9	-7.2	-7.6	-7.9	0.1	556.8	556.7	556.4	95	98	98	W 2	W 3	SSE 2	9	10≡*	1	4.0	✳ 8½-17, ≡ 8¼-20½
30	-8.2	-7.3	-7.7	-7.7	0.4	555.6	555.5	555.9	95	77	74	W 2	SE 2	SE 2	7	8	2	0.2	✳ 8½-10¾ mU
31	-6.9	-5.9	-8.9	-7.2	0.9	554.2	554.6	555.5	77	68	73	SSW 3	SW 2	SSE 2	9	9	2	.	
Mittel	-8.3	-6.7	-7.9	-7.6	—	562.2	562.3	562.5	82	79	81				5.5	6.0	4.5	Summe 122.1	

*) **12.** ⋁ 15½-n, ⸗ n-n **13.** ⸗ n-p, ⸗ 10½, 16½ **20.** ≡ n-8¼ mU, 8¼-n

Dezember 1956
Beobachter: *E. Chiesa*

St. Gotthard (Hospiz)

$\lambda = 8° 34'$, $\beta = 46° 33'$,
$H_b = 2095$ m, $G = -0.27$ mm

1	-12.1	-12.0	-10.3	-11.5	-5.9	588.0	587.2	590.6	95	96	95	NW 3	NW 3	NW 3	10≡	0	0	.	≡ n-9¾, ⸗ n-n
2	-11.0	-6.8	-10.1	-9.3	-3.6	591.4	592.7	591.7	44	**30**	40	NW 2	NW 3	NW 3	1	0	0	7.1	✳ n (2./3.), ⸗ n-n
3	-9.4	-4.2	-3.8	-5.8	0.0	592.9	596.9	596.3	97	98	98	NW 3	NW 3	NW 3	10≡	10≡	10≡	**10.8**	✳ n-n mU, ≡ ⸗ n-n
4	-2.4	-0.5	-2.2	-1.7	4.2	597.5	596.5	597.1	98	97	98	NW 2	NW 2	NW 2	10≡	10≡	0	.	≡ n-19
5	-0.5	-0.1	-1.8	-0.7	5.2	596.3	596.5	595.7	79	75	75	NW 2	NW 1	NW 1	1	0	0	.	
6	-5.2	-4.5	-4.0	-4.6	1.4	593.5	594.2	594.6	99	97	98	NW 2	NW 2	NW 3	10≡	10≡	10≡	7.7	≡ n-n, ⸗ p-n, ✢⋁ 7¾-n
7	-6.0	-2.3	-1.3	-3.2	2.9	595.4	596.8	597.1	95	93	84	NW 2	NW 2	NW 2	0	6	0	.	
8	-2.0	-0.6	-2.7	-1.8	4.4	596.9	596.9	597.1	79	90	72	NW 2	NW 1	NW 1	0	3	0	.	
9	-4.4	0.2	-1.6	-1.9	4.3	596.9	596.8	597.0	60	57	45	SE 1	SE 0	SE 0	0	0	0	.	
10	-3.3	-0.8	-4.6	-2.9	3.4	596.4	595.9	595.2	50	47	66	NW 1	NW 1	NW 1	0	0	0	.	
11	-7.9	-2.4	-6.8	-5.7	0.7	594.4	594.8	594.8	60	68	80	NW 2	SE 1	NW 0	0	0	0	.	
12	-4.5	1.0	-0.2	-1.1	5.3	594.8	594.9	595.1	45	45	73	NW 0	NW 0	NW 0	0	3	9	.	
13	-1.6	-2.8	-1.8	-2.1	4.4	594.2	594.0	593.6	84	88	95	NW 0	SE 0	SE 0	9	10	9	1.5	✳ 14-21 mU
14	-6.7	0.8	-5.3	-3.7	2.8	593.7	592.6	592.3	92	46	75	NW 0	SE 0	SE 0	0	0	0	.	
15	-7.2	-2.9	-6.0	-5.4	1.2	592.5	592.6	593.3	99	72	76	SE 0	SE 1	SE 0	10≡	0	0	.	≡ n-10, ⊽ III
16	-5.6	-2.6	-4.6	-4.3	2.3	594.8	595.7	597.5	98	85	91	SE 1	SE 2	SE 1	0	10	10	.	
17	-6.6	-0.4	-3.8	-3.6	3.0	597.5	598.1	**598.5**	97	65	58	SE 0	SE 1	SE 0	1	0	0	.	
18	-5.4	**1.1**	-2.9	-2.4	4.3	**598.5**	**598.5**	**598.5**	46	37	50	SE 0	SE 0	SE 0	0	0	0	.	
19	-3.2	0.4	-4.6	-2.5	4.2	597.3	596.8	595.9	70	62	59	SE 1	SE 1	NW 0	0	0	0	.	
20	-7.8	-5.7	-7.5	-7.0	-0.3	594.7	594.1	593.8	90	97	96	NW 1	NW 1	NW 1	0	10	0	.	≡ 10¾, 15-20½
21	-8.6	-4.5	-9.2	-7.4	-0.6	592.6	591.5	690.9	71	63	96	NW 1	NW 0	NW 1	0	6	10	.	
22	-10.6	-10.5	-11.3	-10.8	-4.0	589.2	587.5	687.0	95	93	94	NW 2	NW 2	NW 3	10	9	10≡	1.6	≡ ⋁ 16¼-n, ⸗ p-n
23	-13.0	-12.6	-14.2	-13.3	-6.5	585.9	585.8	585.9	90	92	90	NW 2	NW 2	NW 2	10≡	10≡	10≡	0.8	≡ ⋁ n-n, ✢ III
24	-15.8	13.0	-16.0	-14.9	-8.0	584.4	**584.2**	584.9	93	60	62	NW 2	NW 2	NW 2	6	6	10≡	1.3	≡ ⋁ 13¾-n, ✢ p-n
25	**-16.8**	-14.4	-16.4	-15.9	-9.0	585.0	585.1	585.6	50	48	48	NW 1	NW 1	NW 1	0	0	0	.	
26	-14.9	-11.0	-9.0	-11.6	-4.7	585.6	586.2	587.7	52	50	97	SE 0	SE 1	SE 0	0	10	9	2.4	✳ 15¼-n mU
27	-12.4	-6.8	-13.3	-10.8	-3.9	588.2	588.3	588.8	95	44	41	NW 1	SE 0	SE 0	0	0	0	.	
28	-13.7	-8.6	-13.0	-11.8	-4.8	587.7	587.3	587.3	75	61	76	SE 0	SE 0	SE 0	0	0	0	.	
29	-10.2	-6.4	-9.6	-8.7	-1.7	587.1	587.4	587.1	62	51	72	SE 0	SE 1	SE 1	6	10	0	.	
30	-10.2	-9.1	-9.3	-9.5	-2.5	586.3	586.5	586.5	83	86	88	SE 0	SE 1	SE 1	10	9	9	2.8	✳ n (30./31.)
31	-8.8	-6.1	-7.0	-7.3	-0.3	585.4	585.3	586.3	97	90	96	SE 1	SE 1	SE 1	10*	9*	10*	5.9	✳ ✢ n-n mU
Mittel	-8.0	4.8	-6.9	-6.6	—	592.1	592.2	592.4	79	70	78				3.7	4.5	3.7	Summe 41.9	

Ergänzende Witterungsnotizen zu den Tabellen Seite 1—72

Januar

Bern: Alpen klar: 12. I, II, III, 21., 22. I, II, 23. I. — Alpen hell: 1., 17., 23. II, 26. I. — Alpen sichtbar: 11. II. — Alpen schwach sichtbar: 25., 27. I. — Neuschnee: 1. 3 cm, 2. 3,4 cm, 9. 0,5 cm, 10. 4,5 cm, 11. 6,5 cm, 12. 2 cm. — **Neuchâtel:** Scheehöhe: 9. 1 cm, 26. 4 cm. — **Altdorf:** Föhn: 9. 11^h—n, 10. 20^{30h}—12.n, n(23./24.) — Schneehöhe: 26. 8 cm. — **Genf:** Neuschnee: 10. 15 cm. — **Zürich:** Alpen klar: 12. d. g. T. — Alpen hell: 11., 17. Nm., 23. d. g. T. — Alpen sichtbar: 22. Nm. — Föhnmauer: 15. Vm. — Dunst: 4.—7. d. g. T., 10., 16., 17. d. g. T., 20. Nm., 21., 26., 28., 31. d. g. T. — Neblig: 14. Nm., 20. Vm. — Talnebel: 15. Vm., 20. abd. — Neuschnee: 1. 2 cm, 2. 4 cm, 10. 0,5 cm, 11. 1 cm. — **Chasseron:** Nebelmeer (Mittelland): 4. I 1400, II 1200, III 1200, 5. I 1100, III 1200, 6. I 1600, 14. I 1200, II 1100, III 1600, 15. I 1000, 16. II 900, III 1100, 17. I 1000, 20. I 700, II 600, 28. I 800, II 1400, III 1100, 31. I 1100. — Neuschnee: 1. 5 cm, 2. 5 cm, 10. 12 cm, 13. 12 cm, 16. 10 cm, 19. 5 cm, 24. 1 cm, 25. 2 cm, 26. 3 cm, 29. 15 cm, 30. 17 cm. — Schneehöhe: 6. 25 cm, 13. 37 cm, 20. 35 cm. — **Bever:** Morgenrot: 26. — Neuschnee: 9. 2 cm, 10. 10 cm, 14. 2 cm, 18. 12 cm, 19. 2 cm, 27. 10 cm, 28. 2 cm, 30. 2 cm. — Schneehöhe: 6. 10 cm, 13. 22 cm, 20. 38 cm, 27. 45 cm. — **Sitten:** Hochnebel: 24. II. — Talnebel: 7. d. g. T. — Neuschnee: 2. 16 cm, 11. 2 cm, 24. 4 cm, 27. 5 cm, 29. 3 cm. — **Lugano:** Nordföhn: 25. d. g. T., 27. 20^h—n. — Schneehöhe: 9. 2 cm, 10. 18 cm. — **Basel.** Dunst: 31. II. — Neuschnee: 9. 1 cm, 10. 1 cm. — **Säntis:** Föhnmauer: 9. 12—17^h, 10. 9^h—n, 12. d. g. T., 14. 11^h—n, 15. n—12^h. — Neuschnee: 1. 18 cm, 2. 10 cm, 3. 05 cm, 11. 1 cm, 13. 2 cm, 14. 7 cm, 16. 18 cm, 18. 5 cm, 19. 35 cm, 25. 12 cm, 26. 15 cm, 28. 30 cm, 29. 2 cm. — Schneehöhe: 6. 80 cm, 13. 80 cm, 20. 110 cm, 27. 130 cm. — Schneegrenze: 6. 800 m, 13. 1100 m, 20. 800 m, 27. 800 m. — **St. Gotthard:** Neblig: 11. I, II. — Neuschnee: 9. 2 cm, 10. 8 cm, 11. 7 cm, 12. 3 cm, 14. 6 cm, 15. 3 cm, 16. 5 cm, 19. 4 cm, 24. 3 cm, 25. 3 cm, 27. 45 cm, 28. 10 cm, 30. 12 cm. — Schneehöhe: 6. 65 cm, 13. 70 cm, 20. 100 cm, 27. 150 cm.

März

Bern: Alpen klar: 6., 9. I, II, 10. I, 30. I, II. — Alpen hell: 4. II, 21. I, II. — Alpen sichtbar: 10., 24. II. — Alpen schwach sichtbar: 1. II, 2. I, II, 3., 5., 11. II, 22. I, 23. 27., 31. II. — Abendrot: 6. 18^{30h}. — **Altdorf:** Föhn: 18. 12^h—22. 7^h, 23. 14^h—25. 3^h, 28. 19^{25h}—29. 24^h. — Schneehöhe: 6. 2 cm. — Gewitter: 5. 8^{21}—8^{33h}. — **Zürich.** Alpen klar: 20. d.g.T. — Alpen hell: 6. d.g.T. 23., 24. Nm. — Alpen sichtbar: 9. d.g.T. — Föhnmauer: 20. d.g.T., 23. Nm. — Föhnlücke: 20. Vm. — Dunst: 13. Vm., 14.—19. d. g. T., 20., 23. Vm., 24. Nm., 25.—27. d. g. T., 28. Nm., 29.—31. d. g. T. — Gewitter: 31. ⊠ 15^{30}—15^{40h}, (⊠) SW 15—16^{45h}. Neuschnee: 7. 0,5 cm. — **Chasseron:** Nebelmeer (Mittelland: 24. I, 800, II (700), 28. II 1100. — Neuschnee: 1. 1 cm, 5. 2 cm, 6. 3 cm, 7. 1 cm, 8. 3 cm, 12. 1 cm, 18. 0,3 cm, 19. 3 cm, 22. 6 cm, 23. 10 cm. — Schneehöhe: 2. 52 cm, 9. 53 cm, 16. 47 cm, 23. 59 cm, 30. 36 cm. — Gewitter: 31. ⊂ NE, 21^{30h}. — **Bever:** Morgenrot: 29., 30. — Neuschnee: 5. 1 cm, 6. 1 cm, 11. 1 cm, 20. 5 cm, 21. 3 cm, 22. 14 cm, 24. 5 cm. — Schneehöhe: 2. 35 cm, 9. 25 cm, 16. 24 cm, 23. 28 cm, 30. 10 cm. — **Sitten:** Dunst: 9., 10., 14. mtg. — **Lugano:** Nordföhn: 1. d.g.T., 7. Vm.—8. Mtg. — **Basel:** Dunst: 12.—14. I, 15., 17. II, 18. I, II, 19., 20., 24. II, 29. I. — Abendrot: 22. 19^h. — Gewitter: 31. (⊠) S 15^{15}—16^h, (⊠) S 20—24^h. — **Säntis:** Föhnmauer: 18. 12—17^h, 19. 7^h—n., 20. 9^h—n., 21. d. g. T., 22. n.—13^{30h}, 24. n.—19^{30h}, 29. n.—17^h. — Gewitter: 31. ⊠ E 14^{30}—15^{40h}. — Neuschnee: 1. 12 cm, 5. 22 cm, 6. 15 cm, 7. 2 cm, 8. 15 cm, 11. 27 cm, 12. 30 cm, 15. 3 cm, 23. 0,5 cm, 27. 2 cm, 28. 10 cm. — Schneehöhe: 2. 180 cm, 9. 200 cm, 16. 190 cm, 23. 170 cm, 30. 160 cm. — Schneegrenze: 2. Bodensee, 9. 800 m, 16. 900 m, 23. 1200 m, 30. 1500 m. — **St. Gotthard:** Neblig: 5., 29. I. — Neuschnee: 3. 10 cm, 4. 10 cm, 16. 2 cm, 19. 3 cm, 20. 5 cm, 21. 30 cm, 22. 60 cm, 23. 130 cm, 24. 40 cm, 25. 10 cm, 26. 5 cm, 29. 11 cm, 30. 2 cm. — Schneehöhe: 2. 120 cm, 16. 110 cm, 23. 340 cm, 30. 360 cm.

Februar

Bern: Alpen klar: 4. I, 8. I, II. — Alpen schwach si chtbar: 29. I. — Schneehöhe: 16. 4,5 cm, 24. 5 cm. — Neuschnee: 9. 4 cm, 12. 0,5 cm, 16. 1,5 cm, 19. 0,5 cm. — **Neuchâtel:** Dunst: 20., 21. d. g. T., 22. Vm., 23. d. g. T., 24., 25. Nm., 26. d.g.T., 27. Vm. — Schneehöhe: 1. 1 cm, 11. 0,5 cm, 12. 1 cm, 16. 5 cm. — **Altdorf:** Neblig: 21. d.g.T. — Schneehöhe: 1. 5 cm, 9. 14 cm. — **Genf:** Neuschnee: 11. 1 cm, 12. 1 cm, 14. 7 cm, 20. 8 cm. — **Zürich:** Dunst: 2. d.g.T., 4. Vm., 6. Nm., 8., 10. Vm., 11.—14. d.g.Tg., 17. Nm., 18., 19. d. g. Tg., 20. Vm., 25., 26. d.g.T., 27. Vm. — Neblig: 1., 21. d.g.T., 22., 23. Nm., 24., 29. d.g.T. — Nebel: 22., 23., 28. Vm. — Neuschnee: 1. 2 cm, 9. 9 cm, 12. 1,5 cm, 13. 0,5 cm, 15. 1,5 cm, 16. 4 cm, 19. 2,5 cm, 20. 1 cm, 29. 1 cm. — Schneehöhe: 3. 2,5 cm, 10. 10 cm, 17. 13 cm, 24. 15 cm. — **Chasseron:** Nebelmeer (Mittelland): 4. I 1500, 5. I (1500), II (1300), 13. I (1300), 20. I (1300), 21. I (1100), 23. I 1000, 24. I 1000, 25. I 1100, II (1100), 26. I (1400), II (1400), 27. I (1400), II (1400), 28. I 1000. — Neuschnee: 6. 1cm, 9. 1 cm, 13. 1 cm, 14. 2 cm, 16. 12 cm, 18. 1 cm, 20. 2 cm. — Schneehöhe: 3. 56 cm, 10. 49 cm, 17. 56 cm, 24. 55 cm. — **Bever:** Neuschnee: 9. 1 cm, 19. 1 cm. — Schneehöhe: 3. 49 cm, 10. 38 cm, 17. 37 cm, 24. 37 cm. — **Sitten:** Dunst: 23. mtg., 28. d.g.T., 29. abd. — Neblig: 23. Vm. — Hochnebel: 20. mtg., 26. Vm., 27. d.g.T. — Neuschnee: 1. 1 cm, 14. 1,5 cm. — **Lugano:** Nordföhn: 14., 29. d.g.T. — Schneehöhe: 11. 2 cm, 12. 5 cm, 20. 2 cm, 21. 4 cm. — **Basel:** Dunst: 1., 4. II, 5. I II, 14., 18. II, 20.—28. II. — Neuschnee: 9. 3,5 cm, 10. 2,5 cm, 12. 3,5 cm, 16. 2,5 cm, 17. 1 cm, 18. 1 cm, 19. 1,2 cm, 20. 1 cm, 27. 0,5 cm, 29. 1 cm. — Schneehöhe: 3. 2 cm, 10. 6,5 cm, 17. 9,6 cm, 24. 10,3 cm. — **Säntis:** Neuschnee: 1. 3 cm, 2. 2 cm, 6. 1 cm, 7. 45 cm, 8. 23 cm, 9. 25 cm, 10. 7 cm, 12. 1 cm, 13. 2 cm, 14. 2 cm, 16. 15 cm, 17. 4 cm, 29. 2 cm. Schneehöhe: 3. 170 cm, 10. 240 cm, 17. 190 cm, 24. 180 cm. — Schneegrenze: 3., 10., 17., 24. Bodensee. — **St. Gotthard:** Neblig: 20. II, 29. I. Neuschnee: 20. 3 cm, 21. 10 cm, 22. 2 cm, — Schneehöhe: 3. 150 cm, 10. 140 cm, 17. 120 cm, 24. 130 cm.

April

Bern: Alpen klar: 8. I, II, 9., 10, II, 12. I, II. — Alpen hell: 9. 10. I. — Alpen sichtbar: 11. I, II, 13. I, 15. II, 26. I, II. — Alpen schwach sichtbar: 7. II, 15., 27. I, 28., 29. I, II. — Gewitter: 15. ⊠ 17^{12}—17^{20h}, 27. ⊂ N 19^{40}—20^{30h}. — Neuschnee: 6. 1 cm, 7. 3,5 cm. — **Neuchâtel:** Joran: 1. 15^{15}—17^{15h}, 3. 17—21^{15h}, 15. 16^{30}—17^{30h}. — Gewitter: 15. (⊠) Jura 15^{45}—16^{30h}, 27. 18^h—28. 17^{15h}. — **Altdorf:** Föhn: 14. 8^{45}—19^{50h}, 15. 13^{10}—22^{20h}. — **Genève:** Gewitter: 27. ⊠ 18^{50}—19^{20h}. **Zürich:** Alpen klar: 10. d.g.T., 15. Nm. — Alpen hell: 9. Nm., 15. Vm. — Alpen sichtbar: 8. Nm., 9. Vm., 11., 12. d. g. T. — Alpen schwach sichtbar: 8. Vm. — Föhnmauer: 15. d. g. T. — Dunst: 2. Vm., 3., 4., 14. d. g. T., 16., 19., 20. Vm., 21., 22., 24.—27. d. g. T. — Nebel: 1., 5. Nm., 24. Vm. — Neuschnee: 6. 14 cm, 7. 0,5 cm, 18. 4,5 cm. — Schneehöhe: 6. 14 cm. — **Chasseron:** Nebelmeer (Mittelland): 24. I (800). — Neuschnee: 2. 1 cm, 5. 1 cm, 6. 8 cm, 7. 8 cm, 17. 15 cm, 19. 1 cm, 23. 4 cm, 28. 2 cm. — Schneehöhe: 6. 32 cm, 13. 10 cm, 20. 12 cm. — Gewitter: 15. T 14—16^{30h}, 27. T NNW 12^{15}—13^{15h}, ⊠ 15^h. — **Bever:** Morgenrot: 20. I. — Neuschnee: 2. 1 cm, 17. 2 cm, 18. 2 cm, 23. 2 cm. — **Sitten:** Hochnebel: 1. I, 2. I, II, 17., 23. I. — Schneegrenze: 6. 600 m. — **Lugano:** Nordföhn: 5. I, 6., 7., 30. d. g. T. — Gewitter: 1. (⊠) 21—21^{40h}, ⊂ 20^{50}—21^{45h}, 18. T 5^{45h}. **Basel:** Dunst: 19., 21. I. — Gewitter: 15. ⊠ 13^{25}—13^{55h}, (⊠) W 17^{56h}, 28. ▲ 17^{40}—17^{48h}. — Neuschnee: 7. 1 cm. — **Säntis:** Gewitter: 4. ⊠ E 17^h, 27. ⊂ S 21^{30h}. — Neuschnee: 1. 1 cm, 2. 30 cm, 5. 32 cm, 6. 60 cm, 7. 56 cm, 8. 20 cm, 13. 3 cm, 14. 5 cm, 17. 5 cm, 18. 12 cm, 19. 6 cm, 23. 7 cm, 24. 3 cm, 25. 2 cm, 26. 4 cm, 29. 0,5 cm, 30. 8 cm. — Schneehöhe: 6. 250 cm, 13. 210 cm, 20. 200 cm, 27. 180 cm. — Schneegrenze: 6. Bodensee, 13. 1000 m, 20. 800 m, 27. 1600 m. — **St. Gotthard:** Neuschnee: 5. 5 cm, 6. 10 cm, 7. 10 cm, 14. 3 cm, 15. 25 cm, 16. 13 cm, 17. 90 cm, 18. 25 cm, 19. 5 cm, 22. 2 cm, 23. 5 cm, 24. 3 cm, 28. 6 cm, 29. 5 cm. — Schneehöhe: 6. 290 cm, 13. 250 cm, 20. 380 cm, 27. 340 cm.

Mai

Bern: Alpen klar: **16.**, **30.** I. — Alpen hell: **7.**, **9.** II, **10.** I, **16.**, **21.** II. — Alpen sichtbar: **6.** II, **12.** I, **14.**, **15.**, **18.** II, **21.**, **22.**, **29.** I, **30.** II. — Alpen schwach sichtbar: **1.**, **5.**, **8.** II, **9.** I, **11.** II, **18.** I, **22.** II, **25.** I, **26.** II, **28.**, **31.** I. — Gewitter: **17.** (☈) W—S 13^{30h}, ☈ 19—19^{25h}, ☈ 20^{50}—21^{h}, (☈) NW—N 21^{30h}, T III, **18.** < III, ☈ 22^{20}—22^{35h}, **22.** (☈) W 19^{25}—20^{15h}, ☈ N 19^{45}—20^{45h}, **29.** (☈) W 17^{50h}, ☈ 18^{10}—19^{h}, (☈) W 19^{15h}, < III, **30.** (☈) SW 18^{45h}, ☈ 20^{45}—21^{15h}, (☈) 22^{35}—23^{45h}, **31.** (☈) NW 12^{15h}, ☈ 12^{40}—12^{45h}. — **Neuchâtel:** Joran: **7.** 17^{45}—22^{25h}, **8.** 19—22^{15h}, **9.** 17—21^{45h}, **16.** 18^{45}—22^{h}, **22.** 16^{15}—17^{h}, **28.** 19—20^{15h}. — Gewitter: **17.** (☈) 13^{45h}—abd. m. U., **18.** (☈) 3^{h}, (☈) abd., ☈ 21^{05h}, **28.** (☈) Jura Nm., **30.** ☈ 20^{25}—21^{h}. — **Altdorf:** Dunst: **7.**, **9.**, **26.** I. — Föhn: **21.** 18^{25h}—n. **22.** 14^{25}—21^{25h}, **28.** 16^{h}—**29.** 13^{30h}, **30.** 17^{40h}—n. — Gewitter: **11.** ☈ N 10^{20}—10^{42h}, **17.** (T) III, **18.** (T) 16^{30h}, **29.** T 16^{40h}, (☈) 17^{20}—17^{50h}. — **Zürich:** Alpen hell: **21.** Nm. — Alpen schwach sichtbar: **6.**, **16.** Nm., **21.** Vm., **22.** d. g. T., **28.** Vm. — Dunst: **1.**, **3.** d. g. T., **4.**, **5.** Nm., **7.**, **8.**, **15.**, **17.**, **20.**, **22.** Vm., **27.** d. g. T., **28.** Vm. — Taldunst: **16.** d. g. T. — Nebel: **24.**, **30.** fr. — Gewitter: **17.** (☈) SW 15—15^{22h}, ☈ S 15^{22h}, (☈) 20^{40h}, ☈ 22^{30}—22^{40h}, **18.** T 13—14^{40h}, ☈ 21^{10}—21^{20h}, **22.** ☈ 16^{43}—17^{h}, **29.** ☈ 16^{30}—17^{30h}, (☈) 18^{55h}, ☈ 22^{42h}, (☈) 23^{h}, **31.** ☈ 13^{28}—14^{h}. — **Chasseron:** Nebelmeer (Mittelland): **1.** I (1200), **30.** I (900). — Gewitter: **17.** (☈) E 14—15^{30h}, ☈ 19—21^{h}, **18.** ☈ 3^{h}, (☈) Plaine de l'Orbe 18^{30}—19^{30h}, ☈ 20^{50}—21^{30h}, **22.** T 13^{40h}, **26.** (☈) Evian 20^{10}—20^{45h}, **28.** ☈ WNW 18^{30}—19^{h}, **30.** (☈) WNW 18^{15}—19^{15h}, ☈ ESE 19^{30}—20^{15h}, ☈ NE 20^{30}—21^{30h}, **31.** T 3^{15h}, ☈ 12^{45}—13^{30h}, T ESE 14^{30}—16^{h}. — **Bever:** Gewitter: **29.** ☈ abd. — Neuschnee: **11.** 14 cm, **20.** 5 cm. — Schneegrenze: **25.** 1900 m. — **Sitten:** Dunst: **3.**, **4.** I. — Gewitter: **17.** < Sanetsch 22^{30}—22^{45h}, **23.** (☈) Rawil 18^{15h}, **29.** (☈) Rawil 16^{30h}, **30.** (☈) S 20^{30h}, **31.** (☈) 9^{30h}, (☈) 15^{40h}. — Schneegrenze: **11.** 1500 m. — **Lugano:** Nordföhn: **1.**, **2.** d. g. T., **10.** Nm., **11.** d. g. T., **12.** abd., **13.** d. g. T. — Gewitter: **20.** ☈ 20^{h}, **24.** T 10^{30h}, **31.** (☈) 19—19^{30h}. — **Basel:** Dunst: **5.** I, **6.** I, II, **20.** II, **25.** I. — Gewitter: **3.** (☈) E 13^{10}—13^{32h}, (☈) S 13^{45h}—14^{22h}, **17.** (☈) S 17^{10h}, ☈ 18^{35}—18^{55h}, ▲ 18^{30}—18^{32h}, (☈) E 19^{10}—19^{40h}, **18.** ☈ 1^{50}—2^{05h}, ▲ 1^{49}—1^{51h}, **22.** T 17^{55h}, ☈ SW—NE 19^{10}—21^{45h}, **24.** ☈ 13^{25}—13^{55h}, **29.** (☈) W 14^{57h}, ☈ N 19^{45}—21^{20h}, **30.** < S, E und W 20^{45h}, ☈ SW→NE 21^{50}—23^{15h}, **31.** (☈) N 10—11^{50h}, ☈ N 11^{50}—13^{15h}. — **Säntis:** Föhnmauer: **21.**, **22.** d. g. T., **24.** n.—19^{h}. — Gewitter: ☈ SE 6^{55h}, ☈ E 13^{25}—13^{35h}, **17.** ☈ SE 13^{40h}, (☈) E 14^{30}—14^{45h}, ☈ S 16^{45}—16^{50h}, **18.** ☈ N 13^{10}—13^{40h}, **22.** < NW III, **29.** ☈ 17^{35}—19^{50h}, ▲ 17^{30}—18^{30h}, < W und N III, **30.** < WSW III. — Elmsfeuer: **18.** III. — Neuschnee: **1.** 35 cm, **2.** 28 cm, **3.** 4 cm, **4.** 2 cm, **11.** 35 cm, **12.** 12 cm, **13.** 28 cm, **14.** 2 cm, **18.** 4 cm, **19.** 18 cm, **20.** 42 cm, **25.** 3 cm, **26.** 8 cm. — Schneehöhe: **4.** 210 cm, **11.** 190 cm, **18.** 170 cm, **25.** 170 cm. — Schneegrenze: **4.** 1400 m, **11.** 1200 m, **18.** 1600 m, **25.** 1800 m. — **St. Gotthard:** Neblig: **18.** abd., **19.** d. g. T. — Neuschnee: **11.** 10 cm, **20.** 3 cm. — Schneehöhe: **4.** 320 cm, **11.** 240 cm, **18.** 190 cm, **25.** 130 cm.

Juni

Bern: Alpen klar: **16.**, **29.**, **30.** I. — Alpen hell: **6.**, **8.**, **11.** I, **16.** II, **17.**, **27.** I, **30.** II. — Alpen sichtbar: **6.** II, **10.**, **12.**, **28.** I, **29.** II. — Alpen schwach sichtbar: **5.** I, II, **8.**—**12.**, **15.** II, **18.** I, **19.**, **23.**, **27.**, **28.** II. — Gewitter: **6.** (☈) W—N 23^{15}—0^{15h}, **7.** ☈ 14^{43}—15^{15h}, ☈ E 19^{20}—19^{45h}. — **Neuchâtel:** Joran: **1.** 14^{15}—17^{30h}, **10.** 19^{30}—20^{30h}, **19.** 18^{30}—22^{h}. — Gewitter: **6.** (T) 22^{30}—23^{30h}, ☈ 23^{30}—0^{15h}. — **Altdorf:** Dunst: **5.** I. — Föhn: **6.** 9^{40}—16^{10h}, **7.** 9^{45}—17^{55h}, **11.** 9^{15}—19^{25h}. — Gewitter: **20.** ☈ 15^{40}—16^{10h}, **22.** T 6^{05}—6^{38h}, **27.** ☈ 16^{15h}, ☈ 17^{10h}, **28.** ☈ 16^{50h}. — **Genève:** Gewitter: **6.** ☈ 22^{45}—1^{h}. — **Zürich:** Alpen hell: **7.** Nm. 8. d. g. T.. — Alpen sichtbar: **11.** d. g. T., **17.** Nm.. — Alpen schwach sichtbar: **6.** d. g. T., **21.** Nm., **30.** d. g. T. — Föhnmauer: **11.** d. g. T. — Dunst: **2.**—**4.**, **13.**, **16.**, **19.**, **21.**, **26.**, **28.** Vm. — Nebel: **14.** 11^{40}—12^{30h}, **16.** 6^{10}—7^{15h}. — Gewitter: **7.** ☈ N 16^{20}—16^{35h}, < W 17^{h}, **27.** T ESE 14^{25h}. — **Chasseron:** Nebelmeer (Mittelland): **16.** I (900). — Neuschnee: **8.** 8 cm. — Schneehöhe: **8.** 8 cm. — Gewitter: **4.** < NW 20^{30}—21^{h}, **7.** ☈ 17—19^{h}, **10.** (☈) Doubs 15^{30h}, **15.** ▲ 12^{h}. — **Bever:** Gewitter: **15.** 10^{30}—11^{h}, ▲ 13^{35}—13^{42h}, ☈ 18^{30}—18^{40}. — Neuschnee: **9.** 30 cm, **25.** 1 cm. — **Sitten:** Dunst: **27.** I. — Gewitter: **5.** ☈ 19^{40}—21^{35h}. — Hochnebel: **20.** I. — Schneegrenze: **8.** 1600 m, **21.** 1900 m, **23.** 1900 m. — **Lugano:** Nordföhn: **8.**, **9.**, **19.**, **21.**, d. g. T., **22.** abd. — Gewitter: **4.** (☈) 7—7^{30h}, **13.** (☈) 15^{h}, **25.** (☈) 14^{20h}, **27.** ☈ 17—17^{30h}, **28.** T 15^{h}, **30.** (☈) 18^{h}. — **Basel:** Dunst: **4.** I. — Gewitter: **6.** ☈ 0^{55}—1^{50h}, **7.** ☈ 1^{19}—1^{40h}, ☈ 15^{24}—15^{55h}, (☈) NE 20^{30h}, 8. ☈ 16^{18}—17^{05h}, **10.** ☈ 17^{55}—18^{10h}. — **Säntis:** Föhnmauer: 11. n—mtg. — Gewitter: **4.** (☈) N 18^{35}—19^{20h}, < E III, **6.** ☈ 13^{45}—17^{h}, **13.** (☈) NE 19^{40}—20^{45h}, **25.** ☈ E 13^{55h}, **27.** (☈) N 15^{10}—15^{45h}, T E 16^{15}—16^{30h}. — Neuschnee: **1.** 1 cm, **2.** 7 cm, **8.** 12 cm, **9.** 24 cm, **10.** 6 cm, **12.** 3 cm, **15.** 0,5 cm, **16.** 3 cm, **18.** 5 cm, **21.** 17 cm, **22.** 14 cm, **23.** 12 cm, **25.** 0,5 cm, **26.** 1 cm. — Schneehöhe: **1.** 100 cm, **8.** 70 cm, **15.** 70 cm, **22.** 90 cm, **29.** 100 cm. — Schneegrenze: **1.** 2000 m, 8. 1000 m, **15.** 2100 m, **22.** 1500 m. **29.** 2100 m. — **Sankt Gotthard:** Neblig: **27.** 20^{h}—n. — Neuschnee: **8.** 20 cm, **11.** 3 cm, **12.** 5 cm, **21.** 2 cm. — Schneehöhe: **1.** 110 cm, **8.** 50 cm, **15.** 40 cm.

Juli

Bern: Alpen klar: **4.** I, **5.** I, II, **8.**, **9.** I, **18.** I, II, **22.** I. — Alpen hell: **1.** III, **4.**, **6.**—**8.** II, **19.**, **21.** I, **26.** II. — Alpen sichtbar: **6.**, **7.** I, **9.** II, **10.**, **16.** I, **22.** II, **26.** I, **31.** II. — Alpen schwach sichtbar: **1.** I, **3.**, **10.**, **13.** II, **15.**, **17.** I, **20.** II, **28.**, **31.** I. — Gewitter: 8. ☈ 18^{40}—20^{30h}, **9.** < W—N III, **10.** ☈ 16^{10}—18^{05h}, < W—N III, **13.** ☈ 18^{50}—19^{30h}, < III, **15.** (☈) W—NW 17^{50}—20^{h}, **18.** ☈ 20—20^{30h}, (☈) N 21^{50}—22^{15h}, < III, **20.** (☈) 0^{40}—2^{h}, **27.** < III, **29.** (☈) SW—E 18^{50}—19^{20h}. — **Neuchâtel:** Gewitter: **1.** ☈ 23^{05}, **9.** (☈) 13—14^{h}, **10.** ☈ 16^{h}, **13.** (☈) Jura 17^{30}—18^{h}, ☈ 20^{50}—21^{10h}, **14.** ☈ 1^{h}, (☈) 1—5^{30h}, **18.** ☈ 19^{h}, **20.** ☈ 0^{15}—0^{45h}, **27.** (☈) WSW 20—20^{45h}, **29.** (☈) 14^{h}. — **Altdorf:** Dunst: **9.** d. g. T. — Föhn: **1.** 0^{h}—**2.** 12^{45h}. — Gewitter: **18.** ☈ 18^{35h}, **20.** ☈ 13^{33h}, ☈ 16^{25h}, **27.** ☈ 19^{25}—21^{h}, **29.** (T) 18^{30h}. — **Genève:** Gewitter: 8. ☈ 17^{h}, 18. ☈ 18^{40h}, **27.** ☈ 19^{25}—20^{h}, ☈ 20^{15}—21^{05h}, **29.** ☈ 17^{20}—22^{h}. — **Zürich:** Alpen klar: **15.** Nm. — Alpen hell: **4.** Vm., **5.** d. g. T., **8.**, **10.** Vm., **21.**, **22.** fr. — Alpen sichtbar: **3.**, **4.**, **7.**, **8.**, **18.** Nm., **28.** Vm. — Alpen schwach sichtbar: **7.**, **18.** Vm., **22.**, **26.** d. g. T. — Föhnmauer: **2.** fr. — Dunst: **9.** Vm., **13.** Nm., **23.**—**25.** Vm., **27.** d. g. T. — Taldunst: **2.** fr., **19.** Vm. — Tal neblig: **13.**, **29.** Vm. — Talnebel: **13.** 7—8^{h}, **18.** Vm., **22.** fr. — Gewitter: **9.** (☈) S 6^{26}—7^{h}, (☈) SSW 17^{45h}, < NNW 21^{30h}, **10.** ☈ 0—1^{h}, ☈ 18^{20}—18^{40h}, **13.** (☈) 20^{30}—21^{15h}, **15.** (☈) 14^{40h}, (☈) 19^{30}—21^{h}, **18.** ☈ 21^{50h}, ☈ 22^{15}—22^{30h}, ☈ 23—23^{15h}, **20.** ☈ 12^{34}—13^{h}, **27.** ☈ ▲ 20^{42}—22^{30h}, **28.** ☈ S 14^{40}—15^{h}, **29.** ☈ N 16—16^{45h}. — **Chasseron:** Nebelmeer (Mittelland): **12.** III (1000), **13.** I 700, **29.** I 1500, **31.** I (1100). — Gewitter: **9.** ☈ ▲ 15^{30h}, (☈) W 19^{h}, ☈ NW 22^{h}, **14.** 5 ☈ 0—4^{30h}, ▲ 4—6^{h}, **15.** (☈) E 13^{30h}, **18.** ☈ 17^{30h}, ☈ 18^{h}, ☈ 18^{40}—19^{50h}, **19.** (☈) 17^{30h}, ☈ ▲ 19^{30}—20^{40h}, **21.** ☈ 11—11^{40h}, **27.** ☈ SW 19^{45}—20^{15h}, **28.** ☈ 13^{30h}. — **Bever:** Gewitter: **2.** ☈ 20^{45h}, **9.** ☈ SW 6—7^{30h}, **14.** ☈ fr., **15.** ☈ 16^{45h}. — Schneegrenze: **3.** 2100 m. — **Sitten:** Gewitter: 8. (☈) W 14^{35}—16^{05h}, ☈ 16^{05}—16^{25h}, **9.** T 15^{25h}, **10.** ☈ 15^{50}—16^{30h}, **13.** ☈ 18^{05}—18^{30h}, **14.** ☈ 9^{45}—11^{20h}, **15.** (☈) 17^{30h}, **18.** ☈ 20^{30h}, ☈ 22^{40}—23^{h}, **22.** (☈) III, **27.** ☈ 20^{15}—20^{50h}, (☈) Montana 21^{30h}, **29.** ☈ 18^{16}—18^{31h}. — Talnebel: **3.**, **30.**, **31.** I. — Schneegrenze: 4. 1800 m, **17.** 2500 m. — **Lugano:** Gewitter: **2.** ☈ 13^{20h}, ☈ 18^{05}—18^{35h}, **9.** (☈) NE 7^{20h}, (☈) SE 10^{30h}, **10.** ☈ 17^{40}—18^{30h}, ▲ 18^{15}—18^{20h}, ☈ 18^{30}—19^{15h}, (☈) N 19^{40h}, < 20^{30h}, **13.** ☈ 21^{15}—21^{30h}, (☈) Ne 21^{40h}, T 21^{30}—21^{45h}, **14.** ☈ 2—3^{h}, ☈ 4—5^{h}, ☈ 12^{15}—13^{30h}, **15.** ☈ 14^{45}—15^{20h}, **19.** ☈ 4—5^{h}, **20.** ☈ 13^{15}—14^{40h}, ▲ 13^{15}—14^{h}, **28.** ☈ 1—2^{h}. — **Basel:** Dunst: **4.** I, **29.** II. — Gewitter: 8. < N 22^{h}, **9.** (☈) 16^{h}, ☈ 21^{54}—22^{h}, **10.** ☈ 14^{50}—15^{10h}, **13.** T SSW 12^{30h}, < 19^{37}—19^{52h}, ☈ 22^{08h}, **14.** ☈ 2^{h}, ☈ 6^{h}, ☈ 18^{20}—18^{40h}, ▲ 1845^{h}, **15.** ☈ 15—18^{h}, **18.** ☈ 18^{30}—19^{h}, ☈ 20^{50}—21^{10h}, **20.** ☈ S 11—11^{40h}, ▲ 11^{25h}, 28. (☈) 13^{55}—14^{08h}, **29.** ☈ 12^{35}—13^{30h}. — **Säntis:** Föhnmauer: **1.** 17^{h}—**2.** 14^{30h}, **29.** 7—9^{h}. — Gewitter: 8. < WSW 20^{30h}— n, **9.** ☈ 14^{50}—15^{15h}, ☈ N 15^{20}—16^{40h}, (☈) E, SE u. NE 20—20^{50h}, **10.** ☈ 18^{35}—19^{30h}, T E 19—20^{50h}, **14.** ☈ SE 9^{50h}. **18.** < W u. WSW III, **21.** (☈) NE 14^{45}—14^{50h}, **27.** (☈) all. Richtg. 20^{30h}—n, **28.** ☈ S 15^{15}—16^{30h}. — Neuschnee: **3.** 3 cm, **17.** 2 cm. — Schneehöhe: **6.** 30 cm. — Schneegrenze: **6.** 2300 m. — **St. Gotthard:** Neblig: **1.**, **2.** Vm., **14.** 19^{h}—n, **17.** Vm. — Nebelmeer: **30.** n—8^{15h}. — Gewitter: **14.** (☈) fr., ☈ 7^{30h}, **27.** (☈) N 20^{50h}—n.

August

Bern: Alpen klar: **13.**, **16.** I, II, **17.**, **20.** I. — Alpen hell: **4.**, **14.**, **30.** I, **31.** I, II. — Alpen sichtbar: **1.** II, **6.**, **15.** I, **17.** II, **24.** I, **27.** II. — Alpen schwach sichtbar: **1.** I, **2.**—**6.**, **11.** II, **12.** I, II, **15.**, **24.** II, **25.** I, II, **26.** II, **29.** I, **30.** II. — Gewitter: **10.** ☈ 19^{30}—21^{10h}, ☈ 21^{40}—23^{h}, **11.** < E 0^{30h}, **17.** T 13^{15h}, T 18^{15h}, < NW 18^{30h}, ☈ E—NE 22^{15}—22^{40h}, **18.** (☈) S→E 22^{10}—22^{30h}, **20.** ☈ 12^{10}—12^{50h}, ☈ 13^{35}—13^{50h}, < W 18^{30h}, < T W 22^{40h}, (☈) W—NW 22^{45h}, **22.** ☈ 17^{25}—

17^{35h}, 25. (⊠) NW 16^{10}—16^{20h}, 28. ⊠ 9^{22}—9^{40h}, 29. ⊠ 17^{10}—17^{20h}. — **Neuchâtel:** Joran: 15. 19—20^{h}, 19. 16—20^{h}. — Gewitter: 10. (⊠) abd., 17. ⊠ 9^{h}, ⊠ 12^{h}, ⊠ 13^{h}, ⊠ 18^{h}, 20. ⊠ 11^{30}—14^{h}, ⊠ 19^{h}, $29^{.}$. (⊠) 15^{30}—17^{15h}. — **Altdorf:** Neblig: 8. Nm., 9. d. g. T.. — Föhn: 6. 13^{20}—17^{10h}, 27. 6^{50}—16^{45h}, 31. 17^{30}—1. 5^{35h}. — Schneegrenze: 24. 1800 m, 30. 1400 m. — Gewitter: 10. ⊤ 14^{35h}, ⊠ 21^{31h}—n., 17. ⊠ 19^{20}—22^{h}, 18. ⊠ 15^{05}—15^{25h}, 20. ⊤ 15^{06}—15^{10h}, 29. ⊤ 12^{20h}, ⊤ 15^{40h}, ⊤ 16^{33h}. — **Genève:** Gewitter: 10. ⊠ 19^{35h}, 20. ⊠ tagsüber, 22. ⊠ Nm., 27. ⊠ 13^{30h}, 29. ⊠ 15^{40h}. — **Zürich:** Alpen hell: 6. fr., 17. d. g. T., 31. Nm. — Alpen sichtbar: 13. Nm., 14. Vm., 16. d. g. T., 20. Vm. — Alpen schwach sichtbar: 13. Vm. — Föhnmauer: 6. Vm., 31. Nm. — Föhnlücke: 6. Vm., 27., 31. Nm. — Dunst: 9., 10., 22. Vm. — Talnebel: 9. fr., 27. Vm. — Gewitter: 10. ⊠ 18^{h}, ⊠ 21^{30h}, ⊠ 22^{45}—23^{40h}, 17. ⊠ 19^{15h}, ⊠ 19^{45}—19^{50h}, 18. (⊠) SSW 8 km 16^{30}—16^{45h}, 22. ⊠ 19^{25}—19^{45h}. — Saharastaub: 9. Nm. — **Chasseron:** Nebelmeer (Mittelland): 1. I (1100), 6. III (900), 7. III (1600), 8. I (1200), II (1300), 9. I (800, II (1130), 10. I (700), 15. I (1500), 22. I 1000, II (1400), 26. I (1600), III (1600), 28. I (1500). — Gewitter: 10. ⊠ 20^{40}—21^{15h}, 15. ⊲ S III, 17. (⊠) NW 11^{25}—11^{40h}, 20. ⊠ 11^{40}—13^{45h}, (⊠) W 15^{30}—15^{45h}, (⊠) W 17—18^{30h}, (⊠) SSW 18^{40}—19^{h}, 29. ▲ 16^{40h}. — **Bever:** Gewitter: 11. ⊠ 12—13^{h}, 15. ⊲ SW abd., 19. ⊠ fr., ⊠ SE 6^{h}, 28. 19^{10h}. — **Sitten:** Gewitter: 10. ⊠ 21^{15h}, (⊠) 23^{h}, 17. (⊠) 18^{30}—18^{45h}, (⊠) 19^{20h}. — Hochnebel: 28., 29. Vm. — **Lugano:** Nordföhn: 3. Nm., 12. d. g. T., 21. Nm., abd., 30. d. g. T. — Gewitter: 5. ⊠ 23^{h}, 11. ⊲ fr., ⊠ 8^{30h}, 16. (⊲) fr., 19. ⊠ 4—5^{30h}, 20. (⊠) 6^{30h}, 22. ⊠ 22^{h}, 26. ⊠ 19^{h}, 27. ⊠ 15^{30h}, (⊠) 19^{15}—20^{45h}, ⊲ NNW III, 28. ⊠ 17^{40}—18^{30h}, ▲ 17^{40}—18^{h}, ⊲ W 20^{30}—21^{30h}, 29. ⊲ WNW 19^{15h}, ⊠ 19^{40}—20^{10h}. — **Basel:** Dunst: 10. I, 15. Vm., 22. Nm. — Gewitter: 10. ⊲ 20^{50h}, ⊠ 21^{15}—21^{40h}, 17. (⊠) S 13^{10} bis 13^{25h}, ⊠ 13^{25}—13^{45h}, ⊠ 17^{50}—18^{10h}, 20. ⊠ 14^{04h}, (⊠) 22^{h}, (⊠) 22^{20}—22^{40h}, 22. (⊠) 17^{25h}, ⊠ 17^{35}—18^{h}, 23. (⊠) 14^{10h}, 27. ⊠ 14^{05}—14^{25h}, 29. ⊠ 17^{07}—17^{17h}. — **Säntis:** Große Fernsicht: 13. fr. — Föhnmauer: 6. d. g. T., 18. 10^{30h}, 27. fr., 31. 9^{30h}—n. — Gewitter: ⊠ S 18^{15}—19^{30h}, (⊠) SE 20—20^{30h}, ⊲ in allen Richtg. n., 11. (⊠) S 7^{45}—8^{30h}, 15. ⊲ S 21^{30h}, 17. ⊠ E 15^{27}—15^{45h}, ⊠ n., 18. (⊠) SE 15^{50}—16^{30h}, ⊠ SSE 18^{10}—18^{30h}, ▲ 18—18^{40h}, 20. ⊠ SE 15^{35}—15^{55h}, 25. ⊠ SE 17^{14h}. — Neuschnee: 4. 6 cm, 5. 4 cm, 23. 5 cm, 24. 7 cm, 30. 17 cm. — Schneehöhe: 24. 12 cm, 31. 10 cm. — Schneegrenze: 31. 2000 m. — **St. Gotthard:** Neblig: 10. Vm., 22. Nm., 26. Vm. — Gewitter: 10. ⊠ 18^{05}—18^{10h}, ⊠ 19^{45h}, 11. ⊠ fr., 28. ▲ 19—19^{10h}, 29. ⊠ ▲ 15—16^{h}. — Schneegrenze: 24. 2600 m.

September

Bern: Alpen klar: 5. I, II, 7., 9. I, 16. II. — Alpen hell: 8. II, 12. I, 24., 26., 28.—30. II. — Alpen sichtbar: 1. II, 8. I, 12. II. — Alpen schwach sichtbar: 4., 6., 7., 10., 11. II, 13., 14., 24., 26., 28. I. — Gewitter: 1. ⊲ W—NW III, 9. ⊠ 11^{20}—11^{40h}, 10. ⊠ W 18^{40h}, (⊠) 19^{40}—23^{h}, 11. ⊠ SE 5—5^{50h}. — **Neuchâtel:** Gewitter: 6. ⊠ NNE 10^{13}—10^{20}, 9. ⊠ 12^{h}, 10. (⊠) 15^{30}—16^{30h}, ⊠ 17^{15}—17^{45h}, ⊠ 18^{15}—18^{45h}, (⊠) 20—20^{45h}. — **Altdorf:** Dunst: 14., 19. d. g. T., 21. Vm. — Föhn: 1. 13^{50}—2. Nm., 5. 20^{35h}—n., 9. n.—13^{h}, 23. 20^{10h}—25. n. — Schneegrenze: 4. 1700 m. — Gewitter: 10. ⊠ 19^{34}—20^{50h}. — **Genève:** Gewitter: 1. ⊠ 7^{30}—10^{20h}, 9. ⊠ 10^{35}—11^{10h}, 10. ⊠ 18^{25}—19^{50h}, 11. ⊠ 5^{30} bis 7^{35h}. — **Zürich:** Alpen hell: 5. Nm., 7., 8. Vm., 9. Nm., 12. Vm., 26. Nm. — Alpen sichtbar: 1. Nm., 5. Vm., 8. Nm., 9. Vm., 24. Nm., 26. Vm., 28. Nm., 29. d. g. T. — Alpen schwach sichtbar: 16. Nm., 28. Vm. — Föhnmauer: 24., 26. Nm. — Dunst: 1. Vm., 2., 3. d. g. T., 4., 6. Vm., 12. Nm., 14. Vm., 15.—19. d. g. T., 20. Nm., 22.—24. d. g. T., 25. Vm., 29. d. g. T., 30. Nm. — Taldunst: 5. Vm. — Talneblig: 9., 10., 21., 22., 24. Vm., 25. d. g. T. — Talnebel: 17. Vm. — Gewitter: 10. ⊠ 18^{05}—18^{35h}. — **Chasseron:** Nebelmeer (Mittelland): 1. II (1500), 5. I (800), 9. III (700), 10. I (800), 14. II (1600), 15. I (1200), 17. I (800), II (1200), 18. I 1500, II 1300, 19. I 1300, 20. I (800), 21. I (800), 23. I 800, 24. I (800), 25. I (1100), 30. I 800, II (800). — Gewitter: 10. ⊠ 16^{45}—18^{30h}, ⊠ 17^{40}—18^{10h}, 11. ⊠ n.—4^{h}, ⊠ 15^{15h}. — **Bever:** Gewitter: 2. ⊠ E 11^{10} bis 11^{25h}. — **Sitten:** Gewitter: 10. ⊲ III. — Hochnebel: 9. II, 18. III, 26. I, 27. II. — **Lugano:** Nordföhn: 12. Nm., 13. d. g. T. — Gewitter: 2. ⊠ 16^{50}—17^{20h}, ⊠ 19^{05}—19^{30h}, ⊲ N 19^{40h}, ⊲ W 19^{40}—20^{15h}, (⊠) 20^{05}—20^{20h}, ⊠ 20^{40}—21^{50h}, 3. (⊠) 15^{15}—15^{30}, 6. ⊠ 15^{05}—15^{25h}, 26. (⊠) 2—3^{h}, ⊠ 4—5^{h}. — **Basel:** Dunst: 11., 14.—16. I, 18. I, II, 19. I, 24. II, 30. I. — Gewitter: 10. ⊤ 15^{20}—20^{30h}, ⊠ 16^{20}—16^{35h}, ⊠ 18—18^{20h}, ⊲ 23—23^{30h}. — **Säntis:** Föhnmauer: 1. d. g. T., 2. n.—17^{h}, 10. d. g. T., 23. n.—18^{h}, 24. 9^{h}—n., 25. d. g. T., 26. 9^{30}—18^{30h}. — Gewitter: 1. ⊲ WSW 21^{30h}, 6. (⊠) N 13^{45}—14^{05h}, 10. ⊠ E und N 19^{30}—21^{h}. — Elmsfeuer: 3. 16^{30h}. — Neuschnee: 28. 5 cm. — Schneehöhe: 28. 5 cm. — Schneegrenze: 28. 2000 m. — **St. Gotthard:** Neblig: 8. abd., 11. Nm. — Gewitter: 3. (⊠) S 19^{50}—20^{h}. — Schneegrenze: 26. 2500 m, 27. 2400 m.

Oktober

Bern: Alpen klar: 2., 13. I, II, 14. II. — Alpen hell: 1., 22. II. — Alpen sichtbar: 1. I, 11., 20., 24. II. — Alpen schwach sichtbar: 5. II, 20. I. — Gewitter: 20. ⊲ NW 20^{30h}. — Schneehöhe: 27. 3 cm. — Neuschnee: 27. 3 cm, 30. 1 cm. — **Altdorf:** Dunst: 11., 12. II. — Neblig: 15. III. — **Genève:** Gewitter: 5. ⊠ 17^{25}—18^{10h}, 5. ⊠ 22^{40h}—6. 7^{10h}. — **Zürich:** Alpen hell: 14.—16. d. g. T., 17. Vm. — Alpen sichtbar: 12. d. g. T. — Alpen schwach sichtbar: 17. Nm. — Dunst: 1., 2. d. g. T., 6. abd., 8., 9. Nm., 10., 11., 20., 22.—25. d. g. T., 27. Nm., 28. d. g. T. — Neblig: 4. d. g. T., 7. Nm., 8. Vm., 18., 19., 21. d. g. T., 29. Nm., 30., 31. d. g. T. — Tal neblig: 1. d. g. T., 2., 4. Nm., 18. d. g. T., 26. Vm. — Talnebel: 4. Vm., 18. fr., 19. d. g. T. — Neuschnee: 1. 3 cm, 23. 4 cm, 24. 3 cm, 27. 5 cm, 30. 3 cm. — Schneehöhe: 28. 7 cm. — **Chasseron:** Nebelmeer (Mittelland): 1. I (1700), 4. I (1000), II (1400), III 1200, 5. I 1400, II 1400, 7. I 1600, II (1300), 9. I 1400, II (1200), 11. I 800, III 1000, 17. I 600, II (600), III (500), 18. I 600, II 600, III 500, 19. I (600), II 600, 21. III (1500), 24. III (1600), 25. I 1300, II 1400, III 1300, 27. II 1400, 28. I (1400), II (1200), III 900, 31. I 1000, II (800), III 800. — Neuschnee: 20. 3 cm, 21. 4 cm, 26. 5 cm, 27. 8 cm, 29. 3 cm, 30. 2 cm. — Schneehöhe: 7. 30 cm, 14. 10 cm, 21. 12 cm, 28. 25 cm. — **Bever:** Neuschnee: 6. 4 cm, 7. 1 cm, 26. 7 cm, 27. 11 cm, 30. 8 cm. — Schneehöhe: 26. 7 cm. — **Sitten:** Dunst: 2., 7. III, 8. I, 24. III. — Talnebel: 3. II, III. — Schneegrenze: 26. 1100 m, 27. 900 m. — **Lugano:** Nordföhn: 7., 26., 28. d. g. T., 30. Vm—Nm. — Gewitter: 4. (⊠) 20^{h}, 5. ⊠ 16^{05}—17^{30h}, ▲ 16^{45}—17^{h}, 26. ⊠ 13—13^{40h}, ⊠ 16^{h}. — **Basel:** Dunst: 16. I, 23., 24. I, II. — Bodennebel: 11. III. — **Säntis:** Neuschnee: 4. 3 cm, 5. 7 cm, 6. 30 cm, 7. 60 cm, 8. 25 cm, 19. 4 cm, 21. 4 cm, 26. 23 cm, 27. 28 cm, 29. 22 cm, 30. 18 cm, 31. 3 cm. — Schneehöhe: 5. 10 cm, 12. 60 cm, 19. 35 cm, 26. 40 cm. — Schneegrenze: 5. 1700 m, 12. 1100 m, 19. 1600 m, 26. Bodensee. — **St. Gotthard:** Neblig: 18. III. — Neuschnee: 7. 13 cm, 26. 20 cm.

November

Bern: Alpen klar: 7., 8. I, II, 11. I. — Alpen hell: 11. II. — Alpen sichtbar: 27. I. — Alpen schwach sichtbar: 4. I, 10. I, II, 27. II. — Neuschnee: 26. 1,3 cm, 29. 1,1 cm, 30. 4 cm. — **Altdorf:** Schneehöhe: 26. 3 cm, 30. 5 cm. — **Zürich:** Alpen hell: 2. d. g. T. — Alpen schwach sichtbar: 20., 24. Nm. — Dunst: 1. d. g. T., 6. Vm., 11., 12., 14. Nm., 15., 16. d. g. T., 17., 18., 21. Nm., 22. d. g. T., 23. Nm., 24., 25. mtg. — Neblig: 11., 12., 18. Vm., 30. abd. — Tal neblig: 1. 8^{15h}—n., 24. Nm. — Talnebel: 1. n.—8^{15h}. — **Chasseron:** Nebelmeer (Mittelland): 1. I 700, 2. I (700), 9. I 1100, II (1500), III (1400), 10. I 1400, II (1300), III (1000), 16. I 1000, II 1100, III 900, 17. I 900, II 1000, 18. I 900, III (1100) 20. I 1200,, 22. I (900), 23. I 800, II (800), III 800, 24. I 800, II 800, III 800. — Neuschnee: 6. 15 cm, 7. 15 cm, 8. 6 cm, 26. 12 cm, 27. 13 cm, 28. 13 cm, 29. 3 cm, 30. 18 cm, 31. 2 cm. — Schneehöhe: 12. 12 cm, 26. 12 cm. — Gewitter: 5. ▲ 11^{45h}, ⊤ W 13^{15h}. — **Bever:** Neuschnee: 12. 6 cm, 13. 2 cm, 15. 4 cm, 27. 3 cm, 29. 4 cm. — Schneehöhe: 2. 16 cm, 9. 5 cm, 16. 16 cm, 23. 8 cm, 30. 14 cm. — **Sitten:** Dunst: 1. III, 25. II. — Hochnebel: 3. II 2500 m, 6. I 2400 m, 23. I 700 m, II 800 m, III 800 m, 24. I 900 m, II 1100 m, III 1500 m, 27. II 1700 m. — Schneegrenze: 15. 900 m. — **Lugano:** Nordföhn: 2. 20^{h}—n., 5. Vm.—n., 6. d. g. T., 15. Nm.—n., 29., 30. d. g. T. — **Basel:** Dunst: 2. II, 3. I, 9. II, 13. I, 14., 15. I, II, 16. II, 17., 20. I, 21., 24., 25. I, II, 26. II. — **Säntis:** Föhnmauer: 1. d. g. T., 11. 7^{h}—n, 13. 16^{30h}, 14. 16^{30h}. — Gewitter: 28. ⊠ SE 14^{15h}. — Elmsfeuer: 28. 7^{30h}. — Neuschnee: 4. 1 cm, 5. 28 cm, 6. 18 cm, 11. 30 cm, 12. 1 cm, 13. 3 cm, 15. 4 cm, 16. 2 cm, 26. 12 cm, 29. 35 cm, 30. 28 cm. — Schneehöhe: 2. 40 cm, 9. 90 cm, 16. 90 cm, 23. 80 cm, 30. 130 cm. — Schneegrenze: 2. 700 m, 9. 900 m, 16. 600 m, 23. 1300 m, 30. Bodensee. — **St. Gotthard:** Neblig: 1. d. g. T. — Neuschnee: 1. 2 cm, 2. 5 cm, 12. 5 cm, 13. 3 cm, 14. 4 cm, 29. 15 cm.

Dezember

Bern: Alpen klar: **2.** II, **14.** III, **15.** II, **16.** I, II, III, **17.**, 18. I, II, 28. I. — Alpen hell: 4., **7.** II, 8., 14., **15.** I, **19.** I, II. — Alpen sichtbar: **7.** I, **14.** II, **25.**, **26.** I. — Alpen schwach sichtbar: **12.**, **13.** I, II. — **Neuchâtel:** Dunst: **31.** Vm. — Schneehöhe: 28. 5 cm. — **Altdorf:** Neblig: **17.** II, **31.** III. — Föhn: 14. 17h—n. — Schneehöhe: **23.** 3,5 cm, **27.** 9 cm. — **Genève:** Schneehöhe: 28. 4 cm. — **Zürich:** Alpen sichtbar: **10.** Vm. — Alpen schwach sichtbar: **11.** Vm. — Dunst: **1.**—**3.** d. g. T., **4.**, **5.** Vm., **7.**—**9.** d. g. T., **10.** Vm., **11.** Nm., **13.** d. g. T., **14.** Vm., **15.** Nm., **16.** d. g. T., **17.** Vm., **18.**—**24.** d. g. T., **25.** Vm. — Tal neblig: **7.**—**9.** d. g. T. — Neuschnee: **29.** 2 cm, **30.** 2 cm — **Chasseron:** Nebelmeer (Mittelland): **1.** I (1400), II (1300), III (1300), **2.** I (1500), **8.** I (700), II (700), III (700), **9.** I 1000, II (800), **18.** I (1300), II 1300, III 1200, **19.** I 1200, II 1200, III 1200, **20.** I 1100, II 1000, III 1000, **21.** I 1300, II 1300, III 1300, **22.** I 1300, II 1400, **25.** I 1500, II 1400, III 1400. — Neuschnee: **4.** 2 cm, **5.** 4 cm, **12.** 5 cm, **15.** 2 cm, **28.** 2 cm, **29.** 20 cm, **30.** 25 cm. — Schneehöhe: **2.** 30 cm, **9.** 15 cm, **16.** 12 cm, **23.** 10 cm, **30.** 57 cm. — Gewitter: **28.** ⊲ 15^{50h}, Elmsfeuer: 20h. — **Bever:** Schneehöhe: **7.** 12 cm, **14.** 8 cm, **21.** 6 cm, **28.** 6 cm. — **Sitten:** Dunst: **20.** III, **21.** I, II, **23.**, **24.** I, **29.**—**31.** III. — Neuschnee: **26.** 2 cm, **27.** 10 cm. — **Lugano:** Nordföhn: **1.** Vm.—Nm., **4.**, **6.** d. g. T., **8.** Vm.—Nm. — Schneehöhe: **31.** 10 cm. — **Basel:** Dunst: **1.**, **2.**, **7.**—**10.**, **18.**, **19.**, **24.**—**26.** II, **27.** I. — Neuschnee: **23.** 0,4 cm, **24.** 1 cm, **27.** 0,6 cm, **28.** 0,7 cm, **29.** 0,5 cm, **30.** 0,5 cm, **31.** 0,4 cm. — Schneehöhe: **27.** 1,2 cm. — **Säntis:** Föhnmauer: **31.** d. g. T. — Neuschnee: **3.** 2 cm, **4.** 15 cm, **7.** 15 cm, **8.** 1 cm, **13.** 1 cm, **21.** 6 cm, **22.** 2 cm, **23.** 22 cm, **24.** 18 cm, **25.** 3 cm, **27.** 13 cm, **30.** 5 cm, **31.** 1 cm. — Schneehöhe: **7.** 100 cm, **14.** 100 cm, **21.** 100 cm, **28.** 100 cm. — Schneegrenze: **7.** 1100 m, **14.** 1200 m, **21.** 900 m, **28.** Bodensee. — **St. Gotthard:** Neuschnee: **14.** 2 cm, **27.** 2 cm, **31.** 2 cm. — Schneehöhe: **7.** 40 cm, **14.** 40 cm, **21.** 30 cm, **28.** 30 cm.

Säntis Nebelmeer

Obergrenze des Nebelmeeres in Hektometer über Meer; ohne Klammer: geschlossenes, mit Klammer: aufgelockertes Nebelmeer.

1956 Januar

	3.	4.	5.	6.	7.	8.	10.	13.	14.	15.	19.	20.	28.	31.
7^{30}	20	14	9	14	19	19	14	(18)	9	(7)	—	—	25	15
10^{30}	19	13	(9)	14	19	19	(13)	21	9	(6)	—	(8)	12	14
13^{30}	20	13	—	15	19	19	—	—	9	—	—	(8)	15	19
16^{30}	20	12	(12)	18	19	18	—	—	9	—	—	—	13	16
21^{30}	17	11	13	19	20	—	—	—	8	—	17	—	13	—

Februar

	1.	3.	4.	5.	7.	8.	12.	16.	17.	18.	19.
7^{30}	—	—	—	(11)	—	(9)	—	—	—	13	—
10^{30}	—	—	—	(11)	—	(8)	—	—	10	13	—
13^{30}	—	—	—	—	—	—	—	—	10	16	—
16^{30}	22	(18)	(20)	—	25	—	—	24	(16)	19	(19)
21^{30}	—	—	—	—	(20)	—	(23)	—	14	—	21

Februar

	20.	21.	22.	23.	24.	25.	26.	27.	28.
7^{30}	20	11	9	11	10	11	14	14	—
10^{30}	19	—	10	(11)	10	11	14	15	—
13^{30}	(19)	—	(10)	—	(10)	(11)	14	15	(9)
16^{30}	19	—	—	—	(11)	(12)	16	15	—
21^{30}	(15)	—	(10)	—	12	13	16	(12)	—

März

	4.	8.	11.	12.	13.	22.	23.	24.	26.	28.	29.
7^{30}	20	22	—	—	—	—	14	(7)	19	—	7
10^{30}	—	(21)	19	(18)	—	—	19	—	20	14	—
13^{30}	—	24	23	23	23	25	—	—	—	14	—
16^{30}	—	24	—	23	23	—	—	—	—	15	—
21^{30}	—	—	—	—	—	—	—	—	—	10	—

April

	2.	14.	16.	20.	24.	28.
7^{30}	—	—	(7)	(18)	(18)	18
10^{30}	—	—	(9)	—	—	—
13^{30}	24	(16)	(16)	—	—	—
16^{30}	22	(17)	(17)	—	—	—
21^{30}	—	(17)	(16)	18	—	—

Mai

	14.	21.	24.	26.	30.
7^{30}	(9)	(9)	(10)	(8)	8
10^{30}	—	—	—	—	—
13^{30}	—	—	—	—	—
16^{30}	—	—	(23)	—	—
21^{30}	—	—	—	—	—

Juni

	7.	10.	13.	14.	16.
7^{30}	—	(18)	—	19	8
10^{30}	—	22	20	—	—
13^{30}	—	—	—	—	—
16^{30}	—	—	—	—	—
21^{30}	25	—	—	—	—

Juli

	12.	13.	14.	18.	19.	25.	30.	31.
7^{30}	17	7	17	7	(9)	—	—	25
10^{30}	18	—	—	—	16	—	24	25
13^{30}	20	—	—	—	22	—	—	—
16^{30}	18	—	—	—	—	—	—	—
21^{30}	14	—	—	—	—	(19)	—	—

August

	6.	7.	8.	9.	10.	13.	18.	19.	20.	22.	26.	27.	28.	31.
7^{30}	(8)	(12)	15	(8)	(7)	(8)	—	—	(12)	(10)	23	(8)	(9)	(8)
10^{30}	—	(14)	15	(9)	—	—	20	—	—	12	21	—	(12)	—
13^{30}	—	—	17	—	—	—	22	19	—	(14)	(21)	—	(12)	—
16^{30}	(20)	—	(18)	—	—	—	—	—	—	—	—	—	—	—
21^{30}	22	—	17	—	—	—	—	—	—	—	—	—	—	—

September

	2.	3.	5.	9.	10.	14.	15.	16.	17.	18.	19.	20.	21.	22.	23.	24.	25.	26.	30.
7^{30}	—	18	(6)	(6)	(6)	—	10	(6)	20	13	13	—	6	6	—	7	(6)	—	6
10^{30}	—	—	—	—	—	23	(10)	(7)	—	14	13	7	7	(8)	(8)	8	—	—	7
13^{30}	—	—	—	—	—	(23)	—	—	—	16	(13)	(8)	—	—	—	—	—	(20)	—
16^{30}	—	—	—	—	—	—	—	—	—	(18)	—	—	—	—	—	—	—	(22)	—
21^{30}	16	—	—	—	—	—	—	—	19	—	—	—	—	—	—	—	—	—	—

Oktober

	1.	2.	8.	9.	10.	11.	12.	13.	14.	15.	16.	17.	18.	20.	21.	22.	23.	24.	25.	27.	30.	31.
7^{30}	6	6	22	(10)	(9)	9	6	6	7	10	9	6/		14	—	10	8	8	—	22	—	—
10^{30}	7	(7)	24	(16)	—	10	(7)	(7)	8	11	9	(7	—	14	—	11	8	8	(7)	—	(13)	(16)
13^{30}	—	—	25	(18)	—	(11)	—	—	(8)	11	—	—	24	(15)	22	11	8	8	—	—	—	16
16^{30}	—	—	—	(20)	—	—	—	—	—	12	—	—	—	—	(18)	(11)	8	(8)	—	—	—	16
21^{30}	—	—	—	—	—	—	—	—	—	13	—	—	—	—	(13)	—	8	—	—	—	—	15

November

	1.	2.	3.	7.	8.	9.	10.	11.	12.	13.	14.	15.	16.	17.	18.	19.	20.	21.	22.	23.	24.	25.
7^{30}	10	16	—	(7)	8	8	—	(6)	—	(20)	(19)	—	(23)	(14)	8	12	11	14	14	18	20	17
10^{30}	10	—	—	(7)	8	8	(7)	(6)	—	(19)	(18)	(20)	18	(15)	9	11	11	14	14	17	20	16
13^{30}	11	22	23	—	8	8	—	—	—	(18)	(18)	—	18		(10)	12	11	14	15	19	19	16
16^{30}	11	23	—	—	9	(8)	—	—	(24)	(17)	(18)	—	16	(17)	—	13	11	14	15	20	19	(13)
21^{30}	14	18	—	—	8	—	—	—	(20)	(18)	(20)	—	(15)	—	—	13	13	14	16	20	18	—

Dezember

	1.	2.	4.	5.	7.	9.	10.	11.	14.	17.	18.	19.	20.	21.	24.	25.	26.	27.	28.	29.	30.	31.
7^{30}	(20)	10	—	15	19	11	8	21	—	(6)	7	(7)	21	20	—	—	(7)	—	9	(7)	7	8
10^{30}	(19)	(10)	—	16	20	11	10	21	—	—	(7)	(7)	—	—	—	19	(8)	7	10	—	8	9
13^{30}	18	(11)	—	16	(20)	11	11	20	(20)	—	(6)	7	—	—	—	(19)	—	8	10	—	8	8
16^{30}	18	—	—	16	—	10	12	(20)	—	—	(6)	7	—	—	(18)	(16)	—	10	9	—	8	8
21^{30}	18	—	15	16	—	8	16	—	—	—	(6)	7	—	—	—	—	—	9	8	—	8	—

Jungfraujoch: Lufttemperaturen

1956

Tag	Januar			Februar			März			April			Mai			Juni		
	7^{30}	13^{30}	21^{30}	7^{30}	13^{30}	21^{30}	7^{30}	13^{30}	21^{30}	7^{30}	13^{30}	21^{30}	7^{30}	13^{30}	21^{30}	7^{30}	13^{30}	21^{30}
1	-20.4	-21.0	-13.2	-22.0	-25.0	-29.0	-15.4	-15.6	-14.2	-11.0	-10.6	-12.0	**-17.8**	-16.2	-16.4	-7.4	-7.0	-7.0
2	-16.6	-16.4	-16.4	-29.0	-25.2	-22.8	-11.2	-8.8	-11.6	-16.8	-13.4	-11.9	-15.0	-13.6	-13.0	-6.0	4.0	-5.0
3	-17.4	-10.2	-8.0	-21.2	-20.8	-21.6	-8.8	-8.4	**-7.6**	-12.8	-12.4	-14.6	-12.4	-9.8	-11.2	-6.0	4.0	-5.2
4	-7.0	-6.8	-8.0	-21.8	-19.2	-21.0	-12.2	-10.2	-12.0	-14.4	-14.8	-16.0	-9.8	-5.4	-6.2	-2.4	1.6	1.4
5	-6.0	-6.4	**-5.2**	-15.0	-19.4	-18.4	-17.8	-20.0	-22.4	-20.0	-18.8	-17.8	-7.4	-5.8	-5.0	-1.6	**0.8**	-1.6
6	-7.0	-6.4	-10.4	-20.0	-20.0	-23.4	-16.6	-15.0	-14.4	22.2	-23.0	-24.6	-5.6	-2.6	-4.6	-2.6	**-0.8**	-1.8
7	-13.6	-13.6	-15.8	-28.6	-28.0	-22.0	-17.2	-16.8	-17.8	**28.4**	-28.2	-24.8	-4.2	-3.2	-5.0	-3.6	-2.8	-2.0
8	-15.4	-15.0	-17.4	-19.0	-17.4	-20.4	-22.4	-19.8	-19.4	-18.8	-18.6	-17.6	-4.0	-3.2	-4.8	**-14.0**	-13.0	-13.6
9	-18.2	-16.0	-18.2	-25.0	-26.2	-29.2	-17.0	-17.2	-16.0	14.2	-12.4	-11.4	-4.0	-2.8	-5.0	-13.2	-11.2	-12.0
10	-18.2	-15.6	-14.6	-27.4	-24.4	-25.6	-18.4	-19.0	-18.8	-10.6	-8.2	-9.0	-6.8	-6.6	-9.6	-11.2	-7.6	-8.6
11	-15.2	-13.8	-10.6	-21.6	-22.2	-25.6	-24.0	-24.6	-24.6	-9.8	-9.8	-11.2	-12.6	-13.0	-12.8	-8.0	-6.0	-6.4
12	-9.8	-9.0	-10.2	-27.8	-24.0	-29.7	**-25.8**	-25.2	-21.6	-10.4	-7.8	-8.8	-7.6	-8.6	-12.0	-7.8	-3.6	-3.8
13	-10.8	-10.8	-11.4	-29.0	-27.6	-31.4	-19.4	-18.2	-20.4	-9.2	-7.2	-7.8	-12.8	-9.4	-10.2	-2.8	-1.4	-2.0
14	-13.4	-11.0	-12.6	**-36.0**	-35.0	-33.2	-23.2	-22.0	-19.0	-7.8	-8.8	-8.4	-9.6	-8.4	-9.0	-3.6	-1.4	-4.0
15	-10.0	-12.0	-11.4	-31.8	-29.0	-27.6	-16.8	-14.6	-14.8	-9.0	-7.4	-8.4	-9.8	-8.0	-9.2	-7.4	-8.0	-10.4
16	-13.6	-15.9	-10.6	-37.4	-26.2	-25.0	-16.6	-13.0	-13.9	-7.8	**-6.8**	-8.4	-7.2	-5.0	-6.6	-6.4	-3.2	-4.8
17	-9.0	-6.8	-5.4	-23.4	-22.6	-23.2	-13.6	-11.6	-13.4	-10.8	-10.2	-14.8	-7.0	-6.0	-5.8	-5.2	-3.4	-5.8
18	-7.2	-9.0	-12.0	-20.8	-21.0	-18.1	-13.6	-12.2	-11.2	-18.8	-17.8	-19.8	-7.8	-7.8	-6.0	-8.8	-7.0	-7.4
19	-16.2	-15.4	-14.8	-24.0	-22.6	-25.8	-9.6	-8.6	-10.8	-20.8	-18.6	-20.4	-5.0	-5.2	-6.8	-7.2	-4.8	-4.0
20	-11.0	-8.4	-9.4	-24.8	-22.8	-23.0	-13.4	-14.4	-15.4	-18.2	-14.4	-11.4	-7.6	-10.0	-6.0	-4.2	-3.6	-5.4
21	-12.0	-13.0	-11.4	-22.6	-21.4	-22.2	-14.4	-12.6	-12.6	-11.6	-9.4	-8.2	-6.6	-4.2	-4.8	-11.8	-10.0	-11.4
22	-10.8	-11.8	-12.6	-20.2	-18.6	-18.4	-12.6	-11.8	-10.8	-7.2	-8.8	-8.4	-4.8	-3.2	-4.0	-12.4	-11.2	-11.8
23	-9.8	-9.4	-10.8	-19.4	-18.6	-20.6	-10.4	-11.0	-10.4	-10.4	-8.8	-12.8	-5.2	-3.8	-3.6	-6.4	-4.4	-6.4
24	-12.4	-16.0	-18.4	-20.0	-15.8	-14.3	-10.8	-10.4	-10.6	-11.8	-10.4	-12.2	-5.0	-4.8	-7.6	-8.4	-6.0	-9.0
25	-22.4	**-23.0**	-20.0	-13.8	-11.8	-13.6	-11.0	-10.0	-10.3	-14.0	-10.8	-12.0	-8.0	-7.0	-9.0	-10.4	-8.0	-8.0
26	-15.8	-9.6	-10.0	-15.6	-12.2	-12.0	-10.4	-8.6	-10.0	-13.4	-10.4	-11.6	-7.8	-5.8	-4.0	-6.8	-5.4	-3.8
27	-10.6	-14.6	-14.0	-12.6	-10.6	-12.3	-11.6	-10.6	-12.0	11.2	-9.2	-11.2	-2.8	-0.6	0.8	-5.4	-3.6	-5.0
28	-16.2	-15.2	-15.0	-12.6	-11.6	-14.4	-13.8	-11.4	-11.4	12.2	-10.0	-11.0	0.8	**1.4**	-0.2	-6.0	-4.0	-5.4
29	-12.6	-12.6	-12.8	-13.3	-11.2	**-9.2**	-11.8	-10.0	-8.7	12.4	-11.6	-12.0	-0.2	0.8	-2.4	-6.0	-5.2	-4.0
30	-16.0	-16.8	-17.0				-8.6	-8.8	-9.4	12.6	-11.8	-13.2	-0.4	-1.2	-2.6	-1.6	-1.4	-1.0
31	-17.2	-15.6	-18.2				-11.0	-9.4	-9.2				-5.8	-3.6	-6.6			
Mittel	-13.3	-12.8	-12.8	-22.3	-21.0	-21.8	-14.8	-13.8	-14.0	-13.6	-12.3	-13.1	-7.1	-5.9	-6.7	-6.8	-5.1	-5.9

Tag	Juli			August			September			Oktober			November			Dezember		
	7^{30}	13^{30}	21^{30}	7^{30}	13^{30}	21^{30}	7^{30}	13^{30}	21^{30}	7^{30}	13^{30}	21^{30}	7^{30}	13^{30}	21^{30}	7^{30}	13^{30}	21^{30}
1	-2.2	0.2	-2.0	-3.0	-3.0	-2.2	-3.0	-1.0	-3.0	-0.4	**2.0**	1.4	-10.8	-10.0	-10.0	-15.0	-12.0	-12.0
2	-2.8	-2.1	**-8.0**	0.0	-2.8	-3.0	-1.4	-0.1	-1.2	-0.2	1.0	-0.4	-10.6	-11.2	-14.0	-10.8	-10.2	-12.6
3	-7.0	-5.2	-6.4	-5.0	-5.0	-7.6	-1.8	-2.4	-4.6	-2.0	-2.4	-4.0	-11.6	-12.2	-16.6	-11.4	-10.9	-8.6
4	-3.6	-2.0	-0.4	-8.4	-5.6	-6.6	-8.0	-3.2	-1.4	-10.0	-5.6	-9.0	-15.6	-14.2	-14.8	-9.6	-8.6	-9.0
5	-1.4	2.0	-0.2	-9.4	-7.2	-5.2	0.8	**2.4**	-0.8	10.4	-10.0	-17.6	-15.4	-15.0	-15.6	-10.0	-9.0	-11.0
6	0.0	1.4	2.4	-3.4	-2.0	-2.0	-3.6	-1.8	-4.0	-15.8	-15.0	-16.2	-13.6	-12.6	-12.1	-10.4	-11.8	-10.4
7	3.0	4.8	3.4	-0.6	0.0	-1.4	-3.8	-2.8	-4.8	-16.4	-16.0	-17.6	-8.2	-8.4	-6.2	-8.4	-9.2	-7.8
8	3.8	5.4	2.4	1.8	3.6	6.4	-6.4	-1.6	-1.4	17.6	-15.0	-16.0	-4.0	**-3.4**	-4.0	-9.2	-9.6	-9.4
9	-2.6	3.8	0.2	4.4	5.1	5.8	0.0	0.0	0.0	13.6	-10.6	-10.6	-5.2	-3.8	-7.0	-8.4	-7.0	-9.8
10	-1.0	2.4	-0.2	4.6	**6.6**	2.4	1.0	1.2	0.6	10.0	-7.2	-7.0	-10.8	-10.2	-9.9	-9.8	-8.4	-9.4
11	-3.4	3.0	-4.0	-2.8	-3.2	-2.0	-1.8	-2.0	-2.0	-6.6	-3.0	-4.6	-9.8	-11.8	-12.6	-13.0	-12.0	-9.0
12	-1.4	0.0	0.6	-6.4	-6.0	-8.8	-2.4	-1.4	-4.2	-3.6	-4.0	-5.0	-13.6	-12.4	-13.6	-8.2	-7.4	-8.0
13	2.0	2.8	1.0	-4.0	1.2	0.8	-2.0	-1.6	-1.0	-3.2	-2.6	-2.8	-13.0	-10.8	-9.1	-7.6	-9.0	-10.4
14	-1.6	3.4	-4.0	0.4	-0.6	-1.0	-4.2	-2.6	1.2	-1.0	-0.4	-0.2	-8.4	-7.0	-8.4	-10.8	-8.6	-9.8
15	-5.0	-2.4	4.6	-7.6	-2.6	-2.6	0.0	1.8	0.1	-2.6	0.0	-1.6	-9.6	-8.8	-9.0	-11.4	-10.4	-7.6
16	-5.8	2.6	-5.4	-2.2	0.0	-0.4	-0.8	-0.8	-0.2	-2.0	-3.2	-4.4	-10.6	-8.0	-8.4	-5.8	-6.2	-5.2
17	-6.2	4.0	-3.6	-0.4	0.8	1.0	-1.2	-1.4	-1.2	-4.0	-1.8	-2.4	-9.4	-8.6	-9.2	-5.8	**-3.6**	-4.6
18	-1.0	0.6	-0.1	1.2	2.0	0.6	-2.0	0.6	0.4	-5.4	-5.2	-4.8	-11.6	-10.8	-12.4	-4.8	-4.8	-7.6
19	-1.4	1.0	-3.4	0.8	0.2	0.2	-0.8	1.6	0.6	-6.2	-2.8	-4.2	-12.0	-10.8	-10.0	-8.4	-9.8	-11.2
20	-5.0	3.0	5.0	0.0	0.6	1.0	-2.8	-0.6	-1.0	-1.6	0.2	-4.0	-10.8	-10.0	-11.0	-13.2	-14.4	-16.1
21	-5.4	3.2	-6.0	-3.0	-1.6	-3.4	-2.4	-1.6	-2.8	-5.0	-5.0	-7.0	-10.8	-11.8	-10.4	-15.0	-13.8	-14.3
22	-3.6	1.0	-3.2	-1.0	-2.8	-5.0	-3.8	-2.2	-3.4	-2.8	-0.8	-1.4	-10.0	-8.2	-9.2	-17.4	-18.6	-21.3
23	-5.0	-3.6	5.4	-6.4	-6.0	-6.8	-1.8	-0.6	-1.6	-1.4	1.4	-0.4	-10.4	-9.2	-12.8	-24.2	-22.4	-21.8
24	-2.6	-2.2	1.8	-7.0	-7.1	-3.0	0.6	2.0	-3.0	-1.2	-2.4	-2.8	-12.2	-9.8	-11.2	-21.8	-21.8	-24.6
25	-3.0	0.0	1.6	-1.0	-1.1	-3.4	-2.4	-2.0	-3.0	-4.2	-5.2	-9.0	-13.2	-12.6	-10.2	**-25.4**	-24.8	-24.0
26	3.4	**5.6**	4.2	-3.4	-1.4	-0.6	-6.0	-4.1	-4.8	17.6	-18.0	-19.0	-11.6	-10.0	-10.4	-15.4	-15.0	-20.0
27	2.0	2.8	0.6	-0.4	0.4	0.4	-5.2	-5.6	**-11.6**	**19.6**	-17.8	-19.0	-9.6	-8.4	-10.6	-22.6	-18.2	-18.8
28	-0.1	1.0	1.6	-0.2	0.0	-2.2	-3.6	-4.0	-2.4	19.4	-18.2	-17.6	-10.4	-11.8	-16.6	-19.8	-17.4	-15.6
29	1.0	0.4	0.4	-3.4	-3.4	-8.6	-1.4	1.2	-0.8	14.0	-10.4	-14.8	-21.2	-22.2	-22.1	-13.0	-12.4	-13.4
30	-0.4	0.0	1.4	**-12.2**	-10.2	-5.0	-1.2	1.0	0.0	18.8	-18.2	-19.4	-22.6	-22.2	**-23.8**	-14.2	-13.6	-14.3
31	-3.6	1.6	1.4	-2.8	-2.4	-1.8				18.0	-15.5	-16.4				-15.8	-15.1	-14.6
Mittel	-1.9	0.3	1.6	2.6	-1.7	2.1	-2.4	-1.1	-2.0	8.2	-6.8	8.3	-11.5	-10.9	-11.7	-12.8	-12.1	-12.7

1956

Tägliche Maxima und Minima der Lufttemperatur

Zürich

(Nach den Aufzeichnungen des Thermographen)

Tag	Januar		Februar		März		April		Mai		Juni		Juli		August		Septemb.		Oktober		Novemb.		Dezember	
	Max	Min.	Max	Min	Max	Min	Max.	Min	Max	Min	Max.	Min.	Max.	Min.	Max.	Min.	Max	Min	Max	Min.	Max.	Min	Max	Min.
1	2.4	−1.1	−11.2	−18.1	8.4	2.8	9.9	1.3	7.7	**1.5**	15.0	10.5	23.4	13.8	20.7	12.7	22.5	11.1	**24.5**	11.5	4.4	−0.3	1.2	−4.9
2	2.2	0.1	−15.8	−20.6	7.9	2.8	9.3	1.1	9.3	2.5	16.7	9.8	19.7	11.6	20.7	12.5	23.6	13.2	21.0	11.8	2.4	−0.5	−0.6	−5.9
3	1.7	−0.3	−8.2	−17.8	8.1	6.2	13.5	−1.1	12.6	5.9	21.4	10.8	18.6	11.6	15.0	10.9	14.2	9.8	17.4	9.6	3.1	−0.6	2.6	−3.6
4	0.3	−1.6	−3.5	−13.3	9.1	4.5	11.6	1.7	17.5	3.6	24.6	11.7	23.1	11.5	16.8	10.9	18.3	10.0	15.0	8.4	4.3	0.8	6.2	2.3
5	4.7	−2.8	−6.0	−10.6	4.7	0.0	4.1	−0.2	20.2	6.1	24.2	14.8	27.0	14.1	18.3	10.8	23.3	9.2	12.7	3.5	5.5	4.0	5.6	4.1
6	3.0	0.1	−0.9	−7.5	7.6	−2.1	0.7	−2.9	23.3	8.1	23.2	13.3	23.5	16.5	19.8	10.2	20.4	12.0	5.5	3.0	7.5	4.1	5.0	2.8
7	0.1	−2.3	−2.3	−9.3	3.9	−1.6	3.2	**−4.7**	24.1	10.1	**25.3**	5.5	27.6	14.0	15.3	11.6	20.6	12.0	7.2	2.1	10.2	0.7	8.2	2.4
8	−0.4	−2.4	−2.9	−11.3	1.9	−5.4	7.1	−4.0	24.5	11.5	9.2	4.2	**28.8**	14.8	22.1	11.7	23.2	12.8	7.4	1.0	3.3	−2.0	7.1	1.9
9	3.3	−2.3	−4.9	−20.5	2.1	−8.0	14.5	−1.3	24.5	11.0	11.8	6.5	28.4	17.5	26.6	12.2	19.5	11.5	10.1	**−1.2**	9.2	−1.4	5.0	1.0
10	3.7	−2.2	−18.3	**−23.2**	5.6	−6.6	17.9	2.7	16.8	8.3	17.4	**4.1**	26.0	14.8	**29.2**	14.3	22.2	11.3	13.3	−0.1	6.9	−0.1	3.3	0.9
11	8.1	0.2	−13.0	−21.0	0.3	−6.3	16.7	6.2	12.3	6.4	19.3	8.3	15.2	11.0	18.9	13.6	21.6	14.3	11.0	1.6	**12.6**	4.3	7.4	−0.1
12	**10.0**	1.8	−10.4	−17.4	−0.9	−7.4	**19.3**	6.3	9.2	5.7	16.7	11.8	16.4	10.4	18.5	10.1	15.5	13.0	16.4	3.2	6.8	4.5	7.6	0.0
13	7.0	0.8	−10.0	−18.9	−1.3	**−9.2**	14.9	7.6	12.2	5.2	21.5	12.8	27.7	11.6	22.6	7.9	16.4	13.0	16.3	2.5	5.4	2.0	9.8	5.1
14	2.4	0.6	−6.8	−15.2	3.2	−7.2	12.0	8.2	16.2	3.6	12.8	8.1	17.4	13.1	21.7	13.6	18.5	9.5	16.6	1.0	2.4	1.7	9.8	3.5
15	6.2	0.1	−5.5	−10.6	7.7	−6.3	18.7	8.7	17.7	7.4	13.1	6.9	19.9	12.8	22.1	12.1	22.3	**6.9**	9.5	5.6	2.3	0.4	10.3	3.7
16	7.0	1.6	−1.4	−6.0	10.7	−2.7	13.5	8.3	21.3	6.4	16.6	4.8	17.0	12.8	25.2	11.5	**25.0**	11.6	15.5	6.4	5.3	−1.3	**12.6**	3.6
17	**10.0**	2.0	−2.3	−10.0	11.6	−1.8	9.1	0.0	21.0	9.7	15.7	9.6	20.7	11.9	25.0	13.9	22.1	11.7	17.6	5.7	6.3	−1.7	11.6	1.3
18	8.1	3.1	−5.4	−10.3	12.6	0.4	2.3	−0.1	17.1	10.3	14.0	10.3	25.6	11.0	21.9	16.2	17.2	8.9	11.7	9.5	4.8	−1.6	8.3	−0.5
19	3.1	0.0	−6.7	−11.2	12.2	1.4	5.6	−0.6	10.7	5.1	17.7	11.0	20.0	11.5	22.1	14.1	20.2	8.0	16.8	10.5	1.0	−1.2	5.5	−2.8
20	6.5	−2.0	−6.8	−12.4	14.3	1.0	7.6	−0.3	13.3	4.5	15.6	9.9	15.6	11.2	19.2	12.6	23.5	11.3	16.3	9.2	1.6	−0.6	2.6	−3.1
21	5.3	−1.9	−5.3	−13.2	16.9	4.7	12.5	−1.1	19.6	3.2	13.9	8.2	18.2	10.5	16.3	12.4	23.2	9.3	16.5	9.0	−0.2	−3.5	2.7	−0.4
22	8.9	0.9	−3.9	−13.8	14.9	3.0	9.3	4.6	22.7	9.9	13.3	7.3	22.8	10.2	18.7	11.6	22.2	10.5	14.8	7.8	−3.4	−4.7	0.4	−1.6
23	8.1	0.1	−3.8	−9.9	7.8	3.3	8.9	4.3	18.3	12.2	12.0	6.3	21.0	13.1	14.3	11.0	24.3	12.6	10.9	6.7	−3.0	**−5.1**	−0.9	−3.7
24	6.1	−0.4	−2.6	−8.7	16.8	0.8	13.6	1.0	17.3	10.4	14.2	8.0	22.7	12.3	16.0	10.9	23.6	12.5	14.2	6.3	−0.9	−3.6	−1.1	−7.0
25	3.1	−3.6	−2.7	−8.5	10.7	7.0	14.2	2.7	12.9	8.6	15.6	8.0	24.1	14.8	18.8	10.8	20.3	12.8	9.2	5.6	1.3	−1.7	−2.5	−9.3
26	7.0	−5.0	−3.7	−8.9	14.6	7.4	17.1	3.3	20.9	7.1	19.8	10.0	27.5	12.0	18.9	11.6	16.9	13.4	5.4	−0.2	7.1	0.3	−1.9	**−10.4**
27	7.9	2.7	−0.3	−7.6	13.4	6.3	18.6	4.7	22.3	9.3	22.3	10.6	28.5	14.0	22.8	12.0	14.0	9.8	3.0	−1.0	8.1	5.6	−1.6	−3.7
28	2.0	0.0	2.5	−10.2	10.5	4.5	14.1	6.1	**29.8**	13.1	21.5	12.0	25.0	15.0	16.3	12.5	19.3	10.3	3.6	0.7	8.9	0.1	−2.5	−7.0
29	3.2	0.5	**7.2**	−0.2	15.1	3.3	14.7	3.3	25.3	14.5	18.8	13.0	20.6	15.4	12.8	8.8	22.4	11.0	4.5	−0.1	2.8	−0.6	0.2	−7.5
30	6.5	1.4			**18.6**	5.8	8.0	3.3	24.2	12.4	25.0	11.1	17.6	12.9	15.9	8.6	23.0	10.1	4.8	0.0	2.0	−2.4	−0.3	−4.5
31	1.5	**−11.0**			16.7	7.0			19.2	11.5			21.3	**10.1**	18.4	**6.7**			4.6	0.2			−0.7	−5.3
Mittl. Max.	4.81		−5.34		9.22		11.42		18.19		17.61		22.29		19.71		20.64		12.04		4.27		3.90	
Mittl. Min.	−0.74		−12.63		0.24		2.30		7.91		9.31		12.83		11.62		11.11		4.51		0.15		−1.57	
Differenz	5.55		7.29		8.98		9.12		10.28		8.30		9.46		8.09		9.53		7.53		4.12		5.47	
Abs. Max.	10.0		7.2		18.6		19.3		29.8		25.3		28.8		29.2		25.0		24.5		12.6		12.6	
Abs. Min.	−11.0		−23.2		−9.2		−4.7		1.5		4.1		10.1		6.7		6.9		−1.2		−5.1		−10.4	
Differenz	21.0		30.4		27.8		24.0		28.3		21.2		18.7		22.5		18.1		25.7		17.7		23.0	

Stündliche Monatsmittel der Lufttemperatur

	Januar	Februar	März	April	Mai	Juni	Juli	August	Septemb.	Oktober	Novemb.	Dezemb.	Jahr
1^{30}	1.48	−10.53	2.70	4.57	9.92	10.92	14.50	12.85	12.80	6.27	1.12	0.11	5.56
2^{30}	1.42	−10.62	2.41	4.19	9.46	10.74	14.21	12.68	12.55	6.12	1.07	−0.06	5.35
3^{30}	1.29	−10.89	2.17	3.87	9.16	10.45	13.91	12.52	12.37	6.05	1.00	0.05	5.16
4^{30}	1.23	−11.03	1.91	3.65	8.90	10.17	13.62	12.38	12.16	5.89	0.90	0.07	4.99
5^{30}	1.05	−11.17	1.66	3.36	8.84	10.27	13.61	12.28	12.00	5.83	0.90	−0.03	4.88
6^{30}	0.93	−11.20	1.25	3.47	9.36	10.71	14.01	12.41	11.90	5.76	0.83	0.00	4.95
7^{30}	0.97	−11.09	1.43	4.19	10.46	11.55	15.01	13.13	12.28	5.91	1.03	−0.09	5.40
8^{30}	0.82	−11.07	2.22	5.20	11.73	12.44	16.07	14.09	13.16	6.20	1.00	−0.10	5.98
9^{30}	1.23	−10.43	3.30	6.37	13.10	13.44	17.11	15.08	14.27	6.92	1.37	0.38	6.85
10^{30}	1.81	−9.77	4.34	7.45	14.28	14.20	18.12	15.95	15.64	7.87	1.96	1.10	7.75
11^{30}	2.36	−8.86	5.58	8.44	15.22	15.07	18.99	16.74	16.85	8.85	2.39	1.80	8.62
12^{30}	2.73	−7.96	6.56	9.22	15.86	15.52	19.64	17.63	17.87	9.73	2.94	2.64	9.37
13^{30}	3.34	−7.00	7.46	10.00	16.23	16.01	20.24	18.06	18.54	10.40	3.39	2.99	9.97
14^{30}	3.56	−6.59	8.14	10.26	16.38	16.31	20.40	18.13	19.16	10.87	3.43	3.22	10.27
15^{30}	3.36	−6.39	8.08	10.40	16.46	16.31	20.39	18.05	19.51	10.88	3.39	3.02	10.29
16^{30}	3.00	−6.74	7.83	10.03	16.52	15.93	20.44	18.03	19.21	10.46	2.97	2.21	9.99
17^{30}	2.41	−7.46	7.29	9.46	16.25	15.82	20.15	17.60	18.45	9.22	2.35	1.61	9.43
18^{30}	2.11	−8.25	5.96	8.64	15.67	15.38	19.45	16.65	16.39	8.03	1.89	1.30	8.60
19^{30}	1.79	−8.64	5.16	7.72	14.36	14.48	18.31	15.33	15.11	7.49	1.70	1.01	7.82
20^{30}	1.59	−8.83	4.77	6.96	12.97	13.37	16.95	14.52	14.44	7.29	1.60	0.84	7.21
21^{30}	1.62	−9.01	4.23	6.44	12.40	12.57	16.15	14.10	13.95	6.98	1.49	0.65	6.80
22^{30}	1.46	−9.51	3.76	5.74	11.82	11.92	15.58	13.68	13.67	6.55	1.32	0.37	6.36
23^{30}	1.42	−9.78	3.36	5.33	11.17	11.45	15.15	13.37	13.41	6.33	1.21	0.17	6.05
0^{30}	1.15	−9.79	3.02	4.80	10.62	11.21	14.77	13.09	13.05	6.11	1.15	0.11	5.77
Mittel	1.84	−9.28	4.36	6.66	12.80	13.18	16.95	14.93	14.95	7.58	1.77	0.97	7.23

Vom Jahrgang 1956 an werden die Aufzeichnungen eines Widerstands-Fernthermographen ausgewertet, dessen Fühler in einer genormten englischen Hütte untergebracht ist. Die obigen Ergebnisse sind daher mit den übrigen Zürcher Temperaturangaben, die wie bisher auf Ablesungen in einer offenen Wildschen Hütte fußen, nicht direkt vergleichbar.

1956

Tägliche Maxima und Minima der Lufttemperatur

Säntis

(Nach den Aufzeichnungen des Thermographen)

Tag	Januar		Februar		März		April		Mai		Juni		Juli		August		Septemb.		Oktober		November		Dezember	
	Max.	Min.	Max.	Min.	Max.	Min.	Max.	Min.	Max.	Min.	Max.	Min.	Max.	Min.	Max.	Min.	Max.	Min.	Max.	Min.	Max.	Min.	Max.	Min.
1	-8.3	-14.9	-14.1	-25.0	-5.6	-9.9	-3.0	-8.6	-8.2	**-12.0**	0.0	-1.0	10.7	4.0	7.2	1.1	8.3	3.1	10.0	5.2	-2.2	-6.0	-12.5	-16.4
2	-8.3	-9.9	-23.3	**-30.3**	-3.3	-8.8	-4.0	-11.4	-3.9	-9.3	2.3	-1.4	6.3	**-0.9**	4.3	1.3	9.3	6.0	**11.1**	5.8	-3.2	-11.4	-7.0	-12.4
3	-5.9	-10.4	-19.6	-26.3	-3.6	-5.0	-2.2	-7.2	-2.3	-6.2	5.8	0.1	0.9	-0.8	1.4	-1.0	6.3	-0.2	4.2	-1.7	-8.4	-14.2	-4.7	-6.8
4	-2.5	-5.8	-17.4	-25.3	-3.3	-6.7	-6.5	-10.4	0.1	-4.9	10.4	3.1	5.4	0.1	2.3	-1.8	4.8	-2.3	-2.1	-5.0	-7.2	-11.8	-1.8	-4.7
5	**-0.3**	-4.0	-12.3	-16.6	-6.7	-14.0	-9.2	-12.8	2.3	-2.2	10.3	4.8	10.7	4.2	4.2	-2.9	**11.5**	2.2	-3.0	-9.8	-7.2	-8.4	-3.1	-6.1
6	-2.8	-9.9	-14.3	-19.8	-9.8	-14.7	-12.0	-18.8	3.3	-0.8	**10.9**	4.3	7.7	5.6	7.9	2.2	8.2	0.8	-7.3	-9.7	-6.3	-8.1	-5.2	-7.4
7	-7.2	-10.3	-19.8	-23.4	-9.4	-14.3	-16.2	**-19.4**	5.8	1.0	8.3	-4.7	12.1	5.3	7.6	3.9	5.4	0.2	-7.3	-10.0	-1.0	-6.5	-3.0	-6.2
8	-10.2	-13.9	-14.0	-22.0	-14.6	-19.6	-10.3	-16.3	4.8	1.1	-4.7	**-7.0**	**15.2**	9.3	9.9	3.2	6.1	1.1	-7.2	-9.9	**3.3**	-0.9	-3.0	-5.0
9	-8.2	-12.3	-18.0	-30.0	-13.3	-17.2	-6.1	-10.9	6.8	1.8	-3.0	-6.0	13.0	7.0	14.6	8.2	10.3	5.1	-4.3	-9.1	0.8	-3.9	-1.0	-5.0
10	-7.8	-10.3	-16.8	-29.0	-11.7	-16.0	-2.7	-6.3	1.8	-5.2	2.0	-5.3	11.4	4.8	**17.1**	5.2	11.1	4.3	-0.7	-4.0	-3.0	-5.4	-4.0	-5.8
11	-5.2	-9.0	-13.4	-17.9	-16.3	-22.2	-2.1	-4.8	-4.4	-6.3	4.8	-1.6	4.8	0.2	5.0	1.8	4.8	3.0	1.8	-1.2	-3.7	-5.6	-4.4	-6.7
12	-4.2	-6.3	-16.8	-25.2	-18.7	**23.2**	**2.4**	-3.1	-1.7	-7.2	2.2	-0.9	11.8	1.3	1.4	-0.6	3.1	-0.1	3.1	-0.2	-4.7	-6.0	-1.2	-7.0
13	-5.1	-7.5	-22.0	-27.7	-14.6	-18.9	0.8	-3.4	-2.2	-6.0	7.8	2.2	11.8	6.2	9.6	1.8	4.0	0.6	4.0	0.8	-1.5	-5.4	-1.6	-7.3
14	-3.0	-6.2	-23.0	-28.0	-12.7	-17.9	-0.3	-3.3	-0.1	-5.3	7.6	0.0	7.9	1.4	7.2	3.9	7.8	0.6	5.6	2.7	0.6	-4.2	-6.8	-8.0
15	-4.8	-6.7	-19.9	-26.0	-9.3	-16.0	1.9	-2.3	0.5	-4.8	-0.3	-5.3	3.5	1.1	5.7	2.3	10.8	7.0	6.6	1.7	-3.8	-10.0	-3.0	-6.8
16	-5.9	-7.9	-17.4	-20.2	-7.2	-11.3	1.6	-2.1	4.0	-1.8	3.8	-5.9	4.0	-0.6	8.2	3.2	9.2	5.0	4.4	1.2	-5.9	-8.9	**-0.8**	-3.2
17	-1.2	-6.6	-15.3	-20.2	-5.2	-9.2	-2.0	-10.2	3.0	0.0	3.4	-1.1	3.8	-0.2	10.8	5.2	9.3	5.0	3.8	0.0	-3.4	-6.9	**-0.8**	-2.0
18	-1.4	-6.4	-18.0	-22.3	-3.2	-8.4	-6.8	-12.4	0.0	-1.2	0.0	-1.8	11.2	2.9	12.1	5.9	9.6	4.9	1.0	-1.0	-4.0	-8.0	-1.9	-4.9
19	-7.8	-12.4	-16.2	-22.6	0.4	-6.8	-8.0	-13.3	-1.2	-4.1	2.3	-0.8	9.0	0.1	6.2	4.5	8.8	5.9	1.1	-0.2	-2.6	-5.1	-2.8	-6.9
20	-5.4	-11.3	-13.8	-18.3	-2.8	-6.2	-6.0	-13.1	-0.3	-4.6	1.9	-3.5	2.3	-0.1	11.3	5.1	9.0	4.9	4.0	0.0	-3.7	-6.8	-6.7	-9.0
21	-5.4	-8.1	-12.0	-15.6	-2.7	-6.2	-1.8	-8.2	5.4	-2.2	-3.6	-5.7	5.4	0.0	5.0	1.0	9.4	4.8	2.9	-0.8	-2.8	-5.8	-8.6	-11.2
22	-5.2	-7.8	-9.1	-14.3	-0.4	-5.0	0.5	-4.3	7.5	2.3	-3.3	-4.9	8.1	1.2	7.2	-0.2	10.2	4.7	5.7	2.0	-5.2	-8.9	-10.9	-15.9
23	-4.2	-7.3	-8.8	-13.5	-1.2	-4.0	-3.8	-6.3	4.8	0.8	-0.3	-5.9	5.5	0.9	0.1	-1.0	11.0	6.3	5.6	1.7	-5.3	-9.1	-14.2	-16.9
24	-5.8	-14.7	-9.2	-13.3	-0.8	-3.2	-2.0	-7.3	7.2	-0.2	0.6	-2.9	5.6	0.3	0.9	-1.3	10.3	4.9	5.5	0.1	-5.4	-9.6	-15.3	-19.9
25	-13.3	-16.2	-5.0	-10.8	-1.3	-3.4	-3.0	-7.9	-0.3	-3.0	2.0	-3.6	6.6	1.9	5.0	1.3	7.7	5.3	2.3	-6.7	-6.1	-10.6	-17.3	**-20.0**
26	-4.2	**-17.0**	**-3.8**	-7.4	0.9	-3.3	-1.0	-6.9	4.7	-1.8	1.9	-1.9	12.2	5.4	8.5	1.4	5.4	1.3	-6.7	-11.8	-4.5	7.8	-10.6	-18.5
27	-4.8	-8.3	-5.3	-10.7	-3.2	-4.8	1.0	-3.3	8.6	2.9	3.8	-0.2	11.3	6.3	10.2	3.1	1.6	**-4.0**	-8.7	-12.0	-4.3	-7.1	-12.1	-15.5
28	-7.4	-10.4	-7.0	-10.6	-1.4	-5.0	**2.4**	-5.9	**12.1**	6.9	3.5	0.8	12.9	5.4	5.4	1.0	5.2	-3.2	-9.3	-11.9	-4.2	-11.2	-9.2	-11.9
29	-6.8	-9.9	-4.8	-8.2	0.2	-4.0	-3.8	-5.1	9.0	2.6	2.0	0.4	13.5	5.0	4.8	-3.2	8.6	4.8	-5.4	-10.9	-11.8	-15.1	-6.3	-11.0
30	-6.4	-11.2			**2.0**	-2.2	-4.3	-9.0	8.8	3.1	8.6	1.7	9.8	1.9	0.4	**-3.8**	10.5	5.0	-8.8	**-12.6**	-13.2	**-16.0**	-6.1	-8.3
31	-6.2	-13.0			0.2	-4.0			6.7	-0.9			6.7	1.0	6.0	-0.8			-6.7	-12.0			-5.0	-9.0
Mittl. Max	-5.65		-14.15		-5.76		-3.55		2.66		3.03		8.42		6.67		7.92		0.17		-4.33		-6.16	
Mittl. Min.	-9.87		-20.02		-10.05		-8.48		-2.18		-1.80		2.59		1.61		2.90		-3.85		-8.16		-9.54	
Differenz	4.22		5.87		4.29		4.93		4.84		4.83		5.83		5.06		5.02		4.02		3.83		3.38	
Abs. Max	-0.3		-3.8		2.0		2.4		12.1		10.9		15.2		17.1		11.5		11.1		3.3		-0.8	
Abs. Min.	-17.0		-30.3		-23.2		-19.4		-12.0		-7.0		-0.9		-3.8		-4.0		-12.6		-16.0		-20.0	
Differenz	16.7		26.5		25.2		21.8		24.1		17.9		16.1		20.9		15.5		23.7		19.3		19.2	

Stündliche Monatsmittel der Lufttemperatur

	Januar	Februar	März	April	Mai	Juni	Juli	August	Sept.	Okt.	Nov.	Dez.	Jahr
1^{30}	-7.96	-17.84	-8.49	-6.61	-1.09	-0.60	4.05	3.13	4.41	-2.44	-6.16	-8.05	-3.97
2^{30}	-7.98	-17.82	-8.59	-6.73	-1.08	-0.71	4.01	3.16	4.40	-2.45	-6.27	-8.02	-4.01
3^{30}	-8.03	-17.76	-8.75	-6.89	-1.05	-0.84	3.96	3.22	4.38	-2.52	-6.42	-8.06	-4.06
4^{30}	-7.85	-17.71	-8.77	-7.06	-0.91	-0.86	3.94	3.10	4.25	-2.56	-6.46	-8.19	-4.09
5^{30}	-7.89	-17.68	-8.87	-7.17	-0.40	-0.47	4.05	3.18	4.26	-2.54	-6.53	-8.21	-4.02
6^{30}	-7.89	-17.63	-8.88	-6.94	-0.06	-0.08	4.40	3.31	4.23	-2.56	-6.56	-8.29	-3.91
7^{30}	-8.10	-17.74	-8.70	-6.69	0.34	0.17	4.80	3.55	4.49	-2.43	-6.46	-8.32	-3.76
8^{30}	-8.00	-17.19	-8.11	-6.32	0.53	0.53	5.28	4.06	4.88	-1.94	-6.13	-7.98	-3.37
9^{30}	-7.74	-16.56	-7.62	-5.83	0.92	1.05	5.87	4.48	5.30	-1.30	-5.66	-7.49	-2.88
10^{30}	-7.46	16.11	-7.24	-5.39	1.18	1.45	6.60	5.04	5.73	-0.98	-5.44	-7.23	-2.49
11^{30}	-7.13	-15.62	-7.02	-5.00	1.57	1.94	7.05	5.40	6.36	-0.64	-5.12	-6.91	-2.09
12^{30}	-6.92	-15.48	-6.80	-4.67	1.82	2.20	7.24	5.61	6.91	-0.47	-4.95	-6.76	-1.86
13^{30}	-6.85	-15.37	-6.72	-4.64	2.11	2.43	7.61	5.75	7.17	-0.41	-5.05	-6.74	-1.73
14^{30}	-6.95	-15.54	-6.64	-4.51	1.95	2.45	7.42	5.73	6.97	-0.64	-5.36	-6.93	-1.84
15^{30}	-7.17	-16.99	-6.89	-4.71	1.63	2.19	6.92	5.33	6.74	-1.01	-5.98	-7.15	-2.26
16^{30}	-7.35	-16.62	-7.17	-4.98	1.36	1.86	6.30	4.87	6.49	-1.41	-6.32	-7.39	-2.53
17^{30}	7.61	-16.73	-7.43	-5.29	0.98	1.47	6.01	4.54	6.18	-1.79	-6.40	-7.59	-2.81
18^{30}	7.82	-17.19	7.75	-5.72	0.51	1.15	5.59	4.32	5.69	-2.17	-6.53	7.75	3.14
19^{30}	-7.84	-17.37	-8.08	-6.05	0.07	0.72	5.00	3.85	5.28	-2.48	-6.75	-7.89	3.46
20^{30}	-7.92	-17.47	-8.33	-6.33	-0.40	0.39	4.61	3.56	4.93	-2.65	-6.82	-7.92	-3.70
21^{30}	-7.81	-17.87	-8.46	-6.44	0.65	0.18	4.41	3.20	4.72	-2.82	-6.82	7.95	3.86
22^{30}	7.77	-17.74	-8.44	-6.46	-0.70	-0.03	4.17	3.20	4.64	-2.80	-6.80	-7.91	-3.89
23^{30}	-7.69	-17.51	-8.49	-6.53	-0.69	-0.16	4.09	3.19	4.55	-2.83	-6.71	-7.95	-3.89
0^{30}	-7.81	-17.53	-8.47	-6.69	-0.72	-0.33	4.05	3.18	4.55	-2.79	-6.55	7.82	-3.91
Mittel	7.65	-17.04	-7.95	5.99	0.30	0.67	5.31	4.08	5.31	-1.94	-6.18	7.69	-3.23

Temperatur-Minima 1956 (Ablesungen an den Minimumthermometern)

Tag	Januar Bern	Neuchâtel	Genève	Basel	Altdorf	Bever	Lugano	Februar Bern	Neuchâtel	Genève	Basel	Altdorf	Bever	Lugano	März Bern	Neuchâtel	Genève	Basel	Altdorf	Bever	Lugano
1	-1.7	-0.2	-0.6	0.3	0.3	-19.9	0.2	-15.2	-15.0	-11.2	-15.9	-11.6	-20.6	-3.4	2.5	3.0	2.2	2.1	2.0	-3.1	0.8
2	0.0	-0.2	1.8	2.1	1.2	-10.6	-1.2	-19.0	-17.8	-15.4	-19.8	-14.2	-29.5	-7.4	0.6	1.2	0.6	2.6	1.0	-9.0	1.6
3	0.4	0.3	2.0	1.9	0.3	-19.5	-2.8	-16.2	-15.4	-14.7	-17.9	-15.7	-31.0	-8.8	6.7	5.4	4.0	8.3	3.4	1.2	3.4
4	-0.8	-0.7	1.2	-2.8	-1.1	-19.8	-2.4	-12.2	-10.7	8.2	-14.6	-13.4	-27.0	-8.2	5.1	4.9	5.0	5.8	3.5	-1.0	3.2
5	-1.4	-2.2	1.0	-2.8	-0.4	-17.0	-2.0	-12.0	-9.9	-9.0	-13.5	-11.8	**-32.0**	-8.8	-0.1	-0.2	4.5	2.0	0.9	-7.5	3.6
6	-1.2	2.0	1.0	-1.5	-0.3	-18.2	-2.4	-6.6	-6.1	-7.0	5.0	-8.6	-15.0	-7.2	-2.2	-2.8	-2.0	-2.2	-2.1	-12.5	0.2
7	-1.2	-0.6	1.2	0.0	-0.4	-20.5	-1.8	-6.8	-5.9	-3.0	-11.3	-7.5	-21.4	-5.2	1.0	2.0	2.0	1.7	0.9	-5.7	0.6
8	-1.8	-1.8	1.0	-1.5	-2.3	**-24.4**	**-4.4**	-11.9	-9.4	-8.3	-15.2	-11.0	-29.5	-7.2	-3.1	-2.2	1.0	-3.7	-0.5	-11.0	3.2
9	-2.9	-1.9	0.0	-1.6	-2.2	-14.5	-1.6	-18.4	-16.7	-14.2	-16.9	-14.5	-21.3	-4.8	-6.3	-4.8	-2.0	-4.5	-4.3	-20.8	-3.2
10	-2.5	-2.2	-1.0	-1.7	-0.5	-8.0	-1.2	**-21.6**	**-20.0**	**-18.3**	**-22.0**	-16.3	-28.0	-7.4	-5.9	-5.3	-3.6	-4.6	-3.8	-18.2	-2.4
11	-2.6	-0.1	1.4	1.0	1.0	-15.0	-0.2	-20.0	-18.7	-17.0	-17.1	**-18.8**	-30.2	-8.2	-3.2	-2.7	-1.5	2.8	-2.2	-12.6	-2.2
12	-0.7	0.1	4.6	1.6	4.4	-11.7	-0.8	-15.8	-15.2	-15.4	-17.4	-15.6	28.5	**-10.8**	-6.2	-5.6	**-4.3**	5.0	-5.6	-19.7	**-5.2**
13	0.8	1.7	1.4	4.2	3.9	6.9	1.1	-18.9	-16.7	-12.2	-21.3	-15.4	-30.5	6.6	**-7.9**	**-6.9**	-4.2	**-7.3**	**-6.1**	**-21.6**	-4.8
14	0.5	0.8	1.0	-0.4	2.3	-10.5	2.0	-15.5	-14.4	-13.6	-18.5	-12.3	-28.0	8.4	-7.4	-5.4	-4.0	-7.2	-4.9	-19.7	-4.4
15	0.0	1.8	2.0	2.1	1.6	-6.0	3.4	-13.8	-12.4	-16.0	-10.3	-10.3	-29.3	10.4	-6.0	-4.7	-3.2	-2.8	-4.1	-19.4	-2.4
16	3.1	3.0	4.2	0.3	1.9	-14.8	0.4	-5.8	-6.4	7.0	-6.8	-5.4	-21.2	-10.2	-1.2	-1.0	1.7	-0.3	-0.7	-12.0	1.2
17	0.2	2.9	4.0	-1.0	-0.9	-19.5	-0.8	-11.5	-9.9	8.4	-9.8	-10.9	-28.0	9.8	-2.2	-1.1	0.6	1.2	0.0	-14.2	-1.4
18	3.0	3.7	5.4	2.7	2.0	-12.5	1.8	-11.3	-10.7	-6.0	-12.5	-8.5	26.8	8.8	1.0	1.5	4.2	1.5	0.4	-12.0	2.4
19	-0.1	0.8	2.0	-1.7	1.6	-17.8	-1.2	-10.5	-9.8	-8.0	-14.0	-6.9	16.1	-6.2	3.0	4.2	5.7	4.1	6.7	-4.0	4.0
20	-2.4	-2.6	-2.0	-3.8	-1.5	-21.2	-2.2	-12.0	-12.3	-9.6	-17.1	-8.4	-25.0	-5.4	1.7	3.0	5.8	1.2	9.9	-6.0	0.2
21	-3.6	-1.8	-1.2	-4.2	**-3.1**	-20.2	2.0	-12.6	-12.3	-10.0	-18.2	-8.6	19.5	1.8	2.7	3.6	6.0	3.0	10.5	-6.0	0.8
22	-1.8	0.3	-1.0	0.1	-1.3	-16.9	-1.2	-14.1	-12.3	-6.8	-19.6	-9.3	24.8	4.8	2.5	1.1	2.6	1.3	4.8	-1.5	0.4
23	-2.5	-2.2	**-2.5**	-0.6	-2.0	-20.9	-1.4	-12.0	-10.9	6.6	-16.5	-5.1	-23.1	-2.4	2.6	2.2	4.0	3.2	4.7	0.0	3.0
24	0.5	0.3	3.4	0.6	1.5	-10.6	1.8	-10.5	-11.1	-5.5	-15.1	-5.8	-20.5	-1.8	0.4	0.5	2.0	-1.1	9.8	-0.1	4.2
25	-2.0	-2.1	-1.8	-1.7	0.1	-13.9	-1.0	9.0	-6.5	-4.3	-10.8	-6.5	21.0	0.6	4.2	3.8	5.6	5.6	8.6	-2.0	5.2
26	-5.6	-4.5	-1.0	-4.2	-2.2	-24.0	-1.8	-8.2	-8.4	-5.0	-14.3	-4.3	16.0	-0.4	5.6	5.1	7.5	7.6	7.4	-3.1	5.6
27	-0.2	2.9	4.0	6.1	1.0	-9.0	-1.4	6.7	-4.8	-3.2	-9.6	-4.8	-13.0	-0.8	2.0	2.0	5.0	2.7	7.3	-3.0	3.8
28	1.8	0.7	1.4	1.1	2.0	-17.6	2.6	-10.5	-9.2	6.3	-13.6	-7.1	-19.3	-1.8	2.0	4.1	5.4	4.0	4.0	-3.0	6.2
29	0.2	0.8	4.0	1.4	0.4	-20.5	3.0	0.3	0.3	1.4	-0.7	-0.7	8.0	1.6	3.6	5.1	7.0	3.5	10.1	-1.3	5.6
30	0.9	0.8	3.2	2.5	1.4	8.1	1.8								2.6	2.5	7.2	3.5	8.6	-6.0	2.2
31	**-8.0**	**-6.1**	-2.0	**-6.5**	**-3.1**	-17.2	1.2								8.6	8.2	8.8	5.3	6.2	-5.0	5.4
Mittel	-1.0	-0.2	1.2	-0.3	0.2	-15.7	-0.5	-12.4	-11.3	-9.3	-14.3	-10.0	23.6	-5.8	0.2	0.7	2.4	0.8	2.5	-8.4	1.3

Tag	April Bern	Neuchâtel	Genève	Basel	Altdorf	Bever	Lugano	Mai Bern	Neuchâtel	Genève	Basel	Altdorf	Bever	Lugano	Juni Bern	Neuchâtel	Genève	Basel	Altdorf	Bever	Lugano
1	5.3	4.5	6.7	5.3	5.9	-6.0	3.2	3.4	**2.4**	**3.3**	2.5	**3.3**	-2.7	9.8	9.9	9.7	12.8	11.4	11.8	1.3	9.6
2	2.0	3.6	4.6	2.4	4.8	-2.1	6.6	3.9	4.4	3.6	3.3	3.5	-6.8	**6.2**	10.3	12.0	12.6	10.3	11.5	4.5	18.2
3	-0.5	0.1	1.9	-0.7	2.5	-3.0	5.2	6.2	5.8	4.5	7.2	6.1	-1.9	6.4	11.3	12.2	12.2	11.0	12.4	4.5	15.6
4	2.2	2.4	2.6	0.5	4.3	-6.7	3.6	3.7	4.7	5.8	2.5	4.3	-3.6	7.0	10.1	10.9	13.6	11.0	11.3	3.0	15.6
5	0.8	1.1	2.8	0.6	1.3	-4.7	6.2	4.9	6.2	5.7	4.2	5.4	-5.0	7.8	13.2	15.3	17.6	14.4	13.6	1.3	14.8
6	-1.8	-1.0	0.6	-1.6	2.1	-10.2	2.2	6.8	7.7	7.4	5.5	6.6	4.5	9.8	13.6	14.8	16.0	14.0	13.0	2.0	14.4
7	-3.9	-2.9	-1.2	3.1	-2.0	11.5	0.8	9.0	9.6	9.6	9.0	9.2	-3.3	9.2	8.2	6.2	7.2	8.6	13.5	7.6	16.4
8	**-4.4**	**-4.1**	**-3.3**	**-3.7**	**-3.0**	**12.5**	0.2	9.7	10.7	10.6	10.6	10.7	-2.0	10.6	5.4	5.6	7.0	6.4	**5.2**	-1.6	**8.8**
9	1.5	-1.9	-0.9	-1.5	-1.0	-9.0	**-0.4**	9.2	10.7	11.0	7.2	10.3	-1.6	12.0	6.4	6.6	7.3	7.5	8.1	-2.0	9.2
10	0.6	0.6	2.0	1.9	1.5	8.7	1.4	9.5	10.8	11.7	11.0	9.1	-1.1	12.4	5.8	**4.8**	**6.6**	**3.5**	6.3	**-5.2**	10.2
11	2.9	4.8	6.0	2.4	3.4	-7.7	4.4	7.3	7.7	9.5	9.0	7.6	-1.0	12.4	9.6	10.2	10.6	9.3	7.6	1.0	10.6
12	3.4	4.3	5.7	5.4	4.5	-6.5	5.4	7.7	8.7	9.6	8.6	5.9	**-9.5**	10.2	11.8	12.2	11.0	12.6	11.9	0.2	9.6
13	7.7	7.6	9.0	8.7	8.6	0.1	7.2	5.9	6.9	8.1	6.4	6.9	-1.8	13.2	12.7	13.2	14.6	14.1	12.5	1.7	11.8
14	8.0	8.3	8.8	9.5	10.5	1.2	6.6	3.6	6.1	6.3	3.7	5.1	-5.2	8.2	10.1	11.5	13.5	11.6	11.3	6.0	13.8
15	7.3	8.0	9.0	9.3	9.3	0.2	6.6	6.9	7.4	7.8	7.6	8.0	3.1	10.6	9.2	9.9	9.0	9.4	9.1	4.0	13.2
16	8.4	8.5	8.0	9.4	8.3	-0.1	7.4	6.3	7.8	8.0	5.3	6.2	-4.8	8.6	**4.8**	5.3	7.0	4.6	5.8	-3.6	10.4
17	1.3	2.1	3.8	1.7	4.3	2.6	6.4	8.4	9.1	9.2	8.7	8.3	-3.4	10.8	10.5	11.4	9.3	10.5	11.5	2.9	12.4
18	0.5	1.1	1.7	0.2	2.2	-4.0	2.1	10.6	9.9	11.0	8.2	11.4	4.6	11.4	10.0	9.9	10.6	11.1	11.3	5.8	11.8
19	-0.1	0.4	2.0	1.0	2.1	-7.0	2.6	6.6	7.0	9.6	7.8	8.0	1.1	11.8	10.5	10.8	11.6	11.5	11.5	5.0	13.2
20	-1.1	-0.3	3.0	0.7	0.0	-11.0	2.2	5.2	6.4	9.0	4.6	7.2	-0.1	10.2	9.2	10.5	12.6	11.4	9.8	-1.0	14.4
21	-0.4	0.9	4.0	-1.6	1.4	-6.0	4.6	**3.0**	5.3	6.1	**1.6**	4.3	-3.0	9.8	8.3	9.3	13.2	9.4	8.6	1.2	16.8
22	4.0	5.2	6.0	4.3	5.5	-1.0	6.4	11.3	11.2	12.7	10.0	11.5	1.7	10.4	7.8	8.7	12.0	8.8	8.5	0.5	11.8
23	4.8	4.9	6.2	4.4	6.4	-0.8	5.2	11.4	10.3	12.0	12.8	13.1	4.3	11.8	7.8	6.6	11.1	7.4	7.0	0.1	11.6
24	1.6	1.6	4.2	1.6	2.6	-1.5	5.6	9.6	11.3	11.7	9.4	10.0	4.7	13.0	7.9	8.9	12.2	8.9	10.0	1.9	12.0
25	2.0	1.7	5.4	0.9	5.3	-2.5	6.2	9.3	8.2	11.6	8.9	9.7	2.2	11.4	9.0	9.1	10.7	8.0	9.1	0.2	10.6
26	2.6	3.5	4.5	2.0	4.3	-2.3	6.8	6.8	9.0	9.0	10.1	6.9	-1.7	9.8	10.2	10.1	11.6	9.5	8.3	1.9	9.2
27	4.3	6.6	9.0	4.3	5.7	-3.9	7.8	10.6	13.2	14.2	9.2	9.5	0.2	11.4	9.9	9.9	12.8	10.9	10.9	0.5	12.2
28	7.5	6.8	8.2	6.8	8.5	-0.6	7.0	12.6	13.2	15.0	12.2	12.5	1.9	13.0	11.9	11.7	14.6	10.9	11.5	1.1	11.8
29	3.0	3.2	4.2	1.8	4.6	-4.7	6.2	13.8	14.3	15.6	15.2	16.8	5.4	16.6	13.2	14.4	16.0	13.9	10.9	1.0	13.4
30	4.4	5.4	4.2	3.5	4.7	0.0	7.6	12.1	12.0	16.2	12.9	12.1	1.0	13.4	10.0	10.5	14.2	9.8	11.0	0.3	12.8
31								11.3	11.2	14.0	13.0	13.0	5.2	14.2							
Mittel	2.4	2.9	4.3	2.5	3.8	4.5	4.8	8.0	8.7	9.7	8.0	8.5	-1.1	10.8	9.6	10.1	11.7	10.1	10.2	1.5	12.5

Temperatur-Minima 1956

Tag	Juli							August							September						
	Bern	Neu-châtel	Genève	Basel	Altdorf	Bever	Lugano	Bern	Neu-châtel	Genève	Basel	Altdorf	Bever	Lugano	Bern	Neu-châtel	Genève	Basel	Altdorf	Bever	Lugano
1	12.4	13.9	15.5	11.8	14.5	5.9	16.0	11.9	11.7	10.8	10.7	14.3	1.6	16.2	11.4	11.7	12.1	11.1	13.6	4.1	14.0
2	10.6	12.0	13.9	12.9	12.7	5.0	11.6	12.5	12.7	14.3	13.5	13.8	8.0	16.6	12.5	13.4	12.3	12.5	15.9	5.7	14.6
3	10.5	11.3	12.2	11.5	12.4	3.2	**10.4**	12.5	12.9	14.7	11.9	13.1	6.5	15.2	10.4	10.4	10.8	11.0	10.7	3.2	14.4
4	10.3	10.5	11.8	11.7	10.3	**-1.3**	12.2	10.9	10.8	11.3	10.9	12.4	1.0	14.0	10.0	8.9	9.3	9.9	10.3	1.5	11.8
5	12.3	12.8	14.4	13.4	12.4	1.8	13.8	8.6	10.7	10.6	8.5	12.0	3.0	13.2	8.6	**8.3**	**8.8**	9.2	9.7	0.0	12.4
6	17.0	17.3	20.0	17.9	16.0	3.6	15.6	10.5	11.6	13.4	10.3	10.5	3.5	13.8	12.5	13.3	12.9	13.1	13.1	3.0	14.4
7	13.2	13.1	16.0	11.6	16.7	4.5	16.2	12.1	12.7	13.4	13.1	14.1	8.2	16.8	10.9	13.0	13.1	12.0	10.4	3.2	11.2
8	14.2	14.8	17.7	13.3	14.8	4.5	19.2	12.0	11.4	14.1	11.1	14.2	6.5	16.2	11.1	12.7	11.8	12.5	11.7	1.8	11.8
9	15.1	16.3	16.8	18.3	18.3	5.5	15.8	13.8	12.3	13.9	10.8	13.1	5.8	20.2	10.7	11.3	11.6	10.6	12.0	0.7	13.6
10	14.9	15.5	16.8	15.6	16.3	5.0	15.8	16.0	15.7	16.2	13.8	14.6	5.0	21.6	11.3	11.5	11.8	12.0	13.6	3.7	14.4
11	11.1	11.6	13.8	11.7	13.5	8.0	15.8	13.5	13.7	15.7	15.0	13.8	7.5	19.2	13.9	13.7	14.7	14.0	14.5	4.0	14.8
12	10.6	10.3	12.5	11.1	12.7	4.5	14.6	12.5	12.2	12.8	11.2	13.4	4.6	16.0	12.2	14.3	13.0	13.1	13.8	1.0	13.2
13	10.6	10.7	13.0	11.5	12.5	6.3	17.6	7.8	8.5	9.1	7.7	9.0	**-2.1**	13.4	13.5	14.1	11.2	14.1	13.4	6.7	18.4
14	13.5	13.7	14.3	14.4	14.3	5.0	14.8	12.5	14.2	15.9	13.2	13.8	3.0	14.6	11.9	13.2	14.2	9.5	13.1	3.2	15.4
15	11.8	12.9	15.6	11.5	12.7	2.0	12.2	13.3	11.7	12.1	9.5	14.2	6.7	15.2	**8.4**	10.3	12.2	**6.2**	11.0	**-1.7**	13.6
16	12.1	12.8	13.6	12.8	12.7	4.9	12.4	10.2	10.7	11.8	9.7	11.5	0.2	17.2	11.1	12.7	11.3	11.2	11.0	-1.0	13.8
17	12.2	12.4	13.1	13.1	12.5	2.8	12.7	12.0	13.2	15.6	12.3	13.0	4.8	16.6	12.1	13.4	12.5	12.9	12.8	1.5	13.2
18	10.6	11.3	11.8	11.0	10.7	0.0	14.6	15.8	15.3	18.5	15.6	15.0	8.5	17.2	10.3	11.7	14.3	9.9	13.3	-1.0	14.0
19	12.5	12.5	15.3	13.4	13.2	7.8	16.0	15.3	14.4	16.2	14.6	16.6	9.6	17.6	11.1	12.4	14.3	6.5	12.9	5.0	16.2
20	11.3	11.1	13.2	12.0	11.8	4.5	13.6	11.1	12.4	12.4	11.7	12.9	5.5	18.4	10.2	11.7	11.3	10.6	10.7	4.4	14.2
21	11.6	11.1	12.3	9.8	9.8	2.8	13.0	12.4	13.6	14.8	13.0	14.1	6.6	17.0	9.9	11.2	12.6	10.7	10.5	-0.5	11.6
22	**9.5**	10.1	10.8	10.3	**9.5**	-0.9	12.2	10.6	11.3	13.1	11.3	11.5	3.5	15.6	10.6	11.0	13.8	9.6	9.2	2.5	11.2
23	11.8	12.3	12.2	11.2	13.1	1.2	12.2	10.5	11.4	11.9	11.0	11.7	3.5	12.2	12.2	12.9	13.4	12.9	12.2	5.7	12.6
24	10.4	11.2	11.3	11.3	12.3	1.0	15.2	10.4	11.2	11.7	11.1	11.8	3.2	13.2	10.3	12.3	12.2	12.9	15.2	2.3	12.2
25	15.1	15.4	13.8	13.4	16.0	8.0	16.6	11.0	12.4	13.1	12.7	12.6	6.5	15.2	12.2	14.4	15.8	12.0	16.0	7.4	14.0
26	10.5	12.7	13.9	**9.5**	12.7	1.0	15.6	11.6	12.2	12.5	11.5	13.0	5.9	13.4	11.3	12.3	11.4	13.7	13.0	4.0	12.6
27	13.2	13.2	15.3	12.3	14.5	2.8	19.6	11.4	12.2	12.8	13.2	12.7	9.9	17.2	10.6	11.4	11.3	9.9	11.5	3.5	11.4
28	14.1	14.6	15.9	15.0	14.3	5.7	16.6	12.3	12.6	13.6	12.5	14.0	8.1	14.4	9.7	11.3	9.9	10.3	9.5	-0.2	10.2
29	15.7	15.5	18.9	14.8	16.5	8.0	18.2	8.1	8.4	9.1	6.9	9.9	4.1	10.4	9.2	10.3	10.0	12.1	**9.0**	-0.9	**9.6**
30	13.2	14.1	15.5	12.4	14.9	7.5	18.6	7.6	9.2	**7.8**	9.1	**8.2**	-1.0	10.2	9.4	11.8	10.5	11.3	**9.0**	0.0	11.0
31	11.6	**9.8**	**9.8**	9.7	14.0	3.4	15.4	**7.0**	**7.8**	8.2	**6.5**	8.4	-2.0	**9.6**							
Mittel	12.4	12.8	14.2	12.6	13.5	4.0	15.0	11.5	12.0	12.9	11.4	12.7	4.7	15.4	11.0	12.0	12.1	11.2	12.1	2.4	13.2

Tag	Oktober							November							Dezember						
1	10.6	11.3	11.4	12.1	9.0	-0.5	11.2	1.6	2.3	3.3	0.7	0.1	-14.3	3.8	-2.9	-1.7	-0.5	-2.3	-2.9	-18.8	-0.4
2	10.4	11.6	10.8	12.0	10.0	-0.7	11.2	-0.2	0.9	2.9	-1.8	3.1	-5.6	5.8	-7.8	-4.7	-2.5	-5.8	-5.9	-18.7	-2.2
3	11.0	9.8	12.0	11.6	13.0	4.0	14.4	0.1	0.6	1.9	1.1	2.1	-9.0	2.4	-5.8	-4.0	**-4.1**	-1.3	-4.3	-15.2	0.4
4	7.9	8.0	8.1	8.4	9.5	2.0	10.4	0.2	1.7	2.0	1.8	1.6	-15.5	0.2	1.5	1.2	-1.9	2.5	1.4	-3.1	2.8
5	3.4	3.7	4.8	3.2	5.5	-2.5	7.4	3.1	4.3	3.5	4.9	3.3	-2.6	0.4	3.0	1.7	2.6	5.7	2.4	-8.9	4.2
6	3.1	3.8	3.8	4.2	5.0	-4.5	5.8	2.8	3.3	2.9	5.0	4.5	-4.4	7.6	2.8	3.1	3.1	4.7	3.5	-10.1	1.2
7	3.3	3.9	4.5	4.4	4.3	-4.2	4.6	0.0	0.7	-0.2	-0.7	1.5	-10.5	6.4	2.2	1.6	2.3	2.1	0.6	-11.3	0.8
8	2.7	3.4	3.7	3.4	4.1	-6.2	4.4	-2.8	-0.6	**-1.8**	-1.5	-0.5	-13.5	2.2	-0.5	0.9	1.5	0.7	0.9	-6.2	1.4
9	**-0.4**	0.4	3.6	-0.1	1.0	-10.0	2.2	-3.0	0.2	1.0	-1.3	-0.4	-13.7	3.2	-0.4	1.4	1.9	1.0	0.0	-10.5	2.0
10	-0.3	2.8	5.3	**-1.0**	0.7	-9.1	3.0	0.6	2.1	2.1	1.9	0.0	-12.9	4.4	-2.5	0.4	-0.3	3.1	-1.5	-13.7	1.4
11	0.2	2.5	**0.8**	2.7	1.1	-7.4	3.6	4.0	4.8	5.9	4.5	2.2	-6.6	6.6	-0.2	0.4	1.4	1.9	0.4	-15.2	-0.2
12	0.4	2.9	2.2	2.7	2.0	-6.0	4.2	3.6	3.5	4.6	3.4	3.9	-2.6	4.8	-0.3	1.0	1.8	1.5	0.3	-16.0	1.0
13	1.6	4.4	2.8	3.5	2.6	-6.2	5.0	3.8	5.2	5.0	4.1	5.1	-5.0	4.2	4.0	6.5	6.6	6.1	3.2	-6.8	0.8
14	2.8	3.7	2.7	4.4	2.9	-5.3	5.2	1.6	3.0	4.2	3.0	4.4	-6.0	6.2	2.5	4.3	4.2	3.4	1.8	-12.0	-0.2
15	2.8	5.1	3.0	5.7	2.7	-5.0	6.4	1.5	2.7	4.1	2.2	2.9	-2.2	7.2	1.0	5.3	5.5	4.6	1.4	-13.4	1.4
16	6.8	7.6	8.9	6.0	3.5	-5.0	8.4	-0.4	2.0	3.5	0.5	3.5	-12.5	6.8	0.2	2.0	4.5	2.1	0.8	-12.2	0.6
17	7.1	7.6	9.4	6.6	5.9	-3.0	9.8	-3.0	0.7	2.8	-0.8	0.4	**-16.8**	4.4	-0.8	0.1	1.8	1.3	0.0	-13.6	3.0
18	8.4	10.0	9.7	9.4	7.8	-2.5	10.2	-3.2	-0.3	2.6	-1.0	**-1.6**	-16.0	6.2	-2.0	-1.3	-0.9	-0.4	-1.6	-15.4	-0.4
19	10.3	10.1	11.0	11.4	9.5	1.8	8.2	-1.2	0.1	1.9	-2.0	1.2	-16.6	1.4	-2.2	-2.0	-0.1	-1.7	-1.8	-14.5	1.2
20	6.0	7.8	6.5	7.8	6.0	-3.5	8.8	-1.6	0.1	0.9	-3.5	-0.7	-12.8	1.2	-0.9	1.0	1.0	-1.0	-0.6	-14.9	1.0
21	10.4	9.8	11.2	9.6	9.5	2.0	10.8	-2.5	-0.8	1.5	-1.5	1.1	-14.2	2.8	0.3	0.7	2.2	-0.5	-0.1	-14.5	1.8
22	6.1	8.6	8.4	9.0	7.3	-3.0	8.4	-3.4	2.0	0.2	-4.1	0.3	-16.6	2.0	-1.2	-0.7	1.8	-1.1	0.7	-17.0	0.6
23	4.8	7.6	8.1	8.0	5.0	-5.2	7.4	**-3.7**	-2.2	-1.1	**-4.5**	-0.5	-10.8	0.4	-4.8	-2.5	0.1	-1.8	-1.7	-18.2	2.0
24	5.0	7.2	8.1	6.0	4.7	-5.5	6.8	-3.2	**-2.3**	-1.3	-2.9	-0.7	-12.7	1.4	-7.0	-3.4	-1.5	-4.5	-3.9	-23.2	-5.0
25	5.1	7.0	6.8	6.6	3.0	-5.7	6.8	-2.0	-1.0	0.2	-2.0	0.0	-16.8	1.4	-10.5	**-7.6**	-2.6	-6.6	-8.7	**-24.8**	5.6
26	0.7	1.3	3.0	3.6	2.4	-6.0	4.0	-0.6	0.0	0.5	-0.5	0.5	-7.4	**-0.8**	**-10.6**	-7.5	-3.2	**-8.7**	**-9.4**	-24.5	**6.4**
27	0.1	1.9	2.3	0.1	1.5	10.5	2.0	4.9	5.0	3.3	7.1	2.1	6.4	0.4	-4.3	-2.6	-2.5	-4.0	-6.4	-18.0	-6.0
28	1.1	2.0	2.8	1.5	1.3	-7.5	**0.2**	0.6	2.6	4.6	3.1	3.8	5.6	1.2	8.9	-4.3	-3.7	-4.0	-8.4	-22.6	5.8
29	1.2	2.9	2.5	1.7	3.3	-7.0	1.8	-1.1	-0.2	0.2	0.9	0.7	-12.1	0.8	-7.1	-4.6	-1.6	-4.5	-5.7	-21.8	5.6
30	0.1	0.7	2.0	0.8	2.0	-8.4	2.6	-3.0	-1.1	0.3	-0.2	0.4	-14.0	4.8	-6.0	-1.7	1.5	-1.5	-5.3	-16.9	-3.6
31	0.1	**0.2**	0.9	2.3	**0.5**	**16.0**	1.8								-3.5	-1.7	1.5	-2.9	-2.1	-13.2	1.4
Mittel	4.3	5.5	5.8	5.4	4.7	-4.7	6.4	-0.2	1.2	2.1	0.5	1.5	-10.5	3.3	-2.3	-0.6	0.7	-0.4	-1.7	-15.0	-0.9

Temperatur-Maxima 1956 (Ablesungen an den Maximumthermometern)

Tag	Januar Bern	Neuchâtel	Genève	Basel	Altdorf	Bever	Lugano	Februar Bern	Neuchâtel	Genève	Basel	Altdorf	Bever	Lugano	März Bern	Neuchâtel	Genève	Basel	Altdorf	Bever	Lugano
1	2.2	4.0	4.8	5.1	3.0	-3.2	8.0	-8.0	-8.4	-1.5	-5.9	-3.1	7.3	1.2	8.5	9.8	9.8	9.3	9.0	4.3	19.4
2	1.5	3.2	4.6	5.5	3.8	-4.4	4.4	-15.2	-13.4	-10.9	-13.9	-11.4	-19.8	-2.0	9.0	5.8	7.7	9.2	7.4	7.3	17.4
3	1.8	3.1	4.7	3.3	4.5	-5.2	7.6	-8.1	-6.4	-6.6	-2.6	-9.6	-14.8	3.2	10.2	8.3	11.0	10.4	5.7	6.2	**25.4**
4	1.0	1.8	2.0	2.2	2.8	-4.5	7.4	-4.8	-2.7	-2.8	-1.8	-5.5	-13.4	0.8	9.0	8.4	10.6	9.7	9.9	**10.0**	17.2
5	0.6	3.5	1.8	1.8	1.5	-1.8	9.4	-5.4	-4.8	3.4	2.9	-5.0	-4.2	3.2	5.6	6.5	10.0	7.2	7.0	1.7	16.4
6	2.1	3.2	2.6	1.9	1.8	-3.5	6.6	0.7	1.1	0.0	0.5	1.0	5.9	2.8	6.4	6.8	7.0	10.8	6.3	3.0	15.4
7	1.8	1.8	2.5	1.9	1.9	-7.8	2.8	-1.4	-1.3	0.0	-0.9	0.3	9.8	4.6	6.8	7.5	12.0	5.6	5.0	0.5	19.0
8	0.3	1.2	2.3	0.4	1.6	-6.0	5.4	-1.6	-0.4	-1.0	0.7	-3.5	-8.0	4.8	2.2	4.2	7.2	4.6	5.0	-4.0	14.8
9	1.6	0.3	1.7	2.1	6.1	-5.0	0.4	-3.5	-1.8	-3.0	-3.0	-3.0	-8.0	3.4	3.0	3.5	2.2	4.6	5.1	-4.4	8.8
10	0.8	0.6	2.0	3.5	6.5	-3.1	1.4	-18.3	-15.3	-13.8	-14.3	-14.5	-18.0	-5.2	5.7	5.2	3.6	6.5	4.3	-3.4	10.4
11	5.4	7.0	8.6	11.6	10.6	-0.7	7.2	-13.6	-12.4	-14.6	-10.5	-12.0	-12.2	-3.4	0.7	2.6	1.4	4.2	2.7	-7.6	10.4
12	7.0	8.6	11.0	**12.7**	**12.4**	**3.2**	3.4	-10.3	-8.4	8.8	-11.3	-9.0	-9.1	3.0	-0.8	0.9	1.6	2.7	-0.3	-8.3	8.4
13	7.3	4.7	11.0	11.7	6.6	0.1	4.4	-9.8	-10.6	-8.8	-8.2	-5.4	-14.3	3.4	0.3	1.4	2.0	1.2	1.6	-6.0	10.2
14	2.7	3.1	4.6	5.5	6.6	-0.7	5.0	-6.8	-5.7	-6.0	-3.2	-6.4	-15.1	0.8	4.0	5.0	4.5	6.2	4.4	-5.0	10.4
15	5.4	5.3	7.6	6.7	7.5	0.0	5.4	-4.0	-5.2	2.6	-3.6	4.5	-12.2	0.4	7.3	5.9	4.4	8.9	7.6	-0.3	11.2
16	7.8	7.8	7.6	9.2	7.2	0.0	8.4	-0.4	-0.9	0.9	0.5	1.5	-7.4	1.2	11.1	11.2	10.4	13.1	13.7	0.5	12.4
17	5.6	6.0	6.0	9.3	4.1	-2.0	9.6	-1.5	-1.4	1.0	-3.5	2.0	-6.0	1.4	11.5	10.3	11.0	13.7	10.7	2.5	12.8
18	7.7	7.9	11.0	10.1	7.1	1.8	4.6	-6.0	-4.4	0.5	-5.7	-4.8	-7.7	2.4	13.5	11.7	10.8	15.1	15.5	1.5	12.6
19	6.9	7.5	8.0	5.7	5.0	-1.0	11.4	-6.6	-5.5	-4.8	-6.2	-4.4	-9.4	1.2	12.0	10.7	12.0	13.6	14.1	-0.4	9.4
20	0.8	0.0	3.8	7.0	3.8	-1.5	6.0	-6.5	-5.3	4.8	-5.2	5.9	-4.5	3.4	14.0	12.3	12.9	14.7	16.3	-1.0	5.4
21	6.2	7.4	9.0	6.1	3.7	-2.5	7.4	-3.4	-3.5	2.8	-4.6	3.9	-3.0	5.4	13.5	11.6	12.1	13.3	15.9	1.1	3.0
22	**8.1**	**9.5**	8.2	8.8	4.5	0.9	10.4	-4.3	-3.4	-1.5	-5.8	-4.0	-1.1	5.2	6.5	7.0	8.0	9.2	13.5	5.0	4.6
23	6.4	6.4	10.8	10.5	5.0	-1.7	5.2	-1.0	-2.0	1.5	-4.8	-1.3	-1.0	5.4	5.8	8.4	9.0	9.7	14.2	3.2	5.6
24	5.0	6.7	8.6	9.8	8.8	0.5	10.4	-2.5	-2.7	-0.6	-2.8	-2.3	0.1	7.8	10.4	6.9	9.0	11.4	16.6	3.4	8.2
25	2.1	3.2	6.2	4.6	3.7	-3.2	**12.4**	-2.5	-1.8	-1.6	-1.7	2.1	1.3	6.6	10.2	9.9	12.0	12.1	14.9	5.0	9.4
26	0.0	3.5	4.6	7.5	1.3	-7.7	7.2	-3.2	-1.7	-0.4	-2.8	2.0	2.6	8.8	12.0	10.9	12.0	14.1	14.6	**10.0**	15.4
27	7.8	7.3	**11.2**	10.0	6.5	2.0	9.0	-1.1	-0.1	0.2	-0.4	0.8	**3.6**	10.4	17.2	16.4	17.0	18.0	13.7	5.5	15.4
28	5.2	5.5	6.6	7.6	7.8	-1.1	11.4	4.5	4.1	2.7	6.2	2.4	3.2	9.4	11.4	11.8	12.2	11.7	15.9	5.7	10.4
29	3.1	6.0	9.0	4.1	2.8	-3.7	6.8	**7.4**	**6.9**	**6.7**	**7.1**	**6.6**	2.5	**19.8**	13.2	12.5	16.0	13.4	16.2	4.5	11.4
30	7.3	7.4	9.6	8.3	7.5	-0.5	8.2								**18.1**	**18.5**	**18.9**	**20.6**	**17.1**	8.4	17.2
31	1.0	1.8	2.6	1.7	3.5	-4.2	2.2								14.2	14.8	13.4	16.4	16.0	5.3	11.6
Mittel	4.0	4.7	6.3	6.3	5.1	-2.1	6.8	-4.7	-4.0	-3.2	-3.8	-4.1	-6.9	3.7	8.8	8.6	9.4	10.4	10.3	1.7	12.2

Tag	April Bern	Neuchâtel	Genève	Basel	Altdorf	Bever	Lugano	Mai Bern	Neuchâtel	Genève	Basel	Altdorf	Bever	Lugano	Juni Bern	Neuchâtel	Genève	Basel	Altdorf	Bever	Lugano
1	10.9	11.0	15.0	12.0	12.7	5.7	18.0	11.0	12.0	12.0	9.3	7.5	1.5	20.4	16.5	18.9	22.0	20.4	14.9	9.1	25.2
2	7.8	9.1	8.6	11.0	10.2	4.6	12.2	12.6	14.1	14.0	15.1	10.0	4.0	21.4	15.3	19.3	18.8	20.7	16.0	13.0	28.2
3	13.2	14.3	15.0	15.2	13.0	6.1	18.2	14.5	13.7	16.0	17.5	16.3	8.0	21.2	20.5	21.7	22.4	23.9	21.3	17.5	27.8
4	12.9	12.8	15.0	12.6	11.4	4.6	17.2	17.3	18.6	17.6	19.8	17.5	12.2	23.4	**25.2**	24.6	28.0	**28.1**	24.6	15.5	25.6
5	6.3	7.7	10.4	7.0	5.3	0.2	16.8	20.6	21.7	19.2	23.0	21.0	14.0	22.8	23.7	25.0	26.2	25.6	24.6	**18.6**	27.4
6	4.0	3.8	6.6	6.1	2.2	-4.0	14.4	22.9	23.6	20.0	25.6	22.4	14.6	25.2	22.5	21.5	24.8	25.4	25.4	17.8	28.2
7	2.8	5.1	6.4	5.7	2.4	-7.7	9.4	23.7	24.4	23.6	26.5	22.4	15.5	25.8	21.2	18.9	21.4	23.7	**26.3**	16.3	26.4
8	8.0	8.3	8.4	10.7	6.0	-1.1	14.8	24.0	25.7	25.0	26.6	23.5	16.2	26.4	12.9	14.3	16.0	16.6	14.0	7.9	20.8
9	13.8	13.9	16.4	16.9	12.3	6.0	16.2	24.5	25.3	**26.4**	25.8	23.0	17.5	28.2	12.0	13.6	11.0	15.6	13.1	7.4	23.4
10	18.2	18.4	17.4	19.9	16.4	**11.0**	17.8	17.3	18.5	18.8	17.1	17.6	13.4	27.4	15.3	16.5	17.4	19.5	17.5	6.2	18.8
11	18.0	18.5	**19.6**	19.5	15.6	10.2	16.0	14.1	16.1	17.6	15.8	11.0	5.6	22.4	18.3	21.5	18.5	22.4	19.0	9.6	15.2
12	**19.1**	**19.0**	19.4	**21.6**	18.2	9.0	13.6	11.6	12.1	14.6	13.8	11.0	7.9	21.2	17.4	16.1	18.6	16.7	17.1	15.1	24.8
13	13.5	13.1	14.5	15.9	17.5	6.9	9.4	13.0	15.5	15.0	14.3	12.1	6.5	25.4	20.1	21.6	22.8	20.1	21.5	17.4	26.6
14	10.6	10.2	12.0	11.9	18.0	6.4	10.4	16.1	18.3	18.6	19.3	17.0	9.6	23.4	15.2	16.4	18.2	18.0	15.6	14.3	25.2
15	**19.1**	18.5	19.5	19.7	**21.7**	7.0	11.2	18.0	20.8	20.6	20.8	17.7	9.4	22.4	12.8	14.9	17.2	17.0	12.5	11.0	26.4
16	12.1	13.0	15.8	14.4	13.9	3.2	9.2	21.2	21.9	20.6	23.6	20.7	14.9	25.4	16.4	17.4	18.4	21.3	18.1	14.0	23.8
17	9.0	8.7	8.6	9.4	10.4	3.1	9.4	20.1	20.5	25.5	23.7	19.8	14.8	24.4	15.0	15.2	19.6	17.9	16.7	9.0	19.2
18	2.8	4.6	7.7	3.7	5.6	0.1	12.8	20.2	19.4	24.6	16.7	19.0	12.0	22.8	13.6	13.4	16.2	15.1	13.4	7.5	20.4
19	6.7	7.9	8.2	8.3	5.5	-1.1	16.2	12.0	12.6	15.4	11.9	12.5	6.0	17.4	19.0	20.9	21.0	20.9	16.0	12.0	**29.4**
20	8.2	9.5	9.6	9.5	9.6	1.2	18.4	13.0	14.8	13.0	17.5	11.9	7.1	22.8	16.7	19.2	22.9	19.0	16.2	14.1	27.4
21	11.2	11.2	7.5	15.4	10.5	5.2	14.2	19.5	19.1	17.0	21.7	19.3	11.7	14.4	14.6	17.5	18.6	17.6	13.5	6.0	23.4
22	7.6	8.1	7.8	10.3	9.5	2.0	10.8	21.0	22.6	19.9	24.9	21.4	11.4	14.0	15.3	17.7	18.0	16.1	12.4	7.0	23.2
23	9.4	12.2	15.4	10.5	9.4	7.0	17.2	18.0	18.3	19.0	20.9	18.3	12.3	23.4	15.6	18.4	18.0	16.3	12.9	8.3	27.4
24	14.7	12.4	15.4	15.9	13.1	6.8	20.2	16.3	16.1	20.8	22.6	20.7	8.2	20.6	15.5	17.2	18.8	18.3	13.8	12.8	26.6
25	15.1	15.5	16.5	17.1	14.0	7.7	18.4	16.5	16.3	17.5	18.8	15.9	9.0	22.2	16.8	16.4	20.6	19.9	15.1	10.0	24.2
26	17.0	17.3	16.6	20.1	16.7	8.0	18.6	19.9	20.9	20.0	21.7	20.8	15.6	24.4	20.5	21.8	21.4	21.7	19.3	15.7	26.2
27	18.1	18.9	18.4	21.5	21.5	9.8	18.2	21.9	22.2	23.6	23.7	21.6	18.2	25.6	22.7	23.3	24.0	24.8	20.5	16.0	27.4
28	13.1	15.3	18.7	16.0	16.4	6.8	12.8	**29.3**	**26.6**	**26.4**	**30.7**	**29.8**	**22.7**	**28.4**	22.2	24.0	26.0	23.6	20.8	15.3	26.4
29	14.4	16.8	15.0	16.7	10.6	6.2	14.2	25.0	26.5	25.8	27.1	26.1	20.1	28.2	21.2	22.2	25.7	22.1	20.7	15.2	26.4
30	10.0	11.2	14.2	11.4	10.0	6.2	**22.2**	23.1	25.2	**26.4**	26.9	23.1	19.9	28.2	24.6	**25.1**	**28.8**	26.9	24.0	17.6	26.6
31								16.0	19.7	22.6	20.1	23.5	15.4	25.4							
Mittel	11.6	12.2	13.3	13.5	12.0	4.6	14.9	18.5	19.5	19.9	20.7	18.5	12.1	23.4	18.0	19.2	20.7	20.5	17.9	12.6	24.9

Temperatur-Maxima 1956

Tag	Juli							August							September						
	Bern	Neuchâtel	Genève	Basel	Altdorf	Bever	Lugano	Bern	Neuchâtel	Genève	Basel	Altdorf	Bever	Lugano	Bern	Neuchâtel	Genève	Basel	Altdorf	Bever	Lugano
1	21.1	22.7	24.2	25.7	26.1	15.3	18.2	21.8	22.5	24.7	22.3	21.4	17.0	28.6	19.6	19.2	18.8	23.0	23.0	13.6	22.2
2	16.5	17.2	19.7	19.1	20.7	11.6	16.8	20.6	20.0	24.2	22.2	23.5	17.5	29.6	20.5	19.9	16.6	20.2	23.6	13.0	19.8
3	18.5	18.8	27.8	22.9	17.5	11.4	27.4	17.0	17.8	20.8	17.0	18.6	16.2	31.4	15.0	17.8	19.3	20.0	16.4	17.0	24.8
4	22.7	23.2	24.8	25.5	23.9	18.7	28.4	16.5	18.3	20.4	19.0	17.8	15.1	28.6	18.2	19.1	20.5	21.6	18.3	15.7	25.4
5	26.5	25.6	28.8	28.4	26.5	22.0	28.4	18.6	20.2	22.0	21.6	17.2	13.4	23.0	21.2	21.1	21.2	25.1	21.4	18.3	27.0
6	24.3	24.8	27.4	24.6	25.8	23.2	30.4	16.7	15.7	18.4	18.5	21.8	13.0	23.0	17.8	18.2	20.2	21.0	21.0	15.8	24.1
7	26.3	27.3	27.4	28.0	26.7	23.7	30.6	14.7	14.6	17.9	15.5	16.9	18.8	28.6	20.2	20.8	21.7	21.5	19.2	16.5	26.4
8	27.8	**28.8**	29.2	30.2	**28.3**	**24.8**	31.2	19.3	21.3	21.4	25.6	20.3	24.0	31.2	22.3	23.0	21.9	24.7	21.0	16.0	26.2
9	**28.6**	28.3	26.6	**31.6**	25.2	21.0	27.4	24.5	22.8	24.2	26.7	22.6	**25.7**	31.0	18.0	17.4	20.6	22.5	22.2	16.5	23.2
10	24.5	26.4	24.8	27.2	26.3	20.5	30.4	**28.4**	**27.2**	**30.0**	**31.4**	**27.0**	24.2	**31.6**	21.6	21.3	23.5	23.1	22.0	17.2	23.2
11	14.9	15.6	18.6	16.2	16.5	13.5	23.4	18.8	18.5	20.4	21.6	19.0	15.6	28.0	21.3	22.6	**24.3**	23.2	18.5	15.8	28.1
12	16.5	18.2	20.0	17.0	18.5	18.0	28.8	18.5	20.2	22.0	20.0	20.5	15.0	31.0	17.0	17.6	22.5	17.7	16.2	15.0	27.1
13	23.6	23.0	22.0	28.6	24.1	18.5	29.2	23.7	21.3	26.2	25.3	22.5	17.1	28.0	20.4	21.8	21.2	17.5	17.7	14.0	**32.2**
14	16.8	17.6	21.1	22.0	23.0	13.6	21.8	20.1	19.7	21.7	23.6	20.4	18.5	27.0	17.5	19.8	20.0	20.3	18.7	14.5	23.6
15	21.2	22.3	22.9	25.1	18.7	16.8	26.4	22.0	22.6	21.9	23.9	22.0	17.3	29.0	21.2	20.9	19.9	23.9	20.3	**22.8**	25.4
16	17.4	16.9	21.4	20.5	17.9	16.8	27.2	24.5	24.3	25.8	26.1	24.2	21.2	29.4	**23.8**	22.7	21.5	**27.7**	21.5	21.0	26.2
17	20.5	21.3	24.2	23.1	20.6	15.5	29.0	23.2	21.2	28.8	27.4	22.5	20.0	29.2	21.0	**23.2**	22.2	17.8	21.4	20.0	26.4
18	23.9	23.8	21.6	27.2	24.5	17.5	28.4	24.7	24.2	27.8	22.4	21.5	20.0	26.2	15.4	17.7	18.4	19.1	17.0	18.0	24.8
19	18.3	15.6	18.9	19.4	21.5	14.5	22.4	23.0	24.0	25.2	23.1	23.0	18.6	29.0	20.8	20.3	21.7	23.2	19.0	15.8	19.6
20	18.0	17.4	20.8	19.8	17.0	14.8	23.4	18.0	16.2	17.8	19.0	19.2	18.5	28.6	22.4	19.5	20.9	25.5	21.0	19.8	23.8
21	17.5	16.9	20.0	21.7	17.8	13.0	24.0	17.3	20.8	24.2	22.5	17.4	17.0	29.6	21.0	19.1	21.0	26.2	21.0	18.0	24.2
22	21.1	23.6	22.6	24.3	21.8	15.7	24.4	18.0	17.8	21.4	19.7	20.0	16.0	25.6	20.8	20.8	20.7	24.5	20.3	14.0	22.6
23	22.1	22.9	23.8	21.6	21.7	17.5	28.8	15.6	14.5	17.9	17.5	15.5	12.1	26.2	22.2	22.2	20.9	25.6	23.6	15.3	22.4
24	22.8	24.2	23.8	24.4	23.0	19.0	31.0	16.4	16.9	19.5	18.0	16.5	12.4	26.4	22.4	22.1	23.6	25.7	**26.6**	16.5	23.6
25	23.0	25.6	25.3	24.1	23.4	18.4	**32.2**	19.4	17.8	20.3	21.3	18.2	13.5	18.4	20.3	20.5	20.8	21.0	22.0	12.0	17.6
26	25.9	26.6	26.2	28.5	25.5	23.8	30.6	18.6	19.3	21.4	22.3	17.6	16.0	23.6	17.0	18.5	19.8	18.7	22.0	10.5	17.6
27	28.2	26.8	29.2	29.7	26.8	21.0	30.6	20.6	19.0	24.6	24.6	26.3	15.5	23.8	15.6	15.2	16.9	16.1	15.3	10.3	21.6
28	23.4	24.1	**29.4**	22.6	23.5	19.0	28.8	18.4	19.2	20.8	21.2	16.5	17.5	25.4	19.3	19.3	20.7	21.5	*20.0	16.5	23.6
29	24.5	21.6	**29.4**	25.2	24.0	20.5	30.8	15.5	18.9	19.9	19.7	15.0	16.1	26.4	21.6	21.2	18.9	23.7	*20.5	20.0	25.2
30	20.0	21.9	22.2	20.7	18.0	17.9	28.8	16.5	18.2	16.8	18.5	17.6	9.7	26.2	20.8	17.9	19.5	24.7	*20.0	18.0	25.4
31	21.3	22.6	21.6	23.0	21.3	18.5	31.2	17.7	18.1	17.7	18.6	19.3	14.0	24.8							
Mittel	21.9	22.3	24.1	24.1	22.5	17.9	27.4	19.6	19.8	22.1	21.8	20.1	17.0	27.4	19.9	20.0	20.7	22.2	20.4	16.2	24.1

Tag	Oktober							November							Dezember						
1	**21.8**	**20.8**	19.9	**26.0**	**20.9**	**17.7**	**26.0**	3.0	3.5	5.7	4.8	6.0	3.6	8.6	-0.7	1.5	2.1	1.4	1.3	6.8	10.4
2	20.4	18.1	**22.5**	23.5	19.5	17.0	25.0	2.4	4.1	4.8	3.3	5.0	1.7	11.2	1.0	0.4	1.5	2.0	0.7	6.0	11.4
3	18.0	17.6	19.7	16.2	15.0	13.5	17.8	2.9	4.9	6.3	6.1	5.0	1.1	13.8	0.3	1.1	3.2	2.8	2.6	4.6	8.4
4	13.7	15.4	15.7	15.0	13.6	12.0	24.8	4.8	6.9	7.7	6.1	5.8	0.1	10.2	8.2	7.2	6.6	8.1	6.4	**6.1**	**21.4**
5	12.2	11.4	13.5	12.1	13.8	10.2	20.4	5.9	6.4	9.7	8.1	7.2	1.1	14.4	5.1	5.5	4.5	7.7	5.5	3.0	15.2
6	7.0	7.3	9.5	8.0	7.7	2.0	20.2	8.5	**10.9**	10.6	11.5	7.9	2.2	**18.4**	5.5	5.4	7.2	6.6	5.3	2.7	19.0
7	6.3	7.6	9.7	9.5	7.0	2.0	16.8	10.0	10.8	9.6	10.1	9.0	2.6	14.4	7.3	8.7	7.5	10.2	6.0	1.6	13.4
8	7.2	8.0	9.1	10.4	9.0	1.4	19.0	6.7	3.7	7.1	9.6	4.6	4.8	16.2	7.5	8.3	7.1	7.6	6.0	5.4	20.4
9	7.6	9.2	9.5	11.6	11.1	5.6	18.0	6.1	6.7	6.5	7.7	3.9	3.4	13.8	5.5	7.1	6.9	7.8	3.5	-0.2	9.8
10	10.2	12.6	10.4	13.9	12.5	10.0	18.4	8.6	7.3	11.0	6.7	8.8	3.9	14.4	1.8	1.9	4.3	5.6	1.9	0.1	9.4
11	11.2	11.1	10.5	14.0	12.3	14.0	19.6	**10.1**	10.0	**12.0**	**11.9**	**10.3**	0.9	8.4	3.1	4.4	4.7	8.2	6.3	0.8	9.4
12	13.2	11.7	13.0	19.1	14.4	15.2	19.6	7.2	7.2	7.7	10.0	7.9	0.2	7.4	6.9	6.7	9.2	8.7	5.3	-1.8	6.8
13	14.1	11.5	12.6	18.9	15.7	16.2	20.6	6.1	7.0	8.3	6.7	8.8	0.9	8.2	**10.6**	8.7	11.4	12.2	**8.8**	1.7	8.2
14	13.0	10.1	12.5	15.5	14.1	16.8	20.2	3.8	5.6	6.7	4.6	7.6	3.3	10.8	8.8	8.3	9.5	11.6	8.4	0.3	7.6
15	9.3	9.4	11.5	13.4	8.5	14.2	19.4	2.6	5.0	6.2	4.3	4.7	0.9	14.8	9.8	**10.7**	11.7	**12.5**	7.7	2.2	8.6
16	13.5	11.4	13.4	16.4	11.0	11.5	19.4	3.6	6.8	5.5	6.9	5.7	0.3	14.8	8.5	9.1	**13.8**	10.3	7.8	1.9	7.4
17	14.2	11.1	14.7	19.5	14.4	14.0	19.2	4.3	7.1	5.3	8.1	5.4	-0.8	11.0	7.8	4.1	8.5	10.3	6.2	0.2	10.4
18	11.7	11.7	13.9	12.9	11.8	10.7	16.2	0.0	2.7	4.6	6.1	3.5	0.0	10.4	6.4	1.7	5.0	8.1	5.5	0.1	9.8
19	17.3	17.8	18.6	18.7	14.6	10.0	19.6	0.7	1.9	2.9	6.7	3.1	-1.0	9.8	5.4	3.6	3.1	4.8	4.2	0.5	8.4
20	16.4	15.7	18.9	19.1	15.8	14.0	19.2	0.0	2.0	3.4	4.2	2.6	1.7	6.4	4.0	4.1	4.7	2.6	2.8	0.5	8.4
21	13.8	17.5	16.5	15.5	14.0	11.5	19.4	0.2	0.8	2.8	1.9	3.2	-2.1	6.2	3.1	4.4	4.1	2.3	3.3	4.2	7.8
22	16.2	15.2	14.4	20.0	13.0	14.0	20.4	-1.4	-0.7	1.7	-1.2	1.7	-1.8	3.6	0.5	2.1	4.0	1.2	2.5	-5.0	5.2
23	11.5	10.7	13.9	16.5	10.2	15.8	19.4	-2.3	-1.3	0.6	-1.5	0.7	2.0	2.6	0.5	1.7	3.2	0.4	1.8	7.2	8.0
24	12.4	12.7	11.5	16.1	9.4	14.5	19.2	-1.2	-0.6	1.3	-0.8	1.0	3.4	8.2	2.2	0.0	1.2	1.6	1.1	8.7	4.4
25	10.1	9.7	11.7	11.2	11.5	10.5	18.6	0.1	0.9	2.2	0.6	2.0	2.5	9.2	4.5	2.8	-1.1	1.1	2.6	12.0	3.6
26	6.8	7.5	9.5	7.6	8.3	4.0	12.0	6.1	5.7	6.5	8.1	2.9	5.2	11.4	3.9	2.1	2.5	3.7	2.6	9.8	2.6
27	3.7	5.3	6.4	5.1	5.0	-2.5	9.4	7.7	6.8	9.5	9.7	5.7	**8.4**	11.2	0.7	0.3	0.1	1.1	0.9	5.5	3.6
28	3.7	6.1	7.2	4.2	5.2	-2.0	13.4	8.8	7.3	10.0	9.6	7.8	3.7	5.2	2.4	1.2	0.1	0.9	2.3	7.1	4.1
29	4.8	4.7	6.5	6.7	6.2	2.0	16.4	2.5	3.2	5.6	4.9	4.1	2.8	10.4	0.2	0.3	2.8	0.6	0.5	5.0	2.1
30	3.0	2.9	6.2	3.6	4.9	-1.8	15.2	1.3	3.2	3.7	2.7	2.0	6.5	10.2	1.5	0.5	2.2	1.1	1.9	10.1	1.6
31	4.0	5.0	6.3	5.6	5.6	-0.6	11.2								1.0	0.7	2.8	1.1	1.3	-2.8	2.1
Mittel	11.2	11.2	12.6	13.7	11.5	9.5	18.5	4.0	4.9	6.2	5.9	5.1	0.8	10.5	3.3	3.6	5.0	4.8	3.3	2.2	8.7

Monats- und Jahresübersichten
sämtlicher schweizerischen meteorologischen Stationen

In die hier folgenden Übersichten werden die Beobachtungsresultate aller schweizerischen Stationen, soweit es die Zuverlässigkeit und Vollständigkeit derselben gestatten, aufgenommen. Zu beachten ist:

1. Die Minima und Maxima bei Luftdruck, Temperatur und die Minima bei der relativen Feuchtigkeit sind stets den üblichen Terminbeobachtungen entnommen (7^{30} 13^{30} 21^{30}, resp. 7^{30} 13^{30} 20^{30}).
2. Die Monatsmittel der Temperatur werden aus den 3 Terminbeobachtungen in der Weise abgeleitet, daß der Abendbeobachtung (21^{30}) das doppelte Gewicht beigelegt ist [$m = \frac{1}{4}\ (7^{30} + 13^{30} + 2 \cdot 21^{30})$]. Bei den wenigen Stationen, die eine andere Kombination der Beobachtungsstunden haben, wird eine nach den stündlichen Werten von Bern und Säntis berechnete Reduktion angebracht.
3. Als Tage mit Niederschlag werden diejenigen gezählt, an denen wenigstens 0,3 mm gemessen wurden. Eine zweite Rubrik enthält die Zahl der Tage mit Niederschlagsmengen von mindestens 1,0 mm.
4. Für die Zählung der Tage mit Gewittern werden nur die Gewitter berücksichtigt, welche über der Beobachtungsstation selbst niedergehen oder in höchstens 3 km Distanz an ihr vorüberziehen. (Nahgewitter). Tage mit mehreren Gewittern werden als «Gewittertage» nur einfach gezählt.
5. Als heitere (trübe) Tage werden solche bezeichnet, deren mittlere Bewölkung < 2 (> 8) Zehntel ist.
6. Bei der Übersicht der Windverteilung wird nur die Häufigkeit der verschiedenen Windrichtungen mit Index > 0 berücksichtigt.
7. λ bezeichnet die geographische Länge in Graden von Greenwich, β die geographische Breite, H_b die Höhe des Stationsbarometers über dem Meer in Metern, H die Höhe der Station (des Regenmessers) über Meer, G ist die Korrektion, welche an den Luftdruckdaten für deren Reduktion auf die Normalschwere (Konventioneller Standardwert $g_0 = 980{,}665$ cm/sec^2) noch anzubringen ist, h_r die Höhe des oberen Randes des Regenmessers über dem Erdboden. Die Stationen, bei denen die Höhe (des Barometergefäßes) bis auf den Dezimeter angegeben ist, sind an das schweizerische Präzisionsnivellement angeschlossen. Alle Höhen sind auf Pierre du Niton 373,6 m bezogen.

NB. Die den Schwerekorrektionen zugrundeliegenden Normalschwerewerte sind für die einzelnen meteorologischen Stationen aus den Schwerebestimmungen von Th. Niethammer (Astronomisch-geodätische Arbeiten in der Schweiz, Bände 12, 13, 15 und 16) berechnet worden. (Vgl. Vorwort.)

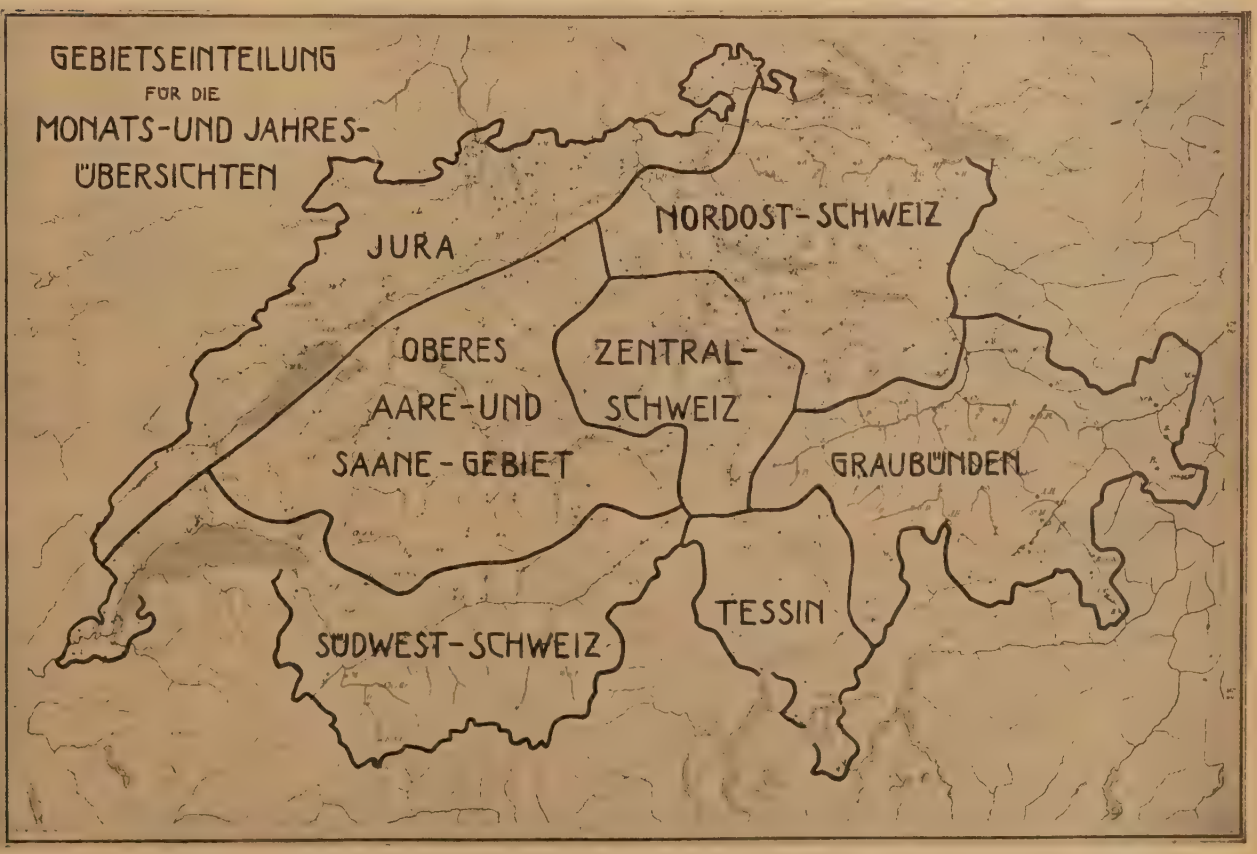

Reihenfolge der Gebiete: Nordostschweiz, Zentralschweiz, Jura, Oberes Aare- und Saanegebiet, Südwestschweiz, Graubünden, Tessin.

Zürich-MZA

$\lambda = 8^\circ 34'$, $\beta = 47^\circ 23'$, $H_b = 569.4^m$, $G = -0.01$ m/m, $h_r = 1.5^m$

1956	Luftdruck					Luft-Temperatur								Relative Feuchtigkeit					
	Mittel	Minimum	Tag	Maximum	Tag	7^{30}	13^{30}	21^{30}	Mittel	Minimum	Tag	Maximum	Tag	7^{30}	13^{30}	21^{30}	Mittel	Minimum	Tag
Januar	710.5	696.6	9	721.1	4	0.9	3.5	1.5	1.9	−9.6	31	8.9	17	86	72	82	80	45	12. 22
Februar	710.6	697.3	13	723.3	5	−11.0	−5.8	−9.0	−8.7	−22.9	10	4.3	29	86	56	77	73	42	7
März	711.4	700.9	24	720.9	8	1.5	8.2	4.1	4.5	−8.1	13	17.7	30	81	53	67	67	33	21
April	708.4	699.0	5	718.3	8	4.4	10.7	6.3	6.9	3.1	7	18.8	12	81	52	73	69	31	10
Mai	715.3	707.2	22	721.4	6	11.0	17.0	12.2	13.1	2.1	1	28.1	28	76	54	71	67	32	7
Juni	714.1	708.4	7	718.2	2	11.8	16.6	12.4	13.3	6.8	9	24.4	5	82	59	80	74	38	30
Juli	713.2	705.9	2	721.0	25	15.2	20.8	15.9	17.0	11.2	11	28.5	8	80	57	79	72	40	27
August	711.4	699.4	25	721.8	7. 8	13.3	18.5	13.9	14.9	8.7	29	28.4	10	82	63	84	76	42	16
September	714.2	706.6	26	718.7	18	12.3	19.1	13.7	14.7	9.0	15	23.9	16	88	58	86	77	43	8
Oktober	715.8	705.8	29	723.3	22	5.9	10.8	6.9	7.6	0.1	27	23.6	1	90	66	86	81	42	1
November	713.5	698.4	28	724.1	6	1.0	3.6	1.3	1.8	−4.6	23	12.5	11	84	70	82	79	53	7
Dezember	716.5	705.7	31	722.8	3	0.2	3.3	0.6	1.1	−9.4	26	11.5	16	86	72	85	81	43	16
Jahr	712.9	696.6	I	724.1	XI	5.5	10.5	6.6	7.3	−22.9	II	28.5	VII	84	61	79	75	31	IV

Zürich-BG

$\lambda = 8^\circ 32'$, $\beta = 47^\circ 22'$, $H_b = 410.6^m$, $G = 0.02$ m/m, $h_r = 1.5^m$

Januar	724.6	710.5	9	735.7	4	2.1	4.3	2.6	2.9	−7.6	31	9.0	18	87	76	82	82	41	22
Februar	725.4	711.8	13	739.4	5	−9.5	−4.7	−7.5	−7.3	−21.2	10	3.9	29	86	60	75	74	47	7
März	725.5	715.1	21	735.5	8	2.1	9.3	5.0	5.3	−6.1	13	20.2	30	78	49	65	64	28	30
April	722.3	712.9	27	732.7	8	5.2	12.4	7.4	8.1	−1.6	7	21.0	12	77	44	67	63	20	10
Mai	728.9	720.6	22	735.2	6	12.4	18.8	13.2	14.4	3.0	1	30.4	28	66	45	68	60	22	7
Juni	727.7	721.6	7	731.9	15	13.3	18.7	14.0	15.0	8.1	9	27.2	7	71	48	68	62	27	30
Juli	726.6	719.1	2	734.3	25	16.7	23.1	17.3	18.6	12.3	11	31.3	8	68	47	69	61	26	18
August	724.9	712.7	25	735.6	7	14.2	20.2	15.1	16.2	8.8	31	28.3	10	75	53	76	68	34	1. 5
September	727.7	719.9	26	732.3	15. 30	13.0	20.8	14.6	15.7	9.2	15	25.5	24	87	55	86	76	33	7
Oktober	729.9	719.8	29	737.3	13	6.9	12.1	7.9	8.7	1.0	27	24.9	1	93	69	91	84	41	1
November	727.7	712.0	28	738.3	6	2.4	4.5	2.7	3.1	−2.9	23	11.0	11	87	74	86	82	58	11
Dezember	730.9	720.2	31	736.9	3	0.6	3.3	1.5	1.7	−8.5	26	10.7	13	89	77	87	84	50	14
Jahr	726.8	710.5	I	739.4	II	6.6	11.9	7.8	8.5	−21.2	II	31.3	VII	80	58	77	72	20	IV

Baden

$\lambda = 8^\circ 19'$, $\beta = 47^\circ 29'$, $H_b = 386.6^m$, $G = 0.04$ m/m, $h_r = 1.5^m$

Januar	726.8	712.9	9	737.9	4	1.4	3.7	1.6	2.1	−8.6	31	8.4	22	90	78	85	84	55	25
Februar	727.8	714.0	13	740.8	5	−10.5	−5.7	−9.1	−8.6	−22.2	10	5.0	29	83	63	79	75	46	27
März	727.8	716.6	24	738.2	8	1.8	8.5	3.4	4.3	−6.8	13	18.6	30	85	59	77	74	37	8
April	724.7	715.3	27	735.6	8	5.3	12.1	6.6	7.7	−3.6	8	19.9	12	87	55	78	73	37	7. 8
Mai	731.2	722.4	22	737.9	6	12.0	17.8	12.1	13.5	3.4	1	28.0	28	80	57	80	72	37	7. 9
Juni	730.0	723.0	7	734.5	15	13.2	18.5	13.0	14.4	6.6	16	25.6	5	81	61	83	75	44	16
Juli	728.8	721.6	2	736.9	25	16.0	22.1	16.5	17.8	12.1	20	29.6	8	84	63	84	77	47	7
August	727.2	714.6	25	738.0	7	13.9	19.2	14.6	15.6	7.8	31	27.8	10	91	70	88	83	52	5
September	730.0	724.4	26	737.3	30	13.1	19.0	13.7	14.9	8.1	15	23.8	2	92	70	88	83	53	5
Oktober	732.1	722.1	29	739.8	13	7.0	11.0	7.0	8.0	0.5	27	21.2	2	92	77	88	86	58	10
November	729.9	714.9	28	740.9	6	2.0	4.5	2.3	2.8	−4.7	23	10.5	11	87	76	83	82	60	16
Dezember	733.2	722.4	31	739.4	3	0.2	2.8	0.7	1.1	−8.9	26	10.8	15	90	80	86	85	55	16
Jahr	729.1	712.9	I	740.9	XI	6.3	11.1	6.9	7.8	−22.2	II	29.6	VII	87	67	83	79	37	III/IV V

Winterthur

$\lambda = 8^\circ 45'$, $\beta = 47^\circ 30'$, $H =$ ca 485^m, $G = -$ m/m, $h_r = 1.5^m$

Januar	—	—	—	—	—	1.2	3.7	1.5	2.0	−8.4	31	7.6	18	87	74	84	82	51	23
Februar	—	—	—	—	—	−9.8	−5.8	−8.3	−8.0	−21.4	10	3.8	29	81	64	78	74	51	7
März	—	—	—	—	—	1.3	7.7	3.5	4.0	−7.6	13	16.8	30	82	56	72	70	34	9
April	—	—	—	—	—	4.7	11.0	6.1	7.0	−3.6	7	19.0	12	82	54	74	70	33	10
Mai	—	—	—	—	—	11.2	17.6	11.2	13.3	3.2	1	25.9	28. 29	81	57	73	70	30	6
Juni	—	—	—	—	—	12.3	17.1	12.5	13.6	6.2	16	25.0	5	82	60	80	74	39	30
Juli	—	—	—	—	—	15.6	20.9	16.0	17.1	11.3	20	27.0	8	80	58	81	73	41	8. 26
August	—	—	—	—	—	13.2	18.5	14.0	14.9	8.5	31	26.2	10	87	67	85	80	47	5
September	—	—	—	—	—	12.0	18.1	13.1	14.1	8.2	27	22.9	16	84	66	88	79	50	14
Oktober	—	—	—	—	—	6.0	10.6	6.8	7.5	0.8	10	20.5	2	91	73	89	84	54	10
November	—	—	—	—	—	1.6	3.9	2.0	2.4	−3.8	23	11.2	11	83	73	83	80	58	7
Dezember	—	—	—	—	—	0.0	3.0	0.5	1.0	−9.4	25	10.5	15	83	73	83	80	44	16
Jahr	—	—	—	—	—	5.8	10.5	6.7	7.4	−21.4	II	27.0	VII	83	64	81	76	30	V

Beobachter: **Meteorolog. Zentralanstalt**

Zürich-MZA

Bewölkung				Termine mit Nebel				Niederschlag			Zahl der Tage								Windverteilung									1956
7³⁰	13³⁰	21³⁰	Mittel	7³⁰	13³⁰	21³⁰	Total	Summe	Maximum	Tag	● *	● ≥1.0	*	▲	⌇	≡	heiter	trüb	N	NE	E	SE	S	SW	W	NW	Calmen	
8.9	8.0	7.9	8.3	1	—	1	2	102	29	26	16	11	5	—	—	4	1	22	10	17	1	5	19	29	9	1	2	Januar
9.0	7.1	7.3	7.8	4	—	—	4	16	4	8	11	6	10	-	—	4		15	13	39	8	2	6	11	1	3	4	Februar
6.7	6.4	5.4	6.2	-	—	—	—	67	33	2	9	6	2	—	1	3	3	11	10	34	5	2	10	19	8	3	2	März
6.9	7.1	6.1	6.7	2	—	—	2	104	32	1	15	13	4	—	—	4	5	13	8	13	4	4	13	17	17	8	6	April
5.4	5.8	5.1	5.4	1	—	—	1	133	30	18	14	13	—	—	5	2	7	9	11	21	7	4	16	14	10	6	4	Mai
7.4	7.5	8.7	7.9	—	—	—	—	76	16	7	15	13	—	—	1	2	—	15	13	6	4	4	21	12	20	7	3	Juni
6.0	6.1	6.7	6.3	—	—	—		219	47	10	16	14	—	1	6	—	2	10	10	12	5	3	18	17	19	7	2	Juli
7.4	6.9	7.0	7.1	1	—	—	1	230	55	10	20	19	—	—	3	2	—	13	7	15	4		20	20	18	6	3	August
7.6	5.3	3.6	5.5	4	—	—	4	71	28	10	10	8	—		1	10	3	7	6	19	3	3	13	14	16	5	11	September
8.9	6.7	6.0	7.2	10	—	2	12	125	21	26	14	14	5	—	—	15	3	15	8	9	11	2	26	10	18	3	6	Oktober
9.8	8.1	8.7	8.9	3	—	2	5	39	14	28	11	10	3	—	—	4	—	24	14	22	5	5	13	14	6	2	9	November
7.8	7.2	6.5	7.2	6	3	3	12	18	4	13	8	7	4	—	—	11	4	17	4	16	3	3	25	16	6	3	17	Dezember
7.6	6.8	6.6	7.0	32	3	8	43	1200	55	VIII	159	134	33	1	17	61	28	171	114	223	60	37	200	193	148	54	69	Jahr

Beobachter: **Botanischer Garten.**

Zürich BG

8.0	7.7	7.6	7.8	—	—	1	1	108	28	26	16	13	4	—	—	1	1	21	-	—	-	—	—	—	—	—	—	Januar
8.8	7.2	6.9	7.6	1	—	—	1	16	3	8	10	7	9	—	—	1	2	15	—	—	-	—	—	—	—	—	—	Februar
5.8	5.6	5.0	5.5	1	—	—	1	78	32	2	8	6	2	1	1	1	8	9	—	—	—	—	—	—	—	—	—	März
6.6	6.5	5.7	6.3	8	—	—	8	108	29	1	15	15	4	—	—	8	6	12	—	—	—	—	—	—	—	—	—	April
4.6	5.5	3.8	4.6	—	—	—	—	124	27	18	14	13	—	—	6	—	12	8	—	—	—	—	—	—	—	—	—	Mai
7.4	7.0	7.2	7.2	—	—	—	—	73	21	7	16	13	—	1	1	—	1	12	—	—	—	—	—	—	—	—	—	Juni
5.7	5.4	5.9	5.7	1	—	—	1	198	49	10	14	13	—	1	6	1	4	8	—		—	—	—	—	—	—	—	Juli
6.8	6.0	5.7	6.2	3	—	—	3	228	58	10	20	19	—	—	3	3	4	11	—	—	—		—	—	—	—	—	August
7.7	4.7	2.5	5.0	7	—	—	7	65	22	10	11	8	—	—	1	7	4	5	—	—	—	—	—	—	—	—	—	September
9.5	6.3	5.4	7.1	15	—	4	19	132	32	6	14	14	4	—	—	16	1	15	—	—	—	—	—	—	—	—	—	Oktober
9.7	8.0	8.6	8.8	7	—	2	9	46	17	28	11	9	3	-	—	7	—	22	—	—	—	—	—	—	—	—	—	November
8.0	6.7	6.1	6.9	16	7	9	32	18	5	13	9	7	4	—	—	19	5	15	—	—	—	—	—	—	—	—	—	Dezember
7.4	6.4	5.9	6.6	59	7	16	82	1194	58	VIII	158	137	30	3	18	64	48	153	—	—	—	—	—	—	—	—	—	Jahr

Beobachter: **Nordostschweiz. Kraftwerke AG**

Baden

8.5	7.7	8.0	8.1	—	—	—	—	81	22	26	14	14	4	—	—	-	1	19	9	8	—	—	—	3	45	21	7	Januar
8.3	6.4	5.5	6.7	—	—	—	—	31	14	15	8	8	7	—	—	—	1	8	33	25	1	—	—	—	5	9	14	Februar
6.5	6.3	5.3	6.0	2	—	—	2	92	38	3	12	7	2	—	—	2	4	9	19	17	3	—	1	5	36	2	10	März
6.2	7.0	5.9	6.4	2	—	—	2	120	24	15	16	15	5	1	1	2	6	10	33	7	1	—	—	4	27	12	6	April
5.7	5.8	5.6	5.7	2	—	—	2	85	14	18	10	9	—	—	4	2	8	11	7	12	17	-	—	1	25	23	8	Mai
6.9	7.2	6.9	7.0		—	—	—	57	11	17	12	9	-	1	1	—	1	13	18	—	3	—	—	8	32	26	3	Juni
6.3	5.6	5.3	5.7	2	—	—	2	138	25	10	13	13	—	—	3	2	3	6	8	4	4	1	1	1	36	24	14	Juli
8.4	7.4	6.9	7.6	2	0	0	2	228	68	10	20	20	—	—	1	2	—	14	5	2	1	—	—	3	51	17	14	August
7.4	4.3	3.1	4.9	10	—	—	10	59	18	10	9	9	—	—	2	10	4	3	5	13	1	—	1	5	39	2	24	September
9.2	7.4	6.8	7.8	12	—	5	17	132	27	3	15	13	3	—	—	14	1	17	5	19	—	—	—	2	39	9	19	Oktober
9.4	8.5	9.4	9.1	5	1	3	9	33	11	28	11	7	2	—	—	7	—	24	2	27	25	—	—	—	17	4	15	November
9.1	7.2	6.6	7.6	6	2	3	11	19	5	20	9	5	5	—	—	6	1	18	6	13	7	—	—	7	27	10	23	Dezember
7.7	6.7	6.3	6.9	43	3	11	57	1075	68	VIII	149	129	28	2	12	47	30	152	150	147	63	1	3	39	379	159	157	Jahr

Beobachter: **A. Meyer**

Winterthur

7.9	7.5	7.3	7.6	—	—	—	—	102	29	26	17	12	5	—	—	—	1	17	1	8	3	5	3	—	—	—	73	Januar
8.9	6.0	7.6	7.5	—	—	—	—	24	4	8	13	7	12	—	—	—	—	10	3	13	3	—	2	—	—	—	66	Februar
5.8	5.5	5.3	5.5	—	—	—	—	42	14	2	8	8	1	—	1	—	7	9	—	3	1	5	3	—	—	—	81	März
6.1	6.2	6.7	6.3	—	—	—	—	86	18	1	14	13	4	—	1	—	4	11	—	1	—	1	—	—	—	—	88	April
5.0	5.5	4.7	5.1	-	—	—	—	96	26	12	16	8	—	—	—	—	8	7	—	1	—	2	1	—	—	—	89	Mai
7.7	7.2	6.5	7.1	—	—	—	—	78	18	1	16	13	—	—	—	—	—	11	—	1	1	2	1	—	—	—	85	Juni
5.3	5.5	5.5	5.4	—	—	—	—	187	37	10	15	12	—	—	2	—	4	5	—	—	—	—	—	—	—	—	93	Juli
6.8	6.2	6.9	6.6	1	—	—	1	203	60	10	21	18	—	—	3	1	1	11	—	—	4	1	1	—	—	—	87	August
7.3	4.4	2.5	4.7	4	—	—	4	54	20	3	9	6	—	—	—	4	4	5	—	—	—	—	1	—	—	—	89	September
8.8	6.7	5.9	7.1	7	—	1	8	122	19	25	16	15	4	—	—	7	2	15	—	—	3	1	—	—	—	—	89	Oktober
9.2	8.0	8.8	8.7	2	—	1	3	39	15	28	12	9	2	—	—	2	1	23	—	4	—	4	5	—	-	—	77	November
8.0	6.9	6.7	7.2	—	—	—	—	25	7	13	10	7	5	—	—	—	3	16	—	—	—	—	—	—	—	—	93	Dezember
7.2	6.3	6.2	6.6	14		2	16	1058	60	VIII	167	128	33	—	7	14	35	140	4	31	15	21	17				1010	Jahr

Frauenfeld

$\lambda = 8° 54'$, $\beta = 47° 34'$, $H_b = 432.9^m$, $G = 0.03$ ‰, $h_r =$ ca 8^m

1956	Luftdruck					Luft-Temperatur								Relative Feuchtigkeit					
	Mittel	Minimum	Tag	Maximum	Tag	7^{30}	13^{30}	21^{30}	Mittel	Minimum	Tag	Maximum	Tag	7^{30}	13^{30}	21^{30}	Mittel	Minimum	Tag
Januar	723.0	709.0	9	734.2	4	0.9	3.4	1.5	1.8	-9.2	31	8.6	12	88	75	84	82	45	12
Februar	723.9	710.4	13	736.9	4	-10.9	-6.6	-8.9	-8.8	-22.0	10	4.6	29	83	65	77	75	54	28
März	724.0	712.9	24	734.3	8	0.7	7.5	3.5	3.8	-8.7	13	17.2	30	86	55	75	72	25	9
April	720.8	711.5	5	731.4	8	5.0	11.1	6.8	7.4	-1.4	7. 8	18.8	12	83	51	76	70	30	10
Mai	727.5	719.2	22	733.9	6	11.9	17.5	11.9	13.3	3.6	1	26.8	28	78	51	78	69	29	7
Juni	726.3	720.5	7	730.7	2	13.3	17.8	13.2	14.4	5.6	16	25.0	5. 6	81	57	81	73	39	30
Juli	725.0	717.5	2	733.4	25	17.0	21.7	16.6	18.0	12.0	20	27.6	8	77	57	80	71	39	7
August	723.4	711.0	25	734.3	8	14.1	19.4	14.4	15.6	8.2	31	26.6	10	85	63	85	78	41	15
September	726.2	718.3	26	731.2	15	11.7	18.3	13.3	14.1	7.2	15	22.6	16	92	66	89	82	47	14
Oktober	728.2	718.2	29	735.7	12, 13, 22	5.9	10.3	6.7	7.4	0.0	10	19.6	1. 2	94	75	92	87	55	9
November	726.1	709.6	28	736.7	6	1.5	3.7	1.9	2.2	-3.8	23	8.7	11	88	77	86	84	58	27
Dezember	729.3	718.9	31	735.1	3	-0.4	2.3	0.2	0.6	-8.9	25	10.6	15	89	79	87	85	48	12
Jahr	725.3	709.0	I	736.9	II	5.9	10.5	6.8	7.5	-22.0	II	27.6	VII	85	64	82	77	25	III

Kreuzlingen

$\lambda = 9° 10'$, $\beta = 47° 39'$, $H_b = 445.6^m$, $G = 0.03$ ‰, $h_r = 1.5^m$

Januar	721.6	708.5	9	733.1	4	0.9	3.2	1.2	1.6	-10.0	31	9.0	12	90	76	88	85	45	12
Februar	722.4	710.0	13	735.4	4	-10.8	-6.8	-8.8	-8.8	-22.4	10	4.8	29	84	67	80	77	52	7
März	722.5	712.2	24	733.4	8	1.1	7.3	3.0	3.6	-6.8	13	16.0	31	87	60	78	75	34	9
April	719.3	710.7	5	729.6	8	5.2	10.8	6.5	7.2	-1.6	7	18.0	12	84	61	78	74	35	9. 12
Mai	726.0	717.5	22	733.2	6	11.3	16.9	11.7	12.9	3.4	1	27.0	28	81	60	80	74	39	15
Juni	724.6	718.8	7	729.0	2	12.7	16.9	12.7	13.7	5.0	8	24.6	6	82	59	83	75	40	11. 16
Juli	723.7	716.0	2	731.9	25	16.3	21.1	15.9	17.3	11.0	11. 20	27.0	8	78	57	82	72	38	8
August	721.8	710.4	25	732.9	8	13.8	18.8	13.9	15.1	9.0	29	24.2	10	87	63	88	79	39	16
September	724.7	716.9	26	729.7	15	12.4	17.5	12.7	13.8	8.6	27	21.0	11	91	68	92	84	53	5
Oktober	726.6	716.6	5	734.2	22	6.7	10.1	6.7	7.5	-0.2	30	18.1.	2	94	75	95	88	53	1
November	724.5	708.8	28	735.0	6	1.7	3.8	2.1	2.4	-3.6	22. 23	8.8	11	87	76	85	83	59	22
Dezember	727.6	717.3	31	733.5	2	0.0	2.6	0.5	0.9	-8.0	25. 26	11.0	15	95	85	93	91	59	15
Jahr	723.8	708.5	I	735.4	II	5.9	10.2	6.5	7.3	-22.4	II	27.0	VII	87	67	85	80	34	III

Haidenhaus

$\lambda = 9° 01'$, $\beta = 47° 39'$, $H = 690^m$, $G = -$ ‰, $h_r = 1.7^m$

Januar	—	—	—	—	—	-0.3	1.6	0.2	0.4	-12.1	31	6.9	12	93	81	89	88	50	12. 23
Februar	—	—	—	—	—	-12.1	-8.7	-10.9	-10.6	-25.0	10	2.2	29	90	75	86	84	55	7
März	—	—	—	—	—	1.1	5.7	2.4	2.9	-8.2	13	15.1	30	83	59	76	73	31	16
April	—	—	—	—	—	4.1	9.0	4.7	5.6	-4.8	6	16.4	12	82	57	82	74	35	12
Mai	—	—	—	—	—	11.5	15.7	11.2	12.4	1.8	1	25.0	28	78	61	78	72	35	7. 9
Juni	—	—	—	—	—	11.1	15.0	11.5	12.3	5.2	15	24.5	4	87	67	81	78	45	16
Juli	—	—	—	—	—	14.5	18.8	15.0	15.8	9.8	11	25.6	8	86	67	81	78	41	26
August	—	—	—	—	—	12.4	16.5	13.2	13.8	3.7	30	24.6	10	90	71	85	82	42	16
September	—	—	—	—	—	11.8	16.6	13.2	13.7	8.2	3	19.8	2. 23	93	72	87	84	48	5
Oktober	—	—	—	—	—	5.3	8.5	6.3	6.6	-1.3	30	19.2	1	96	86	94	92	61	9
November	—	—	—	—	—	0.2	2.1	0.5	0.8	-6.4	22	8.8	11	94	84	92	90	66	7. 24, 27
Dezember	—	—	—	—	—	-0.5	1.6	0.1	0.3	-10.2	26	8.4	15	90	83	88	87	52	16. 17
Jahr	—	—	—	—	—	4.9	8.5	5.6	6.2	-25.0	II	25.6	VII	88	72	85	82	31	III

Haidenhaus: Stationsverlegung und Beobachterwechsel am 1. Juni. Neues H = 694 m.

St. Gallen

$\lambda = 9° 25'$, $\beta = 47° 26'$, $H_b = 663.6^m$, $G = -0.03$ ‰, $h_r = 1.5^m$

Januar	702.7	689.9	9	712.8	4	0.5	2.4	0.9	1.2	-10.8	31	8.9	13	86	78	84	83	43	11
Februar	702.7	690.5	13	714.8	4. 5	-12.6	-8.6	-10.2	-10.4	-23.5	10	3.6	29	88	75	84	82	48	8
März	703.8	694.3	24	712.8	8	0.8	6.0	2.8	3.1	-11.1	13	15.4	24	85	72	77	78	30	22
April	701.0	692.3	5	709.9	8	4.2	8.8	5.1	5.8	-5.2	7	17.4	12	84	63	78	75	34	10
Mai	707.8	700.9	22	713.9	6	11.0	14.9	10.4	11.7	2.3	1	25.7	28	80	68	80	76	40	28
Juni	706.5	701.3	7	710.5	2	11.4	14.7	11.3	12.2	3.8	8	22.8	5	87	72	87	82	45	27
Juli	705.9	699.3	19	713.4	25	15.9	19.7	15.1	16.4	10.0	11	26.1	8	81	67	81	76	48	5
August	704.1	692.8	25	714.3	7	13.5	18.1	13.3	14.5	8.3	29. 31	26.1	27	86	69	88	81	38	27
September	706.7	699.5	26	711.0	15	12.4	17.8	13.0	14.1	7.6	3	22.9	2	88	72	89	83	36	1
Oktober	708.0	698.7	5	715.4	22	4.9	10.3	5.8	6.7	-1.8	30	21.6	1	95	77	92	88	52	10
November	705.7	691.1	28	715.9	6	0.2	2.4	0.9	1.1	-4.8	23	11.0	11	93	83	90	89	56	25
Dezember	708.6	698.7	31	714.0	3. 7	-0.8	2.2	0.1	0.4	-13.5	26	11.5	16	90	82	89	87	43	15
Jahr	705.3	689.9	I	715.9	XI	5.1	9.1	5.7	6.4	-23.5	II	26.1	VII VIII	87	73	85	82	30	III

Beobachter: S. Dannacher

Frauenfeld

Bewölkung 7³⁰	13³⁰	21³⁰	Mittel	Termine mit Nebel 7³⁰	13³⁰	21³⁰	Total	Niederschlag Summe	Maximum	Tag	Zahl der Tage ● ✳	●▼ ≧1.0	✳	▲	⚡	≡	heiter	trüb	Windverteilung N	NE	E	SE	S	SW	W	NW	Calmen	1956
8.7	8.2	8.5	8.5	1	—	2	3	76	20	26	15	11	5	—	—	3	—	20	—	14	9	—	3	25	4	—	38	Januar
9.9	9.0	8.8	9.2	—	—	—	—	17	4	8	13	6	12	—	—	—	—	24	3	21	13	4	—	7	2	—	37	Februar
7.3	7.2	7.4	7.3	3	—	—	3	26	7	3	9	7	4	—	—	3	2	16	3	15	13	4	2	13	6	—	37	März
7.0	7.0	8.0	7.3	1	—	—	1	90	22	1	16	12	5	—	—	1	2	14	2	5	5	2	7	12	8	1	48	April
6.3	5.5	5.8	5.9	2	—	—	2	137	28	29	15	11	—	1	2	3	8	11	2	12	7	6	6	10	5	2	43	Mai
7.9	7.8	8.2	8.0	1	—	—	1	65	16	20	12	11	—	—	2	2	—	17	2	5	4	3	3	11	12	3	47	Juni
6.6	6.3	6.3	6.4	1	—	—	1	145	22	10	15	12	—	1	6	1	2	13	3	3	7	1	7	15	8	2	47	Juli
7.9	6.7	7.7	7.4	2	—	—	2	189	49	10	19	19	—	—	2	2	—	14	1	2	3	—	6	14	13	1	53	August
8.8	4.7	3.8	5.8	12	—	—	12	49	16	3	8	6	—	—	1	12	2	8	1	7	6	3	1	12	7	2	51	September
9.4	7.4	6.3	7.7	8	—	1	9	116	20	3	15	13	3	—	—	9	1	18		7	3	4	2	11	4	—	62	Oktober
9.8	8.5	9.0	9.1	2	—	2	4	42	12	28	12	12	4	—	—	4	—	25	—	9	10	2	3	13	1	—	52	November
8.9	8.2	7.5	8.2	2	—	2	4	23	6	20	10	7	4	—	—	4	2	22	—	1	6	3	8	9	1	—	65	Dezember
8.2	7.2	7.3	7.6	35	—	7	42	975	49	VIII	159	127	37	2	13	44	19	202	17	101	86	32	48	152	71	11	580	Jahr

Beobachter: Fam. Zwick

Kreuzlingen

7.6	7.9	5.6	7.0	—	—	—	—	91	18	26	13	13	4	—	—	—	1	13	8	9	4	—	2	11	12	12	35	Januar
9.4	7.0	5.7	7.4	2	—	—	2	16	3	8	10	7	9	—	—	2	—	11	14	6	7	1	1	6	8	13	31	Februar
6.1	6.8	4.2	5.7	1	—	—	1	29	8	27	10	7	2	—	—	1	5	6	5	8	7	1	—	16	12	4	40	März
6.6	6.6	5.6	6.3	2	—	—	2	66	15	1	15	12	1	—	—	2	4	15	6	1	3	—	—	13	13	5	49	April
5.6	5.8	4.4	5.3	1	—	—	1	110	31	29	14	12	—	—	1	1	5	7	5	10	1	—	4	4	12	7	50	Mai
7.9	7.5	6.6	7.3	—	—	—	—	76	26	7	15	10	—	—	1	—	—	11	7	3	1	—	3	7	15	13	41	Juni
6.7	6.2	6.6	6.5	1	—	—	1	121	27	10	13	12	—	—	3	1	3	11	6	1	1	—	—	13	15	10	47	Juli
7.1	6.8	6.9	6.9	—	—	—	—	179	41	10	19	17	—	—	1	—	—	12	9	1	3	1	2	15	22	16	24	August
8.3	5.0	2.5	5.3	6	—	—	6	38	11	10	6	6	—	—	—	6	1	4	7	1	1	2	3	3	10	7	56	September
9.5	7.3	6.7	7.8	7	—	1	8	109	20	25	13	11	1	—	—	8	1	19	2	—	2	1	2	12	14	6	54	Oktober
9.7	7.9	7.3	8.3	3	—	—	3	40	14	28	12	9	4	—	—	3	1	19	9	4	6	—	—	12	12	2	45	November
9.2	8.4	6.8	8.1	6	4	4	14	19	5	26	7	6	1	—	—	7	2	20	1	—	5	2	1	12	6	1	65	Dezember
7.8	6.9	5.7	6.8	29	4	5	38	894	41	VIII	147	122	22	—	6	31	23	148	79	44	41	8	18	124	151	96	537	Jahr

Beobachter: A. Mächler, A. Bauer

Haidenhaus

9.2	8.0	9.0	8.7	1	—	1	2	97	—	—	15	14	7	—	—	2	—	19	6	20	—	7	—	48	—	8	4	Januar
9.7	8.8	9.7	9.4	—	1	—	1	32	?	—	15	10	14	—	—	—	—	24	32	26	—	—	—	19	—	10	—	Februar
8.3	6.4	9.7	8.1	1	—	—	1	28	9	2	8	7	3	—	1	1	—	16	1	51	—	8	—	25	6		2	März
8.0	6.5	9.8	8.1	1	1	—	2	92	17	17	16	13	7	—	—	1	—	15	11	27	—	—	—	30	4	18	—	April
6.5	5.0	9.0	6.8	—	—	—	—	153	61	29	11	9	1	1	2	—	—	11	9	31	1	—	—	26	13	12	1	Mai
8.7	7.9	8.5	8.4	1	1	—	2	66	17	7	13	10	—	—	—	4	—	18	11	3	1	—	2	19	32	9	13	Juni
6.4	6.7	7.0	6.7	—	—	—	—	148	45	10	15	11	—	—	7	6	4	11	6	9	—	—	1	12	40	9	16	Juli
7.1	7.5	7.6	7.4	5	—	—	5	167	42	10	17	17	—	—	1	7	2	16	—	4	7	1	—	9	61	7	4	August
6.7	4.9	3.4	5.0	3	—	—	3	45	13	10	7	6	—	—	1	4	5	7	8	15	4	3	—	8	37	9	6	September
7.5	7.3	5.4	6.7	12	3	2	17	120	21	26	16	13	6	—	—	13	6	16	4	6	12	—	1	5	53	10	2	Oktober
9.8	8.5	7.7	8.7	7	3	2	12	44	14	28	12	8	7	—	—	8	—	22	12	13	18	—	—	4	39	4	—	November
7.2	7.1	5.9	6.7	8	5	1	14	22	4	20	10	8	5	—	—	9	5	15	8	4	5	—	2	13	55	4	2	Dezember
7.9	7.0	7.7	7.5	39	14	6	59	1014	61	V	155	126	50	1	12	55	22	190	108	209	48	19	6	218	340	100	50	Jahr

Beobachter: Botanischer Garten

St. Gallen

8.4	7.9	7.4	7.9	7	2	1	10	105	24	26	14	13	9	—	—	8	2	18	2	2	—	—	1	17	5	1	65	Januar
8.6	7.3	8.2	8.0	9	3	2	14	56	9	8	18	14	17	—	—	11	1	17	5	1	—	—	—	5	2	—	74	Februar
5.7	7.4	5.5	6.2	3	—	1	4	66	16	3	11	8	6	—	1	3	5	12	6	3	—	6	—	12	5	—	61	März
6.3	6.1	6.8	6.4	2	—	—	2	126	25	1	16	15	8	—	1	2	6	10	4	3	—	—	—	5	11	1	66	April
5.2	5.6	4.3	5.0	1	—	—	1	137	30	19	14	12	1	1	5	1	7	7	14	4	1	1	2	9	3	1	58	Mai
7.8	8.1	7.4	7.8	1	—	—	1	191	43	20	19	14		1	2	1	2	17	1	3	1	—	—	10	8	3	64	Juni
5.7	6.0	6.9	6.2	—	—	—	—	215	44	11	17	16	—	1	7	—	2	9	3	—	—	—	3	16	8	3	60	Juli
6.8	6.7	6.7	6.7	1	—	—	1	219	28	10	21	19	—	—	3	2	2	12	1	2	—	—	2	22	5	2	59	August
6.2	5.1	2.8	4.7	4	—	—	4	72	20	27	9	9	—	1	2	4	7	4	5	2	1	3	3	8	4	—	64	September
7.2	6.2	4.9	6.1	4	—	2	6	151	36	26	14	12	7	—	—	9	5	10	—	1	—	—	1	11	4	1	75	Oktober
8.9	8.6	8.0	8.5	3	3	1	7	49	13	28	16	11	8	—	—	8	1	22	2	—	—	—	2	13	—	—	73	November
7.5	7.8	7.0	7.4	5	4	5	14	35	6	13	14	10	8	—	—	12	3	15	—	—	—	—	1	11	—	—	81	Dezember
7.0	6.9	6.3	6.7	40	12	12	64	1422	44	VII	183	153	64	4	21	61	43	153	43	21	3	10	15	139	55	12	800	Jahr

Heiden

$\lambda = 9° 32'$, $\beta = 47° 27'$, $H_b = 811.4^m$, $G = -0.05$ m/m, $h_r = 1.5^m$

1956	Luftdruck					Luft-Temperatur								Relative Feuchtigkeit					
	Mittel	Minimum	Tag	Maximum	Tag	7^{30}	13^{30}	21^{30}	Mittel	Minimum	Tag	Maximum	Tag	7^{30}	13^{30}	21^{30}	Mittel	Minimum	Tag
Januar	689.6	676.2	9	699.4	4	−0.2	1.7	−0.2	0.3	−12.1	31	10.3	12	81	74	80	78	30	12
Februar	688.9	676.1	13	701.2	5	−14.0	−9.3	−12.6	−12.1	−28.2	11	3.9	29	85	73	83	80	41	28
März	690.6	681.6	24	699.2	8	0.8	5.3	1.8	2.4	−14.1	12	14.9	24. 29	78*	71*	82*	77*	—	—
April	688.0	679.0	5	696.9	8	3.4	7.6	3.4	4.4	−7.1	8	15.7	12	77	62	82	74	35	9
Mai	695.0	687.4	22	700.8	6	9.9	14.0	8.1	10.0	1.5	1	24.9	28	73	62	83	73	39	15
Juni	693.8	688.0	7	697.5	2	10.1	13.2	10.0	10.8	0.9	8	21.7	6	83	69	83	78	45	6
Juli	693.3	686.3	2	700.6	25	14.4	17.8	13.4	14.7	8.9	2. 11	23.9	8. 9	77	67	80	75	42	26
August	691.6	680.6	25	701.4	7. 8	12.2	16.2	11.6	12.9	6.7	29	24.1	27	82	69	86	79	39	27
September	694.1	686.9	26	698.6	15	13.3	16.4	11.5	13.2	5.3	3	21.7	16	78	70	84	77	40	1
Oktober	695.1	685.5	27	702.4	22	3.7	9.0	3.8	5.1	−4.6	31	20.0	1	90	73	89	84	50	4
November	692.4	678.3	28	702.6	7	−1.1	1.5	−0.8	−0.3	−5.5	22	9.0	11	90	82	89	87	55	25
Dezember	695.4	685.0	31	700.9	7	−1.7	1.8	−1.2	−0.6	−13.7	25	10.3	16	84	77	85	82	42	16. 26
Jahr	692.3	676.1	II	702.6	XI	4.2	7.9	4.1	5.1	−28.2	II	24.9	V	82	71	84	79	—	—

Altstätten

$\lambda = 9° 33'$, $\beta = 47° 23'$, $H_b = 467.6^m$, $G = -0.02$ m/m, $h_r = 1.5^m$

Januar	719.0	702.5	9	729.6	4	0.4	3.8	1.2	1.6	−8.0	31	14.0	12	88	76	85	83	33	12
Februar	719.7	707.7	13	733.6	5	−12.3	−6.1	−10.0	−9.6	−23.8	10	3.8	29	86	84	85	85	75	1.2.3.4
März	720.7	710.4	24	730.6	6	2.4	9.0	4.3	5.0	−10.0	12	18.6	29. 30	70*	55*	70*	65*	—	—
April	717.8	708.3	27	728.4	8	4.9	11.8	6.1	7.2	−2.3	7. 8	19.3	15	82*	50*	72*	68*	—	—
Mai	724.6	715.8	22	730.7	5	10.8	17.7	11.5	12.9	3.3	1	29.6	28	77	57	76	70	34	28
Juni	723.3	719.2	4. 11	727.7	23	12.0	17.6	12.0	13.4	2.5	8	28.0	6	82	58	81	74	30	7
Juli	722.2	714.5	14	729.7	25	15.8	22.2	16.2	17.6	12.0	11	29.4	9	79	57	76	71	41	22
August	720.6	708.7	25	731.3	7	14.3	20.4	14.6	16.0	8.3	30	26.6	17	84	59	82	75	35	27
September	723.2	714.9	26	727.9	15	12.9	19.9	14.1	15.2	9.4	15	23.9	1	86	62	84	77	36	1
Oktober	725.0	714.3	29	733.4	12	5.0	12.0	6.3	7.4	−0.5	31	22.8	1	93	64	89	82	47	4
November	722.8	707.7	28	733.4	7	0.6	4.5	1.5	2.0	−3.9	23	11.0	11	88	71	87	82	48	27
Dezember	726.1	715.6	31	732.6	2	−1.6	2.3	−0.4	0.0	−11.8	28	9.4	15	88	76	88	84	48	15
Jahr	722.1	702.5	I	733.6	II	5.4	11.3	6.4	7.4	−23.8	II	29.6	V	84	64	81	76	–	—

Altstätten: E. Eisenring † im September.

Säntis

$\lambda = 9° 21'$, $\beta = 47° 15'$ $H_b = 2500.1^m$, $G = -0.29$ m/m, $h_r = 1.3^m$

Januar	557.3	545.6	9	567.7	4	−8.1	−6.8	−7.8	−7.6	−16.1	25	−0.4	5	85	83	81	83	33	23
Februar	551.7	539.5	13	565.3	29	−17.7	−15.4	−17.9	−17.2	−30.3	2	−4.4	26	83	81	89	84	27	5
März	558.3	552.1	12	564.9	1	−8.7	−6.7	−8.5	−8.1	−22.8	12	2.0	30	86	80	86	84	33	8
April	556.8	546.5	5	564.4	9	−6.7	−4.6	−6.6	−6.1	−18.9	7	1.9	15	87	85	94	89	35	8
Mai	565.6	558.4	1	571.9	6. 7	0.3	2.1	−0.6	0.3	−11.2	1	12.1	28	78	86	90	85	15	5
Juni	564.7	559.9	9	568.7	13	0.2	2.4	0.2	0.7	−6.7	8	10.2	6	89	88	96	91	55	6
Juli	566.3	560.0	20	572.8	25	4.8	7.6	4.4	5.3	−0.4	2	15.2	8	83	78	88	83	22	26
August	564.1	554.9	25	573.2	8	3.6	5.7	3.2	3.9	−3.3	30	16.9	10	86	83	92	87	10	13
September	567.0	560.0	26	571.6	30	−4.5	7.2	4.7	5.3	−2.6	27	11.6	5	73	71	76	73	2	15
Oktober	564.6	552.3	27	573.3	22	−2.4	−0.4	−2.8	−2.1	−11.8	27	11.1	2	74	71	77	74	20	12
November	559.8	548.3	29	569.8	7	−6.5	−5.1	−6.8	−6.3	−15.4	30	3.3	8	76	72	74	74	5	8
Dezember	562.3	553.8	24	569.3	17	8.3	−6.7	−7.9	−7.7	−19.0	25	−0.8	16. 17	82	79	81	81	24	2. 17
Jahr	561.5	539.5	II	573.3	X	−3.7	−1.7	−3.9	−3.3	−30.3	II	16.9	VIII	82	80	85	82	2	IX

Sargans

$\lambda = 9° 26'$, $\beta = 47° 03'$, $H_b = 509.9^m$, $G = -0.08$ m/m, $h_r = 1.5^m$

Januar	715.8	702.1	9	727.3	4	0.8	4.1	2.2	2.3	−6.1	31	12.8	12	82	69	75	75	30	17
Februar	716.0	702.8	13	729.3	4. 5	−11.5	−6.5	−9.0	−9.0	−22.0	10	2.7	29	83	62	78	75	45	3
März	716.6	706.7	24	726.5	6	3.4	9.0	5.3	0.8	−7.8	12	18.0	29	67	48	63	59	25	29
April	713.4	704.5	22	724.1	8	5.3	11.5	7.7	8.0	−1.2	6	19.1	27	80	49	68	66	27	10
Mai	720.3	712.1	22	727.1	7	10.8	17.1	12.9	13.4	2.2	4	26.2	28	76	55	72	68	24	6
Juni	719.1	712.0	7	723.3	15	11.7	16.8	12.7	13.5	3.4	8	25.9	6	83	57	85	75	28	7. 11
Juli	718.0	709.7	19	725.7	25	15.6	21.3	16.9	17.7	11.1	2	29.1	9	81	58	81	73	35	9
August	716.4	705.3	25	727.1	7	14.0	19.2	15.1	15.8	7.2	30	26.2	10	87	65	87	80	41	6
September	719.2	710.8	26	723.8	15	13.6	19.4	15.0	15.8	9.4	19	25.0	24	81	61	83	75	40	24
Oktober	720.9	709.9	5	728.7	22	5.7	11.2	7.2	7.8	0.4	9	21.3	2	88	66	88	81	45	1
November	718.7	704.1	28	729.6	7	1.2	4.6	1.9	2.4	−3.5	19	12.0	11	87	74	90	84	42	11
Dezember	721.9	710.9	31	728.5	3	0.5	3.6	0.9	1.5	−9.3	25	12.4	16	79	68	80	76	33	30
Jahr	718.0	702.1	I	729.6	XI	5.9	10.9	7.4	7.9	−22.0	II	29.1	VII	81	61	79	74	24	V

Beobachter: Frau F. Niederer-Tobler

Heiden

Bewölkung				Termine mit Nebel				Niederschlag			Zahl der Tage								Windverteilung									1956
7³⁰	13³⁰	21³⁰	Mittel	7³⁰	13³⁰	21³⁰	Total	Summe	Maximum	Tag	● *	● * ≧1.0	*	▲	⚡	≡	heiter	trüb	N	NE	E	SE	S	SW	W	NW	Calmen	
7.5	7.4	7.4	7.4	3	5	1	9	111	26	29	16	14	12	—	—	5	2	17	5	15	10	3	18	11	18	12	1	Januar
8.1	7.3	6.6	7.3	14	5	2	21	49	9	8	14	13	13	-	—	15	2	12	32	12	5	2	9	1	2	15	9	Februar
5.4	7.2	5.2	5.9	1	—	—	1	51	14	3	10	9	5	—	-	1	6	12	26	8	5	9	16	11	12	4	2	März
6.4	6.7	6.5	6.5	3	—	1	4	127	26	1	16	15	10	—	-	4	5	12	11	5	4	3	6	7	39	12	3	April
4.3	5.2	4.2	4.6	2	1	—	3	140	32	19	14	13	1	—	5	4	11	6	30	8	4	1	8	10	15	15	2	Mai
7.4	7.7	7.8	7.6	1	—	—	1	220	48	20	21	17	1	—	4	2	1	17	11	5	3	1	12	5	28	25	—	Juni
5.4	6.0	7.0	6.1	1	—	—	1	216	38	29	17	17	—	1	8	1	3	10	12	6	2	5	13	9	28	16	2	Juli
6.3	6.6	7.5	6.8	—	1	—	1	229	28	18	21	21		-	4	2	1	13	8	7	8	3	16	11	27	9	4	August
5.8	5.4	2.6	4.6	2	—	—	2	229	28	13	9	9	—	-	2	2	8	7	10	7	4	7	6	12	18	18	8	September
6.5	5.2	4.7	5.5	5	2	—	7	87	23	25	12	12	8	—	—	5	8	11	2	24	11	4	7	22	2	3	18	Oktober
8.0	7.4	7.8	7.7	10	6	6	22	150	24	28	15	15	8	—	-	13	5	19	—	12	4	2	7	19	7	14	25	November
6.1	7.0	5.8	6.3	1	2	2	5	64	12	3	12	12	7	—	-	6	5	13	1	33	9	10	6	9	7	1	17	Dezember
6.4	6.6	6.1	6.4	43	22	12	77	1490	48	VI	177	167	65	1	23	60	57	149	148	142	69	50	124	127	203	144	91	Jahr

Beobachter: E. Eisenring, Frau P. Eisenring

Altstätten

7.4	7.5	8.2	7.7	5	1	1	7	127	33	29	13	11	4	—	—	5	2	19		3	—	-	—	8	1	2	79	Januar
8.3	7.3	7.3	7.6	6	—	—	6	27	9	8	10	9	9	—	-	6	1	15	—	-	—	—	-	-		-	87	Februar
5.8	6.9	5.4	6.0	—	—	—	—	91	33	3	10	8	1	—		—	6	11	—	3	—	—	-	12	2	2	74	März
7.1	6.8	7.2	7.0	3	—	—	3	85	19	1	13	11	5	—	-	3	4	17	-	1	1	1	—	6	3	1	77	April
4.5	5.8	5.4	5.2	1	—	—	1	143	31	18	13	12	—	—	2	1	7	9	—	—	1	—	—	—	1	3	88	Mai
7.4	7.8	7.6	7.6	1	—	—	1	180	45	20	20	15	—	—	2	1	1	18	—	—	—	—	—	4	2	1	83	Juni
5.7	5.9	5.9	5.8	1	—	—	1	178	40	29	14	14	—	—	—	1	5	8	—	2	—	—	—	1	—	7	83	Juli
6.8	6.6	6.9	6.8	—	-	—	—	235	40	20	20	19	—	-	2	—	—	13		1	-	—	—	5	1	2	84	August
6.8	5.2	3.0	5.0	3	—	—	3	91	30	27	10	9	—	—	—	3	6	6	4	—	—	1	-	2	—	—	83	September
6.8	5.7	5.0	5.8	5	—	1	6	138	33	6	12	12	3	—	—	5	8	9	—	—	—	—		1	1	—	91	Oktober
9.3	8.0	7.9	8.4	1	-	1	2	74	26	28	12	12	5	-	—	1	1	21	1		—	—	—	4	—	2	83	November
7.1	8.1	6.9	7.4	6	4	1	11	34	9	13	12	9	6	—	—	9	1	16	—	—	—	—	-	1	—	—	92	Dezember
6.9	6.8	6.4	6.7	32	5	4	41	1403	45	VI	159	141	33	—	6	35	42	162	5	10	2	2	—	44	11	20	1004	Jahr

Beobachter: E. Hostettler

Säntis

6.5	6.6	6.5	6.5	10	13	12	35	250	45	27	17	16	17	—	—	18	6	14	—	14	1	—	3	18	52	5	—	Januar
4.9	5.7	4.6	5.1	9	9	8	26	58	18	29	14	11	14	—	—	13	8	6	12	19	7	6	6	12	20	5	—	Februar
6.4	6.7	6.3	6.5	8	9	11	28	171	39	3	13	10	13	—	—	17	4	13	9	11	4	7	22	12	25	3	—	März
6.9	7.9	8.2	7.7	12	15	19	46	116	21	1	18	16	18	—	1	22	3	17	15	1	4	2	10	19	31	8	—	April
6.0	6.8	6.1	6.3	10	14	11	35	247	47	10	17	13	12	1	4	18	5	12	14	1	4	4	13	13	36	8	—	Mai
8.0	9.3	8.4	8.6	18	22	19	59	256	51	20	23	18	15	—	3	27	1	20	8	2	1	1	11	21	40	6	—	Juni
6.6	6.7	7.3	6.9	12	8	14	34	279	54	29	22	20	6	1	4	20	3	9	1	2	2	3	17	31	36	1	—	Juli
6.7	7.3	7.3	7.1	14	13	16	43	478	50	3	23	23	11	1	5	24	1	14	—	—	3	4	12	45	29	—	—	August
5.4	5.8	4.1	5.1	5	9	7	21	226	69	12	12	10	3	—	1	14	9	7	2	1	5	8	15	21	34	4	—	September
5.6	5.4	5.3	5.4	13	11	13	37	271	64	6	14	13	12	—	—	17	11	12	2	8	7	4	10	18	40	4	—	Oktober
6.5	5.6	6.2	6.1	11	11	11	33	165	37	27	16	13	16	—	1	14	5	12	9	10	13	12	3	16	22	5	—	November
5.5	6.0	4.5	5.3	9	11	11	31	122	39	13	14	14	14	-	—	16	8	9	1	10	4	9	4	34	27	4	—	Dezember
6.3	6.7	6.2	6.4	131	145	152	428	2639	69	IX	203	177	151	3	19	220	64	145	73	79	55	60	126	260	392	53	—	Jahr

Beobachter: J. Albrecht

Sargans

7.3	6.6	5.6	6.5	2	—	—	2	89	28	26	11	9	5	-	—	2	3	12	—	4	23	8	8	21	18	11	—	Januar
6.7	4.4	6.0	5.7	1	-	1	2	49	11	6	10	9	9	-		2	6	8	—	22	60	—	—	—	2	3	—	Februar
6.2	6.0	5.8	6.0		—			113	50	3	11	9	4	—	1	—	4	11	1	6	16	13	21	6	22	8	—	März
6.6	6.6	6.9	6.7	—	—	—	—	118	21	30	13	10	7	-	—	—	3	15	5	4	12	11	7	16	17	17	1	April
5.2	6.2	5.2	5.5	—	—	—	—	138	31	19	13	11	—	—	1	—	6	8	6	4	10	17	15	13	16	10	2	Mai
7.4	7.8	7.6	7.6	—	—	—	—	165	41	20	17	13	1	—	1	—	1	18	8	3	3	10	2	19	23	20	2	Juni
5.9	6.0	6.7	6.2	—	—	—	—	106	16	10	15	13	—	—	1	—	2	6	—	—	4	14	9	26	39	—	1	Juli
6.3	6.8	6.9	6.7	—	—	—	—	228	38	20	22	20	—	—	1	—	2	11	1	1	2	8	7	26	33	14	1	August
5.5	5.5	3.3	4.8	1	—	—	1	101	31	13	11	8	—	—	1	1	6	7	—	—	11	12	24	15	27	—	1	September
6.0	5.0	5.0	5.3	1	—	—	1	142	49	6	11	10	3	—		1	8	10	5	5	5	20	12	16	8	21	1	Oktober
7.5	6.8	7.8	7.4	1	—	—	1	76	14	28	14	11	8	-	-	1	3	16	4	11	28	15	1	5	6	19	1	November
6.1	5.8	5.0	5.6	3	—	—	3	17	7	13	9	6	4	—	—	3	6	10	3	3	17	13	9	20	25	3	—	Dezember
6.4	6.1	6.0	6.2	9	—	1	10	1342	50	III	157	129	41	—	6	10	50	132	33	63	191	141	115	183	236	126	10	Jahr

Bad Ragaz

$\lambda = 9° 30'$, $\beta = 47° 00'$, $H_b = 518^m$, $G = -0.09$ ‰, $h_r = 1.5^m$

1956	Luftdruck					Luft-Temperatur								Relative Feuchtigkeit					
	Mittel	Minimum	Tag	Maximum	Tag	7^{30}	13^{30}	21^{30}	Mittel	Minimum	Tag	Maximum	Tag	7^{30}	13^{30}	21^{30}	Mittel	Minimum	Tag
Januar	715.8	702.8	9	727.0	4	0.2	4.0	2.1	2.1	-6.9	31	12.0	12	79	69	75	74	38	9
Februar	716.0	702.7	13	729.3	5	-12.6	-7.2	-9.8	-9.9	-22.9	10	3.0	29	82	64	77	74	49	8
März	716.7	707.3	24	726.1	6	2.9	8.9	5.1	5.5	-8.3	13	18.7	22	69	52	62	61	31	15 . 17
April	713.3	704.6	22	723.9	8	5.4	11.5	7.3	7.9	-3.6	7	20.1	15	77	54	67	66	34	10
Mai	720.4	712.3	22	726.9	7	11.5	17.0	12.3	13.3	2.8	2	29.3	28	76	58	70	68	31	6
Juni	719.1	711.9	7	723.5	15	11.9	16.8	12.8	13.6	2.3	8	25.8	7	82	60	77	73	36	6
Juli	718.1	710.2	19	725.9	25	15.8	21.5	16.4	17.5	10.8	2	29.1	9	79	58	74	70	38	9
August	716.5	705.5	25	727.3	7	14.5	19.3	15.0	16.0	8.4	30	27.3	10	84	64	81	76	42	6
September	719.3	710.7	26	723.9	15	13.7	19.9	14.7	15.8	8.1	19	26.8	10	79	58	77	71	39	10
Oktober	721.0	710.2	5	728.6	22	4.9	12.1	6.7	7.6	0.0	9	23.6	2	90	62	81	78	42	2
November	718.6	704.0	28	729.8	6	0.1	4.5	1.2	1.8	-5.4	19	12.7	11	87	69	85	80	37	8
Dezember	721.9	710.5	31	128.2	3	-1.1	3.5	0.2	0.7	-8.7	25	12.7	16	80	62	81	74	35	28
Jahr	718.1	702.7	II	729.8	XI	5.6	11.0	7.0	7.7	-22.9	II	29.3	V	80	61	75	72	31	III V

Bad Ragaz: Stationsverlegung am 15. Oktober. Neues H_b = 510.2 m. Alle Luftdruckangaben sind auf die alte Höhe bezogen.

Glarus

$\lambda = 9° 04'$, $\beta = 47° 03'$, $H_b = 503.4^m$, $G = -0.07$ ‰, $h_r = 1.5^m$

Januar	717.7	702.0	9	727.7	4	-0.3	2.8	0.2	0.7	-5.8	31	11.9	12	86	72	85	81	28	12
Februar	716.9	703.5	13	730.3	5	-12.0	-7.3	-9.9	-9.8	-20.7	11	3.1	29	81	62	76	73	45	13
März	717.5	106.8	24	727.1	6	2.2	8.1	4.1	4.6	-8.5	13	18.5	29	82	65	78	75	36	29
April	714.4	705.3	22 .27	724.9	8. 9	4.2	10.3	6.1	6.7	-3.4	8	18.1	12	94	87	91	91	64	15
Mai	721.4	712.2	22	727.8	6. 7	9.9	16.5	11.8	12.5	1.3	1	27.6	28	94	69	89	84	40	7
Juni	720.2	714.0	7	724.6	15	11.4	16.2	12.5	13.2	5.1	8	26.5	6	96	73	96	88	35	6
Juli	719.2	711.3	2	726.8	25	15.1	20.6	16.2	17.0	10.5	22	26.9	8	95	72	94	87	42	18
August	717.4	706.3	25	728.3	7	13.3	19.0	14.5	15.3	8.3	31	27.9	27	98	75	97	90	42	27
September	720.2	712.0	26	725.0	15	12.2	18.8	14.1	14.8	9.5	15	25.5	2	94	70	94	86	43	22
Oktober	722.0	711.3	5	729.6	22	4.5	10.5	5.9	6.7	-0.5	31	21.0	2	96	72	96	88	46	12
November	719.6	704.7	28	730.4	6. 7	0.6	3.3	1.3	1.6	-3.1	23	8.1	11	93	80	92	88	59	10
Dezember	723.0	711.9	31	729.4	3	-1.8	1.4	-1.1	-0.6	-11.9	26	6.8	13	91	79	90	87	55	18
Jahr	719.1	702.0	I	730.4	XI	4.9	10.0	6.3	6.9	-20.7	II	27.9	VIII	92	73	90	85	28	I

Elm

$\lambda = 9° 10'$, $\beta = 46° 55'$, $H = 962^m$, $G = -$ ‰, $h_r = 1.5^m$

Januar	—	—	—	—	—	-2.5	-0.1	-1.5	-1.4	-10.4	8	7.2	12	83	73	84	80	40	9
Februar	—	—	—	—	—	-14.8	-8.1	-12.9	-12.2	-25.2	10	3.2	29	86	61	85	77	42	22
März	—	—	—	—	—	-0.8	5.5	1.3	1.8	-14.0	13	15.0	31	79	53	75	69	30	30
April	—	—	—	—	—	2.4	8.6	3.1	4.3	-8.1	8	16.3	12	80	50	83	71	28	10 . 12
Mai	—	—	—	—	—	10.2	14.4	8.4	10.4	-0.3	1	27.3	28	70	56	83	70	27	6
Juni	—	—	—	—	—	10.2	14.3	9.3	10.8	1.8	8	22.8	4	79	61	92	77	33	4
Juli	—	—	—	—	—	14.9	18.9	13.2	15.1	8.2	3	25.5	9	71	60	88	73	35	13
August	—	—	—	—	—	12.0	16.6	11.9	13.1	5.8	29	27.3	10	86	68	90	81	41	31
September	—	—	—	—	—	10.4	17.1	11.8	12.8	5.8	15	23.3	10	86	61	86	78	38	10
Oktober	—	—	—	—	—	2.5	8.9	3.0	4.4	-4.3	27	22.2	2	88	65	89	81	34	2
November	—	—	—	—	—	-2.4	0.5	-1.8	-1.4	-10.0	22	5.9	11	92	81	91	88	50	8
Dezember	—	—	—	—	—	-3.9	-0.7	-3.1	-2.7	-14.8	25	7.7	13	83	69	82	78	40	31
Jahr	—	—	—	—	—	3.2	8.0	3.6	4.6	-25.2	II	27.3	V VIII	82	63	86	77	27	V

Auen (Linthal)

$\lambda = 8° 59'$, $\beta = 46° 54'$, $H_b = 815.2^m$, $G = -0.14$ ‰, $h_r = 1.5^m$

Januar	689.8	676.0	9	699.8	4	-1.1	2.4	-0.6	0.0	-7.6	8	9.4	12	83	69	82	78	36	9. 12
Februar	688.5	675.1	13	701.2	4. 5	-13.1	-6.2	-11.0	-10.3	-22.8	10	3.1	29	84	58	80	74	42	17
März	690.6	681.6	24	699.1	6	0.8	7.9	2.4	3.4	11.1	9	17.0	29 . 30	73	52	71	65	28	15
April	687.8	679.2	5	697.2	8. 9	3.3	10.2	4.1	5.4	-5.4	7	19.1	15	81	52	79	71	27	8
Mai	695.1	687.4	22	701.6	6	9.2	15.9	9.9	11.2	1.6	1	30.2	28	83	58	80	74	25	6
Juni	694.0	689.0	7	698.2	15	10.1	15.2	10.0	11.3	2.0	8	25.1	6	89	64	93	82	32	6
Juli	693.2	686.6	14	700.4	25	14.0	19.8	14.1	15.5	8.8	22	27.0	8	86	65	90	80	41	1
August	691.6	681.0	25	701.2	7	12.0	17.9	12.8	13.9	6.0	31	28.0	10	92	67	93	84	36	27
September	694.4	686.5	26	698.8	30	11.2	18.2	12.9	13.8	7.9	22	23.5	2	90	65	87	81	40	1
Oktober	695.4	685.2	5. 27	702.9	22	4.0	10.6	4.7	6.0	-3.8	31	21.2	1	87	64	90	80	40	12 . 13
November	692.5	680.7	28	703.8	6	-0.9	2.7	-0.3	0.3	-5.6	22	7.9	13	91	75	91	86	44	8
Dezember	695.7	684.9	31	702.2	2	-1.8	2.0	-1.2	-0.6	-11.2	25	8.0	13	80	63	80	74	45	18
Jahr	692.4	675.1	II	703.8	XI	4.0	9.7	4.8	5.8	-22.8	II	30.2	V	85	63	85	77	25	V

Beobachter: Frl. M. Wermelinger

Bad Ragaz

Bewölkung 7³⁰	13³⁰	21³⁰	Mittel	Termine mit Nebel 7³⁰	13³⁰	21³⁰	Total	Niederschlag Summe	Maximum	Tag	Zahl der Tage ● *	●* ≧1.0	*	▲	⚿	≡	heiter	trüb	Windverteilung N	NE	E	SE	S	SW	W	NW	Calmen	1956
7.1	6.6	6.5	6.7	1	—	1	2	79	26	26	11	9	7	—	—	2	3	13	1	—	4	22	1	3	10	3	49	Januar
7.2	6.8	8.1	7.4	—	—	—	—	24	9	8	8	4	7	—	—	—	1	14	3	—	2	2	1	5	8	17	49	Februar
6.4	5.7	6.0	6.0	—	—	—	—	96	41	3	7	6	3	—	—	—	5	10	3	1	8	23	4	6	7	16	25	März
6.7	6.2	6.5	6.5	—	—	—	—	100	26	30	9	9	5	—	—	—	5	12	2	—	5	10	3	10	21	15	24	April
5.1	5.7	5.1	5.3	—	—	—	—	129	34	19	13	11	—	—	—	—	8	9	—	—	5	9	8	9	15	19	28	Mai
7.6	7.5	8.1	7.7	—	—	—	—	174	40	7	16	13	2	—	1	—	2	18	—	1	2	9	3	3	18	15	39	Juni
5.8	5.1	6.7	5.9	—	—	—	—	120	19	14	14	12	—	1	2	—	3	8	—	—	1	14	3	10	12	18	35	Juli
6.6	6.4	7.0	6.7	—	—	—	—	208	34	20	20	18	—	—	2	—	2	11	—	—	—	8	6	5	12	19	43	August
5.2	5.3	3.5	4.7	1	—	—	1	71	21	27	10	7	—	—	1	1	8	7	—	—	1	21	6	4	7	17	34	September
5.4	4.5	4.7	4.9	—	—	—	—	125	37	6	10	9	6	—	—	—	10	9	—	—	1	6	4	3	12	20	47	Oktober
7.7	6.8	7.7	7.4	—	—	—	—	63	13	28	11	8	5	—	—	1	5	15	—	—	2	6	—	1	10	14	57	November
6.0	5.6	4.9	5.5	—	—	—	—	15	6	13	8	6	2	—	—	3	8	11	1	—	7	6	—	1	5	4	69	Dezember
6.4	6.0	6.2	6.2	2	—	1	3	1204	41	III	137	112	37	1	6	7	60	137	10	2	38	136	39	60	137	177	499	Jahr

Beobachter: F. Friedau

Glarus

7.2	6.5	5.5	6.4		—	1	1	127	33	26	15	12	6	—	—	1	6	14	6	—	1	4	6	3	7	14	52	Januar
6.6	6.1	5.8	6.2	1	—	1	2	25	7	8	12	8	11	—	—	2	4	9	17	—	—	4	3	2	2	18	41	Februar
6.2	5.5	5.2	5.6	—	—	—	—	89	29	3	10	8	4	—	—	—	6	11	19	2	—	1	12	1	1	8	49	März
6.4	6.1	5.8	6.1	—	—	—	—	117	20	1	14	12	7	—	1	—	7	11	30	3	—	1	1	5	3	14	33	April
4.8	5.7	5.2	5.2	—	—	—	—	145	34	19	15	13	1	—	1	—	9	10	18	1	—	1	1	1	5	9	57	Mai
7.3	7.7	7.4	7.5	—	—	—	—	188	53	20	20	18	—	—	—	—	3	17	24	—	—	3	1	2	2	12	46	Juni
5.4	5.3	6.7	5.8	—	—	—	—	191	31	29	17	15	—	—	3	—	2	8	20	3	1	—	3	1	5	14	46	Juli
6.6	6.4	7.1	6.7	—	—	—	—	291	39	29	22	22	—	—	4	—	3	13	18	3	—	1	2	2	1	15	51	August
5.1	5.1	4.0	4.7	—	—	—	—	121	30	10	11	11	—	—	1	—	10	8	22	2	—	—	6	3	3	7	47	September
5.2	4.4	4.9	4.8	—	—	1	1	168	43	6	12	11	6	—	1	2	9	9	18	—	—	—	8	3	2	10	52	Oktober
7.4	7.1	7.0	7.2	—	—	—	—	70	21	28	14	10	6	—	—		4	18	12	1	—	3	4	8	6	12	44	November
5.5	5.6	4.3	5.0	—	—	—	—	26	7	13	11	8	4	—	—	2	7	8	3	—	—	3	12	6	2	11	56	Dezember
6.1	6.0	5.7	5.9	1	—	3	4	1558	53	VI	173	148	45	—	11	7	70	136	207	15	2	21	59	37	39	144	574	Jahr

Beobachter: E. Frei-Altherr

Elm

7.2	6.7	5.6	6.5	—	2	1	3	131	50	26	13	10	12	—	—	5	5	15	14	—	—	6	3	5	17	48	—	Januar
5.4	5.3	5.1	5.3	—	—	—	—	43	11	8	14	10	13	—	—	1	7	9	7	—	—	—	—	4	3	73	—	Februar
6.8	6.6	6.0	6.5	1	—	—	1	159	55	3	13	10	6	—	—	2	3	14	14	13	3	13	3	6	9	32	—	März
6.7	6.8	6.8	6.8	—	—	—	—	121	25	17	15	10	11	—	—	—	4	16	44	1	—	4	4	10	2	25	—	April
5.5	6.5	5.7	5.9	—	—	—	—	143	34	19	17	15	4	1	3	—	4	10	47	5	2	4	1	9	3	22	—	Mai
7.9	8.5	8.0	8.1	—	—	—	—	195	45	7	20	15	2	—	4	—	1	21	64	—	—	4	2	2	1	17	—	Juni
6.4	6.2	7.6	6.7	—	—	—	—	176	24	14	18	17	—	—	7	—	2	10	68	—	—	6	1	—	2	16	—	Juli
7.3	7.1	7.8	7.4	—	—	—	—	307	35	20	22	22	—	—	3	1	2	15	52	—	—	2	2	3	—	34	—	August
5.3	6.1	4.3	5.2	—	—	—	—	168	33	2	13	10	—	—	2	—	9	10	47	3	1	8	2	3	3	23	—	September
4.9	4.9	4.5	4.8	—	—	1	1	171	44	6	13	12	9	—	—	1	10	9	17	1	—	2	4	10	2	57	—	Oktober
7.1	7.1	7.5	7.2	2	—	1	3	77	16	28	13	13	10	—	—	8	6	19	38	—	—	—	—	9	15	28	—	November
5.2	6.0	4.3	5.2	1	—	1	2	25	5	13	10	7	6	—	—	2	8	8	2	—	1	1	—	44	8	37	—	Dezember
6.3	6.5	6.1	6.3	4	2	4	10	1716	55	III	181	151	73	1	19	20	61	156	414	23	7	50	22	105	65	412	—	Jahr

Beobachter. J. Zweifel

Auen (Linthal)

6.9	6.6	6.2	6.6	5	—	—	5	162	39	26	13	12	10	—	—	5	3	13	11	5	13	16	1	3	1	1	42	Januar
5.6	5.9	5.8	5.8	1	—	—	1	34	11	8	8	8	7	—	—	1	4	11	17	13	7	4			1	1	44	Februar
6.4	5.6	5.5	5.8	1	—	—	1	161	44	2	12	10	5	—	—	1	4	9	18	7	4	24	4	4	—	1	31	März
6.7	6.6	7.2	6.8	—	—	—	—	148	28	17	11	11	8	—	—	—	5	15	26	11	2	12	5	2	—	—	32	April
5.2	6.2	4.5	5.3	—	—	—	—	184	48	10	14	14	2	—	1	—	8	10	27	11	3	11	3	1	1	—	36	Mai
7.7	8.1	7.5	7.8	1	—	1	2	214	53	20	20	20	1	—	2	2	3	21	48	12	3	4	1	—	—		22	Juni
5.7	6.3	6.7	6.2	—	—	—	—	167	26	14	17	16	—	—	1	—	2	9	49	21	4	1	1				17	Juli
6.3	6.5	7.2	6.7	3	1	1	5	315	42	29	21	21	—	—	1	5	3	14	37	11	5	1	2	1		—	36	August
5.3	5.1	4.2	4.9	1	1	1	3	166	33	13	9	9	—	—	1	1	10	8	27	3	5	7	5			—	43	September
4.5	4.5	4.9	4.6	1	—	—	1	176	38	6	12	11	8	—	—	1	11	10	21	5	10	21	2	—		—	34	Oktober
7.5	7.2	7.5	7.4	8	5	2	15	87	16	28	11	11	7	—	—	9	6	20	18	6	8	23	1	—		1	33	November
4.7	5.2	4.8	4.9	1	1	—	2	22	?	—	7	6	2	—	—	1	9	10	3	5	20	30		—			35	Dezember
6.0	6.2	6.0	6.1	22	8	5	35	1836	53	VI	155	149	50	—	6	26	68	150	302	110	81	154	25	11	3	1	105	Jahr

Oberiberg

$\lambda = 8^\circ 47'$, $\beta = 47^\circ 02'$, $H_b = 1090^m$, $G = -0.13$ mm, $h_r = 1.5^m$

1956	Luftdruck					Luft-Temperatur								Relative Feuchtigkeit					
	Mittel	Minimum	Tag	Maximum	Tag	7^{30}	13^{30}	21^{30}	Mittel	Minimum	Tag	Maximum	Tag	7^{30}	13^{30}	21^{30}	Mittel	Minimum	Tag
Januar	666.6	653.4	9	676.0	4	-3.1	2.0	-2.3	-1.4	-10.0	8	10.1	12	87	61	84	77	27	12
Februar	664.6	651.7	13	676.8	5	-15.8	-6.4	-14.0	-12.5	-28.5	10	6.2	28	84	50	82	72	31	28
März	667.8	659.1	24	676.5	1	-2.0	6.1	-0.7	0.7	-17.1	12	16.5	29	77	48	77	67	25	29
April	665.3	657.1	22	674.4	9	1.5	8.2	1.6	3.2	-10.0	8	15.8	15	80	47	85	71	29	9.12
Mai	672.8	665.7	22	678.9	7	8.2	14.4	7.1	9.2	0.0	1	27.9	28	74	50	84	69	26	6
Juni	671.7	667.5	7	674.8	2	9.0	14.3	8.1	9.9	1.7	8	24.2	4	79	53	88	73	29	7
Juli	671.5	664.8	2	678.9	25	13.3	19.1	12.1	14.1	7.0	3	27.6	8	76	53	84	71	34	5.18
August	669.6	658.9	25	679.2	7	11.7	17.5	11.0	12.8	4.8	29	29.4	10	81	52	86	73	28	10.27
September	672.1	664.8	26	676.4	15	9.6	18.2	10.6	12.3	5.2	3.15	23.0	10.26	84	51	86	74	33	21.22
Oktober	672.6	662.2	30	680.3	22	2.1	10.1	3.1	4.6	-6.5	9	22.4	1	89	54	90	78	30	1
November	669.3	657.0	28	680.1	6	-2.9	2.2	-2.2	-1.3	-11.8	22	7.8	9	92	64	91	82	37	8
Dezember	672.4	661.5	31	678.5	3	-3.9	1.8	-3.5	-2.3	-16.9	25	7.8	16	86	58	86	77	38	12
Jahr	669.7	651.7	II	680.3	X	2.3	8.9	2.6	4.1	-28.5	II	29.4	VIII	82	53	85	74	25	III

Einsiedeln

Die Abendbeobachtung erfolgt um 20.30

$\lambda = 8^\circ 45'$, $\beta = 47^\circ 8'$, $H_b = 913.9^m$, $G = -0.10$ mm, $h_r = 1.5^m$

Januar	681.1	667.7	9	691.0	4	-1.0	1.7	-0.3	0.0	-8.0	31	5.7	18	87	80	86	84	54	22
Februar	679.8	666.3	13	692.0	5	-13.5	-8.1	-10.5	-10.9	-23.1	10	4.3	29	84	68	81	78	45	28
März	682.2	672.7	24	692.3	1	0.0	5.4	1.7	2.2	-13.1	13	14.4	29	79	62	75	72	32	24
April	679.6	671.8	22	688.6	9	2.5	7.6	4.0	4.4	-8.6	8	14.1	12	83	60	80	74	34	11
Mai	686.9	679.3	22	692.9	6	8.8	13.5	10.0	10.4	1.3	1	25.4	28	81	63	80	75	32	28
Juni	685.8	680.9	7	689.4	15	10.0	14.2	10.6	11.1	4.9	8	21.5	6	86	65	83	78	48	3
Juli	685.3	678.2	2	693.0	25	13.7	18.2	14.9	15.1	10.1	2	23.8	8.9	85	65	79	76	45	5
August	683.4	672.7	25	693.1	7.8	12.1	16.8	13.5	13.8	7.5	31	26.3	10	85	66	81	77	32	27
September	686.2	678.4	26	690.2	29.30	10.9	16.4	12.6	13.0	7.3	15	21.5	10	86	66	86	79	38	1
Oktober	686.9	676.7	30	694.4	22	4.1	9.1	4.9	5.8	-2.8	31	18.6	1	90	71	91	84	42	25
November	684.0	669.6	28	694.9	6	-0.6	2.1	0.1	0.3	-5.5	23	7.4	11	90	82	90	87	60	8.9
Dezember	686.9	675.9	31	693.4	3	-2.0	1.3	-1.2	-0.7	-12.1	25.26	7.4	13	87	77	87	84	57	11
Jahr	684.0	666.3	II	694.9	XI	3.8	8.2	5.0	5.4	-23.1	II	26.3	VIII	85	69	83	79	32	III/V VIII

Zentralschweiz

Luzern

$\lambda = 8^\circ 19'$, $\beta = 47^\circ 04'$, $H_b = 497.8^m$, $G = -0.04$ mm, $h_r = 1.5^m$

Januar	717.8	704.1	9	727.7	4	1.7	3.5	2.2	2.4	-7.4	31	8.7	27	94	86	89	90	50	25
Februar	718.0	704.7	13	730.7	5	-10.6	-6.2	-8.5	-8.5	-21.4	10	3.6	29	96	86	89	90	74	4.15/16
März	718.7	708.2	21	727.4	1.8	1.5	8.1	4.4	4.6	-8.0	13	17.6	30	89	72	78	80	36	21
April	715.8	706.5	27	725.3	8	4.2	10.6	6.4	6.9	-3.3	8	19.2	12	88	58	82	76	31	10
Mai	722.1	714.1	22	728.1	6	10.8	17.0	12.5	13.2	2.3	1	29.4	28	84	57	80	74	31	7
Juni	720.7	714.5	7	724.6	15	12.1	17.0	13.3	13.9	6.2	16	25.2	5	86	61	84	77	41	5
Juli	719.7	712.7	2	727.2	25	15.3	21.0	16.6	17.4	11.8	12	28.4	8	85	62	83	77	44	24
August	717.9	705.7	25	728.4	7	13.5	19.1	14.9	15.6	8.4	31	28.5	10	91	66	88	82	42	30
September	720.6	712.9	26	724.9	15	12.4	19.0	14.5	15.1	10.0	3.22	23.4	23	93	68	93	85	53	8
Oktober	722.5	712.3	5	729.9	22	5.5	10.4	7.1	7.5	0.4	26.27/30	22.8	1	98	80	96	91	55	13
November	720.2	705.2	28	730.9	6	1.1	3.7	2.0	2.2	-3.8	23	12.5	11	95	84	94	91	56	27
Dezember	723.3	712.5	31	729.3	3	-0.7	2.7	0.4	0.7	-9.2	26	11.4	16	96	82	95	91	49	15
Jahr	719.8	704.1	I	730.9	XI	5.6	10.5	7.2	7.6	-21.4	II	29.4	V	91	72	88	84	31	III/IV

Rigi-Kulm

$\lambda = 8^\circ 29'$, $\beta = 47^\circ 03'$, $H_b = 1775^m$, $G = -0.22$ mm, $h_r = 2.2^m$

Januar	611.9	600.0	9	620.6	4	-3.5	-2.7	-3.3	-3.2	-10.4	8	3.2	5	83	83	83	83	19	20
Februar	607.9	595.3	13	620.2	29	-14.4	-12.2	-14.2	-13.8	-28.0	11	-1.1	26.29	85	85	86	85	22	28
März	613.0	606.3	24	620.9	1	-3.7	-1.6	-3.0	-2.8	-16.2	12	6.8	29	73	76	75	75	30	10
April	611.3	601.8	5	619.4	9	-1.8	0.3	-1.6	-1.2	-11.6	7	7.6	15	79	79	82	80	39	11
Mai	619.2	613.2	19	624.9	6	4.6	6.6	5.0	5.3	-4.4	1	20.0	28	74	77	77	76	36	21.28
Juni	618.4	613.9	7	621.7	13	4.4	6.3	5.0	5.2	-2.4	8	14.2	4	86	85	85	85	52	5
Juli	619.0	613.2	2	625.3	25	9.2	11.6	9.3	9.9	3.2	2	19.2	8	78	79	80	79	38	7
August	617.1	607.5	25	625.2	7	8.2	10.0	8.0	8.5	0.9	30	21.4	10	76	77	81	78	36	9.13
September	619.7	612.3	26	623.6	15.30	8.7	10.7	9.3	9.5	2.2	27	16.0	24	70	76	72	73	26	15
Oktober	613.7	608.1	30	626.3	22	1.6	3.3	1.8	2.1	-7.2	30	15.4	2	78	78	78	78	37	12.14
November	614.6	603.3	28	624.5	6	-3.3	-2.3	-3.3	-3.0	-10.2	23	5.4	8	78	78	78	78	18	8
Dezember	617.6	608.3	31	623.9	17.18	-3.4	-2.5	-3.5	-3.2	-14.0	25	5.5	16	72	73	73	73	25	28
Jahr	615.7	595.3	II	626.3	X	0.5	2.3	0.8	1.1	-28.0	II	21.4	VIII	78	79	79	79	18	XI

Beobachter: A. Holdener

Oberiberg

Bewölkung				Termine mit Nebel				Niederschlag			Zahl der Tage								Windverteilung									1956
7³⁰	13³⁰	21³⁰	Mittel	7³⁰	13³⁰	21³⁰	Total	Summe	Maximum	Tag	● *	●* ≧1.0	*	▲	⌇	≡	heiter	trüb	N	NE	E	SE	S	SW	W	NW	Calmen	
6.8	7.1	6.0	6.6	1	2	—	3	135	40	26	16	14	14	—	—	5	5	14	—	—	1	1	1	5	2	2	81	Januar
5.0	6.1	4.5	5.2	3	·	—	3	44	8	8	13	12	12	—	—	3	5	7	—	1	—	—	2	2	—	—	82	Februar
6.2	6.2	5.2	5.9	—	—	—	—	157	56	3	11	11	7	—	—	—	7	12	—	3	—	1	2	12	1	6	68	März
6.6	7.0	6.2	6.6	—	—	1	1	172	26	30	18	14	10	1	1	1	6	16	—	—	1	—	—	5	—	1	83	April
4.5	7.2	5.1	5.6	—	—	—	—	175	33	10	16	13	5	1	1	—	6	10	—	1	—	1	3	1	1	1	85	Mai
7.4	8.7	7.2	7.8	—	—	—	—	226	51	20	21	19	2	1	1	—	1	17	1	1	1	—	—	5	3	2	77	Juni
6.6	7.2	6.8	6.8	-	-	—	-	223	33	29	16	16	—	1	3	—	2	11	—	—	3	1	1	1	1	1	85	Juli
6.9	7.2	7.1	7.1	1	1	1	3	310	68	10	22	20	—	—	4	4	3	14	2	1	2	—	3	4	1	5	75	August
5.4	5.4	3.6	4.8	2	—	1	3	138	33	10	12	10	—	—	1	3	7	7	1	—	2	1	2	5	2	3	74	September
5.6	5.0	4.4	5.0	—	—	—	—	216	44	6	14	12	9			1	11	11	—	1	—	1	1	4	—	1	85	Oktober
7.2	7.0	7.5	7.2	5	2	5	12	87	29	28	11	11	10	—	—	15	6	19	—	—	—	—	—	3	2	—	84	November
6.2	5.4	4.0	5.2	1	1	2	4	38	10	13	9	8	6	-	—	5	7	9	—	—	—	—	—	—	—	—	93	Dezember
6.2	6.6	5.6	6.1	13	6	10	29	1921	68	VIII	179	160	75	4	11	37	66	147	4	8	10	6	15	47	14	22	972	Jahr

Beobachter: P. C. Merkt

Einsiedeln

7.3	7.0	6.6	7.0	—	2	2	4	121	23	27	16	13	10	—	.	2	3	17	1	4	—	3	4	8	4	9	60	Januar
6.4	6.4	6.8	6 5	1	—	—	1	33	6	8	14	11	13	—	—	1	5	12	5	5	6	5	—	4	1	6	55	Februar
6.0	6.0	5.1	5.7	—	—	—	—	117	51	3	11	10	4	—	1	—	6	12	3	5	2	10	1	10	2	13	47	März
6.1	6.9	6.3	6.4	—	—	—	—	170	36	30	16	14	8	-	-	—	5	13	6	1	2	1	—	6	3	18	53	April
4.5	6.0	5.0	5.0	—	—	—	—	178	35	12	15	15	2	—	2	—	9	8	1	4	—	2	3	11	6	12	54	Mai
5.8	8.0	7.1	7.3	—	—	-	—	175	31	7	19	17	—	—	1	—	2	16	1	2	—	5	2	10	8	19	43	Juni
5.7	6.3	6.7	6.2	—	—	—		220	48	29	16	16	-		6	—	3	11	5	1	—	2	1	14	4	21	45	Juli
6.4	6.7	7.2	6.8	—	—	—	—	285	53	10	22	21	—	—	3	1	2	10	3	1	—	—	2	10	9	15	53	August
4.9	4.7	3.0	4.2	2	1	—	3	112	30	10	10	8	—	—	1	2	11	6	4	—	—	1	1	6	9	16	53	September
5.1	4.6	4.7	4.8	-	—	—	—	202	43	6	13	13	9	—	-	—	11	11	2	1	—	1		7	7	10	65	Oktober
7.6	7.5	7.8	7.6	4	4	4	12	65	22	28	14	11	7	—	—	9	5	20	3	4	1	2	—	10	2	6	62	November
5.8	5.4	4.5	5.2	1	1	—	2	25	6	13	7	6	4	—	—	2	8	10	—	3	1	2	2	13	1	4	67	Dezember
6.0	6.3	5.9	6.1	8	8	6	22	1703	53	VIII	173	155	57	—	14	17	70	146	34	31	12	34	16	109	56	149	657	Jahr

Zentralschweiz

Beobachter: Kloster Wesemlin

Luzern

8.9	8.1	7.9	8.3	1	—	1	2	84	16	29	13	11	4	—	—	2	1	23	23	6	11	17	3	—	7	4	22	Januar
9.1	7.4	7.1	7.9	—	—	—	-	15	*5	8	7	5	7	—	—	—	1	16	33	14	2	2	—	1	2	12	21	Februar
7.2	6.0	4.8	6.0	1	—	—	1	23	11	2	10	7	2	-	—	1	4	11	18	18	3	7	5	—	6	8	28	März
6.7	6.6	6.1	6.5	1	—	—	1	138	26	30	17	15	6	—	1	1	6	13	11	9	—	4	16	4	7	7	32	April
5.2	5.7	5.0	5.3	—	—	—	—	134	28	19	13	10	—	2	3	—	7	7	13	10	4	10	17	2	7	6	24	Mai
7.1	7.5	8.0	7.5	1	—	—	1	96	25	20	17	14	—	1	1	—	—	16	16	4	5	10	19	1	6	10	19	Juni
6.6	6.4	6.2	6.4	1	—	—	1	209	37	10	18	16	—	—	8	2	2	12	14	10	7	4	20	1	8	7	22	Juli
7.6	7.1	6.4	7.0	2	—	—	2	223	53	10	21	18	—	—	3	3	1	11	13	5	6	5	16	4	11	7	26	August
8.2	5.4	3.6	5.7	9	—	—	9	89	34	10	11	10	-	—	1	9	2	9	22	8	4	8	18	3	5	—	22	September
9.2	6.8	5.7	7.2	13	—	2	15	115	25	25	14	13	2	—	—	13	1	17	21	4	4	3	6	4	4	6	41	Oktober
9.2	8.4	8.4	8.7	2	1	2	5	31	14	28	11	7	4	—	—	3	1	21	20	19	9	3	5	3	7	3	21	November
7.9	7.0	6.4	7.1	9	1	2	12	21	5	21	9	8	3	—	—	9	3	18	6	12	2	2	21	—	1	5	44	Dezember
7.7	6.9	6.3	7.0	40	2	7	49	1178	53	VIII	161	134	28	3	17	43	29	174	210	119	57	75	146	23	71	75	322	Jahr

Beobachter: Kulmhotel

Rigi-Kulm

7.0	7.1	6.1	6.7	12	14	10	36	94	19	18	15	15	14	—	-	18	3	13	3	5	5	17	8	29	17	4	5	Januar
5.6	6.0	5.4	5.7	6	4	4	14	40	12	6	12	12	12	—	—	10	5	7	3	13	8	19	6	12	7	11	8	Februar
6.1	6.4	5.3	5.9	9	11	6	26	64	13	2	12	10	12	1	—	15	12	7	2	9	21	12	7	20	7	4	11	März
6.8	7.0	6.1	6.6	11	9	10	30	217	48	30	16	14	14	—	—	15	5	14	3	—	20	6	10	22	14	5	10	April
4.5	6.3	5.6	5.5	8	8	8	24	165	28	19	17	14	7	1	2	13	7	10	6	8	15	10	10	19	12	8	5	Mai
7.7	8.4	7.3	7.8	16	14	12	42	191	39	20	18	16	5	-	1	24	1	16	3	1	11	2	14	24	30	—	5	Juni
6.2	7.1	5.8	6.4	10	10	6	26	289	48	10	17	16	—	1	1	19	2	9	2	1	10	11	13	24	24	2	6	Juli
6.8	7.2	6.4	6.8	12	8	9	29	270	70	10	21	19	—	1	1	19	3	15	—	3	10	11	27	25	14	1	2	August
5.2	5.2	3.7	4.7	4	8	3	15	119	37	10	12	9	—	—	—	8	9	6	6	3	31	9	27	7	6	—	1	September
5.2	5.3	4.8	5.1	11	12	11	34	258	43	26	16	14	11	—	—	15	11	11	2	2	7	3	14	7	22	13	23	Oktober
6.2	6.3	6.4	6.3	10	13	13	36	80	24	28	12	10	12		—	18	4	14	3	2	9	11	15	8	20	9	13	November
5.8	4.8	2.4	4.2	8	6	5	19	41	13	22	9	9	9	—	—	12	11	7	2	2	5	11	2	28	13	13	17	Dezember
6.1	6.4	5.4	6.0	117	117	97	331	1828	70	VIII	178	158	96	4	5	186	73	129	35	49	152	122	153	225	186	70	106	Jahr

Pilatus-Kulm

Die Abendbeobachtung erfolgt um 20.30 $\lambda = 8° 15'$, $\beta = 46° 59'$, $H_b = 2068^m$, $G = -0.26$ m/m, $h_r = 2.0^m$

1956	Luftdruck					Luft-Temperatur								Relative Feuchtigkeit					
	Mittel	Minimum	Tag	Maximum	Tag	7^{30}	13^{30}	21^{30}	Mittel	Minimum	Tag	Maximum	Tag	7^{30}	13^{30}	21^{30}	Mittel	Minimum	Tag
Januar	588.8	576.7	9	596.4	28	-4.5	-2.7	-4.3	-3.9	-11.8	25	4.8	5	—	—	—	—	—	—
Februar	584.2	571.3	13	598.6	29	-14.7	-11.1	-14.7	-13.7	-29.2	2	1.5	26	—	—	—	—	—	—
März	590.1	583.9	21	597.2	1	-5.2	-2.0	-4.4	-4.1	-18.1	12	7.0	30	—	—	—	—	—	—
April	588.2	580.0	5. 6	597.6	9	-3.9	-1.1	-3.4	-3.1	-14.2	7	5.8	12	—	—	—	—	—	—
Mai	596.3	589.8	19	603.0	9	2.6	5.6	2.9	3.3	-7.1	1	17.2	28	—	—	—	—	—	—
Juni	595.3	591.1	8. 9	598.8	13	2.9	5.7	2.7	3.3	-3.8	9	14.0	30	—	—	—	—	—	—
Juli	596.4	590.1	20	603.3	25	7.7	11.5	7.8	8.5	2.0	2	20.4	8	—	—	—	—	—	—
August	594.4	585.8	25	602.9	8. 9	6.9	10.2	6.5	7.4	-0.8	30	22.5	9	—	—	—	—	—	—
September	597.2	589.9	26	602.6	15	7.8	11.3	7.6	8.6	0.8	27	16.2	15	—	—	—	—	—	—
Oktober	595.5	584.5	27. 30	603.7	22	0.6	3.5	0.8	1.5	-9.8	26	15.0	2	—	—	—	—	—	—
November	*591.0	—	—	—	—	*-4.5	*-2.0	*-4.4	*-3.8	—	—	—	—	—	—	—	—	—	—
Dezember	593.7	584.7	31	601.0	18	-5.2	-2.1	-4.9	-4.2	-16.0	25	5.3	16	—	—	—	—	—	—
Jahr	592.6	571.3	II	603.7	X	-0.8	2.4	-0.6	0.0	-29.2	II	22.5	VIII	—	—	—	—	—	—

Sarnen

$\lambda = 8° 15'$, $\beta = 46° 54'$, $H_b = 479^m$, $G = -0.06$ m/m, $h_r = 1.5^m$

Januar	718.9	704.6	9	729.4	4	1.3	3.6	1.9	2.2	-5.6	31	10.4	18	87	76	85	83	52	8
Februar	719.1	705.1	13	732.4	5	-9.8	-5.7	-7.6	-7.7	-20.1	11	4.8	29	77	60	72	70	45	15
März	719.6	708.5	21	729.3	6	1.5	8.1	4.2	4.5	-6.2	13	16.5	21	83	56	74	71	31	21
April	716.7	707.0	27	726.9	7	4.3	10.7	6.3	6.9	-4.6	8	17.4	12. 15	93	54	82	76	31	10
Mai	723.4	715.0	22	729.6	6	10.9	17.4	12.4	13.3	3.4	1	25.8	28	87	54	79	73	36	18. 28
Juni	722.2	716.4	7	726.3	15	12.5	17.6	13.2	14.1	7.5	8	24.2	5	89	56	86	77	43	11. 16
Juli	720.5	713.0	28	727.4	4	15.6	20.8	16.9	17.5	11.6	22	26.4	9	89	62	83	78	45	10
August	718.1	705.6	25	728.3	7	13.8	19.3	15.4	16.0	9.0	30	25.4	10	96	64	88	83	45	30
September	722.2	714.3	26	726.6	30	12.1	18.5	13.8	14.6	8.4	22	21.3	16	98	65	95	86	44	28
Oktober	724.2	713.6	5	732.1	12	5.7	10.7	7.0	7.6	1.4	27	20.1	2	97	72	94	88	54	13
November	721.8	707.3	28	733.0	6	1.7	4.3	2.5	2.8	-2.3	23	10.4	27	92	77	88	86	45	27
Dezember	725.0	713.9	31	731.7	3	-1.0	2.6	-0.1	0.4	-10.6	25	8.0	13	95	78	92	88	60	12
Jahr	721.0	704.6	I	733.0	XI	5.7	10.7	7.2	7.7	-20.1	II	26.4	VII	90	65	85	80	31	III IV

Engelberg

Die Abendbeobachtung erfolgt um 20.30 $\lambda = 8° 25'$, $\beta = 46° 49'$, $H_b = 1017.8^m$, $G = -0.15$ m/m, $h_r = 1.5^m$

Januar	672.8	659.8	9	681.5	4	-2.6	0.3	-1.9	-1.5	-8.9	8	6.7	12	85	75	85	82	38	12
Februar	670 8	658.0	13	682.2	5	-14.5	-9.1	-11.9	-12.0	-24.4	11	3.9	29	84	69	82	78	43	15
März	673.8	664.9	24	682 2	1	-0.3	4.5	1.4	1.7	-13.4	13	13.1	30	78	62	75	72	33	21
April	671.3	663.7	22	679.9	9	0.9	6.8	2.7	3.2	-9.9	8	15.3	12	87	63	85	78	32	10
Mai	678.4	671.2	22	683.9	7	7.6	13.6	9.4	9.8	0.2	1	26.3	28	83	65	83	77	28	28
Juni	677.4	671.7	7	680.6	15	8.7	13.2	9.7	10.0	1.3	8	20.9	6	84	68	89	80	38	7
Juli	677.0	670.7	2	683.5	25	12.2	17.1	13.7	13.8	7.7	22	23.5	8	84	70	86	80	45	8
August	675.4	664.5	25	684.1	7	11.3	16.3	12.3	12.9	5.1	31	26.5	10	84	67	91	81	33	27
September	677.9	670.4	26	681.6	15	9.6	15.3	11.6	11.9	5.5	19	20.1	10	89	69	89	82	37	1
Oktober	678.3	668.3	30	685.2	22	2.9	8.0	3.9	4.7	-4.5	31	18.8	1	89	72	90	84	34	13
November	675.4	662.8	28	685.0	6	-2.3	0.5	-1.8	-1.4	-9.9	22	6.5	10. 27	90	82	89	87	44	18
Dezember	678.2	667.8	31	684.0	3	-3.5	1.6	-3.1	-2.3	-14.1	25	5.8	13	82	71	83	79	38	18
Jahr	675.6	658.0	II	685.2	X	2.5	7.2	3.8	4.2	-24.4	II	26.5	VIII	85	69	86	80	28	V

Altdorf I

$\lambda = 8° 38'$, $\beta = 46° 53'$, $H_b = 456.3^m$, $G = -0.08$ m/m, $h_r = 1.5^m$

Januar	720.7	706.4	9	731.5	4	1.6	4.1	2.4	2.6	-3.1	31	12.0	12	82	75	78	78	34	12
Februar	720.8	706.9	13	734.3	4	-8.2	-5.4	-6.8	-6.8	-16.8	11	3.4	29	75	66	72	71	46	14
März	721.5	711.4	24	731.0	6	3.8	8.1	5.9	5.9	-5.7	13	15.9	24. 29	70	62	62	65	35	24. 29
April	718.4	709.2	27	729.1	8	5.2	10.2	7.1	7.4	-2.5	8	18.0	14	85	61	75	74	37	14. 27
Mai	725.1	716.2	22	731.4	6. 7	10.8	16.1	12.7	13.1	3.6	1	26.2	28	87	66	77	77	40	28. 30
Juni	724.0	718.5	7	728.6	15	11.7	16.3	12.8	13.4	6.9	8	25.3	6	93	66	90	83	37	6
Juli	723.0	715.2	2	730.9	25	15.7	20.1	16.8	17.3	11.2	21	24.9	9	91	71	87	83	53	24
August	721.1	708.4	25	732.2	7	14.3	18.4	15.1	15.7	9.6	31	26.2	27	93	72	91	85	42	27
September	723.8	714.2	6	728.8	15	13.5	17.8	14.9	15.3	9.8	22	23.7	24	91	71	85	82	41	24
Oktober	725.9	715.0	5	733.6	12	5.5	10.2	6.8	7.3	0.8	31	18.8	1	96	78	92	89	60	5. 13
November	723.5	708.9	28	735.0	6	2.5	4.8	2.8	3.2	-1.2	18	10.2	11	91	79	88	86	56	7
Dezember	726.9	715.3	31	733.5	3	-0.5	3.0	0.2	0.7	-8.4	25	8.5	13	88	80	88	85	55	11. 15
Jahr	722.9	706.4	I	735.0	XI	6.3	10.3	7.6	7.9	-16.8	II	26.2	V VIII	87	71	82	80	34	I

Beobachter: Pilatusbahn

Pilatus-Kulm

Bewölkung				Termine mit Nebel				Niederschlag			Zahl der Tage								Windverteilung									1956
7³⁰	13³⁰	21³⁰	Mittel	7³⁰	13³⁰	21³⁰	Total	Summe	Maximum	Tag	● *	● ≥1.0	*	▲	⚿	≡	heiter	trüb	N	NE	E	SE	S	SW	W	NW	Calmen	
5.5	5.7	5.0	5.4	10	12	6	28	99	17	29	14	12	14	—	—	13	9	11	8	3	9	1	3	19	23	16	11	Januar
4.3	4.0	3.8	4.0	6	4	4	14	28	9	6	8	6	8	—	—	10	8	4	20	12	23	2	1	5	5	7	12	Februar
5.5	5.7	5.0	5.4	8	7	5	20	58	10	5	11	10	11	—	—	11	7	7	9	6	4	1	11	22	21	8	11	März
6.5	6.9	5.6	6.3	9	7	6	22	193	40	30	18	15	17	—	—	13	5	14	7	5	9	—	7	12	26	14	10	April
4.4	6.5	5.1	5.3	7	10	4	21	198	62	12	15	15	8	—	2	11	9	10	5	8	11	—	3	49	9	—	8	Mai
7.7	9.2	6.9	7.9	7	6	3	16	149	38	20	19	17	8	—	2	18	—	16	—	2	6	7	1	61	4	—	9	Juni
6.4	7.7	5.6	6.6	3	5	1	9	240	51	10	17	17	—	—	5	15	3	13	—	—	5	—	—	69	3	—	16	Juli
6.7	7.5	7.1	7.1	1	1	—	2	239	66	10	20	20	1	—	—	5	4	17	—	—	—	—	5	77	—	1	10	August
5.1	4.9	2.5	4.2	2	1	1	4	111	40	10	10	10	—	—	2	4	10	4	1	1	1	2	5	60	2	1	17	September
5.3	5.6	4.9	5.3	10	9	4	23	236	65	26	13	12	9	—	—	12	11	12	4	—	—	—	1	42	25	—	21	Oktober
*6.4	*6.5	*6.6	*6.5					*90	?	—	*12	*12	*12	—	—	*15	*5	*14	—	—	—	—	—	—	—	—	—	November
6.2	6.0	3.9	5.4	10	8	5	23	47	7	20/22	10	10	10	—	—	13	8	8	5	6	1	1	8	41	17	3	11	Dezember
5.8	6.4	5.2	5.8	—	—	—	—	1688	60	VIII	167	156	98	—	11	140	79	130	—	—	—	—	—	—	—	—	—	Jahr

Beobachter: P. Ch. Durrer

Sarnen

8.5	7.9	8.2	8.2	1	2	1	4	92	17	29	14	12	5	—	—	6	1	21	—	40	—	—	—	7	—	—	46	Januar
8.9	7.9	9.2	8.7	—	—	—	—	17	5	6	10	5	10	—	—	—	—	22	—	32	—	—	—	2	—	—	53	Februar
7.0	6.0	6.9	6.6	1	—	—	1	28	10	22	9	8	1	—	—	1	2	11	—	38	—	—	—	5	—	—	50	März
6.9	6.8	7.5	7.1	—	—	—	—	120	20	1	17	15	5	—	—	1	3	13	—	36	—	—	—	—	—	—	54	April
5.6	6.6	6.5	6.2	—	—	—	—	125	24	19	15	12	—	—	2	1	2	7	—	25	—	—	—	5	—	—	63	Mai
7.1	7.5	8.4	7.7	—	—	—	—	127	23	20	21	17	—	—	2	—	—	16	—	34	—	—	—	3	—	—	53	Juni
6.6	6.7	6.5	6.6	—	—	—	—	173	37	10	15	14	—	—	2	—	2	10	—	28	—	—	—	2	—	—	63	Juli
7.4	7.0	7.6	7.3	3	—	—	3	162	43	10	21	19	—	—	3	4	—	10	—	32	—	-	—	6	—	—	55	August
7.1	5.4	5.1	5.9	4	—	—	4	88	34	3	10	8	—	—	3	6	2	6	—	25	—	—	—	7	—	—	58	September
9.4	6.4	6.9	7.6	10	—	1	11	99	23	26	20	11	1	—	—	12	—	17	—	40	—	—	—	6	—	—	47	Oktober
9.1	8.9	9.2	9.1	2	—	1	3	28	12	28	10	7	2	—	—	2	—	25	—	38	—	—	—	3	—	—	49	November
7.4	7.0	6.7	7.0	2	2	3	7	17	5	26	8	7	3	—	—	9	2	15	—	20	—	—	—	—	—	—	73	Dezember
7.6	7.0	7.4	7.3	23	4	6	33	1076	43	VIII	170	135	27	—	12	42	14	173	—	388	—	—	—	46	—	—	664	Jahr

Beobachter: P. A. Jenny

Engelberg

6.9	6.3	6.8	6.7	—	3	3	6	108	24	29	15	12	12	—	—	6	3	12	—	1	—	48	—	7	—	12	25	Januar
5.5	5.9	7.4	6.3	1	—	4	5	37	9	8	11	9	10	—	—	4	2	8	—	1	—	45	—	8	—	28	5	Februar
6.3	6.4	7.6	6.8	1	—	—	1	104	26	22	13	12	9	—	—	1	2	16	—	3	—	30	—	15	—	27	18	März
6.6	6.6	7.6	6.9	1	—	—	1	173	28	30	19	16	11	—	—	1	3	14	—	1	—	25	—	15	—	35	14	April
5.1	6.2	6.3	5.9	—	—	2	2	178	32	10	16	16	2	—	1	2	2	9	—	6	—	40	—	6	—	19	22	Mai
7.1	7.8	8.0	7.6	1	—	—	1	219	50	20	23	18	2	—	1	1	—	17	-	3	—	34	—	8	—	27	18	Juni
5.4	6.8	6.8	6.3	—	—	1	1	222	34	10	17	16	—	—	5	1	4	9	—	4	—	17	—	28	—	22	22	Juli
6.5	6.9	7.6	7.0	1	—	3	4	212	27	10	21	20	—	—	5	3	2	12	—	1	—	22	—	18	—	25	27	August
5.0	5.4	4.5	5.0	2	1	2	5	134	31	10	11	9	—	—	1	3	7	8	—	6	—	29	1	9	—	27	18	September
5.0	5.5	5.4	5.3	1	—	—	1	140	30	26	13	12	9	—	—	2	10	11	—	2	—	24	—	9	—	33	25	Oktober
7.1	7.4	7.5	7.3	8	7	8	23	72	16	28	14	12	10	—	—	12	4	18	—	—	—	33	—	4	—	36	17	November
5.4	5.2	3.5	4.7	1	2	—	3	25	6	13.22	6	6	5	—	—	3	9	8	—	—	—	54	—	7	—	7	25	Dezember
6.0	6.4	6.6	6.3	17	13	23	53	1624	50	VI	179	158	70	—	13	39	48	142	—	28	—	401	1	134	—	298	236	Jahr

Beobachter: Frl. H. Nager

Altdorf I

8.5	7.6	7.1	7.7	—	—	—	—	78	23	29	11	9	4	—	—	1	1	17	3	2	1	3	2	—	1	4	77	Januar
9.3	8.9	9.0	9.1	—	—	—	—	18	9	8	11	4	11	—	—	—	—	24	11	—	3	—	—	—	1	4	68	Februar
7.5	6.5	8.2	7.4	—	—	1	1	159	47	3	11	11	4	—	1	2	1	11	6	1	6	8	9	—	1	12	50	März
7.4	7.0	8.0	7.5	—	—	—	—	101	17	5	11	10	2	—	—	—	2	18	7	—	—	7	—	—	1	24	51	April
5.1	6.6	6.2	6.0	—	—	—	—	108	23	10	16	14	—	—	1	—	2	11	4	—	1	5	—	—	2	10	71	Mai
7.2	7.9	8.6	7.9	—	—	—	—	166	38	20	21	16	—	—	3	—	—	17	2	—	1	2	1	—	—	15	69	Juni
5.8	7.0	7.7	6.8	—	—	—	—	163	25	27	15	14	—	—	3	—	2	11	1	—	3	2	1	—	1	20	65	Juli
7.6	7.0	8.4	7.7	1	—	—	1	194	34	10	22	20	—	—	3	1	1	14	2	1	1	6	—	—	2	8	73	August
5.4	5.1	5.2	5.2	—	—	—	—	116	28	4	13	11	—	—	1	—	5	7	—	1	3	4	2	—	—	9	71	September
7.7	6.3	6.0	6.7	2	—	2	4	113	22	25	12	9	1	—	—	5	6	13	4	—	3	—	—	—	—	7	79	Oktober
9.2	8.4	8.4	8.7	1	—	—	1	46	12	28	12	10	2	—	—	1	1	22	1	1	4	—	—	—	1	5	78	November
8.1	6.6	6.6	7.1	1	1	1	3	19	4	26	9	8	3	—	—	2	3	16	—	—	1	—	—	—	1	1	90	Dezember
7.4	7.1	7.4	7.3	5	1	4	10	1281	47	III	164	136	27	—	12	12	24	181	41	6	27	37	15	—	11	119	842	Jahr

Altdorf II

$\lambda = 8° 38'$, $\beta = 46° 52'$, $H_b =$ ca 450^m, $G = -0.05$ m/m, $h_r = 1.5^m$

1956	Luftdruck					Luft-Temperatur								Relative Feuchtigkeit					
	Mittel	Minimum	Tag	Maximum	Tag	7^{30}	13^{30}	21^{30}	Mittel	Minimum	Tag	Maximum	Tag	7^{30}	13^{30}	21^{30}	Mittel	Minimum	Tag
Januar	721.2	706.6	9	732.0	4	0.9	4.0	1.9	2.2	−4.0	8. 31	12.8	12	88	76	83	82	30	9
Februar	721.3	707.7	13	734.5	5	−9.5	−5.4	−7.6	−7.5	−18.8	11	3.8	29	80	61	76	72	36	13
März	721.9	711.3	24	731.6	6	3.2	8.3	5.8	5.8	−7.2	13	17.0	31	76	60	67	68	33	18
April	718.8	710.2	22	729.3	8	4.6	10.9	6.7	7.2	−3.3	8	19.2	14	91	61	79	77	38	11
Mai	725.6	716.7	22	731.9	7	10.6	16.7	13.0	13.3	2.4	1	28.8	28	86	65	76	76	32	28
Juni	724.5	718.6	7	728.8	15	11.7	17.0	12.7	13.5	5.0	8	26.8	6	90	65	89	81	34	6
Juli	723.4	715.8	2	730.9	25	15.4	20.8	16.6	17.3	10.0	22	26.6	9	87	66	86	80	44	1
August	721.7	709.3	25	732.9	7	14.3	19.4	14.9	15.9	10.2	13	28.4	27	89	70	93	84	38	31
September	724.4	716.3	26	629.6	15	13.0	18.8	15.0	15.4	8.2	22	26.7	24	91	69	86	82	31	5
Oktober	726.5	716.6	30	734.3	12	4.7	1.0	6.5	7.2	0.0	31	20.2	1	98	76	95	90	53	12
November	724.2	709.7	28	735.4	6	1.5	4.7	2.2	2.6	−2.7	18	11.6	11	93	80	91	88	52	7
Dezember	727.5	716.2	31	733.8	3	−1.4	3.5	0.2	0.6	−10.2	28	9.6	15	92	76	92	87	46	11
Jahr	723.4	706.6	I	735.4	XI	5.7	10.8	7.3	7.8	−18.8	II	28.8	V	88	69	84	80	30	I

Göschenen

$\lambda = 8° 35'$, $\beta = 46° 40'$, $H_b = 1106.1^m$, $G = -0.16$ m/m, $h_r = 1.5^m$

Januar	664.1	652.6	9	672.9	4	−1.2	0.8	−0.5	−0.4	−11.0	8	6.4	17	68	68	70	69	33	17. 20
Februar	666.4	648.1	13	673.4	7	−12.7	−8.9	−11.2	−11.0	−23.0	2.10.11	4.4	29	73	65	77	72	34	22. 28
März	665.4	659.0	24	672.8	1	−0.2	2.8	0.7	1.0	−10.6	12	11.0	30	66	60	68	65	29	30
April	662.5	652.6	5	671.3	9	2.2	5.8	2.6	3.3	−9.0	8	13.0	27	69	56	70	67	26	10
Mai	669.9	663.7	19	676.7	6	9.2	12.6	8.5	9.7	−1.8	1	25.4	28	66	57	73	65	25	5
Juni	668.4	663.3	7	671.7	15	9.8	12.2	8.8	9.9	1.0	8	23.0	5	74	65	86	75	28	4
Juli	668.6	662.4	1	675.7	25	13.9	17.2	12.9	14.2	7.8	11	23.2	8. 9. 27	68	59	80	69	33	18
August	666.8	657.8	25	676.2	7. 8	12.2	15.5	12.1	13.0	5.2	29	26.4	10	76	67	86	76	34	10
September	669.7	662.5	26	674.1	15	11.6	15.5	12.7	13.1	7.2	15	21.8	5	73	63	76	71	24	22
Oktober	669.8	658.8	30	677.6	12	4.5	8.2	5.2	5.8	−3.0	9. 27	20.4	2	73	66	76	72	33	24
November	666.1	654.5	28	677.6	7	−1.0	0.5	−0.6	−0.4	−7.4	25	7.2	8	82	81	84	82	25	8
Dezember	669.4	660.7	31	675.5	7. 8	−1.6	0.6	−0.9	−0.7	−11.8	25	6.6	17	65	60	69	65	31	18
Jahr	666.8	648.1	II	677.6	X XI	3.9	6.9	4.2	4.8	−23.0	II	26.4	V	71	64	77	71	24	IX

St. Gotthard

$\lambda = 8° 34'$, $\beta = 46° 33'$, $H_b = 2095^m$, $G = -0.25$ m/m, $h_r = 1.8^m$

Januar	587.7	576.7	9	596.6	4	−7.1	−4.6	−6.7	−6.3	−12.8	9	4.5	5	76	76	79	77	22	20
Februar	581.9	569.9	13	595.5	29	−16.1	−12.9	−16.1	−15.3	−28.5	2	−0.6	26	78	74	83	78	19	5
März	588.6	583.8	14	594.9	29	−7.2	−4.2	−6.7	−6.2	−19.2	12	3.8	31	86	79	89	85	30	9
April	586.5	577.3	5	594.3	9	−5.2	−1.7	−4.7	−4.1	−15.8	8	6.1	22	84	74	89	82	30	10
Mai	594.8	587.7	1	601.3	6	1.1	4.5	1.2	2.0	−6.8	1	15.0	28	82	74	91	82	40	5. 28
Juni	593.8	589.2	8	597.2	13	2.0	5.7	2.3	3.1	−4.0	8	11.6	15. 25. 30	89	75	95	86	32	13
Juli	595.0	588.6	20	600.8	4. 5	6.8	11.3	6.4	7.9	0.1	2	18.6	26	83	68	95	82	32	5
August	593.2	585.9	23	601.7	7	6.2	9.6	6.5	7.2	−1.2	29	20.5	9	87	78	94	86	32	9
September	596.0	589.8	26	600.5	30	−5.5	9.1	6.3	6.8	0.6	27	14.9	15	86	75	92	84	29	15
Oktober	593.8	582.1	27	602.0	22	−0.8	3.3	−0.4	0.4	−9.5	28	13.4	1	78	70	82	77	34	14
November	589.3	578.7	29	598.9	7	−5.5	−2.8	−5.5	−4.8	−11.7	29	4.5	8	80	75	82	79	19	8
Dezember	592.2	584.2	24	598.5	17. 18	8.0	−4.8	−6.9	−6.6	−16.8	25	1.1	18	79	70	78	76	30	2
Jahr	591.1	569.9	II	602.0	X	−2.4	1.0	−2.0	−1.3	−28.5	II	20.5	VIII	82	74	87	81	19	II XI

Jura

Basel (Binningen)

$\lambda = 7° 35'$, $\beta = 47° 33'$, $H_b = 317.3^m$, $G = 0.11$ m/m, $h_r = 1.5^m$

Januar	733.3	720.1	9	744.8	4	1.2	4.4	2.1	2.5	−5.8	31	10.9	12	89	75	87	84	42	23
Februar	734.9	721.6	13	747.6	5	−12.3	−5.9	−9.5	−9.3	−21.5	10	4.5	29	86	64	78	76	41	28
März	734.5	723.9	24	744.0	8	2.1	9.0	4.3	4.9	−7.2	13	19.7	30	82	57	73	71	31	9
April	731.3	721.7	27	741.6	8	4.6	11.5	6.5	7.3	−1.9	8	20.1	12	85	58	75	73	28	8
Mai	737.5	729.8	22	743.4	5. 6	11.3	18.3	12.5	13.6	3.3	1	29.4	28	80	58	78	72	29	7
Juni	736.3	730.6	7	740.5	2	13.1	18.5	13.0	14.4	7.5	9	26.1	4	81	63	81	75	45	16
Juli	735.2	729.2	2	742.8	25	15.5	21.8	16.4	17.5	11.8	11	30.3	9	85	68	86	80	54	3. 9
August	733.5	720.3	25	744.0	8	13.9	19.5	14.5	15.6	7.2	31	28.6	10	87	76	90	84	60	26
September	736.0	728.8	26	740.3	15	12.5	20.4	14.0	15.2	8.1	19	26.8	16	92	75	92	86	60	21
Oktober	738.1	729.1	30	745.4	12	6.5	12.4	7.6	8.5	0.1	10	24.3	1	95	81	92	89	66	9
November	736.5	722.8	28	747.0	6	1.6	4.8	2.4	2.8	−4.0	23	10.4	11	92	80	90	87	60	6
Dezember	739.3	728.7	31	745.4	3	0.9	4.0	1.5	2.0	−6.6	25	10.7	13	90	83	89	87	63	2
Jahr	735.5	720.1	I	747.6	II	5.9	11.6	7.1	7.9	−21.5	II	30.3	VII	87	70	84	80	28	IV

Beobachter: Eidg. Armeemagazine

Altdorf II

Bewölkung				Termine mit Nebel				Niederschlag			Zahl der Tage								Windverteilung									1956
7³⁰	13³⁰	21³⁰	Mittel	7³⁰	13³⁰	21³⁰	Total	Summe	Maximum	Tag	● *	●* ≧1.0	*	▲	⌇	≡	heiter	trüb	N	NE	E	SE	S	SW	W	NW	Calmen	
8.0	7.4	6.4	7.3	—	—	—	—	74	22	29	11	9	5	—	—	—	1	18	5	1	5	7	11	1	1	5	57	Januar
8.1	7.4	7.0	7.5	—	—	—	—	14	8	8	9	2	8	—	—	—	3	14	12	—	3	7	7	—	1	16	41	Februar
6.6	5.5	5.3	5.8	—	—	1	1	154	44	3	11	10	4	—	—	1	6	10	13	—	1	12	17	—	—	14	36	März
6.9	6.4	6.0	6.4	—	—	—	—	85	15	5	11	10	3	—	—	—	5	13	23	1	4	7	10	1	—	21	23	April
5.0	6.3	4.8	5.4	—	—	—	—	112	28	10	16	13	—	—	—	—	5	7	13	1	—	1	10	4	—	14	50	Mai
7.8	8.1	7.5	7.8	—	—	—	—	166	41	20	18	16	—	—	1	—	—	18	11	1	—	5	5	2	3	17	46	Juni
5.4	6.1	6.8	6.1	—	—	—	—	159	29	10	14	13	—	—	4	—	3	10	14	—	1	2	10	2	2	19	43	Juli
7.2	6.7	6.9	6.9	1	—	—	1	199	36	10	22	21	—	—	2	1	1	13	9	—	—	8	8	3	2	15	48	August
5.5	5.2	3.4	4.7	—	—	—	—	119	30	3	11	10	—	—	—	—	8	6	19	1	1	8	16	1	—	10	34	September
7.1	5.9	5.5	6.2	1	1	1	3	105	24	6	12	9	2	—	—	3	7	11	15	1	2	6	8	2	—	6	53	Oktober
8.8	8.6	7.9	8.4	1	—	—	1	47	12	28	11	10	3	—	—	2	—	21	7	1	—	5	4	3	—	17	53	November
6.2	6.0	4.3	5.5	1	—	1	2	17	5	26	9	8	3	—	—	2	6	9	7	1	—	8	11	4	2	6	54	Dezember
6.9	6.6	6.0	6.5	4	1	3	8	1251	44	III	155	131	28	—	7	9	45	150	148	8	17	76	117	23	11	160	538	Jahr

Beobachter: W. Etterlin

Göschenen

5.8	5.7	5.6	5.7	—	1	2	3	108	33	26	11	11	11	—	—	2	6	11	1	7	—	11	5	5	—	4	60	Januar
5.6	5.8	4.3	5.2	1	—	1	2	36	11	8	10	10	9	—	—	2	4	8	5	8	1	11	2	4	—	2	54	Februar
6.4	5.9	6.3	6.2	1	—	—	1	143	49	22	10	9	4	—	—	1	7	11	3	8	2	20	12	2	1	8	37	März
6.6	5.9	6.8	6.4	4	4	6	14	156	41	17	13	12	5	—	—	8	7	12	5	10	3	14	10	1	—	—	47	April
4.7	6.1	5.2	5.3	—	—	1	1	132	26	10	14	13	2	—	1	1	6	10	5	10	2	19	10	1	—	7	39	Mai
7.6	7.5	8.1	7.7	4	2	—	6	145	61	7	14	14	1	—	—	4	—	15	3	19	—	18	3	—	—	3	44	Juni
5.8	6.4	7.1	6.4	—	—	—	—	148	23	2	15	12	—	—	4	—	2	9	2	12	—	10	3	7	1	7	51	Juli
7.5	6.9	7.4	7.3	2	1	1	4	240	54	10	20	19	—	—	1	3	1	14	3	7	2	5	3	6	—	1	66	August
4.8	5.1	4.6	4.8	2	1	1	4	146	52	25	10	10	—	—	—	3	10	9	—	7	1	11	2	6	—	7	56	September
5.2	5.3	5.5	5.3	1	—	2	3	123	35	25	11	11	8	—	—	3	11	11	2	2	1	3	2	2	—	2	79	Oktober
6.3	6.9	7.1	6.8	8	4	8	20	56	12	28	13	11	11	—	—	13	6	17	2	5	—	2	—	5	—	2	74	November
4.1	5.0	3.6	4.2	1	—	—	1	18	?	—	7	7	6	—	—	1	12	7	—	—	1	6	7	4	3	5	67	Dezember
5.9	6.0	6.0	6.0	24	13	22	59	1451	61	VI	148	139	57	—	6	41	72	134	31	95	13	130	59	43	5	48	674	Jahr

Beobachter: E. Chiesa

St. Gotthard

5.4	5.6	5.7	5.6	3	11	10	24	103	38	26	17	15	17	—	—	18	7	12	—	—	—	31	—	—	—	40	22	Januar
5.2	5.2	4.2	4.9	5	2	2	9	31	8	20	9	7	9	—	—	7	8	8	—	—	—	16	—	—	—	57	14	Februar
6.0	6.1	7.5	6.5	12	12	17	41	225	48	22	20	15	20	—	—	20	6	17	—	—	—	34	—	—	—	47	12	März
6.7	6.2	8.4	7.1	14	12	22	48	264	64	16	20	19	20	—	—	23	4	16	—	—	—	22	—	—	—	49	19	April
5.1	5.9	6.1	5.7	9	6	11	26	131	19	24	18	16	8	—	—	14	8	12	—	—	—	10	—	—	—	52	31	Mai
7.6	8.5	9.1	8.4	10	8	16	34	180	96	7	23	21	13	—	—	24	—	20	—	—	—	24	—	—	—	56	10	Juni
4.9	6.1	7.0	6.0	3	3	12	18	321	69	2	16	16	1	—	1	17	4	9	—	—	—	26	—	—	—	49	18	Juli
6.7	6.5	8.7	7.3	10	9	17	36	453	94	10	21	19	1	2	3	22	1	14	—	—	—	37	—	—	—	40	16	August
5.3	5.2	6.4	5.6	8	5	7	20	298	105	2	13	12	2	—	—	20	5	12	—	—	—	38	—	—	—	28	24	September
4.7	4.1	4.5	4.4	8	8	9	25	145	38	25	14	13	10	—	—	14	12	10	—	—	—	21	—	—	—	57	15	Oktober
5.6	5.9	5.7	5.7	8	11	13	32	111	19	28	17	15	17	—	—	18	7	11	—	—	—	11	—	—	—	59	20	November
3.7	4.5	3.7	4.0	6	4	5	15	42	11	3	10	9	10	—	—	9	13	7	—	—	—	17	—	—	—	46	30	Dezember
5.6	5.8	6.4	5.9	96	91	141	328	2304	105	IX	198	177	128	2	4	206	75	148	—	—	—	287	—	—	—	580	231	Jahr

Jura

Beobachter: Astronom.-Meteorolog. Anstalt

Basel (Binningen)

8.3	7.6	8.0	8.0	4	1	—	5	49	12	26	15	10	4	—	—	6	2	19	3	—	22	8	5	7	16	11	21	Januar
7.7	6.6	5.1	6.5	2	—	—	2	14	2	15	12	6	11	—	—	2	2	9	5	3	10	2	5	9	13	22	18	Februar
7.2	6.5	4.3	6.0	1	—	—	1	8	4	22	5	2	—	—	—	2	4	9	7	2	15	7	7	11	12	14	18	März
6.7	7.2	5.3	6.4	1	—	—	1	85	17	16	16	14	4	1	1	1	5	9	11	—	17	3	7	8	8	13	23	April
5.5	5.9	5.5	5.6	1	—	—	1	102	17	12	14	14	—	2	7	2	8	10	8	7	10	5	7	10	15	9	22	Mai
7.1	8.1	6.9	7.4	—	—	—	—	59	24	7	11	8	—	—	4	—	1	14	2	1	8	8	7	10	23	16	15	Juni
6.7	6.3	6.1	6.4	—	—	—	—	211	45	10	16	16	—	2	8	—	2	10	3	1	14	9	8	15	17	12	14	Juli
6.4	7.4	6.4	6.7	1	—	—	1	149	24	27	21	17	—	1	6	2	3	14	1	1	12	6	7	13	23	7	23	August
7.0	5.6	3.7	5.4	4	1	1	6	51	12	26	10	8	—	—	1	5	3	9	6	2	16	13	8	7	11	13	14	September
8.8	6.6	6.3	7.2	11	—	1	12	79	15	3	15	15	4	—	—	12	1	16	3	3	19	12	2	12	13	7	22	Oktober
9.2	7.2	8.3	8.2	6	—	1	7	25	12	28	10	5	2	—	—	7	1	22	6	1	15	5	1	8	12	17	25	November
7.7	7.1	6.0	6.9	6	2	1	9	19	7	20	11	6	6	—	—	6	2	13	2	1	29	10	5	6	7	9	24	Dezember
7.4	6.8	6.0	6.7	37	4	4	45	851	45	VII	156	121	31	6	27	45	34	154	57	22	187	88	69	116	170	150	239	Jahr

La Chaux-de-Fonds

$\lambda = 6° 50'$, $\beta = 47° 06'$, $H_b = 989.9^m$, $G = -0.06$ ‰, $h_r = 1.2^m$

1956	Luftdruck					Luft-Temperatur								Relative Feuchtigkeit					
	Mittel	Minimum	Tag	Maximum	Tag	7³⁰	13³⁰	21³⁰	Mittel	Minimum	Tag	Maximum	Tag	7³⁰	13³⁰	21³⁰	Mittel	Minimum	Tag
Januar	674.2	660.0	9	682.8	4	−0.5	2.0	0.1	0.4	−7.3	25	7.5	12	88	80	86	85	44	12
Februar	672.5	659.1	13	684.5	5	−12.6	−7.1	−10.8	−10.3	−23.6	10	4.7	29	79	66	77	74	35	28
März	675.3	665.8	21	684.9	1	0.2	5.5	2.0	2.4	−8.7	13	13.5	29	82	63	77	74	38	9
April	672.9	664.1	5	681.6	9	2.1	7.0	3.4	4.0	−7.5	8	14.1	12	82	65	80	76	30	26
Mai	680.1	672.7	22	686.6	6	9.1	14.5	10.3	11.1	1.7	1	25.8	28	79	57	77	71	32	28
Juni	679.2	675.0	7	682.5	15	10.0	13.8	10.4	11.1	2.5	7	21.3	4	82	62	82	75	36	30
Juli	678.7	672.1	2	685.7	25	12.9	17.3	13.5	14.3	8.1	11	25.1	27	82	65	82	76	38	26
August	676.8	667.1	25	686.0	8	11.4	15.7	12.3	12.9	7.1	29	26.3	10	85	65	85	78	34	16
September	679.3	672.1	26	683.9	11	10.8	17.2	12.5	13.2	7.9	4	21.9	24	88	61	86	78	40	21
Oktober	680.1	669.0	30	687.1	12	4.0	9.3	5.2	5.9	−1.1	31	20.3	2	91	68	88	82	35	11 . 13
November	677.1	666.5	28	687.6	6	−0.9	1.9	−0.3	0.1	−6.1	22	8.7	9	91	84	89	88	52	7. 9
Dezember	679.8	668.4	25	686.4	3	−0.3	2.9	0.3	0.8	−11.1	25	10.9	16	87	75	85	82	37	17
Jahr	677.2	659.1	II	687.6	XI	3.9	8.3	4.9	5.5	−23.6	II	26.3	VIII	85	68	83	78	30	IV

Chasseron

Die Abendbeobachtung erfolgt um 20.30

$\lambda = 6° 32'$, $\beta = 46° 51'$, $H_b = 1601^m$, $G = -0.16$ ‰, $h_r = 1.5^m$

Januar	625.7	612.9	9	633.5	4	−3.6	−2.5	−2.9	−3.1	−10.0	8. 25	4.6	17	93	91	89	91	30	4
Februar	621.9	608.7	13	635.4	29	−13.1	−10.5	−13.3	−12.5	−27.8	2	1.2	29	83	78	84	82	20	28
März	627.0	618.9	21	635.9	1	−3.3	−1.1	−1.9	−2.3	−15.1	12	6.1	29	84	75	80	80	14	10
April	624.9	615.8	5	634.0	9	−1.6	0.6	−1.0	−1.0	−11.2	7	7.0	11 . 12	86	85	86	86	45	9. 12
Mai	632.8	626.3	19	639.3	6	5.3	7.7	5.9	5.9	−3.4	1	19.8	28	83	75	81	80	32	7
Juni	631.9	627.2	7	636.1	13	4.7	7.1	5.6	5.3	−1.6	9	13.8	4	93	87	91	90	43	4
Juli	632.2	625.9	2. 20	639.2	25	9.1	11.2	9.4	9.4	3.6	30	19.2	8	86	83	91	87	31	7
August	630.3	620.7	25	639.4	8	8.1	10.0	8.2	8.4	1.8	30	23.4	9	82	79	86	82	25	16
September	632.9	625.2	26	637.3	15 . 30	9.1	11.6	9.8	9.9	2.5	3	17.6	24	77	79	83	80	26	19
Oktober	632.3	620.4	30	640.3	22	2.6	4.3	2.4	2.9	−6.4	30	15.0	1	75	77	82	78	18	20
November	628.2	616.8	28	638.4	6	−3.3	−2.0	−3.0	−3.0	−10.6	24	8.4	8	88	87	85	87	16	8
Dezember	631.2	621.4	31	637.6	4	−3.2	−1.9	−2.6	−2.7	−12.3	25	6.0	16	91	87	85	88	26	16
Jahr	629.3	608.7	II	640.3	X	0.9	2.9	1.4	1.4	−27.8	—	23.4	VIII	85	82	85	84	14	III

Neuchâtel

$\lambda = 6° 57'$, $\beta = 47° 00'$, $H_b = 487.3^m$, $G = 0.00$ ‰, $h_r = 1.5^m$

Januar	718.3	704.6	9	728.5	4	1.8	3.8	2.5	2.6	−5.4	31	9.4	22	85	80	82	82	48	22
Februar	718.2	704.5	13	731.3	5	−9.5	−5.3	−7.1	−7.3	−19.2	10	5.6	29	80	66	68	71	51	2
März	719.1	708.5	21	729.1	1	1.7	7.3	4.2	4.3	−6.4	13	17.4	30	82	61	70	71	37	16
April	716.1	706.9	27	726.0	9	4.4	11.1	6.8	7.3	−1.4	7	18.7	27	85	56	71	71	30	9
Mai	722.7	714.2	22	729.2	6	10.9	18.2	13.9	14.2	5.3	2	25.7	29	84	57	69	70	35	7
Juni	721.7	716.2	7	725.5	15	12.5	17.8	13.7	14.4	6.3	7	25.1	30	81	59	71	70	35	22
Juli	720.7	714.1	2	727.6	25	14.9	21.0	16.5	17.2	12.0	11 . 20	28.3	9	86	64	78	76	43	26
August	718.9	707.5	25	729.2	7	13.4	18.3	14.8	15.3	9.3	31	25.0	10	88	69	77	78	41	1
September	721.5	714.1	26	727.2	12	12.8	18.8	14.8	15.3	10.1	5	22.6	17	91	67	83	80	45	4
Oktober	723.6	712.9	30	731.2	12	6.5	10.0	7.3	7.8	0.7	9	19.2	1	93	79	89	87	58	4 . 7
November	721.3	708.7	28	731.8	6	1.9	4.4	2.5	2.8	−2.2	23 . 24	10.9	6	88	75	85	83	54	7
Dezember	724.4	713.2	31	732.1	3	0.4	2.9	1.4	1.5	−7.6	25	9.5	15	91	83	86	87	56	1
Jahr	720.5	704.5	II	732.1	XII	6.0	10.7	7.6	8.0	−19.2	II	28.3	VII	86	68	77	77	30	IV

Chaumont

$\lambda = 6° 59'$, $\beta = 47° 03'$, $H_b = 1141^m$, $G = -0.09$ ‰, $h_r = 1.5^m$

Januar	662.8	649.2	9	670.8	4	−1.9	0.0	−1.3	−1.1	−7.8	25	4.2	12	96	90	91	92	43	20
Februar	660.0	648.7	13	672.5	29	−13.5	−8.2	−12.6	−11.7	−25.6	10	4.4	29	87	75	86	83	34	28
März	663.6	655.9	21	672.6	1	−0.8	3.8	0.6	1.0	−11.2	12	12.8	30	86	72	79	79	46	21 . 24
April	661.9	654.0	22	670.5	9	1.2	5.8	2.1	2.8	−8.2	7	12.2	12	87	71	82	80	41	10
Mai	668.4	662.3	19	674.3	6	8.5	13.7	9.1	10.1	−0.2	1	15.6	28	83	67	81	77	39	8
Juni	667.3	663.8	9	670.9	2	8.2	12.6	9.0	9.7	2.6	9	20.6	5	90	75	88	84	25	29
Juli	667.5	662.0	2	673.6	25	12.0	16.6	12.0	13.2	7.0	11	24.6	8	89	70	90	83	38	31
August	665.9	656.1	25	673.6	7	10.3	14.2	10.4	11.4	6.4	29 . 30	25.0	10	89	79	89	86	40	16
September	668.1	661.9	26	671.7	30	10.7	16.3	11.8	12.6	6.2	27	22.0	24	90	79	88	84	55	16
Oktober	668.3	658.5	30	675.6	12	3.9	8.0	4.6	5.3	−4.2	31	17.6	13	90	80	89	86	48	13
November	665.4	654.6	28	674.0	6. 7	−1.9	0.5	−1.3	1.0	−7.7	23	7.4	8	93	88	90	90	38	8
Dezember	668.6	663.2	27	674.4	4	−1.2	1.0	−0.5	−0.3	−10.2	25	7.6	16	90	84	90	88	38	2
Jahr	665.6	648.7	II	675.6	X	3.0	7.0	3.6	4.3	−25.6	II	25.6	V	89	77	87	84	25	VI

Beobachter: Police locale

La Chaux-de-Fonds

Bewölkung				Termine mit Nebel				Niederschlag			Zahl der Tage								Windverteilung									1956
7³⁰	13³⁰	21³⁰	Mittel	7³⁰	13³⁰	21³⁰	Total	Summe	Maximum	Tag	● *	●● ≥1.0	*	▲	⊼	≡	heiter	trüb	N	NE	E	SE	S	SW	W	NW	Calmen	
7.2	7.3	6.5	7.0	1	—	1	2	138	32	26	19	17	17	—	—	5	4	16		1	—	2	—	17	—	—	73	Januar
7.0	5.5	6.6	6.4	—	—	—	—	14	5	15	11	6	11	—	—	1	2	10	2	10	5	1	2	1	—	3	63	Februar
6.2	6.1	4.1	5.5	2	—	—	2	62	21	2	12	8	8	—	—	3	6	9		4	—	—	—	10	—	1	78	März
5.6	7.5	5.6	6.2	—	—	—	—	148	29	16	16	14	5	1	1	3	5	12	3	2	1	—	—	1	—	3	80	April
4.4	6.2	5.7	5.4	—	—	—	—	156	56	22	13	11	1	3	4	1	7	11	1	4	—		—	6	—	1	81	Mai
7.6	7.8	6.7	7.4	—	—	—	—	95	37	7	18	17	1	—	2	2	1	12	3	—	—		—	5	1	6	75	Juni
6.2	6.8	5.5	6.2	1	—	1	2	248	69	13	16	16	—	—	6	2	2	10	—	—	—	1	2	7	1	3	79	Juli
5.9	7.2	6.9	6.7	—	—	—	—	222	32	27	22	21	—	—	2	1	4	16	—	—	—		—	7	3	1	82	August
4.4	5.2	4.1	4.6	—	—	—	—	133	42	10	12	10	—	—	1	2	10	7	—	—	—	1	—	6	—	—	83	September
5.7	6.3	5.0	5.7	—	—	—	—	141	22	6	16	16	10	—	1	—	10	15	—	1	1	—	—	4	—	2	85	Oktober
6.8	6.4	6.8	6.7	1	1	1	3	79	30	28	12	10	6	—	—	4	8	18	1	4	—	—	—	7	4	—	73	November
6.9	6.1	6.3	6.4	1	1	1	3	39	15	13	12	8	7	—	—	2	5	15	—	1	—	—	1	6	—	—	85	Dezember
6.2	6.5	5.8	6.2	6	2	4	12	1475	69	VII	179	154	66	4	17	26	64	151	11	27	7	5	5	77	9	20	937	Jahr

Beobachter: J. Liardon

Chasseron

7.5	7.6	7.6	7.6	15	16	14	45	114	30	26	16	15	15	—	—	25	4	18	6	2	19	1	10	6	32	17	—	Januar
6.5	6.0	4.2	5.6	3	3	5	11	10	3	15	7	3	7	—	—	14	3	5	13	17	25	5	4	—	5	14	4	Februar
6.5	6.5	5.7	6.2	11	8	5	24	49	16	2	11	9	9	—	—	14	5	9	6	4	18	21	9	3	17	14	1	März
6.5	7.5	6.5	6.8	10	9	11	30	88	21	16	14	13	10	—	1	18	1	12	17	4	15	1	8	5	22	15	3	April
5.3	6.4	6.1	5.9	8	5	6	19	131	22	30	15	13	3	—	5	14	1	17	15	5	28	2	4	2	23	10	4	Mai
7.2	8.4	7.8	7.8	10	7	15	32	103	23	7	17	14	4	1	1	19	—	14	20	3	4	3	6	6	19	28	1	Juni
6.8	7.2	6.4	6.8	10	8	5	23	245	62	13	16	16	—	2	7	18	2	11	8	1	10	5	6	7	29	26	1	Juli
6.6	7.5	7.4	7.2	8	10	12	30	304	42	20	22	22	—	1	2	22	2	14	—	—	5	2	9	8	44	23	2	August
5.5	5.8	5.3	5.5	6	3	7	16	135	44	26	12	10	—	—	2	16	2	8	6	2	20	1	15	1	30	9	6	September
6.1	6.5	6.4	6.3	14	12	15	41	209	30	3	16	15	10	1	—	19	8	15	19	1	18	1	4	6	35	6	3	Oktober
6.9	7.2	6.9	7.0	16	15	16	47	99	34	28	10	10	10	—	—	20	2	16	11	4	32	2	4	1	21	9	6	November
6.5	6.3	6.5	6.4	14	13	13	40	59	14	13	13	10	11	—	—	22	6	13	9	3	19	1	10	7	38	5	1	Dezember
6.5	6.9	6.4	6.6	125	109	124	358	1546	62	VI	169	150	79	5	18	221	36	142	130	46	213	45	89	52	315	176	32	Jahr

Beobachter: Obervatorium

Neuchâtel

8.3	8.8	7.5	8.2	2	2	—	4	104	24	26	17	13	8	—	—	4	1	19	—	17	1	2	—	23	13	3	34	Januar
8.2	7.6	6.8	7.5	4	—	—	4	07	2	13	6	3	6	—	—	4	—	11	1	41	7	—	1	4	4	1	28	Februar
6.6	4.9	4.8	5.4	1	1	—	2	30	14	22	8	5	2	—	—	2	4	7	—	19	4	2	3	10	7	2	46	März
5.7	6.2	4.7	5.5	1	—	—	1	90	29	16	14	12	4	—	—	1	7	10	7	11	3	1	1	13	3	3	48	April
4.7	5.4	5.3	5.1	—	—	—	—	107	24	18	14	11	—	—	2	—	10	9	3	20	8	2	2	14	2	5	37	Mai
5.9	6.9	7.1	6.6	—	—	—	—	50	15	7	11	7	—	—	1	—	1	9	5	7	5	6	4	21	7	5	30	Juni
5.8	5.7	5.5	5.7	—	—	—	—	175	42	13	16	15	—	—	6	—	4	9	3	10	4	5	6	14	9	10	32	Juli
6.6	6.8	6.3	6.6	—	—	—	—	181	35	20	21	20	—	—	2	—	3	14	2	3	1	2	2	17	17	2	47	August
7.6	5.0	4.1	5.6	5	—	—	5	77	23	26	11	9	—	—	3	6	2	6	2	18	9	17	4	13	8	5	14	September
9.2	7.6	6.0	7.6	9	—	1	10	89	21	3	15	13	2	—	—	10	2	18	8	12	5	7	6	16	17	5	17	Oktober
9.5	8.5	9.0	9.0	4	1	2	7	30	15	28	8	5	3	—	—	4	1	25	6	39	12	2	1	13	4	1	12	November
7.5	7.9	6.9	7.4	5	4	2	11	15	4	26	11	6	6	—	—	7	3	19	11	25	12	2	1	14	6	—	22	Dezember
7.1	6.8	6.2	6.7	31	8	5	44	955	42	IX	152	119	31	—	14	38	38	156	48	222	71	48	31	172	97	42	367	Jahr

Beobachter: Frau B. Burkhalter-Pierrehumbert

Chaumont

7.6	7.9	6.2	7.2	7	7	5	19	99	26	26	16	15	14	—	—	11	1	15	1	1	18	—	—	10	28	3	32	Januar
6.4	5.5	5.0	5.6	2	3	—	5	18	11	15	4	3	4	—	—	5	4	7	2	1	34	—	—	1	8	3	38	Februar
5.8	5.5	4.0	5.1	5	3	2	10	66	*20	2	9	8	5	—	—	6	8	6	1	—	39	4	1	3	8	—	37	März
5.7	6.5	4.9	5.7	3	4	3	10	125	26	16	13	12	5	—	1	6	4	9	10	—	19	1	3	4	19	2	32	April
4.6	4.6	4.8	4.7	4	—	1	5	113	18	19	13	13	1	—	3	6	7	5	1	—	27	4	—	1	14	1	45	Mai
5.3	7.0	6.7	6.3	5	2	1	8	66	15	7	11	11	—	1	1	7	1	13	6	11	—	2	7	57	3	4	0	Juni
5.0	5.0	5.1	5.0	3	1	1	5	281	54	13	18	17	—	—	4	4	5	6	3	2	13	1	2	8	32	8	24	Juli
5.8	6.3	6.1	6.1	8	6	1	15	223	37	20	20	20	—	—	3	10	4	7	1	—	7	3	—	22	21	2	37	August
4.9	4.0	3.2	4.0	3	—	1	4	89	23	26	12	10	—	—	2	4	10	4	—	—	18	1	1	6	18	2	44	September
5.0	5.7	5.3	5.3	3	2	2	7	115	23	3	14	13	9	—	—	6	11	12	2	—	22	—	—	1	19	2	47	Oktober
8.5	7.7	7.5	7.9	17	13	11	41	49	13	27	7	7	4	—	—	20	4	23	1	3	36	1	—	7	14	—	28	November
6.8	6.1	5.5	6.1	9	8	5	22	39	10	26	12	11	8	—	—	16	5	12	2	1	13	—	—	10	13	2	52	Dezember
5.9	5.9	5.4	5.7	69	49	33	151	1283	54	VII	149	140	50	1	14	101	64	119	30	19	246	17	14	130	197	29	416	Jahr

Biel

$\lambda = 7° 15'$, $\beta = 47° 08'$, $H_b = 435.8^m$, $G = 0.01$ m/m, $h_r = 1.5$ m

1956	Luftdruck					Luft-Temperatur								Relative Feuchtigkeit					
	Mittel	Minimum	Tag	Maximum	Tag	7^{30}	13^{30}	21^{30}	Mittel	Minimum	Tag	Maximum	Tag	7^{30}	13^{30}	21^{30}	Mittel	Minimum	Tag
Januar	722.9	708.8	9	733.2	4	2.0	3.7	2.3	2.6	−6.2	31	8.7	22	—	—	—	—	—	—
Februar	723.0	709.6	13	735.9	5	−9.6	−5.5	−7.0	−7.3	−19.3	10	3.8	29	—	—	—	—	—	—
März	723.7	713.0	21	733.7	1	1.9	6.9	4.6	4.5	−5.3	13 . 14	15.0	30	—	—	—	—	—	—
April	720.5	710.8	27	730.7	9	4.7	10.9	7.5	7.6	−2.7	8	17.4	27	—	—	—	—	—	—
Mai	726.9	717.9	22	733.6	6	11.4	17.6	14.6	14.6	5.8	2	27.8	28	—	—	—	—	—	—
Juni	726.1	721.6	4. 7	729.9	15	13.1	17.5	14.8	15.1	8.6	8. 9	23.8	5	—	—	—	—	—	—
Juli	725.0	716.7	29	732.1	25	15.4	21.1	17.7	18.0	10.7	13	28.9	8	—	—	—	—	—	—
August	723.3	711.8	25	733.5	7	14.0	18.6	15.9	16.1	8.2	31	25.0	10	—	—	—	—	—	—
September	726.0	718.6	26	730.2	30	12.7	18.9	15.5	15.6	9.8	29	22.7	23	86	60	79	75	35	4
Oktober	728.1	717.6	30	735.8	12	6.5	10.1	7.9	8.1	−1.2	9	20.0	1	93	76	86	85	50	4. 10
November	725.8	712.6	28	735.8	7	2.0	4.3	3.0	3.1	−2.2	23 . 24	10.5	11	86	74	82	81	56	29
Dezember	729.0	717.7	31	735.6	3	0.2	2.9	1.6	1.6	−7.7	26	9.8	15	92	80	87	86	57	1. 24
Jahr	708.8	725.0	I	735.9	II	6.2	10.6	8.2	8.3	−19.3	II	28.9	VII	—	—	—	—	—	

Solothurn

$\lambda = 7° 32'$, $\beta = 47° 13'$, $H = 470^m$, $G = -$ m/m, $h_r = 1.5$ m

Januar	—	—	—	—	—	1.3	3.7	1.5	2.0	−7.6	31	9.2	22	91	77	85	84	40	22
Februar	—	—	—	—	—	−10.1	−5.4	−8.0	−7.9	−20.4	10	4.4	29	81	67	75	74	42	2
März	—	—	—	—	—	1.7	7.8	4.2	4.5	−5.7	14	17.3	30	83	53	68	68	30	27
April	—	—	—	—	—	4.9	11.5	6.6	7.4	−1.4	6	19.8	12	85	51	70	69	27	4
Mai	—	—	—	—	—	11.9	18.1	13.2	14.1	4.5	1	28.4	28	77	58	66	67	32	26
Juni	—	—	—	—	—	13.6	18.3	13.2	14.6	7.0	7	26.6	5	77	50	72	66	32	28
Juli	—	—	—	—	—	15.0	22.1	16.0	17.3	8.5	22	28.8	9. 27	82	54	77	71	30	27
August	—	—	—	—	—	13.5	19.1	14.3	15.3	8.2	31	28.2	10	81	58	80	73	32	30
September	—	—	—	—	—	12.3	20.2	13.9	15.1	9.5	15	24.6	23	86	54	85	75	34	5
Oktober	—	—	—	—	—	6.1	10.4	6.7	7.5	0.5	30	22.7	1	91	70	88	83	43	10
November	—	—	—	—	—	1.5	4.1	1.9	2.3	−2.8	23	10.6	6	84	71	79	78	54	3
Dezember	—	—	—	—	—	−0.6	3.2	0.6	0.9	−7.8	26	10.3	15	90	77	87	85	55	14
Jahr	—	—	—	—	—	5.9	11.1	7.0	7.8	−20.4	II	28.8	VII	84	62	78	75	27	IV

Solothurn: Frau B. Glutz † im November

Weißenstein

Die Abendbeobachtung erfolgt um 20.30

$\lambda = 7° 31'$, $\beta = 47° 15'$, $H_b = 1285^m$, $G = -0.10$ m/m, $h_r = 1.5^m$

Januar	649.7	636.7	9	658.4	4	−2.1	−1.1	−1.8	−1.8	−11.0	31	5.8	17	94	91	94	93	35	4
Februar	647.0	633.8	13	658.9	29	−13.6	−11.2	−12.9	−12.8	−28.0	10	3.0	29	90	90	91	90	21	28
März	650.9	642.8	24	659.1	1	−1.3	1.3	0.1	−0.2	−12.2	12	9.4	30	83	75	78	79	42	29
April	648.6	639.5	5	657.3	9	0.4	3.4	1.5	1.5	−9.0	7	11.8	27	87	81	84	84	47	10
Mai	656.2	649.4	22	662.2	6	7.4	10.8	8.5	8.5	−2.0	1	23.8	28	83	74	80	79	38	28
Juni	655.0	651.4	7	658.3	2	6.9	10.1	7.9	7.8	0.6	8	17.0	30	91	79	88	86	40	4
Juli	654.9	647.3	11	662.2	25	11.3	14.4	11.7	11.9	6.0	11	23.4	9	84	78	83	82	32	26
August	653.0	642.4	25	662.1	8	9.9	12.7	10.6	10.7	4.2	30	24.0	9	83	75	84	81	42	10
September	655.6	648.4	26	659.6	15	10.5	13.0	11.2	11.3	5.8	3	18.0	10	81	74	79	78	50	21
Oktober	657.5	644.4	30	663.1	22	4.0	5.7	4.2	4.5	−4.4	30	16.6	1	86	80	87	84	22	12
November	652.1	640.5	28	662.6	6	−2.3	−1.3	−2.1	−2.1	−9.2	23	7.6	8	91	91	90	91	25	8
Dezember	655.0	644.9	31	661.0	3	−1.8	−0.5	−1.2	−1.3	−12.2	25	7.0	17	87	84	86	86	42	18
Jahr	653.0	633.8	II	663.1	X	2.4	4.8	3.1	3.2	−28.0	II	24.0	VIII	87	81	85	84	21	II

Langenbruck

$\lambda = 7° 46'$, $\beta = 47° 21'$, $H_b = 740.4^m$, $G = -0.01$ m/m, $h_r = 1.5^m$

Januar	695.8	682.5	9	706.0	4	0.0	1.5	0.2	0.5	−9.4	31	6.1	18	87	81	85	84	49	22
Februar	695.3	682.2	13	708.0	5	−12.2	−8.3	−10.3	−10.3	−22.6	10	4.8	29	81	70	77	76	44	28
März	696.9	687.2	24	705.7	1	0.6	5.2	2.0	2.5	−7.8	13	13.8	30	82	64	75	74	37	16
April	694.2	685.2	5	703.8	9	2.9	8.0	4.2	4.8	−5.0	8	16.2	12	83	61	78	74	36	26
Mai	701.2	693.6	22	706.9	6	10.4	14.7	10.6	11.6	2.0	2	25.6	28	79	60	79	73	39	28
Juni	700.3	696.2	4	704.3	15	11.0	15.1	00.8	11.9	5.2	9	21.4	4. 30	83	62	83	76	37	3
Juli	699.5	692.9	2	707.1	25	14.3	18.7	14.4	15.4	10.0	11	25.5	9	85	67	83	78	46	7
August	697.7	686.2	25	707.7	7	12.4	16.2	12.6	13.4	7.2	31	25.2	10	85	71	86	81	47	16
September	700.3	693.0	26	704.5	29 . 30	11.9	17.1	12.6	13.6	8.4	27	20.8	24	89	69	86	81	46	5
Oktober	701.5	691.3	30	709.0	22	5.4	9.1	5.7	6.5	−0.4	27	19.4	1	90	78	88	85	58	10
November	699.0	685.6	28	709.7	6	0.2	1.6	0.3	0.6	−5.4	23	6.8	11	89	83	87	86	60	7
Dezember	701.7	690.8	31	708.0	3	−0.5	1.6	0.0	0.3	−9.5	26	9.1	15	89	82	88	86	50	15
Jahr	698.6	682.2	II	709.7	XI	4.7	8.4	5.2	5.9	−22.6	II	25.6	V	85	71	83	80	36	IV

Beobachter: Gaswerk

Biel

Bewölkung				Termine mit Nebel				Niederschlag			Zahl der Tage								Windverteilung								1956
7³⁰	13³⁰	21³⁰	Mittel	7³⁰	13³⁰	21³⁰	Total	Summe	Maximum	Tag	● *	●* ≧1.0	*	▲	⌐	≡	heiter	trüb	N	NE	E	SE	S	SW	W	NW	Calmen	
8.5	8.5	7.7	8.2	—	—	1	1	143	37	26	19	16	9	—	—	1	1	20	4	14	1	—	—	10	3	2	59	Januar
8.1	5.8	4.8	6.2	—	—	—	—	11	7	15	6	3	5	—	—	—	—	7	3	51	1	—	—	5	—	—	27	Februar
6.9	5.9	4.5	5.8	3	—	—	3	67	26	2	9	7	1	—	—	3	5	9	5	18	—	—	—	17	—	2	51	März
6.2	6.4	5.5	6.0	—	—	—	—	80	21	14	11	9	3	—	—	—	5	11	2	15	2	—	—	13	1	8	49	April
5.4	5.7	4.7	5.3	—	—	—	—	139	35	18	14	12	—	—	2	—	9	7	3	24	3	2	—	19	2	3	37	Mai
6.5	6.9	6.9	6.8	—	—	—	—	58	27	7	11	8	—	—	2	—	2	14	2	10	—	—	1	28	3	6	40	Juni
5.5	5.5	5.7	5.6	1	—	—	1	223	54	13	15	13	—	—	3	1	4	8	—	11	3	1	—	21	4	2	51	Juli
6.0	6.0	6.1	6.0	—	—	—	—	188	38	20	21	20	—	—	1	1	4	11	1	3	2	—	1	28	2	1	55	August
6.3	5.1	3.0	4.8	2	—	—	2	70	22	26	10	9	—	1	1	2	6	4	—	8	1	—	1	13	—	2	65	September
8.8	7.9	7.1	7.9	13	1	2	16	91	18	3	14	13	3	—	—	14	—	20	1	5	1	—	1	8	2	2	73	Oktober
9.3	8.5	9.0	8.9	2	1	2	5	43	19	28	8	6	3	—	—	3	1	24	6	23	2	—	1	12	1	—	45	November
7.6	7.3	7.0	7.3	5	1	1	7	22	4	26	9	7	4	—	—	5	4	17	1	13	1	—	—	10	1	1	66	Dezember
7.1	6.6	6.0	6.6	26	3	6	35	1135	54	VII	147	123	28	1	9	30	41	152	28	195	17	3	5	184	19	29	618	Jahr

Beobachter: B. u. G. Glutz, Familie Glutz

Solothurn

9.1	8.1	8.0	8.4	4	1	1	6	143	41	26	18	15	9	—	—	4	2	21	—	3	11	1	—	2	11	2	63	Januar
8.7	6.2	4.5	6.5	10	—	—	10	14	6	15	6	4	5	—	—	10	1	8	1	26	19	1	—	—	4	—	36	Februar
7.3	6.2	5.6	6.4	5	—	2	7	80	26	3	7	7	1	—	—	5	6	13	—	12	15	1	—	1	16	2	46	März
7.6	6.4	6.2	6.7	4	—	—	4	93	25	16	14	13	2	—	1	4	1	11	1	4	7	1	—	5	13	7	52	April
6.1	6.2	6.0	6.1	4	—	—	4	157	42	30	13	12	—	—	2	4	4	9	1	2	13	2	—	3	5	4	63	Mai
7.5	7.4	7.4	7.4	1	—	—	1	65	26	7	12	10	—	—	—	1	—	14	3	3	6	2	—	2	14	5	55	Juni
6.7	6.2	5.7	6.2	3	—	—	3	160	37	10	14	14	—	—	4	3	3	7	4	—	9	2	1	3	16	2	56	Juli
6.8	6.9	6.4	6.7	5	—	—	5	269	34	21	19	19	—	—	2	5	2	13	1	—	3	1	1	6	21	2	58	August
8.7	4.6	3.1	5.5	9	—	—	9	109	38	26	10	9	—	1	4	9	1	4	1	2	5	7	—	8	3	5	59	September
9.6	7.2	6.7	7.8	12	—	3	15	110	17	3	16	14	4	—	—	13	1	20	—	3	2	1	—	3	6	10	68	Oktober
9.8	8.5	9.3	9.2	4	1	2	7	51	20	28	10	7	4	—	—	4	—	26	—	12	16	2	—	1	10	6	43	November
8.9	7.2	7.4	7.8	9	—	3	12	27	8	14	10	6	4	—	—	10	1	20	—	1	9	2	—	3	12	1	65	Dezember
8.1	6.7	6.3	7.0	70	2	11	83	1278	42	V	149	130	29	1	13	72	22	166	12	68	115	23	2	37	131	46	664	Jahr

Beobachter: Th. Klein

Weißenstein

8.1	8.4	6.2	7.6	13	12	—	25	90	20	26	16	16	15	—	—	14	3	16	6	6	6	6	2	21	28	18	—	Januar
8.4	8.2	6.4	7.7	13	13	10	36	18	7	15	11	5	10	—	—	19	—	11	23	21	9	5	—	9	5	15	—	Februar
7.3	7.0	6.1	6.8	12	6	6	24	74	32	2	9	6	6	—	1	14	3	14	9	13	4	15	8	12	12	20	—	März
6.2	7.0	6.7	6.6	12	9	13	34	112	21	16	18	14	12	—	—	17	2	12	20	7	3	6	3	18	11	21	1	April
6.0	7.5	7.3	6.9	9	8	8	25	148	33	18	15	11	2	—	—	14	2	16	11	10	5	15	6	10	11	24	1	Mai
8.7	8.9	8.4	8.7	13	7	12	32	91	40	7	12	8	1	—	—	17	—	22	17	3	1	2	4	16	11	36	—	Juni
7.2	7.8	6.7	7.2	8	8	5	21	168	34	10	17	16	—	—	1	15	2	14	11	2	1	5	6	22	17	27	2	Juli
6.2	6.9	6.5	6.5	8	4	7	19	245	36	20	21	18	—	—	1	14	2	8	—	2	3	4	7	34	26	17	—	August
6.1	5.4	4.5	5.3	8	3	3	14	65	35	26	6	6	—	1	—	10	3	2	5	5	1	4	4	39	13	19	—	September
6.0	6.0	5.8	5.9	14	13	11	38	82	19	3	14	13	9	—	—	16	10	15	8	8	2	8	2	23	18	24	—	Oktober
7.8	7.8	7.8	7.8	17	17	16	50	47	28	28	9	6	9	—	—	22	3	18	3	15	17	15	1	13	10	16	—	November
7.5	6.8	6.3	6.9	12	17	15	38	23	8	19	9	8	7	—	—	20	2	13	4	10	5	3	4	30	14	23	—	Dezember
7.1	7.3	6.6	7.0	139	111	106	356	1163	40	VI	157	127	71	1	3	192	32	161	117	102	57	88	47	247	176	260	4	Jahr

Beobachter: E. Müller

Langenbruck

8.3	8.0	7.4	7.9	1	1	1	3	86	20	26	17	15	8	—	—	2	2	18	6	13	3	—	1	1	12	6	51	Januar
7.7	5.8	6.6	6.7	—	—	—	—	27	11	15	14	5	13	—	—	—	1	12	16	6	6	1	1	1	4	12	40	Februar
5.9	6.3	5.4	5.9	1	—	—	1	83	28	3	9	6	3	—	1	1	7	10	5	4	6	1	4	3	8	3	59	März
6.5	6.5	5.4	6.1	—	1	—	1	109	17	1	16	14	7	—	—	1	5	12	5	6	2	—	1	2	10	9	55	April
4.5	5.8	5.1	5.1	—	—	—	—	115	27	12	13	12	—	—	2	—	9	9	3	6	13	—	—	—	10	3	58	Mai
6.5	7.5	6.2	6.7	—	—	—	—	110	50	7	15	11	—	—	—	—	1	11	6	8	2	—	—	1	5	9	59	Juni
5.7	5.6	5.7	5.7	1	—	—	1	159	35	10	18	17	—	—	1	1	5	10	5	2	4	—	—	6	7	9	60	Juli
5.8	7.4	6.2	6.5	—	—	—	—	214	39	10	22	19	—	—	2	—	4	11	5	4	2	1	1	3	5	8	64	August
5.7	5.0	3.1	4.6	3	—	—	3	109	39	10	11	10	—	1	1	3	7	6	3	3	5	—	—	—	7	3	68	September
7.0	6.2	5.1	6.1	4	—	1	5	139	23	6	15	12	8	—	—	4	7	15	2	4	4	1	—	—	4	4	74	Oktober
9.2	8.0	8.5	8.6	3	2	—	5	48	19	28	11	8	5	—	—	5	2	24	8	7	3	—	—	—	4	—	68	November
8.4	6.4	6.5	7.1	3	1	2	6	33	12	20	10	8	4	—	—	6	2	16	—	10	3	1	—	1	1	6	72	Dezember
6.7	6.5	5.9	6.4	16	5	4	25	1232	50	VI	171	137	48	1	7	23	52	154	64	73	53	5	8	18	77	72	728	Jahr

Olten II

$\lambda = 7° 55'$, $\beta = 47° 22'$, $H_b = 390.7^m$, $G = 0.04$ m/m, $h_r = 1.5^m$

1956	Luftdruck					Luft-Temperatur								Relative Feuchtigkeit					
	Mittel	Minimum	Tag	Maximum	Tag	7^{30}	13^{30}	21^{30}	Mittel	Minimum	Tag	Maximum	Tag	7^{30}	13^{30}	21^{30}	Mittel	Minimum	Tag
Januar	726.4	713.6	9	736.6	4	1.4	3.4	2.0	2.2	−7.5	31	8.2	27	92	81	91	88	58	22
Februar	727.1	714.9	13	739.2	5	−10.5	−15.7	−8.2	−8.2	−20.6	10	4.8	29	89	68	82	80	50	3
März	727.3	717.1	21	736.8	8	1.1	8.3	3.7	4.2	−7.0	14	18.2	30	91	60	81	77	34	9
April	724.6	715.8	5	734.8	10	3.6	11.1	6.3	6.8	−4.0	8	18.8	12	91	61	82	78	34	8. 12
Mai	731.0	723.8	22	736.3	5	10.4	17.8	12.5	13.3	3.8	4	28.4	28	89	62	73	75	28	9
Juni	729.9	724.3	7	733.7	2	12.2	17.8	13.7	14.4	6.8	16	25.1	6	89	76	80	82	43	16
Juli	729.0	722.2	2	735.2	25	14.8	21.2	16.4	17.2	11.0	22	29.3	8	88	63	85	79	43	8
August	727.3	715.5	25	735.7	8	13.1	18.7	14.7	15.3	7.1	31	25.6	10	91	67	89	82	47	15
September	730.0	721.9	26	733.6	29. 30	2.1	19.2	13.9	14.8	6.8	15	23.0	16	94	64	93	84	45	4
Oktober	732.0	722.3	28	739.7	13	6.5	10.2	7.3	7.8	0.4	9	21.8	1	95	76	92	88	49	10
November	730.1	716.1	28	739.9	6. 7	1.9	4.3	2.5	2.8	−2.6	22. 23	10.4	11	89	76	86	84	55	16
Dezember	733.2	723.8	31	738.7	3. 4	10.0	2.7	1.3	1.3	−8.8	26	9.8	15	93	81	89	88	60	15
Jahr	729.0	713.6	I	739.9	XI	5.6	10.8	7.2	7.7	−20.6	II	29.3	VII	91	70	85	82	28	V

Aarau

$\lambda = 8° 03'$, $\beta = 47° 23'$, $H_b = 407.6^m$, $G = 0.04$ m/m, $h_r = 1.5^m$

Januar	725.5	711.6	9	736.8	4	1.3	3.8	1.7	2.1	−7.2	31	8.2	27	91	75	88	85	50	22
Februar	726.3	712.6	13	739.4	5	−10.4	−5.4	−8.6	−8.2	−21.2	10	5.2	29	82	62	80	75	45	8
März	726.3	715.4	24	736.3	8	2.0	8.5	3.9	4.6	−6.8	13	17.4	30	83	52	78	71	27	8
April	723.2	713.8	27	733.7	8	5.2	11.6	6.5	7.5	−1.6	8	18.8	12	79	48	80	69	21	26
Mai	729.9	721.1	22	736.0	6	11.4	17.9	12.3	13.5	3.8	1	28.6	28	80	53	83	72	25	7. 9
Juni	728.8	722.5	7	733.1	2	12.9	18.5	12.9	14.3	6.8	10	26.2	6	79	52	85	72	32	16
Juli	727.7	720.2	13	735.8	24	15.2	21.5	16.1	17.2	12.0	26	28.6	8	83	58	85	75	39	8
August	725.9	713.6	25	736.7	8. 9	13.4	18.7	13.9	15.0	7.4	31	27.2	10	88	64	90	81	42	15
September	728.7	720.5	25	734.0	11	12.5	19.1	13.4	14.6	7.6	15	22.0	2	92	60	92	81	48	4. 5
Oktober	730.8	720.9	5	738.4	13	6.7	10.5	7.0	7.8	0.4	9	21.4	1	94	74	92	87	50	10
November	728.6	714.6	28	739.6	6	2.0	4.2	2.4	2.8	−2.8	23	10.2	11	86	73	86	82	53	6
Dezember	731.8	720.8	31	738.4	3	−0.1	2.9	0.7	1.0	−9.0	25	9.6	15	91	78	89	86	60	1. 24
Jahr	727.8	711.6	I	739.6	XI	6.0	11.0	6.8	7.7	−21.2	II	28.6	V VII	86	62	86	78	21	IV

Beznau

$\lambda = 8° 14'$, $\beta = 47° 33'$, $H =$ ca 330^m, $G = —$ m/m, $h_r = 1.5^m$

Januar	—	—	—	—	—	1.7	4.1	2.1	2.5	−8.0	31	8.8	11	89	75	89	84	54	22
Februar	—	—	—	—	—	−10.3	−5.4	−7.4	−7.6	−21.0	10	5.0	29	85	65	86	79	50	6
März	—	—	—	—	—	1.8	8.1	4.1	4.5	−7.0	13	16.0	31	87	58	89	78	32	8
April	—	—	—	—	—	4.6	11.1	7.0	7.4	−2.2	8	17.0	12	87	55	89	77	35	26
Mai	—	—	—	—	—	10.8	17.6	12.2	13.2	4.4	1	27.0	28	86	53	89	76	30	7
Juni	—	—	—	—	—	13.3	18.5	13.0	14.4	6.8	16	23.8	7	84	56	89	76	37	26
Juli	—	—	—	—	—	16.0	21.5	16.0	17.4	11.6	19	29.4	7. 26	85	58	91	78	38	7
August	—	—	—	—	—	13.9	19.2	14.2	15.4	7.8	31	26.6	10	87	63	94	81	44	5
September	—	—	—	—	—	12.7	18.7	13.7	14.7	7.4	15	23.0	29	91	67	95	84	43	4
Oktober	—	—	—	—	—	7.0	10.9	7.2	8.1	0.8	10	21.5	2	93	75	92	87	47	10
November	—	—	—	—	—	2.2	4.6	2.8	3.1	−5.4	23	9.9	6	89	73	85	82	44	16
Dezember	—	—	—	—	—	0.3	3.0	0.6	1.1	−9.4	25	11.6	15	91	79	91	87	50	1. 14
Jahr	—	—	—	—	—	6.2	11.0	7.1	7.8	−21.0	II	29.4	VIII	88	65	90	81	30	V

Beznau: Stationsverlegung u. Beobachterwechsel am 1. Oktober. Neues H = 326 m

Hallau

$\lambda = 8° 28'$, $\beta = 47° 42'$, $H_b = 449.5^m$, $G = 0.06$ m/m, $h_r = 1.5^m$

Januar	721.5	708.0	9	733.1	4	1.1	3.6	1.4	1.9	−6.9	31	7.9	19	88	76	86	83	53	25
Februar	722.4	709.3	13	735.3	4. 5	−11.0	−6.0	−8.4	−8.4	−20.5	10	3.3	29	77	63	73	71	30	4
März	722.6	711.7	24	732.9	8	1.5	8.1	4.6	4.7	−6.8	12	17.0	29	81	53	70	68	25	9
April	719.4	710.2	5	729.8	8	4.3	10.9	7.0	7.3	−3.4	8	18.8	27	82	48	69	66	23	10
Mai	726.1	718.0	22	732.4	6	10.8	17.8	13.5	13.9	3.1	1	28.2	28	82	49	69	67	23	5
Juni	724.7	719.2	7	729.2	2	11.9	17.3	13.7	14.1	6.9	16	24.7	5	86	54	76	72	29	16
Juli	723.8	716.5	2	731.5	25	15.2	21.6	17.3	17.8	11.8	22	29.6	8	84	55	79	73	35	26
August	722.0	709.2	25	732.9	8	13.0	18.9	15.1	15.5	8.5	31	26.7	10	89	58	86	78	30	1
September	724.9	717.0	26	729.5	15	12.3	18.9	14.6	15.1	7.8	15	23.0	2	93	62	88	81	36	5
Oktober	726.8	716.9	29	734.5	11	6.7	10.4	7.5	8.0	0.8	9	20.3	2	95	77	92	88	48	9
November	724.8	708.8	28	735.6	6	1.9	4.1	2.4	2.7	−5.1	22	9.8	11	90	75	87	84	55	3
Dezember	727.8	717.5	31	733.6	2	−0.3	2.6	0.9	1.0	−9.0	26	9.3	15	92	82	90	88	62	14
Jahr	723.9	708.0	I	735.6	XI	5.6	10.7	7.5	7.8	−20.5	II	29.6	VII	87	63	80	77	23	IV V

Hallau: Beobachterwechsel am 1. April

Beobachter: Gaswerk

Olten II

Bewölkung				Termine mit Nebel				Niederschlag			Zahl der Tage								Windverteilung								1956
7³⁰	13³⁰	21³⁰	Mittel	7³⁰	13³⁰	21³⁰	Total	Summe	Maximum	Tag	● *	●* ≥1.0	*	▲	⌇	≡	heiter	trüb	N	NE	E	SE	S	SW	W	NW	Calmen	
9.2	8.1	7.1	8.1	2	2	3	9	87	24	26	16	15	8	—	—	6	—	19	—	3	—	5	—	17	2	5	61	Januar
7.8	4.9	2.9	5.2	2	—	1	3	19	12	15	6	4	5	—	—	3	3	6	—	1	—	6	1	6	1	7	65	Februar
6.5	5.7	3.7	5.3	2	—	—	2	89	36	2	9	7	1	—	1	2	8	8	—	—	—	10	1	18	—	1	63	März
6.5	5.8	5.3	5.9	4	—	—	2	88	23	1	16	13	5	—	—	2	6	9	—	2	—	4	—	14	3	8	59	April
5.3	6.1	4.4	5.3	7	1	—	2	113	29	22	13	11	—	—	5	2	9	7	—	2	—	10	—	9	3	11	58	Mai
7.0	7.1	6.7	6.9	3	—	—	4	69	23	7	11	8	—	—	2	3	2	13	—	—	—	1	—	24	—	19	46	Juni
6.5	5.9	5.7	6.0	3	1	—	3	149	37	10	17	16	—	—	4	3	5	8	—	—	—	4	—	14	—	9	66	Juli
8.0	7.2	6.2	7.1	2	—	1	9	200	35	10	21	20	—	—	2	8	2	15	—	—	—	—	—	14	1	9	69	August
9.2	4.7	2.8	5.6	17	—	—	17	95	30	10	11	9	—	1	3	17	1	4	—	—	—	4	—	6	1	2	77	September
9.9	8.0	7.7	8.5	15	3	6	24	121	21	6	14	12	3	—	—	17	—	24	—	—	—	—	—	16	—	7	70	Oktober
9.9	8.4	9.5	9.3	5	1	3	9	38	16	28	13	7	4	—	—	6	—	25	—	—	—	3	—	11	—	1	75	November
8.6	7.0	6.8	7.5	11	1	4	16	28	11	20	10	6	4	—	—	12	1	16	—	—	—	1	—	9	1	2	80	Dezember
7.9	6.6	5.7	6.7	73	9	18	100	1096	37	VII	157	128	30	1	17	81	36	154	—	8	—	48	2	158	12	81	789	Jahr

Beobachter: W. Amsler

Aarau

9.8	8.1	8.4	8.8	1	—	—	1	78	20	26	15	14	8	—	—	1	—	22	11	19	2	12	6	16	11	14	2	Januar
9.9	6.7	6.4	7.7	—	—	—	—	21	8	15	9	7	9	—	—	—	—	13	12	18	24	11	—	1	8	5	8	Februar
5.9	5.7	4.0	5.2	1	—	—	1	117	52	3	8	6	1	—	1	1	7	7	7	11	7	—	—	12	18	20	18	März
6.4	6.2	5.1	5.9	1	—	1	2	78	14	5	15	14	4	—	1	2	4	11	6	9	1	1	—	7	42	18	6	April
5.9	6.2	5.0	5.7	—	—	—	—	110	22	22	12	12	—	—	2	—	8	10	14	4	3	—	2	7	25	26	12	Mai
7.1	7.2	5.8	6.7	1	—	—	1	57	16	17	12	10	—	—	2	1	—	8	13	3	1	—	—	1	33	36	3	Juni
6.7	5.8	5.2	5.9	—	—	—	—	155	29	10	15	15	—	—	3	—	3	0	10	8	—	—	1	2	25	42	5	Juli
8.3	7.4	6.4	7.4	6	—	—	6	197	35	10	21	19	—	1	2	6	1	17	13	1	1	—	—	3	24	43	8	August
9.2	4.4	3.8	5.8	6	—	—	6	67	17	10	11	8	—	—	1	6	1	8	7	6	—	—	1	1	16	38	21	September
9.5	7.6	6.8	8.0	4	1	—	5	113	22	3	15	14	2	—	—	5	1	20	5	7	—	2	—	2	22	32	23	Oktober
9.9	8.8	8.7	9.1	3	—	1	4	31	11	28	11	7	3	—	—	4	—	24	16	20	1	—	—	1	16	18	18	November
9.0	6.8	7.3	7.7	4	—	3	7	27	10	20	9	7	4	—	—	4	—	17	9	10	—	—	—	1	16	34	23	Dezember
8.1	6.7	6.1	7.0	27	1	5	33	1051	52	III	153	133	31	1	12	30	25	167	123	116	40	26	10	54	256	326	147	Jahr

Beobachter: K. Sutter, Nordostschweizerische Kraftwerke AG

Beznau

8.7	7.6	8.4	8.2	2	—	1	4	92	30	26	14	12	5	—	—	3	—	20	15	4	1	9	26	—	5	2	31	Januar
9.4	7.6	5.5	7.5	3	1	—	3	21	13	15	6	2	5	—	—	3	—	13	17	14	7	9	6	1	1	4	28	Februar
7.0	5.6	5.6	6.1	2	—	—	3	77	31	3	10	8	4	—	—	2	4	11	17	6	3	12	14	2	3	2	34	März
6.8	5.9	6.6	6.4	4	1	—	4	94	24	14	17	15	4	—	—	5	5	13	10	1	1	7	12	5	7	7	40	April
5.4	5.0	5.8	5.4	4	—	—	4	89	15	22	10	9	—	—	4	4	9	11	8	8	3	20	5	12	—	4	33	Mai
7.8	7.1	7.3	7.4	1	—	—	1	54	18	7	10	7	—	—	3	2	—	11	13	1	1	15	8	5	4	7	36	Juni
6.6	5.4	6.2	6.1	4	—	—	4	109	25	10	14	13	—	—	5	4	4	9	8	2	2	12	12	3	4	7	43	Juli
7.1	6.8	6.7	6.9	6	—	—	6	202	51	10	23	20	—	—	3	6	3	13	6	—	—	5	19	3	2	6	52	August
8.9	4.5	1.6	5.0	15	—	—	15	57	21	10	10	9	—	—	2	15	1	4	5	1	3	3	12	—	1	4	61	September
9.4	7.5	7.9	8.3	10	—	5	15	98	24	6	13	13	3	—	—	13	—	18	2	1	9	1	15	9	11	—	45	Oktober
9.5	8.4	9.2	9.0	4	—	1	5	37	18	28	7	6	1	—	—	5	—	24	1	13	11	4	7	12	5	—	37	November
8.6	7.1	7.1	7.6	5	3	4	12	22	9	13	8	5	3	—	—	6	3	20	4	1	7	—	23	6	5	—	47	Dezember
7.9	6.5	6.5	7.0	39	14	6	59	952	51	VIII	142	119	25	—	17	68	29	167	106	52	48	97	159	58	48	43	487	Jahr

Beobachter: H. Rahm, Frau F. Rahm

Hallau

8.4	7.2	7.2	7.6	1	—	1	2	90	25	26	16	10	7	—	—	2	1	18	5	11	5	7	—	8	21	4	32	Januar
8.5	6.3	4.8	6.5	—	—	—	—	16	9	15	6	5	5	—	—	—	1	9	5	18	12	7	2	6	13	6	18	Februar
6.3	5.4	4.1	5.3	2	—	—	2	25	9	2	11	7	4	—		2	6	6	4	6	4	8	2	3	18	4	44	März
6.0	6.2	5.5	5.9	5	—	—	5	99	23	14	15	15	5	—	3	5	8	13	8	1	2	8	2	8	16	7	38	April
4.9	5.2	4.0	4.7	—	—	—	—	90	22	29	11	9	—	—	1	—	11	8	4	4	3	12	3	7	7	6	47	Mai
7.4	6.5	5.7	6.5	2	—	—	3	61	13	7	13	11		—	4	2	2	7	2	—	—	1	2	13	21	4	47	Juni
4.5	5.0	5.4	5.1	1	—	—	1	115	34	10	13	11	—	—	2	1	5	6	3	—	—	4	2	15	14	1	54	Juli
5.6	5.5	6.4	5.8	3	—	—	2	163	42	10	23	20	—	—	4	3	5	9	2	—	—	3	1	17	17	4	49	August
5.7	3.8	2.1	3.9	1	—	—	1	53	16	3	11	10	—	—	2	1	8	3	6	—	1	4	2	9	8	3	57	September
9.1	7.5	5.9	7.5	14	2	4	20	83	12	3	14	13	5	—	—	15	—	16	4	1	—	4	1	1	16	2	64	Oktober
9.4	8.3	7.0	8.2	5	—	2	7	50	28	28	10	7	3	—	—	6	1	20	6	7	7	3	—	4	13	1	49	November
7.9	7.1	6.6	7.2	6	1	3	10	23	8	13	8	5	4	—	—	8	2	17	4	1	2	—	—	5	3	2	76	Dezember
7.0	6.2	5.4	6.2	40	3	10	53	868	42	VIII	151	123	33	—	16	45	50	132	53	49	36	61	17	96	167	44	575	Jahr

Lohn

$\lambda = 8° 40'$, $\beta = 47° 45'$, $H_b = 643^m$, $G = 0.03$ ‰, $h_r = 1.5^m$

1956	Luftdruck					Luft-Temperatur								Relative Feuchtigkeit					
	Mittel	Minimum	Tag	Maximum	Tag	7^{30}	13^{30}	21^{30}	Mittel	Minimum	Tag	Maximum	Tag	7^{30}	13^{30}	21^{30}	Mittel	Minimum	Tag
Januar	704.3	691.3	9	715.5	4	−0.2	1.9	0.3	0.6	−12.2	31	6.4	12	90	78	86	85	44	5. 19
Februar	704.5	691.9	13	717.7	4	−11.6	−7.7	−9.8	−9.7	−24.6	10	3.6	29	83	66	78	76	44	27
März	705.6	694.8	24	715.4	8	1.3	6.2	3.4	3.6	−7.4	12	15.8	30	79	59	72	70	32	9
April	702.6	693.4	5	712.0	8	4.7	9.4	5.7	6.4	−2.7	7	16.2	12	78	55	73	69	36	10
Mai	709.5	702.0	22	715.5	6	11.6	15.8	12.1	12.9	2.1	1	24.4	29	73	58	70	67	36	7. 9
Juni	708.2	702.9	7	712.3	2	11.9	15.6	12.3	13.0	6.6	8	23.4	6	82	62	77	74	39	16. 28
Juli	707.4	700.3	2	715.1	25	15.7	19.8	15.7	16.7	11.0	20	26.7	8	79	61	76	72	44	25. 31
August	705.5	693.3	25	716.0	8	13.3	17.5	13.9	14.7	9.6	30	23.9	10	82	65	79	75	43	12
September	708.3	700.0	26	712.8	15	12.3	17.1	14.0	14.4	7.8	19	21.5	2	88	68	80	79	49	6
Oktober	709.6	699.6	29	717.3	22	5.8	9.0	6.8	7.1	0.2	28	19.8	2	92	80	87	86	57	10
November	707.4	691.4	28	717.8	6	0.5	2.4	1.0	1.2	−6.5	22	9.0	11	89	80	87	85	52	16
Dezember	710.3	700.1	31	715.8	3	−0.6	1.5	0.2	0.3	−10.5	26	8.0	16	88	82	87	86	58	16
Jahr	706.9	691.3	I	717.8	XI	5.4	9.0	6.3	6.8	−24.6	II	26.7	VII	84	68	79	77	32	III

Oberes Aare- und Saanegebiet

Bern

$\lambda = 7° 26$, $\beta = 46° 57'$, $H_b = 572.2^m$, $G = -0.04$ ‰, $h_r = 1.5^m$

Januar	710.6	697.8	9	720.4	4	−0.2	2.8	0.9	1.2	−8.0	31	7.4	27	93	82	89	88	55	22
Februar	710.2	697.3	13	723.1	5	−11.2	−6.3	−8.6	−8.7	−21.5	10	4.0	29	86	67	77	77	50	14. 28
März	711.4	701.5	21	720.9	1	−1.0	7.5	3.8	4.0	−7.9	13	17.2	30	86	58	75	73	37	27. 30
April	708.6	699.8	27	718.1	9	3.6	10.1	6.2	6.5	−3.4	7	17.5	12	86	57	78	74	30	26
Mai	715.2	706.8	22	721.5	6	10.6	16.6	12.8	13.2	4.3	2	25.5	28	81	55	74	70	32	6
Juni	714.1	708.3	7	717.9	15	11.7	16.7	13.1	13.6	6.9	9	22.7	30	83	56	78	72	37	30
Juli	713.3	706.9	2	720.4	25	14.5	20.0	16.1	16.7	10.7	2	26.3	9	85	61	79	75	44	9
August	711.5	700.5	25	721.4	7	12.9	17.9	14.4	14.9	8.1	31	26.7	10	89	66	85	80	39	16
September	714.0	706.9	26	718.2	15. 30	11.8	18.5	14.4	14.8	9.5	29	22.8	16	93	64	89	82	40	7
Oktober	715.9	705.7	30	723.4	12	4.9	9.9	6.7	7.1	−0.3	10	20.8	1	97	76	93	89	45	4
November	713.5	701.1	28	724.0	6	0.6	3.2	1.3	1.6	−3.6	23	8.9	11	91	79	88	86	57	8
Dezember	716.5	705.5	31	722.9	3	−1.5	2.4	−0.3	0.1	−10.2	25	9.3	13	93	82	89	88	64	12
Jahr	712.9	697.3	II	724.0	XI	4.9	9.9	6.7	7.1	−21.5	II	26.7	II	89	67	83	80	30	VIII

Fribourg

$\lambda = 7° 09'$, $\beta = 46° 48'$, $H_b =$ ca 677^m, $G = -$ ‰, $h_r = 1.5^m$

Januar	—	—	—	—	—	0.6	3.3	1.5	1.7	−6.6	31	8.1	12	86	76	84	82	44	23
Februar	—	—	—	—	—	−11.5	−6.1	−8.9	−8.8	−22.0	10	6.2	29	82	60	74	72	42	8
März	—	—	—	—	—	1.1	7.0	3.3	3.7	−8.4	13	15.4	30	80	56	71	69	39	30
April	—	—	—	—	—	3.6	9.5	5.5	6.0	−4.0	8	16.4	11	83	55	74	71	28	10
Mai	—	—	—	—	—	10.6	16.8	11.9	12.8	4.6	1	25.0	28	79	51	74	68	30	6
Juni	—	—	—	—	—	11.7	16.9	12.4	13.3	5.4	7	22.7	4	80	53	76	70	41	26
Juli	—	—	—	—	—	14.5	19.8	15.4	16.3	10.5	2	26.4	9	82	59	79	73	43	5
August	—	—	—	—	—	13.0	17.8	13.8	14.6	8.4	29	27.0	10	83	63	81	76	26	15
September	—	—	—	—	—	12.2	18.4	13.8	14.6	9.4	4	21.8	16	86	62	84	77	40	4
Oktober	—	—	—	—	—	4.8	9.9	6.2	6.8	−1.2	10	19.8	1	91	73	90	85	42	4
November	—	—	—	—	—	0.2	3.2	0.9	1.3	−3.4	24	9.2	11	88	75	86	83	51	7
Dezember	—	—	—	—	—	−0.7	3.1	0.6	0.9	−10.2	25	10.3	16	85	70	82	79	43	12
Jahr	—	—	—	—	—	5.0	10.0	6.4	6.9	−22.0	II	27.0	VIII	84	63	80	76	26	VIII

Langnau i. E.

$\lambda = 7° 47'$, $\beta = 46° 56'$, $H = 692^m$, $G = -$ ‰, $h_r = 1.5^m$

Januar	—	—	—	—	—	0.1	3.0	0.4	1.0	−5.4	31	7.1	16	89	73	90	84	38	23
Februar	—	—	—	—	—	−11.6	−5.2	−9.2	−8.8	−21.6	10	6.3	29	76	49	71	65	31	9
März	—	—	—	—	—	0.7	7.4	2.6	3.3	−9.4	13	16.0	30	81	51	75	69	30	16
April	—	—	—	—	—	3.1	9.6	4.6	5.5	−6.0	8	16.4	15. 27	85	54	86	75	28	4. 26
Mai	—	—	—	—	—	10.2	16.8	10.4	12.0	2.0	1. 2	28.6	28	76	47	81	68	26	6. 28
Juni	—	—	—	—	—	11.8	16.6	11.0	12.6	5.4	9	22.8	7	76	50	88	71	34	5
Juli	—	—	—	—	—	14.6	20.3	14.4	15.9	10.5	2	27.9	8	79	55	85	73	35	9
August	—	—	—	—	—	12.7	18.2	13.2	14.3	7.7	31	27.2	10	86	57	88	77	35	16
September	—	—	—	—	—	11.6	19.0	12.5	13.9	7.4	27	24.3	10	89	54	91	78	40	4
Oktober	—	—	—	—	—	4.3	10.6	5.4	6.4	−1.6	10	21.0	1	96	64	94	85	38	13
November	—	—	—	—	—	0.4	3.6	0.8	1.4	−3.8	30	9.4	9. 11	84	65	84	78	43	8. 9
Dezember	—	—	—	—	—	−1.7	2.9	−1.0	−0.2	−12.0	25	9.0	13	92	74	91	86	51	15
Jahr	—	—	—	—	—	4.7	10.2	5.4	6.4	−21.6	II	28.6	V	84	58	85	76	26	V

Beobachter: W. Sonderegger

Lohn

Bewölkung				Termine mit Nebel				Niederschlag			Zahl der Tage								Windverteilung								1956
7^{30}	13^{30}	21^{30}	Mittel	7^{30}	13^{30}	21^{30}	Total	Summe	Maximum	Tag	● *	●* ≧1.0	*	▲	⇱	≡	heiter	trüb	N	NE	E	SE	S	SW	W	NW	Calmen	
8.2	7.5	7.4	7.7	5	3	2	10	73	18	26	17	12	7	—	—	7	1	19	—	21	4	1	1	11	29	8	18	Januar
8.3	6.4	4.4	6.4	2	—	—	2	17	4	15	9	7	8	—	—	2	1	8	11	27	17	—	—	6	8	1	17	Februar
6.8	6.8	3.8	5.8	—	—	—	—	28	12	2	9	4	4	—	—	—	6	8	5	29	9	3	1	6	18	6	16	März
6.4	6.6	5.7	6.2	2	—	—	2	92	16	16	16	14	7	—	—	2	5	13	8	14	10	3	2	12	18	11	12	April
5.4	6.1	4.4	5.3	2	—	—	2	78	16	10	12	11	—	—	1	2	8	8	1	23	13	7	5	8	12	15	9	Mai
7.4	7.8	7.0	7.4	—	—	—	—	58	12	7	11	10	—	—	2	—	—	13	6	6	4	6	2	14	15	13	24	Juni
5.5	6.0	5.4	5.6	—	—	—	—	138	42	10	17	14	—	1	2	—	3	8	3	10	4	3	6	12	19	17	19	Juli
6.3	6.6	6.5	6.5	3	1	—	4	192	36	10	21	19	—	—	2	4	2	12	2	12	2	4	1	27	20	7	18	August
6.6	4.6	2.0	4.4	3	—	—	3	44	13	27	6	5	—	—	1	3	5	5	3	19	9	4	2	8	20	3	22	September
8.5	7.5	6.7	7.6	11	4	4	19	75	15	3	13	12	4	—	—	13	2	18	1	10	4	—	2	17	14	7	38	Oktober
8.9	8.4	8.9	8.7	4	2	2	8	52	27	28	11	8	4	—	—	5	1	22	4	24	9	—	3	8	14	3	25	November
7.3	7.2	6.4	7.0	6	5	3	14	20	6	13	9	5	5	—	—	8	6	18	—	7	3	1	1	13	17	2	49	Dezember
7.1	6.8	5.7	6.5	38	15	11	64	867	42	VII	151	121	39	1	8	46	40	152	44	202	88	32	26	142	204	93	267	Jahr

Oberes Aare- und Saanegebiet

Beobachter: Meteorolog. Observatorium

Bern

8.9	8.7	7.8	8.5	3	—	2	5	96	24	26	16	13	8	—	—	9	—	21	5	7	4	2	1	9	5	1	59	Januar
7.6	6.6	5.2	6.5	1	—	—	1	5	1	8	6	2	5	—	—	2	2	8	9	27	2	1	—	1	4	—	43	Februar
6.8	6.1	5.7	6.2	2	—	—	2	32	11	22	10	8	3	—	—	5	5	13	9	16	1	—	—	8	9	—	50	März
6.2	7.0	6.1	6.4	—	—	—	—	99	17	1	16	14	5	—	1	1	4	11	7	11	4	11	1	5	10	6	35	April
4.8	5.8	5.4	5.3	—	—	—	—	115	24	19	11	11	—	—	6	—	6	6	11	11	6	6	1	12	9	2	35	Mai
6.6	7.1	7.3	7.0	—	—	—	—	76	28	7	15	12	—	—	1	1	—	11	4	8	4	10	—	8	17	2	37	Juni
6.0	6.2	5.8	6.0	1	—	—	1	178	45	10	16	14	—	—	4	1	3	8	2	9	3	6	2	12	12	4	43	Juli
7.5	7.2	6.7	7.1	1	—	—	1	207	30	27	22	20	—	—	6	7	—	12	7	3	—	6	—	17	13	1	46	August
6.4	5.1	4.1	5.2	3	—	—	3	68	15	11	10	9	—	—	3	6	3	7	11	7	4	6	2	9	8	—	43	September
8.5	6.9	6.5	7.3	9	—	3	12	119	26	25	16	14	6	—	—	15	4	18	8	9	5	11	5	15	8	6	26	Oktober
8.5	8.3	8.0	8.3	1	—	1	2	33	19	28	10	7	5	—	—	3	1	22	10	23	2	4	1	8	4	—	38	November
7.1	6.4	6.0	6.5	5	—	1	6	18	5	21	8	6	4	—	—	10	4	12	4	3	2	25	—	3	1	—	55	Dezember
7.1	6.8	6.2	6.7	26	—	7	33	1046	45	VII	156	130	36	—	21	60	32	149	87	134	37	88	13	107	100	22	510	Jahr

Beobachter: Frau P. Gockel

Fribourg

8.7	8.6	8.3	8.5	3	1	3	7	79	13	26	14	13	6	—	—	7	1	23	3	9	—	—	—	24	14	1	42	Januar
7.9	7.8	7.7	7.8	6	2	—	8	6	2	8	6	3	5	—	—	7	1	17	3	34	—	—	—	11	3	5	31	Februar
5.5	5.4	6.2	5.7	2	—	2	4	18	9	22	8	7	1	—	—	4	7	11	5	12	1	—	—	23	11	10	31	März
5.6	6.5	6.7	6.3	2	1	—	3	91	20	16	14	13	5	—	—	2	4	11	3	9	—	—	—	19	13	11	35	April
4.1	5.0	6.1	5.1	—	—	—	—	120	36	18	13	11	—	—	5	—	6	6	6	14	—	—	—	23	8	8	34	Mai
6.1	6.6	6.3	6.3	—	—	—	—	82	31	7	12	11	—	1	2	—	1	8	2	6	1	—	—	23	10	12	36	Juni
5.3	5.5	5.4	5.4	—	—	—	—	154	41	10	16	14	—	—	8	—	6	7	6	7	—	—	—	35	7	5	33	Juli
7.1	7.2	6.5	6.9	3	—	—	3	209	40	18	23	20	—	—	6	5	1	12	2	2	—	—	—	36	12	2	39	August
5.1	4.7	5.0	4.9	1	—	1	2	76	23	2	11	9	—	—	3	2	9	9	3	8	—	—	—	27	13	5	34	September
7.2	5.9	7.3	6.8	7	—	3	10	102	22	3	14	14	6	1	—	8	5	14	1	9	—	—	—	26	7	5	45	Oktober
8.7	7.7	8.6	8.3	2	—	2	4	24	8	28	7	6	4	—	—	4	3	21	1	21	—	—	—	16	6	1	45	November
6.9	5.8	7.1	6.6	4	—	2	6	18	4	26	11	6	5	—	—	5	2	14	2	6	—	—	—	8	13	2	62	Dezember
6.5	6.4	6.8	6.6	30	4	13	47	979	41	VII	149	127	32	2	24	44	46	153	37	137	2	—	—	271	117	67	494	Jahr

Beobachter: Frl. R. Zbinden

Langnau i. E.

8.8	8.4	8.3	8.5	2	—	—	2	108	24	26	15	12	8	—	—	3	1	23	—	2	41	3	—	8	12	4	23	Januar
9.3	8.8	8.6	8.9	1	—	—	1	14	5	8	5	5	4	—	—	1	1	23	—	2	43	—	1	1	18	—	22	Februar
7.4	6.8	5.7	6.6	—	—	—	—	31	8	22	11	7	5	—	—	—	4	14	—	—	38	—	—	3	25	—	27	März
6.0	8.0	5.9	6.6	—	—	—	—	118	26	1	18	15	6	—	1	—	6	14	—	—	31	2	3	2	22	1	29	April
5.5	6.9	4.4	5.6	—	—	—	—	149	27	18	12	11	1	—	6	1	9	9	4	1	32	2	1	2	20	1	30	Mai
7.2	8.6	7.1	7.6	—	—		—	119	27	13	15	14	—	1	2	—	1	15	1	2	19	2	1	8	19	3	35	Juni
6.4	6.5	6.1	6.3	—	—	—	—	251	39	10	16	15	—	—	9	—	3	12	1	2	22	2	—	3	32	4	27	Juli
8.0	7.8	7.1	7.6	—	—	—	—	246	53	10	22	20	—	—	5	—	2	15	1	—	13	1	—	3	15	19	41	August
5.6	5.2	3.7	4.8	—	—	—	—	90	31	10	9	7	—	—	2	—	7	8	1	—	44	3	2	6	16	2	16	September
6.4	5.8	6.2	6.1	1	1	—	2	126	24	25	14	14	8	—	—	5	9	16	—	—	32	1	1	9	12	2	36	Oktober
8.6	8.0	7.4	8.0	1	—	—	1	49	19	28	11	8	6	—	—	2	3	23	1	2	25	3	1	9	12	1	36	November
6.4	5.8	4.8	5.7	—	—	—	—	26	11	20	8	6	6	—	—	—	5	10	—	—	36	2	2	3	8	—	42	Dezember
7.1	7.2	6.3	6.9	5	1	—	6	1327	53	VIII	156	134	44	1	25	12	51	182	9	11	367	21	12	57	211	37	364	Jahr

Beatenberg

$\lambda = 7°47'$, $\beta = 46°42'$, $H_b = 1196^m$, $G = -0.16$ ‰/m, $h_r = 1.5^m$

1956	Luftdruck					Luft-Temperatur								Relative Feuchtigkeit					
	Mittel	Minimum	Tag	Maximum	Tag	7^{30}	13^{30}	21^{30}	Mittel	Minimum	Tag	Maximum	Tag	7^{30}	13^{30}	21^{30}	Mittel	Minimum	Tag
Januar	657.3	643.9	9	665.5	4	-1.1	1.8	0.3	0.0	-6.8	8	7.9	17	79	72	78	76	34	20
Februar	654.8	641.4	13	667.2	29	-12.3	-8.1	-10.8	-10.5	-23.8	10	3.5	29	79	74	80	78	40	22
März	658.6	649.9	21	667.9	1	0.6	5.3	1.8	2.4	-10.7	12	14.2	30	70	58	67	65	34	6
April	656.1	648.4	22	667.1	9	2.0	6.0	2.2	3.1	-8.8	7	14.0	12	77	65	78	73	37	10
Mai	663.6	656.7	22	669.8	7	9.2	13.0	8.4	9.8	0.0	1	26.6	28	71	63	74	69	33	28
Juni	662.6	657.2	7	665.5	2, 13, 15	9.3	12.7	8.8	9.9	3.0	8. 9	19.9	5	81	69	81	77	50	5
Juli	662.5	655.7	2	669.5	25	13.5	16.7	12.8	14.0	7.9	11	24.0	8	77	71	79	76	44	5
August	660.7	650.7	25	670.1	7	12.2	15.2	11.6	12.7	5.7	29	24.8	10	78	71	79	76	45	27
September	663.2	655.8	26	667.5	30	12.2	16.4	12.3	13.3	6.4	27	22.0	24	75	68	78	74	45	9
Oktober	663.5	652.4	30	671.0	22	4.9	9.2	4.8	5.9	-3.4	31	21.0	1	75	70	78	74	46	12
November	659.9	649.4	29	670.6	6	-1.2	1.2	-0.9	-0.4	-6.6	22	10.3	8	80	78	82	80	28	8
Dezember	662.9	652.2	31	669.5	3	-1.2	2.7	-0.6	0.1	-11.3	25	11.4	16	68	63	70	67	28	18
Jahr	660.5	641.4	II	671.0	X	4.0	7.7	4.2	5.0	-23.8	II	26.6	V	76	68	77	74	28	XI XII

Interlaken (Unterseen)

$\lambda = 7°51'$, $\beta = 46°41'$, $H_b = 568^m$, $G = -0.10$ ‰/m, $h_r = 1.5^m$

Januar	711.4	697.1	9	721.2	4	0.3	3.7	0.8	1.4	-3.0	8	7.4	27	86	70	84	80	45	21
Februar	710.7	697.1	13	723.6	5	-9.8	-5.1	-7.8	-7.6	-19.0	11	5.4	29	77	61	75	71	40	8. 15
März	712.1	700.9	19	721.5	1	1.9	8.1	3.9	4.4	-7.8	13	16.2	30	77	54	69	67	30	19. 21
April	709.4	700.4	27	719.6	8	3.9	9.9	5.5	6.2	-4.4	8	17.0	12	87	60	79	75	30	10
Mai	716.4	708.8	21	724.2	7	10.4	17.4	11.9	12.9	4.8	1. 2	29.2	28	81	58	74	71	34	7
Juni	715.1	709.1	7	718.8	15	11.8	17.2	12.2	13.3	7.2	9	24.2	7	82	60	83	75	42	11
Juli	714.1	707.7	2	721.1	5	15.4	20.6	15.8	16.9	10.8	19	27.0	8	80	60	82	74	46	17
August	712.2	702.1	25	722.0	7	13.8	18.6	14.3	15.3	8.2	30	26.8	10	85	65	86	79	45	30
September	715.0	707.0	26	720.4	29	12.4	18.4	14.0	14.7	9.0	27	21.8	16	88	61	85	78	44	5
Oktober	716.8	706.7	5	724.5	22	5.1	10.6	6.4	7.1	-0.8	31	19.8	1	91	68	90	83	45	13
November	714.4	702.3	28	725.2	6	0.9	4.3	1.8	2.2	-2.2	8. 23	9.2	6	89	71	84	81	48	10
Dezember	717.8	706.9	31	723.9	3	-1.1	2.8	-0.5	0.2	-9.8	25	7.8	14	93	74	90	86	46	24
Jahr	713.8	697.1	I II	625.2	XI	5.4	10.5	6.5	7.2	-19.0	II	29.2	V	85	63	82	77	30	III IV

Interlaken: P. Furrer † im November

Meiringen

$\lambda = 8°11'$, $\beta = 46°44'$, $H_b = 604.7^m$, $G = -0.11$ ‰/m, $h_r = 1.5^m$

Januar	707.9	694.0	9	717.9	4	-1.2	2.9	-0.1	0.4	-6.2	5	10.8	12	92	76	91	86	35	12
Februar	707.5	693.6	13	721.6	4	-10.8	-4.6	-8.7	-8.2	-21.7	11	3.8	29	87	61	84	77	46	8
März	708.7	698.8	24	718.2	6	1.8	8.6	4.7	5.0	-9.0	13	17.6	30	81	54	71	69	30	24
April	705.8	696.7	27	716.1	7	2.6	11.7	5.4	6.3	-6.7	8	19.5	12	94	57	84	78	30	26
Mai	712.9	703.8	22	719.3	5. 7	8.4	19.0	11.7	12.7	2.4	1	29.7	28	91	53	81	75	30	28
Juni	711.6	705.8	7	715.9	2	10.2	18.3	12.1	13.2	5.2	16	25.4	5	93	58	91	81	35	11
Juli	710.8	704.1	2	717.8	25	13.0	22.1	15.5	16.5	8.3	22	28.8	8	94	61	88	81	42	5
August	709.1	699.4	25	719.1	8	12.0	20.2	14.3	15.2	6.7	31	26.8	27	95	66	90	84	34	27
September	711.8	704.1	26	716.0	12, 15, 16	11.6	19.4	13.9	14.7	7.8	5	25.3	24	93	63	88	81	35	24
Oktober	713.2	702.6	30	720.9	12	4.0	11.6	5.9	6.9	-0.6	31	21.3	1	97	67	94	86	48	13
November	710.9	698.0	28	722.5	6	0.0	3.7	1.0	1.4	-3.8	9. 18	10.6	6	94	79	92	88	45	10
Dezember	714.1	702.6	31	720.7	3	-2.9	1.2	-2.0	-1.4	-11.2	25	7.2	13	93	82	93	89	68	1. 22
Jahr	710.4	693.6	II	722.5	XI	4.1	11.2	6.1	6.9	-21.7	II	29.7	V	92	65	87	81	30	III/IV V

Meiringen: Frau Michel † im Februar

Guttannen

$\lambda = 9°18'$, $\beta = 46°39'$, $H_b = 1058^m$, $G = -0.18$ ‰/m, $h_r = 1.5^m$

Januar	669.7	656.5	9	678.5	4	-1.6	0.2	-0.8	-0.7	-8.8	8	6.8	17	83	76	80	80	40	23
Februar	666.9	654.1	13	679.0	5	-12.9	-7.5	-11.1	-10.7	-23.4	10	2.4	29	81	65	80	75	37	22
März	670.5	663.2	24	679.0	1	0.0	4.2	1.5	1.8	-12.8	13	15.0	30	73	61	73	69	38	30
April	667.5	659.0	5	676.8	9	1.9	7.2	3.5	4.0	-10.4	8	14.4	15. 27	81	59	80	73	37	26. 27
Mai	675.1	668.2	22	681.3	7	7.8	13.9	10.0	10.4	0.2	1	26.0	28	80	59	76	72	32	6
Juni	673.9	667.9	7	677.5	15	8.9	13.4	10.4	10.8	3.4	16	22.2	5	84	66	85	78	38	4
Juli	673.7	667.5	14	680.9	25	12.6	18.4	14.4	14.9	8.0	4	25.3	8	85	63	81	76	39	13
August	671.9	661.6	25	681.6	7	11.5	16.6	13.0	13.5	6.2	30	28.0	10	89	70	86	82	34	10
September	674.7	667.1	26	678.9	15	11.4	16.8	13.3	13.7	7.2	15	21.4	23	81	62	76	73	32	22
Oktober	675.1	664.0	30	682.5	22	3.4	8.7	4.5	5.3	-5.0	31	20.0	2	89	72	88	83	40	2
November	671.7	660.5	28	682.7	6	-1.3	0.5	-1.2	-0.8	-8.6	22	7.8	1	90	84	91	88	55	11
Dezember	674.8	664.6	31	681.0	3	-2.9	-0.4	-2.5	-2.1	-14.0	25	8.3	16	80	73	81	78	41	16
Jahr	672.1	654.1	II	682.7	XI	3.2	7.7	4.6	5.0	-23.4	II	28.0	VIII	83	67	81	77	32	V XI

Beobachter: W. Dettwyler

Beatenberg

Bewölkung				Termine mit Nebel				Niederschlag			Zahl der Tage								Windverteilung								1956
7³⁰	13³⁰	21³⁰	Mittel	7³⁰	13³⁰	21³⁰	Total	Summe	Maximum	Tag	● *	●* ≧1.0	*	▲	⊼	≡	heiter	trüb	N	NE	E	SE	S	SW	W	NW	Calmen	
7.4	7.2	6.2	6.9	8	5	4	17	89	15	29	15	13	14	—	—	17	3	15	10	24	2	—	8	6	5	15	23	Januar
6.6	7.3	6.7	6.9	12	11	9	32	37	8	9	13	11	13	—	—	14	1	12	9	11	2	2	5	7	4	9	38	Februar
6.1	6.4	6.5	6.3	1	—	—	1	42	14	22	9	7	5	—	1	1	2	10	20	8	1	1	8	6	7	17	25	März
6.7	6.8	6.5	6.7	4	3	1	8	144	28	1	17	15	9	—	—	11	4	15	16	8	—	1	1	12	6	13	33	April
5.1	6.8	5.6	5.8	3	2	—	5	146	28	19	17	13	2	2	4	8	3	9	18	6	4	1	7	18	7	17	15	Mai
6.6	7.7	7.6	7.3	6	2	3	11	106	26	20	18	14	1	1	1	14	—	13	14	9	—	2	6	24	2	15	18	Juni
5.2	6.1	6.4	5.9	2	1	1	4	208	66	10	18	17	—	—	7	8	3	6	9	9	2	3	2	13	6	20	29	Juli
6.3	7.2	6.6	6.7	5	1	1	7	190	33	10	22	18	—	—	5	13	2	11	11	13	—	1	2	16	4	28	18	August
4.9	5.2	4.0	4.7	1	1	1	3	100	25	27	10	10	—	—	2	8	7	5	24	16	—	2	4	16	3	12	13	September
5.6	5.9	5.3	5.6	1	—	—	1	113	26	25	13	11	9	—	—	8	10	13	17	10	—	—	2	11	4	20	29	Oktober
7.3	7.9	6.8	7.3	7	8	7	22	44	8	28	14	9	11	—	—	15	3	18	16	18	—	—	1	12	6	25	12	November
5.2	5.2	4.3	4.9	1	4	2	7	25	7	26	9	7	7	—	—	5	9	8	21	28	1	1	4	10	1	17	10	Dezember
6.1	6.6	6.0	6.2	51	38	29	118	1244	66	VII	175	145	71	3	20	122	47	135	185	160	12	14	50	151	55	208	263	Jahr

Beobachter: P. Furrer, Frau M. Furrer

Interlaken (Unterseen)

8.5	6.9	7.2	7.5	2	—	—	2	115	27	26	14	13	5	—	—	2	4	16	—	—	14	22	2	13	3	—	39	Januar
8.2	7.9	8.3	8.1	1	2	2	5	23	6	8	8	8	8	—	—	2	1	18	—	1	7	11	1	24	3	—	40	Februar
6.0	5.0	5.6	5.5	1	—	—	1	64	23	22	8	8	1	—	—	1	6	8	—	2	4	24	—	34	—	—	29	März
6.1	6.0	5.9	6.0	—	—	—	—	134	25	1	16	15	4	—	—	—	7	14	—	1	7	17	2	33	1	1	28	April
4.4	5.2	4.7	4.8	—	—	—	—	138	24	19	14	13	—	—	3	—	9	6	—	—	8	25	2	27	3	2	26	Mai
5.5	6.9	7.1	6.5	—	—	—	—	85	17	20	15	15	—	—	—	2	2	10	—	1	6	18	2	32	3	4	24	Juni
4.5	5.4	5.6	5.2	—	—	—	—	208	65	10	16	16	—	—	4	—	3	5	—	—	17	12	3	38	10	—	13	Juli
6.1	6.1	6.4	6.2	—	—	—	—	180	30	18	22	21	—	—	3	—	1	9	—	—	13	15	4	33	6	2	20	August
5.5	4.0	3.9	4.5	2	—	—	2	86	17	26	8	8	—	—	2	2	7	5	—	—	23	7	1	27	2	1	29	September
7.0	5.0	4.9	5.6	4	—	—	4	118	24	26	15	12	2	—	—	4	8	11	—	1	17	2	2	25	5	—	41	Oktober
9.1	7.2	8.3	8.2	1	—	—	1	47	12	27	13	8	5	—	—	1	1	21	—	1	15	6	1	29	1	—	37	November
5.9	5.2	4.9	5.3	2	—	1	3	13	5	20	7	4	2	—	—	3	8	10	—	—	38	21	6	13	2	1	12	Dezember
6.4	5.9	6.1	6.1	13	2	8	18	1211	65	VII	156	141	27	—	12	17	57	133	—	7	169	180	26	328	39	11	338	Jahr

Beobachter: Frau E. Michel, Frl. E. Michel

Meiringen

6.8	6.3	6.8	6.6	—	1	1	2	116	30	26	13	12	11	—	—	1	3	12	—	—	3	—	—	—	—	2	88	Januar
7.9	6.9	7.3	7.4	1	—	—	1	25	9	7	10	6	10	—	—	1	2	14	—	—	—	—	—	3	4	—	80	Februar
6.6	5.9	7.0	6.5	—	—	—	—	84	32	22	10	8	3	—	—	1	3	12	—	—	16	3	—	17	—	3	54	März
6.9	6.1	6.4	6.5	—	—	—	—	149	35	5	16	14	5	—	—	—	5	13	—	—	2	—	—	13	—	11	64	April
4.7	5.9	5.0	5.2	—	—	—	—	145	30	19	15	13	1	1	—	—	6	7	—	—	3	4	—	13	1	3	69	Mai
6.1	7.2	6.9	6.7	—	—	—	—	149	32	20	19	17	—	—	—	—	1	10	—	—	1	1	—	17	1	1	69	Juni
5.5	5.8	6.1	5.8	—	—	—	—	186	32	14	16	15	—	—	—	—	3	5	—	—	—	—	—	10	2	12	69	Juli
5.6	6.3	6.6	6.2	—	—	—	—	194	26	10	21	17	—	—	—	—	3	9	—	—	1	2	—	4	—	13	73	August
4.5	4.7	4.3	4.5	1	—	—	1	106	29	3	11	10	—	—	1	1	9	4	—	—	6	—	—	7	—	13	64	September
5.1	5.0	4.8	5.0	—	—	—	—	104	26	25	12	11	3	—	—	—	12	11	—	—	—	1	—	11	—	7	74	Oktober
8.2	6.8	7.7	7.6	—	1	—	1	43	11	28	10	10	6	—	—	1	2	19	—	—	—	—	—	8	—	1	81	November
6.1	4.7	3.3	4.7	—	2	2	4	22	6	26	7	7	3	—	—	3	6	6	—	—	—	—	—	1	—	—	92	Dezember
6.2	6.0	6.0	6.1	2	4	3	5	1323	35	IV	160	140	42	1	1	8	55	122	—	—	32	11	—	104	8	66	877	Jahr

Beobachter: Frau L. Huber

Guttannen

5.7	5.5	4.6	5.3	—	—	—	—	125	36	26	12	8	11	—	—	1	7	12	—	—	—	18	—	—	3	—	72	Januar
6.6	5.7	5.1	5.8	1	—	—	1	48	13	8	10	10	10	—	—	1	5	11	—	—	—	9	—	—	5	1	72	Februar
6.4	6.1	6.5	6.3	—	—	—	—	162	59	22	11	9	6	—	—	—	6	15	2	1	—	33	—	—	7	1	49	März
6.8	6.7	6.3	6.6	1	—	1	2	234	38	17	13	13	12	—	—	2	8	13	—	2	—	20	—	—	3	6	59	April
4.8	5.6	5.7	5.4	—	—	—	—	173	27	10	17	16	2	1	2	—	6	10	—	4	2	10	—	—	—	5	72	Mai
6.7	7.6	7.8	7.4	—	—	1	1	179	46	20	17	15	1	—	1	1	1	15	—	5	—	13	—	—	—	4	68	Juni
5.4	6.0	7.3	6.2	1	—	1	2	195	28	29	16	15	—	—	1	2	2	11	2	4	—	11	—	1	—	12	63	Juli
6.5	6.9	7.2	6.9	3	1	—	4	209	32	27	23	22	—	—	2	4	3	16	4	2	—	9	—	—	—	3	75	August
5.3	4.3	3.4	4.3	2	1	—	3	143	26	3	12	10	—	—	—	3	8	4	—	2	—	25	—	—	—	3	60	September
5.0	4.9	4.8	4.9	—	—	—	—	162	37	25	12	10	8	—	—	1	12	11	—	—	—	4	—	—	1	3	85	Oktober
7.1	7.1	7.1	7.1	9	4	5	18	81	20	28	13	12	11	—	—	12	6	17	2	—	—	5	—	—	—	1	82	November
3.9	4.2	2.6	3.6	—	1	—	1	32	11	22	6	6	5	—	—	2	14	4	—	1	—	10	—	—	—	—	82	Dezember
5.8	5.9	5.7	5.8	17	7	8	32	1743	59	III	162	146	66	1	6	29	78	139	10	21	2	167	—	1	19	39	839	Jahr

Grimsel (Hospiz)

$\lambda = 8° 20'$, $\beta = 46° 34'$, $H_b = 1958.8^m$, $G = -0.27$ ‰, $h_r = 1.5^m$

1956	Luftdruck					Luft-Temperatur								Relative Feuchtigkeit					
	Mittel	Minimum	Tag	Maximum	Tag	7^{30}	13^{30}	21^{30}	Mittel	Minimum	Tag	Maximum	Tag	7^{30}	13^{30}	21^{30}	Mittel	Minimum	Tag
Januar	599.0	587.2	9	607.3	4	−5.8	−2.7	−5.1	−4.7	−13.0	8	7.0	5	77	74	80	77	32	5
Februar	594.0	581.7	13	607.4	29	−15.2	−9.4	−14.5	−13.4	−26.4	2	3.8	26	76	70	80	75	31	8
März	600.0	595.0	15	607.4	1	−5.4	−1.2	−4.1	−3.7	−17.4	12	9.1	27	82	78	84	82	42	30
April	597.6	588.8	5	606.3	9	−3.7	2.6	−2.2	−1.4	−14.5	7	10.8	24	78	68	85	77	34	20. 24
Mai	605.9	599.3	20	612.0	6	1.8	8.2	3.3	4.2	−5.0	1	17.2	30	78	66	80	75	35	16
Juni	604.8	600.8	9	608.0	13	3.7	8.2	4.7	5.3	−2.8	9	15.8	5. 12	86	74	87	82	38	5
Juli	605.7	599.8	20	612.0	25	7.8	13.2	8.6	9.6	2.5	2	20.6	8	78	64	82	75	22	7
August	604.0	596.4	25	612.1	8	7.4	11.1	7.7	8.5	−0.5	29	20.4	9	80	75	84	80	32	9
September	606.7	600.4	26	611.1	30	7.2	11.7	8.7	9.1	2.5	27	16.5	10	78	67	74	73	22	22
Oktober	604.9	593.5	30	613.5	22	0.8	5.5	1.5	2.3	−8.2	31	17.8	1	78	66	77	74	18	14
November	600.9	590.3	28. 29	610.3	7	−3.8	−0.9	−3.5	−2.9	−10.5	29. 30	5.5	14	82	77	81	80	34	20
Dezember	603.5	596.0	24	609.5	17	−6.0	−2.2	−5.1	−4.6	−15.8	24	4.1	4. 7	67	64	67	66	29	17
Jahr	611.1	581.7	II	613.5	X	−0.9	3.7	0.0	0.7	−26.4	II	20.6	VII	78	70	80	76	18	X

Jungfraujoch (Sphinx)

$\lambda = 7° 59'$, $\beta = 46° 33'$, $H_b = 3577.8^m$, $G = -0.39$ ‰, $h_r = —^m$

Januar	485.6	473.4	9	495.3	4	−13.3	−12.8	−12.8	−12.9	−23.0	25	−5.2	5	67	69	65	67	13	23
Februar	477.8	465.2	13	493.9	29	−22.3	−21.0	−21.8	−21.7	−36.0	14	−9.2	29	78	80	79	79	21	27
März	485.9	477.7	12	492.7	29	−14.8	−13.9	−14.0	−14.2	−25.8	12	−7.6	3	84	86	84	85	37	28
April	484.7	475.0	6	492.9	10	−13.6	−12.3	−13.1	−13.0	−28.4	7	−6.8	16	77	79	86	81	21	10
Mai	494.0	485.4	1	500.5	28	−7.1	−5.9	−6.7	−6.6	−17.8	1	1.4	28	70	73	83	75	14	9
Juni	493.3	487.3	9	497.6	13	−6.8	−5.2	−5.9	−6.0	−0.8	5. 6	−14.0	8	84	89	91	88	20	16
Juli	496.1	489.2	20	502.8	25	−1.9	−0.3	−1.6	−1.3	−8.0	2	5.6	26	75	74	81	77	10	26
August	494.5	487.1	23	504.5	9	−2.6	−1.7	−2.1	−2.1	−12.2	30	6.6	10	81	83	82	82	19	13
September	496.8	489.3	26	502.1	5	−2.4	−1.1	−2.0	−1.9	−11.6	27	2.4	5	75	77	77	76	34	19
Oktober	493.1	479.2	30	502.0	22	−8.2	−6.8	−8.3	−7.9	−19.6	27	2.0	1	68	67	68	68	21	19
November	487.9	475.9	29	497.7	7	−11.6	−10.9	−11.7	−11.5	−23.8	30	−3.4	8	70	68	70	69	17	8
Dezember	490.1	479.8	24	497.7	17	−12.8	−12.1	−12.7	−12.6	−25.4	25	−3.6	17	72	71	68	70	18	18
Jahr	490.0	465.2	II	504.5	VIII	−9.8	−8.7	−9.4	−9.3	−36.0	II	6.6	VIII	75	76	78	76	10	VII

Südwestschweiz

Genève

$\lambda = 6° 09'$, β 46° 12', $H_b = 405.0^m$, $G = -0.05$ ‰, $h_r = 1.5^m$

Januar	726.0	712.5	9	735.3	4	2.6	5.3	3.7	3.8	−2.0	23	10.7	12	87	77	86	83	50	12
Februar	725.2	712.0	13	738.3	5	−7.9	−4.2	−6.2	−6.1	−18.1	10	5.2	29	80	71	79	77	38	2
März	726.2	715.2	21	737.6	1	3.3	8.5	5.8	5.9	−4.0	12	18.0	30	77	57	72	69	30	16
April	723.3	714.3	17	733.2	8	5.9	11.9	8.0	8.5	−2.6	8	19.0	12	79	52	73	68	28	9
Mai	729.6	721.8	22	736.2	6. 7	12.2	18.4	14.9	15.3	6.7	1	25.6	29	74	52	74	67	33	15
Juni	728.7	723.3	7	732.5	15	14.5	19.3	16.1	16.5	7.6	7	26.4	4	73	56	75	68	35	4
Juli	727.6	721.5	13	734.0	4. 25	17.4	22.1	19.2	19.5	14.0	11	29.1	27	78	61	77	72	40	27
August	726.1	716.9	25	735.7	8	15.5	20.4	16.6	17.3	10.4	30	27.8	17	81	64	76	74	40	5
September	728.4	721.1	25	732.9	12	13.7	19.7	16.5	16.6	11.1	5	24.1	11	88	69	80	79	38	4
Oktober	731.1	720.8	30	738.6	12	7.1	11.5	8.7	9.0	1.6	31	22.1	2	92	75	85	84	43	4
November	728.5	717.9	28	738.6	6	3.2	5.8	3.9	4.2	−1.2	8	12.0	11	83	70	80	78	56	11
Dezember	731.6	720.7	31	738.2	3	1.3	4.5	2.6	2.8	−3.1	26	13.5	16	86	75	82	81	53	15. 16
Jahr	727.7	712.0	II	738.6	X XI	7.5	11.9	9.1	9.4	−18.1	II	29.1	VII	82	65	78	75	28	IV

Lausanne

$\lambda = 6° 39'$, $\beta = 46° 32'$, $H_b = 589.0^m$, $G = -0.06$ ‰, $h_r = 1.5^m$

Januar	709.4	695.9	9	718.3	4	1.8	4.5	2.5	2.8	−3.1	31	9.4	16	86	76	82	81	47	12. 21
Februar	708.1	695.2	13	721.0	5	−9.4	−4.2	−7.4	−7.1	−20.7	10	5.6	29	77	60	68	68	45	4. 3
März	710.0	699.3	21	720.4	1	2.5	9.0	4.8	5.3	−6.7	13	17.2	30	80	58	67	68	42	14
April	707.3	699.0	27	717.1	8	5.0	10.9	6.6	7.3	−2.3	7	18.9	27	81	56	73	70	32	8
Mai	713.9	705.9	22	719.9	6	11.3	18.0	13.3	14.0	5.0	1	25.3	8	80	57	71	69	35	15
Juni	713.1	708.0	7	716.2	15. 21 26	12.1	17.9	13.6	14.3	7.2	9	24.1	30	79	57	70	69	35	29
Juli	712.0	705.2	14	718.2	25	15.4	21.2	16.6	17.4	11.5	2	26.6	8. 27	80	59	74	71	43	4. 31
August	710.6	700.9	25	719.7	7	14.2	18.8	14.8	15.6	9.9	29	27.1	10	81	62	78	74	37	12
September	712.8	705.7	25. 26	717.3	12	13.5	20.3	15.1	16.0	10.4	3	25.9	24	86	57	81	75	44	8. 13
Oktober	714.7	704.1	30	721.9	12	6.9	11.3	7.5	8.3	0.7	31	22.6	1	88	70	84	81	44	12
November	711.9	701.2	28	721.8	6	2.0	5.1	2.4	3.0	−1.8	23. 24	10.8	6. 7	80	67	78	75	46	6
Dezember	715.1	704.2	31	721.2	3	0.9	5.1	1.9	2.4	−6.2	25	10.8	17	89	72	88	83	49	15
Jahr	711.6	695.2	II	721.9	X	6.4	11.5	7.6	8.3	−20.7	II	27.1	VIII	82	63	76	74	32	IV

Beobachter: Grimselwärter

Grimsel (Hospiz)

Bewölkung				Termine mit Nebel				Niederschlag			Zahl der Tage								Windverteilung									1956
7³⁰	13³⁰	21³⁰	Mittel	7³⁰	13³⁰	21³⁰	Total	Summe	Maximum	Tag	● *	●* ≧1.0	*	▲	⚡	≡	heiter	trüb	N	NE	E	SE	S	SW	W	NW	Calmen	
5.7	6.4	6.5	6.2	7	5	3	15	192	36	26	15	14	15	—	—	10	6	15	—	—	—	36	—	33	—	20	4	Januar
4.6	6.7	5.7	5.7	—	3	2	5	85	23	8	14	10	14	—	—	4	5	9	—	1	—	26	—	13	—	39	8	Februar
7.1	7.2	7.6	7.3	5	3	2	10	277	42	22	17	13	16	—	—	5	3	16	—	1	—	45	—	2	—	36	9	März
7.0	6.6	7.4	7.0	10	8	16	34	313	41	17	16	16	15	—	—	17	4	16	—	4	—	36	—	1	1	40	8	April
5.4	6.2	6.4	5.8	9	9	8	26	297	38	10	18	18	13	—	3	12	5	12	—	9	6	28	—	5	2	34	9	Mai
8.3	8.9	8.3	8.5	9	6	11	26	244	48	20	20	16	12	—	—	14	—	21	—	4	3	28	—	9	—	44	2	Juni
6.6	6.6	7.7	7.0	9	6	10	25	251	59	2	20	20	—	—	—	19	1	16	—	2	6	54	—	1	1	27	2	Juli
7.0	7.4	7.5	7.3	13	8	12	33	258	47	10	22	22	1	—	—	19	4	19	—	1	1	43	—	6	1	40	1	August
5.1	6.0	5.2	5.4	7	7	9	23	145	33	13	11	10	—	—	—	12	9	10	—	—	—	68	—	—	—	21	1	September
4.9	5.5	5.2	5.2	12	13	12	37	277	40	25	14	14	12		-	17	12	12	—	—	—	34	—	26	-	28	5	Oktober
6.2	6.3	6.0	6.2	11	13	12	36	158	32	28	16	16	16	—	—	17	10	15	—	4	—	24	—	27	—	22	13	November
4.1	4.8	3.6	4.2	4	1	6	16	74	21	22	12	11	12	-	—	10	11	6	—	—	—	32	1	34	—	15	11	Dezember
6.0	6.4	6.3	6.2	96	82	103	281	2571	59	VII	195	180	126	—	3	156	70	167	-	26	16	454	1	157	5	366	73	Jahr

Beobachter: Jungfraubahn

Jungfraujoch (Sphinx)

5.2	5.8	4.8	5.3	7	1	3	7	—	—	—	—	—	—	—	—	5	7	9	1	—	—	30	—	—	—	61	1	Januar
5.6	5.9	4.9	5.5	8	7	8	23	—	—	—	—	—	—	—	-	15	5	6	11	1	5	33	2	1	—	33	1	Februar
6.0	6.5	6.8	6.4	4	4	5	13	—	—	—	—	—	—	—	—	10	5	12	2	2	1	42	—	—	—	46	—	März
6.0	7.0	6.5	6.5	4	10	5	19	—	—	—	—	—	—	—	—	14	4	13	7	—	1	33	—	—	—	47	2	April
4.9	6.0	5.9	5.6	10	13	13	36	—	—	—	—	—	—	—	—	20	5	7	15	—	4	28	3	—	—	43	—	Mai
6.3	7.8	8.5	7.5	11	18	22	51	—	—	—	—	—	—	—	—	24	2	14	5	3	4	25	2	—	1	50	—	Juni
5.2	5.7	5.5	5.5	8	10	12	50	—	—	—	—	—	-	-	—	19	6	6	10	—	6	25	1	—	1	48	2	Juli
6.3	6.9	7.1	6.8	11	12	12	35	—	—	—	—	—	—	—	—	17	2	15	10	—	1	12	14	5	2	49	—	August
5.1	5.7	4.6	5.1	11	12	10	33	—	-	—	—	-	—	—	—	17	5	7	8	2	—	5	31	11	3	30	—	September
5.1	5.5	5.2	5.3	11	13	14	38	—	—	—	—	—	—	—	—	17	10	10	13	—	—	19	13	3	2	40	3	Oktober
5.3	5.5	6.3	5.7	6	9	11	26	—	—	—	—	—	—	—	—	15	6	13	3	1	1	4	26	10	—	45	—	November
4.4	4.5	3.3	4.1	10	8	5	13	—	—	—	—	—	—	—	—	12	12	4	2	—	1	6	11	9	2	59	3	Dezember
5.5	6.1	5.8	5.8	97	117	120	334	—	—	—	—	—	—	—	—	185	69	116	87	9	24	262	103	39	11	551	12	Jahr

Südwestschweiz

Beobachter: Observatorium

Genève

8.2	7.8	7.9	8.0	—	—	—	—	95	19	13	12	11	3	—	—	—	1	19	14	16	7	7	12	6	4	—	27	Januar
7.6	5.6	6.0	6.4	-	—	—	—	5	4	13	3	1	2	—	—	—	2	11	30	30	9	3	2	—	—	—	13	Februar
5.8	5.3	5.5	5.5	1	—	—	1	32	14	21	5	3	—	—	—	1	8	10	28	33	2	7	7	9	4	1	2	März
5.0	5.8	6.4	5.7	—	—	—	—	83	28	16	13	10	—	-	1	—	7	11	26	25	5	5	14	6	6	3	—	April
3.8	4.0	4.5	4.1	—	—	—	—	73	21	18	12	11	—	—	—	—	12	6	20	20	13	—	20	5	3	—	12	Mai
4.7	5.8	5.5	5.3	—	—	—	—	62	26	7	9	6	—	—	1	—	4	8	21	19	10	7	23	2	3	2	3	Juni
4.3	4.3	4.4	4.3	—	—	—	—	81	17	2	12	11	—	—	4	—	9	6	13	20	11	8	17	11	1	—	12	Juli
6.5	6.4	6.7	6.5	3	—	—	3	144	24	14	19	14	—	—	5	3	2	11	16	7	9	1	25	17	3	2	13	August
6.0	4.8	3.9	4.9	1	—	-	1	117	52	2	7	6	—	—	4	1	7	5	30	5	5	1	9	7	4	6	23	September
8.8	6.3	5.8	7.0	7	—	1	8	75	28	3	13	9	1	—	2	7	1	14	19	19	11	2	4	—	2	5	31	Oktober
8.6	8.3	7.8	8.2	3	—		3	18	10	11	5	2	2	—	—	3	2	20	9	46	2	2	3	6	1	1	20	November
6.7	6.6	6.5	6.6	5	2	1	8	19	6	30	9	8	4	-	—	6	2	11	19	6	13	2	3	2	1	—	47	Dezember
6.3	5.9	5.9	6.0	20	2	2	24	804	52	IX	119	92	12	—	17	21	57	132	245	246	97	45	139	71	32	20	203	Jahr

Beobachter: A. George

Lausanne

8.3	7.9	6.6	7.6	—	—	1	1	132	19	26	16	15	6	—	—	3	2	18	6	21	1	4	2	24	6	3	26	Januar
6.8	5.2	4.5	5.5	—	—	—	—	4	2	13	3	2	3	—	-	-	5	3	8	46	—	2	4	9	—	5	13	Februar
5.6	4.9	4.4	5.0	4	1	—	5	20	12	22	6	4	1	—	—	4	8	7	2	38	1	2	3	14	6	2	25	März
4.8	6.0	5.4	5.4	2	1	2	5	104	30	16	14	12	4	—	—	4	6	10	5	29	—	1	1	25	1	3	25	April
4.4	4.5	4.6	4.5	—	—	—	—	126	48	18	13	13	—	-	5	—	11	7	2	31	1	7	2	23	1	4	22	Mai
5.1	5.5	6.3	5.6	—	—	—	—	79	30	7	13	10	—	—	2	—	6	8	6	26	—	1	1	33	1	3	19	Juni
5.2	4.7	5.4	5.1	—	—	—	—	134	27	2	15	12	—	—	10	—	6	9	6	30	—	4	7	20	3	7	16	Juli
6.5	6.3	6.5	6.4	—	—	—	—	193	33	27	21	17	—	—	4	1	3	13	4	12	—	8	1	21	10	6	31	August
5.6	3.8	3.5	4.3	—	—	—	—	128	42	10	9	7	—	—	3	—	10	6	8	29	—	7	6	12	1	5	22	September
7.3	5.9	5.4	6.2	1	2	2	5	115	45	3	14	12	4	—	1	4	6	14	7	37	—	5	1	15	4	6	18	Oktober
8.1	7.6	7.4	7.7	1	—	—	1	26	12	28	6	4	2	—	—	1	4	19	3	51	—	1	3	12	1	3	16	November
5.8	5.2	5.7	5.6	—	—	—	—	24	4	26	12	9	6	—	—	—	6	10	6	23	1	7	3	7	—	8	38	Dezember
6.1	5.6	5.5	5.7	8	4	5	17	1085	48	V	142	117	26	—	25	17	73	124	63	373	4	49	34	215	34	55	271	Jahr

Montreux-Clarens

$\lambda = 6° 54'$, $\beta = 46° 27'$, $H_b = 408^m$, $G = -0.06$ m/m, $h_r = 1.5^m$

1956	Luftdruck					Luft-Temperatur								Relative Feuchtigkeit					
	Mittel	Minimum	Tag	Maximum	Tag	7^{30}	13^{30}	21^{30}	Mittel	Minimum	Tag	Maximum	Tag	7^{30}	13^{30}	21^{30}	Mittel	Minimum	Tag
Januar	725.3	711.4	9	734.9	4	1.8	5.4	2.8	3.2	−1.2	23	10.0	16	85	69	83	79	35	21
Februar	724.4	711.7	13	738.0	5	−7.8	−3.0	−6.0	−5.7	−16.0	10	5.4	29	79	56	70	68	35	7
März	725.7	714.4	21	736.3	1	3.0	8.2	5.7	5.7	−6.0	13	14.8	29	79	57	65	67	30	11
April	722.9	712.7	27	733.4	9	5.3	10.3	8.2	8.0	−2.0	8	17.2	27	82	56	67	68	30	7
Mai	729.2	721.0	22	736.1	6	12.2	17.1	14.5	14.6	5.2	1	25.4	29	79	52	66	66	35	6. 9
Juni	728.4	723.1	4	731.8	15	13.3	18.3	15.0	15.4	7.8	9	25.0	5	79	55	68	67	32	29
Juli	727.2	720.6	29	733.5	4	16.6	21.0	17.9	18.3	13.1	11	26.0	6	81	59	73	71	42	31
August	725.8	715.8	25	735.0	8	14.9	19.2	15.9	16.5	11.0	30 . 31	25.0	10	86	66	77	76	45	div.
September	728.1	719.8	25	733.3	12	13.7	20.0	15.6	16.2	11.0	28 . 29	23.0	24	90	60	82	77	37	4
Oktober	730.4	719.6	30	738.2	12	6.6	11.9	8.2	8.7	−0.4	31	21.0	1	91	67	86	81	40	4. 31
November	727.7	716.5	28	737.9	6	2.3	6.2	3.6	3.9	−1.6	20	12.0	6	85	64	81	77	33	6
Dezember	731.1	719.2	31	737.7	3	0.6	5.9	1.6	2.4	−5.8	25	11.0	14 . 16	81	58	80	73	38	24
Jahr	727.2	711.4	I	738.2	X	6.9	11.7	8.6	8.9	−16.0	II	26.0	VII	83	60	75	73	30	III IV

Leysin

$\lambda = 7° 00'$, $\beta = 46° 21'$, $H = 1350^m$, $G = —$ m/m, $h_r = 1.5$

Januar	—	—	—	—	—	−1.0	1.3	−0.4	−0.1	−7.4	8	7.2	17	75	73	77	75	29	23
Februar	—	—	—	—	—	−11.6	−7.6	−10.7	−10.2	−23.2	11	3.8	29	75	68	74	72	30	28
März	—	—	—	—	—	−0.1	3.5	0.9	1.3	−11.0	12	12.2	29	71	64	66	67	35	29
April	—	—	—	—	—	1.8	5.5	1.8	2.7	−8.2	7	12.4	27	76	64	77	72	36	26
Mai	—	—	—	—	—	8.7	11.9	8.4	9.4	−0.4	1	23.0	28	70	66	72	69	36	28
Juni	—	—	—	—	—	9.1	12.5	8.6	9.7	1.2	9	17.2	4	78	70	79	76	47	30
Juli	—	—	—	—	—	13.0	15.7	12.1	13.2	7.0	2	20.8	9	75	74	79	76	46	5
August	—	—	—	—	—	11.9	14.5	11.4	12.3	3.2	30	24.7	9	76	69	77	74	35	13
September	—	—	—	—	—	11.6	14.8	12.0	12.6	5.6	27	18.6	10	74	76	74	75	46	28
Oktober	—	—	—	—	—	4.5	6.9	4.4	5.0	−4.8	31	17.8	2	75	77	77	76	39	15
November	—	—	—	—	—	-0.9	1.1	−0.6	−0.3	−6.0	24, 25, 29	9.6	8	77	75	81	78	24	8
Dezember	—	—	—	—	—	−1.3	1.6	−0.6	−0.2	−10.8	25	8.4	16	71	66	71	69	34	16
Jahr	—	—	—	—	—	3.8	6.8	3.9	4.6	−23.2	II	24.7	VIII	74	70	75	73	24	XI

Grand-St-Bernard

$\lambda = 7° 10'$, $\beta = 45° 52'$, $H_b = 2478.7^m$, $G = -0.34$ m/m, $h_r = 6.0^m$

Januar	559.4	547.6	9	568.3	4	−7.5	−6.2	−7.0	−6.9	−14.4	9	1.6	5	89	90	89	89	39	4
Februar	553.8	540.4	13	567.8	29	−17.1	−14.3	−16.6	−16.1	−27.0	15	−4.0	28	86	85	87	86	22	8
März	560.5	553.5	12	568.3	1	−8.5	−6.4	−7.7	−7.6	−19.0	12	−0.6	30	82	80	86	83	30	9
April	558.4	549.6	5	567.0	9	−6.4	−4.0	−5.8	−5.5	−18.0	7	0.8	12	82	78	87	82	27	8. 10
Mai	567.1	560.6	19	573.4	6	0.4	2.8	0.3	1.0	−9.0	1	12.0	28	87	75	90	84	43	9
Juni	566.1	561.2	8	569.8	13	0.5	3.4	1.3	1.6	−5.4	8	10.8	30	93	80	94	89	36	16
Juli	567.8	561.1	14	574.2	25	6.7	9.2	6.0	7.0	−0.2	3	16.2	7	75	68	90	78	33	30 . 31
August	566.2	559.3	23	575.6	9	5.6	7.7	5.6	6.1	−4.0	30	18.2	9	79	74	85	79	23	5
September	568.7	561.5	26	573.1	30	4.3	7.2	4.9	5.3	−3.0	27	12.0	15	84	75	91	83	41	14
Oktober	566.3	553.4	30	574.5	22	−2.0	0.4	−1.4	−1.1	−11.6	31	9.8	2	77	74	80	77	12	20
November	561.4	550.2	29	571.3	7	−6.5	−5.1	−6.5	−6.2	−14.4	21	3.2	8	79	80	82	80	22	8
Dezember	564.2	554.8	24	570.9	17	−7.5	−6.2	−6.7	−6.8	−17.2	1	0.1	12	75	75	78	76	32	2
Jahr	563.3	540.4	II	575.6	VIII	−3.2	−1.0	−2.8	−2.4	−27.0	II	18.2	VIII	82	78	87	82	12	X

Sion

$\lambda = 7° 22'$, $\beta = 46° 14'$, $H_b = 548.6^m$, $G = -0.14$ m/m, $h_r = 2.0^m$

Januar	713.8	701.7	9	723.2	4	−0.3	3.2	1.1	1.3	−6.5	3	9.0	30	83	69	80	77	42	12
Februar	712.0	699.6	13	725.3	5	−8.3	−2.3	−5.8	−5.5	−15.6	11	9.9	29	76	53	69	66	35	22 . 24
März	714.1	705.1	24	723.0	6	3.1	9.9	6.3	6.4	−5.9	13	18.8	30	73	51	61	62	28	11
April	710.9	702.3	27	721.2	9	5.7	13.3	7.9	8.7	−2.5	8	20.8	15	76	46	64	62	25	7
Mai	717.3	709.6	22	724.6	6. 7	12.7	20.5	14.7	15.7	5.7	1	28.4	28	73	51	65	63	30	7
Juni	716.0	711.1	7	719.4	13	14.5	20.8	15.1	16.4	8.8	8	25.9	4	77	51	72	67	38	4
Juli	715.3	709.2	14	721.7	4	16.9	23.4	17.8	19.0	12.6	19	29.6	8	81	59	76	72	36	18
August	714.2	706.1	25	723.4	8	14.6	20.5	16.2	16.9	8.6	31	28.2	10	87	66	81	78	45	3
September	716.7	709.7	26	721.3	30	13.7	21.1	15.9	16.6	10.0	29	25.4	10	88	61	79	76	41	22
Oktober	718.3	708.3	30	726.2	12	5.5	12.7	8.0	8.6	0.4	10	21.4	2	96	63	89	83	43	5
November	715.8	704.1	28	726.0	6	1.2	6.4	2.4	3.1	−4.8	22	14.9	1	93	69	87	83	41	1. 8
Dezember	719.4	709.1	31	725.7	3	−1.5	3.7	0.1	0.6	−8.2	25	8.6	16	86	67	81	78	50	18 . 31
Jahr	715.3	699.6	II	726.2	X	6.5	12.8	8.3	9.0	−15.6	II	29.6	VII	82	59	75	72	25	IV

Beobachter: A. Thétaz

Montreux-Clarens

Bewölkung				Termine mit Nebel				Niederschlag			Zahl der Tage								Windverteilung									1956
7³⁰	13³⁰	21³⁰	Mittel	7³⁰	13³⁰	21³⁰	Total	Summe	Maximum	Tag	● *	●• ≧1.0	*	▲	⚠	≡	heiter	trüb	N	NE	E	SE	S	SW	W	NW	Calmen	
7.5	8.1	7.0	7.5	—	—	—	—	126	19	18	17	15	4	—	—	—	3	18	—	—	—	1	—	—	2	—	90	Januar
7.8	7.1	6.1	7.0	—	—	—	—	6	2	13	5	3	4	—	—	—	3	12	1	1	—	1	—	—	3	1	80	Februar
6.2	6.0	5.6	5.9	—	—	—	—	19	7	22	8	6	1	—	—	—	7	10	1	—	1	1	1	—	3	—	86	März
6.0	7.0	6.4	6.5	—	—	—	—	122	37	16	17	12	1	—	1	—	4	14	—	—	—	—	2	—	7	—	81	April
5.1	5.8	5.5	5.5	—	—	—	—	138	31	18	14	12	—	1	5	—	7	11	—	2	2	1	—	1	1	—	86	Mai
6.0	7.0	7.9	7.0	—	—	—	—	97	28	7	16	13	—	—	1	—	—	11	2	2	2	—	3	—	4	1	76	Juni
5.4	5.6	6.1	5.7	—	—	—	—	174	39	10	15	15	—	—	8	—	2	7	3	—	5	—	—	2	3	—	80	Juli
7.1	7.4	7.6	7.4	—	—	—	—	225	30	10	23	22	—	—	2	—	—	17	1	1	1	1	1	1	1	1	85	August
5.7	5.7	5.0	5.5	—	—	—	—	101	34	2	11	10	—	—	3	—	6	8	—	—	—	2	1	1	1	1	84	September
6.2	6.5	6.0	6.2	—	—	—	—	154	32	3	15	14	—	—	1	—	7	14	—	—	2	—	1	—	5	—	85	Oktober
7.6	7.8	7.8	7.7	—	—	—	—	40	14	28	10	7	1	—	—	—	2	20	—	—	—	1	—	—	—	1	88	November
5.6	5.1	5.8	5.5	—	—	—	—	17	6	13	5	4	1	—	—	—	6	9	—	1	—	—	1	—	2	—	89	Dezember
6.3	6.6	6.4	6.4	—	—	—	—	1216	39	VII	156	133	12	1	21	—	47	151	8	7	13	8	10	5	32	5	1010	Jahr

Beobachter: M. Baud

Leysin

5.4	6.4	5.9	5.9	2	3	3	8	110	20	26	16	12	14	—	—	6	7	11	2	9	—	—	—	22	20	11	29	Januar
5.4	6.0	4.3	5.2	3	8	—	11	17	3	1.13	11	8	10	—	—	10	7	6	14	8	—	—	—	10	8	6	41	Februar
4.9	5.2	5.7	5.3	—	1	—	1	29	8	4	9	7	7	—	—	2	8	10	1	13	—	—	—	19	12	2	46	März
5.8	6.7	5.5	6.0	6	4	4	14	128	26	16	16	15	7	—	—	8	6	11	1	4	1	—	—	21	9	7	47	April
4.4	6.2	4.8	5.0	3	4	—	7	123	30	19	12	12	2	—	2	5	9	9	—	8	1	1	1	7	9	6	60	Mai
5.0	7.7	6.1	6.3	7	4	1	12	101	21	17	16	12	2	—	—	10	4	10	—	5	—	—	—	16	13	7	49	Juni
4.5	6.5	4.8	5.3	1	2	1	4	191	36	18	17	16	—	—	9	6	7	8	—	7	—	—	1	18	6	10	51	Juli
6.0	7.0	6.7	6.6	4	2	2	8	208	47	18	22	20	—	—	4	10	3	14	1	10	—	—	—	25	14	3	40	August
3.9	4.5	3.7	4.0	1	3	2	6	62	15	2	10	8	—	—	2	6	14	6	—	6	—	—	—	13	8	7	56	September
5.0	5.8	4.4	5.1	3	7	2	12	134	36	6	14	13	9	—	—	8	11	10	—	11	—	—	—	4	14	7	57	Oktober
6.4	7.3	6.0	6.6	6	9	4	19	36	12	28	8	7	6	—	—	11	8	14	2	14	—	—	—	3	13	3	55	November
3.7	3.5	4.0	3.7	1	1	1	3	15	7	13	6	4	4	—	—	3	11	5	2	12	—	—	—	11	17	2	49	Dezember
5.0	6.1	5.1	5.4	37	48	20	105	1154	47	VIII	157	134	61	—	17	85	95	114	23	107	2	1	2	169	143	71	580	Jahr

Beobachter: Hospice

Grand-St-Bernard

5.8	5.7	5.2	5.6	13	11	11	35	230	56	26	18	18	18	—	—	17	8	9	—	37	—	—	—	27	—	—	29	Januar
5.6	5.3	5.0	5.3	5	2	7	14	59	11	9	14	14	14	—	—	9	8	9	—	47	—	—	—	23	—	—	17	Februar
6.3	6.8	6.0	6.4	10	11	10	31	147	33	22	14	14	14	—	—	17	6	11	—	40	—	—	—	36	—	—	17	März
6.6	6.7	7.8	7.0	15	14	16	45	272	58	14	19	19	19	—	—	21	5	18	—	48	—	—	—	29	—	—	13	April
5.1	5.6	6.3	5.7	10	5	14	29	176	37	31	14	14	9	1	5	17	7	10	—	49	—	—	—	17	—	—	27	Mai
7.1	5.1	8.6	6.9	15	5	18	38	96	26	20	18	13	13	—	1	21	1	11	—	58	—	—	—	23	—	—	9	Juni
4.4	5.7	6.3	5.5	8	2	12	22	210	42	1	17	17	2	2	6	17	3	4	—	47	—	—	—	32	—	—	14	Juli
6.0	6.6	6.2	6.3	10	6	12	28	205	30	25	19	19	5	2	5	15	6	16	—	45	—	—	—	36	—	—	12	August
5.4	6.0	5.1	5.5	11	7	11	29	162	62	2	11	11	4	—	1	17	7	9	—	28	—	—	—	39	—	—	23	September
5.1	5.0	6.2	5.4	8	8	9	25	142	29	5	14	14	10	—	—	11	9	11	—	38	—	—	—	12	—	—	43	Oktober
5.1	5.6	6.0	5.6	5	6	10	21	78	18	28	16	15	16	—	—	13	8	12	—	33	—	—	—	12	—	—	45	November
3.6	4.2	3.2	3.7	—	4	2	6	44	13	13	10	7	10	—	—	5	14	5	—	28	—	—	—	13	—	—	52	Dezember
5.5	5.7	6.0	5.7	110	81	132	323	1821	62	IX	184	175	134	5	18	180	82	125	—	498	—	—	—	299	—	—	301	Jahr

Beobachter: Couvent des Capucins

Sion

6.1	6.1	5.4	5.9	1	—	—	1	85	30	26	13	12	8	—	—	1	7	14	1	2	6	—	1	4	2	—	77	Januar
6.4	5.8	4.6	5.6	—	—	4	4	1	1	13	2	—	2	—	—	4	5	11	6	4	6	—	2	6	13	1	49	Februar
5.4	5.2	4.0	4.9	—	—	—	—	20	12	22	8	5	1	—	—	—	9	5	2	8	12	—	—	6	15	1	49	März
5.9	6.4	5.8	6.0	—	—	—	—	26	13	16	7	5	1	—	—	—	5	13	1	7	6	1	1	15	22	1	36	April
4.0	5.2	5.1	4.8	—	—	—	—	67	22	18	9	6	—	1	—	—	9	4	3	5	7	—	2	9	17	2	48	Mai
4.8	6.5	5.5	5.6	—	—	—	—	13	4	5	7	4	—	—	1	—	4	4	3	3	4	—	—	12	28	2	38	Juni
4.6	4.8	4.8	4.7	—	—	—	—	100	24	8	13	11	—	—	7	—	5	5	7	3	1	—	1	14	31	6	30	Juli
5.8	6.3	5.9	6.0	1	—	1	2	127	30	18	18	15	—	—	1	2	3	8	8	—	4	—	2	15	15	6	43	August
4.2	3.9	2.1	3.4	1	—	—	1	38	10	25	9	5	—	—	—	1	14	2	5	4	3	—	4	3	15	3	53	September
4.8	4.6	3.5	4.3	—	—	—	—	29	10	5	7	5	—	—	—	—	11	8	10	3	—	—	4	6	15	3	52	Oktober
6.5	5.9	4.8	5.7	—	—	—	—	15	9	28	8	4	2	—	—		7	11	3	3	1	8	3	4	6	6	56	November
4.6	3.7	2.6	3.6	—	—	—	—	4	3	26	2	1	1	—	—	—	9	3	1	10	1	1	—	—	—	—	80	Dezember
5.3	5.4	4.7	5.0	3	—	5	8	525	30	VIII	103	73	15	1	9	8	88	88	50	52	51	10	20	94	179	31	611	Jahr

Chippis

$\lambda = 7° 32'$, $\beta = 46° 17'$, $H_b = 522.5^m$, $G = -0.14$ m/m, $h_r = 1.5^m$

1956	Luftdruck					Luft-Temperatur								Relative Feuchtigkeit					
	Mittel	Minimum	Tag	Maximum	Tag	7³⁰	13³⁰	21³⁰	Mittel	Minimum	Tag	Maximum	Tag	7³⁰	13³⁰	21³⁰	Mittel	Minimum	Tag
Januar	715.7	702.8	9	724.8	4	−2.0	3.3	−0.7	0.0	−10.4	4	9.7	28	87	66	85	79	35	21
Februar	713.8	700.7	13	728.1	5	−9.4	−2.1	−6.5	−6.1	−16.2	11	9.8	29	80	47	70	66	32	25
März	715.7	706.3	24	725.5	6	1.8	10.3	5.9	6.0	−7.4	12	19.0	28 . 30	78	45	60	61	23	11
April	712.5	704.2	27	723.6	9	4.5	13.3	7.4	8.1	−4.8	8	21.0	12 . 15	80	40	65	62	20	7
Mai	719.2	710.7	22	726.9	7	11.5	20.4	14.1	15.0	5.6	1	32.0	28	73	41	64	59	25	28
Juni	717.7	711.9	7	721.6	13	12.6	20.6	14.6	15.6	8.0	8	28.6	4	77	40	70	62	25	29
Juli	717.2	710.4	14	724.1	4	15.3	23.2	17.0	18.1	11.6	20	28.8	8	81	49	72	67	32	18
August	715.9	707.6	25	725.9	8	13.1	20.5	15.0	15.9	5.3	30	29.5	10	89	57	82	76	35	13 . 16
September	718.4	710.5	26	723.6	30	11.2	21.8	14.5	15.5	4.5	29	26.0	23	90	49	80	73	33	22
Oktober	720.3	709.6	30	728.7	12	4.0	13.7	5.9	7.4	1.8	9	24.0	1	92	48	89	76	27	13
November	717.7	706.3	28	728.7	6	−0.3	6.7	0.8	2.0	−8.0	22	15.0	1	92	58	86	79	26	8
Dezember	721.6	710.2	31	728.1	3	−3.5	3.9	−1.8	−0.8	−11.8	25	9.8	16	89	56	85	77	38	24
Jahr	717.1	700.7	II	728.7	X XI	4.9	13.0	7.2	8.1	−16.2	II	32.0	V	84	50	76	70	20	IV

Montana

$\lambda = 7° 29'$, $\beta = 46° 19'$, $H_b = 1453.2^m$, $G = -0.24$ m/m, $h_r = 1.5^m$

Januar	637.3	625.2	9	644.7	4	−3.0	1.1	−1.7	−1.3	−10.1	8	6.3	5	74	63	71	69	30	23
Februar	632.8	620.6	13	645.5	29	−12.4	−6.4	−10.7	−10.0	−22.7	3	5.0	29	70	56	70	65	32	7. 22
März	638.2	631.8	24	646.4	1	−1.3	3.6	0.4	0.8	−12.1	12	12.0	30	69	57	61	62	28	30
April	635.7	627.2	5	644.8	9	0.9	5.9	2.4	2.9	−9.8	8	12.6	15	76	54	63	64	27	7
Mai	643.3	637.0	19	649.4	6	7.6	13.0	8.6	9.4	−1.1	1	23.9	28	72	50	64	62	32	16 . 28
Juni	642.2*	637.3*	7	645.4*	13	8.2*	13.2*	9.3*	10.0*	—	—	—	—	80*	55*	70*	68*	—	—
Juli	642.6*	636.4*	2	649.0*	25	11.9*	17.7*	13.0*	13.9*	—	—	—	—	80*	59*	71*	70*	—	—
August	641.1	633.4	25	649.4	8	10.6	15.8	11.5	12.3	4.1	30	25.9	9	80	61	76	72	26	9
September	643.3	635.5	26	647.4	30	10.4	15.9	10.8	12.0	5.9	27	18.7	5. 10	76	58	66	67	30	22
Oktober	643.1	632.2	30	650.3	22	3.3	8.2	3.7	4.7	−4.0	31	18.1	1	76	61	77	71	27	15
November	639.3	629.0	29	648.8	6	−1.9	2.0	−1.2	−0.6	−7.4	30	9.7	8	77	62	76	72	23	8. 9
Dezember	642.4	633.6	31	647.6	18	−3.4	1.2	−2.5	−1.8	−12.4	25	6.9	16	68	56	69	64	27	12 . 18
Jahr	640.1	620.6	II	650.3	X	2.6	7.6	3.6	4.4	−22.7	II	25.9	VIII	75	58	69	67	—	—

Reckingen

$\lambda = 8° 15'$, $\beta = 46° 28'$, $H_b = 1332.4^m$, $G = -0.22$ m/m, $h_r = 1.5^m$

Januar	648.1	636.0	9	656.1	3. 4	−7.5	−1.5	−5.6	−5.0	−17.6	8	2.8	15	86	68	85	80	39	23
Februar	644.0	631.4	13	657.4	29	−17.5	−7.1	−13.6	−13.0	−29.2	3	2.2	25	83	56	78	72	36	28
März	649.2	643.7	24	656.1	1	−4.6	2.6	−1.9	−1.4	−16.7	13	9.6	28	82	55	76	71	31	11
April	646.3	637.3	5	655.6	9	−1.4	5.8	0.6	1.4	−15.4	8	10.0	24	81	49	78	69	32	8
Mai	654.0	647.5	19	660.5	6	6.8	13.9	6.6	8.5	−0.5	1	22.3	29	74	47	74	65	29	9. 28
Juni	652.6	647.9	7	655.9	27	8.8	15.0	8.2	10.1	1.4	8	21.4	5	75	47	77	66	31	16
Juli	652.9	646.5	20	659.3	25	12.2	19.6	12.1	14.0	4.6	2	27.3	8	76	48	76	67	28	8
August	651.5	643.7	25	660.3	8	10.0	16.9	10.7	12.1	3.8	29	27.4	9	84	55	83	74	25	9
September	654.2	647.5	26	658.7	30	7.6	17.6	9.4	11.0	1.3	22	21.5	5 . 15 20	90	49	84	75	28	22
Oktober	653.7	642.0	30	662.8	22	0.8	9.8	1.9	3.4	−9.2	31	20.7	1	91	52	89	78	21	15
November	650.1	638.8	28	660.6	6	−4.6	2.1	−3.1	−2.2	−11.7	30	8.0	11	89	64	87	80	36	9
Dezember	653.5	644.2	31	659.8	3. 4	−9.1	−2.2	−7.4	−6.5	−20.4	25	3.9	16	86	65	84	78	50	16 . 18
Jahr	650.8	631.4	II	662.8	X	0.1	7.7	1.5	2.7	−29.2	II	27.4	VIII	83	55	81	73	21	X

Graubünden

Chur I

$\lambda = 9° 32'$, $\beta = 46° 51'$, $H_b = 633^m$, $G = -0.13$ m/m, $h_r = 1.5^m$

Januar	705.5	693.5	9	716.3	4	0.6	4.0	1.6	1.9	−6.4	31	10.8	12 . 15	72	63	72	69	32	9
Februar	704.9	692.6	13	718.2	5	−11.3	−7.0	−8.9	−9.0	−21.5	11	4.4	24	77	60	76	71	35	22 . 24
März	706.5	698.3	24	715.7	6	2.0	7.7	3.8	4.3	−9.0	13	17.3	30	67	49	62	59	24	30
April	703.0	694.3	5	713.5	9	4.9	10.8	7.0	7.4	−3.7	8	18.8	15	73	47	66	62	24	10
Mai	710.0	702.3	22	717.0	7	9.5	16.5	12.2	12.6	2.4	20	27.0	28	80	51	69	67	25	6
Juni	708.8	702.5	7	712.9	15	10.8	16.3	12.6	13.1	2.2	8	24.6	6	84	59	82	75	37	4
Juli	707.9	700.7	19	715.5	25	14.1	21.0	16.5	17.0	10.1	22	27.2	8	86	55	76	72	32	27
August	706.3	697.2	25	716.5	7	13.3	18.9	14.9	15.5	6.6	30	30.6	10	88	64	85	79	26	10
September	709.2	701.7	26	713.7	15	12.5	19.2	14.5	15.2	9.2	29	24.2	10	85	59	81	75	33	22
Oktober	710.5	699.7	5	718.5	22	5.4	11.4	7.2	7.8	−0.5	31	23.3	2	87	64	84	78	40	2
November	708.0	694.1	28	719.5	7	0.8	3.9	1.6	2.0	−3.1	22	10.2	11	89	75	86	83	42	10
Dezember	711.4	701.0	31	717.7	3	−0.1	3.1	1.0	1.3	−8.0	25	10.0	16	78	64	76	73	35	29
Jahr	707.7	692.6	II	719.5	XI	5.2	10.5	7.0	7.4	−21.5	II	30.6	VIII	81	59	76	72	24	III IV

Beobachter: Aluminium-Industrie-AG

Chippis

Bewölkung 7³⁰	13³⁰	21³⁰	Mittel	Termine mit Nebel 7³⁰	13³⁰	21³⁰	Total	Niederschlag Summe	Maximum	Tag	Zahl der Tage ● *	●* ≧1.0	*	▲	⚠	≡	heiter	trüb	Windverteilung N	NE	E	SE	S	SW	W	NW	Calmen	1956
6.5	6.1	5.2	5.9	—	—	—	—	79	28	26	14	10	9	—	—	—	7	11	6	49	2	2	8	13	9	4	—	Januar
6.2	6.2	5.4	5.9	1	—	—	1	2	1	19	3	1	3	—	—	1	5	8	2	26	1	1	5	36	15	1	—	Februar
5.7	6.0	4.7	5.5	—	1	—	1	13	9	22	4	3	1	—	—	1	7	9	3	36	—	—	6	23	19	4	2	März
6.2	6.5	5.7	6.1	—	—	—	—	27	13	16	9	4	1	—	—	—	4	13	2	27	—	2	5	44	7	3	—	April
4.3	5.6	5.1	5.0	—	—	—	—	52	21	19	7	6	—	—	1	—	7	8	2	26	—	7	6	45	4	3	—	Mai
5.3	7.0	6.7	6.3	—	—	—	—	10	3	5	6	3	—	—	—	—	1	7	6	11	—	2	7	57	3	4	—	Juni
5.0	5.0	4.4	4.8	—	—	—	—	74	15	13	13	10	—	—	—	—	6	4	5	26	—	2	2	51	7	—	—	Juli
6.4	7.1	6.2	6.6	—	—	—	—	113	27	18	17	11	—	—	—	—	2	10	6	26	—	3	5	49	4	—	—	August
4.6	5.2	3.1	4.3	—	—	—	—	38	12	25	6	5	—	—	—	—	9	4	—	39	—	2	6	35	8	—	—	September
4.6	4.8	4.2	4.5	—	—	—	—	29	9	3	6	5	—	—	—	—	11	10	—	38	1	2	5	43	2	2	—	Oktober
6.9	6.0	6.1	6.3	—	—	—	—	13	7	28	5	3	1	—	—	—	5	12	1	24	—	3	2	30	6	2	22	November
4.9	3.7	3.4	4.0	1	—	—	1	6	*4	26	3	2	2	—	—	1	10	6	4	51	—	16	5	14	2	1	—	Dezember
5.5	5.8	5.0	5.4	2	1	—	3	456	28	I	93	63	17	—	1	3	74	102	37	379	4	42	62	440	86	24	24	Jahr

Beobachter: Sanatorium «La Moubra»

Montana

5.4	4.7	5.6	5.2	1	1	2	4	116	36	26	12	12	10	—	—	4	7	8	1	1	16	1	—	—	29	2	43	Januar
4.7	5.0	4.6	4.8	1	1	3	5	10	3	19	8	3	8	—	—	4	9	6	1	—	10	2	1	1	17	1	54	Februar
5.3	5.5	5.2	5.3	1	—	—	1	21	11	22	7	5	4	—	—	1	7	10	3	—	30	1	2	3	22	1	31	März
6.4	6.7	5.6	6.2	1	1	—	2	62	19	16	14	9	8	—	—	2	5	13	1	3	10	8	2	4	26	7	29	April
3.6	5.5	4.5	4.5	1	1	1	3	90	28	19	10	9	1	—	1	4	11	6	—	1	13	5	1	4	30	10	29	Mai
*5.2	*6.5	*6.3	*6.0	?	?	?	?	30	8	7	9	6	—	—	?	?	?	?	—	—	—	—	—	—	—	—	—	Juni
*4.7	*5.0	*4.4	*4.7	?	?	?	?	99	17	10	12	12	—	—	?	?	?	?	—	—	—	—	—	—	—	—	—	Juli
5.8	6.5	5.5	5.9	2	—	1	3	170	35	18	17	16	—	—	—	3	3	7	1	1	8	1	3	8	19	5	47	August
3.5	4.1	3.0	3.5	—	—	1	1	50	15	26	7	5	—	—	—	1	10	3	—	—	27	—	—	1	15	2	45	September
4.8	5.0	4.1	4.6	2	1	1	4	53	17	6	9	8	7	—	—	4	11	9	1	2	13	—	1	9	23	7	37	Oktober
6.7	6.3	5.3	6.1	7	4	5	16	31	17	28	7	6	6	—	—	9	6	11	5	5	10	5	8	12	21	7	17	November
4.4	3.4	2.2	3.3	2	—	—	2	7	*4	26	3	3	2	—	—	2	12	4	5	9	7	4	3	10	13	11	31	Dezember
5.0	5.3	4.7	5.0	—	—	—	—	739	36	I	115	94	46	—	—	—	—	—	—	—	—	—	—	—	—	—	—	Jahr

Beobachter: Th. Weissen

Reckingen

5.1	5.3	4.5	5.0	—	—	1	1	101	44	26	10	10	10	—	—	1	11	11	1	—	—	—	—	—	—	—	92	Januar
5.0	5.5	2.7	4.4	5	1	—	6	14	4	8	8	7	8	—	—	5	10	6	2	1	1	—	—	—	—	—	83	Februar
5.5	5.4	4.7	5.2	5	2	2	9	152	78	22	8	8	8	—	—	5	13	13	—	4	—	—	1	2	—	—	86	März
4.9	6.0	6.1	5.7	—	—	—	—	95	50	16	10	8	5	—	—	—	10	12	1	5	2	—	1	1	—	—	80	April
4.1	4.4	3.7	4.1	—	—	—	—	131	25	19	14	12	1	—	1	—	13	8	3	2	6	—	2	1	1	2	76	Mai
5.8	6.6	6.1	6.2	—	—	—	—	78	27	7	11	10	2	—	—	—	3	11	5	8	2	—	1	2	1	3	68	Juni
4.7	4.4	3.9	4.3	2	—	—	3	132	45	2	13	13	—	—	1	2	10	5	1	—	2	—	4	4	—	—	82	Juli
6.7	6.0	6.0	6.2	3	—	—	2	163	45	10	15	14	—	—	1	3	3	12	1	—	1	—	1	7	—	—	83	August
4.0	4.4	3.0	3.8	3	—	1	4	105	30	25	9	6	—	—	—	4	12	5	—	1	2	—	5	—	—	—	82	September
4.9	4.7	4.1	4.6	8	2	—	10	57	13	3	9	9	7	—	—	9	13	10	—	1	—	—	2	6	—	—	84	Oktober
6.1	5.7	5.1	5.6	10	3	1	14	49	18	27	8	8	7	—	—	11	8	12	—	—	—	—	1	1	—	—	88	November
3.5	3.2	2.0	2.9	2	—	1	3	7	4	22	2	2	2	—	—	2	17	5	—	—	—	—	—	—	—	—	93	Dezember
5.0	5.1	4.3	4.8	38	8	6	52	1084	78	III	117	107	50	—	3	42	123	110	14	22	16	—	18	24	2	5	997	Jahr

Graubünden

Beobachter: Kantonsschule

Chur I

6.9	6.4	6.0	6.4	—	—	—	—	66	34	26	8	6	4	—	—	—	4	13	—	—	—	22	2	—	—	8	61	Januar
6.1	4.9	8.0	6.3	1	—	—	1	18	7	8	8	5	7	—	—	1	2	10	1	1	—	9	—	1	—	15	60	Februar
6.8	5.9	6.0	6.2	—	—	—	—	54	24	3	8	5	3	—	—	—	4	12	—	1	2	27	2	—	1	26	34	März
7.2	6.1	6.9	6.7	—	—	—	—	28	8	17	8	7	2	—	—	—	5	12	4	—	1	16	—	—	—	34	35	April
4.6	5.8	5.8	5.4	—	—	—	—	104	38	19	16	13	—	—	—	—	8	12	—	—	—	16	—	—	2	31	44	Mai
7.3	7.6	8.3	7.7	1	—	—	1	101	33	8	14	11	2	—	1	1	—	18	2	1	2	9	1	3	1	31	40	Juni
5.8	5.5	7.1	6.1	—	—	—	—	131	21	14	14	13	—	—	3	—	4	9	—	—	3	7	1	—	—	36	46	Juli
7.4	6.6	7.8	7.3	—	—	—	—	173	30	20	20	18	—	—	—	—	4	10	—	—	—	14	3	—	—	30	46	August
5.1	5.3	3.7	4.7	—	—	—	—	54	23	2	11	9	—	—	1	—	7	8	—	—	1	31	1	1	—	24	32	September
5.1	4.8	5.2	5.0	—	—	—	—	89	25	6	12	10	4	—	1	—	10	10	—	—	—	17	1	—	4	24	47	Oktober
7.5	6.7	7.8	7.3	—	—	—	—	35	8	26	12	10	5	—	—	—	5	19	1	1	—	10	—	—	1	17	60	November
6.2	5.9	6.0	6.0	—	—	—	—	12	4	13	6	5	3	—	—	—	5	12	—	—	22	—	3	—	—	6	62	Dezember
6.3	6.0	6.6	6.3	2	—	—	2	865	38	V	137	112	30	—	6	2	58	145	8	4	31	178	14	5	9	228	567	Jahr

Disentis

Die Abendbeobachtung erfolgt um 20.30

$\lambda = 8° 51'$, $\beta = 46° 42'$, $H_b = 1173.3^m$, $G = -0.19$ ‰, $h_r = 1.8^m$

1956	Luftdruck					Luft-Temperatur								Relative Feuchtigkeit					
	Mittel	Minimum	Tag	Maximum	Tag	7^{30}	13^{30}	21^{30}	Mittel	Minimum	Tag	Maximum	Tag	7^{30}	13^{30}	21^{30}	Mittel	Minimum	Tag
Januar	659.8	648.5	9	669.3	4	-1.2	2.2	-0.4	0.1	-8.5	8	7.7	22	72	60	74	69	24	22
Februar	656.9	644.6	13	668.8	29	-12.9	-7.4	-10.7	-10.5	-22.8	11	3.6	25	78	58	75	70	31	22
März	661.0	654.9	20	668.9	1	-0.5	4.2	1.1	1.4	-12.3	13	13.5	26 . 30	75	55	69	66	29	30
April	657.9	649.1	5	667.0	9	2.5	7.9	3.6	4.4	-7.7	8	14.0	11	74	50	72	65	27	4
Mai	665.5	658.3	19	672.2	7	8.3	14.2	9.6	10.3	-0.2	1	24.5	28	76	49	69	65	27	9
Juni	664.2	659.2	7	667.3	13	9.2	13.9	10.2	10.6	1.1	8	20.3	30	79	55	79	71	34	28
Juli	664.2	657.0	20	670.9	25 . 26	13.1	19.1	14.4	15.0	8.3	2	27.4	8	80	50	73	67	26	8. 26
August	662.5	654.3	25	672.0	8	11.7	17.0	13.0	13.5	6.4	29	26.6	10	83	57	81	74	25	31
September	665.5	658.9	26	669.9	30	11.0	17.0	12.8	13.4	7.7	28	21.2	5	80	54	77	70	26	15
Oktober	665.4	654.7	30	673.7	22	3.8	9.7	5.1	6.0	-3.0	27	20.2	1	80	56	80	72	24	15
November	662.0	649.7	28	672.8	7	-1.1	2.0	-0.2	0.0	-5.2	24	8.2	9	81	68	81	77	37	9
Dezember	665.4	656.7	31	670.9	4	-2.2	1.6	-1.1	-0.7	-11.1	25	8.2	17	72	57	72	67	34	17
Jahr	662.5	644.6	II	673.7	X	3.5	8.4	4.8	5.3	-22.8	II	27.4	VII	77	56	75	69	24	I X

Platta-Medels

$\lambda = 8° 51'$, $\beta = 46° 40'$, $H_b = 1378^m$, $G = -0.22$ ‰, $h_r = 1.2^m$

Januar	643.8	632.1	31	653.6	4	-6.5	2.0	-2.5	-1.6	-12.0	8	7.2	5	72	55	73	67	29	20
Februar	640.2	627.4	13	652.2	29	-15.7	-6.8	-13.6	-12.4	-26.1	3	5.7	28	81	54	79	71	35	28
März	645.1	639.0	20	652.9	1	-2.8	2.7	-1.5	-0.8	-16.0	13	10.1	27	78	57	72	69	34	11
April	642.1	632.7	5	651.2	9	-0.1	7.0	1.1	2.3	-12.0	8	13.1	10	79	52	77	69	31	24
Mai	650.0	642.9	19	656.7	6	5.8	13.6	6.8	8.2	-1.4	1	24.2	28	79	54	76	69	31	5
Juni	648.7	643.7	7	651.9	2	7.2	13.6	7.7	9.1	-0.4	8	21.4	3	81	53	83	72	34	16
Juli	649.1	642.4	20	656.7	25	10.4	19.7	12.2	13.6	6.1	2	28.8	8	81	50	79	70	31	4. 23
August	646.7	638.0	25	656.7	7	10.6	17.0	11.4	12.6	4.0	30	26.4	9	83	58	84	75	33	1
September	649.4	643.5	26	653.9	30	9.4	15.9	11.1	11.9	6.0	28	21.0	29	78	58	79	72	37	29
Oktober	649.2	638.2	29 . 30	657.5	21	2.2	10.2	3.0	4.6	-7.2	27	19.8	1	83	52	84	73	30	5
November	645.4	634.1	28	656.6	7	-3.7	2.0	-2.6	-1.7	-9.2	25	11.0	8	86	63	85	78	32	8
Dezember	648.6	639.2	31	655.2	3	-4.8	1.2	-3.5	-2.6	-19.2	24	8.6	19	77	52	79	69	33	18
Jahr	646.5	627.4	II	657.5	X	1.2	8.2	2.5	3.6	-26.1	II	28.8	VII	80	55	79	71	29	I

Platta-Medels: Beobachterwechsel im September

Arosa

$\lambda = 9° 41'$, $\beta = 46° 47'$, $H_b = 1818.2^m$, $G = -0.26$ ‰, $h_r = 1.8^m$

Januar	608.6	597.3	9	617.8	4	-5.1	-1.9	-4.4	-4.0	-12.2	26	3.0	17	76	66	80	74	24	17
Februar	604.1	592.3	13	616.8	29	-15.8	-10.7	-15.3	-14.3	-28.4	2	1.6	26	82	62	81	75	27	22
März	609.8	604.2	20	617.0	1	-4.8	-0.3	-4.6	-3.6	-19.0	12	8.1	30	80	59	80	73	25	30
April	607.5	598.3	5	615.8	9	-1.7	2.2	-2.2	-1.0	-13.2	7	8.8	12	81	61	85	76	20	10
Mai	615.7	609.0	19	621.9	6	4.8	8.3	3.4	5.0	-4.4	1	20.0	28	76	63	84	74	32	6
Juni	614.6	610.7	9	617.7	13	5.0	8.2	3.8	5.2	-2.2	8	16.2	6	85	69	89	81	41	5. 30
Juli	615.3	609.2	20	622.1	25	9.9	14.3	8.6	10.4	0.8	2	22.2	8	78	59	84	74	27	26
August	613.6	605.5	25	622.0	8	8.7	12.6	8.0	9.3	-0.1	29	23.0	10	86	67	90	81	24	10
September	616.3	609.2	26	620.4	30	7.8	13.0	8.0	9.2	1.7	27	16.7	5	80	59	86	75	34	22
Oktober	614.9	603.6	30	623.1	22	0.3	5.3	0.4	1.6	-9.6	31	15.8	1	79	62	82	74	32	12
November	610.8	600.1	28 . 29	620.6	7	-4.5	-1.3	-4.5	-3.0	-11.0	24	6.3	9	82	69	84	78	23	9
Dezember	613.7	605.4	31	619.6	7	-5.3	-2.0	-4.5	-4.1	-16.2	25	5.3	16	74	60	75	70	27	18
Jahr	612.1	592.3	II	623.1	X	-0.1	4.0	-0.3	0.8	-28.4	II	23.0	VIII	80	63	83	75	20	IV

Davos-Platz

$\lambda = 9° 44'$, $\beta = 46° 48'$, $H_b = 1560.7^m$, $G = -0.24$ ‰, $h_r = 9.5^m$

Januar	628.5	616.9	9	637.8	4	-7.7	-1.8	-5.7	-5.2	-17.6	8	3.4	12	80	62	80	74	33	23
Februar	624.6	612.2	13	636.8	29	-18.6	-9.1	-15.6	-14.7	-28.8	3	2.6	26	81	55	79	72	30	28
März	629.8	624.0	20	637.6	1	-5.6	1.5	-3.1	-2.6	-20.4	9. 13	9.4	30	80	54	80	71	28	30
April	627.2	617.9	5	636.0	9	-0.5	4.7	-0.0	1.0	-10.0	7	11.8	15	80	53	78	70	20	10
Mai	635.2	628.1	19	641.7	7	6.6	11.1	5.5	7.2	-1.6	1. 2	22.2	28	73	54	83	70	29	6
Juni	634.0	630.2	7	637.2	13	7.2	11.0	6.6	7.8	-0.2	8	19.9	5	80	62	86	76	35	16
Juli	634.5	628.2	20	641.5	25	11.8	16.5	10.4	12.3	4.6	2	23.1	8	74	53	83	70	24	26
August	632.7	624.4	25	641.6	8	10.0	14.7	9.5	10.9	1.9	29	24.8	10	82	61	85	76	26	10
September	635.6	628.4	26	640.1	15	7.5	15.2	8.6	10.0	4.1	27	18.8	5	86	54	85	75	35	15 . 22
Oktober	634.7	623.4	30	643.2	22	-0.9	7.1	0.8	1.9	-9.6	9	17.5	1	91	56	87	78	32	13
November	630.8	618.7	28	641.2	7	-5.5	0.1	-4.2	-3.5	-10.0	25	5.7	28	86	63	85	78	25	9
Dezember	634.0	625.1	31	639.8	17	-7.9	-2.0	-6.4	-5.7	-19.4	25	4.2	13	86	64	84	78	44	26
Jahr	631.8	612.2	II	643.2	X	-0.3	5.7	0.5	1.6	-28.8	II	24.8	VIII	82	58	83	74	20	IV

Disentis

Beobachter: P. Fl. Maissen

Bewölkung 7³⁰	13³⁰	21³⁰	Mittel	Termine mit Nebel 7³⁰	13³⁰	21³⁰	Total	Niederschlag Summe	Maximum	Tag	Zahl der Tage ● *	●* ≧1.0	*	▲	⇘	≡	heiter	trüb	Windverteilung N	NE	E	SE	S	SW	W	NW	Calmen	1956
6.1	5.8	6.8	6.2	—	—	1	1	69	24	26	11	8	10	—	—	3	4	10	8	3	1	—	4	13	9	3	52	Januar
5.2	4.8	6.0	5.3	—	—	—	—	19	4	8	11	7	11	—	—	—	4	8	6	4	5	5	5	3	2	3	54	Februar
6.5	6.0	5.9	6.1	—	—	—	—	121	62	22	11	11	7	—	—	1	6	12	4	9	5	2	3	22	6	4	38	März
6.2	5.9	6.4	6.2	—	—	—	—	121	40	17	12	11	7	—	—	—	5	12	14	13	2	4	9	18	2	2	26	April
5.0	5.9	5.9	5.6	—	—	—	—	118	32	19	14	13	5	—	1	—	6	11	14	7	5	3	6	10	5	4	39	Mai
7.4	7.5	8.0	7.6	—	—	—	—	135	51	7	13	12	2	—	1	—	—	14	7	15	11	1	2	8	5	5	36	Juni
5.2	5.6	6.6	5.8	—	—	—	—	138	32	14	15	13	—	—	2	—	3	7	10	12	5	1	1	11	3	5	45	Juli
6.8	6.2	7.9	6.9	—	—	—	—	231	50	29	19	18	—	—	2	3	2	12	16	14	7	2	3	7	3	4	37	August
5.3	5.1	4.9	5.1	—	—	—	—	128	35	25	10	10	—	—	1	—	8	8	6	5	4	2	4	13	7	5	44	September
4.9	4.5	4.9	4.8	—	—	—	—	107	34	25	13	10	9	—	—	2	11	8	3	9	2	3	1	4	1	3	67	Oktober
6.4	6.5	6.9	6.6	2	—	—	2	46	8	28	15	12	13	—	—	3	7	16	4	6	6	2	3	8	5	—	56	November
4.6	4.8	4.7	4.7	—	—	—	—	9	3	22	6	3	5	—	—	—	10	6	7	3	2	—	2	6	6	1	66	Dezember
5.8	5.7	6.2	5.9	2	—	1	3	1242	62	III	150	128	69	—	7	12	66	124	99	100	55	25	43	123	54	39	560	Jahr

Platta-Medels

Beobachter: B. Albin, C. Huonder

5.6	5.5	5.4	5.5	—	—	—	—	49	22	26	4	4	4	—	—	—	6	10	—	—	2	1	25	2	—	—	63	Januar
4.7	5.1	4.5	4.8	—	—	—	—	15	?	—	5	5	5	—	—	—	8	9	2	—	—	1	9	—	—	—	75	Februar
6.5	6.1	6.8	6.5	3	—	—	3	123	54	22	8	8	6	—	—	4	7	14	3	—	—	4	25	6	—	—	55	März
5.9	6.1	5.8	5.9	2	—	—	2	117	26	17	8	7	5	—	—	3	7	13	—	3	—	2	24	4	—	3	54	April
5.3	5.8	4.8	5.3	3	1	—	4	118	35	19	12	12	4	—	1	4	11	11	—	1	—	1	19	—	—	—	72	Mai
7.7	8.2	8.5	8.1	3	—	—	3	114	51	7	10	10	2	—	1	3	—	19	—	1	—	—	16	5	—	—	68	Juni
5.8	5.9	5.8	5.8	1	—	—	1	179	39	2	14	14	—	—	—	1	4	9	—	1	4	—	13	1	—	—	74	Juli
7.5	7.0	7.7	7.4	3	—	—	3	262	67	29	16	16	—	—	3	3	2	18	1	1	—	5	11	3	—	—	72	August
5.4	5.7	4.7	5.3	—	1	1	2	145	53	2	8	8	—	—	—	1	9	12	—	—	—	—	—	—	—	—	—	September
5.1	4.5	3.8	4.4	—	—	—	—	*110	?	—	*11	*10	*8	—	—	—	12	9	—	—	—	—	—	—	—	—	—	Oktober
6.8	6.7	6.3	6.6	—	—	—	—	42	8	14	10	10	9	—	—	—	6	16	—	—	—	—	2	1	7	—	80	November
4.4	4.0	4.2	4.2	2	—	—	2	4	2	22	4	1	3	—	—	2	10	8	—	—	—	—	2	3	13	—	75	Dezember
5.9	5.9	5.7	5.8	17	2	1	20	1278	67	VIII	110	105	46	—	5	21	82	148	—	—	—	—	—	—	—	—	—	Jahr

Arosa

Beobachter: Lichtklimatisches Observatorium, Frl. G. Perl, Florentinum

6.2	5.6	5.4	5.7	—	—	1	1	76	28	26	11	7	11	—	—	4	5	11	1	—	—	—	8	1	—	—	83	Januar
4.4	4.5	3.8	4.2	—	—	1	1	26	8	8	12	6	12	—	—	1	9	3	2	2	1	3	1	2	2	2	72	Februar
6.3	7.0	6.3	6.5	1	1	2	4	76	19	3	11	10	11	—	—	4	2	13	2	2	1	6	15	7	—	4	56	März
7.4	7.6	7.9	7.6	3	2	—	5	59	8	17	14	12	14	—	—	3	2	17	1	2	1	3	9	5	1	1	67	April
5.3	6.6	6.2	6.0	—	2	1	3	117	30	19	17	14	10	1	—	4	4	11	1	5	3	2	6	2	—	1	73	Mai
7.8	8.4	8.2	8.1	7	—	3	10	188	47	8	19	17	9	—	2	8	—	20	—	—	—	2	6	2	—	—	80	Juni
5.8	6.0	6.6	6.1	1	3	4	8	186	29	29	20	16	1	2	3	9	3	9	2	2	5	3	5	6	—	—	70	Juli
7.1	6.6	7.2	7.0	5	2	6	13	261	46	27	21	20	3	1	4	13	3	14	—	1	6	2	3	5	1	—	75	August
4.9	5.1	3.2	4.4	1	1	—	2	131	51	2	11	10	—	—	—	3	10	6	—	4	—	5	7	5	1	—	68	September
5.3	4.9	5.2	5.1	2	—	4	6	135	23	25	13	12	9	—	—	4	11	13	—	1	9	4	2	2	2	1	72	Oktober
6.3	6.2	7.2	6.6	1	2	—	3	51	9	28	11	10	11	—	—	7	4	15	1	—	—	—	2	3	—	—	84	November
4.9	5.3	4.8	5.0	1	1	2	4	13	3	3	7	6	7	—		4	8	9	—	—		—		2	1		90	Dezember
6.0	6.1	6.0	6.0	22	14	24	60	1319	51	IX	167	140	98	4	9	64	61	141	10	19	26	30	64	42	8	9	890	Jahr

Davos-Platz

Beobachter: Kurverein

5.6	5.8	5.9	5.8	—	—	—	—	87	40	26	10	8	10	—	—		6	12		—	5	2		3	—		83	Januar
4.9	4.7	3.4	4.3	—		—		18	7	8	6	4	6	—	—		9	5	—	6	14	6	—		—	—	61	Februar
6.6	7.1	5.5	6.4	—		—		81	34	3	9	9	9	—			3	14	—	8	11	6	2	8	4	—	54	März
7.3	7.3	7.3	7.3	—	—	—	—	25	5	5	11	9	11	—	—	—	4	17	—	10	19	8	3	9	1	—	40	April
5.1	6.8	5.8	5.9	—	—	—		84	32	19	14	10	6		1	—	7	11		10	17	7	2	3	2	—	52	Mai
7.5	8.3	8.0	7.9	—	—	—		124	38	8	18	16	8	—	2		1	19		14	18	5		8	—	—	45	Juni
6.0	6.6	7.1	6.6	—		—		147	24	29	18	16	—	—	4	—	3	13		7	21	9	1	5	1	1	48	Juli
7.2	7.1	7.2	7.2	—	—	—	—	167	32	20	19	17	1	—	3	—	2	18	2	8	16	6	—	8	—	1	52	August
5.2	5.4	3.2	4.6	—	—	—	—	115	46	13	8	8	—	—	—	—	9	6	—	9	9	4	4	5	1	1	57	September
5.5	4.9	4.9	5.1	—				89	20	6	13	9	9	—	1	—	9	9		3	16	7		3			64	Oktober
7.4	6.8	6.9	7.0	1		1	2	46	13	26	10	8	10	—	—	2	4	7		8	4	2	1	1	1	—	73	November
5.1	5.8	4.1	5.0	—	—	—	—	8	2	13	8	4	8	—	—	—	7	8	—	2	6	3	—	—	—	—	82	Dezember
6.1	6.4	5.8	6.1	1	—	1	2	991	46	IX	144	118	78	—	11	2	64	139	2	85	156	65	13	53	10	3	711	Jahr

Weißfluhjoch

$\lambda = 9° 48'$, $\beta = 46° 50'$, $H_b = 2667^m$, $G = -0.32$ m/m, $h_r = 3.0^m$, $H_r = 2540^m$

1956	Luftdruck					Luft-Temperatur								Relative Feuchtigkeit					
	Mittel	Minimum	Tag	Maximum	Tag	7^{30}	13^{30}	21^{30}	Mittel	Minimum	Tag	Maximum	Tag	7^{30}	13^{30}	21^{30}	Mittel	Minimum	Tag
Januar	545.9	534.4	9	555.6	4	−8.6	−7.3	−8.3	−8.1	−17.0	25	0.0	5	69	69	68	69	7	17
Februar	539.2	527.0	13	553.6	29	−18.6	−16.5	−18.6	−18.1	−29.7	14	−5.0	26	75	76	85	79	22	5
März	546.6	539.8	12	553.2	29	−9.4	−7.6	−9.6	−9.1	−23.4	12	−0.4	30	82	81	85	83	27	9
April	545.0	535.6	5. 6	552.7	9	−8.0	−5.9	−7.4	−7.1	−20.9	7	0.7	15	88	84	86	86	17	10
Mai	553.8	546.4	1	559.9	5. 6. 7	−1.5	0.3	−1.6	−1.1	−11.9	1	9.0	28	82	83	86	84	27	20
Juni	553.0	547.4	9	558.2	30	−0.8	1.1	−0.6	−0.2	−7.6	8	6.9	5	88	88	94	90	27	16
Juli	554.8	548.2	20	561.0	25	3.8	6.8	3.9	4.6	−2.0	2	12.7	27	80	74	86	80	33	26
August	553.1	545.7	23	562.0	9	4.0	6.7	3.9	4.6	−5.5	30	16.6	9	80	77	85	81	30	10
September	555.6	548.4	26	560.0	15	3.9	7.7	4.6	5.2	−2.9	27	13.2	5	73	68	72	71	10	15
Oktober	552.8	540.1	30	561.4	22	−2.9	−0.3	−2.9	−2.0	−14.2	30	10.8	1	67	68	70	68	13	15
November	547.9	536.8	29	557.4	7	−7.2	−6.2	−7.2	−6.9	−16.8	30	2.4	8	72	75	74	74	9	8
Dezember	550.4	541.2	24	557.5	17	−8.7	−7.1	−8.0	−8.0	−21.2	24. 25	0.7	17	73	70	73	72	17	17
Jahr	549.8	527.0	II	562.0	VIII	−4.5	−2.4	−4.3	−3.9	−29.7	II	16.6	VIII	77	76	80	78	7	I

Schuls

$\lambda = 10° 18'$, $\beta = 46° 48'$, $H_b = 1253.2^m$, $G = -0.20$ m/m, $h_r = 1.5^m$

Januar	653.9	642.1	31	665.1	4	−7.7	−0.2	−5.4	−4.7	−17.0	8	4.0	27	82	61	82	75	40	17
Februar	650.5	638.0	13	663.7	5	−17.3	−5.6	−13.3	−12.4	−27.0	3	8.4	29	81	50	80	70	39	7
März	654.6	648.6	24	661.2	1	−3.4	5.5	−1.5	−0.2	−14.5	12. 13	15.2	30	82	49	79	70	28	30
April	651.5	642.3	5	660.8	9	1.8	9.4	2.5	4.1	−7.0	7. 8	16.0	15	80	46	72	66	22	10
Mai	659.2	650.8	25	666.5	6	8.1	16.2	7.9	10.0	−1.0	1	25.0	28. 30	73	43	74	63	23	16
Juni	657.8	654.0	7	661.0	13. 19	10.2	16.1	9.4	11.3	1.2	8	24.6	6	76	49	80	68	30	16
Juli	658.0	652.2	15	665.3	25	13.6	21.6	12.8	15.2	8.0	2	28.0	8. 27	73	44	75	64	24	26
August	656.4	648.6	25	665.7	8	12.3	20.1	11.8	14.0	5.0	31	30.0	10	77	48	82	69	25	10
September	659.6	653.1	26	664.9	30	8.9	18.9	9.9	11.9	3.0	15	22.4	1	87	50	86	74	33	6
Oktober	659.0	647.7	30	668.1	22	0.2	10.2	1.8	3.5	−6.5	9	20.0	1	89	53	90	78	34	12
November	655.7	641.8	28	666.1	6	−4.9	2.1	−3.1	−2.2	−10.0	25	5.0	14. 27	87	62	87	78	45	10
Dezember	659.2	650.7	31	666.3	18	−7.2	−0.8	−5.5	−4.8	−16.0	26	6.0	13	79	58	79	72	50	div.
Jahr	656.3	638.0	II	668.1	X	1.2	9.4	2.3	3.8	−27.0	II	30.0	VIII	80	51	80	70	22	IV

Buffalora (Ofenpaß)

$\lambda = 10° 16'$, β 46° 39', $H = 1968^m$, $G = -$ m/m, $h_r = 1.5^m$

Januar	—	—	—	—	—	−12.9	−2.0	−11.9	−9.7	−23.5	8. 26	1.2	16	86	65	92	81	27	17
Februar	—	—	—	—	—	−22.3	−8.2	−19.2	−17.2	−35.2	2	5.3	26	91	51	88	77	25	28
März	—	—	—	—	—	−9.1	0.5	−8.0	−6.2	−28.8	9	8.4	29	87	59	89	78	25	8
April	—	—	—	—	—	−4.1	3.5	−3.2	−1.8	−17.3	8	9.3	10	79	51	86	72	18	10
Mai	—	—	—	—	—	2.3	10.6	2.4	4.4	−11.8	12	19.5	30	73	50	87	70	28	5. 27
Juni	—	—	—	—	—	4.5	10.2	4.3	5.8	−3.0	8	19.4	6	79	53	87	73	28	16
Juli	—	—	—	—	—	7.7	16.2	7.2	9.6	−0.5	2	22.5	26	72	45	90	69	23	8
August	—	—	—	—	—	7.4	14.4	7.3	9.1	0.5	30	23.5	10	79	60	87	75	22	1
September	—	—	—	—	—	5.2	13.8	5.4	7.5	−0.1	22	19.2	15	92	52	91	78	20	15. 16
Oktober	—	—	—	—	—	−3.8	7.4	−2.7	−0.4	−15.4	31	18.0	14	93	47	94	78	20	13
November	—	—	—	—	—	−10.0	0.0	−8.4	−6.7	−17.4	29	4.5	8	93	58	89	80	28	8
Dezember	—	—	—	—	—	−14.4	−2.8	−12.3	−10.4	−26.2	25	5.0	4	94	52	92	79	36	2
Jahr	—	—	—	—	—	−4.1	5.3	−3.2	−1.3	−35.2	II	23.5	VIII	85	54	89	76	18	IV

Buffalora: Beobachterwechsel am 1. September

Bever

$\lambda = 9° 53'$, $\beta = 46° 33'$, $H_b = 1711.8^m$, $G = -0.26$ m/m, $h_r = 1.5^m$

Januar	617.7	606.6	31	627.3	4	−12.4	−3.2	−9.9	−8.9	−22.9	8	1.2	18	96	68	94	86	35	5
Februar	612.9	601.3	13	624.0	29	−21.2	−8.7	−15.9	−15.4	−31.2	5	3.0	27. 28	91	54	84	76	33	28
März	618.6	613.9	14	625.4	29	−7.1	0.9	−3.9	−3.5	−20.8	9. 13	10.0	26	90	61	80	77	26	4
April	615.9	606.5	5	624.1	9	−2.8	3.6	−1.0	−0.3	−11.4	7	10.2	11	87	55	82	75	18	10
Mai	623.6	616.3	19	630.4	6	2.7	11.0	4.6	5.7	−5.2	12	21.8	28	86	50	79	72	22	5
Juni	622.4	618.5	17	626.2	13	5.0	10.7	6.1	7.0	−1.6	8	17.0	6	84	61	86	77	30	16
Juli	623.5	617.5	20	630.1	25. 26	7.9	16.5	9.8	11.0	3.1	22	23.9	8	91	52	85	76	21	26
August	621.8	614.5	25	630.3	8	7.2	15.7	9.0	10.2	−0.1	30	24.8	9	94	51	90	78	23	9
September	624.8	618.5	26	629.4	30	4.4	15.4	6.9	8.4	−1.0	15. 16. 18	21.5	15	96	51	94	80	20	15
Oktober	623.3	611.4	30	631.7	21	−3.8	8.6	−0.8	0.8	−14.0	31	17.7	1	98	49	93	80	18	13
November	619.2	608.2	29	628.9	6. 7	−8.2	−0.1	−6.0	−5.1	−16.6	19	8.0	27	93	62	89	81	38	27
Dezember	622.4	614.5	24	629.5	18	−13.5	−3.0	−9.9	−9.1	−24.8	25	5.1	8	98	65	91	85	51	19
Jahr	620.5	601.3	II	631.7	X	−3.5	5.6	−0.9	0.1	−31.2	II	24.8	VIII	92	57	87	79	18	IV X

Beobachter: Eidg. Institut für Schnee- und Lawinenforschung

Weißfluhjoch

Bewölkung				Termine mit Nebel				Niederschlag			Zahl der Tage								Windverteilung									1956
7³⁰	13³⁰	21³⁰	Mittel	7³⁰	13³⁰	21³⁰	Total	Summe	Maximum	Tag	●*	●* ≥1.0	*	▲	⌇	≡	heiter	trüb	N	NE	E	SE	S	SW	W	NW	Calmen	
6.5	6.1	5.9	6.2	8	8	11	27	157	58	26	15	14	15	—	—	14	7	14	3	10	2	20	19	12	15	9	3	Januar
5.4	4.9	3.7	4.7	6	4	4	14	12	5	29	6	3	6	—	—	9	5	3	11	13	2	16	14	1	10	15	5	Februar
7.0	7.1	6.4	6.8	8	7	8	23	117	49	2	10	10	10	—	—	12	2	15	9	7	4	26	6	10	10	14	7	März
7.6	8.1	8.3	8.0	11	10	17	38	33	6	5	12	8	12	—	—	21	2	19	10	2	3	18	13	4	11	27	2	April
5.0	7.1	6.1	6.1	8	10	10	28	98	30	19	14	11	12	—	—	16	4	12	5	5	2	10	14	8	15	25	9	Mai
8.1	9.0	8.6	8.6	12	14	18	44	163	41	8	19	18	18	—	2	20	—	23	8	1	3	9	16	5	14	23	11	Juni
6.2	7.0	7.9	7.0	4	6	14	24	191	28	29	21	18	8	2	2	17	2	12	7	3	2	17	11	7	18	19	9	Juli
7.2	7.5	7.2	7.3	8	7	11	26	201	36	20	21	21	7	1	5	16	2	17	2	2	2	21	32	7	9	12	6	August
5.1	6.0	4.0	5.0	5	5	4	14	136	51	13	10	9	5	—	—	8	8	7	6	1	2	23	21	8	7	14	8	September
5.3	5.1	5.1	5.2	6	7	10	23	101	?	—	13	11	13	-	1	14	10	10	10	4	3	15	8	8	10	22	13	Oktober
6.5	6.0	6.7	6.4	6	7	11	24	76	27	26	12	10	12	—	—	15	5	14	13	8	4	18	14	3	5	16	9	November
5.1	5.6	4.9	5.2	6	5	8	19	21	10	13	12	6	12	-	—	11	8	7	11	7	2	10	19	6	11	23	4	Dezember
6.3	6.6	6.2	6.4	88	90	126	304	1306	58	I	165	139	130	3	10	173	55	153	95	63	31	203	187	79	135	219	86	Jahr

Beobachter: J. Stocker

Schuls

5.4	5.1	4.8	5.1	-	—	—	—	49	23	26	7	7	7	-	—	—	9	10	—	—	—	—	—	5	4	1	83	Januar
3.9	3.7	5.4	4.3	—	—	-	—	7	3	18	4	2	4	—		—	9	4	—	4	2	1	—	4	4	3	69	Februar
6.7	6.1	5.9	6.2	—	1	1	2	41	19	3	7	6	4	—	—	1	5	14	3	2	4	3	2	13	10	2	54	März
6.5	6.6	8.3	7.1	-	—	—	—	21	9	16	8	4	3	-	—	—	2	17	2	2	8	4	—	15	5	2	52	April
4.8	5.4	5.8	5.3	—	—	—	—	38	9	24	11	11	2	—	—	—	11	12	1	6	9	3	1	5	5	2	61	Mai
6.4	7.3	8.4	7.4	—	—	1	1	108	30	8	11	11	2	—	—	1	1	13	—	11	12	—	4	9	10	3	41	Juni
4.9	5.5	6.1	5.5	-	—	—	—	80	15	10	14	11			1	—	4	8	—	9	10	1	—	9	11	14	39	Juli
6.1	5.9	5.7	5.9	1	—	—	1	133	34	20	15	14	—	—	3	1	3	13	2	4	13	—	1	7	6	5	55	August
4.7	4.1	3.9	4.2	1	—	1	2	76	37	2	9	8	6	—	—	2	11	5	—	—	16	3	1	2	5	—	63	September
4.5	4.4	5.1	4.7	—	—	1	1	79	17	3	9	9	7	—	—	1	11	9	2	6	3	4	1	—	5	—	72	Oktober
5.8	5.6	6.6	6.0	2	—	2	4	14	4	14	7	5	1	—	—	4	5	12	1	2	4	2	—	3	5	1	72	November
4.0	4.5	4.4	4.3	—	—	—	—	1	1	13	1		—	—	—	—	9	6	1	—	—	—	—	32	4	—	56	Dezember
5.3	5.3	5.9	5.5	4	1	6	11	647	37	IX	103	88	36	—	4	10	80	123	12	46	81	21	10	104	74	33	717	Jahr

Beobachter: Ch. Waldburger, R. Cadisch

Buffalora (Ofenpaß)

5.2	4.4	3.9	4.5	—	—	—	—	54	20	26	9	8	9	—	—	—	11	6	—	35	1	9	2	14	—	29	3	Januar
4.0	4.7	3.6	4.1		—	—	—	8	2	18	5	4	5	—	—	—	6	2	4	29	3	4	—	29	—	17	1	Februar
5.6	6.4	6.0	6.0	1	—	—	1	52	10	23	12	11	12	-	—	1	5	11	2	22	3	22	—	22	—	21	1	März
6.5	6.7	5.9	6.4	—	—	—	—	20	5	16	11	18	11	-	—	—	1	11	—	21	2	27	1	26	—	12	1	April
4.6	6.1	5.2	5.3	—	—	—	—	60	9	10	13	13	5	—	—	—	6	8	7	22	8	14	2	16	—	20	4	Mai
6.2	7.6	7.3	7.0	—	—	—	—	148	24	14	16	16	6	1	—	-	2	9	—	13	6	5	1	35	—	30	—	Juni
5.0	5.9	5.9	5.6	—	—	—	—	129	29	14	14	14	—	—	2	—	4	8	3	10	1	15	—	34	1	28	1	Juli
5.8	6.1	6.3	6.1	2	—	—	2	288	49	22	17	17	1	—	2	2	5	10	3	23	1	15	1	32	1	17	—	August
4.8	5.0	4.1	4.6	1	—	-	1	120	40	2	6	6	-	-	1	2	10	7	9	11	8	11	1	4	6	7	33	September
4.0	4.2	3.8	4.0	1	—	-	1	87	24	26	10	9	8	—	—	1	13	5	2	9	1	3	3	—	16	1	58	Oktober
5.3	5.3	5.5	5.4	1		—	1	20	5	26	9	7	9	—	—	1	4	5		4	3	2		-	4	7	70	November
3.6	4.2	2.8	3.5	—	—	—	—	0	—	—	—	—	—	—	—	—	10	1	—	1	2	—	—	—	1	6	83	Dezember
5.0	5.5	5.0	5.2	6	—	—	6	986	49	VIII	122	113	66	1	5	7	77	83	30	200	39	127	11	212	29	195	255	Jahr

Beobachter: Stationspersonal Rh. B.

Bever

4.8	5.2	5.0	5.0	—	—	1	1	30	8	26	10	7	10	—	—	1	9	9	1	1	—	—	—	8	2	—	81	Januar
4.3	4.4	3.4	4.0	—	—	—	—	2	2	8	2	1	2	—	-	—	7	2	2	18	—	1	—	—	5	—	61	Februar
6.7	6.5	4.9	6.0	—	—	—	—	32	9	21	10	7	8	—	—	—	8	13	3	8	1	—	1	7	5	6	62	März
6.7	6.8	6.4	6.6	1			1	56	30	16	8	6	7	-	—	2	5	15	8	2	—	—	1	6	7	2	64	April
4.2	5.3	4.4	4.6	—	—	—	—	66	15	19	9	9	4	—	1	—	12	5	3	1	1	—	—	15	2	9	62	Mai
6.7	7.5	7.3	7.2	3	-		3	91	26	8	12	10	6	1	2	3	—	12		1	5		-	9	1	4	70	Juni
5.4	6.2	6.1	5.9	1	—	—	1	118	18	10	14	13	—	—	4	2	4	10	1	4	—	1	2	19	4	6	56	Juli
6.9	6.4	6.2	6.5	4	—	—	4	144	29	20	19	17	—	—	3	5	3	12	2	3	1	—	—	20	8	2	57	August
6.6	4.8	4.3	5.2	7	—	—	7	129	53	2	8	7	—	—	1	9	4	7	—	3	1	—	—	23	5	—	58	September
4.7	4.2	4.5	4.5	2	—	—	2	57	18	3	8	8	6	—	—	2	13	9	2	1	2	1	1	8	5	—	73	Oktober
6.7	6.0	5.2	6.0	1			1	11	4	11	7	4	7	-	—	2	4	11		8	2	—		4	-	1	75	November
4.4	4.4	3.1	4.0	—	—	—	—	1	1	31	1	0	1	—	—	1	11	2	—	2	1	—	—	2	—	1	87	Dezember
5.7	5.6	5.1	5.5	19	—	1	20	737	53	IX	108	89	51	1	11	27	80	107	22	52	14	3	5	121	44	31	806	Jahr

St. Moritz

$\lambda = 9° 51'$, $\beta = 46° 30'$, $H_b = 1833^m$, $G = -0.27$ ‰, $h_r = 1.5^m$

1956	Luftdruck					Luft-Temperatur								Relative Feuchtigkeit					
	Mittel	Minimum	Tag	Maximum	Tag	7^{30}	13^{30}	21^{30}	Mittel	Minimum	Tag	Maximum	Tag	7^{30}	13^{30}	21^{30}	Mittel	Minimum	Tag
Januar	607.8	596.3	31	617.4	4	-8.8	-2.2	-7.1	-6.3	-15.6	8. 26	2.1	16	83	55	79	72	31	25
Februar	610.3	589.9	13	615.5	29	-19.0	-8.7	-14.9	-14.4	-28.3	10	3.3	28	83	44	76	68	22	28
März	608.9	604.0	14	615.2	29	-6.3	0.0	-4.4	-3.8	-19.0	13	8.8	4	82	53	72	69	12	4
April	606.3	596.8	6	614.5	9	-2.6	2.6	-1.9	-1.0	-12.1	7	9.8	10	76	51	77	68	12	10
Mai	614.3	607.5	19. 25	620.9	6	3.8	9.6	4.1	5.4	-3.8	1	19.2	28	70	44	71	62	22	5
Juni	613.3	608.9	9	616.6	13	5.2	10.1	5.3	6.5	-2.2	8	17.8	29	76	56	81	71	34	13
Juli	614.2	608.1	20	620.8	25	8.5	15.1	9.2	10.5	3.7	2	22.7	8	82	53	83	73	31	4. 26 31
August	612.5	605.2	25	621.2	8	7.9	14.1	9.2	10.1	0.0	30	24.2	9	85	52	82	73	32	9. 10
September	615.4	609.1	27	620.0	30	5.4	13.2	7.6	8.4	2.2	4	18.8	15	90	54	84	76	24	16
Oktober	613.3	602.1	30	621.0	12	-2.1	7.3	0.1	1.4	-11.2	31	15.7	1	89	46	83	73	25	12. 13
November	608.9	598.3	29	619.0	6	-6.4	0.5	-5.1	-4.0	-13.8	25	7.9	8	82	60	82	74	27	9
Dezember	612.6	604.4	24	619.8	17	-9.8	-1.6	-7.5	-6.6	-20.0	25. 26	7.0	5	83	52	75	70	38	12. 18
Jahr	611.5	589.9	II	621.2	VIII	-2.0	5.0	-0.5	0.5	-28.3	II	24.2	VIII	82	52	79	71	12	IV V

Splügen-Dorf

$\lambda = 9° 19'$, $\beta = 46° 33'$, $H_b = 1504^m$, $G = -0.24$ ‰, $h_r = 2.2^m$

Januar	634.1	622.0	31	643.3	4. 5	-5.7	-1.8	-4.9	-4.3	-16.5	8	3.0	18	84	68	84	79	40	20. 26
Februar	629.9	617.1	13	642.2	29	-16.7	-8.9	-14.5	-13.7	-29.8	3	3.0	29	85	61	83	76	42	28
März	635.2	629.9	20	642.1	1	-3.0	0.9	2.6	-1.8	-17.0	9	8.0	30. 31	78	64	75	73	34	9
April	632.4	623.3	5	641.0	9	1.1	4.5	-0.2	1.3	-9.0	7	10.4	27	74	58	76	69	25	10
Mai	640.2	633.2	19	647.4	6	6.8	11.4	5.3	7.2	-3.0	21	22.4	28	69	56	66	64	30	5
Juni	639.1	635.1	7	642.4	13	8.4	11.1	6.7	8.2	-1.0	8	17.5	13	74	67	80	74	49	6
Juli	639.6	633.4	20	646.6	25	12.3	16.5	10.8	12.6	5.0	2	25.2	8	78	66	83	76	31	26
August	637.7	630.3	25	646.6	8	11.3	14.6	10.0	11.5	1.0	29	24.6	9	80	68	88	78	40	9
September	640.8	635.3	26	645.5	30	9.2	15.0	8.6	10.3	5.0	14. 29	19.0	16. 17	83	66	88	79	40	5
Oktober	639.8	628.7	30	648.3	22	2.0	7.8	1.1	3.0	-6.0	31	16.6	1	82	57	88	76	35	12. 23
November	636.0	624.3	28	646.4	7	-5.1	-1.3	-4.6	-3.8	-11.2	22	5.4	1	87	75	88	83	47	8
Dezember	639.2	631.3	31	644.9	17. 18	-7.8	-2.8	-6.2	-5.7	-20.0	26	4.2	17	86	73	85	81	44	29
Jahr	637.0	617.1	II	648.3	X	1.1	5.6	0.8	2.1	-29.8	II	25.2	VII	80	65	82	76	25	IV

Braggio

$\lambda = 9° 07'$, $\beta = 46° 18'$, $H_b = 1332.1^m$, $G = -0.21$ ‰, $h_r = 1.5^m$

Januar	648.2	638.8	9	657.5	4	-2.5	2.7	-1.5	-0.7	-8.1	8	10.2	5	77	70	75	74	35	25
Februar	642.7	628.4	13	653.9	29	-9.6	-1.9	-8.2	-7.0	-16.9	2	9.9	28	66	54	68	63	28	8
März	648.7	640.2	12	655.7	29	-0.7	4.7	-0.1	0.9	-9.3	12	14.9	4	73	63	74	70	30	8
April	646.1	637.4	5	658.7	1	1.4	6.2	2.2	3.0	-7.1	7	11.5	10	69	60	73	67	30	7. 8
Mai	653.2	646.4	25	660.1	6	8.1	14.4	9.4	10.3	1.7	2	20.9	9	67	51	64	62	25	7
Juni	652.2	647.8	8	655.4	13	9.7	14.3	9.9	10.9	1.7	8	18.9	2	69	62	74	68	40	1
Juli	652.7	646.4	20	658.2	25	12.8	18.6	13.6	14.7	7.9	16	23.9	8	74	64	75	71	38	24
August	651.2	644.0	23	658.4	8	12.7	18.1	13.2	14.3	5.3	29	24.1	10	79	68	80	76	35	12
September	654.2	649.2	26. 27	658.2	15	10.8	15.9	11.7	12.5	6.3	26	22.6	15	78	71	78	76	39	12. 13
Oktober	653.0	641.8	30	661.2	22	4.8	12.5	6.1	7.4	-3.5	27	21.3	1	65	55	67	62	36	7
November	649.5	638.3	28	658.2	6	-0.3	4.9	0.5	1.4	-6.3	22	16.0	8	72	66	73	70	31	7
Dezember	652.9	644.8	24	659.8	17	-1.8	4.2	-1.1	0.1	-9.7	26	12.9	5. 7	63	52	62	59	26	2
Jahr	650.4	628.4	II	661.2	X	3.8	9.5	4.6	5.6	-16.9	II	24.1	VIII	71	61	72	68	25	V

Tessin

Bosco-Gurin

$\lambda = 8° 30'$, $\beta = 46° 19'$, $H =$ ca 1510^m, $G = -$ ‰, $h_r = 1.5^m$

Januar	—	—	—	—	—	-4.0	-1.1	-3.1	-2.8	9.0	8	4.4	5	72	66	71	70	38	20
Februar	—	—	—	—	—	-10.5	-5.4	-9.3	-8.6	-18.0	14	6.0	28	64	59	65	63	30	28
März	—	—	—	—	—	-1.6	2.6	-0.8	-0.1	-10.0	12	10.4	4	71	62	69	67	28	8
April	—	—	—	—	—	0.0	4.7	0.8	1.6	-7.8	7	8.6	11	68	58	69	65	35	8
Mai	—	—	—	—	—	7.3	12.2	7.8	8.8	0.4	1	21.4	28	67	52	65	61	31	14
Juni	—	—	—	—	—	9.2	14.2	9.8	10.7	3.8	11	18.4	29	68	57	73	66	34	29
Juli	—	—	—	—	—	12.5	17.1	12.9	13.8	4.0	2	23.4	8	73	65	75	71	26	31
August	—	—	—	—	—	11.7	15.7	12.2	12.9	5.6	29. 30	23.6	9	79	70	82	77	32	30
September	—	—	—	—	—	9.7	14.1	10.5	11.2	6.0	22	20.0	17	82	72	83	79	43	12
Oktober	—	—	—	—	—	3.5	8.3	4.3	5.1	-3.0	27. 30	16.0	1	70	58	71	66	33	4
November	—	—	—	—	—	-0.7	1.4	-0.4	0.0	-6.4	24	8.0	7	74	70	72	72	31	25
Dezember	—	—	—	—	—	-2.8	-0.3	-2.6	-2.1	-10.5	25	7.0	4. 7	66	61	67	65	26	2
Jahr	—	—	—	—	—	2.8	7.0	3.5	4.2	-18.0	II	23.6	VIII	71	62	72	68	26	VII XII

Bosco-Gurin: Beobachterwechsel am 1. September

Beobachter: Ch. E. Christen

St. Moritz

Bewölkung				Termine mit Nebel				Niederschlag			Zahl der Tage								Windverteilung									1956
7³⁰	13³⁰	21³⁰	Mittel	7³⁰	13³⁰	21³⁰	Total	Summe	Maximum	Tag	● *	●* ≥1.0	*	▲	⌇	≡	heiter	trüb	N	NE	E	SE	S	SW	W	NW	Calmen	
4.9	5.2	4.3	4.8	—	—	1	1	20	4	17	11	8	11	—	—	1	7	7	11	3	—	—	3	27	8	1	40	Januar
3.7	4.1	3.4	3.7	—	—	—	—	3	2	18	2	1	2	—	—	—	8	4	19	19	1	—	1	11	4	—	32	Februar
6.1	6.7	5.2	6.0	—	—	1	1	19	8	21	7	4	7	—	—	1	6	11	4	18	4	—	—	31	8	1	27	März
6.7	6.9	6.7	6.8	—	1	—	1	36	17	16	8	5	7	—	—	1	3	14	9	10	3	—	1	20	8	—	39	April
4.2	5.5	3.9	4.5	—	—	—	—	58	16	18	11	8	4	—	—	—	10	6	8	13	3	2	2	19	6	1	39	Mai
6.7	7.5	6.4	6.8	1	—	—	1	88	29	8	11	7	5	—	1	1	—	9	1	18	6	2	1	20	1	—	41	Juni
5.1	5.7	4.8	5.2	1	—	—	1	102	17	19	13	13	—	—	1	1	5	6	7	7	9	—	2	30	1	3	34	Juli
6.3	6.6	5.9	6.3	1	—	—	1	138	32	20	18	16	1	1	3	2	2	11	2	4	2	—	4	37	2	—	42	August
6.2	4.5	3.8	4.8	5	—	1	6	125	64	2	8	8	—	—	—	6	8	6	2	3	1	—	1	31	2	—	50	September
4.7	4.2	4.0	4.3	—	—	—	—	62	19	3	9	9	7	—	—	—	13	8	3	19	—	—	—	18	2	—	51	Oktober
5.9	5.2	5.7	5.6	2	—	1	3	16	4	14	8	6	8	—	—	3	6	8	19	18	2	2	6	8	3	—	32	November
2.9	3.7	3.5	3.4	1	—	—	1	0.3	0.3	31	1	—	1	—	—	1	12	1	12	23	—	3	11	15	9	2	18	Dezember
5.3	5.5	4.8	5.2	11	1	4	16	667	64	IX	107	85	53	1	5	17	80	91	97	155	31	9	32	267	54	8	445	Jahr

Beobachter: J. Engi

Splügen-Dorf

5.8	5.5	5.0	5.4	—	—	—	—	35	14	26	7	5	7	—	—	—	7	8	—	—	—	—	—	—	—	—	—	Januar
4.2	4.9	3.0	4.0	—	—	—	—	14	9	6	5	4	5	—	—	—	9	2	—	—	—	—	—	—	—	—	—	Februar
6.8	6.5	5.0	6.1	—	—	—	—	48	16	23	8	7	8	—	—	—	6	10	—	—	—	—	—	—	—	—	—	März
7.5	7.0	6.9	7.1	—	—	—	—	73	?	—	*12	*12	*7	—	—	—	3	16	—	—	—	—	—	—	—	—	—	April
5.9	6.4	6.0	6.1	—	—	—	—	101	50	19	13	13	3	—	2	—	6	11	—	—	—	—	—	—	—	—	—	Mai
7.6	7.9	7.1	7.5	—	—	—	—	169	38	7	15	15	2	—	2	—	—	12	—	—	—	—	—	—	—	—	—	Juni
6.2	6.8	6.4	6.5	—	—	—	—	217	35	13	13	13	—	—	2	—	2	9	—	—	—	—	—	—	—	—	—	Juli
7.5	7.0	6.8	7.1	—	—	—	—	381	90	27	19	19	1	1	2	—	2	12	—	—	—	—	—	—	—	—	—	August
5.3	5.3	3.9	4.8	—	—	—	—	152	83	2	10	9	—	—	—	—	9	8	—	—	—	—	—	—	—	—	—	September
4.6	4.1	3.9	4.2	—	—	—	—	87	37	25	8	8	6	—	—	—	13	6	—	—	—	—	—	—	—	—	—	Oktober
6.7	6.3	5.7	6.2	2	—	2	4	27	6	28	8	7	8	—	—	4	6	14	—	—	—	—	—	—	—	—	—	November
4.3	4.8	2.7	3.9	—	—	—	—	1	1	31	2	—	2	—	—	—	9	1	—	—	—	—	—	—	—	—	—	Dezember
6.0	6.0	5.2	5.7	2	—	2	4	1305	90	VIII	120	112	49	1	8	4	72	109	—	—	—	—	—	—	—	—	—	Jahr

Beobachter: M. Berera

Braggio

5.4	6.8	5.4	5.9	3	4	1	8	51	25	9	8	6	8	—	—	5	6	9	5	19	3	12	4	—	—	4	46	Januar
5.4	6.4	2.7	4.8	1	3	—	4	4	3	19	2	2	2	—	—	3	6	3	5	15	3	18	9	1	—	1	35	Februar
6.3	6.5	4.7	5.8	2	2	2	6	174	81	22	9	8	6	—	—	4	6	12	4	10	8	17	9	1	1	10	33	März
6.0	7.8	6.6	6.8	1	2	2	5	169	44	16	12	11	15	—	—	4	2	13	12	11	4	11	11	1	—	2	38	April
5.0	6.4	4.5	5.3	3	2	1	6	142	52	19	11	11	—	—	3	4	4	8	10	13	3	10	7	5	1	3	41	Mai
5.9	7.8	7.2	7.0	1	—	—	1	138	59	7	10	10	2	—	4	2	1	11	9	11	12	7	12	1	2	2	34	Juni
5.2	6.2	4.8	5.4	2	1	1	4	307	72	1	10	10	—	—	7	4	7	11	1	9	3	25	16	4	1	4	30	Juli
6.1	6.4	5.8	6.1	—	2	—	2	398	101	27	16	14	—	—	6	2	3	11	3	5	5	16	15	5	—	1	43	August
5.6	5.7	4.9	5.4	3	2	3	8	169	57	25	8	6	—		1	6	5	6	3	1	2	26	11	1		1	42	September
4.0	4.0	3.6	3.9	1	3	2	6	92	39	25	6	5	3		1	4	11	4	8	7	17	21	14	-	2	1	23	Oktober
6.1	6.0	6.3	6.1	5	8	4	17	21	13	11	3	3	1	-	—	8	5	10	7	14	16	2	1		-	5	45	November
3.7	4.4	2.4	3.5	—	2		2	12	6	30	2	2	2	-	—	2	13	5	7	19	15	10	-	1	2	1	38	Dezember
5.4	6.2	4.9	5.5	22	31	16	69	1677	101	VIII	97	88	29		22	48	69	103	74	134	91	175	112	20	9	35	448	Jahr

Tessin

Beobachter: Frau R. Della Pietra, O. Sartori

Bosco-Gurin

5.5	5.9	5.7	5.7	—	2	3	5	70	23	26	15	13	15	—	—	4	5	10	—	—	—	—	1	5	—	4	83	Januar
4.5	4.8	3.5	4.3	2	4	1	7	27	16	20	7	5	7	—	—	5	5	3	2	—	—	—	—	3	1	14	67	Februar
5.9	5.8	5.2	5.6	6	3	3	12	253	72	22	11	10	11	—	—	8	9	12	—	—	—	1	3	16	—	8	65	März
5.9	6.4	6.6	6.3	2	3	2	8	255	94	16	14	12	14	—	—	6	2	13	—	—	—	—	2	4	2	13	69	April
4.5	5.0	4.2	4.6	1	2	—	3	174	48	22	12	12	1	2	4	2	9	4		—		—		22	2	12	57	Mai
5.3	6.7	6.6	6.2	—	—	—	—	121	54	7	12	11	2	—	2	—	1	8	3	—	—	—	—	21	4	10	52	Juni
4.4	6.2	4.8	5.1	1	—	—	1	328	78	2	16	14	—	2	6	1	6	7	—	—	—	—	2	14	2	1	74	Juli
5.5	6.6	6.0	6.0	1	—	—	1	257	57	10	19	19	—	—	3	1	3	9	1	—	—	—	1	11	1	6	73	August
5.6	7.3	4.8	5.9	1	2	2	5	276	118	25	12	10	—	—	3	5	4	10	—	—	—	—	—	7	1	5	77	September
3.6	4.5	3.1	3.7	—	—	1	1	74	28	25	7	7	4	—	—	1	14	5	—	—	—	—	—	3	1	3	86	Oktober
5.7	6.0	5.1	5.6	1	2	1	4	44	11	1	6	6	6	—	—	5	4	9	—	—	—	—	1	8	2	3	76	November
2.5	3.8	2.3	2.9	—	—	—	—	13	8	31	2	2	2	—	—	1	15	3	—	—	—	—	—	4	1	3	85	Dezember
4.9	5.7	4.8	5.1	16	18	13	47	1892	118	IX	133	121	62	4	18	39	77	93	6	—	—	1	10	118	17	82	864	Jahr

Bellinzona

$\lambda = 9° 02'$, $\beta = 46° 12'$, $H_b = 229.8^m$, $G = -0.05$ m/m, $h_r = 1.5^m$

1956	Luftdruck					Luft-Temperatur								Relative Feuchtigkeit					
	Mittel	Minimum	Tag	Maximum	Tag	7^{30}	13^{30}	21^{30}	Mittel	Minimum	Tag	Maximum	Tag	7^{30}	13^{30}	21^{30}	Mittel	Minimum	Tag
Januar	741.6	730.3	31	752.4	4	0.7	5.0	1.7	2.3	−3.1	8	10.2	19 . 28	82	62	84	76	21	25
Februar	738.1	723.8	13	751.4	4. 5	−3.9	2.1	−1.5	−1.2	−9.6	12	16.0	29	65	44	62	57	19	7. 14
März	741.7	735.6	4	749.7	29	3.6	9.7	6.7	6.7	−2.8	13	19.5	3	73	50	59	61	13	8
April	737.9	727.3	5	749.3	9	7.2	13.5	9.8	10.1	1.0	8	19.8	30	70	47	63	60	16	8
Mai	744.0	736.6	25	752.3	6	13.8	21.6	16.9	17.3	7.5	2	27.9	9	66	43	54	54	19	1
Juni	741.9	736.1	1	746.3	10	15.7	22.7	17.8	18.5	9.3	8	27.8	2	64	43	61	56	22	9
Juli	741.2	734.5	20	748.9	26	17.7	25.0	20.4	20.9	13.5	2	31.2	25	72	49	67	63	24	3
August	740.1	731.4	23	747.4	7	17.2	24.1	19.6	20.1	10.7	30	29.4	10	75	51	71	66	21	12
September	744.1	738.5	13	749.6	19	14.7	21.2	16.8	17.4	10.3	29	27.4	13	83	54	81	73	31	12
Oktober	744.8	731.8	30	754.5	12	6.9	15.5	9.8	10.5	1.8	9	22.7	1	82	45	76	68	21	30
November	742.4	729.9	29	751.2	6	4.2	9.2	5.8	6.3	−0.1	26	16.0	6	76	55	70	67	18	30
Dezember	746.6	739.2	24	754.6	17	0.8	6.8	2.1	3.0	−6.8	28	19.0	4	72	49	70	64	14	2
Jahr	742.0	723.8	II	754.6	XII	8.1	14.7	10.5	11.0	−9.6	II	29.4	VIII	73	49	68	64	13	III

Locarno-Muralto

$\lambda = 8° 48'$, $\beta = 46° 11'$, $H_b = 244.4^m$, $G = -0.01$ m/m, $h_r = 1.2^m$

Januar	740.6	728.6	31	751.5	4	1.8	5.6	2.6	3.2	−2.0	8	10.6	19	83	71	84	79	30	25
Februar	737.0	723.8	13	751.7	5	−3.0	2.1	−0.8	−0.6	−8.0	15	15.4	29	71	57	69	66	21	7
März	740.9	735.4	4	748.5	29	4.2	9.9	6.5	6.8	0.4	14	21.2	3	78	58	68	68	22	5
April	736.8	726.3	5	747.8	9	7.4	13.0	9.4	9.8	2.2	8	19.6	30	79	57	72	69	24	7
Mai	742.8	734.6	25	751.6	6	13.7	20.7	15.8	16.5	10.0	2	27.6	31	74	51	67	64	28	1
Juni	740.8	735.7	1	745.4	10	15.0	21.5	16.7	17.5	9.2	8	25.8	2	78	52	72	67	30	21
Juli	740.2	733.4	20	747.5	26	17.5	23.7	19.1	19.9	12.7	2	28.9	25	84	60	80	75	34	3
August	738.5	730.1	23	746.4	7	17.2	22.5	18.4	19.2	11.4	30	28.2	10	85	64	82	77	36	12
September	742.9	736.8	13	748.3	30	15.2	20.1	16.2	16.9	11.6	28	27.7	13	89	66	85	80	40	13
Oktober	743.6	730.2	30	753.3	12	8.0	14.8	10.2	10.8	2.0	28	20.5	4	87	58	81	75	30	6
November	741.0	728.8	29	748.7	6	4.9	8.9	6.1	6.5	1.6	26	13.0	8	79	68	76	74	32	30
Dezember	745.3	737.6	24	753.8	17	2.0	6.9	3.2	3.8	−4.4	26 . 28	16.6	4	75	61	72	69	35	23
Jahr	740.9	723.8	II	753.8	XII	8.6	14.1	10.3	10.8	−8.0	II	28.9	VII	80	60	76	72	21	II

Locarno-Monti

$\lambda = 8° 47'$, $\beta = 46° 10'$, $H_b = 378.9^m$, $G = -0.03$ m/m, $h_r = 1.2^m$

Januar	728.5	716.7	31	739.5	4	2.0	5.0	2.8	3.2	−2.6	8	11.0	19	73	69	77	73	20	25
Februar	724.5	711.2	13	739.0	5	−3.5	1.2	−1.3	−1.2	−8.9	15	15.8	29	66	55	66	62	17	7
März	728.8	724.0	4	736.7	9	3.9	8.7	6.6	6.4	−2.8	12	21.1	3	73	56	61	63	17	8
April	724.7	714.2	5	735.4	9	7.3	11.9	9.4	9.5	2.0	8	18.8	30	70	55	63	63	19	7
Mai	730 9	723.1	25	739.4	6	13.9	19.2	16.6	16.6	9.3	2	24.9	9	65	51	54	57	21	1
Juni	728.9	724.3	1	733.0	10	15.2	20.4	17.4	17.6	7.6	8	24.1	2	69	52	59	60	26	15 . 21
Juli	728.6	722.0	20	735.1	26	17.8	22.6	20.0	20.1	12.1	2	26.9	8	75	59	65	66	26	3
August	727.0	718.9	23	734.6	9	17.4	21.8	19.2	19.4	11.6	30	26.6	10	77	62	70	70	20	12
September	731.2	725.8	13	736.5	19	15.2	19.2	17.0	17.1	11.9	29	27.2	13	63	68	74	75	34	13
Oktober	731.7	718.5	30	741.1	21	8.4	13.8	10.7	10.9	2.8	27 . 28	19.9	2	76	56	69	67	26	6
November	728.9	716.3	29	737.1	6	5.1	8.3	6.6	6.7	1.4	23	14.0	6	71	64	66	67	21	30
Dezember	733.1	725.8	24	741.1	17	2.8	6.7	3.8	4.3	−4.2	27 . 26	17.8	4	61	54	61	59	22	23
Jahr	728.9	711.2	II	741.1	X XII	8.8	13.2	10.7	10.9	−8.9	II	27.2	IX	72	58	65	65	17	II III

Lugano

$\lambda = 8° 58'$, $\beta = 46° 00'$, $H_b = 276.2^m$, $G = -0.04$ m/m, $h_r = 1.5^m$

Januar	737.7	726.0	31	748.5	4	1.3	6.1	2.0	2.9	−3.4	8	11.4	25	84	67	86	79	32	25
Februar	734.1	720.7	13	748.5	5	−4.0	2.9	−2.0	−1.3	−10.2	12	19.4	29	74	62	75	70	31	7
März	737.9	732.6	5	745.8	29	3.0	11.1	5.7	6.4	−4.0	13	24.4	3	81	60	69	70	26	8
April	733.8	723.8	5	745.2	9	7.0	13.1	8.9	9.5	1.8	9	21.4	30	78	63	72	71	28	7
Mai	739.9	732.1	25	748.6	6	13.3	21.5	16.4	16.9	9.2	2	27.6	30	75	50	62	62	27	1
Juni	737.8	732.8	1	742.3	10	15.3	23.2	17.8	18.5	10.2	8	27.8	19	71	49	63	61	29	9. 19
Juli	737.4	731.4	20	744.1	26	17.9	25.4	20.3	21.0	12.2	2	30.2	25	77	56	72	68	31	3
August	735.9	728.2	3	743.9	8	17.7	25.5	19.5	20.5	12.2	29 . 31	30.8	10	76	53	72	67	28	12 . 30
September	740.2	733.9	13	745.7	19	14.8	22.6	16.9	17.8	10.8	29	31.8	13	83	58	81	74	29	13
Oktober	740.7	727.3	30	750.3	12	7.8	17.0	10.4	11.4	1.2	28	23.6	1	84	52	78	71	27	30
November	738.0	724.8	29	746.1	6	4.7	10.1	6.1	6.7	0.2	26	18.2	6	79	59	73	70	24	30
Dezember	742.4	735.0	23 . 24	750.4	18	1.0	8.0	2.5	3.5	−5.4	27	21.2	4	76	55	74	68	27	6
Jahr	738.0	720.7	II	750.4	XII	8.3	15.5	10.4	11.2	−10.2	II	31.8	IX	78	57	73	69	24	XI

Beobachter: A. Casari-Lienhard

Bellinzona

Bewölkung				Termine mit Nebel				Niederschlag			Zahl der Tage								Windverteilung									1956
7³⁰	13³⁰	21³⁰	Mittel	7³⁰	13³⁰	21³⁰	Total	Summe	Maximum	Tag	● *	●* ≧1.0	*	▲	⚡	≡	heiter	trüb	N	NE	E	SE	S	SW	W	NW	Calmen	
5.2	4.7	4.8	4.9	—	—	—	—	41	10	9	10	9	4	—	—	1	9	8	16	4	—	1	8	1	—	1	62	Januar
4.3	4.5	4.4	4.4	—	—	—	—	7	3	20	5	3	5	—	—	—	8	6	17	6	1	3	14	1	—	1	44	Februar
5.3	4.9	4.1	4.8	—	—	—	—	204	86	22	9	8	2	—	—	—	13	12	26	9	—	—	16	3	1	1	37	März
5.2	6.1	5.9	5.7	—	—	—	—	194	51	16	11	9	—	—	—	—	6	13	28	12	—	2	19	6	—	—	23	April
3.7	4.7	2.8	3.7	—		—	—	82	18	22	9	8	—	—	1	—	13	4	38	7	—	—	24	6	—	—	18	Mai
4.5	5.9	5.6	5.3	—	—	—	—	123	35	7	14	10	—	—	—	—	6	7	27	18	1	4	21	2	1	1	15	Juni
4.1	4.6	4.9	4.5	—	—	—	—	252	78	13	10	9	—	1	3	—	10	6	26	10	—	—	25	8	—	—	24	Juli
6.1	5.3	5.4	5.6	—	—	—	—	278	79	27	15	14	—	—	5	—	6	9	38	14	—	—	24	7	—	—	10	August
5.8	5.5	4.0	5.1	—	—	—	—	187	64	25	9	6	—	—	2	—	6	7	17	15	1	—	24	5	—	—	28	September
3.1	3.4	3.5	3.3	—	—	—	—	75	37	25	7	6	—	—	1	—	15	5	19	21	—	—	15	9	—	1	28	Oktober
5.6	5.3	5.1	5.3	—	—	—	—	21	10	11	7	5	—	—	—	—	7	10	28	12	—	1	11	1	—	5	32	November
4.1	3.8	2.7	3.5	—	—	—	—	9	5	30	2	2	2	—	—	—	15	5	21	7	—	—	7	2	—	3	53	Dezember
4.7	4.9	4.4	4.7	—	—	—	—	1473	86	III	108	89	13	1	12	1	114	92	301	135	3	11	208	51	2	13	374	Jahr

Beobachter: Frau A. Mariani

Locarno-Muralto

4.9	4.4	4.6	4.6	1	—	—	1	57	14	9	9	9	2	—	—	1	10	8	—	—	—	—	—	1	—	—	92	Januar
5.2	4.2	4.2	4.5	—	—	—	—	12	5	21	4	4	4	—	—	—	6	7	2	—	1	1	4	—	3	1	75	Februar
5.4	4.1	4.4	4.6	—	—	—	—	295	118	22	9	9	2	—	—	—	12	11	1	1	—	1	5	6	1	1	77	März
5.2	5.4	6.3	5.6	—	—	—	—	286	94	16	12	11	—	—	—	—	6	12	1	—	1	1	5	2	3	4	73	April
3.8	4.6	3.7	4.0	—	—	—	—	137	46	19	10	19	—	1	2	—	10	4	—	1	2	1	4	3	13	2	67	Mai
4.2	5.4	5.6	5.1	—	—	—	—	156	54	7	13	11	—	—	3	—	6	7	3	1	2	3	4	2	8	5	62	Juni
3.8	4.4	4.8	4.3	—	—	—	—	420	88	2	9	9	—	—	5	—	10	4	2	—	—	—	5	7	11	1	67	Juli
6.0	5.2	6.2	5.8	—	—	—	—	548	211	27	17	16	—	—	8	—	4	9	2	—	1	2	3	2	7	5	71	August
5.7	5.4	3.6	4.9	—	—	—	—	173	73	25	8	8	—	—	1	—	7	7	1	—	—	—	3	4	7	—	75	September
3.0	3.5	3.0	3.2	—		—		102	48	25	7	6	—	—	2	—	15	3	2	1	—	1	4	3	5	—	77	Oktober
6.5	5.5	5.1	5.7	3	—	—	3	28	11	11	7	7	—	—	—	3	7	12	—	—	2	1	2	—	2	—	83	November
3.9	3.6	3.2	3.6	—	1	1	2	17	9	31	2	2	2	—	—	1	14	5	—	—	—	—	—	—	1	—	92	Dezember
4.8	4.6	4.6	4.7	4	1	1	6	2231	211	VIII	107	101	10	1	21	5	107	89	14	4	9	11	39	30	61	19	911	Jahr

Beobachter: Osservatorio Meteorologico Ticinese

Locarno-Monti

5.8	5.9	4.6	5.4	—	2	—	2	44	14	9	11	9	4	—	—	5	7	8	14	2	4	6	1	6	6	9	45	Januar
5.1	5.8	4.4	5.1	—	—	—	—	7	5	20	3	3	3	—	—	—	5	7	6	3	2	7	5	7	12	11	34	Februar
6.3	5.4	4.2	5.3	2	5	1	8	224	97	22	9	8	2	—	—	5	9	11	8	3	4	2	1	15	12	9	39	März
6.2	6.5	5.9	6.2	—	4	1	5	253	81	16	12	9	—	—	—	5	4	13	10	2	8	3	2	13	16	9	27	April
5.0	6.2	3.6	4.9	—	—	—	—	128	43	19	10	9	—	—	2	4	6	6	8	3	6	6	7	21	8	3	31	Mai
5.5	6.5	6.0	6.0	—	—	—	—	131	44	7	10	8	—	—	3	1	2	8	9	5	9	7	7	10	11	5	27	Juni
4.7	5.5	4.8	5.0	1	—	—	1	391	74	14	10	9	—	1	8	2	8	5	9	5	6	5	2	15	12	5	34	Juli
6.6	5.6	6.0	6.1	—	—	—	—	506	209	27	17	16	—	2	8	2	3	11	3	14	4	5	4	12	11	7	33	August
6.2	6.0	4.5	5.6	—	—	—	—	170	82	25	8	7	—	—	3	2	4	8	5	6	3	2	3	10	9	8	44	September
3.9	4.8	2.8	3.8	—	—	—	—	93	42	25	7	5	1	—	2	2	13	3	11	7	5	3	4	8	6	8	41	Oktober
7.3	6.2	6.0	6.5	—	—	—	—	21	10	11	7	5	—	—	—	2	4	13	18	6	6	3	4	7	10	7	29	November
4.7	4.3	2.9	4.0	—	—	—	—	15	8	31	2	2	2	—	—	1	12	7	9	6	7	4	5	9	1	5	47	Dezember
5.6	5.7	4.6	5.3	3	11	2	16	1983	209	VIII	106	90	12	3	26	31	77	100	110	62	64	53	45	133	114	86	431	Jahr

Beobachter: G. Vicari

Lugano

5.9	5.3	5.3	5.5	—		1	1	61	13	9	13	10	3	—	—	2	6	10	41	1	—	—	23	—	—	—	28	Januar
4.5	4.5	5.4	4.8	—	—	—	—	10	4	20	4	4	4	—	—	—	5	7	40	3	2	1	27	5	2	7	—	Februar
5.4	4.7	4.6	4.9	—	—		—	244	107	22	8	8	3	—		—	11	11	51	6	5	2	22	1	2	4	—	März
5.1	6.3	6.3	5.9	—			—	315	78	17	15	14	—	—	—		4	12	24	6	5	8	31	5	9	2	—	April
4.0	4.4	3.4	3.9	—	—	—	—	76	39	22	8	7	—	—	1	—	12	3	32	11	8	6	25	2	7	2	—	Mai
4.4	5.0	4.9	4.8	—	—	—	—	111	30	11	14	10	—	—	1	—	7	5	40	9	6	3	20	1	6	5	—	Juni
4.1	4.8	4.2	4.4	—		—	—	319	108	1	11	11	—	2	8	—	11	5	38	7	8	5	21	1	4	8	1	Juli
5.8	5.2	4.8	5.3	—	—	—	—	218	36	28	15	13	—	1	8	—	6	7	42	7	4	2	26	—	4	2	6	August
5.2	5.3	3.3	4.6	—				136	52	25	8	8	—	—	3	—	8	5	53	—	2	3	18	1	4	3	6	September
3.9	3.5	3.6	3.7	—				129	33	25	8	7	—	1	2	—	13	5	58	2	3	1	20	2	1	4	2	Oktober
6.6	6.2	5.3	6.0	—	—	—	—	39	15	11	7	7	—	—	—	—	6	13	32	10	5	2	13	2	5	8	13	November
4.7	3.6	3.3	3.9	—	—	—	—	17	8	30	2	2	2	—	—	—	13	8	53	3	6	2	12	—	2	1	14	Dezember
5.0	4.9	4.5	4.8	—		1	1	1675	108	VII	113	101	12	4	23	2	102	91	504	65	54	35	258	20	46	46	70	Jahr

Muri (Aargau)

λ = 8° 21′, β = 47° 16′, H_b = 473 m, h_r = 1.5 m

Beobachter: E. Hunzinger

1956	Luft-Temperatur								Relative Feuchtigkeit						Bewölkung				Nebel Zahl der Termine				Niederschlag			Zahl der Tage						
	7^{30}	13^{30}	21^{30}	Mittel	Minimum	Tag	Maximum	Tag	7^{30}	13^{30}	21^{30}	Mittel	Minimum	Tag	7^{30}	13^{30}	21^{30}	Mittel	7^{30}	13^{30}	21^{30}	Total	Summe	Maximum	Tag	● ✱	●✱ ≧1.0	✱	▲	⏋	helle	trübe
Jan.	0.8	3.5	1.4	1.8	-8.2	31	8.8	18	89	77	85	84	43	22	8.5	8.3	7.5	8.1	2	—	1	3	83	15	29	16	13	5	—	—	—	18
Feb.	-10.5	-6.1	-8.5	-8.4	-21.3	10	3.7	29	86	65	79	77	52	7	9.0	8.3	6.5	7.9	1	—	—	1	10	4	8	8	2	7	—	—	—	15
März	1.6	8.0	3.8	4.3	-7.0	13	16.6	30	86	59	77	74	39	16	6.9	7.0	5.9	6.6	3	—	—	3	42	12	3	8	5	2	2	1	2	12
Apr.	4.1	10.8	6.0	6.7	-3.4	8	18.0	27	88	56	80	75	31	10	7.1	7.0	5.8	6.6	2	—	—	2	91	21	1	17	15	5	—	1	4	12
Mai	10.5	17.5	12.3	13.1	2.2	1	29.0	28	85	56	78	73	32	7	5.7	6.2	5.5	5.8	2	—	—	2	103	30	18	14	12	1	—	3	6	8
Juni	12.0	18.0	12.6	13.8	7.6	8	26.1	7	85	55	82	74	37	5	7.8	7.8	7.1	7.6	1	—	—	1	57	15	7	18	15	—	—	1	—	15
Juli	15.2	21.5	16.2	17.3	10.4	11	28.0	9.27	85	59	83	75	38	18	7.2	6.3	6.2	6.6	3	—	—	3	161	33	10	16	14	—	—	5	2	10
Aug.	13.3	19.3	14.3	15.3	7.6	31	27.4	10	88	63	88	80	37	16	7.7	7.6	6.8	7.4	4	—	—	4	191	58	10	19	17	—	—	2	1	12
Sept.	12.2	18.9	13.7	14.6	8.0	5	22.2	16	93	67	93	84	47	7	8.5	5.3	3.7	5.8	11	—	—	11	44	17	10	9	6	—	—	1	1	6
Okt.	5.9	10.4	6.4	7.3	0.4	27	21.8	1	97	80	96	91	56	1	9.5	7.8	5.7	7.7	16	2	3	21	107	18	3	17	14	5	—	—	1	15
Nov.	0.9	3.4	1.5	1.8	-4.0	23	10.6	11	93	83	92	89	65	23	9.5	8.8	9.0	9.1	3	2	2	7	28	9	28	12	7	6	—	—	—	24
Dez.	-1.0	2.3	-0.2	0.2	-10.6	26	10.4	13	97	84	94	92	59	14	8.5	7.2	6.3	7.3	8	2	3	13	16	4	20	9	5	4	—	—	1	17
Jahr	5.4	10.6	6.6	7.3	-21.3	II	29.0	V	89	67	86	81	31	IV	8.0	7.3	6.3	7.2	56	6	9	71	933	58	VIII	163	125	35	2	14	18	164

Rorschach

λ = 9° 30′, β = 47° 28′, H = 445 m, h_r = 1.5 m

Beobachter: Seminar: J. Schenk

1956	Luft-Temperatur								Relative Feuchtigkeit						Bewölkung				Nebel Zahl der Termine				Niederschlag			Zahl der Tage						
Jan.	1.5	3.6	1.8	2.2	-8.0	31	8.1	27	82	73	76	77	40	22	8.7	7.3	7.2	7.7	3	1	—	4	108	26	29	16	14	5	—	—	1	18
Feb.	-10.2	-6.9	-8.4	-8.5	-20.7	10	3.3	29	79	67	74	73	50	16	8.1	7.4	8.5	8.0	5	1	3	9	33	8	8	12	9	11	—	—	2	16
März	1.9	6.8	3.8	4.1	-8.8	13	16.4	30	73	59	63	65	29	22	5.1	6.4	5.8	5.8	—	—	1	1	46	12	27	10	8	1	—	—	7	9
Apr.	4.9	10.0	6.8	7.1	-3.1	7	19.2	12	82	70	77	76	34	26	6.2	6.8	7.4	6.8	1	—	—	1	112	22	1	16	13	6	—	—	4	14
Mai	10.7	16.0	11.9	12.6	4.2	1	25.5	29	74	61	63	66	27	7	5.6	4.9	4.6	5.0	—	—	—	—	135	30	19	14	14	—	—	1	8	7
Juni	12.5	16.4	13.0	13.7	5.8	8	25.3	6	80	67	70	72	35	7	7.4	8.0	8.4	7.8	—	—	—	—	205	38	20	20	16	—	—	—	—	20
Juli	16.3	20.3	16.9	17.6	12.0	11	26.1	8	76	61	64	67	27	7	5.4	6.1	6.3	5.9	—	—	—	—	218	40	29	16	14	—	—	6	4	8
Aug.	14.4	18.6	14.8	15.6	9.9	29	26.5	27	82	62	76	73	33	27	7.0	6.1	7.6	6.9	1	—	—	1	224	27	18	21	19	—	—	1	2	13
Sept.	13.2	17.3	13.8	14.5	9.1	15	22.9	1	88	70	83	80	32	1	8.0	4.7	3.2	5.3	7	—	1	8	70	22	13	9	7	—	—	—	4	6
Okt.	6.6	9.8	7.2	7.7	0.7	30	19.0	2	88	74	84	82	28	6	8.4	5.5	6.0	6.6	9	2	3	14	139	24	25	12	12	1	—	—	2	13
Nov.	2.0	4.0	2.5	2.8	-2.8	23	10.7	11	84	76	79	80	53	27	8.5	7.7	8.5	8.2	1	1	2	4	62	12	28	15	13	—	—	—	3	21
Dez.	0.5	2.5	1.0	1.3	-8.0	26	10.6	13.15	85	81	84	83	42	15	8.4	7.8	7.9	8.0	6	4	4	14	41	7	20	12	9	4	—	—	3	21
Jahr	6.2	9.9	7.1	7.6	-20.7	II	26.5	VIII	81	68	74	74	27	V VII	7.2	6.5	6.8	6.8	33	9	14	56	1393	40	VII	173	148	28	—	8	40	166

Schwäbrig (ob Gais)

λ = 9° 29′, β = 47° 23′, H_b = 1156 m, h_r = 1.5 m

Beobachter: A. Golas

1956	Luft-Temperatur								Relative Feuchtigkeit						Bewölkung				Nebel Zahl der Termine				Niederschlag			Zahl der Tage						
Jan.	-1.2	-0.3	0.9	-0.8	-14.0	31	7.9	17	79	76	79	78	25	26	7.9	7.6	7.4	7.6	10	7	7	24	115	24	29	16	14	14	—	—	1	16
Feb.	-14.4	-11.0	-12.9	-12.8	-27.8	10	2.2	29	84	82	85	84	39	28	6.4	7.4	6.3	6.7	6	4	—	10	50	14	6	14	13	13	—	—	3	12
März	-0.3	2.6	0.4	0.8	-12.5	12.13	12.4	30	70	64	67	67	34	29	6.9	7.8	5.6	6.8	2	1	—	3	106	33	26	11	10	6	1	1	2	12
Apr.	1.9	4.8	2.1	2.7	-8.8	7	13.0	15	75	63	74	71	34	10	7.5	7.7	6.6	7.3	5	3	1	9	140	26	5	17	15	12	1	—	4	16
Mai	8.7	11.7	8.6	9.4	-1.0	1	26.0	28	68	61	71	67	31	28	5.6	7.1	5.7	6.1	5	2	1	8	175	35	18	15	14	5	2	4	5	12
Juni	8.6	11.2	8.3	9.1	0.1	8	21.8	6	78	68	78	75	38	7	8.5	8.7	8.3	8.5	15	5	1	21	235	55	20	20	18	2	3	6	—	19
Juli	13.4	16.1	12.6	13.7	7.5	2	22.8	10	71	67	74	70	40	26	6.7	6.9	6.2	6.6	2	4	2	8	231	45	29	16	16	—	—	5	3	11
Aug.	11.3	14.1	11.0	11.8	4.4	29	26.0	10	77	68	77	74	34	10	7.2	7.6	7.1	7.3	3	5	1	9	280	35	20	21	21	—	—	3	1	17
Sept.	11.8	14.5	11.9	12.5	5.0	27	19.7	10	68	64	69	67	18	20	6.9	5.9	2.4	5.1	6	2	1	9	115	33	27	7	7	—	1	1	7	4
Okt.	4.6	6.6	4.2	4.9	-3.5	30	18.0	1	75	71	81	76	38	2.14	5.8	6.0	4.7	5.5	4	4	1	9	190	35	6	13	13	7	—	—	9	11
Nov.	-1.8	-0.6	-1.5	-1.4	-8.5	22	5.2	10	83	83	83	83	32	8.9	8.2	7.8	8.3	8.1	14	11	11	36	91	26	28	12	12	10	—	—	3	21
Dez.	-1.0	0.0	-0.7	-0.6	-12.0	25	8.0	16	72	73	73	73	33	16	6.3	6.4	5.6	6.1	4	2	1	7	55	14	3	12	11	7	—	—	6	13
Jahr	3.5	5.8	3.6	4.1	-27.8	II	26.0	V VIII	75	70	76	74	18	IX	7.0	7.2	6.2	6.8	76	50	27	153	1783	55	VI	174	164	76	8	20	44	164

Ebnat

λ = 9° 08′, β = 47° 16′, H_b = 649 m, h_r = 1.5 m

Beobachter: Frl. M. Kuratle

1956	Luft-Temperatur								Relative Feuchtigkeit						Bewölkung				Nebel Zahl der Termine				Niederschlag			Zahl der Tage						
Jan.	-0.7	2.3	0.3	0.2	-9.2	31	6.6	18	90	79	87	85	56	22	6.5	7.0	6.9	6.8	—	—	1	1	237	59	29	15	15	7	—	—	—	11
Feb.	-13.4	-7.5	-11.5	-11.0	-24.8	10	4.2	29	84	64	79	76	44	28	6.4	5.0	6.1	5.8	—	—	—	—	49	10	15	11	10	10	—	—	3	7
März	0.0	7.0	2.3	2.9	-11.4	12.13	17.4	24	80	54	78	71	28	24	5.1	5.4	5.8	5.4	—	—	—	—	219	94	3	12	12	4	—	2	4	7
Apr.	3.6	9.8	4.9	5.8	-7.0	7	18.8	14	79	52	79	70	30	11.12.26.27	5.8	5.8	6.3	6.0	—	—	—	—	163	25	30	14	13	6	—	1	5	10
Mai	9.4	16.6	10.1	11.6	1.8	1	27.6	28	71	52	81	68	27	7	5.1	5.1	4.7	5.0	—	—	—	—	201	43	18	14	12	1	—	2	6	8
Juni	11.3	15.6	12.5	13.0	4.6	8	25.2	6	75	61	78	71	36	30	6.3	6.8	7.2	6.8	—	—	—	—	209	51	7	17	15	—	—	—	1	13
Juli	15.0	20.6	14.8	16.3	10.0	31	26.4	9	74	54	80	69	22	28	4.8	5.5	5.3	5.2	—	—	—	—	212	45	29	14	14	—	—	6	3	2
Aug.	13.0	19.0	14.1	15.1	8.0	31	26.4	27	83	58	83	75	32	27	5.9	5.9	6.9	6.2	—	—	—	—	319	54	10	21	21	—	—	3	3	9
Sept.	11.2	18.4	13.4	14.1	8.0	24	22.2	16	84	56	85	75	40	20	4.6	4.5	4.2	4.4	—	—	—	—	101	26	27	10	9	—	—	1	10	5
Okt.	3.4	11.0	5.1	6.2	-3.6	10	22.6	1	91	65	90	82	36	1	5.9	5.3	5.1	5.4	—	—	—	—	253	85	6	13	12	5	—	—	8	9
Nov.	-0.5	3.4	0.3	0.9	-6.8	18	10.4	11	87	72	87	82	40	9.11	8.0	6.9	7.6	7.5	—	—	—	—	89	27	28	12	10	7	—	—	3	16
Dez.	-3.0	2.4	-1.4	-0.8	-18.2	26	10.4	13	88	68	87	81	40	16	5.4	5.4	5.1	5.3	—	—	1	1	50	14	13	9	7	3	—	—	6	9
Jahr	4.1	9.9	5.4	6.2	-24.8	II	27.6	V	82	61	83	75	22	VII	5.8	5.7	5.9	5.8	—	—	2	2	2102	94	III	162	150	43	—	15	52	106

Wald (Faltigberg)

λ = 8° 57′, β = 47°17′, H = 908ᵐ, h_r = 1.5ᵐ — Beobachter: Sanatorium

1956	Luft-Temperatur 7³⁰	13³⁰	21³⁰	Mittel	Minimum	Tag	Maximum	Tag	Relative Feuchtigkeit 7³⁰	13³⁰	21³⁰	Mittel	Minimum	Tag	Bewölkung 7³⁰	13³⁰	21³⁰	Mittel	Nebel (Zahl der Termine) 7³⁰	13³⁰	21³⁰	Total	Niederschlag Summe	Maximum	Tag	Zahl der Tage ● *	●* ≥1.0	*	▲	K	helle	trübe
Jan.	0.4	1.9	0.7	0.9	-7.8	21	8.1	12	87	83	85	85	45	12	4.3	7.5	6.3	6.7	1	3	1	5	120	21	16	15	12	9	—	—	3	12
Feb.	-11.4	-8.6	-9.8	-9.9	-23.4	10	4.0	29	83	74	79	79	47	28	5.5	5.6	5.5	5.5	—	—	—	—	42	9	8	14	12	14	—	—	8	9
März	1.9	5.3	3.2	3.4	-8.6	12.13	14.8	24	73	66	69	69	39	24	5.6	6.2	4.3	5.4	3	1	—	4	82	26	2	13	11	5	—	—	5	9
Apr.	4.0	7.6	5.1	5.4	-5.4	7	14.8	15	82	69	76	76	42	8	6.1	6.8	5.8	6.2	2	2	2	6	138	23	1	13	13	9	—	—	5	13
Mai	9.6	13.9	11.3	11.5	0.3	1	25.1	28	81	71	74	75	48	7	4.6	5.9	3.6	4.7	2	—	2	4	171	31	19	15	13	2	—	—	9	7
Juni	10.4	13.8	11.1	11.6	4.8	8	20.6	5.7	89	75	82	82	50	30	7.3	7.5	6.7	7.2	4	—	1	5	175	35	20	21	17	—	—	1	2	13
Juli	14.4	18.3	15.1	15.7	10.2	2	24.7	9	83	71	77	77	53	18	6.4	6.3	5.2	6.0	2	1	1	4	236	?	—	15	15	—	—	5	4	8
Aug.	12.4	16.2	13.1	13.7	6.8	29	24.2	10	87	75	82	81	44	27	6.9	6.5	6.7	6.7	2	—	2	4	349	61	10	23	20	—	1	2	2	13
Sept.	12.8	16.2	14.0	14.2	9.0	3.27	20.2	10	81	76	77	78	46	1	5.3	4.8	2.2	4.1	2	3	—	5	103	29	27	12	9	·	—	1	10	4
Okt.	5.9	8.5	6.5	6.8	-0.6	28	18.6	2	86	81	86	84	51	2	5.4	5.3	3.5	4.7	1	3	2	6	225	39	6	14	12	9	—	—	9	8
Nov.	0.5	1.8	0.8	1.0	-5.1	23	8.2	11	89	87	89	88	45	8	7.9	7.4	6.3	7.2	8	3	2	13	82	24	28	14	11	9	—	—	5	16
Dez.	0.5	2.0	0.9	1.1	-8.4	26	9.8	16	80	77	79	79	42	16	5.7	6.1	4.0	5.3	2	2	1	5	58	12	3	12	10	9	—	—	8	9
Jahr	5.1	8.1	6.0	6.3	-23.4	II	25.1	V	83	75	79	79	39	III	6.1	6.3	5.0	5.8	29	18	14	61	1781	61	VIII	181	155	66	1	9	70	121

Walenstadtberg

λ = 9° 17′, β = 47° 08′, H = ca 982ᵐ, h_r = 1.2ᵐ — Beobachter: Sanatorium

1956	Luft-Temperatur 7³⁰	13³⁰	21³⁰	Mittel	Minimum	Tag	Maximum	Tag	Relative Feuchtigkeit 7³⁰	13³⁰	21³⁰	Mittel	Minimum	Tag	Bewölkung 7³⁰	13³⁰	21³⁰	Mittel	Nebel 7³⁰	13³⁰	21³⁰	Total	Niederschlag Summe	Maximum	Tag	● *	●* ≥1.0	*	▲	K	helle	trübe
Jan.	-0.3	2.5	-0.1	0.5	-8.9	31	9.2	12	76	71	80	76	35	17	7.2	7.1	5.9	6.7	1	2	1	4	201	62	26	15	12	11	—	—	3	15
Feb.	-12.5	-7.9	-10.4	-10.3	-25.2	10	3.6	28	80	63	79	74	29	22	6.6	6.7	5.5	6.3	1	1	—	2	104	24	6	14	13	13	—	—	5	10
März	1.1	6.3	3.0	3.4	-12.7	13	15.2	30	71	55	67	64	31	29	6.2	6.8	5.7	6.2	1	1	—	2	218	86	3	12	12	6	—	—	4	12
Apr.	3.4	8.9	4.8	5.5	-6.2	7	15.8	15	77	56	71	68	34	27	6.9	5.9	6.8	6.5	2	—	2	4	206	49	6	13	12	8	—	—	3	11
Mai	9.3	14.5	11.1	11.5	1.0	2	26.4	28	74	63	71	69	32	28	4.9	6.2	5.1	5.4	1	1	1	3	265	78	10	15	15	2	—	1	9	9
Juni	9.6	14.0	11.1	11.4	1.8	8	24.9	7	84	66	79	76	33	7	7.6	7.8	8.0	7.8	4	1	1	6	271	77	20	16	15	2	—	1	1	18
Juli	13.7	18.9	15.1	15.7	9.4	3	26.3	9	79	65	77	74	38	9	5.8	6.3	6.4	6.2	1	1	—	2	174	27	29	19	15	—	—	3	4	9
Aug.	12.1	16.6	13.2	13.8	6.1	30	29.2	10	84	73	83	80	53	10	6.5	7.0	6.7	6.7	2	—	5	7	334	48	20	21	20	—	1	3	2	12
Sept.	12.4	16.9	13.3	14.0	8.0	4	22.7	10	79	64	81	75	38	22	5.1	5.0	4.3	4.8	1	—	1	2	219	69	13	10	8	·	—	1	7	6
Okt.	5.2	9.4	5.8	6.6	-2.0	9	20.0	2	79	69	85	78	37	14	5.4	4.9	5.2	5.0	1	—	11	12	216	70	6	12	12	8	—	—	11	10
Nov.	-0.4	2.2	0.2	0.5	-5.3	22	9.5	11	85	79	88	84	38	9	7.8	7.8	7.8	7.8	10	9	12	31	96	22	28	14	12	9	—	—	5	21
Dez.	-0.6	2.3	0.5	0.7	-10.8	25	9.3	16.17	75	67	77	73	34	17	5.6	6.1	4.6	5.4	3	3	4	10	45	13	13	9	6	6	—	—	7	9
Jahr	4.4	8.7	5.6	6.1	-25.2	II	29.2	VIII	78	66	78	74	29	II	6.3	6.5	6.0	6.2	28	19	38	85	2349	86	III	170	152	65	1	9	61	142

Vättis

λ = 9° 27′, β = 46° 55′, H_b = 956ᵐ, h_r = 1.5ᵐ — Beobachter: A. Jäger

1956	Luft-Temperatur 7³⁰	13³⁰	21³⁰	Mittel	Minimum	Tag	Maximum	Tag	Relative Feuchtigkeit 7³⁰	13³⁰	21³⁰	Mittel	Minimum	Tag	Bewölkung 7³⁰	13³⁰	21³⁰	Mittel	Nebel 7³⁰	13³⁰	21³⁰	Total	Niederschlag Summe	Maximum	Tag	● *	●* ≥1.0	*	▲	K	helle	trübe
Jan.	-2.1	1.9	-0.8	-0.4	-11.8	8	8.2	15.18	81	66	76	74	34	17	6.7	6.3	5.8	6.3	—	—	—	—	84	35	26	11	10	11	—		3	14
Feb.	-15.3	-8.4	-12.9	-12.4	-27.1	10	3.4	29	85	71	83	80	34	22	5.1	4.5	4.5	4.7	2	1	2	5	24	7	8	10	6	9	—	—	8	6
März	-0.8	4.9	0.2	1.1	-15.9	13	16.3	30	74	53	72	66	20	30	6.4	6.1	4.8	5.8	—	—	—	—	102	42	3	11	9	9	—	—	6	11
Apr.	2.2	8.2	2.7	4.0	-9.7	8	15.9	27	80	52	80	71	22	10	7.2	7.5	5.4	6.7	—	1	2	3	59	11	30	10	10	7	—	—	4	12
Mai	8.1	14.5	7.8	9.6	0.4	1	27.8	28	82	54	81	72	25	6	4.8	6.5	5.1	5.5	—	—	1	1	107	34	19	14	10	5	–	1	9	11
Juni	10.0	14.6	8.6	10.5	0.7	8	24.3	5	80	55	86	74	30	6	7.9	8.3	7.5	7.9	—	—	—	—	115	28	7	15	14	2	—	1	1	19
Juli	13.6	19.5	12.8	14.7	7.1	3	27.3	8	79	52	85	72	29	9	6.3	6.1	6.7	6.4	—	—	—	—	136	26	14	16	15	—	—	2	2	10
Aug.	11.8	17.7	11.8	13.3	4.6	31	28.7	10	86	60	89	78	25	10	7.0	6.6	6.9	6.8	—	—	—	—	186	31	20	21	20	—	—	—	2	14
Sept.	10.3	17.7	11.3	12.6	5.0	15	22.7	10	84	53	85	74	26	22	4.7	5.2	3.5	4.5	—	—	—	·	66	15	2	12	11		–	2	8	7
Okt.	2.4	9.4	2.8	4.4	-5.6	9	21.8	2	90	60	91	80	37	1	5.0	4.8	4.7	4.8	1	—	—	1	106	38	6	11	9	9	—	·	12	11
Nov.	-2.4	1.6	-1.8	-1.1	-8.5	22	9.7	11	92	77	91	87	37	11	7.7	6.4	7.5	7.2	3	1	3	7	43	8	26	11	9	8	—	—	5	19
Dez.	-2.8	1.5	-2.3	-1.5	-12.9	25	8.2	17	79	62	80	74	29	26	6.2	6.1	4.9	5.7	—	—	—	—	8	4	13	7	3	6	—	—	7	12
Jahr	2.9	8.6	3.4	4.6	-27.1	II	28.7	VIII	83	59	83	75	20	III	6.2	6.2	5.6	6.0	6	3	8	17	1036	42	III	149	126	66	–	6	67	146

Zentralschweiz

Walchwil

λ = 8° 31′, β = 47° 06′, H = 449ᵐ, h_r = 1.5ᵐ — Beobachter: K. Halter

1956	Luft-Temperatur 7³⁰	13³⁰	21³⁰	Mittel	Minimum	Tag	Maximum	Tag	Relative Feuchtigkeit 7³⁰	13³⁰	21³⁰	Mittel	Minimum	Tag	Bewölkung 7³⁰	13³⁰	21³⁰	Mittel	Nebel 7³⁰	13³⁰	21³⁰	Total	Niederschlag Summe	Maximum	Tag	● *	●* ≥1.0	*	▲	K	helle	trübe
Jan.	1.3	3.8	1.8	2.2	-5.6	31	8.6	12.27	88	77	85	83	54	23.25	8.5	8.6	7.6	8.2	—	—	—	—	100	20	29	15	14	5	—	—	1	21
Feb.	9.3	5.5	-7.9	-7.7	-20.2	10	4.3	29	81	62	73	72	44	11	9.4	8.6	7.9	8.6	4	2	—	6	20	8	8	11	5	10	—	—	—	22
März	2.2	7.2	4.8	4.8	-7.7	13	16.6	21	81	58	69	69	25	20.21	7.2	6.3	7.4	7.0	3	—	—	3	77	27	3	11	8	4	—	1	2	15
Apr.	4.6	10.8	6.6	7.2	-3.5	8	17.0	27	86	55	79	73	28	27	7.5	7.0	7.5	7.3	1	—	—	1	143	32	30	17	15	5	—	1	3	18
Mai	11.2	17.5	12.8	13.6	2.2	1	26.3	28	80	53	75	69	27	28	6.0	6.3	6.1	6.1	1	—	—	1	155	28	19	12	12		—	3	5	12
Juni	12.7	17.7	13.3	14.2	7.2	9	25.1	6	83	57	82	74	41	11.28	7.5	8.0	8.4	8.0	—	—	—	–	126	26	7	17	14	·	—	2		17
Juli	16.2	21.0	16.8	17.7	12.1	11	27.3	8	81	61	80	74	43	5.24	6.8	7.0	7.3	7.0	—	—	—	—	236	41	10	18	17	—	—	8	2	14
Aug.	14.4	19.1	15.2	16.0	9.6	29	24.9	17	87	63	82	77	37	25	8.0	7.4	7.3	7.6	—	—		—	217	50	10	21	20	—	—	3	1	14
Sept.	13.4	18.2	14.8	15.3	10.2	3	21.9	16	89	65	85	80	28	1	7.0	5.5	4.3	5.6	2	—	—	2	94	34	10	10	8	—	1	2	5	8
Okt.	6.6	10.2	7.2	7.8	0.8	31	20.4	2	91	74	89	85	46	4	9.3	7.4	6.4	7.7	—	—	1	1	169	40	25	15	12	3	-	1	1	17
Nov.	2.3	4.2	2.4	2.8	-3.0	23	10.3	28	85	74	84	81	51	27.28	9.2	9.2	8.8	9.1	1	—	—	1	39	12	4	9	7	3	—		1	25
Dez.	0.0	2.8	0.5	1.0	-8.6	26	9.2	13	89	76	87	84	52	14	8.3	8.3	7.1	7.9	2	2	4	8	36	11	22	10	8	4	—	—	1	20
Jahr	6.3	10.6	7.4	7.9	-20.2	II	27.3	VII	85	65	81	77	25	III	7.9	7.5	7.2	7.5	14	4	5	23	1412	50	VIII	166	140	34	1	21	22	203

Weggis

$\lambda = 8° 27'$, $\beta = 47° 02'$, $H =$ ca 440^m, $h_r = 1.5^m$

Beobachter: **Geschwister Zimmermann**

1956	Luft-Temperatur								Relative Feuchtigkeit						Bewölkung				Nebel Zahl der Termine				Niederschlag			Zahl der Tage						
	7^{30}	13^{30}	21^{30}	Mittel	Minimum	Tag	Maximum	Tag	7^{30}	13^{30}	21^{30}	Mittel	Minimum	Tag	7^{30}	13^{30}	21^{30}	Mittel	7^{30}	13^{30}	21^{30}	Total	Summe	Maximum	Tag	● ✱	●✱ ≧1.0	✱	▲	K	heiter	trüb
Jan.	2.2	3.9	2.5	2.8	-5.4	31	10.0	27	86	80	83	83	49	25	7.4	7.5	7.0	7.3	—	—	1	1	82	18	18	13	12	2	—	—	2	16
Febr	-8.2	-5.4	-7.2	-7.0	-18.1	10	4.0	29	80	70	75	75	55	14	8.9	7.3	7.2	7.8	—	1	–	1	27	6	8	13	8	13	—	—	2	18
März	2.8	7.4	4.5	4.8	5.0	13	16.2	31	82	64	72	73	30	20.21	6.4	4.3	4.3	5.0	2	—	—	2	49	21	3	7	7	2	—	—	7	8
Apr.	4.8	9.9	6.2	6.8	-3.0	8	16.1	28	87	67	79	78	48	11	5.8	5.0	5.2	5.3	—	—	—	—	160	50	30	16	14	5	—	1	9	11
Mai	10.3	16.3	11.8	12.6	2.8	1	25.6	29	86	66	80	77	39	28	4.6	4.6	4.4	4.5	—	—	—	1	166	29	19	14	12	—	—	3	9	6
Juni	12.0	17.1	12.7	13.6	7.4	16	25.6	5	86	66	86	79	45	5	6.5	6.2	7.1	6.6	—	—	—	1	145	31	20	18	17	—	–	—	4	12
Juli	15.5	20.6	15.9	17.0	11.6	2	26.6	6	87	69	83	80	40	6	5.5	4.6	5.4	5.2	—	—	—	1	226	45	10	17	16	—	–	7	5	7
Aug.	14.2	18.8	14.7	15.6	9.8	29	23.6	10	90	71	85	82	50	25	7.3	6.1	6.3	6.6	—	—	—	—	222	64	10	21	19	—	–	4	2	11
Sept.	13.3	17.6	14.2	14.8	10.2	27	21.8	2	90	75	87	84	50	8	6.5	4.0	3.1	4.5	1	—	—	—	99	38	10	9	7	—	—	2	7	4
Okt.	7.2	9.9	7.4	8.0	1.6	26	18.0	2	92	79	89	87	56	4	8.6	6.4	5.6	6.9	—	—	1	—	144	45	25	14	11	1	–	1	4	17
Nov.	2.4	4.5	2.9	3.2	-1.7	23	12.5	11	89	78	86	84	60	11 27.29	9.4	8.7	8.7	8.9	—	—	—	2	34	8	28	9	7	3	–	—	1	24
Dez.	1.2	3.0	1.5	1.8	-6.0	26	8.1	13	87	82	87	85	62	1	7.5	6.4	5.9	6.6	—	—	—	2	27	4	3	11	9	5	–	–	8	17
Jahr	6.5	10.3	7.2	7.8	-18.1	II	26.6	VII	87	72	83	81	30	III	7.0	5.9	5.9	6.3	6	1	2	9	1381	64	VIII	162	139	31	—	18	60	151

Rigi-Kaltbad

$\lambda = 8° 28'$, $\beta = 47° 03'$, $H =$ ca 1490^m, $h_r = 2.0^m$

Beobachter: **Gratalpklause der Kapuziner**

1956	Luft-Temperatur								Relative Feuchtigkeit						Bewölkung				Nebel Zahl der Termine				Niederschlag			Zahl der Tage						
	7^{30}	13^{30}	21^{30}	Mittel	Minimum	Tag	Maximum	Tag	7^{30}	13^{30}	21^{30}	Mittel	Minimum	Tag	7^{30}	13^{30}	21^{30}	Mittel	7^{30}	13^{30}	21^{30}	Total	Summe	Maximum	Tag	● ✱	●✱ ≧1.0	✱	▲	K	heiter	trüb
Jan.	2.4	0.3	-2.1	1.5	-8.8	8	8.6	5	78	74	80	77	34	20	7.4	7.6	7.4	7.5	5	9	3	17	122	22	18	16	13	15	—	—	3	19
Febr	12.9	-7.9	-12.8	-11.4	-26.5	10	4.2	22	77	64	77	73	26	28	5.2	7.5	7.1	6.6	3	6	3	12	46	15	8	8	8	8	—	—	3	10
März	-1.5	2.5	-0.4	0.0	-14.6	12	11.4	29	73	65	72	70	34	10	6.4	6.6	6.8	6.6	4	1	3	8	89	28	3	10	10	6	—	—	2	14
Apr.	0.0	4.3	0.6	1.3	9.4	7.8	12.6	27	78	66	80	75	37	8	6.9	7.4	8.0	7.4	5	1	2	8	213	50	30	17	14	13	—	1	4	18
Mai	6.2	9.7	7.1	7.3	3.0	1	24.0	28	78	70	78	75	41	27.28	5.2	7.1	6.7	6.3	6	3	—	9	201	34	19	14	14	4	—	3	4	13
Juni	6.4	9.3	7.0	7.0	0.4	9	18.0	4	88	79	86	84	54	7	7.4	8.8	8.8	8.3	7	4	8	19	228	34	20	22	20	4	—	3	—	18
Juli	10.6	14.4	11.3	11.6	5.6	11	25.2	8	83	73	82	79	44	8	6.9	7.4	7.6	7.3	5	4	2	11	379	79	10	18	18	—	—	7	2	15
Aug.	9.6	13.3	10.1	10.6	3.2	30	26.0	10	82	73	81	79	36	9	7.0	7.3	7.6	7.3	5	2	1	8	277	70	10	22	21	—	1	4	3	15
Sept.	10.1	14.2	11.0	11.5	4.2	27	21.2	24	77	69	75	74	36	20	4.9	5.6	5.3	5.3	1	3	2	6	131	40	10	11	9	—	—	2	7	9
Okt.	3.1	6.6	3.3	4.1	-5.6	31	20.0	1	81	73	82	79	38	15	5.2	5.8	4.9	5.3	6	9	4	19	214	53	25	15	13	10	—	—	10	12
Nov.	-2.1	0.9	-1.8	-1.2	-9.0	24	11.6	8	81	75	80	79	21	8	7.6	6.5	6.8	7.0	11	10	10	31	71	20	4	9	7	9	—	—	5	17
Dez.	-2.2	1.2	-1.8	-1.0	-13.8	25	10.2	16	74	66	76	72	29	16	6.0	6.4	5.3	5.9	5	5	3	13	42	13	22	8	8	7	—	—	7	12
Jahr	2.1	5.7	2.6	3.2	-26.5	II	26.0	VIII	79	70	79	76	21	XII	6.3	7.0	6.8	6.7	63	57	41	161	2013	79	VII	170	155	76	1	20	50	172

Die Abendbeobachtung erfolgt um 20.30 h

Lungern

$\lambda = 8° 10'$, $\beta = 46° 47'$, $H =$ ca 735^m, $h_r = 1.5^m$

Beobachter: **O. Imfeld**

1956	Luft-Temperatur								Relative Feuchtigkeit						Bewölkung				Nebel Zahl der Termine				Niederschlag			Zahl der Tage						
	7^{30}	13^{30}	21^{30}	Mittel	Minimum	Tag	Maximum	Tag	7^{30}	13^{30}	21^{30}	Mittel	Minimum	Tag	7^{30}	13^{30}	21^{30}	Mittel	7^{30}	13^{30}	21^{30}	Total	Summe	Maximum	Tag	● ✱	●✱ ≧1.0	✱	▲	K	heiter	trüb
Jan.	-0.1	2.5	0.6	0.9	-7.6	31	8.2	18	83	70	82	78	38	17	7.9	7.7	7.7	7.8	3	1	1	5	170	53	26	16	14	7	—	—	1	19
Febr	-11.7	-7.6	-9.6	-9.6	-22.4	10	7.2	29	80	60	74	71	45	16 28.29	8.7	8.0	9.2	8.6	4	—	—	4	31	6	9	14	8	13	—	—	—	21
März	2.3	6.3	3.7	4.0	-9.4	13	14.8	30	63	51	59	58	25	21.24	7.1	6.7	6.7	6.8	—	—	—	—	108	33	22	12	9	5	—	—	1	13
Apr.	3.1	8.5	4.3	5.0	-5.8	8	15.8	12	80	56	76	71	25	10	6.6	7.2	6.3	6.7	—	—	1	1	149	38	1	18	15	8	—	–	6	12
Mai	9.5	14.2	9.4	10.6	0.0	12	26.4	28	70	53	70	64	30	28	5.4	6.7	6.0	6.0	—	—	—	—	185	35	17	14	12	—	—	1	5	9
Juni	11.2	14.7	10.8	11.9	5.8	8	22.4	7	77	59	82	73	35	7	7.0	8.4	7.7	7.7	—	—	—	—	177	38	20	21	18	—	—	—	1	17
Juli	14.5	18.3	14.6	15.5	10.2	2. 3	24.4	8	77	62	77	72	42	26	5.8	6.8	6.2	6.3	—	—	—	—	218	39	10	18	14	—	1	2	2	10
Aug.	13.1	17.5	13.2	14.2	8.2	29.30	26.8	10	79	60	83	74	26	27	6.9	7.9	7.4	7.4	2	1	—	3	178	33	10	19	16	—	—	1	1	11
Sept.	12.0	16.8	13.6	14.0	9.2	15.27	21.0	16.24	81	64	77	74	28	1	5.6	5.5	4.9	5.3	1	1	—	2	99	23	10	11	10	—	—	1	6	9
Okt.	5.4	9.3	6.0	6.7	-0.8	31	19.6	1	86	66	82	78	41	13	6.2	5.8	5.6	5.9	—	—	1	1	159	35	26	12	10	6	—	—	8	13
Nov.	0.3	2.5	0.8	1.1	-5.2	23	9.0	11	87	77	84	83	43	10	8.0	8.1	8.3	8.1	3	2	8	13	88	36	28	14	11	5	—	—	4	23
Dez.	-0.7	2.3	-0.5	0.1	-9.8	25	10.0	13	76	67	79	74	38	16	6.3	5.5	4.7	5.5	3	2	3	8	18	6	13	6	3	2	—	—	6	10
Jahr	4.9	8.8	5.6	6.2	-22.4	II	26.8	VIII	78	62	77	72	25	III IV	6.8	7.0	6.7	6.8	16	7	14	37	1580	53	I	175	140	46	1	5	41	167

Gurtnellen

$\lambda = 8° 37'$, $\beta = 46° 44'$, $H = 739^m$, $h_r = 1.5^m$

Beobachter: **Stationspersonal**

1956	Luft-Temperatur								Relative Feuchtigkeit						Bewölkung				Nebel Zahl der Termine				Niederschlag			Zahl der Tage						
	7^{30}	13^{30}	21^{30}	Mittel	Minimum	Tag	Maximum	Tag	7^{30}	13^{30}	21^{30}	Mittel	Minimum	Tag	7^{30}	13^{30}	21^{30}	Mittel	7^{30}	13^{30}	21^{30}	Total	Summe	Maximum	Tag	● ✱	●✱ ≧1.0	✱	▲	K	heiter	trüb
Jan.	1.2	2.6	1.5	1.7	-5.0	8	9.2	12	78	72	75	75	34	9	5.8	6.0	5.4	5.7	2	2	—	4	104	36	26	11	9	7	—	—	4	10
Febr	-10.2	-6.2	-8.3	-8.3	-18.1	11	3.5	24	81	67	80	76	35	24	7.0	6.6	6.3	6.6	—	—	—	—	23	8	8	9	8	9	–	—	3	11
März	2.2	6.3	4.0	4.1	-8.9	13	15.8	30	71	56	66	64	25	30	6.6	6.3	6.4	6.4	1	—	—	1	167	60	22	10	10	3	–	—	5	15
Apr.	4.2	9.6	5.8	6.4	-5.8	8	16.8	15	79	56	77	71	30	26	7.0	6.3	6.2	6.5	—	—	—	—	96	26	17	13	10	7	—	—	6	13
Mai	9.6	15.9	11.8	12.3	1.7	1	28.9	28	81	58	74	71	24	28	5.0	5.5	5.7	5.4	—	—	—	—	107	28	10	16	15	1	1	—	8	12
Juni	10.8	16.0	12.0	12.7	4.8	8	25.5	5	85	64	85	78	34	5	7.6	7.9	8.4	8.0	—	—	—	—	114	37	7	18	16	1	–	—	1	19
Juli	13.6	20.7	15.9	16.5	9.7	4.22	28.0	9	87	58	81	75	33	9	6.0	5.4	6.2	5.9	—	—	—	—	123	26	14	13	13	—	—	3	4	8
Aug.	13.0	18.6	13.9	14.8	6.1	29	30.6	10	89	66	89	81	31	10	7.0	7.3	6.5	6.9	—	—	—	—	202	39	29	21	19	—	—	1	3	17
Sept.	13.0	18.2	14.3	14.9	9.2	30	23.2	10	81	64	80	75	40	5.24	4.9	4.6	3.8	4.4	1	1	1	3	110	36	25	9	9	—	–	1	12	6
Okt.	5.0	9.5	5.6	6.4	-0.8	31	22.2	2	92	76	91	86	35	2	5.6	5.4	4.6	5.2	—	—	—	—	126	30	6	11	9	7	—	—	11	11
Nov.	0.7	2.8	1.2	1.5	-3.0	23	10.2	11	90	83	90	88	36	21	7.9	7.8	8.2	8.0	7	2	1	10	53	14	28	13	11	8	—	–	3	19
Dez.	-0.6	1.8	-0.1	0.3	-8.8	25	12.6	17	79	76	79	78	35	30	5.0	5.2	4.5	4.9	—	—	—	—	15	5	26	8	4	4	–	—	10	9
Jahr	5.2	9.6	6.5	6.9	-18.1	II	30.6	VIII	83	66	80	76	24	V	6.3	6.2	6.0	6.2	11	5	2	18	1240	60	III	152	133	47	1	5	70	150

λ = 8° 36′, β = 46° 38′, H = 1442m, h_r = 1.8m

Andermatt

Beobachter: P. C. Rusterholz

1956	Luft-Temperatur 7³⁰	13³⁰	21³⁰	Mittel	Minimum	Tag	Maximum	Tag	Relative Feuchtigkeit 7³⁰	13³⁰	21³⁰	Mittel	Minimum	Tag	Bewölkung 7³⁰	13³⁰	21³⁰	Mittel	Nebel (Zahl der Termine) 7³⁰	13³⁰	21³⁰	Total	Niederschlag Summe	Maximum	Tag	Zahl der Tage ● *	●* ≥1.0	✱	▲	K	helle	trübe
Jan.	-5.6	-2.7	-4.2	-4.3	-18.8	8	4.2	18	—	—	—	—	—	—	5.7	5.4	5.6	5.6	—	—	3	3	97	48	26	10	10	10	—	—	7	11
Feb.	-16.9	-11.1	-14.2	-14.3	-28.5	3	1.6	29	—	—	—	—	—	—	6.0	5.9	5.2	5.7	—	—	2	2	28	7	8	11	10	11	—	—	4	6
März	-4.0	0.4	-2.2	-2.1	-20.8	13	8.0	30	—	—	—	—	—	—	5.8	5.6	6.2	5.8	—	—	—	—	155	54	22	13	9	12	—	—	6	10
Apr.	-1.7	3.5	-0.1	0.3	-15.2	8	9.0	15.27	—	—	—	—	—	—	6.3	5.5	7.0	6.3	1	—	1	2	120	34	16	16	13	14	—	—	5	13
Mai	5.1	10.7	5.5	6.7	-2.8	1	22.2	28	—	—	—	—	—	—	4.8	5.4	4.9	4.9	1	—	1	2	114	25	19	17	16	7	—	2	9	8
Juni	6.4	10.2	7.1	7.4	0.3	8	19.2	5	—	—	—	—	—	—	6.8	8.3	8.0	7.7	4	1	—	5	129	53	7	18	14	3	—	1	—	14
Juli	10.9	15.2	10.9	11.8	6.0	2	24.0	8	—	—	—	—	—	—	5.7	5.6	6.5	5.9	1	2	2	5	145	28	27	14	12	—	—	3	3	8
Aug.	9.6	13.4	10.1	10.7	2.5	29	24.0	9	—	—	—	—	—	—	6.6	6.3	7.4	6.8	2	1	2	5	264	62	10	21	19	1	—	1	3	14
Sept.	7.5	14.0	9.6	10.1	3.8	16 29.30	18.2	5	—	—	—	—	—	—	4.5	5.0	4.2	4.6	1	—	—	1	150	51	25	10	9	—	—	—	7	8
Okt.	-0.3	6.9	1.6	2.5	-7.5	9.27	17.6	1	—	—	—	—	—	—	5.1	4.5	4.4	4.7	1	—	—	1	95	21	26	13	10	9	—	—	12	8
Nov.	-4.6	-1.5	-3.9	-3.5	-11.0	22	4.3	13	—	—	—	—	—	—	7.0	6.1	6.8	6.6	4	3	4	11	40	9	27	14	12	13	—	—	5	17
Dez.	-7.0	-4.1	-5.7	-5.7	-19.2	25	2.6	16	—	—	—	—	—	—	5.1	4.4	3.6	4.4	—	1	2	3	12	4	3	6	5	5	—	—	11	8
Jahr	-0.1	4.6	1.2	1.6	-28.5	II	24.0	VII VIII	—	—	—	—	—	—	5.8	5.7	5.8	5.8	15	8	17	40	1349	62	VIII	163	139	85	—	7	72	125

Jura Die Abendbeobachtung erfolgt um 20.30

λ = 6° 34′, β = 46° 58′. H = ca 1060m, h_r = 1.8m

La Brévine (Les Taillères)

Beobachter: Frau A. Favre

1956	Luft-Temperatur 7³⁰	13³⁰	21³⁰	Mittel	Minimum	Tag	Maximum	Tag	Relative Feuchtigkeit 7³⁰	13³⁰	21³⁰	Mittel	Minimum	Tag	Bewölkung 7³⁰	13³⁰	21³⁰	Mittel	Nebel 7³⁰	13³⁰	21³⁰	Total	Niederschlag Summe	Maximum	Tag	● *	●* ≥1.0	✱	▲	K	helle	trübe
Jan.	-2.2	1.6	-0.9	-0.6	-13.0	25	7.0	12	91	81	89	87	42	12	8.1	7.5	7.1	7.6	—	1	—	1	160	72	26	20	19	14	—	—	3	17
Feb.	-16.2	-6.7	-12.2	-11.8	-29.0	18	6.4	29	86	62	79	76	27	28	6.5	6.1	4.0	5.5	—	—	—	—	7	1	14	6	2	5	—	—	5	6
März	-2.0	4.1	-0.6	0.2	-10.9	12	12.6	29	88	63	83	78	32	9	7.1	6.1	5.7	6.3	1	1	—	2	60	21	2	10	8	4	—	—	4	12
Apr.	-0.7	6.1	1.2	2.0	-15.3	8	14.1	12	95	67	90	84	36	8.11	7.8	7.8	5.9	7.2	3	3	—	6	97	30	16	15	13	4	—	2	1	13
Mai	6.3	13.6	7.4	8.7	-1.1	2	27.0	28	89	60	84	78	30	6	5.7	6.7	4.9	5.8	1	—	—	1	116	20	31	13	13	—	—	3	—	4
Juni	8.1	12.2	7.7	8.9	1.0	16	20.3	30	87	70	93	83	35	30	8.3	8.6	7.0	8.0	—	1	1	2	109	32	7	13	13	1	1	2	—	15
Juli	11.9	16.6	11.5	12.9	6.7	2	24.9	8	87	65	91	81	32	26	6.3	6.6	6.3	6.4	2	1	1	4	315	52	13	17	16	—	—	5	2	10
Aug.	10.8	14.4	9.8	11.2	4.0	12	27.1	9	93	70	92	85	25	12.13	7.4	7.9	6.5	7.2	3	1	—	4	196	42	20	22	21	—	—	4	1	13
Sept.	8.4	16.8	9.7	11.2	2.2	20	22.3	24	95	63	95	84	38	24	5.7	5.4	4.1	5.1	2	—	—	3	127	41	2	13	8	—	—	2	5	7
Okt.	1.6	8.9	2.5	3.9	-6.0	12	20.3	1	99	72	97	89	35	13	8.0	6.2	5.5	6.6	4	—	1	6	99	31	5	15	13	8	—	—	4	13
Nov.	-2.9	1.5	-2.1	-1.4	-10.6	20	7.9	9	98	82	98	93	40	20	7.3	6.8	6.4	6.8	1	2	2	6	67	20	28	9	9	6	—	—	7	17
Dez.	-3.0	2.0	-1.5	-1.0	-16.9	2	10.8	16	94	79	91	88	34	17	6.5	5.0	5.4	5.6	—	—	3	—	24	4	12	10	9	6	—	—	3	7
Jahr	1.7	7.6	2.7	3.7	-29.0	II	27.1	VIII	92	69	90	84	25	VIII	7.1	6.7	5.7	6.5	17	10	8	35	1377	72	I	163	144	48	1	18	35	134

λ = 6° 54′, β = 47° 04′. H = 790m, h_r = 1.5m

Cernier

Beobachter: Ecole d'Agriculture

1956	Luft-Temperatur 7³⁰	13³⁰	21³⁰	Mittel	Minimum	Tag	Maximum	Tag	Relative Feuchtigkeit 7³⁰	13³⁰	21³⁰	Mittel	Minimum	Tag	Bewölkung 7³⁰	13³⁰	21³⁰	Mittel	Nebel 7³⁰	13³⁰	21³⁰	Total	Niederschlag Summe	Maximum	Tag	● *	●* ≥1.0	✱	▲	K	helle	trübe
Jan.	-0.2	2.4	0.0	0.5	-5.0	31	6.0	30	82	74	84	80	33	21	6.8	7.4	6.1	6.8	—	—	—	—	132	43	26	18	18	9	—	—	6	13
Feb.	-11.9	-6.5	-10.7	-9.9	-20.2	2	5.0	29	77	59	73	70	38	28	6.2	4.5	4.8	5.2	—	—	—	—	12	10	15	3	2	2	—	—	4	5
März	1.5	5.7	1.6	2.6	-7.6	12	14.0	30	76	57	72	68	33	16	5.6	5.7	4.0	5.1	1	1	—	2	34	17	22	6	5	4	—	—	9	7
Apr.	3.4	7.8	3.5	4.5	-6.0	8	14.8	12	74	55	74	68	31	7	6.1	7.1	4.7	6.0	1	—	—	1	117	32	16	12	12	4	—	—	5	9
Mai	10.3	16.6	10.7	12.1	2.8	1	28.0	28	69	53	71	64	32	28	4.9	6.5	2.8	4.7	—	—	—	—	108	25	18	12	12	—	—	2	8	7
Juni	11.4	15.5	11.0	12.2	5.0	9.16	25.0	30	70	58	75	68	41	29	6.6	7.4	5.8	6.6	—	—	—	—	62	13	7	10	10	—	—	1	1	11
Juli	13.9	19.0	14.2	15.3	9.0	11	25.2	9	74	60	75	70	34	26	5.4	6.8	5.4	5.9	—	—	—	—	194	35	1	16	16	—	—	6	3	11
Aug	13.1	17.0	13.1	14.1	8.0	30	25.2	10	76	65	81	74	43	24	7.0	7.5	6.5	7.0	—	—	—	—	208	38	20	22	22	—	—	3	2	14
Sept	12.9	17.6	12.7	14.0	8.2	3	20.0	16.24	79	59	79	72	40	20	4.4	4.5	3.2	4.0	—	—	—	—	99	29	2	11	10	—	—	—	13	4
Okt.	4.5	9.4	6.5	6.7	-1.5	30	19.0	1	85	71	84	80	55	4 9 10.13	5.2	5.3	3.9	4.8	3	1	1	5	130	25	6	13	12	9	—	—	11	9
Nov.	0.5	2.3	0.7	1.1	-5.2	23	8.8	7	83	74	78	78	53	17	8.0	7.4	7.4	7.6	4	3	2	9	59	26	28	8	8	3	—	—	3	17
Dez.	-0.6	1.8	0.4	0.5	-8.7	2	8.9	8	86	76	83	82	55	24	7.4	6.7	5.2	6.4	6	6	—	12	22	10	13	6	5	3	—	—	3	12
Jahr	4.9	9.0	5.3	6.1	-20.2	II	28.0	V	78	63	77	73	31	IV	6.1	6.4	5.0	5.8	15	11	3	29	1177	43	I	137	132	34	—	12	68	119

λ = 7° 00′, β = 47° 10′. H = ca 1180m, h_r 1.5m

Mont Soleil (s. St. Imier)

Beobachter: H. Sutter

1956	Luft-Temperatur 7³⁰	13³⁰	21³⁰	Mittel	Minimum	Tag	Maximum	Tag	Relative Feuchtigkeit 7³⁰	13³⁰	21³⁰	Mittel	Minimum	Tag	Bewölkung 7³⁰	13³⁰	21³⁰	Mittel	Nebel 7³⁰	13³⁰	21³⁰	Total	Niederschlag Summe	Maximum	Tag	● *	●* ≥1.0	✱	▲	K	helle	trübe
Jan.	-1.8	0.7	-1.5	-1.0	-8.2	25	7.4	17	87	80	82	83	32	20	7.9	7.6	6.6	7.4	5	5	4	14	137	33	26	18	18	18	—	—	3	17
Feb.	-12.8	-7.8	-12.3	-11.3	-25.8	10	4.4	29	76	63	78	72	18	28	7.7	6.4	6.2	6.8	3	—	—	3	26	8	15	11	8	9	—	—	1	9
März	-0.9	4.0	0.4	1.0	-10.9	12	12.0	29	77	62	71	70	32	16	6.6	6.1	6.1	6.3	4	2	—	6	82	27	2	12	9	6	—	—	4	11
Apr.	1.2	5.6	1.7	2.5	-8.9	7	13.9	27	78	67	76	74	35	27	6.5	7.1	5.3	6.3	2	3	2	7	132	33	16	15	15	8	—	1	6	10
Mai	8.3	12.9	8.4	9.5	-0.4	1	25.9	28	74	60	77	70	33	6.28	5.2	6.6	4.7	5.5	1	1	1	3	122	20	18	13	13	1	—	1	6	10
Juni	8.1	11.9	8.1	9.1	2.0	9	18.9	4	83	68	84	78	40	30	7.8	8.1	6.9	7.6	2	—	1	3	111	34	7	15	12	2	—	—	1	14
Juli	11.8	15.3	11.7	12.6	6.2	11	23.8	9	81	68	83	77	41	27	6.5	6.7	5.7	6.3	3	1	1	5	264	67	10	16	15	—	—	1	1	8
Aug.	10.2	13.8	10.1	11.1	5.2	29	24.0	10	84	73	85	81	40	13	7.1	7.1	6.3	6.8	1	—	2	3	217	32	20	22	22	—	—	—	3	13
Sept	10.8	15.7	11.3	12.3	6.0	3	21.0	24	82	65	85	77	41	21	4.3	5.1	4.1	4.5	1	—	3	4	132	51	10	12	11	—	—	—	9	7
Okt.	4.3	7.7	4.2	5.1	-3.2	30	18.8	1	85	72	86	81	35	13	5.7	6.2	5.5	5.8	4	—	2	6	168	24	3	15	15	9	—	—	10	13
Nov.	-2.0	0.4	-1.4	-1.1	-8.0	23	8.4	9	89	82	87	86	33	7.8	8.0	7.0	6.8	7.3	13	11	7	31	88	31	28	11	10	6	—	—	5	18
Dez.	-1.4	1.3	-0.8	-0.4	-12.6	25	10.3	16	84	74	83	80	39	2	7.2	5.9	6.8	6.6	4	6	7	17	44	?	—	13	10	7		—	2	11
Jahr	3.0	6.8	3.3	4.1	-25.8	II	25.9	V	83	70	81	78	18	II	6.7	6.6	5.9	6.4	43	29	30	102	1523	67	VII	173	158	66	—	3	51	141

Allerheiligenberg

$\lambda = 7° 49'$, $\beta = 47° 21'$, $H =$ ca 890^m, $h_r = 1.5^m$

Beobachter: Sanatorium

1956	Luft-Temperatur 7³⁰	13³⁰	21³⁰	Mittel	Minimum	Tag	Maximum	Tag	Relative Feuchtigkeit 7³⁰	13³⁰	21³⁰	Mittel	Minimum	Tag	Bewölkung 7³⁰	13³⁰	21³⁰	Mittel	Nebel Zahl der Termine 7³⁰	13³⁰	21³⁰	Total	Niederschlag Summe	Maximum	Tag	Zahl der Tage ● *	● * ≥1.0	*	▲	K	heiter	trüb
Jan.	0.3	1.7	0.8	0.9	-9.0	31	6.8	17	—	—	—	—	—	—	8.6	8.1	8.1	8.3	8	6	4	18	86	20	26	15	14	7	-	—	1	20
Feb.	-11.3	-7.8	-9.6	-9.6	23.0	10	4.8	29	—	—	—	—	—	—	7.9	6.3	5.4	6.5	3	1	—	4	28	8	15	8	8	7	—	—	2	7
März	1.6	5.4	3.1	3.3	-8.5	12	14.2	30	—	—	—	—	—	—	6.9	7.1	4.6	6.2	1	2	—	3	82	32	3	9	6	2	—	1	3	10
Apr.	3.9	8.2	5.3	5.7	-4.2	7	15.8	12	—	—	—	—	—	—	6.8	7.0	6.5	6.8	3	2	2	7	112	21	1	15	15	6	—	—	3	12
Mai	11.1	14.6	11.6	12.2	3.0	1.2	25.2	28	74	62	72	69	42	7.28	4.8	6.5	5.4	5.6	—	—	1	1	120	25	12	12	12	—	—	1	7	10
Juni	12.1	14.9	11.5	12.5	6.0	9	22.0	5	78	66	82	75	40	16	7.4	7.4	7.4	7.4	—	—	1	1	114	44	7	14	10	—	—	—	—	15
Juli	15.1	18.3	14.8	15.8	10.2	12	25.6	8	79	69	82	77	49	26	6.2	6.4	6.7	6.4	1	2	2	5	168	42	10	17	16	—	—	—	2	11
Aug.	12.4	15.9	12.9	13.5	8.5	29	25.8	10	86	74	86	82	54	12	6.8	7.7	7.2	7.2	5	2	—	7	225	38	10	18	18	—	—	—	1	15
Sept.	12.3	16.3	13.3	13.8	8.8	24	20.0	16	89	73	86	83	50	5	6.2	5.6	4.1	5.3	4	-	—	4	110	36	10	12	10	—	—	—	5	6
Okt.	6.1	8.6	6.8	7.1	-0.2	30	19.0	1	92	83	86	87	52	14	6.8	7.4	5.8	6.7	5	3	2	10	148	26	3	13	13	8	—	—	7	13
Nov.	0.5	1.8	0.9	1.0	-5.0	22.23	7.0	7.11	93	88	89	90	64	9	9.0	8.4	8.6	8.7	10	4	3	17	48	16	28	13	11	4	—	—	2	24
Dez.	0.5	2.2	1.0	1.2	-10.0	26	9.0	16	87	81	85	84	53	18	7.4	7.2	6.5	7.0	3	2	3	8	28	12	20	9	6	3	—	—	2	15
Jahr	5.4	8.3	6.0	6.4	-23.0	II	25.8	VIII	—	—	—	—	—	—	7.1	7.1	6.3	6.8	43	24	18	85	1269	44	VI	155	139	37	—	2	35	158

Olten I

$\lambda = 7° 54'$, $\beta = 47° 21'$, $H =$ ca 400^m, $h_r = 1.5^m$

Beobachter: Geschwister Naef

1956	Luft-Temperatur 7³⁰	13³⁰	21³⁰	Mittel	Minimum	Tag	Maximum	Tag	Relative Feuchtigkeit 7³⁰	13³⁰	21³⁰	Mittel	Minimum	Tag	Bewölkung 7³⁰	13³⁰	21³⁰	Mittel	Nebel Zahl der Termine 7³⁰	13³⁰	21³⁰	Total	Niederschlag Summe	Maximum	Tag	Zahl der Tage ● *	● * ≥1.0	*	▲	K	heiter	trüb
Jan.	1.4	3.6	1.7	2.1	-8.0	31	7.4	22	89	78	87	85	51	22	8.9	8.6	7.6	8.4	3	1	1	5	95	27	26	18	16	7	—	—	1	22
Feb.	-10.2	-5.9	-8.4	-8.2	-20.4	10	4.8	29	79	62	76	72	46	7	9.6	7.4	6.8	7.9	4	2	1	7	21	9	15	7	6	6	—	—	—	17
März	1.4	8.2	3.7	4.3	6.8	13.14	17.6	30	85	56	75	72	30	9	6.8	6.5	6.3	6.5	3	1	1	5	81	34	2	8	7	—	—	1	3	13
Apr.	4.1	11.5	6.5	7.1	2.0	7.8	19.4	12	86	51	78	72	27	26	7.1	6.8	6.1	6.7	2	—	—	2	86	19	1	16	15	4	—	—	5	12
Mai	11.0	18.2	13.0	13.8	4.0	4	28.0	28	82	50	76	69	33	7.9.16	5.8	6.2	5.2	5.7	2	—	—	2	117	25	22	12	11	—	—	2	8	11
Juni	13.0	18.4	13.2	14.5	6.4	16	25.0	30	82	55	80	72	37	4.30	7.5	8.0	6.7	7.4	2	—	—	2	81	22	7	13	10	—	1	1	—	14
Juli	15.5	21.7	16.4	17.5	11.0	22	28.6	8	83	57	82	74	40	26	7.2	6.6	6.1	6.6	2	—	—	2	146	31	10	17	16	—	—	—	3	12
Aug.	13.1	19.2	14.4	15.3	7.4	31	28.0	10	89	63	87	80	44	16	8.5	8.1	6.9	7.8	8	—	—	8	219	43	10	21	19	—	—	1	1	18
Sept.	12.2	19.2	13.8	14.8	7.8	15	22.6	16	92	62	90	81	45	5	9.0	5.6	3.7	6.1	13	—	—	13	90	25	10	11	9	—	1	1	—	8
Okt.	6.5	10.6	7.0	7.8	0.4	9	20.4	1	94	74	92	87	48	10	9.5	7.6	7.7	8.3	15	3	7	25	121	23	6	14	12	1	—	—	1	22
Nov.	2.1	4.3	2.6	2.9	-2.6	23	10.0	6.11	87	71	85	81	55	6.16	10.0	8.8	8.8	9.2	6	2	2	10	40	18	28	13	8	4	—	—	—	25
Dez.	0.1	2.9	0.8	1.2	-7.8	25	10.2	15	90	79	88	86	60	1.15	9.0	7.5	7.9	8.1	11	4	9	24	29	11	20	11	8	4	—	—	—	20
Jahr	5.8	11.0	7.0	7.7	-20.4	II	28.6	VII	86	63	83	77	27	IV	8.2	7.3	6.7	7.4	71	13	21	105	1126	43	VIII	161	137	26	2	6	22	194

Rheinfelden

$\lambda = 7° 48'$, $\beta = 47° 33'$, $H_b = 287^m$, $h_r = 1.5^m$

Beobachter: Frl. M. Waidele

1956	Luft-Temperatur 7³⁰	13³⁰	21³⁰	Mittel	Minimum	Tag	Maximum	Tag	Relative Feuchtigkeit 7³⁰	13³⁰	21³⁰	Mittel	Minimum	Tag	Bewölkung 7³⁰	13³⁰	21³⁰	Mittel	Nebel Zahl der Termine 7³⁰	13³⁰	21³⁰	Total	Niederschlag Summe	Maximum	Tag	Zahl der Tage ● *	● * ≥1.0	*	▲	K	heiter	trüb
Jan.	1.0	4.3	1.7	2.2	6.5	31	11.2	11	87	68	83	79	40	11	8.9	7.3	7.5	7.9	3	4	—	7	86	20	26	15	12	4	—	—	2	19
Feb.	-11.9	-5.4	-9.3	-9.0	-20.2	10	5.2	29	83	57	76	72	40	6.28	8.2	8.1	6.0	7.4	13	2	2	17	31	10	15	11	9	10	—	—	—	12
März	1.7	9.4	3.8	4.7	7.0	13.14	18.5	31	81	47	74	67	22	6.8	6.8	5.9	4.5	5.7	5	1	—	6	43	17	3	8	5	—	—	—	5	8
Apr.	4.2	12.0	6.3	7.2	4.0	8	20.0	12	84	45	77	69	23	8.10	7.2	7.1	4.8	6.4	6	1	—	7	92	19	14	13	11	4	—	1	5	10
Mai	10.6	18.8	12.2	13.5	3.0	1	30.5	28	79	42	80	67	16	7	6.9	6.4	5.0	6.1	9		—	9	141	32	22	16	12	—	—	2	6	11
Juni	12.6	18.8	12.7	14.2	7.0	7	27.8	4	79	47	87	71	21	4	7.6	7.9	7.1	7.5	3	—	—	3	93	42	7	10	10	—	—	—	—	14
Juli	15.3	22.0	16.0	17.3	12.0	11.28	32.0	9	86	58	90	78	40	9	6.8	6.2	5.8	6.3	2	—	—	2	161	55	10	16	13	—	—	—	3	10
Aug.	13.8	19.1	14.3	15.4	9.0	31	28.0	10	86	62	93	80	44	15	7.0	7.8	6.1	7.0	5	—	—	5	178	24	10	21	20	—	—	—	1	12
Sept.	12.5	20.2	13.3	14.8	9.0	14.15	25.0	22.24	92	60	95	82	46	22	8.0	6.0	4.4	6.1	12	2	—	14	75	22	10	10	9	—	—	1	2	9
Okt.	6.7	12.1	6.9	8.2	0.2	10	25.0	1	96	70	95	87	50	1	8.9	7.1	7.0	7.7	14	1	2	17	108	19	2	15	15	2	—	—	2	18
Nov.	1.9	5.1	2.5	3.0	-3.0	23	11.0	11	90	72	89	84	47	18	9.1	7.7	8.7	8.5	15	5	—	20	34	8	28	10	8	1	—	—	1	22
Dez.	0.3	3.9	0.8	1.4	-7.8	25	11.0	15	91	75	91	86	50	14	8.9	7.5	7.3	7.9	8	6	3	17	29	6	20	11	9	5	—	—	2	19
Jahr	5.7	11.7	6.8	7.7	-20.2	II	32.0	VII	86	59	86	77	16	V	7.8	7.1	6.2	7.0	95	22	7	124	1071	55	VII	156	133	26	—	4	29	164

Schaffhausen

$\lambda = 8° 39'$, $\beta = 47° 42'$, $H_b = 451^m$, $h_r = 1.5^m$

Beobachter: Th. Bächtold

1956	Luft-Temperatur 7³⁰	13³⁰	21³⁰	Mittel	Minimum	Tag	Maximum	Tag	Relative Feuchtigkeit 7³⁰	13³⁰	21³⁰	Mittel	Minimum	Tag	Bewölkung 7³⁰	13³⁰	21³⁰	Mittel	Nebel Zahl der Termine 7³⁰	13³⁰	21³⁰	Total	Niederschlag Summe	Maximum	Tag	Zahl der Tage ● *	● * ≥1.0	*	▲	K	heiter	trüb
Jan.	1.0	3.5	1.6	1.9	-10.1	31	7.7	11	88	76	85	83	50	25	7.9	7.1	7.4	7.5	2	—	2	4	69	20	26	16	12	6	—	—	—	18
Feb.	10.3	-5.7	-8.0	-8.0	-22.8	10	5.0	29	79	63	73	72	45	27.28	9.3	6.2	5.7	7.1	2	—	—	2	13	4	11	8	4	7	—	—	—	8
März	1.5	7.9	4.0	4.4	-6.0	13	17.3	30	84	59	75	73	34	9.16	6.4	5.8	4.0	5.4	2	—	—	2	16	5	2	11	6	3	—	1	4	7
Apr.	4.7	11.0	7.0	7.4	-2.4	7.8	19.1	12	83	54	74	70	30	10	6.1	5.5	5.5	5.7	3	—	—	3	92	22	16	14	13	2	—	1	4	8
Mai	10.8	17.5	12.8	13.5	3.3	1	27.4	28	84	56	76	72	24	9	5.6	5.0	5.0	5.2	3	—	—	3	80	16	18	13	9	—	—	2	7	7
Juni	12.2	17.0	13.0	13.8	6.4	16	24.5	6	84	60	81	75	39	16.28	6.7	6.6	5.6	6.3	1	—	—	1	49	14	20	10	9	—	—	1	—	7
Juli	15.2	21.0	16.5	17.3	11.6	20	29.8	8	85	60	81	75	40	7	6.0	5.2	5.2	5.5	1	—	—	1	154	29	10	18	15	—	—	5	5	7
Aug.	13.2	18.8	14.5	15.3	8.2	31	26.1	10	89	62	85	79	38	16	6.6	5.8	6.8	6.4	1	—	—	1	158	40	10	20	17	—	—	2	2	9
Sept.	11.9	18.6	14.2	14.7	8.5	5	23.0	2	92	66	87	82	46	6.13	7.6	4.0	2.3	4.6	8	—	—	8	46	15	10	7	6	—	—	2	3	3
Okt.	6.6	10.2	7.1	7.8	1.0	9	21.2	1	94	77	90	87	52	10	9.1	7.4	6.1	7.5	10	—	—	10	86	16	3	13	12	2	—	—	—	18
Nov.	1.8	3.9	2.2	2.5	-5.0	22	10.0	11	88	76	85	83	48	16	9.6	8.1	7.7	8.5	6	—	1	7	44	18	28	11	6	2	—	—	—	21
Dez.	-0.3	2.4	0.8	0.9	-9.4	26	9.2	13.15	89	81	87	86	57	14	8.0	7.8	7.4	7.7	7	4	4	15	24	6	20	8	7	5	—	—	2	18
Jahr	5.7	10.5	7.1	7.6	-22.8	II	29.8	VII	86	66	82	78	24	V	7.4	6.2	5.7	6.4	46	4	7	57	879	40	VIII	149	116	27	—	14	27	131

Thun

λ = 7° 37′, β = 46° 46′, H_b = 560m, h_r = 1.5m — Beobachter: Eidg. Munitionsfabrik: H. Stucki u. H. Rothen

1956	Luft-Temperatur 7³⁰	13³⁰	21³⁰	Mittel	Minimum	Tag	Maximum	Tag	Relative Feuchtigkeit 7³⁰	13³⁰	21³⁰	Mittel	Minimum	Tag	Bewölkung 7³⁰	13³⁰	21³⁰	Mittel	Nebel Zahl der Termine 7³⁰	13³⁰	21³⁰	Total	Niederschlag Summe	Maximum	Tag	Zahl der Tage ●	●≥1.0	✳	▲	K	helle	trübe
Jan.	0.6	3.7	1.2	1.7	-4.6	21	8.7	11	90	76	86	84	55	8, 11, 23	8.4	7.4	7.4	7.7	—	—	2	2	62	12	13	13	12	3	—	—	3	19
Feb.	-11.1	5.6	-8.1	-8.2	-20.1	10.11	4.7	29	82	63	75	73	50	7	6.1	4.9	5.4	5.5	—	—	—	—	12	7	8	6	3	6	—	—	5	8
März	1.5	8.0	4.1	4.4	-7.3	13	15.7	30	85	56	76	72	37	16	5.0	5.2	5.2	5.1	1	—	—	1	31	13	22	7	3	2	—	1	9	9
Apr.	3.8	9.9	5.9	6.4	-3.1	7	16.5	11.12	89	63	82	78	38	4	5.3	6.4	6.3	6.0	—	—	—	—	99	28	1	15	12	4	—	1	5	11
Mai	11.4	17.1	12.5	13.4	5.5	1	26.7	28	79	55	77	70	35	15	4.3	5.5	4.7	4.8	—	—	—	—	121	30	19	12	12	—	1	6	10	6
Juni	11.8	17.1	13.1	13.8	6.3	7	23.1	5.7	85	58	82	75	45	28	5.3	7.4	6.6	6.4	—	—	—	—	92	17	20	15	13	—	—	1	2	8
Juli	14.8	20.5	16.4	17.0	11.4	11	26.9	8	86	62	81	76	31	27	4.8	5.4	5.0	5.1	—	—	—	—	215	73	10	15	14	—	—	7	6	6
Aug.	13.7	18.7	14.9	15.6	9.9	31	27.5	10	88	67	86	80	47	2	6.1	6.9	6.6	6.5	—	—	—	—	167	55	10	18	16	—	1	4	3	12
Sept.	12.1	19.1	14.1	14.9	8.9	27	22.5	17	92	64	90	82	47	7	4.3	4.2	3.8	4.1	—	—	—	—	109	49	10	8	8	—	—	3	9	5
Okt.	4.9	10.8	6.3	7.1	-0.1	9	20.3	1	95	71	91	86	47	5	6.5	5.6	6.1	6.1	7	—	3	10	89	16	3	14	13	7	—	—	7	13
Nov.	1.0	3.9	1.4	1.9	-3.1	8	9.9	11	90	75	89	85	51	8	8.1	7.8	8.1	8.0	—	—	1	1	29	7	28	8	8	2	—	—	1	18
Dez.	2.0	2.5	-0.9	0.3	11.1	28	7.9	13	91	76	89	85	55	11	5.7	4.3	5.3	5.1	2	—	2	4	16	5	25	8	7	3	—	—	9	9
Jahr	5.2	10.5	6.7	7.3	-20.1	II	27.5	VIII	88	65	84	79	31	VII	5.8	5.9	5.9	5.9	10	—	8	18	1042	73	VII	139	121	27	2	23	69	124

Heiligenschwendi

λ = 7° 42′, β = 46° 45′, H_b = 1126m, h_r = 1.5m — Beobachter: Sanatorium

Jan.	0.5	2.3	0.3	0.6	4.8	8	7.6	16	87	77	85	83	48	22	8.2	7.9	7.2	7.8	5	4	2	11	71	13	1	14	14	9	—	—	3	19
Feb.	-11.3	6.4	9.6	9.3	-23.2	10	4.1	29	80	63	79	74	48	22	6.3	6.6	6.1	6.3	4	1	1	6	18	4	9	10	6	10	—	—	3	11
März	1.0	5.5	2.0	2.6	-10.4	13	14.4	30	77	66	77	73	39	21	5.4	6.7	5.4	5.8	—	—	—	—	35	15	22	9	7	4	—	—	4	11
Apr.	2.3	7.4	3.3	4.0	6.4	7	14.4	12	85	68	85	79	43	8.26	5.9	7.2	6.6	6.6	—	—	—	—	153	38	1	18	14	9	—	—	4	13
Mai	9.0	13.8	9.9	10.5	1.4	1	25.6	28	79	66	79	75	39	28	4.7	6.6	5.8	5.7	2	—	—	2	137	28	19	11	10	2	1	3	5	9
Juni	9.4	12.8	9.6	10.1	3.2	9	20.1	5	86	73	86	82	52	30	5.7	8.2	6.9	6.9	3	—	—	3	133	28	20	16	15	—	—	1	2	11
Juli	12.9	17.6	13.6	14.0	8.3	2	24.2	9	85	73	83	80	52	9.27	5.6	6.3	6.4	6.1	1	2	1	4	253	93	10	16	14	—	—	5	2	7
Aug.	11.8	15.1	12.1	12.6	6.2	30	24.4	10	85	76	86	82	58	10.30	6.6	7.7	6.8	7.0	1	2	—	3	195	53	10	20	18	—	1	3	2	13
Sept.	11.4	16.2	12.7	13.1	7.2	27	20.0	16	86	71	87	81	52	23	5.3	5.7	3.3	4.8	2	—	1	3	101	26	10	10	9	—	—	2	8	5
Okt.	4.8	8.8	5.7	6.3	2.5	31	19.6	1	87	77	87	84	61	12	5.4	6.1	5.8	5.8		—	—	—	122	27	25	13	12	9	—	—	10	15
Nov.	-0.6	1.7	0.1	0.2	-5.1	23	9.0	8	88	83	90	87	41	8	7.5	7.7	7.5	7.6	6	5	6	17	39	8	27	11	10	9	—	—	3	18
Dez.	1.1	3.1	-0.3	0.5	10.1	25	9.5	17	78	67	79	75	41	17	5.3	4.7	3.9	4.6	2	2	—	4	26	4	20.26	10	10	6	—	—	9	8
Jahr	4.1	8.1	4.9	5.4	23.2	II	25.6	V	84	72	84	80	39	III V	6.0	6.8	6.0	6.3	26	16	11	53	1283	93	VII	158	139	58	2	14	55	140

Die Abendbeobachtung erfolgt um 20.30

Grindelwald

λ = 8° 03′, β = 46° 38′, H = ca 1040m, h_r = 1.5m — Beobachter: G. Bohren

Jan.	-2.7	0.4	1.9	1.7	8.8	8	4.3	12	81	74	82	79	48	17	5.6	4.8	5.2	5.2	—		3	3	106	27	26	12	10	10	—	—	10	12
Feb.	-13.1	-7.0	-11.1	-10.6	-23.4	3	6.5	29	79	58	81	73	41	22	5.4	3.7	5.2	4.8	2	—	2	4	14	6	8	6	5	5	—	—	5	6
März	-0.1	6.1	1.6	2.3	-12.6	13	14.6	29	79	54	73	69	32	24	5.8	5.6	5.4	5.6	—	—	—	—	79	37	22	9	9	4	—	—	6	10
Apr.	1.3	8.6	2.5	3.7	-9.7	8	16.8	12	87	53	87	76	31	7.10	5.5	5.7	5.4	5.5	2	—	1	3	159	27	5	16	14	9	—	—	9	10
Mai	7.7	15.5	9.0	10.3	0.9	1	26.7	28	85	53	82	73	32	5	4.4	5.4	4.4	4.7	—	—	—	—	151	30	19	13	11	1	—	2	10	6
Juni	9.0	14.9	9.8	10.9	4.0	8	22.4	7	88	58	89	78	37	7	5.6	7.1	7.2	6.6	1	—	—	1	129	30	20	18	14	—	—	—	3	13
Juli	12.4	19.5	13.1	14.5	8.2	2	27.0	8	87	59	87	78	37	18	4.0	4.9	5.9	4.9	—		1	1	192	30	10	14	14	—	—	4	5	6
Aug.	11.1	17.3	11.9	13.0	3.7	30	27.1	10	90	66	91	82	33	27	5.6	6.3	6.2	6.0	2		1	3	175	28	10	20	17	—	—	2	3	10
Sept.	10.1	17.2	11.4	12.5	6.8	27	22.4	24	88	64	90	81	43	24	4.7	4.2	3.9	4.3	3	—	—	3	100	21	3	11	11	—	—	—	9	5
Okt.	3.3	9.9	3.9	5.3	-4.7	31	20.0	1	88	64	91	81	43	12	4.9	5.0	4.2	4.7	1	—	—	1	102	26	25	11	8	8	—		10	8
Nov.	1.8	0.6	1.2	0.9	8.4	22	6.9	10	88	79	88	85	50	8	6.7	6.0	6.6	6.4	2	3	5	10	46	21	28	7	6	6	—	—	6	16
Dez.	-3.2	-1.2	-2.5	-2.3	-13.2	25	5.4	16	76	70	76	74	41	27	4.9	3.6	2.5	3.7	—	1	1	2	12	4	26	6	5	4	—	—	13	5
Jahr	2.8	8.4	3.9	4.7	-23.4	II	27.1	VIII	85	63	85	78	31	IV	5.3	5.2	5.2	5.2	13	4	14	31	1265	37	III	143	124	47	—	8	89	107

Adelboden

λ = 7° 34′, β = 46° 30′, H = ca 1340m, h_r = 1.5m — Beobachter: G. Gyger-Spori

Jan.	2.3	2.2	-2.1	1.1	10.3	8	9.9	12	82	66	83	77	22	23	6.6	5.9	6.0	6.2	3	1	3	7	104	39	26	13	10	12	—	—	5	10
Feb.	14.2	6.9	13.1	11.8	-25.0	10.11	6.0	29	84	63	85	77	33	8	5.2	5.4	4.0	4.9	—	—	—	—	19	5	9	8	6	8	—	—	6	6
März	1.1	5.0	0.2	1.1	13.8	13	13.0	29.30	77	58	77	71	30	24	5.5	6.2	6.0	5.9	2	—	3	5	87	40	22	10	9	5	—		4	9
Apr.	0.6	6.6	0.4	2.0	11.8	7	14.4	15	83	63	87	78	33	26	6.3	7.2	6.0	6.5	6	6	3	15	126	24	1	16	14	12	—	—	4	14
Mai	7.9	13.7	7.4	9.1	0.0	1	25.4	28	76	57	83	72	31	28	4.7	6.4	6.2	5.8	2	1	3	6	173	27	31	15	13	3	—	3	2	11
Juni	8.8	13.0	7.6	9.2	3.0	8.9	20.1	7	79	71	91	80	45	4	6.0	8.0	7.8	7.3	7	4	7	18	104	20	20	19	15	4	—	2	1	12
Juli	12.3	17.5	11.7	13.3	6.8	11.19	24.0	8	77	64	86	76	43	7	4.7	5.7	7.1	5.8	3	2	4	9	183	43	10	17	15	—		5	3	6
Aug.	11.4	16.2	10.5	12.1	4.0	29	25.6	10	79	66	86	77	34	27	5.7	6.4	7.5	6.5	3	—	4	7	225	37	18	23	19	—	—	2	3	10
Sept.	9.5	16.3	10.3	11.6	5.0	4.27	19.9	17	85	68	84	79	43	24	4.4	5.1	4.0	4.5	4	—	4	8	78	19	2	8	8	—	—	1	7	5
Okt.	2.6	8.3	2.9	4.2	5.0	9	18.3	1	84	69	87	80	39	13.14	5.3	5.6	4.6	5.2	3	2	2	7	107	19	25	11	11	8	—	—	11	11
Nov.	2.2	1.7	2.2	1.2	9.8	25	8.0	8	84	74	87	82	36	8	6.1	6.2	6.3	6.2	10	6	8	24	49	19	28	9	7	7	—		9	14
Dez.	3.5	1.8	-3.2	2.0	-14.0	24.25	8.8	15	80	61	78	73	35	15.18	4.7	4.2	3.3	4.1	1	1	1	3	19	5	22.26	8	5	6	—	—	10	6
Jahr	2.5	7.9	2.5	3.9	25.0	II	25.6	VIII	81	65	84	77	22	1	5.4	6.0	5.7	5.7	44	23	42	109	1274	43	VII	157	132	65	—	13	65	114

$\lambda = 7° 16'$, $\beta = 46° 30'$, $H =$ ca 1155^m, $h_r = 1.5^m$

Saanen

Beobachter: **Kindersanatorium Solsana**

1956	Luft-Temperatur								Relative Feuchtigkeit						Bewölkung				Nebel Zahl der Termine				Niederschlag			Zahl der Tage						
	7³⁰	13³⁰	21³⁰	Mittel	Minimum	Tag	Maximum	Tag	7³⁰	13³⁰	21³⁰	Mittel	Minimum	Tag	7³⁰	13³⁰	21³⁰	Mittel	7³⁰	13³⁰	21³⁰	Total	Summe	Maximum	Tag	● *	●* ≧1.0	*	▲	K	heiter	trüb
Jan.	-1.9	1.0	-0.8	-0.6	-7.2	4	6.4	12	91	74	81	82	30	22	6.9	6.5	5.6	6.3	—	—	—	—	128	27	26	15	14	11	—	—	4	12
Febr	-13.2	-7.2	-10.3	-10.3	-23.4	11	4.0	29	85	62	74	74	35	28	6.2	5.4	3.2	4.9	1	—	—	1	18	4	15	8	7	7	—	—	8	3
März	-0.3	5.1	1.6	2.0	-12.7	13	14.5	31	82	55	69	69	32	21.24	5.4	5.8	4.0	5.1	—	—	1	1	49	11	22	9	9	5	—	—	9	7
Apr.	1.0	7.2	3.1	3.6	-8.2	8	13.8	12.27	93	56	80	76	28	10	6.4	6.8	6.1	6.4	—	—	—	—	90	16	1	15	13	9	—	—	6	13
Mai	7.3	14.3	8.9	9.8	0.8	1	25.0	28	92	52	76	73	27	28	4.4	6.1	3.9	4.8	1	—	—	1	133	33	19	12	12	1	1	1	9	4
Juni	8.5	14.0	9.7	10.3	2.2	9	20.0	4.30	90	58	79	76	35	4	5.0	7.3	6.2	6.2	1	—	—	1	80	18	7	14	12	2	—	—	2	6
Juli	11.6	18.0	12.8	13.8	7.4	2	24.6	8	92	59	83	78	30	18	4.9	5.3	6.2	5.5	1	—	—	1	170	39	10	16	14	—	—	7	4	6
Aug.	10.7	15.7	11.5	12.4	6.6	29	24.0	9	95	65	83	81	39	1	5.8	6.9	6.1	6.3	—	—	—	—	234	38	18	22	19	—	—	4	3	11
Sept	10.1	16.3	12.1	12.6	6.2	4	19.4	17	97	67	85	83	47	8	4.2	3.7	4.8	4.2	—	—	—	—	69	14	27	12	8	—	—	3	9	5
Okt.	3.0	8.4	4.7	5.2	-5.8	31	21.0	1	98	69	84	84	43	13	5.2	5.2	4.2	4.9	—	—	—	—	126	26	6	14	12	9	—	—	13	10
Nov.	-1.3	2.2	-0.6	-0.1	-6.4	22	7.4	11	97	68	79	81	20	20	6.4	5.7	6.4	6.2	1	—	1	2	57	26	28	9	8	6	—	—	7	11
Dez.	-2.5	1.0	-1.4	-1.1	11.6	25	6.8	16	82	72	81	78	45	18	4.4	4.0	5.0	4.5	1	—	1	2	12	9	13	2	2	2	—	—	10	8
Jahr	2.7	8.0	4.3	4.8	-23.4	II	25.0	V	91	63	80	78	20	XI	5.4	5.7	5.1	5.4	6	—	3	9	1166	39	VII	148	130	52	1	15	84	96

$\lambda = 7° 13'$, $\beta = 46° 29'$, $H = 1003^m$, $h_r = 1.5^m$

Rougemont

Beobachter: **V. Saugy, Frau L. Saugy**

1956	Luft-Temperatur								Relative Feuchtigkeit						Bewölkung				Nebel Zahl der Termine				Niederschlag			Zahl der Tage						
	7³⁰	13³⁰	21³⁰	Mittel	Minimum	Tag	Maximum	Tag	7³⁰	13³⁰	21³⁰	Mittel	Minimum	Tag	7³⁰	13³⁰	21³⁰	Mittel	7³⁰	13³⁰	21³⁰	Total	Summe	Maximum	Tag	● *	●* ≧1.0	*	▲	K	heiter	trüb
Jan.	-3.6	0.6	-2.1	-1.8	-11.3	4. 6	4.2	28	91	79	90	87	63	20	6.7	6.5	5.5	6.2	1	—	—	1	140	33	26	17	14	12	—	—	5	13
Febr	-14.5	-6.5	-11.3	-10.9	-22.6	11	5.5	29	79	74	76	76	68	8	5.4	5.4	3.6	3.8	1	—	—	1	12	4	15	5	3	4	—	—	8	5
März	-1.5	6.9	1.3	2.0	-12.5	13	15.9	29	77	57	75	69	32	29	5.1	5.5	4.5	5.0	1	—	—	1	42	11	22	8	8	5	--	—	10	8
Apr.	0.7	8.7	3.3	4.0	-9.3	8	16.5	12	88	53	81	74	27	10	6.3	6.9	6.2	6.5	—	—	—	—	89	15	16	16	13	6	—	1	6	14
Mai	8.4	15.9	10.1	11.1	1.8	1	28.7	28	78	50	76	68	26	28	4.7	6.9	4.6	5.4	—	—	—	—	141	32	18	12	11	1	3	4	7	8
Juni	10.8	15.5	10.2	11.7	3.6	9	22.3	4.30	73	55	80	69	32	4	5.7	8.2	6.9	6.9	—	—	—	—	81	17	7	15	13	—	—	1	2	13
Juli	13.2	19.6	13.5	15.0	9.0	2	26.3	27	78	57	83	73	35	5	4.8	5.4	6.2	5.5	—	—	—	—	168	34	18	18	14	--	—	9	6	8
Aug.	11.1	17.6	12.3	13.3	5.0	30	26.6	9	87	62	85	78	41	16	5.8	6.8	6.4	6.3	1	—	—	1	261	40	18	21	19	—	—	6	3	12
Sept.	9.4	18.6	12.0	13.0	6.0	4.29	22.1	16	92	58	88	79	41	4	4.5	4.6	4.3	4.5	1	—	1	2	84	20	26	11	9	—	—	4	9	5
Okt.	1.8	10.0	4.0	5.0	-6.4	31	21.0	1	94	64	89	83	40	11.13 14	4.9	5.4	4.7	5.0	—	—	—	—	120	19	3	13	13	8	—	1	12	12
Nov.	-2.4	2.6	-1.3	-0.6	-8.4	22	8.2	8	91	73	90	85	40	8	6.6	6.0	6.1	6.2	—	—	3	3	63	25	28	8	8	7	—	—	5	12
Dez.	-4.7	-0.3	-3.4	-2.9	-14.8	25	4.7	16	86	73	86	82	55	18	4.6	3.9	4.9	4.5	1	—	1	2	21	11	13	6	6	3	—	—	11	9
Jahr	2.4	9.1	4.1	4.9	-22.6	II	28.7	V	85	63	83	77	26	V	5.4	5.9	5.3	5.5	6	—	5	11	1222	40	VIII	150	131	46	3	26	84	119

Rougemont: V. Saugy † im September

$\lambda = 7° 08'$, $\beta = 46° 29'$, $H_b = 993.5^m$, $h_r = 1.5^m$

Château d'Oex

Beobachter: **E. Jaccard**

1956	Luft-Temperatur								Relative Feuchtigkeit						Bewölkung				Nebel Zahl der Termine				Niederschlag			Zahl der Tage						
	7³⁰	13³⁰	21³⁰	Mittel	Minimum	Tag	Maximum	Tag	7³⁰	13³⁰	21³⁰	Mittel	Minimum	Tag	7³⁰	13³⁰	21³⁰	Mittel	7³⁰	13³⁰	21³⁰	Total	Summe	Maximum	Tag	● *	●* ≧1.0	*	▲	K	heiter	trüb
Jan.	-3.1	1.6	-1.6	-1.2	-10.0	4	7.9	12	88	67	88	81	35	22	7.5	6.9	6.0	6.8	1	1	1	3	133	25	26	16	15	9	—	—	5	13
Febr	-14.5	-6.3	-11.6	-11.0	-25.1	11	4.7	29	82	57	80	73	45	8.28	5.8	5.1	3.9	4.9	—	—	—	—	13	3	13.15	11	5	10	—	—	8	6
März	-1.4	6.8	1.1	1.9	-12.8	13	16.3	29	80	52	78	70	33	15.21	5.3	5.5	4.8	5.2	—	—	—	—	40	12	4	8	7	4	—	—	8	6
Apr.	1.1	8.8	2.6	3.8	-9.4	8	16.4	12	85	53	83	74	29	10	6.1	6.9	5.8	6.3	—	—	1	1	107	19	16	14	13	6	—	1	5	12
Mai	8.1	15.5	9.0	10.4	1.0	1	26.3	28	80	54	79	71	37	7	4.6	6.2	4.4	5.1	—	—	—	—	147	31	18.19	12	12	1	—	2	10	5
Juni	9.4	15.3	9.4	10.9	3.3	9	22.0	4	80	55	83	73	34	4	5.1	8.1	6.0	6.4	—	—	—	—	110	20	7	14	12	—	—	—	2	12
Juli	13.2	19.0	13.0	14.6	9.2	3.19	25.2	27	76	61	86	74	40	5	5.1	5.5	5.1	5.2	—	—	—	—	167	38	18	16	14	—	1	5	7	6
Aug.	11.4	16.8	11.7	12.9	5.5	30	26.2	10	83	62	86	77	40	1	6.2	7.0	6.5	6.6	—	—	—	—	269	43	25	22	20	—	—	5	4	14
Sept.	9.6	18.1	11.4	12.6	6.0	29	21.3	16	90	62	89	80	40	8	4.8	4.5	4.2	4.5	—	—	—	—	88	18	6	9	9	—	1	4	8	6
Okt.	2.0	9.9	3.7	4.8	-7.3	31	19.1	1	93	64	90	82	46	13	5.4	5.2	5.1	5.2	—	—	--	—	137	23	6	14	13	9	1	1	11	12
Nov.	-2.4	2.4	-1.4	-0.7	-8.6	22	8.3	11	89	71	90	84	43	8	6.6	6.2	6.8	6.5	2	—	3	5	63	30	28	10	7	7	—	—	5	13
Dez.	-4.3	0.9	-3.0	-2.3	-15.2	25	8.2	13	84	65	84	78	50	17	4.1	4.1	4.4	4.2	—	—	—	—	15	8	13	6	4	3	—	—	11	5
Jahr	2.4	9.1	3.7	4.7	-25.1	II	26.3	V	84	60	85	76	29	IV	5.5	5.9	5.2	5.6	3	1	5	9	1289	43	VIII	152	131	49	3	18	84	110

$\lambda = 7° 04'$, $\beta = 46° 39'$, $H = 721^m$, $h_r = 1.5^m$

Marsens

Beobachter: **E. Baeriswyl**

1956	Luft-Temperatur								Relative Feuchtigkeit						Bewölkung				Nebel Zahl der Termine				Niederschlag			Zahl der Tage						
	7³⁰	13³⁰	21³⁰	Mittel	Minimum	Tag	Maximum	Tag	7³⁰	13³⁰	21³⁰	Mittel	Minimum	Tag	7³⁰	13³⁰	21³⁰	Mittel	7³⁰	13³⁰	21³⁰	Total	Summe	Maximum	Tag	● *	●* ≧1.0	*	▲	K	heiter	trüb
Jan.	0.1	3.3	1.0	1.3	-5.2	31	7.6	18.21	86	78	86	83	38	23	8.0	8.3	6.8	7.7	2	—	3	3	111	21	26	17	15	9	—	—	2	18
Febr	-12.	-7.1	-9.7	-9.8	-22.7	11	5.5	29	81	66	76	74	51	8.29	7.3	5.1	3.6	5.3	3	—	2	—	7	2	8	7	3	6	—	—	4	5
März	0.2	7.0	2.5	3.0	-10.3	13	14.9	30	84	58	78	73	40	17	5.1	5.1	3.8	4.7	2	—	—	2	19	7	22	8	3	3	—	—	8	7
Apr.	3.1	9.0	4.8	5.4	-6.8	7	15.4	15	85	59	81	75	27	10	5.2	6.4	5.3	5.6	—	—	—	—	126	36	1	18	12	4	1	1	6	10
Mai	9.8	16.3	10.9	12.0	3.8	1	24.5	28	84	56	80	73	31	6	4.5	5.3	4.1	4.6	1	—	—	1	155	41	18	13	11	—	1	3	7	5
Juni	11.4	16.8	11.9	13.0	6.8	9	21.4	30	82	56	80	73	33	30	5.1	6.5	5.9	5.8	1	—	—	1	100	31	7	16	15	—	—	—	3	6
Juli	14.6	19.9	15.2	16.2	11.0	11	25.7	9	83	64	82	76	39	5	4.7	5.2	5.3	5.1	—	—	—	—	189	37	10	14	12	—	—	5	5	8
Aug.	12.9	18.3	13.4	14.5	7.4	29	25.3	10	88	66	86	80	36	13	5.9	6.6	6.2	6.2	1	—	1	2	187	37	27	22	20	—	—	1	2	10
Sept.	11.6	18.4	13.0	14.0	8.2	4	22.2	16	91	66	90	82	45	4.28	5.0	4.3	4.0	4.4	1	1	—	2	120	39	10	11	9	—	—	3	7	4
Okt.	4.1	10.3	5.6	6.4	-2.7	31	19.5	1	93	74	92	86	44	4	5.6	5.3	4.6	5.2	1	—	2	3	154	32	25	17	14	8	—	—	9	10
Nov.	0.1	3.4	0.8	1.3	-4.1	9	9.6	11	89	78	91	86	45	8	8.6	8.1	7.0	7.9	3	4	4	11	38	17	28	10	7	3	—	—	3	22
Dez.	-1.9	2.8	-0.7	-0.1	-10.3	28	9.6	15	87	74	88	83	46	12	5.9	4.5	5.4	5.3	1	—	2	3	16	4	26	10	4	6	—	—	5	7
Jahr	4.4	9.9	5.7	6.4	-22.7	II	25.7	VII	86	66	84	79	27	IV	5.9	5.9	5.2	5.7	16	10	14	40	1222	41	V	163	125	39	2	13	61	112

Romont

$\lambda = 6° 55'$, $\beta = 46° 42'$, $H_b = 764^m$, $h_r = 1.5^m$

Beobachter: Couvent des Capucins

1956	Luft-Temperatur 7³⁰	13³⁰	21³⁰	Mittel	Minimum	Tag	Maximum	Tag	Relative Feuchtigkeit 7³⁰	13³⁰	21³⁰	Mittel	Minimum	Tag	Bewölkung 7³⁰	13³⁰	21³⁰	Mittel	Nebel Zahl der Termine 7³⁰	13³⁰	21³⁰	Total	Niederschlag Summe	Maximum	Tag	Zahl der Tage ●	●≥1.0	✳	▲	K	heiter	trüb
Jan.	0.7	2.4	1.1	1.3	-5.0	31	6.7	18	—	—	—	—	—	—	8.5	8.7	7.5	8.2	2	2	1	5	123	23	26	13	13	8	—	—	1	20
Feb.	-11.5	-7.2	-8.9	-9.4	-23.0	10	5.2	29	—	—	—	—	—	—	8.4	7.2	5.2	6.9	6	2	—	8	6	2	19	6	2	6	—	—	1	8
März	0.5	5.9	3.2	3.0	-9.3	13	13.6	30	—	—	—	—	—	—	5.8	5.6	3.8	5.1	2	1	1	4	20	9	22	5	5	1	—	—	7	8
Apr.	2.9	8.6	5.5	5.4	-4.7	8	15.8	15	—	—	—	—	—	—	5.7	6.7	6.1	6.2	—	—	—	—	79	18	14	14	12	5	—	—	5	10
Mai	9.3	15.1	12.2	11.8	2.9	1	22.7	29	—	—	—	—	—	—	4.5	5.8	5.3	5.2	—	—	—	—	131	34	18	11	11	—	—	5	8	4
Juni	10.9	16.1	13.2	12.9	5.8	9.10	22.3	4	—	—	—	—	—	—	5.7	6.4	6.1	6.1	—	—	—	—	72	23	7	10	10	—	—	1	1	9
Juli	13.7	19.0	16.0	15.7	10.6	31	25.1	9	86	71	78	78	46	27	5.3	5.8	6.1	5.7	1	—	—	1	185	64	13	15	15	—	—	5	4	7
Aug.	12.3	17.1	14.0	14.0	7.9	29	25.0	10	87	69	84	80	46	5	6.8	7.1	6.9	6.9	4	—	—	4	204	34	27	22	22	—	1	4	1	13
Sept.	11.6	17.3	13.9	14.0	8.6	5	20.2	16	88	67	88	81	45	4	5.5	5.3	3.6	4.8	—	—	1	1	132	65	2	10	10	—	—	4	7	4
Okt.	4.3	9.3	6.2	6.4	-1.6	10	18.6	1. 2	93	76	92	87	53	4	6.6	6.0	5.1	5.9	5	1	2	8	119	32	3	12	12	5	—	1	5	12
Nov.	0.2	2.6	0.9	1.0	-4.0	24	9.2	11	89	79	89	86	62	10	8.3	8.3	7.9	8.2	8	1	5	14	31	9	28	7	7	4	—	—	2	22
Dez.	-0.8	2.5	0.4	0.6	-8.8	25	8.8	16	87	75	87	83	52	12	7.5	6.1	5.4	6.3	8	2	2	12	13	5	26	5	5	2	—	—	2	10
Jahr	4.5	9.1	6.5	6.4	-23.0	II	25.1	VII	—	—	—	—	—	—	6.5	6.6	5.8	6.3	36	9	12	57	1115	65	IX	130	124	31	1	20	44	127

Südwestschweiz

Rochers-de-Naye

$\lambda = 6° 59'$, $\beta = 46° 26'$, $H_b = 1981.6^m$, $h_r = 2.3^m$

Beobachter: Direction de l'Hôtel

Jan.	-4.3	-2.2	-2.5	-2.9	-11.0	25	5.0	5	75	77	76	76	22	5.23	6.6	6.6	6.5	6.6	13	11	6	30	213	26	1	18	18	18	—	—	6	16
Feb.	-14.4	-10.8	-12.9	-12.8	-28.1	2	2.2	28	75	70	77	74	16	8	5.1	5.2	4.8	5.0	3	1	2	6	65	12	15.16	10	10	10	—	—	10	9
März	4.3	1.0	-2.9	-2.8	-14.8	12	7.0	29	67	66	67	67	14	9.10	5.7	5.9	6.2	5.9	6	9	6	21	64	18	4	7	6	7	—	—	7	12
Apr.	3.0	0.0	-1.9	-1.7	-14.2	7	6.8	27	81	77	78	79	6	12	6.3	7.7	6.9	7.0	8	11	4	23	235	40	16	17	16	16	—	—	4	16
Mai	3.5	7.2	4.1	4.7	-5.2	1	20.3	27	75	68	76	73	25	28	5.3	7.2	6.9	6.5	9	10	—	19	195	37	10	12	11	5	—	3	4	14
Juni	3.3	6.6	3.6	4.3	-3.2	8	13.6	4	84	77	81	81	47	30	7.5	9.1	8.0	8.2	11	11	—	22	286	68	7	16	16	4	—	2	1	20
Juli	8.0	11.3	8.4	9.0	3.0	2. 3	18.2	8.26	73	76	76	75	05	7	6.3	7.3	8.0	7.2	10	16	—	26	323	89	10	17	17	—	—	8	3	16
Aug.	6.9	9.2	7.3	7.7	-1.2	30	21.2	9	76	77	78	77	16	13	6.5	8.0	8.6	7.7	10	11	9	30	381	47	10	21	21	—	3	3	4	18
Sept.	7.6	11.0	8.4	8.9	0.4	3	16.0	23	71	70	72	71	34	23	4.1	4.7	4.6	4.5	1	3	1	5	104	28	10	10	10	—	—	2	13	9
Okt.	0.8	3.2	0.9	1.4	9.0	31	17.0	1	68	72	74	71	10	13	4.4	4.6	4.9	4.6	10	9	11	30	190	*40	6	*14	14	9	—	—	13	11
Nov.	-3.7	-1.1	-3.2	-2.8	-11.2	30	7.0	8	75	70	71	72	0	8	5.0	4.8	4.1	4.6	10	10	9	29	*50	5	28	7	*7	*7	—	—	9	8
Dez.	-3.8	-1.3	-3.1	-2.8	-15.1	25	12.0	1	74	65	72	70	20	18.28	4.6	3.6	4.2	4.1	10	6	8	24	17	9	13	5	5	5	—	—	10	6
Jahr	-0.3	2.7	0.5	0.9	-28.1	II	21.2	VIII	75	72	75	74	0	XI	5.6	6.2	6.1	6.0	101	108	56	265	2123	89	VII	154	151	81	3	18	84	155

Die Abendbeobachtung erfolgt um 20.30 h

Leukerbad

$\lambda = 7° 38$, $\beta = 46° 23$, $H_b = 1391.4^m$, $h_r = 1.5^m$

Beobachter: Spitalbad: Schw. M. A. Humpert

Jan.	-3.4	1.8	3.0	-1.9	-12.1	8	7.8	17	76	59	76	70	33	22	5.3	5.6	4.5	5.1	3	1	1	5	158	54	26	14	13	12	—	—	9	8
Feb.	-12.9	5.7	-11.9	-10.6	-23.1	3	4.8	29	75	55	74	68	25	22	5.8	4.9	4.5	5.1	—	—	2	2	7	4	8	6	2	6	—	—	9	7
März	1.4	4.2	-0.1	0.6	-12.7	13	12.8	30	70	53	66	63	26	8	5.4	5.7	5.1	5.4	2	2	—	4	28	6	2. 4	9	7	5	—	—	9	12
Apr.	0.4	6.4	1.2	2.3	-10.0	8	12.5	12	73	52	70	65	24	4	5.9	6.5	6.2	6.2	—	1	1	2	83	22	5	15	13	7	—	—	4	14
Mai	8.3	13.1	7.7	9.2	0.7	1	22.8	28	67	48	69	61	28	5	4.6	5.2	4.4	4.6	1	—	2	3	101	34	18	11	10	1	—	—	9	7
Juni	9.4	14.1	8.9	10.3	1.8	8	21.0	4	69	49	72	63	30	29	5.3	7.7	6.9	6.6	2	—	1	3	90	22	20	13	12	2	—	—	1	11
Juli	12.7	18.6	11.7	13.7	6.5	19	25.2	8	73	51	81	68	31	28	4.8	5.7	4.6	5.0	—	—	1	1	141	29	10	14	14	—	—	4	5	6
Aug.	10.4	16.7	10.5	12.0	2.5	30	25.0	10	80	61	83	75	34	13	6.1	7.4	5.6	6.4	—	—	—	—	226	51	25	18	18	—	—	1	4	12
Sept.	9.5	16.6	10.2	11.6	3.8	27	19.9	10	84	59	82	75	37	22	4.2	4.6	2.7	3.8	—	—	1	1	78	27	25	9	8	2	—	—	11	3
Okt.	2.6	8.9	2.6	4.2	-6.4	31	18.0	2	84	61	88	78	36	15	4.7	5.2	4.7	4.9	2	1	1	4	106	36	6	10	9	8	—	—	13	11
Nov.	-2.1	2.5	-2.0	-0.9	-7.3	29	10.2	1. 8	84	66	82	77	35	8	6.8	6.7	6.1	6.5	7	4	5	16	58	36	28	8	6	7	—	—	7	15
Dez.	-4.2	1.1	-3.6	-2.6	-12.8	25	7.2	9	76	63	78	72	39	18	3.4	3.4	2.9	3.2	—	1	1	2	14	7	26	5	3	4	—	—	15	7
Jahr	2.4	8.2	2.7	4.0	-23.1	II	25.2	VII	76	56	77	70	24	IV	5.2	5.7	4.8	5.2	17	10	16	43	1090	54	I	132	115	54		5	96	113

Grächen

$\lambda = 7° 50'$, $\beta = 46° 12'$, $H = 1617^m$, $h_r = 1.5^m$

Beobachter: P. Heinzmann

Jan.	-4.6	0.5	-3.7	-2.7	-11.8	8	7.2	5	—	—	—	—	—	—	4.8	4.4	4.6	4.6	—	—	—	—	47	20	26	11	8	11	—	—	12	8
Feb.	-13.7	-7.7	-12.2	-11.4	-22.0	2. 3	4.2	29	—	—	—	—	—	—	4.1	3.7	4.0	3.9	1	—	2	3	3	2	20	2	1	2	—	—	10	4
März	-2.9	2.3	-1.7	-1.0	-13.6	12.13	9.2	30	—	—	—	—	—	—	4.4	4.0	3.4	3.9	2	—	—	2	32	17	22	7	5	7	—	—	12	5
Apr.	0.1	5.1	0.2	1.5	-10.4	8	11.0	15	—	—	—	—	—	—	5.4	5.4	5.7	5.5	4	2	2	8	57	37	16	12	9	8	—	—	8	11
Mai	6.9	12.5	6.7	8.3	-1.4	1	22.4	28	—	—	—	—	—	—	3.6	4.6	3.9	4.0	1	1	2	4	50	13	19	10	9	—	1	3	10	2
Juni	8.0	13.5	7.9	9.3	2.2	10	19.4	30							5.2	5.7	5.8	5.6	6	—		6	15	8	7	4	4	1	—	1	3	5
Juli	11.6	17.2	11.8	13.0	6.4	2	25.2	8	—	—			—		3.7	4.8	4.4	4.3	2	1	1	4	82	23	14	10	10			1	8	1
Aug.	10.2	15.8	10.1	11.6	2.0	29	25.0	9.10							5.5	5.6	6.1	5.7	9		1	10	81	16	14	17	16	—	—	1	5	9
Sept.	9.0	15.8	10.1	11.2	5.2	27	20.0	13	—	—	—	—	—	—	3.7	3.7	3.0	3.5	3	1	1	5	63	32	25	7	6	—	—	—	13	4
Okt.	1.9	7.6	2.2	3.7	-6.4	28	17.6	1	—	—	—	—	—	—	4.2	3.9	4.2	4.1	3	1	2	6	41	16	26	8	7	5	—	—	13	7
Nov.	-3.9	0.7	-3.3	-2.4	-11.0	30	8.8	8	—	—	—	—	—	—	5.1	4.0	4.6	4.6	4	4	6	14	19	8	14	4	4	4	—	—	8	6
Dez.	-5.4	-0.2	-4.6	-3.5	-14.6	25	5.0	16	—	—	—	—	—	—	2.8	2.1	2.6	2.5	1	—	—	1	1	1	26	1	1	1	—	—	18	1
Jahr	1.4	6.9	2.0	3.1	22.0	II	25.2	VII							4.4	4.3	4.4	4.4	36	10	17	63	491	37	IV	93	80	39	1	12	120	63

Die Abendbeobachtung erfolgt um 20.30

Zermatt

λ = 7° 45′, β = 46° 01′, H_b = ca 1610m, h_r = 1.5m — Beobachter: G. Brantschen

1956	Luft-Temperatur 7³⁰	13³⁰	21³⁰	Mittel	Minimum	Tag	Maximum	Tag	Relative Feuchtigkeit 7³⁰	13³⁰	21³⁰	Mittel	Minimum	Tag	Bewölkung 7³⁰	13³⁰	21³⁰	Mittel	Nebel (Zahl der Termine) 7³⁰	13³⁰	21³⁰	Total	Niederschlag Summe	Maximum	Tag	Zahl der Tage ● *	●* ≥1.0	*	▲	↘	helle	trübe
Jan.	-7.1	0.6	-5.3	-4.3	-14.6	8	5.0	17	77	54	76	69	33	21	3.8	4.3	3.8	4.0	—	1	—	1	85	47	26	9	8	9	—	—	10	6
Feb.	-15.5	-5.5	-13.4	-12.0	-24.0	3	5.0	26	75	48	73	65	10	5	4.4	4.3	3.2	4.0	1	—	—	1	6	1	10	7	2	7	—	—	10	2
März	-4.5	3.2	-1.7	-1.2	-15.8	13	10.0	30	77	58	71	69	33	1.8	5.3	5.0	3.5	4.6	—	2	—	2	35	16	22	8	7	6	—	—	12	9
Apr.	-1.6	6.3	0.6	1.5	-11.6	8	12.0	12	—	—	—	—	—	—	5.1	5.5	6.0	5.5	3	3	—	6	74	43	16	11	7	9	—	—	8	10
Mai	5.7	14.1	7.0	8.5	-1.0	1.3	23.0	28	—	—	—	—	—	—	3.7	5.2	4.0	4.3	3	2	—	5	37	11	19	13	8	2	—	1	11	7
Juni	6.7	15.1	8.2	9.6	2.0	8	21.0	30	—	—	—	—	—	—	5.4	5.6	6.0	5.7	—	—	—	—	52	18	7	9	6	—	—	—	1	6
Juli	9.8	18.9	10.5	12.4	6.2	20	26.0	7.8	—	—	—	—	—	—	3.2	4.6	4.7	4.2	1	1	—	2	114	19	14	14	13	—	—	6	10	4
Aug.	8.5	16.1	9.2	10.8	2.0	30	27.0	9	88	61	88	79	29	10	5.8	5.9	5.2	5.6	2	—	—	2	137	27	10	18	17	—	1	4	6	11
Sept.	6.3	16.8	8.1	9.8	3.7	22	20.3	12	90	54	88	77	34	12	4.1	4.1	2.5	3.6	1	—	—	1	80	28	25	8	8	—	—	3	13	4
Okt.	-0.2	9.6	1.1	2.9	-10.0	31	18.3	1.2	86	53	85	75	29	13	4.4	4.8	3.8	4.3	3	2	—	5	37	12	26	9	7	6	—	—	12	8
Nov.	-5.7	2.1	-4.5	-3.2	-13.0	30	8.2	9	85	58	82	75	33	9	5.2	4.2	3.9	4.4	6	3	2	11	21	7	14	7	5	7	—	—	10	6
Dez.	-7.9	0.4	-7.5	-5.8	-17.3	25	4.8	13	79	53	78	70	37	9	2.4	2.7	2.0	2.4	—	—	—	—	2	1	26	3	1	3	—	—	18	3
Jahr	-0.5	8.1	1.0	2.4	-24.0	II	27.0	VIII	—	—	—	—	—	—	4.4	4.7	4.1	4.4	20	14	2	36	680	47	I	116	89	49	1	14	121	76

Saas-Fee

λ = 7° 56′, β = 46° 06′, H = ca 1785m, h_r = 1.5m — Beobachter: Familie Imseng

Jan.	-6.6	-1.5	-5.6	-4.8	-14.7	8	4.0	5	74	63	74	70	42	23	3.8	4.3	4.1	4.1	—	—	—	—	42	14	26	12	9	12	—	—	13	6
Feb.	-15.0	-7.3	-13.4	-12.3	-23.7	13	4.1	26	75	56	73	68	41	5.22	4.9	4.4	3.8	4.4	—	—	—	—	8	1	9	9	4	9	—	—	8	6
März	4.6	1.4	-2.0	-1.8	-15.4	12	8.8	27	79	59	69	69	31	4	5.4	5.2	4.5	5.0	—	—	—	—	58	33	22	7	4	6	—	—	7	10
Apr.	2.0	3.7	-0.5	0.2	-13.0	8	9.7	12	77	59	76	71	32	25	5.1	5.6	5.9	5.5	—	—	1	1	88	53	16	10	7	8	—	—	8	10
Mai	5.3	11.0	5.9	7.0	-2.5	1	20.1	28	77	55	74	69	39	9	3.7	5.2	4.9	4.6	—	—	—	—	55	11	30	11	10	3	—	—	9	7
Juni	6.8	11.4	7.3	8.2	0.4	8	16.8	30	79	55	77	71	39	16	5.3	6.1	6.0	5.8	1	—	—	1	60	18	7	9	7	1	—	—	3	6
Juli	10.6	15.9	10.5	11.9	5.3	2	22.6	8	77	56	79	71	22	15	3.9	4.5	5.2	4.5	1	—	1	2	108	22	14	14	12	—	—	—	8	2
Aug.	9.1	14.3	9.6	10.6	1.7	30	24.4	9	84	63	81	76	40	12	5.9	6.1	5.6	5.9	—	—	1	1	98	14	25	15	15	—	—	—	4	7
Sept.	7.0	14.4	8.5	9.6	2.6	27	18.6	17	86	59	80	75	42	15.22	4.0	4.4	2.8	3.7	—	—	1	1	150	67	25	8	8	—	—	—	10	5
Okt.	-0.2	7.1	1.1	2.3	-10.7	31	16.9	1	81	59	80	73	33	14	4.1	4.6	4.4	4.4	—	—	—	—	50	15	26	10	7	7	—	—	10	8
Nov.	-5.5	0.4	-4.9	-3.7	-13.1	30	7.0	8	80	66	80	75	42	9	5.1	4.7	4.7	4.8	1	—	2	3	19	8	2	4	4	4	—	—	8	7
Dez.	-7.9	-2.7	-6.9	-6.1	-16.9	25	2.3	13	74	62	73	70	48	18	2.5	3.0	2.2	2.6	—	—	—	—	2	2	13	3	1	3	—	—	17	1
Jahr	-0.2	5.7	0.8	1.8	-23.7	II	24.4	VIII	78	59	76	71	22	VII	4.5	4.8	4.5	4.6	3	—	6	9	738	67	IX	112	88	53	—	—	105	75

Chur II (Daleustraße)

λ = 9° 32′, β = 46° 51′, H = ca 582m, h_r = 1.5m — Beobachter: W. Kreis

Jan.	—	—	—	—	—	—	—	—	—	—	—	—	—	—	—	—	—	—	—	—	—	—	—	—	—	—	—	—	—	—	—	—
Feb.	—	—	—	—	—	—	—	—	—	—	—	—	—	—	—	—	—	—	—	—	—	—	—	—	—	—	—	—	—	—	—	—
März	—	—	—	—	—	—	—	—	—	—	—	—	—	—	—	—	—	—	—	—	—	—	—	—	—	—	—	—	—	—	—	—
Apr.	—	—	—	—	—	—	—	—	—	—	—	—	—	—	—	—	—	—	—	—	—	—	—	—	—	—	—	—	—	—	—	—
Mai	—	—	—	—	—	—	—	—	—	—	—	—	—	—	—	—	—	—	—	—	—	—	—	—	—	—	—	—	—	—	—	—
Juni	11.5	17.3	12.8	13.6	1.2	8	25.6	5.6	78	53	76	69	33	10	7.4	7.4	7.5	7.4	—	—	—	—	96	32	8	12	10	2	?	3	—	17
Juli	15.4	22.3	16.5	17.7	10.5	2	29.4	9	76	51	72	66	33	9.13	5.3	5.2	6.3	5.6	?	?	?	?	119	21	14	15	12	—	—	5	4	4
Aug.	13.8	20.3	15.1	16.1	6.9	30	34.0	10	80	57	79	72	23	10	6.7	5.8	7.1	6.5	—	—	—	—	153	27	27	19	17	—	—	2	2	9
Sept.	12.6	20.7	14.8	15.7	8.2	15	25.8	24	79	52	76	69	29	22	5.2	5.0	38.	4.7	—	—	—	—	49	21	2	12	8	—	—	—	9	7
Okt.	4.5	12.7	6.7	7.6	-1.0	9	24.2	2	87	55	83	75	39	2	4.9	4.3	4.5	4.6	—	—	—	—	79	30	6	11	10	7	—	—	12	8
Nov.	0.2	4.8	1.1	1.8	-4.6	21	12.2	8	84	63	84	77	32	8	7.5	6.3	7.6	7.1	3	—	—	3	34	8	28	11	9	5	—	—	4	16
Dez.	-0.6	3.2	0.4	0.8	-8.3	25	11.8	16	73	57	73	68	31	29	5.8	5.9	5.2	5.6	3	—	1	4	10	3	13	8	4	5	—	—	6	10
Jahr	—	—	—	—	—	—	—	—	—	—	—	—	—	—	—	—	—	—	—	—	—	—	—	—	—	—	—	—	—	—	—	—

Graubünden

Seewis

λ = 9° 38′, β = 46° 59′, H = 953m, h_r = 1.5m — Beobachter: Frau B. Janett

Jan.	-2.0	2.4	-1.2	-0.5	-9.2	8	7.4	12.15	77	57	79	71	23	21	5.8	5.3	5.5	5.5	3	—	3	6	111	40	26	11	11	9	—	—	7	8
Feb.	-14.1	-7.0	-12.0	-11.2	-24.8	2.10	3.9	28	76	51	76	68	30	22	4.8	4.0	4.7	4.5	3	1	1	5	41	11	8	14	10	13	—	—	10	6
März	-0.9	6.3	0.5	1.6	-12.5	13	14.9	22	74	47	71	64	26	30	6.2	6.1	4.3	5.5	3	—	—	3	114	44	3	9	8	7	—	—	7	10
Apr.	3.3	9.2	3.7	5.0	-6.2	7	16.4	12	74	46	72	64	26	10	7.2	6.5	5.4	6.4	6	3	7	16	62	12	17	13	10	9	—	—	5	12
Mai	9.4	15.6	9.3	10.9	1.1	20	28.7	28	71	48	73	64	25	27.28	4.8	5.9	4.4	5.0	5	2	3	10	122	40	19	14	12	3	—	—	10	9
Juni	10.2	15.7	10.0	11.5	1.3	8	26.0	5	78	52	83	71	30	4.6	7.4	7.3	7.1	7.3	7	1	3	11	157	31	8	17	16	2	—	1	2	16
Juli	13.9	20.9	13.8	15.6	8.0	2	28.8	9	73	48	78	66	26	9	5.8	4.9	5.9	5.5	1	1	—	2	181	38	9	19	15	—	—	3	5	8
Aug.	12.4	18.1	12.4	13.8	6.3	30	28.7	10	83	57	87	76	27	10	7.3	6.5	6.3	6.7	5	1	1	7	223	35	27	22	20	—	—	1	2	11
Sept.	11.6	17.9	11.8	13.3	7.3	28	23.3	10	81	53	84	73	32	9	4.5	4.2	3.2	4.0	3	—	1	4	115	43	13	13	11	—	—	1	11	7
Okt.	3.5	9.7	4.4	5.5	-2.9	9	21.3	2	85	58	88	77	39	2	5.3	4.4	4.9	4.9	3	4	3	10	119	39	6	12	11	9	—	—	10	10
Nov.	-1.6	2.5	-0.9	-0.2	-6.2	22	9.2	11	88	69	90	82	29	8	6.8	6.7	6.8	6.8	10	9	9	28	74	11	25	13	11	11	—	—	7	17
Dez.	2.5	2.2	-1.6	-0.9	-11.9	25	8.0	16.17	79	56	78	71	33	12	5.9	5.7	4.8	5.5	4	3	1	8	23	7	13	13	8	7	—	—	9	11
Jahr	3.6	9.5	4.2	5.4	-24.8	II	28.8	VII	78	53	80	70	23	I	6.0	5.6	5.3	5.6	53	25	32	110	1342	44	III	170	143	70	—	6	85	125

$\lambda = 9° 42'$, $\beta = 46° 58'$, H_b = ca 682^m, $h_r = 1.5^m$

Schiers

Beobachter: **Chr. Lötscher**

1956	Luft-Temperatur								Relative Feuchtigkeit						Bewölkung				Nebel Zahl der Termine				Niederschlag			Zahl der Tage						
	7³⁰	13³⁰	21³⁰	Mittel	Minimum	Tag	Maximum	Tag	7³⁰	13³⁰	21³⁰	Mittel	Minimum	Tag	7³⁰	13³⁰	21³⁰	Mittel	7³⁰	13³⁰	21³⁰	Total	Summe	Maximum	Tag	● *	●* ≥1.0	*	▲	K	heiter	trüb
Jan.	-2.7	1.0	-1.3	-1.1	-9.1	8	5.8	30	90	80	88	86	54	21	7.0	5.7	5.7	6.1	2	—	—	2	93	38	26	11	10	8	—	—	5	13
Feb.	-14.4	-7.5	-11.2	-11.1	-24.0	10	2.2	29	86	69	84	80	54	28	5.4	4.6	5.0	5.0	—	—	—	—	28	9	8	9	5	9	—	—	8	7
März	1.6	7.3	1.2	2.0	-11.9	13	18.0	30	89	56	83	76	36	22.30	6.8	6.2	5.4	6.1	—	1	—	1	100	41	3	10	9	5	—	—	4	12
Apr.	3.2	10.8	5.2	6.1	-4.3	7	19.6	15	89	53	83	75	32	10	6.9	6.7	6.1	6.6	—	—	—	—	39	6	30	10	9	5	—	—	5	15
Mai	7.7	17.3	9.9	11.2	1.3	20	26.5	29	92	55	87	78	32	6	5.1	5.5	5.0	5.2	1	—	1	2	117	41	19	13	10	2	—	1	9	8
Juni	9.9	16.7	11.3	12.3	1.9	8	25.5	6	91	63	89	81	36	6	7.7	7.4	7.7	7.6	1	—		1	122	34	8	18	16	2		—	2	18
Juli	13.0	21.8	14.9	16.1	7.9	4	28.0	8	91	59	87	79	40	9.13	5.9	4.9	6.5	5.8	—	—	—	—	141	23	14	17	16	—	—	2	4	8
Aug.	12.2	19.2	13.7	14.7	6.9	30	28.7	10	93	71	91	85	46	17	7.5	6.1	7.2	6.9	1	—	—	1	192	30	28	21	20	—	—	1	2	11
Sept.	10.1	18.6	12.3	13.3	7.0	5	23.1	1	96	66	94	85	48	24	4.6	4.3	3.5	4.1	—	—	—	—	47	23	13	10	8	—		—	11	8
Okt.	2.6	10.5	4.7	5.6	-2.5	9	20.2	1	99	69	97	88	54	11.12	5.2	4.5	5.3	5.0	1	—	—	1	117	40	6	11	9	8	—	—	11	11
Nov.	-1.3	2.9	-0.2	0.3	-5.6	19.21	8.1	11	97	78	95	90	56	10.12	7.8	7.0	7.3	7.4	3	1	2	6	63	11	26	13	10	7	—	—	6	20
Dez.	-3.3	0.1	-2.0	-1.8	-12.7	26	5.0	13	93	79	92	88	62	25	6.4	6.7	5.2	6.1	3	—	—	3	16	6	13	8	6	5	—	—	7	14
Jahr	2.9	9.9	4.9	5.6	-24.0	II	28.7	VIII	92	67	89	83	32	IV V	6.4	5.8	5.8	6.0	12	2	3	17	1105	41	V	151	128	51	—	4	74	145

$\lambda = 9° 36'$, $\beta = 46° 49'$, $H = 1351^m$, $h_r = 1.5^m$

Tschiertschen

Beobachter: **G. Meister**

1956	Luft-Temperatur								Relative Feuchtigkeit						Bewölkung				Nebel Zahl der Termine				Niederschlag			Zahl der Tage						
	7³⁰	13³⁰	21³⁰	Mittel	Minimum	Tag	Maximum	Tag	7³⁰	13³⁰	21³⁰	Mittel	Minimum	Tag	7³⁰	13³⁰	21³⁰	Mittel	7³⁰	13³⁰	21³⁰	Total	Summe	Maximum	Tag	● *	●* ≥1.0	*	▲	K	heiter	trüb
Jan.	-3.5	0.7	-2.9	-2.2	-11.9	8	5.9	15	—	—	—	—	—	—	6.5	5.0	4.8	5.4	4	3	4	11	64	31	26	10	7	10	—	—	8	12
Feb.	-15.4	-9.7	-14.0	-13.3	-25.9	8.9 10.11	3.1	28	—	—	—	—	—	—	5.2	3.7	4.5	4.5	4	1	3	8	25	6	8	10	7	10	—	—	7	6
März	-2.3	3.3	-1.8	-0.7	-15.5	13	11.9	30	—	—	—	—	—	—	7.0	6.1	5.2	6.1	3	1	2	6	50	20	3	11	9	9	—	—	5	11
Apr.	1.3	6.1	1.1	2.4	-9.1	7	13.4	27	—	—	—	—	—	—	7.2	6.8	6.5	6.8	8	3	4	15	41	10	17	13	9	9	—	—	5	15
Mai	7.3	12.6	7.0	8.5	-1.2	1	23.5	28	—	—	—	—	—	—	5.0	5.9	5.1	5.3	6	5	1	12	109	44	19	14	12	7	—	—	10	11
Juni	7.8	12.4	7.5	8.8	0.7	8	21.3	5	—	—	—	—	—	—	7.7	7.7	8.6	8.0	8	3	2	13	127	24	8	19	13	3	—	—	1	18
Juli	12.2	17.6	11.4	13.2	5.8	2	24.6	8	—	—	—	—	—	—	5.4	4.9	6.4	5.6	4	—	2	6	144	33	29	18	15	—	—	—	4	8
Aug.	10.7	15.1	10.4	11.7	1.9	29	25.4	10	—	—	—	—	—	—	6.3	6.4	7.2	6.6	10	2	3	15	237	47	28	21	18	1	—	—	2	10
Sept.	10.9	15.3	10.3	11.7	5.4	3	20.9	10	—	—	—	—	—	—	4.3	4.0	3.3	3.9	2	2	3	7	77	31	2	11	9	—	—	—	11	5
Okt.	2.2	7.8	2.6	3.8	-6.7	31	18.9	2	—	—	—	—	—	—	5.1	4.3	4.9	4.8	8	6	2	16	98	25	6	12	11	9	—	—	12	10
Nov.	-3.2	0.7	-2.6	-1.9	-8.1	22	6.9	1	—	—	—	—	—	—	7.1	6.4	7.2	6.9	13	9	7	29	48	9	28	14	10	14	—	—	5	17
Dez.	-4.5	0.0	-3.6	-2.9	-15.0	25	6.9	16	—	—	—	—	—	—	4.5	4.9	4.3	4.6	5	2	2	9	11	4	13	7	4	6	—	—	12	9
Jahr	2.0	6.8	2.1	3.3	-25.9	II	25.4	VIII	—	—	—	—	—	—	5.9	5.5	5.7	5.7	75	37	35	147	1031	47	VIII	160	124	78	—	—	82	132

$\lambda = 9° 39'$, $\beta = 46° 28'$, H = ca 1770^m, $h_r = 1.5^m$

Bivio

Beobachter: **U. Grisch**

1956	Luft-Temperatur								Relative Feuchtigkeit						Bewölkung				Nebel Zahl der Termine				Niederschlag			Zahl der Tage						
	7³⁰	13³⁰	21³⁰	Mittel	Minimum	Tag	Maximum	Tag	7³⁰	13³⁰	21³⁰	Mittel	Minimum	Tag	7³⁰	13³⁰	21³⁰	Mittel	7³⁰	13³⁰	21³⁰	Total	Summe	Maximum	Tag	● *	●* ≥1.0	*	▲	K	heiter	trüb
Jan.	-6.1	-0.4	-5.5	-4.4	-15.1	7	4.3	18	69	52	72	64	34	17	4.9	4.7	4.7	4.8	—	—	2	2	44	11	26	11	9	11	—	—	7	7
Feb.	-17.3	-8.2	-15.2	14.0	-30.2	2	3.7	26	74	53	74	67	30	5	5.5	4.4	4.3	4.7	—	—	—	—	25	4	18	13	8	13	—	—	3	2
März	-5.1	0.8	-4.0	-3.1	-20.4	13	8.5	26	75	57	77	70	34	6.10	6.5	6.5	5.9	6.3	—	—	1	1	69	12	22	18	15	16	—	—	5	12
Apr.	-2.0	3.5	-1.4	-0.3	-13.2	7	10.3	11	77	56	79	71	32	10.11	7.5	6.5	6.9	7.0	2	—	1	3	92	26	16	17	14	11	—	—	3	13
Mai	4.1	9.9	3.8	5.4	-3.8	1	21.5	28	78	57	86	74	34	5	4.6	5.1	5.3	5.0	—	1	1	2	95	23	19	15	12	8	—	1	9	8
Juni	5.1	9.5	5.0	6.2	-2.4	8	17.3	13	82	63	89	78	33	16	7.0	7.3	7.3	7.2	—	—	—	—	142	35	8	16	12	5	—	2	—	14
Juli	8.8	15.2	8,7	10.4	1.8	2	21.6	8	82	52	87	74	19	26	5.1	4.7	6.0	5.3	1	—	2	3	131	19	14	17	15	—	—	4	4	5
Aug.	8.9	14.2	8.6	10.1	0.2	29	23.0	9	78	56	86	73	32	9	6.3	5.7	6.5	6.2	—	—	2	2	203	46	20	17	15	1	1	5	3	10
Sept.	7.0	14.0	7.6	9.1	2.8	16	17.2	10	81	53	87	74	24	15	4.6	4.1	3.6	4.1	1	—	—	1	148	77	2	10	9	—	—	1	11	5
Okt.	-0.8	7.1	0.2	1.7	-11.6	31	16.4	1	80	50	82	71	24	13	4.9	3.8	4.7	4.5	2	—	—	2	90	21	26	12	10	9	—	—	13	8
Nov.	-5.9	0.3	-4.8	3.8	-13.9	25	8.0	1	79	61	79	73	30	8	6.2	5.4	5.8	5.8	2	—	1	3	46	7	4	14	12	14	—		5	11
Dez.	-7.5	-1.2	-5.6	-5.0	-20.8	25	4.9	17	73	55	73	67	32	18.26	4.3	4.5	4.1	4.3	1	—	—	1	15	8	3	9	3	9	—	—	12	5
Jahr	-0.9	5.4	-0.2	1.0	-30.2	II	23.0	VIII	77	55	81	71	19	VII	5.6	5.2	5.4	5.4	9	1	10	20	1100	77	IX	169	134	97	1	13	75	100

$\lambda = 9° 46'$, $\beta = 46° 26'$, $H = 1802^m$, $h_r = 1.8^m$

Sils-Maria

Beobachter: **K. Breu-Sciuchetti**

1956	Luft-Temperatur								Relative Feuchtigkeit						Bewölkung				Nebel Zahl der Termine				Niederschlag			Zahl der Tage						
	7³⁰	13³⁰	21³⁰	Mittel	Minimum	Tag	Maximum	Tag	7³⁰	13³⁰	21³⁰	Mittel	Minimum	Tag	7³⁰	13³⁰	21³⁰	Mittel	7³⁰	13³⁰	21³⁰	Total	Summe	Maximum	Tag	● *	●* ≥1.0	*	▲	K	heiter	trüb
Jan.	-9.1	-2.4	-7.5	-6.6	-17.4	26	1.8	27	91	64	87	81	40	20	5.0	4.5	4.0	4.5	2	—	1	3	51	11	9	11	10	11	—	—	9	5
Feb.	-18.4	-8.4	-15.1	-14.3	-26.9	10	4.0	27	87	52	81	73	29	5	4.2	3.3	3.3	3.6	—	—	—	—	2	1	19	2	—	2	—	—	7	1
März	-6.5	1.0	-4.3	-3.5	-18.6	9	9.4	4	88	59	81	76	28	6	6.0	5.8	5.1	5.6	3	—	—	3	70	31	22	11	6	11	—	—	8	10
Apr.	-2.5	3.4	-1.8	-0.7	-12.0	7	7.6	10	80	55	84	73	20	10	6.5	6.2	6.9	6.5	2	1	3	6	75	35	16	13	7	13	—	—	3	13
Mai	4.3	10.4	4.2	5.8	-3.8	1	20.8	28	76	51	80	69	30	7	4.4	5.4	4.2	4.7	1	—	3	4	66	19	19	10	8	3	—		8	5
Juni	6.5	10.6	5.7	7.1	-1.4	8	15.0	13	73	57	84	72	33	16	6.2	7.3	6.9	6.8	—	—	—	—	100	23	8	10	7	4	1	3	—	10
Juli	9.9	15.3	9.4	11.0	4.6	21	22.1	8	77	54	86	72	25	4	4.8	6.0	5.2	5.3	—	—	—	—	135	21	14	17	16	—	1	7	4	7
Aug.	9.0	14.5	9.4	10.6	1.8	30	24.1	9	81	56	79	72	26	9	6.2	6.1	5.8	6.0	—	—	—		164	38	20	17	16	—	—	6	2	8
Sept.	5.8	12.8	7.5	8.4	2.5	15	18.0	17	90	61	90	80	33	17	4.8	4.9	3.9	4.5	5	—	1	6	139	65	2	8	8			1	10	5
Okt.	-1.2	7.0	0.5	1.7	9.8	31	15.2	1	90	48	85	74	20	13	4.1	4.1	4.3	4.2	—	—	—		55	22	3	8	7	6	—	—	12	8
Nov.	5.3	0.5	-4.7	-3.5	11.2	25	7.3	27	85	60	84	76	27	9	5.4	4.7	4.9	5.0	—	1	1	2	19	6	11	5	5	5	—		5	6
Dez.	9.3	2.4	-7.4	6.6	-19.6	25	4.6	5	90	58	84	77	32	2	2.7	3.3	2.0	2.7	—	—	—		3	2	31	2	1	2	—	—	14	
Jahr	-1.4	5.2	-0.3	-0.8	-26.9	II	24.1	VIII	84	56	84	75	20	IV X	5.0	5.1	4.7	4.9	13	2	9	24	879	65	IX	114	91	57	2	17	82	78

λ = 10° 26′, β = 46° 36′, H_b = 1411 m, h_r = 1.8 m

Sta. Maria (Münstertal)

Beobachter: **Frau B. Graber**

1956	Luft-Temperatur 7³⁰	13³⁰	21³⁰	Mittel	Minimum	Tag	Maximum	Tag	Relative Feuchtigkeit 7³⁰	13³⁰	21³⁰	Mittel	Minimum	Tag	Bewölkung 7³⁰	13³⁰	21³⁰	Mittel	Nebel (Zahl der Termine) 7³⁰	13³⁰	21³⁰	Total	Niederschlag Summe	Maximum	Tag	Zahl der Tage ● ∗	●∗ ≧1.0	∗	▲	K	helle	trübe
Jan.	-5.1	-1.5	-4.2	-3.8	-11.2	26	4.4	27	—	—	—	—	—	—	4.8	5.3	3.7	4.6	—	—	—	—	43	17	26	9	9	9	—	—	10	8
Feb.	-12.4	-5.2	-10.6	-9.7	-22.0	10	7.3	29	—	—	—	—	—	—	4.4	5.0	3.4	4.3	—	—	—	—	3	2	11	2	1	2	—	—	7	2
März	-1.9	3.5	-1.2	-0.2	13.9	12	11.0	26	—	—	—	—	—	—	6.7	6.3	4.4	5.8	4	1	1	6	27	7	22	9	7	3	—	—	7	9
Apr.	2.1	7.7	2.7	3.8	-7.9	7	14.8	28	—	—	—	—	—	—	6.5	6.7	6.8	6.7	2	2	2	6	54	22	16	9	8	4	—	—	4	13
Mai	8.3	14.4	8.5	9.9	0.2	1	22.7	28	—	—	—	—	—	—	4.5	6.1	4.3	5.0	2	—	—	2	66	19	24	12	10	2	—	1	10	7
Juni	9.8	14.9	9.5	10.9	0.2	8	21.2	30	—	—	—	—	—	—	6.5	8.2	7.3	7.3	—	—	—	—	64	18	24	10	6	2	1	1	—	14
Juli	13.4	19.0	13.1	14.7	8.7	3	25.5	8	—	—	—	—	—	—	5.5	6.4	5.8	5.9	—	2	—	2	84	16	14	15	12	—	—	3	4	9
Aug.	11.6	17.5	12.3	13.4	5.3	30	26.2	9	—	—	—	—	—	—	6.3	7.1	5.8	6.4	—	—	—	—	125	36	20	16	15	—	—	1	3	12
Sept.	9.3	15.3	10.3	11.3	5.7	15.22	20.4	17	—	—	—	—	—	—	4.7	4.7	3.2	4.2	—	—	—	—	101	56	2	6	6	—	—	—	12	6
Okt.	2.6	8.6	3.8	4.7	-5.5	31	15.8	1	—	—	—	—	—	—	4.8	4.5	3.6	4.3	—	—	—	—	74	24	26	9	8	7	—	—	13	8
Nov.	-2.2	1.2	-1.8	-1.2	-6.9	25	8.2	27	—	—	—	—	—	—	5.9	5.7	4.0	5.2	1	—	—	1	19	5	11	6	6	6	—	—	6	6
Dez.	-3.6	-1.1	-3.6	-3.0	13.5	26	6.0	4.5	—	—	—	—	—	—	3.4	4.6	2.5	3.5	—	—	—	—	5	5	31	1	1	1	—	—	12	1
Jahr	2.7	7.9	3.2	4.2	-22.0	II	26.2	VIII	—	—	—	—	—	—	5.3	5.9	4.6	5.3	9	5	3	17	665	56	IX	104	89	36	1	6	88	95

λ = 9° 37′, β = 46° 21′, H = ca 1065 m, h_r = 1.5 m

Vicosoprano

Beobachter: **H. Roffler**

1956	Luft-Temperatur 7³⁰	13³⁰	21³⁰	Mittel	Minimum	Tag	Maximum	Tag	Relative Feuchtigkeit 7³⁰	13³⁰	21³⁰	Mittel	Minimum	Tag	Bewölkung 7³⁰	13³⁰	21³⁰	Mittel	Nebel (Zahl der Termine) 7³⁰	13³⁰	21³⁰	Total	Niederschlag Summe	Maximum	Tag	Zahl der Tage ● ∗	●∗ ≧1.0	∗	▲	K	helle	trübe
Jan.	-1.6	0.0	-1.0	-0.9	-7.7	8	10.1	5	74	71	74	73	32	20	4.9	5.0	5.1	5.0	—	—	—	—	81	20	17	14	13	9	—	—	8	9
Feb.	-8.0	-4.3	-7.0	-6.6	-17.4	10	8.3	29	53	49	57	53	28	28	4.6	4.3	4.1	4.3	—	—	—	—	1	1	19	1	—	1	—	—	6	2
März	0.5	4.0	0.7	1.5	-8.7	13	14.9	3	71	64	73	69	31	6	5.9	6.0	5.9	5.9	—	—	—	—	135	35	22	9	8	4	—	—	8	13
Apr.	3.3	7.2	4.1	4.7	-5.1	7	11.7	24.25	67	56	72	65	31	4.8.9	5.9	6.9	6.7	6.5	—	—	—	—	153	46	16	13	11	2	—	—	5	9
Mai	10.5	15.1	10.9	11.9	3.7	1	22.1	9	60	51	64	58	31	9	4.6	5.5	4.8	5.0	—	—	—	—	75	22	24	9	9	—	—	—	8	7
Juni	12.0	15.2	11.6	12.6	2.9	8	19.7	13	62	57	69	63	38	16	6.5	7.0	6.9	6.8	—	—	—	—	139	54	7	9	8	2	—	1	1	7
Juli	15.8	19.4	15.0	16.3	10.5	2	25.1	8	66	59	73	66	33	25	4.5	5.2	4.7	4.8	—	—	—	—	220	39	14	15	15	—	—	4	7	6
Aug.	14.1	18.6	14.2	15.3	7.4	31	24.2	10	74	61	78	71	32	15	5.5	6.0	6.2	5.9	—	—	—	—	242	41	20	15	15	—	—	4	6	10
Sept.	11.7	16.4	12.3	13.2	7.1	16	20.3	11	75	63	83	74	33	4.18	5.1	5.4	5.2	5.2	1	1	4	6	227	104	2	9	8	—	—	1	7	8
Okt.	6.2	10.4	6.0	7.2	0.0	31	18.9	1	65	55	73	64	31	13	3.6	3.8	4.2	3.9	1	1	—	2	53	26	3	5	5	2	—	—	15	5
Nov.	1.4	3.3	2.2	2.3	-4.2	25	10.4	7	71	67	69	69	28	8	6.2	5.4	4.3	5.3	3	2	2	7	33	16	11	5	4	2	—	—	7	10
Dez.	-0.3	1.2	-0.2	0.1	-8.2	27	10.8	5	62	62	66	63	24	2	2.3	3.3	1.4	2.3	1	1	—	2	5	3	30	2	2	2	—	—	17	—
Jahr	5.5	8.9	5.7	6.5	-17.4	II	25.1	VII	67	60	71	66	24	VII	5.0	5.3	5.0	5.1	6	5	6	17	1364	104	IX	106	98	24	—	10	95	86

λ = 9° 09′, β = 46° 15′, H = 357 m, h_r = 1.5 m

Grono

Beobachter: **A. Parolini**

1956	Luft-Temperatur 7³⁰	13³⁰	21³⁰	Mittel	Minimum	Tag	Maximum	Tag	Relative Feuchtigkeit 7³⁰	13³⁰	21³⁰	Mittel	Minimum	Tag	Bewölkung 7³⁰	13³⁰	21³⁰	Mittel	Nebel (Zahl der Termine) 7³⁰	13³⁰	21³⁰	Total	Niederschlag Summe	Maximum	Tag	Zahl der Tage ● ∗	●∗ ≧1.0	∗	▲	K	helle	trübe
Jan.	0.8	4.3	1.4	2.0	3.8	8	10.0	19	86	74	85	82	32	25	4.9	4.2	3.6	4.2	2	—	1	3	39	14	9	11	7	5	—	—	13	9
Feb.	-4.7	1.5	-2.4	-2.0	-10.2	12	15.1	29	71	53	66	63	24	14	2.7	3.1	2.5	2.8	—	—	—	—	4	2	19	3	2	3	—	—	13	1
März	3.1	9.4	5.1	5.7	-3.4	13	19.8	3	74	56	66	65	23	8	4.0	3.7	3.3	3.7	—	—	—	—	177	76	22	8	8	3	—	—	14	7
Apr.	6.8	13.1	8.4	9.2	0.2	8	18.7	25	76	53	69	66	24	7	4.3	4.5	4.4	4.4	—	—	—	—	177	53	16	10	9	—	—	—	11	8
Mai	14.1	20.8	15.2	16.3	9.0	3	27.0	8.9	68	48	61	59	30	5.1.2.13	2.8	3.4	2.8	3.0	1	—	—	1	76	25	19	9	9	—	—	—	15	3
Juni	16.0	21.0	15.8	17.1	8.0	8	26.8	13	89	70	85	81	33	1	3.8	4.7	4.6	4.4	—	—	—	—	114	53	7	9	9	—	—	1	6	6
Juli	17.8	23.8	18.0	19.4	12.2	2	28.8	25	94	82	91	89	57	31	3.0	4.2	3.6	3.6	—	—	—	—	287	83	10	11	10	—	1	4	13	5
Aug.	16.3	23.3	17.4	18.6	10.0	30.31	29.0	10	87	64	80	77	43	4	4.6	4.2	4.5	4.4	—	—	—	—	202	40	27	15	13	—	—	—	8	6
Sept.	13.6	20.7	15.0	16.1	10.8	29	25.0	11	92	68	83	81	40	14	4.8	3.7	3.0	3.8	2	—	—	2	135	56	25	7	6	—	—	—	8	3
Okt.	7.0	13.8	8.0	9.2	2.0	27	20.6	1	93	65	85	81	33	30	2.7	2.8	3.4	3.0	1	1	—	2	86	39	26	7	6	2	—	—	17	5
Nov.	3.9	8.5	4.2	5.2	-0.2	19	15.0	6	82	61	73	72	32	7	4.1	3.9	3.8	3.9	2	4	3	9	24	11	11	6	5	—	—	—	14	9
Dez.	1.4	6.3	2.8	3.3	-6.2	27	18.1	8	66	53	63	61	22	2	1.5	2.1	1.4	1.7	—	—	—	—	11	6	30	2	2	2	—	—	23	2
Jahr	8.0	13.9	9.1	10.0	-10.2	II	29.0	VIII	82	62	76	73	22	XII	3.6	3.7	3.4	3.6	8	5	4	17	1332	83	VII	98	86	15	1	5	155	64

Tessin

λ = 8° 37′, β = 46° 32′, H_b = ca 1170 m, h_r = 1.5 m

Airolo

Beobachter: **Familie Rossi-Burkhalter**

1956	Luft-Temperatur 7³⁰	13³⁰	21³⁰	Mittel	Minimum	Tag	Maximum	Tag	Relative Feuchtigkeit 7³⁰	13³⁰	21³⁰	Mittel	Minimum	Tag	Bewölkung 7³⁰	13³⁰	21³⁰	Mittel	Nebel (Zahl der Termine) 7³⁰	13³⁰	21³⁰	Total	Niederschlag Summe	Maximum	Tag	Zahl der Tage ● ∗	●∗ ≧1.0	∗	▲	K	helle	trübe
Jan.	3.4	-0.2	-2.6	-2.2	-9.5	8	5.2	5	76	68	76	73	42	20	4.7	5.4	5.6	5.2	—	—	2	2	102	39	26	14	12	14	—	—	8	11
Feb.	-9.3	-3.6	-8.5	-7.5	-18.2	2	6.7	29	63	50	65	59	31	28	3.5	3.8	3.5	3.6	—	—	—	—	11	*6	20	3	2	3	—	—	7	3
März	1.2	3.1	0.2	0.6	-9.8	12	8.8	27	78	65	76	73	26	6	4.8	5.4	6.1	5.4	—	1	2	3	247	69	22	15	12	9	—	—	11	11
Apr.	1.4	6.5	2.6	3.3	6.2	8	11.5	26	75	56	76	69	28	10	5.4	5.6	6.2	5.7	3	3	3	9	188	66	15	12	12	5	—	—	7	9
Mai	8.2	14.4	8.8	10.1	2.1	1	23.0	29	76	52	76	68	26	5	4.3	4.4	4.1	4.3	—	—	—	—	93	20	19	11	11	—	—	—	8	5
Juni	9.6	14.9	10.1	11.2	3.1	8	20.4	28	77	58	79	71	34	16	5.2	5.7	6.5	5.8	—	—		—	117	70	7	14	13	—	—	1	1	10
Juli	12.4	19.1	13.5	14.6	7.1	2	28.2	8	79	63	81	74	35	4.6	4.4	5.4	5.1	5.0	—	—	—	—	203	41	2	15	15	—	—	4	5	5
Aug.	11.5	17.1	12.7	13.5	4.0	30	26.0	9	84	68	88	80	33	24.1	5.2	6.4	7.5	6.4	—	—	—	—	393	73	20	20	19	—	—	4	2	9
Sept.	10.0	15.8	11.6	12.3	6.4	22	22.0	17	87	68	87	81	35	17	5.6	6.4	6.0	6.0	3	—	2	5	218	63	25	11	10	—	—	1	5	11
Okt.	3.9	10.4	4.8	6.0	-2.8	27	18.3	1	80	58	79	72	24	9	3.2	3.3	3.6	3.4	1	—	-	1	71	29	25	8	8	3	—	—	14	5
Nov.	0.1	3.4	0.2	1.0	-5.7	25	9.8	27	75	64	74	71	26	7	4.9	5.3	4.9	5.0	—	—	—	·	33	14	11	8	7	5	—	—	6	6
Dez.	-2.1	1.1	-2.1	-1.3	-9.8	28	9.2	7	68	60	70	66	28	2	2.3	3.4	2.9	2.9	—	—	—	—	6	5	31	2	2	2	—	—	17	3
Jahr	3.4	8.5	4.3	5.1	-18.2	II	28.2	VII	76	61	77	71	24	X	4.5	5.0	5.2	4.9	7	4	9	20	1682	73	VIII	133	123	41	—	10	91	88

Comprovasco

$\lambda = 8° 56'$, $\beta = 46° 27'$, $H_b = 544.1^m$, $h_r = 1.5^m$ — Beobachter: Frl. P. Gianella

1956	Luft-Temperatur 7³⁰	13³⁰	21³⁰	Mittel	Minimum	Tag	Maximum	Tag	Relative Feuchtigkeit 7³⁰	13³⁰	21³⁰	Mittel	Minimum	Tag	Bewölkung 7³⁰	13³⁰	21³⁰	Mittel	Nebel (Zahl der Termine) 7³⁰	13³⁰	21³⁰	Total	Niederschlag Summe	Maximum	Tag	Zahl der Tage ● *	●* >1.0	*	▲	K	helle	trübe
Jan.	-0.3	4.5	0.3	1.2	-5.6	8	10.0	28	82	65	84	77	31	25	5.3	4.7	5.1	5.0	—	—	—	—	58	15	26	14	9	9	—	—	8	9
Feb.	-6.1	0.5	-4.1	-3.4	-12.2	15	14.9	29	69	53	68	63	24	8	3.6	4.0	4.4	4.0	—	—	—	—	8	4	20	3	3	3	—	—	7	4
März	1.9	7.9	3.7	4.3	-5.8	13	15.4	3	79	59	72	70	27	8	5.5	5.4	5.0	5.3	1	—	—	1	194	73	22	10	8	5	—	—	9	13
Apr.	5.2	12.1	6.8	7.7	-1.4	8	17.2	24	76	52	72	67	25	4	5.7	6.2	6.1	6.0	1	—	—	1	161	50	16	10	7	—	—	—	6	12
Mai	11.4	20.0	12.9	14.3	7.8	14	26.4	9	79	49	70	66	29	14	4.1	4.7	3.8	4.2	—	—	—	—	70	27	19	11	10	—	—	1	11	5
Juni	12.9	20.5	14.3	15.5	6.6	8	25.6	29	77	46	69	64	25	29	4.7	6.4	5.3	5.5	—	—	—	—	74	39	7	9	6	—	—	1	5	7
Juli	15.0	23.3	16.9	18.0	10.7	2	28.8	8	84	55	79	73	25	23	4.4	5.4	4.6	4.8	—	—	—	—	279	42	1	12	12	—	1	7	7	4
Aug.	14.2	21.6	15.8	16.8	6.7	30	28.0	10	87	61	86	78	23	3	5.8	6.0	6.4	6.1	—	—	—	—	373	93	27	19	18	—	—	11	4	9
Sept.	13.0	19.6	13.8	15.0	8.0	27	26.0	11	89	62	90	80	30	11	5.6	5.8	4.9	5.4	—	—	—	—	134	58	25	9	8	—	—	3	5	8
Okt.	5.6	13.8	7.1	8.4	-0.4	27	20.6	1	86	51	83	73	27	28	3.4	3.1	3.4	3.3	—	—	—	—	34	23	25	6	3	1	—	—	14	3
Nov.	3.3	7.9	4.1	4.9	-3.2	25	16.2	26	75	59	73	69	26	2.26 31	5.8	5.0	6.1	5.6	—	—	—	—	21	11	11	5	5	—	—	—	7	11
Dez.	0.7	6.4	2.1	2.8	-7.4	28	17.1	4	69	51	65	62	10	2	2.4	4.0	2.8	3.1	—	—	—	—	10	6	31	2	2	2	—	—	16	4
Jahr	6.4	13.2	7.8	8.8	-12.2	II	28.8	VII	79	55	76	70	10	XII	4.7	5.1	4.8	4.9	2	—	—	2	1416	93	VIII	110	91	20	1	23	99	89

Fescoggia

$\lambda = 8° 53'$, $\beta = 46° 02'$, $H =$ ca 855^m, $h_r = 1.8^m$ — Beobachter: H. Suter, Frl. H. Suter

Jan.	1.2	5.1	1.9	2.5	-3.7	8	10.6	5	—	—	—	—	—	—	5.2	5.4	5.2	5.3	—	1	1	2	64	14	9	13	10	7	—	—	7	8
Feb.	-5.2	0.0	-4.0	-3.3	-11.0	15	14.6	29	—	—	—	—	—	—	4.7	5.3	3.2	4.4	1	1	—	2	12	3	11	5	5	5	—	—	9	6
März	3.4	7.9	3.8	4.7	-3.4	12	19.4	3	—	—	—	—	—	—	5.2	5.2	4.5	5.0	2	4	2	8	258	101	22	9	8	4	—	—	13	11
Apr.	6.1	9.7	6.1	7.0	-0.6	7	16.5	30	—	—	—	—	—	—	5.9	6.9	6.5	6.4	—	1	2	3	339	70	16	16	15	2	—	1	5	13
Mai	13.1	17.0	12.8	13.9	8.3	1	22.8	9	—	—	—	—	—	—	4.1	5.3	3.9	4.4	—	—	1	1	137	54	22	8	8	—	—	2	9	6
Juni	13.0	17.4	13.5	14.4	6.7	8	22.1	2	—	—	—	—	—	—	4.8	6.3	5.8	5.6	—	—	—	—	148	35	7	14	14	—	—	3	4	7
Juli	16.2	20.5	16.7	17.5	8.5	2	25.2	8	—	—	—	—	—	—	4.6	5.7	4.4	4.9	—	—	—	—	316	89	1	13	10	—	—	8	9	7
Aug.	15.8	20.0	16.5	17.2	9.4	29	24.8	10	—	—	—	—	—	—	6.2	5.8	5.0	5.7	—	—	—	—	305	113	27	14	12	—	1	10	5	9
Sept.	13.9	17.7	14.4	15.1	10.4	27	24.8	13	—	—	—	—	—	—	5.6	6.0	4.2	5.3	1	1	—	2	161	69	25	9	8	—	—	4	6	8
Okt.	8.4	13.4	9.0	10.0	-0.7	27	20.6	1	—	—	—	—	—	—	3.3	4.2	4.5	4.0	2	4	2	8	100	35	26	9	7	2	1	2	12	8
Nov.	4.0	7.0	4.4	5.0	-1.2	23	14.1	7	—	—	—	—	—	—	7.4	7.0	5.9	6.8	4	5	5	14	39	13	11	8	7	—	—	—	5	14
Dez.	2.6	7.2	3.2	4.0	-5.1	25	16.8	4	—	—	—	—	—	—	3.9	3.9	2.9	3.3	2	—	2	4	18	9	31	2	2	2	—	—	15	5
Jahr	7.7	11.9	8.2	9.0	-11.0	II	25.2	VII	—	—	—	—	—	—	5.1	5.6	4.7	5.1	12	17	15	44	1897	113	VIII	120	106	22	2	30	99	102

Fescoggia: Beobachterwechsel 1. Juli

Monte Brè (s. Lugano)

$\lambda = 8° 59'$, $\beta = 46° 01'$, $H_b = 910^m$, $h_r = 1.5^m$ — Beobachter: A. Rezzonico

Jan.	0.9	2.8	1.4	1.6	-4.2	8	7.6	19	—	—	—	—	—	—	5.2	5.3	4.5	5.0	5	5	5	15	51	10	9	10	10	4	—	—	7	9
Feb.	-6.1	-3.0	-4.4	-4.5	-11.8	11	11.2	29	—	—	—	—	—	—	5.0	5.0	5.2	5.1	5	4	4	13	11	3	10 19.20	4	4	4	—	—	5	8
März	1.9	5.5	3.5	3.6	-6.2	12	14.9	3	—	—	—	—	—	—	5.4	5.0	5.0	5.1	4	4	4	12	207	91	22	8	8	—	—	—	8	10
Apr.	4.3	8.5	6.2	6.3	-3.2	7	14.1	30	74	66	68	69	29	6	5.7	6.4	6.5	6.2	3	1	2	6	250	67	16	15	15	2	—	—	5	13
Mai	11.6	16.5	13.2	13.6	6.0	2	22.2	9	66	58	65	63	29	1	3.8	4.5	3.7	4.0	2	2	1	5	61	31	22	6	6	—	—	1	11	4
Juni	12.8	17.3	14.4	14.7	5.0	8	21.0	30	68	65	68	67	37	15	4.7	5.3	4.8	4.9	2	—	—	2	117	34	11	11	11	—	—	2	4	4
Juli	16.3	19.9	17.5	17.8	9.2	2	24.6	8	73	72	74	73	30	11	4.0	4.9	4.0	4.3	1	1	—	2	317	118	1	12	12	—	3	10	10	5
Aug	15.5	19.1	17.1	17.2	10.2	5	24.0	10	76	74	77	76	32	12	5.8	4.7	5.2	5.2	1	—	—	1	182	25	27	14	13	—	1	7	5	8
Sept	13.5	16.4	14.5	14.7	9.6	27	21.9	13	80	79	81	80	37	28	5.2	5.3	4.3	4.9	2	1	—	3	139	55	25	8	8	—	—	2	9	8
Okt.	7.9	10.4	8.6	8.9	0.0	27	17.8	1	74	70	80	75	38	7.30	3.7	3.5	4.6	3.9	4	2	—	6	105	26	25	8	8	2	—	2	13	6
Nov.	3.4	5.3	4.0	4.2	-2.2	23	14.4	7	77	77	78	77	22	8	6.4	5.9	5.7	6.0	2	3	1	6	36	14	11	7	7	—	—	—	5	14
Dez.	2.4	4.4	2.8	3.1	-5.0	26	14.0	4	64	59	65	63	21	2	3.9	3.5	2.4	3.3	3	2	—	5	11	9	30	2	2	2	—	—	15	5
Jahr	7.0	10.2	8.2	8.4	-11.8	II	24.6	VII	—	—	—	—	—	—	4.9	4.9	4.6	4.8	34	25	17	76	1487	118	VII	105	104	14	4	24	97	94

Monats- und Jahresübersichten des synoptischen Stationsnetzes

Auf den nachfolgenden Seiten werden Jahresübersichten der Beobachtungen von sechs schweizerischen Stationen des synoptischen Netzes veröffentlicht. Dazu kommen die Beobachtungen der beiden in der Nähe der Schweizer Grenze gelegenen Stationen Aéroport Bâle-Mulhouse und Plateau Rosà (beim Theodulpaß), welche uns vom französischen bzw. italienischen meteorologischen Dienst freundlicherweise zur Verfügung gestellt werden. Die acht internationalen Beobachtungstermine sind in MEZ in die Tabellenüberschriften eingesetzt. Die tatsächlichen Beobachtungszeiten liegen in der Regel etwas früher, und zwar

	Lufttemperatur	Luftdruck
Schweizerische Stationen	30 Min.	20 Min.
Aéroport Bâle-Mulhouse	10 Min.	0 Min.
Plateau Rosà	20 Min.	20 Min.

Für die Umrechnung der Barometerablesungen von Millimeter Quecksilbersäule auf Millibar wurde in der Schweiz, da die Abweichungen der Schwerebeschleunigung vom Normalwert bei 45° geogr. Breite auf Meeresniveau $g_0 = 980{,}626$ cm/sec² im allgemeinen gering sind, einheitlich der Faktor 1,3332 verwendet, was für einzelne, besonders für hochgelegene Stationen kleine Fehler bei der Druckangabe in mb bedingt, wenn die Luftdrucke den geometrischen Barometerhöhen des Ortes zugeordnet werden. Um diese Fehler zu eliminieren, werden als Höhenangaben der Stationen nicht die Höhen H_b des Barometers aufgeführt, sondern die Höhen H_p, auf welche sich die so berechneten Luftdruckangaben beziehen, indem die Schwerekorrektion G in Form einer Höhenkorrektur ΔH berücksichtigt wird. Im vergangenen Jahr wurden, wie im Vorwort erwähnt ist, die Schwerekorrektionen G neu berechnet und ferner statt des bisher verwendeten Wertes $g_0 = 980{,}626$ cm/sec² der von der meteorologischen Weltorganisation (OMM) vorgeschriebene Normalwert $g_0 = 980{,}665$ cm/sec² eingesetzt, so daß die G-Werte gegenüber dem vergangenen Jahr etwas verändert sind. Die nachfolgende Tabelle gibt eine Übersicht der Werte von H_b, H_p sowie der Korrektur der Barometerstände infolge des von der normalen Schwerebeschleunigung g_0 abweichenden Wertes g am betreffenden Ort. Für Kloten ist die Differenz zwischen H_b und H_p größer als der Schwere-Korrekturbetrag ΔH, da entsprechend den internationalen Vorschriften eine Reduktion des abgelesenen Barometerstandes auf Pistenhöhe vorgenommen wird. Bei den Stationen Kloten und Cointrin traten seit dem Vorjahr Änderungen der Druckreduktionshöhen H_p ein.

	H_b	g (cm/sec²)	G	ΔH	H_p
Flughafen Zürich-Kloten	440,3 m	980,69	0,03 mb	0,2 m	431 m
Gütsch ob Andermatt	2291 m	980,17	–0,39 mb	–4,0 m	2287 m
Aéroport Bâle-Mulhouse	268 m	980,79	0,13 mb	—	268 m
Meteorolog. Obs. Bern	572,2 m	980,61	–0,05 mb	–0,4 m	572 m
Aéroport Genève-Cointrin	430 m	980,60	–0,06 mb	–0,6 m	429 m
Sion Aérodrome	482,6 m	980,48	–0,18 mb	–1,5 m	481 m
Plateau Rosà	3488 m	979,91	–0,51 mb	—	3488 m
Locarno-Aeroporto	198,5 m	980,66	–0,01 mb	–0,1 m	198 m

Mit Ausnahme der Station Plateau Rosà, wo die Thermometerhütte auf der Nordseite des Hauses etwa 9 Meter über Boden befestigt ist, sind alle Stationen mit englischen Hütten (Stevenson Screen) ausgerüstet, wobei die Temperaturmessung rund 2 m über der Bodenoberfläche erfolgt.

Die relative Feuchtigkeit wird auf Plateau Rosà mit einem Haarhygrometer, in Bâle-Mulhouse mit einem unventilierten Standpsychrometer, auf den übrigen Stationen mit ventilierten Standpsychrometern bestimmt. Die Niederschläge werden im schweizerischen Netz mit Hellmannschen Regenmessern von 200 cm² Öffnung gemessen. Die Station Gütsch besitzt einen Regenmesser mit Niphertrichter. In Bâle-Mulhouse wird der im französischen Wetterdienst gebräuchliche Regenmesser (pluviomètre association) von 400 cm² Öffnung verwendet.

Als Zahl der Gewittertage wird, wie in der Schweiz bisher allgemein üblich, die Zahl der Tage mit Nahgewitter (innerhalb eines Umkreises von 3 km) angegeben, Ferngewitter sind nicht berücksichtigt. Als heitere Tage gelten solche mit einer Bewölkungssumme von höchstens 12 Okta aus allen 8 Beobachtungsterminen, als trübe Tage solche mit einer Summe von mindestens 52 Okta.

Die Windgeschwindigkeiten werden mit verschiedenartigen Schalenkreuzanemometern bestimmt, in Bern mit Hilfe einer Staudruckdüse, welche aber wahrscheinlich etwas zu niedrige Werte liefert. Auf eine Korrektur muß vorläufig verzichtet werden.

Errata: Auf Seite 142 und 144 sind für Sion und Locarno die mit 483 und 199 m angegebenen Höhen durch die Werte H_p = 481 m und 198 m zu ersetzen.

$\lambda = 8° 34'$, $\beta = 47° 27'$, $H_p = 431$ m, $h_f = 1.7$ m

Flughafen Zürich-Kloten

1956	Luftdruck in Millibar 900 mb + 1h	4h	7h	10h	13h	16h	19h	22h	Mittel	Minimum	Tag	Maximum	Tag	Minimum-Thermometer Mittel	Minimum	Tag	Maximum-Thermometer Mittel	Maximum	Tag
Januar	64.4	64.0	63.8	64.7	64.4	63.9	64.1	64.2	964.2	945.4	9	979.2	4	-1.4	-8.8	31	4.9	10.9	12
Februar	64.8	64.5	64.7	65.3	64.9	64.3	65.0	65.4	964.9	946.4	13	982.8	5	-14.0	-24.5	13	-5.4	5.5	29
März	65.5	64.9	65.2	65.7	65.3	64.3	64.7	65.3	965.1	950.1	24	978.6	8	-1.3	-9.4	13	9.4	19.5	30
April	61.2	61.0	61.3	61.6	60.9	59.9	60.2	61.1	960.9	948.3	27	975.3	8	2.0	-6.4	7	11.9	20.4	12
Mai	70.2	70.0	70.3	70.5	70.0	69.3	69.2	69.9	969.9	956.9	22	978.6	6	6.3	1.4	4	18.7	29.0	28
Juni	68.9	68.5	68.6	68.8	68.2	67.6	67.8	68.7	968.4	958.0	7	974.4	2	9.2	3.1	16	18.7	26.2	7
Juli	67.3	66.9	67.1	67.1	66.7	66.4	64.4	67.5	966.9	957.1	2	977.5	25	11.9	7.8	18	22.9	29.5	9
August	65.3	64.7	64.8	64.6	64.3	64.3	64.3	65.1	964.7	948.6	25	979.2	8	11.0	5.6	31	20.3	29.5	10
September	68.1	67.9	68.2	68.9	68.5	67.7	67.8	68.4	968.2	955.3	26	975.4	15	9.9	5.0	15	20.7	25.9	16
Oktober	71.2	70.9	71.0	71.5	70.9	70.3	70.8	71.3	971.0	957.5	29	981.7	12	4.2	-1.8	10	12.0	24.0	1
November	68.6	68.1	68.0	68.5	68.0	67.7	68.3	68.6	968.2	948.3	28	982.5	7	-0.3	-4.3	17 . 23	4.8	12.8	11
Dezember	72.7	72.5	72.4	72.9	72.4	71.9	72.2	72.5	972.4	958.0	31	980.6	3. 4	-2.9	-15.0	26	3.5	12.2	16
Jahr	67.4	67.0	67.1	67.5	67.0	66.5	66.7	67.3	967.1	945.4	I	982.8	II	2.9	-24.5	II	11.9	29.5	VII/VIII

	Lufttemperatur 1h	4h	7h	10h	13h	16h	19h	22h	Mittel	Minimum	Tag	Maximum	Tag	Relative Feuchtigkeit 1h	4h	7h	10h	13h	16h	19h	22h	Mittel	Minimum	Tag
Januar	1.2	1.1	0.9	1.2	3.0	3.8	2.2	1.2	1.8	-8.8	31	10.5	12	89	90	89	89	79	77	83	88	86	42	12
Februar	-11.6	-11.7	-11.7	-10.6	-8.1	-6.3	-8.3	-9.8	-9.8	-23.8	13	5.4	29	85	86	86	86	79	75	79	82	82	52	15
März	1.9	1.0	0.1	3.0	6.9	8.8	6.3	3.5	3.9	-8.7	13	19.3	30	83	87	88	79	61	55	64	77	74	28	22
April	4.6	3.2	2.7	7.0	10.0	11.4	9.3	6.3	6.8	-6.0	7	20.3	12	87	91	92	73	60	56	66	80	76	28	8.9.10
Mai	9.5	8.1	8.9	13.9	16.7	17.6	16.6	11.8	12.9	2.7	21	28.8	28	88	93	91	71	58	57	61	81	75	31	6. 8
Juni	10.9	10.2	11.0	14.6	17.0	18.0	16.6	12.9	13.9	3.6	16	26.2	7	91	93	91	73	61	58	64	83	77	34	30
Juli	14.4	13.3	13.8	17.8	20.7	21.6	20.5	16.4	17.3	9.2	22	29.4	8	91	92	91	75	63	59	65	82	77	32	26
August	13.1	12.1	12.1	15.8	18.6	19.1	17.6	14.2	15.3	6.4	31	29.1	10	92	94	94	78	67	66	73	90	82	43	15
September	11.8	11.3	11.2	14.1	18.2	20.1	17.3	13.4	14.7	5.2	15	25.9	16	94	95	94	87	70	63	76	91	84	49	8
Oktober	6.1	5.8	5.7	7.2	10.0	11.3	8.4	6.5	7.6	-1.1	10	23.7	1	93	94	95	90	78	74	88	92	88	51	4.10
November	1.5	1.2	1.0	1.8	3.4	4.0	2.2	1.6	2.1	-4.0	23	11.1	11	90	90	90	89	81	78	86	89	87	62	11
Dezember	-0.6	-0.9	-1.0	-0.3	1.8	2.7	0.5	-0.4	0.2	-14.6	26	11.9	16	93	94	93	92	87	83	90	93	91	52	16
Jahr	5.2	4.6	4.5	7.1	9.9	11.0	9.1	6.5	7.2	-23.8	II	29.4	VII	90	92	91	82	70	67	75	86	82	28	III/IV

	Bewölkung in Achteln (Okta) 1h	4h	7h	10h	13h	16h	19h	22h	Mittel	Nebel Zahl der Beobachtungstermine 1h	4h	7h	10h	13h	16h	19h	22h	Total	Niederschlag Summe	Maximum	Tag	Zahl der Tage ● *	●* ≧1.0	*	▲	⌇	heiter	trüb
Januar	6.7	6.9	6.8	6.9	6.5	6.6	6.5	7.0	6.8	2	—	—	—	—	—	—	2	4	93	25	26	15	13	5	—	—	—	23
Februar	4.6	5.4	6.5	6.2	5.2	4.4	4.8	4.7	5.2	1	1	1	2	1	1	—	1	8	12	4	29	9	4	8	—	—	—	8
März	4.6	4.7	5.4	5.5	5.6	5.4	5.1	4.6	5.1	1	1	1	1	—	—	—	—	4	50	21	3	8	7	2	—	1	2	14
April	4.7	4.9	5.5	5.3	5.6	5.9	6.0	5.9	5.5	1	2	2	—	—	—	—	—	5	87	29	1	16	15	4	—	—	3	14
Mai	4.2	5.0	4.8	4.2	4.4	5.1	4.9	4.4	4.6	—	3	3	—	—	—	—	—	6	97	21	18	14	13	—	—	1	6	11
Juni	5.6	6.5	6.3	5.9	6.2	6.2	5.8	6.1	6.1	—	1	2	—	—	—	—	—	3	64	18	1	14	11	—	—	1	—	17
Juli	4.7	5.1	5.3	4.7	5.1	5.1	5.3	5.1	5.0	—	2	3	—	—	—	—	—	5	174	29	10	17	15	—	—	9	2	10
August	5.4	5.2	5.7	5.6	5.7	5.7	6.0	5.6	5.6	1	5	7	—	—	—	—	—	13	194	34	10	19	18	—	—	3	1	15
September	3.8	6.1	7.1	6.2	4.8	4.0	3.9	2.7	4.8	4	8	12	5	—	—	—	—	29	50	19	13	9	6	—	—	1	—	5
Oktober	6.7	7.3	7.4	7.2	6.0	5.2	5.1	5.0	6.2	11	11	8	3	—	—	—	4	37	122	23	6	15	13	5	—	—	1	15
November	7.4	7.2	7.6	7.6	6.8	6.4	6.4	7.1	7.0	4	4	4	4	—	—	—	2	18	33	12	28	12	9	4	—	—	—	24
Dezember	6.4	6.5	6.9	7.2	6.5	6.4	6.1	5.8	6.5	5	7	4	4	2	2	3	5	32	19	8	20	6	5	4	—	—	1	19
Jahr	5.4	5.9	6.3	6.0	5.7	5.5	5.5	5.3	5.7	30	45	47	19	3	3	3	14	164	995	34	VIII	154	129	32	—	16	16	175

	Windverteilung 350° -10°	20° -40°	50° -70°	80° -100°	110° -130°	140° -160°	170° -190°	200° -220°	230° -250°	260° -280°	290° -310°	320° -340°	Calmen	Windgeschwindigkeit in Knoten 1h	4h	7h	10h	13h	16h	19h	22h	Mittel
Januar	7	30	27	13	11	18	9	16	28	27	12	3	47	4.2	4.5	6.7	5.9	7.0	7.6	5.5	4.8	5.8
Februar	14	50	29	21	10	3	2	1	16	15	17	9	45	4.5	4.8	4.9	5.6	7.4	8.0	6.4	4.6	5.8
März	6	32	31	21	10	10	3	5	32	35	7	9	47	3.6	4.9	4.5	7.2	9.7	10.4	7.0	4.8	6.5
April	12	10	11	19	14	6	8	6	28	50	21	14	41	3.0	3.1	3.1	6.0	7.6	9.0	6.8	3.5	5.3
Mai	7	20	25	20	24	8	10	18	19	40	7	6	44	3.6	1.5	2.3	5.8	9.4	8.0	5.9	3.3	5.0
Juni	15	9	7	20	16	12	8	11	33	53	20	11	25	2.8	2.7	3.6	5.7	7.9	8.5	7.0	4.0	5.3
Juli	5	16	8	20	10	17	7	12	23	59	20	11	40	2.9	1.9	3.3	5.9	8.4	9.1	6.2	4.2	5.2
August	13	7	7	14	16	17	9	11	31	61	29	4	29	3.8	2.8	2.9	6.2	8.7	8.7	5.7	4.4	5.4
September	9	26	18	16	18	16	5	7	14	36	8	6	61	1.8	2.5	2.6	4.5	6.8	6.2	3.2	2.7	3.8
Oktober	6	15	21	21	11	12	8	10	27	47	17	10	43	3.8	3.7	3.4	4.4	6.5	6.0	3.8	3.6	4.4
November	17	27	21	15	15	12	5	6	31	17	19	11	44	4.9	4.1	4.9	5.5	6.7	6.9	5.9	4.8	5.5
Dezember	5	18	15	23	17	19	12	15	27	15	18	7	57	3.1	2.8	2.9	2.4	3.6	4.1	3.1	3.0	3.1
Jahr	116	260	220	223	172	150	86	118	309	455	195	101	523	3.5	3.3	3.8	5.4	7.5	7.7	5.5	4.0	5.1

$\lambda = 8^\circ 37'$, $\beta = 46^\circ 39'$, $H_p = 2291$ m, $h_f = 2.1$ m

Gütsch ob Andermatt

1956	700 mb + Luftdruck in Millibar													Minimum-Thermometer			Maximum-Thermometer		
	1h	4h	7h	10h	13h	16h	19h	22h	Mittel	Minimum	Tag	Maximum	Tag	Mittel	Minimum	Tag	Mittel	Maximum	Tag
Januar	64.6	64.3	63.8	64.4	64.4	64.1	64.3	64.4	764.3	748.3	9	776.6	4	−8.8	−15.9	26	−2.9	4.4	5
Februar	55.9	55.6	55.7	56.2	56.5	56.4	56.6	56.9	756.2	739.8	13	775.5	29	−19.1	−30.2	2	−11.0	1.1	27
März	66.0	65.3	65.0	65.4	65.6	65.5	65.7	66.1	765.6	758.1	15	774.6	1	−9.4	−20.5	12	−3.8	5.1	27
April	63.1	62.6	62.5	62.9	63.0	62.9	62.9	63.1	762.9	749.6	6	773.9	10	−7.7	−17.5	7	−1.4	6.3	10
Mai	74.3	73.7	73.8	74.3	74.6	74.4	74.3	74.7	774.3	765.0	1	782.9	6	−1.6	−9.2	1	4.4	13.0	28
Juni	73.0	72.4	72.4	72.9	73.1	73.1	73.1	73.4	772.9	766.2	8	777.8	13	−0.4	−5.5	8	4.8	11.4	30
Juli	75.1	74.4	74.4	74.7	74.9	74.9	74.9	75.3	774.8	766.1	20	783.6	25	4.0	−0.6	3	10.8	19.0	8
August	72.8	72.0	72.0	72.3	72.5	72.5	72.5	72.8	772.4	762.5	25	784.5	9	3.6	−3.0	30	9.8	20.2	9
September	76.1	75.4	75.5	76.0	76.1	76.0	76.0	76.5	776.0	766.9	26	782.0	30	3.6	−1.6	28	9.9	16.2	15
Oktober	73.3	72.9	72.7	73.3	73.2	72.9	73.1	73.3	773.1	756.5	30	785.3	22	−2.7	−12.0	31	3.7	13.0	1
November	67.3	66.9	66.7	67.1	66.9	66.7	67.1	67.2	767.0	752.4	29	780.1	7	−7.5	−15.0	30	−1.6	7.0	8
Dezember	70.6	70.4	70.2	70.7	70.7	70.3	70.6	70.7	770.5	758.7	24	779.7	18	−8.9	−18.5	25	−3.0	4.5	9
Jahr	69.3	68.8	68.7	69.2	69.3	69.1	69.3	69.5	769.2	739.8	II	785.3	X	−4.6	−30.2	II	1.6	20.2	VIII

	Lufttemperatur													Relative Feuchtigkeit										
	1h	4h	7h	10h	13h	16h	19h	22h	Mittel	Minimum	Tag	Maximum	Tag	1h	4h	7h	10h	13h	16h	19h	22h	Mittel	Minimum	Tag
Januar	−6.8	−6.6	−6.7	−6.2	−4.6	−4.6	−6.1	−6.4	−6.0	−15.4	26	4.0	5	71	66	68	70	66	67	71	70	69	13	28
Februar	−16.5	−16.3	−16.2	−15.2	−13.4	−13.8	−16.0	−16.2	−15.5	−29.0	2	−1.0	27	72	71	70	69	67	70	76	75	71	15	5
März	−7.4	−7.4	−7.6	−6.6	−5.3	−5.6	−6.9	−7.2	−6.8	−20.2	12	2.0	27	83	80	80	78	77	81	84	82	80	21	9
April	−6.0	−6.3	−6.5	−4.7	−3.0	−2.9	−4.6	−5.5	−4.9	−17.2	7	6.2	10	86	84	84	81	78	79	84	87	83	28	10
Mai	0.1	−0.1	0.2	1.6	3.1	3.3	2.1	0.7	1.4	−8.8	1	13.0	28	86	84	82	79	75	77	82	86	81	39	6
Juni	0.9	0.4	0.7	2.3	3.5	3.4	2.5	1.6	1.9	−5.2	8	10.0	30	92	93	90	87	83	86	92	93	90	43	16
Juli	5.5	5.4	5.7	8.0	9.6	9.4	7.7	6.1	7.2	−0.6	2	18.8	8	88	86	83	77	74	80	85	88	83	40	8
August	5.4	5.2	5.3	7.1	8.4	7.8	6.9	5.8	6.5	−2.8	30	20.0	9	87	83	82	80	78	83	87	89	84	35	13
September	5.5	5.2	5.0	7.0	8.8	8.6	6.8	5.8	6.6	−1.3	28	15.8	15	82	79	81	76	71	76	81	82	78	25	22
Oktober	−0.9	−1.2	−1.3	0.6	2.7	2.0	−0.5	−1.0	0.0	−11.6	31	12.4	1	73	73	72	67	66	73	76	74	72	26	11
November	−5.2	−5.5	−5.5	−4.5	−3.1	−3.7	−5.3	−5.3	−4.8	−13.4	29.30	6.6	8	72	73	73	71	71	71	73	71	72	12	9
Dezember	−6.5	−6.7	−6.7	−6.2	−4.2	−4.6	−6.2	−6.1	−5.9	−17.2	24	3.8	9	68	66	69	67	66	68	73	68	68	13	2
Jahr	−2.7	−2.8	−2.8	−1.4	0.2	0.0	−1.6	−2.3	−1.7	−29.0	II	20.0	VIII	80	78	78	75	73	76	80	80	78	12	XI

	Bewölkung in Achteln (Okta)									Nebel Zahl der Beobachtungstermine									Niederschlag			Zahl der Tage						
	1h	4h	7h	10h	13h	16h	19h	22h	Mittel	1h	4h	7h	10h	13h	16h	19h	22h	Total	Summe	Maximum	Tag	● *	●* ≧1.0	*	▲	⌫	heiter	trüb
Januar	4.5	4.2	4.2	5.4	5.0	5.2	4.9	4.5	4.8	5	3	2	1	1	—	4	4	20	129	46	26	14	12	14	—	—	5	14
Februar	3.2	3.0	3.5	4.9	4.9	5.1	4.8	3.3	4.1	3	1	1	—	—	—	—	3	8	42	11	8	16	12	16	—	—	5	4
März	4.4	4.8	5.0	5.0	4.9	6.0	6.1	5.2	5.1	2	2	2	2	2	4	4	4	22	149	52	3	14	12	14	—	—	2	14
April	5.5	5.2	5.5	5.6	5.6	5.8	6.7	5.9	5.7	9	9	9	7	8	6	9	12	69	197	42	17	18	12	18	—	—	1	17
Mai	4.5	4.3	4.6	4.7	5.2	5.3	5.6	4.3	4.8	4	3	3	1	3	4	3	2	23	139	29	19	19	16	15	—	2	6	13
Juni	6.5	6.5	6.5	6.6	7.2	7.2	7.4	7.2	6.9	6	3	3	2	—	1	3	4	22	147	47	7	18	14	15	—	—	—	20
Juli	4.9	4.6	4.7	4.7	5.3	5.6	5.8	5.5	5.2	3	3	—	—	—	—	—	3	9	146	25	14	17	15	2	—	8	2	9
August	4.8	5.1	6.0	5.4	5.4	6.1	6.2	6.0	5.6	1	1	1	1	1	3	2	2	12	278	56	10	21	19	6	1	6	2	14
September	3.9	3.7	4.5	4.3	4.8	4.9	4.8	3.8	4.3	—	1	1	—	—	—	—	—	2	101	34	3	10	8	4	—	1	8	8
Oktober	3.6	3.7	4.3	4.3	4.3	4.8	4.8	4.1	4.2	6	6	3	2	1	1	3	3	25	138	35	26	15	11	12	—	—	12	12
November	5.1	4.7	4.8	4.8	4.9	5.4	4.9	4.9	5.0	6	5	2	3	2	6	7	5	36	94	21	28	15	12	15	—	—	6	15
Dezember	2.7	2.9	3.2	4.0	4.4	4.4	3.6	3.4	3.6	3	2	1	—	1	3	3	3	16	23	5	3	9	6	9	—	—	10	4
Jahr	4.5	4.4	4.7	5.0	5.2	5.5	5.5	4.8	4.9	48	39	28	19	19	28	38	45	264	1583	56	VIII	186	149	140	1	17	59	144

	Windverteilung													Windgeschwindigkeit in Knoten								
	350° -10°	20° -40°	50° -70°	80° -100°	110° -130°	140° -160°	170° -190°	200° -220°	230° -250°	260° -280°	290° -310°	320° -340°	Calmen	1h	4h	7h	10h	13h	16h	19h	22h	Mittel
Januar	52	30	26	10	6	69	43	7	2	—	—	1	2	15.3	14.7	12.6	13.1	13.3	13.0	12.1	13.8	13.5
Februar	53	68	26	12	10	42	14	3	1	—	1	2	—	13.7	13.3	12.1	11.6	11.3	12.1	12.4	12.3	12.4
März	64	43	6	4	11	69	32	3	—	1	2	13	—	15.4	15.3	16.0	16.2	16.0	16.1	16.4	15.2	15.8
April	74	41	6	6	10	60	22	3	1	3	1	9	4	13.0	12.0	11.7	10.7	12.8	11.9	14.1	13.7	12.5
Mai	47	53	19	15	9	46	24	9	3	1	3	14	5	11.9	11.7	10.3	10.7	11.0	11.5	11.4	11.5	11.3
Juni	84	47	8	3	4	37	34	2	1	1	—	18	1	10.2	10.4	11.3	11.0	13.1	13.9	12.4	10.3	11.6
Juli	64	41	19	7	5	54	29	4	3	4	—	17	1	9.9	10.2	10.4	11.1	12.5	12.6	13.0	9.4	11.1
August	57	23	15	8	11	69	36	9	3	1	0	15	1	12.1	13.3	12.2	13.2	13.6	14.3	12.1	12.7	12.9
September	38	29	10	9	3	85	47	8	1	2	1	4	3	14.8	13.2	12.2	13.7	14.4	14.8	14.6	13.9	14.0
Oktober	64	47	16	12	3	48	32	9	2	—	2	13	—	9.8	10.0	9.1	9.7	10.8	9.9	9.5	11.0	10.0
November	39	53	19	18	15	37	24	4	6	3	3	17	2	10.0	9.2	9.8	10.5	10.7	11.2	10.6	9.8	10.2
Dezember	56	48	15	13	13	38	44	9	4	—	2	5	1	11.0	9.2	10.7	9.9	10.8	10.5	9.7	11.0	10.4
Jahr	692	523	185	117	100	654	381	70	27	16	15	128	20	12.3	11.9	11.5	11.8	12.5	12.7	12.4	12.0	12.1

Aéroport Bâle-Mulhouse

(Station du Réseau Météorologique français)

$\lambda = 7° 31', \beta = 47° 36', H_p = 268m, h_r = 1.5m$

1956	900 mb + Pression en millibars													Thermomètre à minima			Thermomètre à maxima		
	1h	4h	7h	10h	13h	16h	19h	22h	Moyenne	Minima	Jour	Maxima	Jour	Moyenne	Minima	Jour	Moyenne	Maxima	Jour
Janvier	83.8	83.6	83.5	84.3	83.9	83.4	83.5	83.7	983.7	964.9	9	999.8	4	−0.7	−6.5	31	5.8	12.4	11
Février	85.9	85.5	85.9	86.4	85.9	85.0	85.8	86.4	985.8	967.0	13	1004.2	5	−14.1	−22.8	13	−5.3	5.9	29
Mars	85.2	84.8	85.0	85.4	85.0	83.9	84.3	85.0	984.8	969.3	21	999.0	8	0.4	−7.8	8. 13	10.0	19.7	30
Avril	80.8	80.6	81.0	81.2	80.4	79.5	79.7	80.6	980.5	966.6	27	995.4	8	2.6	−4.8	8	12.7	21.1	12
Mai	89.4	89.2	89.7	89.9	89.2	88.3	88.1	89.1	989.1	975.9	22	997.8	6	8.3	1.8	1	19.4	28.9	28
Juin	88.1	87.7	88.0	88.0	87.4	87.0	87.0	87.9	987.6	979.3	7	993.9	2	10.7	4.3	16	19.1	26.2	4
Juillet	86.0	85.7	85.9	86.0	85.7	85.3	85.1	86.2	985.7	976.7	2	996.7	25	12.9	9.7	31	22.7	30.6	9
Août	84.0	83.4	83.4	83.3	83.2	83.0	83.0	83.8	983.4	964.7	25	998.7	8	11.6	6.6	13	20.7	29.2	10
Septembre	86.9	86.6	87.0	87.7	87.3	86.4	86.4	87.1	986.9	974.7	26	993.9	15	11.4	5.0	15	20.8	26.0	16
Octobre	90.5	90.2	90.3	90.8	90.2	89.6	90.3	90.7	990.3	976.7	30	1001.0	12	5.9	−1.1	10	13.2	25.5	1
Novembre	88.4	88.1	88.0	88.5	87.8	87.5	88.2	88.5	988.1	966.2	28	1002.7	6. 7	0.5	−5.2	23	6.0	12.0	11
Décembre	92.4	92.1	92.0	92.5	91.9	91.4	91.9	92.0	992.0	977.7	31	1000.5	4	−0.5	−10.3	26	5.3	12.1	17
Année	86.8	86.5	86.6	87.0	86.5	85.9	86.1	86.7	986.5	964.7	VIII	1004.2	II	4.1	−22.8	II	12.5	30.6	VII

	Température de l'air													Humidité relative										
	1h	4h	7h	10h	13h	16h	19h	22h	Moyenne	Minima	Jour	Maxima	Jour	1h	4h	7h	10h	13h	16h	19h	22h	Moy.	Minima	Jour
Janvier	1.7	1.5	1.2	1.8	4.3	4.4	2.7	1.7	2.4	−6.6	31	12.0	11	89	91	90	88	77	78	83	89	86	43	23
Février	−11.6	−12.5	−12.6	−11.3	−7.4	−5.8	−7.8	−9.9	−9.9	−22.0	13	5.8	29	83	84	85	86	77	74	80	82	81	53	8
Mars	2.6	1.9	1.3	4.6	8.0	9.5	7.0	4.1	4.9	−7.6	9	19.1	30	84	85	88	78	65	58	69	80	76	30	30
Avril	4.9	3.8	3.5	8.2	11.3	11.6	9.9	6.5	7.5	−4.2	7	20.5	12	87	88	90	73	59	59	69	81	76	25	8
Mai	10.6	9.1	9.8	14.6	17.6	18.2	17.2	13.1	13.8	2.3	1	28.6	28	87	91	90	72	61	61	65	80	76	31	6. 7
Juin	12.1	11.4	12.2	15.8	17.8	18.0	16.5	13.3	14.6	4.4	16	25.2	4	88	91	86	72	64	64	71	84	78	43	30
Juillet	14.7	13.7	14.7	18.6	21.0	21.7	20.3	16.6	17.7	9.8	22	30.0	9	90	92	90	75	67	66	72	86	80	44	26
Août	13.0	12.6	13.0	17.0	19.1	19.2	17.7	14.6	15.8	7.3	31	29.0	10	92	93	92	78	69	71	77	87	82	53	10. 31
Septembre	12.8	12.4	12.2	16.0	19.0	20.1	17.5	14.1	15.5	5.0	15	25.6	16	94	95	94	83	72	69	82	91	85	47	5
Octobre	7.2	7.0	6.9	9.0	12.0	12.3	9.2	7.7	8.9	−1.0	10	24.7	1	95	95	96	90	80	79	91	94	90	54	9
Novembre	2.2	1.7	1.6	2.4	4.6	5.0	3.1	2.4	2.9	−4.6	23	10.8	11	91	92	91	91	80	79	88	89	88	60	6
Décembre	1.2	1.2	0.9	1.7	4.1	4.2	2.2	1.4	2.1	−10.2	26	11.7	15	91	92	91	91	83	83	89	91	89	66	14. 15
Année	6.0	5.3	5.4	8.2	11.0	11.5	9.6	7.1	8.0	−22.0	II	30.0	VII	89	91	90	81	71	70	78	86	82	25	IV

	Nebulosité en huitièmes (octas)									Brouillard Fréquence aux heures d'observation									Précipitations			Nombre de jours						
	1h	4h	7h	10h	13h	16h	19h	22h	Moy.	1h	4h	7h	10h	13h	16h	19h	22h	Total	Somme	Maxima	Jour	● *	●* ≥1.0	*	▲	↘	Nébulosité < 2/10	Nébulosité > 8/10
Janvier	6.1	6.4	6.6	6.3	6.3	6.2	6.2	6.1	6.3	3	4	5	3	3	1	1	1	21	43	9	26	17	11	6	—	—	1	19
Février	4.8	5.1	5.6	6.1	4.2	4.9	5.1	4.7	5.1	1	2	2	3	1	—	—	—	9	9	2	15	12	2	10	—	—	1	9
Mars	4.3	4.9	5.4	5.4	5.4	5.0	5.3	4.3	5.0	—	—	2	2	—	—	—	—	4	10	4	22	6	4	—	—	—	4	10
Avril	4.4	5.0	5.8	4.9	5.3	6.3	5.9	4.7	5.3	—	1	2	—	—	—	—	—	3	71	16	16	16	13	4	—	1	2	12
Mai	4.6	4.8	4.4	3.8	4.6	4.8	4.7	4.5	4.5	—	1	1	—	—	—	—	—	2	68	13	22	14	11	—	—	4	8	9
Juin	6.1	6.4	5.5	5.8	6.2	6.3	5.9	5.2	5.9	—	—	1	—	—	—	—	—	1	38	15	7	11	8	—	—	3	1	12
Juillet	3.3	4.4	5.2	5.2	4.8	5.1	5.1	4.4	4.7	1	2	1	—	—	—	—	—	4	155	45	10	15	13	—	—	6	2	9
Août	4.5	5.2	5.6	5.3	5.7	5.7	5.5	5.0	5.3	1	3	4	—	—	—	—	—	8	136	44	27	20	18	—	—	4	1	10
Septembre	3.8	5.2	5.8	5.0	4.9	4.3	3.8	3.6	4.5	4	5	8	1	—	—	—	—	18	45	11	10	9	8	—	—	1	3	6
Octobre	5.6	6.1	7.0	6.5	5.2	5.4	5.0	5.1	5.7	6	10	9	1	—	—	2	3	31	65	11	3	15	15	3	—	—	2	15
Novembre	6.8	6.5	7.1	7.1	6.0	6.0	6.1	6.7	6.5	4	4	3	5	—	—	2	2	20	29	14	28	8	4	2	—	—	1	21
Décembre	6.5	6.4	6.2	6.4	5.8	5.8	5.5	6.1	6.1	2	3	4	3	2	—	4	4	22	18	6	13	10	5	5	—	—	2	16
Année	5.1	5.5	5.9	5.7	5.4	5.5	5.3	5.0	5.4	22	35	42	18	6	1	9	10	143	687	45	VII	153	112	30	—	19	28	148

	Répartition des vents													Vitesse du vent en noeuds								
	350° -10°	20° -40°	50° -70°	80° -100°	110° -130°	140° -160°	170° -190°	200° -220°	230° -250°	260° -280°	290° -310°	320° -340°	sans vent	1h	4h	7h	10h	13h	16h	19h	22h	Moyenne
Janvier	10	—	1	15	11	36	15	23	39	12	11	24	51	5.9	6.1	7.6	6.9	9.1	8.5	5.3	6.4	7.0
Février	22	10	—	5	3	11	10	7	14	5	18	63	64	4.6	4.6	4.3	6.0	7.1	8.3	5.7	4.3	5.6
Mars	28	1	2	28	6	10	5	7	34	20	8	33	66	3.9	3.7	4.5	6.5	7.5	9.1	5.1	4.4	5.6
Avril	32	8	1	6	8	26	12	11	20	29	9	28	50	4.3	4.6	4.7	6.2	8.1	9.7	5.6	5.1	6.0
Mai	21	12	4	9	2	31	8	5	22	31	10	22	71	2.4	2.9	3.9	4.6	8.1	7.4	6.3	3.9	4.9
Juin	12	3	—	4	8	16	4	13	41	42	17	20	60	3.5	3.1	3.6	6.2	7.6	9.8	6.2	4.3	5.5
Juillet	14	3	3	9	5	16	16	13	31	41	9	17	71	2.3	2.6	3.0	5.4	8.5	8.3	5.9	4.1	5.0
Août	8	4	1	10	6	14	10	6	40	30	8	12	99	2.1	1.8	3.5	6.0	8.1	7.8	5.7	2.9	4.7
Septembre	6	3	5	11	1	14	13	7	30	16	4	23	107	1.7	2.3	4.7	4.3	6.5	6.7	3.5	2.0	4.0
Octobre	17	2	5	8	12	36	13	9	43	19	3	17	64	5.0	5.1	4.3	5.0	7.1	6.8	5.4	5.7	5.6
Novembre	38	7	—	19	3	16	5	5	37	7	2	40	61	5.0	3.5	5.5	6.1	7.7	6.9	6.1	5.4	5.8
Décembre	5	8	3	32	4	36	37	10	20	11	4	22	56	4.1	5.0	4.7	4.6	5.0	4.5	5.5	5.2	4.8
Année	213	61	25	156	69	262	148	116	371	263	103	321	820	3.7	3.8	4.5	5.7	7.5	7.8	5.5	4.5	5.4

$\lambda = 7° 26'$, $\beta = 46° 57'$, $H_p = 572$ m, $h_r = 1.5$

Meteorologisches Observatorium Bern

1956	900 mb + Luftdruck in Millibar													Minimum-Thermometer			Maximum-Thermometer		
	1h	4h	7h	10h	13h	16h	19h	22h	Mittel	Minimum	Tag	Maximum	Tag	Mittel	Minimum	Tag	Mittel	Maximum	Tag
Januar	47.7	47.5	47.2	48.0	47.7	47.3	47.4	47.4	947.5	930.3	9	961.0	4	−0.7	−5.3	31	4.1	8.2	27
Februar	46.7	46.4	46.6	47.1	46.8	46.2	46.8	47.4	946.8	929.4	13	964.4	5	−12.1	−21.5	10	−5.0	7.8	29
März	48.6	48.1	48.3	48.8	48.6	47.8	48.0	48.5	948.3	934.0	21	961.5	1	0.4	−7.9	13	8.9	18.1	30
April	44.8	44.6	45.0	45.1	44.5	43.8	43.9	44.7	944.5	932.7	27	957.9	9	2.5	−4.6	8	11.4	19.6	27
Mai	53.6	53.4	53.7	53.9	53.4	52.5	52.5	53.4	953.3	941.1	22	961.8	6	8.0	2.7	21	18.7	29.9	28
Juni	52.5	52.0	52.1	52.3	51.8	51.4	51.4	52.4	952.0	942.4	7	957.1	15	9.8	4.6	16	18.5	25.4	4
Juli	51.1	50.7	50.9	50.9	50.6	50.3	50.4	51.4	950.8	941.9	14	960.4	25	12.3	9.2	22	22.3	29.1	9
August	49.1	48.5	48.4	48.5	48.4	48.1	48.2	48.9	948.5	933.5	25	961.8	7 . 8	11.6	6.8	31	20.2	28.7	10
September	51.7	51.7	52.0	52.5	52.2	51.4	51.3	51.9	851.8	940.8	26	958.0	15	10.9	8.0	5	20.4	24.9	16
Oktober	54.8	54.4	54.4	54.9	54.3	53.8	54.4	54.8	954.5	940.6	30	965.2	12	4.3	−0.6	9. 10	11.1	22.4	1
November	51.5	51.1	51.0	51.4	51.0	50.8	51.4	51.6	951.2	934.7	28	965.2	6	0.0	−3.7	23	4.0	10.5	7
Dezember	55.6	55.4	55.3	55.8	55.3	54.8	55.0	55.3	955.3	940.6	31	964.2	4	−2.1	−10.7	25	3.5	10.6	13
Jahr	50.6	50.3	50.4	50.8	50.4	49.9	50.0	50.6	950.4	929.4	II	965.2	X/XI	3.7	−21.5	II	11.5	29.9	V

	Lufttemperatur													Relative Feuchtigkeit										
	1h	4h	7h	10h	13h	16h	19h	22h	Mittel	Minimum	Tag	Maximum	Tag	1h	4h	7h	10h	13h	16h	19h	22h	Mittel	Minimum	Tag
Januar	0.9	0.7	0.3	0.5	2.4	3.1	1.8	1.0	1.3	−7.7	31	8.1	22	92	93	94	93	85	85	90	90	90	49	22
Februar	−9.9	−10.5	−11.1	−10.4	−7.4	−5.7	−7.1	−8.5	−8.8	−21.5	10	7.0	29	85	85	86	84	75	69	74	80	80	50	8
März	2.4	1.6	1.1	2.8	6.5	8.2	6.4	3.9	4.1	−7.9	13	17.4	30	82	85	83	78	66	59	66	76	74	29	16
April	4.6	3.4	2.7	6.0	9.5	10.5	8.9	6.3	6.5	−4.4	8	18.8	12	86	91	90	76	63	59	66	79	76	27	10
Mai	10.3	8.9	9.0	13.2	16.6	17.6	16.0	12.8	13.0	3.3	1	29.7	28	83	90	89	72	60	56	62	76	73	29	9
Juni	11.4	10.4	10.5	14.1	16.5	17.3	16.3	13.2	13.7	5.1	16	25.0	30	88	91	90	73	63	59	64	78	76	34	30
Juli	14.5	13.4	13.4	16.9	19.9	21.2	19.5	16.2	16.9	9.8	22	28.7	9	87	91	91	77	67	59	66	80	77	30	26
August	13.2	12.3	12.3	15.2	17.9	18.7	17.0	14.5	15.1	7.0	31	28.5	10	91	95	93	80	71	69	74	86	82	29	15
September	12.9	12.1	11.3	14.4	18.0	19.9	17.4	14.4	15.1	8.1	5	24.6	16	93	95	95	85	71	64	75	89	83	47	7
Oktober	6.2	5.2	4.8	6.3	9.3	10.5	8.3	6.7	7.2	−0.6	10	22.4	1	95	98	98	94	84	80	90	94	92	53	4
November	0.9	0.6	0.6	1.2	2.9	3.3	2.0	1.4	1.6	−3.7	23	10.4	7	93	93	93	91	83	85	90	91	90	67	7
Dezember	−0.8	−1.2	−1.4	−1.0	1.7	3.0	1.2	−0.2	0.2	−10.7	25	10.5	13	93	93	93	92	86	81	87	91	90	60	18
Jahr	5.6	4.7	4.5	6.6	9.5	10.6	9.0	6.8	7.2	−21.5	II	29.7	V	89	92	91	83	73	69	75	84	82	27	IV

	Bewölkung in Achteln (Okta)									Nebel Zahl der Beobachtungstermine									Niederschlag			Zahl der Tage						
	1h	4h	7h	10h	13h	16h	19h	22h	Mittel	1h	4h	7h	10h	13h	16h	19h	22h	Total	Summe	Maximum	Tag	● *	●* ≧1.0	*	▲	⊼	heiter	trüb
Januar	6.8	6.6	7.0	7.2	7.1	7.0	6.9	6.4	6.9	3	3	5	3	1	—	2	2	19	93	19	26	16	13	8	—	—	—	22
Februar	3.7	5.0	5.4	6.1	5.9	4.9	4.9	4.3	5.0	—	—	1	1	—	—	—	—	2	5	2	8	7	2	5	—	—	1	8
März	5.0	5.2	5.4	5.2	4.8	5.0	4.8	4.6	5.0	1	1	2	1	—	—	—	—	5	30	10	22	9	7	3	—	—	4	13
April	4.5	5.1	5.3	5.0	5.5	5.9	6.0	4.9	5.3	—	—	1	—	—	—	—	—	1	95	18	1	17	14	5	—	1	4	14
Mai	4.4	4.4	4.0	4.2	4.5	4.6	4.9	4.4	4.4	—	—	—	—	—	—	—	—	—	116	28	19	12	11	—	—	6	9	11
Juni	5.8	5.9	5.5	5.4	5.7	6.4	6.0	5.8	5.8	—	1	—	—	—	—	—	—	1	66	27	7	14	11	—	—	1	—	11
Juli	4.1	4.9	4.8	4.7	4.9	5.0	5.0	4.6	4.8	—	—	1	—	—	—	—	—	1	177	42	10	16	14	—	—	4	2	9
August	5.4	5.8	6.1	5.7	6.1	6.0	5.9	5.4	5.8	—	1	2	—	—	—	—	—	3	207	30	27	22	20	—	—	6	1	13
September	3.8	4.3	5.1	4.8	4.5	4.3	3.8	3.3	4.2	1	1	3	—	—	—	—	—	5	67	15	10	11	9	—	—	3	4	7
Oktober	5.6	6.1	6.7	6.5	5.8	5.5	5.2	5.2	5.8	9	10	11	5	—	—	3	3	41	115	25	25	15	14	5	—	—	3	19
November	6.4	6.5	6.8	7.0	6.7	6.5	6.5	6.4	6.6	1	1	2	—	—	—	1	1	6	31	16	28	11	7	3	—	—	1	22
Dezember	4.9	5.8	5.6	6.3	5.6	5.3	5.2	4.8	5.4	4	4	4	4	—	—	1	2	19	18	7	20	8	5	3	—	—	4	15
Jahr	5.0	5.5	5.6	5.7	5.6	5.5	5.4	5.0	5.4	19	22	32	14	1	—	7	8	103	1020	42	VII	158	127	32	—	21	33	164

	Windverteilung													Windgeschwindigkeit in Knoten								
	350° -10°	20° -40°	50° -70°	80° -100°	110° -130°	140° -160°	170° -190°	200° -220°	230° -250°	260° -280°	290° -310°	320° -340°	Calmen	1h	4h	7h	10h	13h	16h	19h	22h	Mittel
Januar	12	37	—	4	3	29	4	9	36	6	3	—	105	1.6	2.1	1.8	1.6	2.6	3.1	1.6	1.5	2.0
Februar	26	87	8	4	—	8	1	4	9	4	—	2	79	3.1	2.3	2.4	2.8	4.8	5.8	4.8	3.7	3.7
März	11	56	2	8	—	4	3	4	33	11	3	3	110	1.9	2.1	1.8	2.8	4.5	4.3	2.5	2.1	2.7
April	14	38	1	12	8	32	1	5	26	27	5	9	62	2.2	1.7	1.4	2.4	4.5	5.0	3.2	2.8	2.9
Mai	19	54	6	10	10	39	4	16	16	15	4	11	44	1.7	0.9	0.9	3.1	5.3	4.9	4.0	2.3	2.9
Juni	10	35	3	12	11	34	3	11	28	30	5	11	47	1.3	1.3	1.5	2.9	4.3	4.7	3.5	1.7	2.6
Juli	18	31	1	8	9	31	4	18	27	27	5	12	57	1.8	1.1	1.0	2.1	4.2	4.6	4.1	2.4	2.7
August	13	23	—	4	4	27	2	20	52	36	3	2	62	2.0	1.6	1.9	4.0	5.6	5.6	4.0	2.4	3.4
September	16	43	1	8	6	40	5	16	20	20	2	4	59	1.1	1.2	1.4	2.0	4.2	4.3	2.8	1.5	2.3
Oktober	16	35	—	6	2	35	7	33	24	15	3	7	65	1.9	1.6	1.3	2.0	3.4	3.6	2.4	2.2	2.3
November	25	81	3	12	5	31	4	14	19	5	—	4	37	3.1	2.7	3.1	3.9	4.2	3.9	3.6	3.6	3.5
Dezember	9	21	8	12	8	96	3	6	12	5	—	—	68	2.0	2.3	1.9	2.1	2.3	2.5	2.5	2.4	2.3
Jahr	189	541	33	100	66	406	41	156	302	201	33	65	795	2.0	1.7	1.7	2.6	4.2	4.4	3.2	2.4	2.8

$\lambda = 6°06'$, $\beta = 46°74'$, $H_p = 429$ m, $h_r = 1.5$ m

Aéroport Genève-Cointrin

1956	900 mb + Pression en millibars													Thermomètre à minima			Thermomètre à maxima		
	1h	4h	7h	10h	13h	16h	19h	22h	Moyenne	Minimum	Jour	Maximum	Jour	Moyenne	Minimum	Jour	Moyenne	Maximum	Jour
Janvier	65.1	64.8	64.4	65.3	65.1	64.5	64.7	64.7	964.8	945.7	9	977.5	4	0.4	−4.4	23 . 25	5.9	11.7	12
Février	63.6	63.3	63.5	64.0	63.5	62.9	63.5	64.3	963.6	944.9	13	982.6	5	−9.5	−21.0	15	−2.7	9.1	29
Mars	65.6	65.3	65.5	66.1	65.7	64.7	64.9	65.4	965.4	950.2	21	979.9	1	0.7	−6.4	15	10.2	18.6	30
Avril	61.9	61.5	61.8	62.0	61.3	60.5	60.7	61.6	961.4	948.3	27	975.4	9	2.7	−4.6	8	12.6	19.7	10
Mai	70.4	70.1	70.6	70.9	70.2	69.1	69.1	70.1	970.1	959.3	21	979.0	6	7.8	0.6	1	19.9	25.8	9
Juin	69.3	68.8	69.0	69.0	68.7	68.1	68.1	69.2	968.8	960.4	7	973.4	15	9.0	3.6	10	19.1	26.8	30
Juillet	67.6	67.0	67.3	67.5	67.2	66.8	66.8	67.8	967.2	958.1	2	975.9	26	12.5	6.8	31	23.7	29.3	8
Août	65.9	65.4	65.4	65.6	65.4	64.9	65.0	65.8	965.4	953.1	25	978.2	7	11.8	6.5	13	21.3	30.3	10
Septembre	68.4	68.3	68.6	69.2	68.7	67.7	67.6	68.4	968.4	957.4	26	975.5	12	10.7	6.9	5	21.7	25.7	16
Octobre	72.0	71.6	71.5	72.2	71.6	71.0	71.5	72.0	971.7	957.7	30	982.5	12	4.8	−1.0	11	12.6	22.2	1
Novembre	68.8	68.3	68.1	68.7	68.3	68.0	68.6	68.9	968.5	954.2	29	982.1	7	1.2	−3.5	8	5.9	11.3	11
Décembre	72.9	72.6	72.6	73.3	72.8	72.0	72.4	72.6	972.6	957.6	31	981.9	3	−0.7	−8.0	27	5.4	15.2	16
Année	67.6	67.3	67.4	67.8	67.4	66.7	66.9	67.6	967.3	944.9	II	982.6	II	4.3	−21.0	II	13.0	30.3	VIII

	Température de l'air													Humidité relative									
	1h	4h	7h	10h	13h	16h	19h	22h	Moyenne	Minimum	Jour	Maximum	Jour	1h	4h	7h	10h	13h	16h	19h	22h	Moy.	Minimum	Jour
Janvier	2.1	2.0	1.9	2.3	4.4	5.3	3.6	2.6	3.0	−4.0	23	11.4	12	90	90	89	88	78	74	80	85	84	41	12
Février	−7.6	−8.4	−8.9	−8.0	−4.9	−3.4	−5.3	−7.0	−6.7	−18.9	15	8.4	29	76	77	80	79	67	59	66	73	72	42	28
Mars	3.2	2.2	1.7	4.2	7.6	9.3	7.8	4.8	5.1	−6.0	10 . 15	18.0	30	81	85	86	79	60	52	57	74	72	33	11
Avril	5.6	4.2	3.6	7.8	11.0	11.7	10.3	7.2	7.7	−4.2	8	19.3	10	80	87	88	70	53	51	57	74	70	19	10
Mai	10.9	9.2	9.7	14.3	17.5	18.9	17.8	13.8	14.0	2.8	2	25.6	9	85	91	89	64	52	48	54	70	69	27	9
Juin	12.1	10.6	11.3	15.5	17.8	19.1	17.9	14.4	14.8	4.7	10	26.4	4	86	91	89	68	57	54	58	75	72	26	30
Juillet	15.1	13.5	14.1	18.4	21.1	22.7	21.3	17.5	18.0	8.2	31	28.8	8	90	93	91	70	58	52	60	80	74	34	26
Août	14.1	13.4	12.9	16.5	19.0	20.2	18.6	15.5	16.3	7.4	29	29.8	10	90	92	93	76	66	60	69	84	79	35	10
Septembre	13.5	12.4	11.7	15.8	19.4	21.3	18.7	15.1	16.0	7.8	5	25.7	16	93	95	96	82	63	58	72	89	81	40	4
Octobre	6.9	6.3	6.1	7.7	10.7	11.8	9.5	7.6	8.3	−0.5	11	22.2	1	92	94	96	91	75	71	83	91	87	46	4
Novembre	2.6	2.4	2.2	3.3	5.0	5.5	3.9	2.8	3.5	−3.1	8	10.6	11	86	88	87	84	73	71	81	85	82	55	7
Décembre	1.1	0.6	0.6	1.0	3.7	4.7	2.4	1.6	2.0	−5.4	3	15.0	16	89	91	91	91	79	75	85	89	86	49	16
Année	6.6	5.7	5.6	8.2	11.0	12.3	10.5	8.0	8.5	−18.9	II	29.8	VIII.	87	90	90	78	65	60	69	81	77	19	IV

	Nébulosité en huitièmes (octas)									Brouillard Fréquence aux heures d'observation									Précipitations			Nombre de jours						
	1h	4h	7h	10h	13h	16h	19h	22h	Moy.	1h	4h	7h	10h	13h	16h	19h	22h	Total	Somme	Maximum	Jour	● *	●* ≧1.0	*	▲	K	Nébulosité <2/10	Nébulosité >8/10
Janvier	6.4	6.0	5.9	6.3	6.4	6.3	6.0	6.2	6.2	—	—	—	1	—	—	—	1	2	116	20	13	17	14	7	—	—	2	20
Février	5.4	4.8	5.7	5.8	4.6	3.8	4.4	4.2	4.8	—	—	—	1	—	—	1	—	2	4	3	13	2	2	2	—	—	1	6
Mars	4.4	4.3	4.7	4.8	4.6	5.0	4.8	4.2	4.6	—	—	1	1	—	—	—	—	2	35	15	22	7	6	1	—	—	7	11
Avril	4.2	4.0	4.8	4.2	4.9	5.3	5.3	4.6	4.7	—	—	—	—	—	—	—	—	—	91	27	16	13	8	2	—	2	5	8
Mai	3.1	3.1	3.8	3.9	3.8	4.3	4.2	3.7	3.7	—	1	—	—	—	—	—	—	1	98	24	18	10	9	—	—	3	9	5
Juin	3.8	3.9	3.9	4.2	5.3	5.1	4.9	4.5	4.4	—	—	—	—	—	—	—	—	—	52	*27	7	10	6	—	—	3	2	7
Juillet	2.7	3.6	4.4	4.1	4.4	4.3	4.4	3.8	4.0	—	—	—	—	—	—	—	—	—	81	18	2	13	11	—	—	8	6	5
Août	4.5	4.4	5.3	5.8	5.5	5.7	5.5	5.0	5.2	—	—	2	—	—	—	—	—	2	141	23	27	20	16	—	—	8	2	10
Septembre	3.3	3.7	4.7	3.8	3.8	3.6	3.7	2.6	3.7	—	1	3	1	—	—	—	—	5	151	70	2	9	8	—	—	4	4	4
Octobre	5.3	6.4	7.1	6.6	5.4	5.1	4.8	4.7	5.7	5	9	10	5	—	—	—	2	31	80	36	3	15	13	2	—	1	1	14
Novembre	6.6	6.6	6.4	6.8	6.4	6.3	6.5	6.4	6.5	1	1	1	1	1	—	1	1	7	17	9	11	4	3	1	—	—	3	21
Décembre	4.8	6.0	5.2	5.8	5.2	4.9	4.6	5.0	5.2	4	4	4	8	2	1	2	1	26	23	4	27	9	7	4	—	—	3	12
Année	4.5	4.7	5.2	5.2	5.0	5.0	4.9	4.6	4.9	10	16	21	18	3	1	4	5	78	889	70	IX	129	103	19	—	29	45	123

	Répartition des vents													Vitesse du vent en noeuds								
	350° -10°	20° -40°	50° -70°	80° -100°	110° -130°	140° -160°	170° -190°	200° -220°	230° -250°	260° -280°	290° -310°	320° -340°	sans vent	1h	4h	7h	10h	13h	16h	19h	22h	Moyenne
Janvier	12	35	6	7	3	13	27	28	19	9	4	4	81	5.3	5.7	5.8	4.7	7.8	7.8	7.1	6.5	6.3
Février	16	74	34	10	—	3	6	10	6	3	2	5	63	11.7	11.4	10.6	11.9	11.4	12.7	12.2	12.0	11.7
Mars	8	59	22	9	2	9	21	22	12	2	10	12	60	7.4	6.2	5.5	7.7	10.7	11.5	8.7	7.8	8.2
Avril	14	48	19	8	2	14	25	24	11	4	11	15	45	5.7	4.4	5.0	7.8	10.0	11.0	10.2	7.0	7.6
Mai	15	52	20	8	5	14	16	22	19	4	4	8	61	2.8	2.4	3.7	8.3	10.2	10.6	8.3	7.2	6.7
Juin	13	43	19	2	4	18	39	22	7	6	8	3	56	4.0	4.1	4.2	8.5	9.7	10.8	9.1	6.7	7.1
Juillet	13	46	13	8	2	20	29	25	15	6	3	7	61	3.6	3.5	3.4	8.1	9.8	9.5	9.0	5.3	6.5
Août	3	15	10	2	2	27	44	42	14	2	9	4	74	4.2	4.4	4.4	5.7	8.7	10.4	7.9	4.8	6.3
Septembre	13	34	17	4	2	13	20	24	10	5	7	7	84	2.8	3.4	2.3	5.1	7.4	7.5	4.6	2.9	4.5
Octobre	12	30	13	3	5	29	17	19	4	3	7	5	101	3.8	4.4	2.9	3.4	5.4	6.0	5.5	4.0	4.4
Novembre	34	75	11	1	1	9	12	22	6	1	6	11	51	6.7	6.4	7.6	8.0	9.5	9.3	7.1	7.0	7.7
Décembre	14	38	16	4	4	6	15	20	8	2	5	3	113	3.6	4.1	4.9	4.4	5.9	5.5	4.8	4.0	4.6
Année	167	549	200	66	32	175	271	280	131	47	76	84	850	5.1	5.0	5.0	7.0	8.9	9.4	7.9	6.3	6.8

$\lambda = 7° 20'$, $\beta = 46° 13'$, $H_p = 483$ m, $h_f = 1.5$

Sion-aérodrome

1956	900 mb + Pression en millibars													Thermomètre à minima			Thermomètre à maxima		
	1h	4h	7h	10h	13h	16h	19h	22h	Moyenne	Minima	Jour	Maxima	Jour	Moyenne	Minima	Jour	Moyenne	Maxima	Jour
Janvier	59.8	59.6	59.2	60.1	59.5	58.6	59.1	59.4	959.4	941.8	9	972.5	4	−3.7	−14.0	4	4.3	9.5	28
Février	56.5	56.6	56.9	57.6	56.3	55.2	56.2	57.2	956.6	938.0	13	977.2	5	−11.2	−17.0	15	−0.6	10.7	29
Mars	59.8	59.5	59.6	60.0	58.9	57.7	58.2	59.4	959.1	945.6	24	972.5	6	−0.2	−7.5	13	12.4	20.2	30
Avril	55.3	55.2	55.6	55.5	53.9	53.0	53.3	54.7	954.6	941.5	27	969.5	9	2.1	−6.8	8	14.6	21.5	12
Mai	64.2	64.3	64.9	64.3	62.8	61.6	62.0	63.5	963.4	950.9	22	974.3	6	6.9	0.8	3	21.2	31.7	28
Juin	62.7	62.7	62.8	62.2	60.8	60.1	60.3	61.9	961.7	951.9	7	966.9	13	8.3	1.5	23	21.5	27.3	4
Juillet	61.8	61.5	61.6	61.0	59.7	59.0	59.6	61.3	960.7	951.2	14	970.0	26	11.3	7.3	4	24.4	29.5	27
Août	60.0	59.6	59.7	59.3	58.2	57.4	57.8	59.3	958.9	947.5	25	972.3	8	10.9	3.5	30	21.9	29.6	10
Septembre	63.0	62.9	63.3	63.3	61.9	60.7	61.2	62.8	962.4	952.3	26	969.4	30	9.9	6.4	29	22.4	26.5	10
Octobre	66.0	65.7	65.7	66.0	64.7	63.7	64.9	65.7	965.3	949.6	30	976.6	12	2.4	−2.6	9. 10	14.1	23.5	2
Novembre	62.6	62.2	62.0	62.3	61.2	60.3	61.7	62.3	961.8	945.5	28	977.0	7	−2.5	−9.2	22	7.5	15.4	1
Décembre	67.5	97.4	67.4	68.0	67.0	65.8	66.6	67.2	967.1	951.6	31	976.9	3	−6.0	−13.0	25	4.7	10.3	16
Année	61.6	61.4	61.6	61.6	60.4	59.4	60.1	61.2	960.9	938.0	II	977.2	II	2.4	−17.0	II	14.0	31.7	V

	Temperature de l'air													Humidité relative									
	1h	4h	7h	10h	13h	16h	19h	22h	Moyenne	Minima	Jour	Maxima	Jour	1h	4h	7h	10h	13h	16h	19h	22h	Mittel	Minima	Jour
Janvier	−1.6	−1.9	−2.5	−2.1	2.7	3.6	0.1	−1.0	−0.3	−12.7	4	9.0	28	92	93	93	92	75	73	89	91	87	35	23
Février	8.6	−9.3	−9.8	−8.0	−2.9	−2.1	−5.2	−7.2	−6.6	−16.8	3	10.0	29	86	88	88	86	55	58	69	80	76	31	25
Mars	2.8	1.6	0.7	5.8	9.7	11.1	8.0	5.2	5.6	−7.0	13	20.0	30	80	86	89	66	53	48	59	69	69	23	15
Avril	4.5	3.2	3.0	8.5	12.5	13.4	10.4	7.0	7.8	−6.8	8	21.0	12	86	92	92	62	46	47	57	72	69	23	7
Mai	10.1	8.2	9.2	15.4	19.6	20.4	18.0	13.5	14.3	1.8	4	30.6	28	86	91	87	59	48	48	54	74	68	27	5
Juin	11.2	9.4	10.9	16.2	20.0	20.0	17.8	14.3	15.0	2.4	23	27.0	4	87	92	88	63	49	51	60	73	70	32	4
Juillet	13.9	12.2	13.6	19.1	22.4	23.0	20.7	16.8	17.7	8.0	22	28.8	27	91	93	93	67	60	59	64	80	76	42	24
Août	13.2	12.0	11.9	16.6	19.8	20.7	18.3	15.0	15.9	4.2	30	28.8	10	90	94	96	77	65	63	72	86	80	43	13
Septembre	12.1	11.2	10.7	16.7	20.5	21.6	18.0	13.8	15.6	6.8	29	25.6	24	92	93	94	74	61	60	74	87	79	35	22
Octobre	4.6	3.7	3.2	7.8	12.7	13.0	8.1	5.2	7.3	−2.3	10	23.0	1. 2	95	95	96	82	61	66	86	93	84	42	31
Novembre	−0.3	−1.0	−1.1	0.1	5.7	6.3	1.9	0.2	1.5	−9.0	22	15.4	1	93	94	94	89	69	66	84	91	85	34	8
Décembre	−3.6	−3.9	−4.3	−3.3	2.2	3.3	−1.5	−2.5	−1.7	−12.8	25	9.2	16	94	94	93	91	69	60	85	91	85	45	18
Année	4.9	3.8	3.8	7.7	12.1	12.9	9.6	6.7	7.7	−16.8	II	30.6	V	89	92	92	76	59	58	71	82	77	23	III/IV

	Nébulosité en huitièmes (octas)									Brouillard Fréquence aux heures d'observation									Précipitations			Nombre de jours						
	1h	4h	7h	10h	13h	16h	19h	22h	Moy.	1h	4h	7h	10h	13h	16h	19h	22h	Total	Somme	Maxima	Jour	● *	●* ≥1.0	*	▲	⌇	Nébulosité < 2/10	Nébulosité > 8/10
Janvier	5.1	4.7	4.6	5.4	5.0	5.3	4.8	4.8	5.0	1	1	1	1	1	1	—	1	7	84	23	26	12	12	6	—	—	7	13
Février	3.4	4.0	4.3	4.1	4.2	4.0	3.8	3.9	4.0	—	—	—	—	—	—	—	—	—	1	1	20	2	—	2	—	—	7	4
Mars	4.1	4.0	4.2	4.3	4.6	4.9	4.9	3.8	4.4	—	—	—	—	—	—	—	—	—	20	15	22	3	3	—	—	—	6	11
Avril	4.6	4.4	5.0	4.8	5.2	5.4	5.5	4.9	5.0	—	—	—	—	—	—	—	—	—	31	14	16	8	8	1	—	—	4	13
Mai	3.4	3.4	3.6	3.5	4.3	4.7	4.8	4.2	4.0	—	—	—	—	—	—	—	—	—	67	26	18	7	6	—	—	1	7	8
Juin	4.7	4.8	4.2	4.3	5.1	5.4	5.7	5.1	4.9	—	—	—	—	—	—	—	—	—	14	7	5	5	4	—	—	1	—	4
Juillet	3.4	4.3	3.9	3.6	4.1	4.6	4.7	3.9	4.1	—	—	—	—	—	—	—	—	—	82	19	8	12	10	—	—	5	4	5
Août	4.2	4.9	4.8	4.9	5.1	5.2	5.6	4.9	4.9	—	—	—	—	—	—	—	—	—	128	27	18	17	15	—	—	1	2	6
Septembre	3.3	3.4	3.7	3.6	3.8	3.4	3.0	2.7	3.4	—	—	—	—	—	—	—	—	—	38	13	25	6	5	—	—	—	7	3
Octobre	3.8	3.8	3.9	3.8	3.6	4.0	3.9	3.2	3.8	—	—	—	—	—	—	—	—	—	33	8	5	7	5	—	—	—	10	9
Novembre	4.1	4.3	4.8	5.3	4.9	4.2	4.1	3.5	4.4	—	1	—	1	—	—	—	—	2	14	8	28	6	4	1	—	—	7	9
Décembre	2.7	3.4	3.1	4.2	3.1	2.9	2.4	2.3	3.0	—	—	1	1	—	—	—	—	2	3	3	25	1	1	1	—	—	11	4
Année	3.9	4.1	4.2	4.3	4.4	4.5	4.4	4.3	4.2	1	2	2	3	1	1	—	1	11	515	27	VIII	86	73	11	—	8	72	89

	Répartition des vents													Vitesse du vent en noeuds								
	350° -10°	20° -40°	50° -70°	80° -100°	110° -130°	140° -160°	170° -190°	200° -220°	230° -250°	260° -280°	290° -310°	320° -340°	sans vent	1h	4h	7h	10h	13h	16h	19h	22h	Moyenne
Janvier	—	—	1	118	—	—	1	—	2	13	—	1	112	1.6	2.5	2.3	2.2	1.8	1.4	2.9	2.4	2.1
Février	—	—	—	57	—	—	1	—	2	86	—	—	86	2.6	2.8	3.0	4.3	3.6	9.3	5.8	3.3	4.3
Mars	—	—	—	89	—	—	1	—	—	79	—	—	79	2.2	3.3	2.9	4.9	7.6	12.0	9.3	3.2	5.7
Avril	1	—	—	35	1	—	—	—	2	105	1	1	94	2.2	2.6	2.7	4.5	7.7	11.8	9.0	3.9	5.5
Mai	—	1	—	41	—	—	2	1	9	86	—	4	104	1.6	1.9	1.4	3.7	4.8	9.7	8.2	2.6	4.2
Juin	—	—	—	26	—	—	3	—	4	114	—	1	92	1.3	1.1	0.5	4.4	9.1	13.6	10.2	5.0	5.7
Juillet	1	—	—	37	—	—	1	—	1	88	—	—	120	1.1	0.7	0.6	1.3	6.8	11.5	10.1	3.5	4.5
Août	—	1	—	42	—	—	—	—	2	78	—	—	125	1.4	0.9	1.1	2.5	5.0	10.5	5.6	2.4	3.7
Septembre	—	1	—	73	—	—	1	—	3	60	—	—	102	1.4	1.7	1.7	2.6	3.9	9.4	2.8	1.5	3.1
Octobre	—	1	—	61	—	—	—	—	3	59	—	—	124	2.0	1.9	1.5	2.3	3.8	6.4	1.7	1.9	2.7
Novembre	3	5	4	53	2	1	4	2	7	28	—	1	130	2.6	3.0	2.0	1.1	3.4	4.2	2.9	2.3	2.7
Décembre	2	19	28	59	3	—	1	2	4	2	—	—	128	3.0	3.1	2.0	2.0	0.7	0.5	2.2	1.7	1.9
Année	7	28	33	691	6	1	15	5	39	798	1	8	1296	1.9	2.1	1.8	3.0	4.9	8.4	5.9	2.8	3.8

$\lambda = 7° 42'$, $\beta = 45° 56'$, $H_p = 3488$ m, $h_r = —$ m

Plateau Rosà (Testa Grigia)

(Stazione meteorologica dell'æronautica italiana)

1956	600 mb + Pressione atmosferica in millibar													Termometro minima			Termometro massima		
	1h	4h	7h	10h	13h	16h	19h	22h	Media	Minimo	Giorno	Massimo	Giorno	Media	Minimo	Giorno	Media	Massimo	Giorno
Gennaio	56.3	55.9	55.3	55.8	56.0	55.7	55.9	56.2	655.9	639.3	9	668.1	4	-13.8	-21.4	1	-9.1	-2.8	17
Febbraio	44.3	43.9	43.7	44.3	45.0	44.7	44.8	45.1	644.5	627.1	14	666.1	29	-23.0	-34.0	14	-17.0	-5.8	29
Marzo	56.6	55.9	55.4	55.7	56.1	55.9	56.0	56.6	656.0	643.6	12	665.9	1	-14.6	-27.0	12	-8.8	-1.6	3
Aprile	54.4	53.7	53.4	53.8	54.2	54.2	54.1	54.4	654.0	639.3	6	664.8	10	-13.6	-27.6	7	-7.3	-1.4	11
Maggio	66.1	65.6	65.5	65.8	66.3	66.3	66.2	66.4	666.0	654.5	1	674.5	28	-7.4	-16.0	1	-1.9	6.6	28
Giugno	65.4	64.9	64.6	65.1	65.5	65.8	65.7	65.8	665.4	656.8	8	670.9	13	-6.8	-12.8	9	-0.9	3.4	13
Luglio	69.0	68.3	68.1	68.5	68.9	69.2	69.0	69.2	668.8	659.8	20	677.2	25	-1.8	-7.4	3	4.0	10.6	7
Agosto	67.3	66.8	66.4	66.7	67.2	67.3	67.0	67.3	667.0	657.3	23	679.4	9	-2.7	-10.2	30	2.9	11.2	9
Settembre	69.8	69.3	69.0	69.6	69.9	69.9	69.9	70.2	669.7	660.2	26	675.8	15	-1.9	-7.2	4. 27	2.7	7.8	15
Ottobre	65.2	64.4	64.2	64.8	65.1	64.8	64.8	64.9	664.8	645.1	27	675.8	22	-8.9	-19.6	28 . 30	-3.2	5.2	1
Novembre	58.5	58.0	57.8	58.1	58.2	57.9	58.1	58.2	658.1	641.6	29	671.5	7	-12.1	-24.6	30	-7.2	0.0	8
Dicembre	61.1	60.8	60.5	61.1	61.3	60.9	61.1	61.2	661.0	647.8	24	670.7	18	-13.1	-23.4	25	-8.1	-1.4	17
Anno	61.2	60.6	60.3	60.8	61.1	61.1	61.1	61.3	660.9	627.1	II	679.4	VIII	-10.0	-34.0	II	-4.5	11.2	VIII

	Temperatura dell'aria													Umidità relativa									
	1h	4h	7h	10h	13h	16h	19h	22h	Media	Minimo	Giorno	Massimo	Giorno	1h	4h	7h	10h	13h	16h	19h	22h	Media	Minimo	Giorno
Gennaio	-11.5	-11.5	-11.6	-11.3	-10.9	-11.0	-11.5	-11.4	-11.3	-21.0	1	-3.6	17	49	49	51	48	46	51	51	53	50	1	div.
Febbraio	-20.6	-20.7	-20.7	-20.2	-19.4	-19.0	-20.2	-20.4	-20.1	-33.2	14	-6.8	29	69	68	66	68	68	71	70	68	69	1	5. 28
Marzo	-12.2	-12.4	-12.5	-11.9	-11.1	-11.1	-12.3	-12.6	-12.0	-26.5	12	-3.6	4	66	67	65	62	63	65	76	73	67	1	3. 6
Aprile	-11.3	-11.7	-11.9	-10.0	-9.1	-9.2	-10.4	-11.0	-10.6	-26.8	7	-2.7	11	71	69	67	65	67	70	72	76	70	1	div.
Maggio	-5.8	-6.0	-5.4	-4.1	-3.2	-3.5	-4.3	-5.1	-4.7	-15.8	2	5.4	28	73	65	58	55	57	67	76	80	66	1	div.
Giugno	-4.8	-5.3	-4.8	-3.8	-2.5	-2.1	-3.0	-4.2	-3.8	-12.6	9	3.2	13	76	75	66	66	71	73	79	82	74	1	16 . 21
Luglio	-0.2	-0.5	-0.1	1.3	2.4	2.1	1.3	0.2	0.8	-7.4	3	10.0	7	67	64	60	55	62	72	73	72	66	1	div.
Agosto	-0.5	-0.6	-0.7	0.3	1.3	1.7	1.3	0.2	0.4	-8.8	30	10.6	9	70	67	58	58	69	72	74	74	68	2	div.
Settembre	-0.2	-0.5	-0.4	0.6	-1.5	1.4	0.9	-0.1	0.4	-6.6	4	7.2	15	69	67	61	63	76	79	75	75	71	2	14 . 15
Ottobre	-6.4	-6.4	-6.3	-5.7	-4.8	-5.0	-6.0	-6.2	-5.8	-19.0	28	4.8	1	60	61	56	54	57	69	66	59	60	2	div.
Novembre	-9.7	-10.0	-10.4	-10.0	-9.3	-9.1	-10.4	-10.1	-9.9	-24.6	30	-1.0	8	69	69	69	70	71	70	71	69	70	5	8
Dicembre	-10.7	-10.8	-11.0	-10.8	-10.2	-10.2	-10.8	-10.5	-10.6	-23.0	25	-2.2	17	49	49	59	60	56	58	55	52	55	4	17
Anno	-7.8	-8.0	-8.0	-7.1	-6.3	-6.3	-7.1	-7.6	-7.3	-33.2	II	10.6	VIII	66	64	61	60	64	68	70	69	65	1	div.

	Nuvolosità in ottavi (Okta)									Nebbia Numero dei termini di osservazione									Precipitazioni			Numero dei giorni						
	1h	4h	7h	10h	13h	16h	19h	22h	Media	1h	4h	7h	10h	13h	16h	19h	22h	Totale	Somma	Massimo	Giorno	● *	●* ≧1.0	*	▲	↘	Nuvolosità < 2/10	Nuvolosità > 8/10
Gennaio	3.4	3.6	3.3	3.9	3.9	4.3	4.1	3.5	3.7	8	9	9	8	8	11	8	10	71	—	—	—	—	—	—	—	—	9	8
Febbraio	2.8	3.3	3.1	3.9	4.0	3.8	2.8	2.6	3.3	9	10	11	9	7	10	6	8	70	—	—	—	—	—	—	—	—	7	—
Marzo	3.4	3.8	4.1	4.5	4.7	4.8	4.8	4.0	4.3	11	13	11	13	15	13	13	13	102	—	—	—	—	—	—	—	—	8	11
Aprile	4.7	4.0	4.1	4.4	4.9	5.5	5.6	5.0	4.8	16	13	10	12	14	17	17	16	115	—	—	—	—	—	—	—	—	3	12
Maggio	4.3	3.7	3.3	3.5	4.4	5.0	4.9	4.4	4.2	14	11	10	6	9	15	15	16	96	—	—	—	—	—	—	—	1	7	8
Giugno	4.7	4.2	3.5	4.5	5.5	5.9	6.0	5.5	5.0	17	13	9	12	12	13	16	18	110	—	—	—	—	—	—	—	2	—	9
Luglio	3.7	3.0	2.7	3.3	4.6	5.3	5.2	4.3	4.0	10	6	7	7	15	14	15	12	86	—	—	—	—	—	—	—	6	6	5
Agosto	3.8	3.9	4.0	4.5	5.3	5.5	5.8	4.7	4.7	12	10	9	11	12	12	15	13	94	—	—	—	—	—	—	—	5	4	10
Settembre	3.0	2.6	3.4	3.6	4.6	5.2	4.2	3.0	3.7	8	8	8	10	13	13	14	9	83	—	—	—	—	—	—	—	2	8	6
Ottobre	2.7	2.8	2.7	3.1	3.4	3.9	3.7	3.5	3.2	8	8	7	7	8	10	9	11	68	—	—	—	—	—	—	—	—	11	4
Novembre	2.9	2.7	2.8	3.6	3.8	3.8	2.7	2.4	3.1	8	9	8	6	6	11	10	10	68	—	—	—	—	—	—	—	—	12	4
Dicembre	1.5	1.8	1.7	3.0	2.9	2.4	1.6	1.4	2.0	2	2	2	2	5	4	2	2	21	—	—	—	—	—	—	—	—	18	1
Anno	3.4	3.3	3.2	3.8	4.3	4.6	4.3	3.7	3.8	123	112	101	103	124	143	140	138	984	—	—	—	—	—	—	—	16	93	78

	Direzione del vento													Velocità del vento in nodi								
	350° -10°	20° -40°	50° -70°	80° -100°	110° -130°	140° -160°	170° -190°	200° -220°	230° -250°	260° -280°	290° -310°	320° -340°	Calme	1h	4h	7h	10h	13h	16h	19h	22h	Media
Gennaio	19	46	27	9	—	12	36	24	23	19	17	15	1	18.9	18.4	18.3	17.7	18.2	18.1	18.8	18.4	18.3
Febbraio	16	91	32	11	4	18	25	14	4	1	—	5	11	16.9	17.5	19.2	18.9	15.3	15.1	16.1	16.5	16.9
Marzo	10	75	15	2	9	32	22	29	3	1	11	22	17	17.3	18.2	18.0	17.6	17.7	18.3	18.9	16.4	17.8
Aprile	10	78	20	8	5	13	52	32	4	3	4	3	8	15.4	14.6	15.1	14.0	15.0	15.0	14.7	16.6	15.0
Maggio	7	59	55	3	2	15	26	44	10	1	3	—	23	13.9	13.0	11.6	11.9	10.3	12.9	14.1	13.2	12.6
Giugno	8	53	52	3	2	4	45	40	11	6	1	7	8	13.6	14.4	13.0	13.0	13.7	13.0	12.4	14.6	13.5
Luglio	1	46	39	—	—	12	52	63	7	2	6	6	14	13.6	13.4	11.7	10.8	9.4	11.2	13.2	15.4	12.3
Agosto	8	29	11	—	—	5	61	60	29	8	19	8	10	18.5	18.1	16.8	16.6	15.4	15.3	17.0	18.1	17.0
Settembre	22	19	31	10	11	13	62	24	9	2	1	8	28	16.7	17.4	15.7	15.3	13.6	12.5	10.8	14.9	14.6
Ottobre	13	77	32	6	7	9	52	27	6	3	6	3	7	13.5	13.4	14.4	13.2	11.9	10.5	11.8	13.3	12.7
Novembre	4	84	35	11	8	5	36	14	10	9	2	2	20	13.1	13.7	12.2	12.4	14.0	15.2	14.4	16.6	13.9
Dicembre	7	105	24	4	—	12	39	21	10	4	5	7	10	14.4	17.3	16.9	15.1	13.1	13.2	14.6	14.3	14.8
Anno	125	762	373	67	48	150	508	392	126	59	75	86	157	15.5	15.8	15.2	14.7	14.0	14.2	14.7	15.7	15.0

$\lambda = 8° 53'$, $\beta = 46° 10'$, $H_p = 199$ m, $h_f = 1.5$m

Locarno-Aeroporto

1956	900 mb + Pressione atmosferica in Millibar													Termometro Minima			Termometro Massima		
	1h	4h	7h	10h	13h	16h	19h	22h	Media	Minimo	Giorno	Massimo	Giorno	Media	Minimo	Giorno	Media	Massimo	Giorno
Gennaio	93.5	93.1	92.8	93.7	93.0	92.0	92.7	93.2	993.0	976.9	31	1007.9	4	−2.1	−7.4	8	6.5	13.0	19
Febbraio	87.9	87.6	87.8	88.6	88.0	86.8	87.4	88.4	987.8	968.8	13	1007.9	5	−6.7	−15.5	12	3.1	18.5	29
Marzo	93.6	93.2	93.1	93.3	92.6	91.4	92.0	93.2	992.8	984.6	4	1003.8	29	0.4	−7.4	13	11.0	23.8	3
Aprile	87.9	87.4	87.7	87.7	87.0	86.0	86.2	87.3	987.2	972.7	6	1002.5	9	4.1	−4.2	8	13.9	21.4	30
Maggio	95.4	95.5	96.0	95.5	94.6	93.5	93.7	95.2	994.9	984.7	25	1007.0	6	9.4	3.7	3	22.0	27.6	9
Giugno	92.5	92.4	92.8	92.5	92.0	91.1	91.2	92.4	992.1	985.8	1. 8	998.5	11	11.3	6.4	9	22.8	27.3	2
Luglio	91.9	91.7	92.0	91.9	91.2	90.5	90.4	91.7	991.4	983.0	20	1000.6	26	14.0	10.6	3. 15	25.5	30.5	25
Agosto	89.7	89.4	89.9	89.9	89.3	88.2	88.2	89.6	989.3	978.0	23	1000.0	9	14.5	6.8	31	24.7	29.4	10
Settembre	95.7	95.1	95.3	95.7	95.2	94.2	94.5	95.7	995.2	986.2	26	1002.6	19 . 20	12.0	6.6	29	22.0	28.3	13
Ottobre	96.9	96.5	96.7	97.2	96.1	95.1	95.9	96.7	996.4	978.6	30	1009.9	22	3.3	−2.7	29	16.5	23.6	1
Novembre	93.6	93.1	93.1	93.9	92.9	92.1	92.8	93.3	993.1	975.5	29	1004.0	25	1.5	−3.6	9	10.1	16.5	6
Dicembre	99.4	98.9	99.1	99.7	98.7	97.6	98.6	99.3	998.9	988.3	3	1010.5	18	−3.8	−10.5	26	7.8	20.2	4
Anno	93.2	92.8	93.0	93.3	92.6	91.5	92.0	93.0	992.7	968.8	II	1010.5	XII	4.8	−15.5	II	15.5	30.5	VII

	Temperatura dell'aria													Umidità relativa									
	1h	4h	7h	10h	13h	16h	19h	22h	Media	Minimo	Giorno	Massimo	Giorno	1h	4h	7h	10h	13h	16h	19h	22h	Media	Minimo	Giorno
Gennaio	0.3	−0.2	−0.6	0.8	4.7	5.0	1.4	0.1	1.4	−6.8	8	11.4	19	86	86	86	84	69	68	82	88	81	28	25
Febbraio	−3.4	−4.4	−5.1	−2.4	1.6	2.4	−0.3	−2.5	−1.8	−15.0	12	18.2	29	70	72	71	65	50	49	57	69	63	20	7
Marzo	3.8	2.5	1.7	5.9	9.0	10.1	7.7	5.5	5.8	−6.8	13	22.8	3	71	76	80	66	53	52	57	65	65	19	8
Aprile	7.0	5.6	5.2	10.1	12.3	13.0	11.3	9.0	9.2	−3.0	9	20.4	30	76	81	81	64	57	56	59	67	68	22	7
Maggio	12.4	10.8	11.8	17.3	19.6	21.0	19.3	15.2	15.9	4.8	16	27.2	9	71	75	76	57	52	50	52	62	62	28	11
Giugno	14.6	12.7	14.1	18.5	20.8	21.7	20.2	16.9	17.4	6.9	9	26.6	2	78	82	79	60	55	53	60	72	67	27	21
Luglio	17.0	15.4	16.3	21.2	23.6	24.8	23.1	18.9	20.0	11.2	22	30.3	25	87	89	87	63	57	58	65	83	74	28	3
Agosto	16.8	15.9	15.8	20.1	23.0	23.8	21.6	18.5	19.4	8.2	31	29.1	10	88	88	87	69	61	61	71	83	76	30	3
Settembre	14.0	13.5	13.1	17.9	20.3	21.3	18.3	15.3	16.7	8.2	29 . 30	28.3	13	91	91	92	72	63	62	78	89	80	36	13
Ottobre	6.5	5.4	4.3	10.7	15.3	15.6	10.5	8.2	9.6	−2.0	29	22.3	1	88	90	92	70	51	54	76	84	76	26	6. 28
Novembre	3.7	3.6	2.6	4.9	8.5	9.0	5.9	4.6	5.3	−2.8	4. 9. 27	15.8	6	82	81	85	80	63	62	77	78	76	18	29
Dicembre	−1.1	−1.4	−1.5	0.2	5.6	6.2	1.6	−0.5	1.1	−9.8	26	18.2	4	87	85	85	84	59	57	77	85	77	24	23
Anno	7.6	6.6	6.5	10.4	13.7	14.5	11.7	9.1	10.0	−15.0	II	30.3	VII	81	83	83	70	58	57	67	77	72	18	XI

	Nuvolosità in ottavi (Okta)									Nebbia — Numero dei termini di osservazione									Precipitazioni			Numero dei giorni						
	1h	4h	7h	10h	13h	16h	19h	22h	Media	1h	4h	7h	10h	13h	16h	19h	22h	Totale	Summa	Maximo	Giorno	● *	●* ≧1.0	*	▲	⌇	Nuvolosità < 2/10	Nuvolosità > 8/10
Gennaio	4.1	3.8	3.9	4.5	4.2	4.9	3.9	4.1	4.2	1	1	1	1	1	1	1	1	8	56	22	9	10	9	3	—	—	6	9
Febbraio	3.6	3.1	3.2	4.4	4.1	4.6	3.9	3.2	3.8	—	1	1	—	—	—	—	—	2	8	2	19	5	4	5	—	—	5	5
Marzo	3.4	4.0	4.9	4.6	4.1	4.2	4.4	3.4	4.1	—	—	—	—	—	—	—	1	1	248	97	22	9	8	—	—	—	10	10
Aprile	4.5	4.6	4.6	4.3	4.7	5.3	5.6	4.6	4.8	—	2	2	—	—	—	—	—	4	301	85	16	10	10	—	—	—	5	10
Maggio	2.5	3.6	3.7	3.9	4.2	4.6	3.8	2.4	3.6	—	—	—	—	—	—	—	—	—	95	26	22	8	8	—	—	2	6	5
Giugno	3.5	3.7	4.1	4.2	4.6	5.2	4.8	4.6	4.3	—	—	—	—	—	—	—	—	—	190	71	30	12	10	—	—	4	1	6
Luglio	3.4	3.5	3.6	3.8	4.4	4.2	4.0	3.6	3.8	—	—	—	—	—	—	—	—	—	376	95	13	11	10	—	—	7	8	4
Agosto	4.2	4.1	5.1	4.3	4.5	4.7	4.4	4.1	4.4	—	—	—	—	—	—	—	—	—	360	143	27	15	15	—	—	9	3	5
Settembre	4.1	4.4	5.2	4.3	4.9	4.5	4.4	3.3	4.4	1	—	1	—	—	—	—	—	2	175	72	25	7	6	—	—	2	6	6
Ottobre	2.2	2.4	3.1	3.0	3.5	3.5	3.4	2.5	3.0	1	1	3	—	—	—	—	1	6	89	35	25	7	6	—	—	—	12	3
Novembre	4.0	4.2	5.1	5.2	5.0	4.7	4.4	4.4	4.6	—	—	—	—	1	1	2	—	4	23	11	11	7	7	—	—	—	6	11
Dicembre	2.2	2.0	3.0	3.4	3.3	3.0	2.3	2.2	2.7	—	—	—	—	—	—	—	—	—	12	8	31	2	2	2	—	—	13	3
Anno	3.5	3.6	4.1	4.2	4.3	4.5	4.1	3.5	4.0	3	5	8	1	2	2	3	3	27	1933	143	VIII	103	95	10	—	24	81	77

	Direzione del vento													Velocità del vento in nodi								
	350° -10°	20° -40°	50° -70°	80° -100°	110° -130°	140° -160°	170° -190°	200° -220°	230° -250°	260° -280°	290° -310°	320° -340°	Calme	1h	4h	7h	10h	13h	16h	19h	22h	Media
Gennaio	1	1	22	77	38	18	2	3	11	11	3	4	57	3.2	2.5	1.9	2.6	2.3	2.3	2.1	1.5	2.3
Febbraio	1	4	22	45	47	14	2	3	22	23	7	10	32	4.1	4.1	3.6	3.2	4.1	4.4	2.6	3.2	3.7
Marzo	5	6	9	57	31	15	8	1	16	54	9	8	29	2.9	2.4	2.8	3.6	5.7	5.5	4.8	4.1	4.0
Aprile	4	6	10	38	14	15	4	—	19	55	11	17	47	1.4	1.9	1.8	3.5	4.5	5.7	3.6	2.4	3.1
Maggio	4	7	12	34	29	11	5	1	17	61	9	23	35	2.2	2.8	1.5	3.7	4.5	4.1	3.1	2.3	3.0
Giugno	3	6	13	39	36	10	5	2	17	46	10	4	49	2.6	3.4	2.7	3.4	5.5	5.6	3.8	3.3	3.8
Luglio	3	7	16	53	17	12	4	3	16	55	11	2	49	2.5	2.7	2.0	2.7	4.1	3.4	3.1	2.5	2.9
Agosto	4	5	24	43	28	7	4	3	25	41	8	11	45	2.9	3.4	1.8	2.2	3.1	3.2	2.8	2.5	2.7
Settembre	6	9	11	51	21	5	5	—	20	46	6	6	54	2.0	2.3	1.9	1.8	3.0	1.9	1.7	1.4	2.0
Ottobre	—	7	15	63	37	15	9	2	15	31	—	6	48	2.0	2.5	1.9	1.6	2.9	1.7	2.4	2.8	2.2
Novembre	9	5	15	73	33	14	3	—	11	16	2	4	55	2.0	2.7	2.3	2.0	2.5	2.6	2.8	2.5	2.4
Dicembre	2	2	19	60	45	15	2	1	8	16	2	6	70	1.5	2.1	1.7	1.4	1.8	2.4	2.2	1.5	1.8
Anno	42	65	188	633	376	151	53	19	197	455	78	101	570	2.4	2.7	2.2	2.6	3.7	3.6	2.9	2.5	2.8

Anhang

zum Jahrgang 1956 der Annalen der

Schweizerischen Meteorologischen Zentralanstalt

Ergänzende Beobachtungen und Abhandlungen

Nr. 1

Übersicht über den Witterungsverlauf in der Schweiz im Jahre 1956

Die mittlere *Temperatur* des Jahres 1956 blieb im ganzen Land beträchtlich unter dem Normalwert. Die Abweichungen liegen meist zwischen ½ und 1 Grad. Die lange Serie ununterbrochen warmer Jahre, welche von 1942 bis 1955 gedauert hatte, ist damit zum Abschluß gekommen. Der Höhepunkt der 14jährigen Wärmeperiode war in den Jahren 1947—1949 erreicht worden, worauf die Jahresmittel wieder zu sinken begannen. Großen Anteil am Wärmedefizit hatte der Februar, der eine ungewöhnliche Kälte brachte, welche bisher in diesem Monat seit Beginn der meteorologischen Beobachtungen noch nie erreicht worden war (vgl. Februar-Übersicht). Ein ausführlicher Bericht über dieses ungewöhnliche Ereignis wird voraussichtlich im Lauf des Jahres 1958 in der schweizerischen Monatszeitschrift «Wasser- und Energiewirtschaft» veröffentlicht werden. Auch die Monate Juni, August und November brachten allgemein unternormale Temperaturen, während Januar, September und Dezember Überschüsse aufwiesen. Der Sommer (Juni—August) gesamthaft betrachtet gehörte zu den sehr kalten Sommern, wie sie seit der Periode 1909—1926 nicht mehr aufgetreten waren, wurde doch z. B. in Basel seit dem Jahre 1913 kein so tiefes Sommermittel der Temperatur festgestellt.

Die *Niederschlagsmengen* zeigen im Jahresmittel keine großen Abweichungen vom Normalwert (vgl. ausführlichen Bericht im Anhang 3). Kleineren Überschüssen, besonders im Norden und Nordosten, stehen etwas zu niedrige Summen in anderen Gebieten, vor allem in den südlichen und westlichen Landesteilen gegenüber, doch bleiben die Werte in bezug auf das Mittel der Jahre 1864—1940 größtenteils zwischen 85 und 110 %. Allgemein trocken waren der Februar, der November (außer im Appenzellerland) und der Dezember, in manchen Gebieten auch März und Juni. Überschüsse brachten vor allem der August sowie in den meisten Gebieten Januar und Juli.

Die *Sonnenscheindauer* blieb beidseits der Alpen um einige Prozente unter dem normalen Betrag, da besonders südlich der Alpen die meisten Monate ein Defizit aufwiesen, besonders Juni, August und November, sowie im allgemeinen (mit Ausnahme von Graubünden) auch der Juli. Sonniger als normal waren die Monate Mai und Dezember, mit Ausnahme des Tessins auch der September. Wie bei der Temperatur sind somit besonders die Sommermonate am Jahresdefizit beteiligt. Da diese bevorzugten Reisemonate im Gedächtnis großer Bevölkerungsschichten besser zu haften pflegen als die übrigen Jahreszeiten, hinterließ das Jahr 1956 im allgemeinen einen ungünstigen Eindruck, mehr als ihn die Jahresmittelwerte zahlenmäßig erkennen lassen.

Der Monat JANUAR bildete temperaturmäßig die Fortsetzung des Dezembers 1955, brachte er doch den Niederungen der Alpennordseite Temperaturüberschüsse von ungefähr 3° in bezug auf das Mittel 1864—1940. Etwas kleiner waren die Abweichungen in den Alpentälern (etwa 2°), auf den Berggipfeln (etwa 1°) sowie im Tessin (½—1¼°). Die Bewölkungsmenge lag im allgemeinen 5—20% über dem Durchschnitt, auf der Alpensüdseite 20—30%. Die Sonnenscheindauer war dementsprechend größtenteils etwas zu gering. Sie erreichte meist 80—90% des Mittelwertes. Sehr unterschiedliche Verhältnisse finden wir beim Niederschlag, indem die mittleren und südlichen Bündnertäler teilweise nur etwa ¾ der Normalmengen verzeichneten, während in den übrigen Landesteilen übernormale Mengen gemessen wurden. Mehr als 150% erhielten das nordöstliche Mittelland, die Niederungen westlich der Emme sowie das mittlere Wallis. An den Gestaden des Genfersees wurde sogar teilweise die doppelte Menge überschritten.

Der Monat enthielt mehrere Witterungsabschnitte. Im ersten Monatsdrittel herrschte vielfach Bise mit Hochnebel im Mittelland und sonnigem Wetter in der Höhe. Das zweite und das letzte Monatsdrittel waren gekennzeichnet durch eine allgemeine Westströmung, welche gegen das Monatsende unter dem Einfluß der von Rußland herannahenden Kaltluftmassen zunehmend auf Nordwest drehte. Die Zeit vom 8.—18. brachte häufige, meist aber nur kleinere Niederschläge, vor allem in der West- und Südschweiz, besonders am 9., 13. und vor dem Einbruch einer Kaltluftstaffel am 18. Die Tagesmengen lagen vorwiegend unter 20 mm. Am 17./18. wurde neben den südwestlichen Landesteilen auch das Voralpengebiet stärker beregnet bzw. oberhalb 1000 m verschneit. Die vier Tage vom 20.—23. waren im allgemeinen sonnig. Der zweite Kaltlufteinbruch vom 25. brachte nur kleinere Niederschlagsmengen, dagegen verursachte ein über Mitteleuropa hinwegziehendes Tief am 26. und 27. nördlich der Alpen kräftige Niederschläge, in den Niederungen bis gegen 1200—1500 m Höhe Regen. Dann folgte am 29. der letzte Ansturm der milden Meeresluftmassen gegen die von Nordosten langsam heranrückende Kaltluft mit Regen und Schnee, vor allem in der Nordostschweiz, gefolgt von dem in seiner Art ungewöhnlichen, äußerst scharfen Wetterwechsel zu Kaltluft und Bise am letzten des Monats.

Gesamthaft zeigt der Januar das Bild eines zu warmen, unbeständigen Monats mit zu geringer Zahl von heiteren und zu großer Zahl von trüben und Niederschlagstagen, wie es für vorherrschend westliche Luftströmungen im Winter charakteristisch ist.

Das bisher tiefste FEBRUAR-Monatsmittel der Temperatur, welches am Alpensüdfuß und auf den Berggipfeln auf das Jahr 1901, sonst auf das Jahr 1895 fällt, wurde vom ungewöhnlichen Februar 1956 allgemein unterboten, nördlich der Alpen meist um 1—2 °, am Alpensüdfuß um 0—1 °. Die tiefsten Tagesmittel, welche im Mittelland — 18 bis — 23 ° erreichten, lagen zwar im ebenfalls sehr kalten Februar 1929 strichweise noch etwas tiefer, doch zeichnete sich der Februar 1956 durch eine extreme Zahl von Eistagen aus (Tage an denen die Temperatur ständig unter 0° bleibt). In den Niederungen der Alpennordseite betrug diese Zahl größtenteils 23 bis 26 Tage gegenüber 3 bis 4 im langjährigen Mittel.

Nicht nur die Temperatur, auch die Niederschläge wichen stark vom Normalwert ab, indem die Westschweiz, die Walliser Täler, das Tessin, das Engadin und die südlichen Bündner Täler weniger als 20 % der Normalmengen erhielten, die Jurahöhen und der westliche Alpennordhang 20—30 %, das östliche Alpengebiet 30 bis 40 % und die Nordostschweiz um 40—60 %, lokal bis 85 %. Die Bewölkung war auf den Höhenstationen teilweise etwas zu klein (80—90 % des Mittels 1901—1940), sonst etwas zu groß Westschweiz 100—110 %, Nordostschweiz und Tessin 110—120 %). Dementsprechend war die Sonnenscheindauer auf den Bergen überdurchschnittlich (meist 120—140 %), während sie in den Niederungen zum Teil unter dem Mittelwert blieb.

Der Monat war charakterisiert durch kräftige Hochdruckgebiete, welche meist über Skandinavien, teilweise auch über Nordrußland und den britischen Inseln lagen und im ersten Drittel sowie gegen Ende des Monats bis nach Mitteleuropa herüberreichten. Die bis zum 12. in der Westschweiz vielfach außerordentlich kräftige Bise mit Durchschnittsgeschwindigkeiten bis zu 20 m/sec in Genf brachte zwei große Kaltluftvorstöße mit Höhepunkt am 2. und 10., wobei die Temperaturen im Flachland beim ersten Einbruch auf — 15 bis — 20 °, beim zweiten sogar teilweise einige Grade unter — 20 fielen. In der Höhe wurde das Minimum erst am 14. mit — 36 ° auf dem Jungfraujoch erreicht. Die zweite Monatshälfte brachte nach einer erneuten Verschärfung der Kälteperiode um den 20. einen langsamen Temperaturanstieg, eine Drehung des Windes in der Höhe auf westliche bis südliche Richtungen, am 24. sogar zeitweise Föhn im Rheintal. Das Mittelland lag häufig unter einem Nebelmeer bis gegen 1000—1500 m Höhe. Vom 26. an lebte die Tiefdrucktätigkeit über Nordeuropa rasch auf und der letzte Tag, der 29. brachte zum ersten Mal in den Niederungen der Alpennordseite ein Tagesmittel der Temperatur über Null, während im Tessin schon vom 20. Februar an diese Grenze im Tagesdurchschnitt dauernd überschritten wurde. Am 29. wurden dort sogar ungefähr 10 ° erreicht.

Der Übergang von der Kaltluft zur Warmluft am Ende des Monats erfolgte ebenso plötzlich wie der Einbruch der Kaltluft am 31. Januar. Die ungewöhnlich tiefen Werte des Temperatur-Monatsmittels sind nicht nur durch die große Intensität und lange Dauer der Kälteperiode bedingt, sondern auch durch den Umstand, daß die 29tägige Periode sich fast genau mit dem Monat Februar deckte.

Im Vergleich zu den langjährigen Mittelwerten lagen die Temperaturen im MÄRZ 1956 in den Niederungen der Alpennordseite etwa 1/2—1 Grad über dem Durchschnitt, südlich der Alpen dagegen um etwa einen Grad darunter. Das höhere Alpengebiet weist nur geringe Abweichungen auf. Die Niederschläge erreichten im Tessin ungefähr den doppelten Normalbetrag. Im nordöstlichen Alpengebiet war die Menge ebenfalls größtenteils übernormal, meist 110–140 %. Die übrigen Landesteile blieben jedoch verhältnismäßig trocken, besonders der Juranordfuß (Gegend von Basel), das Mittelland westlich von Bern, das mittlere Wallis und das Oberengadin, wo weniger als die Hälfte der durchschnittlichen Menge fielen und sich die Trockenheit des Monats Februar fortsetzte.

Die Sonnenscheindauer blieb in der südöstlichen Landeshälfte etwas unter dem Durchschnitt, während sie in den nordwestlichen Gebieten meist etwas über dem Mittel lag.

Vier verschiedene Wetterabschnitte geben dem Monat das Gepräge. Bis zum 7. herrschte über Mitteleuropa eine sehr kräftige Westströmung, welche auch in den Niederungen der Nord- und Ostschweiz vom 2.–4. große Windgeschwindigkeiten brachte, so daß die mittlere Windgeschwindigkeit des Monats in Zürich z. B. über dem langjährigen Durchschnitt liegt. Vom 5. März an erfolgte eine allmähliche Winddrehung auf Nordwest und damit die Zufuhr polarer Luftmassen. Vom 8.–15. blieb die Temperatur im Mittelland wieder meist unter Null und auf dem Jungfraujoch wurden am 12. —26 Grad gemessen. Ein Hochdruckgebiet lag in dieser zweiten Periode über Mittel- und Nordeuropa und die Winde drehten von Nordost über Nord auf Nordost. Während zu Beginn des Monats in der Westwindperiode die östlichen Teile der Alpennordseite häufig Niederschläge erhalten hatten, blieb die ganze Schweiz in der zweiten Periode vom 8.–18. beinahe niederschlagsfrei. Dann zog sich das Hochdruckgebiet von Nordeuropa nach Rußland zurück und die vom Ozean nach Westeuropa vorstoßenden Tiefdruckzentren verursachten zunächst allmähliche Erwärmung und dann die Ausbildung einer lang dauernden und sehr kräftigen Föhnlage. Dabei fiel im Tessin in der Niederung vom 19.–25., also in einer Woche, etwa 200–250 mm Regen, beinahe das Doppelte der normalen Monatsmenge in dieser kurzen Zeitspanne! Dabei schneite es anfäglich bis gegen 300 m hinunter!

Die letzte Witterungsperiode vom 25.–31. brachte zwar nochmals Ansätze zu einer Föhnlage am 29., doch blieben sonst die Druckunterschiede in Mitteleuropa gering. Das Wetter war beidseits der Alpen wieder teilweise sonnig und die Temperaturen lagen größtenteils über dem Normalwert. Erst ganz am Ende, als Auftakt zu Ostern, erfolgte ein neuer Kaltluftvorstoß aus Norden und zugleich stellte sich am 31. die erste Gewitterlage dieses Jahres ein.

Die Durchschnittstemperaturen lagen im APRIL in der ganzen Schweiz unter dem Normalwert, auf der Alpennordseite meist 1 bis 1 1/2 Grad, südlich der Alpen ungefähr 2 Grad tiefer. Das mittlere Wallis, der Waadtländer Jura und besonders Graubünden erhielten unternormale

Niederschlagsmengen, Mittelbünden und das Engadin nur etwa die Hälfte, die übrigen Gegenden $^2/_3$—$^4/_5$ des langjährigen Mittelwertes. Dagegen wurden die übrigen Gebiete der Schweiz meist reichlich mit Wasser versorgt, wobei die Mengen nördlich der Alpen zwischen 95 und 150% schwankten, im Tessin, das schon im März bedeutende Niederschläge erhalten hatte, nochmals 150 bis 200% erreichten. Dementsprechend blieb die Sonnenscheindauer vor allem am Alpensüdfuß, im Wallis und in Graubünden unter dem gewohnten Betrag (etwa 80—85% des Mittelwertes). Auf der Alpennordseite wurden meist 95—100% erreicht.

Wenn wir den Monat nach dem Temperaturverlauf unterteilen, können wir vier Hauptwitterungsperioden unterscheiden: Zwei Kälteperioden auf der Alpennordseite vom 5.—8. und vom 17.—24., dazwischen eine kräftige Erwärmung mit Höhepunkt am 12. sowie eine zweite schwächere Wärmeperiode um den 27. Der erste Kälteeinbruch erfolgte auf der Ostseite eines Hochdruckgebietes, welches zu Beginn des Monats auf dem Atlantik westlich der britischen Inseln lag. Als sich das Zentrum des hohen Druckes nach unserem Gebiet verlagerte, trat am 8. Aufheiterung und Erwärmung ein, doch verschlechterte sich die Lage vom 12. an wieder, da Tiefdruckgebiete vom südlichen Atlantik her bis nach Mitteleuropa übergriffen. Die südlichen Höhenwinde verursachten besonders am Alpensüdhang Niederschläge, vor allem, als das Zentrum des tiefen Druckes vom 16. zum 17. die Schweiz überquerte. Innert 4 Tagen, vom 14. bis 17., fielen in Locarno und Lugano etwa 240 mm Niederschlag! Die Südseite der Alpen war dagegen nachfolgend beim Kaltlufteinbruch auf der Westseite des Tiefs begünstigt, indem die Temperaturen, wie schon beim ersten Kältevorstoß, über Null Grad blieben, während sie nördlich der Alpen, besonders am 20. und 21., in Kältemulden wieder beträchtlich unter Null fielen, im Wallis in Bodennähe bis — 9°! Das letzte Monatsdrittel brachte veränderliches Wetter bei flacher Druckverteilung über Europa, wobei sich am 27. und 28. vereinzelte Gewitter bildeten, während im übrigen, mit Ausnahme des 15., die Gewittertätigkeit infolge der tiefen Temperaturen noch gering blieb.

Der Monat MAI brachte beidseits der Alpen etwas übernormale Temperaturen. Die Überschüsse liegen größtenteils zwischen 1 und 1½°, in der Ostschweiz zwischen 0 und ½°. Die Niederschlagsmengen waren nördlich der Alpen ebenfalls etwas überdurchschnittlich. Die Abweichungen sind in der Zentral- und Ostschweiz im allgemeinen nicht bedeutend, indem 100 bis 130 % des langjährigen Mittels gemessen wurden, während im Westen des Landes sowie am Juranordfuß meist 120 bis 150 %, stellenweise sogar über 200 % fielen. Dagegen weisen die südlichen Gebiete Graubündens und des Wallis sowie das Tessin unternormale Mengen auf. Im Südtessin fielen nur etwa ⅓, sonst ⅔ des Normalwertes. Die Sonnenscheindauer war in der ganzen Schweiz zu groß. Nördlich der Alpen wurden 110—120 %, im Engadin etwa 125 % und im Tessin 135—140 % des Mittelwertes registriert. Die durchschnittliche Bewölkungsmenge war dementsprechend zu gering. Sie erreichte nördlich der Alpen 80—90 %, im Tessin 75—80 % des langjährigen Mittelwertes.

Wettermäßig zeichnete sich der Monat Mai durch häufige Wechsel der Wetterlagen aus. Er brachte in seinem Verlauf nördlich der Alpen vier warme Perioden mit Höhepunkten am 8./9., 17., 22. und 28., dazwischen ebensoviele kühle Perioden (1., 13., 19., 25.). Vom 2. zum 4. Mai baute sich ein Hochdruckgebiet als Ausläufer des Azorenhochs über Mitteleuropa auf. In seinem Bereich herrschte vom 5. bis 9. schönes, trockenes und zunehmend wärmeres Wetter. Dann folgte eine Periode mit nordwestlichen Strömungen und kühlem, auf der Alpennordseite regnerischem Wetter bis zum 13. Mai. Ein erneuter Vorstoß hohen Druckes vom Atlantik her brachte wieder sonnige Tage vom 14. bis 17. Ein Kaltlufteinbruch aus dem Polarraum verursachte sowohl am Abend des 17. als auch am 18. Gewitterstörungen mit verbreiteten Niederschlägen, und der Pfingstsamstag brachte in der ganzen Schweiz Regenwetter ohne einen Sonnenstrahl. Am Sonntag hatte sich der Kaltlufteinbruch, der diese Schlechtwetterzone mit sich brachte, bis nach Oberitalien ausgebreitet und das Wetter war beidseits der Alpen wieder teilweise, am Montag nördlich der Alpen sogar sehr sonnig (10—14 Std.). Im Tessin machte sich dagegen die Schlechtwetterzone von Italien her wieder bemerkbar, da die Winde auf südliche Richtungen gedreht hatten. Die folgenden Tage vom 22. bis 25. brachten bei tiefem Luftdruck über Mitteleuropa veränderliches, zeitweise gewitterhaftes Wetter. Am 22. wurde besonders das Juragebiet von schadenbringenden Gewittern heimgesucht, dann setzte sich erneut eine Südströmung mit rascher Erwärmung durch, so daß am 28. das Thermometer in den Niederungen die 30-Grad-Grenze etwas überschritt. Der Einbruch kühlerer und feuchter Luftmassen vom Atlantik her brachte am 29. und 30. verbreitet Gewitter, strichweise, besonders in den Kantonen Thurgau und Bern, mit schwerem Hagel.

Der JUNI brachte nördlich der Alpen, besonders in den östlichen Teilen des Landes, eine etwas mehr als 2 Grad unternormale Temperatur, wie es in dieser Jahreszeit seit 1933 nicht mehr vorgekommen ist. Im Wallis sowie im Genferseegebiet und vor allem im Tessin war es verhältnismäßig etwas wärmer, dort liegen die gemessenen Werte meist nur etwa 1½ bzw. 1 Grad unter dem Durchschnitt. Die Niederschlagsmengen überschreiten das langjährige Mittel nur in der Zentralschweiz, im nordöstlichen Alpengebiet und in Graubünden, wo meist etwa 110—130% des Normalwertes gemessen wurden, während das mittlere Wallis nur einen Drittel des Normalen, die übrigen Landesteile meist etwa $^2/_3$ bis $^3/_4$ des Mittelwertes erhielten. Die Sonnenscheindauer war allgemein zu klein, besonders in den östlichen Landesteilen. Dort wurden 60—70 % der mittleren Dauer verzeichnet, westlich von Bern—Basel 70—80 %, am Genfersee, im Wallis und im Oberengadin 80—90 % und im Tessin 90—100 %. Entsprechend war die Bewölkung allgemein zu hoch. Sie erreichte nördlich der Alpen meist 120—130 %, im Genferseegebiet, im Wallis und im Tessin 105—110 % des langjährigen Durchschnitts.

Der Monat brachte nördlich der Alpen nur eine ein-

ge Wärmeperiode vom 4.—7., als eine südwestliche Höenströmung subtropische Warmluft nach Mitteleuropa ihrte. In der übrigen Zeit herrschten vielfach westliche is nordwestliche Winde, zeitweise auch nördliche Ströungen, welche kühle Luftmassen vom nördlichen Atntik heranbrachten. Der Kaltlufteinbruch erfolgte sehr lötzlich am 7./8. Juni mit einem Temperaturfall von twa 9 Grad im Tagesmittel. Von diesem Zeitpunkt an lieb das Wetter bis gegen das Monatsende unbeständig it häufigen, wenn auch meist nicht sehr ergiebigen Niederschlägen. Wesentlich begünstigt waren in dieser Periode die Westschweiz und der Alpensüdfuß. Südlich er Alpen stieg das Thermometer in der zweiten Monatsälfte nachmittags vielfach über die 25-Gradgrenze, und er Vergleich der Sonnenscheindauer im Gesamtmonat wischen Ostschweiz (130—140 Std.), dem westlichen Genferseegebiet und dem Tessin (230—250 Std.) zeigt ns deutlich die Unterschiede, welche bei den sommerichen Wetterlagen mit Nordwest- bis Nordströmung zwichen den einzelnen Gebieten auftreten. Die letzten Monatstage brachten wieder einen Lichtblick für die ganze Schweiz, war doch das Wetter vom 26. an in den meisten Orten sonnig, ähnlich wie vor dem Kaltlufteinbruch vom 2. bis zum 5. Dies waren jedoch die beiden einzigen Perioden mit einigermaßen beständiger Witterung.

Temperaturmäßig zeigt der JULI verhältnismäßig geringe oder nur mäßige Abweichungen vom langjährigen Mittel. Die meisten Gebiete weisen ein mäßiges Defizit auf von der Größenordnung ½ bis 1 Grad, während die Zentralschweiz etwa normale Werte, die Ostschweiz sogar teilweise einen kleinen Überschuß verzeichnet. Bei den Niederschlägen finden wir im Osten strichweise etwas unternormale Werte, vor allem im Rheintal um Sargans (⅔—¾ des langjährigen Mittels). Auch am Alpennordhang weichen die Mengen im allgemeinen nicht stark vom Normalwert ab. Dort zeigen sich geringe Überschüsse (110—130 % des Mittelwertes). Dagegen fielen im Nordwesten und im Süden des Landes viel zu große Regenmengen. Das sonst ziemlich trockene Gebiet von Basel mit einer Normalmenge von 90 mm weist mehr als 200 % dieses Betrages auf. Mit 211 mm wurde dort die höchste bisher registrierte Julimenge gemessen. Auch das übrige Juragebiet, das südöstliche Wallis und das Tessin erreichten Mengen von mehr als 150 % des Mittels. Dementsprechend war die Zahl der Tage mit Niederschlag in den meisten Gegenden etwas größer als im langjährigen Durchschnitt. Größtenteils fielen an etwas mehr als der Hälfte der Tage Regenmengen von mindestens 0,3 mm.

Weniger bedeutend als beim Niederschlag sind die regionalen Unterschiede bei der Sonnenscheindauer, erhielten doch die meisten Orte zwischen 210 und 270 Stunden Sonne. Im Westen und Süden sind es etwa 90—95 %, in Graubünden etwas über 100 % der Normalwerte. Die Bewölkungsmenge war fast im ganzen Gebiet leicht überdurchschnittlich (105—120 % des Mittelwertes).

Von den erhöhten Niederschlagsmengen des Nordwestens und Südens abgesehen, bot somit der Juli ein ziemlich normales Bild in bezug auf den Wetterablauf. Wie meistens um diese Jahreszeit herrschten westliche Strömungen vor, in denen einzelne Störungslinien vom Ozean her in den Kontinent einwanderten und in der Schweiz Regenwetter, zum Teil auch Gewitter auslösten. Schon der 1. und 2. Tag des Monats brachte vor allem dem Westen und Süden des Landes bedeutende Regenmengen, Lugano z. B. 174 mm! Besonders niederschlagsreich und gewitterhaft war die Zeit vom 9.—21., während vorher und nachher, vom 3.—8. und vom 22.—27. zwei längere Schönwetterperioden auftraten. Den Abschluß der zweiten sonnigen Periode bildete ein Vorstoß feuchter und kühler Meeresluft, der am Abend des 27. wieder neue Gewitter, strichweise mit Hagelschlägen, brachte. Noch größere Niederschläge wurden an den meisten Orten am 29. verzeichnet.

Der AUGUST 1956 war sowohl in bezug auf die Temperatur als auch auf den Niederschlag und die Sonnenscheindauer in den meisten Teilen unseres Landes ungewöhnlich. In Graubünden und im Tessin blieb die Temperatur etwa ½° unter dem langjährigen Mittelwert. In den übrigen Landesteilen waren die Abweichungen beträchtlicher, das Defizit betrug in der Nordostschweiz und in den Alpentälern meist ½—1°. Nördlich der Alpen beträgt es sogar 1½—2°. Wir müssen bis in das Jahr 1924 zurückgehen, um noch größere negative Abweichungen festzustellen. Da alle drei Sommermonate ein Wärmedefizit aufweisen, gehört der Sommer gesamthaft ebenfalls zu den kältesten. So wurde z. B. in Basel seit den teilweise ungewöhnlich kalten Sommermonaten am Ende der napoleonischen Zeit in den Jahren 1813 bis 1816 die diesjährige Sommertemperatur nur dreimal, 1843, 1882 und 1909, festgestellt, und seit 1816 war nur der Sommer 1841 noch geringfügig kälter.

Die Niederschläge erreichten in den nördlichen Alpentälern und im Engadin etwa 120—140 % der langjährigen Normalmenge, im Mittelland und am Juranordfuß meist 160—180 % dieses Wertes, im Gebiet der Kantone Aargau und Schaffhausen und im mittleren Wallis etwas mehr als das Doppelte, im nördlichen und mittleren Tessin sogar ungefähr den 2½- bis 3fachen Normalbetrag. Dagegen blieb das Südtessin von den großen Niederschlägen teilweise verschont, so daß dort nur etwa 110—130 % des langjährigen Mittels gemessen wurden. In Locarno wurde die diesjährige Augustmenge des Niederschlages nur einmal im Jahre 1890 seit dem Beginn der Messungen im Jahre 1883 überschritten. Die Zahl der Niederschlagstage liegt im ganzen Land wesentlich über dem Durchschnitt. Die Sonnenscheindauer blieb allgemein beträchtlich unter dem Normalwert, einzig in Mittelbünden und im Engadin wurden etwa 90—95 % des langjährigen Mittelwertes erreicht, im Tessin etwa 85—90 %, in den übrigen Landesteilen aber nur etwa ¾, in der Westschweiz sogar nur ⅔ des langjährigen Durchschnitts (Periode 1921—1950). Bisher haben in diesem Jahrhundert einzig die Jahre 1931 und 1912 in jener Gegend einen ebenso tiefen Wert aufgewiesen. Dementsprechend war die Bewölkung wesentlich stärker als normal, im Nordosten wurden etwa 120—140 % der mittleren langjährigen Menge, im Südwesten und Süden 130—160 % beobachtet.

Das Merkmal des August 1956 war die große Unbeständigkeit der Witterung, das Fehlen längerer trockener Perioden, blieben doch nur die beiden Tage 8. und 9. sowie 15. und 16. allgemein niederschlagsfrei, als sich jeweils für kurze Zeit ein Ausläufer des Azorenhochs nach Mitteleuropa vorschieben konnte. In der übrigen Zeit herrschte häufig in Mitteleuropa eine kräftige Westströmung, welche sogar zeitweise zum Sturm anwuchs. In der Schweiz trat beim Zusammenbruch der Föhnlage vom 27. vor allem in der Jurazone schadenbringender Sturmwind auf. Dieser Tag brachte dem Alpensüdfuß gewaltige Niederschlagsmengen, in der Gegend zwischen Brissago und Biasca über 200 mm.

Der Monat war verhältnismäßig gewitterreich, besonders im Tessin. Der 10. brachte beim Einbruch kalter Luftmassen von Westen her dem ganzen Land starke Gewittertätigkeit und teilweise große Hagelschäden.

Im Gegensatz zu den drei Sommermonaten, welche alle unternormale Temperaturen im größten Teil der Schweiz aufgewiesen hatten, brachte der SEPTEMBER im Vergleich mit dem langjährigen Mittel einen Überschuß von etwa $1^1/_2$ Grad nördlich der Alpen, auf den Berggipfeln sogar teilweise etwa $2^1/_2$ Grad, während der Alpensüdfuß etwa normale Temperaturen aufwies. Die Niederschläge blieben im größten Teil des Landes unter normal, am meisten in der Nordostecke, wo im Bodenseegebiet nur etwa die Hälfte der langjährigen Summe registriert wurde. Auch die übrigen Gebiete der Alpennordseite waren verhältnismäßig trocken mit Niederschlagssummen von $^2/_3$—$^4/_5$ des Normalwertes. Die Jurahöhen verzeichnen dagegen ungefähr die normalen Beträge, und im Genferseegebiet wurden diese sogar wesentlich überschritten, Genf selbst erhielt etwa $1^3/_4$mal die langjährige Summe. Auch im Bergell wurde die $1^1/_2$-fache langjährige Durchschnittsmenge überschritten, während das Unterengadin, die nördlichen Bündner Täler, das Tessin und das mittlere Wallis größtenteils etwas zu trocken waren und das übrige Alpengebiet annähernd normale Verhältnisse aufwies. Die Sonnenscheindauer war mit Ausnahme des Tessins, wo nur 90 bis 95% des langjährigen Durchschnitts erreicht wurden, allgemein übernormal. Meist wurden etwa 105—120% registriert. Entsprechend war die Bewölkung im Tessin etwa normal, im Mittelland rund 10%, im Jura und in den Alpentälern ungefähr 15%, im östlichen Voralpengebiet 20% und im Wallis gar 25% zu niedrig.

Die günstigen Verhältnisse, welche in den genannten Mittelwerten zum Ausdruck kommen, wurden durch eine lange und zwei kürzere Schönwetterperioden bedingt. Der Monat begann zwar gleich mit einer kurzen Schlechtwetterperiode, wobei vor dem Durchgang einer Störungslinie von Südwesten her bei Föhnlage strichweise große Regenmengen verzeichnet wurden, so z. B. in der Gegend von Genf 50—60 mm, auf dem St. Gotthard am 2. 105 mm und im Bergell sogar bis zu 132 mm. Dann folgte bei anhaltend südwestlichen Höhenwinden eine ruhigere Periode bis zum Durchgang einer neuen, mit teilweise sehr heftigen Gewittern und Hagelwettern verbundenen Störung am 10., welche besonders die Gegenden nördlich der Alpen berührte. Eine weitere Störung am 12. und 13. erreichte nur noch die nordöstlichen Landesteile und vom 14.—24. herrschte bei meist hohem Luftdruck trokkenes und, abgesehen von Morgennebeln, allgemein sonniges Wetter im ganzen Land. Nur vom 25.—27. konnte sich die atlantische Störungstätigkeit wieder vorübergehend bis nach Mitteleuropa vorschieben. Wiederum erhielt wie zu Beginn des Monats zuerst der südliche Alpenkamm bei Föhn größere Regenmengen (St. Gotthard am 25. 99 mm, Centovalli bis 139 mm), nachfolgend jedoch, bei der Winddrehung von Süd auf West, verlagerten sich die Niederschläge auf die Alpennordseite. Das Monatsende war durch einen neuen Vorstoß hohen Drucks von den Azoren her mit mildem, sonnigem Wetter gekennzeichnet.

Der OKTOBER brachte der ganzen Schweiz etwas unternormale Temperaturen. Das Defizit ist verhältnismäßig klein im Norden des Landes (etwa 0,3°), während im Alpengebiet und am Alpensüdfuß die Temperatur etwa 0,8—1,0°, stellenweise sogar $1^1/_2$° unter dem langjährigen Mittelwert lag. Die Niederschläge übersteigen in den nördlichen Teilen Graubündens sowie auf der Alpennordseite mit Ausnahme des äußersten Südwestens die normalen Mengen. Meist erreichen sie 110—150%, im Alpenvorland jedoch teilweise 150—200% des Normalbetrages. Nur die inneren Alpentäler, das Wallis, das Oberengadin, das Vorderrheintal sowie vor allem der Alpensüdfuß melden geringe Regenmengen. Im Tessin, im Bergell und in einzelnen Walliser Tälern wurden weniger als die Hälfte, in den oberen Tessiner Tälern strichweise nur knapp ein Viertel der normalen Beträge gemessen. In den südlichen und südöstlichen Landesteilen war zudem die Sonnenscheindauer überdurchschnittlich. Der Überschuß ist im Tessin am größten. Dort wurden 135—140% des langjährigen Mittelwertes erreicht, während das Wallis und Graubünden etwa 105—110% aufweisen. Nördlich der Alpen war im Gegensatz zu dieser günstigen Witterung des Südens die Sonne weniger häufig als im Durchschnitt aller Jahre sichtbar; meist wurden nur 80—90% registriert. Umgekehrt verhält sich die Bewölkungsmenge: nördlich der Alpen 100—110 % des Normalwertes, südlich davon etwa 75%.

Der Monat zerfällt in 4 Abschnitte mit verschiedenem Witterungscharakter. Der 1. Abschnitt bis zum 7. war gekennzeichnet durch einen allmählichen Übergang von einer südwestlichen in eine nordwestliche Strömung mit starker Abkühlung (im Mittelland etwa 12° im Tagesmittel) und häufigen Niederschlägen. Nachfolgend baute sich hoher Druck über Mitteleuropa auf, der bei meist sonnigem und trockenem Wetter sowie steigender Temperatur bis kurz nach der Monatsmitte anhielt. Auch in der 3. Periode vom 18. bis 25., welche sich durch warmes Wetter in den Niederungen auszeichnete, blieb der Druck in der Schweiz hoch. Immerhin konnten einzelne, im Norden vorbeiziehende Störungen unser Land streifen und zeitweise etwas Niederschlag bringen. In den Niederungen der Alpennordseite setzten vermehrte Morgennebel ein. Dann kam am 26. ein kräftiger Kaltlufteinbruch erneut von Nordwesten her, der die 4. Periode einleitete. Diese war charakterisiert durch tiefe Temperaturen, starke Bewölkung und häufige Niederschläge,

welche bis in die Niederungen hinab zeitweise als Schnee fielen, bei Temperaturen wenige Grade über Null. Die von der Polarzone her eingeflossene Kaltluft verharrte über unserem Gebiet. Sie erhielt zudem aus dem russischen Raum neuen Nachschub, da sich ein großes Hochdruckgebiet über Nordeuropa aufgebaut hatte, welches eine länger dauernde Nordostströmung (Bise) verursachte. Dagegen blieben die sonst häufig gegen Ende Oktober auftretenden Föhnlagen aus.

Der Spätherbst-Monat NOVEMBER war kalt, trokken und sonnenarm. — Die *Temperaturen* lagen in den Niederungen der Alpennordseite 1—1½ Grad, in den Alpen- und Juratälern sogar teilweise 2—2½ Grad unter dem langjährigen Mittelwert, südlich der Alpen betrug das Defizit dagegen nur etwa ½ Grad. — Auf der Alpensüdseite, im Oberengadin sowie im westlichen Genferseegebiet war das *Niederschlagsdefizit* besonders groß, indem nur etwa ¼—⅕ der normalen Regenmenge gemessen wurde. Die im Vergleich zum langjährigen Mittelwert größten Mengen fielen im Kanton Appenzell, doch wurde auch dort der Normalwert nur knapp erreicht. Etwas mehr als ¾ des Normalen wurden auch in den Kantonen St. Gallen, Schaffhausen und Glarus sowie im Prätigau erreicht, strichweise auch in Obwalden, im Berner Oberland und im Neuenburger Jura. — Die *Sonnenscheindauer* blieb größtenteils unter dem Normalwert. Meist wurden 65—80 % registriert, in den Juratälern und am Juranordfuß, im Wallis und im nördlichen Graubünden 80—90 %, im Engadin sowie auf den Alpengipfeln etwa 100 %. — Die *Bewölkungsmenge* lag allgemein über dem langjährigen Durchschnitt, im Juragebiet etwa 5 %, sonst meist 10—15 %, südlich der Alpen 20—30 %. Nur das Hochalpengebiet wies etwa normale Verhältnisse auf. Dementsprechend war die Zahl der trüben Tage wesentlich höher als sonst, in den Niederungen beinahe das 1½fache des langjährigen Novembermittels.

Der Monat begann mit einer kalten Periode und nördlichen Höhenwinden, welche bis zum 7. anhielten. Dann verlagerte sich das vorher auf dem östlichen Atlantik gelegene Hochdruckgebiet rasch über Mitteleuropa hinweg nach Nordrußland. Während in den Niederungen der Alpennordseite bis zum 10. noch eine Kaltluftschicht mit strichweisem Nebel bestehen blieb, begann in der Höhe rasche Erwärmung mit schönem Wetter vom 7.—9. Dann konnte sich für kurze Zeit eine westliche Strömung durchsetzen, aber schon vom 13. an gewannen östliche Winde wieder die Oberhand und behielten sie bis zum 25. Diese kalte Periode, welche vom 18. an durch das Vorherrschen hohen Druckes über Nordeuropa gekennzeichnet war, brachte nur den höheren Alpentälern, welche über dem Nebelmeer der Niederungen lagen, sonniges Wetter, während sowohl nördlich als auch südlich der Alpenkette bis gegen 1000—1500 m Höhe vielfach Hochnebel lagerte. Dann folgte am 25. ein jäher Umschlag in eine kurze Periode kräftiger westlicher Winde mit Erwärmung auf 7—9 Grad in den Niederungen, Nordwestwind in der Höhe und Niederschlägen besonders in der Nordostecke des Landes. Ebenso plötzlich, wie sie gekommen waren, endeten die Novemberstürme am 29. mit einem kräftigen Kaltlufteinbruch, der die Temperaturen wieder mit Ausnahme der Alpensüdseite unter null Grad sinken ließ und Schnee bis in die Niederungen brachte, allerdings nur geringe Mengen. In den höheren Tälern des Alpennordhangs und in Graubünden lag am Monatsende immerhin schon eine Schneedecke von etwa 40—50 cm Höhe in 1500—2000 m.

Die Dez.-Temperaturen lagen in den Niederungen der Alpennordseite im Nordosten 1½—2°, sonst etwa 1 Grad über dem langjährigen Durchschnitt, während in den Bergen und auf der Alpensüdseite der Überschuß nur wenige Zehntelsgrade betrug und sogar lokal etwas unternormale Werte gemessen wurden. Die *Niederschläge* waren allgemein gering, nur der Nordosten des Landes erhielt im Gebiet des Kantons Appenzell und im Zürcher Oberland etwa die Hälfte der Normalmenge, die nördlichen Landesteile und die Voralpen der Zentralschweiz ungefähr einen Drittel, während die Alpentäler und das Tessin mit einem Fünftel bis einem Zehntel der Normalmenge vorlieb nehmen mußten. In den Walliser Tälern, im Vorder- und Hinterrheintal sowie im Engadin fielen sogar nur wenige Millimeter Niederschlag oder überhaupt nichts. Dagegen war die *Sonnenscheindauer* allgemein zu hoch. In den Alpen und im Tessin sowie im Jura wurden meist 120—140 % des langjährigen Durchschnitts registriert, im Mittelland dagegen, wo normalerweise der DEZEMBER sehr sonnenscheinarm ist, wurden 180 bis 200 % erreicht. Umgekehrt betrug die *Bewölkungsmenge* nur etwa 80—90 % des Normalwertes, im Wallis sogar nur ungefähr 70 %.

Temperaturmäßig wies der Monat drei Witterungsperioden auf: Nach einer kurzen Kälteperiode in den ersten drei Tagen war die Zeit bis zum 17. warm. Dann folgte eine allmähliche Abkühlung und das letzte Monatsdrittel wies wieder unternormale Temperaturen auf. Die erste kurze Periode von drei Tagen brachte eine Bisenlage, anfangs mit kräftigen Winden, vor allem in der Westschweiz. In der darauffolgenden Wärmeperiode bis gegen das letzte Monatsdrittel erhielt unser Land fast ständig Zufuhr von Luft vom Ozean her, welche anfangs aus Norden, später von Westen bis Südwesten in die Schweiz einströmte. Aus dieser Periode stammt der große Wärmeüberschuß der Niederungen. Durch die ziemlich kräftige Strömung wurde zugleich die sonst im Dezember häufige Nebelbildung im Mittelland zeitweise vermindert, was den großen Überschuß an Sonnenscheindauer in dieser Gegend bewirkte. Die dritte Periode im letzten Monatsdrittel war gekennzeichnet durch den Aufbau eines Hochdruckgebietes über Skandinavien, das die vorher intensive Westströmung abstoppte und wieder zeitweise östliche Stömungen in unserer Gegend bewirkte. Während die Niederschläge vom 3—7. und vom 13. in den Niederungen als Regen fielen, erhielt die Alpennordseite auf Weihnachten vom 20. bis 24. und am 26. Schneefall. Gegen das Monatsende verlagerte sich das kräftige skandinavische Hochdruckzentrum allmählich nach Rußland. Der Wind drehte in der Höhe auf südliche Richtung über Mitteleuropa und in unserem Land entstand eine Föhnlage, welche allerdings erst am Neujahrstag in voller Stärke zur Auswirkung kam. Dabei fielen südlich der Alpen vom 30. zum 31. erstmals Niederschläge.

Dr. M. Schüepp

Monatswerte der wichtigsten meteorologischen Elemente 1956

	Höhe m	Januar	Febr.	März	April	Mai	Juni	Juli	August	Sept.	Okt.	Nov.	Dez.	Jahr
Temperatur in ° C														
Basel	317	2.5	–9.3	4.9	7.3	13.6	14.4	17.5	15.6	15.2	8.5	2.8	2.0	7.9
La Chaux-de-Fonds	990	0.4	–10.3	2.4	4.0	11.1	11.1	14.3	12.9	13.2	5.9	0.1	0.8	5.5
Zürich	569	1.9	–8.7	4.5	6.9	13.1	13.3	17.0	14.9	14.7	7.6	1.8	1.1	7.3
Bern	572	1.2	–8.7	4.0	6.5	13.2	13.6	16.7	14.9	14.8	7.1	1.6	0.1	7.1
Lausanne	589	2.8	–7.1	5.3	7.3	14.0	14.3	17.4	15.6	16.0	8.3	3.0	2.4	8.3
Genève	405	3.8	–6.1	5.9	8.5	15.3	16.5	19.5	17.3	16.6	9.0	4.2	2.8	9.4
Davos-Platz	1561	–5.2	–14.7	–2.6	1.0	7.2	7.8	12.3	10.9	10.0	1.9	–3.5	–5.7	1.6
Säntis	2500	–7.6	–17.2	–8.1	–6.1	0.3	0.7	5.3	3.9	5.8	–2.1	–6.3	–7.7	–3.3
Lugano	276	2.9	–1.3	6.4	9.5	16.9	18.5	21.0	20.5	17.8	11.4	6.7	3.5	11.2
Abweichungen von den normalen Mitteln														
Basel	317	2.6	–10.8	0.3	–1.4	0.6	–2.0	–0.7	–1.7	1.1	–0.3	–1.4	1.4	–1.0
La Chaux-de-Fonds	990	3.0	–8.7	1.3	–1.0	1.5	–1.9	–0.7	–1.3	1.9	–0.5	–1.8	2.5	–0.5
Zürich	569	3.4	–8.7	1.1	–0.8	1.0	–2.2	–0.3	–1.5	1.4	–0.3	–1.2	1.8	–0.6
Bern	572	2.8	–8.9	0.6	–1.5	0.9	–2.0	–1.0	–1.8	1.1	–0.8	–1.4	0.9	–0.9
Lausanne	589	2.8	–8.6	0.8	–1.2	1.1	–2.0	–0.9	–1.9	1.5	–0.9	–1.6	1.4	–0.8
Genève	405	3.2	–8.1	0.6	–0.9	1.5	–0.9	–0.1	–1.3	1.4	–0.7	–0.9	1.3	–0.5
Davos-Platz	1561	1.8	–9.3	–0.3	–1.1	0.2	–2.5	0.2	–0.4	1.7	–1.5	–2.2	0.0	–1.1
Säntis	2500	1.1	–8.4	–0.2	–1.3	0.7	–2.1	0.3	–0.9	3.0	–0.8	–1.3	0.2	–0.9
Lugano	276	0.6	–5.3	–1.1	–2.2	1.1	–1.0	–0.6	–0.4	0.1	–0.8	–0.5	0.3	–0.8
Niederschlag in mm														
Basel	317	49	14	8	85	102	59	211	149	51	79	25	19	851
La Chaux-de-Fonds	990	138	14	62	148	156	95	248	222	133	141	79	39	1475
Zürich	569	102	16	67	104	133	76	219	230	71	125	39	18	1200
Bern	572	96	5	32	99	115	76	178	207	68	119	33	18	1046
Lausanne	589	132	4	20	104	126	79	134	193	128	115	26	24	1085
Genève	405	95	5	32	83	73	62	81	144	117	75	18	19	804
Davos-Platz	1561	87	18	81	25	84	124	147	167	115	89	46	8	991
Säntis	2500	250	58	171	116	247	256	279	478	226	271	165	122	2639
Lugano	276	61	10	244	315	76	111	319	218	136	129	39	17	1675
Abweichungen von den normalen Summen														
Basel	317	8	–27	–45	20	21	–39	121	63	–27	5	–34	–33	33
La Chaux-de-Fonds	990	32	–81	–45	22	26	–47	113	92	16	4	–39	–91	2
Zürich	569	48	–36	–5	12	23	–55	86	103	–33	33	–27	–54	95
Bern	572	48	–46	–34	23	21	–37	66	99	–21	31	–35	–46	69
Lausanne	589	74	–55	–55	28	34	–20	34	83	29	7	–59	–55	45
Genève	405	48	–45	–31	14	–3	–17	3	48	32	–24	–61	–49	–85
Davos-Platz	1561	28	–35	27	–35	14	17	12	36	23	19	–16	–58	32
Säntis	2500	20	–123	–20	–135	24	–24	–28	190	3	78	–15	–116	–146
Lugano	276	1	–51	129	153	–116	–74	145	31	–39	–69	–97	–63	–50
Sonnenscheindauer in Stunden														
Basel	317	61	77	140	151	224	157	217	171	174	95	53	66	1586
La Chaux-de-Fonds	990	64	105	136	152	214	130	196	163	192	133	84	81	1650
Zürich	569	55	84	155	153	220	141	232	156	182	101	42	63	1584
Bern	572	42	100	152	162	239	182	244	168	198	102	41	91	1721
Lausanne	589	54	133	159	185	265	235	254	159	214	115	56	117	1946
Genève	405	60	98	171	181	279	241	275	182	232	111	46	77	1953
Davos-Platz	1561	90	137	142	119	191	105	211	169	192	140	79	94	1669
Säntis	2500	115	174	168	143	214	103	217	165	219	180	137	130	1965
Lugano	276	102	132	166	153	255	231	246	218	184	207	91	124	2109
Abweichungen von den normalen Summen														
Basel	317	–3	–17	13	4	29	–57	–16	–52	16	–14	–12	12	–97
La Chaux-de-Fonds *	990	–11	9	14	24	45	–56	–15	–48	38	14	–1	19	32
Zürich	569	7	–4	21	–4	18	–82	–12	–74	20	–2	–11	27	–96
Bern	572	–16	3	20	9	39	–41	–5	–71	26	–13	–22	48	–23
Lausanne	589	–20	19	7	9	40	–16	–12	–96	26	–11	–19	57	–16
Genève	405	–1	–7	15	–9	35	–32	–18	–93	32	–15	–21	30	–84
Davos-Platz	1561	–4	28	–6	–32	19	–71	10	–34	26	6	–19	11	–66
Säntis *	2500	3	53	30	16	62	–38	56	–6	66	36	16	24	318
Lugano	276	–23	–14	–6	–22	49	–11	–34	–48	–12	61	–18	18	–60

* Sonnenscheindauer Säntis und La Chaux-de-Fonds wegen Apparatewechsels nicht ohne weiteres mit den langjährigen Mittelwerten vergleichbar.

Nr. 2

Liste des chutes de grêle en Suisse pendant l'année 1956

établie à l'aide des statistiques de la Station Centrale Suisse de Météorologie et celles de la Société Suisse d'Assurance contre la grêle à Zurich, par Jean Rieker.

Canton	Mars			Avril				Mai											
	5	27	31	1	15	24	27	1	11	17	18	20	21	22	24	28	29	30	31
Argovie	1	.	1	.	2	.	.	.	.	.	.	.	.	.	.	.	.	.	1
Appenzell		1	.	.	.	.	1	.	.	1	.	.	.	.	.	.	1		3
Bâle	.	.	.	.	.	.	.	.	.	2	1	1	.	.	.	.	.	4	1
Berne	.	.	.	.	3	.	.	.	1	.	.	.	1	19	.	.	48	35	9
Fribourg	.	.	.	1	.	.	.	.	.	.	.	.	.	10	.	.	.	24	1
St-Gall	.	.	.	.	.	.	.	.	.	.	.	.	.	.	.	.	5	.	5
Genève	.	.	.	.	.	.	.	.	.	.	.	.	.	.	.	.	.	.	.
Glaris	.	.	.	.	.	.	.	.	.	.	.	.	.	.	.	.	1	.	.
Grisons	.	.	.	.	.	.	.	.	.	.	.	.	.	.	.	.	1	.	.
Lucerne	.		.	.	5	.	.	1	.	.	1	.	.	.	2	.	10	.	2
Neuchâtel	.	.	.	.	.	.	.	.	.	1	1	.	.	1	.	.	.	2	3
Schaffhouse	.	.	.	.	.	1	.	.	.	.	.	.	.	.	.	.	6	.	.
Schwyz	.	.	.	.	.	.	.	.	.	.	.	.	.	.	.	.	8	.	1
Soleure	.	.	.	.	.	.	.	.	.	.	.	.	.	.	.	.	6	4	1
Tessin	.	.	.	.	.	.	.	.	.	.	.	.	.	.	.	.	1	1	6
Thurgovie	.	.	.	.	.	.	.	.	1	.	.	.	.	.	.	.	28	.	11
Unterwald	.	.	.	.	.	.	.	.	.	.	.	.	.	.	.	.	.	.	.
Uri	.	.	.	.	.	.	.	.	.	.	.	.	.	.	.	.	1	.	.
Vaud	.	.	.	.	.	.	.	.	.	.	3	.	1	.	1	1	3	.	23
Valais	.	.	.		.	.	.	.	.	.	.	.	.	.	.	.	1	1	1
Zurich	.	.	.	.	.	.	.	.	.	.	.	.	.	.	1	.	2	.	9
Zoug	.	.	.	.	.	.	.	.	.	.	.	.	.	.	.	.	.	.	3
totaux	1	1	1	1	10	1	1	1	2	4	6	1	2	30	4	1	122	71	80
par mois	3			13				324											

Canton	Juin																		Juillet							
	4	6	7	8	9	10	15	17	20	21	22	24	25	26	27	28	29	30	1	2	6	8	9	10	13	14
Argovie	.	.	42	.	.	.	1	.	.	.	1	7	.	.	.	.	.	1	.	.	.	.	.	.	.	.
Appenzell	3	8	.	.	.	.	.	.	.	.	.	.	.	.	.	1	.	.	1	.	.	.	2	.	.	.
Bâle	.	.	5	5	3	.	.	.	.	.	.	.	.	.	.	.	.	.	.	.	.	.	1	.	.	1
Berne	.	.	20	4	6	.	.	.	.	2	.	.	.	.	2	.	.	.	.	.	.	8	12	21	8	14
Fribourg	.	.	.	.	.	.	1	.	.	.	.	.	.	.	.	.	.	.	.	.	.	12	2	1	.	24
St-Gall	.	1	.	1	.	.	.	.	.	3	2	3	1	.	1	2	.	.	.	.	.	1	8	.	.	.
Genève	.	.	.	.	.	.	.	.	.	.	.	.	.	.	.	.	.	.	.	.	.	.	.	3	.	.
Glaris	.	.	.	.	.	.	.	.	.	.	.	.	.	.	.	.	.	.	.	.	.	.	.	.	.	.
Grisons	.	.	.	2	.	.	.	.	.	.	.	.	.	.	.	1	.	.	.	.	.	.	1	.	.	5
Lucerne	.	.	23	3	2	.	1	.	.	1	7	.	.	.	.	.	1	.	.	1	.	.	4	5	1	.
Neuchâtel	.	.	.	5	.	2	.	.	.	.	.	1	.	.	.	.	.	.	.	.	.	.	1	1	.	.
Schaffhouse	.	.	.	.	.	.	.	1	.	.	.	.	.	.	1	.	.	.	.	1	.	.	.	2	.	.
Schwyz	.	.	.	.	.	1	.	.	.	.	1	.	.	.	.	.	.	.	.	.	.	.	2	2	.	.
Soleure	.	.	.	2	1	.	.	.	.	.	.	2	.	.	.	.	.	.	.	.	.	.	1	.	.	.
Tessin	.	.	.	4	.	.	.	.	.	.	.	.	3	.	3	3	.	.	.	1	.	.	.	24	.	47
Thurgovie	.	2	3	1	.	.	10	.	1	12	3	3	.	.	.	.	.	.	.	3	1	.	10	1	.	.
Unterwald	.	.	.	.	.	.	.	.	.	.	.	.	.	.	1	.	1	.	.	.	.	.	1	.	.	.
Uri	.	.	.	.	.	.	.	.	.	.	.	.	.	.	.	.	.	.	.	.	.	.	.	.	.	.
Vaud	.	.	11	8	.	.	.	.	.	.	.	.	.	.	.	.	.	.	.	.	.	1	10	.	2	15
Valais	.	.	.	.	.	.	.	.	.	.	.	.	.	.	.	.	.	.	.	.	.	.	.	.	.	.
Zurich	.	.	10	.	.	.	4	.	.	4	7	.	.	1	.	.	.	.	.	.	.	.	4	.	.	.
Zoug	.	.	.	.	.	.	.	.	.	.	2	2	.	.	.	.	.	.	.	.	.	.	1	.	.	.
totaux	3	11	114	35	12	3	17	1	1	22	23	18	4	1	8	7	2	1	1	6	1	22	60	60	11	106
par mois	283																		267							

Suite de la dite statistique

Canton	Juillet												Août																
	15	16	18	19	20	21	22	26	27	28	29	30	1	2	3	4	5	10	11	17	18	20	21	22	24	25	27	28	29
Argovie	23	.	.		4	.	.	.	25	.	.	.	.	.	.	.	.	4	.	2	.	.	.	1	.	.	.	.	.
Appenzell	1	.	.	.	.	.	.	.	1	.	.	.	.	.	.	.	.	1	.	.	1	.	.	.	.	.	.	.	.
Bâle	.	.	.	.	5	.	.	.	.	.	.	.	.	.	.	.	.	1	.	1	.	.	.	10	.	.	.	.	.
Berne	10	.	20	.	1	7	.	.	.	.	1	.	.	.	.	1	.	33	.	5	.	.	.	33	1	.	.	.	4
Fribourg	.	.	.	.	5	7	.	1	.	.	.	.	.	.	.	.	.	21	.	.	.	.	.	6	.	.	.	.	18
St-Gall	3	.	.	1	1	.	.	.	11	1	.	.	.	.	.	.	.	10	.	.	1	.	.	.	.	.	.	1	.
Genève	.	.	1	2	.	.	.	.	.	.	.	.	.	.	.	.	.	1	.	.	.	.	.	.	.	1	.	.	2
Glaris		.	.	.	.	.	.	.	.	.	.	.	.	.	.	.	.	1	.	.	.	.	.	.	.	.	.	.	.
Grisons	1	1	.	.	1	1	.	.	1	.	.	1	.	.	.	.	.	.	5	.	.	.	2	.	.	.	.	.	.
Lucerne	32	.	.	.	23	7	.	.	.	.	.	.	.	.	.	.	.	12	1	1	.	.	.	4	.	.	.	.	.
Neuchâtel	.	.	.	.	.	.	.	.	.	.	.	.	.	.	.	.	.	.	.	7	.	.	1	.	.	.	.	.	2
Schaffhouse	.	.	.	.	2	.	.	.	4	.	.	.	.	.	.	.	.	.	.	.	.	.	.	.	.	.	.	.	.
Schwyz	.	.	.	.	1	1	.	.	.	.	.	.	.	.	.	.	.	4	.	.	1	.	.	1	.	.	.	.	.
Soleure	.		.	.	5	.	.	.	11	.	.	.	1	1	3	.	.	.	.	.	.	.	.	2	.	.	.	.	.
Tessin	.	.	.	11	22	.	.	.	.	4	.	.	25	.	.		4	1	23	.	.	.	.	2	.	.	.	58	33
Thurgovie	.	.	.	3	.	.	.	.	.	.	.	.	.	.	.	.	.	24	1	.	.	.	.	1	.	.	.	.	.
Unterwald	.	.	.	.	.	.	.	.	1	.	.	.	.	.	.	.	.	3	.	.	.	.	.	.	.	.	.	.	.
Uri	.	.	.	.	.	.	.	.	.	.	.	.	.	.	.	.	.	1	1	.	.	.	.	.	.	.	.	1	1
Vaud	.	.	3	8	7	13	.	.	2	.	.	.	.	.	.	.	.	17	.	.	.	1	10	1	1	.	2	1	23
Valais	.	.	4	.	.	.	1	.	.	.	.	.	.	.	.	1	.	1	.	.	.	2	.	.	.	.	.	.	1
Zurich	11	.	.	.	6	.	.	.	29	.	1	.	.	.	.	.	.	22	.	.	5	.	.	3	.	.	.	.	.
Zoug	.	.	.	.	1	1	.	.	.	1	.	.	.	.	.	.	.	6	.	.	.	.	.	1	.	.	.	.	.
totaux	81	1	28	25	84	37	1	1	85	6	2	1	26	1	3	2	4	163	31	16	8	3	13	65	2	1	2	61	84
par mois	267 + 352 = 619												485																

Canton	Septembre						Octobre				Sommes
	1	3	4	6	10	19	5	7	10	11	
Argovie	.	.	.	.	26	.	.	.	1	.	143
Appenzell	.	.	.	1	.	.	.	.	.	.	27
Bâle	.	.	.	.	27	.	.	.	.	.	68
Berne	.	.	.	.	136	1	.	.	.	.	466
Fribourg	.	.	2	.	71	.	.	1	.	.	208
St-Gall	.	.	.	.	7	.	.	.	.	.	69
Genève	.	.	.	.	.	.	.	.	.	.	10
Glaris	.	.	.	.	.	.	.	.	.	.	2
Grisons	.	.	.	.	.	.	.	.	.	.	23
Lucerne	.	.	2	.	59	.	.	.	.	.	211
Neuchâtel	.	.	.	.	31	.	.	.	.	.	59
Schaffhouse	.	.	.	.	.	.	.	.	.	.	18
Schwyz	.	.	.	.	1	.	.	.	.	.	24
Soleure	.	.	.	.	56	.	.	.	.	.	96
Tessin	.	16	.	.	.	.	75	.	.	1	368
Thurgovie	.	.	.	.	1	.	.	.	.	.	120
Unterwald	.	.	.	.	1	.	.	.	.	.	8
Uri	.	.	.	.	.	.	.	.	.	.	5
Vaud	2	.	1	1	114	.	1	.	.	.	287
Valais	.	.	.	.	.	.	.	.	.	.	13
Zurich	.	.	.	.	4	.	.	.	.	.	123
Zoug	.	.	.	.	2	.	.	.	.	.	20
totaux	2	16	5	2	536	1	76	1	1	1	2368
par mois	562						79				

Nr. 3

Monats- und Jahressummen
der Niederschlagsmessungen sämtlicher meteorol. Stationen I.—III. Ordnung im Jahre 1956

Als Niederschlagstage werden für diese Tabelle nur die Tage mit mindestens 1.0 mm Niederschlag gezählt. Die mit * bezeichneten Summen sind nach den Nachbarstationen interpoliert.

Stationen:	Höhe üb. Meer	Jan.	Febr.	März	April	Mai	Juni	Juli	Aug.	Sept.	Okt.	Nov.	Dez.	Jahr	Maxima		Zahl d. Tage
A. Rheingebiet																	
I. Quellgebiet bis Bodensee																	
Sedrun (Tavetsch)	1418	92	31	143	99	103	119	135	247	179	81	54	10	1293	52	22. III.	136
Platta (Medels)	1378	49	15	123	117	118	114	179	262	145	110*	42	4	1278	67	29. VIII.	105
Disentis	1173	69	19	121	121	118	135	138	231	128	107	46	9	1242	62	22. III.	128
Val	ca 1208	60	15	71	95	110	103	133	202	134	85	43	4	1055	55	2. IX.	99
Surrhein	899	72	19	95	101	118	106	115	200	134	78	39	3	1080	53	29. VIII.	107
Panix	ca 1300	110	31	122	113	144	123	135	224	139	119	73	17	1350	46	27. VIII.	160
Vrin	1452	57	21	78	105	114	132	172	243	89	118	41	2	1172	48	7. VI.	118
Vals	ca 1290	49	18	63	73	89	116	166	231	106	81	32	0	1024	51	2. IX.	114
Ilanz	ca 715	71	18	80	42	86	99	131	161	79	105	46	5	923	42	26. I.	112
Flims	ca 1085	99	29	85	91	123	131	150	231	103	144	62	16	1264	39	6. X.	138
Safienplatz	1315	76	25	84	76	118	138	181	240	87	97	56	6	1184	43	7. VI.	132
Hinterrhein	1620	43	21	96	157	93	147	282	508	177	98	31	0	1653	111	27. VIII.	108
Splügen (Dorf)	1504	35	14	48	73	101	169	217	381	152	87	27	1	1305	90	27. VIII.	112
Avers am Bach	ca 1960	28	3	16	65	100	139	125	271	151	99	33	0	1030	74	2. IX.	109
Inner-Ferrera	ca 1475	38	11	55	90	136	130	196	364	122	74	25	0	1241	73	27. VIII.	102
Andeer	ca 980	27	17	45	51	71	103	129	272	78	78	28	2	901	73	27. VIII.	97
Thusis	ca 810	50	20	49	44	59	127	139	307	84	99	34	4	1016	69	28. VIII.	110
Bivio (neu)	ca 1770	44	25	69	92	95	142	131	203	148	90	46	15	1100	77	2. IX.	134
Marmorera (Staudamm)	ca 1695	37	24	52	72	98	145	125	212	121	105	46	11	1048	62	2. IX.	129
Savognin	ca 1205	40	18	37	35	81	120	119	226	76	96	42	4	894	47	2. IX.	109
Weißfluhjoch	2540	157	12	117	33	98	163	191	201	136	101	76	21	1306	58	26. I.	139
Davos-Platz	1561	87	18	81	25	84	124	147	167	115	89	46	8	991	46	13. IX.	118
Preda	1796	39	15	58	60	95	111	129	202	140	77	24	5	955	64	2. IX.	121
Filisur	ca 1030	46	15	35	27	85	108	140	219	109	91	35	5	915	55	2. IX.	110
Lenzerheide	ca 1460	50	11	82	36	91	137	122	209	67	96	31	3	935	34	20. VIII.	113
Nisellas (Alvaschein)	ca 890	42	10	40	33	76	107	117	193	60	63	26	3	770	33	20. VIII	98
Tomils	ca 790	62	20	58	39	61	103	140	172	56	79	44	6	840	32	19. V.	105
Arosa	1818	76	26	76	59	117	188	186	261	131	135	51	13	1319	51	2. IX.	140
Tschiertschen	1351	64	25	50	41	109	127	144	237	77	98	48	11	1031	47	28. VIII.	124
Chur	633	66	18	54	28	104	101	131	173	54	89	35	12	865	38	19. V.	112
Klosters (Aeuja)	ca 1200	108	36	148	81	125	192	150	201	124	141	73	21	1400	46	3. III.	148
St. Antönien (Rüti)	1460	125	28	185	69	120	167	193	234	110	173	71	24	1499	65	6. X.	152
Schiers	ca 682	93	28	100	39	117	122	141	192	77	117	63	16	1105	41	19. V.	128
Schuders	1275	126	44	153	85	125	185	193	229	84	137	75	32	1468	55	2. III.	140
Seewis	953	111	41	114	62	122	157	181	223	115	119	74	23	1342	44	3. III.	143
Plantahof b Landqu.	ca 530	80	25	80	42	92	137	124	171	66	106	63	18	1004	39	6. X.	118
Vättis	956	84	24	102	59	107	115	136	186	66	106	43	8	1036	42	3. III.	126
Bad Ragaz	518	79	24	96	100	129	174	120	208	71	125	63	15	1204	41	3. III.	112
Sargans	510	89	49	113	118	138	165	106	228	101	142	76	17	1342	50	3. III.	129
Sevelen	454	61	20*	46	82	108	151	115	237	67	83	43	12	1025	36	20. VIII.	122
Vaduz(Liechtenstein)	495	49	15	40	76	108	147	105	222	60	80	37	13	952	35	20. VIII.	119
Haag	440	73	17	57	73	115	133	161	316	102	149	58	14	1268	55	20. VIII.	123
Altstätten	468	127	27	91	85	143	180	178	235	91	138	74	34	1403	45	20. VI.	141
Widnau	404	84	25	40	72	109	163	167	227	65	90	55	40	1137	36	29. VII.	135
Heiden	811	111	49	51	127	140	220	216	229	87	150	64	46	1490	48	20. VI.	167
II. Bodensee bis Basel																	
Rorschach	445	108	33	46	112	135	205	218	224	70	139	62	41	1393	40	29. VII.	148
St. Gallen	664	105	56	66	126	137	191	215	219	72	151	49	35	1422	44	11. VII.	153
Arbon	400	86	22	27	74	106	131	152	207	58	122	49	27	1061	57	10. VIII.	140
Amriswil	ca 450	92	17	33	80	104	102	139	176	50	139	35	24	991	30	10. VIII.	137
Altnau	471	95	30	52	71	103	92	140	173	48	132	47	24	1007	46	10. VII.	129
Kreuzlingen	446	91	16	29	66	110	76	121	179	38	109	40	19	894	41	10. VIII.	122

Stationen:	Höhe üb. Meer	Jan.	Febr.	März	April	Mai	Juni	Juli	Aug.	Sept.	Okt	Nov.	Dez.	Jahr	Maxima		Zahl d. Tage
Ermatingen	ca 420	93	12	21	71	160	78	133	159	36	125	43	25	956	89	29. V.	121
Haidenhaus	694	97	32	28	92	153	66	148	167	45	120	44	22	1014	61	29. V.	126
Steckborn	ca 398	78	17	23	76	153	58	126	149	40	101	38	19	878	78	29. V.	122
Eschenz	ca 417	77	11	23	80	128	64	133	142	46	113	39	15	871	47	29. V.	114
Thayngen	ca 443	71	13	24	78	72	56	174	154	43	74	46	21	826	76	10. VII.	115
Buch (Schaffhausen)	ca 425	63	12	29	66	62	45	119	155	37	80	37	22	727	31	10. VIII	115
Dießenhofen	ca 398	60	13	24	76	71	43	112	175	43	83	41	20	761	29	10. VIII.	124
Lohn	643	73	17	28	92	78	58	138	192	44	75	52	20	867	42	10. VII.	121
Merishausen	ca 524	81	9	22	89	110	48	122	195	51	97	59	18	901	41	29. V.	115
Schaffhausen	451	69	13	16	92	80	49	154	158	46	86	44	24	831	40	10. VIII.	116
Neu-Rheinau	392	70	15	21	84	65	50	114	167	48	78	31	18	761	37	10. VIII.	116
Rheinau	356	62	9	17	80	63	50	117	167	47	73	26	18	729	37	10. VIII.	113
Flaach	360	78	12	31	92	81	70	138	178	62	100	32	14	888	46	10. VIII.	121
Wil (bei Rafz)	405	99	30	45	110	89	58	119	192	54	95	49	19	959	41	10. VIII.	132
Kaiserstuhl	339	108	27	59	122	87	67	128	189	59	89	32	10	977	49	10. VIII.	125
Schleitheim	ca 490	71	12	23	92	96	47	105	172	48	68	43	17	794	49	10. VIII.	112
Hallau	450	90	16	25	99	90	61	115	163	53	83	50	23	868	42	10. VIII.	123
Wilchingen	420	107	22	24	110	87	55	153	191	61	94	50	24	978	48	10. VIII.	120
Laufenburg	ca 315	125	40	141	112	117	75	139	227	81	135	40	29	1261	69	3. III.	127
Wittnau	404	88	34	85	76	116	75	131	206	66	92	39	16	1024	45	3. III.	114
Frick	355	95	40	87	95	123	117	164	244	82	120	43	29	1239	59	7. VI.	126
Dornhof	580	71	17	67	99	135	110	159	195	71	105	33	26	1088	43	3. III.	127
Möhlin	ca 310	94	33	56	98	141	88	146	199	70	110	38	28	1101	45	10. VII.	132
Wintersingen	*444*	88	29	58	102	181	90	152	181	72	110	31	33	1127	44	10. VII.	134
Rheinfelden	287	86	31	43	92	141	93	161	178	75	108	34	29	1071	55	10. VII.	133
Kilchberg	ca *582*	67	30	80	92	137	107	161	215	94	120	40	37	1180	48	7. VI.	130
Böckten	ca *385*	63	18	45	91	136	106	150	193	71	98	27	28	1026	47	10. VII.	120
Eptingen	560	77	21	53	98	120	115	144	218	76	129	34	35	1120	55	7. VI.	137
Bennwil	ca *526*	72	16	47	107	136	112	155	213	86	106	38	30	1118	53	7. VI.	139
Waldenburg	ca *533*	113	23	65	102	145	132	175	217	91	129	42	36	1270	54	7. VI.	138
Lampenberg	ca *536*	69	17	41	88	118	99	147	180	67	94	30	33	983	48	7. VI.	132
Reigoldswil	ca 510	91	19	37	118	191	120	157	209	81	131	37	32	1223	60	7. VI.	133
Liestal	*325*	86	17	20	94	126	83	158	158	80	110	35	21	988	50	10. VII.	128
Arisdorf (Egghof)	ca 430	75	22	30	115	145	87	166	171	70	110	25	29	1045	51	10. VII.	130
Basel-Augst	265	60	19	11	88	125	81	167	156	71	105	35	27	945	52	10. VII.	134
Mervelier	ca 570	82	27	37	125	130	104	181	211	83	138	45	34	1197	45	10. VII.	139
Bellelay	ca 930	116	23	59	124	154	87	234	176	102	143	72	31	1321	60	22. V.	140
Delémont	418	76	15	56	88	139	76	203	154	65	102	32	27	1033	53	22. V.	139
Seewen	ca *551*	76	19	20	132	177	87	191	189	86	101	33	31	1142	63	10. VII.	133
Grellingen	ca *328*	64	26	18	135	134	77	175	171	81	109	33	29	1052	43	10. VII.	133
Pfeffingen	ca *390*	59	23	14	119	131	67	167	167	72	106	39	24	988	31	10. VII.	134
Aesch	ca *315*	60	28	13	114	134	85	161	150	60	88	32	28	953	38	7. VI.	123
Neue Welt	ca *239*	50	19	8	77	107	50	183	157	54	83	24	19	831	30	10. VII.	127
Therwil	ca *310*	62	18	9	101	115	63	197	161	56	95	33	20	930	38	10. VII.	124
Basel-Binningen	317	49	14	8	85	102	59	211	149	51	79	25	19	851	45	10. VII.	121
Basel-Bernoullianum	277	53	16	10	84	99	70	194	140	56	78*	25*	25*	850	39	10. VII.	127
Basel-Flughafen	268	43	10	10	71	68	38	155	136	45	65	29	18	688	45	10. VII.	112
III. Thur																	
Starkenbach	891	166	69	140	172	179	251	218	336	149	224	109	51	2064	75	6. X.	149
Ebnat	649	237	49	219	163	201	209	212	319	101	253	89	50	2102	94	3. III.	150
Ricken	ca 790	137	36	150	124	184	206	223	350	120	232	64	55	1881	64	6. X.	151
Peterzell	ca 710	113	45	79	144	232	194	180	289	85	168	79	34	1642	64	29. V.	148
Hosenruck (Nollen)	ca 705	98	12	51	121	122	114	180	222	74	212	77	29	1312	46	26. X.	139
Degersheim	818	89	40	42	150	155	141	199	260	80	154	76	34	1420	44	10. VIII.	151
Herisau	773	96	42	64	133	163	152	177	240	81	137	70	36	1391	39	11. VII.	154
Flawil	609	88	36	42	101	148	134	165	222	60	132	48	25	1201	48	10. VIII.	140
Säntis	2500	250	58	171	116	247	256	279	478	226	271	165	122	2639	69	12. IX.	177
Urnäsch	ca 840	144	45	101	160	181	235	280	322	110	191	95	48	1912	61	29. VII.	149
Befang b. Hundwil	ca 860	162	74	138	185	243	331	257	367	134	203	141	67	2302	106	13. VI.	168
Appenzell	791	122	40	105	146	173	274	266	295	86	159	86	46	1798	72	6. VI.	159
Stein	786	87	41	76	132	180	200	227	264	84	143	65	42	1541	51	29. VII.	148
Schwäbrig	1156	115	50	106	140	175	235	231	280	115	190	91	55	1783	55	20. VI.	164
Teufen	ca 830	91	50	67	137	155	213	216	260	80	139	67	43	1518	51	11. VII.	149
Bischofszell	ca 515	92	38	37	103	146	124	155	221	62	161	39	29	1207	54	10. VIII	143
Sulgen	470	84	28	33	90	168	90	141	185	49	133	48	25	1074	74	29. V.	132
Weinfelden	429	85	17	27	83	114	86	150	181	41	124	43	19	970	37	10. VII.	128
Illhart	ca 540	86	17	29	77	161	59	145	178	42	119	37	20	970	69	29. V.	115
Müllheim	413	87	16	25	82	164	62	133	177	39	116	31	22	954	77	29. V.	119
Dußnang	601	143	37	78	133	142	122	197	276	73	162	69	33	1465	40	10. VIII	156

Stationen:	Höhe üb. Meer	Jan.	Febr.	März	April	Mai	Juni	Juli	Aug.	Sept.	Okt.	Nov.	Dez.	Jahr	Maxima		Zahl d. Tage
Eschlikon	ca 572	130	19	59	119	134	85	173	230	58	141	55	24	1227	40	10. VIII.	133
Wängi	ca 473	88	22	22	96	104	69	154	173	51	132	50	19	980	36	3. X.	121
Aadorf	ca 535	108	23	29	106	117	66	168	186	57	128	45	22	1055	28	10. VIII.	131
Affeltrangen . . .	485	81	22	26	98	105	99	147	172	47	123	44	20	984	27	20. VI.	126
Thundorf	ca 547	82	28	28	107	120	80	160	184	49	125	45	20	1028	36	10. VIII.	121
Frauenfeld	433	76	17	26	90	137	65	145	189	49	116	42	23	975	49	10. VIII.	127
Kalchrain	ca 580	63	16	20	83	108	63	138	164	49	98	42	15	859	38	10. VIII.	121
Niederneunforn .	ca *446*	67	12	17	79	81	68	139	165	57	91	31	18	825	38	10. VIII.	120
Andelfingen . . .	*370*	70	22	25	89	78	91	133	159	56	99	35	23	880	33	10. VIII.	121
IV. Töß																	
Bauma	637	132	33	51	135	137	120	211	294	88	184	63	34	1482	55	10. VIII.	153
Sternenberg . . .	ca 880	109	30	53	126	124	103	186	269	75	178	52	33	1338	46	10. VIII.	142
Kollbrunn . . .	ca *495*	130	29	52	107	128	90	192	227	66	155	44	23	1243	45	10. VIII.	141
Effretikon . . .	ca *512*	91	19	37	85	127	72	179	232	69	139	37	22	1109	39	10. VIII.	128
Winterthur . . .	ca *485*	102	24	42	86	96	78	187	203	54	122	39	25	1058	60	10. VIII.	128
V. Glatt																	
Grüningen	ca *488*	97	18	36	100	138	104	192	271	73	137	44	40	1250	44	10. VIII.	133
Hinwil	ca *606*	107	23	44	113	144	130	210	297	69	184	60	47	1428	45	10. VIII.	135
Pfäffikon	ca *550*	85	24	31	100	123	90	182	248	60	142	52	31	1168	42	10. VIII.	135
Uster	ca *466*	117	18	41	84	125	64	156	213	61	130	46	27	1082	37	10. VIII.	128
Zürich-Strickhof . .	512	86	14	49	94	120	57	183	213	58	118	31	16	1039	52	10. VIII.	131
Oerlikon	455	80	14	40	89	104	44	177	205	57	120	32	19	981	45	10. VIII.	121
Reckenholz (Zch.-Aff.) .	443	92	12	52	89	119	52	176	202	62	140	35	18	1049	37	6. X.	123
Kloten (Flughafen) .	431	93	12	50	87	97	64	174	194	50	122	33	19	995	34	10. VIII.	129
Dielsdorf	428	114	20	69	95	105	55	152	201	58	146	36	24	1075	41	10. VIII.	132
Bülach	427	80	20	42	82	88	57	147	194	53	97	29	16	905	39	10. VIII.	127
VI. Limmat																	
Weißtannen	ca 998	115	35	125	70	123	162	131	257	116	147	70	16	1367	48	3. III.	135
Walenstadt	431	85	28	66	65	109	129	81	170	124	147	62	24	1090	55	6. X.	122
Walenstadtberg . .	ca 982	201	104	218	206	265	271	174	334	219	216	96	45	2349	86	3. III.	152
Obstalden	680	97	28	105	89	145	180	222	311	163	164	70	28	1602	55	10. VII.	139
Auen (Linthal) . . .	815	162	34	161	148	184	214	167	315	166	176	87	22	1836	53	20. VI.	149
Urnerboden	ca 1350	133	29	173	116	163	208	189	333	197	134	64	19	1955	64	26. I.	156
Linthal	ca 685	205	32	195	129	191	211	177	337	167	190	96	25	1758	69	26. I.	147
Braunwald ob Linthal	ca 1190	197	37	224	136	171	209	167	325	157	186	102	27	1938	77	26. I.	151
Elm	962	131	43	159	121	143	195	176	307	168	171	77	25	1716	55	3. III.	151
Glarus	503	127	25	89	117	145	188	191	291	121	168	70	26	1558	53	20. VI.	148
Klönthal	ca 855	123	26	121	119	156	223	224	347	162	156	63	30	1750	64	20. VI.	158
Weesen	423	122	41	114	138	153	219	206	262	148	172	68	37	1680	62	20. VI.	143
Schänis (Steinerriet)	415	101	22	85	144	171	196	215	278	123	189	69	38	1631	46	29. VII.	142
Doggen	410	97	26	64	123	183	173	251	283	97	191	57	40	1585	67	10. VIII.	140
Oberkirch (b. Uznach)	ca 468	111	35	101	111	147	175	232	293	109	200	58	46	1618	67	10. VII.	141
Innertal (Wärt'haus)	ca 910	144	47	151	204	177	279	300	334	143	228	92	48	2147	62	10. VIII.	166
Vordertal	ca 760	—	—	—	—	—	—	276	328	133	221	75	46	—	—	—	—
Rempen	ca 650	131	34	106	176	171	237	246	290	121	200	65	41	1818	58	10. VIII.	146
Siebnen	ca 452	108	25	85	164	145	191	224	275	92	186	67	35	1597	58	10. VIII.	137
Lachen	410	98	30	64	127	153	148	203	253	78	172	59	38	1423	40	10. VIII.	144
Wald-Faltigberg . .	908	120	42	82	138	171	175	236	349	103	225	82	58	1781	61	10. VIII.	155
Bachtel	1110	120*	39	77	116	156	191	260	353	105	189	69	94	1769	61	11. VII.	153
Wernetshausen . .	690	107	28	50	118	141	135	228	312	82	186	60	45	1492	51	10. VIII.	147
Rapperswil	*410*	104	27	50	111	149	127	212	278	79	169	53	36	1395	49	10. VIII.	142
Männedorf	ca *445*	117	15	90	96	140	98	189	253	75*	153	57	28	1311	45	10. VIII.	128
Wädenswil	ca *475*	126	17	134	134	165	123	207	277	76	187	47	30	1523	57	3. III.	130
Horgen	ca 445	115	16	71	105	119	98	187	241	74	173	44	21	1264	60	10. VIII.	130
Pfannenstiel	ca *853*	128	27	54	69	150	94	190	285	76	150	48	46	1317	54	10. VIII.	133
Küsnacht (Zürich) .	412	118	15	95	95	118	67	172	218	69	130	45	17	1159	44	3. III.	128
Zollikon (Anst. f. Ep.)	460	117	13	99	95	112	66	177	204	63	125	47	18	1136	51	2. III.	117
Wollishofen	463	106	18	71	103	127	59	177	218	66	139	47	20	1151	42	10. VIII.	133
Zürich MZA	569	102	16	67	104	133	76	219	230	71	125	39	18	1200	55	10. VIII.	134
Zürich-Botan. Garten	411	108	16	78	108	124	73	198	228	65	132	46	18	1194	58	10. VIII.	137
Oberiberg	1090	135	44	157	172	175	226	223	310	138	216	87	38	1921	68	10. VIII.	160

Stationen:		Höhe üb. Meer	Jan.	Febr.	März	April	Mai	Juni	Juli	Aug.	Sept.	Okt.	Nov.	Dez.	Jahr	Maxima		Zahl d. Tage
Sihlsee-Ost	ca	895	115	38	121	180	164	179	224	272	99	188	57	42	1679	55	3. III.	151
Sihlsee-West	ca	895	131	41	141	183	179	198	239	296	113	211	68	42	1842	55	3. III.	153
Einsiedeln		914	121	33	117	170	178	175	220	285	112	202	65	25	1703	53	10. VIII.	155
Schönenberg (Waldh.)		615	119	25	105	146	180	142	208	255	104	239	54	24	1601	48	10. VIII.	140
Sihlbrugg		540	108	23	47	148	151	130	201	302	80	170	51	31	1442	50	10. VIII.	148
Zürich-Albishof		450	99	13	74	101	117	59	180	241	67	142	42	19	1154	61	10. VIII.	129
Altstetten		400	79	17*	70*	105*	115*	59	161	192	60	120	30	20	1028	38	10. VIII.	129
Uetliberg (Bahnhof)	ca	810	63	19	48	100	111	61	190	237	71	109	21	12	1042	55	10. VIII.	124
Waldegg	ca	625	96	21	84	93	128	68	191	236	73	147	47	23	1207	59	10. VIII.	137
Dietikon		402	101	19	64	99	103	65	208	231	57	150	37	19	1153	55	10. VIII.	134
Otelfingen	ca	442	91	36	81	125	103	75	147	193	61	134	37	14	1097	41	10. VIII.	123
Baden		387	81	31	92	120	85	57	138	228	59	132	33	19	1075	68	10. VIII.	129
VII. Reuß																		
Gütsch		2288	129	42	149	197	139	147	146	278	101	138	94	23	1583	56	10. VIII.	149
Andermatt		1442	97	28	155	120	114	129	145	264	150	95	40	12	1349	62	10. VIII.	139
Göschenen		1125	108	36	143	156	132	145	148	240	146	123	56	18	1451	61	7. VI.	139
Gurtnellen		739	104	23	167	96	107	114	123	202	110	126	53	15	1240	60	22. III.	133
Altdorf II (Ammsmg.)		451	74	14	154	85	112	166	159	199	119	105	47	17	1251	44	3. III.	131
Altdorf I		456	78	18	159	101	108	166	163	194	116	113	46	19	1281	47	3. III.	136
Isenthal	ca	778	110	37	124	143	163	239	204	198	139	128	55	23	1563	65	20. VI.	154
Muotathal	ca	610	140	55	138	183	187	225	213	292	156	219	81	45	1934	54	20. VI.	157
Schwyz		520	130	32	102	171	148	186	289	264	119	204	79	34	1758	74	10. VII.	150
Sattel	ca	785	111	30	106	131	213	165	252	255	131	174	64	39	1671	50	20. VI.	147
Weggis		440	82	27	49	160	166	145	226	222	99	144	34	27	1381	64	10. VIII.	139
Rigi-Kaltbad	ca	1490	122	46	89	213	201	228	379	277	131	214	71	42	2013	79	10. VII.	155
Rigi-Kulm		1775	94	40	64	217	165	191	289	270	119	258	80	41	1828	70	10. VIII.	158
Küßnacht am Rigi		436	86	15	43	127	140	115	222	218	98	137	29	24	1254	58	10. VIII.	130
Engelberg		1018	108	37	104	173	178	219	222	212	134	140	72	25	1624	50	20. VI.	158
Stans	ca	455	87	20	37	148	139	155	226	194	98	120	28	23	1275	61	10. VII.	138
Bürgenstock	ca	855	89	54	37	187	153	144	272	254	102	147	54	32	1525	59	10. VIII.	156
Lungern	ca	735	170	31	108	149	185	177	218	178	99	159	88	18	1580	53	26. I.	140
Melchtal		823	146	15	103	143	176	212	219	204	137	146	47	26	1574	43	3. IX.	140
Sarnen		479	92	17	28	120	125	127	173	162	88	99	28	17	1076	43	10. VIII.	135
Pilatus-Kulm		2068	99	28	58	193	198	149	240	239	111	236	90*	47	1688	66	10. VIII.	156
Luzern (Wesemlin)		498	84	15	23	138	134	96	209	223	89	115	31	21	1178	53	10. VIII.	134
Luzern (Reg.-Geb.)		435	81	20	26	133	137	106	207	205	93	116	35	24	1183	48	10. VIII.	141
Flühli	ca	885	121	21	54	150	144	183	251	217	138	141	67	34	1521	73	10. IX.	151
Entlebuch		725	116	27	43	164	160	146	279	272	84	158	62	27	1538	74	10. VIII.	147
Ruswil		635	92	12	25	131	129	100	235	213	85	113	44	23	1202	62	10. VIII.	137
Werthenstein		585	79	18	17	139	145	117	238	240	73	119	45	20	1250	76	10. VII	137
Eigenthal (Buchsteg)		1006	126	47	50	203	187	187	295	251	130	193	67	45	1781	56	10. IX.	158
Morgarten		726	111	30*	140	141	168	171	236	290	97	220	69	32	1705	59	10. VIII.	148
Unterägeri	ca	742	117	27	87	174	178	112	200	224	93	173	44	30	1459	49	30. IV.	150
Lorzentobel		536	104	20	62	156	180	122	238	280	91	168	46	31	1498	68	10. VIII.	142
Walchwil		449	100	20	77	143	155	126	236	217	94	169	39	36	1412	50	10. VIII.	140
Zug	ca	415	88	20*	46	127	166	100	205	233	74	142	35	35	1271	57	10. VIII.	130
Ebertswil (b. Hausen a. Alb.)	ca	630	93	17	33	132	142	102	247	309	75	161	38	31	1380	64	10. VIII.	135
Mettmenstetten		483	71	11	44	93	122	92	202	225	72	130	40	35	1137	55	10. VIII.	129
VIII. Aare																		
Grimsel-Hospiz		1959	192	85	277	313	297	244	251	258	145	277	158	74	2571	59	2. VII.	180
Guttannen		1058	125	48	162	234	173	179	195	209	143	162	81	32	1743	59	22. III.	146
Gadmen	ca	1210	181	49	93	147	201	245	219	248	153	162	83	35	1816	52	26. I.	155
Meiringen		605	116	25	84	149	145	149	186	194	106	104	43	22	1323	35	5. IV.	140
Brienz	ca	575	138	16	73	188	184	166	190	181	108	117	45	16	1422	46	27. VI.	134
Grindelwald	ca	1040	106	14	79	159	151	129	192	175	100	102	46	12	1265	37	22. III.	124
Kl. Scheidegg		2061	76	18	118	205	169	170	246	211	118	118	34	15	1498	47	20. VI.	133
Lauterbrunnen		790	94	15	59	143	123	100	166	158	82	97	50	12	1099	35	20. VI.	124
Interlaken		568	115	23	64	134	138	85	208	180	86	118	47	13	1211	65	10. VII.	141
Beatenberg		1196	89	37	42	144	146	106	208	190	100	113	44	25	1244	66	10. VII.	145
Kandersteg		1176	86	20	45	115	126	96	157	189	81	87	50	17	1069	37	10. VII.	133
Engstligenalp		1955	139	28	106	239	178	166	218	289	109	150	98	28	1748	43	18. VIII.	161
Adelboden	ca	1340	104	19	87	126	173	104	183	225	78	107	49	19	1274	43	10. VII.	132
Frutigen	ca	890	100	20	41	120	144	101	200	164	81	99	49	14	1133	43	10. VII.	139
Kienthal	ca	980	97	17	38	158	148	108	195	181	70	133	57	15	1217	49	10. VII	128
Hondrich	ca	760	114	15	39	130	145	106	212	192	89	121	42	23	1228	58	10. VII.	136
Zweisimmen	ca	955	152	12	54	81	144	94	184	211	93	117	65	20	1227	45	10. VII.	138
Boltigen	ca	820	153	14	63	103	169	97	235	202	124	108	93	21	1382	83	10. VII.	138

Stationen:		Höhe üb. Meer	Jan.	Febr.	März	April	Mai	Juni	Juli	Aug.	Sept.	Okt.	Nov.	Dez.	Jahr	Maxima		Zahl d. Tage
Alp Kiley	ca	1375	150*	20*	70*	139	183	100	255	234	127	114	62	22	1476	?	—	137
Grimmialp		1214	134	17	70	101	158	91	226	228	109	116	58	20	1328	52	10. VII.	138
Wimmis	ca	635	131	13	43	155	160	95	205	200	92	116	44	21	1275	47	10. VII.	136
Heiligenschwendi		1126	71	18	35	153	137	133	253	195	101	122	39	26	1283	93	10. VII.	139
Thun		560	62	12	31	99	121	92	215	167	109	89	29	16	1042	73	10. VII.	121
Schwarzenegg	ca	920	73	12	30	117	150	144	238	202	118	109	40	21	1254	73	10. VII.	138
Großhöchstetten	ca	743	91	14	27	128	168	93	212	224	96	120	31	21	1225	56	10. VII.	131
Belp		520	91	9	31	104	137	92	189	219	85	121	36	16	1130	51	7. VI.	130
Bern		572	96	5	32	99	115	76	178	207	68	119	33	18	1046	45	10. VII.	130
Lauenen	ca	1200	127	19	51	105	142	117	172	229	61	110	52	19	1204	41	25. VIII.	136
Gsteig bei Saanen		1188	105	9	15	73	127	101	211	274	60	110	45	26	1156	50	25. VIII.	121
Saanen (Solsana)		1155	128	18	49	90	133	80	170	234	69	126	57	12	1166	39	10. VII.	130
Rougemont		1003	140	12	42	89	141	81	168	261	84	120	63	21	1222	40	18. VIII.	131
Château-d'Oex		994	133	13	40	107	147	110	167	269	88	137	63	15	1289	43	25. VIII.	131
L'Etivaz	ca	1140	92	5	21	92	137	103	163	268	57	109	56	14	1117	49	18. VIII.	130
Jaun		1020	171	26	63	148	214	162	303	256	152	174	84	32	1785	93	10. VII.	149
La Valsainte		1015	142	24	32	162	205	152	249	267	120	180	53	25	1611	69	10. VIII.	136
Marsens		721	111	7	19	126	155	100	189	187	120	154	38	16	1222	41	18. V.	125
La Roche		750	92	14	23	137	161	114	191	201	112	167	28	15	1255	51	10. VII.	139
Romont		764	123	6	20	79	131	72	185	204	132	119	31	13	1115	65	2. IX.	124
Freiburg	ca	677	79	6	18	91	120	82	154	209	76	102	24	18	979	41	10. VII	127
Gauglera		921	103	13	23	149	181	93	284	234	130	161	30	17	1418	53	10. VII.	136
Schwarzenburg		795	102	13	23	139	187	93	251	241	101	151	43	19	1363	62	10. VII.	130
Wahlendorf	ca	755	131	11	47	125	137	83	164	223	84	155	39	23	1222	38	27. VIII.	139
Aarberg	ca	450	127	1	34	79	106	65	149	207	82	111	20	16	997	34	18. V.	111
Rossenges s. Moudon	ca	700	125	8	19	91	125	70	165	187	89	115	32	19	1045	34	18. V.	121
Moudon		515	120	4	18	86	113	49	149	192	87	79	32	17	946	37	13. VII.	112
Payerne	ca	450	106	6	21	86	114	53	138	174	89	91	30	18	926	53	13. VII.	116
Avenches		474	97	2	21	88	100	64	160	156	90	84	24	19	905	44	13. VII.	117
Kerzers		434	120	0	26	83	99	63	180	183	79	102	18	20	973	52	2. VII.	105
Witzwil		432	106	3	42	95	119	70	176	190	82	110*	20*	20*	1033	42	20. VIII.	116
La Cure		1155	112	6	93	—	—	—	—	—	—	—	—	—	—	—	—	—
Le Sentier	ca	*1024*	115	19	53	76	105	89	220	258	143	134	58	34	1304	58	2. IX.	141
Le Pont		*1008*	148	16	56	94	138	73	218	227	122	124	50	35	1301	51	2. IX.	151
Vallorbe-Reposoir		920	186	10	58	100	153	84	196	248	124	140	56	37	1392	52	2. IX.	155
Vallorbe-Village	ca	785	151	27	44	97	142	73	200	210	119	128	48	30	1269	56	13. VII.	148
L'Abergement	ca	645	166	9	49	92	147	99	171	194	108	97	59	26	1217	56	7. VI.	125
Valleyres-s.-Rances	ca	505	117	8	33	75	107	68	145	164	96	73	31	18	935	44	13. VII.	124
Bochuz		437	124	18	34	95	150	84	205	214	125	82	29	25	1185	71	13. VII.	123
Echallens		618	156	7	21	122	149	60	161	198	126	89	19	17	1125	48	13. VII.	115
Corcelles		560	122	7	28	109	134	96	150	181	115	80	25	17	1064	42	16. IV.	134
Yverdon		433	109	5	26	83	111	59	155	186	96	75	23	18	946	47	20. VIII.	119
Thierrens		770	112	4	17	93	132	68	173	184	91	106	21	29	1030	40	13. VII.	125
Baulmes	ca	*634*	177	18	55	109	140	98	173	202	110	121	61	30	1294	49	26. I.	138
La Frêtaz p. Bullet		*1197*	150	18	82	133	145	121	213	293	151	140	70	30	1546	51	13. VII.	140
Chasseron		*1601*	114	10	49	88	131	103	245	304	135	209	99	59	1546	62	13. VII.	150
L'Auberson	ca	*1110*	171	22	61	89	147	103	256	246	142	164	93	43	1537	67	13. VII.	164
St-Sulpice	ca	*760*	176	14	64	124	120	90	218	208	135	145	83	35	1412	52	13. VII.	151
Couvet		*755*	131	12	53	119	116	92	203	110	120	118	65	25	1164	46	13. VII.	136
Combe-Garot		532	137	7	36	126	111	67	217	206	122	130	57	24	1240	45	13. VII.	130
Grandchamp-Areuse		438	133	5	30	87	114	56	185	191	87	82	40	22	1032	45	13. VII.	119
La Brévine (Les Taillères)	ca	*1060*	160	7	60	97	116	109	315	196	127	99	67	24	1377	72	26. I.	144
Les Ponts	ca	*1056*	148	15	47	137	112	94	227	232	118	140	86	39	1395	52	13. VII.	143
Cernier		790	132	12	34	117	108	62	194	208	99	130	59	22	1177	43	26. I.	132
Serrières		462	114	2	39	88	136	62	198	188	91	92	31	13	1054	49	13. VII.	120
Neuchâtel		487	104	7	30	90	107	50	175	181	77	89	30	15	955	42	13. VII.	119
Hauterive	ca	475	105	5	29	91	104	50	182	188	85	92	33	17	981	49	13. VII.	118
Chaumont		1141	99	18	66	125	113	66	281	223	89	115	49	39	1283	54	13. VII.	140
Biel		436	143	11	67	80	139	58	223	188	70	91	43	22	1135	54	13. VII.	123
Evilard	ca	725	174	12	82	96	149	71	205	215	89	91	67	29	1280	41	13. VII.	136
Mont-Soleil	ca	1180	137	26	82	132	122	111	264	217	132	168	88	44	1523	67	10. VII.	158
Courtelary		692	131	11	69	91	103	82	254	191	93	137	63	24	1249	49	10. VII.	129
Weissenstein		1285	90	18	74	112	148	91	168	245	65	82	47	23	1163	40	7. VI.	127
Solothurn		470	143	14	80	93	157	65	160	269	109	110	51	27	1278	42	30. V.	130
Marbach	ca	875	138	26	55	162	170	157	257	238	170	160	69	39	1641	94	10. IX.	166
Escholzmatt	ca	910	114	30	34	175	154	158	240	243	134	142	55	41	1520	79	10. VIII.	157
Langnau i. E.		692	108	14	31	118	149	119	251	246	90	126	49	26	1327	53	10. VIII.	134

Stationen:	Höhe üb. Meer	Jan.	Febr.	März	April	Mai	Juni	Juli	Aug.	Sept.	Okt.	Nov.	Dez.	Jahr	Maxima		Zahl d. Tage
Wasen i. E.	ca 755	110	19	31	128	182	102	165	197	90	148	42	19	1233	37	10. IX.	137
Affoltern i. E.	793	92	14	28	97	187	81	155	190	68	118	28	20	1078	57	29. V.	131
Burgdorf	525	89	5	29	87	130	86	152	190	56	105	24	16	969	47	7. VI.	121
Gerlafingen	451	117	9	52	84	141	68	145	205	76	112	32	20	1061	35	20. VIII.	122
Herzogenbuchsee	464	102	10	32	71	182	77	166	194	77	116	33	17	1077	66	29. V.	125
St. Urban	453	137	14	61	91	162	79	164	258	73	129	37	23	1228	41	26. I.	125
Luthern	762	128	25	46	132	141	104	194	230	78	137	62	23	1300	75	10. VIII.	142
Wauwilermoos	504	100*	14	60*	90*	149	65	162	204	74	121	39	26	1104	52	10. VIII.	136
Zofingen	435	99	19	61	84	131	80	160	255	69	135	35	20	1148	49	10. VIII.	123
Herbetswil	524	95	14	81	82	145	92	140	208	88	110	43	18	1116	44	7. VI.	130
Langenbruck	740	86	27	83	109	115	110	159	214	109	139	48	33	1232	50	7. VI.	137
Balsthal	497	76	10	73	82	122	109	158	193	85	86	37	21	1052	44	7. VI.	128
Allerheiligenberg	ca 890	86	28	82	112	120	114	168	225	110	148	48	28	1269	44	7. VI.	139
Olten I	ca 400	95	21	81	86	117	81	146	219	90	121	40	29	1126	43	10. VIII.	137
Olten II (Gaswerk)	391	87	19	89	88	113	69	149	200	95	121	38	28	1096	37	10. VII.	128
Barmelweid	ca 770	81	40	136	92	81	76	135	256	106	155	48	37	1243	68	3. III.	134
Aarau	408	78	21	117	78	110	57	155	197	67	113	31	27	1051	52	3. III.	133
Kölliken	430	99	24	78	91	121	70	165	241	78	126	55	23	1171	62	10. VIII.	129
Beromünster	ca 640	94	16	54	116	137	73	175	236	78	149	42	20	1190	74	10. VIII.	135
Unterkulm	ca 470	94	21	83	105	142	68	156	250	72	157	46	24	1218	70	10. VIII.	129
Aesch (Luzern)	484	191	14	76	106	131	71	185	238	66	120	40	19	1257	72	10. VIII.	130
Seengen	468	75	16	73	109	100	70	146	224	65	129	40	19	1066	59	10. VIII.	122
Muri	476	83	10	42	91	103	57	161	191	44	107	28	16	933	58	10. VIII.	125
Unterbözberg (Ursprung)	514	86	32	95	100	121	67	142	225	74	125	30	28	1125	48	10. VIII	126
Schinznach-Dorf	ca 365	87	43	110	88	116	53	123	206	64	119	31	22	1062	52	10. VIII.	125
Brugg	ca 345	84	34	102	92	95	51	136	228	61	125	28	21	1057	52	10. VIII.	118
Beznau	ca 330	92	21	77	94	89	54	109	202	57	98	37	22	952	51	10. VIII.	119
Oberweningen	ca 475	82	22	64	124	84	65	127	192	55	95	29	17	956	43	10. VIII.	123
B. Rhonegebiet I. Rhone und Genfersee																	
Oberwald	ca 1370	117	35	215	169	175	203	198	202	163	105	76	18	1676	90	22. III.	138
Reckingen	1332	101	14	152	95	131	78	132	163	105	57	49	7	1084	78	22. III.	107
Fiesch	ca 1060	106	13	118	122	116	57	114	112	98	57	46	0	959	76	22. III.	95
Binn	ca 1415	133	12	121	120*	84	61	140*	137	210	66	57	7	1148	82	25. IX.	97
Saas-Fee	ca 1785	42	8	58	88	55	60	108	98	150	50	19	2	738	67	25. IX.	88
Zermatt	ca 1610	85	6	35	74	37	52	114	137	80	37	21	2	680	47	26. I.	89
Grächen	1617	47	3	32	57	50	15	82	81	63	41	19	1	491	37	16. IV.	80
Visp	ca 650	77	7	66	57	45	11	72	79	45	29	24	1	513	45	16. IV.	66
Kippel	ca 1376	137	11	49	73	91	42	138	182	73	65	50	34	945	51	26. I.	109
Leukerbad	1391	158	7	28	83	101	90	141	226	78	106	58	14	1090	54	26. I.	115
Varen bei Leuk	ca 750	78	6	14	30	68	14	90	125	52	41	15	5	538	27	19. V.	76
Chippis	522	79	2	13	27	52	10	74	113	38	29	13	6	456	28	26 I.	63
Sierre	ca 565	77	0	14	30	58	10	75	122	72	31	16	6	511	44	26. IX.	67
Montana (Lac d'Y-coor)	1509	114	8	26	74	100	38	102	166	50	63	39	9	789	39	26. I.	102
Montana (La Moubra)	1453	116	10	21	62	90	30	99	170	50	53	31	7	739	36	26. I.	94
Grimentz	ca 1565	80	6	52	93	55	55	118	132	58	53	35	7	744	32	14. VII.	101
Dixence	ca 2180	74	6	48	95	64	54	121	156	63	65	20	3	769	33	26. I.	117
Hérémence	ca 1205	79	3	28	43	78	31	96	155	43	38	14	3	611	33	25. VIII.	81
Sion	549	85	1	20	26	67	13	100	127	38	29	15	4	525	30	18. VIII.	73
Sion-Aérodrome	483	84	1	20	31	67	14	82	128	38	33	14	3	515	27	18. VIII.	72
Cleuson	ca 2120	94	5	36	66	67	39	124	211	64	68	25	8	807	43	25. VIII.	106
Bagnes (Montagnier)	ca 835	88	5	18	56	66	32	90	108	49	69	23	4	608	24	18. VIII.	94
Grand-St-Bernard	2479	230	59	147	272	176	96	210	205	162	142	78	44	1821	62	2. IX.	175
Bourg-St-Pierre	ca 1620	81	6	43	95	70	36	146	147	72	67	30*	8	801	35	2. IX.	95
Orsières	ca 885	71	2	21	51	86	21	74	123	42	51	10	2	554	42	19. V.	82
Martigny-Ville	471	90	3	28	46	57	30	79	136	36	47	24	9	585	30	18. VIII.	84
Barberine (Château d'Eau)	1822	189	8	39	125	112	81	182	350	75	111	54	24	1350	80	25. VIII.	132
Le Châtelard	ca 1130	119	10	31	112	87	53	145	258	73	70	38	11	1007	70	25. VIII.	121
Les Marécottes	ca 1040	149	10	30	82	87	49	137	207	53	75	42	12	933	49	26. I.	111
Salanfe	ca 1930	131	3	20	94	112	56	186	399	74	52	24	13	1164	102	25. VIII	124
Gryon	ca 1145	116	33	32	131	129	103	241	223	64	146	35	21	1274	50	10. VII.	143
Les Plans	1080	114	19	32	139	137	92	246	198	75	150	40	18	1260	50	11. VII.	118
Bex	427	81	15	21	83	87	78	213	190	64	92	24	11	959	42	10. VII.	116
Val d'Illiez	ca 870	112	13	14	109	127	87	333	273	79	101	43	12	1303	140	18. VII.	127
Monthey	ca 405	79	6	14	75	88	63	226	198	56	86	26	10	927	54	18. VII	106
Les Diablerets	1180	162	19	44	106	137	104	205	294	64	148	52	32	1367	56	25. VIII.	136

Stationen:	Höhe üb. Meer	Jan.	Febr.	März	April	Mai	Juni	Juli	Aug.	Sept.	Okt.	Nov.	Dez.	Jahr	Maxima		Zahl d. Tage
Leysin	1350	110	17	29	128	123	101	191	208	62	134	36	15	1154	47	18. VIII.	134
Chessel	380	111	12	15	105	140	114	183	236	81	119	46	18	1180	44	25. VIII.	117
Rochers-de-Naye	1982	213	65	64	235	195	286	323	381	104	190	50*	17	2123	89	10. VII.	151
Montreux-Clarens	408	126	6	19	122	138	97	174	225	101	154	40	14	1216	39	10. VII.	133
Vevey	ca 386	128	4	17	102	141	83	179	210	88	158	32	15	1157	55	13. VII.	117
Tour-de-Gourze	ca 915	144	9	28	130	174	100	201	242	124	170	36	26	1384	53	10. VII.	125
Riex	445	158	8	14	99	152	89	221	248	129	133	37	25	1313	54	10. VII.	115
Pully	461	129	5*	20	103	131	89	158	232	132	147	29	21	1196	53	3. X.	123
Lausanne	589	132	4	20	104	126	79	134	193	128	115	26	24	1085	48	18. V.	117
Cossonay	ca 565	123	4	23	110	173	63	145	192	105	79	23	23	1063	62	30. V.	114
Morges	ca 390	158	3	28	100	152	50	131	180	110	78	25	21	1036	58	18. V.	113
Marcelin s. Morges	ca 425	145	1	25	101	147	52	128	184	115	81	28	15	1022	56	18. V.	108
Longirod	ca 885	139	3	40	87	112	72	134	224	169	91	54	29	1154	56	2. IX.	135
Nyon	ca 390	114	6	35	83	117	58	107	151	127	68	21	21	908	50	2. IX.	108
Céligny	ca 432	136	4	41	82	107	53	112	159	145	77	25	27	968	57	2. IX.	107
Genève-Observatoire	405	95	5	32	83	73	62	81	144	117	75	18	19	804	52	2. IX.	92
Jussy	ca 465	120	9	34	100	94	62	106	168	125	81	17	19	935	58	2. IX.	109
Compesières	ca 474	107	7	33	85	64	53	84	142	116	71	17	21	800	55	2. IX.	99
Genève-Cointrin	425	116	4	35	91	98	52	81	141	151	80	17	23	889	70	2. IX.	103
II. Doubs																	
Les Brenets	*878*	145	20	62	121	117	86	256	226	133	159	88	37	1450	63	13. VII.	153
Le Locle	ca *920*	145	21	57	132	114	96	225	229	132	161	93	36	1441	41	28. XI.	149
La Chaux-de-Fonds	990	138	14	62	148	156	95	248	222	133	141	79	39	1475	69	13. VII.	154
Saignelégier	980	131	31	78	128	132	98	291	218	92	165	81	40	1485	60	13. VII.	158
Mormont	548	121	23	40	122	77	64	208	176	60	135	54	25	1105	48	13. VII.	134
C. Pogebiet I. Tessin																	
St. Gotthard	2095	103	31	225	264	131	180	321	453	298	145	111	42	2304	105	2. IX.	177
Airolo	1170	102	11	247	188	93	117	203	393	218	71	33	6	1682	73	20. VIII.	123
Lago di Tremorgio	1849	91	19	201	193	100	123	303	345	263	75	42	12	1767	100	25. IX.	122
Olivone	ca 930	61	9	216	155	78	80	245	254	126	63	29	14	1330	82	22. III.	85
Comprovasco	544	58	8	194	161	70	74	279	373	134	34	21	10	1416	93	27. VIII.	91
Biasca	293	63	6	210	191	118	96	257	576	170	64	29	34	1814	215	27. VIII.	95
S. Bernardino-Vill.	1620	56	16	85	195	121	156	315	519	185	47	34	16	1745	141	27. VIII.	102
Mesocco (Misox)	ca 795	72	4	145	139	113	90	308	375	179	63	23	11	1532	110	27. VIII.	89
Braggio	1332	51	4*	174	169	142	138	307	398	169	92	21	12	1677	101	27. VIII.	88
Grono	357	39	4	177	177	76	114	287	202	135	86	24	11	1332	83	10. VII.	86
Bellinzona	230	41	7	204	194	82	123	252	278	187	75	21	9	1473	86	22. III.	89
Locarno-Aeroporto	198	56	8	248	301	95	190	376	360	175	89	23	12	1933	143	27. VIII.	95
Frasco	ca 890	—	—	—	—	105	148	469	658	209	64	30	17	—	—	—	—
Vira (Gambarogno)	ca 210	41	10	276	263	106	144	399	374	191	99	24	13	1940	156	27. VIII	94
Fusio	ca 1280	67	18	217	178	119	99	283	267	189	58	34	11	1540	79	25. IX.	108
Cevio	418	51	10	313	218	113	102	294	291	239	49	27	11	1718	135	22. III.	102
Bosco-Gurin	ca 1510	70	27	253	255	174	121	328	257	276	74	44	13	1892	118	25. IX.	121
Mosogno	ca 790	40	13	303	245	126	131	338	279	262	57	27	12	1833	117	22. III.	88
Camedo	ca 570	39	18	279	268	138	152	374	405	281	66	32	12	2064	139	25. IX.	90
Locarno-Muralto	244	57	12	295	286	137	156	420	548	173	102	28	17	2231	211	27. VIII.	101
Locarno-Monti	379	44	7	224	253	128	131	391	506	170	93	21	15	1983	209	27. VIII.	90
Ascona	ca 203	46	8	236	280	128	157	369	499	178	95	22	15	2033	212	27. VIII.	81
Brissago	ca 280	51	14	276	319	132	212	380	613	171	92	28	4	2292	247	27. VIII.	94
Mezzana	339	64	16	296	372	78	165	272	201	142	121	49	14	1790	143	2. VII.	99
Monte Brè	910	51	11	207	250	61	117	317	182	139	105	36	11	1487	118	1. VII.	104
Pregassona	ca 350	59	16	244	284	67	93	286	216	140	109	30	12	1556	108	22. III.	95
Lugano	276	61	10	244	315	76	111	319	218	136	129	39	17	1675	108	1. VII.	101
Piandanazzo (Val Colla)	1604	70	25	167	242	112	187	314	281	185	131	32	21	1767	89	2. VII.	121
Crana-Torricella	1002	69	18	240	329	127	168	366	387	154	98	39	13	2008	136	27. VIII.	106
Fescoggia	ca 855	64	12	258	339	137	148	316	305	161	100	39	18	1897	113	27. VIII.	106
Ponte Tresa	274	57	10	267	374	84	100	244	229	145	96	37	16	1659	113	22. III.	86
Simplon-Bleike	1484	—	—	—	—	—	—	—	—	281	50	38	10	—	—	—	—
II. Adda																	
Bernina (Lago Bianco)	2240	120	29	163	152	105	139	160	245	194	123	58	10	1498	85	2. IX.	111
Cavaglia	ca 1705	130	5	103	205	97	105	119	209	177	88	36	7	1281	78	2. IX.	96
Robbia (San Carlo)	1079	—	—	—	—	—	—	103	181	167	58	27	4	—	—	—	—
Miralago	964	—	—	—	—	—	—	92	145	137	55	22	0	—	—	—	—
Brusio (Piazzo)	ca 840	46	4	59	117	57	89	103	136	128	76	25	2	842	60	2. IX.	91
Campocologno	ca 535	—	—	—	—	—	—	—	100	104	53	25	0	—	—	—	—
Vicosoprano	ca 1065	81	1	135	153	75	139	220	242	227	53	33	5	1364	104	2. IX.	98
Soglio	ca 1100	80*	0	130*	131	70	137	189	203	220*	55	32	11	1258	?	—	—

Stationen	Höhe üb. Meer	Jan.	Febr.	März	April	Mai	Juni	Juli	Aug.	Sept.	Okt.	Nov.	Dez.	Jahr	Maxima		Zahl d. Tage
D. Donaugebiet Inn																	
Sils-Maria	1802	51	2	70	75	66	100	135	164	139	55	19	3	879	65	2. IX.	91
St. Moritz	1833	20	3	19	36	58	88	102	138	125	62	16	0	667	64	2. IX.	85
Bever	1712	30	2	32	56	66	91	118	144	129	57	11	1	737	53	2. IX.	89
Buffalora	1968	54	8	52	20	60	148	129	288	120	87	20	0	986	49	22. VIII.	113
Zernez	ca 1470	50	4	76	50	37	75	102	134	107	60	16	3	714	39	2. IX.	95
Susch	ca 1430	46	5	84	39	43	93	104	134	108	60	23	0	739	43	2. IX.	99
Schuls	1253	49	7	41	21	38	108	80	133	76	79	14	1	647	37	2. IX.	88
Martina	ca 1035	48	10	63	16	59	94	82	116	68	73	22	2	653	32	8. VI.	95
E. Etschgebiet Rombach																	
Sta. Maria	1411	43	3	27	54	66	64	84	125	101	74	19	5	665	56	2. IX.	89

Monats- und Jahressummen im Jahre 1956

ausgedrückt in Prozenten der Normalmengen *)

Stationen:	Höhe üb. Meer	Jan.	Febr.	März	April	Mai	Juni	Juli	Aug.	Sept.	Okt.	Nov.	Dez.	Jahr
Platta (Medels)	1378	89	29	158	127	99	93	132	176	110	72	43	6	102
Davos-Platz	1561	147	34	150	42	120	116	109	127	125	127	74	12	103
Chur	633	147	42	113	52	146	119	121	163	64	120	63	21	104
Sargans	510	117	70	136	122	124	118	63	147	83	131	97	20	104
Altstätten	468	181	42	118	85	121	113	106	149	75	138	96	41	108
St. Gallen	664	152	88	79	117	105	112	128	142	55	147	65	46	107
Kreuzlingen	446	194	38	51	89	131	71	112	174	45	147	71	33	100
Lohn (Schaffhausen)	643	143	39	51	146	96	60	148	206	56	100	90	33	102
Basel-Bernoullianum	277	129	39	19	129	122	71	216	163	72	105	42	48	104
Glarus	503	155	32	105	111	126	114	98	161	95	151	80	27	109
Zürich	569	189	31	93	113	121	58	165	181	68	136	59	25	109
Einsiedeln	914	138	38	107	129	117	88	108	145	77	160	68	24	104
Altdorf	456	122	29	209	105	102	121	104	131	109	107	57	23	105
Engelberg	1018	116	43	101	140	129	127	121	120	101	111	77	25	106
Luzern-Wesemlin	498	175	31	34	155	117	65	137	157	84	131	52	36	105
Guttannen	1058	112	45	125	154	121	117	117	131	106	109	69	25	105
Beatenberg	1196	101	45	39	117	109	60	118	117	84	97	48	25	84
Bern	572	200	10	48	130	122	67	159	192	76	135	49	28	107
Neuchâtel	487	170	12	43	125	130	50	184	183	90	96	38	19	98
Chaumont	1141	155	30	90	158	123	58	258	199	93	111	58	47	120
Affoltern i. E.	796	146	23	33	102	164	58	124	148	67	122	37	26	93
Langenbruck	740	110	37	99	116	103	84	122	186	107	138	61	36	103
Olten	ca 400	142	32	109	106	116	64	115	183	92	123	51	35	100
Aarau	408	130	36	170	101	116	49	132	181	73	131	44	36	103
Muri (Aargau)	476	141	17	58	105	97	44	126	158	46	120	41	21	86
Reckingen	1332	140	22	167	102	149	93	150	192	113	49	57	8	103
Sion	549	198	2	43	67	168	29	185	195	79	51	29	7	89
Grand-St-Bernard	2479	132	38	70	127	99	59	162	149	108	66	39	21	85
Martigny-Ville	471	158	6	49	87	112	52	111	170	60	63	39	12	78
Montreux-Clarens	408	233	11	26	153	147	84	143	177	105	159	56	19	115
Lausanne	589	228	7	27	137	137	80	134	175	129	106	31	30	104
Genève-Observatoire	405	202	10	51	120	96	78	104	150	138	76	23	28	90
St. Gotthard	2095	66	22	114	128	63	101	169	232	144	58	53	22	99
Airolo	1170	144	15	209	139	59	89	136	243	127	32	20	6	101
Braggio	1332	93	7	174	132	85	83	169	211	105	53	18	15	106
Locarno-Muralto	244	90	18	246	177	67	83	215	260	85	46	19	20	120
Lugano	276	102	16	212	194	40	60	183	117	78	65	29	21	97
Sils-Maria	1802	113	5	101	99	73	104	117	140	136	52	23	5	88
Bever	1712	81	6	62	97	92	106	111	133	142	65	16	2	86
Schuls	1253	123	21	117	50	72	161	87	145	107	132	29	2	95

*) Normalperiode 1864—1940. Die mittleren Monats- und Jahressummen sind im Jahrgang 1941 im Anschluß an die vorstehende Tabelle veröffentlicht

Ergebnisse

der im Alpengebiet aufgestellten Niederschlags-Totalisatoren

für das hydrologische Jahr 1955/1956

Station	m ü.M.	Meß-resultat Herkunft	Periode 1955/1956 Zeitdauer 1955	Zeitdauer 1956	Gemessener Wert	Red. Wert 1. 10. 55 - 30. 9. 56
					cm	cm
Suchetgebiet (Jura)						
Suchet (Chalet)	1465	MZA	22. 9.—16. 9.		153	159
Diableretsgebiet						
Becca d'Audon	2870	MZA	16. 10.—16. 9.		145	154
Mont-Blanc-Gebiet						
Col d'Orny	3169	MZA	18. 9.—16. 9.		173	178
Monte-Rosa-Gebiet						
Mondellipaß	2800	A	4. 10.— 2. 10.		231	231
Thäliboden	2485	A	4. 10.— 2. 10.		139	139
Galmen	2690	A	4. 10.— 2. 10.		112	112
Seewinenberg	3025	A	3. 10.— 1. 10.		289	289
Ofenthalpaß	2800	A	5. 10.— 3. 10.		209	209
Stelli-Weißthal	2620	A	5. 10.— 3. 10.		174	174
Schwarzenberggletscher (Fuß Fluchthorn)	2968	A	3. 10.— 4. 10.		134	134
Schwarzenbergkopf	2565	A	3. 10.— 4. 10.		183	183
Mattmarksee	2117	A	5. 10.— 5. 10.		78	77
Allalingletscher	3369	A	17. 9.— 2. 10.		161	161
Kessjen	2840	A	29. 9.—28. 9.		122	122
Plattje	2228	A	6. 10.— 6. 10.		133	132
Furgghorn	3390	MZA	1. 10.—21. 9.		274	284
Gornergrat	3100	MZA	30. 9.—20. 9.		95	101
Simplongebiet						
Magenhorn	2470	MZA	2. 10.—24. 9.		112	121
Jungfraugebiet						
Mönchsgrat	3810	MZA	26. 9.—26. 9.		303	307
Trugberg	3530	MZA	24. 9.—28. 9.		119	118
Kranzberg	3180	MZA	22. 9.— 1. 10.		390	385
Konkordia	2890	MZA	23. 9.—29. 9.		101	100
Aletschwald	2040	MZA	19. 10.—28. 9.		116[1]	116
Grimsel- und Gelmergebiet						
Kl. Siedelhorn	2430	C	4. 10.—22. 11.		208	191
Abschwung	2900	C	4. 10.—24. 11.		215	197
Pavillon Dollfus	2415	C	4. 10.—24. 11.		163	150
Oberaarjoch	3310	C	3. 10.—23. 11.		318	292
Gelmer Bergli	2144	C	4. 10.— 2. 7.		120	168
Titlisgebiet						
Trübsee-Jochpaß	1800	MZA	29. 9.—22. 9.		201	206
Gotthardgebiet						
Lago Ritom	1960	MZA	24. 5.—28. 9.	1956	71	130
Cristallinagebiet						
Lago di Naret	2313	D	30. 9.— 1. 10.		216	216
Lago Sfundau	2523	D	30. 9.— 1. 10.		193	193
Lago Bianco	2063	D	30. 9.— 1. 10.		294	294

Station	m ü. M.	Meß-resultat Herkunft	Periode 1955/1956 Zeitdauer 1955	Zeitdauer 1956	Gemessener Wert	Red. Wert 1. 10. 55 - 30. 9. 56
					cm	cm
Oberes Maggiagebiet						
Großalp-Bosco	1900	D	1. 10.—30. 9.		222	222
Alpe Quadrella	1810	MZA	30. 9.—30. 9.		218	218
Campo-Maggia	1380	MZA	30. 9.—30. 9.		199	199
Greinagebiet						
Greinaboden (West)	2327	B	3. 10.—12. 10.		218	212
Greinaboden (Ost)	2327	B	4. 10.—13. 10.		141	137
Alp Sutglatschèr	1420	B	4. 10.—13. 10.		180	175
Medelserhütte SAC.	2480	B	7. 9.—28. 9.		205	199
Alp Cugn	2154	B	1. 10.—10. 10.		147	143
Alp Nadéls	1880	B	5. 10.—11. 10.		122	120
Alp Naustgel	1945	B	30. 9.— 9. 10.		141	139
Rhätisches Alpengebiet						
Gemskanzel-Rheinwaldfirn	2916	B	18. 9.— 9. 9.		113	118
Älpetlistock-Splügenpaß	2393	B	12. 9.—10. 9.		179	183
Muotaulta-Annarosa	2800	B	20. 9.—17. 9.		138	142
Crapet-Prassignola	2650	B	24. 9.—29. 9.		154	154
Piz Curvèr	2810	B	21. 9.—11. 9.		106	108
Piz Scalotta	2965	MZA	21. 9.—25. 9.		119	122
Julier-Hospiz	2315	MZA	14. 9.—21. 9.		105	107
Albula-Hospiz	2315	B	1. 10.—29. 9.		88	88
Engadin						
Sils (Grevasalvas)	1830	MZA	1. 10.—29. 9.		104	104
St. Moritz	1895	MZA	1. 10.—12. 10.		87	83
Stazerwald	1810	MZA	1. 10.—28. 9.		82	82
Punt Muragl	1800	MZA	1. 10.—28. 9.		75	75
Zuoz	1880	MZA	1. 10.—30. 9.		76	76
Cluozza (Blockhaus)	1910	MZA	7. 9.—12. 10.		87	76
Stabelchod	2440	MZA	6. 9.— 1. 10.		122	111
Silvrettagebiet						
Silvrettahütte	2375	MZA	26. 9.—10. 9.		128	136
Eckhorn	3145	MZA	27. 9.— 9. 9.		116	123
Taminagebiet						
Vättnerälpli	1885	A	22. 9.— 5. 9.		116	121
First (Wasserböden)	2200	A	1. 10.— 8. 9.		101	106
St. Martin	1396	A	29. 9.— 8. 9.		119	125
Panäraalp	2028	A	30. 9.— 1. 9.		132	142
Tödigebiet						
Claridenfirn	2710	MZA	18. 9.—16. 9.		323	310
Säntisgebiet						
Säntis (Observatorium)	2504	MZA	30. 9.—29. 9.		404	404
Gebiet des Hohen Randen (Jura)						
Auf dem Hagen	915	MZA	12. 10.—28. 9.		82	85

[1] Meßwert zu klein infolge Ansammlung von Tannennadeln im Apparat.

Während des hydrologischen Jahres 1955/56 wurden die Beobachtungen an den Niederschlags-Totalisatoren im Alpengebiet im gewohnten Umfang weitergeführt.

In Verbindung mit der Eidg. Nationalparkkommission wurde im September 1955 im Fuorngebiet des Nationalparks ein Totalisator (Normalmodell MZA) aufgestellt. Der Apparat befindet sich auf *Stabelchod*, 2440 m ü. M. im SE von Il Fuorn, im Val da Stabelchod. Er wird vom Parkwächter und vom Chef des Zollamtes La Drossa bedient.

Der Totalisator auf dem *Gornergrat* mußte infolge der Erstellung der Luftseilbahn Gornergrat—Hohtäli versetzt werden. Er wurde im Dezember 1955 demontiert und südlich des Hotels Gornergrat neu aufgestellt.

Für die Ermittlung der insgesamt 67 Resultate des Berichtsjahres haben uns wiederum die vier nachfolgend aufgeführten Institutionen ihre Meßergebnisse zur Verfügung gestellt (siehe Kolonne Meßresultat — Herkunft):

A Versuchsanstalt für Wasserbau und Erdbau an der ETH, Abteilung für Hydrologie.
16 Meßergebnisse.

B Rhätische Werke für Elektrizität AG, Thusis.
13 Meßergebnisse.

C Kraftwerke Oberhasli AG, Innertkirchen.
5 Meßergebnisse.

D Baudepartement des Kantons Tessin (Herr Prof. Dr. F. Gygax, Bern).
4 Meßergebnisse.

Die 29 Totalisatoren der MZA wurden von unsern Beobachtern betreut. Ihnen allen, sowie den obgenannten Institutionen sei auch an dieser Stelle für ihre freundliche Mitarbeit bestens gedankt.

H. Bernhard

Ergebnisse der Vergleichsstationen (Regenmeßstationen mit täglicher Beobachtung) für das hydrologische Jahr 1955/1956

Station	m ü.M.	Mittel 1901-1940	1. 10. 54-30. 9. 55	%
		mm	mm	
Suchetgebiet (Jura)				
Vallorbe-Reposoir	920	1510	1503	100
L'Abergement	645	1194	1295	108
Baulmes	634	1377	1286	93
L'Auberson	1110	1481	1577	106
Chasseron	1601	—	1455	—
Diableretsgebiet				
Les Diablerets	1180	1431	1377	96
Gsteig b. Saanen	1188	1330	1205	91
Mont-Blanc-, Monte-Rosa- und Simplongebiet				
Grand-St-Bernard	2479	2140	1947	91
Bourg-St-Pierre	1620	849	807	95
Zermatt	1610	704	702	100
Saas-Fee	1785	858	820	96
Grächen	1617	563	498	88
Visp	650	636	574	90
Jungfrau- und Grimselgebiet				
Grimsel-Hospiz	1959	2070	2511	121
Guttannen	1058	1719	1775	103
Grindelwald	1040	1265	1287	102
Lauterbrunnen	790	1184	1081	91
Engstligenalp	1955	—	1687	—
Oberwald	1370	1503	1806	120
Reckingen	1332	1094	1238	113
Fiesch	1060	945	1098	116
Kippel	1376	936	985	105
Leukerbad	1391	1047	1169	112
Titlisgebiet				
Engelberg	1018	1568	1640	105
Gotthard-, Cristallina- und Maggiagebiet				
St. Gotthard	2095	2285	2296	100
Airolo	1170	1717	1848	108
Lago di Tremorgio	1849	1851	1857	100
Fusio	1280	1719	1664	97
Cevio	418	1776	1879	106
Bosco-Gurin	1510	1879	2019	107

Station	m ü.M.	Mittel 1901-1940	1. 10. 54-30. 9. 55	%
		mm	mm	
Greinagebiet				
Platta	1378	1291	1289	100
Disentis	1173	1241	1261	102
Val	1208	1210	1079	89
Surrhein	899	1137	1118	98
Vrin	1452	1230	1160	94
Olivone	930	1467	1430	97
Rhätisches Alpengebiet, Engadin und Silvretta				
Hinterrhein	1620	1732	1769	102
Splügen (Dorf)	1504	1456	1339	92
Avers am Bach	1960	1009	1047	104
Andeer	980	1012	924	91
Bivio	1770	1269	1100	87
Savognin	1205	961	880	92
Preda	1769	—	1015	—
Soglio	1100	1394	1345	96
Sils-Maria	1802	1037	925	89
St. Moritz	1833	935	685	73
Bever	1712	879	765	87
Buffalora	1968	923	1024	111
Susch	1430	813	736	91
Sta. Maria	1411	770	649	84
Klosters	1200	1282	1403	109
St. Antönien	1460	1376	1460	106
Davos-Platz	1561	999	998	100
Taminagebiet				
Vättis	956	1092	1033	95
Bad Ragaz	518	1144	1166	102
Tödigebiet				
Auen (Linthal)	815	1650	1822	110
Urnerboden	1350	1750	1789	102
Braunwald ob Linthal	1190	1870	1945	104
Säntis				
Säntis (Observatorium)	2500	2904	2618	90
Gebiet des Hohen Randen				
Merishausen	524	900	945	105
Schleitheim	490	846	824	97
Lohn	643	873	876	100

Die Niederschläge des Jahres 1956

Die Jahressummen weichen von den langjährigen Mittelwerten im allgemeinen wenig ab, nicht mehr als etwa zu 15 % derselben (vgl. die Tabelle der prozentualen Mengen auf Seite 3/8). Dabei kommen auf beiden Seiten der Alpen sowohl Überschuß- wie Defizitgebiete vor. Ein Defizit war vor allem zu verzeichnen im westschweizerischen Jura und im Wallis (mit Seitentälern) zwischen Martigny und Brig. Auch das Engadin, das Einzugsgebiet des Hinterrheins, das Bergell und der größte Teil des Kantons Tessin (die Gegend von Locarno und das Bleniotal ausgenommen) weisen ein mäßiges Defizit auf. Auf der Alpennordseite ist im übrigen etwas mehr als der Normalbetrag gefallen. Gebiete mit Überschüssen sind hier u. a.: das Einzugsgebiet der Sense, die Südhälfte des Kantons Glarus, das Alpsteingebiet und das Prätigau.

Relativ trockene Monate waren in der ganzen Schweiz vor allem der Februar, der November und der Dezember. In diesen Monaten sind besonders im Wallis, im Tessin und Engadin, teilweise auch in der Westschweiz weniger als ein Fünftel des Normalbetrages gefallen. Im Wallis, Tessin und Mittelland war auch der Juni noch ziemlich trocken in der Nord- und Nordostschweiz auch der September.

Sehr niederschlagsreiche Monate waren in der ganzen Schweiz der August, fast überall auch der Juli und wenigstens auf der Alpennordseite auch der Januar, der der Westschweiz mehr als das Doppelte des Normalbetrages gebracht hat.

Einzelne bemerkenswerte Niederschläge

26. Januar

Am 26. Januar * (vgl. die Regenkarte Nr. 1) sind im Gebiet des Alpennordhangs, in Nordgraubünden sowie im Neuenburger und Berner Jura Niederschlagsmengen von mehr als 30 mm gefallen. Die Maximalzonen liegen in der Gegend des oberen Val de Travers bei la Brévine (73 mm), Saint-Sulpice (43 mm), ferner in einem durch die Stationen: Boltigen (Simmental) (42 mm), Zweisimmen (40 mm), Adelboden (39 mm), Leukerbad (54 mm), Kippel (51 mm) bezeichneten Streifen, ferner bei Zermatt (47 mm), Lungern (53 mm), Gadmen (52 mm), im Kanton Glarus, wo fast überall mehr als 40 mm gemessen wurde (Urnerboden 64 mm, Braunwald 77 mm, Panix 41 mm, Elm 50 mm, Klöntal 42 mm, Glarus 33 mm) sodann im Prätigau (Klosters 43 mm, Davos 40 mm) und im oberen Toggenburg (Ebnat 58 mm, Starkenbach 47 mm).

Diese Niederschläge hängen mit der Passage einer Sekundärzyklone längs des Kanals zusammen. Die Wetterkarte vom 26. Januar um 13.00 h zeigt eine ausgedehnte atlantische Depression etwa in der Breite von Schottland. Ihre größtenteils okkludierte Front mit ausgesprochenem Trog verläuft zunächst der schottischen Westküste entlang, dann über London, Paris bis nach Marseille. Die Rückseite weist bedeutend höhere Temperaturen auf als die Vorderseite. Es liegt also im wesentlichen ein Warmlufteinbruch von Westen her vor. In Zürich setzten die Niederschläge um 13.30 h ein. Von 18.00 h an bis um 03.00 h des Nachtages steigt die Temperatur um etwa 9 Grad. Um 24.00 h wird das Luftdruckminimum erreicht. Die Niederschläge dauerten jedoch noch bis um 08.00 h des Nachtages. Dabei ging die Temperatur wieder um etwa 2 Grad zurück. Auf dem Säntis war der Temperaturverlauf ähnlich, jedoch der Anstieg um 6 Stunden verfrüht. Der Warmsektor war anfangs über Frankreich anscheinend noch offen, doch ist die Kaltfront kaum zu erkennen. Jedoch entwickelte sich am Abend des 26. in der Kanalgegend, am Okklusionspunkt, eine selbständige Randzyklone der obigen Depression.

2. und 3. März

Die Niederschläge vom 2. und 3. März zeigen fast die gleiche Verteilung und nur wenig verschiedene Beträge. Diejenige vom 3. ist in der Karte Nr. 2 wiedergegeben. Die Hauptniederschlagszone umfaßt das Einzugsgebiet der Sihl (Wädenswil am 2. März: 51 mm, am 3. März: 57 mm, Einsiedeln 32, 51 mm, Oberiberg 51, 56 mm), den Kanton Glarus (Braunwald 73, 73 mm, Urnerboden 55, 63 mm, Elm 45, 55 mm). Weitere Kerngebiete liegen im Toggenburg bei Ricken (58, 56 mm), Ebnat (74, 95 mm), ferner im Prätigau (Klosters 44, 46 mm, St. Antönien 61, 63 mm) und schließlich im Aargauer Jura (Aarau 43, 52 mm, Bözberg 33, 38 mm, Laufenburg 55, 69 mm). Die Alpensüdseite blieb an beiden Tagen niederschlagsfrei. In der Westschweiz, der westlichen Zentralschweiz und im Wallis wurden weniger als 10 mm gemessen. Die Schneefallgrenze lag in etwa 1700 m Höhe.

Die Wetterkarte vom 2. März um 07.00 h zeigt eine ungewöhnlich tiefe Depression über Nordeuropa, deren Minimum von 960 Millibar westlich von Stockholm liegt. Sie verursachte in Westeuropa eine starke Strömung aus West am Boden, aus Westnordwest in der Höhe. In Zürich wurden mittlere Windstärken von 35 bis 40 km/h registriert. Die Fronten der Depression waren in ihrem nördlichen Abschnitt okkludiert. Die Warmfront verläuft etwa von Berlin aus südwestwärts nach Mittelfrankreich während die Kaltfront nahezu isobarenparallel im Norden zurückbleibt. Ein kleiner Anteil der Niederschläge vom 2. muß als Warmfrontaufgleitregen angesehen werden. Der Eintritt in den Warmsektor zeigt sich auf dem Säntis etwa um 08.00 h an, während in Zürich das Temperaturmaximum erst um 22.00 h erreicht wurde. Der Hauptteil der Niederschläge setzte jedoch erst um 22.40 h ein. Die Mitternachtskarte (3. März, 01.00 h) zeigt

* Diese Datumsangaben beziehen sich auf die Niederschläge, die zwischen 07.30 h des angegebenen Tages und 07.30 h des nachfolgenden Tages gefallen sind.

das Depressionszentrum bei Leningrad. Die Rückseitekaltluft hat bereits ganz Deutschland, Polen, Böhmen und Westrußland überschwemmt. Ihr südlicher Rand verläuft ungefähr über Dublin, Brüssel, München, Budapest ... Das Stück Ostalpen–Budapest ist sehr scharf als Kaltfront durch die Druck- und Temperaturstufe gekennzeichnet. Damit wird deutlich, daß die Niederschläge in dem Moment eingesetzt haben, in dem die Kaltfront die Ostalpen erreichte. Die Schweiz ist jedoch von den Kaltluftmassen nicht erreicht worden. Es handelt sich vielmehr um die schon oft beobachtete Niederschlagsbildung in dem nach Westen offenen Sektor, den die Kaltfront mit der Alpenkette einschließt, obwohl nördlich der Alpen ein schwacher Hochdruckteil bestand, der an sich Divergenz und Absinken anstrebt.

In der Gegend vor Irland entwickelte sich am 3. März früh eine Welle. Die neue Kaltfront derselben rückte im Laufe des 3. ostsüdostwärts vor und erscheint am 4. um 07.00 h über dem Kanal. In der Schweiz ließen die Niederschläge gegen Mitternacht vom 3. zum 4. März allmählich nach (Ende in Zürich um 02.00 h). Das ist offenbar auf das Zurückweichen der quasistationären Front (als Warmfront) gegen Osten und die allmähliche Winddrehung nach Westen in der Höhe zurückzuführen. Die neue Kaltfront erreichte die Schweiz etwa um 23.00 h des 4. und verursachte einige Niederschläge, die in den oben erwähnten nicht enthalten sind. Der vorliegende Fall unterscheidet sich von früheren, im Prinzip ähnlichen durch die großen Windstärken.

16. April

Die Niederschlagsverteilung (Karte Nr. 5) dieses Tages weist zwei Hauptniederschlagsgebiete auf. Das eine (mehr als 20 mm) umfaßt das Unterwallis, die Westschweiz ungefähr bis zur Saane, den Kanton Neuenburg, das Seeland und den Berner Jura. Mehr als 30 mm fielen am Genfersee und im waadtländischen Mittelland, sodann auf der Westseite des Jura. Hier sind auf einigen Stationen über 40 mm gemessen worden (Cossonay 47 mm, Corcelles 42 mm, Baulmes 41 mm, Saint-Sulpice 42 mm, Le Locle 41 mm). Die nordöstlichen Landesteile haben meist weniger als 10 mm zu verzeichnen. Anderseits sind auf der Alpensüdseite bedeutende Beträge gefallen. Die Maximalzone liegt im westlichen Tessin (Bosco Gurin 94 mm, Mosogno 86 mm, Brissago 89 mm, Ponte Tresa 91 mm, Mezzana 81 mm). Überhaupt hat der ganze Kanton Tessin mehr als 40 mm zu verzeichnen, ebenso das Oberwallis (Visp 45 mm, Saas-Fee 53 mm, Fiesch 55 mm), das Bergell (Vicosoprano 46 mm) und die Südseite der Bernina (Cavaglia 52 mm).

Die Wetterlage war die folgende: Am 16. April um 07.00 h lag eine ausgedehnte Depression (Minimum 1000 Millibar) über dem westlichen Mittelmeer. Von ihr aus erstreckte sich eine Rinne nördlich der Alpen vorbei über Ostfrankreich, Süddeutschland, Polen bis nach Rußland. Auf der Ostseite der Mittelmeerdepression stößt warme Luft nach Norden vor. Die Höhenwetterkarte zeigt über den Alpen starke Südwestwinde, die bis zum Nachtag nach Süd drehen. Die Niederschläge im Tessin sind im wesentlichen als der Aufgleitregen dieser warmen Luft über ältere Kaltluftmassen in der Poebene aufzufassen. Sie sind im übrigen durch die Föhnlage begünstigt. Die Depression verlagerte sich nach Osten, und am 17. April liegt das Luftdruckminimum bereits bei Prag, womit die Alpennordseite in den Bereich der Rückseitekaltluft gelangt ist. Das Höhentief (500-Millibarfläche) liegt jedoch auch am 17. und am 18. April noch den ganzen Tag westlich der Alpen. Die Niederschläge in der Westschweiz fielen hauptsächlich vom 16. April um 16.00 h bis zum 17. April um 02.00 h und sind offensichtlich durch den Einbruch der Rückseitekaltluft aus Westen unter die an den Westalpen vorbei nordostwärts strömende Warmluft verursacht. Die aerologische Sondierung in Payerne am 17. April um 04.00 h zeigt eine Winddrehung seit dem Vortag nach West, verbunden mit einer Abkühlung von 7 bis 2 Grad in den unteren Luftschichten bis zu etwa 3500 m Höhe. Am Nachmittag hat die Abkühlung allerdings bereits große Höhen (bei fortdauerndem Südwind) erreicht, wie es dem Eintritt in die zentraleren Partien des Höhentiefs entspricht.

Die übrige Alpennordseite, die im Windschatten der Alpen liegt, hat nur mäßige Niederschlagsmengen aufzuweisen. In Zürich setzen dieselben etwa 5 Stunden später ein als im Westen des Landes. Sie fallen hier hauptsächlich in der Zeit vom 16. April 21.15 h bis 17. April 08.30 h und vom 17. April 19.30 h bis zum 18. April 21.00 h. Dazu ist zu bemerken, daß die Niederschläge vom 17. in den östlichen Landesteilen sich in derselben Größenordnung halten (etwa 10 mm) wie am 16.

18. und 19. Mai

Hauptniederschlagsgebiet war am 18. Mai (Niederschlagskarte Nr. 3) das Mittelland. Mehr als 30 mm fielen im Waadtland und im Kanton Freiburg, ferner in einem schmalen Streifen längs der Aare bis in die Gegend von Olten. Mehr als 40 mm sind u. a. auf folgenden Stationen nördlich des Genfersees und in den Freiburger Alpen gemessen worden: Nyon 41 mm, Morges 58 mm, Tour de Gourze 51 mm, Echallens 46 mm, Marsens 41 mm, Gauglera 43 mm. Außerdem sind einige Maxima in der Nordostschweiz zu verzeichnen, das bedeutendste im Toggenburg (Ricken 46 mm, Peterzell 52 mm).

Am 19. Mai (Karte Nr. 4) finden wir nochmals ein Kerngebiet mit mehr als 30 mm in den Freiburger und Waadtländer Alpen. Das Hauptniederschlagsgebiet liegt jedoch im nordostschweizerischen Alpengebiet und in Graubünden. Mehr als 40 mm wurden hier gemessen im Prätigau (Schiers 41 mm), bei Splügen (49 mm), Hinterrhein (46 mm) und endlich auf der Alpensüdseite bei Mesocco (46 mm), Braggio (52 mm), Locarno-Monti (46 mm).

Die Wetterlage wurde beherrscht durch eine hochreichende Depression über Nordeuropa. Dieselbe verursachte sehr starke Höhenwinde, östlich von Island aus Norden, über Großbritannien aus Nordwest, über Frankreich aus West, über Deutschland aus Westsüdwest. Am Boden sind jedoch die starken Druckgradienten in West- und Mitteleuropa durch die Gradienten der Temperatur kompensiert, so daß in Frankreich und Deutschland nahezu Windstille herrschte.

Etwa bei Lyon liegt am 18. Mai um 07.00 h der Sattelpunkt zwischen einer Depression über Skandinavien und einer zweiten über Portugal, einem flachen Hoch

Einzelne bemerkenswerte Niederschläge 1956
Quelques précipitations importantes en 1956

Tafel I

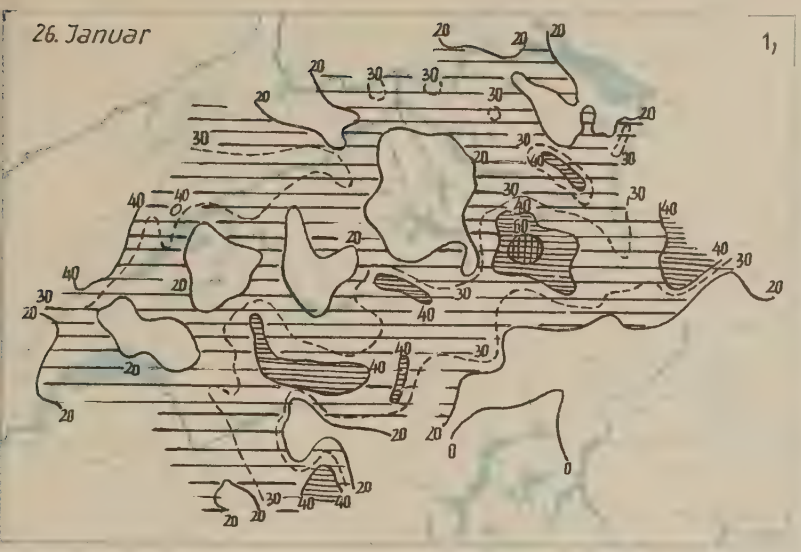

H. KRATZ, ZÜRICH II

Einzelne bemerkenswerte Niederschläge 1956

Quelques précipitations importantes en 1956

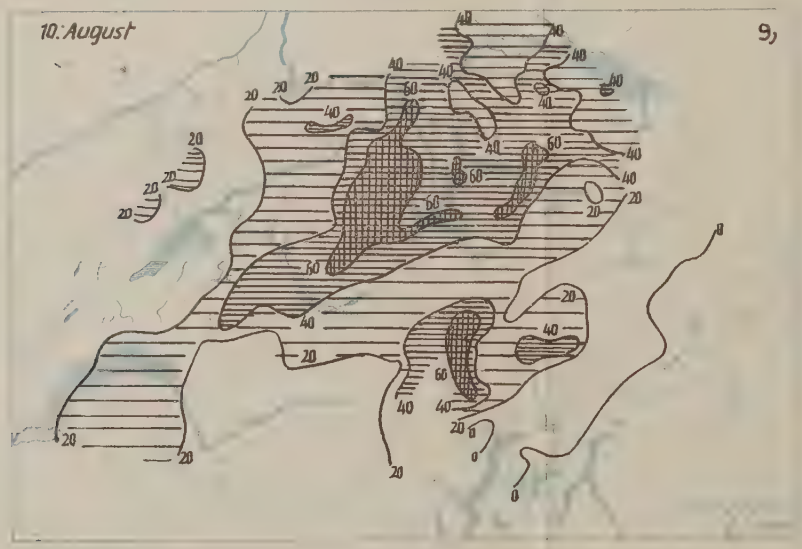

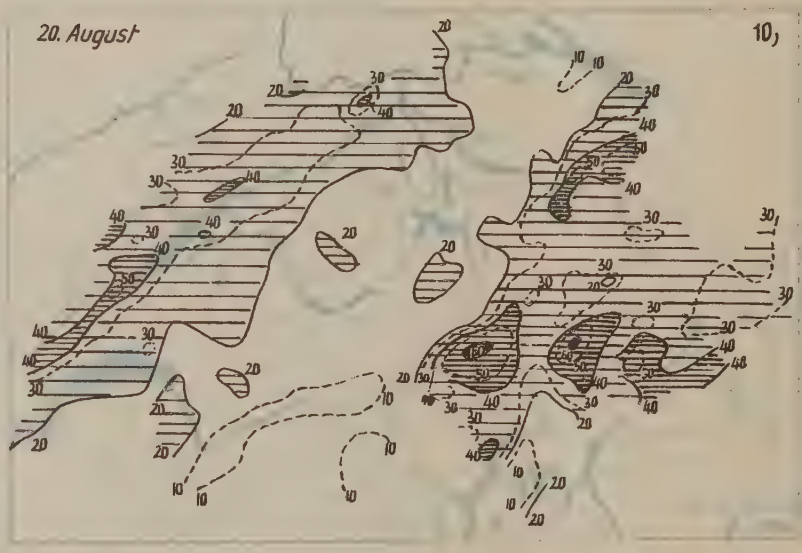

über dem Ostatlantik und einem zweiten über dem Mittelmeer. In 1500 m Höhe besteht über Frankreich und Deutschland ein Temperaturgefälle von 1.5 Grad pro Breitengrad nach Norden. Eine deutliche Front kann auf der Karte nicht lokalisiert werden. Eine solche wäre nahezu windparallel anzunehmen.

Die ganze hochreichende Depression verlagerte sich langsam in südlicher Richtung womit auch die Schweiz in ihren inneren Bereich gelangte. Dabei ging hier die Temperatur sowohl auf dem Säntis wie auf dem Chasseron vom 18. zum 19. und vom 19. zum 20. je nur um etwa 1 bis 2 Grad zurück. Nennenswerte Inversionen sind in den aerologischen Sondierungen nicht festzustellen. Das unscharfe Druckminimum wurde in Zürich um 04.00 h des 19. erreicht und kann vielleicht als Passage einer quasistationären Front angesehen werden. Es fragt sich wie weit sich der Einfluß der Orographie geltend macht. Jedenfalls besteht eine kanalisierende Wirkung der Alpenkette auf die von Südwesten her längs der Westalpen heranströmende warme Luft, in der zahlreiche dem eigentlichen «Kaltlufteinbruch» vorangehende Gewitter stattfanden. Die Gewitterzone deckt sich in der Schweiz mit der Hauptniederschlagszone vom 18. Einige Gewitter brachen schon am frühen Morgen, andere am Nachmittag und Abend aus, die Hauptstörung überall etwa um 21.30 h. Die anhaltenden Niederschläge (nach einigen vorausgehenden Gewittern) setzen in Zürich um 00.00 h des 19. ein, also 4 Stunden vor dem Druckminimum und dauerten ohne Unterbrechung bis zum 20. um 03.45 h. Am 19. waren nur noch auf der Alpensüdseite Gewitter zu verzeichnen.

Die großen Beträge sind durch die labile Schichtung (mit Aufgleiten) der warmen Luftmassen zu erklären. Diese warme Luft ist ganz anderer Herkunft als die kalte. Das Tief westlich von Portugal ist nämlich ebenfalls hochreichend. Die warme Luft fließt daher ursprünglich von Süden her längs der portugiesischen Küste und trifft etwa über Frankreich mit der kalten aus Norden zusammen. Hier findet sich eine auffallende Konvergenzstelle der beiden Strömungen, die dann gemeinsam ostwärts weiter fließen.

7. Juni

Die Niederschlagsverteilung dieses Tages ist in Karte Nr. 6 dargestellt. Ein erstes Gebiet großer Niederschläge mit einer unregelmäßigen (gewittrigen) Niederschlagsverteilung befindet sich im Westen und Nordwesten des Landes (Baulmes 47 mm, Belp 51 mm, Burgdorf 47 mm, Waldenburg 54 mm). Bemerkenswerterweise haben das Wallis, das Berner Oberland und das nordöstliche Mittelland weniger als 20 mm zu verzeichnen.

Anderseits ist der Betrag von 40 mm auch überschritten worden in den Tessiner Alpen (Camedo 75 mm, Bosco-Gurin 54 mm, Biasca 56 mm, St. Gotthard 96 mm), im Bergell (Vicosoprano 54 mm), im Quellgebiet des Vorderrheins (Disentis 51 mm) und der Reuß (Göschenen 61 mm), im Muotatal (Muotatal 46 mm), im Kanton Glarus (Braunwald 58 mm, Glarus 41 mm) und im oberen Toggenburg (Ebnat 51 mm).

Die Wetterkarte vom 7. Juni um 07.00 h zeigt eine Depression über Großbritannien mit Zentrum (995 Millibar) über Nordirland, bei flacher Druckverteilung über dem Mittelmeer und über Südosteuropa. Eine Kaltfront läßt sich verfolgen von Bergen über Hamburg, Frankfurt, Nancy, Clermont, Montpellier. Im 5700 m Niveau (500-Millibarfläche) liegt das Tiefdruckzentrum über Schottland. Über den Alpen weht starker Südwestwind. In der Folge verlagert sich dieses Zentrum in südöstlicher Richtung, wobei das Tief eine in dieser Richtung langgezogene Form annimmt. Am 9. früh liegt das Höhenminimum über der Bodenseegegend. Auch in 1500 m Höhe sind diese Veränderungen deutlich. Sie ermöglichten ein Vordringen der kalten Luft der Rückseite und des Innern der Zyklone gegen Südosten. Wie gewöhnlich beobachtete man in Zürich zunächst die Passage einer Böenlinie um 17.00 h. Sie verursachte starken, hier von NE nach W drehenden Wind (max. 17.8 m/sec), einen scharfen Temperaturrückgang um etwa 6 Grad, aber nur 0.5 mm Niederschlag. Der eigentliche Einbruch der kalten Luft setzte erst etwa um 20 h ein. Dabei ging die Temperatur allmählich um weitere 9 Grad zurück. Die Niederschläge begannen um 20.40 h. Auf dem Säntis erfolgte der Temperaturrückgang (um 6 Grad) etwa 2 Stunden später als in Zürich, die Windrehung von SSW nach W um 21.45 h. Die kalte Luft dringt zunächst in den unteren Schichten ein, was zur Ausbildung des bekannten Hochdruckkeils auf der Alpennordseite führte, während am Alpensüdfuß der Druck (wie in der Höhe) weiter fällt. Die Gleichheit der auf Meer reduzierten Drucke von Kloten und Magadino wurde um 20.30 h erreicht.

Auch im Süden, wo bisher noch keine nennenswerten Niederschläge gefallen waren, setzte sich der Kaltlufteinbruch bald durch. Nachdem schon am 7. die Temperatur um etwa 7 Grad zurückgegangen war, kennzeichnet ein weiterer Temperaturrückgang um 8 Grad zwischen 01.00 h und 07.00 h des 8. Juni den Einbruch der kalten Luft im Süden. Die Niederschläge sin keineswegs Föhnregen, sondern knüpfen sich an den Kaltlufteinbruch. Wie auf der Alpennordseite beginnt er mit Gewitterstörungen (nach 20.00 h). Die Hauptmenge der Niederschläge fiel jedoch nach etwa 24.00 h des 7. und zwar bei zunehmendem Südwestwind, der schließlich um 04.00 h des 8. in Magadino 30 Knoten erreichte, also noch lange nach Beginn der Überdrucks im Norden. Dies hängt offenbar mit der im Süden sich ausbildenden Depression zusammen, die als eine Fortsetzung des Höhentiefs mit seinen durchgehenden Südwestwinden aufzufassen ist. Die oben beschriebene Niederschlagsverteilung ist nicht selten. Sie kommt aber auch bei anderen Situationen vor, häufig dann, wenn bereits ein Temperaturgefälle quer zu den Alpen und eine isothermenparallele Südwestströmung besteht. Dabei laufen dann «Wellenstörungen» von SW nach NE längs der Luftmassengrenze. Für unseren Fall war jedoch charakteristisch die Erweiterung des Höhentiefs in Richtung Südost und damit zusammenhängend der Vorstoß der Kaltluft in dieser Richtung. Von dieser Art war auch der große Niederschlag vom 28. August 1935, der allerdings nicht genau untersucht wurde. Er war ebenfalls mit einem Kaltlufteinbruch verbunden und zeigt eine sehr ähnliche Niederschlagsverteilung, besonders auch die relativ niederschlagsarme Zone längs des Alpennordrandes. Die Niederschlagsmengen waren allerdings damals bedeutend größer.

10. und 11. Juli

Bedeutende Niederschläge im Voralpengebiet sind am 10. Juli (vgl. Karte Nr. 7, Tafel II) niedergegangen. Die Maximalzone ist ungefähr bezeichnet durch die Stationen: Jaun 93 mm, Boltigen 85 mm, Thun 73 mm, Heiligenschwendi 93 mm, Marbach 69 mm, Werthenstein 76 mm, Stans 61 mm, Schwyz 74 mm, Oberkirch 67 mm, Starkenbach 53 mm. Bemerkenswerterweise sind im Gebiet der Hochalpen die Beträge kleiner als 30 mm, doch liegt noch ein Hauptniederschlagsgebiet in den Freibergen (Mont Soleil 67 mm, Saignelégier 60 mm), und ein weiteres im Kanton Baselland (Seewen 63 mm, Rheinfelden 55 mm). Endlich sind im Tessin zwischen dem Langensee und dem Luganersee Beträge von über 60 mm gefallen (Brissago 59 mm, Crana Torricella 75 mm, Lugano 64 mm).

Nach der Wetterkarte vom 10. Juli 07.00 h erstreckte sich eine flache Tiefdruckrinne von Südskandinavien über Westdeutschland nach der Schweiz. Ein kräftiges Hoch liegt auf dem Ostatlantik, ein weiteres schwächeres über Polen und dem Nordbalkan. Die Rinne wandert langsam von Westen nach Osten. Die Niederschläge setzen ungefähr gleichzeitig mit dem durch den scharfen Druckanstieg und Temperaturrückgang gekennzeichneten Einbruch der Rückseitekaltluft ein und zwar in Zürich um 18.30 h. Die Isohypsenkarte der 500-Millibarfläche zeigte einen Höhentrog, der sich vom Minimum in Island über Irland nach dem Golf von Biscaya erstreckt, d. h. er ist gegenüber dem Bodentrog um 12 Grad nach Westen verschoben. Er erreichte die Alpen erst etwa in der Frühe des 11. In Zürich begann daher um 21.00 h nochmals ein aus der Höhe stammender Druckfall. Es trat daher hier ein zweites Minimum um 05.00 h, auf dem Säntis um 07.00 h des 11. ein. Die Niederschläge dauerten jedoch ununterbrochen bis um 23.00 h des 11., d. h. bis zum Ende des zweiten Druckanstiegs. Um diese Zeit verzeichnet der Säntis das Ende des Temperaturrückgangs. Er betrug total etwa 8 Grad und hat jedenfalls bis um 03.00 h des 11. bereits alle Höhen bis auf 10 000 m erfaßt.

Der Beginn der Niederschläge war von verbreiteten Gewittern begleitet. Die Gewittergebiete fallen ziemlich genau mit den Hauptniederschlagszonen zusammen.

Die am Nachtag (11. Juli) gefallenen Niederschlagsmengen (Karte Nr. 8) waren im allgemeinen bedeutend kleiner als diejenigen vom 10. Das Hauptniederschlagsgebiet erscheint etwas nach Ostnordosten verschoben. Der Kanton Appenzell hat etwas mehr Niederschlag erhalten als am 10. Doch war auch am 11. das Voralpengebiet bevorzugt.

Es sei noch bemerkt, daß fast alle in den letzten Jahren seit 1934 untersuchten Fälle großer Niederschläge mit derselben Niederschlagsverteilung sich an die gleiche Situation: Einbruch der Rückseiteluft einer rinnenartigen Depression knüpfen. Es sind die 7 Fälle vom 28. Juni 1934, 10. Mai 1936, 27. September 1936, 5. Juli 1948, 1. September 1950, 15. Juli 1951 und 17. Mai 1954. In allen Fällen setzen die anhaltenden Niederschläge (es mögen einige präfrontale Gewitter vorausgehen) gleichzeitig mit dem Einbruch der Kaltluft ein und zwar jeweilen abends. Der Höhentrog war allerdings erheblich weniger stark gegen Westen verschoben als im vorliegenden Fall.

13./14. Juli

In der Nacht vom 13. zum 14. sind bedeutende Niederschläge vor allem im Jura und in der Westschweiz niedergegangen. Westlich der Linie Montreux, Avenches, Biel, Délémont sind fast überall mehr als 40 mm zu verzeichnen mit Ausnahme der Umgebung des Genfersees. Bevorzugt erscheint die Nordwestseite des Jura (Auberson 67 mm, Chasseron 62 mm, La Brévine 52 mm, La Chaux-de-Fonds 69 mm, Saignelégier 60 mm, Biel 54 mm). Mehr als 50 mm fielen ferner in einem durch die Stationen: Vevey 55 mm, Riex 54 mm, Romont 64 mm, Payerne 53 mm bezeichneten Streifen. Östlich dieser Linie nehmen die Beträge rasch ab, der größte Teil der übrigen Alpennordseite und Graubündens, sowie das Wallis haben weniger als 10 mm, die Nordostschweiz teilweise gar keine Niederschläge (am 13.) erhalten. Erhebliche Beträge hat dagegen das mittlere Tessin zu verzeichnen. Das Maximum liegt bei Crana Torricella mit 91 mm. Die Niederschläge in der Westschweiz sind das Gesamtergebnis von verbreiteten Einzelgewittern am Abend dieses Tages und eines anhaltenden Regens, der zwischen 00.00 h und 01.00 h des 14. einsetzte und ebenfalls von vielfachen Gewittern begleitet war.

Am 13. war zunächst eine Invasion warmer Luft aus Südwesten zu verzeichnen gewesen. Die Abendgewitter gehören noch dieser Luftmasse an. Im übrigen sind aber die Niederschläge auf einen Kaltlufteinbruch zurückzuführen. Die Bodenkarte von 01.00 h des 14. (während des Einbruchs) zeigt eine flache Depression über Westdeutschland und Frankreich. Aufschlußreicher sind die Verhältnisse in der Höhe. Die Höhenkarte der 500-Millibarfläche von 04.00 h des 14. läßt einen kräftigen Tiefdrucktrog über der irischen und französischen Westküste erkennen, der bis zu den Pyrenäen reicht. Über dem Alpengebiet herrschte um diese Zeit eine sehr starke Strömung aus Südsüdwest, der ein starker Druck- und Temperaturgradient (in den Schichten unterhalb) entspricht. Diese wurden hervorgerufen durch eine Invasion kalter Luft in Frankreich seit dem Vortag, die die Westalpen bereits erreicht hatte und nun über der Jurazone in die Schweiz eindringt. Dieses Vordringen nach Osten erfolgte sehr langsam. Der Höhentrog bleibt auch am 14. noch anhaltend westlich der Schweiz. In der Westschweiz scheinen die Höhenwinde, während des Einbruchs in den tieferen Schichten, ziemlich unbestimmt gewesen zu sein. Die Morgenmeldung vom 14. vom Chasseron zeigt wieder kräftigen Südwest. Der Temperaturrückgang erfolgte allmählich, etwas unregelmäßig, auf dem Chasseron zwischen 16.00 h des 13. und 08.00 h des 14. Er betrug hier etwa 10 Grad. (Es mag am Vortag außer der deutlichen Warmluftinvasion auch noch die Strahlung einen gewissen Einfluß gehabt haben.)

Nach 07.30 h des 14. dauerten die Niederschläge auch in der Westschweiz noch einige Zeit fort, in Zürich setzten sie überhaupt erst um 07.30 h ein und dauern hier bis um 13.30 h. Das Ergebnis des 14. sind noch etwa 5 mm im Jura, 10 bis 20 mm im Mittelland, den Freiburger und den Berner Alpen sowie im Wallis und Engadin, 20 bis 35 mm im übrigen Alpengebiet. Auch das mittlere Tessin hat nochmals 40 bis 80 mm erhalten (Locarno-Muralto 78 mm).

10. August

Ein Kaltlufteinbruch aus Westen verursachte in der Nacht vom 10. zum 11. August besonders im Voralpengebiet und im nordostschweizerischen Mittelland ungewöhnlich große Niederschläge, deren Verteilung in Karte Nr. 9 dargestellt ist. Das Gebiet der Höchstbeträge (70 bis 80 mm) ist bezeichnet durch die Stationen: Escholzmatt 79 mm, Entlebuch 74 mm, Luthern 72 mm in der Umgebung des Napfs, ferner: Beromünster 74 mm und Äsch 72 mm. In den Tälern der Hochalpenzone sind die Beträge weit kleiner, in der Westschweiz, im Wallis und in Graubünden sind meist weniger als 20 mm, am Alpensüdfuß und im Engadin keine Niederschläge gefallen. Dagegen befindet sich ein zweites Maximalgebiet am Gotthard (Andermatt 62 mm, St. Gotthard 94 mm, Cevio 66 mm). Die Niederschläge fielen in Zürich in der Hauptsache während 9 Stunden, nämlich nach einem Vorläufer um 18.00 h, zwischen 22.40 h des 10. August und 10.00 h des 11. August.

Der Vortag war noch überall trocken gewesen, auf den Nachtag (11. August nach 07.30 h) entfallen auf die Nordostschweiz aber auch auf Graubünden noch strichweise Beträge zwischen 20 und 30 mm, die derselben Regenperiode angehören.

Nach der Morgenwetterkarte vom 10. August lag über Frankreich ein flaches Tief, dessen Minimum (1008.6 Millibar) sich bei Orleans befindet. Wie aus der Temperaturverteilung im 1500 m-Niveau hervorgeht, war fast die ganze iberische Halbinsel bereits von kalter Luft überschwemmt, die sich hier in nordöstlicher Richtung bewegte. Die Höhenkarte der 500-Millibarfläche läßt um 03.00 h einen scharfen selbständigen Trog über Portugal erkennen, der aus einem alten abgeschlossenen Kaltlufttropfen hervorgegangen war und sich mit einer Geschwindigkeit von etwa 20 Knoten nordostwärts bewegte. Am 11. früh erscheint er über Ostfrankreich. In der Schweiz herrschten somit während des Kaltlufteinbruchs südwestliche Höhenwinde. Der Kaltlufteinbruch vollzog sich in Zürich in der üblichen Weise unter Auftreten zweier Gewitterfronten. Die erste passierte Zürich nach einem sonnigen Nachmittag mit Altocumulus-castellatus-Bewölkung um 18.00 h. Sie erschien als scharfe Bö aus Westen mit Gewitterstörungen, einem Temperatursturz von zunächst 5 Grad, einem Druckanstieg von 1.9 Millibar und einem Kurzregen mit Graupelfall (8 mm) von 18.00 h bis 18.20 h. Eine zweite scharfe Bö um 21.00 h leitete die oben erwähnten Niederschläge ein, die mit Unterbrechungen bis um 10.00 h des Nachtages dauerten und ebenfalls zu Anfang von Gewittern und von einem unregelmäßigen Temperaturrückgang um weitere 4 Grad begleitet waren. Die erste der beiden Böen wird üblicherweise als die eigentliche Kaltfront angesehen, die zweite als sekundäre Front bezeichnet. Der obige Verlauf ist für derartige Kaltlufteinbrüche typisch. Es kommt gelegentlich vor, daß die erste Bö überhaupt niederschlagsfrei bleibt. Der zeitliche Abstand betrug diesmal 5 Stunden. Auf andern Stationen dürfte der Ablauf ungefähr derselbe gewesen sein. Die Gewitter der zweiten Front waren in der ganzen Schweiz verbreitet, die der ersten scheinen nur im Nordosten aufgetreten zu sein. Auf dem Säntis passierten beide Störungen eine Stunde später als in Zürich und zeigen ebenfalls zwei Temperaturstufen. Der gesamte Temperaturrückgang betrug hier 12 Grad, war also sehr bedeutend für die Jahreszeit. Die Windverhältnisse während der Passage waren auch hier kompliziert, nämlich vor der ersten Front zunächst Süd, ab etwa 17.00 h Ost, während der Passage eine Bö aus West, nachher Süd bis Südwest bis etwa gegen 02.00 h des Nachtages und von da an West bis Nordwest. In der trockenen Zwischenphase zwischen beiden Fronten sank die Feuchtigkeit auf dem Säntis auf etwa 80 Prozent. Die Morgenwetterkarte des 11. zeigt die Kaltluftdrucknase auf der Nordseite der Alpen.

20. August

An diesem Tage sind (vgl. Karte Nr. 10) zwei Hauptniederschlagsgebiete zu verzeichnen. Das eine liegt im Juragebiet (Chasseron 42 mm, La Brévine 42 mm, Evilard 41 mm) mit Einschluß des Südostfußes des Jura (Longirod 40 mm, Yverdon 47 mm, Neuchâtel 35 mm, Witzwil 42 mm, Solothurn 32 mm, Olten 31 mm). Das andere befindet sich im westlichen Graubünden. Bedeutende Niederschläge sind besonders im Rheinwalder und Averser Tal sowie im Bergell (Hinterrhein 65 mm, Avers am Bach 58 mm, Vicosoprano 41 mm) sowie im Gotthardgebiet (St. Gotthard 46 mm, Airolo 73 mm, Fusio 51 mm) gefallen.

Es handelt sich um das Gesamtergebnis mehrerer Gewitterstörungen. Die Verhältnisse sind ziemlich kompliziert. Bei flacher Druckverteilung am Boden herrschte über der Schweiz in der Höhe eine ziemlich starke Strömung aus Westsüdwest und dementsprechend ein Temperaturgefälle von SSE nach WNW. Die Nachmittagskarte zeigt ein flaches Tief über Spanien, eine größere Depression über Nordeuropa und einen Drucksattel über Mittelfrankreich. In Zürich regnete es von 11.45 h bis 15.20 h, von 20.40 h bis 22.45 h und am 21. von 00.10 h bis um 07.10 h mit Unterbrechungen. Die meisten Gewitterstörungen kamen im Hauptniederschlagsgebiet vor. Jedoch hatte auch das südliche Tessin verbreitete Gewitter zu verzeichnen. In der Westschweiz setzten dieselben schon vormittags um etwa 09.00 h ein, im Nordosten erst nachmittags. Am Vortag war zunächst eine Temperaturerhöhung durch Zufuhr warmer, später ein langsamer Rückgang durch Zufuhr kühler Luft festzustellen. Doch betrug die Temperaturschwankung in 2000 m Höhe nur etwa 5 Grad.

27. August

Die Niederschläge dieses Tages weisen folgende Verteilung auf (vgl. Karte Nr. 11): Ein Streifen mit 30 bis 40 mm liegt ziemlich genau über den Jurahöhen (Le Sentier 35 mm, Vallorbe Reposoir 39 mm, Baulmes 32 mm, Couvet 30 mm, Les Ponts 42 mm, La Chaux-de-Fonds 32 mm), ein zweiter im Gebiet der Freiburger Voralpen sowie nördlich und westlich derselben (Echallens 32 mm, Romont 34 mm, La Roche 34 mm, Jaun 32 mm, Freiburg 35 mm, Wahlendorf 38 mm). Ganz ungewöhnlich große Beträge sind im Tessin gefallen. Die größten wurden gemessen in Brissago (247 mm), Locarno-Muralto (211 mm), Biasca (215 mm). Von dieser Maximalzone fallen die Beträge nach Nordwesten und Südosten rasch ab. Im übri-

gen sind auch in Nord- und Mittelbünden noch Beträge zwischen 25 und 45 mm gefallen.

Die Morgenwetterkarte vom 27. August um 07.00 h zeigt eine ausgeprägte Tiefdruckrinne, die sich von der Hauptdepression über Finnland südwestwärts über Großbritannien bis in die Gegend nordwestlich von La Corunna erstreckt. Längs der Südostflanke dieser Rinne wandert eine Wellenstörung nach Nordosten, die sich um 07.00 h durch eine ausgeprägte Teildepression über Mittelfrankreich abzeichnet. Die Schweiz liegt im Bereich einer warmen Föhnströmung aus SSW. Fast ganz Spanien und Südwestfrankreich sind bereits von einer kalten Luftmasse überschwemmt, die in der Folge mit der Welle nordostwärts vorstößt. Die Kaltfront passierte Zürich um 14.50 h und war gekennzeichnet durch eine Bö von 20 m/sec und einen plötzlichen Druckanstieg um zunächst 4 mm. Es zeigt sich, daß die Kaltluft zunächst nur geringe Höhen erreichte. Die Temperaturschwankung (Diff. zwischen Maximum und Minimum der Periode) betrug auf dem Säntis etwa 6 Grad, auf dem Jungfraujoch nur noch etwa 1 Grad. Es lag im übrigen eine echte Föhnlage vor. Altdorf und Glarus u. a. hatten schon am Morgen bei starkem Südwind Temperaturen von 28 Grad zu verzeichnen. Vereinzelte Stationen notierten Gewitter, die an die Kaltfront geknüpft waren. In Zürich dauerten die Niederschläge nach der Kaltfront bis um 07.00 h des Nachtages.

Die Niederschläge der Alpensüdseite waren von fast anhaltenden Gewitterstörungen begleitet. Nennenswerte Temperaturänderungen, die auf Luftmassenänderungen schließen ließen, sind nicht nachzuweisen. Es zeigte sich zunächst eine leichte Erwärmung, dann eine leichte Abkühlung. Die Temperaturschwankung betrug auf Monte Brè, wie auch in Testa Grigia, nur etwa 1.5 Grad. Es handelt sich offensichtlich um Stauniederschläge der sehr labilen feuchten Warmluft aus Süden bis Südwesten. Das Auftauchen einer neuen schwächeren Welle schon am Nachtag über dem Golfe du Lion hat hier jeden Kaltlufteinbruch verhindert, erst der folgende Tag, an welchem in der obigen Kernzone noch Beträge von 120 mm erreicht wurden, ist an eine namhafte Abkühlung geknüpft.

Es sei noch erwähnt, daß die entsprechenden Sondierungen in Mailand vom 27. zum 28. Feuchtezunahme und Erwärmung zwischen 1500 und 3000 m und eine Abkühlung zwischen 3000 und 6000 m zeigt, wodurch sehr große vertikale Temperaturgradienten erzeugt wurden. Oberhalb ist keine Temperaturänderung eingetreten.

2. September

Auch dieser Fall weist ein Gebiet größter Niederschläge in der Westschweiz, ein zweites auf der Alpensüdseite auf. In der Westschweiz liegt die Maximalzone im äußersten Westen (Genf-Cointrin 70 mm). Von hier aus nehmen die Beträge nach Osten rasch ab. Die 50 mm-Isohyete verläuft von Vallorbe nach Rolle, die 30 mm-Isohyete von La Chaux-de-Fonds über Neuchâtel, Payerne, Bulle nach Montreux. Die Nordostschweiz hat am 2. nur wenige Millimeter erhalten.

Wie zu erwarten handelt es sich wiederum um Föhnregen im Tessin, der hier mit verbreiteten Gewitterstörungen verbunden war, einerseits, um die Wirkung der Kaltfront auf der Alpennordseite andrerseits. Der größte Unterschied gegenüber dem vorigen Fall vom 27. August, nämlich die Konzentration der Niederschläge auf den äußersten Westen ist darauf zurückzuführen, daß die Kaltfront mehr oder weniger stationär an den Westalpen hängen blieb. In der Tat fielen in der Westschweiz den ganzen Tag gewittrige Niederschläge.

Der Vergleich der aerologischen Sondierungen von Payerne zeigt zwischen 03.00 h und 15.00 h einen Temperaturrückgang unterhalb 4000 m um 4 Grad (ebenso wie die Station Chasseron), während auf dem Säntis und auf dem St. Bernhard in derselben Zeit eine Erwärmung festzustellen ist. Bis zum 3. um 03.00 h hat sich der Temperaturrückgang in Payerne bis in Höhen von 6000 m hinaufgearbeitet. Ein stufenförmiger Temperaturfall auf dem Chasseron um weitere 3 Grad erfolgte allerdings erst um 05.00 h des 3. und bezeichnet den eigentlichen Vorstoß der kalten Luft nach Osten.

Auf der übrigen Alpennordseite verlief der Tag zwar nahezu trocken, aber keineswegs störungsfrei. In Zürich wurde nach einer ersten Druckwelle am Vormittag neuerdings zwischen 15.00 h und 18.00 h ein gleichmäßiger Druckanstieg um 3.5 mm registriert, der von kräftigem Westwind begleitet war (also eine Art trockener Bö). Der Temperaturrückgang ist wohl eher auf die Bewölkungszunahme (Ci, später Altostratus und anscheinend zeitweilig Altocumulus cumuliformis) zurückzuführen. Zwischen 17.00 h und 18.15 h fielen unmeßbar kleine Niederschläge. Der Druckanstieg ging in der folgenden Nacht wieder zurück. Auf dem Säntis blieb die Temperatur während des genannten Zeitabschnitts auf dem Tageshöchstwert bei ziemlich kräftigem Südwind und Feuchtigkeiten von meist 80, nach 17.00 h 90 Prozent. Eine ähnliche Druckwelle wie am Boden war hier gleichzeitig zu beobachten. Das Phänomen (Welle?) wurde nicht näher untersucht. In den Tälern des Alpennordhangs wehte den ganzen Tag starker Föhn. Jedenfalls aber ist die kalte Luft erst am Morgen des folgenden Tages in das Gebiet der eigentlichen Alpennordseite eingebrochen. Der Einbruch zeigte sich an in Zürich durch anhaltenden Westwind ab 03.00 h des 3. September, Temperaturrückgang um weitere 3 bis 4 Grad, anhaltende Niederschläge (20 mm) zwischen 07.30 h und 14.30 h des 3. September nach einem leichteren Kurzregen um Mitternacht. Diese Niederschläge sind in obiger Verteilung nicht enthalten. In den Alpen fielen noch etwa 30 mm Niederschlag. Auf dem Säntis begann der Einbruch der kalten Luft um 03.00 h.

Der Grund für die Verzögerung des Kaltlufteinbruchs geht aus der Höhenkarte der 500-Millibarflächer hervor. Danach lag am Morgen des 2. ein starker Höhentief (Kaltlufttropfen) über Nordspanien und dem Golf von Biscaya, dessen Zentrum sich bis zum Nachtag nordwärts nach dem Ostende des Kanals verschob. Es verursachte eine starke Föhnströmung aus SSW über den Alpen. Das Zentrum der Bodendepression lag relativ zur Kaltfront weit zurück, nämlich um 13.00 h über der Bretagne. Von dieser aus verlief die Front zunächst als Okklusion ostwärts bis nach Calais, dann über Luxemburg südwärts umbiegend und den Westalpen folgend nach Toulouse.

Sie erzeugte im Rhône- und Saônegebiet ein stationäres Niederschlagsgebiet, das sich erst um etwa 24.00 h (des 2.) ostwärts in Bewegung zu setzen begann.

6. Oktober

Die in der Karte Nr. 12 dargestellte Verteilung dieser Niederschläge ist durch eine sogenannte Staulage zustande gekommen. Es ist bemerkenswert, daß die größten Niederschlagsmengen im nordöstlichen Alpengebiet gefallen sind und zwar mehr als 40 mm im Muotatal und im Quellgebiet der Sihl (Muotatal 47 mm, Einsiedeln 43 mm), im Kanton Glarus (Glarus 43 mm, Elm 43 mm), im oberen Toggenburg (Ebnat 86 mm, Starkenbach 75 mm, Walenstadt 55 mm) sowie schließlich im Prätigau (St. Antönien 65 mm). Das Alpengebiet der westlichen Zentralschweiz hat meist weniger als 20 mm aufzuweisen. Nur im Gebiet der Waadtländer Alpen sowie im westschweizerischen Jura sind noch 20 bis 30 mm gefallen. Das Tessin, das Bergell und das Puschlav blieben trocken. In Zürich fielen die Niederschläge mit Unterbrechungen zwischen 10.00 h des 6. und 07.00 h des 7. Oktober.

Die Wetterkarte vom 6. Oktober um 13.00 h läßt ein Hochdruckgebiet auf dem Ostatlantik westlich von Frankreich und Irland mit einem Ausläufer auf der Nordseite der Alpen erkennen. Ihm steht ein Tief über dem Nordbalkan gegenüber, dessen Zentrum über den Karpaten liegt. Demgemäß herrscht in West- und Mitteleuropa eine Strömung aus NNW bis W, im Alpenvorland aus WSW. Die Höhenströmung in 6000 m Höhe ist über den Alpen eine nordwestliche. Der Höhentrog der 500-Millibarfläche lag während der ganzen Dauer der Niederschläge bereits auf der Ostseite der Alpen. Der starke Druckanstieg während der Dauer der Niederschläge, der in der Schweiz in allen Höhen und auch auf der Alpensüdseite festzustellen ist, ist auf die Wanderung des Höhentrogs nach Osten zurückzuführen. Jedoch fand während dieser Zeit keine nennenswerte Temperaturänderung statt. Der Rückseitekaltlufteinbruch war schon am Vortag (5. Oktober) erfolgt. Diese Niederschläge sind somit orographischer Natur und durch Stauung der Luft am Alpennordhang entstanden. Erstaunlich ist ihre Anhäufung im Nordosten unseres Landes. Stauniederschläge kommen durch Aufwärtsbewegung der Luft, die durch adiabatische Abkühlung Kondensation bewirkt, zustande. Die Stauung äußert sich im Horizontalfeld der Strömung durch Konvergenz des Impulsvektors der Strömung. Die Verteilung der Konvergenz ist durch sämtliche Faktoren, die die Druckverteilung bestimmen, beeinflußt; unter diesen ist der Alpenwall nur ein einziger. Die bekannte Strömung des sogenannten Deformationsfeldes: $v_x = k \cdot x$, $v_y = -k \cdot y$, welche bei südnördlicher Richtung der y-Axe eine Strömung aus Norden mit hyperbolischen Stromlinien gegen die feste Wand der Alpen repräsentieren könnte, ist z. B. konvergenzfrei. Sie würde nach dem barischen Windgesetz aus einer Druckverteilung folgen, die ein Hoch im NW, ein Tief im NE aufweist. Selbstverständlich wäre dies eine reibungsfreie Strömung einer inkompressiblen Flüssigkeit. In einem solchen Fall entsteht kein Stau, die Luft weicht seitwärts aus.

Die Bevorzugung der Ostschweiz kann daher rühren, daß die Luft längs des Rhonetals nach Süden ausweichen kann. Es fragt sich ob infolge der Reibung nicht eine Unterwanderung der Höhenströmung (aus NW) durch die Bodenströmung (aus WSW) auf der Alpennordseite möglich wäre. Da die untere Strömung aus WSW etwas wärmer sein wird, könnte dadurch eine nach Osten zunehmende Labilisierung der Luft eintreten. Ein solcher Effekt wäre allerdings schwer nachzuweisen. Das auffallend hohe Niederschlagsmaximum im Osten läßt sehr labile Luftmassen vermuten. Jedoch sind keine Gewitterstörungen gemeldet worden.

Ähnliche Fälle sind ziemlich häufig. Stellt man als Kennzeichen die Forderung auf: Möglichst ähnliche Niederschlagsverteilung (also insbesondere Beschränkung auf die nordöstlichen Alpen, das Prätigau und evtl. den Jura, Höhenströmung aus NW, Bodenströmung aus WSW, keine Frontpassage), so können vor allem folgende Fälle als analog gelten: 4. Februar 1935, 20. Januar 1951, 10. November 1952, 10. Januar 1954 und 21. Januar 1954. Fast alle diese Fälle unterschieden sich jedoch vom vorliegenden darin, daß man im Osten der Alpen deutlich eine stationäre Kaltfront feststellen kann, welche mit den Alpen einen spitzen Winkel (gegen NW) bildet, also einen stationären warmen Sektor vor den Alpen begrenzt. Eine solche ist im vorliegenden Fall nicht aufzufinden.

M. Grütter

Eidg. Landestopographie Bern
Service topographique fédéral Berne

● Meteorologische Station / Klimatologisches Netz
Station météorologique / Réseau climatologique

○ Regenmess-Station
Station pluviométrique

■ Meteorologische Station / Synoptisches Netz
Station météorologique / Reseau synoptique

Schweizerische Meteorologische Zentralanstalt
Institut Suisse de Météorologie

Nr. 4

Ergebnisse der Registrierungen der Sonnenscheinautographen im Jahre 1956

U = Stationen mit Sonnenscheinautographen «Usteri»
N = Stationen mit Sonnenscheinautographen «Negretti & Zambra» (N* = neues Modell)
F = Stationen mit Sonnenscheinautographen «Fuess»
C* = Stationen mit Sonnenscheinautographen Casella (neues Modell)
L = Stationen mit Sonnenscheinautographen «Lambrecht»

Monats- und Jahressummen der Sonnenscheindauer in Stunden

1956	Apparat	Januar	Februar	März	April	Mai	Juni	Juli	August	September	Oktober	November	Dezember	Jahr
Zürich	N*	55	84	155	153	220	141	232	156	182	101	42	63	1584
St. Gallen	L	49	51	130	154	211	123	210	157	178	115	38	50	1466
Säntis	N*	115	174	168	143	214	103	217	165	219	180	137	130	1965
Hallau	U	56	64	129	144	199	134	202	176	165	59	32	45	1405
Wald	U	62	75	141	135	178	106	185	136	180	144	55	87	1484
Walenstadtberg	U	64	70	131	130	169	104	187	132	163	142	55	75	1422
Braunwald	F	70	97	126	144	193	108	181	137	159	130	56	83	1484
Oberiberg	N*	52	101	134	128	192	110	185	144	180	144	53	65	1488
Unterägeri	U	56	61	125	131	202	120	189	141	173	124	40	83	1445
Altdorf	N*	42	63	130	147	194	131	200	150	158	105	32	52	1404
Luzern	N	39	57	141	129	204	130	200	146	158	80	29	61	1374
Jungfraujoch	N	106	116	135	132	208	105	—	—	—	—	—	—	—
Grimmialp	N	74	118	131	115	179	118	188	156	171	110	70	102	1532
Heiligenschwendi	U	52	88	124	124	171	104	173	130	173	127	49	102	1417
Bern	L	42	100	152	162	239	182	244	168	198	102	41	91	1721
Basel	N	61	77	140	151	224	157	217	171	174	95	53	66	1586
Barmelweid	U	53	59	114	140	163	108	170	125	152	66	28	52	1230
Allerheiligenberg	U	54	74	118	136	184	130	183	134	167	97	43	61	1381
Mt-Soleil s. St-Imier	U	48	82	129	129	187	102	167	142	178	128	57	68	1417
La Chaux-de-Fonds	F	64	105	136	152	214	130	196	163	192	133	84	81	1650
Chasseron	N*	60	138	149	142	207	132	194	156	203	140	104	90	1715
Neuchâtel	U	36	70	141	168	230	186	218	160	174	66	36	39	1524
Payerne	N*	37	134	152	172	249	210	245	151	192	82	41	69	1734
Genf-Observatorium	N	60	98	171	181	279	241	275	182	232	111	46	77	1953
Genf-Cointrin	N*	60	109	165	184	274	222	263	170	221	102	49	79	1898
Lausanne	N	54	133	159	185	265	235	254	159	214	115	56	117	1946
Montreux-Clarens	U	56	78	130	147	211	178	210	131	180	125	56	106	1608
Château-d'Œx	F	78	141	151	148	212	159	224	161	204	148	90	115	1831
Leysin	U	80	112	149	137	191	136	198	144	185	140	79	141	1692
Sitten	U	84	123	158	160	227	207	250	174	208	170	99	132	1992
Montana s. Sierre	U	122	148	167	149	237	182	243	172	221	178	99	147	2065
Disentis	N*	83	128	138	157	205	129	225	188	180	140	76	93	1742
Plantahof b. Landquart	U	73	83	142	140	210	124	222	158	173	142	64	69	1600
Arosa	C*	98	142	134	131	197	116	215	177	196	149	88	104	1747
Weißfluhjoch	F	131	183	163	146	216	110	223	176	218	186	126	138	2016
Davos Platz	F	90	137	142	119	191	105	211	169	192	140	79	94	1669
Bivio	N	102	129	120	110	174	120	195	162	172	149	74	90	1597
St. Moritz *	U/F	114	171	133	128	210	149	236	196	194	181	99	113	1924
Schuls	N	82	156	143	152	218	134	233	195	200	155	86	90	1844
Lugano	N	102	132	166	153	255	231	246	218	184	207	91	124	2109
Monte Brè	U	114	129	162	157	270	239	258	227	180	200	85	134	2155
Locarno-Monti	N	122	143	172	186	273	254	268	223	183	210	103	141	2278

St. Moritz: * Fuess ab Juli

1956

Tägliche Dauer des Sonnenscheins in Stunden

Januar

Tag	Lugano	Genève	Montana s. Sierre	Chaux-de-Fonds	Bern	Luzern	Basel	Zürich	Davos	Säntis
1	4.0	4.6	6.0	0.0	3.3	1.3	0.0	0.5	2.2	0.0
2	0.0	0.3	1.9	0.0	0.0	0.0	0.0	0.0	0.0	0.0
3	6.9	0.0	7.7	0.0	0.1	0.0	0.0	0.0	5.2	8.1
4	3.7	0.0	7.7	6.2	0.0	0.0	1.2	0.4	5.4	8.4
5	6.9	2.2	7.7	7.6	1.6	0.9	1.8	5.2	5.4	8.1
6	0.0	0.0	7.7	1.3	0.0	0.0	0.0	0.0	5.3	8.0
7	0.0	0.0	7.7	1.6	0.0	0.0	0.0	0.0	5.4	8.4
8	6.3	0.4	4.5	0.0	0.0	0.0	0.0	0.0	5.4	7.9
9	0.0	0.0	3.2	0.2	1.6	5.1	0.0	4.8	3.3	5.6
10	0.0	3.5	6.3	4.8	2.1	5.1	5.8	4.7	0.0	5.6
11	5.6	0.7	0.2	1.3	1.6	2.8	3.9	3.1	5.5	2.7
12	0.0	0.0	0.0	0.0	0.1	1.0	0.0	0.0	3.2	3.8
13	0.0	0.0	0.0	0.0	0.0	0.0	0.0	0.0	0.0	0.0
14	0.0	0.0	1.2	0.0	0.0	0.0	0.8	0.0	2.5	5.4
15	0.0	0.0	0.0	0.0	0.0	0.0	0.0	0.0	0.0	0.0
16	1.8	1.4	2.3	4.2	1.0	0.0	4.2	1.6	5.4	0.0
17	5.8	0.0	4.2	5.0	2.3	4.5	6.4	6.0	5.6	2.0
18	0.0	0.5	0.0	0.0	0.0	0.0	0.0	0.0	0.0	0.0
19	7.3	0.0	0.5	4.0	3.1	0.0	7.9	0.1	1.9	0.0
20	4.3	5.3	8.4	7.7	2.6	4.0	8.2	7.5	5.7	8.9
21	6.0	7.3	7.4	1.5	3.2	1.0	0.1	2.3	3.7	4.4
22	6.4	8.2	7.6	4.1	7.2	4.3	2.7	4.7	4.2	6.9
23	0.0	7.5	7.9	6.9	7.5	7.6	7.9	7.8	5.9	8.7
24	5.3	2.8	3.7	0.0	0.6	0.0	0.5	0.5	1.1	0.0
25	7.0	5.0	8.4	0.4	0.7	0.1	6.2	4.6	0.0	0.0
26	2.0	0.0	0.0	0.0	0.0	0.0	0.0	0.0	0.0	0.1
27	6.1	1.1	1.4	0.2	1.0	0.6	0.4	0.2	0.0	0.0
28	7.0	4.4	4.4	6.3	0.0	0.0	2.8	0.0	6.1	8.6
29	0.0	0.9	1.0	0.1	0.0	0.0	0.0	0.0	0.0	0.0
30	6.4	3.6	2.8	0.7	2.7	0.7	0.3	1.1	0.0	0.0
31	0.0	0.0	0.0	0.0	0.0	0.0	0.0	0.0	1.8	2.7
Mittel	3.3	1.9	3.9	2.1	1.4	1.3	2.0	1.8	2.9	3.7

Februar

Tag	Lugano	Genève	Montana s. Sierre	Chaux-de-Fonds	Bern	Luzern	Basel	Zürich	Davos	Säntis
1	0.0	0.0	7.6	1.9	0.3	0 0	0.0	0.0	1.3	3.0
2	4.9	0.0	1.3	0.0	2.6	0.9	0.0	1.9	6.3	6.8
3	7.3	1.6	4.9	5.6	8.0	7.2	6.3	6.8	6.2	8.7
4	5.0	5.6	6.6	8.0	8.6	6.0	4.9	7.8	6.3	8.0
5	7.3	4.0	5.9	0.1	1.1	0.1	0.0	0.5	1.5	0.8
6	6.1	7.1	8.9	3.5	1.4	0.0	0.5	0.8	0.0	0.0
7	7.4	8.1	8.6	1.2	6.4	2.8	0.7	4.6	3.2	1.0
8	6.3	8.3	6.0	4.6	4.9	4.1	5.6	5.3	5.0	5.8
9	7.0	2.4	1.5	0.1	0.0	0.0	0.9	1.3	0.0	2.4
10	0.0	0.0	2.3	3.4	0.7	0.0	3.2	1.0	2.5	5.0
11	0.0	0.0	5.5	2.4	4.7	3.1	0.0	2.3	6.2	6.0
12	6.9	3.5	5.2	4.0	6.2	3.5	1.3	3.3	5.3	4.4
13	5.5	0.0	0.0	0.0	0.0	1.8	0.0	0.3	6.0	8.8
14	8.9	7.9	2.1	4.5	6.6	4.6	6.3	3.8	3.4	2.0
15	7.4	7.1	2.8	0.0	0.0	0.0	0.0	0.0	0.5	0.0
16	3.7	5.6	4.0	0.9	3.4	2.6	3.0	1.7	5.5	2.6
17	5.2	6.4	9.2	1.2	6.3	5.7	1.8	7.0	6.8	10.1
18	5.5	5.5	9.6	3.3	5.1	0.2	3.7	4.4	5.4	8.3
19	0.0	0.0	8.9	0.7	1.4	0.0	0.0	1.4	3.9	6.8
20	0.0	0.0	0.0	5.4	5.9	0.0	4.2	4.5	6.4	8.6
21	3.3	3.0	0.0	6.5	6.0	3.7	5.9	3.1	7.1	10.2
22	2.5	0.0	1.3	3.5	0.5	2.7	6.5	5.4	7.2	10.3
23	0.3	3.2	3.5	4.3	0.8	0.0	0.0	1.0	4.9	7.6
24	4.6	0.0	1.5	8.2	0.1	0.0	4.6	4.7	7.3	10.2
25	0.0	3.4	9.8	9.6	3.8	0.0	5.5	3.1	7.4	10.6
26	7.7	5.0	9.0	8.5	3.5	1.9	0.0	2.2	7.5	9.7
27	8.5	1.4	9.6	6.8	4.4	1.4	7.3	3.0	7.4	10.1
28	3.7	4.1	6.0	4.5	4.9	2.7	4.5	1.8	6.1	6.1
29	6.7	5.0	6.5	2.7	2.2	1.9	0.0	1.2	0.0	0.0
Mittel	4.5	3.4	5.1	3.6	3.4	2.0	2.6	2.9	4.7	6.0

März

Tag	Lugano	Genève	Montana s. Sierre	Chaux-de-Fonds	Bern	Luzern	Basel	Zürich	Davos	Säntis
1	7.4	5.0	6.3	5.1	6.1	3.7	6.2	4.3	0.0	0.0
2	7.7	0.0	0.0	0.0	0.0	0.0	0.0	0.0	0.0	0.0
3	10.0	0.0	0.0	0.0	0.0	0.0	0.0	0.0	0.0	0.0
4	9.6	3.1	4.3	0.0	1.4	2.2	0.7	2.6	1.1	1.0
5	10.1	7.7	0.8	1.5	4.0	3.3	4.7	4.0	0.2	0.0
6	10.1	10.2	7.5	7.4	7.3	7.9	7.8	7.7	8.1	8.9
7	10.0	7.1	0.2	0.0	0.1	0.0	0.1	0.2	0.0	0.0
8	9.5	9.4	10.5	9.3	8.3	3.8	9.8	10.0	8.2	10.9
9	8.1	10.5	*10.0	10.3	10.5	10.1	10.6	10.7	8.6	11.0
10	9.9	10.2	10.3	7.7	10.4	9.9	10.5	10.5	3.7	8.5
11	7.8	10.4	10.0	10.3	8.9	6.9	6.6	7.5	5.1	5.4
12	10.3	9.6	10.4	8.3	8.6	7.8	9.8	7.0	8.3	9.7
13	9.5	9.9	10.4	7.1	8.6	4.8	4.0	2.9	9.1	9.5
14	9.5	10.0	10.0	9.1	10.1	7.4	8.3	7.4	6.4	4.4
15	3.8	6.0	6.7	8.8	8.5	8.8	9.2	9.5	8.3	10.5
16	4.7	8.6	9.7	9.3	9.1	10.3	8.7	10.6	7.7	10.8
17	7.7	3.7	7.8	5.7	6.0	7.3	6.5	8.2	9.4	9.6
18	2.8	5.8	8.3	3.7	5.4	9.7	5.3	9.1	8.3	11.2
19	0.0	0.2	2.1	0.0	0.6	1.8	0.7	3.6	6.5	6.2
20	0.0	3.6	3.5	3.8	4.7	9.2	4.6	7.8	2.6	7.1
21	0.0	0.5	3.5	0.3	1.7	4.8	1.1	4.3	3.0	4.1
22	0.0	3.5	0.0	0.1	0.0	0.9	0.0	0.1	5.2	5.9
23	0.0	3.7	0.0	2.5	0.0	0.0	1.1	0.2	0.0	0.9
24	0.0	0.0	1.5	3.6	1.0	0.4	2.5	3.8	0.0	2.1
25	0.0	0.0	0.0	0.0	0.0	0.0	0.0	0.0	0.0	0.0
26	1.5	4.2	0.0	0.0	0.0	0.6	0.0	2.7	7.7	5.2
27	6.4	7.4	9.6	7.7	10.0	2.4	6.1	0.1	0.0	0.0
28	0.0	8.1	9.4	7.5	9.5	0.0	3.1	3.6	6.1	9.5
29	0.0	5.1	1.9	0.0	0.0	0.3	0.5	1.4	2.8	2.0
30	9.2	7.7	9.3	6.5	9.6	9.9	10.0	8.5	8.2	8.1
31	0.0	0.0	3.4	0.1	1.6	6.5	1.6	6.4	7.0	5.6
Mittel	5.3	5.5	5.4	4.4	4.9	4.5	4.5	5.0	4.6	5.4

April

Tag	Lugano	Genève	Montana s. Sierre	Chaux-de-Fonds	Bern	Luzern	Basel	Zürich	Davos	Säntis
1	9.6	5.3	0 8	0.0	0.8	0.0	0.0	0.4	0.7	0.0
2	0.0	3.7	2.7	4.8	2.2	3.6	5.9	6.7	4.8	6.6
3	8.9	11.4	8.2	11.2	9.2	8.9	11.7	10.2	8.3	9.5
4	8.2	11.2	9.8	7.7	8.7	4.9	5.1	6.4	7.4	2.0
5	6.1	5.0	4.5	3.2	3.0	0.7	3.6	0.3	3.3	0.0
6	9.5	0.8	0.0	0.9	2.8	0.0	2.7	*0.5	0.0	0.0
7	11.6	12.0	10.3	10.1	6.3	5.8	9.4	5.9	2.3	4.3
8	11.5	12.0	11.6	11.5	11.7	11.5	11.9	10.2	9.9	10.8
9	10.9	12.2	11.4	12.0	11.7	11.7	11.8	11.1	9.3	12.0
10	11.0	12.2	11.8	12.0	11.8	11.9	11.6	11.9	10.4	12.5
11	0.7	11.8	8.6	8.1	6.1	4.9	3.0	4.1	3.6	5.7
12	0.0	8.1	9.0	7.1	8.4	9.6	8.5	9.6	10.6	12.0
13	0.0	1.0	1.4	0.6	2.4	3.1	0.8	2.8	2.1	1.8
14	0.0	0.0	0.0	0.0	0.0	0.0	0.0	0.0	0.0	0.1
15	0.0	4.6	6.3	2.9	7.0	5.9	4.6	5.6	2.6	9.9
16	0.0	0.0	0.0	0.1	0.0	0.0	0.0	0.0	0.0	0.4
17	0.0	0.0	0.0	0.0	0.0	0.2	0.0	0.0	0.0	0.0
18	0.7	0.0	0.0	0.0	0.0	0.0	0.0	0.0	0.0	0.0
19	7.6	9.0	1.7	8.7	5.2	2.8	3.0	3.1	3.1	0.0
20	11.0	8.7	11.5	6.8	9.2	2.2	3.3	6.8	8.5	8.5
21	1.8	0.0	0.1	5.3	4.3	5.3	7.8	8.2	8.1	8.4
22	0.0	0.0	0.0	0.0	0.0	0.0	0.0	0.0	0.0	0.0
23	5.2	5.2	0.0	0.0	0.5	0.0	0.3	0.0	0.0	0.0
24	7.1	3.5	4.8	5.9	8.6	2.1	4.5	6.1	0.5	5.8
25	7.5	7.2	8.4	6.9	10.2	5.6	7.9	8.1	5.9	6.1
26	7.5	11.5	11.0	9.0	12.2	11.7	10.8	11.5	3.8	10.1
27	5.7	7.8	10.5	8.2	9.5	11.9	10.4	12.9	8.7	12.3
28	1.9	4.4	3.8	3.0	4.0	2.2	1.8	2.1	4.1	3.8
29	0.0	9.8	0.3	5.7	6.2	2.9	10.3	8.8	0.9	0.8
30	9.1	2.9	0.6	0.0	0.1	0.0	0.0	0.0	0.5	0.0
Mittel	5.1	6.0	5.0	5.1	5.4	4.3	5.0	5.1	4.0	4.8

Tägliche Dauer des Sonnenscheins in Stunden

1956

Mai

Tag	Lugano	Genève	Montana s. Sierre	Chaux-de-Fonds	Bern	Luzern	Basel	Zürich	Davos	Säntis
1	11.2	0.0	4.3	4.1	5.6	0.6	0.7	0.1	1.9	0.0
2	11.9	7.9	4.4	6.7	3.2	0.1	2.2	0.2	0.6	0.0
3	7.3	11.7	5.2	0.7	2.1	3.2	5.5	1.7	4.1	1.3
4	12.2	12.7	12.3	10.2	13.1	12.1	11.3	13.1	11.1	13.0
5	11.6	12.8	12.6	13.4	13.5	13.2	13.1	13.2	11.2	13.5
6	10.9	13.0	12.9	13.5	13.6	13.3	13.4	13.6	11.8	14.4
7	12.2	13.5	12.3	12.6	12.7	12.6	13.1	13.5	11.8	13.5
8	11.9	13.2	12.4	13.2	12.3	12.3	12.9	13.3	10.4	10.8
9	12.3	13.5	13.0	13.7	13.7	13.3	13.8	13.6	11.8	11.6
10	4.6	0.0	0.0	0.0	0.0	0.0	0.0	0.0	0.1	0.0
11	11.6	12.3	7.4	2.0	2.7	0.0	1.4	0.1	0.0	0.0
12	2.9	0.7	0.0	0.0	0.0	0.0	0.0	0.0	0.2	0.0
13	10.9	13.2	8.8	3.9	5.8	2.3	2.3	1.1	4.6	1.3
14	10.2	12.6	10.2	13.6	13.3	10.4	10.6	13.5	10.1	10.4
15	7.3	13.5	11.6	9.5	12.4	10.2	11.1	10.3	3.5	5.9
16	12.4	13.4	11.4	8.6	13.8	13.4	13.4	13.7	11.5	11.8
17	8.6	7.0	9.4	8.0	6.5	7.8	10.1	9.3	8.2	5.3
18	6.6	8.2	5.6	4.9	7.7	5.5	0.4	3.9	3.4	0.0
19	0.0	0.0	0.0	0.0	0.0	0.0	0.0	0.0	0.0	0.0
20	6.4	7.7	5.3	4.6	4.1	4.2	6.6	2.7	2.6	4.3
21	0.0	13.0	11.4	12.2	13.5	9.3	13.9	13.5	7.4	14.1
22	0.0	3.1	5.4	2.3	5.7	6.8	6.9	7.8	3.8	9.1
23	5.3	8.8	2.0	0.2	1.9	2.6	1.7	0.7	0.0	0.6
24	2.7	6.8	4.8	2.9	2.4	1.6	3.7	2.1	3.6	8.6
25	2.9	2.1	0.5	2.9	5.3	1.5	4.1	1.0	0.0	0.0
26	10.8	6.4	11.8	10.7	11.0	9.2	9.8	12.2	10.6	12.9
27	10.3	8.0	6.2	3.6	6.9	7.4	3.7	9.2	11.4	12.6
28	8.9	8.4	9.3	10.0	9.8	9.5	10.0	10.3	8.8	11.2
29	11.3	13.6	10.1	9.4	10.1	6.5	8.0	8.7	7.4	8.4
30	11.5	13.6	13.1	11.9	12.5	10.9	12.8	11.3	11.7	14.7
31	8.6	9.1	3.0	5.1	3.5	4.3	7.4	6.5	7.0	4.5
Mittel	8.2	9.0	7.6	6.9	7.7	6.6	7.2	7.1	6.1	6.9

Juni

Tag	Lugano	Genève	Montana s. Sierre	Chaux-de-Fonds	Bern	Luzern	Basel	Zürich	Davos	Säntis
1	6.5	1.7	2.2	0.3	0.8	0.5	4.3	0.4	0.0	0.0
2	10.9	12.5	5.3	2.2	0.8	0.0	1.2	2.9	2.8	2.6
3	8.6	13.2	10.3	3.8	9.4	6.4	7.9	5.7	5.2	3.0
4	5.3	12.5	11.5	10.6	11.9	11.8	10.8	12.7	8.8	11.4
5	10.5	12.3	11.3	8.1	9.0	9.6	7.3	9.6	10.2	11.2
6	8.9	5.3	1.7	4.7	9.4	6.6	5.4	7.2	10.9	9.2
7	5.2	0.0	7.8	1.0	5.8	10.6	2.1	9.5	5.8	12.1
8	3.3	7.0	4.7	3.6	3.8	0.0	1.7	0.1	0.0	0.0
9	9.6	0.0	1.2	2.4	4.4	2.1	3.3	1.1	0.5	0.0
10	3.4	13.2	4.1	9.0	9.4	6.8	11.1	9.7	7.4	10.9
11	0.0	4.4	3.9	2.5	6.7	7.1	9.3	7.4	0.7	7.0
12	10.4	0.0	1.0	0.0	1.0	1.5	0.4	1.5	3.1	0.9
13	10.7	7.6	7.5	0.1	2.5	3.0	1.4	5.4	3.4	3.6
14	1.9	2.3	2.8	0.6	0.3	0.0	0.5	0.0	0.4	0.3
15	10.9	4.9	4.5	3.3	1.1	1.1	3.9	1.1	0.6	0.0
16	8.2	7.0	7.8	6.7	7.8	5.3	8.4	8.0	8.7	9.7
17	0.4	0.1	0.3	0.6	0.6	1.2	0.7	0.7	1.0	0.1
18	1.5	1.1	2.9	0.0	0.0	0.0	0.0	0.3	0.0	0.0
19	13.3	12.2	8.1	5.3	8.2	4.0	4.6	3.1	0.8	1.2
20	8.0	3.4	3.9	0.3	0.5	0.3	0.0	0.0	0.5	0.6
21	13.1	13.5	9.0	4.6	5.2	2.0	7.7	1.0	0.1	0.0
22	9.8	11.1	5.3	4.2	6.7	1.0	5.0	2.3	2.0	0.1
23	12.6	12.9	11.3	3.9	4.9	2.1	0.6	0.5	0.0	0.7
24	3.6	6.3	3.6	4.2	2.5	0.9	5.4	1.5	0.4	0.8
25	4.7	10.6	2.9	0.6	5.6	4.7	2.5	2.4	0.2	0.5
26	11.9	11.3	2.9	5.9	12.7	5.2	7.0	9.9	0.5	0.7
27	10.7	11.9	7.4	8.0	9.4	6.8	12.7	8.7	3.5	1.7
28	10.8	14.1	11.6	10.9	13.0	6.5	12.1	11.5	7.3	0.8
29	9.7	14.3	12.5	8.2	13.5	8.4	5.0	2.2	8.1	0.0
30	6.6	14.4	13.0	14.2	15.0	14.2	14.8	4.2	12.0	14.1
Mittel	7.7	8.0	6.1	4.3	6.1	4.3	5.2	4.4	3.5	3.4

Juli

Tag	Lugano	Genève	Montana s. Sierre	Chaux-de-Fonds	Bern	Luzern	Basel	Zürich	Davos	Säntis
1	0.0	2.3	2.1	2.4	3.1	1.7	2.8	4.2	1.1	6.8
2	0.0	1.4	0.3	0.0	0.0	0.2	0.0	1.7	2.7	1.5
3	13.5	8.9	7.6	2.5	3.1	0.7	8.5	4.0	0.0	0.4
4	11.4	13.2	11.2	8.4	10.7	11.6	8.9	10.5	12.1	8.8
5	12.6	14.6	13.2	12.5	14.5	13.6	13.2	13.2	11.3	13.2
6	13.1	12.5	12.3	9.8	14.0	6.0	7.1	13.3	12.3	2.6
7	12.7	14.6	13.8	14.5	14.5	14.2	14.5	13.5	12.3	15.3
8	9.9	10.5	9.0	10.7	10.9	12.3	12.8	12.6	12.3	14.0
9	2.6	10.0	7.3	7.5	8.3	7.4	9.2	8.2	4.1	6.7
10	6.1	6.0	8.9	5.3	6.5	5.8	4.4	6.1	4.7	7.4
11	0.9	0.6	0.2	0.0	0.0	0.0	0.0	0.0	0.0	0.0
12	11.2	10.1	8.0	1.8	3.1	0.0	0.0	0.4	6.5	13.5
13	6.2	8.4	7.8	9.3	5.2	6.5	9.8	10.7	9.5	12.0
14	3.1	3.8	0.2	1.5	1.0	1.8	0.5	0.5	2.1	0.0
15	7.7	8.7	4.4	5.9	7.6	2.4	4.5	6.4	5.5	0.2
16	9.9	2.2	5.1	0.4	2.2	0.2	1.2	1.6	1.9	0.7
17	12.6	12.7	10.9	2.0	8.7	4.6	6.7	4.9	3.8	3.3
18	9.6	10.2	10.8	7.9	11.0	11.6	9.7	11.3	11.7	12.9
19	1.2	3.1	1.1	0.6	4.6	4.2	2.1	3.4	2.8	5.3
20	7.2	5.5	5.3	1.6	4.7	2.0	3.3	1.8	3.3	0.3
21	8.0	3.8	2.1	3.4	5.3	3.8	6.1	6.4	3.8	3.1
22	2.3	10.8	10.7	11.2	13.0	12.3	10.1	12.3	8.0	10.3
23	12.1	12.8	11.4	6.5	12.3	6.7	9.4	11.3	4.5	4.9
24	12.4	14.0	12.0	11.4	13.5	12.6	8.4	11.8	10.2	6.9
25	12.6	13.8	13.4	10.8	14.1	11.6	12.4	12.8	9.1	7.3
26	12.1	13.9	13.4	14.3	14.2	14.3	14.0	14.0	12.0	15.0
27	7.0	11.3	12.1	10.9	12.8	13.3	12.3	13.2	10.0	13.2
28	4.6	5.7	5.8	3.2	4.5	5.7	2.5	5.9	5.7	7.6
29	5.3	5.2	5.7	0.4	3.0	0.8	2.1	0.4	11.5	9.0
30	5.6	10.9	8.4	9.3	4.6	0.0	8.7	2.2	6.8	4.4
31	12.3	13.5	8.9	10.1	13.0	11.8	11.5	13.0	9.2	10.4
Mittel	7.9	8.9	7.9	6.3	7.9	6.4	7.0	7.5	6.8	7.0

August

Tag	Lugano	Genève	Montana s. Sierre	Chaux-de-Fonds	Bern	Luzern	Basel	Zürich	Davos	Säntis
1	9.8	10.3	9.9	8.1	7.3	9.7	8.2	9.4	9.6	9.5
2	10.9	6.5	4.4	2.8	6.1	7.7	6.9	7.6	5.9	0.0
3	12.5	5.7	5.1	1.0	2.6	2.4	1.2	1.6	6.1	0.0
4	10.9	5.5	8.9	2.0	4.8	4.5	4.3	4.5	4.6	3.0
5	5.7	11.1	9.4	6.7	9.7	9.2	8.3	9.0	2.9	0.4
6	0.3	0.8	3.2	0.3	1.6	6.7	1.6	5.9	1.2	10.9
7	7.8	0.1	0.3	0.0	0.0	0.0	0.0	0.0	2.0	0.7
8	11.5	8.0	6.8	13.0	4.5	2.2	11.6	6.4	11.0	13.1
9	10.9	9.1	11.6	12.5	8.4	6.7	10.5	10.0	11.4	13.1
10	9.0	10.9	10.2	11.3	8.8	7.7	11.4	10.3	11.6	12.0
11	5.1	1.5	1.3	2.4	2.8	2.3	1.8	1.0	0.1	0.0
12	12.3	10.6	11.6	11.2	11.9	4.6	12.2	8.5	5.7	0.8
13	8.6	12.3	11.4	11.5	12.3	11.3	10.3	9.4	8.7	12.7
14	5.7	0.0	1.2	1.4	3.4	2.2	4.7	6.2	3.4	5.9
15	9.1	12.8	8.2	12.6	12.3	9.6	12.2	12.5	6.5	6.7
16	10.3	13.2	12.5	13.0	13.0	13.1	13.2	12.1	11.3	13.4
17	8.3	9.0	8.0	6.2	7.1	8.1	6.0	5.6	8.1	10.2
18	1.0	3.0	4.9	1.7	2.9	2.6	0.5	1.1	5.4	5.3
19	8.7	9.3	7.3	9.2	8.0	5.6	8.0	6.2	7.1	3.7
20	3.0	1.3	3.2	2.1	3.2	3.3	1.4	3.7	1.2	6.3
21	9.7	8.9	6.3	3.0	3.5	1.0	3.6	0.5	5.1	0.1
22	2.8	0.6	0.7	0.4	1.1	1.9	0.7	1.5	5.2	4.6
23	7.1	1.4	0.0	0.2	0.6	0.4	0.4	0.4	2.1	0.0
24	8.0	0.7	0.5	1.4	2.0	0.0	0.0	0.7	0.1	0.0
25	0.0	0.0	0.0	0.0	0.0	0.1	0.0	0.0	1.8	0.0
26	1.8	4.1	1.3	6.2	3.4	2.1	7.4	4.1	4.5	7.1
27	0.3	1.8	6.8	5.5	5.0	7.2	6.0	5.7	3.3	7.5
28	1.7	3.2	3.4	3.5	2.8	0.4	6.1	0.0	0.7	1.5
29	4.8	7.1	2.1	5.6	2.1	0.0	4.4	0.0	3.1	0.1
30	11.6	6.7	6.2	3.1	8.7	7.0	5.4	6.0	6.4	4.4
31	8.7	6.4	5.2	5.1	7.9	6.0	2.9	6.4	10.0	11.6
Mittel	7.0	5.9	5.5	5.3	5.4	4.7	5.5	5.0	5.5	5.3

1956

Tägliche Dauer des Sonnenscheins in Stunden

September

Tag	Lugano	Genève	Montana s. Sierre	Chaux-de-Fonds	Bern	Luzern	Basel	Zürich	Davos	Säntis
1	1.2	5.0	7.1	4.1	5.2	8.8	5.7	8.5	5.4	9.2
2	0.1	0.0	1.5	0.3	2.5	4.8	0.5	5.3	2.9	4.0
3	1.9	9.0	1.2	0.8	1.9	0.3	2.8	0.2	6.0	1.5
4	9.0	7.3	5.8	5.4	7.1	5.9	7.5	7.6	4.7	5.1
5	10.8	9.7	10.3	8.8	10.1	10.7	9.9	10.0	10.3	11.6
6	3.4	7.5	4.4	3.6	4.3	3.3	2.3	3.4	7.6	3.2
7	11.4	9.7	11.4	8.0	10.7	7.2	6.7	8.5	6.5	5.0
8	11.0	12.0	11.3	9.3	11.2	11.2	11.2	11.5	9.3	7.7
9	3.0	6.4	6.2	4.3	4.4	3.3	6.0	5.9	7.6	6.6
10	1.9	8.0	8.5	4.4	4.8	7.1	4.5	5.5	3.5	7.8
11	10.5	10.2	6.4	7.4	7.4	4.3	6.6	6.0	3.1	0.0
12	9.2	8.4	3.3	0.1	0.3	0.0	0.0	0.0	0.9	0.0
13	10.9	7.0	0.3	1.6	1.9	0.0	1.3	0.0	0.0	0.0
14	5.7	8.5	10.0	6.2	10.0	1.1	4.1	7.1	8.3	10.9
15	10.9	10.0	9.3	8.1	7.6	9.4	10.7	8.2	9.8	12.0
16	10.5	10.7	10.7	10.8	10.6	9.9	10.6	8.7	9.8	11.4
17	9.6	9.8	10.8	10.4	10.0	4.2	0.0	7.0	9.4	11.2
18	5.0	0.8	9.9	10.1	3.1	0.0	5.4	3.1	9.7	11.9
19	0.0	8.4	10.4	10.4	6.0	6.4	10.3	6.0	9.6	11.8
20	5.3	9.8	10.4	10.3	8.9	6.6	8.0	7.5	9.6	11.6
21	8.7	9.4	10.3	10.4	10.1	8.0	8.3	8.6	9.5	11.5
22	6.0	7.4	7.9	7.8	8.9	6.1	8.6	9.1	9.3	11.3
23	1.2	10.4	10.5	8.9	9.4	9.7	9.4	8.1	4.3	10.0
24	5.0	9.7	9.7	10.4	10.2	5.7	8.7	8.8	8.8	11.6
25	0.0	0.7	0.9	0.8	2.4	0.3	0.3	2.2	2.3	2.9
26	0.0	4.4	1.2	1.5	1.0	0.5	0.5	0.7	0.7	2.7
27	3.4	5.3	2.2	1.5	3.4	0.1	1.3	0.8	0.0	0.0
28	8.2	8.0	8.4	6.0	5.4	7.2	3.8	6.3	4.6	5.7
29	10.5	10.5	10.4	10.3	10.0	9.7	9.4	10.6	8.9	10.9
30	10.2	8.5	10.4	9.6	9.6	5.8	9.4	7.2	9.2	10.0
31										
Mittel	6.1	7.7	7.4	6.4	6.6	5.3	5.8	6.1	6.4	7.3

Oktober

Tag	Lugano	Genève	Montana s. Sierre	Chaux-de-Fonds	Bern	Luzern	Basel	Zürich	Davos	Säntis
1	10.3	8.2	10.1	10.4	10.0	10.4	8.7	10.2	9.1	10.3
2	8.8	5.9	6.4	3.5	3.2	4.1	2.8	4.6	6.7	6.2
3	0.0	0.0	0.0	0.0	0.0	0.8	0.0	0.0	0.1	0.0
4	9.4	6.2	6.4	1.9	3.1	0.0	2.3	3.7	6.2	0.0
5	4.3	0.9	3.1	1.4	2.7	2.8	0.2	2.3	4.1	3.1
6	10.0	0.9	0.0	0.0	0.1	0.0	0.2	0.0	0.0	0.0
7	5.3	1.6	2.4	0.0	0.2	0.1	1.8	0.0	0.4	0.0
8	10.2	4.9	2.9	0.4	1.5	0.4	0.0	1.1	3.6	7.6
9	9.8	7.0	10.0	9.3	7.3	3.4	6.1	7.6	7.4	10.7
10	9.8	6.7	10.1	9.5	8.1	6.7	7.9	9.3	7.7	10.8
11	9.6	8.7	10.1	9.9	9.6	3.6	8.3	5.8	7.7	10.6
12	10.0	7.8	10.1	9.9	7.3	6.7	8.1	7.4	7.7	10.7
13	9.9	7.5	10.3	9.6	9.5	8.8	7.2	8.4	7.5	10.8
14	9.8	5.4	10.3	9.5	6.4	4.4	5.6	7.7	7.5	10.8
15	8.7	2.3	9.5	9.1	1.2	0.0	1.0	0.0	7.5	10.7
16	4.2	0.9	2.8	1.3	1.9	3.5	0.9	3.4	0.2	4.5
17	7.9	0.0	8.8	7.3	3.3	4.7	5.6	5.3	7.3	7.9
18	0.0	0.0	0.0	0.0	0.0	0.0	0.0	0.0	0.2	0.0
19	6.4	4.8	7.4	3.4	6.7	5.3	1.3	1.9	0.7	0.0
20	5.6	7.6	8.1	7.1	5.4	5.9	6.6	5.9	7.1	9.8
21	0.0	5.8	4.5	0.2	0.8	0.4	0.3	5.0	5.2	7.2
22	9.3	5.4	9.7	9.5	6.4	4.7	6.4	2.9	7.2	10.4
23	9.3	3.2	9.7	9.6	1.8	0.0	4.8	0.3	6.9	10.4
24	9.2	0.0	9.6	9.4	4.6	0.9	8.9	4.9	6.5	10.0
25	5.7	0.0	5.2	0.0	1.0	0.0	0.0	0.1	5.6	4.4
26	0.0	0.0	0.0	0.0	0.0	0.0	0.0	0.0	0.0	0.0
27	1.3	0.0	0.7	0.0	0.0	1.6	0.0	0.4	3.1	2.1
28	6.9	1.9	1.1	0.2	0.0	0.0	0.0	0.0	0.0	0.0
29	8.8	0.0	0.0	0.0	0.1	0.0	0.0	0.0	0.6	0.0
30	6.0	0.0	0.3	0.0	0.0	0.1	0.0	1.4	0.0	2.7
31	0.5	7.7	8.0	1.0	0.3	0.9	0.0	1.5	6.7	8.2
Mittel	6.7	3.6	5.7	4.3	3.3	2.6	3.1	3.3	4.5	5.8

November

Tag	Lugano	Genève	Montana s. Sierre	Chaux-de-Fonds	Bern	Luzern	Basel	Zürich	Davos	Säntis
1	0.0	0.1	5.5	2.9	0.0	0.0	0.0	3.8	5.1	6.4
2	0.0	0.0	0.0	0.3	0.0	0.0	0.0	0.0	0.0	2.4
3	8.0	2.0	0.0	1.1	0.0	0.0	0.0	0.0	0.0	3.5
4	4.1	1.0	0.0	0.0	0.4	1.4	0.0	0.4	0.2	0.7
5	0.1	0.4	2.0	0.0	0.1	0.2	0.0	0.0	0.0	0.0
6	8.6	8.2	7.4	4.5	5.6	1.6	3.2	0.3	0.0	0.0
7	0.4	7.4	5.4	7.9	8.6	8.4	5.7	7.0	5.9	9.1
8	8.2	7.6	9.0	8.6	7.6	0.0	6.8	1.2	6.3	9.7
9	7.8	3.4	9.0	8.5	4.5	3.4	7.7	4.4	6.3	9.7
10	6.0	1.0	1.4	0.0	0.3	0.2	0.2	0.6	2.9	0.0
11	0.0	0.6	0.1	0.5	1.1	5.6	0.6	5.5	0.1	6.2
12	0.0	0.0	0.7	2.0	0.2	0.0	0.8	0.0	0.0	1.0
13	0.0	0.0	2.2	0.0	0.0	0.0	0.0	0.0	1.5	0.1
14	0.0	0.0	1.5	0.0	0.0	0.0	0.0	0.0	1.2	6.9
15	7.1	0.0	0.1	0.0	0.0	0.0	0.0	0.0	0.0	2.6
16	6.8	0.0	2.2	7.3	1.1	0.1	4.2	4.7	0.1	8.9
17	0.1	2.9	6.2	7.0	5.7	5.9	2.5	5.3	6.0	9.1
18	0.0	0.0	8.4	8.2	0.0	0.0	4.2	4.6	6.0	9.1
19	2.2	0.0	8.6	8.2	0.0	0.0	5.7	0.0	5.9	9.1
20	0.0	0.0	7.7	7.8	0.0	0.0	5.6	0.0	5.2	6.2
21	0.0	0.0	8.5	7.7	0.0	0.0	0.0	0.0	5.4	8.7
22	0.0	0.0	4.2	0.0	0.0	0.0	0.0	0.0	5.7	7.2
23	0.0	0.0	0.0	0.0	0.0	0.0	0.4	0.0	3.8	7.4
24	2.9	0.0	0.0	0.0	0.0	0.0	0.0	0.0	0.0	4.7
25	6.9	0.0	2.2	0.9	0.0	0.0	0.0	0.0	5.0	8.5
26	6.7	0.0	3.8	0.0	0.1	0.1	0.2	0.0	0.0	0.0
27	7.0	2.5	0.0	0.0	0.1	0.2	0.0	0.0	1.2	0.0
28	0.0	0.9	0.3	0.0	0.6	0.0	0.8	0.2	1.2	0.0
29	4.2	2.6	1.8	0.0	2.3	2.3	2.6	2.4	1.8	0.0
30	4.0	5.1	1.2	0.1	2.7	0.0	2.0	1.5	2.5	0.0
31										
Mittel	3.0	1.5	3.3	2.8	1.4	1.0	1.8	1.4	2.6	4.6

Dezember

Tag	Lugano	Genève	Montana s. Sierre	Chaux-de-Fonds	Bern	Luzern	Basel	Zürich	Davos	Säntis
1	7.0	1.5	5.3	5.1	6.8	5.5	3.6	6.0	5.4	8.5
2	7.1	6.6	6.1	7.3	7.5	5.1	5.0	4.0	5.5	8.5
3	0.7	0.7	1.9	0.0	0.0	0.0	0.0	0.0	0.0	0.0
4	6.8	7.0	7.3	0.0	5.5	1.2	0.0	0.0	0.7	0.0
5	6.2	0.0	7.5	0.0	0.0	0.0	0.0	0.0	5.1	5.4
6	7.2	5.5	4.3	0.0	0.0	0.0	0.0	0.0	0.0	0.0
7	6.9	1.5	5.7	3.4	4.5	2.4	3.8	1.9	0.0	2.4
8	7.1	1.6	7.7	6.7	7.5	0.0	0.5	0.0	0.0	0.0
9	0.0	4.4	7.7	7.5	2.1	0.0	3.0	0.0	5.3	8.4
10	3.6	0.0	7.7	0.0	0.0	0.0	0.0	0.0	5.2	8.4
11	2.1	0.3	4.4	5.2	0.2	3.0	2.1	2.5	5.3	8.2
12	1.9	0.4	0.6	0.0	3.1	2.3	0.0	1.9	2.2	0.9
13	1.4	0.6	0.3	0.1	0.1	0.1	0.0	0.2	1.0	0.0
14	4.1	5.7	5.9	1.7	4.1	4.8	4.2	4.7	2.9	4.5
15	1.6	6.2	6.3	5.3	4.9	5.2	2.8	5.2	4.2	6.2
16	0.0	3.9	4.8	1.3	5.6	4.9	1.6	5.2	5.2	5.7
17	6.5	7.0	7.6	7.4	7.8	7.3	7.8	7.6	5.3	8.2
18	6.7	5.6	7.7	7.4	7.7	6.5	7.7	7.5	5.3	8.2
19	6.3	0.0	6.5	3.8	3.3	3.5	5.7	5.8	5.2	7.8
20	5.6	0.5	1.6	0.1	0.3	0.0	0.0	0.0	0.6	0.0
21	0.5	0.0	1.6	1.2	0.0	0.0	0.0	0.0	4.8	1.8
22	0.0	0.0	4.3	0.0	0.0	0.0	0.0	0.0	0.1	0.0
23	6.9	5.5	5.6	0.1	4.8	5.8	0.0	1.3	2.2	2.8
24	5.5	5.0	4.2	2.9	3.1	0.1	0.0	6.1	4.6	4.3
25	6.5	1.9	6.3	4.5	6.5	3.5	3.6	2.6	1.6	6.3
26	2.7	1.1	0.0	0.0	0.0	0.0	0.0	0.0	1.3	1.5
27	6.2	0.0	5.8	3.6	4.2	0.0	6.4	0.0	5.2	7.5
28	6.5	4.1	7.0	5.2	0.8	0.0	6.6	0.2	5.3	7.7
29	0.4	0.0	0.1	0.1	0.0	0.0	0.0	0.0	0.0	0.0
30	0.0	0.0	1.5	0.1	0.0	0.0	0.0	0.0	3.6	5.1
31	0.0	0.0	3.3	0.6	0.8	0.0	2.0	0.3	1.2	1.5
Mittel	4.0	2.5	4.7	2.6	2.9	2.0	2.1	2.0	3.0	4.2

Nr. 5

Agrarmeteorologische Beobachtungen

Zürich — Verdunstung in Millimeter Wasserhöhe (Wildsche Waage in offener Hütte) — **Château d'Oex**

1956	I	II	III	IV	V	VI	VII	VIII	IX	X	XI	XII	I	II	III	IV	V	VI	VII	VIII	IX	X	XI	XII
1	0.4	0.4	2.8	0.7	1.1	1.1	3.8	3.7	2.3	1.9	0.8	0.6	0.2	0.0	2.2	0.7	1.2	0.6	1.3	1.5	1.0	1.0	0.2	0.4
2	0.5	0.1	1.3	2.0	0.9	1.7	1.7	2.6	2.4	2.4	0.2	0.2	0.4	0.0	0.5	0.7	1.4	1.9	0.3	0.6	0.5	0.9	0.3	0.4
3	0.6	0.5	1.3	2.8	1.6	2.8	1.3	1.2	0.2	0.3	0.4	0.1	0.6	0.6	0.5	1.2	1.5	3.3	1.0	0.3	0.6	0.0	0.5	0.0
4	0.8	1.0	1.0	2.7	3.6	3.9	4.5	1.7	1.7	2.2	0.4	0.2	0.3	0.7	1.5	1.5	2.0	5.4	2.3	0.5	1.0	0.8	0.0	0.4
5	0.4	0.4	1.4	0.7	4.6	4.1	6.1	2.1	2.5	1.1	0.4	0.9	0.2	0.2	0.8	1.0	2.4	3.3	3.3	0.7	1.1	0.3	0.2	0.0
6	0.7	1.0	1.9	0.9	4.9	3.0	4.6	2.1	1.6	0.4	0.6	0.2	0.2	1.0	0.3	0.2	2.7	2.7	2.8	0.4	0.6	0.0	0.4	0.0
7	1.1	0.8	1.0	1.3	5.4	3.1	5.4	1.3	2.2	0.6	1.1	0.3	0.2	0.7	0.5	2.0	3.4	2.1	2.5	0.3	1.7	0.0	0.7	0.6
8	0.8	0.8	1.8	1.4	5.8	1.4	8.3	1.3	2.5	0.6	0.1	0.2	0.2	0.3	0.8	2.0	4.5	1.2	1.9	1.0	1.6	0.3	0.9	0.2
9	0.7	0.1	2.2	4.0	7.2	1.1	4.9	2.2	0.9	1.0	0.2	0.1	0.2	0.1	2.0	2.4	5.0	1.8	2.6	2.3	0.6	0.8	1.1	0.6
10	0.6	0.1	2.0	5.0	1.5	2.9	3.7	2.7	1.2	1.2	0.3	0.2	0.5	0.0	1.5	3.2	1.1	1.5	1.7	2.5	1.0	0.3	0.4	0.2
11	0.5	0.2	1.4	3.5	1.4	3.2	0.6	1.4	1.8	0.6	1.2	0.5	0.4	0.1	1.5	3.0	1.8	1.0	0.2	0.8	0.6	0.7	0.1	0.4
12	2.1	0.4	1.9	4.8	0.4	2.1	2.2	2.5	1.1	1.2	0.7	1.2	0.6	0.0	1.0	4.2	1.0	0.5	1.8	1.5	1.0	1.0	0.1	0.2
13	0.1	0.4	0.9	1.2	1.2	2.1	4.2	2.4	1.3	0.9	0.7	1.7	0.3	0.0	0.8	2.0	0.5	1.4	1.7	2.7	0.9	1.0	0.2	0.4
14	0.1	0.6	1.4	0.9	3.6	0.3	0.8	2.8	2.0	1.0	0.1	1.4	0.3	0.2	0.8	0.4	2.6	0.3	0.0	0.1	1.0	0.8	0.0	0.6
15	0.9	0.4	1.3	1.8	3.6	1.2	2.1	2.6	1.3	0.6	0.3	2.0	0.0	0.3	1.0	4.0	3.8	1.3	1.6	1.5	1.1	0.8	0.5	0.6
16	0.3	0.4	2.7	1.1	4.2	2.6	1.6	2.9	1.9	0.7	0.7	1.8	0.1	0.5	1.2	0.2	3.0	1.8	2.3	2.0	1.1	0.3	0.4	0.5
17	0.8	0.8	2.5	0.6	3.4	1.7	1.5	2.0	2.2	0.7	0.4	0.8	0.2	0.0	1.3	0.4	2.3	0.3	1.1	2.3	1.1	0.8	0.2	0.2
18	1.0	0.6	3.1	0.3	1.5	1.1	3.3	1.2	0.8	0.4	0.3	0.7	0.2	0.3	2.0	0.5	2.0	0.0	1.2	1.0	0.7	0.2	0.3	0.5
19	0.7	0.3	2.9	0.8	0.4	1.5	1.3	2.1	1.1	0.8	0.4	0.2	0.4	0.0	3.0	1.5	0.3	1.4	0.2	1.8	1.8	0.6	0.2	0.6
20	0.9	0.5	4.8	2.2	1.7	1.1	0.8	0.9	1.4	1.0	0.5	0.1	1.0	0.3	3.0	3.0	1.0	1.0	2.1	0.4	1.7	1.0	0.2	0.6
21	0.6	0.5	7.7	3.2	3.7	1.5	1.7	0.4	2.2	0.9	0.7	0.1	0.6	0.7	4.0	0.4	3.3	1.7	0.5	0.3	1.0	0.3	0.2	0.3
22	1.8	0.5	0.5	1.1	3.6	1.0	3.1	1.3	2.0	0.5	0.2	0.5	1.0	0.2	1.0	0.2	2.6	1.6	1.4	1.5	1.5	0.7	0.2	0.3
23	1.8	0.4	0.7	0.5	1.0	1.0	3.2	1.9	1.6	0.2	0.4	0.5	1.0	0.2	1.8	3.0	0.8	1.9	2.4	0.0	1.3	0.5	0.0	0.2
24	1.5	0.7	2.4	2.2	1.5	1.1	3.8	1.8	2.3	0.4	0.5	0.3	1.5	0.9	3.0	2.5	1.2	1.0	1.1	2.1	1.1	1.0	0.1	0.1
25	0.9	0.6	1.0	2.9	0.8	1.6	3.3	1.2	1.0	0.2	0.4	0.0	0.6	0.2	1.0	3.0	0.5	1.4	2.3	0.5	0.6	0.2	0.4	0.3
26	0.3	0.7	1.4	4.0	0.8	3.0	3.9	1.4	1.5	0.2	2.1	0.1	0.0	0.0	1.2	3.3	1.6	2.0	2.1	0.3	0.8	0.3	0.0	0.2
27	0.9	0.8	1.4	4.6	4.1	3.0	3.4	1.5	1.2	0.3	2.6	0.0	0.2	0.0	3.0	3.5	2.3	1.5	2.8	1.7	0.5	0.3	0.0	0.3
28	0.3	0.9	1.0	2.3	7.1	5.0	2.0	0.6	1.8	0.6	1.3	0.1	1.2	0.3	3.4	0.8	5.8	3.0	1.5	0.5	0.8	0.0	0.0	0.2
29	0.4	1.2	2.7	2.8	2.7	2.6	1.2	0.7	2.0	0.5	0.6	0.0	0.6	1.6	1.5	2.0	4.7	3.0	0.6	0.9	0.8	0.3	0.5	0.3
30	0.4	—	3.4	0.6	4.6	5.3	2.2	1.6	1.5	0.4	0.6	0.2	0.4	—	3.1	0.5	4.3	3.6	0.5	1.3	0.9	0.0	0.2	0.3
31	1.0	—	1.8	—	2.1	—	3.1	1.6	—	0.2	—	0.4	0.2	—	1.0	—	1.0	—	1.1	0.8	—	0.5	—	0.5
Summe	23.9	16.1	63.6	62.9	90.0	67.1	93.6	55.7	49.5	24.0	19.2	15.6	13.8	9.4	50.2	53.3	71.6	53.5	48.2	34.1	30.0	15.7	8.5	10.4
	Jahresumme: 581.2 mm												Jahressumme: 398.7 mm											

Pregassona

	I	II	III	IV	V	VI	VII	VIII	IX	X	XI	XII
1	2.0	1.0	9.5	3.2	8.2	8.0	2.1	4.5	1.3	2.2	0.7	15.9
2	1.0	0.6	4.7	1.1	8.0	8.4	3.7	3.2	2.0	2.1	0.3	10.6
3	1.2	1.2	7.7	3.0	3.8	3.7	8.6	6.6	2.2	0.3	3.0	2.6
4	1.2	0.8	5.1	5.8	8.1	3.7	3.7	3.5	2.4	2.5	0.6	8.1
5	1.8	1.1	7.8	1.9	5.9	4.4	3.0	3.7	2.4	4.6	5.2	2.2
6	0.8	3.0	3.9	8.7	4.9	5.3	4.4	1.3	1.7	4.6	5.7	7.0
7	0.8	4.2	9.3	7.5	8.5	3.8	4.1	2.8	2.3	2.6	2.1	2.1
8	0.7	2.0	5.1	4.7	7.4	4.6	3.3	3.0	2.4	3.4	1.4	5.4
9	0.1	1.6	2.3	4.0	11.0	7.1	2.3	2.7	1.1	1.9	1.1	0.5
10	0.2	0.2	2.6	4.3	9.5	2.0	2.7	3.2	0.3	2.0	0.3	1.4
11	0.2	0.1	5.1	3.1	10.2	0.5	2.7	9.7	2.8	2.0	0.8	1.2
12	0.0	1.1	5.8	1.8	8.9	2.5	3.2	7.7	5.6	1.7	0.2	0.9
13	0.1	1.3	3.8	0.1	7.3	2.8	3.6	2.5	8.3	2.0	0.2	0.8
14	0.1	3.8	2.9	0.4	6.5	1.8	1.8	1.8	2.8	1.5	0.4	1.0
15	0.1	1.1	2.6	0.6	5.0	7.7	2.4	3.2	2.7	1.2	3.8	0.5
16	0.9	1.1	2.8	0.4	5.6	4.1	3.2	2.7	3.4	1.5	1.3	0.9
17	0.9	0.9	3.0	0.6	5.1	1.1	3.5	2.6	1.5	1.1	0.7	1.1
18	0.1	1.4	2.7	3.4	5.1	3.6	2.5	2.5	2.3	0.9	0.8	1.4
19	1.1	0.4	2.1	4.3	1.0	6.5	2.5	1.8	1.1	2.1	1.0	1.3
20	0.3	0.4	0.2	4.8	2.8	10.4	7.9	1.1	2.2	1.4	0.6	0.9
21	0.8	0.8	0.1	3.6	0.7	9.8	3.2	3.4	1.9	0.5	1.0	0.7
22	1.3	1.2	0.1	0.4	0.3	10.0	1.5	1.3	1.8	1.4	0.7	1.2
23	0.7	0.9	0.1	2.4	1.4	7.2	5.4	3.5	0.9	1.4	0.2	2.9
24	2.1	0.9	0.3	3.5	1.5	3.6	4.2	3.3	1.3	1.3	0.8	1.5
25	7.0	1.7	0.3	3.2	2.0	3.3	6.6	0.6	0.4	1.4	1.0	1.3
26	1.8	2.0	2.0	2.3	2.8	3.6	3.9	0.7	0.7	1.3	1.2	1.2
27	6.7	1.9	2.4	3.3	4.6	4.9	3.4	1.1	1.0	0.8	0.8	1.2
28	2.6	2.4	0.6	2.9	4.4	3.2	2.4	1.6	2.3	4.2	0.4	1.5
29	1.2	2.7	1.3	2.6	5.5	3.3	2.4	3.1	1.4	1.8	4.8	0.5
30	0.9	—	3.1	11.1	4.5	1.6	3.0	3.6	2.1	1.8	5.9	0.3
31	0.3	—	1.2	—	2.0	—	5.4	2.2	—	1.7	—	0.2
Summe	39.0	41.8	100.5	99.0	162.5	141.5	112.6	94.5	64.6	59.2	47.0	78.3
	Jahressumme: 1040.5 mm											

Bodentemperaturen

Zürich 1956 (Mittel aus 8 Stundenwerten)

	I	II	III	IV	V	VI	VII	VIII	IX	X	XI	XII	I	II	III	IV	V	VI	VII	VIII	IX	X	XI	XII
	2 cm Tiefe												10 cm Tiefe											
1	2.8	−0.3	−0.5	8.2	8.9	15.1	18.6	19.3	16.3	15.4	5.6	2.9	2.9	−0.1	−0.5	8.4	9.1	15.5	18.9	19.5	16.3	15.7	5.7	2.9
2	2.8	−0.5	−0.5	6.6	9.1	14.9	17.1	18.4	17.3	15.4	5.3	1.6	2.9	−0.4	−0.5	7.0	9.2	15.4	17.5	18.9	17.2	15.6	5.4	1.7
3	2.9	−0.7	1.1	7.2	10.1	15.5	16.4	16.6	15.3	15.0	4.9	1.8	2.9	−0.6	0.3	6.9	10.1	15.9	16.8	16.9	15.6	15.0	5.0	1.8
4	2.2	−0.8	3.2	7.5	11.4	16.3	18.3	16.7	16.0	13.7	4.9	3.4	2.3	−0.7	2.6	7.8	11.2	16.9	18.5	17.0	15.9	13.8	5.1	3.6
5	1.8	−0.8	2.5	6.5	12.5	17.3	19.8	16.9	16.4	12.0	5.7	4.1	1.8	−0.7	2.6	6.6	12.1	17.9	20.0	17.1	16.1	12.4	5.8	4.2
6	2.2	−0.7	1.7	4.6	13.6	17.0	20.7	17.4	16.3	9.8	6.2	4.0	2.5	−0.7	2.1	4.8	13.1	17.5	21.0	17.5	16.5	10.0	6.2	4.2
7	1.9	−0.7	1.7	3.3	14.4	16.1	21.6	16.4	16.3	9.2	6.0	4.5	2.0	−0.6	1.8	3.5	14.1	17.8	21.8	16.5	16.3	9.5	6.1	4.6
8	1.2	−0.9	0.7	3.1	15.1	14.1	22.3	17.2	17.3	8.9	5.0	4.3	1.2	−0.8	1.0	3.3	14.9	14.6	22.4	17.3	17.2	9.2	5.1	4.4
9	1.1	−0.7	−0.1	5.0	15.6	13.1	22.9	19.0	16.3	8.3	5.2	4.5	1.1	−0.6	0.3	4.7	15.3	13.5	23.1	18.8	16.4	8.6	5.4	4.6
10	1.4	−0.7	−0.3	7.0	13.5	13.7	21.2	20.1	16.5	8.2	5.5	4.3	1.3	−0.7	0.2	6.6	13.6	14.3	21.5	20.1	16.7	8.4	5.7	4.4
11	1.3	−0.9	0.2	8.1	12.2	14.5	17.1	18.1	17.1	8.7	6.7	4.2	1.5	−0.8	0.4	8.1	12.3	15.1	17.6	18.4	17.4	8.8	6.7	4.3
12	2.4	−0.8	−0.2	9.5	11.0	14.6	17.0	17.9	15.6	9.4	6.7	3.8	2.4	−0.7	0.1	9.2	10.9	14.8	17.3	18.0	15.9	9.6	6.9	4.0
13	3.4	−0.8	−0.5	9.9	10.9	16.4	19.6	17.4	15.9	9.4	6.6	5.2	3.4	−0.8	−0.2	10.1	11.0	16.2	19.8	17.4	16.6	9.6	6.7	5.2
14	2.9	−0.9	−0.5	9.8	12.0	14.7	18.0	18.0	15.9	9.5	5.8	4.6	2.9	−0.8	−0.3	9.9	11.8	14.8	18.3	18.1	16.1	9.6	5.9	4.6
15	3.1	−0.7	−0.5	11.2	13.2	13.5	18.4	18.3	15.1	9.7	5.1	4.6	3.1	−0.7	−0.3	11.0	13.0	13.6	18.6	18.3	15.2	9.9	5.2	4.6
16	3.8	−0.6	−0.1	10.7	14.2	15.2	17.7	18.5	17.7	10.4	4.8	4.2	3.8	−0.6	0.2	10.8	14.3	14.9	18.0	18.3	16.4	10.7	4.8	4.2
17	4.0	−0.7	1.6	8.7	15.1	15.1	17.5	18.4	16.9	10.5	4.0	3.7	4.0	−0.6	1.5	9.0	15.1	15.3	17.9	18.3	17.2	10.8	4.0	3.7
18	4.5	−0.6	3.2	5.7	14.3	14.4	19.2	18.6	14.9	11.0	3.8	2.8	4.5	−0.6	3.1	5.9	14.3	14.6	19.2	18.7	15.3	11.0	3.8	2.9
19	3.9	−0.7	4.2	6.2	12.1	15.2	18.6	18.7	14.8	11.8	3.7	2.1	3.9	−0.6	4.4	6.2	12.1	15.3	18.8	18.7	15.1	12.1	3.7	2.1
20	2.8	−0.7	4.9	7.0	11.6	14.5	17.0	17.5	15.1	11.8	3.7	2.2	2.8	−0.6	4.9	7.0	11.6	14.6	17.2	17.5	15.4	12.0	3.7	2.2
21	2.0	−0.6	4.9	7.9	12.8	14.1	17.5	17.1	15.7	12.0	3.0	2.9	2.0	−0.6	5.1	7.6	12.6	14.3	17.7	17.4	15.8	12.2	3.1	2.9
22	2.2	−0.7	5.4	7.8	14.6	13.6	18.5	17.5	15.6	11.5	2.2	2.6	2.2	−0.7	5.5	7.9	14.7	13.8	18.4	17.3	15.6	11.6	2.2	2.6
23	1.9	−0.6	5.0	7.9	14.5	12.9	19.3	15.5	16.4	11.1	1.6	2.5	1.9	−0.6	5.1	8.0	14.6	13.1	19.4	15.8	16.6	11.3	1.7	2.5
24	2.3	−0.6	5.6	9.2	14.5	13.6	19.5	14.8	16.5	10.9	1.5	2.2	2.4	−0.6	5.7	8.9	14.3	13.8	19.6	15.2	16.8	11.2	1.7	2.2
25	1.1	−0.6	6.6	9.6	13.0	14.0	20.4	14.6	16.1	10.4	1.8	0.9	1.3	−0.6	6.7	9.9	13.1	14.3	20.5	14.8	16.4	10.5	1.9	1.0
26	0.1	−0.6	7.6	10.5	13.1	15.9	20.3	16.4	15.8	7.9	2.5	0.1	0.2	−0.6	7.8	10.3	14.2	15.9	20.3	16.2	16.2	8.1	2.5	0.2
27	2.7	−0.5	7.7	11.4	15.1	16.9	20.5	17.3	14.0	6.2	3.8	0.3	2.6	−0.5	7.9	10.9	15.4	16.9	20.6	17.1	14.4	6.3	3.9	0.3
28	2.7	−0.6	7.4	10.9	16.7	18.1	19.5	16.1	14.1	6.4	4.5	0.6	2.7	−0.6	7.6	10.9	17.0	18.2	20.0	16.3	14.2	6.5	4.5	0.6
29	2.4	−0.5	7.3	10.9	17.2	16.9	19.0	14.5	14.6	6.1	3.2	0.6	2.4	−0.5	7.5	10.7	17.5	17.2	19.3	14.9	14.8	6.1	3.3	0.6
30	3.1	—	8.3	9.7	17.5	18.5	18.2	14.8	15.0	5.7	3.0	1.0	3.1	—	8.1	9.7	17.9	18.5	18.8	14.8	15.1	5.8	3.0	1.0
31	1.4	—	8.7	—	16.7	—	18.6	15.1	—	5.5	—	1.1	1.5	—	8.6	—	17.2	—	18.7	15.2	—	5.6	—	1.1
Mittel	2.4	−0.7	3.1	8.1	13.5	15.2	19.0	17.2	15.9	10.1	5.4	2.8	2.4	−0.6	3.2	8.1	13.5	15.5	19.3	17.3	16.0	10.2	4.5	2.9
	20 cm Tiefe												50 cm Tiefe											
1	3.1	0.3	−0.5	8.3	8.9	15.3	18.2	18.8	15.8	15.2	5.7	3.0	5.1	3.0	0.9	7.5	9.3	14.7	15.9	17.9	15.4	15.2	8.2	4.9
2	2.9	−0.2	−0.5	7.6	8.9	14.9	17.2	18.5	16.8	15.2	5.5	2.0	4.6	2.5	0.8	7.2	9.0	14.3	16.1	18.0	15.8	15.3	8.0	4.6
3	2.9	−0.4	0.1	6.8	9.6	15.3	16.3	17.0	15.6	15.1	5.1	2.0	4.5	2.0	0.7	6.9	9.0	14.2	15.7	17.6	16.1	15.3	7.7	4.3
4	2.4	−0.5	2.2	7.6	10.5	16.1	17.6	16.7	15.4	13.9	5.1	3.2	4.3	1.8	1.3	6.9	9.2	14.3	15.6	17.0	15.7	15.1	7.5	4.3
5	1.9	−0.6	2.3	6.6	11.5	17.2	19.0	16.8	15.7	12.6	5.7	4.0	4.0	1.6	1.9	7.2	9.7	14.8	16.2	16.7	15.7	14.5	7.5	4.7
6	2.5	−0.6	1.4	5.0	12.4	16.9	20.0	17.0	16.3	10.4	6.1	4.0	3.9	1.5	2.1	6.7	10.2	15.2	16.9	16.7	16.1	13.6	7.5	5.0
7	2.1	−0.6	1.8	4.9	13.3	17.1	20.8	16.5	16.0	9.7	6.1	4.4	3.9	1.4	2.2	5.9	10.9	15.3	17.6	16.8	16.0	12.5	7.6	5.2
8	1.4	−0.7	1.0	3.5	14.1	14.8	21.4	16.9	16.6	9.3	5.2	4.3	3.6	1.3	2.2	5.2	11.5	15.3	18.1	16.4	16.0	11.9	7.6	5.3
9	1.3	−0.6	0.4	4.5	14.5	13.6	22.1	18.1	16.2	8.7	5.4	4.5	3.3	1.3	2.0	5.0	12.1	14.5	18.6	16.7	16.3	11.4	7.4	5.5
10	1.3	−0.6	0.1	6.1	13.5	13.8	21.0	19.3	16.2	8.5	5.5	4.3	3.2	1.2	1.7	5.5	12.5	13.9	19.0	17.3	16.2	10.9	7.3	5.5
11	1.5	−0.7	0.3	7.5	12.2	14.5	17.9	18.3	16.8	8.9	6.5	4.2	3.1	1.1	1.6	6.3	12.1	13.9	18.6	17.9	16.3	10.8	7.4	5.5
12	2.2	−0.7	0.3	8.6	11.1	14.5	17.0	17.7	15.8	9.4	6.7	3.9	3.2	1.1	1.7	7.0	11.6	14.1	17.4	17.6	16.3	10.8	7.7	5.3
13	3.4	−0.7	−0.2	9.5	10.8	15.5	18.8	17.2	16.1	9.4	6.6	5.0	3.6	1.1	1.5	7.7	11.0	14.2	17.1	17.3	15.9	10.9	7.8	5.4
14	2.9	−0.8	−0.3	9.5	11.4	14.9	18.2	17.7	15.9	9.6	5.9	4.6	3.8	1.0	1.4	8.2	10.7	14.6	17.7	17.2	15.6	10.9	7.8	5.7
15	3.1	−0.7	−0.3	10.4	12.4	13.5	18.1	17.9	14.9	9.7	5.3	4.5	3.8	1.0	1.3	8.5	11.0	14.2	17.2	17.3	15.5	11.0	7.5	5.6
16	3.8	−0.6	−0.1	10.4	13.4	14.3	17.8	17.9	15.8	10.3	5.0	4.2	4.1	1.0	1.3	9.1	11.4	13.7	17.3	17.3	15.4	11.1	7.2	5.6
17	3.8	−0.6	1.0	9.0	14.3	14.9	17.5	18.0	16.6	10.4	4.2	3.8	4.2	1.0	1.6	9.2	12.1	14.2	17.0	17.3	15.7	11.2	6.8	5.5
18	4.4	−0.6	2.4	6.3	14.0	14.3	18.4	18.4	15.3	10.8	3.9	3.0	4.4	1.0	2.2	8.5	12.5	14.2	17.0	17.4	16.0	11.3	6.4	5.2
19	4.0	−0.6	3.8	6.1	12.2	14.8	18.5	18.5	14.7	11.6	3.8	2.4	4.6	1.0	3.0	7.4	12.4	14.1	17.5	17.6	15.5	11.6	6.2	4.8
20	3.0	−0.6	4.4	6.7	11.4	14.5	17.1	17.4	15.5	11.7	3.7	2.3	4.4	1.0	3.5	7.2	11.8	14.2	17.3	17.6	15.4	11.8	6.0	4.4
21	2.2	−0.6	4.7	7.3	12.1	14.1	17.2	17.2	15.5	11.9	3.3	2.9	4.1	0.9	4.0	7.2	11.5	14.1	16.9	17.3	15.6	12.1	5.9	4.4
22	2.3	−0.7	5.2	7.8	13.9	13.7	18.0	17.1	15.3	11.4	2.5	2.6	3.8	0.9	4.4	7.6	11.9	13.9	16.8	17.1	15.6	12.2	5.5	4.3
23	2.0	−0.6	4.8	7.8	14.2	13.1	18.7	15.8	16.1	11.1	1.9	2.5	3.6	0.9	4.5	7.7	12.5	13.6	17.2	16.9	15.7	12.0	5.1	4.3
24	2.3	−0.6	5.1	8.9	13.9	13.5	18.9	15.1	16.2	11.0	1.8	2.4	3.5	0.9	4.6	7.7	12.7	13.4	17.4	16.3	15.9	12.0	4.6	4.2
25	1.5	−0.6	6.2	9.1	13.1	13.7	19.9	14.7	16.0	10.5	2.0	1.3	3.4	0.9	5.0	8.0	12.7	13.4	17.8	15.9	16.0	11.8	4.5	3.9
26	0.6	−0.6	7.1	9.7	13.6	15.1	19.7	15.7	15.9	8.8	2.4	0.6	3.1	0.9	5.5	8.5	12.5	13.5	18.0	15.6	16.0	11.3	4.4	3.5
27	2.2	−0.5	7.5	10.5	14.6	16.1	20.1	16.6	14.5	6.8	3.7	0.5	2.7	0.9	6.0	9.0	12.8	14.1	18.2	16.0	15.7	10.2	4.6	3.1
28	2.7	−0.6	7.2	10.5	15.8	17.3	19.4	16.1	14.0	6.7	4.4	0.5	3.1	0.9	6.3	9.5	13.2	14.8	18.3	16.2	15.0	9.5	5.1	3.0
29	2.4	−0.5	7.0	10.2	16.7	16.7	19.0	14.9	14.4	6.3	3.5	0.5	3.3	0.8	6.4	9.5	13.9	15.2	18.3	16.1	14.8	9.0	5.3	3.0
30	2.9	—	7.6	9.7	17.0	17.6	18.3	14.5	14.9	5.9	3.1	0.7	3.4	—	6.6	9.6	14.4	15.2	18.2	15.4	15.1	8.7	5.0	2.9
31	1.8	—	8.1	—	16.6	—	18.3	14.8	—	5.7	—	1.0	3.5	—	7.0	—	14.8	—	17.9	15.3	—	8.4	—	3.0
Mittel	2.5	−0.6	2.9	7.8	13.0	15.1	18.7	17.0	15.7	10.2	4.5	2.9	3.8	1.2	3.1	7.6	11.7	14.3	17.4	16.9	15.2	11.7	6.6	4.6

Bodentemperaturen

Pregassona (Lugano) 1956 (Mittel aus 2 Ablesungen)

	I	II	III	IV	V	VI	VII	VIII	IX	X	XI	XII	I	II	III	IV	V	VI	VII	VIII	IX	X	XI	XII
	2 cm Tiefe												10 cm Tiefe											
1	3.1	1.9	2.6	9.4	11.5	17.2	18.2	21.3	17.6	16.7	8.3	4.7	3.9	3.0	2.4	8.6	11.6	18.0	18.3	21.6	17.8	16.7	8.9	5.6
2	3.2	1.0	4.3	8.9	9.8	18.6	15.9	21.8	17.0	16.7	9.0	6.8	3.7	1.8	3.6	8.8	11.5	19.1	16.5	21.5	17.4	16.8	9.3	7.4
3	2.6	0.3	6.7	10.0	12.0	19.2	16.8	21.3	17.8	16.8	8.2	3.8	3.0	1.3	6.0	9.5	11.8	19.1	16.6	21.5	17.7	16.9	9.1	4.3
4	2.6	0.2	7.0	9.8	12.2	20.5	17.6	20.1	17.9	16.3	7.1	6.1	2.9	1.0	6.6	9.6	12.0	19.9	17.8	20.6	17.9	16.7	8.1	5.6
5	2.7	0.2	6.2	8.8	13.4	20.8	19.5	20.0	18.3	12.6	6.9	6.1	3.0	1.0	6.7	9.2	12.5	20.2	19.2	20.3	18.3	15.0	7.7	6.4
6	2.3	0.0	5.3	7.4	14.3	20.9	20.5	19.3	18.8	11.7	8.4	5.9	2.8	0.7	5.6	8.5	13.4	20.3	20.0	19.7	18.7	12.3	8.2	6.3
7	2.8	−0.1	4.9	5.2	14.6	21.0	20.9	21.1	17.9	11.2	7.6	6.0	3.1	0.6	5.6	6.7	13.9	20.4	20.5	20.9	18.1	12.4	8.4	6.0
8	1.5	−0.3	5.4	5.5	15.0	15.4	22.2	21.7	18.0	10.0	7.5	5.8	2.3	0.3	5.8	6.4	14.6	17.0	21.5	21.2	18.3	10.9	8.3	6.2
9	1.7	0.0	4.0	7.2	15.6	15.0	21.9	22.9	18.5	10.7	7.9	5.7	2.2	0.5	4.8	7.3	14.9	16.1	21.7	22.3	18.5	11.5	8.4	6.1
10	2.1	−0.2	4.1	8.5	15.5	15.3	21.9	23.6	18.9	10.9	8.4	5.7	2.5	0.4	4.5	8.3	15.3	16.2	21.3	23.1	18.4	11.8	8.8	6.3
11	3.0	−0.1	2.4	9.4	14.4	15.1	19.8	22.1	19.1	11.0	8.7	5.9	2.8	0.5	3.4	9.1	14.8	15.5	19.9	22.2	18.8	11.9	8.9	6.3
12	2.7	−0.3	2.8	9.8	13.9	16.8	19.9	20.2	18.8	11.4	8.3	4.9	2.6	0.3	3.6	9.6	14.0	16.4	20.0	20.9	19.3	12.1	8.5	5.6
13	2.7	−0.5	3.0	9.3	14.8	17.5	20.7	20.1	18.7	11.8	8.0	4.9	2.6	0.3	3.4	9.3	14.0	17.1	21.0	20.2	18.8	12.2	8.5	5.3
14	3.7	−0.7	3.3	9.0	14.8	18.4	20.0	19.9	18.4	11.9	8.7	4.9	3.5	0.1	3.6	9.0	14.6	18.2	20.0	20.2	18.7	12.4	8.9	5.4
15	4.5	−1.7	3.6	9.0	15.1	19.0	18.8	20.5	18.1	12.0	9.4	5.1	3.9	−0.3	3.7	9.0	15.0	18.5	19.2	20.4	18.5	12.6	9.4	5.3
16	4.0	−1.6	5.0	9.1	15.1	17.0	18.9	20.8	18.3	13.2	8.9	5.0	4.0	−0.6	5.0	9.2	15.2	17.6	19.8	21.0	18.5	13.2	9.3	5.2
17	3.5	−1.6	5.0	8.6	15.9	16.9	20.3	20.5	18.2	13.5	8.6	5.3	3.7	−0.7	5.2	8.7	15.7	17.3	20.6	21.0	18.6	13.4	8.9	5.6
18	3.7	−1.6	5.9	7.6	16.1	16.8	21.1	21.0	18.2	13.4	8.6	4.1	3.9	−0.8	5.6	8.1	15.8	17.1	21.0	21.2	18.7	13.6	9.0	5.1
19	3.5	−0.8	6.0	8.1	15.1	17.7	20.1	21.5	18.0	13.4	7.3	3.8	3.8	−0.5	5.9	8.3	15.1	17.7	20.3	21.3	18.3	13.7	8.3	4.6
20	3.6	−0.3	4.5	8.7	14.4	18.0	18.4	21.7	18.0	13.5	6.8	3.3	4.0	−0.2	4.8	8.7	14.6	18.1	19.0	21.5	18.2	13.6	7.6	4.3
21	3.5	0.0	3.3	9.3	14.6	17.1	18.5	21.8	17.7	13.1	6.6	3.8	3.9	−0.1	3.6	9.4	14.8	17.7	18.6	21.7	17.8	13.4	7.3	4.1
22	3.6	0.0	3.1	8.9	14.1	16.5	18.8	20.3	17.2	13.3	6.0	3.3	3.5	−0.1	3.1	9.2	14.2	16.8	19.1	20.7	17.6	13.7	6.5	4.1
23	2.7	0.0	3.9	9.7	15.5	16.2	19.4	18.8	17.5	12.8	5.4	2.2	3.3	0.0	3.7	9.5	15.0	16.9	19.6	19.4	17.6	13.2	6.3	3.2
24	4.2	0.1	5.1	11.1	16.1	17.7	20.6	18.7	17.1	12.7	5.2	1.1	4.1	0.0	4.7	10.7	15.8	17.3	20.4	19.1	17.2	13.1	6.2	2.5
25	3.3	0.1	5.9	11.3	15.8	16.9	21.2	18.2	17.6	12.3	5.5	0.7	3.7	0.0	5.5	11.0	15.6	17.1	21.0	18.7	17.7	12.5	6.3	1.7
26	2.7	0.1	7.9	11.4	16.4	17.0	21.4	19.3	16.1	10.4	5.2	0.2	3.1	0.1	7.2	11.4	16.1	17.2	21.4	19.4	16.7	11.7	5.5	1.4
27	2.9	0.1	8.2	12.1	17.7	17.6	22.7	19.3	16.1	8.6	5.7	0.0	3.0	0.1	7.7	11.8	17.0	17.9	22.2	19.2	16.4	10.0	6.2	1.3
28	4.5	0.1	8.0	11.1	18.4	18.2	22.0	18.9	16.0	7.7	5.0	−0.1	4.3	0.2	7.9	11.1	18.0	18.3	22.0	18.9	16.4	9.1	5.8	1.1
29	4.2	0.9	7.9	10.7	19.4	18.8	22.3	18.6	16.0	8.2	4.6	−0.2	4.3	0.6	7.7	10.9	19.0	18.9	22.0	18.6	16.3	9.1	5.6	1.0
30	4.2	—	8.0	11.8	20.2	18.9	22.6	16.3	16.3	8.6	3.8	0.0	4.4	—	8.0	11.6	19.3	18.8	22.2	17.0	16.6	9.2	4.8	1.0
31	3.4	—	9.0	—	19.4	—	21.4	16.8	—	8.8	—	0.2	3.9	—	8.8	—	19.3	—	21.8	17.3	—	9.1	—	1.0
Mittel	3.2	−0.2	5.2	9.2	15.2	17.7	20.1	20.3	17.7	12.1	7.2	3.7	3.4	0.3	5.3	9.1	15.0	17.9	20.1	20.4	17.9	12.7	7.8	4.4
	20 cm Tiefe												50 cm Tiefe											
1	4.3	3.6	2.1	8.0	11.1	17.8	18.0	21.2	17.8	16.6	9.4	6.3	5.6	4.5	2.3	7.2	10.5	16.7	17.2	20.5	18.2	16.8	11.1	7.3
2	4.2	2.6	3.5	8.5	11.1	18.0	16.6	21.0	17.7	16.8	9.7	8.0	5.4	4.3	3.0	7.6	10.6	16.6	16.9	20.4	18.2	16.9	11.0	7.2
3	3.6	2.1	4.9	8.8	11.4	18.1	16.5	21.1	17.6	16.8	9.6	5.0	5.2	3.9	3.8	7.8	10.6	16.8	16.6	20.3	18.0	16.9	10.9	6.7
4	3.4	1.9	5.7	9.1	11.7	19.0	17.9	20.6	17.8	16.6	8.9	5.6	5.0	3.7	4.5	8.0	10.7	17.1	16.7	20.2	18.0	16.8	10.6	6.8
5	3.4	1.6	6.3	9.0	12.3	19.1	18.1	20.2	18.2	16.4	8.6	6.5	4.8	3.3	5.2	8.3	11.0	17.4	17.0	20.0	18.2	16.7	10.2	7.0
6	3.3	1.5	5.5	8.6	12.8	19.3	18.8	19.7	18.3	13.2	8.8	6.5	4.7	3.1	5.2	8.2	11.3	17.7	17.4	19.8	18.4	15.2	10.2	7.3
7	3.5	1.3	5.6	7.2	13.1	19.5	19.5	20.0	18.2	13.2	8.9	6.7	4.6	2.9	5.2	7.8	11.7	17.9	17.8	19.5	18.4	14.9	10.2	7.3
8	3.0	1.2	5.5	7.0	13.7	17.8	20.1	20.6	18.3	12.8	8.8	6.5	4.5	2.8	5.3	7.4	12.2	17.6	18.3	19.8	18.5	14.6	10.1	7.3
9	2.7	1.2	5.0	7.2	14.2	16.3	20.6	21.4	18.4	12.5	8.7	6.4	4.4	2.7	5.2	7.3	12.4	16.7	18.8	20.1	18.6	14.4	10.1	7.2
10	2.8	1.0	4.6	7.9	14.6	16.4	20.4	22.1	18.4	12.5	9.0	6.5	4.2	2.6	5.1	7.5	12.8	16.4	18.9	20.5	18.4	13.9	9.9	7.2
11	3.1	1.1	4.2	8.8	14.1	15.8	19.6	21.8	18.6	12.5	9.2	6.4	4.2	2.6	5.0	8.0	13.0	16.1	19.2	20.8	18.5	13.7	9.9	7.2
12	3.3	1.0	4.0	9.1	13.7	15.8	19.7	20.9	18.9	12.4	9.0	6.0	4.2	2.5	4.8	8.2	12.9	15.8	18.9	20.5	18.6	13.6	10.1	7.0
13	3.2	1.0	3.7	9.2	13.8	16.8	20.3	20.2	18.9	12.5	8.9	5.7	4.2	2.4	4.6	8.5	12.8	16.0	19.1	20.1	18.7	13.5	10.1	6.9
14	3.4	0.9	3.7	8.8	14.0	17.5	19.9	20.2	18.5	12.5	9.1	5.7	4.2	2.9	4.5	8.5	12.8	16.4	19.2	19.9	18.7	13.4	10.0	6.8
15	3.8	0.7	3.9	9.2	14.3	17.8	19.3	20.2	18.3	12.8	9.4	5.6	4.3	2.2	4.5	8.6	13.0	16.8	19.0	19.7	18.6	13.5	10.0	6.7
16	4.1	0.4	4.6	9.1	14.5	17.5	19.5	20.6	18.3	13.1	9.3	5.6	4.4	2.1	4.6	8.7	13.2	16.8	19.0	19.7	18.5	13.5	10.1	6.7
17	3.8	0.3	5.0	8.8	14.9	17.3	19.8	20.6	18.3	13.4	9.2	5.8	4.5	2.0	4.9	8.8	13.4	16.7	19.2	20.0	18.5	13.8	10.1	6.7
18	4.0	0.2	5.3	8.2	15.1	17.3	20.2	20.7	18.5	13.5	9.3	5.6	4.6	2.0	5.2	8.5	13.6	16.6	19.3	20.1	18.4	14.0	10.1	6.7
19	3.9	0.2	5.6	8.3	14.8	17.4	20.2	20.7	18.4	13.7	8.9	5.2	4.6	1.9	5.4	8.3	13.9	16.6	19.6	20.1	18.4	14.0	9.9	6.5
20	4.0	0.2	5.0	8.4	14.4	17.6	19.1	21.1	18.1	13.7	8.3	4.9	4.6	1.9	5.5	8.4	13.8	16.7	19.2	20.2	18.2	14.1	9.0	6.4
21	4.0	0.2	4.2	8.8	14.6	17.5	18.9	21.2	17.7	13.7	8.0	4.5	4.6	1.8	5.3	8.7	13.7	16.9	18.9	20.2	18.0	14.1	9.3	6.1
22	3.6	0.2	3.4	9.0	14.2	16.9	19.0	20.7	17.6	13.6	7.6	4.5	4.5	1.8	4.6	8.8	13.7	16.6	19.0	20.4	18.0	14.1	9.2	5.9
23	3.6	0.3	3.6	9.1	14.4	16.8	19.3	19.6	17.5	13.5	7.1	4.1	4.5	1.8	4.0	8.8	13.6	16.4	19.0	20.0	17.9	14.1	8.7	5.8
24	3.9	0.4	4.4	10.0	15.1	16.9	19.8	19.1	17.4	13.3	6.9	3.4	4.5	1.8	4.1	9.1	13.9	16.4	19.1	19.5	17.7	14.0	8.5	5.4
25	4.2	0.4	5.0	10.5	15.1	17.0	20.4	18.9	17.4	13.1	7.0	2.9	4.6	1.8	4.5	9.6	14.0	16.5	19.4	19.2	17.6	13.9	8.5	5.0
26	3.5	0.5	6.2	10.9	15.3	16.9	20.8	19.0	16.9	12.5	6.7	2.5	4.6	1.8	5.0	9.9	14.3	16.4	19.6	19.2	17.4	13.5	8.3	4.7
27	3.3	0.6	6.9	11.2	15.9	17.4	21.4	19.1	16.6	11.0	6.7	2.3	4.4	1.9	5.7	10.2	14.6	16.5	20.1	19.0	17.2	12.8	8.2	4.4
28	4.0	0.6	7.4	11.1	16.9	17.6	21.4	19.0	16.4	10.1	6.6	2.1	4.4	1.9	6.3	10.4	15.1	16.8	20.3	19.0	16.9	12.1	8.0	4.2
29	4.1	0.8	7.3	10.7	17.8	18.1	21.4	18.4	16.3	9.8	6.3	1.9	4.7	1.9	6.4	10.4	15.6	16.9	20.3	18.7	16.8	11.6	7.8	4.0
30	4.4	—	7.4	11.0	18.3	18.1	21.5	17.4	16.5	10.2	5.9	1.8	4.8	—	6.7	10.4	16.3	17.1	20.4	18.3	16.8	11.1	7.6	3.8
31	4.3	—	8.2	—	18.5	—	21.4	17.5	—	9.7	—	1.8	4.9	—	7.0	—	16.6	—	20.5	18.2	—	11.4	—	3.6
Mittel	3.7	1.0	5.1	9.1	14.4	17.5	19.7	20.2	17.9	13.2	8.3	4.9	4.6	2.5	5.0	8.6	13.1	16.7	18.8	20.1	18.1	14.1	9.6	6.2

Bodentemperaturen

Zürich (Nachtrag) — 0 cm Tiefe — (Mittel aus 8 Stundenwerten)

	I	II	III	IV	V	VI	VII	VIII	IX	X	XI	XII	I	II	III	IV	V	VI	VII	VIII	IX	X	XI	XII
	1953												1954											
1	0.3	0.5	2.9	10.7	13.5	12.7	20.8	19.4	21.0	14.0	7.9	6.1	–1.1	–1.7	3.2	7.5	13.1	15.0	13.4	18.1	19.4	10.7	8.4	6.1
2	0.2	0.5	1.9	11.1	14.2	11.3	22.6	19.4	22.0	15.1	8.2	4.6	–1.8	–1.8	5.5	6.2	11.7	16.3	12.4	20.2	19.1	13.0	8.7	4.7
3	0.5	0.5	2.4	12.1	15.3	12.4	19.8	18.2	22.1	15.1	6.9	4.2	–2.3	–1.7	5.8	8.8	9.0	16.5	15.7	21.9	19.7	13.0	8.9	5.0
4	0.5	0.6	3.5	12.2	15.1	14.1	21.8	18.1	21.1	15.5	7.1	5.1	–0.7	–1.5	4.0	12.0	9.0	16.1	15.3	21.9	20.0	12.3	8.4	4.1
5	0.7	0.6	5.0	9.8	15.5	15.7	20.6	18.6	20.5	14.2	8.4	5.2	–0.8	–1.3	3.5	9.3	8.9	17.2	15.2	21.4	19.2	12.9	6.5	4.1
6	0.7	0.6	5.0	9.8	14.6	17.1	22.0	18.6	19.5	12.6	7.6	4.3	–0.7	–1.5	3.0	4.8	11.6	13.8	16.4	21.2	19.0	12.4	7.7	3.2
7	0.7	0.6	4.4	9.7	11.6	19.1	23.5	19.7	19.0	11.9	6.5	4.2	–0.5	–1.6	3.1	5.4	11.9	15.2	12.4	18.0	18.4	12.9	9.1	2.9
8	0.9	0.3	2.3	10.5	10.5	19.1	22.6	20.3	19.7	12.0	5.9	4.0	–0.3	–1.6	3.8	5.5	11.1	16.7	13.6	16.9	17.8	9.6	10.1	3.1
9	1.0	0.2	1.7	11.3	10.7	19.3	19.7	20.8	21.2	11.2	6.6	4.0	–0.1	–0.9	5.4	5.7	13.5	17.2	13.1	16.5	17.9	9.4	9.8	3.5
10	0.9	0.5	2.3	7.9	9.2	14.5	18.0	21.8	17.5	9.8	5.5	4.6	0.2	–0.4	5.4	6.0	15.1	16.5	12.1	16.0	18.7	7.6	7.9	3.5
11	0.8	0.5	1.0	9.5	9.6	13.5	18.9	23.5	15.8	10.4	5.2	5.3	0.3	–0.4	5.6	6.3	16.1	15.7	17.2	15.9	20.1	8.2	7.4	3.6
12	–0.3	0.6	2.3	11.3	10.7	16.2	19.0	23.9	16.6	10.2	5.6	4.9	0.4	0.3	2.6	7.9	16.1	16.4	18.4	15.9	16.7	10.5	7.5	3.7
13	–0.2	0.6	3.4	9.4	12.4	17.8	18.1	25.9	17.9	12.9	5.4	4.3	0.6	0.8	6.3	10.6	16.3	14.7	16.9	18.0	16.9	8.9	8.1	2.8
14	–0.2	0.6	3.5	7.1	12.2	16.0	19.1	24.5	16.3	14.0	4.3	4.0	0.6	–0.2	5.6	9.9	15.4	15.1	17.0	18.6	17.3	10.4	7.9	2.6
15	–0.3	0.4	3.8	4.0	14.4	18.5	19.9	22.9	17.1	13.5	4.6	3.4	1.0	0.6	7.4	6.1	13.4	15.2	16.7	15.6	15.4	10.9	5.7	3.6
16	–0.3	0.1	2.9	5.4	16.1	17.8	20.6	19.9	16.4	12.8	4.9	3.0	3.5	0.2	8.1	5.3	15.0	14.7	17.1	15.0	16.1	11.3	4.6	4.6
17	–0.3	–0.1	5.2	7.3	17.5	18.9	21.8	22.0	17.0	14.8	5.5	3.2	3.4	–0.7	7.2	5.1	14.6	17.2	17.9	17.2	16.5	11.7	2.7	3.4
18	–0.1	–0.1	6.2	9.5	18.3	15.6	21.1	21.3	17.5	13.6	6.2	3.1	1.4	–0.7	8.7	4.4	11.3	18.9	18.2	18.9	16.8	12.1	3.4	2.4
19	–0.1	0.4	6.7	10.7	18.9	18.6	19.4	23.1	16.5	14.6	5.5	3.6	0.1	0.2	7.7	3.0	9.8	20.0	17.6	17.8	18.5	12.9	3.6	1.8
20	0.2	0.5	7.0	11.9	20.2	19.3	19.6	22.2	15.1	14.1	4.9	3.9	2.1	0.2	7.1	3.2	10.9	21.0	18.2	18.6	17.4	12.8	2.0	1.8
21	0.0	0.6	7.7	12.5	20.9	19.5	21.1	18.6	15.2	13.9	4.6	3.1	3.0	0.7	9.2	5.0	9.9	21.7	18.9	16.3	14.9	11.6	1.9	1.6
22	–0.5	0.8	7.9	12.8	20.6	20.2	22.1	17.2	14.9	13.4	4.4	2.4	2.5	1.0	8.7	7.4	10.9	21.4	20.1	13.2	14.1	10.7	1.5	1.9
23	–0.5	2.2	8.1	13.8	19.8	19.7	20.2	17.9	15.1	12.5	4.1	2.8	0.2	2.9	9.7	9.2	11.9	21.8	20.4	13.8	13.8	11.0	1.6	3.5
24	–0.4	1.9	8.4	13.8	20.3	17.4	20.4	19.6	14.4	12.2	3.5	3.7	–2.6	2.6	7.2	11.0	13.1	20.7	20.6	14.5	13.8	11.4	3.0	0.8
25	–0.3	2.4	8.6	12.1	21.5	14.4	21.4	19.2	14.8	11.6	3.6	3.6	–3.1	3.8	9.6	10.2	15.4	21.0	21.5	14.7	12.5	10.1	3.7	0.8
26	–0.1	0.4	9.1	13.5	21.6	14.5	21.9	19.1	15.3	11.5	3.8	3.0	–2.2	1.8	9.4	10.7	17.1	21.9	20.2	14.3	13.0	9.2	5.5	2.9
27	–0.2	1.5	9.0	12.6	19.9	17.2	21.4	18.7	18.1	10.8	3.9	2.4	–1.7	4.3	7.0	10.0	17.6	19.8	20.9	15.6	12.3	8.9	5.9	4.1
28	–0.0	2.5	9.1	12.5	13.6	21.4	20.9	18.9	16.8	11.8	4.2	2.2	–0.9	2.6	8.2	9.7	18.0	14.7	21.1	16.5	13.1	11.3	5.2	4.6
29	0.4	—	9.5	11.2	14.6	20.8	21.5	19.3	13.8	9.4	4.5	1.9	–0.7	—	8.2	12.7	14.7	15.4	19.3	18.1	11.5	9.8	5.5	2.9
30	0.7	—	11.7	12.2	13.8	22.5	19.3	20.9	13.6	8.9	4.9	1.0	–1.2	—	8.3	10.6	16.3	16.6	17.1	17.5	11.0	10.4	5.3	3.4
31	0.2	—	8.6	—	13.1	—	19.0	21.5	—	7.9	—	0.0	–1.3	—	9.6	—	14.6	—	17.3	18.7	—	9.6	—	1.4
Mittel	0.2	0.7	5.5	10.6	15.5	17.2	20.6	20.5	17.4	12.5	5.5	3.6	–0.1	0.2	6.4	7.6	13.3	17.5	17.2	17.3	16.4	10.9	5.9	3.2

	1955												1956											
1	–0.1	3.0	–1.0	4.7	16.3	15.2	19.2	18.2	18.5	11.3	4.6	0.7	2.3	–0.9	–0.5	7.6	8.5	14.4	18.2	18.8	16.8	16.4	5.2	2.2
2	–1.4	3.5	–1.1	6.0	15.2	15.8	24.0	17.4	18.3	11.5	6.1	1.1	2.6	–1.3	–0.1	6.1	8.7	14.4	16.7	17.9	18.0	15.9	4.8	0.8
3	–1.6	3.0	–0.7	6.7	12.9	16.0	19.0	18.3	18.8	12.6	6.3	2.8	2.6	–1.3	1.3	7.0	9.6	14.8	16.2	15.9	14.9	14.9	4.5	1.7
4	–1.6	2.8	–0.5	7.8	12.0	14.0	17.5	17.6	19.3	12.0	7.9	4.4	2.0	–1.3	2.5	7.2	10.6	15.6	17.6	16.1	16.4	13.6	4.9	3.5
5	–1.2	3.4	0.1	8.4	14.0	16.7	16.4	17.4	19.3	12.5	9.2	3.2	1.7	–1.3	2.3	6.0	11.5	16.7	19.0	16.2	16.9	11.5	5.7	4.2
6	–1.2	2.0	–0.3	9.9	16.1	18.7	15.5	17.7	17.4	10.8	9.5	3.0	2.4	–1.1	2.2	4.2	12.5	16.5	20.6	16.7	16.1	9.1	6.3	4.1
7	–1.3	2.1	1.1	8.7	13.6	18.4	14.1	17.1	17.3	9.5	9.1	2.4	1.6	–1.1	1.4	3.3	13.3	16.4	21.2	16.0	16.8	8.7	5.9	4.5
8	–1.3	4.8	0.2	8.6	13.8	16.2	14.8	16.2	18.7	10.6	8.5	2.4	0.9	–1.5	1.0	3.3	14.2	13.1	22.1	16.9	18.1	8.2	4.6	4.3
9	–0.8	3.7	0.6	9.2	14.7	16.3	17.5	15.8	18.0	10.8	8.4	3.1	0.9	–1.1	0.2	5.2	14.5	12.2	22.7	18.4	16.3	8.2	5.0	4.6
10	–0.6	1.8	0.1	9.5	14.5	13.9	18.3	15.2	16.1	10.3	8.4	2.9	1.2	–1.3	0.4	6.8	12.9	12.8	21.0	19.6	16.7	8.6	5.6	4.4
11	0.2	0.7	–0.5	7.6	12.2	12.2	18.3	16.4	16.1	10.6	8.2	4.0	1.3	–1.3	0.9	8.1	11.5	13.8	16.3	17.8	17.3	8.7	7.0	4.1
12	5.3	–0.7	–0.2	8.4	12.8	14.1	19.5	17.4	16.4	10.6	7.8	3.5	2.5	–1.2	–0.2	9.3	10.4	14.2	16.6	17.2	15.4	10.0	6.8	3.8
13	2.8	0.5	–0.8	8.2	13.8	13.4	18.9	18.4	14.8	11.8	6.9	2.7	3.4	–1.4	–0.8	9.8	10.5	15.8	19.5	16.7	16.8	9.9	6.4	5.4
14	5.1	0.0	1.5	8.7	12.9	14.2	18.2	18.5	12.4	11.9	6.9	2.9	2.8	–1.5	–0.5	9.7	10.9	14.2	17.6	17.4	16.7	9.9	5.4	4.7
15	3.1	–0.6	2.2	7.0	10.4	16.5	19.4	17.3	11.0	12.6	5.8	3.9	3.1	–1.4	0.0	11.1	12.1	12.8	18.4	17.5	15.9	9.7	4.8	4.7
16	5.0	–0.2	3.3	6.2	11.1	17.6	19.3	18.4	11.9	10.8	4.3	4.9	3.8	–0.9	1.5	10.6	13.5	14.1	17.3	17.6	17.6	10.7	4.5	4.4
17	2.2	–0.4	1.8	5.1	12.0	18.9	20.7	18.7	13.9	9.9	3.9	4.5	4.1	–0.9	2.6	8.5	14.4	14.7	17.2	17.9	17.2	11.1	3.7	3.7
18	1.4	0.2	1.1	6.3	10.4	20.0	23.4	19.7	14.4	9.2	3.1	4.8	4.9	–1.0	3.8	5.5	13.6	13.9	18.8	18.3	14.6	11.0	3.6	2.7
19	1.0	–0.1	1.6	6.7	10.0	19.9	23.3	20.1	14.1	8.8	2.4	4.0	3.8	–1.0	4.7	5.9	11.5	14.8	17.9	18.2	15.4	12.2	3.5	2.0
20	0.6	0.1	3.2	7.4	10.8	18.3	21.7	21.0	14.6	8.9	2.7	3.5	2.8	–1.0	5.2	6.8	10.9	14.0	16.3	17.0	16.7	12.1	3.5	2.1
21	0.6	0.3	4.3	8.7	11.5	18.7	22.1	20.4	16.1	9.7	2.9	3.8	1.9	–1.1	5.4	7.5	11.7	13.7	17.3	16.9	16.6	12.3	2.4	2.9
22	0.5	0.1	7.1	9.0	10.9	17.5	19.4	20.4	16.2	9.4	3.2	3.6	2.2	–1.2	5.5	7.6	13.7	12.9	17.7	16.7	16.5	11.5	1.4	2.4
23	1.6	0.2	7.0	9.5	11.6	18.7	20.3	21.2	15.0	8.7	3.0	3.7	2.0	–1.0	5.1	7.4	13.9	12.6	18.8	14.9	17.6	11.1	1.0	1.8
24	0.9	0.6	9.3	9.7	13.3	19.7	21.2	21.3	16.3	8.3	3.4	4.9	2.2	–0.9	6.1	8.7	13.5	13.2	18.8	14.5	17.6	11.0	1.2	1.4
25	0.8	0.7	9.3	9.4	14.6	20.1	21.2	20.0	15.6	8.8	2.5	4.8	1.0	–0.9	6.9	9.2	12.4	13.5	19.8	14.5	16.3	10.3	1.6	0.0
26	0.4	0.1	9.9	10.1	16.6	19.8	19.7	19.5	15.8	8.9	1.0	4.7	–0.1	–0.9	7.7	9.9	13.2	15.4	19.5	16.8	15.9	7.0	2.5	–0.5
27	0.3	–0.2	10.5	11.4	13.6	18.2	18.2	16.6	13.9	8.9	0.4	4.4	3.0	–0.8	7.8	10.5	14.4	16.1	20.0	17.4	13.5	5.8	4.0	0.0
28	0.2	–0.8	6.9	12.7	13.1	18.6	17.7	18.1	11.8	8.3	0.1	5.2	2.7	–0.9	7.4	10.6	16.0	17.3	19.2	16.0	14.4	6.1	4.4	0.1
29	0.7	—	4.1	14.3	13.2	19.0	17.3	19.6	11.5	5.9	0.2	6.1	2.4	–0.6	7.5	10.3	16.5	16.3	18.7	14.2	15.4	5.7	3.2	0.1
30	0.8	—	3.6	15.7	13.6	18.6	18.0	18.6	10.8	5.4	0.4	4.9	3.5	—	8.8	10.3	16.7	17.4	17.9	14.8	16.0	5.1	2.8	0.6
31	1.4	—	2.8	—	14.0	—	17.8	19.0	—	5.3	—	3.4	1.0	—	8.9	—	15.8	—	18.0	14.9	—	5.1	—	0.8
Mittel	0.8	1.1	2.8	8.7	13.1	17.1	19.0	18.4	15.5	9.9	4.9	3.7	2.3	–1.1	3.4	7.8	12.7	14.6	18.6	16.8	16.3	10.0	4.2	2.6

Bodentemperaturen

Zürich (Nachtrag) 100 cm Tiefe (Mittel aus 8 Stundenwerten)

	I	II	III	IV	V	VI	VII	VIII	IX	X	XI	XII	I	II	III	IV	V	VI	VII	VIII	IX	X	XI	XII
	1953												1954											
1	4.5	3.6	3.2	7.0	10.2	14.0	15.9	18.0	17.5	15.2	12.3	7.6	5.7	4.4	3.2	6.9	8.1	12.0	15.3	16.1	15.4	14.0	11.4	7.5
2	4.4	3.6	3.3	7.2	10.4	13.9	16.1	18.0	17.6	15.0	12.0	7.8	5.5	3.3	3.5	7.0	8.3	12.1	15.4	16.0	15.6	13.7	11.4	7.7
3	4.3	3.5	3.3	7.5	10.5	13.5	16.4	17.9	17.8	15.0	11.5	7.7	5.2	3.2	3.5	6.9	8.6	12.1	15.1	16.0	15.9	13.4	11.2	7.6
4	4.3	3.5	3.3	7.6	10.8	13.3	16.7	17.6	17.9	15.0	11.5	7.7	5.1	3.2	3.8	7.0	8.8	12.3	14.9	16.1	16.0	13.3	11.0	7.6
5	4.2	3.5	3.4	7.9	11.0	13.2	16.8	17.5	17.9	15.0	11.3	7.7	5.0	3.0	3.9	7.1	8.8	12.4	14.9	16.3	16.1	13.3	11.0	7.6
6	4.2	3.5	3.6	8.0	11.3	13.4	16.9	17.5	17.9	14.9	11.0	7.6	4.9	3.0	4.0	7.4	8.7	12.6	14.8	16.6	16.3	13.3	10.7	7.5
7	4.2	3.5	3.9	8.1	11.4	13.5	17.0	17.5	17.9	14.8	11.0	7.4	4.7	3.0	4.0	7.5	8.7	12.6	14.8	16.8	16.4	13.3	10.5	7.4
8	4.2	3.5	4.0	8.1	11.4	13.8	17.0	17.4	17.8	14.5	10.7	7.5	4.6	2.9	4.0	7.3	8.9	12.5	14.8	16.9	16.4	13.2	10.5	7.2
9	4.2	3.4	3.8	8.2	11.0	14.0	17.2	17.4	17.7	14.3	10.5	7.5	4.5	2.9	4.0	7.1	9.0	12.6	14.6	16.8	16.4	13.0	10.5	7.1
10	4.2	3.5	4.1	8.2	11.1	14.2	17.2	17.5	17.7	14.1	10.4	6.4	4.5	2.9	4.0	7.0	9.1	12.9	14.4	16.6	16.6	12.7	10.5	7.0
11	4.2	3.5	4.1	8.3	10.9	14.3	17.1	17.5	17.7	13.9	10.1	6.9	4.4	2.8	4.1	6.9	9.4	13.0	14.2	16.4	16.3	12.5	10.5	6.8
12	4.2	3.4	4.1	8.0	10.6	14.2	17.0	17.7	17.3	13.7	10.0	7.3	4.4	2.5	4.3	6.9	9.8	13.1	14.1	16.2	16.3	12.3	10.4	6.6
13	4.1	3.4	4.0	8.1	10.6	14.1	16.9	17.8	17.1	13.4	9.8	7.4	4.4	2.4	4.2	6.9	10.0	13.1	14.1	16.1	16.5	12.1	10.4	6.6
14	4.1	3.4	4.1	8.5	10.6	14.1	16.9	18.5	16.9	13.3	9.7	7.4	4.3	2.4	4.7	6.9	10.4	13.1	14.3	16.0	16.3	12.1	10.2	6.6
15	4.1	3.4	4.2	8.5	10.8	14.3	16.8	18.2	16.8	13.3	9.2	6.5	4.2	2.5	4.7	7.1	10.7	13.1	14.5	16.1	16.2	11.9	10.0	6.5
16	4.1	3.4	4.2	8.3	10.9	14.4	16.8	18.4	16.8	13.4	9.3	7.1	3.2	2.5	4.7	7.3	10.9	13.1	14.6	16.1	16.1	11.8	10.0	6.4
17	4.0	3.3	4.3	8.1	11.2	14.6	16.9	18.3	16.8	13.5	9.2	7.1	3.6	2.5	5.0	7.3	10.9	13.1	14.7	15.9	16.0	11.7	9.8	6.4
18	4.1	3.3	4.4	7.9	11.5	14.7	16.9	18.3	16.6	13.8	9.0	7.0	3.7	2.5	5.2	7.2	11.0	13.1	14.8	15.9	15.9	11.6	9.5	6.4
19	4.0	3.2	4.6	8.0	11.9	14.8	17.1	18.2	16.6	13.8	8.9	6.9	4.0	2.5	5.5	7.0	11.2	13.3	14.9	15.8	15.8	11.8	9.1	6.3
20	4.0	3.3	4.8	8.0	12.2	14.8	17.1	18.3	16.5	14.0	8.9	6.8	4.0	2.5	5.6	6.8	11.1	13.6	15.0	16.0	15.9	11.8	8.9	6.1
21	4.0	3.1	5.0	8.3	13.1	14.9	17.1	18.3	16.3	14.0	8.9	6.7	4.0	2.6	5.9	6.5	11.0	14.0	15.0	16.0	15.9	11.9	8.7	6.0
22	4.0	3.0	5.0	8.6	13.3	15.0	17.1	18.3	16.1	13.8	8.8	6.6	4.1	2.6	6.0	6.4	10.9	16.3	15.0	16.2	15.9	12.1	8.4	5.8
23	3.9	3.0	5.3	8.9	13.5	15.2	17.4	18.1	16.0	13.7	8.6	6.6	4.1	2.6	6.1	6.4	10.6	15.0	15.2	16.0	15.6	12.1	8.1	5.7
24	3.9	3.0	5.5	9.2	13.6	15.4	17.7	17.9	15.7	13.5	8.5	6.4	4.2	2.6	6.3	6.6	10.4	15.2	15.4	15.7	15.3	11.9	7.9	5.7
25	3.8	3.0	5.6	9.4	14.1	15.7	17.6	17.8	15.4	13.3	8.5	6.1	4.1	2.8	6.4	6.8	10.5	15.4	15.7	15.4	15.2	11.9	7.6	5.6
26	3.7	3.1	5.8	9.6	14.3	15.8	17.7	17.7	15.4	13.2	8.2	6.3	4.0	2.9	6.4	7.1	10.5	15.7	15.9	15.3	15.0	11.9	7.5	5.4
27	3.6	3.2	5.8	9.9	15.4	15.4	17.9	17.6	15.4	13.1	8.0	6.3	3.9	2.9	6.5	7.4	10.8	15.9	16.1	15.2	14.9	11.7	7.5	5.4
28	3.6	3.1	6.3	10.0	14.9	15.3	18.0	17.5	15.4	13.0	8.0	6.2	3.7	2.9	6.6	7.6	11.1	16.0	16.2	15.1	14.6	11.6	7.6	5.4
29	3.6	—	6.5	10.1	14.9	15.3	18.0	17.5	15.6	13.1	7.9	6.1	3.5	—	6.6	7.7	11.4	15.8	16.2	15.1	14.2	11.5	7.6	5.5
30	3.5	—	6.6	10.2	14.7	15.7	18.1	17.4	15.5	12.9	7.7	5.9	3.5	—	6.8	7.9	11.7	15.7	16.2	15.2	14.1	11.5	7.7	5.6
31	3.5	—	6.9	—	14.4	—	18.0	17.4	—	12.7	—	5.8	3.4	—	6.9	—	12.0	—	16.2	15.3	—	11.5	—	5.5
Mittel	4.0	3.3	4.6	8.5	12.1	14.5	17.1	17.8	16.8	13.9	9.6	6.9	4.3	2.8	5.0	7.1	10.1	13.7	15.1	16.0	15.8	12.3	9.5	6.4
	1955												1956											
1	5.5	3.8	3.1	5.8	9.4	11.7	15.3	16.5	16.9	14.1	10.2	6.3	6.2	4.4	2.3	6.0	8.4	12.5	13.5	16.4	15.1	14.6	10.0	6.6
2	5.4	3.8	3.1	5.5	9.7	12.0	15.4	16.5	16.9	14.1	9.9	6.2	6.1	4.2	2.2	6.1	8.5	12.5	13.7	16.4	15.1	14.6	9.9	6.5
3	5.1	3.9	3.0	5.5	10.1	12.1	15.5	16.5	16.9	13.6	9.7	6.0	5.8	4.0	2.0	6.3	84	12.5	13.9	16.3	15.2	14.6	9.7	6.3
4	5.0	4.1	3.0	5.6	10.3	12.2	15.7	16.4	16.9	13.5	9.6	6.0	5.6	3.9	2.0	6.3	8.4	12.5	14.0	16.3	15.2	14.7	9.5	6.2
5	4.6	4.1	3.0	5.8	10.3	12.4	15.8	16.4	17.0	13.4	9.6	6.0	5.5	3.6	2.0	6.4	8.6	12.7	14.0	16.2	15.2	14.6	9.3	6.2
6	4.5	4.2	2.9	6.1	10.3	12.4	15.8	16.4	17.0	13.5	9.7	6.1	5.4	3.5	2.3	6.5	8.7	13.0	14.2	16.0	15.2	14.4	9.2	6.2
7	4.4	4.3	2.9	6.4	10.4	12.7	15.6	16.4	17.0	13.4	9.7	6.2	5.2	3.4	2.4	6.4	8.9	13.2	14.5	16.0	15.2	14.0	9.2	6.3
8	4.3	4.3	2.8	6.6	10.7	13.2	15.4	16.4	16.9	13.2	9.9	6.0	5.2	3.3	2.4	6.1	9.3	13.3	15.0	15.8	15.2	13.5	9.1	6.3
9	4.1	4.3	2.8	6.9	10.7	13.4	15.0	16.3	16.9	13.1	9.9	6.0	5.0	3.2	2.6	5.8	9.6	13.3	15.3	15.8	15.2	13.2	9.0	6.4
10	4.1	4.4	2.8	7.0	11.0	13.4	15.0	16.2	16.9	12.8	9.9	6.0	4.9	3.1	2.6	5.7	9.9	13.2	15.6	15.8	15.3	12.8	8.9	6.4
11	3.9	4.5	2.8	7.2	11.1	13.4	15.0	16.0	16.9	12.7	9.9	5.9	4.7	3.0	2.6	5.8	10.2	13.1	15.9	16.2	15.3	12.5	8.7	6.5
12	3.5	4.4	2.6	7.2	11.1	13.3	15.1	15.9	16.8	12.6	9.9	5.8	4.7	3.0	2.6	6.1	10.2	13.0	16.0	16.4	15.3	12.3	8.7	6.4
13	3.5	4.2	2.7	7.4	11.1	13.1	15.1	15.8	16.1	12.6	9.8	5.9	4.7	3.0	2.6	6.4	10.2	13.1	15.8	16.4	15.4	12.1	8.8	6.4
14	3.8	4.1	2.7	7.4	11.1	13.0	15.6	15.9	16.3	12.5	9.7	5.8	4.7	2.8	2.6	6.7	10.0	13.1	15.6	16.3	15.3	12.0	8.8	6.4
15	3.9	4.0	2.9	7.4	11.1	13.0	15.8	16.0	15.8	12.5	9.6	5.8	4.7	2.7	2.6	7.0	9.8	13.2	15.7	16.2	15.1	11.9	8.8	6.5
16	4.1	3.7	3.0	7.5	11.1	13.0	15.9	16.0	15.3	12.5	9.5	5.8	4.8	2.7	2.6	7.1	10.0	13.2	15.7	16.2	14.8	11.8	8.7	6.5
17	4.3	3.6	3.1	7.5	10.9	13.1	16.1	16.0	14.8	12.5	9.3	5.8	4.8	2.7	2.6	7.6	10.1	13.0	15.7	16.2	14.7	11.8	8.5	6.5
18	4.4	3.6	3.4	7.2	10.8	13.5	16.5	16.1	14.5	12.5	9.0	5.9	4.9	2.6	2.6	7.8	10.3	13.1	15.5	16.2	14.9	11.8	8.3	6.4
19	4.4	3.6	3.4	7.1	10.7	13.8	16.8	16.2	14.5	12.5	8.8	6.0	5.0	2.6	2.7	7.6	10.6	13.2	15.5	16.2	15.0	11.8	8.1	6.4
20	4.3	3.5	3.5	7.2	10.6	14.1	17.0	16.4	14.5	12.1	8.5	6.0	5.0	2.6	3.1	7.4	10.8	13.1	15.7	16.3	14.8	11.8	8.0	6.2
21	4.1	3.5	3.5	7.1	10.6	14.4	17.3	16.6	14.5	11.8	8.2	6.0	5.0	2.5	3.4	7.3	10.7	13.2	15.8	16.2	14.8	12.0	7.8	6.0
22	4.1	3.5	3.6	7.3	10.5	14.5	17.4	16.8	14.6	11.7	8.0	6.0	5.0	2.5	3.7	7.2	10.5	13.2	15.7	16.3	14.8	12.2	7.7	5.8
23	4.0	3.3	3.9	7.4	10.5	14.6	17.5	16.9	14.6	11.6	7.8	5.9	4.9	2.5	4.0	7.2	10.6	13.1	15.6	16.2	14.9	12.0	7.5	5.8
24	3.9	3.1	4.3	7.6	10.6	14.9	17.4	17.0	14.7	11.4	7.6	5.8	4.7	2.5	4.2	7.3	10.9	13.0	15.7	16.1	14.9	12.0	7.2	5.7
25	3.9	3.1	4.6	7.8	10.6	14.9	17.3	17.2	14.7	11.3	7.6	5.8	4.7	2.5	4.3	7.3	11.1	12.7	15.8	15.9	15.1	12.1	7.0	5.6
26	3.8	3.1	5.0	8.0	11.0	15.0	17.3	17.2	14.9	11.1	7.5	6.0	4.5	2.4	4.5	7.5	11.2	12.6	15.9	15.6	15.1	12.0	6.8	5.5
27	3.8	3.1	5.5	8.1	11.3	15.3	17.3	17.2	15.0	11.0	7.2	6.0	4.2	2.4	4.7	7.7	11.1	12.7	16.1	15.4	15.1	11.7	6.6	5.3
28	3.8	3.1	5.9	8.3	11.6	15.4	17.3	17.2	14.8	11.0	8.0	6.1	4.2	2.4	5.0	7.9	11.2	12.8	16.3	15.4	15.1	11.3	6.5	5.1
29	3.8	—	6.2	8.6	11.6	15.4	17.1	17.0	14.5	11.0	6.7	6.1	4.2	2.3	5.2	8.2	11.5	13.1	16.4	15.5	14.9	11.0	6.5	5.0
30	3.7	—	6.2	8.9	11.6	15.4	17.0	17.0	14.3	10.8	6.5	6.1	4.2	—	5.4	8.3	11.8	13.3	16.5	15.4	14.7	10.7	6.6	4.8
31	3.7	—	6.0	—	11.6	—	16.8	17.0	—	10.4	—	6.2	4.2	—	5.6	—	12.1	—	16.5	15.2	—	10.3	—	4.7
Mittel	4.2	3.8	3.7	7.1	10.8	13.6	16.2	16.5	15.8	12.3	8.9	6.0	4.9	3.0	3.2	6.9	10.1	13.0	15.4	16.0	15.1	12.5	8.3	6.0

Ce que nous enseignent les bilans hydriques successifs

par B. Primault, Dr sc. tech.,

chargé des travaux de Météorologie agricole

Introduction

Dans une étude précédente (Primault [1956]), nous avions montré les conclusions que l'on pouvait tirer des bilans hydriques moyens pour délimiter les régions climatiques. Nous y avions ajouté quelques considérations sur leur utilisation pratique, principalement dans la détermination des quantités d'eau indispensables à l'irrigation en territoire sec et dans le choix des engrais.

Nous avions laissé entendre que ces chiffres ne donnaient qu'une première approximation et qu'il fallait, pour leur donner tout leur poids, y ajouter des données sur les valeurs les plus fortes et les plus faibles tant des précipitations que de l'évapotranspiration. Mais, pour ce calcul des extrêmes, il est très difficile de définir les données de base. En effet, une année ne sera jamais exceptionnelle d'un bout à l'autre. Ainsi le bilan minimum, basé par exemple sur les mois les plus chauds et les plus secs d'une période déterminée, ne sera que théorique, car le mois le plus chaud n'est pas nécessairement le plus sec et le plus arrosé n'est que rarement le plus froid.

Pour parer à cette difficulté, nous nous sommes basé non pas sur une année théorique mais sur une série de six années réelles. Pour ne pas grossir outre mesure le matériel de calcul nous avons choisi 2 stations types de Suisse romande: Lausanne et Sion. Les six années choisies comprennent des périodes sèches et chaudes et des périodes froides et pluvieuses. Il est possible, sur la base de ces deux séries, de se faire une opinion de l'utilité des calculs d'évapotranspiration en examinant entre quelles limites ces chiffres évoluent.

Comme par le passé, nous avons utilisé le schéma de Thornthwaite pour nos calculs. Cette méthode est décrite de façon très complète par Arlery, Garnier et Langlois [1954]. Malgré ses imperfections, ce procédé est, jusqu'à nouvel ordre, celui qui nous paraît répondre le mieux aux exigences présentes.

Lausanne

Dans l'article cité plus haut, nous avions vu qu'à Lausanne les précipitations compensaient les pertes d'eau par évapotranspiration durant 10 mois de l'année. Le déficit apparent des mois de juin et juillet est cependant largement compensé par les réserves d'eau contenues dans le sol, si bien que nul déficit réel n'était à craindre. Il s'agissent cependant d'une année dite «normale» c'est-à-dire correspondant à la moyenne des années 1901 à 1940.

Or, si, quittant les valeurs moyennes, nous nous basons sur les relevés annuels pour effectuer nos calculs, nous constatons que l'évolution du bilan hydrique est absolument différente. La figure obtenue ainsi (fig. 1) présente des années sèches avec déficit réel et des années humides ne comportant que des déficits apparents (le déficit apparent étant celui qui se fait jour lorsque l'évapotranspiration est supérieure aux précipitations mais que la réserve est encore suffisante pour y suppléer). Des 6 années examinées il n'y en a aucune où les précipitations dépassent, chaque mois, l'évapotranspiration. Il y a donc chaque année un déficit apparent au moins durant un mois.

Voyons maintenant l'évolution des réserves d'eau dans le sol de 1951 à 1955. D'après cette figure, l'année 1951 n'appelle pas de commentaires particuliers. En effet les précipitations relativement abondantes des 6 premiers mois ont toujours dépassé l'évapotranspiration si bien que le sol y fut constamment saturé et que la réserve ne fut pas mise à contribution jusqu'à fin juin. En juillet, on constate un léger déficit apparent que les excédents de pluies du mois d'août comblent en partie. En septembre, nouveau déficit apparent, très faible il est vrai. Les pluies excédentaires d'octobre et surtout de novembre ont cependant vite fait de rétablir la réserve d'eau à son maximum. C'est donc avec un sol saturé que nous atteignons 1952.

L'été 1952 est resté dans toutes les mémoires comme ayant été très chaud avant tout en juillet. On n'est donc pas étonné de voir que l'évaporation de ce mois est au maximum de la période considérée et atteint, avec ses 155 mm, 125% de la normale. Si les précipitations dépassèrent l'évaporation durant le premier trimestre, la situation fut inverse au cours des quatre mois suivants. La réserve d'eau contenue dans le sol fut donc fortement mise à contribution et se trouva même épuisée dans les premiers jours de juillet. La vie des plantes en fut nécessairement affectée et la sécheresse commença ses ravages. On a vu des champs jaunir et les pâturages jurassiens avaient pris une teinte brunâtre. Heureusement que le mois d'août vint porter remède à la situation par des précipitations qui furent suffisamment abondantes non seulement pour satisfaire aux besoins de l'évapotranspiration potentielle, mais encore pour reconstituer une partie de la réserve épuisée. L'excédent de pluie de septembre fit le reste et les fortes précipitations du dernier trimestre tombèrent sur un sol saturé.

Quoique beaucoup moins chaude que la précédente, l'année 1953 présente, elle aussi, un déficit réel. Malgré les faibles pluies de janvier et février, le bilan hydrique de ces deux mois présente un excédent d'eau car, les températures étant très basses, l'évaporation calculée par notre procédé est nulle. En mars, la sécheresse se prolongeant, l'évaporation dépasse les précipitations et la réserve est mise à contribution. En avril un léger excédent de pluie vient combler un peu le vide ainsi fait mais, en mai, la situation s'aggrave de nouveau. Cependant, les pluies abondantes du mois de juin rétablissent à son maximum la réserve qui n'était pas encore tout à fait épuisée

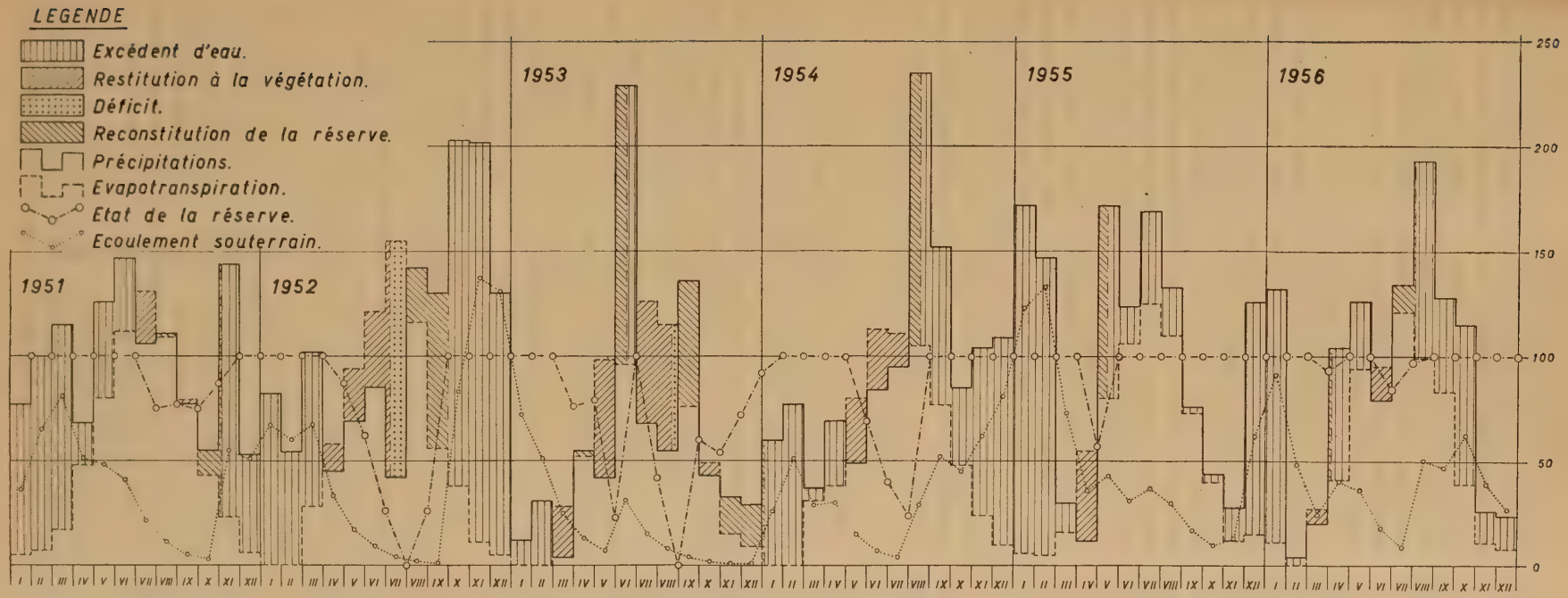

Fig. 1. Bilan hydrique de Lausanne 1951 à 1956

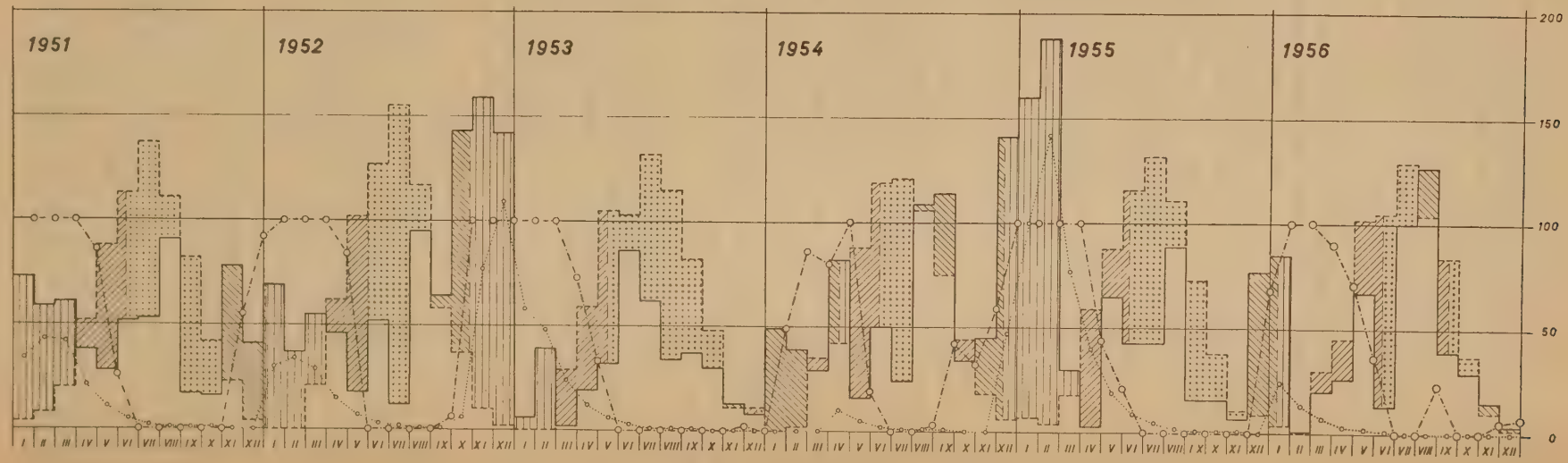

Fig. 2. Bilans hydriques de Sion de 1951 à 1956 (Légende voir Fig. 1)

à fin mai. Ainsi, c'est avec un sol saturé que l'on aborde la sécheresse de juillet et août. Par leur déficit apparent important, ces deux mois épuiseront complètement la réserve en eau du sol et laisseront même un déficit réel de 18 mm. Les pluies de septembre provoquent un allégement de la situation mais il faudra attendre jusqu'au début de janvier 1954 pour que le sol ait totalement récupéré sa réserve.

L'été 1954 est encore dans toute les mémoires, et plus particulièrement chez les agriculteurs, en raison de ses pluies fréquentes et abondantes. On constate cependant un déficit apparent durant les 3 mois de mai, juin et juillet, sans que pour autant la réserve soit absorbée dans sa totalité. Dès le mois d'août, il y a excédent de précipitations chaque mois. La reconstitution de la réserve s'opère très rapidement, à la mi-août déjà, si bien que de grosses quantités d'eau doivent s'écouler. Nous verrons plus loin l'influence que cela a eu sur les drainages. Disons tout de suite que, dans les champs, l'eau de pluie n'a pu être absorbée au fur et à mesure des averses par le sol saturé si bien que des inondations s'installèrent en bien des endroits ce qui contribua pour beaucoup à augmenter l'humidité de l'air et à faire germer le blé soit sur pied, soit en «moyettes».

Ces abondantes précipitations s'étendirent jusqu'en mars 1955. Après une accalmie d'un mois seulement (avril) les excédents reprirent jusqu'à la fin de l'année. Bien que dans nos mémoires l'année 1955 fut plus sèche et plus agréable que 1954, au point de vue du bilan hydrique c'est le contraire qui s'est produit. En effet le printemps et le début de l'été 1954 furent relativement secs et les précipitations néfastes ne sont apparues qu'en août. En 1955 au contraire, le bilan est excédentaire dès le mois de mai et le restera sans interruption jusqu'en décembre.

C'est donc avec une réserve maximum que nous débutons l'année 1956 et les fluctuations de cette réserve ne seront qu'insignifiantes au cours de l'année. En effet, deux mois seulement présentent un déficit apparent. Il s'agit de mars et de juin. Ces déficits sont pourtant rapidement comblés, le premier au début d'avril déjà, le second au début d'août. On voit que la méthode de calcul utilisée montre en février un faible excédent d'eau malgré les précipitations très peu abondantes de ce mois. Cette méthode de calcul donne, comme nous l'avons déjà signalé, des valeurs nulles de l'évapotranspiration pour toute température inférieure à zéro. Donc, la totalité des précipitations d'un mois de température moyenne négative sera comptabilisé au bilan comme excédent si faibles soit-elle. Mais l'année 1956 fut catastrophique surtout à cause des pluies excédentaires tombées régulièrement chaque mois de juin à décembre.

Pour terminer l'examen des excédents d'eau, voyons ce qui s'est écoulé au travers du sol. Sur la figure, nous avons reporté pour chaque mois l'écoulement souterrain total tel qu'il ressort des calculs. On constate d'emblée que l'écoulement ne se produit pas seulement au moment des pluies mais s'étend encore sur bien des mois. Ainsi, par exemple, l'eau tombée en octobre, novembre et décembre 1952, s'écoulait encore en mai 1953. D'autre part, et toujours selon le calcul, on peut trouver un certain écoulement souterrain même après que la réserve en eau du sol ait été totalement épuisée par évapotranspiration. Ceci sera surtout visible plus loin quand nous parlerons des conditions du Valais. Il peut sembler ridicule de faire figurer des écoulements mensuels totaux de 1 mm (ce qui représente un litre par mètre carré), mais le fait que les sources ne tarissent que rarement, même en période de sécheresse prolongée, nous montre pourtant que de tels écoulements sont bien réels.

Voyons maintenant les conclusions pratiques que l'on peut tirer du calcul des bilans hydriques continus tels que nous les présentons ici. Nous avons parlé déjà dans notre précédent article de l'utilité qu'il y aurait à connaître le caractère général d'une région pour lui adapter les engrais. Mais, même avec des indications globales comme les bilans hydriques climatologiques que nous avons publiés d'autre part, il faut procéder à une adaptation plus poussée encore en raison de leurs fluctuations momentanées. Prenons, pour plus de précisions, l'exemple de l'année 1952. Nous tirons de la figure 1 que le bilan est déficitaire (déficit apparent) du mois de mars au mois de juillet et qu'il faut attendre jusqu'à fin septembre pour que la réserve en eau du sol soit complètement reconstituée. Ainsi, durant tout l'été (d'avril à septembre), l'eau de pluie est restée dans la couche de terre occupée par les racines. L'écoulement souterrain, que l'on constate durant tout ce laps de temps provenait des réserves supplémentaires accumulées durant l'hiver et situées, généralement, hors d'atteinte des racines, donc inutiles à la végétation. Il aurait donc fallu, en 1952, n'utiliser que des engrais très solubles dans l'eau pour qu'ils soient entraînés immédiatement dans la terre et mis intégralement à la disposition des plantes. En automne de la même année, la situation change complètement. Nous avons vu en effet que la réserve en eau était reconstituée à fin septembre. Il fallait donc s'attendre à ce que l'eau qui tomberait dès ce moment s'écoulerait en majeure partie vers les couches profondes du sol. Pour que les engrais répandus puissent être utilisés par les plantes il fallait donc qu'ils soient peu solubles afin de n'être entraînés que graduellement dans le sol. Mais seule la connaissance du bilan hydrique permet une telle adaptation.

Lorsque, dans le paragraphe précédent, nous parlons d'engrais très solubles ou, au contraire, peu solubles, nous faisons allusion uniquement aux engrais pouvant être lessivés par les précipitations. Il s'agit surtout des engrais nitriques et de certains chlorures potassiques. En effet, les phosphates sont généralement retenus dans le sol par adsorbtion. Il en va de même de certains produits amoniacaux et potassiques à condition que la teneur du sol en argile soit suffisante. D'autre part il faudra également tenir compte, lors du choix de l'engrais, de l'acidité du sol (pH), de son pouvoir de rétention de l'eau, de sa composition chimique, etc. De telles considérations sont cependant l'apanage du spécialiste et dépassent le cadre de ce mémoire. La seule notion que nous avons envisagée est celle de la solubilité et encore uniquement sous un angle très restrictif.

Le choix de l'engrais le plus approprié n'est pas la seule utilisation des bilans hydriques. Lors des semailles, il serait également indiqué de connaître la valeur de la

réserve en eau du sol pour pouvoir, cas échéant, lui en adapter la date. Comparons par exemple les automne 1952 et 1953. Nous avons vu plus haut qu'au début d'octobre 1952 la réserve en eau du sol était complète c'est-à-dire que les précipitations de l'avenir immédiat s'écouleraient vers les couches profondes. Au début novembre et au début décembre, la situation n'a pas changé par suite des pluies abondantes d'octobre et de novembre. Au début d'octobre 1953 par contre, la réserve n'a pu être reconstituée qu'à raison de 60%. Comme le mois d'octobre fut de son côté déficitaire (déficit apparent) cette réserve est tombée à 54% au début novembre. Elle se relève ensuite lentement jusqu'à la fin de l'année mais n'est reconstituée qu'à 92% à fin décembre. Il aurait donc suffi d'une sécheresse plus prononcée en octobre et d'un bilan négatif en novembre pour que tous les semis d'automne soient compromis. Comme il n'est pas encore possible d'établir des prévisions du temps à longue échéance, il faut être assuré, lors des semailles, que la réserve en eau sera suffisante quelles que soient les conditions météorologiques de la période de germination. Ainsi, selon la date des semailles, la réserve en eau devra être plus ou moins abondante.

Il faut se souvenir enfin qu'avec les nouvelles variétés de céréales à fort tallage, des semailles très hatives augmentent ce tallage et par conséquent le risque de verse.

Sion

Nous avons vu précédemment qu'à Sion le bilan hydrique normal (c'est-à-dire moyen) présentait un déficit marqué de la mi-juin à fin septembre. Il est donc très vraisemblable que, à part quelques années exceptionnelles, on y constate chaque année un certain déficit. Pour voir plus exactement quels peuvent être les nécessités d'irrigation, nous avons, comme pour Lausanne, pris en considération la période 1951 à 1956 (fig. 2).

Comme nous le disons ci-dessus, on n'est guère étonné de constater que chacune des années considérées présente un déficit réel. Ce déficit qui est de 186 mm lors d'une année normale s'abaisse à 138 mm dans une année très humide comme 1954 ou même à 115 mm si les précipitations de l'année se concentrent sur les mois chauds de l'été comme ce fut les cas en 1956. Les autres années considérées, il se situe entre 230 et 272 mm. En examinant les déficits annuels, on est étonné de constater que celui de 1952 (240 mm) est nettement inférieur à celui de 1953 (272 mm) bien que l'été de la première de ces deux années ait été passablement plus chaud que celui de la seconde. Cette anomalie apparente s'explique aisément par l'examen des précipitations et des évaporations des différents mois. En 1952, les évapotranspirations furent plus fortes que l'année suivante et les précipitations plus faibles mais cela seulement jusqu'à fin août. Dès septembre la situation change et nous rencontrons de fortes précipitations en 1952 alors qu'en 1953 le déficit se maintient jusqu'à la fin de l'année, avec une faible interruption en novembre. Ainsi, en 1952, le déficit prend fin dès le mois de septembre et la réserve en eau est totalement reconstituée avant la fin d'octobre. Il se produit ensuite un écoulement souterrain appréciable, écoulement qui atteint même 109 mm en décembre.

Il ressort clairement de ces deux exemples que la connaissance du bilan hydrique normal ne suffit ni dans le dosage exact des irrigations ni dans le choix des engrais, pour ne citer que les deux applications principales que l'on peut en tirer. En effet, bien que le déficit global soit plus faible en 1952 qu'en 1953, les quantités d'eau nécessaires à le combler furent beaucoup plus importantes en juin et en juillet 1952 qu'au cours des mois correspondants de l'année suivante (juin 75 pour 17, juillet 143 pour 70). En août, par contre il en fallu bien moins (22 pour 81) et dès septembre 1952 il aurait été judicieux d'interrompre tout apport extérieur, le sol se saturant par les seules précipitations tandis qu'en 1953 il était indispensable de poursuivre l'irrigation jusqu'en décembre.

Pour ce qui est des engrais, l'automne 1952 nécessitait l'usage de produits peu solubles car, dans le cas contraire la plus grande partie des éléments fertilisants auraient été délavés. En 1953, au contraire, seuls les engrais très solubles pouvaient donner un résultat, car les autres seraient restés à la surface c'est-à-dire inemployés.

Comme pour Lausanne, nous avons fait figurer au graphique la courbe des écoulements souterrains mensuels. Il s'agit donc de la quantité d'eau qui s'infiltre dans le sol pour alimenter les sources et, dans certains cas, les rivières et les lacs. On voit que cet écoulement varie fortement d'une année à l'autre. Il est maximum en février 1955 où de fortes pluies ont été enregistrées alors que les basses températures ne provoquaient qu'une évaporation très réduite. En 1954 par contre, et malgré des précipitations dépassant la normale de 25% et une évaporation quelque peu inférieure à la moyenne, l'écoulement souterrain fut très faible tout au long de l'année. Il ne se relève qu'en décembre. En 1953, par contre, où les pluies furent moins fortes, on constate un écoulement appréciable jusqu'en avril. Celui-ci provient encore des réserves accumulées à tous les niveaux du sol en novembre et décembre 1952. Enfin, et mieux qu'à Lausanne, on voit sur cette figure comment l'écoulement se maintient sur de longues périodes, même s'il n'est plus alimenté et semblerait devoir disparaître complètement par suite de l'épuisement de la réserve d'eau dû à une évapotranspiration forte et prolongée.

Conclusion

Plus encore que les considérations que nous avions émises dans notre précédent mémoire, l'étude des bilans hydriques que nous venons de faire démontre la nécessité pour les conseillers agricoles, voire pour les praticiens, de pouvoir se baser sur de tels calculs. En effet, la conduite rationnelle d'un domaine, même de petites dimensions, exige que tout soit mis en œuvre pour diminuer et même, si faire se peut, supprimer les pertes. Par l'examen rétrospectif, tel que nous l'avons fait ici, on arrive aisément à définir ce qui aurait dû être fait. Cependant, en pensant à la situation du praticien qui doit diriger un domaine, nous abordons les deux difficultés primordiales de l'utilisation pratique des bilans hydriques, à savoir une méthode simple et rapide du calcul de l'évapotranspiration et des prévisions météorologiques à longues échéances.

Nous espérons pouvoir mettre sous peu à disposition de la paysannerie une formule simple pour le calcul approximatif de l'évapotranspiration, formule ne nécessitant que les mesures faites actuellement en de nombreuses stations du réseau climatologique national. Ceci permettrait de suivre presque journellement l'évolution de l'évapotranspiration. Le bilan hydrique du sol pourrait ainsi être évalué pour de vastes régions dans les centres de recherches ce qui permettrait de conseiller mieux les praticiens pour les travaux à effectuer.

Le problème le plus délicat et auquel nous n'entrevoyons pas encore de solution, pour le moment tout au moins, est la prévision du temps à longue échéance. En effet la tendance générale de l'évolution future ne suffit pas dans le cas qui nous occupe bien qu'elle puisse y être de grande utilité, mais il faudrait y ajouter une très grande précision dans l'évolution des divers facteurs météorologiques. Malheureusement la science météorologique n'est pas encore assez avancée pour pouvoir émettre de telles prévisions.

Il faudra donc nous borner à se baser sur l'état passé et présent du bilan hydrique pour déterminer, à brefs intervalles, les irrigations, le choix des engrais et certains travaux culturaux.

Bibliographie:

Arlery R., Garnier H. et Langlois R.: Application des méthodes de Thornthwaite à l'esquisse d'une description du climat de la France. La Météorologie no. 36. Oct.–déc. 1954, pp. 345–368.

Primault B.: De l'évapotranspiration en Suisse romande. Le Sillon romand nos. 29 et 30 des 20 et 27 juillet 1956.

Nr. 6

Aerologische Station Payerne

Klima der freien Atmosphäre

Bearbeitung der Radiosondierungen der aerologischen Station Payerne 1956

von P. Ackermann

Bemerkung:

Die Aerologische Station Payerne (Koordinaten: $\lambda = 6° 57'$ $\beta = 46° 49'$ $H_b = 491$ m) führte die Radiosondierungen im Jahre 1956 in gleicher Weise wie im Vorjahr um 03.00 h und 15.00 h MEZ durch. Die nachfolgende Publikation der Ergebnisse dieser Sondierungen erfolgt ebenfalls in gleicher Weise nach den Beschlüssen und Empfehlungen der Aerologischen und Klimatologischen Kommissionen der OMM. Der untenstehend wiederum aufgeführte Code Aero erfuhr gegenüber dem Vorjahr keine Abänderungen.

Die Höhen der Standardflächen sind wie bisher in geopotentiellen Metern (gpm), die Temperaturen in ° C, die relativen Feuchtigkeiten in %, die Windrichtungen in 10er-Graden der 360-Grad-Skala und die Windgeschwindigkeiten in Knoten angegeben (1 Knoten = 0,5148 m/sec = 1,853 km/Std.).

Inhaltsverzeichnis / Table des matières

	Page
Observations aux niveaux standards 03.00 h et 15.00 h (HEC)	4—27
Moyennes mensuelles aux niveaux standards:	
Hauteur de la surface de pression standard, température, humidité relative	28—30
Vecteur du vent moyen	31
Vitesse du vent pour les 12 secteurs principaux	32—37
Moyennes annuelles aux niveaux standards	38
Moyennes mensuelles et annuelles aux niveaux 1—16 km, température et pression	39
Fréquence des températures	40—43
Fréquence des humidités relatives	44
Fréquence des vents	45—47

Code AERO

N VVwwW $8N_sCh_sh_s$

N = Couverture totale du ciel (nébulosité), en huitièmes

N_s = Couverture du ciel par les nuages significatifs, en huitièmes

N et N_s se chiffrent comme suit:

0 = pas de nuages	0/10
1 = 1 octant = 1/8 du ciel couvert	1/10
2 = 2 octants = 2/8 du ciel couvert	2/10 à 3/10
3 = 3 octants = 3/8 du ciel couvert	4/10
4 = 4 octants = 4/8 du ciel couvert	5/10
5 = 5 cotants = 5/8 du ciel couvert	6/10
6 = 6 octants = 6/8 du ciel couvert	7/10 à 8/10
7 = 7 octants = 7/8 du ciel couvert	9/10
8 = 8 octants = 8/8 du ciel couvert	10/10
9 = Ciel invisible par suite de brouillard, de chasse-neige ou d'autres phénomènes, ou observation impossible à cause de l'obscurité	

VV = Visibilité horizontale

Code	Visibilité km	Code	Visibilité km	Code	Visibilité km	Code	Visibilité km	Code	Visibilité
00	< 0.1	10	1.0	20	2.0	30	3.0	40	4.0
01	0.1	11	1.1	21	2.1	31	3.1	41	4.1
02	0.2	12	1.2	22	2.2	32	3.2	42	4.2
03	0.3	13	1.3	23	2.3	33	3.3	43	4.3
04	0.4	14	1.4	24	2.4	34	3.4	44	4.4
05	0.5	15	1.5	25	2.5	35	3.5	45	4.5
06	0.6	16	1.6	26	2.6	36	3.6	46	4.6
07	0.7	17	1.7	27	2.7	37	3.7	47	4.7
08	0.8	18	1.8	28	2.8	38	3.8	48	4.8
09	0.9	19	1.9	29	2.9	39	3.9	49	4.9

Code	Visibilité km	Code	Visibilité km	Code	Visibilité km	Code	Visibilité km	*Echelle réduite*	
50	5.0	60	10	70	20	80	30	90	0— 50 m
51	ne sont pas utilisés	61	11	71	21	81	35	91	50— 200 m
52		62	12	72	22	82	40	92	200— 500 m
53		63	13	73	23	83	45	93	500—1000 m
54		64	14	74	24	84	50	94	1000—2000 m
55		65	15	75	25	85	55	95	2000—4000 m
56	6	66	16	76	26	86	60	96	4—10 km
57	7	67	17	77	27	87	65	97	10—20 km
58	8	68	18	78	28	88	70	98	20—50 km
59	9	69	19	79	29	89	< 70	99	50 km ou plus

ww = Temps au moment de l'observation ou pendant l'heure précédente

ww 00 à 19 = Pas de précipitations, ni de brouillard, ni de tempête de poussière ou de sable, ni de chasse-neige à la station (station terrestre, bateau, avion) au moment de l'observation ou pendant l'heure précédente (exception sous 09)

ww

Nuages seuls sans hydrométéores:
- 00 Evolution des nuages nulle ou inconnue
- 01 Nuages en dissolution ou devenant plus minces
- 02 Etat du ciel inchangé dans l'ensemble
- 03 Nuages en formation ou en augmentation

} Changement caractéristique de l'état du ciel pendant l'heure précédente

Brume sèche, poussière, sable ou fumées:
- 04 Visibilité réduite par fumée, feu de broussailles ou de forêt, fumées industrielles ou cendres volcaniques
- 05 Brume sèche
- 06 Poussières flottant dans l'air, non entraînées par le vent, ni à la station ni dans ses environs
- 07 Poussières ou sable entraînés par le vent au moment de l'observation, à la station ou dans son voisinage, mais pas de tourbillons caractéristiques de sable ou de poussière et pas de tempête de poussière ou de sable observée
- 08 Tourbillons typique de poussière ou de sable à la station ou dans son voisinage pendant l'heure précédente, mais pas de tempête de poussière ou de sable
- 09 Tempête de poussière ou de sable en vue ou à la station, même pendant l'heure précédente

- 10 Brume
- 11 } Mince couche de brouillard à la station (terrestre ou maritime), d'une épaisseur ne dépassant pas 2 m sur terre, 10 m sur mer } en bancs
- 12 } Mince couche de brouillard à la station (terrestre ou maritime), d'une épaisseur ne dépassant pas 2 m sur terre, 10 m sur mer } plus ou moins compacte
- 13 Eclairs de chaleur; le tonnerre n'est pas audible
- 14 Précipitations en vue, mais n'atteignant pas le sol
- 15 Précipitations en vue, atteignant le sol, mais à plus de 5 km de la station à l'estime
- 16 Précipitations en vue, atteignant le sol, à moins de 5 km de la station, mais pas à la station même
- 17 Tonnerre audible, mais pas de précipitations à la station
- 18 Averses } observées pendant l'heure précédente
- 19 Trombe(s) } observées pendant l'heure précédente

ww 20 à 29 = Précipitations, brouillard ou orage à la station pendant l'heure précédente, mais pas au moment de l'observation

ww

- 20 Bruine (ne se congelant pas) } Pas sous forme d'averses
- 21 Pluie (ne se congelant pas) } Pas sous forme d'averses
- 22 Neige } Pas sous forme d'averses
- 23 Pluie et neige mêlées } Pas sous forme d'averses
- 24 Bruine ou pluie se congelant } Pas sous forme d'averses
- 25 Averses de pluie
- 26 Averses de neige, ou de pluie et de neige [1]
- 27 Averses de grêle, ou de pluie et de grêle [2]
- 28 Brouillard
- 29 Orage (avec ou sans précipitations)

[1] également grésil ou neige roulée
[2] également averses de grésil ou de neige roulée

ww 30 à 39 = Tempête de poussière ou de sable, chasse-neige

ww

- 30 } Tempête de poussière ou de sable, faible ou modérée } a diminué } au cours de l'heure précédente
- 31 } Tempête de poussière ou de sable, faible ou modérée } sans changement } au cours de l'heure précédente
- 32 } Tempête de poussière ou de sable, faible ou modérée } a augmenté } au cours de l'heure précédente
- 33 } Forte tempête de poussière ou de sable } a diminué } au cours de l'heure précédente
- 34 } Forte tempête de poussière ou de sable } sans changement } au cours de l'heure précédente
- 35 } Forte tempête de poussière ou de sable } a augmenté } au cours de l'heure précédente
- 36 Chasse-neige faible ou modéré } de peu d'épaisseur (neige soufflée)
- 37 Fort chasse-neige } de peu d'épaisseur (neige soufflée)
- 38 Chasse-neige faible ou modéré } de grande épaisseur
- 39 Fort chasse-neige } de grande épaisseur

ww 40 à 49 = Brouillard au moment de l'observation

ww

- 40 Brouillard au moment de l'observation à quelque distance, mais pas à la station pendant l'heure précédente; la limite supérieure du brouillard est au-dessus de la station
- 41 Brouillard en bancs
- 42 Brouillard, ciel visible } a diminué au cours de l'heure précédente
- 43 Brouillard, ciel invisible } a diminué au cours de l'heure précédente
- 44 Brouillard, ciel visible } sans changement notable au cours de l'heure précédente
- 45 Brouillard, ciel invisible } sans changement notable au cours de l'heure précédente
- 46 Brouillard, ciel visible } est apparu ou s'est épaissi au cours de l'heure précédente
- 47 Brouillard, ciel invisible } est apparu ou s'est épaissi au cours de l'heure précédente
- 48 Brouillard avec givre, ciel visible
- 49 Brouillard avec givre, ciel invisible

ww 50 à 59 = Bruine

ww

Bruine, sans congélation:
- 50 intermittente } *faible* au moment de l'observation
- 51 continue } *faible* au moment de l'observation
- 52 intermittente } *modérée* au moment de l'observation
- 53 continue } *modérée* au moment de l'observation
- 54 intermittente } *forte* au moment de l'observation
- 55 continue } *forte* au moment de l'observation

- 56 Bruine congelante, faible
- 57 Bruine congelante, modérée ou forte
- 58 Bruine et pluie, faibles
- 59 Bruine et pluie, modérées ou fortes

ww 60 à 69 = Pluie

ww

Pluie, sans congélation:
- 60 intermittente } *faible* au moment de l'observation
- 61 continue } *faible* au moment de l'observation
- 62 intermittente } *modérée* au moment de l'observation
- 63 continue } *modérée* au moment de l'observation
- 64 intermittente } *forte* au moment de l'observation
- 65 continue } *forte* au moment de l'observation

- 66 Pluie se congelant, faible
- 67 Pluie se congelant, modérée ou forte
- 68 Pluie ou bruine et neige, faibles
- 69 Pluie ou bruine et neige, modérées ou fortes

ww 70 à 79 = Précipitations solides, non sous forme d'averses

ww			
70	Neige en flocons	intermittente	*faible* au moment de l'observation
71		continue	
72		intermittente	*modérée* au moment de l'observation
73		continue	
74		intermittente	*forte* au moment de l'observation
75		continue	
76	Aiguilles de glace (avec ou sans brouillard)		
77	Neige en grains (avec ou sans brouillard)		
78	Etoiles de neige isolées (avec ou sans brouillard)		
79	Grains de glace		

ww 80—99 = Précipitations sous forme d'averses, ou précipitations accompagnées de phénomènes orageux au moment de l'observation ou pendant l'heure précédente

ww		
80	Averses de pluie faibles	
81	Averses de pluie modérées ou fortes	
82	Averses de pluie violentes	
83	Averses de pluie et neige mêlées, faibles	
84	Averses de pluie et neige mêlées, modérés ou fortes	
85	Averses de neige faibles	
86	Averses de neige modérées ou fortes	
87	Averses de grésil ou de neige roulée avec ou sans pluie, ou pluie et neige mêlées	faibles
88		modérées ou fortes
89	Averses de grêle avec ou sans pluie, ou pluie et neige mêlées, sans tonnerre	faibles
90		modérées ou fortes
91	Pluie faible au moment de l'observation	Orage durant l'heure précédente, mais non au moment de l'observation
92	Pluie modérée ou forte au moment de l'observation	
93	Faible chute de neige, ou de pluie et de neige mêlées, ou de grêle (grésil ou neige roulée) au moment de l'observation	
94	Chute modérée ou forte de neige, ou de neige et de pluie mêlées, ou de grêle (grésil ou neige) au moment de l'observation	
95	Orage faible ou modéré, sans grêle mais avec pluie, ou pluie et neige, ou neige, au moment de l'observation	Orage au moment de l'observation
96	Orage faible ou modéré, avec grêle, grésil ou neige roulée, au moment de l'observation	
97	Orage fort, sans grêle ni grésil ou neige roulée, mais avec pluie, pluie et neige ou neige au moment de l'observation	
98	Orage avec tempête de poussière ou de sable au moment de l'observation	
99	Orage fort avec grêle, grésil ou neige roulée au moment de l'observation	

W = Temps passé

0 = Ciel à demi-couvert ou plus clair pendant toute la période
1 = Ciel par moments plus qu'à demi-couvert, par moments à demi-couvert ou plus clair
2 = Ciel plus qu'à demi-couvert pendant toute la période
3 = Chasse-neige, tempête de poussière ou de sable
4 = Brouillard ou brume épaisse
5 = Bruine
6 = Pluie
7 = Neige ou pluie et neige mêlées
8 = Averses
9 = Orage avec ou sans précipitations

C = Nature des nuages caractéristiques (échelle réduite 0 à 9)

		Symbole			Symbole
0 =	Cirrus	Ci	6 =	Stratocumulus	Sc
1 =	Cirrocumulus	Cc	7 =	Stratus	St
2 =	Cirrostratus	Cs	8 =	Cumulus	Cu
3 =	Altocumulus	Ac	9 =	Cumulonimbus	Cb
4 =	Altostratus	As	X =	Nuages invisibles en raison de l'obscurité, du brouillard, d'une tempête de neige ou d'autres phénomènes	
5 =	Nimbostratus	Ns			

$h_s h_s$ = Hauteur de la base des nuages auxquels N_s se rapporte, au-dessus de la station

Chiffre de Code	Altitude m	Chiffre de Code	Altitude m	Chiffre de Code	Altitude m	Chiffre de Code	Altitude m	Chiffre de Code	Altitude m
00	< 30	20	600	40	1200	60	3000	80	9000
01	30	21	630	41	1230	61	3300	81	10500
02	60	22	660	42	1260	62	3600	82	12000
03	90	23	690	43	1290	63	3900	83	13500
04	120	24	720	44	1320	64	4200	84	15000
05	150	25	750	45	1350	65	4500	85	16500
06	180	26	780	46	1380	66	4800	86	18000
07	210	27	810	47	1410	67	5100	87	19500
08	240	28	840	48	1440	68	5400	88	21000
09	270	29	870	49	1470	69	5700	89	< 21000
10	300	30	900	50	1500	70	6000		Echelle réduite m
11	330	31	930	51	Ne sont pas utilisés	71	6300	90	< 50
12	360	32	960	52		72	6600	91	50— 100
13	390	33	990	53		73	6900	92	100— 200
14	420	34	1020	54		74	7200	93	200— 300
15	450	35	1050	55		75	7500	94	300— 600
16	480	36	1080	56	1800	76	7800	95	600—1000
17	510	37	1110	57	2100	77	8100	96	1000—1500
18	540	38	1140	58	2400	78	8400	97	1500—2000
19	570	39	1170	59	2700	79	8700	98	2000—2500
								99	> 2500 ou pas de nuages

Observations aux

Janvier 1956

Jour	Données synoptiques en surface (Code AERO)				Surface 491 m					1000 mb	850 mb					700 mb					500 mb				
	N	VVwwW	NsChshs	NsChshs	P	T	U	dd	ff	H	H	T	U	dd	ff	H	T	U	dd	ff	H	T	U	dd	ff
1	8	70022	88647	—	961	0.0	80	00	00	172	1470	–4.5	85	30	05	2960	–14.9	86	33	12	5450	–26.2	30	36	55
2	8	70022	88710	—	945	1.0	100	00	00	038	1340	–1.8	100	30	08	2860	–12.0	100	28	12	5340	–31.4	100	28	14
3	7	55022	87723	—	959	2.3	100	05	05	158	1460	–3.1	100	05	25	2975	–7.8	44	07	20	5515	–22.4	30	06	55
4	8	57022	88730	—	970	0.2	100	05	07	248	1540	0.0	48	07	18	3095	–2.4	20	08	28	5670	–21.5	40	06	28
5	8	57022	88720	—	969	–0.5	95	08	05	241	1540	7.0	22	08	18	3110	–1.0	30	09	22	5700	–18.9	21	07	25
6	8	57022	88717	—	963	2.0	95	06	09	191	1495	0.1	85	07	38	3060	0.3	10	06	34	5665	–16.9	21	06	25
7	8	60022	88720	—	959	1.0	85	06	12	152	1450	–5.5	100	07	20	2975	–6.4	20	07	28	5515	–24.2	20	04	46
8	8	40022	88727	—	952	–1.0	90	00	00	096	1380	–8.5	100	24	06	2885	–11.5	40	08	11	5380	–29.5	34	03	24
9	8	45022	88727	—	939	–1.2	100	00	00	515	1285	–5.3	100	22	15	2785	–13.5	100	23	27	5250	–31.0	100	23	28
10	8	35717	88520	—	943	–1.8	100	00	00	020	1310	–5.9	100	21	11	2810	–13.0	100	23	28	5300	–29.5	100	22	33
11	4	40021	84650	—	941	0.0	85	00	00	003	1310	–3.6	88	21	32	2820	–10.1	45	22	44	5335	–26.0	10	25	23
12	3	65101	83720	—	953	1.0	100	00	00	105	1420	3.2	58	22	33	2970	–5.0	16	24	33	5515	–25.0	53	24	63
13	8	74606	88540	—	956	5.0	100	19	08	123	1440	–1.5	89	26	17	2965	–10.6	98	22	44	5490	–22.9	91	25	60
14	8	56022	88715	—	959	1.8	100	00	00	155	1460	0.0	100	23	12	3000	–8.3	69	22	11	5525	–23.0	10	28	22
15	8	40022	88620	—	956	2.0	100	00	00	131	1450	0.0	100	23	28	3000	–6.5	52	23	23	5545	–22.3	74	25	44
16	7	60022	87620	—	959	5.0	100	00	00	150	1475	–0.6	100	26	22	3000	–8.7	80	26	25	5540	–23.3	10	28	65
17	0	57020	—	—	961	2.2	100	00	00	169	1485	2.3	100	23	18	3035	–4.1	10	27	18	5620	–20.1	10	29	32
18	8	20606	88704	—	951	3.5	100	00	00	081	1410	2.8	100	23	38	2955	–4.3	100	24	25	5550	–21.0	100	22	37
19	8	70022	88756	—	953	4.5	80	00	00	095	1420	–1.7	84	25	12	2930	–11.1	84	28	24	5460	–24.9	10	28	23
20	0	40100	—	—	961	–2.0	100	00	00	169	1485	1.2	59	34	05	3000	–6.0	35	34	03	5580	–23.4	30	33	12
21	3	40101	83626	—	960	–2.2	100	00	00	162	1475	–0.4	100	23	33	3000	–8.0	28	24	24	5550	–22.7	10	25	15
22	5	57022	85360	—	961	1.1	85	22	06	168	1475	1.7	35	24	25	3015	–5.5	60	25	25	5570	–21.9	42	25	20
23	1	74020	81634	—	962	–1.0	90	23	02	182	1490	–2.9	87	23	20	3015	–6.3	25	25	28	5565	–22.3	36	28	27
24	7	70022	84640	87362	952	6.3	60	23	15	091	1410	0.3	67	23	52	2920	–8.9	64	25	35	5465	–24.3	71	28	35
25	1	74021	81647	—	960	–1.6	85	00	00	165	1460	–7.1	81	26	12	2940	–15.6	54	29	32	5435	–29.0	13	31	53
26	2	56020	82361	—	964	–4.0	100	00	00	207	1475	–7.2	73	00	00	2975	–11.8	17	29	22	5500	–23.6	89	32	54
27	8	50636	85613	88530	960	5.3	100	21	10	153	1470	0.9	100	25	33	3000	–5.5	100	28	27	5570	–22.3	100	28	53
28	5	71012	85627	—	965	3.5	100	00	00	203	1520	–1.4	100	34	07	3045	–7.9	38	36	12	5575	–22.5	22	35	40
29	8	35022	88720	—	966	2.4	90	00	00	214	1520	–0.5	90	27	08	3040	–10.5	100	28	22	5550	–27.9	97	30	28
30	8	70656	88530	—	959	4.8	100	21	18	149	1470	–0.3	100	29	28	3000	–9.7	82	30	40	5500	–29.2	87	28	28
31	8	50022	84640	88466	949	–1.0	100	00	00	070	1375	–2.6	82	11	06	2900	–8.8	50	22	14	5420	–27.0	78	23	28
Moyen					957	1.2	94	—	03	137	1444	–1.1	85	—	20	2969	–8.2	57	—	24	5505	–24.1	50	—	35

Janvier 1956

1	8	56022	88720	—	957	2.5	60	21	10	134	1455	–3.7	59	23	23	2950	–12.0	61	25	22	5490	–22.9	67	34	40
2	8	40022	88720	—	951	1.8	100	00	00	088	1400	–2.6	100	04	15	2905	–12.3	100	03	20	5400	–29.2	59	05	29
3	8	50022	88733	—	965	2.3	90	05	10	206	1510	–4.8	98	07	13	3030	–5.7	10	06	28	5590	–20.7	10	07	49
4	8	56022	88725	—	969	0.8	85	05	12	239	1550	5.1	48	06	32	3120	–0.6	21	08	33	5705	–19.0	57	06	40
5	3	50011	83720	—	968	1.0	90	08	08	230	1530	3.7	73	07	33	3110	–1.0	38	08	37	5700	–19.3	58	05	15
6	8	40022	88728	—	960	2.3	90	06	08	163	1450	–3.5	100	08	27	3000	–3.9	52	07	33	5575	–22.1	44	04	25
7	8	60022	88720	—	957	0.5	80	00	00	139	1425	–8.3	85	07	07	2935	–9.3	14	04	20	5440	–29.0	10	05	42
8	8	70022	88733	—	945	1.0	70	26	10	036	1330	–6.3	97	24	25	2825	–12.0	60	24	17	5335	–26.9	100	25	14
9	8	40102	88746	—	939	0.0	70	00	00	514	1300	–2.2	78	22	18	2810	–11.0	96	22	38	5300	–28.0	75	23	50
10	4	40021	84650	—	941	0.0	85	00	00	003	1310	–3.6	88	21	32	2820	–10.1	45	22	44	5335	–26.0	10	25	23
11	7	70602	87624	—	952	5.0	83	22	12	090	1420	2.3	87	24	43	2950	–6.5	92	24	59	5505	–24.0	64	27	67
12	8	70022	88656	—	951	4.0	85	00	00	084	1415	5.6	36	23	34	2950	–8.4	86	24	51	5480	–23.0	86	25	38
13	8	40616	88705	—	957	3.0	100	00	00	133	1440	–1.2	100	06	10	3000	–7.1	100	24	22	5530	–21.9	100	25	38
14	8	30102	88617	—	957	3.0	85	00	00	131	1450	2.2	81	22	17	3000	–6.6	83	22	30	5540	–21.0	20	25	26
15	8	40616	88710	—	956	5.5	100	21	12	126	1450	–0.3	100	24	30	3000	–8.0	100	26	38	5530	–23.0	100	26	45
16	6	50022	82618	81363	960	7.5	85	00	00	161	1485	0.2	100	25	08	3020	–6.5	37	27	22	5575	–20.8	36	29	45
17	7	55032	86656	84070	958	5.6	80	00	00	138	1465	5.9	94	23	26	3025	–3.5	80	26	18	5605	–19.7	24	27	30
18	8	70216	88627	—	948	7.4	100	22	12	050	1370	0.3	99	25	25	2890	–9.1	100	25	30	5440	–22.3	27	26	33
19	4	70021	83630	82362	956	6.0	60	00	00	123	1440	–3.1	98	23	10	2960	–8.6	38	30	15	5480	–25.3	31	29	30
20	9	00454	—	—	960	–1.6	100	00	00	167	1475	2.7	35	00	00	3020	–5.6	34	25	03	5555	–25.5	33	25	14
21	7	70022	78360	—	961	7.7	60	23	06	163	1495	0.9	60	23	20	3030	–7.5	66	28	20	5570	–23.4	61	30	25
22	5	80022	81640	82360	961	8.8	45	24	10	158	1480	–1.3	47	23	28	3000	–9.1	25	26	38	5530	–24.2	23	28	35
23	6	74032	86070	—	957	7.0	45	25	10	132	1445	0.6	32	23	40	2970	–9.6	15	25	34	5490	–24.6	14	25	44
24	8	75022	83639	—	957	5.0	70	27	10	132	1445	–2.2	100	24	22	2960	–11.5	20	27	22	5470	–27.0	38	29	55
25	3	70022	83639	—	963	2.0	70	31	08	188	1495	–6.7	92	25	14	2970	–15.4	63	33	28	5460	–28.1	10	32	56
26	8	30606	88512	—	963	0.0	90	22	15	188	1490	–0.7	100	27	40	3030	–5.8	100	29	50	5600	–21.0	90	31	37
27	8	74022	88540	—	961	8.0	50	21	10	172	1495	–1.6	90	29	22	3000	–10.9	72	30	33	5520	–25.8	10	32	56
28	8	35022	88720	—	967	3.2	90	00	00	217	1525	–2.0	76	25	03	3060	–7.9	10	00	00	5605	–21.5	25	33	22
29	8	60022	88520	—	963	5.5	90	00	00	183	1490	–2.8	97	28	14	3000	–13.0	95	26	16	5510	–25.6	27	33	38
30	7	74022	87634	—	958	7.0	60	22	09	142	1460	–1.8	75	30	08	3000	–10.2	47	34	21	5485	–28.4	28	34	33
31	8	15104	88720	—	943	–0.5	90	05	12	017	1330	–4.2	94	15	02	2820	–12.1	94	33	06	5320	–30.2	94	01	03
Moyen					957	3.6	79	—	06	133	1446	–1.1	81	—	21	2973	–8.4	60	—	27	5505	–24.2	46	—	35

niveaux standard

03.00 h

400 mb					300 mb					200 mb				150 mb				100 mb				Tropopause		
H	T	U	dd	ff	H	T	U	dd	ff	H	T	dd	ff	H	T	dd	ff	H	T	dd	ff	H	P	T
7030	–38.4	27	02	55	8945	–51.2	—	02	25	11510	–58.3	35	48	13320	–57.5	35	44	—	—	—	—	10660	229	–59.8
6870	–44.2	100	23	26	8750	–48.0	—	26	16	11410	–40.0	22	06	13280	–54.8	—	—	—	—	—	—	7840	345	–51.0
7110	–33.5	30	05	87	9070	–46.8	—	05	120	11710	–52.7	04	60	13570	–51.0	04	55	—	—	—	—	9790	269	–50.7
7265	–35.6	43	07	38	9190	–53.3	—	07	48	11690	–67.9	06	40	13440	–64.9	04	12	—	—	—	—	11520	206	–68.8
7310	–33.3	21	07	30	9270	–49.2	—	07	48	11810	–66.4	08	36	13570	–62.7	07	30	—	—	—	—	12000	197	–66.9
7280	–33.0	35	05	25	9240	–47.7	—	06	38	11820	–64.7	07	28	13570	–61.7	08	25	—	—	—	—	12000	194	–65.9
7110	–34.4	20	04	61	9050	–50.5	—	03	67	11610	–59.5	04	40	13420	–58.9	05	14	—	—	—	—	11400	207	–59.7
6925	–42.7	26	02	28	8830	–52.4	—	36	50	11400	–52.0	36	33	—	—	—	—	—	—	—	—	10300	238	–58.5
6800	–42.7	100	23	40	8670	–58.5	—	24	60	11260	–50.4	24	38	—	—	—	—	—	—	—	—	8840	292	–59.5
6850	–41.3	100	24	33	8750	–53.2	—	25	38	11330	–54.2	28	33	13180	–51.0	24	30	—	—	—	—	9790	255	–57.0
6900	–39.9	10	25	45	8820	–51.2	—	28	56	11400	–57.2	25	50	13230	–54.0	25	50	—	—	—	—	9920	253	–56.5
7100	–36.0	86	25	55	9030	–50.8	—	25	94	—	—	—	—	—	—	—	—	—	—	—	—	—	—	—
7090	–33.1	89	25	41	9040	–49.7	—	25	50	11570	–67.8	24	56	13310	–64.2	24	50	—	—	—	—	11280	210	–68.6
7120	–34.0	10	27	44	9070	–48.0	—	27	44	11660	–62.0	26	53	13450	–58.0	26	55	—	—	—	—	11870	193	–62.2
7140	–37.5	84	23	49	9035	–56.5	—	26	48	11500	–70.2	28	49	13220	–66.0	—	—	—	—	—	—	11100	214	–71.0
7130	–35.3	10	28	66	9085	–48.1	—	28	96	11645	–64.1	29	88	13410	–64.7	—	—	—	—	—	—	11900	192	–64.7
7220	–33.8	10	29	38	9190	–47.1	—	29	37	—	—	—	—	—	—	—	—	—	—	—	—	—	—	—
7145	–31.9	93	22	43	9110	–49.2	—	23	57	11620	–70.3	24	44	13330	–68.3	24	44	—	—	—	—	11480	205	–70.3
7040	–36.2	46	29	54	9000	–51.2	—	29	39	11530	–57.2	27	32	—	—	—	—	—	—	—	—	10190	248	–59.0
7160	–37.4	32	33	16	9070	–55.7	—	32	20	11590	–58.3	27	38	13410	–56.6	—	—	—	—	—	—	10530	237	–65.6
7150	–35.8	10	25	17	9085	–50.2	—	27	42	11630	–62.2	—	—	13450	–56.0	—	—	—	—	—	—	11050	220	–63.8
7165	–35.0	51	27	22	9100	–50.0	—	33	23	11640	–64.6	29	22	13410	–57.9	27	35	—	—	—	—	11310	211	–66.8
7165	–33.2	50	29	27	9120	–48.0	—	29	40	11690	–63.0	28	53	13470	–58.0	28	44	—	—	—	—	11900	193	–63.8
7040	–38.3	71	25	60	8955	–53.8	—	27	22	11500	–59.0	28	48	13305	–57.2	29	48	—	—	—	—	10350	240	–60.7
6980	–42.3	13	31	88	8860	–57.1	—	31	85	11430	–54.1	29	28	13270	–55.7	28	28	—	—	—	—	9300	280	–59.0
7090	–35.1	89	32	66	9030	–50.4	—	33	110	11580	–63.1	32	80	13380	–56.9	32	54	—	—	—	—	11360	207	–63.7
7150	–38.1	96	30	58	9070	–54.2	—	29	66	11550	–66.6	30	80	13320	–60.9	—	—	—	—	—	—	10675	231	–70.0
7185	–32.5	26	35	60	9150	–48.2	—	35	58	11700	–64.0	34	44	13510	–56.4	33	46	—	—	—	—	11700	200	–64.0
7110	–40.2	96	26	28	9000	–56.5	—	26	66	11500	–62.3	31	22	13280	–61.5	—	—	—	—	—	—	10320	243	–65.4
7045	–41.7	87	26	11	8940	–57.3	—	24	22	11470	–60.8	31	42	13260	–60.0	31	38	—	—	—	—	9100	292	–58.4
6985	–40.2	90	27	16	8870	–58.6	—	27	28	11400	–54.2	29	33	13250	–56.0	29	34	—	—	—	—	9750	260	–64.0
7086	–37.0	53	—	43	9013	–51.7	—	—	52	11557	–60.2	—	44	13370	–58.9	—	39	—	—	—	—	—	—	—

15.00 h

7075	–35.6	65	32	33	9000	–50.5	—	33	54	11560	–62.7	33	34	13330	–60.5	—	—	—	—	—	—	11000	220	–64.1
6950	–42.4	60	04	36	8880	–44.8	—	04	37	11570	–48.3	03	16	13440	–51.4	—	—	—	—	—	—	6870	405	–42.4
7200	–33.5	10	07	66	9140	–49.8	—	07	50	11710	–60.8	06	66	13490	–60.3	05	60	—	—	—	—	10140	257	–56.4
7320	–33.2	58	06	44	9270	–50.5	—	07	50	11810	–63.5	07	46	13590	–62.0	06	36	—	—	—	—	11460	212	–64.4
7320	–30.9	38	07	27	9300	–46.2	—	08	22	11880	–63.0	08	38	13640	–62.2	09	38	—	—	—	—	11580	210	–62.6
7160	–34.4	50	02	33	9110	–47.4	—	05	36	11705	–62.1	05	28	13490	–59.5	07	32	—	—	—	—	11960	192	–62.2
7000	–41.0	10	04	36	8910	–49.2	—	02	55	11530	–52.9	02	50	13390	–54.5	03	39	—	—	—	—	9550	272	–52.0
6900	–41.0	100	26	16	8790	–54.4	—	26	25	11390	–50.4	26	17	13270	–49.6	28	18	—	—	—	—	9270	278	–57.0
6850	–41.0	71	23	51	8750	–55.2	—	24	54	11355	–49.2	24	28	13240	–48.6	—	—	—	—	—	—	9210	279	–56.3
6900	–39.9	10	25	45	8820	–51.2	—	28	56	11400	–57.2	25	50	13230	–54.0	25	50	—	—	—	—	9920	253	–56.5
7100	–36.0	76	29	56	9000	–52.4	—	28	56	11560	–61.0	26	83	13380	–53.3	26	67	—	—	—	—	10620	233	–60.7
7070	–35.0	86	25	72	9000	–51.2	—	26	110	11500	–74.8	—	—	—	—	—	—	—	—	—	—	11910	186	–75.8
7135	–31.5	100	24	46	9120	–43.9	—	24	65	11760	–54.8	25	46	13590	–57.0	25	50	—	—	—	—	12500	178	–57.0
7140	–34.0	48	25	28	9100	–50.7	—	25	48	11610	–70.6	25	55	13330	–65.0	26	48	—	—	—	—	11610	200	–70.6
7120	–34.2	97	26	54	9075	–48.0	—	28	77	11640	–67.9	28	88	13475	–63.0	—	—	—	—	—	—	11770	196	–68.6
7180	–33.1	31	29	47	9130	–48.3	—	29	80	11690	–64.5	28	75	13460	–62.1	29	68	—	—	—	—	11970	191	–66.2
7220	–30.9	71	28	38	9180	–51.3	—	28	54	11680	–71.6	27	50	13340	–71.2	28	42	—	—	—	—	12720	167	–78.4
7040	–35.3	20	26	35	9000	–46.6	—	24	99	11590	–59.5	25	72	13370	–59.4	26	46	—	—	—	—	11000	220	–59.9
7055	–37.1	34	28	32	9000	–51.4	—	28	30	11560	–54.7	27	56	13400	–52.7	28	60	—	—	—	—	10600	232	–60.3
7130	–39.4	38	26	07	9040	–53.5	—	26	07	11560	–59.9	26	35	13380	–55.3	26	58	—	—	—	—	10700	230	–64.4
7150	–36.3	60	30	25	9090	–50.2	—	31	28	11620	–60.8	26	30	13440	–56.4	26	30	—	—	—	—	10950	223	–65.4
7115	–35.7	48	27	40	9050	–52.5	—	29	56	11540	–72.9	29	40	13240	–65.1	27	40	—	—	—	—	11870	189	–75.0
7070	–38.9	17	25	50	8970	–54.8	—	25	63	11450	–71.7	24	66	13180	–64.9	27	60	—	—	—	—	11570	196	–72.2
7040	–37.8	100	30	66	8950	–55.6	—	30	72	11440	–62.0	30	28	13230	–60.4	29	45	—	—	—	—	9960	255	–65.9
7040	–36.1	10	33	88	8970	–49.8	—	33	100	11560	–53.7	32	44	13400	–54.2	31	50	—	—	—	—	10200	248	–58.4
7205	–32.0	90	31	50	9180	–48.4	—	31	50	11740	–65.3	31	55	13480	–61.0	33	62	—	—	—	—	12110	188	–67.4
7100	–36.2	10	32	115	9000	–52.9	—	32	85	11530	–62.3	33	50	13340	–57.0	32	46	—	—	—	—	11060	216	–66.8
7200	–32.9	68	33	33	9120	–48.0	—	33	38	11720	–65.1	31	44	13500	–57.6	33	26	—	—	—	—	11480	208	–65.5
7085	–39.0	30	35	66	9000	–52.0	—	34	77	11540	–63.7	33	60	13320	–59.0	33	44	—	—	—	—	11320	207	–64.7
7050	–40.8	26	33	59	8940	–53.8	—	33	59	11500	–57.7	32	33	13310	–56.3	—	—	—	—	—	—	10170	247	–60.0
6870	–39.2	94	11	03	8790	–54.2	—	30	08	11390	–49.7	29	25	13260	–49.7	30	26	—	—	—	—	9220	280	–57.7
7090	–36.3	52	—	45	9022	–50.6	—	—	55	11584	–61.1	—	47	13385	–58.1	—	46	—	—	—	—	—	—	—

Observations aux

Février 1956

Jour	Données synoptiques en surface (Code AERO)				Surface 491 m					1000 mb	850 mb					700 mb					500 mb				
	N	VVwwW	NsChshs	NsChshs	P	T	U	dd	ff	H	H	T	U	dd	ff	H	T	U	dd	ff	H	T	U	dd	ff
1	8	40022	88730	—	947	–7.0	80	03	10	062	1320	–7.4	86	36	14	2820	–13.3	85	30	18	5290	–30.8	89	33	28
2	4	70022	84340	—	957	–17.0	70	06	17	158	1355	–27.2	80	05	22	2745	–29.0	64	04	11	5100	–40.0	41	09	04
3	2	60021	—	—	963	–16.0	70	05	20	205	1410	–23.2	75	07	66	2850	–17.6	39	06	55	5305	–32.7	30	05	16
4	0	50020	—	—	968	–11.0	70	05	15	240	1470	–18.6	82	06	38	2915	–17.0	43	05	38	5360	–31.9	39	05	38
5	0	70020	—	—	972	–9.0	65	05	10	274	1520	–14.9	59	06	27	3000	–12.0	26	06	32	5530	–24.6	24	05	77
6	8	70022	88740	—	971	–5.0	65	00	00	262	1540	–4.5	70	03	11	3040	–11.2	43	03	17	5570	–26.2	19	02	50
7	2	70021	82628	—	967	–4.7	70	00	00	229	1500	–10.9	77	05	19	3000	–17.7	63	03	36	5460	–21.0	49	01	76
8	0	70020	—	—	970	–10.0	75	00	00	258	1510	–12.0	48	06	28	3000	–14.1	19	04	32	5490	–26.9	47	03	60
9	8	56707	88620	—	957	–4.0	90	00	00	141	1415	–7.9	97	02	07	2900	–16.2	87	01	17	5360	–29.7	51	35	43
10	4	40021	84658	—	953	–20.0	70	06	20	136	1330	–25.0	88	07	47	2745	–23.9	83	13	20	5170	–37.0	86	14	22
11	2	40020	82630	—	950	–20.0	65	05	14	106	1300	–26.0	83	06	38	2750	–16.8	77	08	20	5130	–39.7	83	21	15
12	8	30022	88723	—	947	–15.9	75	00	00	080	1305	–18.3	100	27	06	2755	–20.2	100	05	25	5180	–33.8	100	05	50
13	4	30101	84740	—	946	–18.5	95	00	00	079	1295	–19.3	100	05	08	2720	–23.5	53	03	42	5105	–39.9	40	01	60
14	3	15100	—	—	945	–17.1	100	00	00	072	1295	–17.3	98	36	05	2720	–26.5	100	34	14	5075	–40.6	93	33	35
15	6	57022	86740	—	952	–13.3	75	21	08	119	1355	–17.2	90	26	11	2775	–26.8	100	32	28	5145	–39.8	97	35	38
16	8	60022	—	—	953	–5.0	85	23	07	115	1380	–12.4	100	28	15	2840	–20.8	97	33	12	5270	–31.7	89	32	14
17	4	50100	—	—	954	–11.0	100	00	00	123	1380	–11.6	97	06	03	2835	–21.7	100	25	08	5270	–32.1	46	27	12
18	8	15102	88734	—	952	–9.0	100	00	00	112	1360	–14.6	100	06	14	2820	–18.7	82	07	15	5255	–31.8	55	24	03
19	8	09102	88710	—	946	–9.0	80	06	08	061	1305	–15.9	82	06	17	2750	–20.0	80	04	14	5190	–32.0	84	04	13
20	8	15727	—	—	952	–11.0	90	00	00	110	1350	–16.7	100	00	00	2800	–21.0	100	18	14	5210	–33.6	100	19	16
21	8	50022	—	—	950	–14.0	100	00	00	102	1330	–15.5	100	00	00	2805	–17.3	76	14	18	5220	–36.0	87	17	33
22	0	18100	—	—	951	–13.5	100	00	00	110	1360	–4.8	65	10	05	2855	–15.9	39	10	08	5300	–34.5	52	22	06
23	0	60021	—	—	953	–12.0	95	00	00	119	1370	–5.5	83	30	03	2875	–13.9	50	22	04	5335	–32.4	92	17	13
24	0	15100	—	—	956	–11.2	100	00	00	143	1405	–6.5	100	14	03	2895	–16.0	100	19	07	5355	–29.0	38	26	44
25	8	35022	88720	—	959	–8.2	100	00	00	168	1440	–3.1	38	10	03	2955	–9.9	73	00	00	5465	–26.4	88	30	08
26	8	40104	88724	—	955	–6.0	70	00	00	127	1390	–3.6	88	05	03	2930	–6.2	39	05	04	5475	–24.2	29	24	04
27	8	18104	88703	—	958	–6.2	90	00	00	153	1420	–9.3	90	06	09	2950	–6.4	64	06	02	5505	–24.2	43	03	09
28	4	40104	84705	—	966	–9.5	90	00	00	222	1500	0.0	20	06	20	3020	–8.2	18	04	21	5570	–24.3	30	04	35
29	8	40022	—	—	971	0.8	70	00	00	253	1560	–2.7	79	28	06	3080	–5.4	80	34	23	5685	–17.5	43	35	37
Moyen					957	–10.8	83	—	04	150	1396	–12.8	82	—	15	2867	–16.8	68	—	19	5323	–31.2	61	—	30

Février 1956

1	6	30102	86640	—	951	–9.0	60	05	08	106	1350	–16.3	82	02	06	2800	–19.6	37	29	15	5230	–33.0	23	30	48
2	3	30101	83627	—	959	–15.0	50	06	18	173	1400	–23.8	62	07	38	2810	–20.0	46	06	24	5240	–35.9	47	11	22
3	2	57100	82634	82171	965	–7.5	40	05	22	211	1460	–17.0	56	06	60	2930	–16.6	45	06	59	5410	–30.7	45	06	49
4	1	70020	81634	—	969	–5.0	40	05	18	245	1505	–15.0	49	06	48	2960	–16.6	30	05	34	5440	–32.3	26	03	44
5	8	40022	88758	—	974	–5.0	50	00	00	283	1550	–6.1	52	03	13	3050	–11.3	77	01	45	5570	–27.0	86	01	62
7	1	56020	81637	—	967	0.0	46	00	00	223	1515	–6.9	65	01	15	3010	–12.3	20	36	36	5510	–26.7	61	02	82
7	3	57030	83640	—	970	–1.8	50	08	19	242	1515	–11.8	88	05	25	2980	–19.4	32	03	33	5470	–22.9	23	02	96
8	7	70020	83360	—	964	–1.5	40	05	07	199	1465	–9.7	37	04	14	2950	–16.6	89	02	18	5425	–28.6	96	36	35
9	8	15717	88713	—	954	–10.3	75	06	18	127	1345	–17.9	99	05	17	2800	–23.2	100	31	15	5190	–38.6	90	31	43
10	4	40021	84658	—	953	–20.0	70	06	20	136	1330	–25.0	88	07	47	2745	–23.9	83	13	20	5130	–39.7	83	21	15
11	4	40101	83360	81070	946	–13.7	50	08	16	066	1285	–22.6	66	05	30	2720	–17.4	83	09	17	5170	–33.5	86	08	42
12	4	22101	84747	83170	945	–8.7	63	06	12	054	1300	–16.8	82	03	17	2740	–20.9	100	04	26	5160	–33.4	93	03	25
13	8	10717	88705	—	938	–10.5	90	03	08	505	1240	–17.5	100	18	11	2680	–22.8	100	23	11	5065	–39.6	100	30	38
14	2	74031	82650	—	948	–7.0	60	00	00	070	1330	–15.4	100	33	06	2770	–25.7	100	02	13	5130	–41.1	100	35	28
15	8	50022	83450	—	952	–4.5	60	22	20	103	1365	–13.6	76	27	27	2815	–22.5	90	31	38	5235	–31.1	92	33	68
16	5	60022	83240	83350	953	0.0	50	24	08	105	1380	–11.0	62	28	04	2840	–22.3	72	31	11	5250	–32.7	65	31	20
17	4	70021	84645	—	953	–2.0	55	00	00	105	1385	–11.4	97	36	02	2845	–18.8	67	24	05	5285	–33.5	40	26	05
18	3	57021	83640	—	947	–4.5	60	17	03	062	1330	–13.5	93	06	30	2790	–18.2	55	05	30	5240	–29.1	26	20	28
19	6	50022	86724	—	947	–6.5	65	03	08	062	1340	–13.1	100	23	06	2800	–20.0	100	00	00	5245	–29.8	100	23	08
20	8	18102	88710	—	952	–7.8	70	00	00	110	1360	–15.0	74	07	05	2815	–19.6	73	16	14	5230	–34.6	66	18	20
21	0	18104	—	—	950	–5.0	60	00	00	087	1360	–7.5	75	09	13	2850	–15.8	57	20	12	5300	–34.3	73	24	05
22	8	03102	88704	—	949	–5.6	85	00	00	079	1360	–3.4	42	07	07	2870	–12.2	40	10	04	5330	–34.2	95	17	10
23	8	03102	88704	—	952	–2.5	68	00	00	111	1400	–0.7	79	23	13	2870	–16.3	78	24	07	5330	–33.4	93	19	07
24	7	10104	87703	—	957	–3.5	80	00	00	148	1435	–2.5	66	06	02	2950	–9.8	80	21	06	5475	–23.2	80	26	23
25	5	18104	85620	—	956	–3.2	75	04	08	138	1420	–1.6	56	06	18	2945	–8.1	39	06	02	5490	–23.6	35	02	04
26	4	18104	84707	—	955	–2.0	55	10	10	132	1400	–4.7	69	04	10	2940	–8.4	65	12	02	5470	–25.3	52	14	16
27	0	19102	—	—	960	0.0	65	06	10	162	1445	–5.5	99	06	35	2975	–7.0	26	06	25	5510	–25.2	67	03	20
28	0	18104	—	—	967	3.0	50	00	00	220	1515	–0.4	36	30	07	3050	–8.9	36	32	15	5580	–21.7	44	33	46
29	3	70011	81840	83260	969	7.0	65	00	00	237	1560	–0.1	69	33	05	3100	–5.1	69	33	18	5670	–21.2	57	29	17
Moyen					956	–5.2	60	—	08	138	1402	–11.5	73	—	18	2876	–16.5	65	—	19	5337	–30.9	67	—	32

niveaux standard

03.00 h

400 mb					300 mb					200 mb				150 mb				100 mb				Tropopause		
H	T	U	dd	ff	H	T	U	dd	ff	H	T	dd	ff	H	T	dd	ff	H	T	dd	ff	H	P	T
6830	-42.3	81	32	33	8720	-57.1	—	30	28	11310	-51.1	30	30	13170	-51.2	30	30	—	—	—	—	9000	267	-58.4
6580	-51.4	44	22	16	8450	-49.8	—	35	11	11090	-50.0	31	32	12960	-51.2	32	30	—	—	—	—	6580	400	-51.4
6840	-44.0	30	05	27	8720	-52.4	—	06	44	11330	-52.0	02	28	13210	-47.5	02	38	—	—	—	—	8070	332	-52.1
6905	-44.0	38	04	17	8805	-49.2	—	05	60	11450	-50.0	03	44	13330	-50.0	02	33	—	—	—	—	9150	285	-49.7
7105	-37.1	27	07	58	9035	-52.0	—	04	67	11580	-58.1	04	66	13400	-53.8	04	66	—	—	—	—	10220	249	-60.8
7135	-38.0	24	02	72	8700	-52.0	—	02	92	11550	-62.2	01	61	13320	-60.0	36	57	—	—	—	—	10330	244	-66.0
7045	-37.1	50	01	61	8960	-53.0	—	01	162	11480	-62.3	—	—	13280	-59.8	—	—	—	—	—	—	10630	230	-65.2
7065	-38.9	51	02	66	8970	-53.1	—	02	50	11480	-65.7	02	55	13250	-60.3	03	55	—	—	—	—	11180	210	-66.3
6920	-38.1	40	34	72	8850	-49.0	—	34	68	11470	-51.6	34	28	13330	-52.3	34	28	—	—	—	—	10200	244	-53.0
6625	-47.0	83	09	05	8510	-49.4	—	35	15	11170	-50.0	33	12	13035	-52.3	33	28	—	—	—	—	7810	334	-49.4
6680	-49.0	86	13	14	8535	-51.0	—	09	22	11180	-50.0	06	15	13050	-49.0	06	17	—	—	—	—	7650	344	-53.0
6705	-44.5	100	05	60	8580	-53.2	—	05	35	11200	-52.5	01	15	13060	-52.7	32	20	—	—	—	—	7780	340	-53.9
6595	-49.3	40	01	66	8450	-53.7	—	35	30	11070	-52.2	31	30	12930	-53.9	29	26	—	—	—	—	7540	346	-54.0
6565	-46.5	93	33	40	8490	-44.1	—	31	36	11210	-44.6	30	34	13120	-45.5	29	40	—	—	—	—	6400	410	-46.7
6645	-48.3	98	36	52	8490	-53.9	—	33	40	11120	-48.8	30	34	13000	-51.5	30	35	—	—	—	—	7760	337	-55.1
6815	-41.8	42	29	18	8720	-50.0	—	29	32	11340	-51.8	29	28	13220	-49.9	29	40	—	—	—	—	10250	237	-52.9
6810	-44.6	50	26	15	8690	-54.7	—	25	17	11270	-53.1	28	25	13150	-54.0	28	23	—	—	—	—	9350	270	-57.5
6800	-39.1	51	22	30	8730	-48.9	—	21	40	11380	-47.2	23	25	13270	-49.8	24	25	—	—	—	—	8390	316	-48.0
6715	-46.0	84	13	11	8580	-56.0	—	11	11	11180	-52.8	15	10	13080	-54.4	22	22	—	—	—	—	8740	293	-57.0
6745	-44.3	100	21	10	8630	-52.5	—	17	06	11260	-50.2	18	11	13140	-50.5	20	06	—	—	—	—	7710	346	-52.0
6740	-46.9	81	14	23	8610	-55.8	—	13	17	11230	-50.2	15	14	13100	-51.8	13	05	—	—	—	—	7470	358	-53.0
6820	-48.0	54	24	11	8665	-54.5	—	16	10	11290	-49.0	15	05	13160	-51.0	17	04	—	—	—	—	7970	335	-56.0
6870	-45.2	94	19	17	8740	-53.2	—	22	13	11370	-49.8	30	15	13250	-51.4	29	15	—	—	—	—	8310	321	-54.3
6920	-38.2	100	27	66	8840	-53.6	—	26	66	11400	-57.0	26	32	13220	-56.2	26	15	—	—	—	—	10200	242	-58.6
7030	-42.1	93	26	07	8890	-61.2	—	27	18	11350	-66.4	26	08	13120	-60.7	26	14	—	—	—	—	11120	208	-68.6
7060	-39.4	40	23	05	8950	-57.0	—	23	16	11455	-61.0	27	07	13250	-58.7	27	07	—	—	—	—	9850	260	-63.8
7080	-37.3	73	32	03	9000	-54.4	—	24	05	11530	-60.0	32	11	13340	-57.2	32	12	—	—	—	—	10660	230	-62.0
7150	-35.9	40	04	56	9080	-52.9	—	04	56	—	—	—	—	—	—	—	—	—	—	—	—	—	—	—
7320	-28.0	26	34	50	9330	-43.8	—	01	47	11930	-63.1	01	71	13675	-64.8	01	67	—	—	—	—	12710	176	-66.3
6866	-42.5	63	—	34	8749	-52.5	—	—	38	11346	-54.0	—	28	13192	-53.6	—	28	—	—	—	—	—	—	—

15.00 h

6760	-45.0	23	29	43	8640	-52.7	—	30	39	11080	-49.0	31	32	13150	-49.0	31	32	—	—	—	—	8140	324	-53.2
6745	-45.1	47	12	25	8630	-51.8	—	—	—	—	—	—	—	—	—	—	—	—	—	—	—	—	—	—
6945	-42.8	45	05	55	8830	-56.2	—	05	71	11490	-54.1	01	26	13235	-52.9	05	38	—	—	—	—	9780	258	-59.0
7000	-41.5	26	04	45	8885	-53.4	—	04	83	—	—	—	—	—	—	—	—	—	—	—	—	—	—	—
7140	-38.6	80	01	60	9045	-54.9	—	01	84	11550	-61.0	01	67	13350	-58.0	01	63	—	—	—	—	10690	230	-67.7
7090	-37.1	56	01	85	9000	-54.1	—	01	82	11500	-66.4	02	90	13250	-62.8	—	—	—	—	—	—	11240	209	-68.9
7065	-34.4	23	02	82	9000	-49.9	—	07	120	11580	-58.6	—	—	13380	-58.8	—	—	—	—	—	—	10110	253	-58.7
7000	-38.6	74	36	55	8910	-53.4	—	01	60	11440	-60.1	35	38	13250	-56.0	34	50	—	—	—	—	10550	231	-62.1
6690	-46.6	84	31	55	8555	-55.7	—	32	45	11140	-54.5	34	40	13000	-53.3	33	30	—	—	—	—	8780	289	-56.3
6625	-47.0	83	09	05	8510	-49.4	—	35	15	11170	-50.0	33	12	13035	-52.3	33	28	—	—	—	—	7810	334	-49.4
6705	-42.7	72	09	50	8600	-49.0	—	08	46	11260	-48.4	06	05	13160	-47.3	30	05	—	—	—	—	8110	324	-50.7
6690	-45.0	93	02	16	8580	-49.0	—	02	20	11250	-47.7	29	23	13130	-49.4	32	23	—	—	—	—	7820	337	-50.1
6560	-48.8	100	32	38	8420	-51.8	—	33	44	11070	-48.5	32	38	12960	-49.9	32	20	—	—	—	—	7810	330	-53.0
6610	-48.8	100	34	36	8490	-46.8	—	29	44	11180	-45.8	30	33	13090	-49.1	30	32	—	—	—	—	7820	359	-51.0
6780	-42.4	88	34	79	8660	-56.0	—	35	50	11220	-53.2	32	50	13080	-51.8	31	36	—	—	—	—	9440	265	-60.8
6790	-42.9	64	31	22	8670	-55.0	—	31	28	11250	-51.6	29	38	13120	-53.2	29	24	—	—	—	—	9580	260	-57.8
6815	-43.0	40	27	10	8720	-49.5	—	26	20	11360	-50.0	25	27	13250	-49.8	27	27	—	—	—	—	7750	348	-48.2
6800	-39.9	34	18	44	8720	-51.0	—	18	40	11340	-49.1	19	33	13220	-48.9	21	17	—	—	—	—	9760	255	-54.8
6805	-40.3	100	03	11	8710	-52.3	—	16	03	11360	-47.3	18	11	13260	-47.5	22	17	—	—	—	—	8920	290	-52.7
6770	-44.0	60	16	18	8650	-51.5	—	16	20	11290	-49.0	14	16	13180	-49.2	17	11	—	—	—	—	8150	324	-53.0
6820	-48.4	76	23	14	8680	-51.8	—	14	17	11310	-49.2	15	10	13180	-50.2	16	05	—	—	—	—	7830	342	-53.3
6850	-49.5	95	19	20	8670	-61.0	—	18	14	11230	-54.2	29	02	13070	-55.0	33	02	—	—	—	—	8210	323	-61.0
6850	-44.1	88	24	12	8760	-48.2	—	27	33	11420	-51.4	28	35	13270	-51.2	27	25	—	—	—	—	9220	280	-50.4
7070	-35.4	80	26	27	9000	-51.8	—	27	29	11540	-59.7	25	18	13360	-55.4	26	16	—	—	—	—	9960	258	-59.7
7065	-38.7	50	30	06	9000	-53.5	—	26	02	11530	-59.0	27	06	13340	-57.0	26	07	—	—	—	—	10300	244	-61.0
7050	-37.0	60	17	09	9000	-50.1	—	19	14	—	—	—	—	—	—	—	—	—	—	—	—	—	—	—
7090	-37.0	63	02	12	9020	-51.7	—	36	12	11570	-61.5	36	22	13360	-58.2	34	14	—	—	—	—	11210	212	-61.5
7190	-34.2	63	35	48	9150	-50.1	—	36	57	11660	-73.1	01	60	13340	-71.9	36	65	—	—	—	—	12080	186	-75.0
7275	-32.7	62	31	26	9230	-48.4	—	32	30	11780	-66.8	33	46	13510	-66.2	34	28	—	—	—	—	12350	182	-68.9
6884	-41.8	67	—	35	8784	-52.1	—	—	40	11368	-54.6	—	31	13213	-54.0	—	26	—	—	—	—	—	—	—

Observations aux

Mars 1956

Jour	Données synoptiques en surface (Code AERO)				Surface 491 m					1000 mb	850 mb					700 mb					500 mb				
	N	VVwwW	NsChshs	NsChshs	P	T	U	dd	ff	H	H	T	U	dd	ff	H	T	U	dd	ff	H	T	U	dd	ff
1	8	70026	88640	—	970	5.0	80	22	10	239	1565	0.3	98	26	28	3100	–6.7	100	29	30	5670	–20.0	10	31	60
2	8	70022	88659	—	968	4.0	65	23	10	227	1550	1.7	44	27	25	3085	–8.9	74	29	34	5635	–21.8	82	33	28
3	8	60606	88627	—	964	6.5	100	22	14	201	1530	1.4	100	25	37	3070	–3.7	100	29	52	5670	–17.9	100	32	72
4	8	60152	86617	87534	964	10.5	70	21	14	185	1520	0.9	100	25	26	3065	–4.0	100	30	34	5655	–18.4	97	32	60
5	8	74022	88635	—	964	6.5	80	23	07	187	1510	–0.9	100	24	33	3045	–6.5	60	28	30	5620	–16.4	35	31	46
6	0	70020	—	—	970	–3.0	100	00	00	253	1540	–5.7	96	00	00	3045	–9.2	44	35	28	5575	–24.3	64	33	55
7	8	60022	88360	—	963	3.0	60	20	06	181	1500	–0.3	42	26	25	3030	–9.2	53	28	38	5570	–24.4	100	29	52
8	6	56022	86643	—	968	–1.0	95	04	10	230	1520	–5.2	100	04	08	3025	–11.6	18	02	32	5530	–27.8	62	36	52
9	0	70020	—	—	968	–4.5	70	04	12	235	1500	–7.1	61	06	17	3000	–10.0	26	04	40	5515	–25.9	36	02	53
10	0	70020	—	—	965	–5.5	80	00	00	207	1485	–3.0	53	07	08	3000	–10.9	46	03	18	5505	–28.6	66	02	25
11	0	70020	—	—	960	–3.3	90	00	00	169	1450	–7.2	70	02	11	2945	–13.6	76	36	27	5435	–29.4	80	36	50
12	0	70020	—	—	960	–6.0	90	05	10	169	1430	–12.4	81	05	26	2890	–18.9	30	05	55	5370	–29.6	14	02	55
13	0	40020	—	—	962	–6.5	80	06	13	186	1460	–8.3	78	07	32	2950	–15.9	35	05	50	5410	–31.3	24	04	28
14	0	70020	—	—	958	–5.2	80	03	05	153	1425	–7.3	69	06	28	2915	–15.9	75	06	36	5400	–28.0	41	01	38
15	0	35020	—	—	954	–5.0	100	00	00	121	1410	–5.1	94	00	00	2905	–12.0	72	29	22	5400	–26.0	64	28	44
16	8	50022	—	—	953	–2.0	90	00	00	105	1405	–1.8	78	20	09	2925	–11.5	96	26	08	5435	–25.5	90	22	16
17	0	50020	—	—	957	–1.5	90	00	00	139	1445	1.2	64	22	06	2975	–10.6	81	15	12	5500	–24.7	55	26	10
18	8	57022	88658	—	957	3.0	85	00	00	132	1455	1.1	86	21	03	3000	–8.4	92	20	11	5530	–21.0	18	29	13
19	8	60022	88659	—	949	4.0	85	00	00	067	1400	4.1	70	00	00	2940	–5.6	99	22	09	5500	–22.2	100	24	26
20	6	57022	86367	—	947	2.0	90	00	00	050	1375	4.2	63	21	03	2880	–0.5	73	17	26	5490	–21.3	90	17	60
21	8	60022	88464	—	946	2.8	75	00	00	038	1370	4.4	60	17	08	2920	–6.7	64	18	27	5455	–23.5	64	22	21
22	8	20022	88461	—	945	3.0	80	00	00	032	1360	3.4	75	21	17	2910	–6.8	78	16	27	5465	–23.8	83	19	61
24	8	40606	88707	—	954	2.5	100	00	00	111	1415	–1.7	100	06	09	2940	–12.1	100	14	17	5455	–24.5	100	19	83
24	9	00454	—	—	945	1.0	100	00	00	039	1350	5.1	83	00	00	2915	–1.3	26	19	16	5510	–19.0	10	19	15
25	8	30102	88702	—	948	3.5	100	00	00	050	1385	4.1	86	00	00	2940	–4.3	67	14	12	5505	–21.1	91	15	20
26	8	30102	88627	—	953	5.4	100	00	00	095	1425	2.0	100	25	06	2970	–6.8	96	21	06	5525	–22.6	95	15	07
27	4	25121	84656	—	959	2.3	100	00	00	155	1480	2.8	95	24	05	3000	–8.1	94	28	05	5535	–25.7	25	27	08
28	0	57100	—	—	960	2.2	100	00	00	163	1485	4.1	95	00	00	3030	–6.9	46	30	13	5565	–24.7	36	31	15
29	8	18102	85702	88360	958	4.5	100	00	00	144	1475	6.2	45	10	07	3030	–4.8	72	21	14	5600	–21.2	100	22	14
30	0	20100	—	—	961	3.0	100	00	00	163	1505	7.4	66	00	00	3070	–2.5	72	00	00	5650	–19.0	78	14	07
31	8	71022	88640	—	958	10.0	73	00	00	135	1480	4.3	94	22	05	3035	–5.5	100	05	07	5595	–20.6	100	00	00
Moyen					958	1.3	87	—	03	147	1458	–0.2	79	—	12	2969	–8.4	70	—	24	5525	–23.6	65	—	35

Mars 1956

1	3	74011	83640	81070	971	8.3	45	27	10	250	1555	–4.5	86	24	17	3065	–10.8	67	34	38	5580	–23.6	80	34	64
2	8	56152	88517	—	966	6.7	80	23	18	212	1540	1.5	100	24	33	3090	–2.3	98	31	35	5690	–16.9	70	32	72
3	8	60152	86617	87534	964	10.5	70	21	14	185	1520	0.9	100	25	26	3065	–4.0	100	30	34	5655	–18.4	97	32	60
4	8	60022	86627	88557	961	8.5	65	22	16	163	1495	–0.4	80	24	35	3000	–6.6	100	31	40	5585	–19.6	61	29	62
5	6	75022	86630	—	965	4.2	55	33	08	201	1505	–5.6	70	31	11	3000	–15.2	88	34	33	5460	–28.0	34	34	77
6	7	80030	87270	—	967	6.0	40	00	00	217	1530	–1.7	40	26	16	3065	–8.2	25	27	18	5600	–24.3	24	29	38
7	8	70022	88535	—	965	7.2	60	27	05	201	1520	–2.9	80	30	05	3030	–12.8	80	34	28	5535	–25.8	33	35	35
8	0	74020	—	—	967	3.0	55	07	16	217	1515	–6.6	54	05	18	3020	–12.4	44	02	44	5530	–26.0	43	01	50
9	0	74020	—	—	966	1.8	50	04	12	214	1505	–5.3	31	06	16	3015	–10.3	34	05	16	5535	–25.0	41	02	30
10	0	74020	—	—	962	3.4	50	01	07	175	1485	–3.7	32	04	06	3000	–11.9	45	03	22	5505	–26.1	48	01	45
11	0	74020	—	—	960	1.0	42	04	19	163	1450	–7.6	55	04	28	2935	–16.0	36	04	40	5400	–30.7	54	03	48
12	1	45100	81637	—	960	–1.0	50	05	19	164	1450	–12.4	82	05	28	2910	–20.1	39	05	49	5340	–33.0	31	03	83
13	2	40104	82637	—	960	–0.4	50	04	16	164	1445	–10.0	67	06	23	2925	–15.8	57	05	23	5390	–32.0	35	04	38
14	1	56100	81630	—	955	3.0	40	04	13	118	1420	–6.0	60	09	03	2910	–18.0	64	34	12	5365	–30.9	52	31	16
15	2	40104	82467	—	951	5.0	45	34	07	083	1400	–2.5	56	22	17	2900	–13.3	58	24	22	5410	–26.3	100	25	32
16	1	40104	81071	—	953	10.0	25	00	00	092	1440	1.4	36	12	02	3000	–8.3	50	19	04	5520	–22.4	42	24	07
17	7	40104	87466	—	956	10.0	30	00	00	121	1450	1.5	38	22	08	3000	–11.9	65	24	06	5490	–25.3	70	24	21
18	3	57031	83367	—	952	10.5	40	00	00	084	1420	3.4	57	20	11	2960	–8.5	63	21	16	5500	–21.0	62	26	13
19	8	20102	88757	—	948	8.8	70	00	00	050	1390	5.1	73	05	14	2945	–5.2	80	20	14	5520	–19.9	83	22	22
20	6	30102	81844	83362	946	11.0	50	00	00	028	1360	2.4	54	00	00	2905	–7.5	62	20	22	5410	–29.2	63	19	38
21	7	50102	83630	85362	944	11.1	47	00	00	010	1350	5.1	37	13	05	2905	–6.4	58	18	25	5430	–27.8	97	20	48
22	8	50616	86703	88534	955	2.5	100	00	00	110	1420	–0.4	100	23	15	2950	–8.9	97	20	33	5480	–24.7	98	18	58
23	7	50152	87703	—	949	6.0	95	04	07	060	1380	2.4	92	14	07	2935	–3.9	80	20	38	5515	–20.4	17	22	24
24	8	10102	88702	—	945	5.7	100	00	00	024	1365	7.5	47	00	00	2925	–4.2	69	19	20	5495	–20.8	72	19	18
25	8	30102	85634	88462	950	9.3	75	00	00	060	1400	3.1	77	06	03	2950	–4.5	68	13	10	5515	–22.1	75	14	08
26	8	56022	88460	—	956	12.0	60	00	00	117	1465	4.1	63	25	05	3015	–5.4	70	27	03	5580	–20.7	68	24	05
27	4	70022	82856	83070	959	15.0	45	00	00	137	1500	5.8	59	33	05	3055	–6.3	35	26	04	5590	–24.5	64	32	08
28	0	75020	—	—	958	12.5	60	05	10	123	1475	7.1	74	23	11	3045	–4.6	74	22	16	5620	–19.2	26	24	27
29	7	50022	87718	—	959	12.5	55	00	00	137	1510	8.1	33	32	03	3065	–2.3	45	34	12	5660	–19.7	58	17	12
30	2	50020	82645	—	960	17.3	35	00	00	141	1505	7.2	67	35	02	3065	–3.4	90	14	05	5655	–18.1	88	12	14
31	6	70022	86627	83072	958	13.6	58	25	06	129	1485	3.6	97	21	03	3025	–6.5	92	14	05	5575	–22.2	65	12	18
Moyen					958	7.6	56	—	06	134	1460	0.0	64	—	12	2990	–8.9	66	—	22	5520	–24.0	60	—	35

niveaux standard

03.00 h

400 mb					300 mb					200 mb				150 mb				100 mb				Tropopause		
H	T	U	dd	ff	H	T	U	dd	ff	H	T	dd	ff	H	T	dd	ff	H	T	dd	ff	H	P	T
7270	–35.0	10	31	58	9220	–48.8	—	28	37	11785	–65.3	28	57	13520	–65.0	28	92	—	—	—	—	12550	176	–68.8
7250	–30.3	76	32	33	9230	–47.0	—	33	78	11805	–63.9	—	—	—	—	—	—	—	—	—	—	—	—	—
7290	–29.3	96	33	55	9290	–43.5	—	32	67	11880	–65.5	31	70	13650	–57.3	31	70	—	—	—	—	12100	193	–67.3
7280	–29.8	93	32	56	9270	–45.0	—	33	92	11860	–62.7	33	60	13650	–57.6	—	—	—	—	—	—	12280	187	–64.2
7275	–24.8	30	31	48	9300	–40.0	—	30	72	11930	–63.4	30	60	13680	–60.2	31	33	—	—	—	—	12470	183	–67.8
7165	–35.5	82	33	76	9100	–50.5	—	32	66	11660	–60.3	32	78	13480	–55.0	31	58	—	—	—	—	10940	225	–61.7
7160	–33.7	100	30	65	9120	–48.2	—	30	120	11690	–58.0	31	72	—	—	—	—	—	—	—	—	10410	245	–58.0
7100	–39.9	62	35	56	9000	–53.2	—	35	54	—	—	—	—	—	—	—	—	—	—	—	—	—	—	—
7100	–36.8	32	02	70	9025	–25.1	—	01	72	11580	–57.9	02	75	13415	–51.3	—	—	—	—	—	—	11000	220	–60.7
7050	–43.0	65	03	35	8940	–55.0	—	36	57	11490	–55.1	01	44	13360	–51.7	01	55	—	—	—	—	9940	256	–59.1
7000	–40.8	80	36	94	8890	–53.6	—	36	83	11500	–53.8	35	50	13340	–51.6	36	44	—	—	—	—	9160	288	–54.8
6915	–43.3	28	02	60	8790	–53.0	—	02	60	11420	–50.4	02	60	13290	–50.1	02	66	—	—	—	—	8000	339	–52.8
6945	–44.4	24	05	43	8830	–52.0	—	05	60	11470	–49.0	35	22	13350	–49.5	01	22	—	—	—	—	8530	314	–53.6
6960	–40.1	40	01	33	8890	–49.0	—	34	38	11540	–48.2	36	55	13440	–48.2	34	33	—	—	—	—	9160	288	–50.2
6985	–37.4	71	28	46	8910	–49.6	—	27	55	11570	–47.0	26	33	13500	–45.5	27	29	—	—	—	—	9140	290	–50.8
7010	–39.1	82	22	15	8920	–54.3	—	28	08	11530	–49.5	25	20	13410	–49.8	25	28	—	—	—	—	8830	304	–54.5
7070	–37.5	42	31	37	9000	–53.3	—	29	28	11570	–52.7	23	22	13440	–50.4	25	17	—	—	—	—	9810	264	–58.9
7155	–30.1	12	32	37	9125	–45.2	—	32	56	11740	–57.0	32	44	13590	–51.7	26	07	—	—	—	—	11310	214	–58.0
7100	–33.2	46	26	18	9070	–47.0	—	24	22	11660	–55.6	22	20	13520	–51.2	22	14	—	—	—	—	10300	248	–57.4
7080	–36.1	83	17	37	9000	–53.5	—	17	42	11540	–56.9	17	11	13380	–53.6	17	17	—	—	—	—	10060	254	–61.6
7050	–33.7	57	22	26	9000	–47.2	—	23	52	11630	–51.5	24	32	13500	–50.5	25	21	—	—	—	—	10400	242	–56.2
7050	–35.8	84	19	68	9000	–54.0	—	21	83	11560	–54.0	20	23	13430	–49.5	20	23	—	—	—	—	9550	274	–58.0
7040	–36.8	100	19	67	8960	–51.5	—	21	100	11530	–55.5	20	50	13350	–55.3	—	—	—	—	—	—	10540	236	–63.0
7130	–29.2	10	14	16	9130	–46.7	—	11	05	11710	–55.9	23	14	13560	–51.8	22	08	—	—	—	—	10570	240	–58.6
7115	–33.2	88	14	18	9070	–49.6	—	14	54	11660	–51.5	15	18	13530	–51.0	25	22	—	—	—	—	10490	240	–59.7
7115	–36.1	88	14	07	9040	–54.0	—	14	14	11620	–51.6	29	22	13480	–54.0	29	30	—	—	—	—	9410	283	–58.0
7110	–38.3	40	19	05	9030	–51.5	—	22	06	11650	–51.4	27	33	13520	–53.0	27	38	—	—	—	—	9670	272	–53.7
7150	–35.7	49	32	14	9090	–49.0	—	30	28	11730	–50.3	28	34	13610	–50.1	28	32	—	—	—	—	10000	261	–52.1
7205	–31.3	68	26	23	9190	–45.4	—	26	18	11760	–57.4	23	16	13580	–56.4	23	08	—	—	—	—	11210	219	–64.6
7260	–33.4	77	14	22	9220	–48.3	—	14	28	11770	–65.6	14	22	13550	–58.9	15	05	—	—	—	—	11770	200	–65.6
7205	–32.6	100	07	14	9160	–48.0	—	09	33	11750	–57.5	08	06	13580	–54.2	04	05	—	—	—	—	11480	209	–58.4
7116	–35.4	62	—	40	9058	–49.6	—	—	51	11653	–55.8	—	39	13489	–53.0	—	31	—	—	—	—	—	—	—

15.00 h

7190	–30.5	77	34	77	9170	–46.2	—	35	85	11760	–64.9	—	—	13490	–65.6	—	—	—	—	—	—	12580	174	–71.2
7330	–27.3	44	31	68	9340	–42.7	—	32	66	11960	–61.2	—	—	13730	–59.9	—	—	—	—	—	—	12890	172	–63.3
7280	–29.8	93	32	56	9270	–45.0	—	33	92	11860	–62.7	33	60	13650	–57.6	—	—	—	—	—	—	12280	187	–64.2
7205	–30.7	71	30	62	9180	–46.5	—	30	87	11760	–63.9	29	95	13550	–55.0	—	—	—	—	—	—	12110	189	–64.3
7040	–35.6	28	35	44	8985	–47.7	—	33	77	11650	–44.6	32	50	13540	–49.3	32	50	—	—	—	—	9800	265	–50.5
7180	–36.6	100	30	39	9110	–51.7	—	31	77	11660	–58.0	31	45	13490	–52.5	30	77	—	—	—	—	10620	236	–60.8
7110	–38.3	28	35	38	9030	–51.3	—	34	50	11640	–52.3	32	55	13500	–50.8	32	55	—	—	—	—	9380	284	–53.2
7100	–37.5	36	02	82	9030	–52.6	—	02	80	11590	–57.0	01	55	13420	–51.0	35	44	—	—	—	—	10060	255	–57.8
7115	–36.2	41	02	49	9070	–48.0	—	01	55	11660	–57.2	01	72	13490	–53.4	01	55	—	—	—	—	11290	212	–57.2
7070	–39.3	47	01	55	8980	–52.1	—	02	40	11560	–55.3	01	50	13400	–50.2	01	50	—	—	—	—	10700	229	–57.6
6940	–41.4	49	04	72	8850	–50.5	—	01	50	11520	–46.8	01	50	13420	–46.8	34	23	—	—	—	—	9180	285	–51.0
6860	–46.0	33	01	67	8740	–53.0	—	02	67	11360	–51.0	35	23	13240	–50.2	36	36	—	—	—	—	8280	322	–53.0
6930	–43.0	32	04	59	8820	–53.7	—	03	44	11420	–50.9	01	32	13290	–51.0	36	28	—	—	—	—	10070	246	–57.3
6900	–42.7	52	31	33	8820	–50.0	—	31	40	11120	–50.0	31	37	13320	–50.0	31	30	—	—	—	—	10130	245	–53.0
7000	–38.8	90	26	33	8900	–54.6	—	26	55	11520	–47.1	25	23	13440	–46.2	24	34	—	—	—	—	9340	280	–54.6
7105	–35.1	37	24	14	9035	–54.0	—	27	18	11605	–54.2	26	26	13450	–52.0	26	26	—	—	—	—	9250	290	–55.7
7060	–38.8	72	24	19	8960	–57.0	—	—	—	—	—	—	—	—	—	—	—	—	—	—	—	—	—	—
7110	–32.8	73	28	14	9065	–50.9	—	27	22	11600	–63.2	26	09	13390	–56.2	26	06	—	—	—	—	10740	230	–64.7
7135	–32.1	83	23	35	9090	–50.2	—	23	44	11640	–58.4	22	08	13480	–52.2	22	08	—	—	—	—	10970	223	–62.1
6960	–40.9	72	18	50	8870	–52.3	—	18	62	11470	–54.1	23	22	13320	–53.7	23	20	—	—	—	—	9140	288	–53.5
7000	–41.2	92	19	53	8890	–52.7	—	20	60	11480	–55.3	21	35	13320	–51.8	22	34	—	—	—	—	9570	270	–57.3
7060	–37.9	92	20	76	9000	–51.4	—	21	86	11590	–51.3	—	—	13460	–49.4	—	—	—	—	—	—	9840	263	–56.6
7120	–32.9	13	22	46	9090	–45.8	—	21	82	11690	–54.0	22	30	13550	–52.8	21	27	—	—	—	—	10860	228	–59.6
7100	–33.0	81	19	35	9060	–48.1	—	17	48	11620	–57.3	20	17	13470	–55.2	19	17	—	—	—	—	10560	237	–63.1
7120	–33.1	68	16	28	9080	–47.8	—	14	34	11680	–52.0	18	22	13560	–49.4	20	17	—	—	—	—	10820	229	–58.2
7190	–34.0	53	21	10	9140	–50.1	—	19	16	11760	–50.0	27	22	13650	–51.3	27	36	—	—	—	—	10060	260	–54.6
7175	–37.7	74	00	00	9100	–48.8	—	00	00	11760	–47.0	27	28	13660	–50.0	28	34	—	—	—	—	9450	284	–49.7
7235	–31.0	28	28	24	9225	–44.0	—	29	77	11890	–51.0	28	27	13760	–50.5	28	27	—	—	—	—	10590	244	–51.6
7250	–34.4	60	15	22	9200	–50.2	—	15	26	11740	–65.8	17	26	13500	–60.8	17	06	—	—	—	—	10940	228	–64.2
7270	–32.9	88	13	14	9240	–48.3	—	13	35	11800	–60.3	13	20	13610	–56.1	13	08	—	—	—	—	12260	186	–62.5
7180	–34.0	84	10	10	9140	–47.6	—	10	28	11740	–55.0	08	05	13590	–52.9	01	05	—	—	—	—	10880	229	–56.9
7107	–36.0	61	—	41	9048	–49.8	—	—	53	11637	–55.1	—	35	13491	–52.8	—	30	—	—	—	—	—	—	—

Observations aux

Avril 1956

Jour	Données synoptiques en surface (Code AERO)				Surface 491 m					1000 mb	850 mb					700 mb					500 mb				
	N	VVwwW	NsChshs	NsChshs	P	T	U	dd	ff	H	H	T	U	dd	ff	H	T	U	dd	ff	H	T	U	dd	ff
1	7	55022	85640	84363	959	4.5	100	00	00	148	1470	2.2	98	28	06	3000	–7.8	100	07	07	5550	–23.7	93	04	14
2	8	50102	88720	—	958	3.2	100	05	08	144	1450	–2.9	100	06	22	2970	–9.8	93	04	08	5485	–26.7	56	02	10
3	0	57020	—	—	960	0.0	100	00	00	163	1475	0.5	90	27	06	3020	–7.3	73	20	03	5555	–25.9	57	10	11
4	2	70021	—	—	955	3.6	75	00	00	114	1430	–0.1	77	25	12	2955	–8.7	28	27	22	5500	–22.5	26	28	33
5	0	57020	—	—	951	2.8	90	00	00	081	1385	–4.1	100	34	07	2895	–13.4	100	30	16	5385	–27.6	91	33	36
6	8	60707	88530	—	946	1.0	90	34	08	045	1345	–6.4	97	34	11	2830	–16.0	98	36	22	5270	–35.1	68	34	44
7	0	75020	—	—	959	–2.0	90	06	08	165	1435	–10.4	96	36	16	2900	–21.0	84	36	16	5330	–31.0	35	36	82
8	0	70020	—	—	966	–2.0	80	00	00	223	1495	–8.6	70	06	06	3000	–14.0	36	01	40	5455	–29.0	67	35	45
9	0	70020	—	—	967	–5.0	75	00	00	216	1520	–1.3	58	00	00	3035	–10.1	67	36	12	5550	–26.2	61	36	17
10	0	70020	—	—	965	0.0	70	00	00	206	1515	3.5	45	25	07	3065	–5.0	25	32	08	5645	–21.0	10	34	17
11	0	70020	—	—	959	4.8	65	00	00	151	1480	6.3	47	26	24	3035	–6.0	54	27	16	5610	–21.0	33	27	27
12	0	70020	—	—	957	5.0	70	00	00	128	1460	6.4	54	22	12	3030	–5.4	62	28	05	5580	–23.0	65	29	18
13	8	70606	88637	—	956	8.0	100	00	00	114	1450	1.2	100	25	14	2980	–7.6	100	25	27	5490	–25.3	94	27	24
14	8	70022	88633	—	948	9.0	90	00	00	050	1400	5.7	100	22	26	2965	–3.3	100	23	38	5565	–16.5	100	25	48
15	8	70616	88530	—	945	8.4	90	00	00	020	1360	3.9	89	22	27	2915	–4.8	96	24	23	5475	–22.6	96	23	33
16	8	70606	88540	—	945	9.3	100	00	00	023	1365	5.2	93	00	00	2920	–5.9	99	21	15	5480	–21.6	78	20	28
17	8	40636	88530	—	949	3.5	100	23	12	060	1375	–2.2	100	25	15	2900	–7.9	100	24	07	5440	–23.9	94	18	17
18	5	65022	85540	—	958	2.0	80	00	00	145	1425	–6.4	100	04	06	2910	–14.7	98	04	08	5395	–30.7	87	20	15
19	8	15717	88515	—	962	0.5	100	02	06	177	1470	–6.3	100	06	07	2960	–16.2	100	35	03	5410	–34.5	97	23	08
20	0	70020	—	—	964	–1.8	100	00	00	188	1485	–4.9	96	06	12	3000	–13.5	75	36	06	5480	–28.1	64	05	12
21	5	70020	85630	—	959	0.0	75	00	00	154	1455	–1.1	74	00	00	3000	–6.6	29	25	12	5535	–21.7	64	25	28
22	5	65022	85540	—	949	4.5	100	00	00	063	1385	2.8	100	00	00	2950	–3.9	100	24	28	5510	–21.7	87	23	47
23	8	18636	88530	—	945	5.0	100	00	00	028	1360	0.0	100	00	00	2900	–6.2	100	25	17	5450	–23.3	100	27	14
24	0	25020	—	—	951	1.0	100	00	00	088	1400	2.3	68	34	05	2930	–9.9	81	29	05	5485	–21.6	15	26	16
25	0	70010	—	—	951	2.5	100	00	00	081	1410	3.4	70	00	00	2940	–10.2	70	28	04	5460	–25.5	35	28	16
26	6	57022	85357	83070	949	3.0	90	00	00	063	1390	3.5	70	20	07	2930	–8.6	65	23	11	5450	–28.0	67	24	16
27	3	60020	83357	81070	946	7.0	75	00	00	037	1370	5.9	82	25	05	2925	–6.5	100	19	10	5470	–25.8	86	20	13
28	8	74022	88635	—	945	8.0	80	22	18	020	1355	2.6	100	23	11	2905	–6.1	100	13	08	5465	–22.8	100	16	15
29	0	70020	—	—	951	3.0	100	00	00	084	1415	1.5	93	00	00	2950	–9.7	93	22	06	5470	–27.5	30	22	19
30	8	70026	—	—	951	8.0	100	00	00	072	1420	2.9	100	01	20	2960	–7.6	100	02	11	5510	–21.8	91	02	08
Moy.					954	3.2	90	—	02	108	1425	0.2	86	—	09	2956	–9.1	81	—	14	5482	–25.2	68	—	24

Avril 1956

1	8	40102	88647	—	956	12.8	55	00	00	106	1460	3.8	74	29	07	3000	–6.6	100	31	08	5555	–23.0	60	35	14
2	7	57022	88640	—	959	8.8	50	06	16	142	1470	–0.6	70	06	25	3000	–8.3	94	13	16	5520	–25.6	29	15	18
3	3	58030	83636	—	958	12 8.	35	28	09	122	1480	5.2	75	24	06	3000	–7.4	55	33	09	5560	–25.3	20	03	17
4	3	70021	83658	—	965	3.5	40	03	12	196	1480	–11.5	61	04	09	2930	–22.2	73	01	23	5380	–30.1	34	01	75
5	8	45152	88517	—	946	5.0	40	26	11	035	1345	–5.1	100	23	17	2850	–12.2	100	30	28	5350	–28.3	100	31	38
6	6	57152	86649	—	952	1.8	55	07	07	097	1380	–7.9	51	34	12	2865	–18.2	53	33	26	5295	–33.4	38	35	78
7	7	57031	87361	—	951	11.3	27	30	12	069	1405	1.6	59	29	09	2930	–10.6	77	22	15	5440	–26.3	75	27	33
8	8	70020	81071	—	966	5.5	40	03	10	207	1510	–4.2	40	06	05	3000	–13.1	50	03	16	5530	–25.5	65	35	48
9	3	74020	83070	—	966	13.4	30	22	05	199	1545	1.9	48	25	07	3075	–7.2	39	27	10	5620	–23.5	46	35	24
10	0	70020	—	—	962	17.5	30	22	11	155	1515	5.4	33	25	14	3070	–5.2	17	26	10	5630	–22.2	13	28	20
11	6	70022	86360	—	956	18.0	33	23	07	109	1480	7.5	35	26	12	3035	–6.4	93	27	14	5585	–21.6	97	27	30
12	7	70032	81857	87360	954	18.0	40	24	17	084	1455	7.3	61	23	20	3015	–4.5	86	23	18	5580	–20.2	91	23	22
13	8	55606	84627	88460	953	11.8	70	23	17	086	1410	2.5	99	22	40	2955	–6.4	100	24	44	5530	–19.9	99	26	48
14	8	25636	84620	88533	945	11.0	100	00	00	023	1365	3.7	94	22	22	2920	–3.6	100	23	42	5520	–15.0	89	22	35
15	6	70152	83940	84362	944	18.0	40	23	12	507	1375	7.8	63	23	16	2940	–5.1	84	21	25	5495	–23.1	88	22	30
16	8	45616	88524	—	944	12.0	90	04	09	012	1365	6.1	93	00	00	2930	–1.7	97	16	06	5520	–19.0	92	17	20
17	8	75606	88516	—	956	5.2	77	00	00	123	1425	–4.4	83	28	06	2935	–11.7	80	30	04	5450	–26.2	83	19	09
18	8	40626	88730	—	960	3.0	100	00	00	157	1460	–4.8	100	36	03	2960	–13.9	98	32	03	5445	–29.4	94	19	05
19	7	40707	87730	—	962	6.1	60	11	05	175	1485	–4.0	82	01	05	2985	–15.2	96	02	04	5445	–32.1	78	32	04
20	2	60021	82850	—	962	8.2	50	03	13	169	1510	–2.9	56	05	14	3030	–10.2	40	08	11	5530	–28.4	38	28	27
21	8	65022	88450	—	955	8.8	50	00	00	108	1440	1.2	76	13	07	2975	–7.5	100	24	13	5530	–22.5	75	25	30
22	8	18656	88510	—	944	5.0	100	00	00	020	1335	–0.5	100	22	04	2880	–6.1	100	17	07	5430	–20.8	83	35	05
23	6	65026	86658	—	948	11.7	45	32	09	045	1390	3.7	56	26	06	2925	–7.9	68	24	08	5490	–18.7	14	24	26
24	4	57031	84643	84366	950	13.0	50	30	11	057	1410	3.7	55	26	04	2945	–9.1	74	23	03	5475	–25.8	77	25	20
25	3	57030	83658	—	949	14.0	25	30	11	051	1405	3.0	42	23	13	2940	–10.2	96	23	09	5450	–26.5	59	24	20
26	1	60030	81658	—	947	15.8	25	00	00	028	1390	6.1	31	00	00	2950	–6.3	47	23	08	5490	–22.8	33	24	12
27	4	70030	84652	—	942	17.5	40	36	10	522	1350	7.1	43	00	00	2905	–7.0	58	16	06	5430	–27.2	65	18	17
28	7	70152	87650	—	948	14.0	50	00	00	040	1400	2.5	77	22	06	2935	–7.7	95	22	27	5465	–27.0	62	20	22
29	8	74022	88657	—	949	14.0	35	05	05	045	1400	3.8	49	04	06	2935	–9.4	75	03	07	5460	–24.0	42	07	02
30	8	74022	88540	—	955	8.3	65	35	08	081	1440	–0.8	95	00	00	2970	–9.7	88	02	22	5500	–24.2	24	32	15
Moy.					953	10.9	52	—	07	090	1429	1.2	67	—	10	2960	–9.0	78	—	15	5491	–24.6	62	—	25

niveaux standard

03.00 h

400 mb					300 mb					200 mb				150 mb				100 mb				Tropopause		
H	T	U	dd	ff	H	T	U	dd	ff	H	T	dd	ff	H	T	dd	ff	H	T	dd	ff	H	P	T
7155	–34.8	49	36	25	9100	–50.8	—	35	30	11640	–62.6	33	30	13390	–59.0	30	12	—	—	—	—	11190	214	–62.2
7105	–34.1	23	07	43	9070	–43.3	—	07	55	11720	–53.3	06	17	13420	–55.5	32	32	—	—	—	—	10040	255	–54.4
7140	–37.0	13	03	14	9065	–52.8	—	04	29	11600	–64.8	32	20	13360	–62.1	08	33	—	—	—	—	10560	236	–63.0
6935	–40.7	41	01	66	8840	–54.0	—	35	67	11360	–62.9	33	72	13380	–55.5	28	44	—	—	—	—	11580	200	–62.3
6910	–41.0	100	32	48	8790	–58.9	—	32	99	11330	–56.0	33	33	13150	–61.3	36	50	—	—	—	—	11000	214	–59.6
6840	–41.3	37	34	98	8730	–54.2	—	—	—	11340	–48.8	—	—	13090	–59.0	34	50	—	—	—	—	9630	258	–54.5
7000	–37.2	64	27	59	8940	–51.2	—	27	94	11520	–57.0	30	36	13200	–57.0	33	50	—	—	—	—	10350	235	–63.0
7100	–36.0	65	35	37	9040	–52.2	—	34	47	11570	–61.2	34	44	13150	–61.3	36	50	—	—	—	—	11000	214	–69.6
7220	–33.9	58	36	26	9180	–48.6	—	01	46	11730	–66.4	01	38	—	—	—	—	—	—	—	—	10420	241	–65.4
7230	–35.4	17	29	25	9160	–51.8	—	30	27	11690	–65.5	30	23	13505	–59.7	34	22	—	—	—	—	11130	221	–66.0
7195	–32.4	87	28	33	9150	–48.6	—	29	46	11740	–56.1	29	44	—	—	—	—	—	—	—	—	11270	216	–63.4
7195	–32.9	83	23	25	9140	–49.5	—	24	23	11700	–60.1	26	38	—	—	—	—	—	—	—	—	10920	225	–65.8
7150	–29.9	68	26	55	9150	–43.0	—	26	72	11830	–51.7	27	58	—	—	—	—	—	—	—	—	10500	238	–60.6
7180	–24.8	83	23	44	9200	–40.5	—	24	77	11820	–59.7	23	58	13550	–58.2	27	30	—	—	—	—	11080	223	–65.3
7085	–36.2	81	22	38	9000	–54.0	—	23	55	11540	–60.5	23	60	13310	–58.3	23	38	—	—	—	—	10340	242	–62.7
7150	–31.7	89	18	44	9120	–48.3	—	18	72	11710	–56.9	20	39	13350	–58.9	23	33	—	—	—	—	10810	226	–62.8
7020	–39.3	68	19	38	8920	–52.8	—	18	50	11570	–49.6	23	25	13420	–53.4	22	22	—	—	—	—	9730	266	–58.9
7000	–41.2	90	22	09	8940	–45.0	—	28	30	11640	–45.9	28	22	13420	–51.8	26	18	—	—	—	—	8350	324	–48.7
7000	–36.3	35	27	55	8970	–44.8	—	28	55	11670	–46.0	26	25	13460	–50.0	27	27	—	—	—	—	9750	264	–49.2
7090	–39.1	38	28	49	9020	–51.8	—	28	82	—	—	—	—	13530	–49.7	26	22	—	—	—	—	9830	264	–48.9
7130	–33.5	58	25	76	9080	–51.0	—	25	55	11660	–55.5	25	57	13580	–52.3	27	33	—	—	—	—	9590	278	–52.0
7080	–31.0	74	25	07	9050	–47.2	—	22	27	11700	–49.2	23	38	13520	–52.9	24	44	—	—	—	—	10100	241	–55.1
7110	–32.9	18	24	27	9060	–49.3	—	24	20	11730	–46.5	23	27	13410	–52.6	21	22	—	—	—	—	10000	256	–60.4
7060	–37.3	69	24	28	9000	–50.7	—	24	18	11620	–49.7	26	49	13570	–47.5	24	27	—	—	—	—	9700	270	–53.9
7000	–39.4	78	24	27	8920	–54.9	—	25	25	11530	–50.3	25	22	—	—	—	—	—	—	—	—	9650	270	–53.9
7090	–34.0	36	24	26	9040	–50.0	—	23	26	11630	–53.1	23	32	13390	–54.0	25	22	—	—	—	—	10520	234	–54.6
7000	–41.1	—	18	20	8890	–54.0	—	20	17	11445	–54.4	21	17	—	—	—	—	—	—	—	—	—	—	—
7040	–39.2	62	20	20	8955	–50.6	—	18	22	11630	–47.7	21	17	—	—	—	—	—	—	—	—	9200	290	–53.0
7050	–37.2	42	15	23	8980	–52.3	—	20	30	11590	–49.6	21	14	13410	–51.0	22	14	—	—	—	—	10000	254	–56.5
7080	–35.3	22	29	14	9000	–50.2	—	20	16	11630	–50.5	28	03	—	—	—	—	—	—	—	—	—	—	—
7078	–35.9	57	—	37	9017	–50.2	—	—	45	11617	–54.9	—	34	13389	–55.5	—	32	—	—	—	—	—	—	—

15.00 h

7130	–37.4	69	05	22	9050	–52.0	—	07	35	11590	–61.1	01	17	13430	–58.6	33	22	—	—	—	—	10870	227	–63.5
7055	–38.1	32	31	05	9000	–49.8	—	32	12	11590	–54.5	33	23	13570	–55.1	03	10	—	—	—	—	11000	224	–52.9
7130	–37.4	52	09	23	9050	–53.6	—	09	50	11580	–64.0	08	36	—	—	—	—	—	—	—	—	12180	182	–66.0
7085	–36.3	41	28	40	9020	–50.7	—	28	63	11580	–62.3	28	80	13140	–60.8	33	67	—	—	—	—	10750	221	–64.8
6950	–39.3	86	33	29	8850	–54.0	—	34	38	11450	–54.5	31	28	13155	–57.6	—	—	—	—	—	—	9330	275	–62.3
6790	–46.4	78	34	55	8670	–53.0	—	34	90	11270	–55.1	34	45	13220	–54.6	—	—	—	—	—	—	9330	273	–54.7
6880	–39.5	35	36	98	8800	–51.2	—	35	140	11350	–55.0	33	60	13340	–55.7	28	50	—	—	—	—	9770	264	–56.6
7000	–41.8	68	35	71	8910	–55.2	—	35	66	11385	–66.5	34	56	13380	–58.4	34	44	—	—	—	—	11280	210	–64.6
7130	–37.5	67	36	20	9055	–53.9	—	36	34	11560	–62.0	35	40	13510	–58.0	32	34	—	—	—	—	11550	206	–66.2
7240	–33.8	15	34	28	9195	–49.0	—	33	22	11730	–65.5	33	28	13470	–59.7	31	17	—	—	—	—	11490	207	–65.8
7210	–33.2	31	27	32	9170	–47.8	—	26	48	11740	–64.2	27	59	13560	–55.9	29	22	—	—	—	—	10330	250	–57.2
7170	–35.4	76	29	28	9100	–52.0	—	29	26	11630	–63.1	29	33	13530	–53.3	27	33	—	—	—	—	10090	259	–57.5
7100	–37.2	83	25	72	9040	–50.0	—	32	50	11610	–59.4	29	42	13700	–52.0	27	58	—	—	—	—	12230	188	–51.9
7200	–27.3	100	26	39	9200	–46.0	—	26	49	11750	–64.1	26	66	13620	–58.1	24	68	—	—	—	—	11120	224	–59.1
7070	–35.5	88	22	28	8980	–54.8	—	24	33	11510	–61.5	25	44	13350	–57.9	23	46	—	—	—	—	10540	235	–63.9
7085	–34.5	94	21	53	9020	–52.5	—	20	60	11550	–62.5	21	55	13540	–55.3	20	33	—	—	—	—	11050	222	–57.2
7030	–35.8	69	19	22	8960	–53.3	—	16	22	11560	–50.2	21	28	13450	–51.8	25	50	—	—	—	—	8670	312	–52.4
7000	–41.5	88	18	28	8860	–47.7	—	26	15	11540	–48.3	25	30	13540	–48.8	26	22	—	—	—	—	7580	367	–42.0
6955	–38.1	76	28	52	8900	–46.6	—	27	53	11570	–48.5	27	30	13570	–49.4	27	38	—	—	—	—	9570	274	–46.6
7045	–38.6	60	29	17	8980	–47.1	—	28	28	11650	–48.8	28	42	—	—	—	—	—	—	—	—	—	—	—
7145	–33.1	76	25	48	9100	–49.8	—	26	62	11720	–52.6	27	48	13500	–55.2	25	50	—	—	—	—	11260	213	–58.0
7110	–34.5	55	23	44	9060	–49.3	—	24	77	11660	–54.2	24	55	—	—	—	—	—	—	—	—	9930	262	–52.6
7040	–34.9	100	27	17	8975	–53.7	—	23	22	11560	–52.3	22	22	13640	–46.7	23	28	—	—	—	—	9590	277	–52.7
7080	–35.0	25	25	27	9020	–51.1	—	25	25	11670	–47.4	24	27	13460	–50.0	25	29	—	—	—	—	9800	263	–52.3
7040	–37.3	40	29	26	8970	–50.2	—	28	27	11600	–49.4	26	28	13400	–51.9	25	27	—	—	—	—	9450	277	–57.0
7000	–41.2	74	24	28	8920	–51.0	—	27	34	11540	–52.8	25	28	13500	–51.2	24	34	—	—	—	—	11000	221	–57.4
7035	–37.9	81	20	27	8960	–52.8	—	21	37	—	—	—	—	13290	–53.5	22	17	—	—	—	—	10110	247	–60.7
7050	–36.0	100	14	16	9000	–51.5	—	13	17	11620	–48.6	21	27	13505	–48.0	22	26	—	—	—	—	9350	283	–51.5
7030	–40.3	44	21	27	8920	–54.0	—	21	27	11530	–50.0	23	25	13470	–49.2	21	20	—	—	—	—	9740	266	–56.4
7110	–36.0	92	16	09	9040	–53.2	—	—	—	—	—	—	—	13520	–48.4	28	05	—	—	—	—	10220	249	–55.6
7063	–37.0	67	—	34	8993	–51.2	—	—	44	11575	–56.4	—	39	13458	–53.9	—	34	—	—	—	—	—	—	—

Observations aux

Mai 1956

Jour	Données synoptiques en surface (Code AERO)				Surface 491 m					1000 mb	850 mb					700 mb					500 mb				
	N	VvwwW	NsChshs	NsChshs	P	T	U	dd	ff	H	H	T	U	dd	ff	H	T	U	dd	ff	H	T	U	dd	ff
1	7	64022	87656	—	961	3.0	100	00	00	163	1485	–2.3	100	31	07	3000	–11.6	100	29	03	5500	–27.0	41	34	44
2	8	65026	88634	—	963	4.5	100	00	00	183	1495	–1.8	100	27	05	3000	–12.3	100	36	30	5525	–24.7	95	36	32
3	4	57022	84650	—	965	4.0	100	00	00	196	1530	2.4	91	06	07	3065	–6.9	100	06	12	5610	–22.7	48	35	16
4	5	57022	85640	—	967	3.5	100	00	00	217	1540	3.3	80	07	12	3090	–6.9	74	06	15	5625	–24.5	33	06	22
5	0	70020	—	—	969	5.0	90	00	00	236	1580	5.9	75	12	02	3140	–2.0	10	03	04	5715	–21.0	10	04	22
6	1	57100	81070	—	970	6.9	90	00	00	239	1590	8.1	73	00	00	3160	–1.4	12	00	00	5750	–19.0	10	07	25
7	2	60100	82658	—	970	9.0	80	00	00	242	1605	9.0	70	00	00	3175	–0.7	40	31	05	5775	–19.2	20	03	05
8	1	65100	81359	—	969	9.6	80	00	00	232	1595	8.3	70	01	05	3160	–0.1	24	34	03	5760	–18.9	71	03	07
9	0	70020	—	—	968	10.0	90	00	00	217	1560	8.0	77	00	00	3130	–0.5	24	34	05	5735	–18.9	26	01	10
10	3	74020	83656	—	964	13.1	55	18	06	180	1555	9.1	59	25	24	3120	–3.6	65	26	28	5700	–19.3	43	27	44
11	8	75606	88635	—	965	8.5	100	21	06	193	1525	1.5	99	30	14	3065	–7.5	100	30	17	5635	–20.0	26	34	70
12	8	65022	88657	—	962	9.1	85	00	00	170	1520	3.9	75	33	08	3065	–5.1	100	32	27	5645	–18.8	65	31	42
13	8	60022	88525	—	967	7.0	100	00	00	217	1540	0.0	100	04	22	3070	–9.6	100	04	24	5610	–23.8	10	02	22
14	0	70010	—	—	969	4.5	100	00	00	234	1560	1.5	90	07	06	3110	–4.3	26	06	15	5685	–19.7	57	05	22
15	0	75020	—	—	969	6.0	100	00	00	225	1565	2.8	78	04	11	3110	–6.0	50	02	10	5665	–22.0	54	34	22
16	0	74010	—	—	968	6.0	90	00	00	225	1570	8.3	64	06	07	3140	–2.1	54	35	10	5740	–18.8	54	01	16
17	0	60020	—	—	966	8.0	100	00	00	203	1555	8.6	80	24	06	3130	–2.4	43	26	08	5725	–17.7	60	27	16
18	8	74299	88540	—	960	11.2	100	00	00	151	1505	6.8	86	24	28	3070	–3.6	98	26	28	5660	–16.8	78	25	45
19	8	57656	—	—	955	10.0	100	00	00	108	1455	4.1	100	24	10	3000	–4.2	100	25	33	5605	–17.8	100	25	39
20	8	56606	88620	—	957	6.0	100	00	00	132	1470	–0.7	100	06	08	3000	–6.6	100	26	08	5555	–22.0	53	25	38
21	0	57020	—	—	957	2.5	100	00	00	130	1470	3.7	85	19	06	3040	–2.4	10	26	12	5640	–16.8	10	26	23
22	8	57606	88634	—	953	12.1	100	00	00	094	1460	8.4	100	21	06	3030	–2.3	100	21	22	5640	–17.7	94	24	21
23	8	50022	88430	—	956	11.5	100	25	11	118	1470	6.6	96	24	11	3035	–2.2	100	21	09	5640	–17.7	80	14	12
24	4	57022	84361	—	961	10.0	100	00	00	157	1520	9.0	93	08	02	3100	–1.8	85	19	03	5700	–18.0	19	15	06
25	3	70021	83634	—	956	9.0	90	00	00	118	1460	5.8	84	24	22	3030	–4.6	92	22	12	5610	–19.6	57	12	13
26	0	70020	—	—	961	7.0	100	00	00	164	1510	7.8	95	00	00	3090	–1.4	58	17	02	5690	–17.6	25	23	05
27	0	70020	—	—	966	11.7	100	00	00	200	1560	9.6	100	00	00	3140	–2.6	100	17	02	5715	–21.4	100	23	05
28	7	60022	87362	—	963	12.8	100	00	00	171	1540	15.2	42	00	00	3145	3.4	67	23	17	5780	–16.1	20	24	15
29	0	65100	—	—	956	15.8	93	24	05	106	1500	15.6	49	23	12	3110	4.1	52	21	14	5740	–16.9	25	25	25
30	4	70021	84649	—	963	14.0	90	00	00	170	1545	10.0	87	03	07	3130	–0.4	80	25	07	5750	–16.2	16	25	14
31	8	57959	88540	—	959	14.2	87	00	00	136	1505	8.6	91	23	15	3080	–2.0	100	22	17	5675	–18.6	88	17	35
Moyen					963	8.6	94	—	01	178	1527	6.0	84	—	08	3088	–3.5	70	—	13	5671	–19.7	48	—	24

Mai 1956

1	8	50022	88430	—	960	8.2	48	25	11	151	1475	1.4	57	24	11	3000	–10.7	62	32	16	5500	–27.0	32	31	55
2	7	40022	86658	85360	963	13.4	40	00	00	174	1520	1.5	64	36	07	3045	–9.7	98	36	12	5595	–21.8	97	01	25
3	7	50102	82849	87360	965	14.9	45	08	07	186	1520	2.3	58	04	07	3050	–9.2	65	03	07	5585	–24.9	59	36	08
4	2	60100	82849	—	968	17.0	38	05	09	216	1570	3.5	50	08	05	3120	–6.0	22	06	10	5650	–26.8	19	08	22
5	2	60102	81827	81070	969	20.5	30	00	00	221	1600	8.8	30	00	00	3165	–3.0	12	00	00	5740	–21.3	22	05	32
6	1	60100	81849	—	970	22.2	30	00	00	227	1610	9.6	40	00	00	3180	–2.3	19	00	00	5760	–21.1	23	07	18
7	1	75022	81650	—	969	24.6	35	00	00	216	1600	9.8	48	36	06	3175	–3.0	48	31	05	5760	–22.2	66	32	10
8	1	74020	81850	—	968	24.0	30	00	00	206	1605	10.2	44	35	06	3190	–0.9	23	35	07	5790	–19.0	44	36	13
9	2	70020	82850	—	964	25.0	30	00	00	170	1575	13.2	36	26	05	3165	1.6	20	26	05	5790	–16.0	14	29	10
10	8	70616	88634	—	964	11.5	90	22	08	185	1530	3.6	96	26	22	3080	–5.5	97	27	27	5660	–20.5	98	29	45
11	6	74032	86357	—	965	15.0	38	00	00	190	1540	3.3	53	05	05	3075	–6.9	12	36	16	5655	–17.2	64	35	60
12	8	50626	88520	—	961	10.3	100	22	08	160	1505	2.6	100	30	08	3050	–6.4	100	34	19	5610	–22.0	93	32	12
13	4	70022	84630	—	967	14.0	50	04	16	208	1555	2.8	58	06	16	3085	–7.2	60	06	20	5660	–21.3	36	03	27
14	—	—	—	—	—	—	—	—	—	—	—	—	—	—	—	—	—	—	—	—	—	—	—	—	—
15	1	70020	81850	—	968	18.5	35	02	11	210	1580	7.8	41	05	13	3145	–4.5	57	05	02	5725	–19.6	20	03	33
16	1	70020	81850	—	967	21.0	37	00	00	202	1580	7.7	43	00	00	3140	–2.9	47	25	04	5730	–19.0	34	35	08
17	8	70156	88623	—	963	16.8	62	20	06	169	1550	9.1	57	24	25	3110	–3.3	66	24	28	5710	–17.7	66	27	26
18	8	70156	88633	—	956	20.0	45	24	09	108	1510	11.4	52	25	22	3080	–3.1	71	25	33	5670	–18.7	79	28	44
19	8	40616	88630	—	956	9.0	100	00	00	113	1455	3.6	100	24	12	3020	–3.6	100	24	48	5630	–14.6	94	24	59
20	4	57012	84632	—	959	13.0	50	00	00	136	1480	0.2	80	00	00	3000	–6.4	28	32	07	5585	–21.1	35	29	21
21	1	70020	81856	—	954	18.5	40	00	00	086	1465	7.5	58	22	16	3035	–2.6	53	23	27	5620	–20.1	34	26	21
22	7	65022	83940	87360	951	19.4	60	00	00	063	1450	10.2	63	06	07	3030	–1.1	68	19	05	5630	–18.1	66	19	18
23	6	70022	83833	86360	960	20.0	50	00	00	140	1520	8.0	96	00	00	3095	–2.2	100	22	06	5690	–18.3	90	20	05
24	5	70022	85630	—	961	13.5	57	00	00	152	1510	5.7	55	23	17	3055	–3.8	59	17	08	5650	–20.5	46	12	22
25	6	70022	86637	84360	958	15.0	48	21	08	130	1485	2.9	90	27	12	3025	–7.2	22	29	12	5580	–19.9	74	27	10
26	3	65020	83359	—	963	19.0	55	05	08	162	1540	9.5	53	08	12	3125	–1.4	53	21	15	5720	–18.4	53	20	22
27	6	56022	83657	86465	962	20.6	59	05	08	159	1555	14.9	49	00	00	3165	2.2	54	16	20	5790	–14.9	61	22	17
28	7	74022	87250	—	958	26.5	40	00	00	113	1530	19.4	23	07	16	3155	4.3	25	19	08	5785	–17.1	10	20	20
29	—	—	—	—	—	—	—	—	—	—	—	—	—	—	—	—	—	—	—	—	—	—	—	—	—
30	1	70012	81850	—	958	23.6	45	05	05	117	1520	15.4	44	06	03	3120	2.5	45	20	17	5745	–16.6	26	21	20
31	6	64022	86650	—	957	18.9	60	05	10	113	1495	8.5	72	24	11	3065	–3.6	62	21	14	5640	–21.2	52	19	27
Moyen					962	17.7	50	—	04	161	1532	7.4	59	—	09	3095	–3.7	53	—	14	5678	–19.9	52	—	24

niveaux standard

03.00 h

400 mb					300 mb					200 mb				150 mb				100 mb				Tropopause		
H	T	U	dd	ff	H	T	U	dd	ff	H	T	dd	ff	H	T	dd	ff	H	T	dd	ff	H	P	T
7080	–36.9	16	34	66	9000	–50.5	—	34	56	11620	–51.8	29	16	13490	–52.9	24	11	—	—	—	—	9720	269	–55.1
7100	–39.2	97	36	43	9000	–57.1	—	36	38	11525	–58.8	35	37	13340	–56.7	34	11	—	—	—	—	10370	241	–63.7
7210	–33.4	47	35	14	9160	–48.5	—	34	27	11780	–53.3	34	17	10630	–50.8	36	09	—	—	—	—	10150	258	–53.7
7210	–37.5	19	07	16	9140	–50.0	—	05	24	11730	–57.3	01	22	13560	–55.0	01	14	—	—	—	—	11330	213	–57.3
7320	–35.1	10	05	33	9260	–49.9	—	04	76	11820	–62.2	03	37	13610	–58.2	04	28	—	—	—	—	11550	209	–63.7
7365	–33.2	41	06	30	9320	–48.0	—	06	48	11880	–66.3	06	48	13630	–61.4	02	15	—	—	—	—	12090	193	–67.2
7395	–32.5	27	04	07	9350	–48.9	—	08	12	11900	–67.9	06	14	13670	–58.6	00	00	—	—	—	—	11900	200	–67.9
7380	–32.9	88	01	07	9340	–48.3	—	03	14	11910	–64.7	04	22	13690	–58.8	01	08	—	—	—	—	11950	199	–64.9
7360	–30.2	32	33	06	9345	–45.9	—	21	03	11940	–63.2	14	03	13720	–60.0	07	05	—	—	—	—	12350	187	–63.7
7320	–30.9	86	29	38	9290	–49.8	—	28	38	11810	–68.8	29	28	13560	–62.8	31	25	—	—	—	—	11500	211	–68.8
7265	–27.7	55	34	120	9270	–44.4	—	34	90	11860	–61.2	34	95	13670	–57.7	—	—	—	—	—	—	11450	214	–60.9
7275	–27.7	43	29	54	9300	–41.8	—	30	42	11910	–63.4	30	42	13670	–64.2	35	38	—	—	—	—	12250	189	–64.4
7200	–37.7	10	02	33	9120	–52.5	—	02	47	—	—	—	—	—	—	—	—	—	—	—	—	9580	279	–54.2
7300	–31.2	57	02	33	9270	–46.7	—	01	48	11860	–60.0	01	50	13670	–57.0	36	16	—	—	—	—	11180	223	–60.4
7270	–34.2	61	33	20	9220	–49.0	—	30	30	11820	–55.2	32	33	13650	–55.6	33	27	—	—	—	—	10650	240	–57.0
7365	–30.4	46	02	20	9350	–44.8	—	02	33	11960	–62.2	03	39	13750	–58.0	02	35	—	—	—	—	12280	190	–64.0
7360	–30.4	60	28	22	9350	–45.0	—	29	30	11950	–62.0	29	44	13730	–61.2	29	17	—	—	—	—	12300	189	–63.7
7300	–29.4	75	26	38	9310	–40.7	—	27	50	11950	–56.5	26	70	13770	–56.8	26	46	—	—	—	—	11520	214	–56.5
7240	–30.2	95	26	44	9200	–48.8	—	25	53	11770	–64.9	27	50	13540	–60.6	28	55	—	—	—	—	12000	192	–65.2
7160	–33.4	11	25	66	9105	–51.0	—	25	86	—	—	—	—	—	—	—	—	—	—	—	—	—	—	—
7280	–29.3	10	24	15	9255	–46.3	—	26	17	11880	–55.8	27	26	13720	–54.0	27	18	—	—	—	—	11070	227	–55.7
7270	–30.8	87	23	12	—	—	—	—	—	—	—	—	—	—	—	—	—	—	—	—	—	—	—	—
7260	–31.1	86	13	07	9240	–49.0	—	12	12	11865	–50.0	13	27	13735	–52.3	24	24	—	—	—	—	10370	252	–55.0
7320	–31.0	10	17	08	9300	–46.9	—	12	06	11920	–51.8	19	08	13800	–50.0	22	11	—	—	—	—	9900	271	–50.0
7220	–31.7	31	21	27	9200	–49.2	—	17	59	11815	–50.0	20	15	13690	–52.0	20	14	—	—	—	—	10570	242	–56.3
7305	–34.5	34	26	20	9240	–53.0	—	26	24	11880	–48.8	22	17	13770	–50.6	22	25	—	—	—	—	9760	277	–54.7
7330	–31.9	91	26	20	9290	–49.0	—	26	24	11870	–56.1	22	17	13710	–56.0	22	25	—	—	—	—	11080	227	–60.7
7415	–28.9	19	24	17	9410	–46.9	—	25	29	11970	–61.8	25	25	13740	–63.3	22	16	—	—	—	—	13190	164	–63.4
7380	–29.0	14	22	18	9370	–44.2	—	24	20	12000	–57.4	24	27	13830	–58.3	24	20	—	—	—	—	12470	186	–58.3
7395	–29.0	35	25	30	9390	–44.5	—	26	42	12000	–58.2	25	35	13815	–53.8	25	25	—	—	—	—	12640	181	–59.0
7305	–30.2	92	14	33	9290	–45.9	—	13	38	11920	–53.5	23	22	13780	–53.2	22	14	—	—	—	—	10780	239	–54.3
7289	–32.0	48	—	30	9256	–47.9	—	—	37	11861	–58.7	—	32	13676	–56.8	—	21	—	—	—	—	—	—	–

15.00 h

7070	–38.5	45	32	72	9000	–47.0	—	32	50	11690	–48.4	31	30	13570	–50.1	30	16	—	—	—	—	10030	257	–48.6
7185	–36.3	79	36	33	9120	–51.0	—	36	48	11710	–53.3	36	22	13580	–51.8	27	08	—	—	—	—	10240	252	–57.4
7160	–36.6	50	34	27	9100	–51.1	—	34	27	11700	–54.4	01	15	13555	–52.2	34	07	—	—	—	—	9850	267	–53.7
7210	–40.8	20	06	14	9100	–57.7	—	04	28	11580	–68.7	02	35	13310	–66.3	02	18	—	—	—	—	11580	200	–68.7
7350	–33.8	20	05	40	9300	–48.7	—	05	57	11860	–63.9	04	52	13640	–58.2	04	30	—	—	—	—	11830	201	–64.0
7360	–35.3	34	08	20	9300	–50.4	—	08	30	11850	–66.7	07	32	13600	–61.6	06	17	—	—	—	—	12490	180	–68.4
7370	–33.0	72	02	08	9330	–49.4	—	02	11	11890	–65.0	03	04	13640	–63.0	01	05	—	—	—	—	12730	174	–67.6
7415	–29.7	32	12	05	9400	–47.3	—	08	20	11970	–64.9	10	24	13730	–61.2	00	00	—	—	—	—	12230	192	–66.5
7435	–27.5	14	27	10	9450	–42.8	—	26	14	12090	–60.3	25	20	13860	–62.0	28	20	—	—	—	—	13050	171	–63.4
7280	–30.4	70	32	48	9270	–45.4	—	32	90	11890	–58.3	31	82	13700	–57.5	32	64	—	—	—	—	12090	194	–59.1
7290	–29.0	54	35	72	9290	–42.7	—	35	60	11940	–56.5	35	60	13760	–59.1	—	—	—	—	—	—	13200	164	–60.6
7215	–33.7	53	30	20	9180	–48.5	—	21	22	11810	–49.8	31	27	13690	–52.2	29	15	—	—	—	—	9930	267	–53.5
7265	–33.0	37	02	38	9240	–46.6	—	02	60	11860	–54.8	02	33	13710	–53.0	02	16	—	—	—	—	11430	214	–57.0
—	—	—	—	—	—	—	—	—	—	—	—	—	—	—	—	—	—	—	—	—	—	—	—	—
7340	–32.0	22	03	38	9300	–47.3	—	02	59	11890	–56.4	01	33	13730	–55.4	01	29	—	—	—	—	10880	235	–58.6
7360	–30.6	34	36	12	9330	–47.8	—	36	17	11900	–65.0	35	14	13640	–63.4	34	20	—	—	—	—	12570	179	–68.6
7325	–30.3	51	27	34	9320	–45.2	—	27	38	11920	–61.4	26	59	13700	–62.6	27	44	—	—	—	—	12620	179	–64.5
7280	–31.4	77	28	65	9265	–47.1	—	28	43	11840	–66.0	27	67	13600	–60.4	27	20	—	—	—	—	11940	197	–66.6
7280	–25.2	90	25	59	9305	–42.0	—	24	56	11970	–53.6	25	59	13820	–53.0	25	59	—	—	—	—	11970	200	–53.6
7190	–34.1	35	30	33	—	—	—	—	—	—	—	—	—	—	—	—	—	—	—	—	—	—	—	—
7240	–33.4	36	26	22	9120	–48.0	—	26	44	11810	–53.9	25	27	13655	–55.1	25	28	—	—	—	—	11200	220	–57.2
7260	–30.4	66	19	20	9240	–46.3	—	20	16	11870	–50.8	23	30	13760	–49.6	23	13	—	—	—	—	10570	245	–54.5
7320	–30.0	87	13	12	9290	–47.2	—	10	18	11920	–51.7	23	16	13800	–49.7	24	10	—	—	—	—	10300	257	–54.2
7260	–32.0	52	12	27	9230	–46.8	—	11	27	11900	–48.4	22	25	13800	–48.4	20	06	—	—	—	—	10280	258	–54.3
7180	–35.6	44	24	14	9120	–49.8	—	21	16	11710	–54.4	23	25	13570	–52.8	23	22	—	—	—	—	10570	242	–56.3
7345	–32.4	50	22	26	9310	–48.0	—	25	50	11900	–53.1	23	35	13750	–54.3	21	16	—	—	—	—	10120	257	–57.2
7445	–27.8	58	25	40	9440	–45.1	—	24	48	12040	–58.7	25	27	13850	–56.3	22	15	—	—	—	—	11150	225	–60.1
7420	–30.0	10	22	22	9410	–45.0	—	23	58	12000	–62.7	23	20	13770	–61.0	22	06	—	—	—	—	11420	221	–60.4
—	—	—	—	—	—	—	—	—	—	—	—	—	—	—	—	—	—	—	—	—	—	11820	206	–62.7
7380	–29.6	30	22	34	9370	–44.2	—	24	33	12000	–57.0	23	30	13810	–55.5	24	36	—	—	—	—	11470	217	–58.0
7240	–33.5	52	18	22	9200	–48.0	—	19	20	11890	–46.4	22	09	13780	–51.1	25	11	—	—	—	—	9290	296	–48.4
7292	–32.3	47	—	31	9262	–47.4	—	—	38	11871	–57.3	—	33	13692	–56.3	—	20	—	—	—	—	—	—	—

Observations aux

Juin 1956

Jour	Données synoptiques en surface (Code AERO)				Surface 491 m					1000 mb	850 mb					700 mb					500 mb				
	N	VVwwW	NsChshs	NsChshs	P	T	U	dd	ff	H	H	T	U	dd	ff	H	T	U	dd	ff	H	T	U	dd	ff
1	7	74022	87640	—	958	11.4	93	00	00	136	1485	5.7	83	30	03	3045	–5.7	97	08	07	5615	–21.0	50	04	33
2	8	60020	88640	—	966	12.0	85	05	03	200	1550	5.1	89	04	03	3115	–3.2	92	04	03	5735	–14.7	18	04	05
3	8	50022	—	—	965	11.2	90	00	00	196	1535	3.0	90	05	03	3080	–4.5	70	31	06	5675	–18.2	31	34	16
4	2	60021	—	—	960	10.4	90	00	00	151	1540	9.6	87	23	22	3130	0.2	50	23	16	5730	–18.1	55	27	22
5	7	64021	—	—	956	18.9	56	00	00	104	1495	13.8	50	23	28	3090	0.4	70	24	22	5720	–14.3	40	25	32
6	8	74139	—	—	958	16.5	80	00	00	123	1505	10.7	74	24	12	3095	–0.7	84	22	23	5700	–17.4	50	23	28
7	8	74299	88530	—	960	15.0	100	00	00	145	1505	8.1	100	23	11	3080	–1.7	100	21	20	5690	–17.4	100	22	28
8	8	74818	88528	—	962	6.5	90	10	23	166	1485	–0.6	90	24	20	3015	–8.9	80	26	20	5575	–19.7	93	21	77
9	8	70022	88530	—	961	7.7	90	23	07	160	1485	–1.2	92	24	10	3000	–11.8	94	29	22	5505	–28.2	86	31	20
10	2	70021	82630	—	962	5.4	94	00	00	171	1505	0.2	97	17	04	3000	–8.0	82	17	02	5535	–26.4	80	10	09
11	8	70022	88630	—	961	11.0	95	00	00	165	1510	4.9	100	24	04	3060	–5.5	100	21	28	5630	–20.9	90	24	37
12	8	70022	88630	—	959	12.6	82	00	00	131	1490	7.1	99	25	11	3055	–4.4	100	23	11	5630	–20.0	10	26	13
13	8	70026	88630	—	965	13.1	100	00	00	192	1555	7.1	92	33	05	3125	–2.5	100	26	11	5725	–15.4	16	26	10
14	8	70022	88640	—	966	14.0	80	00	00	196	1550	7.2	92	00	00	3120	–2.3	87	24	07	5710	–18.6	65	23	26
15	8	40602	88620	—	964	11.6	95	00	00	183	1530	4.1	100	28	03	3070	–4.6	100	23	14	5640	–20.2	85	24	28
16	3	70021	83634	—	967	5.7	95	00	00	213	1545	2.9	57	03	04	3090	–5.1	80	29	08	5655	–18.0	10	30	49
17	8	50606	88556	—	960	11.4	75	00	00	149	1495	5.5	80	23	25	3060	–2.0	100	24	20	5660	–16.5	50	27	28
18	8	70606	88549	—	958	10.6	100	24	05	137	1480	2.5	97	25	12	3020	–6.9	96	28	12	5570	–22.3	71	19	02
19	8	65022	88649	—	964	11.0	100	00	00	189	1535	3.5	100	03	06	3075	–6.5	98	02	10	5660	–18.8	10	01	30
20	0	55020	—	—	964	8.8	100	00	00	186	1540	7.9	85	00	00	3110	0.1	79	34	15	5735	–14.3	39	32	18
21	6	65022	86657	—	963	9.4	100	00	00	181	1515	2.4	92	36	10	3055	–5.3	60	33	18	5610	–20.7	14	33	42
22	6	65022	86640	—	965	7.4	100	00	00	197	1510	2.4	99	01	07	3040	–9.8	100	36	23	5590	–19.2	40	35	48
23	4	60022	84657	—	966	6.6	100	02	02	205	1520	0.6	100	06	30	3060	–6.1	60	06	22	5630	–20.4	23	06	30
24	0	50010	—	—	963	7.0	100	00	00	183	1530	4.6	95	04	15	3090	–4.8	91	36	07	5680	–18.0	15	32	22
25	–	—	—	—	—	—	—	—	—	—	—	—	—	—	—	—	—	—	—	—	—	—	—	—	—
26	2	70021	82630	—	962	8.0	100	00	00	169	1510	4.8	96	00	00	3060	–4.0	100	36	16	5650	–17.0	20	32	14
27	0	74010	—	—	964	8.0	100	00	00	186	1545	6.9	88	00	00	3100	–1.2	100	30	05	5720	–17.5	91	28	22
28	–	—	—	—	—	—	—	—	—	—	—	—	—	—	—	—	—	—	—	—	—	—	—	—	—
29	3	74021	83657	—	959	12.7	75	23	07	143	1500	8.2	70	25	17	3060	–2.4	72	27	33	5650	–17.8	75	30	38
30	3	74021	83062	—	961	9.0	100	00	00	160	1515	8.8	80	23	11	3090	–0.2	10	26	11	5710	–14.3	77	29	22
Moyen					962	10.5	92	—	02	168	1517	5.2	90	—	10	3071	–4.2	84	—	15	5655	–18.8	50	—	27

Juin 1956

1	6	64032	86629	—	961	18.6	46	00	00	148	1520	7.2	62	35	02	3095	–4.0	68	03	14	5660	–20.1	46	03	44
2	7	57032	84635	83850	966	16.5	55	05	10	196	1555	5.7	64	05	06	3105	–1.4	61	05	07	5730	–17.7	29	03	11
3	3	60020	83650	—	957	21.4	40	00	00	113	1495	10.0	43	28	06	3075	1.4	30	22	11	5710	–15.3	33	27	14
4	–	—	—	—	—	—	—	—	—	—	—	—	—	—	—	—	—	—	—	—	—	—	—	—	—
5	4	70031	84659	—	957	24.0	47	26	05	109	1510	12.7	62	24	08	3105	1.3	70	23	20	5730	–15.7	47	24	24
6	5	70012	85360	—	958	20.8	50	24	05	126	1520	13.2	49	23	20	3120	1.0	57	23	34	5740	–14.7	52	24	23
7	8	40602	88620	—	954	18.6	90	00	00	087	1470	10.6	83	24	20	3060	0.0	100	20	28	5680	–15.0	94	22	48
8	6	70022	86620	—	958	12.1	70	23	05	139	1480	1.5	74	27	14	3000	–9.6	85	30	11	5520	–28.2	60	28	12
9	8	70602	88620	—	961	10.2	75	00	00	162	1500	2.6	73	25	02	3040	–8.3	90	24	03	5580	–24.4	24	—	—
10	5	74021	85940	—	960	16.2	55	00	00	149	1505	5.1	65	23	08	3065	–6.3	58	22	18	5590	–24.4	48	23	32
11	5	74032	82850	83657	956	20.3	40	00	00	104	1485	10.0	79	19	04	3065	–1.5	99	19	05	5660	–18.9	100	23	22
12	8	74022	88350	—	963	15.8	60	23	07	172	1535	8.8	80	24	16	3110	–0.8	100	29	11	5735	–15.0	52	29	11
13	0	60021	83840	85360	964	19.2	50	31	08	176	1570	10.0	77	22	06	3160	–0.1	67	23	13	5770	–17.1	24	24	17
14	8	60022	82627	88359	965	15.8	65	00	00	190	1545	6.0	89	05	04	3110	–3.3	97	24	22	5705	–18.1	33	23	28
15	7	65022	87649	—	966	12.6	60	00	00	198	1535	0.4	78	27	08	3050	–11.3	92	25	12	5555	–27.3	30	28	50
16	8	68022	81649	88462	962	16.4	45	00	00	161	1520	5.9	74	24	12	3085	–2.3	26	25	22	5680	–15.9	100	28	30
17	7	65606	82630	87360	957	15.2	82	24	05	124	1485	7.4	95	24	22	3055	–2.1	100	24	26	5660	–16.7	97	24	25
18	8	60022	88535	—	962	12.4	80	00	00	165	1515	4.1	92	31	05	3070	–4.6	96	36	05	5650	–17.7	54	36	06
19	3	74020	83850	—	964	19.6	53	00	00	176	1560	9.1	60	06	03	3130	0.2	28	03	14	5750	–15.6	17	35	18
20	8	70808	88734	—	962	17.5	60	27	10	158	1530	7.4	72	30	06	3100	–2.7	80	29	14	5695	–16.0	60	30	44
21	4	74021	83856	81660	964	16.3	50	00	00	181	1535	4.4	54	35	10	3075	–8.3	55	36	07	5645	–18.6	45	35	40
22	7	57032	82856	87662	963	13.4	50	35	20	172	1525	4.8	59	36	13	3080	–6.0	77	01	07	5620	–20.5	65	35	34
23	7	70022	87630	—	965	15.8	50	04	12	190	1550	5.4	71	05	15	3100	–2.4	82	07	22	5715	–17.0	44	01	12
24	7	74022	87630	—	962	13.2	65	08	07	164	1520	4.7	70	33	04	3070	–5.3	96	24	06	5665	–14.8	45	27	22
25	6	57032	82850	86361	959	16.4	55	36	06	140	1500	5.2	69	35	02	3060	–5.4	83	26	04	5650	–16.7	41	34	34
26	–	—	—	—	—	—	—	—	—	—	—	—	—	—	—	—	—	—	—	—	—	—	—	—	—
27	5	70031	85850	—	963	22.4	54	00	00	166	1550	11.0	59	28	05	3130	–2.4	84	29	11	5720	–18.9	50	28	22
28	4	70031	84850	—	959	21.1	40	28	08	134	1520	10.4	65	26	03	3100	–1.2	92	26	16	5700	–18.6	76	28	24
29	4	70011	82850	84076	960	21.6	42	29	08	138	1515	8.0	64	26	10	3080	–1.3	45	29	17	5690	–16.4	72	30	25
30	1	70020	81850	—	958	23.6	45	00	00	112	1510	13.2	52	24	06	3100	1.7	18	23	16	5730	–15.2	51	25	16
Moyen					961	17.4	56	—	04	152	1520	7.3	69	—	09	3085	–3.0	73	—	14	5677	–18.2	53	—	25

niveaux standard

03.00 h

400 mb					300 mb					200 mb				150 mb				100 mb				Tropopause		
H	T	U	dd	ff	H	T	U	dd	ff	H	T	dd	ff	H	T	dd	ff	H	T	dd	ff	H	P	T
7225	–33.7	21	03	30	9170	–50.3	—	08	22	11800	–49.7	29	06	13670	–53.7	31	06	16260	–56.4	26	07	10220	255	–55.7
7380	–27.5	17	04	05	9375	–46.0	—	00	00	12000	–56.1	03	05	13840	–55.0	36	08	16430	–54.3	00	00	11000	234	–55.1
7310	–30.0	30	35	15	9280	–47.5	—	34	20	11840	–64.2	34	11	13640	–59.0	27	06	16190	–56.7	27	06	11410	215	–64.0
7360	–30.6	83	27	28	9340	–47.0	—	30	33	11910	–60.0	31	25	13710	–58.0	30	22	16270	–58.0	26	16	11130	227	–62.0
7370	–26.0	11	23	17	9400	–40.2	—	24	22	12050	–59.2	25	17	13830	–60.9	26	17	16390	–57.0	24	22	12410	189	–61.9
7330	–28.8	62	23	27	9340	–44.5	—	23	31	11950	–60.0	25	49	13750	–58.5	25	39	16300	–57.1	24	18	12000	198	–60.5
7330	–28.1	76	23	22	9320	–44.6	—	22	22	11950	–57.8	22	32	13750	–58.9	22	36	—	—	—	—	11000	232	–57.0
7195	–30.9	58	20	72	9170	–46.3	—	19	60	11840	–48.3	20	55	13750	–49.4	21	60	16400	–51.0	22	60	11000	227	–49.4
7060	–43.4	—	32	20	8960	–47.9	—	27	03	11650	–48.0	24	05	13530	–51.0	23	05	16170	–52.5	28	04	7650	366	–49.0
7100	–37.5	56	10	12	9040	–43.6	—	10	16	11720	–46.9	13	15	13620	–49.1	13	22	—	—	—	—	9000	302	–43.5
7220	–32.9	58	24	32	9200	–45.0	—	23	37	11830	–53.2	23	39	13700	–48.0	06	05	16320	–53.5	18	05	10550	244	–54.5
7245	–31.6	10	26	16	9200	–47.2	—	34	33	11870	–47.6	25	22	13750	–51.4	23	15	16370	–54.2	23	16	9600	283	–48.8
7370	–28.0	10	26	16	9360	–43.1	—	26	17	12000	–58.2	25	17	13820	–53.5	27	13	16410	–55.2	22	10	12000	200	–58.2
7340	–30.0	70	23	17	9310	–46.3	—	24	40	—	—	—	—	—	—	—	—	—	—	—	—	—	—	—
7255	–32.6	42	23	33	9210	–47.2	—	22	49	11860	–47.3	26	26	—	—	—	—	—	—	—	—	9580	284	–49.2
7280	–29.1	37	29	50	9270	–43.4	—	32	32	11910	–53.6	31	37	—	—	—	—	—	—		—	11270	221	–54.2
7290	–28.5	79	27	40	9280	–43.5	—	28	45	11900	–51.9	27	44	13750	–54.7	36	127	—	—	—	—	10770	239	–56.9
7170	–34.6	38	23	06	9100	–51.0	—	21	22	11720	–49.7	32	14	13580	–52.3	33	18	16180	–55.5	33	11	9720	273	–56.4
7280	–31.3	15	01	30	9240	–48.2	—	01	55	11820	–58.2	36	44	13630	–57.5	36	16	16170	–58.4	35	15	10780	236	–58.3
7375	–29.2	34	33	30	9360	–44.5	—	34	30	11950	–61.6	32	35	13750	–57.3	33	22	16300	–57.2	34	12	11470	216	–62.2
7225	–30.4	15	33	53	9200	–42.9	—	35	115	11870	–50.1	33	50	—	—	—	—	—	—	—	—	11340	217	–51.0
7220	–26.0	25	35	70	9250	–40.4	—	34	100	11900	–54.9	35	52	13750	–54.1	35	46	16335	–56.7	34	32	11740	205	–55.5
7240	–30.3	54	07	58	9220	–46.1	—	07	68	11880	–47.0	04	41	13790	–49.6	02	15	16420	–53.5	01	12	9870	272	–50.7
7305	–30.4	18	30	28	9290	–44.1	—	33	38	11910	–55.3	31	22	13760	–53.4	32	18	16350	–55.4	32	16	11070	228	–56.3
—	—	—	—	—	—	—	—	—	—	—	—	—	—	—	—	—	—	—	—	—	—	—	—	—
7290	–29.0	22	31	15	9280	–44.2	—	30	16	11920	–50.6	30	22	13800	–50.4	27	18	16420	–53.0	28	15	10800	238	–53.7
7350	–28.2	81	28	23	9360	–44.1	—	28	28	11970	–51.5	28	33	13840	–51.8	28	33	16440	–53.7	28	12	11370	220	–56.7
—	—	—	—	—	—	—	—	—	—	—	—	—	—	—	—	—	—	—	—	—	—	—	—	—
7270	–29.3	59	32	38	9260	–45.3	—	32	55	11880	–50.5	30	11	13730	–52.9	30	33	16330	–54.7	30	33	11420	215	–56.1
7370	–24.2	66	28	29	9410	–39.0	—	29	35	12050	–59.3	31	28	13840	–58.0	30	28	16400	–56.3	29	22	12270	193	–60.5
7277	–30.4	42	—	30	9257	–45.1	—	—	37	11887	–53.7	—	28	13733	–54.1	—	26	16326	–55.3	—	16	—	—	—

15.00 h

7290	–32.4	52	05	17	9250	–48.1	—	03	19	11890	–51.4	01	22	13750	–53.6	30	14	16350	–55.4	34	11	9800	276	–51.7
7360	–30.8	20	03	16	9340	–46.3	—	03	20	11940	–60.0	02	28	13740	–59.1	02	33	16310	–55.8	01	12	11500	215	–59.3
7355	–27.8	38	27	29	9360	–43.5	—	29	26	11970	–60.1	30	16	13790	–55.5	28	16	16380	–55.0	28	14	11670	210	–60.0
—	—	—	—	—	—	—	—	—	—	—	—	—	—	—	—	—	—	—	—	—	—	—	—	—
7370	–27.3	57	23	29	9380	–43.2	—	22	30	12000	–58.9	23	32	13810	–58.7	25	27	16390	–54.6	23	27	12000	200	–58.9
7400	–26.5	36	23	27	9420	–41.1	—	23	45	12050	–57.5	23	49	13890	–55.0	23	28	16480	–54.1	23	13	11450	220	–57.6
7330	–26.1	76	22	55	9360	–42.3	—	22	24	12000	–55.6	23	65	13850	–50.3	24	27	16510	–49.0	22	15	11770	208	–56.0
7080	–28.9	55	17	23	9000	–47.8	—	16	50	11710	–46.0	21	20	13600	–49.5	26	17	16245	–53.9	19	03	8950	303	–47.8
—	—	—	—	—	—	—	—	—	—	—	—	—	—	—	—	—	—	—	—	—	—	—	—	—
7180	–34.1	30	24	35	9160	–40.4	—	12	11	11890	–45.0	13	12	13800	–46.2	18	09	16460	–50.2	10	10	10180	258	–43.2
7275	–31.0	80	22	27	9250	–47.8	—	21	50	11900	–49.7	23	22	13770	–51.5	22	20	16380	–53.6	16	06	9380	294	–49.1
7380	–27.0	53	28	27	9380	–43.3	—	28	16	12000	–58.2	28	27	13830	–51.9	26	27	16440	–52.3	25	16	11770	207	–60.3
7390	–29.2	41	24	22	9380	–43.8	—	25	28	12000	–58.2	25	32	13820	–54.4	25	27	16410	–55.4	25	17	11720	209	–58.0
7325	–29.2	41	23	33	9330	–44.8	—	23	41	11970	–50.0	23	33	13860	–49.0	24	50	16020	–58.6	26	18	10070	268	–50.6
7140	–35.0	29	27	79	9080	–52.3	—	27	91	11660	–54.8	26	50	13490	–58.5	26	44	16510	–51.2	23	30	9680	273	–56.6
7325	–27.2	100	28	38	9320	–43.9	—	26	49	11920	–57.9	27	43	13750	–54.1	28	24	16350	–54.4	26	14	11000	232	–57.9
7295	–29.3	64	24	25	9290	–41.1	—	22	25	11950	–46.1	24	22	13860	–46.8	27	18	16530	–48.5	30	18	10410	253	–50.7
7270	–32.0	41	36	06	9230	–47.2	—	36	20	11870	–49.6	36	16	13730	–51.8	35	11	16380	–52.4	35	16	9970	268	–51.0
7390	–29.5	10	36	24	9370	–45.1	—	36	38	11950	–61.3	36	48	13760	–58.0	36	17	16270	–59.3	34	06	11720	208	–61.6
7345	–27.0	55	31	39	9350	–43.0	—	32	71	11950	–61.8	33	44	13730	–59.1	31	46	16260	–58.3	31	50	11840	204	–61.8
7300	–24.1	56	36	98	9330	–39.6	—	35	82	12000	–51.0	34	97	13900	–50.0	—	—	16540	–52.4	—	—	11130	229	–50.9
7240	–32.0	52	34	50	9240	–38.0	—	33	72	12000	–44.0	34	41	13920	–48.0	34	27	16580	–51.5	01	20	13780	153	–48.0
7360	–27.8	48	02	27	9360	–43.0	—	02	27	12000	–53.5	02	27	13860	–50.1	01	27	16500	–52.3	02	11	11190	227	–54.9
7340	–26.3	48	27	52	9340	–39.5	—	27	71	12050	–47.4	29	22	13940	–48.0	28	04	16600	–50.0	30	11	10460	254	–45.2
7280	–30.2	39	36	24	9255	–46.8	—	31	25	11885	–52.7	31	25	13740	–54.2	31	16	16310	–57.6	22	19	10550	246	–54.4
—	—	—	—	—	—	—	—	—	—	—	—	—	—	—	—	—	—	—	—	—	—	—	—	—
7340	–29.2	41	28	24	9320	–41.1	—	28	28	11950	–57.1	27	49	13790	–54.3	28	44	16350	–59.2	27	21	11770	206	–57.5
7320	–29.5	36	27	22	9310	–43.0	—	29	25	11930	–54.1	27	33	13890	–52.0	28	46	—	—	—	—	11330	220	–56.5
7340	–25.9	72	31	44	9320	–42.0	—	22	23	12000	–61.6	32	35	13780	–57.2	31	30	16350	–55.8	29	17	12000	200	–61.6
7280	–25.6	38	23	17	9360	–41.6	—	32	27	12000	–59.9	22	23	13890	–60.0	26	21	16330	–60.0	26	21	12700	179	–62.3
7310	29.3	48	—	34	9302	–43.9	—		39	11942	–54.2	—	35	13792	–53.2	—	26	16394	–54.3	—	16	—	—	—

Observations aux

Juillet 1956

Jour	Données synoptiques en surface (Code AERO)				Surface 491 m					1000 mb	850 mb					700 mb					500 mb				
	N	VVwwW	NsChshs	NsChshs	P	T	U	dd	ff	H	H	T	U	dd	ff	H	T	U	dd	ff	H	T	U	dd	ff
1	2	70030	82361	82071	955	11.0	85	00	00	110	1480	14.1	61	21	17	3080	1.7	72	21	23	5700	–16.0	56	25	15
2	8	70132	88658	—	952	15.0	100	00	00	072	1445	10.2	100	20	06	3030	0.0	100	20	20	5640	–15.8	60	21	20
3	8	70606	88724	—	961	11.4	100	00	00	163	1505	4.0	100	30	12	3050	–6.5	100	31	13	5600	–20.2	20	33	09
4	0	70020	—	—	967	9.0	100	00	00	216	1570	6.8	96	00	00	3140	–0.4	50	35	07	5760	–14.8	36	30	23
5	1	70020	81367	—	967	11.5	95	00	00	213	1580	11.6	83	25	06	3175	1.6	75	28	15	5810	–12.7	80	30	28
6	7	70022	87361	—	964	20.6	58	20	10	178	1585	14.0	59	25	18	3195	3.2	79	25	37	—	—	—	—	—
7	0	70020	—	—	966	11.5	100	00	00	217	1570	11.9	67	30	03	3180	6.0	17	30	08	5850	–11.8	38	30	17
8	0	70020	—	—	965	13.2	92	00	00	187	1575	17.1	56	08	07	3195	7.0	41	32	02	5855	–10.4	30	26	14
9	6	70022	85358	84070	962	15.0	100	00	00	167	1555	16.0	64	26	03	3165	3.1	91	19	05	5795	–14.8	92	22	10
10	6	70022	86359	—	960	16.4	97	00	00	143	1520	14.1	77	00	00	3120	2.0	95	29	15	5760	–12.4	69	27	12
11	8	70022	88630	—	957	15.0	95	00	00	122	1490	8.7	95	33	05	3065	–1.1	94	29	05	5675	–16.1	80	20	07
12	7	65022	87627	—	960	11.2	95	00	00	155	1500	6.7	100	07	12	3070	1.9	90	07	17	5715	–13.2	72	24	10
13	3	40100	83657	—	958	10.0	100	00	00	127	1480	13.4	88	23	15	3090	4.0	32	23	30	5740	–10.0	10	28	16
14	8	35979	88927	—	952	15.1	100	00	00	072	1435	11.5	77	00	00	3030	1.9	98	19	20	5660	–13.4	97	19	30
15	7	71022	87634	—	955	13.5	100	00	00	101	1455	8.8	100	24	11	3030	–3.8	100	24	16	5610	–19.0	28	24	20
16	8	75606	88620	—	956	13.0	90	00	00	110	1475	7.1	79	24	15	3040	–4.0	100	24	20	5615	–19.3	69	26	13
17	8	74606	88535	—	959	13.5	100	00	00	137	1480	5.3	98	25	17	3040	–4.9	100	27	23	5615	–20.0	80	29	28
18	0	75020	—	—	961	10.4	100	00	00	160	1515	11.0	79	24	10	3110	1.9	33	26	11	5740	–14.1	41	26	28
19	8	71404	88710	—	957	15.2	100	00	00	120	1495	11.2	82	28	03	3090	0.9	100	23	30	5705	–14.4	84	23	33
20	8	71918	88536	—	953	13.0	90	00	00	083	1440	5.9	100	24	17	3000	–4.3	100	23	33	5575	–21.0	63	23	33
21	8	56818	88534	—	956	12.4	100	00	00	117	1470	6.9	95	23	10	3035	–3.7	100	24	16	5620	–19.0	43	25	16
22	1	40411	81171	—	960	9.0	100	00	00	155	1510	8.8	92	04	12	3080	0.6	10	07	05	5700	–13.9	10	27	06
23	0	70020	—	—	962	11.5	95	00	00	171	1530	10.8	89	04	03	3130	0.3	91	30	09	5750	–13.0	14	34	25
24	0	70020	—	—	966	10.0	100	00	00	206	1570	9.1	98	29	03	3155	4.2	79	32	20	5830	–9.3	44	32	26
25	5	70021	85656	—	968	15.0	90	00	00	219	1585	9.6	84	35	07	3180	3.5	47	35	11	5820	–12.0	32	34	27
26	0	70020	—	—	969	10.8	90	00	00	227	1600	14.6	40	05	07	3210	7.0	10	32	07	5890	–10.0	10	35	14
27	1	70020	81656	—	961	12.4	95	00	00	164	1540	17.0	45	24	05	3170	5.0	60	24	20	5850	–10.8	10	24	17
28	0	74000	—	—	955	14.0	95	00	00	101	1490	15.5	58	24	15	3100	2.0	85	29	11	5720	–15.8	10	29	32
29	8	53020	88649	—	952	16.9	100	00	00	078	1460	13.1	100	23	25	3065	3.8	74	24	35	5720	–11.7	45	26	42
30	3	74010	83649	—	960	14.0	75	18	09	142	1510	9.5	80	24	20	3090	2.3	27	24	28	5720	–14.8	10	25	28
31	2	74020	82656	—	966	10.0	95	00	00	207	1555	6.5	89	27	06	3130	0.5	47	26	27	5735	–17.6	20	26	30
Moyen					960	13.0	94	—	—	150	1541	10.7	82	—	—	3105	1.2	71	—	—	5726	–14.6	45	—	—

Juillet 1956

1	5	70012	82630	85361	959	22.4	50	22	09	088	1480	12.0	60	22	22	3075	–0.2	75	20	33	5960	–15.2	73	21	23
2	8	71606	81624	88360	955	12.7	95	21	09	098	1455	5.3	100	25	22	3015	–2.3	74	25	30	5600	–17.5	100	15	23
3	7	70022	83840	85365	965	18.4	57	00	00	194	1560	7.7	93	00	00	3125	–3.4	100	28	10	5750	–13.7	27	29	32
4	5	70032	82850	85070	967	22.4	56	00	00	204	1595	12.6	85	26	08	3190	3.2	42	27	17	5845	–11.2	26	28	27
5	3	70020	81849	83070	965	24.8	50	00	00	180	1585	14.4	53	24	07	3190	3.6	50	25	16	5855	–9.4	41	28	25
6	2	74030	82850	—	966	23.5	46	28	08	188	1590	13.3	95	24	17	3195	5.0	29	28	20	5870	–10.0	73	31	37
7	0	70020	—	—	965	25.2	50	00	00	182	1595	16.9	44	04	10	3220	6.9	50	00	00	5885	–10.1	20	26	17
8	6	65032	86460	—	962	26.8	60	06	08	154	1570	18.0	37	06	08	3190	3.6	60	11	07	5810	–15.8	06	28	10
9	5	70031	85658	83850	959	27.1	50	00	00	125	1535	17.1	50	30	07	3150	4.6	53	26	11	5805	–11.6	46	25	06
10	8	60979	89440	84656	956	23.3	50	30	14	096	1495	14.2	70	35	13	3105	3.0	76	05	12	5755	–10.5	83	20	20
11	8	59926	87750	88658	961	13.0	88	00	00	154	1515	5.6	100	01	08	3075	–2.2	100	01	15	5695	–15.8	92	04	10
12	6	56012	86624	—	958	17.6	65	00	00	125	1500	7.9	82	22	11	3095	4.4	51	23	22	5745	–10.3	10	21	25
13	6	74032	82850	84065	953	24.0	60	00	00	069	—	—	—	—	—	—	—	—	—	—	—	—	—	—	—
14	8	60022	88540	—	954	17.4	75	23	13	093	1465	8.8	84	27	11	3040	–1.1	100	25	18	5650	–16.0	15	24	22
15	5	74022	82850	82657	954	20.6	50	23	10	086	1480	10.1	49	23	13	3050	–1.6	81	23	24	5640	–19.1	83	23	23
16	7	70022	87630	—	957	18.0	56	00	00	111	1460	9.3	78	23	16	3050	–2.7	86	23	26	5620	–19.3	88	24	27
17	5	70012	85640	84177	961	20.9	50	00	00	146	1515	8.7	64	24	06	3100	0.0	47	26	15	5725	–14.5	10	29	18
18	2	70030	82630	82361	958	23.2	77	00	00	113	1505	13.5	33	00	00	3110	0.4	82	23	38	5710	–16.3	28	25	37
19	8	40616	82627	—	954	14.4	85	22	09	097	1460	7.5	73	24	18	3025	–2.9	100	26	22	5635	–15.6	92	19	33
20	7	70032	87658	—	953	17.0	65	24	07	086	1450	6.1	77	24	25	3000	–4.7	100	24	32	5570	–20.8	69	26	34
21	7	70022	87658	—	959	17.0	55	00	00	133	1500	6.9	79	00	00	3065	–2.9	96	28	14	5640	–22.3	68	28	14
22	2	70020	82850	—	960	21.0	47	04	09	142	1530	10.9	69	04	07	3120	–0.1	42	04	04	5730	–15.3	23	36	06
23	4	71020	83650	81838	963	22.1	45	00	00	200	1560	10.5	61	30	05	3140	0.9	40	28	08	5785	–12.2	43	33	30
24	1	65020	81645	—	967	23.8	40	00	00	198	1590	12.6	63	32	10	3190	2.2	64	33	16	5840	–11.5	10	32	20
25	1	74020	81849	—	969	23.4	45	05	06	217	1610	12.6	28	05	12	3210	5.1	46	04	14	5875	–10.7	23	32	20
26	0	65020	—	—	965	25.2	40	00	00	180	1590	17.2	20	24	03	3215	6.9	10	26	03	5880	–11.6	10	10	03
27	4	70031	82958	82361	956	28.0	30	23	10	094	1500	19.1	24	24	22	3120	3.9	42	25	15	5750	–14.9	22	26	25
28	8	65606	86658	88560	953	19.9	75	00	00	077	1465	12.3	99	23	13	3065	1.4	99	24	36	5710	–13.2	100	26	38
29	7	55022	85949	87360	953	24.0	55	24	08	065	1480	15.5	75	23	18	3090	4.8	91	21	35	5750	–11.2	82	23	56
30	6	74022	86439	—	963	20.0	57	00	00	160	1520	7.0	76	25	10	3090	–0.6	28	24	10	5700	–11.5	10	24	15
31	3	74020	83847	—	966	22.1	44	00	00	193	1570	11.6	68	26	05	3170	–0.8	43	26	15	5800	–15.1	10	28	34
Moyen					960	21.3	57	—	—	137	1524	11.5	66	—	—	3116	1.3	65	—	—	5753	–14.7	46	—	—

niveaux standard

03.00 h

400 mb					300 mb					200 mb				150 mb				100 mb				Tropopause		
H	T	U	dd	ff	H	T	U	dd	ff	H	T	dd	ff	H	T	dd	ff	H	T	dd	ff	H	P	T
7350	-27.2	85	23	08	9355	-42.4	—	24	20	—	—	—	—	—	—	—	—	—	—	—	—	10830	240	-51.0
7280	-27.6	58	21	20	9290	-41.6	—	20	22	11940	-54.8	20	33	13820	-51.5	23	27	16450	-51.4	21	27	11210	222	-55.1
7215	-31.1	10	35	02	9185	-47.7	—	16	04	—	—	—	—	—	—	—	—	—	—	—	—	—	—	-
7420	-26.3	47	30	46	9430	-41.9	—	30	33	12060	-56.2	30	44	13910	-53.1	29	49	16500	-54.1	29	59	11450	220	-56.9
7480	-24.0	76	30	32	9520	-40.3	—	31	47	12160	-57.5	31	49	14000	-59.3	31	39	16510	-58.3	31	27	11610	218	-56.3
—	—	—	—	—	—	—	—	—	—	—	—	—	—	—	—	—	—	—	—	—	—	-	—	—
7520	-24.6	15	29	16	9550	-39.1	10	27	33	12220	-56.3	28	44	14000	-61.9	28	39	16520	-61.8	—	—	12000	207	-55.1
7530	-23.7	17	25	22	9560	-40.9	—	24	26	12200	-55.7	26	22	14000	-57.7	27	22	16530	-61.4	30	24	10490	261	-49.5
7450	-26.6	92	21	17	9460	-40.1	—	27	20	12120	-53.6	26	12	13950	-56.5	24	10	—	—	—	—	10650	251	-48.6
7430	-23.0	90	27	12	9460	-39.2	82	20	14	12130	-52.0	22	35	14000	-55.1	24	27	16515	-60.6	22	15	11750	212	-54.9
7310	-27.3	75	17	20	9320	-42.9	—	15	35	11975	-50.9	20	22	13860	-50.5	21	22	16460	-55.6	23	16	10170	264	-49.5
7380	-24.8	74	20	05	9390	-41.4	—	19	10	12035	-55.8	32	46	13880	-55.0	31	17	16445	-58.1	26	10	10630	249	-50.7
7415	-22.8	27	26	23	9460	-39.5	42	26	30	12120	-53.3	28	40	13960	-53.1	27	30	—	—	—	—	11130	233	-51.7
7310	-24.9	86	21	25	9330	-41.1	—	19	27	12000	-53.6	21	60	13850	-52.7	22	28	16440	-55.4	20	25	10800	241	-50.7
7220	-32.5	33	24	30	9180	-47.9	—	24	44	11850	-45.8	24	50	13730	-54.5	24	34	16290	-56.0	23	26	9590	282	-47.9
7230	-32.3	54	25	22	9200	-47.0	—	25	22	11870	-44.0	24	32	13800	-44.7	24	50	16470	-52.7	25	20	10670	297	-53.0
7225	-33.0	51	30	37	9180	-48.3	—	30	55	11840	-48.4	28	44	13710	-52.8	27	44	16310	-55.4	27	08	10060	262	-51.0
7400	-24.4	43	26	39	9430	-38.8	78	26	40	12110	-54.0	25	66	13960	-54.2	25	55	16550	-56.8	25	18	16550	100	-56.8
7360	-27.2	88	22	16	9360	-43.2	—	24	38	11970	-58.5	25	44	13790	-54.4	25	33	16400	-55.0	25	38	11840	209	-53.8
7175	-33.0	30	25	60	9140	-44.0	—	24	66	11840	-47.0	26	44	13740	-47.9	24	33	16370	-54.2	24	20	11260	224	-59.0
7240	-28.5	25	25	16	9230	-44.9	—	25	50	11900	-48.7	25	50	13780	-50.9	26	25	16420	-52.0	25	38	9670	277	-46.0
7365	-25.4	10	25	07	9370	-44.1	—	25	16	12000	-51.2	25	38	13860	-53.8	25	33	16460	-55.0	27	22	9230	300	-44.9
7420	-25.1	24	34	22	9445	-39.0	34	01	54	12150	-48.0	35	30	14050	-48.0	28	22	16700	-49.6	29	16	10590	249	-55.1
7520	-20.0	45	31	33	9600	-35.9	52	31	24	12280	-54.2	32	48	14150	-50.6	33	37	16780	-52.7	32	32	11440	223	-48.0
7500	-23.4	32	31	30	9520	-41.8	—	34	20	12145	-55.8	33	33	14000	-57.1	32	37	16500	-60.0	32	44	12410	196	-55.0
7545	-25.1	10	35	12	9600	-41.4	—	31	20	12240	-55.3	32	27	14000	-63.0	32	22	16515	-64.0	32	25	11640	217	-59.1
7515	-23.7	10	24	38	9550	-38.3	10	23	27	12275	-48.2	29	38	14130	-57.0	27	33	16660	-61.2	30	27	14200	146	-64.0
7360	-27.4	10	30	25	9360	-44.3	—	29	40	12000	-54.1	26	42	13830	-56.0	25	50	16380	-59.8	27	16	10150	275	-41.4
7390	-21.8	69	25	68	9440	-35.9	50	26	48	12150	-53.4	27	55	13950	-61.2	26	38	16490	-57.7	25	25	13950	150	-61.2
7360	-27.4	10	24	50	9380	-41.0	—	23	65	12070	-49.8	24	67	13930	-54.9	23	84	16510	-54.7	24	44	11110	230	-54.1
7365	-30.0	17	26	40	9340	-47.0	—	26	56	12000	-49.7	25	68	13850	-54.5	25	64	16430	-56.4	25	30	10190	204	-54.2
7376	-26.5	45	—	—	9388	-42.0	—	—	—	12059	-52.4	—	—	13910	-54.4	—	—	16485	-56.5		—			-

15.00 h

7340	-26.9	57	21	22	9350	-43.0	—	21	17	—	—	—	—	—	—	—	—	—	—	—	—	—	—	—
7235	-29.6	95	15	23	9210	-47.2	—	16	44	11830	-50.1	22	35	13700	-50.5	24	20	16300	-55.8	25	12	10490	243	-57.9
7410	-25.7	23	29	30	9420	-42.0	—	30	60	12080	-52.3	28	58	13940	-51.4	28	25	16560	-53.4	26	25	9960	277	-45.9
7520	-23.1	65	30	41	9560	-38.3	85	30	44	12240	-56.0	30	68	14070	-51.8	28	44	16700	-51.2	28	30	12240	200	-56.0
7540	-22.8	32	28	35	9580	-38.8	—	31	55	12250	-57.4	32	52	14050	-61.6	29	22	16570	-58.4	30	22	9110	322	-33.1
7550	-21.8	67	28	33	9600	-37.7	—	26	48	12260	-57.6	26	58	14050	-61.3	27	30	16570	-60.8	29	20	11470	225	-55.7
7560	-22.9	20	26	22	9585	-42.1	—	26	22	12220	-56.9	27	25	14000	-59.2	29	20	16540	-59.3	29	14	9850	283	-46.3
7460	-27.1	53	21	18	9460	-43.7	—	24	30	12110	-55.4	25	17	13930	-57.3	29	18	16460	-61.6	30	05	11000	239	-54.0
7470	-24.4	35	26	08	9500	-42.2	30	24	08	12140	-54.8	28	25	13950	-61.0	26	13	16450	-62.3	27	15	10000	278	-45.0
7430	-21.8	71	20	22	9480	-38.4	65	20	33	12170	-52.3	20	29	14000	-51.4	21	22	16630	-55.4	21	18	9930	231	-40.8
7340	-28.2	52	12	07	9340	-44.0	—	17	14	11970	-52.2	28	11	13820	-54.0	28	04	16400	-57.0	00	00	8890	321	-41.2
7420	-23.1	11	30	33	9465	-39.8	30	29	22	12120	-55.7	27	25	13940	-56.0	28	22	16520	-55.8	26	15	10810	245	-51.4
—	—	—	—	-	—	-	—	—	—	—	—	—	—	—	-	-			—	—				
7295	-28.2	10	19	28	9290	-40.9	—	16	40	12000	-45.8	23	30	13900	-48.0	24	33	16550	-51.8	22	21	10200	262	-48.2
7250	-32.8	54	23	29	9210	-49.2	—	23	33	11870	-47.8	23	49	13750	-49.5	25	33	16380	-53.8	23	28	9210	300	-49.2
7230	-33.7	78	24	37	9190	-46.6	—	25	59	11870	-47.8	26	40	13760	-49.7	26	44	16390	-51.8	25	22	10000	271	-50.0
7375	-26.8	18	29	51	9370	-41.5	—	29	49	—	—	—	—	—	—	—	—	—	—	—	—	—	—	—
7350	-27.5	30	24	23	9350	-43.0	—	24	39	12000	-56.8	26	44	13810	-54.0	25	59	16420	-52.9	23	23	11710	209	-57.8
7270	-29.0	80	19	43	9270	-45.0	—	22	46	11910	-49.1	23	65	13800	-50.5	24	55	16440	-48.5	23	20	10310	256	-51.6
7190	-30.0	67	26	38	9180	-47.2	—	26	55	11870	-46.0	25	44	13770	-48.4	26	43	16430	-52.0	25	40	9090	304	-47.1
7245	-33.5	50	31	33	9225	-42.3	—	29	64	11880	-50.0	26	48	13765	-51.0	26	30	16380	-51.4	28	24	15000	124	-54.0
7370	-20.0	10	27	09	9355	-46.2	—	26	08	—	—	—	—	—	—	—	—	—	—	—	—	—	—	—
7460	-22.2	46	34	33	9500	-38.6	46	33	38	12180	-51.0	33	33	14700	-50.2	29	25	16690	-51.9	29	17	11360	223	-50.9
7500	-24.3	10	32	22	9540	-39.4	10	32	11	12200	-52.9	30	30	14040	-55.5	31	55	16600	-58.8	31	35	10600	300	-50.8
7545	-23.2	23	33	17	9590	-39.2	22	32	22	12270	-51.4	35	30	14110	-57.2	33	35	16660	-60.4	32	28	11420	204	-50.8
7545	-26.0	10	09	05	9570	-42.0	—	08	06	12250	-53.0	10	12	14060	-60.9	11	16	16570	-62.8	12	22	9890	287	-43.8
7380	-28.8	34	26	20	9425	-35.5	16	27	38	12160	-51.8	27	33	13970	-60.9	26	38	16490	-61.8	26	17	11410	219	-62.3
7355	-25.9	84	26	40	9370	-41.8	—	25	36	12000	-58.6	26	54	13810	-58.5	26	46	16350	-59.5	25	22	9200	308	-43.7
7430	-20.4	42	23	72	9500	-34.2	14	23	68	12220	-52.7	23	70	14050	-54.8	23	54	16640	-55.2	—	—	12760	182	-58.0
7290	-33.6	22	24	50	9250	-47.5	—	24	55	11920	-51.9	24	55	13760	-57.4	24	44	16330	-58.4	24	29	9760	278	-49.6
7420	-27.4	10	29	38	9425	-43.2	—	27	40	12090	-48.2	26	66	13975	-51.7	26	88	16600	-53.8	26	60	10500	255	-51.1
7393	-26.7	42	—	—	9405	-41.6	—	—	—	12077	-52.4	—	—	13941	-54.4	—	—	16504	-56.1	—	—	—	—	—

Observations aux

Août 1956

Jour	Données synoptiques en surface (Code AERO)				Surface 491 m					1000 mb	850 mb					700 mb					500 mb				
	N	VVwwW	NsChshs	NsChshs	P	T	U	dd	ff	H	H	T	U	dd	ff	H	T	U	dd	ff	H	T	U	dd	ff
1	1	70020	81649	—	966	9.4	100	00	00	206	1560	8.1	95	00	00	3140	1.0	23	26	12	5740	–17.8	25	26	30
2	8	56616	88549	—	958	12.2	100	22	07	132	1489	5.9	100	24	35	3055	2.4	100	29	38	5705	–11.2	98	31	53
3	8	45616	88533	—	956	13.2	100	00	00	107	1470	7.1	100	24	22	3045	–1.4	100	25	27	5635	–17.2	15	29	45
4	6	70022	85640	84359	957	11.0	100	22	06	128	1480	6.0	90	25	14	3030	–4.8	94	25	20	5610	–18.4	25	29	35
5	5	75022	85633	—	958	8.4	100	00	00	134	1480	4.9	75	23	08	3025	–5.8	96	23	22	5600	–19.7	10	25	37
6	8	74022	88545	—	961	10.8	100	00	00	160	1515	8.7	95	23	12	3100	–1.2	100	21	28	5705	–16.5	100	25	38
7	8	57022	88730	—	963	13.0	100	00	00	172	1540	10.6	90	23	11	3125	1.7	100	21	22	5770	–13.3	76	23	44
8	8	56022	88705	—	971	12.8	100	00	00	242	1610	11.2	90	05	05	3215	1.3	97	27	22	5870	–11.4	15	28	55
9	0	30100	—	—	968	12.8	100	00	00	208	1580	19.0	18	24	15	3205	6.6	24	29	25	5860	–14.5	74	28	25
10	0	25100	—	—	960	17.4	100	21	06	142	1530	21.8	36	23	08	3180	8.0	54	21	11	5850	–11.5	10	23	33
11	8	56216	88527	—	956	15.2	100	00	00	145	1480	10.2	100	27	11	3070	0.8	100	26	22	5705	–13.0	100	20	33
12	4	71030	84640	—	957	14.0	80	00	00	120	1480	7.1	79	23	15	3040	–4.7	89	28	25	5620	–19.0	10	27	35
13	0	74000	80000	—	959	7.0	100	00	00	150	1500	9.8	88	00	00	3100	3.5	10	24	17	5760	–12.2	62	28	33
14	0	71000	—	—	957	11.4	90	00	00	126	1500	13.7	62	23	15	3110	4.0	91	23	28	5750	–11.7	10	27	29
15	3	71011	83040	—	960	13.0	100	00	00	145	1505	6.8	97	27	12	3080	–1.4	10	27	15	5680	–16.9	10	28	17
16	0	71000	—	—	960	10.0	100	00	00	151	1510	10.4	85	27	10	3100	0.3	51	27	13	5720	–13.2	10	28	35
17	3	71000	—	—	957	13.0	90	00	00	118	1500	13.5	56	22	30	3090	2.2	78	24	12	5750	–10.4	70	27	22
18	8	57002	88040	—	954	17.0	95	00	00	093	1480	14.2	94	24	25	3085	2.7	88	26	33	5730	–13.2	78	27	35
19	8	56606	88729	—	954	16.8	100	00	00	086	1460	9.9	100	25	14	3040	0.6	97	24	26	5680	–12.7	90	24	43
20	3	70020	83367	—	958	10.8	100	00	00	133	1490	11.8	78	00	00	3090	3.3	83	23	17	5740	–11.9	48	25	38
21	8	70606	88632	—	957	14.4	100	00	00	117	1480	9.3	100	24	22	3060	–1.2	100	25	33	5650	–17.6	80	23	49
22	5	40412	85367	—	956	11.8	100	00	00	121	1455	6.2	100	25	08	3000	–0.3	22	24	14	5600	–15.7	97	24	43
23	8	56602	88634	—	952	11.5	100	00	00	079	1420	7.4	100	25	15	3000	–2.6	100	28	12	5570	–16.2	86	29	27
24	8	70022	84627	88467	953	11.7	90	00	00	086	1430	6.0	87	23	20	3000	–4.7	91	26	26	5555	–19.9	49	30	67
25	8	70026	88656	—	944	14.0	90	22	12	006	1360	12.0	88	24	38	2960	2.3	87	25	77	5600	–12.2	100	26	66
26	8	75606	88530	—	951	14.7	100	20	08	066	1430	8.2	90	24	24	3000	–2.0	100	24	38	5610	–15.7	100	24	55
27	7	35112	87363	—	954	13.4	90	00	00	093	1465	12.4	82	19	11	3085	5.2	44	21	28	5730	–13.6	97	22	50
28	6	75022	86640	—	958	12.6	100	00	00	123	1500	7.4	90	22	12	3000	–0.9	100	22	43	5695	–13.1	10	22	72
29	4	75021	84360	—	961	8.4	100	00	00	160	1510	6.1	76	00	00	3070	–1.6	45	21	20	5675	–18.0	10	22	50
30	7	74606	87640	—	964	9.3	100	20	08	186	1525	2.5	97	25	16	3055	–8.5	100	26	21	5590	–21.8	33	27	26
31	3	75020	81365	82078	963	6.2	100	00	00	183	1525	5.4	100	23	06	3085	–2.9	60	23	27	5685	–16.0	32	29	55
Moyen					958	12.2	98	—	01	133	1492	9.5	85	—	14	3072	1.9	75	—	25	5692	–15.0	53	—	41

Août 1956

1	6	71032	83850	86070	962	21.4	46	00	00	161	1555	11.1	67	25	07	3135	0.7	30	25	20	5755	–14.8	43	29	33
2	6	74638	86939	—	956	17.5	80	24	12	104	1490	10.9	90	24	32	3090	1.3	100	24	32	5745	–8.1	22	30	50
3	7	74022	87634	—	956	15.4	70	24	10	110	1480	6.1	93	25	24	3030	–4.6	98	24	28	5615	–18.6	15	29	35
4	7	74022	87638	—	957	16.1	66	18	07	120	1490	4.6	78	27	11	3040	–4.8	80	22	14	5605	–20.3	10	27	33
5	3	74011	83630	—	958	18.8	50	31	10	121	1510	8.2	58	24	07	3080	–1.2	38	22	27	5675	–16.8	16	27	33
6	8	56626	89858	—	960	15.4	90	00	00	145	1510	9.5	78	27	14	3100	–0.7	100	19	23	5710	–15.3	100	24	55
7	8	21616	86604	88527	968	15.7	100	00	00	217	1580	8.3	100	25	15	3160	0.9	100	24	38	5810	–12.4	93	24	50
8	6	57012	86623	—	970	19.4	70	00	00	226	1615	16.2	60	28	05	3245	9.0	24	28	28	5940	–8.9	20	28	30
9	0	55100	—	—	965	22.8	68	00	00	179	1580	22.4	16	00	00	3220	8.0	38	28	06	5890	–11.9	21	26	22
10	6	57032	86464	—	956	28.8	40	27	07	080	1515	22.5	31	25	15	3170	10.4	43	21	26	5860	–11.6	62	22	50
11	8	56022	88361	—	956	16.0	75	20	19	105	1480	9.0	87	24	22	3060	1.6	89	31	10	5715	–9.3	50	23	47
12	4	74021	84840	81071	961	19.0	35	30	11	144	1520	7.4	64	22	12	3090	–0.8	10	26	15	5705	–15.3	10	30	38
13	4	74021	83658	81064	956	22.4	40	24	09	104	1500	15.3	10	23	28	3110	5.1	10	25	28	5765	–11.7	38	28	50
14	8	70026	88920	—	958	18.5	85	31	09	121	1500	12.1	87	22	28	3100	0.8	100	26	33	5730	–15.8	89	27	40
15	6	75022	81834	82658	960	22.0	40	00	00	132	1515	11.1	38	26	05	3105	1.3	16	28	20	5730	–16.0	48	28	30
16	3	75020	81838	83068	958	24.2	45	00	00	115	1530	14.7	40	23	08	3140	3.6	31	27	15	5800	–11.1	74	28	33
17	7	74292	87656	—	955	21.2	70	09	07	095	1495	16.0	56	23	16	3110	4.1	74	25	33	5755	–13.2	60	26	33
18	7	60606	81834	87461	953	24.2	55	24	12	065	1475	16.8	62	24	22	3085	3.1	75	23	33	5720	–14.2	90	25	38
19	3	74010	82640	81078	956	23.4	45	28	05	101	1510	13.1	55	25	09	3080	1.9	50	24	33	5740	–11.8	10	26	49
20	8	40616	88603	—	959	14.8	100	34	05	138	1530	12.4	88	25	43	3110	4.2	86	24	44	5780	–10.6	98	23	39
21	7	72028	84818	84322	959	19.2	67	10	08	131	1450	8.6	79	25	10	3000	–2.5	72	25	17	5560	–18.4	12	24	24
22	7	65012	82333	86435	953	17.2	80	00	00	079	1380	8.0	80	20	13	2960	–0.7	83	22	28	5550	–19.0	42	24	30
23	8	72028	8720	—	952	12.7	100	21	10	073	1430	6.4	93	27	16	3000	–2.8	100	27	28	5590	–18.0	83	29	12
24	7	75022	83824	86434	952	15.3	56	24	20	062	1435	6.0	60	23	42	3000	–2.2	94	26	40	5605	–14.5	100	29	75
25	8	75606	88530	—	946	16.8	95	25	13	021	1390	11.0	91	23	48	2970	0.0	91	25	33	5590	–15.1	88	25	53
26	8	75032	88538	—	955	17.8	65	00	00	094	1485	11.1	73	21	28	3070	2.3	17	25	35	5700	–13.4	81	23	60
27	8	65252	85614	88542	955	15.4	85	20	16	099	1470	10.1	96	25	32	3070	3.0	100	20	45	5720	–12.0	88	23	83
28	7	72022	84614	86361	959	16.4	87	22	08	134	1505	8.8	86	25	25	3080	–1.0	100	23	35	5690	–14.3	27	22	67
29	7	65022	85918	84360	958	16.5	55	00	00	128	1495	6.1	79	00	00	3045	–5.2	80	24	25	5610	–22.9	71	20	33
30	6	70022	82634	86469	963	16.7	45	00	00	174	1530	8.9	82	36	14	3080	–4.5	10	25	15	5655	–19.7	55	25	44
31	6	73022	83627	83360	960	16.8	63	02	07	149	1510	9.5	56	27	06	3085	–0.2	69	23	25	5700	–15.1	64	25	60
Moyen					958	18.6	67	—	07	133	1499	11.1	69	—	18	3085	1.0	65	—	27	5710	–14.5	54	—	43

niveaux standard

03.00 h

400 mb					300 mb					200 mb				150 mb				100 mb				Tropopause		
H	T	U	dd	ff	H	T	U	dd	ff	H	T	dd	ff	H	T	dd	ff	H	T	dd	ff	H	P	T
7370	–30.2	22	26	33	9350	–45.1	—	25	48	12000	–48.3	26	56	13870	–52.9	25	65	16480	–52.9	27	45	10710	244	–52.4
7390	–20.4	42	30	60	9450	–37.0	41	30	50	12120	–57.5	32	82	13910	–60.3	32	65	16450	–61.6	32	45	12710	182	–62.5
7285	–23.5	24	29	70	9330	–37.4	21	29	46	12040	–48.0	28	72	13920	–52.0	—	—	16500	–56.5	—	—	10700	245	–46.0
7240	–26.9	23	28	60	9260	–40.4	—	28	85	11940	–50.5	27	67	13800	–53.8	28	60	16380	–54.6	28	58	10450	251	–48.1
7220	–29.4	10	26	60	9200	–44.8	—	26	77	11890	–47.6	25	60	13770	–51.9	25	39	16370	–54.8	25	40	10210	258	–49.4
7350	–26.0	100	24	55	9360	–41.2	—	24	66	12070	–44.9	24	58	13960	–48.3	24	60	16600	–50.2	24	52	10570	250	–48.2
7430	–24.6	73	24	50	9470	–39.2	73	25	80	12140	–49.5	24	66	14000	–53.1	24	70	—	—	—	—	11300	228	–51.5
7535	–23.0	10	28	42	9570	–38.4	10	28	44	12280	–50.0	27	66	14130	–56.4	26	55	16660	–60.2	26	49	10970	244	–46.3
7515	–23.8	10	28	33	9550	–38.0	10	28	35	12260	–51.8	27	83	14080	–60.5	27	99	16580	–61.7	26	50	11460	226	–48.3
7520	–21.8	10	23	28	9570	–33.2	—	24	44	—	—	—	—	—	—	—	—	—	—	—	—	—	—	—
7370	–25.9	88	21	38	9370	–43.4	—	21	45	12040	–48.1	23	50	13910	–54.7	25	44	16500	–55.6	26	44	10450	255	–51.4
7250	–28.4	10	26	39	9250	–43.7	—	27	50	11920	–48.1	25	20	13790	–52.2	27	40	16390	–53.7	25	40	10480	249	–51.8
7405	–24.8	40	26	38	9430	–40.8	—	29	40	12060	–59.6	30	53	—	—	—	—	—	—	—	—	11400	223	–57.9
7420	–23.4	10	27	34	9470	–38.0	10	24	17	12160	–54.9	27	44	14000	–55.7	27	60	—	—	—	—	12060	203	–55.3
7310	–28.2	10	27	18	9305	–43.8	—	27	33	11930	–52.8	26	42	13800	–53.0	25	60	16390	–55.0	26	55	10670	244	–55.0
7390	–24.2	81	30	33	9420	–40.0	70	32	55	12080	–56.2	34	36	13920	–54.0	—	—	—	—	—	—	11690	213	–56.2
7450	–21.8	66	27	33	9500	–37.0	50	25	50	12190	–59.3	23	44	14000	–56.0	26	33	16430	–60.4	27	50	12780	182	–61.4
7400	–22.8	47	27	38	9460	–39.4	22	28	50	12100	–57.2	29	44	13940	–56.2	—	—	—	—	—	—	12100	200	–57.2
—	—	—	—	—	—	—	—	—	—	—	—	—	—	—	—	—	—	—	—	—	—	—	—	—
7410	–23.5	40	25	61	9445	–38.6	32	25	55	12130	–55.6	24	60	14060	–58.2	25	59	16500	–54.9	22	17	13530	160	–58.4
7280	–30.6	100	23	56	9260	–46.2	—	23	72	11840	–59.3	74	20	13650	–60.0	23	83	16160	–61.0	—	—	10960	230	–59.8
—	—	—	25	33	—	—	—	25	44	—	—	26	33	—	—	26	23	—	—	25	22	—	—	—
7200	–29.4	64	28	20	9190	–43.2	—	30	44	11860	–44.8	28	38	13780	–46.8	28	35	16420	–50.6	28	33	9530	285	–46.9
7190	–27.2	82	30	50	9210	–38.6	82	81	12	11890	–53.8	80	20	13740	–53.1	—	—	16340	–55.1	—	—	11410	215	–54.9
7270	–22.5	100	26	61	9320	–38.4	91	28	83	12000	–54.1	27	64	13830	–58.6	—	—	16350	–60.5	—	—	12570	183	–56.9
7250	–27.0	16	25	40	9270	–38.5	40	26	60	11960	–53.8	25	66	13780	–56.5	—	—	16340	–60.0	—	—	11960	200	–53.8
7390	–25.1	81	23	60	9420	–39.0	60	24	72	12100	–55.9	24	55	13900	–61.3	24	50	16410	–59.0	25	60	11950	205	–55.0
7350	–24.5	10	23	88	9370	–40.1	16	23	88	12040	–54.0	23	70	13870	–58.6	23	68	16420	–53.2	—	—	11430	220	–53.0
7300	–30.1	10	23	52	9290	–43.7	—	23	83	11930	–55.2	22	88	13770	–54.0	22	68	16370	–52.5	22	58	10410	253	–51.5
7210	–32.1	20	28	40	9170	–48.4	—	27	82	11790	–49.1	26	55	13660	–52.7	26	66	16270	–53.7	25	68	10000	264	–53.4
7325	–28.8	80	25	60	9320	–44.0	—	25	94	11920	–59.0	25	88	13730	–56.1	25	110	16310	–54.0	24	49	11530	213	–60.2
7346	–25.9	44	—	46	9365	–40.7	—	—	57	12024	–52.8	—	55	13873	–55.1	—	60	16418	–56.2	—	46	—	—	—

15.00 h

7415	–24.0	30	32	25	9450	–36.9	—	34	63	12140	–53.1	34	67	14000	–53.5	29	44	16600	–53.8	29	32	12450	191	–56.1
7450	–18.6	13	31	30	9520	–34.8	—	30	38	12260	–47.8	29	60	14130	–55.8	28	55	16680	–55.3	27	50	12070	206	–47.2
7230	–29.4	10	29	55	9250	–39.3	—	30	100	11950	–46.8	29	78	13840	–52.2	—	—	16430	–57.2	—	—	10690	242	–46.8
7225	–29.4	10	27	50	9200	–43.7	—	26	65	11920	–45.0	26	50	13820	–49.4	26	50	16430	–52.2	26	33	9390	292	–45.0
7310	–28.1	26	25	44	9320	–40.6	—	25	72	12000	–44.3	24	66	13930	–47.4	24	55	16560	–52.1	24	55	10860	238	–50.0
7350	–26.8	85	24	28	9360	–43.9	—	24	85	12000	–51.5	25	33	—	—	—	—	—	—	—	—	8940	320	–40.2
7480	–23.1	69	26	56	9520	–38.7	—	24	58	12200	–50.5	—	—	14060	–52.9	—	—	16650	–53.7	—	—	10860	246	–50.1
7630	–20.0	13	28	46	9690	–35.6	—	28	46	12430	–46.9	27	70	14300	–56.9	26	86	16830	–58.7	25	14	10320	274	–39.4
7580	–20.7	12	27	28	9640	–35.9	—	26	40	12365	–50.4	26	85	14200	–60.1	26	50	16670	–64.3	26	48	11880	215	–48.7
7540	–20.2	33	23	56	9600	–35.8	—	24	75	12330	–47.2	24	58	14200	–53.0	25	62	16770	–53.6	24	53	10490	264	–42.4
7410	–19.8	65	30	34	9470	–35.2	—	29	42	12225	–43.4	29	40	14120	–48.8	29	29	16790	–50.0	29	33	10650	253	–44.3
7350	–27.8	10	32	39	9350	–42.3	—	32	84	12000	–51.1	31	55	—	—	—	—	—	—	—	—	10570	250	–52.7
7440	–21.2	10	28	39	9500	–38.0	—	28	55	12170	–52.6	29	77	14000	–54.9	29	35	16600	–54.5	28	38	11240	231	–52.0
7370	–26.4	39	26	50	9380	–41.5	—	24	50	12000	–55.5	74	10	13860	–54.4	—	—	16420	–57.5	—	—	11470	218	–56.0
7370	–27.1	54	28	22	9380	–43.8	—	28	33	12000	–52.7	28	48	13860	–52.0	28	33	16460	–54.5	28	33	11420	219	–55.5
7480	–21.6	38	29	28	9510	–38.5	—	29	44	12180	–58.8	29	38	13960	–59.8	29	33	16480	–59.6	29	20	11680	216	–56.8
7415	–26.7	50	26	33	9420	–42.3	—	26	27	12040	–59.0	26	20	13850	–57.8	26	24	16380	–57.6	26	33	11530	217	–60.0
7390	–22.8	23	25	54	9435	–37.4	—	26	38	12100	–57.4	25	72	13910	–60.0	23	37	—	—	—	—	11730	212	–56.8
7410	–24.2	10	27	40	9450	–37.7	—	27	56	12130	–57.9	27	72	13920	–57.7	27	78	16490	–57.2	26	82	12860	178	–60.6
7470	–21.0	96	23	49	9520	–37.8	—	23	85	—	—	—	—	—	—	—	—	—	—	—	—			
7140	–31.8	35	24	38	9080	–45.9	—	23	60	11710	–46.4	24	45	13585	–49.3	25	50	16200	–53.0	25	10	10260	250	–52.2
7145	–30.6	40	22	45	9110	–46.5	—	22	60	11745	–48.4	23	55	13620	–51.3	25	40	16240	–53.5	24	33	9810	270	–52.4
7210	–26.8	70	29	17	9220	–43.7	—	29	15	11910	–46.5	31	54	13810	–48.9	30	39	16470	–50.4	29	33	9940	270	–48.0
7265	–23.9	100	28	86	9300	–39.1	—	29	88	11950	–58.1	29	103	13730	–62.7	—	—	16220	–61.4	—	—	11830	204	–57.3
7240	–24.9	91	25	66	9280	–38.7	66	25	71	11930	–59.4	27	30	13730	–59.1	—	—	16240	–58.6	—	—	12360	187	–61.0
7370	–24.3	80	23	55	9390	–39.8	—	25	82	12050	–57.4	25	80	13850	–59.7	—	—	16370	–58.3	—	—	12630	182	–59.3
7390	–23.1	81	24	85	9430	–37.0	—	24	85	12120	–54.1	—	—	13960	–54.2	—	—	16530	–56.1	—	—	12430	191	–56.1
7335	–26.5	25	23	80	9350	–40.9	—	23	78	12000	–55.9	—	—	13810	–57.6	—	—	16350	–60.9	—	—	12640	181	–57.5
7200	–36.6	46	20	38	9130	–49.1	—	21	70	11780	–51.0	22	64	13650	–50.1	22	50	16250	–58.6	—	—	9200	297	–49.5
7285	–29.8	100	26	55	9280	–44.8	—	26	91	11920	–54.3	26	66	13770	–54.2	25	44	16370	–53.3	24	49	11320	220	–56.7
7350	–28.1	66	24	55	9360	–41.6	—	24	72	12000	–59.8	24	58	13800	–55.9	24	75	—	—	—	—	11720	209	–59.0
7363	–25.3	46	—	46	9384	–40.2	—	—	62	12052	–52.1	—	58	13903	–54.6	—	48	16480	–55.8	—	38	—	—	—

Observations aux

Septembre 1956

Jour	Données synoptiques en surface (Code AERO)				Surface 491 m					1000 mb	850 mb					700 mb					500 mb				
	N	VVwwW	NsChshs	NsChshs	P	T	U	dd	ff	H	H	T	U	dd	ff	H	T	U	dd	ff	H	T	U	dd	ff
1	8	59606	88530	—	962	12.3	100	20	08	169	1520	7.9	100	23	22	3100	-0.9	100	20	12	5725	-15.1	100	21	44
2	3	70441	83362	—	961	12.0	100	00	00	156	1520	11.3	65	14	07	3120	2.5	76	17	11	5760	-15.4	77	22	34
3	8	50606	88704	—	961	14.0	100	00	00	155	1520	8.1	100	05	03	3100	-1.2	100	20	12	5700	-17.3	100	20	55
4	2	50411	82657	—	964	9.5	100	00	00	182	1535	6.0	98	23	12	3085	-6.5	95	22	22	5640	-23.0	20	23	37
5	0	70020	—	—	961	7.2	100	00	00	169	1520	11.1	64	24	08	3120	2.2	90	27	18	5750	-14.6	71	27	33
6	7	70022	84634	87367	956	14.2	95	00	00	113	1490	11.0	94	23	12	3075	1.6	98	18	25	5700	-16.7	98	21	49
7	4	70021	84656	—	962	13.0	90	00	00	165	1535	8.0	84	24	15	3100	-2.0	98	25	23	5720	-13.2	37	27	34
8	6	70602	86634	—	962	13.5	80	00	00	165	1530	8.7	86	25	11	3110	-2.3	88	26	16	5690	-19.7	10	28	26
9	0	60020	—	—	955	10.4	97	00	00	111	1475	13.6	56	22	22	3075	1.4	69	25	23	5710	-13.4	11	25	33
10	9	01474	—	—	955	12.8	100	00	00	104	1480	14.7	58	00	00	3070	1.3	72	22	40	5700	-15.3	38	23	53
11	8	57022	88640	—	963	14.4	98	00	00	171	1540	10.7	91	26	20	3120	-1.6	95	24	35	5730	-15.6	63	24	45
12	2	74020	82359	—	967	11.8	85	22	07	216	1570	9.1	57	26	17	3150	1.7	35	27	27	5810	-10.4	64	30	32
13	7	74022	87358	—	966	14.9	82	20	04	200	1560	7.0	82	25	08	3130	0.9	93	33	25	5770	-14.5	30	33	48
14	5	74022	85656	—	964	14.2	93	00	00	181	1540	8.9	96	04	14	3115	2.1	16	02	33	5755	-13.3	24	01	34
15	8	57022	88730	—	966	10.4	95	00	00	204	1555	9.1	94	23	10	3150	7.5	13	05	10	5810	-12.0	32	06	06
16	0	04464	—	—	966	11.2	100	00	00	207	1580	13.6	80	24	11	3185	6.0	10	26	05	5835	-14.5	12	26	08
17	2	03464	82340	—	962	13.3	100	00	00	164	1550	12.7	88	06	08	3150	3.3	75	36	12	5805	-10.0	50	28	08
18	8	50022	88640	—	961	12.6	90	03	05	154	1515	10.2	100	04	03	3120	4.8	10	03	04	5765	-13.2	10	04	07
19	8	52454	88642	—	965	13.0	100	00	00	190	1555	10.0	100	26	06	3160	5.0	10	23	05	5810	-14.0	10	12	04
20	0	57110	—	—	966	10.8	100	00	00	203	1565	12.4	53	24	06	3160	2.7	10	26	09	5805	-13.8	10	25	08
21	2	60010	82640	—	961	11.8	100	00	00	160	1520	11.0	55	08	04	3110	-1.1	64	00	00	5705	-19.6	10	23	05
22	5	26022	85640	—	958	12.5	100	00	00	123	1505	12.2	87	00	00	3100	0.9	94	00	00	5720	-15.5	10	15	17
23	7	50022	87364	—	959	13.0	100	00	00	128	1505	11.7	98	00	00	3105	3.7	68	18	12	5770	-12.1	94	17	20
24	0	01440	—	—	959	11.8	100	00	00	140	1520	15.0	70	00	00	3120	3.3	61	26	05	5800	-12.4	60	28	05
25	8	57602	88461	—	956	13.6	100	00	00	112	1490	13.9	68	00	00	3100	3.8	85	18	14	5770	-12.1	97	18	14
26	8	57602	88644	—	950	14.8	100	22	08	054	1430	8.7	100	22	08	3000	-1.9	100	06	17	5600	-16.2	98	15	48
27	8	60612	88650	—	955	12.0	100	25	05	108	1460	6.2	97	24	23	3000	-2.7	100	27	23	5610	-17.3	100	29	18
28	8	70602	88620	—	964	11.0	90	00	00	182	1530	4.8	100	23	12	3090	-1.6	100	31	33	5710	-15.8	100	34	33
29	0	70020	—	—	964	10.0	100	00	00	186	1550	10.5	94	23	17	3160	3.2	79	26	16	5815	-10.7	14	27	27
30	0	09454	—	—	966	11.5	100	00	00	203	1565	12.6	82	25	05	3170	2.8	36	25	17	5810	-11.7	10	26	33
Moyen					961	12.3	97	—	01	159	1524	10.4	83	—	09	3111	1.3	68	—	17	5743	-14.6	48	—	27

Septembre 1956

1	5	70012	85634	—	958	17.2	90	00	00	129	1500	12.5	72	11	05	3100	3.2	79	19	24	5750	-14.7	15	22	49
2	8	57602	88704	—	962	15.2	100	00	00	167	1530	7.2	100	31	09	3101	-1.5	100	19	11	5730	-16.0	100	18	55
3	5	71011	84830	85359	964	16.4	60	00	00	184	1545	7.2	72	25	05	3115	-1.8	65	21	30	5720	-18.6	20	22	30
4	6	71032	86640	81370	962	17.6	43	21	07	161	1540	7.5	65	24	08	3105	-1.5	41	25	22	5710	-15.5	90	28	37
5	0	70020	—	—	961	14.2	100	00	00	169	1520	11.1	64	24	08	3120	2.2	90	27	18	5750	-14.6	71	27	33
6	4	80011	84640	82364	959	17.2	65	26	09	137	1500	7.1	70	23	20	3070	-0.9	54	23	22	5670	-18.1	50	23	30
7	5	75032	84640	85360	962	20.1	45	26	17	158	1515	8.0	58	24	20	3080	-1.8	59	22	33	5680	-15.6	22	27	39
8	3	74020	83856	—	961	22.1	60	00	00	145	1545	12.7	57	24	17	3120	0.4	63	28	15	5750	-12.0	44	26	22
9	7	70212	83940	87460	957	18.0	85	00	00	115	1470	11.9	70	25	15	3065	2.3	80	25	21	5705	-13.8	37	26	32
10	7	60022	85840	87658	957	22.0	70	00	00	113	1505	14.7	68	23	08	3110	3.5	98	22	36	5760	-13.0	29	23	38
11	8	57022	88640	—	966	21.4	65	00	00	193	1575	11.4	71	26	20	3165	-0.8	67	24	35	5780	-16.0	15	24	45
12	7	74022	86633	84348	966	17.8	56	26	10	193	1570	8.8	73	25	14	3150	0.1	90	28	22	5815	-9.4	61	31	54
13	5	80021	81834	85656	964	21.1	55	00	00	176	1555	10.4	80	34	16	3150	3.0	74	35	30	5800	-10.0	10	34	50
14	3	57020	81640	83071	964	18.2	65	03	19	172	1555	9.2	55	05	11	3150	3.9	22	04	22	5790	-15.0	31	01	11
15	2	56020	81850	81074	966	20.3	70	00	00	193	1585	16.0	50	24	06	3200	8.5	10	17	06	5870	-11.0	10	25	13
16	0	74010	—	—	964	22.2	60	00	00	176	1565	15.5	53	23	05	3185	5.6	58	36	06	5840	-12.7	43	28	08
17	1	57011	81633	—	960	22.0	50	00	00	136	1545	13.4	80	04	06	3140	3.0	71	02	08	5790	-12.0	10	31	03
18	7	40012	87727	—	962	15.0	70	05	08	164	1525	11.4	50	07	10	3130	5.2	10	09	08	5770	-13.9	10	07	05
19	0	50020	—	—	965	20.8	62	00	00	183	1580	14.0	47	00	00	3180	4.8	18	23	07	5840	-13.0	10	19	05
20	0	57110	—	—	963	21.1	60	00	00	162	1550	13.9	31	36	05	3150	3.3	10	26	05	5800	-13.9	10	25	05
21	1	50020	81850	—	959	19.9	72	00	00	129	1510	13.5	60	00	00	3120	0.9	67	19	09	5750	-14.9	26	20	08
22	2	50021	81850	81367	956	20.0	62	00	00	108	1495	12.1	57	00	00	3090	2.9	12	19	09	5720	-16.7	28	16	18
23	3	70020	81847	83080	960	21.6	65	00	00	137	1530	15.7	49	00	00	3140	4.7	70	18	08	5820	-9.1	50	22	09
24	1	65020	81856	—	956	22.0	47	00	00	104	1510	16.6	51	04	07	3115	5.7	58	20	08	5780	-11.5	52	21	10
25	7	55022	83359	84366	955	20.2	75	00	00	099	1495	14.2	91	05	10	3090	1.2	95	16	14	5710	-15.5	58	18	22
26	7	80220	82634	85360	952	17.0	58	22	10	073	1430	8.5	75	24	18	3000	0.4	77	17	07	5615	-16.1	98	15	07
27	7	75022	86634	87368	962	13.3	65	27	16	164	1515	4.1	83	25	13	3075	-2.4	10	28	25	5670	-15.5	42	32	28
28	5	80022	85067	—	962	19.9	45	23	12	158	1540	12.6	43	24	14	3135	2.4	31	26	28	5790	-10.6	52	28	28
29	0	75020	—	—	964	22.8	55	00	00	174	1570	13.1	57	25	08	3170	3.4	47	22	22	5825	-12.0	17	27	23
30	5	74021	81840	85175	967	19.5	70	00	00	198	1590	14.5	39	23	08	3175	2.7	24	23	22	5830	-13.0	10	25	26
Moyen					961	19.2	65	—	04	152	1532	11.6	63	—	10	3123	2.1	55	—	18	5761	-13.8	37	—	25

niveaux standard

03.00 h

400 mb					300 mb					200 mb				150 mb				100 mb				Tropopause		
H	T	U	dd	ff	H	T	U	dd	ff	H	T	dd	ff	H	T	dd	ff	H	T	dd	ff	H	P	T
7365	-26.5	90	24	56	9370	-43.7	—	23	44	12000	-61.3	23	55	13770	-59.5	23	60	16320	-58.2	23	32	12110	196	-62.0
7400	-26.3	90	20	56	—	—	—	—	—	—	—	—	—	—	—	—	—	—	—	—	—	—	—	—
7330	-28.0	95	19	55	9325	-43.5	—	18	88	11920	-64.9	19	98	13720	-60.0	—	—	—	—	—	—	12000	197	-65.0
7220	-36.2	10	23	33	9180	-46.3	—	25	44	11870	-47.0	23	37	13750	-51.8	23	33	16370	-53.0	24	12	9180	300	-46.3
7405	-27.1	62	27	48	9405	-44.0	—	26	45	12000	-62.2	26	38	13775	-62.4	27	44	16300	-59.1	29	15	12800	176	-65.1
7345	-27.2	98	21	38	9335	-43.5	—	20	44	11950	-61.5	21	22	13740	-57.1	24	28	16290	-59.8	24	10	11610	211	-61.5
7380	-24.8	41	27	33	9405	-40.1	—	26	33	12080	-53.0	26	60	13920	-55.0	27	38	16500	-56.0	26	27	13390	163	-56.0
7310	-30.1	10	28	27	9300	-44.2	—	28	37	11920	-55.5	28	34	13750	-55.5	27	30	16320	-56.4	27	45	11080	228	-55.5
7360	-26.4	11	25	30	9360	-43.7	—	27	38	11980	-57.3	26	45	13780	-59.3	25	42	16340	-58.0	27	22	11380	220	-57.3
7340	-27.7	52	23	55	9350	-43.2	—	24	54	11950	-62.2	22	50	13730	-59.1	24	50	16280	-58.4	25	22	12520	182	-63.1
7375	-27.0	75	24	62	9390	-41.5	—	25	85	12035	-57.2	25	52	13860	-58.0	25	43	16390	-59.1	26	44	11670	212	-57.0
7480	-21.2	65	29	35	9540	-38.7	—	30	40	12190	-61.5	33	55	13950	-64.1	31	44	16410	-64.5	29	38	12800	181	-64.9
7430	-22.5	12	32	66	9480	-38.7	—	33	78	12120	-60.0	33	72	13875	-68.8	32	50	—	—	—	—	13270	166	-67.0
7420	-21.9	15	35	35	9470	-38.6	—	30	33	12130	-60.4	28	38	13890	-67.3	30	30	16300	-67.5	01	12	14340	139	-68.9
7480	-24.9	32	18	07	9500	-38.3	—	16	07	12150	-60.1	08	08	13950	-60.1	27	25	16420	-67.9	33	14	12310	195	-60.6
7480	-26.9	29	25	16	9490	-42.3	—	29	08	12120	-56.9	26	33	13940	-57.7	26	26	16460	-62.6	28	22	15490	117	-62.4
7470	-22.7	50	27	10	9510	-41.3	—	30	11	12130	-58.1	27	23	13960	-57.8	26	48	16490	-60.8	27	23	12260	196	-58.2
7415	-26.8	10	04	06	9430	-42.3	—	03	08	12040	-60.3	32	09	13830	-58.8	27	22	16340	-63.0	28	22	12330	191	-61.2
7450	-27.4	10	16	06	9450	-43.3	—	15	15	12050	-63.3	20	06	13820	-61.7	30	15	—	—	—	—	12430	188	-65.4
7450	-27.8	10	23	11	9460	-42.2	—	24	07	12090	-57.2	27	11	13900	-57.8	30	15	16450	-58.3	32	10	11580	217	-57.2
7320	-31.3	10	25	04	9300	-46.0	—	30	05	11880	-61.2	30	14	13670	-59.6	29	14	16190	-61.0	30	16	11540	211	-61.0
7360	-25.5	10	14	10	9370	-42.9	—	20	05	12000	-60.1	26	17	13810	-59.0	22	22	16330	-59.0	21	09	12000	200	-60.1
7430	-24.1	96	21	15	9450	-43.0	—	22	17	12070	-62.5	29	07	13820	-63.3	24	15	16290	-65.0	23	08	12620	183	-65.5
7445	-24.1	52	28	08	9470	-41.1	—	28	12	12100	-61.4	27	22	—	—	—	—	—	—	—	—	—	—	
7430	-22.9	88	17	22	9470	-39.0	—	17	21	12120	-60.6	18	25	13920	-62.9	13	15	16410	-60.0	16	05	12380	192	-62.7
7240	-27.8	93	15	38	9240	-43.8	—	14	44	11840	-60.2	17	44	13630	-61.5	18	13	16150	-62.2	25	07	13630	150	-61.5
7250	-28.1	94	34	27	9240	-46.9	—	34	39	11820	-57.9	30	12	13625	-59.0	27	15	—	—	—	—	11050	226	-62.4
7350	-25.1	100	34	49	9390	-42.0	—	34	77	12030	-60.4	35	80	13780	-64.2	32	61	16300	-62.0	32	60	13100	168	-68.6
7190	-21.5	10	27	35	9545	-38.2	—	26	27	12200	-60.1	26	28	—	—	—	—	—	—	—				
7470	-25.2	73	25	30	9490	-41.4	—	26	45	12100	-61.9	26	34	13870	-65.0	25	44	16330	-63.7	26	38	13630	156	-65.1
7390	-26.2	50	—	31	9404	-42.2	—	—	35	12031	-59.6	—	35	13816	-60.2	—	32	16347	-60.7	—	22	—	—	—

15.00 h

7410	-23.9	10	22	49	9470	-30.5	—	22	71	—	—	—	—	—	—	—	—	—	—	—	—	—	—	—
7380	-27.0	91	19	44	9370	-44.0	—	20	59	—	—	—	—	—						—	—	—	—	—
7330	-32.2	20	22	38	9300	-44.4	—	22	40	12000	-48.0	21	52	13880	-49.5	20	48	16520	-52.1	20	40	12510	185	-50.9
7360	-24.4	82	30	55	9390	-42.6	—	28	66	12000	-63.3	28	68	13760	-59.3	28	26	16300	-57.5	28	25	12600	181	-64.4
7405	-27.1	62	27	48	9405	-44.0	—	26	45	12000	-62.2	26	38	13775	-62.4	27	44	16300	-59.1	29	15	12800	176	-65.1
7300	-28.9	28	28	38	9220	-45.0	—	27	38	11910	-54.0	26	35	13750	-56.0	25	28	16330	-56.7	27	22	14060	143	-57.0
7350	-25.7	16	27	50	9370	-38.4	—	27	58	12050	-54.1	27	58	13900	-52.9	27	60	16510	-52.8	28	33	12260	194	-54.9
7420	-24.3	43	28	37	9440	-40.8	—	28	37	12090	-57.1	27	47	13910	-58.1	27	30	16470	-57.9	26	22	12360	192	-57.3
7350	-24.6	76	21	32	9375	-40.4	—	24	39	12000	-58.9	25	38	13840	-55.4	25	39	16410	-56.8	25	44	11950	203	-59.1
7425	-21.8	47	24	55	9480	-36.4	—	24	66	12190	-52.5	24	60	14040	-54.4	24	56	16640	-50.4	24	40	14040	150	-54.4
7420	-28.0	10	24	62	9440	-39.0	—	25	85	12120	-54.5	25	52	13950	-58.9	25	43	16480	-60.0	26	44	14890	129	-60.4
7500	-20.0	66	32	55	9580	-34.1	—	33	82	12290	-53.6	36	44	14070	-62.4	33	66	16550	-64.8	32	40	13640	161	-64.8
7190	-17.0	10	34	50	9570	-35.0	—	32	55	12280	-55.0	32	60	14050	-66.9	33	22	16480	-68.4	33	38	14340	143	-68.4
7410	-26.1	26	35	20	9460	-42.9	—	32	25	12080	-58.0	31	24	13870	-62.5	31	38	—	—	—	—	—	—	—
7545	-22.4	13	26	06	9580	-40.0	—	24	22	12260	-53.5	23	22	14110	-55.2	26	22	16650	-60.6	26	21	12650	188	-54.4
7500	-24.0	46	29	13	9530	-40.0	—	29	17	12190	-56.7	27	22	14000	-56.9	26	44	16550	-61.0	28	37	11780	213	-56.0
7450	-25.7	10	33	08	9465	-40.3	—	28	06	12100	-58.0	28	09	—	—	—	—	—	—	—	—	11620	216	-58.0
7440	-25.3	10	08	03	9450	-41.5	—	08	06	12050	-61.2	10	06	13840	-60.8	28	12	—	—	—	—	12450	188	-62.1
7500	-24.0	10	21	12	9540	-40.8	—	22	15	12160	-60.0	34	16	13960	-59.6	34	12	16510	-58.0	28	20	12690	184	-61.3
7450	-26.2	10	25	02	9470	-41.8	—	27	04	12130	-56.3	27	04	—	—	—	—	—	—	—	—	—	—	—
7390	-27.2	40	21	04	9390	-43.6	—	01	06	12000	-57.3	24	10	13840	-58.9	28	18	16380	-58.4	26	12	11790	207	-58.2
7370	-26.6	16	16	16	9380	-41.8	—	22	25	12000	-61.9	22	35	13800	-59.8	21	20	16300	-61.6	23	14	12100	197	-62.7
7510	-19.2	31	22	07	9580	-35.6	—	28	12	12280	-55.0	28	45	14090	-60.1	26	22	16630	-57.6	26	10	14090	150	-60.1
7460	-22.6	43	19	08	9510	-37.9	—	19	08	12180	-58.2	21	14	13950	-64.2	19	07	16450	-59.8	00	00	13720	156	-65.0
7350	-27.2	74	18	30	9360	-43.5	—	18	35	11960	-58.8	19	30	13760	-57.9	22	15	16310	-58.8	00	00	10810	240	-56.4
7270	-26.8	68	17	10	9290	-42.2	—	11	14	12000	-46.2	15	14	13880	-50.0	18	10	16500	-54.3	25	15	10040	268	-47.1
7310	-27.0	51	35	17	9320	-43.1	—	35	22	11950	-55.1	32	33	13780	-53.5	28	19	16380	-55.7	27	12	11200	225	-55.3
7170	-21.0	51	28	22	9530	-37.8	—	31	33	12190	-59.2	31	44	13960	-66.5	31	28	16420	-62.4	27	20	13650	158	-65.7
7190	-22.8	10	26	33	9530	-40.0	—	25	40	12160	-61.0	25	55	13900	-68.0	25	40	16350	-63.0	25	28	13520	160	-68.0
7470	-26.7	63	25	30	9480	-43.9	—	25	30	12060	-65.0	25	44	13800	-65.1	26	33	16260	-64.7	26	35	11970	203	-64.8
7419	-24.9	38		28	9443	-40.4	—	—	35	12096	-57.0	—	35	13903	-59.0	—	31	16445	-58.9	—	24	—	—	—

Observations aux

Octobre 1956

Jour	Données synoptiques en surface (Code AERO)				Surface 491 m					1000 mb	850 mb					700 mb					500 mb				
	N	V VwwW	NsChshs	NsChshs	P	T	U	dd	ff	H	H	T	U	dd	ff	H	T	U	dd	ff	H	T	U	dd	ff
1	0	60000	—	—	966	10.5	100	00	00	203	1565	13.4	63	24	16	3165	1.7	25	24	18	5790	–15.4	79	26	22
2	0	60020	—	—	963	10.3	100	00	00	169	1535	12.1	60	23	22	3120	2.2	14	23	17	5750	–15.6	72	24	27
3	0	60020	—	—	959	15.0	100	00	00	137	1515	10.1	93	23	22	3095	–1.9	100	23	17	5685	–18.4	100	26	44
4	8	75022	88758	—	964	9.6	95	00	00	186	1530	3.3	76	26	08	3060	–2.1	10	27	22	5665	–18.1	10	30	28
5	9	70002	—	—	959	9.2	100	21	10	145	1480	2.3	97	25	28	3020	–7.5	100	24	30	5570	–22.3	95	27	66
6	8	57808	88636	—	957	4.3	100	22	10	132	1455	–2.0	100	28	25	2970	–11.8	100	30	33	5440	–30.7	53	33	30
7	8	85022	88530	—	963	5.0	100	00	00	183	1500	–1.7	100	33	13	3000	–10.1	93	30	17	5520	–28.5	74	31	27
8	8	45606	88530	—	963	3.3	100	00	00	183	1485	–2.8	100	29	06	3000	–12.1	100	34	11	5480	–30.2	35	36	40
9	0	80020	—	—	965	0.0	100	00	00	206	1505	–3.1	95	04	03	3025	–6.0	10	36	05	5595	–20.6	83	32	16
10	0	80020	—	—	966	–1.0	95	00	00	214	1515	0.9	70	07	22	3070	–3.7	39	06	23	5665	–18.3	35	05	22
11	0	80020	—	—	971	0.7	100	00	00	255	1570	4.4	50	31	05	3130	–0.9	10	34	03	5740	–17.0	10	36	11
12	0	60020	—	—	973	4.0	100	00	00	268	1590	6.7	45	21	05	3165	0.9	10	28	03	5800	–14.6	10	30	14
13	0	80020	—	—	974	1.4	100	00	00	281	1600	7.2	55	22	05	3175	0.0	10	31	05	5785	–17.0	10	31	06
14	0	09404	—	—	972	3.2	100	00	00	255	1570	5.9	40	04	02	3150	1.8	10	05	04	5770	–14.0	32	05	06
15	0	02444	—	—	966	2.0	100	00	00	215	1530	10.2	38	22	05	3130	1.4	10	23	04	5760	–15.7	10	16	13
16	8	09444	88756	—	965	8.0	100	00	00	199	1530	8.7	72	16	03	3110	–1.4	65	17	04	5720	–16.2	96	19	11
17	0	01454	—	—	967	8.2	100	00	00	214	1560	7.9	92	00	00	3130	–3.2	87	23	07	5720	–18.0	27	26	06
18	0	02454	—	—	969	10.0	100	00	00	229	1570	7.6	95	26	06	3140	–2.9	84	27	11	5735	–15.3	96	29	22
19	7	65026	87633	—	967	12.1	95	23	07	210	1550	7.6	100	25	27	3125	–1.7	100	28	25	5760	–12.7	10	32	34
20	3	70020	83173	—	966	6.0	100	00	00	211	1520	8.4	93	25	14	3145	4.5	10	29	22	5800	–13.1	53	33	22
21	8	65022	88637	—	966	11.3	100	00	00	203	1555	5.8	100	27	09	3110	–4.3	100	26	10	5685	–20.5	94	26	03
22	0	01474	—	—	973	7.3	100	00	00	268	1610	9.6	74	00	00	3190	–0.7	54	11	10	5800	–14.6	47	16	15
23	0	01474	—	—	973	7.6	100	00	00	264	1610	8.3	50	00	00	3180	–0.1	22	00	00	5805	–16.0	20	18	07
24	9	00454	—	—	969	8.1	100	00	00	231	1580	9.7	55	00	00	3155	–0.1	38	24	10	5775	–17.2	32	22	15
25	9	03474	—	—	963	6.4	100	00	00	171	1520	7.5	80	25	17	3080	–1.9	30	23	27	5670	–19.2	58	23	28
26	8	70606	88517	—	960	4.0	90	20	10	154	1465	–3.2	99	31	10	2970	–11.7	100	28	10	5490	–24.8	96	20	66
27	8	70606	88515	—	952	1.8	100	00	00	099	1400	–4.3	100	03	23	2895	–14.7	100	05	25	5340	–33.6	100	05	17
28	8	75022	88520	—	954	2.4	100	20	10	114	1410	–4.7	100	26	14	2905	–14.5	100	28	22	5370	–31.8	96	32	22
29	8	74022	88620	—	962	2.6	93	23	10	181	1490	–2.8	100	30	16	3000	–11.1	91	30	22	5530	–22.0	10	35	26
30	3	76016	83616	—	951	1.6	92	21	05	088	1385	–4.3	96	25	22	2885	–14.0	45	25	28	5350	–32.4	100	28	23
31	8	57022	88614	—	957	0.6	100	00	00	139	1440	–5.4	97	05	25	2935	–13.5	76	05	33	5420	–30.2	45	08	05
Moyen					964	5.7	99	—	02	194	1521	4.0	80	—	12	3072	–4.5	56	—	15	5645	–20.5	54	—	23

Octobre 1956

Jour	Données synoptiques en surface (Code AERO)				Surface 491 m					1000 mb	850 mb					700 mb					500 mb				
1	2	75011	81845	81167	964	20.5	55	00	00	176	1570	16.0	18	23	12	3175	2.7	25	24	16	5805	–15.9	57	23	25
2	7	60022	87361	—	959	19.9	65	00	00	131	1520	15.9	36	24	17	3120	3.0	46	23	33	5775	–12.8	80	25	33
3	8	40636	88703	—	959	14.8	100	00	00	139	1500	7.1	100	24	10	3070	–0.7	100	24	26	5700	–13.7	100	24	38
4	6	70032	86658	—	963	13.2	55	00	00	170	1520	4.5	65	26	11	3070	–5.0	70	26	15	5665	–17.0	33	26	39
5	8	70606	88710	—	953	7.1	95	23	11	094	1415	–0.6	100	28	30	2935	–10.5	100	28	50	5455	–26.0	100	24	49
6	8	60022	88530	—	961	6.8	90	23	13	166	1485	–1.0	98	26	27	3000	–11.3	98	29	23	5500	–28.6	50	31	23
7	7	70022	83635	84740	963	7.4	50	00	00	183	1500	–1.3	73	11	04	3000	–13.0	46	30	13	5500	–27.0	53	33	33
8	7	70022	82840	86650	965	7.4	65	03	10	201	1520	–1.3	73	11	04	3040	–8.2	30	09	04	5617	–17.4	27	02	33
9	3	60012	83633	—	965	7.7	70	03	07	194	1515	–0.3	60	08	23	3040	–7.5	10	07	17	5600	–20.7	29	05	18
10	0	57020	—	—	968	10.1	55	00	00	220	1550	3.8	42	28	06	3100	–2.4	16	09	08	5700	–18.9	10	05	15
11	0	40104	—	—	971	9.1	90	00	00	250	1585	6.4	30	32	15	3115	0.4	25	32	15	5750	–16.1	19	26	21
12	0	40054	40104	—	974	12.0	76	00	00	269	1610	5.1	29	24	05	3170	–2.9	10	29	07	5755	–20.8	10	28	09
13	0	40104	—	—	972	12.0	86	00	00	254	1610	9.1	10	32	03	3200	1.9	11	33	02	5830	–14.4	10	02	10
14	0	10404	—	—	968	8.9	90	00	00	223	1570	10.7	31	08	05	3170	3.4	39	14	12	5810	–14.3	10	18	12
15	8	40444	88706	—	966	10.0	85	00	00	210	1560	9.4	40	20	03	3140	1.2	15	19	05	5760	–15.6	30	19	18
16	8	18102	84713	88359	966	12.3	85	00	00	205	1560	8.5	95	25	05	3130	2.3	100	23	07	5745	–16.6	86	22	07
17	8	18022	88701	—	968	11.7	90	00	00	221	1570	8.6	69	00	00	3140	–2.9	75	27	09	5745	–17.1	18	29	14
18	8	18636	84701	88458	968	11.9	100	00	00	219	1570	6.2	87	25	22	3130	–3.8	100	23	20	5735	–13.8	100	29	32
19	7	74022	84827	84657	967	18.0	50	26	10	206	1570	8.7	63	26	08	3150	3.0	26	34	22	5780	–12.0	35	32	17
20	6	82840	85361	85074	965	15.5	75	00	00	192	1560	8.3	76	26	15	3130	0.2	60	23	25	5765	–14.0	54	24	36
21	6	63022	86627	—	969	15.0	70	06	12	223	1585	7.8	78	06	15	3155	0.5	63	17	20	5775	–15.7	65	13	14
22	0	70050	—	—	973	14.0	70	00	00	260	1625	10.2	47	02	05	3200	0.5	38	12	05	5835	–13.2	18	18	08
23	9	18434	—	—	970	11.0	92	00	00	237	1585	9.5	32	10	03	3155	1.2	17	21	07	5785	–16.6	22	20	11
24	9	18434	—	—	965	10.0	90	00	00	196	1540	9.5	25	25	11	3125	0.2	10	25	15	5720	–18.2	10	23	14
25	8	20626	88528	—	958	9.9	100	22	08	134	1470	3.8	100	25	13	3025	–3.7	100	24	25	5600	–20.5	94	23	44
26	8	10727	88520	—	957	1.0	100	00	00	139	1425	–5.1	100	01	11	2925	–15.3	100	04	12	5385	–30.4	90	16	44
27	8	72686	88530	—	954	4.0	100	16	06	107	1410	–3.0	100	30	08	2925	–13.4	100	32	16	5390	–29.8	100	35	20
28	8	75022	88616	—	958	5.2	74	33	05	140	1455	–4.5	89	33	08	2950	–14.2	97	02	20	5440	–29.9	62	04	44
29	8	40606	88610	—	953	4.4	100	22	07	101	1430	–0.4	100	25	28	2970	–8.8	100	26	38	5490	–23.8	29	28	67
30	8	50026	88616	—	952	2.5	100	00	00	090	1400	–4.5	100	07	04	2900	–13.8	100	07	07	5370	–31.6	100	02	02
31	6	45022	86616	—	960	4.4	75	06	10	160	1460	–3.9	100	10	02	3000	–9.8	37	14	13	5500	–26.3	39	19	62
Moyen					964	10.2	80	—	03	184	1524	1.6	66	—	11	3076	–4.2	57	—	16	5654	–19.6	50	—	25

niveaux standard

03.00 h

400 mb					300 mb					200 mb				150 mb				100 mb				Tropopause		
H	T	U	dd	ff	H	T	U	dd	ff	H	T	dd	ff	H	T	dd	ff	H	T	dd	ff	H	P	T
7450	–23.6	80	26	28	9490	–41.5	—	26	38	12120	–57.9	26	35	13920	–59.5	26	36	16440	–60.5	25	30	12750	181	–59.0
7390	–26.2	35	24	32	9400	–43.4	—	26	32	12000	–65.0	26	25	13750	–63.4	26	36	16240	–61.0	26	33	12710	178	–66.5
7300	–30.7	93	26	44	9280	–47.3	—	24	60	11840	–68.1	27	55	13560	–66.3	27	40	16010	–64.1	25	50	12300	185	–69.5
7290	–29.5	10	27	38	9280	–44.3	—	27	42	11900	–58.2	25	50	13710	–57.6	26	34	16270	–55.0	26	33	11590	210	–58.3
7170	–32.1	91	28	60	9135	–48.2	—	27	72	11740	–53.3	27	82	13590	–51.1	27	77	—	—	—	—	10500	243	–55.8
6980	–43.6	51	33	34	8860	–50.5	—	32	35	11530	–47.5	27	44	13400	–51.0	28	60	16030	–54.5	28	28	8070	339	–51.6
7080	–38.6	50	34	49	9020	–49.0	—	33	97	11680	–49.2	33	77	13550	–49.8	33	60	16200	–50.5	33	38	9020	300	–49.0
7050	–34.2	10	31	40	9020	–46.3	—	36	55	11660	–51.3	36	60	13520	–52.8	36	66	16120	–54.7	36	34	10110	254	–51.4
7200	–34.0	82	32	25	9140	–50.8	—	33	34	11770	–52.3	32	25	13610	–56.8	32	23	16150	–59.4	32	26	9140	300	–50.8
7285	–30.8	49	05	44	9260	–46.3	—	04	49	11870	–55.3	03	49	13690	–59.0	03	20	16230	–60.0	35	17	11210	222	–55.7
7375	–28.8	10	03	11	9360	–46.0	—	05	07	11960	–61.0	04	11	13740	–62.5	35	11	16230	–62.3	36	11	12050	197	–61.3
7430	–29.0	10	27	11	9420	–46.0	—	27	05	12000	–59.8	27	13	13790	–62.7	30	22	—	—	—	—	13030	170	–62.6
7405	–31.0	10	29	08	9400	–42.2	—	03	34	12030	–59.0	06	44	13810	–63.4	01	17	16300	–63.0	34	27	13180	166	–63.4
7430	–25.3	26	05	07	9460	–41.5	—	07	15	12080	–59.9	35	09	13700	–66.2	33	11	—	—	—	—	13700	154	–66.2
7400	–27.8	10	18	18	9390	–44.2	—	19	28	12000	–60.6	22	16	13770	–62.8	31	08	16240	–65.0	35	09	13300	162	–63.8
7350	–29.3	83	19	15	9350	–44.1	—	22	18	11950	–58.2	21	15	13750	–60.6	23	05	16270	–64.1	22	02	10770	241	–56.0
7350	–31.7	33	26	14	9335	–44.9	—	26	12	11940	–59.0	01	20	13740	–63.0	35	14	16200	–65.5	33	06	11350	220	–57.5
7380	–27.2	94	30	27	9375	–45.0	—	29	44	11940	–68.6	32	59	—	—	—	—	—	—	—	—	—	—	—
7420	–24.0	70	32	37	9460	–38.2	—	33	70	12110	–60.5	33	71	13880	–63.2	33	40	16360	–64.6	30	50	12800	179	–63.0
7460	–26.8	61	33	22	9470	–44.0	—	32	33	12050	–65.1	32	34	—	—	—	—	—	—	—	—	—	—	—
7300	–31.1	76	26	05	9290	–40.2	—	31	15	12000	–51.8	01	22	13820	–57.6	35	22	16350	–61.0	34	22	—	—	—
7455	–26.2	17	16	28	9460	–42.8	—	17	25	12070	–61.6	14	30	13820	–65.7	11	05	16270	–66.2	05	09	13000	171	–65.7
7445	–27.5	27	14	10	9440	–43.1	—	08	12	12060	–61.6	09	18	13820	–64.1	09	02	16300	–63.8	01	11	12890	175	–64.8
7405	–30.9	36	22	15	9360	–50.4	—	20	26	11900	–65.1	22	12	13630	–69.0	26	10	16050	–68.2	26	14	13030	166	–68.5
7280	–33.3	57	24	22	9240	–49.2	—	24	27	11780	–64.8	23	50	13590	–64.9	25	30	16000	–63.7	27	18	11710	202	–64.6
7070	–36.7	92	20	78	9000	–48.3	—	20	110	11620	–51.0	21	90	13490	–52.2	—	—	16100	–55.0	—	—	10110	253	–55.0
6875	–44.4	95	13	14	8780	–45.7	—	12	22	11480	–47.5	20	05	13360	–50.4	20	06	—	—	—	—	7400	370	–47.3
6905	–44.2	91	31	22	8805	–46.3	—	36	21	11510	–46.0	36	15	13400	–50.2	00	00	16040	–53.7	00	00	8070	336	–47.2
7120	–33.8	10	01	46	9080	–49.0	—	36	110	11660	–59.0	36	50	13480	–54.4	33	30	16070	–55.9	30	16	11600	202	–59.1
6870	–47.1	100	30	41	8770	–46.0	—	28	45	11460	–49.8	28	44	13330	–51.4	30	30	—	—	—	—	7120	385	–48.6
6960	–43.5	44	25	15	8870	–47.9	—	28	22	11540	–49.5	27	13	13410	–51.3	29	14	—	—	—	—	8620	312	–47.6
7257	–32.4	52	—	28	9226	–45.6	—	—	39	11847	–57.3	—	37	13642	–58.7	—	26	16194	–60.5	—	22	—	—	—

15.00 h

7435	–30.7	47	23	17	9400	–49.7	—	23	22	11930	–66.1	24	26	13670	–65.3	24	32	16150	–64.6	24	22	12070	196	–66.8
7445	–23.3	65	25	40	9470	–41.4	—	25	49	12070	–66.0	27	49	13790	–63.4	25	48	16290	–62.0	25	33	12800	177	–69.0
7360	–23.2	100	24	44	9400	–40.0	—	24	66	12040	–60.2	25	55	13810	–60.8	24	50	16340	–57.9	25	60	12930	173	–62.4
7300	–29.0	58	26	39	9290	–43.0	—	26	66	11940	–54.1	26	66	13790	–51.4	27	50	16400	–52.5	26	34	11700	208	–54.6
7030	–39.2	100	25	49	8950	–48.4	—	27	33	11620	–48.4	26	66	13500	–51.3	27	60	16110	–54.8	26	48	16110	100	–54.8
7050	–42.0	50	30	23	8950	–50.5	—	33	33	11620	–47.3	31	33	13520	–47.0	30	25	16180	–50.4	30	17	8530	320	–49.8
7070	–37.7	53	33	77	8980	–51.1	—	34	66	11620	–51.0	34	38	13490	–49.7	34	33	16140	–52.7	32	13	8730	312	–51.0
7400	–32.0	45	01	28	9210	–45.2	—	36	45	11830	–55.5	35	44	13650	–56.4	01	38	16210	–58.1	01	17	10300	254	–53.8
7180	–34.9	17	05	28	9130	–49.5	—	06	55	11730	–56.7	01	22	13550	–58.8	34	22	16080	–61.2	31	14	10780	233	–55.8
7310	–32.4	10	08	15	9270	–49.6	—	07	33	11830	–62.8	04	09	13600	–64.6	05	12	16060	–63.8	01	05	11830	200	–62.8
7400	–30.0	19	32	22	9380	–45.5	—	26	15	12000	–61.3	26	22	13760	–63.2	26	25	16240	–63.0	26	23	12530	183	–62.5
7350	–35.5	10	23	07	9280	–51.0	—	24	12	11840	–63.2	34	18	13580	–66.0	34	17	16060	–62.6	34	11	13040	164	–65.6
7470	–25.7	13	04	09	9495	–41.3	—	04	20	12130	–59.8	04	18	13910	–62.0	01	20	16400	–62.3	01	28	12390	192	–61.1
7470	–26.7	14	14	22	9470	–42.2	—	17	07	12070	–64.4	18	26	13810	–66.3	34	16	16400	–67.2	32	16	12190	196	–65.3
7400	–27.3	25	22	20	9420	–40.0	—	26	40	12070	–56.2	23	16	13880	–59.5	25	08	16380	–61.9	00	00	12740	180	–58.6
7370	–29.9	73	23	14	9360	–45.4	—	23	23	—	—	—	—	—	—	—	—	—	—	—	—	-		—
7390	–24.3	10	02	25	9420	–39.5	—	03	31	12050	–62.7	36	40	13790	–69.7	35	20	16230	–66.0	33	15	13790	150	–69.7
7405	–23.7	84	31	45	9430	–39.3	—	30	55	12080	–59.4	31	55	13850	–65.0	31	35	16300	–65.9	30	35	14530	134	–66.9
7460	–21.8	64	34	28	9520	–37.7	—	34	55	12180	–60.7	34	69	13940	–68.6	34	60	16380	–66.1	33	38	13440	163	–68.5
7420	–24.1	47	21	38	9450	–40.8	—	23	45	12095	–58.0	24	44	13870	–62.3	26	25	16370	–62.7	32	14	13160	169	–63.4
7420	–27.0	47	09	12	9440	–38.2	—	03	24	12140	–51.9	05	34	13970	–57.4	06	13	16520	–58.6	03	07	15650	115	–60.6
7485	–27.1	18	16	10	9485	–44.6	—	15	11	12080	–64.4	16	12	13800	–70.2	10	05	16200	–69.0	35	04	13050	170	–70.6
7400	–30.4	33	20	13	9380	–51.0	—	18	20	11880	–70.3	20	04	13580	–72.0	18	03	15960	–71.0	00	00	11320	220	–68.5
7340	–29.8	10	23	11	9320	–46.0	—	23	15	11930	–60.6	23	28	13690	–64.0	23	27	16180	–64.2	23	27	12600	179	–62.5
7405	–32.0	65	23	30	9180	–45.3	—	23	33	11780	–60.0	23	46	13580	–58.1	23	66	16140	–56.8	23	62	11460	211	–59.5
6945	–39.7	88	16	82	8860	–50.2	—	20	83	11490	–52.9	21	22	13540	–53.0	20	28	15950	–54.0	21	17	8600	312	–49.8
6940	–41.5	100	01	27	8850	–47.0	—	01	22	11550	–46.2	29	08	13460	–48.0	20	13	16115	–50.9	00	00	8130	335	–48.4
7000	–40.0	50	05	77	8880	–57.8	—	05	55	11475	–52.0	04	44	13320	–56.3	02	39	15890	–57.9	25	17	9070	291	–58.6
7070	–37.0	40	30	67	9000	–50.4	—	29	72	11600	–55.1	31	45	—	—	—	—	—	—	—	—	10200	249	–56.3
6910	–45.4	100	36	04	8820	–44.7	—	35	16	11530	–47.4	29	16	13410	–50.2	30	12	—	—	—	—	6910	400	–45.4
7070	–38.7	59	20	33	9000	–48.0	—	19	15	11640	–51.0	18	17	13500	–53.0	19	12	16100	–54.8	20	12	10320	245	–51.0
7281	–31.7	49	—	31	9242	–45.6	—	—	37	11861	–57.5	—	33	13676	–60.0	—	28	16200	–60.5	—	21	—	—	—

Observations aux

Novembre 1956

Jour	Données synoptiques en surface (Code AERO)				Surface 491 m					1000 mb	850 mb					700 mb					500 mb				
	N	VVwwW	NsChshs	NsChshs	P	T	U	dd	ff	H	H	T	U	dd	ff	H	T	U	dd	ff	H	T	U	dd	ff
1	8	56022	88616	—	962	2.4	95	04	10	181	1480	–4.49	100	07	15	3025	–4.8	48	09	20	5575	–23.0	83	14	20
2	8	12454	88704	—	953	1.0	100	06	10	105	1405	–3.0	97	05	18	2955	–3.4	53	06	23	5530	–18.7	34	08	17
3	0	55100	—	—	954	–0.2	95	00	00	114	1410	–4.5	87	05	22	2915	–10.7	90	05	23	5435	–26.0	45	04	28
4	8	45022	88657	—	960	0.5	100	00	00	163	1455	–1.4	84	03	05	3000	–11.8	100	03	12	5505	–23.3	40	03	40
5	8	59022	88614	—	964	3.5	95	00	00	189	1490	0.0	96	35	07	3000	–11.1	96	35	23	5570	–22.3	42	01	39
6	3	40411	83656	—	970	2.2	100	00	00	247	1565	–1.5	97	05	10	3085	–10.6	99	03	17	5630	–23.3	64	01	49
7	0	40410	—	—	975	–1.0	100	00	00	287	1600	1.3	71	06	17	3150	–3.3	54	34	16	5725	–19.0	29	36	32
8	0	40410	—	—	969	–1.8	100	00	00	239	1560	7.8	35	07	11	3120	–1.5	10	04	09	5720	–19.8	10	36	10
9	9	01454	—	—	962	–0.6	100	00	00	181	1500	8.6	38	22	15	3100	0.3	10	22	19	5720	–13.7	10	16	17
10	8	40026	88737	—	962	2.0	100	00	00	183	1500	3.1	97	23	12	3055	–2.1	100	26	25	5670	–17.2	70	27	22
11	8	57022	88630	—	960	5.4	100	00	00	156	1485	2.7	87	23	18	3020	–9.1	100	24	22	5560	–23.1	73	25	25
12	8	74022	88630	—	955	3.4	100	00	00	111	1430	–0.2	100	22	13	2955	–9.6	100	21	23	5460	–28.1	100	20	38
13	4	57022	84640	—	954	4.6	95	05	05	109	1420	0.4	100	07	10	2965	–7.5	88	19	06	5490	–26.4	80	21	23
14	8	56022	88727	—	958	3.5	90	05	06	144	1460	–1.5	97	08	14	3000	–3.2	55	08	14	5580	–20.4	58	09	12
15	8	57022	88727	—	960	2.5	90	00	00	154	1460	–4.1	98	03	16	3000	–7.7	69	03	07	5525	–23.1	92	19	07
16	8	57022	88710	—	965	2.0	70	05	14	207	1505	–4.2	100	06	33	3020	–4.9	34	06	30	5585	–23.1	25	05	30
17	8	57022	88627	—	968	–2.6	100	00	00	238	1525	–4.4	92	05	10	3060	–5.3	24	06	14	5615	–23.2	23	02	14
18	3	50021	83610	—	963	–3.0	100	00	00	194	1485	–1.7	100	24	04	3015	–7.4	68	21	20	5545	–24.2	98	11	10
19	8	50022	88710	—	960	–0.3	100	00	00	163	1460	–4.5	92	06	06	3000	–6.3	36	11	04	5525	–25.7	17	12	11
20	8	50022	88717	—	957	0.0	90	16	07	139	1435	–1.2	79	00	00	2965	–7.1	25	21	15	5505	–24.6	13	20	15
21	8	35022	88712	—	964	0.0	100	00	00	197	1490	–0.4	60	06	08	3025	–6.8	24	05	07	5555	–24.1	12	30	15
22	8	45022	88714	—	961	–1.2	90	08	09	172	1470	–5.7	92	21	04	2990	–6.8	12	11	07	5530	–24.7	42	13	06
23	8	45022	88714	—	958	–1.8	95	00	00	147	1425	–8.9	100	00	00	2930	–7.0	34	01	06	5470	–24.8	60	05	12
24	8	45022	88714	—	965	–2.0	80	00	00	208	1480	–9.1	94	11	03	2980	–9.5	83	10	05	5510	–24.8	73	10	08
25	4	55021	84640	—	971	–1.0	75	00	00	253	1530	–8.6	96	04	02	3050	–7.7	77	04	12	5595	–23.9	24	03	26
26	8	70023	88634	—	968	1.0	100	24	10	227	1540	–2.5	100	27	30	3060	–7.0	100	29	35	5620	–20.4	96	34	48
27	2	80021	82635	—	962	5.0	70	23	16	171	1490	–0.6	75	25	20	3000	–3.4	61	28	35	5610	–20.1	68	30	55
28	8	57606	88630	—	953	6.2	100	22	15	102	1450	1.2	100	25	38	2970	–7.5	100	26	38	5515	–23.9	94	30	45
29	3	74016	83657	—	947	2.0	70	24	12	044	1365	–2.7	67	28	24	2855	–14.6	79	27	34	5310	–34.2	49	26	56
30	3	70221	83650	—	953	–1.6	100	00	00	101	1385	–8.2	100	02	12	2865	–18.4	93	03	20	5270	–38.2	60	02	40
Moyen					961	1.0	93	—	04	171	1476	–1.9	88	—	13	3005	–7.2	64	—	18	5549	–23.6	53	—	26

Novembre 1956

1	8	40022	88707	—	959	3.1	95	00	00	147	1450	–0.4	95	17	05	3000	–4.0	49	13	08	5560	–23.2	64	11	15
2	7	40022	87707	—	952	3.4	65	08	08	085	1385	–5.3	82	04	32	2900	–7.9	36	03	32	5435	–24.2	45	02	33
3	6	40012	86620	—	958	4.2	80	02	14	138	1450	–3.2	90	05	20	2960	–10.5	76	05	28	5485	–26.0	55	02	33
4	8	50022	88650	—	961	5.6	90	00	00	167	1480	0.2	98	25	10	3020	–8.1	100	33	17	5560	–23.6	80	02	34
5	8	45022	85616	87649	966	6.7	80	00	00	206	1520	–1.3	100	00	00	3050	–11.4	100	34	12	5585	–20.8	63	33	24
6	3	70032	83640	—	973	8.7	66	05	12	266	1590	–0.7	70	05	12	3125	–5.0	53	01	22	5695	–19.9	42	36	32
7	3	76021	83064	—	972	9.7	60	05	12	257	1585	6.5	28	07	10	3150	–2.5	26	03	15	5740	–17.3	12	36	22
8	8	02454	—	—	964	1.8	100	00	00	197	1515	8.8	27	22	15	3095	1.8	10	14	13	5720	–14.4	10	13	06
9	8	45100	—	—	961	7.2	80	00	00	164	1495	3.7	58	25	10	3050	–3.0	28	22	23	5645	–18.2	26	21	20
10	6	55606	84630	86358	961	8.7	80	20	10	159	1495	2.8	100	25	15	3035	–7.1	100	24	22	5585	–21.4	36	30	25
11	6	54022	83630	85361	956	11.8	45	24	11	115	1460	3.3	78	22	25	3000	–7.3	88	23	22	5530	–24.9	77	25	30
12	8	76022	88616	—	953	7.3	72	00	00	098	1415	–1.6	90	05	06	2930	–10.7	99	18	13	5425	–30.0	84	20	27
13	8	45022	88717	—	955	6.3	80	05	14	115	1425	–0.4	100	09	17	2970	–3.3	64	14	16	5540	–22.0	100	17	17
14	8	57022	88610	—	958	3.6	88	06	08	140	1450	–3.0	99	06	10	3000	–3.4	61	06	08	5555	–22.0	78	36	03
15	8	55022	88716	—	962	3.4	90	04	20	175	1475	–3.4	99	06	22	3000	–5.5	88	05	28	5560	–21.5	44	02	12
16	3	70021	83610	—	967	4.2	70	06	18	217	1525	–2.4	87	07	22	3060	–3.2	49	08	12	5625	–20.0	25	06	44
17	0	70020	—	—	966	5.0	72	00	00	208	1515	–2.1	97	04	05	3050	–5.8	38	09	06	5580	–24.4	94	02	06
18	8	40022	88717	—	961	1.4	90	00	00	172	1480	1.4	73	06	05	3010	–7.0	50	15	07	5565	–22.5	27	11	12
19	8	40454	—	—	957	1.4	85	08	10	141	1435	1.2	89	00	00	3000	–5.6	38	20	10	5515	–24.7	40	20	15
20	7	30404	87614	—	959	3.0	70	04	05	151	1460	2.0	59	00	00	3000	–7.2	52	23	05	5530	–23.6	39	26	26
21	9	18454	—	—	963	0.7	82	00	00	188	1475	–0.1	83	01	05	3000	–7.5	33	31	03	5520	–26.6	29	25	10
22	9	18454	—	—	958	–0.5	82	00	00	147	1430	–5.4	99	00	00	2950	–7.5	29	06	07	5485	–25.0	58	14	17
23	8	22024	88717	—	961	–1.4	75	06	06	168	1450	–9.4	97	22	07	2940	–9.0	58	22	03	5480	–23.5	31	02	10
24	8	22024	88717	—	967	–0.8	75	03	10	222	1505	–9.5	100	05	03	3000	–9.8	100	05	06	5535	–26.0	77	34	14
25	7	22024	77717	—	971	1.0	70	24	06	252	1545	–1.6	50	30	06	3070	–7.0	11	33	17	5635	–18.4	69	36	28
26	7	60022	87625	—	965	7.0	70	23	12	204	1525	1.1	99	26	18	3065	–5.0	99	31	18	5640	–20.0	90	34	38
27	8	60152	83523	88361	958	6.7	60	22	24	140	1465	–1.2	96	26	35	2960	–6.1	36	29	40	5540	–21.2	100	30	78
28	6	71606	86630	—	946	6.6	80	25	17	039	1365	0.6	82	27	46	2890	–9.6	78	27	57	5410	–26.5	38	27	95
29	7	70858	87630	—	950	2.1	60	00	00	077	1375	–5.7	92	28	10	2850	–18.7	98	32	20	5270	–37.1	74	35	18
30	7	30858	87922	—	958	0.0	90	07	12	143	1415	–8.2	100	03	22	2895	–18.0	100	04	25	5350	–30.1	19	02	25
Moyen					961	4.3	77	—	08	163	1472	–1.1	84	—	13	3001	–7.2	62	—	17	5543	–23.3	54	—	26

niveaux standard

03.00 h

400 mb					300 mb					200 mb				150 mb				100 mb				Tropopause		
H	T	U	dd	ff	H	T	U	dd	ff	H	T	dd	ff	H	T	dd	ff	H	T	dd	ff	H	P	T
7165	–35.9	71	19	38	9110	–49.6	—	18	45	11710	–51.8	17	24	13560	–55.4	17	20	16140	–56.4	00	00	10230	252	–55.0
7155	–29.0	16	06	18	9150	–42.6	—	06	06	11800	–52.0	08	11	13670	–49.7	36	12	16310	–52.3	26	22	11000	227	–53.5
7000	–39.0	59	02	25	8920	–51.5	—	03	29	11540	–52.9	03	33	13380	–54.0	32	11	15930	–58.2	33	16	9000	297	–51.8
7090	–36.0	65	03	44	9045	–47.2	—	03	99	11650	–55.0	01	49	13470	–56.1	02	17	16050	–56.0	02	33	11000	222	–56.1
7160	–35.9	47	36	49	9100	–52.2	—	36	56	11600	–68.1	36	39	13345	–65.0	34	38	15840	–62.3	—	—	11420	206	–68.9
7220	–37.3	51	02	38	9130	–53.0	—	02	37	11670	–58.3	34	39	13480	–60.0	34	45	16000	–59.5	30	44	10800	230	–63.3
7345	–32.0	36	36	18	9305	–49.0	—	02	25	11835	–69.9	03	27	13580	–62.3	34	27	16070	–62.4	35	30	12000	195	–70.4
7335	–32.1	10	04	10	9315	–45.2	—	15	02	11900	–64.0	13	17	13680	–60.6	33	17	16130	–61.5	32	23	12520	181	–65.5
7370	–25.5	10	16	16	9390	–40.6	—	16	20	12045	–60.0	05	02	13840	–60.1	02	22	16360	–61.0	27	22	12470	187	–62.2
7310	–26.0	33	26	17	9345	–37.1	—	24	34	12070	–49.1	26	34	13950	–51.2	27	34	16555	–56.2	27	17	12420	190	–50.5
7160	–34.8	80	25	33	9100	–49.5	—	25	44	11680	–55.5	27	38	13520	–55.5	27	18	16070	–59.3	28	25	10530	240	–58.5
7000	–38.5	100	21	46	8940	–50.4	—	22	34	11590	–49.9	25	18	13460	–54.2	27	15	16030	–57.9	33	13	9050	295	–51.0
7050	–40.4	77	21	38	9050	–53.6	—	19	44	11570	–50.1	00	00	13440	–52.5	00	00	—	—	—	—	9380	281	–54.2
7190	–33.7	31	07	06	9130	–49.4	—	21	15	11740	–54.5	05	10	13580	–54.0	03	05	16170	–57.6	29	10	10770	233	–54.8
7115	–35.9	84	08	08	9050	–49.8	—	01	12	11640	–55.4	27	07	13490	–54.0	28	14	16050	–59.7	32	15	10620	235	–56.6
7180	–33.6	27	04	33	9140	–47.7	—	04	20	11750	–53.4	03	20	13590	–53.6	25	25	16170	–56.8	—	—	10780	233	–56.1
7195	–37.7	62	01	14	9110	–53.3	—	03	25	11640	–61.7	34	12	13420	–60.9	24	20	—	—	—	—	11000	222	–63.9
7125	–37.0	100	12	06	9050	–50.1	—	20	06	11650	–54.6	09	08	13490	–54.6	11	08	16070	–56.0	24	15	10130	254	–56.2
7095	–39.3	41	12	24	9000	–56.3	—	12	25	11580	–55.0	12	14	13410	–56.8	12	10	15960	–59.2	17	14	10090	253	–56.2
7080	–37.6	25	22	12	9000	–49.3	—	21	28	11600	–56.0	23	20	13440	–52.9	24	12	16020	–55.0	24	12	10890	224	–57.5
7135	–37.2	56	29	16	9050	–53.1	—	30	16	11610	–57.0	24	05	13430	–56.0	21	05	16000	–56.0	25	05	10180	251	–59.2
7110	–36.0	39	18	17	9040	–49.6	—	19	38	11640	–54.6	15	12	13480	–53.6	00	00	16070	–55.0	00	00	10560	237	–55.9
7045	–37.9	100	06	17	8960	–55.1	—	09	22	11480	–58.0	08	06	13300	–56.4	00	00	15860	–58.6	31	07	10460	236	–63.7
7100	–35.7	59	09	08	9030	–51.0	—	04	17	11600	–55.1	02	10	13440	–52.7	34	12	16050	–54.2	33	12	10600	234	–58.6
7190	–34.1	15	03	44	9135	–48.0	—	03	82	11770	–52.6	03	55	13620	–53.0	36	44	16240	–53.4	01	39	9290	293	–49.0
7240	–31.5	88	35	108	9200	–46.9	—	34	98	11770	–63.8	34	76	13560	–60.8	—	—	16000	–65.3	—	—	11600	206	–64.9
7230	–29.1	79	31	59	9220	–44.8	—	31	71	11820	–62.5	31	45	—	—	—	—	—	—	—	—	—	—	—
7105	–33.8	75	28	72	9070	–46.3	—	29	68	—	—	—	—	—	—	—	—	—	—	—	—	—	—	—
6840	–43.0	47	27	65	8730	–54.0	—	26	82	—	—	—	—	—	—	—	—	—	—	—	—	—	—	—
6770	–48.2	60	20	28	8600	–58.5	—	36	17	11130	–63.0	36	44	12905	–63.1	35	28	15360	–67.0	35	39	8220	319	–59.0
7137	–35.5	55	—	31	9077	–49.5	—	—	37	11681	–56.9	—	24	13501	–56.3	—	18	16060	–58.3	—	19	—	—	—

15.00 h

7150	–34.2	70	15	23	9100	–49.2	—	17	29	11700	–55.2	08	14	13540	–55.8	33	16	16110	–57.6	26	09	10840	229	–55.2
7040	–35.0	39	01	23	9000	–49.8	—	35	05	11580	–53.1	33	16	13420	–52.7	34	18	16000	–57.1	31	33	10150	250	–57.6
7060	–37.4	85	02	38	9000	–52.8	—	02	49	11560	–56.2	02	38	13375	–56.8	01	39	—	—	—	—	9350	283	–54.7
7150	–34.1	20	02	66	9100	–50.8	—	01	81	11650	–60.6	01	33	13430	–61.4	01	17	—	—	—	—	10070	258	–58.2
7180	–33.9	66	32	38	9130	–49.1	—	32	33	11700	–59.4	32	38	13510	–56.9	33	28	16070	–57.8	31	20	11460	208	–59.9
7305	–33.6	40	01	23	9240	–52.1	—	07	38	11770	–65.2	01	32	13530	–60.6	34	35	16050	–59.5	33	35	11910	195	–65.8
7375	–29.3	17	36	26	9350	–46.1	—	36	23	11930	–64.8	05	22	13660	–67.3	02	17	16130	–64.0	35	28	12740	175	–69.0
7370	–27.3	10	16	10	9370	–41.9	—	19	05	12000	–59.8	29	05	13770	–63.8	02	12	16280	–60.0	34	13	12800	176	–64.4
7270	–29.9	28	21	28	9270	–41.3	—	20	30	11930	–57.8	20	08	13730	–57.8	29	10	16270	–58.7	32	14	12210	191	–59.4
7185	–35.2	57	30	30	9000	–51.5	—	31	35	11680	–60.2	28	35	13470	–60.1	28	35	—	—	—	—	11540	205	–60.2
7115	–35.2	66	22	36	9050	–49.0	—	23	66	11680	–50.8	28	17	13540	–53.4	28	10	—	—	—	—	9670	273	–52.5
6970	–43.5	80	21	38	8860	–51.0	—	21	28	11490	–52.0	25	10	13340	–54.0	30	10	15920	–58.0	26	06	9880	256	–53.0
7135	–33.8	100	19	16	9090	–48.7	—	17	22	11720	–50.3	12	05	13590	–50.9	02	05	16200	–54.0	35	16	10560	239	–52.2
7150	–35.0	57	33	09	9090	–50.0	—	05	09	11680	–59.1	03	13	13490	–55.8	31	06	16060	–57.6	30	05	11460	207	–59.5
7160	–34.0	39	05	15	9130	–46.5	—	05	28	11750	–53.9	01	08	13600	–52.4	32	07	—	—	—	—	10610	239	–54.8
7245	–33.0	25	07	49	9200	–48.5	—	06	39	11780	–60.0	07	22	13580	–57.1	24	06	16140	–59.1	24	05	11120	222	–60.7
7170	–36.3	90	35	05	9100	–50.5	—	31	05	11700	–55.4	30	03	13510	–55.3	26	15	—	—	—	—	10540	240	–56.9
7155	–36.5	68	11	15	9080	–51.1	—	09	14	11660	–56.8	12	22	13470	–55.8	15	11	16030	–56.6	26	17	10870	227	58.6
7100	–36.3	37	21	12	9035	–50.0	—	21	33	11615	–56.4	20	20	13440	–55.8	—	—	—	—	—	—	10090	224	–56.8
7100	–36.6	53	28	22	9045	–50.4	—	30	30	11620	–57.5	28	15	13440	–56.0	24	23	16000	–54.4	24	15	10550	237	–57.7
7090	–37.5	36	22	24	9000	–49.0	—	22	22	11610	–54.3	13	06	13460	–54.1	24	10	16060	–55.1	22	12	10000	258	–56.2
7070	–35.9	71	13	17	9000	–52.8	—	15	22	11530	–58.5	30	07	13340	–55.3	22	07	—	—	—	—	10130	251	–61.5
7070	–35.4	62	07	08	9000	–50.3	—	09	25	11570	–56.5	30	02	13410	–53.9	30	07	16000	–54.5	26	07	10780	227	–60.4
7115	–36.8	77	34	20	9040	–51.3	—	35	50	11610	–57.0	02	23	13430	–56.5	36	20	16000	–56.2	33	17	10570	236	57.8
7250	–30.8	60	36	43	9220	–47.9	—	36	65	11790	–62.2	36	115	13570	–64.1	36	66	16050	–64.4	32	16	11280	217	–62.2
7255	–31.5	79	34	60	9230	–46.0	—	34	70	11800	–65.9	34	44	13530	–67.5	33	57	15960	–70.0	—	—	11680	204	–65.9
7140	–32.3	97	30	48	9110	–48.0	—	30	85	11670	–65.9	29	90	13445	–63.0	30	66	15940	–65.5	30	80	11670	200	–65.9
6980	–38.1	26	29	78	8900	–52.9	—	28	82	11500	–54.7	27	98	13320	–55.1	27	90	15930	–57.1	26	98	8940	298	–53.1
6770	–49.2	60	01	16	8630	–55.0	—	25	18	11190	–54.7	29	27	13000	–56.9	31	33	15550	–61.3	30	36	10220	233	–58.9
6900	–40.3	18	02	42	8820	–47.3	—	01	148	11435	–57.0	01	140	13245	–58.9	01	99	15775	–60.8	36	40	12610	166	–58.9
7134	–35.3	54	—	29	9073	–49.4	—	—	40	11662	–57.7	—	31	13473	–57.5	—	27	16023	–59.1	—	25	—	—	—

Observations aux

Décembre 1956

Jour	Données synoptiques en surface (Code AERO)				Surface 491 m					1000 mb	850 mb					700 mb					500 mb				
	N	VVwwW	NsChshs	NsChshs	P	T	U	dd	ff	H	H	T	U	dd	ff	H	T	U	dd	ff	H	T	U	dd	ff
1	2	74021	82640	—	962	–1.0	80	04	15	184	1470	–9.0	90	05	38	2935	–18.0	80	06	44	5410	–30.1	34	04	16
2	0	57020	—	—	968	–4.0	80	04	08	236	1515	–5.4	56	05	53	3035	–6.2	22	05	78	5595	–22.2	15	03	62
3	8	56022	88070	—	972	–4.4	85	00	00	270	1555	–1.6	85	04	12	3085	–7.1	95	02	34	5655	–17.4	57	01	63
4	8	40606	88620	—	974	1.0	95	00	00	277	1580	0.2	99	03	08	3110	–7.7	99	02	22	5675	–19.3	40	35	25
5	8	57022	88627	—	972	2.1	95	00	00	259	1560	2.3	93	27	07	3110	–3.3	52	32	10	5695	–19.7	80	34	35
6	8	60022	88727	—	970	3.8	75	21	07	238	1550	–1.0	90	26	13	3095	–5.2	37	31	22	5665	–21.3	36	32	46
7	9	10454	—	—	971	2.4	100	00	00	253	1560	–10.1	100	05	15	3100	–1.0	30	03	17	5695	–19.6	56	36	24
8	0	10444	—	—	971	–1.0	100	00	00	257	1570	3.1	98	06	18	3125	–2.3	63	02	18	5715	–17.8	48	32	28
9	8	60022	88715	—	969	4.6	100	00	00	234	1545	2.2	95	09	08	3105	–2.0	10	07	07	5680	–18.0	10	01	17
10	0	50414	—	—	970	–2.0	100	00	00	246	1560	3.2	81	24	16	3100	–5.5	62	26	22	5655	–23.2	37	30	16
11	8	15022	88708	—	969	1.4	100	00	00	239	1540	–3.1	100	24	06	3055	–9.7	100	21	16	5555	–28.9	100	17	44
12	8	50022	88715	—	968	–0.2	100	00	00	230	1530	0.8	78	24	30	3070	–4.5	92	27	18	5650	–18.9	18	34	36
13	8	56022	88523	—	965	7.6	87	22	15	196	1535	4.1	96	25	28	3085	–4.5	100	26	33	5665	–18.9	77	26	26
14	4	80022	84628	—	967	5.6	80	23	10	217	1545	0.2	97	24	23	3065	–7.7	55	27	28	5610	–22.9	53	29	55
15	4	76022	84359	—	962	5.0	85	23	10	175	1495	2.6	100	23	27	3035	–6.6	100	27	28	5600	–19.2	41	28	33
16	6	80022	86364	—	961	5.8	50	21	08	160	1505	5.4	84	23	23	3055	–4.6	80	25	33	5625	–18.7	100	29	44
17	0	80020	—	—	967	0.2	96	00	00	223	1545	5.6	65	21	15	3105	–2.1	25	21	23	5700	–18.4	25	21	27
18	0	70020	—	—	971	–1.5	100	00	00	256	1565	4.7	53	21	15	3115	–3.2	35	21	17	5700	–19.9	35	20	34
19	0	00444	—	—	971	–4.8	100	00	00	262	1565	1.4	80	—	—	3100	–7.0	59	—	—	5640	–23.8	74	—	—
20	7	40602	87636	—	969	0.6	100	00	00	242	1550	–0.8	100	16	02	3075	–9.9	100	22	14	5585	–26.0	97	21	34
21	8	57026	88617	86273	967	2.0	100	00	00	223	1520	–4.3	100	29	05	3020	–14.7	100	25	07	5500	–30.2	71	27	28
22	8	56404	88637	—	964	–0.6	100	00	00	193	1485	–6.2	98	05	08	3000	–12.5	74	03	14	5465	–31.0	61	01	12
23	6	70022	86657	—	961	–0.6	85	00	00	170	1455	–7.5	90	03	11	2940	–18.2	97	02	17	5390	–30.3	43	02	38
24	8	57022	88756	—	959	–1.4	75	00	00	154	1440	–8.4	77	01	04	2915	–16.7	60	31	16	5395	–26.9	22	31	45
25	2	56020	82634	—	961	–7.8	90	00	00	179	1435	–10.3	100	32	03	2915	–16.9	54	43	27	5345	–34.3	51	32	48
26	8	40022	88464	—	959	–6.8	90	00	00	163	1430	–8.3	80	25	06	2925	–10.9	37	27	17	5485	–20.3	100	32	61
27	9	05444	—	—	962	–5.2	100	00	00	184	1470	–4.3	100	22	10	2960	–14.4	50	32	22	5420	–30.4	60	30	23
28	0	02444	—	—	960	–1.8	100	00	00	165	1445	–5.8	100	19	08	2945	–15.2	59	18	14	5405	–27.9	10	34	15
29	8	30022	88703	—	957	–5.0	95	00	00	144	1420	–2.1	77	22	18	2935	–9.3	100	25	18	5480	–20.8	100	27	14
30	9	00454	—	—	953	–1.9	100	20	05	105	1405	–0.8	100	22	28	2925	–9.1	100	21	20	5450	–22.3	29	19	07
31	8	10102	88705	—	952	–0.4	100	05	08	093	1390	–0.7	95	09	06	2905	–10.5	100	17	17	5400	–27.9	100	19	18
Moyen					965	–0.3	92	—	03	207	1508	–1.7	89	—	15	3030	–8.6	69	—	22	5565	–23.4	54	—	32

Décembre 1956

1	3	56022	83627	—	965	0.2	60	06	17	210	1495	–7.6	65	06	50	3000	–6.3	20	04	33	5560	–20.2	10	00	00
2	4	40021	84068	—	970	–0.7	60	07	07	245	1535	–2.4	23	04	25	3070	–3.8	23	03	30	5640	–20.1	53	02	68
3	8	60022	87717	81620	973	1.3	68	00	00	272	1590	–0.4	93	33	12	3120	–6.4	61	35	28	5670	–20.7	40	36	45
4	2	65020	81633	82363	971	8.0	75	00	00	247	1575	3.2	82	00	00	3125	–4.6	62	36	12	5680	–23.8	76	36	21
5	8	70022	88716	—	970	5.4	78	00	00	242	1550	2.9	77	26	05	3095	–4.5	40	29	12	5655	–21.9	48	32	22
6	7	70022	87630	—	970	5.9	87	00	00	242	1565	–0.2	90	34	05	3090	–6.0	80	36	17	5675	–20.0	17	01	38
7	1	70021	81640	—	971	7.6	76	03	08	247	1570	3.3	66	06	17	3115	–5.3	95	03	17	5685	–20.2	55	34	22
8	3	57021	83614	—	970	7.5	95	03	10	242	1575	4.6	95	06	16	3125	–5.3	95	03	17	5695	–20.5	50	36	22
9	2	70020	82613	—	969	8.0	70	00	00	230	1555	4.2	52	23	28	3115	–3.3	39	23	05	5685	–19.8	34	32	08
10	9	05454	—	—	970	2.2	100	00	00	247	1555	–1.5	100	23	07	3105	–5.1	60	21	17	5670	–20.1	41	23	25
11	5	18424	85649	—	969	4.4	95	00	00	232	1545	–0.7	100	27	04	3070	–7.3	60	13	09	5640	–19.9	10	04	28
12	6	70022	86650	—	966	8.5	35	21	07	200	1540	5.9	84	25	20	3100	–3.4	100	27	22	5705	–17.7	40	31	28
13	6	57606	86656	—	963	10.0	100	21	12	179	1520	3.2	88	25	33	3060	–7.3	96	26	39	5600	–24.0	25	27	60
14	5	74021	82625	84370	963	10.4	43	22	10	181	1515	1.3	84	24	16	3050	–6.6	42	24	27	5615	–20.2	47	28	38
15	6	80022	86364	—	961	11.7	50	21	08	160	1505	5.4	84	23	23	3055	–4.6	80	25	33	5625	–18.7	100	29	44
16	6	80022	86363	—	963	9.0	80	00	00	175	1525	7.3	59	23	26	3085	–2.5	49	24	28	5675	–18.2	26	23	22
17	0	74020	—	—	969	5.8	80	00	00	235	1565	5.8	35	22	15	3125	–1.8	28	23	14	5710	–20.4	29	21	20
18	9	01454	—	—	971	0.7	100	00	00	255	1570	5.3	45	22	12	3115	–6.4	30	20	28	5670	–23.4	23	20	45
19	5	40022	82359	85070	970	3.0	85	00	00	240	1545	0.6	75	00	00	3070	–8.2	80	24	08	5600	–22.9	36	21	33
20	8	08102	88703	—	968	5.0	90	00	00	227	1540	–1.8	91	26	05	3040	–12.7	99	26	11	5510	–32.8	79	26	12
21	7	40024	86627	86358	965	4.2	90	00	00	196	1500	–3.1	87	34	11	3000	–13.6	94	32	02	5480	–28.3	58	27	17
22	8	40402	88650	—	962	0.9	100	00	00	178	1470	–7.4	95	32	02	2960	–14.7	70	32	14	5410	–32.9	62	32	17
23	3	56021	83657	—	960	1.4	55	00	00	165	1465	–7.6	85	32	04	2945	–15.7	90	01	15	5415	–27.8	38	36	38
24	2	56011	82634	—	958	–0.3	65	04	07	146	1425	–10.1	88	06	08	2905	–17.8	37	36	20	5365	–29.4	34	31	44
25	2	56020	82622	—	961	–3.8	65	03	08	178	1445	–9.9	69	31	07	2915	–16.9	57	33	12	5360	–31.0	33	33	50
26	8	18717	88705	—	959	–3.8	90	00	00	160	1435	–6.3	100	25	28	2935	–12.9	90	28	30	5420	–29.1	80	27	25
27	6	55031	84628	86360	960	–0.5	75	00	00	163	1445	–4.9	82	23	11	2945	–13.9	87	22	12	5390	–34.9	79	25	19
28	8	35022	88705	—	957	–3.1	86	00	00	145	1425	–2.0	78	21	16	2935	–11.8	60	26	10	5445	–23.0	12	35	38
29	8	18107	88710	—	957	0.3	90	00	00	135	1430	–1.0	100	23	18	2955	–7.8	96	25	17	5480	–22.0	10	29	16
30	8	12107	88706	—	953	1.0	85	00	00	105	1400	–1.9	100	21	22	2915	–10.2	100	22	28	5420	–27.2	96	22	28
31	8	07102	88702	—	951	0.4	90	07	07	089	1380	0.3	89	22	08	2910	–9.6	100	21	24	5415	–26.8	95	21	23
Moyen					965	3.6	78	—	03	199	1508	–0.5	79	—	15	3034	–8.3	68	—	19	5567	–23.8	46	—	30

niveaux standard

03.00 h

400 mb					300 mb					200 mb				150 mb				100 mb				Tropopause		
H	T	U	dd	ff	H	T	U	dd	ff	H	T	dd	ff	H	T	dd	ff	H	T	dd	ff	H	P	T
6970	–37.8	10	04	92	8900	–51.4	—	03	92	11435	–62.2	03	61	13180	–66.7	—	—	15640	–67.4	—	—	10460	234	–61.3
7190	–35.7	15	04	90	9110	–53.2	—	03	98	11620	–64.6	36	77	13400	–57.2	35	52	15910	–61.5	35	44	11270	212	–66.0
7290	–28.7	65	36	40	9270	–47.0	—	01	56	11850	–60.0	01	85	13630	–63.0	36	57	16140	–58.9	34	27	11110	225	–59.9
7290	–31.8	41	32	18	9255	–47.8	—	35	33	11820	–65.0	01	46	13575	–60.5	01	46	16100	–64.7	30	15	12090	191	–65.4
7310	–32.0	80	35	33	9290	–44.7	—	01	30	11915	–56.7	32	35	13730	–56.8	33	55	16270	–58.7	32	25	12040	196	–57.0
7270	–32.1	75	32	38	9230	–48.6	—	31	60	11800	–58.2	31	38	13610	–57.1	32	22	16160	–59.0	32	35	10900	231	–60.2
7315	–31.1	50	36	38	9280	–47.0	—	36	40	11850	–61.8	35	54	13640	–58.1	36	20	16180	–59.7	32	27	11400	215	–61.7
7340	–30.2	32	31	28	9310	–50.3	—	31	33	11830	–67.3	31	35	13580	–63.1	33	30	16050	–66.4	31	42	11890	198	–67.6
7300	–30.8	10	35	23	9270	–47.1	—	34	17	11860	–59.2	32	13	13660	–57.2	32	17	—	—	—	—	11630	206	–59.7
7235	–37.1	65	30	28	9160	–49.7	—	35	33	11740	–57.1	30	30	13550	–57.9	31	22	16070	–63.0	30	20	11330	214	–58.4
7120	–37.6	42	16	50	9050	–49.6	—	17	22	11640	–62.0	31	22	13420	–61.9	31	26	15900	–66.8	30	33	11640	200	–62.0
7260	–32.1	11	34	38	9210	–48.7	—	35	78	11760	–66.3	35	78	13510	–63.7	33	44	15980	–64.0	29	33	11950	194	–67.0
7280	–32.8	80	26	48	9230	–50.0	—	27	53	11750	–68.9	29	52	13460	–67.4	28	55	15900	–67.0	27	44	12580	174	–71.0
7200	–35.7	66	30	50	9130	–50.4	—	30	66	11670	–62.3	31	48	13460	–59.2	29	55	16000	–59.1	29	44	11030	222	–63.4
7220	–31.9	27	28	50	9190	–47.0	—	26	55	11760	–65.0	26	90	13530	–60.0	29	44	16080	–55.0	27	44	11860	197	–65.6
7245	–31.2	100	29	33	9200	–48.8	—	29	33	11760	–66.3	30	37	13510	–60.2	29	17	16040	–57.2	28	27	12220	185	–66.3
7315	–29.7	25	21	28	9325	–41.5	—	21	28	11945	–60.7	22	05	13740	–61.1	23	22	16250	–61.1	21	22	12060	197	–61.1
7320	–32.0	35	20	39	9290	–46.1	—	21	58	11900	–59.2	20	50	13680	–59.0	20	22	16220	–59.0	20	05	12530	181	–60.4
7230	–35.8	64	—	—	9615	–50.3	—	—	—	11710	–62.6	—	—	13500	–60.0	—	—	16030	–61.2	—	—	11710	200	–62.6
7165	–35.9	54	21	47	9095	–51.7	—	21	55	11680	–55.4	25	27	13510	–56.7	24	20	16045	–58.9	24	10	9770	270	–54.9
7035	–42.3	86	27	33	8920	–54.3	—	26	38	11530	–50.7	27	05	13385	–54.7	32	09	15940	–59.7	30	07	9000	296	–54.4
7000	–42.8	67	04	25	8890	–54.0	—	03	50	11460	–55.1	34	11	13300	–55.8	23	16	15830	–60.6	31	09	9690	265	–56.3
6950	–37.4	35	01	77	8900	–46.4	—	01	120	11550	–48.6	01	33	13420	–52.2	01	20	16000	–55.0	27	20	10320	241	–51.4
6975	–35.2	42	31	55	8925	–47.0	—	31	54	11570	–51.0	27	27	13435	–50.6	29	27	16055	–54.1	26	06	10380	240	–51.0
6880	–42.0	51	32	48	8790	–48.0	—	33	67	11460	–47.9	32	37	13335	–53.0	30	17	15930	–55.5	30	27	10230	241	–47.9
7100	–30.9	100	31	72	9065	–44.3	—	31	75	11730	–50.9	33	20	—	—	—	—	—	—	—	—	11030	223	–50.9
6960	–41.2	60	25	06	8850	–53.0	—	27	10	11480	–49.3	25	18	13360	–48.3	25	15	15970	–53.3	26	25	9900	255	–51.3
6970	–37.1	10	34	72	8905	–46.9	—	34	106	11530	–51.9	35	33	13380	–52.4	35	33	16000	–54.9	35	46	10940	219	–54.0
7085	–33.0	100	28	15	9035	–49.3	—	23	20	11575	–57.3	30	28	13405	–54.5	32	35	15960	–60.3	32	25	10710	230	–64.4
7040	–35.2	70	21	28	8970	–49.5	—	26	22	11540	–55.2	26	13	13370	–53.8	27	17	15970	–55.1	26	16	10370	241	–59.8
6950	–41.7	100	19	35	8825	–59.2	—	19	40	11360	–54.7	20	35	13190	–53.4	22	22	15780	–56.4	22	30	9290	278	–61.8
7155	–34.9	54	—	43	9098	–49.1	—	—	51	11680	–58.5	—	38	13482	–57.9	—	30	16014	–59.8	—	26	—	—	—

15.00 h

7175	–32.0	14	04	17	9140	–45.9	—	03	50	11750	–59.2	02	60	13560	–57.0	01	52	16100	–58.7	36	50	11910	195	–60.4
7250	–32.7	49	03	77	9200	–48.9	—	02	85	11750	–64.3	02	70	13530	–58.8	01	56	16080	–59.1	36	65	11880	196	–65.0
7270	–32.6	71	36	54	9230	–47.6	—	36	72	11800	–64.2	36	70	13550	–62.8	01	60	16050	–61.4	01	47	12170	188	–65.9
7295	–31.0	37	29	29	9260	–48.4	—	29	22	11840	–63.3	31	28	13600	–62.6	32	17	16090	–63.4	32	17	12150	190	–63.6
7255	–32.1	48	34	22	9230	–48.2	—	35	30	11790	–62.2	35	38	13590	–58.3	32	35	16130	–57.8	32	22	11790	200	–62.2
7275	–35.7	60	01	39	9200	–51.4	—	02	55	11710	–65.9	36	33	13450	–64.1	36	38	15920	–64.4	32	14	11270	215	–68.0
7295	–34.0	52	36	20	9230	–51.8	—	35	28	11750	–67.9	35	33	13470	–63.8	34	33	15940	–64.5	33	32	12130	188	–68.7
7315	–30.3	33	36	22	9290	–46.3	—	35	28	11880	–62.3	34	22	13650	–61.0	34	28	16170	–61.3	34	34	12030	195	–63.0
7290	–35.0	32	31	14	9230	–50.7	—	31	23	11790	–60.7	31	25	13580	–59.4	31	17	16100	–62.9	33	29	11490	210	–60.7
7270	–35.1	34	23	16	9200	–51.8	—	23	25	11765	–57.5	27	22	13580	–59.0	30	50	16085	–63.5	27	38	10370	250	–59.0
7245	–33.2	10	01	38	9195	–48.8	—	36	45	11770	–60.0	33	22	13565	–59.6	29	37	16100	–60.4	28	43	11290	216	–60.5
7325	–30.3	70	32	29	9305	–45.1	—	34	32	11900	–63.8	34	32	13630	–66.7	35	34	16120	–60.0	33	44	13070	165	–67.1
7190	–34.4	18	27	50	9135	–48.3	—	28	55	11690	–64.3	27	76	13450	–60.7	27	65	16000	–60.3	28	45	11910	193	–64.5
7245	–29.7	95	29	46	9220	–44.8	—	29	59	11840	–62.7	30	59	13600	–59.8	29	38	16160	–54.8	27	38	12540	178	–66.0
7245	–31.2	100	29	33	9200	–48.8	—	29	33	11760	–66.3	30	37	13510	–60.2	29	17	16040	–57.2	28	27	11760	200	–66.3
7300	–30.9	28	23	23	9265	–47.0	—	24	23	11820	–65.2	29	18	13610	–61.5	23	12	16050	–60.0	24	22	12500	179	–68.1
7320	–32.0	28	21	33	9280	–48.1	—	19	30	11850	–63.6	19	28	13560	–64.8	24	15	16120	–60.2	22	15	12040	191	–64.2
7255	–37.0	27	20	40	9170	–53.5	—	20	38	11690	–63.0	23	18	13450	–61.3	22	28	15940	–61.9	23	22	10840	230	–64.6
7190	–36.5	35	21	30	9120	–51.4	—	21	33	11650	–62.6	20	67	13430	–60.6	25	20	15945	–61.3	24	25	11220	214	–63.2
7035	–45.2	78	26	17	8955	–45.6	—	23	21	11605	–49.7	25	17	13480	–52.2	30	12	—	—	—	—	7200	390	–46.2
7035	–41.5	71	23	33	8935	–53.0	—	27	10	11560	–51.2	29	06	13420	–52.6	29	06	16000	–57.8	28	10	8110	341	–52.0
6945	–41.8	43	32	35	8860	–50.1	—	36	67	11490	–52.0	35	17	13335	–54.5	29	11	15905	–56.1	31	22	9720	263	–52.5
7000	–35.8	31	36	49	8940	–48.0	—	34	50	11545	–53.8	34	22	13400	–53.3	31	22	16000	–55.2	26	16	10550	234	–55.7
6915	–40.2	44	30	50	8835	–49.0	—	29	22	11490	–47.0	29	22	13380	–49.3	29	34	16000	–53.3	26	08	9360	277	–50.7
6930	–35.2	31	33	130	8870	–49.1	—	33	98	11525	–47.9	33	28	13405	–51.7	—	—	16000	–54.4	—	—	9300	281	–50.5
7000	–38.7	30	27	20	8905	–50.4	—	28	28	11515	–51.1	25	25	13400	–48.7	27	10	16000	–54.2	27	17	10190	246	–53.8
6905	–46.2	70	31	17	8780	–54.8	—	34	33	11350	–54.0	32	33	13190	–55.1	33	22	15740	–58.3	31	11	8990	290	–55.5
7035	–33.4	72	35	55	8980	–49.4	—	33	55	11500	–64.0	33	35	13290	–57.9	33	28	15820	–61.2	33	28	11150	212	–66.2
7070	–34.7	10	31	17	8990	–53.1	—	28	33	11520	–59.8	28	23	13320	–56.3	26	17	15880	–60.8	27	26	10770	226	–60.4
6975	–38.8	90	21	38	8885	–52.0	—	20	60	11435	–55.4	22	17	13280	–52.3	24	16	15890	–53.9	23	22	10170	245	–61.0
6975	–40.0	95	22	27	8870	–52.2	—	23	35	11470	–50.9	20	31	13330	–51.2	22	30	15905	–51.2	22	30	9520	271	–55.5
7156	–35.4	49	—	36	9094	–49.5	—	—	41	11671	–59.2	—	33	13471	–58.0	—	28	16011	–59.0	—	28	—	—	—

Moyennes

Janvier 1956

Surface de pression standard (mb)	Hauteur de la surface de pression standard (en gpm)								Température ° C								Humidité relative %					
	03		15		Dies		Max.	Min.	03		15		Dies		Max.	Min.	03		15		Dies	
	n	Moy	n	Moy	n	Moy			n	Moy	n	Moy	n	Moy			n	Moy	n	Moy	n	Moy
Surface	—	—	—	—	—	—	—	—	31	1.2	31	3.6	62	2.4	8.8	–4.0	31	94	31	79	62	87
1000.	31	137	31	133	62	135	248	515	—	—	—	—	—	—	—	—	—	—	—	—	—	—
850	31	1444	31	1446	62	1445	1550	1285	31	–1.4	31	–1.1	62	–1.3	7.0	–8.5	31	85	31	81	62	83
700	31	2969	31	2973	62	2971	3120	2785	31	–8.2	31	–8.4	62	–8.3	0.3	–15.6	31	57	31	60	62	59
500	31	5505	31	5505	62	5505	5705	5250	31	–24.4	31	–24.2	62	–24.3	–16.9	–31.4	31	50	31	46	62	48
400	31	7086	31	7090	62	7088	7320	6800	31	–37.0	31	–36.3	62	–36.7	–30.9	–44.2	31	53	31	52	62	53
300	31	9013	31	9022	62	9018	9300	8670	31	–51.7	31	–50.6	62	–51.2	–43.9	–58.6	—	—	—	—	—	—
200	29	11557	31	11584	60	11571	11880	11260	29	–60.2	31	–61.1	60	–60.7	–40.0	–74.8	—	—	—	—	—	—
150	26	13370	30	13385	56	13378	13640	13180	26	–58.9	30	–58.1	56	–58.5	–48.6	–71.2	—	—	—	—	—	—
100	—	—	—	—	—	—	—	—	—	—	—	—	—	—	—	—	—	—	—	—	—	—

Février 1956

Surface de pression standard (mb)	Hauteur de la surface de pression standard (en gpm)								Température ° C								Humidité relative %					
	03		15		Dies		Max.	Min.	03		15		Dies		Max.	Min.	03		15		Dies	
	n	Moy	n	Moy	n	Moy			n	Moy	n	Moy	n	Moy			n	Moy	n	Moy	n	Moy
Surface	—	—	—	—	—	—	—	—	29	–10.8	29	–5.2	58	–8.0	7.0	–20.0	29	83	29	60	58	72
1000	29	150	29	138	58	144	283	505	—	—	—	—	—	—	—	—	—	—	—	—	—	—
850	29	1396	29	1402	58	1399	1560	1240	29	–12.8	29	–11.5	58	–12.2	0.0	–27.2	29	82	29	73	58	78
700	29	2867	29	2876	58	2872	3100	2680	29	–16.8	29	–16.5	58	–16.7	–5.1	–29.0	29	68	29	65	58	67
500	29	5323	29	5337	58	5330	5685	5065	29	–31.2	29	–30.9	58	–31.1	–17.5	–41.1	29	61	29	67	58	64
400	29	6866	29	6884	58	6875	7320	6560	29	–42.5	29	–41.8	58	–42.2	–28.0	–49.5	29	63	29	67	58	65
300	29	8749	29	8784	58	8767	9330	8420	29	–52.5	29	–52.1	58	–52.3	–43.8	–61.2	—	—	—	—	—	—
200	28	11346	26	11368	54	11357	11930	11070	28	–54.0	26	–54.6	54	–54.3	–44.6	–73.1	—	—	—	—	—	—
150	28	13192	26	13213	54	13203	13675	12930	28	–53.6	26	–54.0	54	–53.8	–45.5	–71.9	—	—	—	—	—	—
100	—	—	—	—	—	—	—	—	—	—	—	—	—	—	—	—	—	—	—	—	—	—

Mars 1956

Surface de pression standard (mb)	Hauteur de la surface de pression standard (en gpm)								Température ° C								Humidité relative %					
	03		15		Dies		Max.	Min.	03		15		Dies		Max.	Min.	03		15		Dies	
	n	Moy	n	Moy	n	Moy			n	Moy	n	Moy	n	Moy			n	Moy	n	Moy	n	Moy
Surface	—	—	—	—	—	—	—	—	31	1.3	31	7.6	62	4.5	17.3	–6.5	31	87	31	56	62	72
1000	31	147	31	134	62	141	253	010	—	—	—	—	—	—	—	—	—	—	—	—	—	—
850	31	1458	31	1460	62	1459	1565	1350	31	–0.2	31	0.0	62	–0.1	8.1	–12.4	31	79	31	64	62	72
700	31	2969	31	2990	62	2980	3100	2880	31	–8.4	31	–8.9	62	–8.7	–0.5	–20.1	31	70	31	66	62	68
500	31	5525	31	5520	62	5523	5690	5340	31	–23.6	31	–24.0	62	–23.8	–16.4	–33.0	31	65	31	60	62	63
400	31	7116	31	7107	62	7112	7330	6860	31	–35.4	31	–36.0	62	–35.7	–24.8	–46.0	31	62	31	61	62	62
300	31	9058	31	9048	62	9053	9340	8740	31	–49.6	31	–49.8	62	–49.7	–40.0	–57.0	—	—	—	—	—	—
200	30	11653	30	11637	60	11645	11960	11120	30	–55.8	30	–55.1	60	–55.5	–44.6	–65.8	—	—	—	—	—	—
150	28	13489	30	13491	58	13490	13760	13240	28	–53.0	30	–52.8	58	–52.9	–45.5	–65.6	—	—	—	—	—	—
100	—	—	—	—	—	—	—	—	—	—	—	—	—	—	—	—	—	—	—	—	—	—

Avril 1956

Surface de pression standard (mb)	Hauteur de la surface de pression standard (en gpm)								Température ° C								Humidité relative %					
	03		15		Dies		Max.	Min.	03		15		Dies		Max.	Min.	03		15		Dies	
	n	Moy	n	Moy	n	Moy			n	Moy	n	Moy	n	Moy			n	Moy	n	Moy	n	Moy
Surface	—	—	—	—	—	—	—	—	30	3.2	30	10.9	60	7.1	18.0	–5.0	30	90	30	52	60	71
1000	30	108	30	90	60	99	223	–22	—	—	—	—	—	—	—	—	—	—	—	—	—	—
850	30	1425	30	1429	60	1427	1545	1335	30	0.2	30	1.2	60	0.7	7.8	–11.5	30	86	30	67	60	77
700	30	2956	30	2960	60	2958	3075	2830	30	–9.1	30	–9.0	60	–9.1	–3.3	–22.2	30	81	30	78	60	80
500	30	5482	30	5491	60	5487	5645	5270	30	–25.2	30	–24.6	60	–24.9	–15.0	–35.1	30	68	30	62	60	65
400	30	7078	30	7063	60	7071	7240	6840	30	–35.9	30	–37.0	60	–36.5	–24.8	–46.4	29	57	30	67	59	62
300	30	9017	30	8993	60	9005	9200	8670	30	–50.2	30	–51.2	60	–50.7	–40.5	–58.9	—	—	—	—	—	—
200	29	11617	28	11575	57	11596	11830	11270	29	–54.9	28	–56.4	57	–55.7	–45.9	–66.5	—	—	—	—	—	—
150	22	13389	27	13458	49	13424	13700	13090	22	–55.5	27	–53.9	49	–54.7	–46.7	–62.1	—	—	—	—	—	—
100	—	—	—	—	—	—	—	—	—	—	—	—	—	—	—	—	—	—	—	—	—	—

mensuelles

Mai 1956

Surface de pression standard (mb)	Hauteur de la surface de pression standard (en gpm)								Température ° C								Humidité relative %					
	03		15		Dies		Max.	Min.	03		15		Dies		Max.	Min.	03		15		Dies	
	n	Moy	n	Moy	n	Moy			n	Moy	n	Moy	n	Moy			n	Moy	n	Moy	n	Moy
Surface	—	—	—	—	—	—	—	—	31	8.3	29	17.7	60	13.0	26.5	2.5	31	94	29	50	60	72
1000	31	178	29	161	60	170	242	063	—	—	—	—	—	—	—	—	—	—	—	—	—	—
850	31	1527	29	1532	60	1530	1610	1455	31	6.0	29	7.4	60	6.7	19.4	–2.3	31	84	29	59	60	72
700	31	3088	29	3095	60	3092	3190	3000	31	–3.5	29	–3.7	60	–3.6	4.3	–12.3	31	70	29	53	60	62
500	31	5671	29	5678	60	5675	5790	5500	31	–19.7	29	–19.9	60	–19.8	–14.6	–27.0	31	48	29	52	60	50
400	31	7289	29	7292	60	7291	7445	7070	31	–32.0	29	–32.3	60	–32.2	–25.2	–40.8	31	48	29	47	60	48
300	30	9256	28	9262	58	9259	9450	9000	30	–47.9	28	–47.4	58	–47.7	–40.7	–57.7	—	—	—	—	—	—
200	28	11861	28	11871	56	11866	12090	11525	28	–58.7	28	–57.3	56	–58.0	–46.4	–68.7	—	—	—	—	—	—
150	28	13676	28	13692	56	13684	13860	13310	28	–56.8	28	–56.3	56	–56.6	–48.4	–66.3	—	—		—	—	—
100	—	—	—	—	—	—	—	—	—	—	—	—	—	—	—	—	—	—	—	—	—	—

Juin 1956

Surface de pression standard (mb)	Hauteur de la surface de pression standard (en gpm)								Température ° C								Humidité relative %					
	03		15		Dies		Max.	Min.	03		15		Dies		Max.	Min.	03		15		Dies	
	n	Moy	n	Moy	n	Moy			n	Moy	n	Moy	n	Moy			n	Moy	n	Moy	n	Moy
Surface	—	—	—	—	—	—	—	—	28	10.5	28	17.4	56	14.0	24.0	5.4	28	92	28	56	56	74
1000	28	168	28	152	56	160	213	087	—	—	—	—	—	—	—	—	—	—	—	—	—	—
850	28	1517	28	1520	56	1519	1570	1480	28	5.2	28	7.3	56	6.3	13.8	–1.2	28	90	28	69	56	80
700	28	3071	28	3085	56	3078	3160	3000	28	–4.2	28	–3.0	56	–3.6	1.3	–11.8	28	84	28	73	56	79
500	28	5655	28	5677	56	5666	5740	5505	28	–18.8	28	–18.2	56	–18.5	–14.3	–28.2	28	50	28	53	56	52
400	28	7277	27	7310	55	7294	7400	7060	28	–30.4	27	–29.3	55	–29.9	–24.1	–37.5	28	42	27	48	55	45
300	28	9257	27	9302	55	9280	9420	8960	28	–45.1	27	–43.9	55	–44.5	–38.0	–52.3	—	—	—	—	—	—
200	27	11887	27	11942	54	11915	12050	11650	27	–53.7	27	–54.2	54	–54.0	–44.0	–64.2	—	—	—	—	—	—
150	24	13733	27	13792	51	13763	13890	13490	24	–54.1	27	–53.2	51	–53.7	–46.2	–60.9	—	—	—	—	—	—
100	21	16326	26	16394	47	16360	16600	16020	21	–55.3	26	–54.3	47	–54.8	–49.0	–60.0	—	—	—	—	—	—

Juillet 1956

Surface de pression standard (mb)	Hauteur de la surface de pression standard (en gpm)								Température ° C								Humidité relative %					
	03		15		Dies		Max.	Min.	03		15		Dies		Max.	Min.	03		15		Dies	
	n	Moy	n	Moy	n	Moy			n	Moy	n	Moy	n	Moy			n	Moy	n	Moy	n	Moy
Surface	—	—	—	—	—	—	—	—	31	13.0	31	21.3	62	17.2	28.0	9.0	31	94	31	57	67	78
1000	31	150	31	137	62	144	227	069	—	—	—	—	—	—	—	—	—	—	—	—	—	—
850	31	1541	30	1524	61	1533	1610	1435	31	10.7	30	11.5	61	11.1	19.1	4.0	31	82	30	66	61	74
700	31	3105	30	3116	61	3112	3220	3000	31	1.2	30	1.3	61	1.3	7.0	–6.5	31	71	30	65	61	68
500	30	5726	30	5753	60	5740	5960	5570	30	–14.6	30	–14.7	60	–14.7	–9.3	–22.3	30	45	30	46	60	46
400	30	7376	30	7393	60	7385	7560	7175	30	–26.5	30	–26.7	60	–26.6	–20.0	–33.7	30	45	30	42	60	44
300	30	9388	30	9405	60	9397	9600	9180	30	–42.0	30	–41.6	60	–41.8	–34.2	–48.3	—	—	—	—	—	—
200	28	12059	27	12077	55	12068	12280	11830	28	–52.4	27	–52.4	55	–52.4	–44.0	–58.5	—	—	—	—	—	—
150	28	13910	27	13944	55	13927	14150	13710	28	–54.4	27	–54.4	55	–54.4	–47.9	–63.0	—	—	—	—	—	—
100	26	16485	27	16504	53	16495	16780	16290	26	–56.5	27	–56.1	53	–56.3	–48.5	–64.0		—	—	—	—	—

Août 1956

Surface de pression standard (mb)	Hauteur de la surface de pression standard (en gpm)								Température ° C								Humidité relative %					
	03		15		Dies		Max.	Min.	03		15		Dies		Max.	Min.	03		15		Dies	
	n	Moy	n	Moy	n	Moy			n	Moy	n	Moy	n	Moy			n	Moy	n	Moy	n	Moy
Surface	—	—	—	—	—	—	—	—	31	12.2	31	18.6	62	15.4	28.8	6.2	31	98	31	67	62	83
1000	31	133	31	133	62	133	242	006	—	—	—	—	—	—	—	—	—	—	—	—	—	—
850	31	1492	31	1499	62	1496	1615	1360	31	9.5	31	11.1	62	10.3	22.5	2.5	31	85	31	69	62	77
700	31	3072	31	3085	62	3079	3220	2960	31	1.9	31	1.0	62	1.5	10.4	–8.5	31	75	31	65	62	70
500	31	5692	31	5710	62	5701	5940	5550	31	–15.0	31	–14.5	62	–14.8	–8.1	–22.9	31	53	31	54	62	54
400	29	7346	31	7363	60	7355	7630	7140	29	–25.9	31	–25.3	60	–25.6	–18.6	–36.6	29	44	31	46	60	45
300	29	9365	31	9384	60	9375	9690	9080	29	–40.7	31	–40.2	60	–40.5	–33.2	–49.1	—	—	—	—	—	—
200	28	12024	30	12052	58	12038	12430	11710	28	–52.8	30	–52.1	58	–52.5	–43.4	–59.8	—	—	—	—	—	—
150	27	13873	28	13903	55	13888	14300	13585	27	–55.1	28	–54.6	55	–54.9	–46.8	–61.3	—	—	—	—	—	—
100	23	16418	26	16480	49	16449	16830	16160	23	–56.2	26	–55.8	49	–56.0	–50.0	–64.3	—	—	—	—	—	—

Moyennes

Septembre 1956

Surface de pression standard (mb)	Hauteur de la surface de pression standard (en gpm)								Température ° C								Humidité relative %					
	03		15		Dies		Max.	Min.	03		15		Dies		Max.	Min.	03		15		Dies	
	n	Moy	n	Moy	n	Moy			n	Moy	n	Moy	n	Moy			n	Moy	n	Moy	n	Moy
Surface	—	—	—	—	—	—	—	—	30	12.3	30	19.2	60	15.8	22.8	7.2	30	97	30	65	60	81
1000	30	159	30	152	60	156	216	054	—	—	—	—	—	—	—	—	—	—	—	—	—	—
850	30	1524	30	1532	60	1528	1590	1460	30	10.4	30	11.6	60	11.0	16.6	4.1	30	83	30	63	60	73
700	30	3111	30	3123	60	3117	3200	3065	30	1.3	30	2.1	60	1.7	8.5	–6.5	30	68	30	55	60	62
500	30	5743	30	5761	60	5752	5870	5600	30	–14.6	30	–13.8	60	–14.2	–9.1	–23.0	30	48	30	37	60	43
400	30	7390	30	7419	60	7405	7500	7230	30	–26.2	30	–24.9	60	–25.6	–19.2	–36.2	30	50	30	38	60	44
300	29	9404	30	9443	59	9424	9580	9180	29	–42.2	30	–40.4	59	–41.3	–34.1	–46.9	—	—	—	—	—	—
200	29	12031	28	12096	57	12064	12290	11820	29	–59.6	28	–57.0	57	–58.3	–46.2	–64.9	—	—	—	—	—	—
150	27	13816	26	13903	53	13860	14110	13625	27	–60.2	26	–59.0	53	–59.6	–49.5	–68.8	—	—	—	—	—	—
100	23	16347	24	16445	47	16396	16650	16150	23	–60.7	24	–58.9	47	–59.8	–50.4	–68.4	—	—	—	—	—	—

Octobre 1956

Surface de pression standard (mb)	Hauteur de la surface de pression standard (en gpm)								Température ° C								Humidité relative %					
	03		15		Dies		Max.	Min.	03		15		Dies		Max.	Min.	03		15		Dies	
	n	Moy	n	Moy	n	Moy			n	Moy	n	Moy	n	Moy			n	Moy	n	Moy	n	Moy
Surface	—	—	—	—	—	—	—	—	31	5.7	31	10.2	62	8.0	20.5	–1.0	31	99	31	80	62	90
1000	31	194	31	184	62	189	281	–088	—	—	—	—	—	—	—	—	—	—	—	—	—	—
850	31	1521	31	1524	62	1523	1625	1385	31	4.0	31	4.6	62	4.3	16.0	–5.4	31	80	31	66	62	73
700	31	3072	31	3076	62	3074	3200	2885	31	–4.5	31	–4.2	62	–4.4	3.4	–15.3	31	56	31	57	62	57
500	31	5645	31	5654	62	5650	5835	5340	31	–20.5	31	–19.6	62	–20.1	–12.0	–33.6	31	54	31	50	62	52
400	31	7257	31	7281	62	7269	7485	6870	31	–32.4	31	–31.7	62	–32.1	–21.8	–47.1	31	52	31	49	62	51
300	31	9226	31	9242	62	9234	9520	8770	31	–45.6	31	–45.6	62	–45.6	–37.7	–51.1	—	—	—	—	—	—
200	31	11847	30	11861	61	11854	12180	11480	31	–57.3	30	–57.5	61	–57.4	–46.0	–70.3	—	—	—	—	—	—
150	29	13642	29	13676	58	13659	13970	13320	29	–58.7	29	–60.0	58	–59.4	–47.0	–72.0	—	—	—	—	—	—
100	23	16194	28	16200	51	16197	16520	15890	23	–60.5	28	–60.5	51	–60.5	–50.4	–71.0	—	—	—	—	—	—

Novembre 1956

Surface de pression standard (mb)	Hauteur de la surface de pression standard (en gpm)								Température ° C								Humidité relative %					
	03		15		Dies		Max.	Min.	03		15		Dies		Max.	Min.	03		15		Dies	
	n	Moy	n	Moy	n	Moy			n	Moy	n	Moy	n	Moy			n	Moy	n	Moy	n	Moy
Surface	—	—	—	—	—	—	—	—	30	1.0	30	4.3	60	2.7	11.8	–2.6	30	93	30	77	60	85
1000	30	171	30	163	60	167	287	039	—	—	—	—	—	—	—	—	—	—	—	—	—	—
850	30	1476	30	1472	60	1474	1600	1365	30	–1.9	30	–1.1	60	–1.5	8.8	–9.5	30	88	30	84	60	86
700	30	3005	30	3001	60	3003	3150	2850	30	–7.2	30	–7.2	60	–7.2	1.8	–18.7	30	64	30	62	60	63
500	30	5549	30	5543	60	5546	5740	5270	30	–23.6	30	–23.3	60	–23.5	–13.7	–38.2	30	53	30	54	60	54
400	30	7137	30	7134	60	7136	7375	6770	30	–35.5	30	–35.3	60	–35.4	–25.5	–49.2	30	55	30	54	60	55
300	30	9077	30	9073	60	9075	9390	8600	30	–49.5	30	–49.4	60	–49.5	–37.1	–58.5	—	—	—	—	—	—
200	28	11681	30	11663	58	11672	12070	11130	28	–56.9	30	–57.7	58	–57.3	–49.1	–69.9	—	—	—	—	—	—
150	27	13501	30	13473	57	13487	13955	12905	27	–56.3	30	–57.5	57	–56.9	–49.7	–67.5	—	—	—	—	—	—
100	25	16060	22	16023	47	16042	16555	15360	25	–58.3	22	–59.1	47	–58.7	–52.3	–67.0	—	—	—	—	—	—

Décembre 1956

Surface de pression standard (mb)	Hauteur de la surface de pression standard (en gpm)								Température ° C								Humidité relative %					
	03		15		Dies		Max.	Min.	03		15		Dies		Max.	Min.	03		15		Dies	
	n	Moy	n	Moy	n	Moy			n	Moy	n	Moy	n	Moy			n	Moy	n	Moy	n	Moy
Surface	—	—	—	—	—	—	—	—	31	–0.3	31	3.6	62	1.6	11.7	–7.8	31	92	31	78	62	85
1000	31	207	31	199	62	203	277	089	—	—	—	—	—	—	—	—	—	—	—	—	—	—
850	31	1508	31	1508	62	1508	1590	1380	31	–1.7	31	–0.5	62	–1.1	7.3	–10.3	31	89	31	79	62	84
700	31	3030	31	3034	62	3032	3125	2905	31	–8.6	31	–8.3	62	–8.5	–1.0	–18.2	31	69	31	68	62	69
500	31	5565	31	5567	62	5566	5715	5345	31	–23.4	31	–23.8	62	–23.6	–17.4	–34.9	31	54	31	46	62	50
400	31	7155	31	7156	62	7156	7340	6880	31	–34.9	31	–35.4	62	–35.2	–28.7	–46.2	31	54	31	49	62	52
300	31	9098	31	9094	62	9096	9310	8780	31	–49.1	31	–49.5	62	–49.3	–41.5	–59.2	—	—	—	—	—	—
200	31	11680	31	11671	62	11676	11945	11350	31	–58.5	31	–59.2	62	–58.9	–47.0	–67.9	—	—	—	—	—	—
150	30	13482	31	13471	61	13477	13730	13190	30	–57.9	31	–58.0	61	–58.0	–48.3	–67.4	—	—	—	—	—	—
100	29	16014	30	16011	59	16013	16270	15640	19	–59.8	30	–59.0	59	–59.4	–51.2	–67.4	—	—	—	—	—	—

mensuelles

Janvier 1956

Surface de pression standard (mb)	Vecteur du vent moyen 03			15			Dies		
	n	dd	ff	n	dd	ff	n	dd	ff
Surface	31	176	01	31	218	02	62	207	02
1000	—	—	—	—	—	—	—	—	—
850	31	243	10	31	243	11	62	243	10
700	31	253	12	31	262	13	62	258	13
500	31	283	17	31	299	20	62	291	19
400	31	295	20	31	305	26	62	301	23
300	31	300	27	31	297	35	62	299	31
200	28	300	27	30	288	27	58	294	27
150	19	297	22	25	295	28	44	296	25
100	—	—	—	—	—	—	—	—	—

Février 1956

Surface de pression standard (mb)	Vecteur du vent moyen 03			15			Dies		
	n	dd	ff	n	dd	ff	n	dd	ff
Surface	29	059	03	29	067	06	58	065	05
1000	—	—	—	29	—	—	—	—	—
850	29	053	12	29	050	13	58	052	13
700	29	040	12	29	030	10	58	035	11
500	29	016	16	29	358	16	58	008	16
400	29	003	18	29	355	18	58	358	18
300	29	002	21	28	003	22	57	003	21
200	27	338	17	25	332	19	52	335	18
150	27	335	18	24	321	18	51	329	18
100	—	—	—	—	—	—	—	—	—

Mars 1956

Surface de pression standard (mb)	Vecteur du vent moyen 03			15			Dies		
	n	dd	ff	n	dd	ff	n	dd	ff
Surface	31	00	00	31	013	02	62	012	01
1000	—	—	—	—	—	—	—	—	—
850	31	253	02	31	254	02	62	253	02
700	31	338	05	31	309	05	62	323	05
500	31	312	12	31	323	13	62	318	13
400	31	328	16	31	320	13	62	324	14
300	31	313	23	30	310	19	61	312	21
200	29	308	21	27	318	18	56	312	19
150	25	294	19	25	305	18	50	300	19
100	—	—	—	—	—	—	—	—	—

Avril 1956

Surface de pression standard (mb)	Vecteur du vent moyen 03			15			Dies		
	n	dd	ff	n	dd	ff	n	dd	ff
Surface	30	00	00	30	315	03	60	311	02
1000	—	—	—	—	—	—	—	—	—
850	30	264	03	30	245	04	60	254	04
700	30	277	07	30	260	05	60	269	06
500	30	284	12	30	276	11	60	280	11
400	30	274	17	30	274	17	60	274	17
300	29	269	25	29	292	22	58	280	23
200	28	273	25	28	275	27	56	275	26
150	22	285	19	25	262	26	47	272	23
100	—	—	—	—	—	—	—	—	—

Mai 1956

Surface de pression standard (mb)	Vecteur du vent moyen 03			15			Dies		
	n	dd	ff	n	dd	ff	n	dd	ff
Surface	31	217	01	29	072	01	60	00	00
1000	—	—	—	—	—	—	—	—	—
850	31	271	03	29	269	02	60	270	03
700	31	284	05	29	254	06	60	267	06
500	31	299	09	29	300	08	60	300	09
400	31	309	14	29	306	10	60	308	12
300	30	313	15	28	314	12	58	313	13
200	28	313	16	28	293	16	56	303	16
150	27	287	10	27	283	11	54	285	10
100	—	—	—	—	—	—	—	—	—

Juin 1956

Surface de pression standard (mb)	Vecteur du vent moyen 03			15			Dies		
	n	dd	ff	n	dd	ff	n	dd	ff
Surface	28	00	00	28	318	02	56	323	01
1000	—	—	—	—	—	—	—	—	—
850	28	255	05	28	263	05	56	259	05
700	28	277	08	28	256	08	56	266	08
500	28	287	15	27	283	16	55	285	15
400	28	298	16	27	280	20	55	288	18
300	28	309	17	27	286	22	55	297	18
200	27	291	17	27	288	19	54	289	19
150	24	306	13	26	176	19	50	288	16
100	21	276	11	25	278	11	46	276	11

Juillet 1956

Surface de pression standard (mb)	Vecteur du vent moyen 03			15			Dies		
	n	dd	ff	n	dd	ff	n	dd	ff
Surface	31	196	01	31	246	02	62	235	01
1000	—	—	—	—	—	—	—	—	—
850	31	248	06	30	252	07	61	250	06
700	31	254	12	30	249	14	61	251	13
500	30	270	16	30	260	17	60	265	17
400	30	260	21	30	263	21	60	262	21
300	30	262	25	30	261	27	60	261	26
200	28	263	34	27	266	34	55	265	34
150	28	260	31	27	265	30	55	262	31
100	25	266	20	26	266	19	51	266	20

Août 1956

Surface de pression standard (mb)	Vecteur du vent moyen 03			15			Dies		
	n	dd	ff	n	dd	ff	n	dd	ff
Surface	31	210	01	31	240	04	62	232	03
1000	—	—	—	—	—	—	—	—	—
850	31	237	13	31	240	17	62	238	15
700	31	247	23	31	240	25	62	243	24
500	31	255	36	31	255	38	62	255	37
400	30	260	43	31	259	41	61	260	42
300	30	261	54	31	261	53	61	261	54
200	29	261	55	27	269	54	56	265	54
150	22	253	55	20	261	44	42	256	49
100	18	255	42	17	265	35	35	260	38

Septembre 1956

Surface de pression standard (mb)	Vecteur du vent moyen 03			15			Dies		
	n	dd	ff	n	dd	ff	n	dd	ff
Surface	30	215	01	30	270	02	60	253	01
1000	—	—	—	—	—	—	—	—	—
850	30	241	07	30	254	06	60	247	06
700	30	249	09	30	232	11	60	239	10
500	30	245	17	30	253	17	60	249	17
400	30	251	19	30	257	19	60	254	19
300	29	259	22	30	255	24	59	257	23
200	29	262	22	28	262	26	57	262	24
150	26	268	24	26	263	26	52	266	26
100	23	278	19	24	266	21	47	272	20

Octobre 1956

Surface de pression standard (mb)	Vecteur du vent moyen 03			15			Dies		
	n	dd	ff	n	dd	ff	n	dd	ff
Surface	31	218	02	31	269	01	62	225	01
1000	—	—	—	—	—	—	—	—	—
850	31	266	06	31	264	06	62	265	06
700	31	275	08	31	263	08	62	269	08
500	31	290	12	31	260	11	62	276	11
400	31	284	14	31	276	09	62	281	11
300	31	301	20	31	290	15	62	296	18
200	31	300	18	30	290	19	61	295	19
150	27	305	20	29	285	17	56	295	18
100	22	301	16	28	277	15	50	288	15

Novembre 1956

Surface de pression standard (mb)	Vecteur du vent moyen 03			15			Dies		
	n	dd	ff	n	dd	ff	n	dd	ff
Surface	30	149	01	30	061	02	60	081	02
1000	—	—	—	—	—	—	—	—	—
850	30	331	01	30	279	02	60	330	02
700	30	326	03	30	330	04	60	329	04
500	30	342	09	30	327	10	60	335	09
400	30	327	08	30	341	11	60	334	09
300	30	330	10	30	330	16	60	330	13
200	28	347	12	30	335	19	58	340	15
150	26	318	10	29	320	19	55	320	15
100	22	318	12	26	304	20	43	308	16

Décembre 1956

Surface de pression standard (mb)	Vecteur du vent moyen 03			15			Dies		
	n	dd	ff	n	dd	ff	n	dd	ff
Surface	31	225	01	31	048	01	62	118	01
1000	—	—	—	—	—	—	—	—	—
850	30	225	03	31	247	06	61	240	04
700	30	308	06	31	280	08	61	292	07
500	30	318	18	31	306	16	61	313	17
400	30	320	22	31	315	22	61	318	22
300	30	321	30	31	320	23	61	322	27
200	30	320	30	31	313	19	61	319	23
150	28	315	22	30	312	21	58	313	22
100	27	300	21	29	300	20	56	300	20

Moyennes

Vitesse du vent (ff) m

03.00 h

Janvier 1956

Surface de pression standard (mb)	Vent ndd, (ff)m 03																								
	N		30°		60°		E		120°		150°		S		210°		240°		W		300°		330°		C
	n		n		n		n		n		n		n		n		n		n		n		n		n
Surface	—	—	—	—	4	8	1	5	—	—	—	—	1	8	3	11	2	8	—	—	—	—	—	—	20
1000	—	—	—	—	—	—	—	—	—	—	—	—	—	—	—	—	—	—	—	—	—	—	—	—	—
850	—	—	—	—	4	25	1	18	1	6	—	—	—	—	4	23	11	25	4	15	3	14	2	6	1
700	1	12	—	—	3	27	3	20	—	—	—	—	—	—	4	28	9	27	6	21	3	31	2	7	—
500	2	48	2	35	4	33	—	—	—	—	—	—	—	—	2	35	8	35	9	33	2	40	2	33	—
400	1	60	3	48	4	45	—	—	—	—	—	—	—	—	1	43	9	41	6	31	5	53	2	41	—
300	2	54	2	46	4	63	—	—	—	—	—	—	—	—	—	—	6	53	9	46	5	53	3	51	—
200	2	40	2	50	2	34	1	36	—	—	—	—	—	—	1	6	4	47	7	44	7	45	2	62	—
150	1	44	2	34	2	22	1	25	—	—	—	—	—	—	—	—	4	44	4	40	3	40	2	50	—
100	—	—	—	—	—	—	—	—	—	—	—	—	—	—	—	—	—	—	—	—	—	—	—	—	—

Février 1956

Surface de pression standard (mb)	Vent ndd, (ff)m 03																								
	N		30°		60°		E		120°		150°		S		210°		240°		W		300°		330°		C
	n		n		n		n		n		n		n		n		n		n		n		n		n
Surface	—	—	1	10	7	15	—	—	—	—	—	—	—	—	1	8	1	7	—	—	—	—	—	—	19
1000	—	—	—	—	—	—	—	—	—	—	—	—	—	—	—	—	—	—	—	—	—	—	—	—	—
850	2	9	2	9	15	24	2	4	—	—	1	3	—	—	—	—	—	—	4	9	1	3	—	—	2
700	1	17	7	25	7	24	2	14	1	20	1	18	2	10	1	14	1	8	—	—	1	18	4	19	1
500	5	51	5	33	4	45	1	4	—	—	1	22	3	21	2	10	2	4	2	28	1	8	2	26	—
400	3	60	4	52	3	48	1	5	2	12	1	23	1	17	3	18	2	8	3	30	1	18	5	40	—
300	5	53	4	66	3	46	1	22	2	14	1	10	1	6	2	26	3	13	2	42	3	32	2	54	—
200	3	49	4	48	1	15	—	—	—	—	3	10	1	11	—	—	1	25	4	18	7	29	3	17	—
150	2	62	4	48	1	17	—	—	1	5	—	—	1	4	2	14	1	25	4	15	6	32	5	24	—
100	—	—	—	—	—	—	—	—	—	—	—	—	—	—	—	—	—	—	—	—	—	—	—	—	—

Mars 1956

Surface de pression standard (mb)	Vent ndd, (ff)m 03																								
	N		30°		60°		E		120°		150°		S		210°		240°		W		300°		330°		C
	n		n		n		n		n		n		n		n		n		n		n		n		n
Surface	—	—	3	9	2	12	—	—	—	—	—	—	—	—	4	11	2	8	—	—	—	—	—	—	20
1000	—	—	—	—	—	—	—	—	—	—	—	—	—	—	—	—	—	—	—	—	—	—	—	—	—
850	—	—	2	10	6	20	1	7	—	—	—	—	1	8	6	7	5	21	3	26	—	—	—	—	7
700	2	28	3	30	4	37	—	—	—	—	4	17	3	23	4	10	—	—	4	20	6	31	—	—	1
500	3	47	4	40	—	—	—	—	—	—	3	11	4	54	3	17	1	26	3	21	5	37	4	54	1
400	3	61	3	55	2	28	—	—	—	—	4	16	4	44	2	20	—	—	3	29	4	52	6	45	—
300	4	66	1	60	1	60	1	33	1	5	3	32	1	42	3	63	2	37	4	29	4	62	6	66	—
200	4	43	2	67	—	—	1	6	—	—	2	20	1	11	3	31	5	21	4	39	4	56	3	61	—
150	3	40	2	35	—	—	—	—	—	—	1	5	1	17	3	15	5	19	5	40	4	48	1	33	—
100	—	—	—	—	—	—	—	—	—	—	—	—	—	—	—	—	—	—	—	—	—	—	—	—	—

Avril 1956

Surface de pression standard (mb)	Vent ndd, (ff)m 03																								
	N		30°		60°		E		120°		150°		S		210°		240°		W		300°		330°		C
	n		n		n		n		n		n		n		n		n		n		n		n		n
Surface	—	—	1	6	2	8	—	—	—	—	—	—	—	—	1	18	1	12	—	—	—	—	1	8	24
1000	—	—	—	—	—	—	—	—	—	—	—	—	—	—	—	—	—	—	—	—	—	—	—	—	—
850	2	18	1	6	4	12	—	—	—	—	—	—	—	—	4	18	6	11	3	12	—	—	3	7	7
700	6	16	3	7	1	7	—	—	1	8	—	—	1	10	3	8	8	20	4	12	2	10	1	8	—
500	3	48	3	11	1	12	1	11	—	—	1	15	1	17	4	19	6	30	6	22	1	18	3	32	—
400	5	50	1	14	1	43	—	—	—	—	1	23	3	34	3	22	8	33	5	50	2	20	1	48	—
300	3	48	1	29	1	55	—	—	—	—	—	—	3	45	4	22	8	37	5	66	2	37	2	73	—
200	1	38	—	—	1	17	—	—	—	—	—	—	—	—	4	22	8	40	6	32	3	34	5	40	—
150	2	50	—	—	—	—	1	33	—	—	—	—	—	—	3	19	5	33	6	29	1	12	4	39	—
100	—	—	—	—	—	—	—	—	—	—	—	—	—	—	—	—	—	—	—	—	—	—	—	—	—

mensuelles

Vitesse du vent (ff) m

15.00 h

Janvier 1956

Surface de pression standard (mb)	Vent ndd, (ff)m 15																								
	N		30°		60°		E		120°		150°		S		210°		240°		W		300°		330°		C
	n		n		n		n		n		n		n		n		n		n		n		n		n
Surface	—	—	—	—	4	10	1	8	—	—	—	—	—	—	7	11	3	8	2	10	1	8	—	—	13
1000	—	—	—	—	—	—	—	—	—	—	—	—	—	—	—	—	—	—	—	—	—	—		—	—
850	—	—	1	15	5	19	1	27	—	—	1	2	—	—	3	22	15	24	2	27	2	15	—	—	1
700	—	—	2	20	2	30	2	35	—	—	—	—	—	—	3	37	8	30	7	25	3	33	3	18	1
500	1	3	1	25	5	35	—	—	—	—	—	—	—	—	—	—	3	31	5	42	5	38	6	41	—
400	1	66	3	35	3	46	—	—	1	3	—	—	—	—	—	—	6	49	7	32	5	49	5	64	—
300	—	—	2	46	4	40	—	—	—	—	—	—	—	—	—	—	5	66	8	52	6	49	6	69	—
200	—	—	2	33	3	47	1	38	—	—	—	—	—	—	—	—	6	58	8	54	5	38	5	44	—
150	—	—	1	39	3	43	1	38	—	—	—	—	—	—	—	—	2	50	10	47	4	47	4	45	—
100	—	—	—	—	—	—	—	—	—	—	—	—	—	—	—	—	—	—	—	—	—	—	—	—	—

Février 1956

Surface de pression standard (mb)	Vent ndd, (ff)m 15																								
	N		30°		60°		E		120°		150°		S		210°		240°		W		300°		330°		C
	n		n		n		n		n		n		n		n		n		n		n		n		n
Surface	—	—	3	8	9	15	3	15	—	—	—	—	1	3	1	20	1	8	—	—	—	—	—	—	11
1000	—	—	—	—	—	—	—	—	—	—	—	—	—	—	—	—	—	—	—	—	—	—	—	—	—
850	2	8	5	12	13	28	1	13	—	—	—	—	1	11	—	—	2	10	2	15	1	7	2	6	—
700	2	40	2	21	7	29	2	10	2	11	1	14	—	—	2	9	3	8	—	—	4	20	2	16	1
500	3	42	6	45	1	49	1	42	1	22	1	16	3	12	2	22	2	7	2	14	5	33	2	57	—
400	4	62	5	33	1	55	2	28	1	25	1	18	3	24	—	—	2	13	2	18	5	30	3	51	—
300	8	48	1	83	2	95	1	46	—	—	3	13	3	23	—	—	—	—	4	21	3	37	3	40	—
200	5	43	1	90	1	5	—	—	—	—	2	13	2	22	—	—	2	22	2	20	5	26	5	37	—
150	2	63	—	—	1	38	—	—	—	—	1	5	1	11	2	17	—	—	4	19	5	26	8	24	—
100	—	—	—	—	—	—	—	—	—	—	—	—	—	—	—	—	—	—	—	—	—	—	—	—	—

Mars 1956

Surface de pression standard (mb)	Vent ndd, (ff)m 15																								
	N		30°		60°		E		120°		150°		S		210°		240°		W		300°		330°		C
	n		n		n		n		n		n		n		n		n		n		n		n		n
Surface	1	7	5	13	3	15	—	—	—	—	—	—	—	—	2	15	2	12	2	8	—	—	2	8	14
1000	—	—	—	—	—	—	—	—	—	—	—	—	—	—	—	—	—	—	—	—	—	—	—	—	—
850	1	2	2	17	6	17	1	3	2	4	1	7	—	—	4	10	7	20	1	16	2	16	2	4	2
700	—	—	3	35	3	29	—	—	1	10	2	5	3	16	6	23	2	14	3	8	3	36	5	22	—
500	3	43	4	50	—	—	—	—	2	16	1	8	4	31	3	31	5	18	1	13	3	38	5	56	—
400	4	51	4	65	—	—	1	10	1	14	2	25	3	46	3	44	3	23	3	24	4	50	2	66	1
300	3	63	4	58	—	—	1	28	1	35	2	30	3	42	3	76	1	44	3	32	4	70	4	71	1
200	6	47	—	—	—	—	1	5	1	20	—	—	2	24	4	22	2	23	5	22	3	59	3	55	—
150	6	36	—	—	—	—	—	—	1	8	—	—	2	12	4	21	2	27	5	26	2	54	3	43	—
100	—	—	—	—	—	—	—	—	—	—	—	—	—	—	—	—	—	—	—	—	—	—	—	—	—

Avril 1956

Surface de pression standard (mb)	Vent ndd, (ff)m 15																								
	N		30°		60°		E		120°		150°		S		210°		240°		W		300°		330°		C
	n		n		n		n		n		n		n		n		n		n		n		n		n
Surface	2	9	4	11	4	8	—	—	—	—	—	—	—	—	2	8	4	13	2	10	3	11	1	9	8
1000	—	—	—	—	—	—	—	—	—	—	—	—	—	—	—	—	—	—	—	—	—	—	—	—	—
850	2	4	2	8	3	15	—	—	1	7	—	—	—	—	4	18	7	13	4	7	2	8	1	12	4
700	1	23	5	15	—	—	1	11	1	16	2	6	1	7	3	22	8	18	3	11	2	6	3	13	—
500	6	41	1	17	1	2	—	—	—	—	1	18	4	13	3	29	6	22	5	32	1	38	2	10	—
400	3	63	—	—	1	22	1	23	—	—	2	13	2	25	4	34	5	44	5	36	4	19	3	37	—
300	3	80	—	—	1	35	1	50	1	17	1	22	—	—	4	41	4	39	9	42	1	26	5	42	—
200	2	28	—	—	—	—	1	36	—	—	—	—	—	—	4	33	6	35	7	50	3	34	5	42	—
150	—	—	1	10	—	—	—	—	—	—	—	—	—	—	4	24	8	41	6	34	2	20	4	42	—
100	—	—	—	—	—	—	—	—	—	—	—	—	—	—	—	—	—	—	—	—	—	—	—	—	—

Moyennes

Vitesse du vent (ff) m

Mai 1956

03.00 h

Surface de pression standard (mb)	Vent ndd, (ff)m 03																								
	N		30°		60°		E		120°		150°		S		210°		240°		W		300°		330°		C
	n		n		n		n		n		n		n		n		n		n		n		n		n
Surface	—	—	—	—	—	—	—	—	—	—	—	—	2	6	—	—	2	8	—	—	—	—	—	—	27
1000	—	—	—	—	—	—	—	—	—	—	—	—	—	—	—	—	—	—	—	—	—	—	—	—	—
850	1	5	3	13	5	8	1	2	1	2	—	—	1	6	1	6	8	16	1	5	2	11	1	8	6
700	2	20	3	13	3	14	—	—	—	—	—	—	3	2	5	15	3	19	5	16	3	8	3	12	1
500	4	19	4	14	3	23	—	—	1	13	2	9	1	35	—	—	9	23	3	28	1	42	3	45	—
400	3	21	4	23	3	26	—	—	1	7	1	33	1	8	2	23	5	28	5	29	2	46	4	53	—
300	2	43	4	42	2	36	1	12	3	18	—	—	1	59	1	3	3	53	6	32	4	33	3	58	—
200	3	36	3	33	2	31	—	—	1	27	1	3	1	8	3	16	4	27	3	49	4	32	3	48	—
150	5	17	3	26	1	5	—	—	—	—	—	—	—	—	1	17	4	20	3	40	2	21	2	19	1
100	—	—	—	—	—	—	—	—	—	—	—	—	—	—	—	—	—	—	—	—	—	—	—	—	—

Juin 1956

Surface de pression standard (mb)	Vent ndd, (ff)m 03																								
	N		30°		60°		E		120°		150°		S		210°		240°		W		300°		330°		C
	n		n		n		n		n		n		n		n		n		n		n		n		n
Surface	—	—	1	2	1	3	1	23	—	—	—	—	—	—	—	—	3	6	—	—	—	—	—	—	22
1000	—	—	—	—	—	—	—	—	—	—	—	—	—	—	—	—	—	—	—	—	—	—	—	—	—
850	2	8	4	7	2	16	—	—	—	—	—	—	1	4	—	—	12	15	1	3	1	3	1	5	4
700	3	15	2	6	1	22	1	7	—	—	—	—	1	2	3	16	6	15	5	17	4	10	2	16	—
500	2	39	2	19	1	30	1	9	—	—	—	—	1	2	2	53	5	30	5	19	4	32	5	22	—
400	3	38	2	17	1	58	1	12	—	—	—	—	—	—	1	72	7	22	6	25	3	31	4	35	—
300	2	85	—	—	1	68	2	19	—	—	—	—	1	60	3	31	4	32	4	23	3	28	7	44	1
200	2	48	2	25	—	—	—	—	1	15	—	—	—	—	2	43	6	25	3	34	7	21	4	28	—
150	4	49	1	15	1	5	—	—	1	22	—	—	—	—	2	48	3	20	5	17	4	22	3	19	—
100	2	14	—	—	—	—	—	—	—	—	—	—	1	5	2	35	3	18	6	10	2	28	4	18	1

Juillet 1956

Surface de pression standard (mb)	Vent ndd, (ff)m 03																								
	N		30°		60°		E		120°		150°		S		210°		240°		W		300°		330°		C
	n		n		n		n		n		n		n		n		n		n		n		n		n
Surface	—	—	—	—	—	—	—	—	—	—	—	—	1	9	1	10	—	—	—	—	—	—	—	—	29
1000	—	—	—	—	—	—	—	—	—	—	—	—	—	—	—	—	—	—	—	—	—	—	—	—	—
850	1	7	2	7	2	10	1	7	—	—	—	—	—	—	2	12	13	14	3	4	3	6	1	5	3
700	2	9	—	—	2	11	—	—	—	—	—	—	2	12	2	22	10	27	4	19	6	10	3	10	—
500	1	14	—	—	—	—	—	—	—	—	—	—	1	30	3	13	8	21	8	20	5	26	4	22	—
400	2	7	—	—	—	—	—	—	—	—	—	—	1	20	5	17	10	32	4	29	7	31	1	22	—
300	1	54	—	—	—	—	—	—	—	—	2	20	2	19	2	18	10	37	6	38	6	36	1	20	—
200	1	30	—	—	—	—	—	—	—	—	—	—	—	—	4	37	8	52	8	38	3	44	4	38	—
150	—	—	—	—	—	—	—	—	—	—	—	—	—	—	2	25	12	42	8	32	3	35	3	32	—
100	—	—	—	—	—	—	—	—	—	—	—	—	—	—	3	22	10	28	4	14	5	31	3	34	—

Août 1956

Surface de pression standard (mb)	Vent ndd, (ff)m 03																								
	N		30°		60°		E		120°		150°		S		210°		240°		W		300°		330°		C
	n		n		n		n		n		n		n		n		n		n		n		n		n
Surface	—	—	—	—	—	—	—	—	—	—	—	—	6	8	—	—	—	—	—	—	—	—	—	—	25
1000	—	—	—	—	—	—	—	—	—	—	—	—	—	—	—	—	—	—	—	—	—	—	—	—	—
850	—	—	—	—	1	5	—	—	—	—	—	—	1	11	2	21	20	17	3	11	—	—	—	—	4
700	—	—	—	—	—	—	—	—	—	—	—	—	—	—	6	25	13	27	10	20	2	32	—	—	—
500	—	—	—	—	—	—	—	—	—	—	—	—	—	—	4	51	10	44	12	34	5	45	—	—	—
400	—	—	—	—	—	—	—	—	—	—	—	—	—	—	1	38	11	53	14	39	4	53	—	—	—
300	—	—	—	—	—	—	—	—	—	—	—	—	—	—	1	45	13	62	10	60	5	58	1	55	—
200	—	—	—	—	—	—	—	—	—	—	—	—	—	—	1	88	12	63	11	56	3	72	2	59	—
150	—	—	—	—	—	—	—	—	—	—	—	—	—	—	1	68	11	64	9	52	—	—	1	65	—
100	—	—	—	—	—	—	—	—	—	—	—	—	—	—	2	38	7	47	8	48	—	—	1	45	—

mensuelles

Vitesse du vent (ff) m

Mai 1956

15.00 h

Surface de pression standard (mb)	Vent ndd, (ff)m 15																								
	N		30°		60°		E		120°		150°		S		210°		240°		W		300°		330°		C
	n		n		n		n		n		n		n		n		n		n		n		n		n
Surface	—	—	2	13	5	8	1	7	—	—	—	—	—	—	4	7	2	10	—	—	—	—	—	—	15
1000	—	—	—	—	—	—	—	—	—	—	—	—	—	—	—	—	—	—	—	—	—	—	—	—	—
850	3	6	3	5	4	13	2	9	—	—	—	—	—	—	1	16	6	16	3	13	1	8	—	—	6
700	3	12	1	7	2	11	—	—	—	—	1	20	3	7	4	13	5	28	2	16	2	8	3	14	2
500	5	23	2	30	2	25	1	22	1	22	—	—	2	23	5	17	1	59	4	25	4	33	2	11	—
400	3	39	3	28	2	27	1	20	3	15	—	—	2	21	3	27	3	38	4	33	2	26	3	49	—
300	3	42	4	39	1	57	3	29	1	27	—	—	1	20	3	18	5	49	4	35	—	—	3	56	—
200	5	29	4	31	1	32	1	24	—	—	—	—	—	—	2	17	10	29	2	63	3	46	—	—	—
150	2	17	3	21	1	17	—	—	—	—	—	—	—	—	4	11	7	28	4	23	2	15	3	28	1
100	—	—	—	—	—	—	—	—	—	—	—	—	—	—	—	—	—	—	—	—	—	—	—	—	—

Juin 1956

Surface de pression standard (mb)	Vent ndd, (ff)m 15																								
	N		30°		60°		E		120°		150°		S		210°		240°		W		300°		330°		C
	n		n		n		n		n		n		n		n		n		n		n		n		n
Surface	2	13	1	12	1	10	1	7	—	—	—	—	—	—	—	—	4	6	3	7	2	8	—	—	14
1000	—	—	—	—	—	—	—	—	—	—	—	—	—	—	—	—	—	—	—	—	—	—	—	—	—
850	4	7	—	—	4	7	—	—	—	—	—	—	1	4	1	6	9	13	6	8	2	6	1	4	—
700	3	6	2	14	2	15	—	—	—	—	—	—	1	5	3	19	10	17	2	10	5	13	—	—	—
500	5	22	2	27	—	—	—	—	—	—	—	—	—	—	1	48	8	23	7	25	3	27	1	34	—
400	4	38	2	22	1	17	—	—	—	—	—	—	1	23	2	41	7	27	7	39	2	42	1	50	—
300	3	47	3	22	—	—	—	—	1	11	1	50	—	—	5	30	3	39	5	52	3	25	3	57	—
200	3	29	2	28	—	—	—	—	—	—	1	12	—	—	2	22	7	36	5	40	3	21	4	55	—
150	3	18	1	33	—	—	—	—	—	—	—	—	1	9	1	20	5	32	10	26	4	26	1	27	—
100	3	16	1	11	—	—	1	10	—	—	1	6	1	3	2	17	5	21	5	18	4	24	2	8	—

Juillet 1956

Surface de pression standard (mb)	Vent ndd, (ff)m 15																								
	N		30°		60°		E		120°		150°		S		210°		240°		W		300°		330°		C
	n		n		n		n		n		n		n		n		n		n		n		n		n
Surface	—	—	1	9	2	7	—	—	—	—	—	—	—	—	3	9	5	10	1	8	1	14	—	—	18
1000	—	—	—	—	—	—	—	—	—	—	—	—	—	—	—	—	—	—	—	—	—	—	—	—	—
850	2	10	2	8	2	10	—	—	—	—	—	—	—	—	2	16	13	15	3	8	2	6	1	10	3
700	1	15	2	9	1	12	—	—	1	7	—	—	—	—	2	34	11	24	10	14	—	—	1	16	1
500	1	6	1	10	—	—	1	3	—	—	1	23	1	33	3	23	7	26	9	25	3	29	3	23	—
400	—	—	—	—	—	—	1	5	1	7	1	23	2	35	3	21	5	42	8	27	6	37	3	24	—
300	—	—	—	—	—	—	1	6	—	—	2	42	1	14	3	32	8	41	6	35	6	49	3	27	—
200	1	30	—	—	—	—	1	12	—	—	—	—	—	—	2	32	7	47	12	41	2	49	2	42	—
150	—	—	—	—	—	—	—	—	1	16	—	—	—	—	1	22	7	42	12	36	5	28	1	35	—
100	—	—	—	—	—	—	—	—	1	22	—	—	—	—	2	20	8	23	7	26	6	27	1	28	1

Août 1956

Surface de pression standard (mb)	Vent ndd, (ff)m 15																								
	N		30°		60°		E		120°		150°		S		210°		240°		W		300°		330°		C
	n		n		n		n		n		n		n		n		n		n		n		n		n
Surface	—	—	1	7	—	—	2	7	—	—	—	—	1	7	4	13	6	13	2	6	3	10	1	5	11
1000	—	—	—	—	—	—	—	—	—	—	—	—	—	—	—	—	—	—	—	—	—	—	—	—	—
850	1	14	—	—	—	—	—	—	—	—	—	—	—	—	4	20	18	23	6	10	—	—	—	—	2
700	—	—	—	—	—	—	—	—	—	—	—	—	1	23	5	28	16	30	8	23	1	10	—	—	—
500	—	—	—	—	—	—	—	—	—	—	—	—	—	—	3	50	12	49	10	35	6	40	—	—	—
400	—	—	—	—	—	—	—	—	—	—	—	—	—	—	2	42	11	55	11	45	5	33	2	32	—
300	—	—	—	—	—	—	—	—	—	—	—	—	—	—	2	65	12	73	9	50	6	54	2	74	—
200	—	—	—	—	—	—	—	—	—	—	—	—	—	—	1	64	9	64	8	55	8	63	1	67	—
150	—	—	—	—	—	—	—	—	—	—	—	—	—	—	1	50	7	52	7	54	5	36	—	—	—
100	—	—	—	—	—	—	—	—	—	—	—	—	—	—	—	—	6	35	7	45	4	27	—	—	—

Moyennes

Vitesse du vent (ff) m

Septembre 1956 — 03.00 h

Surface de pression standard (mb)	Vent ndd, (ff)m 03																								
	N		30°		60°		E		120°		150°		S		210°		240°		W		300°		330°		C
	n		n		n		n		n		n		n		n		n		n		n		n		n
Surface	—	—	1	5	—	—	—	—	—	—	—	—	—	—	4	7	1	5	—	—	—	—	—	—	24
1000	—	—	—	—	—	—	—	—	—	—	—	—	—	—	—	—	—	—	—	—	—	—	—	—	—
850	—	—	2	8	2	6	1	4	—	—	1	7	—	—	2	15	14	12	3	14	—	—	—	—	5
700	1	12	2	19	2	14	—	—	—	—	—	—	4	16	4	21	5	21	8	15	1	33	1	25	2
500	1	34	1	7	1	6	—	—	1	4	2	33	2	17	4	45	6	30	8	22	2	25	2	40	—
400	1	35	1	6	—	—	—	—	—	—	3	18	3	28	3	36	9	33	6	27	1	35	3	47	—
300	—	—	1	8	—	—	—	—	—	—	2	22	2	55	3	22	5	47	7	34	5	19	3	65	—
200	1	80	—	—	—	—	1	8	—	—	—	—	3	56	3	26	3	48	12	32	3	11	3	45	—
150	—	—	—	—	—	—	—	—	1	15	—	—	1	13	1	22	7	39	9	35	5	23	2	55	—
100	1	12	—	—	—	—	—	—	—	—	1	5	—	—	1	9	6	15	8	40	3	23	3	28	—

Octobre 1956

Surface de pression standard (mb)	Vent ndd, (ff)m 03																								
	N		30°		60°		E		120°		150°		S		210°		240°		W		300°		330°		C
	n		n		n		n		n		n		n		n		n		n		n		n		n
Surface	—	—	—	—	—	—	—	—	—	—	—	—	—	—	5	9	2	8	—	—	—	—	—	—	24
1000	—	—	—	—	—	—	—	—	—	—	—	—	—	—	—	—	—	—	—	—	—	—	—	—	—
850	—	—	3	13	2	24	—	—	—	—	1	3	—	—	3	5	8	21	5	12	4	9	1	13	4
700	1	5	—	—	4	21	—	—	1	10	—	—	1	4	—	—	9	18	7	15	5	20	2	7	1
500	2	26	—	—	3	15	1	5	—	—	2	14	2	9	2	40	2	27	6	27	5	21	5	25	—
400	1	46	1	11	2	25	—	—	1	14	2	19	2	16	2	46	3	23	7	29	5	28	5	33	—
300	3	62	1	34	3	24	1	12	1	22	—	—	2	27	2	22	3	66	8	34	2	30	5	54	—
200	6	29	2	30	1	44	1	18	—	—	1	30	—	—	5	28	2	50	8	39	—	—	5	53	—
150	5	26	1	20	—	—	1	2	1	5	—	—	—	—	1	6	1	35	7	42	4	19	5	33	1
100	5	16	—	—	1	9	—	—	—	—	—	—	—	—	1	2	2	40	5	26	2	33	5	24	1

Novembre 1956

Surface de pression standard (mb)	Vent ndd, (ff)m 03																								
	N		30°		60°		E		120°		150°		S		210°		240°		W		300°		330°		C
	n		n		n		n		n		n		n		n		n		n		n		n		n
Surface	—	—	1	10	4	9	1	9	—	—	1	17	—	—	1	15	3	13	—	—	—	—	—	—	19
1000	—	—	—	—	—	—	—	—	—	—	—	—	—	—	—	—	—	—	—	—	—	—	—	—	—
850	1	7	4	9	11	15	1	14	1	3	—	—	—	—	3	11	5	18	2	27	—	—	—	—	2
700	2	15	6	13	5	19	3	13	2	6	—	—	1	6	4	19	1	22	4	33	1	35	1	16	—
500	4	32	5	30	2	21	3	12	3	9	2	19	1	7	3	25	1	25	2	39	3	38	1	48	—
400	4	47	6	32	3	12	2	8	2	15	1	16	2	27	4	31	1	33	3	51	2	38	—	—	—
300	3	28	8	42	1	6	1	22	1	25	2	11	3	42	4	21	2	39	1	82	3	52	1	98	—
200	3	44	5	29	2	6	3	8	2	15	1	12	1	24	—	—	3	14	3	26	1	45	3	42	1
150	3	28	3	15	—	—	—	—	2	9	—	—	1	20	1	5	3	19	4	20	—	—	6	25	3
100	3	36	1	33	—	—	—	—	—	—	—	—	1	14	—	—	3	11	4	21	3	20	5	16	2

Décembre 1956

Surface de pression standard (mb)	Vent ndd, (ff)m 03																								
	N		30°		60°		E		120°		150°		S		210°		240°		W		300°		330°		C
	n		n		n		n		n		n		n		n		n		n		n		n		n
Surface	—	—	2	12	1	8	—	—	—	—	—	—	—	—	4	9	2	10	—	—	—	—	—	—	22
1000	—	—	—	—	—	—	—	—	—	—	—	—	—	—	—	—	—	—	—	—	—	—	—	—	—
850	1	4	3	10	5	26	2	7	—	—	1	2	1	8	5	17	8	20	2	10	1	5	1	3	—
700	—	—	6	20	3	43	—	—	—	—	—	—	2	16	5	18	3	19	6	24	2	19	3	20	—
500	6	26	2	50	1	16	—	—	—	—	—	—	3	23	3	32	—	—	4	25	5	36	6	42	—
400	6	41	3	69	—	—	—	—	—	—	1	50	1	35	4	35	1	6	4	36	6	44	4	44	—
300	7	56	3	80	—	—	—	—	—	—	—	—	2	31	3	47	—	—	6	33	6	53	3	63	—
200	7	58	1	61	—	—	—	—	—	—	—	—	—	—	3	30	2	22	4	34	8	36	5	23	—
150	6	38	—	—	—	—	—	—	—	—	—	—	—	—	2	22	4	18	2	36	7	29	7	30	—
100	2	45	—	—	—	—	—	—	—	—	—	—	—	—	3	19	1	10	7	26	9	25	5	28	—

mensuelles

Vitesse du vent (ff) m

15.00 h

Septembre 1956

Surface de pression standard (mb)	Vent ndd, (ff)m 15																								
	N		30°		60°		E		120°		150°		S		210°		240°		W		300°		330°		C
	n		n		n		n		n		n		n		n		n		n		n		n		n
Surface	—	—	1	19	1	8	—	—	—	—	—	—	—	—	2	8	1	12	4	13	—	—	—	—	21
1000	—	—	—	—	—	—	—	—	—	—	—	—	—	—	—	—	—	—	—	—	—	—	—	—	—
850	1	5	2	6	3	10	—	—	1	5	—	—	—	—	—	—	16	12	1	20	1	9	1	16	4
700	2	18	2	15	—	—	1	8	—	—	1	14	7	11	5	26	6	21	6	19	—	—	—	—	—
500	1	11	—	—	1	5	—	—	—	—	2	13	3	27	5	21	6	26	8	28	2	28	2	39	—
400	2	19	—	—	—	—	1	3	—	—	1	16	4	23	5	22	5	36	7	33	2	34	3	37	—
300	2	14	—	—	—	—	1	6	1	14	—	—	2	22	5	42	6	47	8	33	2	20	3	54	—
200	1	44	—	—	—	—	1	6	—	—	1	14	1	30	3	34	7	40	9	36	2	34	3	36	—
150	—	—	—	—	—	—	—	—	—	—	—	—	2	9	3	28	5	41	11	30	2	33	3	33	—
100	—	—	—	—	—	—	—	—	—	—	—	—	—	—	1	40	5	28	13	24	1	15	2	39	2

Octobre 1956

Surface de pression standard (mb)	Vent ndd, (ff)m 15																								
	N		30°		60°		E		120°		150°		S		210°		240°		S		300°		330°		C
	n		n		n		n		n		n		n		n		n		n		n		n		n
Surface	—	—	2	8	2	11	—	—	—	—	1	6	—	—	2	8	2	12	1	10	—	—	1	5	20
1000	—	—	—	—	—	—	—	—	—	—	—	—	—	—	—	—	—	—	—	—	—	—	—	—	—
850	1	11	1	5	2	10	4	8	1	4	—	—	—	—	1	3	10	13	6	16	1	8	3	8	1
700	—	—	2	16	2	12	2	6	1	5	2	13	2	13	1	7	8	21	4	28	3	14	4	14	—
500	1	20	4	22	1	18	1	15	1	15	1	44	4	12	2	9	8	31	3	42	3	23	2	25	—
400	3	20	2	17	2	53	2	28	—	—	3	38	—	—	4	26	8	25	1	39	3	45	3	42	—
300	3	27	3	28	3	47	—	—	—	—	1	11	3	14	1	83	8	33	4	39	2	63	3	52	—
200	3	35	3	24	1	33	—	—	—	—	1	12	2	22	2	13	6	36	4	51	5	32	3	42	—
150	3	26	1	39	2	12	1	5	—	—	—	—	7	7	2	20	6	40	4	40	3	24	5	29	—
100	4	13	1	7	—	—	—	—	—	—	—	—	—	—	2	15	6	37	3	35	3	22	6	18	3

Novembre 1956

Surface de pression standard (mb)	Vent ndd, (ff)m 15																								
	N		30°		60°		E		120°		150°		S		210°		240°		W		300°		330°		C
	n		n		n		n		n		n		n		n		n		n		n		n		n
Surface	—	—	4	12	7	12	2	9	—	—	—	—	—	—	2	17	4	12	—		—			—	11
1000	—	—	—	—	—	—	—	—	—	—	—	—	—	—	—	—	—	—	—		—			—	—
850	1	5	3	3	9	12	1	17	—	—	—	—	1	15	3	16	3	12	4	27	1	6	—	—	4
700	1	22	3	24	5	15	2	9	1	8	2	12	1	13	3	12	3	16	1	57	3	20	4	16	—
500	5	21	7	22	1	44	—	—	3	11	1	17	1	17	3	21	2	20	2	60	2	51	3	25	—
400	6	23	3	48	3	24	—	—	2	16	2	16	1	16	5	27	—	—	1	22	3	52	4	32	—
300	6	62	1	49	4	29	2	18	—	—	1	22	3	18	4	28	2	42	1	82	4	39	2	54	—
200	5	65	3	24	2	22	1	14	3	11	—	—	—	—	2	14	1	10	4	41	6	22	3	33	—
150	5	48	3	11	—	—	—	—	—	—	1	11	—	—	1	7	3	13	4	37	6	22	6	27	—
100	3	28	—	—	—	—	—	—	—	—	—	—	—	—	1	12	2	10	5	27	5	35	5	19	—

Décembre 1956

Surface de pression standard (mb)	Vent ndd, (ff)m 15																								
	N		30°		60°		E		120°		150°		S		210°		240°		W		300°		330°		C
	n		n		n		n		n		n		n		n		n		n		n		n		n
Surface	—	—	4	8	3	10	—	—	—	—	—	—	—	—	4	9	—	—	—	—	—	—	—	—	20
1000	—	—	—	—	—	—	—	—	—	—	—	—	—	—	—	—	—	—	—	—	—	—	—	—	—
850	—	—	1	25	4	23	—	—	—	—	—	—	—	—	1	15	10	21	3	5	1	7	5	7	2
700	5	18	4	25	—	—	—	—	1	9	—	—	—	—	5	22	7	19	5	22	1	12	3	9	
500	6	34	2	48	—	—	—	—	—	—	—	—	—	—	5	30	3	22	5	30	4	33	5	24	1
400	7	40	2	47	—	—	—	—	—	—	—	—	—	—	5	34	3	24	3	29	7	30	4	54	
300	6	45	3	63	—	—	—	—	—	—	—	—	1	30	3	44	4	26	4	31	5	32	5	56	
200	5	38	2	65	—	—	—	—	—	—	—	—	1	28	3	39	3	20	3	40	7	28	7	28	—
150	5	48	—	—	—	—	—	—	—	—	—	—	—	—	2	29	4	16	3	31	10	24	6	27	
100	3	54	—	—	—	—	—	—	—	—	—	—	—	—	2	23	4	23	10	27	2	16	8	28	

Moyennes annuelles

Surface de pression standard (mb)	Hauteur de la surface de pression standard (en gpm)								Température ° C								Humidité relative %					
	03		15		Dies		Max.	Min.	03		15		Dies		Max.	Min.	03		15		Dies	
	n	Moy	n	Moy	n	Moy			n	Moy	n	Moy	n	Moy			n	Moy	n	Moy	n	Moy
Surface	—	—	—	—	—	—	—	—	364	4.8	362	10.8	726	7.8	28.8	–20.0	364	93	362	65	726	79
1000	364	159	362	149	726	154	287	522	—	—	—	—	—	—	—	—	—	—	—	—	—	—
850	364	1486	361	1487	725	1487	1625	1240	364	2.3	361	3.4	725	2.9	22.5	–27.2	364	84	361	70	725	77
700	364	3026	361	3035	725	3031	3220	2680	364	–5.5	361	–5.4	725	–5.5	10.4	–29.0	364	69	361	64	725	67
500	363	5590	361	5600	724	5595	5960	5065	363	–21.2	361	–21.0	724	–21.1	–8.1	–41.1	363	54	361	52	724	53
400	361	7198	360	7208	721	7203	7630	6560	361	–32.9	360	–32.7	721	–32.8	–18.6	–49.5	360	52	360	52	720	52
300	359	9159	359	9171	718	9165	9690	8420	359	–47.2	359	–46.8	718	–47.0	–33.2	–61.2	—	—	—	—	—	—
200	346	11770	346	11783	692	11777	12430	11070	346	–56.2	346	–56.2	692	–56.2	–40.0	–74.8	—	—	—	—	—	—
150	324	13589	339	13617	663	13603	14300	12905	324	–56.2	339	–56.0	663	–56.1	–45.5	–72.0	—	—	—	—	—	—
100	—	—	—	—	—	—	—	—	—	—	—	—	—	—	—	—	—	—	—	—	—	—

Moyennes annuelles

Surface de pression standard (mb)	Vecteur du vent moyen								
	03			15			Dies		
	n	dd	ff	n	dd	ff	n	dd	ff
Surface	364	184	01	362	320	01	726	240	01
1000	—	—	—	—	—	—	—	—	—
850	363	253	04	361	254	05	724	253	04
700	363	272	07	361	261	08	724	266	07
500	362	288	13	360	285	14	722	287	13
400	361	291	16	360	290	16	721	290	16
300	358	293	21	356	291	21	714	292	21
200	342	290	21	338	288	23	680	289	22
150	301	286	20	313	285	21	614	285	20
100	—	—	—	—	—	—	—	—	—

Moyennes annuelles

Vitesse du vent (ff) m

Surface de pression standard (mb)	Vent ndd, (ff)m 03																								
	N		30°		60°		E		120°		150°		S		210°		240°		W		300°		330°		C
	n		n		n		n		n		n		n		n		n		n		n		n		n
Surface	—	—	10	8	21	11	3	12	—	—	1	7	10	8	24	10	19	9	—	—	—	—	1	8	275
1000	—	—	—	—	—	—	—	—	—	—	—	—	—	—	—	—	—	—	—	—	—	—	—	—	—
850	10	9	26	9	59	18	10	7	3	4	4	6	5	7	32	14	110	17	34	13	15	8	10	7	45
700	16	16	34	18	34	24	10	15	5	12	7	14	20	12	41	20	68	22	62	19	36	20	24	14	6
500	37	35	26	29	20	27	6	9	5	9	13	17	22	24	31	33	58	29	67	27	39	33	37	33	1
400	30	44	27	40	19	33	5	11	6	13	15	20	17	28	32	31	63	35	66	33	44	39	37	41	—
300	32	58	24	50	16	44	8	24	9	17	12	21	15	37	27	33	55	47	72	40	47	43	40	54	1
200	34	44	21	40	8	25	8	16	4	18	8	14	7	31	29	31	58	39	74	40	50	37	42	42	1
150	29	35	17	29	5	14	2	14	6	11	1	5	4	14	25	23	63	38	66	35	40	29	41	32	5
100	—	—	—	—	—	—	—	—	—	—	—	—	—	—	—	—	—	—	—	—	—	—	—	—	—

Surface de pression standard (mb)	Vent ndd, (ff)m 15																								
	N		30°		60°		E		120°		150°		S		210°		240°		W		300°		330°		C
	n		n		n		n		n		n		n		n		n		n		n		n		n
Surface	5	10	28	11	41	11	10	10	—	—	1	6	2	5	31	11	34	11	17	9	10	10	5	7	176
1000	—	—	—	—	—	—	—	—	—	—	—	—	—	—	—	—	—	—	—	—	—	—	—	—	—
850	18	9	21	9	56	17	10	11	4	4	2	5	3	7	28	16	115	17	40	14	18	7	14	8	29
700	18	18	29	20	25	21	10	14	8	10	12	11	19	11	42	22	87	23	51	19	27	19	28	16	5
500	37	29	30	31	12	29	4	20	8	16	8	19	22	20	35	26	68	29	61	31	41	35	33	34	1
400	37	40	24	39	13	35	9	16	9	14	12	23	18	28	36	30	58	38	59	34	48	37	36	45	1
300	37	49	21	45	15	47	10	24	5	21	11	26	17	23	32	41	58	49	65	41	42	45	42	54	1
200	36	41	17	36	8	32	7	19	4	13	5	13	8	24	25	28	66	40	69	44	52	38	41	41	1
150	26	38	10	22	7	30	2	22	2	12	2	8	8	9	25	22	56	36	80	35	50	29	44	32	1
100	—	—	—	—	—	—	—	—	—	—	—	—	—	—	—	—	—	—	—	—	—	—	—	—	—

Moyennes mensuelles et annuelles aux niveaux 1—16 km

Température C °

03.00 h HEC

Mois	1	2	3	4	5	6	7	8	9	10	11	12	13	14	15	16km
I	—1.9	—3.5	—8.6	—14.2	—20.7	—28.3	—36.2	—43.9	—51.2	—57.1	—60.0	—60.1	—58.8	—57.5		
II	—12.2	—13.6	—17.5	—23.0	—29.2	—36.1	—43.1	—48.8	—52.7	—54.2	—54.8	—53.5	—53.7	—53.2		
III	1.6	—3.1	—8.9	—14.2	—21.1	—27.4	—34.7	—42.3	—49.1	—54.2	—55.5	—54.7	—52.9	—53.2		
IV	2.4	—3.3	—9.4	—15.1	—21.7	—29.0	—36.8	—44.1	—51.1	—55.9	—56.9	—55.6	—55.3	—55.0		
V	9.2	2.7	—3.1	—8.8	—15.5	—22.0	—29.7	—38.1	—45.8	—52.7	—56.9	—58.6	—57.3	—56.9	—57.2	—57.5
VI	8.9	2.0	—3.6	—8.9	—14.7	—21.1	—28.2	—35.8	—43.3	—49.7	—53.6	—54.0	—53.8	—54.2	—54.9	—57.5
VII	13.2	7.6	1.7	—4.2	—10.2	—16.4	—24.0	—31.3	—39.1	—45.6	—50.1	—52.1	—52.9	—54.5	—55.9	—56.5
VIII	11.8	6.3	4.4	—5.1	—10.9	—16.9	—23.4	—30.6	—38.0	—45.5	—50.3	—52.5	—53.9	—55.2	—56.7	—56.4
IX	12.7	8.1	2.0	—3.9	—9.9	—16.4	—23.3	—31.1	—39.0	—46.8	—54.3	—59.3	—59.9	—60.3	—60.2	—60.5
X	5.6	1.7	—4.1	—9.4	—15.9	—23.1	—30.4	—37.1	—43.5	—49.3	—53.8	—57.0	—58.4	—59.0	—60.3	—60.2
XI	0.3	—2.8	—7.2	—12.5	—19.7	—27.1	—34.4	—41.9	—48.6	—53.7	—56.5	—56.4	—56.0	—56.6	—57.6	—57.6
XII	0.4	—3.4	—8.3	—13.6	—19.9	—26.4	—33.7	—41.2	—48.2	—53.9	—57.7	—58.2	—57.9	—58.1	—59.2	—59.5
Année	4.3	—0.1	—5.2	—11.1	—17.5	—24.2	—31.5	—38.8	—45.8	—51.6	—55.0	—56.0	—55.9	—56.1	—	—

15.00 h HEC

Mois	1	2	3	4	5	6	7	8	9	10	11	12	13	14	15	16km
I	1.8	—3.1	—8.5	—14.1	—20.8	—27.9	—35.5	—42.8	—50.1	—56.3	—59.9	—60.0	—58.4	—56.5		
II	—10.1	—12.6	—17.1	—22.2	—28.5	—35.3	—42.4	—48.3	—52.2	—54.5	—54.6	—53.5	—53.9	—57.5		
III	3.2	—2.9	—9.0	—14.6	—20.6	—27.6	—35.1	—42.6	—49.2	—53.9	—55.5	—54.5	—53.1	—53.5		
IV	4.8	—2.8	—9.3	—15.0	—21.2	—27.8	—35.3	—42.8	—50.0	—54.5	—55.3	—54.7	—53.7	—54.1		
V	11.7	3.7	—3.0	—9.1	—15.4	—22.3	—30.0	—37.8	—45.4	—51.9	—56.1	—57.1	—57.0	—56.0	—56.3	—55.9
VI	11.9	3.9	—2.6	—8.0	—14.1	—20.1	—27.1	—34.5	—41.9	—48.5	—53.1	—54.9	—53.9	—53.9	—54.3	—54.3
VII	15.7	8.2	1.8	—3.8	—9.8	—16.1	—23.5	—30.9	—39.1	—45.6	—49.9	—52.1	—53.4	—54.6	—55.6	—56.0
VIII	14.3	7.6	1.5	—4.5	—10.0	—16.3	—22.8	—29.9	—37.4	—44.6	—49.6	—52.0	—53.2	—54.4	—56.0	—56.7
IX	14.7	9.1	2.9	—2.5	—9.1	—15.3	—21.9	—29.2	—36.8	—44.3	—51.2	—56.2	—57.9	—58.8	—59.2	—58.8
X	7.3	1.7	—3.8	—9.2	—15.1	—22.2	—29.6	—37.0	—43.5	—49.0	—53.5	—57.3	—59.5	—59.7	—60.1	—60.8
XI	0.4	—2.7	—7.2	—12.9	—19.5	—26.8	—34.4	—42.0	—49.0	—54.5	—56.9	—57.5	—57.6	—57.6	—58.5	—58.7
XII	1.0	—3.1	—8.1	—13.5	—20.0	—26.6	—34.1	—41.6	—48.6	—54.3	—57.9	—59.0	—58.3	—58.4	—58.9	—59.1
Année	6.4	0.6	—5.2	—10.8	—17.0	—23.7	—31.0	—38.3	—45.3	—51.0	—54.5	—55.7	—55.8	—56.3	—	—

Errata 1955: Les moyennes annuelles de température de 8 à 14 km de 03.00 h ont été interverties avec celles de 15.00 h de 1 à 7 km.

Pression mb

03.00 h HEC

Mois	1	2	3	4	5	6	7	8	9	10	11	12	13	14	15	16km
I	898	791	697	612	535	467	405	350	300	256	219	187	159	137		
II	895	785	688	601	523	454	392	337	289	247	212	181	155	132		
III	899	794	698	613	537	468	406	351	302	259	221	190	162	140		
IV	896	791	696	610	534	465	404	349	300	256	219	187	160	137		
V	906	802	708	623	547	478	416	361	312	268	229	196	167	143	123	105
VI	905	801	706	621	546	477	416	361	312	268	230	197	168	144	123	105
VII	904	802	709	625	550	482	421	367	317	274	236	202	173	148	125	107
VIII	902	799	707	622	548	480	420	365	317	273	234	201	172	147	125	107
IX	905	802	710	626	551	483	422	368	318	274	235	201	171	146	124	106
X	906	801	706	621	545	476	415	359	310	267	229	195	167	142	121	103
XI	902	795	700	615	539	470	408	353	304	261	223	190	162	138	118	102
XII	907	799	703	617	540	471	409	354	305	261	223	190	162	138	118	101
Année	902	797	702	617	541	473	411	356	307	264	226	193	165	141	—	—

15.00 h HEC

Mois	1	2	3	4	5	6	7	8	9	10	11	12	13	14	15	16km
I	899	793	698	612	536	467	405	350	301	258	220	187	160	137		
II	896	786	688	602	524	455	393	339	291	248	212	181	155	134		
III	900	794	699	613	537	468	406	351	302	259	221	189	162	140		
IV	896	791	696	611	534	466	405	350	301	258	220	188	161	138		
V	906	803	708	624	547	478	417	363	312	268	229	196	167	143	122	104
VI	905	801	707	623	547	479	418	363	314	270	232	198	169	145	124	106
VII	904	802	710	626	551	483	422	367	318	274	235	202	173	148	127	108
VIII	902	800	707	624	549	481	421	366	317	274	235	202	173	148	126	109
IX	905	803	711	627	552	484	424	369	320	276	237	203	173	148	126	107
X	906	801	707	622	546	477	415	360	311	267	229	196	167	142	121	103
XI	902	795	700	615	538	470	408	353	304	260	222	190	162	138	118	100
XII	906	799	703	617	540	471	409	354	304	261	223	190	162	138	118	100
Année	902	797	703	618	542	473	412	357	308	264	226	194	165	142	—	—

Fréquence des

03.00 h HEC — **850 mb**

C° Mois	I	II	III	IV	V	VI	VII	VIII	IX	X	XI	XII
21	—	—	—	—	—	—	—	1	—	—	—	—
20	—	—	—	—	—	—	—	—	—	—	—	—
19	—	—	—	—	—	—	—	1	—	—	—	—
18	—	—	—	—	—	—	—	—	—	—	—	—
17	—	—	—	—	—	—	2	—	—	—	—	—
16	—	—	—	—	—	—	1	—	—	—	—	—
15	—	—	—	—	2	—	1	—	1	—	—	—
14	—	—	—	—	—	—	4	1	1	—	—	—
13	—	—	—	—	—	1	2	2	3	1	—	—
12	—	—	—	—	—	—	—	2	4	1	—	—
11	—	—	—	—	—	—	5	2	5	—	—	—
10	—	—	—	—	1	1	2	3	4	2	—	—
9	—	—	—	—	4	1	3	3	2	2	—	—
8	—	—	—	—	7	3	3	3	5	3	1	—
7	1	—	1	—	1	4	1	4	2	5	1	—
6	—	—	1	2	2	1	4	5	2	1	—	—
5	—	—	1	3	2	3	2	2	—	2	—	2
4	—	—	6	—	1	4	1	1	1	1	—	2
3	1	—	1	4	3	2	—	—	—	1	1	2
2	2	—	2	5	2	4	—	1	—	1	1	3
1	3	—	5	2	2	1	—	—	—	1	2	2
0	7	1	2	3	1	1	—	—	—	—	4	2
—1	6	—	3	2	2	2	—	—	—	1	6	5
—2	2	1	—	2	1	—	—	—	—	3	2	1
—3	2	2	1	—	—	—	—	—	—	2	1	1
—4	1	2	—	2	—	—	—	—	—	3	6	2
—5	3	1	3	—	—	—	—	—	—	1	1	2
—6	—	1	—	3	—	—	—	—	—	—	—	1
—7	2	2	3	—	—	—	—	—	—	—	—	1
—8	1	—	1	1	—	—	—	—	—	—	3	2
—9	—	1	—	—	—	—	—	—	—	—	1	1
—10	—	1	—	1	—	—	—	—	—	—	—	2
—11	—	1	—	—	—	—	—	—	—	—	—	—
—12	—	2	1	—	—	—	—	—	—	—	—	—
<–12		14 *)										
Total	31	29	31	30	31	28	31	31	30	31	30	31

*) Février: Suite

–13	–14	–15	–16	–17	–18	–19	–20	–21	–22	–23	–24	–25	–26	–27
—	2	2	1	2	2	1	—	—	—	1	—	1	1	1

15.00 h HEC — **850 mb**

C° Mois	I	II	III	IV	V	VI	VII	VIII	IX	X	XI	XII
22	—	—	—	—	—	—	—	2	—	—	—	—
21	—	—	—	—	—	—	—	—	—	—	—	—
20	—	—	—	—	—	—	—	—	—	—	—	—
19	—	—	—	—	1	—	1	—	—	—	—	—
18	—	—	—	—	—	—	1	—	—	—	—	—
17	—	—	—	—	—	—	2	—	—	—	—	—
16	—	—	—	—	—	—	1	3	2	1	—	—
15	—	—	—	—	1	—	1	1	2	1	—	—
14	—	—	—	—	1	—	2	1	4	—	—	—
13	—	—	—	—	1	2	2	1	4	—	—	—
12	—	—	—	—	—	1	5	2	4	—	—	—
11	—	—	—	—	1	1	1	4	4	—	—	—
10	—	—	—	—	2	5	3	2	1	2	—	—
9	—	—	—	—	4	1	1	3	1	4	—	—
8	—	—	1	—	3	2	2	6	3	4	1	—
7	—	—	3	4	3	3	4	1	4	2	—	1
6	—	—	—	2	—	1	2	4	—	2	1	—
5	3	—	3	2	1	5	2	—	—	1	—	4
4	—	—	1	—	—	4	—	1	1	1	—	2
3	1	—	3	6	4	—	—	—	—	2	2	3
2	3	—	2	2	4	1	—	—	—	—	2	1
1	1	—	3	3	2	1	—	—	—	—	3	1
0	4	1	3	3	1	1	—	—	—	3	6	5
—1	5	2	1	—	—	—	—	—	—	3	4	4
—2	5	1	2	1	—	—	—	—	—	—	2	2
—3	4	1	1	—	—	—	—	—	—	2	3	1
—4	2	1	1	4	—	—	—	—	—	2	—	1
—5	—	1	2	1	—	—	—	—	—	1	3	—
—6	2	2	2	—	—	—	—	—	—	—	—	1
—7	—	2	1	1	—	—	—	—	—	—	—	3
—8	1	—	—	—	—	—	—	—	—	—	1	—
—9	—	1	—	—	—	—	—	—	—	—	2	1
—10	—	—	1	—	—	—	—	—	—	—	—	1
—11	—	3	—	1	—	—	—	—	—	—	—	—
—12	—	—	1	—	—	—	—	—	—	—	—	—
<–12		14 *)										
Total	31	29	31	30	29	28	30	31	30	31	30	31

*) Février: Suite

–13	–14	–15	–16	–17	–18	19	–20	–21	–22	–23	–24	–25
3	—	3	2	3	—	—	—	—	1	1	—	1

03.00 h HEC — **700 mb**

C° Mois	I	II	III	IV	V	VI	VII	VIII	IX	X	XI	XII
8	—	—	—	—	—	—	—	1	—	—	—	—
7	—	—	—	—	—	—	2	—	1	—	—	—
6	—	—	—	—	—	—	1	1	1	—	—	—
5	—	—	—	—	—	—	1	1	1	—	—	—
4	—	—	—	—	1	—	2	1	1	1	—	—
3	—	—	—	—	1	—	4	2	5	—	—	—
2	—	—	—	—	—	—	3	4	5	1	—	—
1	—	—	—	—	—	—	7	4	6	4	—	—
0	1	—	—	—	2	4	4	3	—	3	1	—
—1	1	—	2	—	5	3	1	6	6	6	1	1
—2	1	—	1	—	8	5	—	3	3	2	1	3
—3	—	—	1	2	2	1	2	—	—	2	4	2
—4	2	—	3	1	3	5	3	3	—	1	2	3
—5	3	1	2	3	1	4	—	1	—	—	1	2
—6	4	2	6	5	4	3	1	—	1	1	3	2
—7	2	—	—	5	1	—	—	—	—	1	8	4
—8	5	1	3	2	—	2	—	1	—	—	—	—
—9	1	1	2	3	1	1	—	—	—	—	3	4
—10	3	—	3	2	—	—	—	—	—	1	2	2
—11	3	1	2	—	1	1	—	—	—	3	2	—
—12	1	1	2	—	1	—	—	—	—	1	—	1
—13	2	2	1	2	—	—	—	—	—	1	—	—
—14	1	1	—	2	—	—	—	—	—	3	1	2
—15	1	1	2	—	—	—	—	—	—	—	—	1
—16	—	3	—	2	—	—	—	—	—	—	—	2
—17	—	4	—	—	—	—	—	—	—	—	—	—
—18	—	1	1	—	—	—	—	—	—	—	1	2
—19	—	—	—	—	—	—	—	—	—	—	—	—
—20	—	3	—	—	—	—	—	—	—	—	—	—
—21	—	2	—	1	—	—	—	—	—	—	—	—
—22	—	—	—	—	—	—	—	—	—	—	—	—
<–22		5*)										
Total	31	29	31	30	31	28	31	31	30	31	30	31

*) Février: Suite

–23	–24	–25	–26	–27	–28	–29
2	—	—	2	—	—	1

15.00 h HEC — **700 mb**

C° Mois	I	II	III	IV	V	VI	VII	VIII	IX	X	XI	XII
10	—	—	—	—	—	—	—	1	—	—	—	—
9	—	—	—	—	—	—	—	1	—	—	—	—
8	—	—	—	—	—	—	—	1	1	—	—	—
7	—	—	—	—	—	—	—	—	—	—	—	—
6	—	—	—	—	—	—	2	—	—	—	—	—
5	—	—	—	—	—	—	2	—	3	—	—	—
4	—	—	—	—	1	—	3	2	2	—	—	—
3	—	—	—	—	—	—	5	3	7	3	—	—
2	—	—	—	—	2	—	1	1	5	1	—	—
1	—	—	—	—	1	4	1	4	1	3	1	—
0	1	—	—	—	1	4	7	8	6	6	—	—
—1	1	—	—	1	2	4	2	2	4	—	—	1
—2	—	—	2	—	4	5	5	3	1	4	1	1
—3	2	—	2	1	7	1	1	—	—	2	4	3
—4	—	—	4	1	1	2	1	3	—	—	1	3
—5	3	1	2	2	1	2	—	2	—	1	5	3
—6	3	—	4	5	4	2	—	—	—	—	1	5
—7	3	1	1	6	2	—	—	—	—	1	8	3
—8	3	3	4	1	—	2	—	—	—	2	1	1
—9	4	1	—	3	2	1	—	—	—	1	3	1
—10	3	—	2	3	1	—	—	—	—	1	2	1
—11	2	1	2	1	—	1	—	—	—	1	1	1
—12	4	2	2	1	—	—	—	—	—	—	—	2
—13	1	—	1	2	—	—	—	—	—	3	—	2
—14	—	—	—	—	—	—	—	—	—	1	—	1
—15	1	1	2	1	—	—	—	—	—	1	—	1
—16	—	4	1	—	—	—	—	—	—	—	—	1
—17	—	1	—	—	—	—	—	—	—	—	—	1
—18	—	2	1	1	—	—	—	—	—	—	2	—
—19	—	3	—	—	—	—	—	—	—	—	—	—
—20	—	3	1	—	—	—	—	—	—	—	—	—
—21	—	—	—	—	—	—	—	—	—	—	—	—
—22	—	3	—	1	—	—	—	—	—	—	—	—
<–22		3 *)										
Total	31	29	31	30	29	28	30	31	30	31	30	31

*) Février: Suite

–23	–24	–25
2	—	1

températures

03.00 h HEC — 500 mb

C° Mois	I	II	III	IV	V	VI	VII	VIII	IX	X	XI	XII
—9	—	—	—	—	—	—	1	—	—	—	—	—
—10	—	—	—	—	—	—	4	1	3	—	—	—
—11	—	—	—	—	—	—	2	5	1	—	—	—
—12	—	—	—	—	—	—	3	3	4	1	—	—
—13	—	—	—	—	—	—	4	6	5	1	1	—
—14	—	—	—	—	—	4	5	1	4	3	—	—
—15	—	—	—	—	—	1	2	2	6	4	—	—
—16	1	—	1	1	5	1	2	4	2	2	—	—
—17	—	1	1	—	5	5	1	3	2	3	1	2
—18	1	—	1	—	6	6	—	2	—	4	1	5
—19	—	—	2	—	5	2	3	3	2	1	2	5
—20	1	—	2	—	1	5	2	—	—	2	3	2
—21	3	1	5	7	2	1	1	1	—	—	—	1
—22	7	—	2	3	3	1	—	—	—	2	1	3
—23	4	—	2	4	1	—	—	—	1	—	9	2
—24	3	4	5	—	2	—	—	—	—	1	6	—
—25	1	—	3	4	—	—	—	—	—	—	1	—
—26	2	3	1	2	—	1	—	—	—	—	2	2
—27	2	—	1	2	1	—	—	—	—	—	—	2
—28	—	—	2	2	—	1	—	—	—	1	1	1
—29	4	2	2	1	—	—	—	—	—	—	—	—
—30	—	1	—	1	—	—	—	—	—	3	—	4
—31	2	3	1	1	—	—	—	—	—	1	—	1
—32	—	4	—	—	—	—	—	—	—	1	—	—
—33	—	2	—	—	—	—	—	—	—	1	—	—
—34	—	1	—	1	—	—	—	—	—	—	1	1
—35	—	—	—	1	—	—	—	—	—	—	—	—
—36	—	1	—	—	—	—	—	—	—	—	—	—
—37	—	1	—	—	—	—	—	—	—	—	—	—
—38	—	—	—	—	—	—	—	—	—	—	1	—
—39	—	3	—	—	—	—	—	—	—	—	—	—
—40	—	2	—	—	—	—	—	—	—	—	—	—
Total	31	29	31	30	31	28	30	31	30	31	30	31

15.00 h HEC — 500 mb

C° Mois	I	II	III	IV	V	VI	VII	VIII	IX	X	XI	XII
—8	—	—	—	—	—	—	—	2	—	—	—	—
—9	—	—	—	—	—	—	1	1	2	—	—	—
—10	—	—	—	—	—	—	5	1	2	—	—	—
—11	—	—	—	—	—	—	6	5	2	—	—	—
—12	—	—	—	—	—	—	1	2	4	2	—	—
—13	—	—	—	—	—	—	2	2	6	3	—	—
—14	—	—	—	—	2	2	2	4	3	3	1	—
—15	—	—	—	1	—	7	6	5	5	3	—	—
—16	—	—	1	—	2	4	2	2	4	3	—	—
—17	—	—	—	—	3	4	1	—	—	3	1	1
—18	—	—	2	1	4	5	—	3	2	2	2	2
—19	3	—	4	2	4	—	2	2	—	—	1	2
—20	2	—	3	2	3	2	1	1	—	3	3	9
—21	4	2	1	1	6	—	—	—	—	—	3	1
—22	3	1	3	3	2	—	1	1	—	—	3	2
—23	3	2	1	3	—	—	—	—	—	1	4	3
—24	3	—	3	2	1	2	—	—	—	—	4	1
—25	4	2	3	4	—	—	—	—	—	—	1	—
—26	2	1	3	3	1	—	—	—	—	2	4	1
—27	1	1	1	2	1	1	—	—	—	1	—	2
—28	3	1	1	2	—	1	—	—	—	1	—	1
—29	2	2	1	1	—	—	—	—	—	2	—	2
—30	1	1	2	1	—	—	—	—	—	1	2	—
—31	—	1	—	—	—	—	—		—	1	—	1
—32	—	2	1	1	—	—	—	—	—	—	—	2
—33	—	5	1	1	—	—	—	—	—	—	—	—
—34	—	3	—	—	—	—	—	—	—		—	1
—35	—	1	—	—	—	—	—	—	—	—	—	—
—36	—	—	—	—	—	—	—	—	—	—	—	—
—37	—	—	—	—	—	—	—	—	—	—	1	—
—38	—	1	—	—	—	—	—	—	—	—	—	—
—39	—	2	—	—	—	—	—	—	—	—	—	—
—40	—	—	—	—	—	—	—	—	—	—	—	—
—41	—	1	—	—	—	—	—	—	—	—	—	—
Total	31	29	31	30	29	28	30	31	30	31	30	31

03.00 h HEC — 400 mb

C° Mois	I	II	III	IV	V	VI	VII	VIII	IX	X	XI	XII
—20	—	—	—	—	—	—	1	1	—	—	—	—
—21	—	—	—	—	—	—	1	2	3	—	—	—
—22	—	—	—	—	—	—	1	2	3	—	—	—
—23	—	—	—	—	—	—	4	5	—	1	—	—
—24	—	—	1	1	—	1	5	4	4	1	—	—
—25	—	—	—	—	—	—	3	2	3	1	1	—
—26	—	—	—	—	—	2	2	2	5	3	1	—
—27	—	—	—	—	2	1	6	2	7	3	—	—
—28	—	1	—	—	1	5	1	3	2	1	—	1
—29	—	—	3	1	4	4	—	2	—	3	2	1
—30	—	—	2	—	7	7	1	3	1	3	—	3
—31	1	—	1	2	5	2	1	—	1	3	1	4
—32	1	—	1	3	2	2	2	1	—	1	2	5
—33	6	—	5	2	3	1	2	—	—	2	3	1
—34	2	—	—	3	2	1	—	—	—	2	2	—
—35	5	1	4	2	1	—	—	—	—	—	4	6
—36	2	—	4	3	1	—	—	—	1	1	2	—
—37	2	3	2	4	2	1	—	—	—	—	6	5
—38	3	4	1	—	—	—	—	—	—	1	1	—
—39	1	2	2	4	1	—	—	—	—	—	2	—
—40	2	—	2	1	—	—	—	—	—	—	1	—
—41	2	1	—	4	—	—	—	—	—	—	—	2
—42	3	2	—	—	—	—	—	—	—	—	—	3
—43	—	—	2	—	—	1	—	—	—	2	1	—
—44	1	5	1	—	—	—	—	—	—	2	—	—
—45	—	1	—	—	—	—	—	—	—	—	—	—
—46	—	3	—	—	—	—	—	—	—	—	—	—
—47	—	1	—	—	—	—	—	—	—	1	—	—
—48	—	2	—	—	—	—	—	—	—	—	1	—
—49	—	2	—	—	—	—	—	—	—	—	—	—
—50	—	—	—	—	—	—	—	—	—	—	—	—
—51	—	1	—	—	—	—	—	—	—	—	—	—
Total	31	29	31	30	31	28	30	28	30	31	30	31

15.00 h HEC — 400 mb

C° Mois	I	II	III	IV	V	VI	VII	VIII	IX	X	XI	XII
—17	—	—	—	—	—	—	—	—	1	—	—	—
—18	—	—	—	—	—	—	—	1	—	—	—	—
—19	—	—	—	—	—	—	—	1	1	—	—	—
—20	—	—	—	—	—	—	1	3	1	—	—	—
—21	—	—	—	—	—	—	2	3	2	1		—
—22		—	—	—	—	—	3	1	3	—	—	—
—23	—	—	—	—	—	—	3	3	1	3	—	—
—24	—	—	—	—	—	1	2	4	5	2	—	—
—25	—	—	—	—	1	2	2	—	3	1	—	—
—26	—	—	—	—	—	3	3	5	5	1	—	—
—27	—	—	1	1	2	6	3	2	5	3	1	—
—28	—	—	—	—	—	—	3	2	2	—	—	—
—29	—	—	1	—	3	6	2	3	—	3	2	1
—30	2	—	2	—	6	3	3	1	—	3	1	3
—31	1	—	1	—	1	1	—	1	—	—	1	2
—32	2	1	4	—	3	3	1	—	1	3	1	5
—33	3	—	2	3	6	—	3	—	—	—	4	2
—34	3	2	3	3	1	1	—	—	—	1	3	3
—35	4	1	2	4	2	1	—	—	—	1	6	5
—36	4	—	2	3	2	—	—	1	—	—	5	1
—37	2	3	3	6	—	—	—	—	—	2	2	1
—38	1	3	3	3	1	1	—	—	—	1	1	2
—39	4	1	1	2	—	—	—	—	—	2		—
—40	1	1	1	1	1	—	—	—		1	1	2
—41	3	1	2	3	—	—	—	—		6	—	2
—42	1	4	1	—	—	—	—	—		1		—
—43	—	1	1	—	—	—	—	—	—	—	1	—
—44	—	2	—	—	—	—	—	—	—	—	—	—
—45	—	3	—	—	—	—	—	—	—	1	—	1
—46	—	1	1	1	—	—	—	—	—	—	—	1
—47	—	1	—	—	—	—	—	—	—	—	—	—
—48	—	3	—	—	—	—	—	—	—	—	—	—
—49	—	1	—	—	—	—	—	—	—	—	1	—
Total	31	29	31	30	29	27	30	31	30	31	30	31

Fréquence des températures

03.00 h HEC — 300 mb

C° Mois	I	II	III	IV	V	VI	VII	VIII	IX	X	XI	XII
—33	—	—	—	—	—	—	—	1	—	—	—	—
—34	—	—	—	—	—	—	—	—	—	—	—	—
—35	—	—	—	—	—	—	2	—	—	—	—	—
—36	—	—	—	—	—	—	—	—	—	—	—	—
—37	—	—	—	—	—	—	—	3	—	—	1	—
—38	—	—	—	—	—	—	2	7	5	1	—	—
—39	—	—	—	—	—	1	4	3	1	—	—	—
—40	—	—	1	1	1	2	3	4	1	1	1	—
—41	—	—	—	—	1	—	7	1	4	2	—	1
—42	—	—	—	—	—	1	2	—	5	2	1	—
—43	—	1	1	2	—	4	1	5	8	2	—	—
—44	—	1	—	1	4	6	4	2	2	5	1	2
—45	—	—	3	1	3	2	—	1	—	2	1	—
—46	1	-	1	—	4	4	—	1	3	6	2	3
—47	2	-	3	1	—	5	4	—	—	2	2	6
—48	5	1	4	3	5	1	1	1	—	2	1	4
—49	3	4	4	2	6	—	—	—	—	3	7	4
—50	5	1	1	5	2	1	—	—	—	3	2	4
—51	3	1	2	4	1	1	—	—	—	—	2	2
—52	1	5	2	4	1	—	—	—	—	—	1	—
—53	3	7	5	—	1	—	—	—	—	—	4	2
—54	1	3	3	5	—	—	—	—	—	—	1	2
—55	1	1	1	—	—	—	—	—	—	—	1	—
—56	2	1	—	—	—	—	—	—	—	—	1	—
—57	2	2	—	—	1	—	—	—	—	—	—	—
—58	2	—	—	1	—	—	—	—	—	—	1	—
—59	—	—	—	—	—	—	—	—	—	—	—	1
—60	—	—	—	—	—	—	—	—	—	—	—	—
—61	—	1	—	—	—	—	—	—	—	—	—	—
Total	31	29	31	30	30	28	30	29	29	31	30	31

15.00 h HEC — 300 mb

C° Mois	I	II	III	IV	V	VI	VII	VIII	IX	X	XI	XII
—33	—	—	—	—	—	—	—	—	1	—	—	—
—34	—	—	—	—	—	—	1	1	1	—	—	—
—35	—	—	—	—	—	—	1	4	2	—	—	—
—36	—	—	—	—	—	—	—	1	1	—	—	—
—37	—	—	—	—	—	—	1	4	2	1	—	—
—38	—	—	—	—	—	1	4	4	1	1	—	—
—39	—	—	—	—	—	2	3	3	1	2	—	—
—40	—	—	—	—	—	1	1	2	7	3	—	—
—41	—	—	—	—	—	2	2	2	3	2	2	—
—42	—	—	1	—	3	2	5	2	3	1	—	—
—43	1	—	—	—	—	8	4	4	4	1	—	—
—44	1	—	1	—	1	3	1	1	3	2	—	1
—45	—	—	2	—	4	1	1	1	1	4	—	3
—46	2	—	2	2	3	2	2	1	—	1	3	1
—47	1	—	3	3	6	3	3	—	—	1	2	2
—48	4	2	4	—	5	1	—	—	—	2	3	8
—49	3	5	—	4	2	—	1	1	—	3	5	3
—50	4	2	6	3	1	—	—	—	—	3	6	3
—51	4	7	3	4	2	—	—	—	—	3	4	4
—52	4	2	4	4	—	1	—	—	—	—	4	2
—53	2	3	2	6	—	—	—	—	—	—	—	3
—54	3	2	2	3	—	—	—	—	—	—	—	1
—55	2	2	—	1	—	—	—	—	—	—	1	—
—56	—	2	—	—	—	—	—	—	—	—	—	—
—57	—	—	1	—	1	—	—	—	—	1	—	—
—58	—	—	—	—	—	—	—	—	—	—	—	—
—59	—	—	—	—	—	—	—	—	—	—	—	—
—60	—	—	—	—	—	—	—	—	—	—	—	—
—61	—	1	—	—	—	—	—	—	—	—	—	—
Total	31	29	31	30	28	27	30	31	30	31	30	31

03.00 h HEC — 200 mb

C° Mois	I	II	III	IV	V	VI	VII	VIII	IX	X	XI	XII
—40	1	—	—	—	—	—	—	—	—	—	—	—
—41	—	—	—	—	—	—	—	—	—	—	—	—
—42	—	—	—	—	—	—	—	—	—	—	—	—
—43	—	—	—	—	—	—	—	—	—	—	—	—
—44	—	1	—	—	—	—	1	2	—	—	—	—
—45	—	—	—	1	—	—	1	—	—	—	—	—
—46	—	—	—	2	—	1	—	—	—	1	—	—
—47	—	1	1	1	—	3	1	1	1	2	—	1
—48	—	1	1	1	1	2	4	4	—	—	—	1
—49	—	2	2	4	—	2	2	2	—	3	2	1
—50	1	6	2	2	2	3	1	2	—	—	1	2
—51	—	3	4	1	2	2	1	1	—	3	1	2
—52	2	4	1	—	—	—	1	1	—	1	3	—
—53	—	1	1	2	2	2	4	2	1	1	1	—
—54	3	—	1	1	—	1	4	3	—	—	3	1
—55	—	—	4	1	2	1	4	3	1	1	5	3
—56	—	—	1	3	2	1	2	1	1	—	1	1
—57	2	1	4	1	2	1	1	2	4	1	1	2
—58	2	1	1	—	2	2	1	—	1	2	2	1
—59	2	—	—	1	—	2	—	4	—	5	—	2
—60	1	1	1	2	1	2	—	—	9	2	1	2
—61	—	1	—	1	2	1	—	—	6	3	1	1
—62	3	2	1	2	3	—	—	—	3	—	1	4
—63	2	1	2	—	2	—	—	—	1	—	2	—
—64	4	—	—	1	2	1	—	—	1	1	1	1
—65	—	1	3	1	—	—	—	—	—	3	—	2
—66	2	1	—	1	1	—	—	—	—	—	—	2
—67	2	—	—	—	1	—	—	—	—	—	—	1
—68	—	—	—	—	1	—	—	—	—	2	1	1
—69	—	—	—	—	—	—	—	—	—	—	1	—
—70	2	—	—	—	—	—	—	—	—	—	—	—
Total	29	28	30	29	28	27	28	28	29	31	28	31

15.00 h HEC — 200 mb

C° Mois	I	II	III	IV	V	VI	VII	VIII	IX	X	XI	XII
—44	—	—	1	—	—	1	—	2	—	—	—	—
—45	—	1	—	—	—	1	1	1	—	—	—	—
—46	—	—	1	—	1	2	1	4	1	1	—	—
—47	—	2	2	1	—	1	2	2	—	2	—	2
—48	1	2	—	4	2	—	1	1	1	1	—	—
—49	2	4	—	1	1	2	1	—	—	—	—	1
—50	1	2	3	2	1	1	2	2	—	—	2	1
—51	—	2	3	—	1	2	4	3	—	3	—	2
—52	1	—	2	3	—	1	5	2	1	2	1	1
—53	1	1	—	—	4	1	1	1	2	—	2	1
—54	2	3	3	3	3	2	1	2	3	1	3	1
—55	—	—	3	2	—	1	2	2	3	2	2	1
—56	—	—	—	—	2	—	3	—	2	2	4	—
—57	2	—	3	—	1	3	2	3	2	—	4	1
—58	—	1	2	—	2	3	1	2	5	1	1	—
—59	2	2	—	1	—	1	—	3	1	2	3	2
—60	2	1	1	—	1	2	—	—	1	4	3	2
—61	1	2	1	2	1	3	—	—	3	1	—	—
—62	4	—	1	3	1	—	—	—	1	2	1	4
—63	3	—	2	1	1	—	—	—	1	1	—	4
—64	1	—	1	3	1	—	—	—	—	2	1	4
—65	2	—	1	1	2	—	—	—	1	—	3	2
—66	—	2	—	1	2	—	—	—	—	2	—	1
—67	1	—	—	—	—	—	—	—	—	—	—	1
—68	—	—	—	—	1	—	—	—	—	—	—	—
—69	—	—	—	—	—	—	—	—	—	—	—	—
—70	1	—	—	—	—	—	—	—	—	1	—	—
—71	2	—	—	—	—	—	—	—	—	—	—	—
—72	1	—	—	—	—	—	—	—	—	—	—	—
—73	—	1	—	—	—	—	—	—	—	—	—	—
—74	1	—	—	—	—	—	—	—	—	—	—	—
Total	31	26	30	28	28	27	27	30	28	30	30	31

Fréquence des températures

03.00 h HEC — 150 mb

C° Mois	I	II	III	IV	V	VI	VII	VIII	IX	X	XI	XII
—44	—	—	—	—	—	—	1	—	—	—	—	—
—45	—	1	1	—	—	—	—	—	—	—	—	—
—46	—	—	—	—	—	—	—	1	—	—	—	—
—47	—	1	—	1	—	—	1	—	—	—	—	—
—48	—	—	1	—	—	1	1	1	—	—	—	1
—49	—	3	3	1	—	3	—	—	—	1	1	—
—50	—	2	4	1	3	1	3	—	—	2	—	1
—51	2	6	7	2	—	3	1	1	1	4	1	—
—52	—	3	—	3	3	2	2	4	—	2	3	2
—53	—	2	2	1	2	3	3	4	—	—	3	3
—54	2	2	2	1	1	2	5	3	—	1	5	2
—55	1	—	2	2	2	1	2	1	2	—	2	1
—56	5	1	1	—	3	—	2	5	—	1	4	2
—57	3	1	2	1	2	2	3	—	4	2	—	4
—58	3	1	1	3	5	4	—	3	2	—	—	1
—59	—	1	—	3	—	1	1	—	6	2	—	2
—60	2	3	1	—	2	1	—	3	2	1	5	4
—61	2	—	—	2	2	—	2	1	2	—	—	2
—62	1	—	—	1	1	—	—	—	2	3	1	—
—63	—	—	—	—	1	—	1	—	1	4	1	3
—64	3	1	—	—	1	—	—	—	2	2	—	—
—65	—	—	1	—	—	—	—	—	1	1	1	—
—66	1	—	—	—	—	—	—	—	—	2	—	1
—67	—	—	—	—	—	—	—	—	1	—	—	1
—68	1	—	—	—	—	—	—	—	1	—	—	—
—69	—	—	—	—	—	—	—	—	—	1	—	—
Total	26	28	28	22	28	24	28	27	27	29	27	30

15.00 h HEC — 150 mb

C° Mois	I	II	III	IV	V	VI	VII	VIII	IX	X	XI	XII
—46	—	—	2	1	—	2	—	—	—	—	—	—
—47	—	2	—	—	—	—	—	1	—	1	—	—
—48	1	1	—	3	1	2	2	2	—	1	—	1
—49	2	6	3	2	2	2	2	2	1	1	—	1
—50	—	1	6	1	1	3	3	1	1	1	1	—
—51	1	2	4	3	2	3	5	1	—	2	—	2
—52	1	2	5	1	3	1	—	3	1	—	2	3
—53	1	2	2	2	2	1	—	2	1	2	2	1
—54	3	—	—	1	1	4	3	4	1	—	2	1
—55	1	2	2	5	3	2	1	2	2	—	7	1
—56	2	1	2	—	1	—	1	1	2	2	5	1
—57	3	1	1	2	1	1	3	3	1	1	2	2
—58	—	3	—	4	1	3	1	—	3	2	1	2
—59	3	—	1	1	1	2	1	3	3	1	—	4
—60	3	—	1	1	1	1	2	2	2	1	2	3
—61	1	—	—	—	3	—	3	—	—	—	1	3
—62	3	1	—	—	2	—	—	1	3	2	—	2
—63	1	—	—	—	2	—	—	—	—	2	2	1
—64	1	—	—	—	—	—	—	—	1	2	1	2
—65	2	—	1	—	—	—	—	—	1	2	—	—
—66	—	1	—	—	1	—	—	—	2	2	—	1
—67	—	—	—	—	—	—	—	—	—	—	2	—
—68	—	—	—	—	—	—	—	—	1	1	—	—
—69	—	—	—	—	—	—	—	—	—	1	—	—
—70	—	—	—	—	—	—	—	—	—	1	—	—
—71	1	1	—	—	—	—	—	—	—	—	—	—
—72	—	—	—	—	—	—	—	—	—	1	—	—
Total	30	26	30	27	28	27	27	28	26	29	30	31

Humidité relative en %

850 mb

Mois	100		95—99		90—94		80—89		70—79		50 69		30 - 49		< 30		Nombre de mesures	
	03	15	03	15	03	15	03	15	03	15	03	15	03	15	03	15	03	15
I	15	7	—	5	1	4	8	4	1	4	3	2	2	5	1	—	31	31
II	7	3	3	3	2	1	8	4	4	4	2	10	2	4	1	—	29	29
III	6	3	4	1	2	1	4	4	5	4	7	10	3	8	—	—	31	31
IV	11	3	4	2	3	2	2	2	5	5	3	8	2	8	—	—	30	30
V	7	2	3	2	4	1	6	1	7	1	2	12	2	9	—	1	31	29
VI	5	—	7	1	6	1	7	3	2	9	1	12	—	2	—	—	28	28
VII	6	2	5	2	1	1	7	3	4	7	6	8	2	4	—	3	31	30
VIII	8	1	4	1	6	4	5	6	4	5	2	9	1	3	1	2	31	31
IX	6	1	4	—	4	1	7	3	1	7	8	13	—	5	—	—	30	30
X	8	8	6	2	3	—	1	2	4	3	6	5	3	7	—	4	31	31
XI	9	5	7	9	4	3	3	5	3	3	2	3	2	—	—	2	30	30
XII	9	5	7	2	4	3	5	10	3	3	3	5	—	2	—	1	31	31
Total 03	97		54		40		63		43		45		19		3		364	
Total 15		40		30		22		47		55		97		57		13		361

700 mb

Mois	100		95—99		90—94		80—89		70—79		50 69		30 - 49		< 30		Nombre de mesures	
	03	15	03	15	03	15	03	15	03	15	03	15	03	15	03	15	03	15
I	6	5	1	2	—	2	4	3	—	1	6	5	6	6	8	7	31	31
II	6	5	1	—	—	1	6	4	3	4	5	5	5	8	3	2	29	29
III	5	2	3	2	2	2	1	4	8	2	4	11	5	7	3	1	31	31
IV	11	6	4	5	2	2	2	4	3	4	4	5	1	3	3	1	30	30
V	12	3	1	2	1	—	2	—	1	1	6	11	2	3	6	9	31	29
VI	9	3	3	4	3	3	5	5	4	2	3	6	—	2	1	3	28	28
VII	8	5	2	2	4	1	1	3	5	3	2	6	5	7	4	3	31	30
VIII	10	7	3	1	3	2	4	5	1	3	3	2	2	5	5	6	31	31
IX	5	1	4	2	3	2	2	1	4	5	4	8	2	3	6	8	30	30
X	9	9	—	2	2	—	2	—	1	2	2	2	4	6	11	10	31	31
XI	6	5	2	3	2	—	2	2	2	2	6	6	4	7	6	5	30	30
XII	8	3	3	4	1	3	1	4	2	2	9	6	4	5	3	4	31	31
Total 03	95		27		23		32		34		54		40		59		364	
Total 15		54		29		18		35		31		73		62		59		361

500 mb

Mois	100		95—99		90—94		80—89		70—79		50—69		30—49		< 30		Nombre de mesures	
	03	15	03	15	03	15	03	15	03	15	03	15	03	15	03	15	03	15
I	5	3	1	—	1	2	2	1	3	1	1	6	7	5	11	13	31	31
II	2	3	1	2	2	4	7	4	—	1	3	6	11	5	3	4	29	29
III	6	1	2	3	3	—	3	3	1	4	6	9	4	8	6	3	31	31
IV	3	1	2	2	5	3	3	4	1	4	9	5	4	6	3	5	30	30
V	2	—	1	2	1	3	2	—	2	2	7	8	4	7	12	7	31	29
VI	1	2	—	1	3	1	3	—	3	2	5	8	4	10	9	4	28	28
VII	—	2	1	—	1	2	4	4	1	2	5	3	8	3	10	14	30	30
VIII	4	2	3	1	1	2	2	5	4	2	1	5	4	4	12	10	31	31
IX	4	1	3	1	1	1	—	—	2	1	4	6	4	5	12	15	30	30
X	3	5	5	—	1	2	1	2	3	—	3	6	6	4	9	12	31	31
XI	1	2	2	—	2	2	2	2	3	4	5	5	6	8	9	7	30	30
XII	5	1	1	2	—	—	1	1	3	3	6	5	8	10	7	9	31	31
Total 03	36		22		21		30		26		55		70		103		363	
Total 15		23		14		22		26		26		72		75		103		361

400 mb

Mois	100		95—99		90—94		80—89		70—79		50—69		30—49		< 30		Nombre de mesures	
	03	15	03	15	03	15	03	15	03	15	03	15	03	15	03	15	03	15
I	3	3	2	1	2	2	5	1	1	3	2	6	5	7	11	8	31	31
II	3	3	1	1	3	1	5	6	1	3	5	8	8	4	3	3	29	29
III	3	1	1	—	1	4	7	4	3	6	4	4	7	8	5	4	31	31
IV	1	3	—	—	1	2	5	5	2	5	8	7	7	6	5	2	29	30
V	—	—	2	—	2	1	4	1	1	4	4	9	8	9	10	5	31	29
VI	—	1	—	—	—	—	2	1	3	2	7	8	5	12	10	3	27	27
VII	—	—	—	1	2	—	3	2	3	2	4	8	7	6	11	11	30	30
VIII	3	2	—	1	—	1	5	3	1	1	2	5	4	7	14	11	29	31
IX	1	—	3	—	4	1	1	1	2	2	5	6	2	6	12	14	30	30
X	1	4	1	—	5	—	3	2	2	1	4	8	5	6	10	10	31	31
XI	3	1	—	1	—	1	3	2	4	4	7	9	7	5	6	7	30	30
XII	4	1	—	2	—	1	3	—	2	6	9	2	6	12	7	7	31	31
Total 03	22		10		20		46		25		61		71		104		359	
Total 15		19		7		14		28		39		80		88		85		360

Fréquence des vents

Vitesse du vent en nœuds

850 mb

Direction des vents	0		1–5		6–10		11–20		21–30		31–40		41–50		51–70		71–90		91–110		>110		Total		%	
	03	15	03	15	03	15	03	15	03	15	03	15	03	15	03	15	03	15	03	15	03	15	03	15	03	15
N	—	—	3	8	4	4	3	5	—	—	—	—	—	—	—	—	—	—	—	—	—	—	10	17	2.8	4.7
30	—	—	8	3	6	10	10	4	2	3	—	1	—	—	—	—	—	—	—	—	—	—	26	21	7.2	5.8
60	—	—	3	10	19	13	16	18	10	8	8	4	1	2	2	1	—	—	—	—	—	—	59	56	16.2	15.5
E	—	—	4	5	4	—	2	3	—	2	—	—	—	—	—	—	—	—	—	—	—	—	10	10	2.8	2.8
120	—	—	2	4	—	1	—	—	—	—	—	—	—	—	—	—	—	—	—	—	—	—	3	5	0.8	1.4
150	—	—	3	1	1	1	—	—	—	—	—	—	—	—	—	—	—	—	—	—	—	—	4	2	1.1	0.6
S	—	—	1	2	3	—	1	1	—	—	—	—	—	—	—	—	—	—	—	—	—	—	5	3	1.4	0.8
210	—	—	7	4	7	4	11	12	5	6	2	1	—	1	—	—	—	—	—	—	—	—	32	28	8.8	7.8
240	—	—	6	9	18	27	50	44	25	25	9	7	—	4	1	—	—	—	—	—	—	—	109	116	30.0	32.1
W	—	—	4	11	13	10	10	13	8	4	—	2	—	1	—	—	—	—	—	—	—	—	35	41	9.6	11.4
300	—	—	7	3	4	11	3	1	1	1	—	—	—	—	—	—	—	—	—	—	—	—	15	16	4.1	4.4
330	—	—	5	8	3	4	2	5	—	—	—	—	—	—	—	—	—	—	—	—	—	—	10	17	2.8	4.7
Calmes	45	29	—	—	—	—	—	—	—	—	—	—	—	—	—	—	—	—	—	—	—	—	45	29	12.4	8.0
Total 03	45		53		83		108		51		19		1		3		—		—		—		363			
Total 15		29		68		85		106		49		15		8		1		—		—		—		361		
% 03	12.4		14.6		22.9		29.8		14.0		5.2		0.3		0.8		—		—		—				100	
% 15		8.0		18.8		23.5		29.4		13.6		4.2		2.2		0.3		—		—		—				100

Vitesse du vent en nœuds

700 mb

Direction des vents	0		1–5		6–10		11–20		21–30		31–40		41–50		51–70		71–90		91–110		>110		Total		%	
	03	15	03	15	03	15	03	15	03	15	03	15	03	15	03	15	03	15	03	15	03	15	03	15	03	15
N	—	—	2	1	5	4	7	7	6	4	1	1	—	1	—	—	—	—	—	—	—	—	21	18	5.8	5.0
30	—	—	4	2	5	3	13	12	3	7	7	4	1	1	—	—	—	—	—	—	—	—	33	29	9.1	8.0
60	—	—	4	2	6	6	7	4	8	8	4	2	3	1	2	1	1	—	—	—	—	—	35	24	9.7	6.6
E	—	—	1	2	2	3	4	3	2	—	—	2	—	—	—	—	—	—	—	—	—	—	9	10	2.5	2.8
120	—	—	1	2	3	4	1	2	—	—	—	—	—	—	—	—	—	—	—	—	—	—	5	8	1.4	2.2
150	—	—	—	2	—	3	4	7	1	—	—	—	—	—	—	—	—	—	—	—	—	—	5	12	1.4	3.3
S	—	—	6	4	3	8	8	4	3	3	—	—	—	—	—	—	—	—	—	—	—	—	20	19	5.5	5.2
210	—	—	2	1	4	1	21	14	10	14	1	7	3	2	—	—	—	—	—	—	—	—	41	42	11.3	11.6
240	—	—	2	7	8	10	20	20	25	29	10	18	—	4	—	2	1	—	—	—	—	—	66	90	18.2	24.7
W	—	—	6	6	6	7	20	19	24	11	7	5	—	1	—	1	—	—	—	—	—	—	63	50	17.4	13.8
300	—	—	6	3	4	3	9	13	9	2	7	6	—	1	1	—	—	—	—	—	—	—	36	28	9.9	7.7
330	—	—	5	3	3	3	8	15	6	5	—	2	—	—	—	—	—	—	—	—	—	—	22	28	6.1	7.7
Calmes	6	5	—	—	—	—	—	—	—	—	—	—	—	—	—	—	—	—	—	—	—	—	6	5	1.7	1.4
Total 03	6		39		49		122		97		37		7		3		2		—		—		362			
Total 15		5		35		59		119		83		47		11		4		—		—		—		363		
% 03	1.7		10.8		13.5		33.7		26.8		10.3		1.9		0.3		0.5		—		—				100	
% 15		1.4		9.6		16.3		32.8		22.9		12.9		3.0		1.1		—		—		—				100

Vitesse du vent en nœuds

500 mb

Direction des vents	0		1–5		6–10		11–20		21–30		31–40		41–50		51–70		71–90		91–110		>110		Total		%	
	03	15	03	15	03	15	03	15	03	15	03	15	03	15	03	15	03	15	03	15	03	15	03	15	03	15
N	—	—	—	3	2	4	7	7	4	7	11	3	5	4	4	2	2	2	—	—	—	—	35	37	9.9	10.3
30	—	—	2	2	5	4	4	4	7	6	4	6	1	4	4	1	—	2	—	1	—	—	28	30	7.9	8.4
60	—	—	—	2	2	—	4	3	9	1	1	2	1	4	1	—	1	—	—	—	—	—	19	12	5.4	3.4
E	—	—	1	1	3	—	3	1	—	1	—	—	—	1	—	—	—	—	—	—	—	—	7	4	1.9	1.1
120	—	—	1	—	2	1	2	6	—	1	—	—	—	—	—	—	—	—	—	—	—	—	5	8	1.4	2.2
150	—	—	—	—	3	2	8	4	1	1	—	—	1	1	—	—	—	—	—	—	—	—	13	8	3.6	2.2
S	—	—	1	2	3	3	8	11	1	2	2	2	1	—	2	2	1	—	—	—	—	—	19	22	5.4	6.1
210	—	—	—	1	3	4	9	9	5	12	7	3	4	5	2	1	2	—	—	—	—	—	32	35	9.0	9.8
240	—	—	5	3	3	4	9	11	14	13	11	13	8	9	5	6	—	1	—	—	—	—	55	60	15.5	16.8
W	—	—	2	1	7	4	13	8	24	23	10	17	5	6	6	4	—	—	—	1	—	—	67	64	18.8	17.9
300	—	—	—	1	1	1	10	7	9	8	4	11	6	9	6	5	—	2	—	—	—	—	36	44	10.1	12.3
330	—	—	—	1	1	3	8	7	11	6	5	6	7	3	5	5	1	2	—	—	—	—	38	33	10.8	9.2
Calmes	1	1	—	—	—	—	—	—	—	—	—	—	—	—	—	—	—	—	—	—	—	—	1	1	0.3	0.3
Total 03	1		12		35		85		86		55		39		35		7		—		—		355			
Total 15		1		17		30		78		81		68		46		26		9		2		—		358		
% 03	0.3		3.4		9.9		23.9		24.2		15.5		11.0		9.9		1.9		—		—				100	
% 15		0.3		4.7		8.4		21.8		22.6		19.0		12.8		7.3		2.5		0.6		—				100

Fréquence des vents

Vitesse du vent en nœuds

400 mb

Direction des vents	0		1–5		6–10		11–20		21–30		31–40		41–50		51–70		71–90		91–110		>110		Total		%	
	03	15	03	15	03	15	03	15	03	15	03	15	03	15	03	15	03	15	03	15	03	15	03	15	03	15
N	—	—	1	1	2	—	4	7	6	6	6	4	2	5	7	8	1	2	3	1	—	—	32	34	9.1	9.5
30	—	—	—	—	3	2	5	4	5	1	5	5	3	3	6	2	2	4	1	—	—	—	30	21	8.5	5.8
60	—	—	—	—	2	1	4	3	4	3	1	3	3	2	3	2	1	1	—	—	—	—	18	15	5.1	4.2
E	—	—	1	3	2	1	1	3	—	1	—	—	—	1	—	—	—	—	—	—	—	—	4	9	1.1	2.5
120	—	—	—	2	2	1	3	4	1	2	—	—	—	—	—	—	—	—	—	—	—	—	6	9	1.7	2.5
150	—	—	—	—	3	3	5	3	3	5	2	—	1	—	—	—	—	1	—	—	—	—	14	12	4.0	3.3
S	—	—	1	—	2	3	6	3	2	5	4	1	1	4	3	1	—	—	—	—	—	—	19	17	5.4	4.7
210	—	—	1	1	3	2	9	5	8	11	5	10	3	3	2	1	2	1	—	—	—	—	33	34	9.3	9.5
240	—	—	2	1	5	1	12	9	20	20	12	17	6	10	14	9	2	5	—	—	—	—	73	72	20.7	20.0
W	—	—	—	—	4	6	10	5	3	8	13	20	4	6	6	5	2	1	—	—	—	—	42	51	11.9	14.3
300	—	—	—	1	1	1	5	7	10	12	10	8	7	8	9	9	2	1	—	—	—	—	44	47	12.4	13.1
330	—	—	1	1	1	2	5	2	5	9	10	8	6	2	4	6	4	5	1	—	1	2	38	37	10.8	10.3
Calmes	—	1	—	—	—	—	—	—	—	—	—	—	—	—	—	—	—	—	—	—	—	—	—	1	—	0.3
Total 03	—		7		30		69		67		68		36		54		16		5		1		353			
Total 15		1		10		23		55		83		76		44		43		21		1		2		359		
% 03	—		2.0		8.5		19.5		19.0		19.3		10.2		15.3		4.5		1.4		0.3			100		
% 15		0.3		2.8		6.4		15.3		23.1		21.1		12.3		12.0		5.8		0.3		0.6				100

Vitesse du vent en nœuds

300 mb

Direction des vents	0		1–5		6–10		11–20		21–30		31–40		41–50		51–70		71–90		91–110		>110		Total		%	
	03	15	03	15	03	15	03	15	03	15	03	15	03	15	03	15	03	15	03	15	03	15	03	15	03	15
N	—	—	—	1	—	1	4	5	4	6	3	2	4	5	10	7	3	6	1	—	3	2	32	35	8.9	10.0
30	—	—	—	—	1	—	3	5	5	3	3	3	3	3	4	5	2	3	4	—	—	—	25	22	7.0	6.3
60	—	—	—	—	2	1	1	—	1	1	2	5	5	2	4	3	—	1	—	—	1	1	16	14	4.4	4.0
E	—	—	—	—	—	2	3	3	2	4	1	—	—	2	—	—	—	—	—	—	—	—	6	11	1.7	3.1
120	—	—	1	—	1	—	3	3	2	1	1	1	1	—	—	—	—	—	—	—	—	—	9	5	2.5	1.4
150	—	—	2	1	2	—	3	3	1	3	1	2	—	2	1	—	—	—	—	—	—	—	10	11	2.8	3.1
S	—	—	—	1	2	2	—	7	7	3	2	2	4	1	2	1	2	—	—	—	—	—	19	17	5.3	4.9
210	—	—	2	—	2	—	7	4	8	9	2	7	3	2	2	6	1	4	2	—	—	—	29	32	8.1	9.1
240	—	—	1	—	1	1	8	3	11	11	6	9	10	9	12	13	9	11	2	1	—	—	60	58	16.7	16.6
W	—	—	2	2	2	4	9	7	10	11	13	13	14	8	9	15	7	3	2	3	—	—	68	66	18.9	18.9
300	—	—	1	1	1	1	5	2	7	6	13	5	7	6	6	6	4	8	—	1	2	—	46	36	12.8	10.3
330	—	—	—	—	—	—	4	2	3	6	10	6	1	7	9	9	4	9	7	3	—	—	38	42	10.6	12.0
Calmes	1	1	—	—	—	—	—	—	—	—	—	—	—	—	—	—	—	—	—	—	—	—	1	1	0.3	0.3
Total 03	1		9		14		50		61		57		52		59		32		18		6		359			
Total 15		1		6		12		44		64		55		47		65		45		8		3		350		
% 03	0.3		2.5		3.9		13.9		17.0		15.9		14.5		16.4		8.9		5.0		1.7			100		
% 15		0.3		1.7		3.4		12.6		18.3		15.7		13.4		18.6		12.8		2.3		0.9				100

Vitesse du vent en nœuds

200 mb

Direction des vents	0		1–5		6–10		11–20		21–30		31–40		41–50		51–70		71–90		91–110		>110		Total		%	
	03	15	03	15	03	15	03	15	03	15	03	15	03	15	03	15	03	15	03	15	03	15	03	15	03	15
N	—	—	—	—	1	1	3	4	4	7	6	9	9	5	5	5	5	1	—	—	—	2	33	34	9.6	10.1
30	—	—	1	1	1	1	2	2	3	3	4	3	3	2	6	3	1	1	—	—	—	—	21	16	6.2	4.8
60	—	—	1	1	1	—	3	—	1	3	1	2	2	1	—	1	—	—	—	—	—	—	9	8	2.6	2.4
E	—	—	—	1	4	1	2	2	—	1	1	2	—	—	—	—	—	—	—	—	—	—	7	7	2.1	2.1
120	—	—	—	1	—	1	3	2	1	1	—	—	—	—	—	—	—	—	—	—	—	—	4	5	1.2	1.5
150	—	—	2	—	1	1	3	3	2	—	—	—	—	—	—	—	—	—	—	—	—	—	8	4	2.4	1.2
S	—	—	—	—	1	—	2	2	2	4	—	1	1	—	—	—	—	—	1	—	—	—	7	7	2.1	2.1
210	—	—	2	6	2	3	10	5	3	8	5	4	3	—	2	4	2	—	—	—	—	—	29	25	8.5	7.5
240	—	—	2	—	—	—	9	7	10	20	9	6	10	10	16	16	1	3	—	—	1	1	58	65	17.1	19.4
W	—	—	2	1	3	3	6	5	11	17	19	8	13	13	14	15	4	7	—	1	—	—	72	70	21.2	20.9
300	—	—	—	4	2	3	5	3	16	15	9	10	9	5	4	7	3	5	—	1	1	—	49	53	14.3	15.8
330	—	—	—	—	1	—	10	4	4	6	9	10	6	10	3	9	8	—	1	1	—	—	42	41	12.4	12.2
Calmes	1	—	—	—	—	—	—	—	—	—	—	—	—	—	—	—	—	—	—	—	—	—	1	—	0.3	—
Total 03	1		10		17		58		57		63		56		50		24		2		2		340			
Total 15		—		10		16		39		85		56		46		60		17		3		3		335		
% 03	0.3		2.9		5.0		17.1		16.8		18.5		16.5		14.6		7.1		0.6		0.6			100		
% 15		—		3.0		4.8		11.6		25.4		16.7		13.7		17.9		5.1		0.9		0.9				100

Fréquence des vents

Vitesse du vent en nœuds

150 mb

Direction des vents	0		1–5		6–10		11–20		21–30		31–40		41–50		51–70		71–90		91–110		>110		Total		%	
	03	15	03	15	03	15	03	15	03	15	03	15	03	15	03	15	03	15	03	15	03	15	03	15	03	15
N	—	—	—	2	3	—	9	6	4	3	1	6	7	2	6	7	—	—	—	1	1	—	31	27	10.3	7.8
30	—	—	2	1	—	1	5	4	2	1	3	2	—	—	4	—	—	—	—	—	—	—	16	9	5.3	2.6
60	—	—	2	—	—	—	2	3	1	—	—	3	—	—	—	1	—	—	—	—	—	—	5	7	1.7	2.0
E	—	—	1	1	—	—	—	—	1	—	1	1	—	—	—	—	—	—	—	—	—	—	3	2	1.0	0.6
120	—	—	2	—	2	1	1	1	1	—	—	—	—	—	—	—	—	—	—	—	—	—	6	2	2.0	0.6
150	—	—	1	1	—	—	—	1	—	—	—	—	—	—	—	—	—	—	—	—	—	—	1	2	0.3	0.6
S	—	—	1	1	—	6	3	4	—	1	—	—	—	—	—	—	—	—	—	—	—	—	4	12	1.3	3.5
210	—	—	2	—	3	4	6	12	11	5	1	2	—	3	2	—	—	—	—	—	—	—	25	26	8.3	7.6
240	—	—	1	—	2	4	10	8	15	14	9	12	11	13	9	10	2	1	—	—	1	—	60	62	19.9	18.1
W	—	—	—	3	4	5	12	16	15	25	18	10	7	20	8	11	1	4	2	—	—	—	67	94	22.2	27.4
300	—	—	—	1	2	5	10	12	12	12	7	13	4	5	3	3	—	1	—	—	—	—	38	52	12.5	15.2
330	—	—	—	1	1	2	10	10	12	15	7	6	6	5	5	8	—	—	—	—	—	—	41	47	13.5	13.7
Calmes	5	1	—	—	—	—	—	—	—	—	—	—	—	—	—	—	—	—	—	—	—	—	5	1	1.7	0.3
Total 03	5		12		17		68		74		47		35		37		3		2		2		302			
Total 15		1		11		28		77		76		55		48		40		6		1		—		343		
% 03	1.7		4.0		5.6		22.5		24.4		15.6		11.6		12.2		1.0		0.7		0.7				100	
% 15		0.3		3.2		8.2		22.4		22.2		16.0		14.0		11.7		1.7		0.3						100

Radiosondages du gradient de potentiel et de la conductibilité électrique de l'air

par

Jean Lugeon et Max Bohnenblust

Introduction

Des mesures de l'électricité de l'air au sol ont été effectuées depuis bientôt un siècle dans un nombre restreint d'observatoires. Plus rares sont les mesures dans l'atmosphère libre, pourtant nécessaires à bien des points de vue. Elles peuvent contribuer entre autres à améliorer nos connaissances des masses d'air, des échanges sol-atmosphère, des inversions de température, des interactions vraisemblables entre les couches principales de l'atmosphère, à préciser certaines discontinuités troposphériques, à renseigner sur les charges des hydrométéores en relation avec la formation des orages, etc. [1].

Il a été décidé de porter au programme de l'Année Géophysique Internationale des radiosondages du champ et de la conductibilité électriques à grande altitude. Des commissions internationales ont publié des recommandations, que nous suivons [2].

En restreignant notre programme à nos possibilités, nous avons développé dans les laboratoires de la Météorologie suisse deux types nouveaux de radiosondes, en nous inspirant des travaux de nos prédécesseurs, Idrac [3], le R. P. Lejay [4], Kœnigsfeld [5, 6] et d'autres [7]. Notre première idée était d'adapter nos systèmes de mesure du gradient de potentiel et de la conductibilité électriques de l'air à la radiosonde suisse PTU. Il fallut y renoncer pour des raisons de commodité à l'exploitation. Nous avons donc construit des appareils autonomes qui peuvent être attachés sans difficulté au ballon du radiosondage normal. Un seul opérateur peut effectuer toutes les manipulations. L'enregistrement est entièrement automatique, tant pour le champ que pour la conductibilité. Les valeurs s'inscrivent sur un dérouleur à bande, en coordonnées cartésiennes, le temps étant reporté en abscisse. Le premier vol a été effectué le 8 juillet 1955 [8, 9].

A) Radiosonde pour la mesure du gradient de potentiel

1. Principe

La mesure de la dérivée verticale du potentiel électrique dV/dh en atmosphère libre se fait au moyen d'un tube électrométrique commandé par deux électrodes situées à des hauteurs différentes. Les lignes de champ sont égalisées par deux sources radioactives fixées aux extrémités libres des électrodes. Les filets d'air ionisé ne peuvent pas produire de court-circuit, les électrodes ne se trouvant pas sur une même verticale. La distance séparant les deux électrodes radioactives sert de base de mesure. La différence de potentiel existant entre les électrodes est appliquée entre la masse et l'anode de la lampe électrométrique. Cette dernière est donc commandée par l'anode. L'électrode de contrôle de la lampe se trouvant en dehors de la trajectoire des électrons, il n'est pas nécessaire d'utiliser une lampe électrométrique de haute qualité. Une triode convenable remplit parfaitement cette fonction.

La transmission radioélectrique des signaux est assurée par un émetteur à ondes ultra-courtes, accordé sur 400 Mc. La lampe électrométrique fonctionne simultanément comme modulateur, suivant un système bréveté de M. Bohnenblust, *fig. 1.* La tension négative prélevée sur le circuit de grille de l'émetteur est utilisée comme tension anodique du tube électrométrique, par l'intermédiaire d'un circuit approprié RC, lequel oblige l'émetteur à osciller par intermittences, la fréquence de répétition étant commandée par la lampe électrométrique. Cette modulation directe permet d'économiser des tubes,

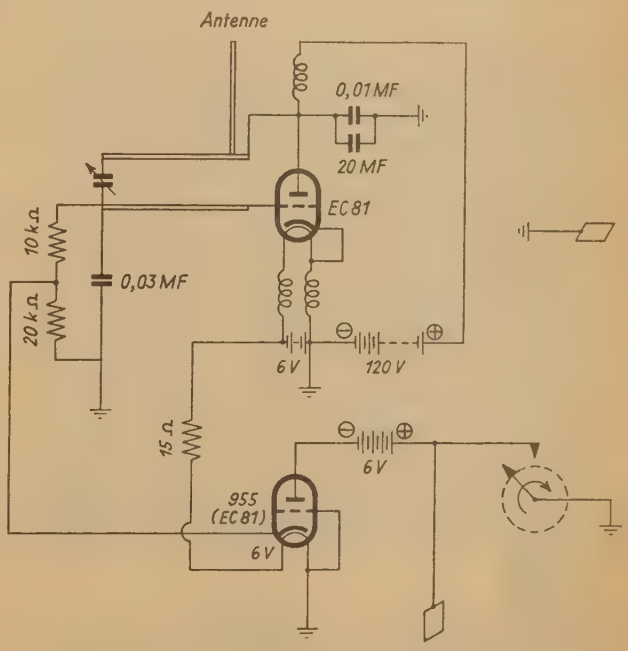

Fig. 1

Principe de la radiosonde suisse pour la mesure du gradient de potentiel électrique. Le mouvement d'horlogerie a pour but de court-circuiter toutes les 3 minutes les égaliseurs de potentiel et de produire une tension de contrôle zéro sur le diagramme d'enregistrement.

des batteries et des circuits. Le courant anodique moyen est faible, ce qui permet encore de diminuer la capacité de la batterie d'anode.

a) une triode américaine 955 (qui peut être remplacée par une triode européenne EC 81) montée en lampe électrométrique, telle que l'a proposée Kœnigsfeld [5]. Ce

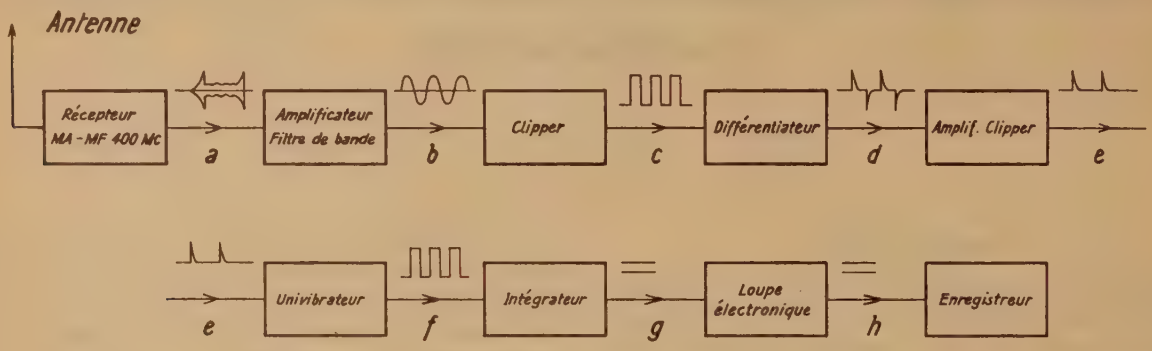

Récepteur – Intégrateur – Enregistreur

Fig. 2

L'onde porteuse pulsée émise par la sonde est captée par un récepteur AM-FM, amplifiée, démodulée et appliquée à travers un limiteur à un intégrateur électronique pour l'enregistrement continu de la mesure. Le signal basse fréquence sortant du récepteur est composé d'une fréquence principale mélangée d'harmoniques. Il doit être transformé en un courant continu dépendant de la fréquence principale. Ce processus est réalisé par l'intégrateur électronique, *fig. 2.*

2. Description de l'appareillage

Radiosonde pour la mesure du champ électrique

La sonde comprend, *fig. 3* et *4:*

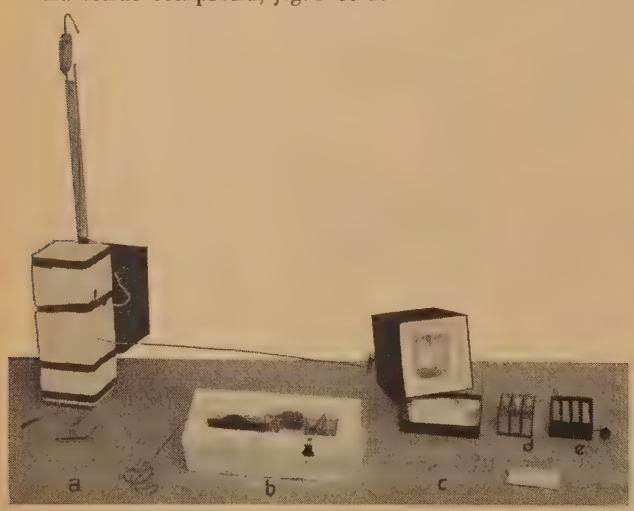

Fig. 3

Radiosonde pour la mesure du gradient de potentiel:
a) Radiosonde prête au départ
b) Boîtier de radiosonde ouvert
c) Coffret d'isolation thermique des batteries
d) Accumulateur de chauffage
e) Batterie d'anode

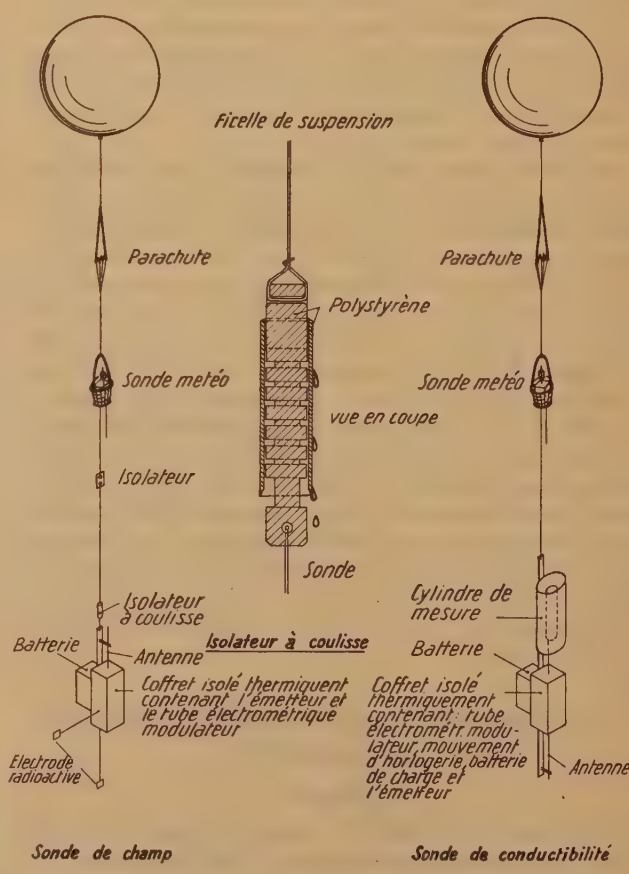

Fig. 4

Afin de tirer le meilleur parti des mesures du champ électrostatique ou de la conductibilité, les radiosondes électriques sont suspendues au même ballon que la radiosonde ordinaire PTU. Elles en sont séparées par des isoloirs spéciaux. La distance entre la radiosonde PTU et celle pour la mesure de l'électricité atmosphérique est de l'ordre d'une quinzaine de mètres.

tube est placé dans un sac de polyéthylène, lui-même enveloppé dans du papier noir pour éviter l'effet photoélectrique. Une batterie de polarisation dans le circuit d'anode (électrode de commande) permet des mesures précises dans la zone des petits champs;

b) un émetteur UHF de radiosonde ayant subi quelques légères modifications, modulé directement par la lampe électrométrique.

L'ensemble est enfermé dans un bloc de matière isolante thermique (mousse de polyéthylène).

Le signal reçu au sol est modulé entre 400 et 3000 cycles (voir courbe de fréquence, *fig. 5)*. Pour un Δv de 100 volts, nous obtenons un Δf d'environ 1200—2000 cycles. La courbe *fig. 5* montre que, conformément à notre désir, les mesures sont plus précises dans le domaine des faibles tensions.

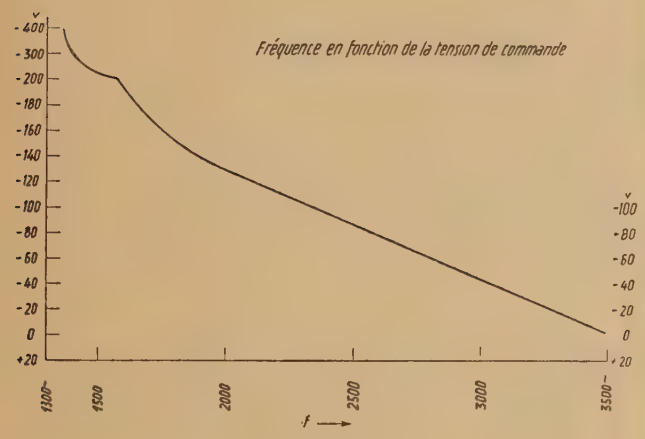

Fig. 5

Toutes les 7 minutes, un mouvement d'horlogerie court-circuite les deux égalisateurs, produisant ainsi zéro volts. Ce repère permet de contrôler l'exactitude de la mesure.

Antenne de réception, fig. 6

C'est une antenne directive, hélicoïdale, accordée sur 400 Mc et ayant un gain de 15 db. Elle est construite pour supporter une forte charge de glace et résister aux violentes tempêtes des régions polaires. Elle est orientable en azimut et en élévation et la manœuvre est possible même avec des gants épais.

Le signal est transmis de l'antenne au récepteur par un câble coaxial. La surface de l'antenne est argentée et protégée par une laque spéciale offrant une très grande résistance de fuite en haute fréquence.

A la station aérologique de Payerne, l'antenne directive hélicoïdale a été fixée au dipole du radiothéodolite qui reçoit les signaux des radiosondes PTU, ce qui permet d'économiser un opérateur, *fig. 7*.

Récepteur, fig. 8

C'est un récepteur superhétérodyne accordé sur 400 Mc, possédant une sensibilité d'entrée de 3 μV. Il comprend un réglage du gain moyenne fréquence, un indicateur d'accord, un amplificateur pour les fréquences

Fig. 6

Antenne de réception particulièrement robuste, construite pour l'expédition suisse de l'AGI, à Murchison Bay (φ = 80°), nord du Spitzberg. Cette antenne supporte facilement les intempéries de l'Arctique.

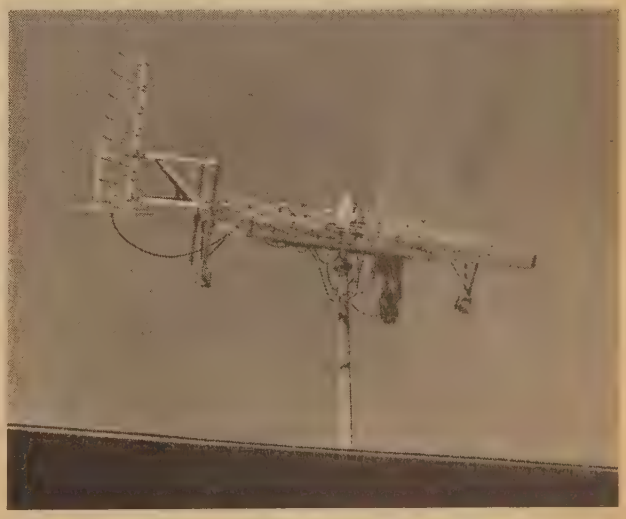

Fig. 7

L'antenne de réception hélicoïdale fixée en marge du dipole du radiothéodolite. Ce dispositif permet d'économiser un opérateur lorsque les sondes de potentiel ou de conductibilité sont suspendues au ballon du radiosondage PTU ordinaire.

audibles avec haut-parleur et un amplificateur de sortie avec des caractéristiques de limiteur.

Intégrateur, fig. 2, 8

En vue de l'enregistrement, il a fallu trouver une méthode pour tranformer le signal issu du récepteur, *fig. 2a* (mélange de fréquences) en un courant continu. Le signal d'amplitude variable, mélangé d'harmoniques, de parasites et de bruit de fond, est appliqué à un amplificateur d'entrée basse fréquence «staggered tuned» qui

le restitue filtré et sinusoïdal, *fig. 2b*, à un amplificateur «Clipper». Le «Clipper» transforme la sinusoïde en un signal carré, *fig. 2c*, qui, par un circuit différentiateur «Peaker», produit des impulsions de synchronisation,

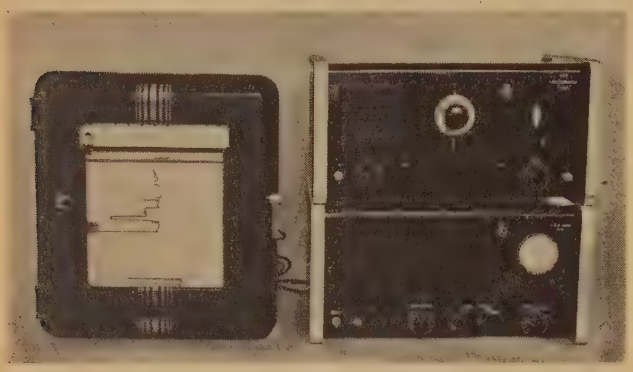

Fig. 8

Ensemble récepteur au sol:
a) Récepteur amplificateur
b) Intégrateur électronique
c) Enregistreur avec dérouleur à bande

fig. 2d. Les impulsions négatives sont éliminées par le tube suivant, *fig. 2e*. Les impulsions de synchronisation ainsi obtenues (une impulsion par période) commandent un univibrateur qui donne, pour chaque impulsion, un signal carré d'amplitude et de longueur exactement égales, indépendant de la fréquence, *fig. 2f*. Ce signal est intégré et la tension continue est appliquée à l'enregistreur.

L'intégrateur électronique comporte un oscillographe à rayons cathodiques pour le contrôle des différentes opérations dans l'appareil et de la qualité du signal d'entrée. L'intégrateur est encore muni d'une loupe électronique qui permet de choisir la bande de fréquences désirée pour l'enregistrement. La précision des mesures peut ainsi être augmentée. Une variation de 1 à 1000 de l'amplitude d'une tension sinusoïdale d'entrée est sans influence sur la tension de sortie.

On utilise un enregistreur Speedomax (Leeds and Northrup, USA), *fig. 8c*, ayant un domaine de mesure de 10 mV et un temps de réaction de 1 sec pour toute son échelle.

Batteries

La batterie d'anode est une pile sèche amorçable «Aman 2» du type plat, *fig. 3e*, donnant 120 volts et dont on tire un courant de 3 à 3,5 mA. La tension de chauffage est fournie par un accumulateur à trois cellules, qui doit donner 350 mA pendant la durée du vol de la sonde, *fig. 3d*. La batterie anodique et l'accumulateur ont été développés en collaboration avec Leclanché S. A. à Yverdon. Ces deux batteries sont bien isolées thermiquement, ce qui permet de réduire leur capacité. La batterie d'anode est un peu surdimensionnée pour que les variations de tension restent entre les limites acceptables. La tension de chauffage doit être beaucoup plus stable que la tension d'anode. L'accumulateur «Amac 1», *fig. 3d*, du type PbO_2–Zn présente, pendant une ascension normale, une variation de tension de +0,09 volts, *fig. 10*. L'ascen-

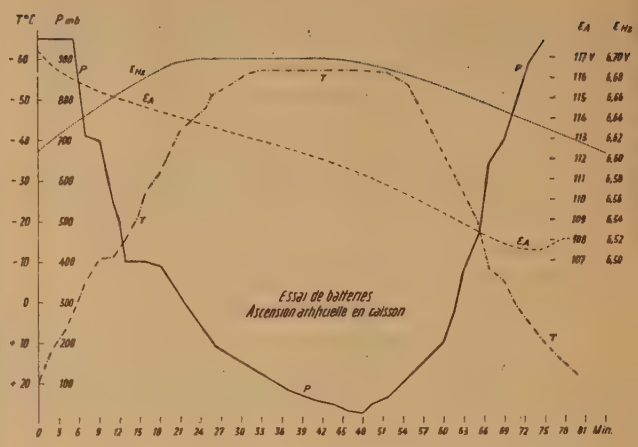

Fig. 9

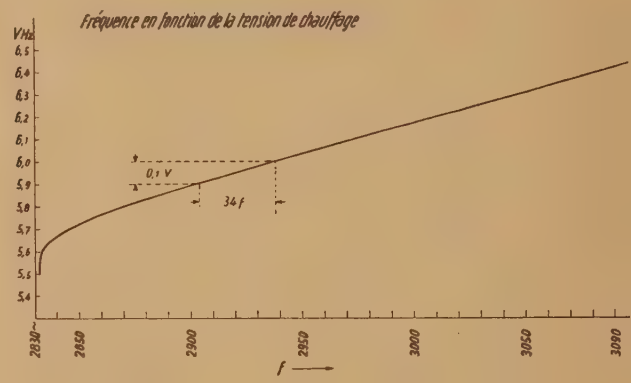

Fig. 10

sion normale est reproduite dans le caisson atmosphérique en faisant varier P, T et la ventilation. Une variation de la tension de chauffage produit une variation de fréquence f d'environ — 34 cycles, *fig. 9*. Pendant une ascension normale, la tension de la batterie d'anode tombe de 10 volts, *fig. 10*. A cette variation correspond une variation de fréquence f = + 10 cycles, *fig. 11*. Il

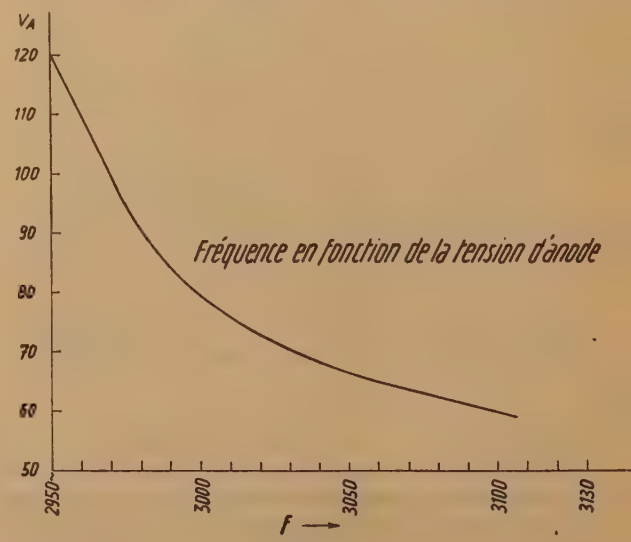

Fig. 11

se produit donc une compensation partielle. La largeur de bande du système de modulation décrit plus haut est de 2300 cycles entre 0 et 400 volts et de 1900 cycles entre 0 et 200 volts donc, dans ce dernier domaine, de 9,5 cycles par volts.

Remarquons que, pour mesurer un gradient positif, il suffit d'augmenter la tension de polarisation, ce qui déplace le point zéro sur la courbe, *fig. 5*.

Nous avons étudié soigneusement les conditions de travail du transmetteur en atmosphère libre, pour déterminer les influences éventuelles des fortes variations du gradient thermique, des hydrométéores et des inversions de température que traverse le ballon au cours de son ascension. Une radiosonde a été lancée dans les conditions météorologiques les plus défavorables, avec ses deux égaliseurs de potentiel court-circuités. Pendant toute la durée de l'ascension, l'enregistrement est resté rigoureusement linéaire, ce qui prouve dûment que le transmetteur n'est soumis à aucune influence électrique intrinsèque ou atmosphérique. Nous insistons sur cette constatation, qui démontre que, malgré certaines remarques faites par d'autres auteurs, notre sonde est adéquate aux mesures fidèles du gradient de potentiel et de la conductibilité.

Remarquons qu'au moment où le ballon quitte la terre, il se produit un déplacement momentané de la courbe d'enregistrement qui disparaît tôt après que l'antenne d'émission s'est élevée à quatre longueurs d'onde sur le sol.

3. Etalonnage de la sonde

a) L'examen fonctionnel de la sonde se fait dans une sorte de cage de Faraday. Un treillis à mailles fines de 4 × 4 m est monté horizontalement en plein air. La pénétration latérale du champ électrique atmosphérique est compensée partiellement par des anneaux de treillis, jouant le rôle d'anneaux de garde, mis par un diviseur de tension au potentiel correspondant à leur position géométrique, *fig. 12* et *13*. Auparavant, des essais avaient été faits avec des grilles verticales, qui ont montré que le champ électrique naturel était trop fortement superposé au champ artificiel utilisé pour l'étalonnage. Ces

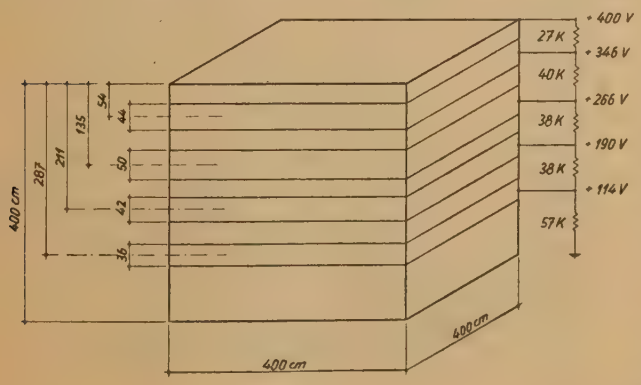

Fig. 12

Genre de Cage de Faraday pour le contrôle de la radiosonde du gradient de potentiel électrique utilisée à Payerne.

mesures ont également mis en évidence la forte chute des lignes de champ déjà à courte distance du treillis, ce qui a rendu cette méthode inutilisable. L'idée selon laquelle

Fig. 13

Forme d'un des grillages pour le contrôle de la radiosonde pour le gradient de potentiel. Plusieurs systèmes ont été étudiés. Celui-ci présente certains avantages, sans être indispensable pour les étalonnages.

l'influence du champ électrique naturel ne se ferait pas sentir en disposant les grilles du champ artificiel verticalement et les électrodes de la sonde horizontalement, s'est révélée inexacte. L'augmentation de l'efficacité de la grille, due à l'emploi d'un treillis à mailles plus fines, a donné des résultats meilleurs, mais encore insuffisants.

b) Des tensions d'étalonnage sont appliquées entre les deux électrodes de la sonde suspendue à l'air libre, de manière à éliminer toute réflexion et tout amortissement de l'onde UHF. La série des tensions utilisées est 0 - 20 - 40 - 60 - 80 - 100 - 150 - 200 - 250 - 300 - 400 - 500 volts. Le signal du récepteur est conduit à l'intégrateur qui commande l'appareil enregistreur. Les tensions d'étalonnage s'inscrivent sur les bandes d'enregistrement.

c) Le signal du récepteur est remplacé, à l'entrée de l'intégrateur, par celui d'un générateur BF. Les fréquences correspondant au zéro et à la dérivation maximale de l'enregistreur sont déterminées et marquées sur la bande d'enregistrement. On peut aussi faire cette détermination en appliquant des tensions extrémales aux électrodes de la sonde, et en comparant les signaux correspondant du récepteur à ceux du générateur basse fréquence, à l'aide d'un oscillographe à rayons cathodiques ou de battements de fréquences acoustiques. Le but de ce

repérage est de pouvoir refaire le réglage des appareils au cours du vol de la sonde, s'il a été perturbé pour une raison ou pour une autre, ou de reconstituer le calibrage.

B) Radiosonde pour la mesure de la conductibilité de l'air

1. Principe

Un courant d'air laminaire traverse un condensateur composé de 2 cylindres concentriques, le cylindre intérieur étant l'électrode qui reçoit la charge, *fig. 14.* L'air étant faiblement conducteur, ce condensateur se décharge naturellement par la circulation de l'air qui le traverse

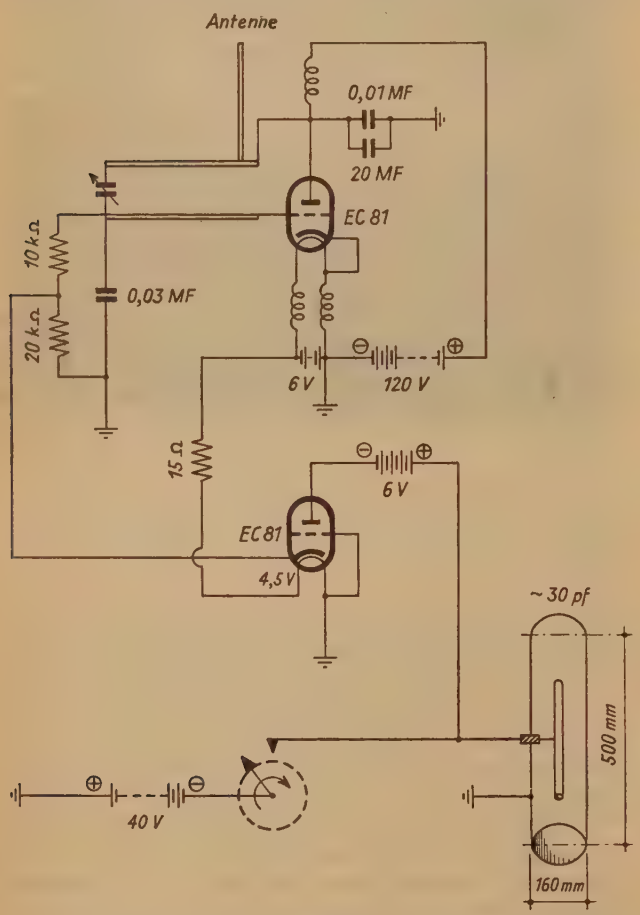

Fig. 14

Schéma de principe de la radiosonde suisse pour la conductibilité électrique de l'air.
Emission sur environ 80 centimètres de longueur d'onde.

(méthode Gerdien). La mesure du temps de décharge permet de déterminer la conductibilité. Pendant le vol de la sonde, l'électrode centrale du condensateur est rechargée environ toutes les 2 minutes par un mouvement d'horlogerie (Gerdien, Kœnigsfeld et d'autres). La différence de potentiel entre les armatures du condensateur est mesurée par une lampe électrométrique. Le dispositif de mesure et de transmission est le même que pour la sonde de champ.

2. Théorie

Le condensateur cylindrique est représenté dans le schéma, *fig. 15,* par C et C′, capacité du système de mesure.

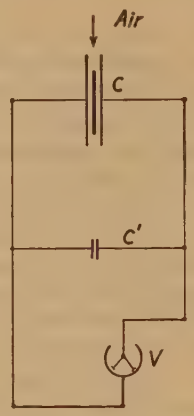

Fig. 15

La charge des condensateurs C et C′ est

$$Q = (C + C') \cdot V,$$

si V est la tension.

Il passe à travers le condensateur C le courant

$$I = \frac{dQ}{dt} = (C + C') \cdot \frac{dV}{dt}$$

D'autre part, la densité de courant dans C est

$$j = \lambda E \qquad \lambda = \lambda_+ + \lambda_-$$

D'où le courant dans C:

$$I = \oint j \cdot df = \lambda \oint E \cdot df = \lambda \frac{Q}{\epsilon_0}$$

Ainsi,

$$(C + C') \cdot \frac{dV}{dt} = \lambda \frac{Q}{\epsilon_0} = \frac{CV}{\epsilon_0} \lambda$$

$$(C + C') \cdot \frac{dV}{V} = \frac{\lambda}{\epsilon_0} C \cdot dt$$

En intégrant $(C + C') \log \frac{V_o}{V_t} = \frac{\lambda}{\epsilon_0} C.T.$

où T est le temps de décharge.

On tire de cette dernière expression la valeur de la conductibilité:

$$\lambda = \epsilon_0 \frac{C + C'}{C} \cdot \frac{1}{T} \log \frac{V_o}{V_t} \; \Omega^{-1} m^{-1}$$

ϵ_0 est la constante d'influence dans le vide. Sa valeur dans le système Giorgi est

$$\epsilon_0 = 8{,}86 \cdot 10^{-12} \frac{Asec}{v \cdot m}$$

En passant du logarithme naturel au logarithme vulgaire, il vient

$$\log \frac{V_o}{V_T} = \frac{1}{0{,}4343} \log \frac{V_o}{V_T} = 2{,}30 \log \frac{V_o}{V_T}$$

Tension de charge admissible de C

Soit a le rayon du cylindre extérieur, b celui du cylindre intérieur et L sa longueur. La condition pour que la sonde mesure bien la conductibilité de l'air est que la vitesse du courant d'air U, pour une différence de potentiel donnée V entre les armatures du condensateur, soit

ssez grande pour qu'il ne se produise pas de saturation, .-à-d. que les ions entrant dans le cylindre a, le long de on pourtour, n'atteignent pas le cylindre intérieur. C'est e cas lorsque

$$U \geq \frac{2wVL}{(a^2 - b^2) \log \frac{a}{b}} = U_{crit.}$$

Pour une vitesse ascensionnelle U donnée, on obtient our la tension

$$V \leq \frac{U (a^2 - b^2) \log \frac{a}{b}}{2wL} = V_{crit.}$$

ormule dans laquelle:

V = tension entre les armatures, en volts
U = vitesse ascensionnelle, en m/sec^{-1}
w = mobilité des ions, en [m/sec^{-1}] / [Volt/m^{-1}]

3. Description de la radiosonde, *fig. 14, 16 et 4*

Les armatures du condensateur sont formées de deux ylindres d'aluminium mince. Le cylindre extérieur a un diamètre de 15 cm et une longueur de 50 cm. Le cylindre intérieur a un diamètre de 7 cm et une longueur de 30 cm. Le cylindre intérieur est fixé à l'aide de deux isolateurs à coulisse, à haut pouvoir isolant.

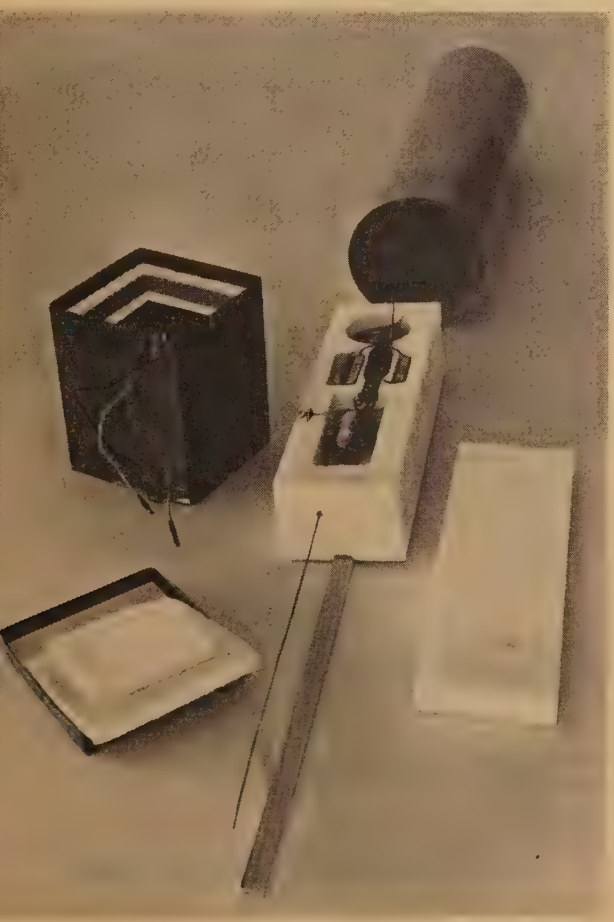

Fig. 16

a radiosonde suisse pour la télémesure de la conductibilité élecrique de l'air. Le cylindre est suspendu verticalement sous le balon. La lampe électrométrique et le transmetteur sont logés dans un tui en matière isolante spongieuse et très légère. La batterie est ien isolée contre les basses températures.

Toutes les deux minutes et demie, un mouvement d'horlogerie met, pendant quelques secondes, l'armature interne du condensateur en contact avec la batterie de charge. Le fonctionnement de la lampe électrométrique est le même que pour la radiosonde de champ. Il faut cependant vouer les plus grands soins à l'isolation pour éviter les pertes de charge du condensateur.

4. Réception et enregistrement

L'antenne, le récepteur, l'intégrateur et l'enregistreur sont les mêmes que ceux utilisés dans les mesures de champ.

5. Etalonnage de la sonde

La sonde est suspendue à l'abri des courants d'air et mise en service. La courbe de décharge obtenue dans ces conditions présente une faible pente, de l'ordre de 1 à 3 volts/min, correspondant aux pertes d'isolation. Il faut en tenir compte lors du dépouillement de la bande d'enregistrement.

On applique entre les électrodes de la sonde suspendue en plein air, à l'écart de toute influence, des tensions d'étalonnage de 0 - 20 - 40 - 60 volts, en prenant soin de ne pas perturber le fonctionnement de l'émetteur. Ces tensions s'inscrivent sur la bande d'enregistrement. La loupe électrique de l'intégrateur est réglée de manière à donner un écart maximum de l'appareil enregistreur.

Comme c'est le cas pour les mesures de champ, il est utile de repérer, à l'aide d'un générateur basse fréquence, les fréquences correspondant aux deux extrémités de l'échelle d'enregistrement.

La détermination de la capacité du système de mesure se fait à l'aide d'une capacité additive connue C_1. Si t_1 est le temps de décharge avec la capacité C_1 et t_2 le temps de décharge sans cette capacité, C' est donné par la relation

$$C' = \frac{C_1 \cdot t_2}{t_1 - t_2}$$

6. Dépouillement

Nous avons vu dans la théorie que la courbe de décharge du condensateur est une exponentielle. Explicitement:

$$\lambda = \epsilon_0 \frac{C + C'}{C} \cdot \frac{1}{T} \log \frac{V_0}{V_T}$$

$$\frac{V_0}{V_T} = e^{\frac{\lambda C}{\epsilon_0 (C + C')} \cdot T}$$

$$V_T = V_0 \cdot e^{-\frac{\lambda C}{\epsilon_0 (C + C')} \cdot T}$$

Une façon simple de déterminer λ à partir des courbes de décharge est de calculer le temps τ, défini par la relation précédente, lorsque $V_T = V_0/e$. Si la conductibilité est faible, comme c'est le cas aux basses altitudes, on a avantage à utiliser un τ' défini par $V_T = V_0/e^x$ où x est pris égal à 1/2, 1/4 ou 1/10.

En reportant sur les courbes de décharge les valeurs de V, ainsi déterminées, on obtient immédiatement par lecture les temps correspondants, et par un calcul simple, les conductibilités, *fig. 17.*

Exemple de dépouillement

$$\frac{V_0}{e} = V_0\, e^{-\frac{\lambda C}{\lambda C_0 (C + C')}\tau}$$

$$I = \frac{C}{\epsilon_0 (C + C')}\tau$$

$$\lambda = \epsilon_0 \frac{C + C'}{C} \frac{I}{\tau}$$

Il est bon de rappeler que la pente de la courbe de décharge du condensateur augmente avec la conductibilité et, donc, avec l'altitude, *fig. 18.* On doit par conséquent prendre les précautions graphiques nécessaires dans les calculs. Remarquons aussi qu'à partir d'une certaine altitude, au-delà de la troposphère, la courbe de

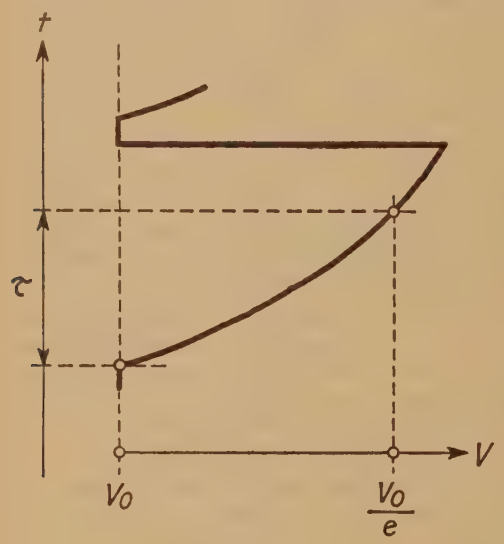

Fig. 17

Mode de calcul graphique de la conductibilité. Lorsque la courbe de décharge est très inclinée, il est bon de mesurer τ au milieu de celle-ci.

décharge plafonne après une fraction de minute. On aurait avantage, pour les altitudes élevées, à raccourcir l'espace entre les temps de charge. Mais ceci exigerait un mouvement d'horlogerie à contact décroissant, ce qui est coûteux.

Il faut signaler que si, dans la plupart des ascensions, la courbe de décharge du condensateur répond à celle d'une exponentielle, nous avons parfois constaté des inversions très nettes du signe de la conductibilité, ce qui est représenté à la *fig. 19.* Ainsi, pendant la décharge, il arrive qu'en traversant certains types de nuages fortement chargés d'ions d'un signe contraire, l'électrode centrale se trouve frappée par ceux-ci, qui tendent d'abord à la neutraliser, puis à la charger naturellement du signe opposé à celui que lui a envoyé la batterie. Il est alors difficile de calculer la conductibilité, vu que l'on ne connaît pas exactement la quantité d'ions de signe opposé reçus de l'atmosphère.

Il est d'ailleurs probable que ces charges sont portée par des corpuscules aqueux ou des cristaux de glace L'effet est particulièrement intense entre les tempéra tures de zéro et — 8°. Notre radiosonde enregistrerai ainsi des noyaux glaçogènes, si nocifs dans le givrage de avions. On en déduit que la nouvelle technique, qui fai l'objet de la présente note, est d'un certain intérêt pou la sécurité de la navigation aérienne.

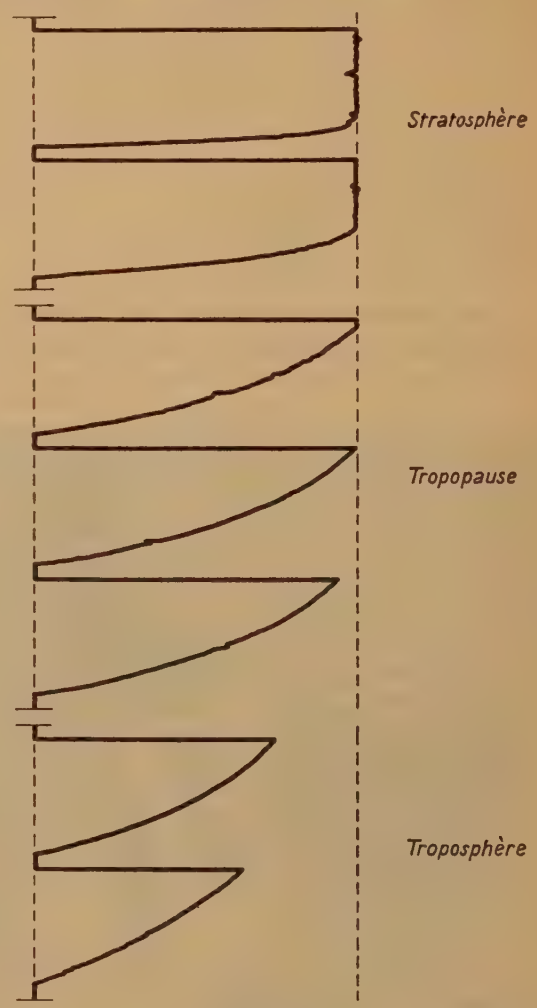

Fig. 18

Exemple d'enregistrement normal. La courbe de décharge du co densateur épouse la forme exponentielle que veut la théori Comme la conductibilité augmente avec l'altitude, la courbe e ponentielle s'allonge progressivement en se raidissant.
Le schéma montre que dans la stratosphère, lorsque le condensateu s'est rapidement déchargé, la courbe reste linéaire jusqu'au pr chain contact du mouvement d'horlogerie.

Brefs commentaires de quelques résultats

Dans la présente Note préliminaire, nous ne discuteron pas en détail les résultats de nos ascensions, au nombr d'une cinquantaine, attendant la fin de l'Année Géo physique Internationale pour publier le tout en u mémoire plus complet [10]. Nonobstant, nous présenton quelques ascensions dans les figures suivantes, pensan qu'elles seront utiles à d'autres collègues (fig. 20 à 27).

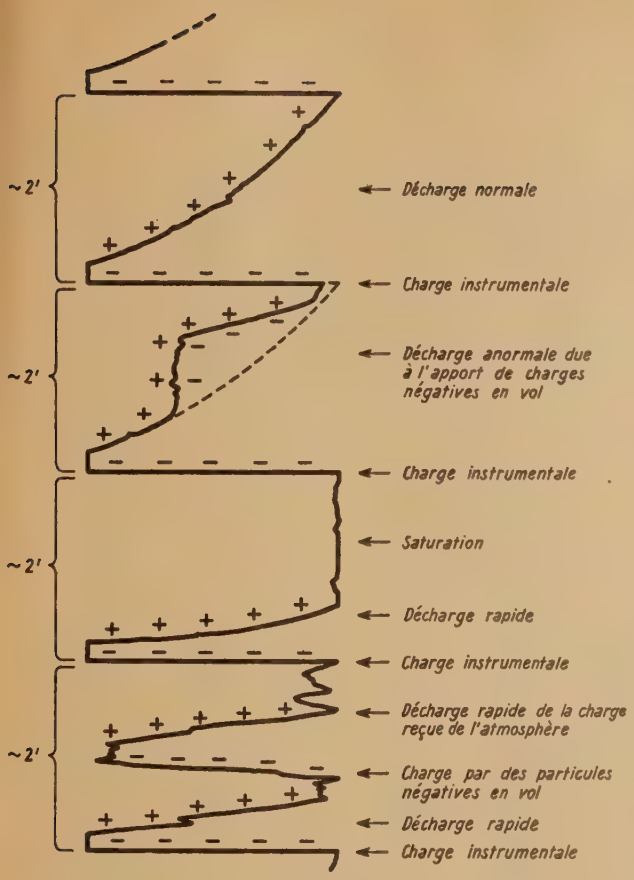

Fig. 19

Exemple d'enregistrement perturbé par l'apport de charge de signe opposé, lorsque le ballon traverse des nuages diversement chargés.

Toutes les ascensions de Payerne, de même que les premiers vols de la station suisse de l'AGI à Murchison Bay, par 80° de latitude au nord du Spitzberg, prouvent — comme la théorie le veut, d'ailleurs — que le gradient de potentiel diminue progressivement avec l'altitude. Pour une vingtaine de sondages, nous trouvons grosso modo les valeurs suivantes:

Altitude en mètres	Gradient de potentiel en V/m
500	85
2 500	47
5 000	13
7 500	9
10 000	8
15 000	7
20 000	5
25 000	~ 4

Pour la conductibilité également, nos mesures sont conformes aux vues théoriques, c.-à-d. que la conductibilité augmente progressivement avec l'altitude. Voici l'ordre de grandeur d'une dizaine d'ascensions. Les chiffres de Payerne et de Murchison Bay s'accordent.

Altitude en mètres	Conductibilité λ^+
500	$0.013 \cdot 10^{-12}$
2 500	$0.025 \cdot 10^{-12}$
5 000	$0.052 \cdot 10^{-12}$
7 500	$0.110 \cdot 10^{-12}$
10 000	$0.198 \cdot 10^{-12}$
15 000	$0.258 \cdot 10^{-12}$
20 000	$0.256 \cdot 10^{-12}$
25 000	$0.23 \cdot 10^{-12}$

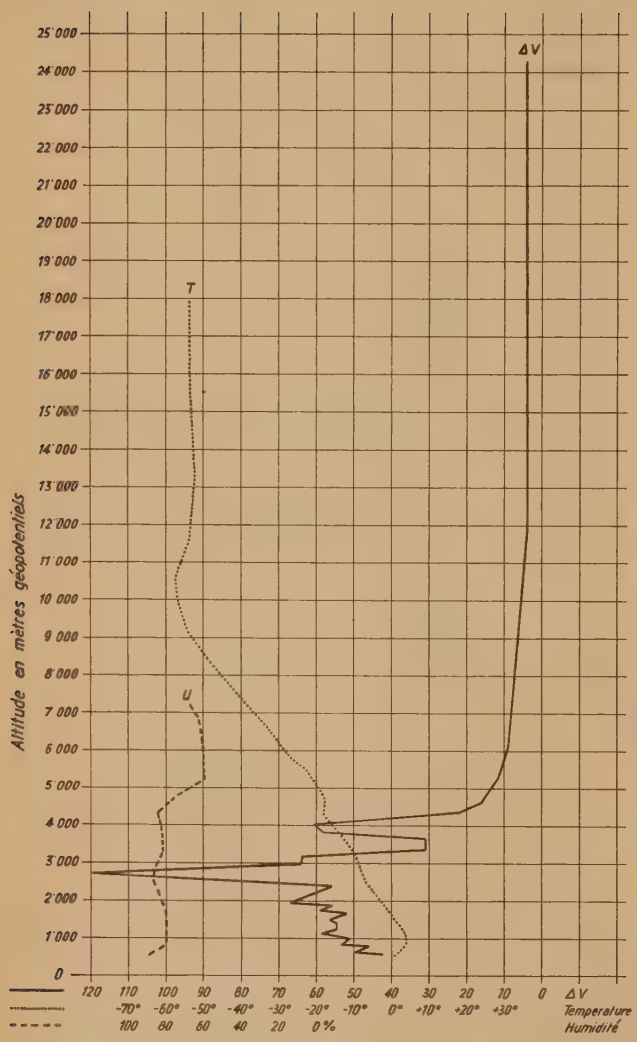

Fig. 20

Gradient de potentiel V/m

Payerne. Lâcher: 9 mai 1957, minuit TMG.

Ciel peu nuageux. Vents du secteur ouest faibles en bas à nord-ouest, modérés en haut. Le champ est très irrégulier dans la basse troposphère, entre 45 et 65 V/m. A 2800 m, il s'étire brutalement à 120 V/m, puis retombe à 30 V/m à 3500 m. Cette pointe ne se retrouve ni sur la courbe de température, ni sur celle de l'humidité. Par contre, dans la couche traversée d'environ 800 m d'épaisseur, la direction du vent a changé et sa vitesse a faibli. Il semble que le ballon ait traversé une couche d'air d'origine géographique différente de celle de l'ensemble de la circulation atmosphérique ce jour-là. La même remarque intéresse la recrudescence du champ à 4000 m d'altitude. Toutefois, là, un effet se retrouve à la fois sur T et sur U. C'est probablement une surface de discontinuité.

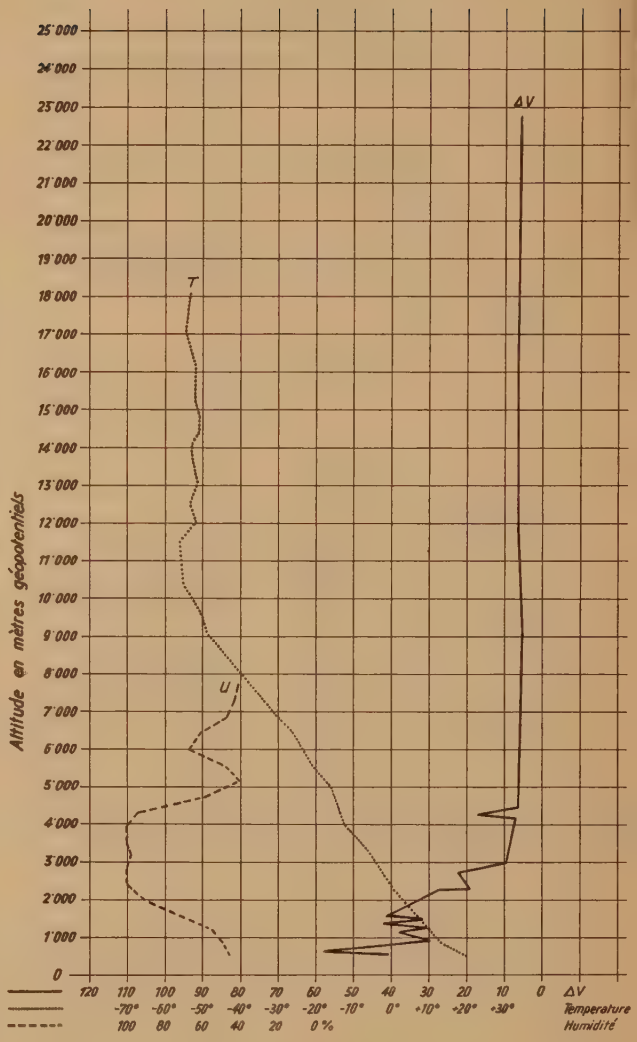

Fig. 21

Gradient de potentiel V/m

Payerne. Lâcher: 11 mai 1957, à 11.42 h TMG.

Ciel couvert, vents très faibles d'ouest jusqu'à 8000 m, puis forts du nord-ouest dans la stratosphère. Traversée de plusieurs bancs nuageux. Irrégularité du champ jusqu'à 4500 m.

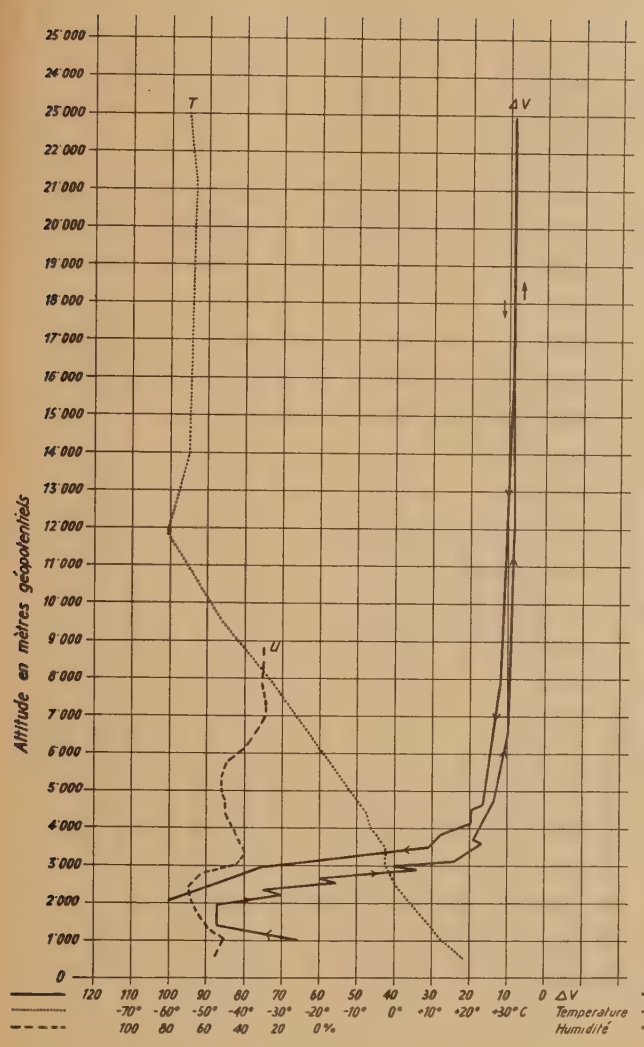

Fig. 22

Gradient de potentiel V/m

Payerne. Lâcher: 14 mai 1957, à 11.32 h TMG.

On a reproduit la courbe ascensionnelle et la courbe de descente. Les valeurs du champ sont les mêmes entre 15 et 25 km d'altitude. Il y a un léger écart dans la tropopause et la troposphère entre 15 et 4 km. Au-dessous, l'écart est grand et passe de 40 V/m à la montée à 70 V/m à la descente, au niveau de 3000 m. Cette différence est peut-être imputable à une cause instrumentale accidentelle, quoique la masse d'air traversée soit différente dans les deux cas. Le temps est peu nuageux, les vents sont irréguliers et très faibles du sol à 6000 m.

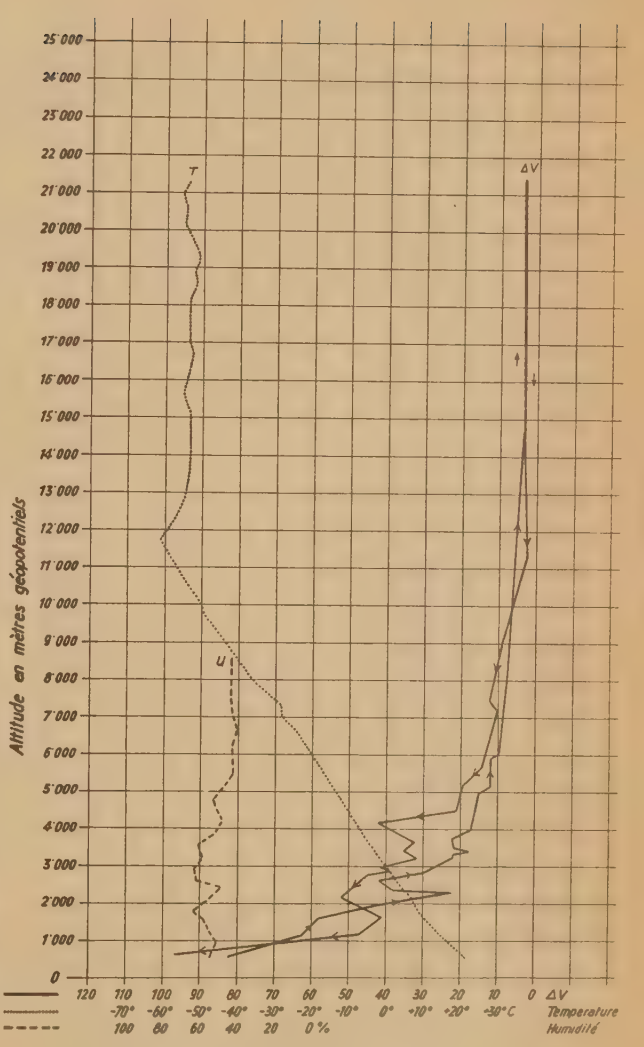

Fig. 23

Gradient de potentiel V/m

Payerne. Lâcher: 15 mai 1957, à 11.27 h TMG.

Le temps est clair sur toute la Suisse. Les vents sont très faibles du SW jusqu'à 9 km d'altitude. Les courbes de montée et de descente se superposent dans les hautes régions. Elles se différencient de 5 à 25 V/m entre le sol et 4500 m. Il y a recoupement entre l'ascension et la descente à 1900 m et les valeurs près du sol sont presque identiques.

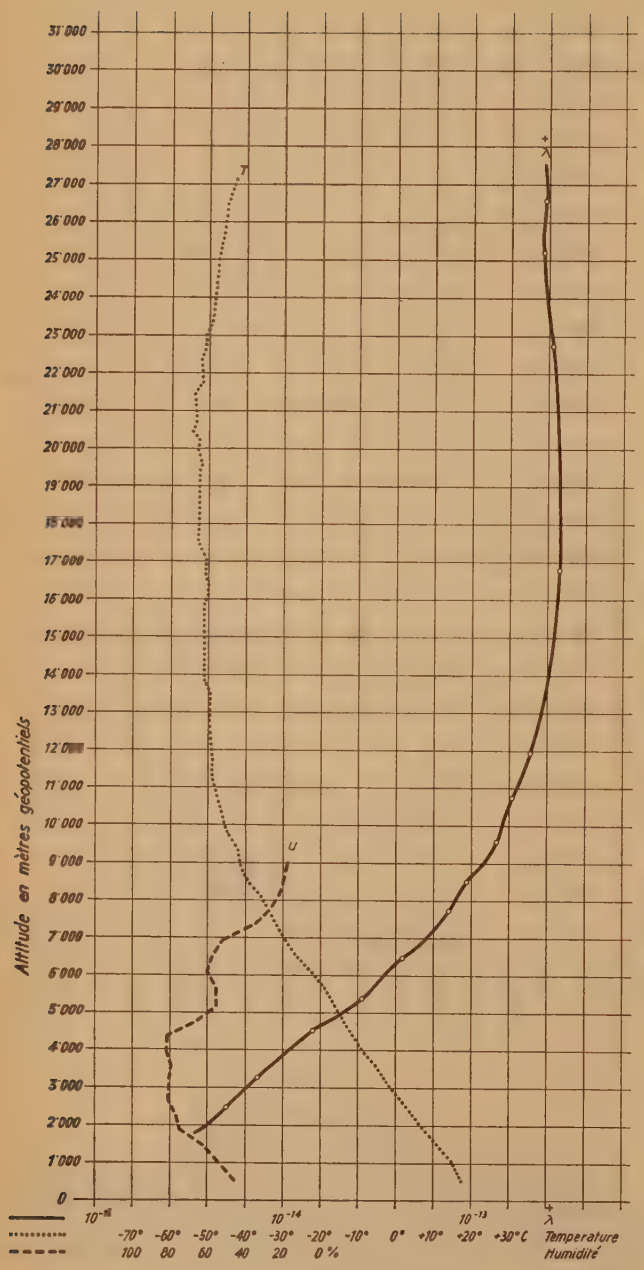

Fig. 24

Conductibilité $\frac{+}{\lambda}$

Payerne. Lâcher: 1er juin 1957, à 16.32 h TMG.

Charge du condensateur: 48 V. Le ciel s'est éclairci par vents faibles du secteur ouest dans la troposphère, à nord-ouest dans la tropopause.

La courbe de conductibilité est très régulière. Il convient de remarquer qu'à partir de 17 000 m, elle tend très légèrement à augmenter.

Fig. 25

Conductibilité $\frac{+}{\lambda}$

Payerne. Lâcher: 26 août 1957, à 11.25 h TMG.

Charge du condensateur: 48 V. Perte de charge: 1.8 V/min. Temps nuageux avec strato-cumulus et quelques alto-cumulus. A la sortie des nuages vers 4000 m, quand l'humidité tombe au-dessous de 20 %, on constate un brusque redressement de la conductibilité entre —8 ° et —12 °. Au-dessus de 18 000 m, la conductibilité est irrégulière.

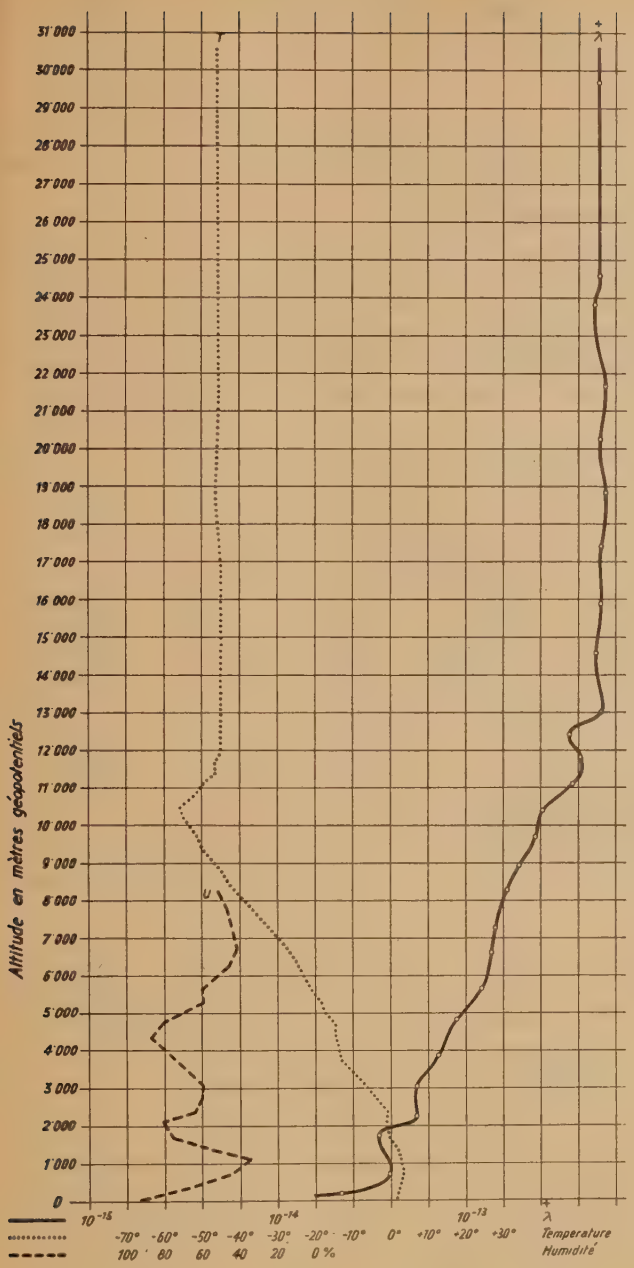

Fig. 26

Conductibilité λ^+

Murchison Bay. Lâcher: 24 août 1957, à 12.00 h TMG.

Charge du condensateur: 45 V. Perte de charge: 1 V/min. Fort vent au sol. Ciel très nuageux. La radiosonde traverse successivement deux couches de nuages. Vers 2000 m d'altitude, il se produit une forte inversion de la conductibilité. Sur l'enregistrement original, on remarque une blessure sur la courbe de décharge, qui provient de l'apport de charges positives au haut de la couche nuageuse au voisinage de zéro degré de température. Par contre, dans la seconde couche nuageuse, probablement de l'alto-stratus à —13 ° où il y a presque isothermie entre 3800 et 4800 m, la conductibilité augmente normalement.

L'entrée dans la stratosphère se produit vers 10 400 m, ce que l'on voit sur la courbe de température. Il y a augmentation rapide de λ, puis, entre 11 500 m et 13 000 m, on distingue une inversion double et brutale. Ce phénomène a été enregistré à d'autres reprises.

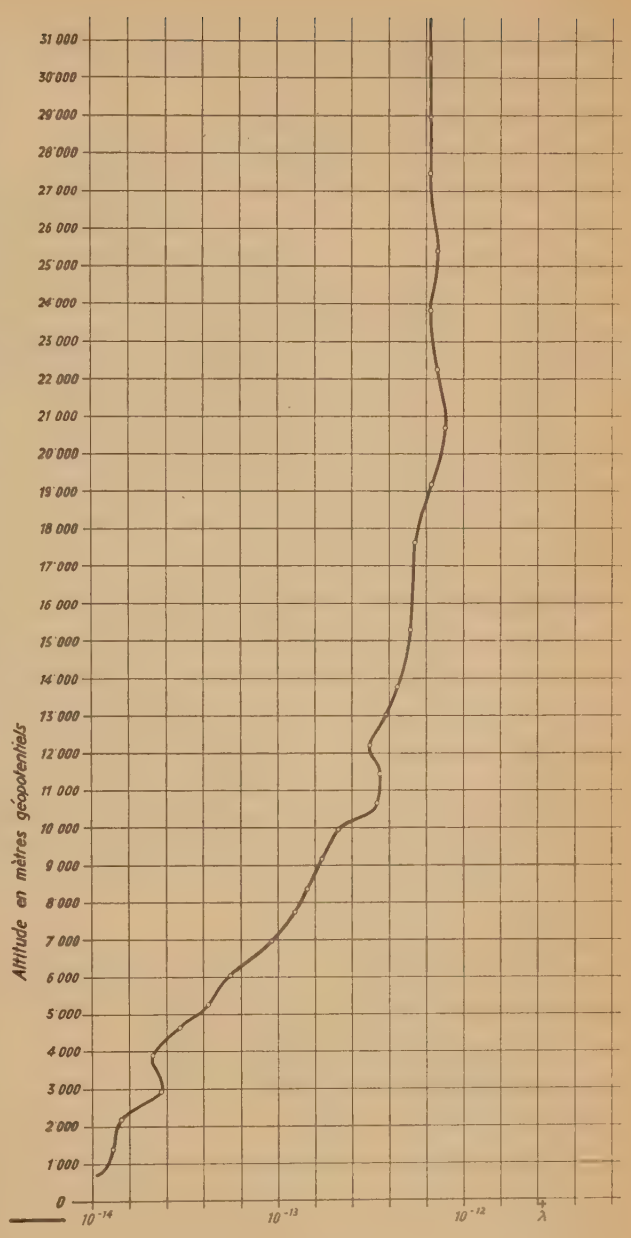

Fig. 27

Conductibilité λ^+

Murchison Bay. Lâcher: 26 août 1957, à 23.00 h TMG.

Charge du condensateur: 22.8 V. Perte de charge: 4 V/min. Ciel clair, temps calme. Peu de nuages bas.

L'ascension se distingue par deux remarquables inversions centrées sur 3000 m et sur 11 000 m. Cette dernière ressemble de manière frappante à celle du 24 août 1957. Une autre incurvation plus faible se fait sentir vers 21 000 m. Elle ne serait peut-être pas étrangère à la couche d'ozone, quoique celle-ci pût se trouver à une altitude plus basse.

Nous remercions sincèrement les professeurs Dr Saxer et Siegrist, physiciens, qui nous ont conseillés à maintes reprises dans la réalisation de ce travail, dont le début remonte à 1953.

Zurich, été 1957.

Rappel bibliographique

1. *Jean Lugeon:* Mesures du gradient de potentiel électrique et de l'ionisation en planeur, Actes SHSN, Fribourg 1945.
2. *H. Israël:* Atmospheric Electricity during I. G. Y., Aachen 1957.
3. *P. Idrac:* Recherches sur le champ électrique de l'atmosphère aux grandes altitudes. Mémorial de l'Office National Météorologique de France, N° 18, Paris 1928.
4. *R. P. Pierre Lejay:* Comptes Rendus de l'Académie des Sciences, t. 178, p. 2171, Paris 1924.
5. *L. Koenigsfeld* et *Ph. Piraux:* Un nouvel électromètre portatif pour la mesure des charges électrostatiques par système électronique (son application à la mesure du potentiel atmosphérique et à la radiosonde), Mémoires, Vol. XLV, Institut Royal Météorologique de Belgique, 1951.
6. *L. Koenigsfeld:* La mesure de la conductibilité par radiosonde, Public. Série B, N° 18, Institut Royal Météorologique de Belgique, 1955.
7. *S. P. Venkiteshwaran, N. C. Dhar* and *B. B. Huddar:* On the Measurement of the Electrical Potential Gradient in the Upper Air over Poona by Radiosondes, Proceedings of the Indian Academy of Sciences, Vol. XXXVII, 1953.
8. *Jean Lugeon:* Mesures du gradient de potentiel électrique et de la conductibilité de l'air par radiosondes, Actes SHSN, Bâle 1956.
9. *Jean Lugeon:* Les buts scientifiques de l'expédition radiométéorologique polaire suisse pendant l'AGI, La Suisse Horlogère, N° 20, 16 mai 1957.
10. *Jean Lugeon:* Mesure de la conductibilité électrique de l'air dans la couche d'ozone, Actes SHSN. Neuchâtel 1957.

Nr. 7

Wetterlagen und Fronten im Jahr 1956

von *Dr. M. Schüepp* und *Dr. J. Häfelin*

1. *Wetterlage im Alpengebiet*

Strömung (Anströmrichtung) nachmittags (15.00 h) im 1000-mb- und 500-mb-Niveau im Umkreis von 2 Breitengraden, d. h. in einem Gebiet von etwa 225 km Durchmesser um den Zentralpunkt 47° 30′ n. B. / 9° ö. L. im Rheinwaldgebiet

D	Druckgefälle in der Bodenwetterkarte	0 Hoch	1 NW→SE	2 N→S	3 NE→SW	4 E→W	5 SE→NW	6 S→N	7 SW→NE	8 W→E	9 Tief	x flach
		Druckgradient innerhalb des 2°-Umkreises mindestens 5 mb (bei einheitlicher Strömung innerhalb des 6°-Umkreises mindestens 3.3 mb)									
d	Strömungsrichtung im 500-mb-Niveau (etwa 5500 m)	Hoch	NE	E	SE	S	SW	W	NW	N	Tief	flach
		Windgeschwindigkeit mindestens 15 Knoten (bei einheitlicher Strömungsrichtung innerhalb des 6°-Umkreises mindestens 10 Knoten)									
f	Windgeschwindigkeit im 500-mb-Niveau	0—9	10—19	20—29	30—39	40—49	50—59	60—69	70—79	80—89	≧ 90
		Knoten (1 Knoten = 1.85 km/Std.)									

rr Relative Topographie 1000—500 mb in geopotentiellen Dekametern — 500 (große bzw. kleine Werte der relat. Topographie entsprechen hoher bzw. tiefer Mitteltemperatur der Schicht zwischen Meeresniveau und etwa 5500 m. 1 Dekameter Änderung von rr entspricht etwa ½ ° C Temperaturänderung)

2. *Frontdurchgänge auf der Alpennordseite* (im Gebiet von Zürich)

A Art der Front

W = Warmfront
K = Kaltfront
w = Warmfrontokklusion
k = Kaltfrontokklusion
o = Okklusion

ein zugesetzter Index h bedeutet Höhenfront

I Intensität der Front

0 = schwach 1 = mäßig 2 = stark

Z Zeit des Frontdurchgangs

s_v	= am vorangehenden Abend	17.30 h — 21.30 h
n_v	= in der vorangehenden Nacht	21.30 h — 03.30 h
f	= frühmorgens	03.30 h — 07.30 h
a	= vormittags	07.30 h — 11.30 h
m	= mittags	11.30 h — 13.30 h
p	= nachmittags	13.30 h — 17.30 h
s	= abends	17.30 h — 21.30 h
n	= in der nachfolgenden Nacht	21.30 h — 03.30 h
f_n	= am nachfolgenden frühen Morgen	03.30 h — 07.30 h

Durch das Zeichen ∾ werden unsichere Angaben gekennzeichnet

L_v / L_n Luftmassen vor / nach Frontdurchgang

		Bezeichnung nach Scherhag
A	= Arktische Polarluft	P_a
P	= Polarluft	P
p	= gealterte Polarluft	P_t
t	= gemäßigte Tropikluft	T_p
T	= Tropikluft	T
m	= maritime Luftmasse	
c	= kontinentale Luftmasse	

In der Zeile «Mittel» sind links die Mittelwerte der Windgeschwindigkeit f in Knoten, rechts die Mittelwerte der relativen Topographie in Dekametern — 500 angegeben

	Januar						Februar						März					
	Wetterlage		Fronten				Wetterlage		Fronten				Wetterlage		Fronten			
	Ddf	rr	AI	Z	L_v	L_n	Ddf	rr	AI	Z	L_v	L_n	Ddf	rr	AI	Z	L_v	L_n
1	683	34	w 1	n f_n	m P	m p	273	16					776	39	K 1	f	m t	m P
2	xx1	31					222	09					677	49	W 2	m	m P	m T
3	213	35	K 0	s	m p	m P	213	17					776	50				
4	214	43					213	17					674	49	K 0	f	m T	m p*
5	222	47	W 0	p	m P	m t	284	25					776	29				
6	213	38	K 0	n	m t	c P	187	23	W 0	a	c A	m P	x75	38	W 0	∾ s	m P	m t
7	214	30					116	16	K 0	a	m P	m A	884	33	K 1	f	m t	m P*
8	xx1	28					185	24	W 1	n	m A	m P	286	27				
9	454	30	w 0	n	c P	m p	272	11	K 2	f	m P	c A	284	25				
10	553	32	w 0	n	m p	m p	242	09					184	27	K 1	n	m A	c A
11	565	38	W 0	s n	m p	m t	223	10					214	18				
12	564	41	K 1	n	m t	m p	181	09					224	16				
13	x65	40	W 1	a	m p	m t*	x93	08					113	23				
14	452	40	W 0	p	m p	m t	181	06					282	23				
15	667	40	K 1	p	m t	m p*	774	11	W 1	p s	c A	m P	x63	32	W 0	∾	c A	c P
16	074	39	K 0	p	m t	m p	x71	15	K 1	n	m P	c A	3x0	36				
17	063	46	W 0	n f_n	m p	m T	x61	17					xx1	38	W 0	∾ n	c P	c t
18	664	43	K 2	s	m T	m P	242	24					3x1	39				
19	262	37					152	17	W_h 1	a	c A	c A	452	42	o 0	∾ n	c t	c p
20	051	40	W 0	∾	m P	m t	142	17					444	40				
21	062	41					231	21					444	42				
22	662	40					xx1	25					444	49	o 1	p	c p	c p
23	664	39	W 0	n	m t	m T	251	26					444	45				
24	765	35	K 1	f	m T	m P	361	30					442	48	o 0	n	c p	m p
25	175	25					2x0	34					xx1	45				
26	075	36	W 2	s	m P	m T	231	38					xx0	45				
27	776	38	K 1	f	m T	m p	211	34					x91	43	K 0	n	m p	c p
28	285	37	K 2	n_v	m p	m P	174	38	W 1	n	c A	m t	361	42				
29	x73	33					671	47					331	48				
30	372	32	w 2	f	m P	m p							x32	48				
31	361	26	K 2	n_v a	m p	c A							9x1	41	K 1	p	c p	m p
Mittel	38	37					28	20					36	38				
	*	13.	K 1	p	m t	m p							*	4.	W 0	p	m p	m T
	*	15.	W 0	n	m p	m t							*	4.	K 1	n	m T	m P
													*	7.	K 1	s	m P	m A

	April						Mai						Juni					
1	9x1	45	K 2	p	m p	m P	173	38	K 1	p	m P	m P	112	55	k 1	p	m p	m p
2	2x1	37					112	43	w 0	∾ p	m P	m p	111	56				
3	xx1	42					1x1	43					xx1	59				
4	863	41	K 1	p	m P	m P	121	46					562	60	W 0	∾	m p	m T
5	173	32	W 1	s	m P	m t	012	52					x52	61				
6	874	24	K 1	n_v	m t	m P	022	54					x52	62	K 1	m p	m T	m p
7	185	19					001	56	W 0	n	m p	m T	653	61	K 1	p	m p	m P*
8	084	29	W 0	s n	m P	m t	x01	61					144	43				
9	082	40					001	59					892	44				
10	072	47					763	53	K 2	a	m T	m p	x53	47	W 0	∾ n	m P	m t
11	x63	46					182	47					453	55	K 1	n	m t	m p
12	562	47					881	44	W 0	a	m p	m T*	x61	57	W 0	p f_n	m p	m T
13	564	46	o 1	f	m t	m p*	1x1	45	K 1	n_v	m p	m p	061	59	K 1	n	m T	m p
14	553	51					211	47	W 0	∾ n	m p	m t	152	58	W_h 2	a	m p	m p
15	552	49	K 1	s	m T	m p	181	48					154	49	K 1	f a	m p	m P
16	943	51	K 2	n	m p	m P	0x1	53	W 0	∾ n	m t	m T	x63	53				
17	942	40					x62	54					552	53	W 0	f	m P	m t*
18	191	33					x63	52					881	52				
19	194	30					154	52	K 2	a	m T	m P	181	58	W 0	p	m p	m t
20	272	34					263	47					773	58	K 2	s n	m t	m P
21	x63	43					x62	53	W 0	∾ a	m P	m T	183	50				
22	454	49	W 1	p	m P	m t	951	57	K 2	p	m T	m p	191	46				
23	x52	44	K 1	f	m t	c P	9x0	55					811	53	W_h 1	p	m P	m P
24	x62	44	o 0	p n	c P	m p	932	52	K 1	p	m T	m p	862	53	K_h 0	p	m P	m P
25	x61	43					8x0	52	K 0	∾ a	m p	m p	192	51	o 1	a	m P	m p
26	x52	43					x51	57					x71	56	W 0	∾ n	m p	m t
27	942	46	K 0	∾ f_n	m p	m p	x52	61	W 0	m	m p	m T	x62	56				
28	x51	42	K 1	p	m p	m P	x01	68					x62	57				
29	2x1	42					x61	66	K 1	p	m T	m p	173	58	K 0	f	m t	m p
30	1x1	43	K 1	a	m P	m P	x51	63					x61	62	W 0	∾ n_v	m p	m T
31							x42	55	K_h 1	n_v	m p	m p*						
Mittel	28	41					20	53					25	55				
	*	13.	W 1	p s	m p	m T	*	12.	K 2	p	m T	m p	*	7.	K_h 2	s	m P	m P
							*	31.	K 1	m	m p	m p	*	17.	K 1	a	m t	m p

	Juli						August						September					
	Wetterlage		Fronten				Wetterlage		Fronten				Wetterlage		Fronten			
	Ddf	rr	AI	Z	L_v	L_n	Ddf	rr	AI	Z	L_v	L_n	Ddf	rr	AI	Z	L_v	L_n
1	551	59	K_h 0	p	m T	m T	062	62	W 1	n	m P	m t	455	65	K 0	f	m T	m P*
2	942	58	K 2	p	m T	m p	775	66	K 1	s	m t	m p	455	66	K 1	p	m T	m p
3	172	58					765	58	k 1	a	m p	m P	055	57	W 1	f	m p	m P*
4	073	62	W 0	∾ p	m p	m T	863	53					163	57				
5	072	67					x64	54					453	66	W 0	n_v f	m P	m T
6	773	71	K 0	∾ p	m T	m p	955	61	W 0	∾ s	m P	m t	x52	59	K 1	m	m T	m p
7	062	72	W 0	s n	m p	m T	x55	64	K 1	∾ p	m t	m p	063	57				
8	x61	70					263	72	W 0	∾	m p	m T	062	61				
9	x00	69	K 1	n	m T	m p	062	74					x63	63	k 2	∾ m	m p	m p
10	901	67	K 1	s	m p	m P	x53	75	K 2	n	m T	m p	x64	66	W 0	∾ n_v	m p	m T*
11	891	59					663	64					174	63	W 0	∾	m p	m T
12	1x1	63	W 0	∾ n	m P	m T	173	59	K 1	f	m p	m P	776	66	K 0	a	m T	m p
13	x01	67	K 0	s	m T	m p	x63	66	W 0	p	m P	m T	174	66	W 1	s_v	m p	m T
14	x53	61	K 1	a	m p	m p	x64	67	K 1	s	m T	m p	282	63	K 1	f	m T	m p
15	x62	58					262	63					001	67	W 0	∾	m p	m T
16	x62	57	K 1	m	m p	m p	073	67	W 0	∾ n	m p	m T	x01	67				
17	172	60	W 0	∾ n	m p	m T	x62	68	K 1	s	m T	m p	2x1	63	K 1	n	m T	c p
18	x63	62	K 2	S	m T	m p	x63	68	W 0	n_v	m p	m T	201	62				
19	953	62	K 2	p	m p	m P	x64	67	K 1	f	m T	m p	301	64				
20	x63	54					x54	67	W 1	p	m p	m T	001	63				
21	x62	57					153	63	K 1	n_v	m T	m p	001	62				
22	x62	60					x53	59	k 2	s	m p	m P	3x2	61	W 0	s	c p	c T
23	182	60	W 0	∾	m P	m t	1x1	55					301	65				
24	173	66					666	57	k 0	a	m P	m P	3x1	64				
25	183	66					665	62	W 1	f	m P	m T*	442	61				
26	072	70					x55	63	W 0	s	m P	m T	942	57	K 0	f	c T	m p
27	x62	68	o 2	s	m t	m t	656	69	K 2	p	m T	m p	762	54	o 2	a	m p	m p
28	x62	66	K 2	p	m t	m p	657	65	K 1	p	m p	m P	072	63	W 0	m	m p	m T
29	654	69	W 0	n_v	m p	m T*	155	59	K 1	s	m P	m A	062	64				
30	153	63					164	53					061	64				
31	263	63					x65	58	W 0	s	m A	m t						
Mittel	26	63					43	63					29	63				
	*	29.	K 2	p	m T	m P	*	25.	K 2	m	m T	m P	*	1.	W 0	p s	m P	m T
													*	3.	K 2	a	m T	m P
													*	10.	K 2	s	m T	m p

	Oktober						November						Dezember					
1	051	65					3x1	43					1x1	36				
2	653	64	W 0	s	m T	m T	212	37	k 0	p	c P	m A	214	42				
3	x63	59	K 0	n_v	m T	m p**	281	35					183	43	W 1	∾	m P	m t
4	663	53					x83	37	W 1	a	m A	m t	182	47				
5	964	44	K_h 1	f	m P	m P*	782	38					172	45				
6	772	36					183	41					184	45	K 0	f	m t	m P*
7	172	34					083	49	K 0	∾ n	m t	c P	083	45				
8	211	36					001	52					182	45				
9	282	41					0x1	47					071	42	K 0	n	m t	m P
10	212	48					x72	42	o 0	p s	c P	m P	071	42				
11	081	52					553	41	o 0	s	m P	m P	0x2	38				
12	071	55					x53	37					672	45	W 0	s	m P	m T
13	071	57					242	42	o 0	∾	—	—	664	43	K 1	s	m T	m p
14	001	60					2x1	42	W 1	f_n	m P	m t	063	43	W 0	s n	m p	m T
15	x01	58					1x1	42	K 0	m	m t	m A	663	44				
16	001	54					1x2	41					561	49				
17	061	52					0x1	39					552	49	∾ 0	∾ n	m T	c T
18	072	53	W 1	a	m p	m T	031	37					042	46				
19	072	58					3x1	41					053	42				
20	x62	58					3x1	38					x53	34	K 1	m	c T	m p
21	xx1	53	K 1	f	m T	m p	2x1	32	K 0	f	m A	c A	x63	31				
22	0x1	57					2x1	36					xx1	26	K 1	n	m p	m A
23	0x1	57					291	32	o 0	n	—	—	292	23				
24	0x1	54					281	32					162	22	K 0	n	m A	c A
25	x53	50					682	37					193	17				
26	144	37	K 2	n_v	m p	m A	686	47	W 1	f	c A	m P*	x72	27	w 2	s	c A	m P
27	993	30					677	46	K 0	s	m t	m p	0x1	24				
28	882	32					766	40	W 1	f	m p	m t**	471	27				
29	774	42	W 1	m	m A	m t	862	23					571	33	w 1	m	m P	m p
30	291	31	K 2	n_v	m t	m A	132	26					452	31				
31	252	34	K 0	∾	m A	c P							452	33				
Mittel	24	49					26	39					26	37				
	*	3.	W 1	f	m p	m T	*	26.	W 1	a	m P	m t	*	6.	W 0	p	m P	m t
	*	3.	K 2	s	m T	m P	*	28.	K 1	p	m t	m P						
	*	5.	K 2	p	m P	m A	*	28.	K 1	p s	m P	m P						

Nr. 8

Formation et dissolution des brouillards à l'aéroport de Zurich-Kloten

par

Raymond J. Schneider
Météorologue

Introduction

Dans une première publication parue en 1953 (15), nous avons étudié la fréquence des brouillards et des stratus bas pour la période 1948—1953.

Le travail ci-joint se compose d'une première partie climatologique, faisant une suite directe à l'étude de 1953, portant d'une part sur la limite supérieure des brouillards et d'autre part sur une comparaison des brouillards à Zurich avec d'autres aéroports européens. Dans une seconde partie, quelque peu différente, nous avons présenté une méthode nouvelle de prévision du brouillard, que nous avons appliquée avec succès durant ces dernières années.

Ière Partie - Etude climatologique

Tableau N° 1 Limite supérieure du brouillard ou des stratus bas en fonction du plafond, période juillet 1951 — décembre 1954

Plafond en m/sol Limite sup. en m/m	au sol	0–100	100–200	200–300	300–400	400–500	500–600	600–800	800–1000	1000–1200	1200	Total
450— 550	26	—	—	—	—	—	—		—	—	—	26
550— 650	40	6	1	—	—	—				—	—	47
650— 750	21	8	3	—	—			—			—	32
750— 850	7	5	3	—	—			—	—	—	—	15
850— 950	—	7	16	9	7		—	—	—	—	—	39
950—1050	—	1	10	6	3		—				—	20
1050—1200	—	—	2	3	3	7	1	—	—	—	—	16
1200—1400	—	(1)	(2)	2	4	8	2	1	—	—	—	20
1400—1600	—	—	—	1	1	1	2	4	5	—	—	14
1600—1800	—	—	(3)	—	—	1	3	2	4	—	—	13
1800—2000	—	—	—	—	—	1	2	—	—	1	—	4
2000—2200	—	—	(1)	—	—	(1)	(3)	—	—	1	—	6
2200	—	—	(1)	—	—	—	—	—	1		2	4
Total	94	28	42	21	18	19	13	7	10	2	2	256

( ) = deux couches de nuages certaines

§ 1 *Variation de la limite supérieure des brouillards*

Nous avons reporté dans le tableau N° 1 la fréquence des limites supérieures observées en fonction du plafond. Nous constatons que dans le 70 % des cas de brouillard, la limite supérieure est inférieure à 650 mètres, dans le 92 % inférieure à 750, et dans le 100 % des cas inférieure à 850. Pour les stratus, il semble exister une fréquence maximum aux environs de 1000 mètres; cependant, il faudrait pouvoir éliminer les cas où il existe simultanément deux couches de nuages.

Si nous calculons la limite supérieure moyenne correspondant à chaque valeur de plafond, nous obtenons les résultats suivants:

Plafond m/sol	0—100	1—200	2— 300	3— 400	4— 500
lim. sup. m/m 600	760	900	1025	1075	1300
Plafond m/sol	5—600	6—800	8—1000	12—1200	12—1400
lim. sup. m/m 600	1600	1530	1690	2000	2300

valeurs très approximatives, du reste, que nous reporterons cependant graphiquement sur la fig. N° 1. Nous obtenons pour ainsi dire une ligne droite, nous donnant la limite supérieure, avec une précision de l'ordre de 20 %, en fonction du plafond, d'après la formule suivante:

$$\text{lim. sup. en m/m} = 600 + 1.3 \times \text{plaf.}$$

Fig. 1

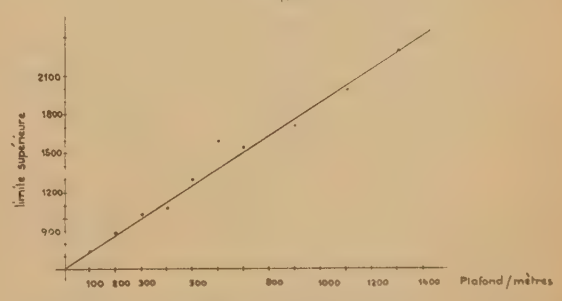

Malgré l'imprécision de ce calcul, les résultats que l'on peut obtenir par ce moyen peuvent être d'une grande aide pour la prévision de l'heure de la dissolution du brouillard, car, comme nous le verrons plus loin, la limite supérieure du brouillard ou du stratus doit être connue pour pouvoir calculer la température de dissolution.

§ 2 *Comparaison avec quelques autres aéroports et postes d'observations suisses et étrangers*

Nous avons eu quelque peine à nous procurer une documentation assez sûre permettant de faire des comparaisons, car ou bien les fréquences que nous avons

trouvées pour d'autres aéroports ne se rapportaient pas à la même période, ou elles n'étaient pas celles des brouillards, mais bien des visibilités inférieures à 1 km. Nous avions à notre disposition:

1. Genève: fréquence des brouillards période 1949—1953,
2. Bâle: fréquence des brouillards période 1929—1948,
3. Londres: fréquence des brouillards période 1946 à 1954 [1],
4. Francfort: fréquence des visibilités inférieures à 1 km, 5 ans (probablement 1948—1953),
5. Orly: fréquence des visibilités inférieures à 1 km, 1947—1951,
6. Malpensa-Milan: fréquence des visibilités inférieures à 1 km, à certaines heures, seulement pandant 5 ans probablement 1947—1951,
7. Copenhague: fréquence des visibilités inférieures à 1 km, période 1941—1948.

Nous avons tout de même admis pouvoir comparer ces observations entre elles pour les raisons suivantes:

1. La formation et la dissolution du brouillard de rayonnement dépendent beaucoup des conditions locales. Aussi pensons-nous qu'une période de cinq ans déjà, nous donne une assez bonne idée de la répartition générale des brouillards au cours de l'année et de leur variation diurne.

2. A côté du brouillard, ce n'est que par chutes de neige ou fortes précipitations que la visibilité peut devenir inférieure à 1 km. Aussi, les fréquences des visibilités inférieures à 1 km diffèrent-elles très peu de celles des brouillards, en tous les cas dans nos régions où les chutes de neige sont malgré tout assez rares.

3. Finalement, afin de diminuer encore les différences possibles, nous avons groupé les observations entre elles de façon à obtenir les deux séries suivantes:

a) *Tableau N° 2*
fréquences horaires moyennes du brouillard au cours de l'année durant un intervalle de trois heures;

b) *Tableau N° 3*
fréquences mensuelles moyennes des brouillards.

De l'étude de ce dernier tableau, nous constatons que Zurich est, des huit places considérées, celle qui a le plus de brouillard, que Bâle est celle au contraire qui en a le moins. Genève, bien que meilleur que Zurich, a tout de même en hiver beaucoup d'heures de brouillard.

Si nous comparons les deux places qui ont le plus de brouillard, à savoir Zurich et Londres, nous constatons que, dans la matinée, soit entre 00 h et 09 h, Zurich a beaucoup plus de brouillard que Londres, ce qui n'est plus le cas entre 09 h et 21 h. La comparaison des fréquences observées entre 06—09 h est 12—15 h nous montre qu'à Zurich la variation des brouillards est plus rapide que n'importe où ailleurs. D'autre part il est à remarquer que, malgré tout, entre 12 h et 18 h, Zurich n'est pas mauvais en comparaison des autres aéroports.

En ce qui concerne la Suisse proprement dite, la situation de Zurich quant au brouillard n'est pas exceptionnelle. Les fig. N° 2 et N° 3 nous représentent la fréquence des jours de brouillard en octobre et décembre durant la période 1901—1940. Bien que les nombres indiqués pour Zurich, Genève et Bâle soient ceux des observatoires et non des aéroports, nous voyons que Zurich appartient à la région de Suisse ayant le plus de brouillard, mais vu dans son ensemble, ce n'est pas Zurich, mais bien Genève et Bâle qui présentent une exception, car tout le plateau suisse a beaucoup de brouillard. C'est le long de la vallée de l'Aar que nous trouvons même le maximum de jours. Il est à remarquer encore qu'en décembre la région de Genève est aussi mauvaise que le reste du plateau, mais que durant les autres mois de l'année Genève est nettement meilleur.

Tableau N° 2 Fréquences horaires moyennes du brouillard au cours de l'année durant un intervalle de 3 heures

Aéroport	00–03	03–06	06–09	09–12	12–15	15–18	18–21	21–24
Zurich	40.9	49.1	42.3	15.3	5.9	7.6	15.6	25.5
Genève	18.0	25.6	21.6	9.8	4.5	5.3	9.3	12.9
Bâle	6.9	13.3	26.4	10.5	3.9	3.2	4.1	5.3
Paris	11.4	15.0	25.8	18.8	8.0	6.3	5.0	7.0
London	29.8	31.8	33.4	29.5	15.2	14.6	22.8	27.3
Francfort	15.4	21.2	25.3	15.1	7.2	10.2	10.8	11.8
Milan	nil	24.7	24.7	28.5	12.7	14.9	21.4	nil
Copenhague	14.7	18.1	16.1	15.2	9.3	9.9	10.8	13.8

Exemple: Zurich 00–03 GMT = 40.9 signifie qu'entre 00 et 03 GMT il y a en moyenne 40.9 fois du brouillard au cours de l'année.

Tableau N° 3 Fréquences mensuelles moyennes des heures de brouillard sur certains aéroports

Aéroport	Oct.	Nov.	Déc.	Jan.	Fév.	Mars	Avril	Mai	Juin	Juillet	Août	Sept.
Zurich	127.0	85.8	120.5	77.8	56.2	18.6	15.2	9.2	11.2	9.2	26.4	49.6
Genève	63.6	40.2	120.8	54.6	10.6	11.4	3.8	2.8	1.6	0.6	3.2	8.6
Bâle	49.9	43.0	34.7	19.2	22.7	12.6	3.8	4.5	3.4	0.9	6.4	23.3
Paris	40.2	59.9	63.2	57.1	28.2	23.7	0.9	1.3	0.7	0.4	3.7	12.2
London	99.4	108.5	109.0	81.3	76.0	80.3	11.5	9.0	3.7	2.0	10.1	20.2
Frankfurt	57.9	59.9	85.3	47.0	49.2	17.3	3.3	3.9	3.3	0.9	4.9	18.8
Milan *	15.2*	8.0*	31.2*	43.7*	20.0*	11.7*	10.8*	6.9*	3.9*	0.9*	0.0*	2.3*
Copenhague	24.6	40.5	48.3	57.3	44.4	73.8	14.1	5.4	0.9	3.0	6.0	11.4

* Nombres approximatifs, les observations de nuit n'ayant pas été faites.

La définition des jours de brouillard n'étant pas des plus précises, nous avons encore comparé les observations de Kloten à celles des postes d'Olten, Granges et Sursee durant la période 1949—1953:

[1] *Note:* à l'exception des statistiques de Londres, période 1946 à 1950, toutes les autres statistiques utilisées ici ont été obtenues par échange entre les aéroports, et n'ont pas fait, à ma connaissance, l'objet de publications spéciales.

Fig. 2 Fréquence des jours de brouillard en octobre, période 1901—1940

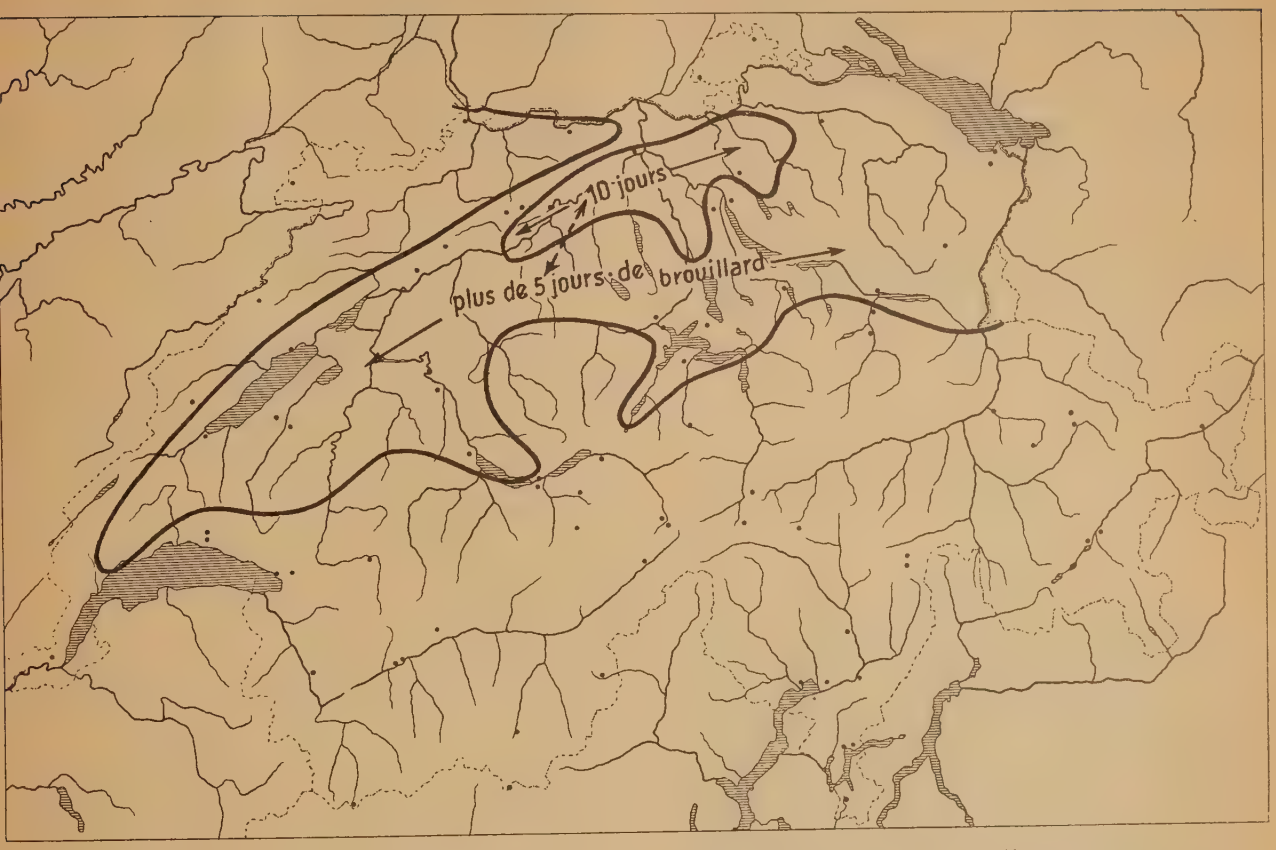

Fig. 3 Fréquence des jours de brouillard en décembre, période 1901—1940

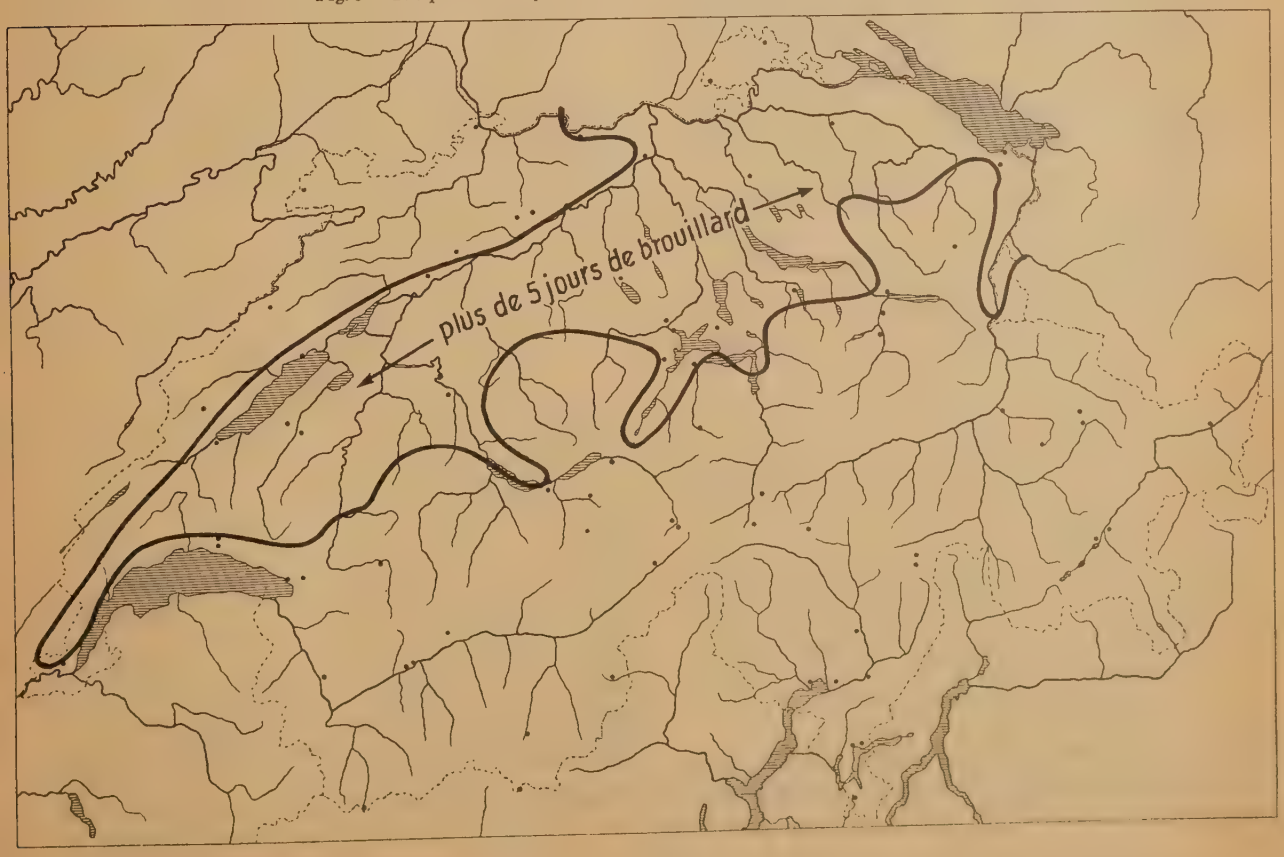

Tableau N° 4: Fréquence des brouillards à 06.00—07.00 h GMT

I	II	III	IV	V	VI	VII	VIII	IX	X	XI	XII
Kloten (alt. 425 m)											
3.7	4.7	2.7	2.3	1.3	1.8	1.4	3.8	5.5	10.9	5.5	6.0
Olten (alt. 402 m)											
5.2	5.2	3.0	1.8	1.0	0.6	0.8	2.4	5.6	11.2	6.4	5.0
Granges (alt. 455 m)											
5.8	6.8	3.3	2.6	1.0	1.0	1.6	4.4	7.8	11.6	6.8	9.6
Sursee (alt. 505 m)											
3.4	3.0	1.0	0.2	0.0	0.2	0.2	0.8	3.0	7.6	4.0	6.4

Tableau N° 5: Fréquence des brouillards à 12.00—13.00 h GMT

I	II	III	IV	V	VI	VII	VIII	IX	X	XI	XII
Kloten											
2.1	0.6	0.1	—	—	—	—	—	—	0.2	1.8	3.2
Olten											
0.4	—	—	—	—	—	—	—	—	—	0.4	2.8
Granges											
2.3	1.0	0.3	—	—	—	—	—	0.4	1.0	2.4	6.6
Sursee											
2.2	0.6	—	—	—	—	—	—	—	0.4	1.8	2.8

Note: Les observations à Granges, Olten et Sursee étant faites entre 11.30 h et 12.30 h GMT, nous avons pris la moyenne des fréquences 11.00—13.00 h pour Kloten.

Le matin, il y a nettement plus de brouillard à Granges et à Olten qu'à Kloten, en tous les cas de septembre à mars. L'après-midi, en revanche, Olten est nettement meilleur, mais situé à 400 m d'altitude, il s'agit très certainement d'une amélioration due à l'élévation de la couche de nuages, ce qui semblerait prouvé par les observations de Sursee situé à 500 m d'altitude qui a, comparativement, plus de brouillard l'après-midi que le matin.

Nous conclurons cette première partie en remarquant que si l'aéroport de Zurich-Kloten est l'un des aéroports d'Europe ayant le plus grand nombre d'heures de brouillard, ceci n'est pas dû à sa situation particulière, mais bien aux conditions climatiques générales du plateau suisses. Nous remarquerons encore que l'après-midi, soit entre 12.00 h et 21.00 h, voire même jusqu'à 24.00 h, Kloten est aussi bon que les autres aéroports considérés.

IIe Partie - La prévision du brouillard de rayonnement

De nombreuses études ont été faites pour essayer de trouver une méthode de prévision de l'heure de la formation et de la dissolution du brouillard. On a cherché à déterminer la fréquence des brouillards en fonction de différentes grandeurs: vent, température, humidité, masses d'air, visibilité, etc. Appliquées à la prévision, ces statistiques ont donné des résultats peu précis, étant donné notamment la forte influence des conditions locales. Aussi sommes-nous partis d'un principe simple s'appuyant sur le processus même du développement du brouillard, à savoir que celui-ci n'étant que de la vapeur d'eau condensée, nous pourrons déterminer l'heure de sa formation et de sa dissolution, si nous connaissons l'état hygrométrique de l'air et la loi de variation de température.

Fig. 4 Radiosondage de 1500 h

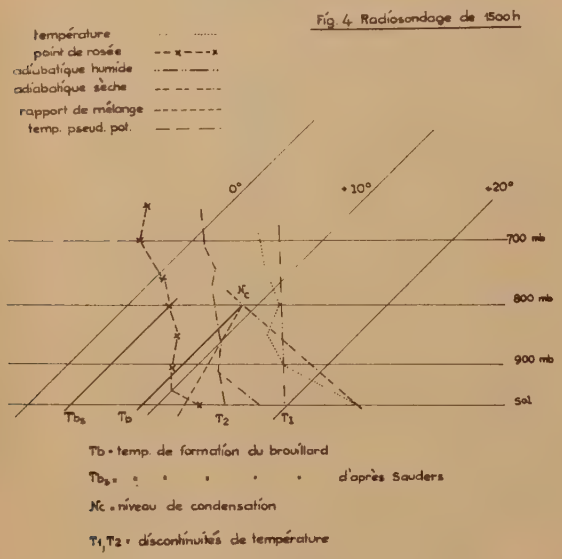

§ 1 *Formation du brouillard*

Etant donné l'influence du rayonnement solaire sur la masse d'air, il va de soi que ce n'est qu'au moment où la température maximum sera connue que la prévision pourra être établie. La première grandeur à déterminer sera la *température à laquelle le brouillard se formera* (T_b).

Dans un article paru en 1950, G. Saunders (11) donne une méthode pour trouver cette température: celle-ci n'est pas autre chose que le point de rosée dans l'air ambiant à l'altitude du niveau de condensation à 15.00 h. (Fig. 4). Appliquée à Zurich, cette méthode nous a donnée des temperatures trop basses; en revanche, nous avons obtenu des résultats très satisfaisants en prenant la température à l'altitude de niveau de condensation déterminé à partir de l'humidité moyenne dans les trois cents premiers mètres. Le tableau 6 (page N° 7) nous présente les résultats obtenus par les deux méthodes.

Nous avons groupé les résultats obtenus sous la forme suivante dans le tableau N° 7:

Tableau N° 7

H = hiver (Nov.—Avril) E = été (Mai—Octobre)

			Différence entre la température observée dans le brouillard et la température prévue						
			—3	—2	—1	—	+1	total	
pas de bancs de brouillard		H	1	1	—	3	—	H 5	9
		E	—	—	2	2	—	E 4	
Différence entre la température dans les bancs de brouillard et la température prévue.	—1	H	1	2	—	—	—	H 3	3
		E	—	—	—	—	—	E —	
	0	H	—	1	1	—	—	H 2	3
		E	—	—	1	—	—	E 1	
	1	H	—	2	1	1	—	H 4	9
		E	—	—	1	4		E 5	
	2	H	—	—	—	—	—	H —	5
		E	—	—	—	2	3	E 5	
	3	H	—	—	—	—	1	H 1	4
		E	—	—	—	—	3	E 3	
	4	H	—	—	—	—	—	H —	1
		E	—	—	—	—	1	E 1	
	5	H	—	—		—	—	H —	1
		E	—	—	—	—	1	E 1	
Total		H	2	6	2	4	1	H 15	
		E	—	—	4	8	8	E 20	
			2	6	6	12	9	35	

a) dans chaque colonne nous trouvons le nombre de cas observés où la différence entre la température observée dans le brouillard et la température prévue est de 1, 2, 3 degrés, etc.
b) dans chaque ligne nous avons le nombre de cas observés où la différence entre la température observée dans les bancs de brouillard et la température prévue est de 1, 2, 3 degrés, etc.

L'examen de ces tableaux nous montre que 12 cas sur 35 sont exacts, mais la précision des mesures étant de l'ordre du degré, on peut dire sans autre que 27 cas sur 35, soit le 77 %, sont justes. Dans les autres cas, le brouillard se forme à une température plus basse que celle que nous avions prévue. Nous verrons tout à l'heure qu'il est possible d'expliquer physiquement ces différences, mais remarquons que cette erreur, du point de vue prévision aéronautique, est favorable, en ce sens que le brouillard se formera ou à la température prévue ou à une température légèrement inférieure, donc plus tard. Nous voyons encore que, 26 fois, la formation du brouillard est précédée de bancs de brouillard dont la température moyenne est de 2 degrés supérieure à la température prévue; cependant, il y a 9 cas où le brouillard s'est formé directement. Enfin, nous remarquons que les différences de températures les plus fortes se produisent en hiver, alors qu'en été et en automne elles seraient plutôt nulles ou légèrement positives.

En examinant de plus près encore les 8 cas à fortes différences de température, nous avons pu constater que celui du 28 décembre 1951 devait être éliminé, car il y avait eu un changement de masse d'air dans la soirée. Dans six des autres cas restants, il faut attribuer ces différences à deux causes liées l'une à l'autre: par l'insuffisance probable des noyaux de condensation, il ne s'est formé, à la température prévue, que des bancs de brouillard; à la surface de ceux-ci, le rayonnement est très intense (20) et la température varie considérablement d'un endroit à l'autre de l'aéroport (nous avons mesuré parfois des différences de 3 à 5 degrés à la même altitude). Cependant, le refroidissement se poursuivant, le brouillard se forme tout à coup et pendant environ une demi-heure, la température reste inférieure à la température prévue, puis, au fur et à mesure que le brouillard s'épaissit, elle augmente pour se stabiliser à la température prévue.

On pourrait, il est vrai, attribuer ce réchauffement au dégagement de la chaleur de condensation. Nous ne le pensons pas, car les nombreuses observations que nous avons faites nous ont montré que ce réchauffement et cette stabilisation ne se produisaient que lorsque le ciel devenait invisible, donc lorsque le brouillard devenait suffisamment épais pour contrebalancer le rayonnement terrestre. Certes, une fois le brouillard formé, la température ne restera-t-elle pas absolument stationnaire, mais ces oscillations sont, pour nous, nettement liées à celles de l'épaisseur du brouillard. D'autre part, cette variation ne dépassera pas de plus d'un degré la température prévue tant que le rayonnement solaire n'aura pas commencé.

Finalement le cas du 16 février 1950 ne s'explique pas par ce phénomène-là et nous pensons qu'il faut l'attribuer à une forte subsidence, Zurich étant ce jour-là placé au centre même d'un anticyclone.

Connaissant maintenant à quelle température le brouillard se formera, il nous reste à connaître à quelle heure cette température sera atteinte. Pour trouver *la loi de la baisse de température*, nous avons d'abord essayé d'appliquer différentes formules. Mais celles-ci étaient ou trop imprécises parce que trop simples, ou alors trop compliquées pour être employées dans un service tel que le nôtre (3), (4), (6), (7).

En étudiant les thermogrammes d'un certain nombre de nuits claires, nous avons constaté que la baisse de température présentait *plusieurs discontinuités* (fig. 5).

Fig. 5 Thermogramme

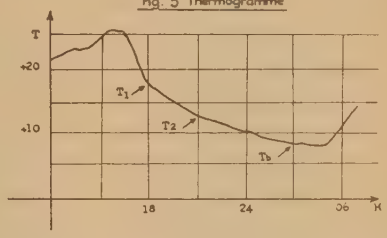

L'une notamment très nette T_1, 2 h après le maximum de température, au moment où la baisse d'abord très forte de l'ordre de 3 °—5 °/h, passe subitement à 1—2 °/h. Or, dans un nouvel article paru en 1949 (10), G. Saunders signalait qu'il avait constaté que ce point de discontinuité avait toujours lieu au voisinage du coucher du soleil. Bien plus, à l'aide du radiosondage de 15 h, il montrait que cette température T_1 pouvait être prévue:

Il suffisait de trouver la température au sommet de la couche influencée par le réchauffement diurne, puis de suivre l'adiabatique humide passant par ce point jusqu'au niveau du sol (fig. 4).

Au printemps et en été, cette méthode se vérifie parfaitement à Kloten, mais en automne et en hiver, elle n'est plus applicable, bien que l'on observe toujours une discontinuité. Nous avons trouvé que *cette nouvelle température* T_2 pouvait cependant aussi être prévue, et qu'elle était égale à la température du thermomètre mouillé de la masse d'air présente (fig. 4). Mais alors, nous sommes-nous dit, puisque cette température marque un point de discontinuité en hiver, qu'en est-il en été? Nous avons trouvé sans peine qu'il existait en été une seconde discontinuité correspondant bien à T_2.

Nous avons ainsi établi avec certitude que *la courbe de température présentait durant la baisse 3 points de discontinuité généralement bien déterminés, soit* T_1, T_2 *et* T_b.

Dans le tableau N° 8 (page N° 7) les différences entre les températures prévues et les températures observées sont mises en évidence pour les mêmes dates que dans le tableau N° 6. Il n'y a que 16 cas où T_1 ait été observée, car, comme nous l'avons remarqué précédemment, si l'inversion au voisinage du sol existe encore l'après-midi, il n'y a qu'une discontinuité correspondant à T_2.

En fait, nous avons contrôlé un beaucoup plus grand nombre de thermogrammes et les résultats obtenus sont toujours du même ordre de précision, soit un degré. Il va aussi sans dire que tous les thermogrammes ne présentent

pas des discontinuités et des pentes si nettes que la figure N° 5 pourrait le laisser supposer, mais, même dans les cas critiques, la loi de baisse de température, comme nous le verrons plus loin, joue de façon satisfaisante.

Comme Saunders l'avait constaté, nous avons pu aussi prouver que la première discontinuité T_1 se produisait régulièrement une demi-heure à une heure après le coucher du soleil. L'étude de 138 cas des années 1949—1952 nous a donné les heures d'observations moyennes suivantes, par quinzaines (tableau N° 9) que nous avons re-

Tableau N° 9

	Coucher du soleil	H_1H_1 = heure de T_1
Janvier	15.50 h GMT	16.15 h GMT
	16.05 h GMT	16.30 h GMT
Février	16.30 h GMT	17.00 h GMT
	16.55 h GMT	17.30 h GMT
Mars	17.15 h GMT	17.45 h GMT
	17.35 h GMT	18.15 h GMT
Avril	17.50 h GMT	18.45 h GMT
	18.10 h GMT	19.00 h GMT
Mai	18.35 h GMT	19.30 h GMT
	18.55 h GMT	20.00 h GMT
Juin	19.10 h GMT	20.15 h GMT
	19.20 h GMT	20.15 h GMT
Juillet	19.20 h GMT	20.00 h GMT
	19.10 h GMT	19.45 h GMT
Août	18.40 h GMT	19.30 h GMT
	18.15 h GMT	19.15 h GMT
Septembre	17.45 h GMT	19.00 h GMT
	17.20 h GMT	18.15 h GMT
Octobre	16.55 h GMT	17.30 h GMT
	16.25 h GMT	17.15 h GMT
Novembre	16.00 h GMT	16.30 h GMT
	15.40 h GMT	16.15 h GMT
Décembre	15.30 h GMT	16.00 h GMT
	15.35 h GMT	16.00 h GMT

présentées sur la fig. N° 6. — Les déviations, par rapport à la moyenne, se présentent comme suit:

Diff. en minutes	—45	—30	—15	0	15	30	45
Nombre de cas	1	16	29	47	33	11	1

Total 138

Déviation standard: 18 minutes

Quant à *la discontinuité T_b*, il ne s'agit plus d'une hypothèse, car il est tout à fait reconnu qu'au moment de la formation du brouillard, la courbe de température présente une discontinuité, voir même que la température devient constante, par suite de la diminution du rayonnement.

Pour prévoir les heures exactes auxquelles T_2, T_b seront atteintes, nous avons rencontré plus de difficultés, bien que les baisses T_1—T_2, T_2—T_b soient pour ainsi dire linéaires. Les facteurs locaux jouent ici un rôle important, de même que le vent, la nébulosité, la masse d'air et l'état du sol notamment. En étudiant un certain nombre de thermogrammes de nuits claires, sans vent et sans neige au sol, nous avons tout de même pu en tirer les valeurs moyennes suivantes:

baisse T_1—T_2 1.5 ° par heure (au printemps 2 °/h)
baisse T_2—T_b 0.8 ° par heure

avec la correction suivante à faire, de 1.5 °/h pour la baisse dans l'heure précédant la formation du brouillard (ceci probablement à cause de l'augmentation du rayonnement sur les bancs de brouillard déjà présents).

La température minima de la nuit est, comme nous l'avons aussi observé, *au plus de 3 ° inférieure à T_b*, pour autant qu'il n'y ait pas de neige au sol.

Les cas de nuits claires et sans vent, par sol couvert de neige, furent trop rares pour que nous ayons pu en tirer une loi certaine. Il semble en tout cas que les températures T_2 et T_b existent toujours et peuvent être déterminées de la même manière, mais que les baisses de température sont beaucoup plus grandes, plus irrégulières aussi, parce qu'influencées par les bancs de brouillard très fréquents et très variables. Le brouillard même est moins stable et ses chances de transformation en brouillard élevé plus grandes que sur sol sans neige.

Au cours du refroidissement nocturne, il peut se former directement du *brouillard élevé*. Les cas observés sont malheureusement trop peu nombreux pour que nous puissions en tirer des conclusions certaines, cependant nous avons fait les constatations suivantes:

1. à 1 ou 2 degrés près, T_b correspond à la température à laquelle se formera le brouillard élevé;

2. pour Zurich, en tous les cas, il peut se former directement du brouillard élevé, même si les vents au voisinage du sol sont faibles, le critère principal à observer étant la répartition de l'humidité en altitude.

Nous avons notamment constaté que si l'humidité relative est supérieure à 80 % quelque part entre 800 et 1500 m environ, le brouillard élevé se formera certainement;

3. il arrive souvent que, bien que les conditions pour la formation de brouillard élevé soient remplies, il se forme d'abord pendant quelques heures du brouillard au sol.

Résumé:

La courbe de baisse de température durant la nuit (fig. 5) présente trois points de discontinuités T_1, T_2 et T_b, qu'il est possible de déterminer avec un radiosondage de la masse d'air présente (fig. 4):

T_1 est la température obtenue en suivant, jusqu'au sol, *l'adiabatique humide* passant par le sommet de la *couche* influencée par le rayonnement *diurne*;

T_2 est la température du thermomètre mouillé de la masse d'air présente;

T_b *température de formation du brouillard*, est la température à l'altitude du *niveau de condensation* à 15 heures, déterminée en prenant l'humidité moyenne dans les trois cents premiers mètres au-dessus du sol.

Connaissant ces trois températures, il est possible de trouver la température, à un instant quelconque de la nuit, en appliquant les règles suivantes:

1. *La température T_1 est atteinte une demi-heure à une heure après le coucher du soleil* (fig. 6);
2. *de T_1 à T_2, la baisse de températures est de 1.5 °/h, au printemps de 2 °/h;*
3. *de T_2 à T_b, la baisse de température est de 0.8 °/h;*
4. dans *l'heure précédant T_b*, la baisse est de 1.5 °/h;
5. *à partir de T_b*, la baisse est très irrégulière et la température minima est au plus inférieure de 3 ° à T_b.

Il est bien évident que si l'air est trop sec, la température T_b ne sera pas atteinte au cours de la nuit. Nous

Tableau No 6

Date	15.00 h TT	$T_d T_d$	T_b prévu d'après Saunders	Kloten	T_b observé ww = 41	ww = 44–47	$(T_{obs}-T_p)$	ww code OMM
7. 1. 52	0	—2	— 4	— 3	—	— 3	0	47
24. 1. 49	5	2	—10	— 5	—	— 5	0	44
16. 2. 50	12	4	— 5	0	—	— 3	— 3	46
16. 2. 51	5	1	— 3	— 2	(—1)	— 4	— 2	47
6. 3. 50	12	1	— 2	— 2	—	— 2	0	46
6. 3. 53	8	1	—10	— 2	(—1)	— 4	— 2	47
16. 4. 52	22	9	— 4	6	—	6	0	46—47
16. 6. 52	19	14	10	12	—	11	— 1	44
27. 7. 51	23	11	3	9	(11)	10	1	44
24. 8. 51	23	13	8	10	(11)	10	0	44
28. 8. 51	27	13	2	10	(15)	11	1	44
29. 8. 51	29	14	0	12	(15)	13	1	46
25. 8. 52	22	12	2	10	(14)	11	1	46
5. 9. 51	23	13	×	11	(13)	11	0	44
10. 9. 51	25	16	11	14	(16)	15	1	44—45
20. 9. 52	12	2	— 4	0	(3)	1	1	46—47
23. 9. 49	26	15	5	13	(14)	13	0	46
2. 10. 53	18	11	×	8	(9)	8	0	46—47
13. 10. 50	16	7	2	5	(7)	5	0	47
13. 10. 51	15	3	0	1	(4)	2	1	47
15. 10. 51	12	5	0	2	(3)	2	0	45
15. 10. 52	10	3	— 2	0	—	0	0	46—47
16. 10. 51	10	5	3	3	—	2	— 1	44—45
18. 10. 52	12	6	3	4	(5)	4	0	47
27. 10. 51	11	5	1	2	(4)	3	1	45
27. 10. 52	13	6	3	4	(5)	3	— 1	46—47
4. 11. 52	9	0	— 4	— 2	(1)	— 1	1	44
15. 11. 51	10	4	1	2	(1)	0	— 2	46—47
27. 11. 51	4	0	— 2	— 2	(—1)	— 2	0	47
30. 11. 51	5	1	— 2	— 1	(—2)	— 4	— 3	47
5. 12. 51	6	1	— 1	— 1	(—1)	— 3	— 2	47
7. 12. 51	4	1	— 2	— 1	(—1)	— 2	— 1	44—45
7. 12. 49	13	8	4	5	(5)	×	×	41
13. 12. 51	2	—3	— 9	— 5	(—6)	— 7	— 2	46 occ. St
25. 12. 52	7	2	— 3	0	(1)	— 1	— 1	44—45
28. 12. 51	2	—1	×	— 3	—	— 5	— 2	45

Tableau No 8

Date	T_1 Prévi	Obs.	Δ	T_2 Prévi	Obs.	Δ	Heure (H_1H_1) de T_1 Prévi	Obs.
7. 1. 52	×	×	×	03	03	0	16.00 h GMT	16.15 h GMT
24. 1. 49	×	×	×	01	02	1	16.00 h GMT	16.30 h GMT
16. 2. 50	08	06	—2	05	04	—1	17.45 h GMT	17.30 h GMT
16. 2. 51	×	×	×	03	02	—1	17.00 h GMT	17.30 h GMT
6. 3. 50	08	08	0	04	04	0	17.45 h GMT	17.45 h GMT
6. 3. 53	×	×	×	05	06	1	17.15 h GMT	17.45 h GMT
16. 4. 52	16	16	0	11	10	—1	18.15 h GMT	19.00 h GMT
16. 6. 52	×	×	×	16	16	0	20.15 h GMT	20.15 h GMT
27. 7. 51	17	18	1	13	14	1	20.00 h GMT	20.00 h GMT
24. 8. 51	17	16	—1	13	13	0	19.30 h GMT	19.15 h GMT
28. 8. 51	20	20	0	15	16	1	19.00 h GMT	19.15 h GMT
29. 8. 51	22	21	—1	15	16	1	19.15 h GMT	19.15 h GMT
25. 8. 52	17	18	1	13	13	0	18.30 h GMT	19.15 h GMT
5. 9. 51	18	16	—2	14	13	—1	19.15 h GMT	19.00 h GMT
10. 9. 51	20	19	—1	18	17	—1	19.15 h GMT	19.00 h GMT
20. 9. 52	×	×	×	08	07	—1	18.30 h GMT	18.15 h GMT
23. 9. 49	22	22	0	16	16	0	17.30 h GMT	18.15 h GMT
2. 10. 53	14	14	0	13	12	—1	17.30 h GMT	17.30 h GMT
13. 10. 50	×	×	×	12	12	0	16.00 h GMT	—
13. 10. 51	×	×	×	10	11	1	17.15 h GMT (nuageux)	17.30 h GMT
15. 10. 51	×	×	×	06	06	0	17.30 h GMT	17.30 h GMT
15. 10. 52	×	×	×	06	06	0	17.15 h GMT	17.15 h GMT
16. 10. 51	×	×	×	06	06	—1	17.15 h GMT	17.15 h GMT
18. 10. 52	10	08	—2	09	?	×	17.00 h GMT	17.15 h GMT
27. 10. 51	×	×	×	07	05	—2	17.15 h GMT	17.15 h GMT
27. 10. 52	10	09	—1	08	07	—1	16.45 h GMT	17.15 h GMT
4. 11. 52	×	×	×	05	05	0	16.45 h GMT	16.30 h GMT
15. 11. 51	×	×	×	06	06	0	16.15 h GMT	16.15 h GMT
27. 11. 51	×	×	×	02	01	—1	16.15 h GMT	16.15 h GMT
30. 11. 51	×	×	×	02	02	0	16.30 h GMT (nuageux)	16.15 h GMT
5. 12. 51	×	×	×	05	03	—2	16.00 h GMT	16.00 h GMT
7. 12. 51	×	×	×	01	01	0	15.45 h GMT (nuageux)	16.00 h GMT
7. 12. 49	10	10	0	07	07	0	16.00 h GMT	16.00 h GMT
13. 12. 51	×	×	×	0	—2	—2	16.00 h GMT	16.00 h GMT
25. 12. 52	×	×	×	04	03	—1	16.15 h GMT	16.00 h GMT
28. 12. 51	×	×	×	01	0	—1	16.30 h GMT	16.00 h GMT

avons déterminé l'heure moyenne à laquelle, au cours de l'année, la hausse de température commence et nous avons représenté les résultats obtenus sur la fig. 10. Nous avons trouvé deux courbes, l'une se rapportant aux jours clairs, l'autre aux cas de brouillard.

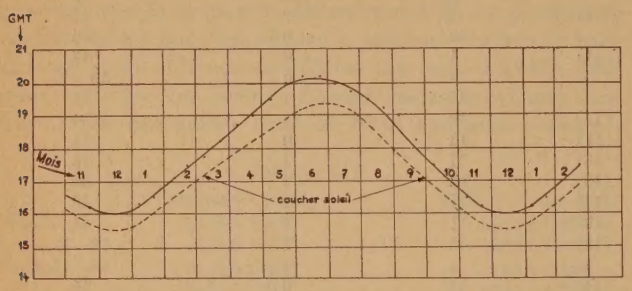

Fig. 6 Heure de la discontinuité T_1

Remarques:

a) En automne et en hiver, le réchauffement diurne n'est souvent pas suffisant pour détruire l'inversion, et la température T_1 n'existe pas. Cependant, au bout d'une heure et quart à une heure et demie, une discontinuité correspondant alors à la température T_2 est observée. Ensuite, la baisse se poursuit normalement, d'après les lois 3, 4 et 5.

b) Parfois, les discontinuités sont peu marquées ou la baisse de température est plus forte que prévue. Ces anomalies ne sont que momentanées et, tôt après, il y aura une compensation, de telle façon que la température prévue sera finalement atteinte à environ un degré près.

c) Une des principales causes d'erreur en appliquant ces méthodes est la modification de la masse d'air par subsidence, qui entraîne une baisse de la température T_b.

§ 2 Application

Exemple N° 1: cas du 28 au 29 avril 1955.

La fig. N° 7 montre la courbe de température et d'hu-

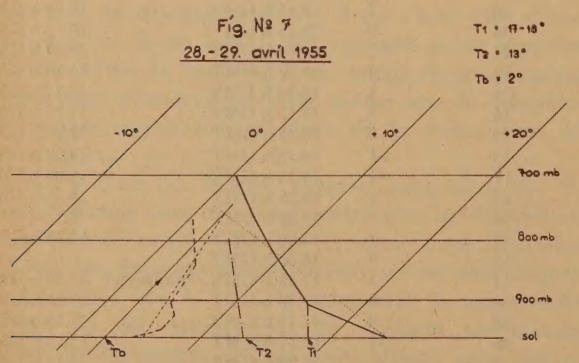

midité dans les premiers mille mètres pour le 28 avril à 15.00 h au-dessus de Zurich. Ces courbes, comme du reste toutes celles que nous avons employées précédemment, sont basées sur les sondages de Payerne et de Friedrichshafen complétés par les observations de stations voisines de Zurich. En utilisant les règles précédemment établies, nous avons obtenu les prévisions de température suivantes:

T_1 = 17—18 ° heure 19.15 h
T_2 = 13 ° heure 21.30 h (diff. temp. 4.5 °, printemps
T_b = 2 ° [baisse 2 °/h)
heure du début hausse: 05.00 h

prévision:	19.15 h	17—18 °	*résultats:*	18
	21.30 h	13 °		14—15
	22.30 h	12.2 °		12
	23.30 h	11.4 °		11
	00.30 h	10.6 °		9
	01.30 h	9.8 °		9
	02.30 h	9.0 °		8
	03.30 h	8.2 °		7
	04.30 h	7.4 °		7
	05.00 h	7.0 °		7

temp. min. prévue 7.0 °, observée 6.0 °

Exemple N° 2: cas du 2 au 3 octobre 1954 (Fig. N° 8)

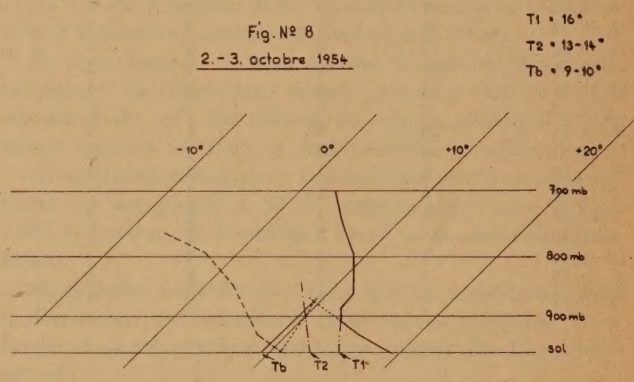

T_1 = 16 ° heure 17.30 h
T_2 = 13—14 ° heure 19.00 h (diff. temp. 2.5 °,
T_b = 9—10 ° [baisse 1.5 °/h)

prévision:	17.30 h	16 °	*résultats:*	16
	19.00 h	13—14 °		13—14
	20.00 h	12.7 °		11
	21.00 h	11.9 °		10—11
	22.00 h	11.1 °		09—10
	23.00 h	9.6 ° brouillard		09

bancs de brouillard dès 11 °, soit 21.30 h obs. 20.45 h
brouillard 23.00 h obs. 22.45 h
temp. min. 6—7 ° obs. 6.4 °

Discussion:

Bien qu'il y ait des différences assez considérables entre les températures prévues et les températures observées, l'heure de formation du brouillard et les températures minima sont bonnes, nous dirons mêmes trop bonnes pour le cas du 3 octobre, car généralement la température minima est beaucoup plus près de T_b; mais, dans l'exemple considéré, nous avons justement un cas de brouillard avec ciel visible pendant plusieurs heures, ce qui a maintenu le rayonnement terrestre. Les autres différences de température doivent être attribuées aux conditions locales; en l'absence de vent, des nappes d'air froid se forment dans certains endroits, puis sont déplacées tout de même sous l'effet des vents catabatiques

et produisent de grosses variations de température; nous en avons déjà parlé à la page 5. Ainsi, dans le premier cas, après une baisse de 2 ° entre 23.00 h et 24.00 h, il y a eu une première stabilisation, puis une baisse de 1 ° et une nouvelle stabilisation au voisinage du minima à partir de 03.30 h déjà. Jusqu'à la hausse vers 05.00 h, il n'y a plus eu de changement bien qu'il n'y ait eu ni brouillard, ni nuage.

§ 3 *Dissolution du brouillard et des brouillards élevés*

C'est environ *une heure après le lever du soleil* que la couche de brouillard atteint son maximum d'épaisseur. Aussi n'est-ce qu'à partir de cette heure-là qu'il *sera possible de faire une prévision* tant soit peu précise sur l'heure de dissolution. Jusque là, les courbes de fréquences de brouillards que nous avais établies dans la première étude (15) pourront nous donner déjà une idée sur l'heure la plus probable de dissolution.

La température de dissolution peut être déterminée si l'on connaît la température au sommet de la couche. A vrai dire, l'expérience nous a montré que l'on doit plutôt parler de 2 températures: la première obtenue en suivant l'adiabatique humide, la seconde l'adiabatique sèche passant par le point déterminé sur le sondage par la température au sommet de la couche (fig. 9). La pre-

Fig. 9 Températures de dissolution

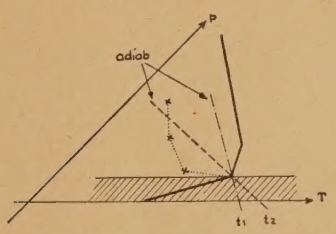

mière température t_1 marque le début de la dissolution, la seconde t_2 la fin. Si, au cours de la journée, t_1 seule est atteinte, le ciel sera de temps en temps visible, mais la couche même de brouillard ou de stratus subsistera. Si l'on ignore la température au sommet de la couche de brouillard, les statistiques montrent qu'il faut au moins une hausse de température de 3 ° pour que la dissolution commence.

Par l'étude des thermogrammes, nous avons trouvé que:

1. *la hausse de température dans le brouillard* varie en moyenne de *0.8—1.0 ° h en août-septembre, à 0.4 à 0.6 °/h en décembre.* Cependant, dans l'heure précédant la dissolution, elle atteint 1.5—1.8 °/h;

2. au-dessous d'une *couche de stratus*, la hausse est de 0.5—0.7 °/h au maximum.

La fig. 10 nous indique le début de la hausse dans le brouillard. Dans les mois d'hiver, lorsque le brouillard est très épais, celle-ci peut commencer une à deux heures plus tard encore.

Il arrive fréquemment que le brouillard au sol se transforme en stratus. L'expérience nous a montré que si le vent au sol devient égal ou supérieur à 5 nœuds, la visibilité s'élève alors au-dessus de 1 km et le plafond devient supérieur à 100 m en tous les cas.

Fig. 10 Heure du début de la hausse

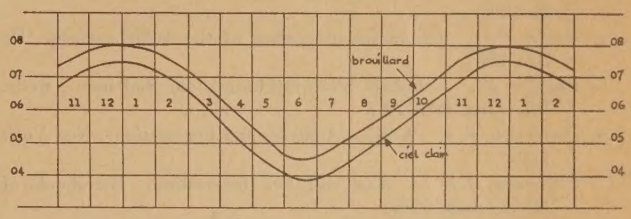

D'autre part, l'épaisseur de la couche de brouillard joue un rôle important quant à sa durée, comme le montre le tableau N° 10 suivant, où nous avons reporté l'épaisseur du brouillard en fonction de sa durée jusqu'à la dissolution ou transformation en stratus:

Tableau N° 10

épaisseur m durée	0—100	100—200	200—300	300—400	400—500	500—600
1 h	3 (0)	3 (0)	0 (2)	0 (3)	0 (3)	0 (1)
2 h	7 (0(	7 (1)	2 (0)	0 (3)	0 (1)	—
3 h	4 (0)	9 (0)	2 (4)	0 (2)	0 (1)	—
4 h	2 (0)	3 (0)	0 (1)	0 (2)	0 (2)	—
5 h	—	4 (2)	1 (2)	—	—	—
6 h	2 (0)	5 (1)	3 (0)	—	—	—
7 h	—	—	1 (0)	—	—	—
8 h	—	—	—	—	—	—
9 h	—	—	1 (0)	—	—	—
> 9 h	2 (0)	9 (0)	3 (0)	—	—	—
total	0	9	43	100	100	100
en %	20 (0)	40 (4)	12 (9)	0 (10)	0 (7)	0 (1)

Durée du brouillard en fonction de son épaisseur à 06.00 h. Nombre de cas observés se dissolvant ou ( ) se transformant en stratus au bout du nombre d'heures indiqué à gauche.

Nous constatons:

1. que tous les brouillards dont l'épaisseur à 6 h du matin est supérieure à 300 m, au total 18 cas, se transforment en stratus en quatre heures de temps au plus;

2. que moins l'épaisseur du brouillard est grande, moins sa transformation en stratus est probable.

Conclusions

Quelques-unes des idées et des lois avancées dans ce travail auraient peut-être mérité d'être appuyées sur un plus grand nombre de mesures. Travaillant cependant depuis plus de 6 ans sur ce problème de la prévision du brouillard et ayant obtenu par ces méthodes, ces dernières années, une nette amélioration dans la qualité des prévisions, nous avons pensé qu'il était temps de publier ces notes.

Je ne saurais finalement terminer ce travail sans remercier mon collègue, M. le Dr G. Gensler, pour ses précieux conseils, ainsi que M. H. Lehmann et Mlle Schærli pour leur collaboration.

Littérature :

1. *Davis, N.E.* — «Fog at London-Airport», Met. Magazine, Jan. 1951.
2. *Geiger, R.* — «Klima der Bodennahen Luftschicht», 1950.
3. *George, J.J.* — «Fog» Compendium of Meteorology, pp. 1179 to 1189.
4. *Groen, P.* — «On radiation cooling of the earth' surface», De Bilt 1947.
5. *Peppler, W.* — «Lokale Stratusbildungen am Bodensee», Beitr. Phys. frei Atm. 1927.
6. *Petterssen, S.* — «Weather Analyses and Forecasting», New York 1940.
7. *O'Connor, J.F.* — «Fog and Fog forecasting», Handbook of Meteorology 1945.
8. *Plaetschke, J.* — «Zur Bildung der Kälteseen in Tälern und Mulden», Met. Zeitschr. 7, November 1953.
9. *Rider and Robinson.* — «Study of the transfer of heat near the ground», Quart. Journ. 77, 1951.
10. *Saunders, G.* — «Night cooling under clear skies», Quart. Journ. April 1949.
11. *Saunders, G.* — «Method of forecasting the temperature of fog. formation», Met. Mag. August 1950.
12. *Schneider, R.* — «Etude sur la fréquence et la prévision du brouillard sur les Aéroports de Zurich-Kloten et Zurich-Dubendorf», MZA 1949, publ. interne.
13. *Schneider, R.* — «La prévision du brouillard de rayonnement et la baisse nocturne de température», Actes SHSN Berne 1952.
14. *Schneider, R.* — «Anomalies dans la baisse nocturne de température», Actes SHSN Altdorf 1954.
15. *Schneider, R.* — «Brouillards et Stratus bas à l'Aéroport de Zurich-Kloten», Annalen MZA 1953.
16. *Schüepp, M.* — «Wolken, Wind und Wetter», Büchergilde Gutenberg, Zürich 1950.
17. *Seeman.* — «Die Auswirkung der Taubildung auf den Temperaturverlauf», Met. Zeitschr. 1944.
18. *Uttinger, H.* — «Vom Zürcher Klima», Zürcher Statistische Nachrichten 1940.
19. *Wexler, R.* — «The dissipation of radiation fog», Bul. Am. So. 1941.
20. *Wexler, R.* — «On the radiation cooling of a layer of fog», Bul. Am. So. 1945.
21. *Winter, H.* — «Etude sur le brouillard à Bâle», MZA 1949 publ. interne.
22. *Zingg, Th.* — «Die Nebel- und Hochnebelhäufigkeiten in Dübendorf in den Jahren 1938—1944», Annalen der MZA 1944.